

# Maximaを使った物理数学基礎演習ノート

溝口純敏

<http://www.mzplactice.com/>

平成 20 年 9 月 初版

平成 21 年 4 月 第一回改訂

平成 27 年 7 月 第二回改訂

平成 28 年 9 月 第三回改訂

平成 29 年 11 月 第四回改訂

平成 30 年 7 月 第五回改訂

令和元年 7 月 第六回改訂

令和 2 年 4 月 第七回改訂

令和 4 年 3 月 第八回改訂



# 目次

第 1 章	はじめに	11
第 2 章	微分・積分	13
2.1	微分	13
2.1.1	Maxima の微分	13
2.1.2	Maxima の全微分	16
2.1.3	Maxima の偏微分	16
2.2	級数	17
2.2.1	Maxima の級数和	17
2.2.2	Maxima の乗積	18
2.2.3	Maxima の Taylor 展開	19
2.3	積分	20
2.3.1	Maxima の積分	20
2.3.2	不定積分	20
2.3.3	定積分	22
第 3 章	常微分方程式	24
3.1	Maxima の微分方程式	24
3.1.1	<i>desolve</i> 関数	24
3.1.2	<i>ode2</i> 関数	25
3.1.3	微分方程式の数値解： <i>rk</i> 関数	26
3.2	一階微分方程式	27
3.2.1	変数分離形	27
3.2.2	同次形	28
3.2.3	線形	29
3.2.4	Bernoulli の方程式	29
3.2.5	Riccati の方程式	30
3.2.6	完全微分方程式	30
3.2.7	高次微分方程式	31
3.2.8	Clairaut の微分方程式	32
3.2.9	広義の Clairaut(Lagrange) の微分方程式	34
3.3	二階微分方程式	35
3.3.1	定数係数線形微分方程式	35
3.3.2	同次線形微分方程式	36
3.3.3	$F\left(x, \frac{d}{dx}y, \frac{d^2}{dx^2}y\right)$ の微分方程式	36
3.3.4	$F\left(y, \frac{d}{dx}y, \frac{d^2}{dx^2}y\right)$ の微分方程式	37
3.3.5	線形完全微分方程式	38
3.3.6	変数変換	39
3.3.7	定数係数連立線形微分方程式	41
3.3.8	Bessel の微分方程式	44
3.4	級数解	48
3.4.1	線形微分方程式	48
3.4.2	Bessel の微分方程式	58

3.4.3	Gauss の微分方程式	60
3.4.4	Legendre の微分方程式	65
3.4.5	Legendre の陪微分方程式	70
3.4.6	Hermite の微分方程式	73
<b>第 4 章</b>	<b>ベクトルとテンソル</b>	<b>76</b>
4.1	ベクトル	76
4.1.1	ベクトルの演算	76
4.1.2	ベクトルの内積 (スカラー積)	78
4.1.3	ベクトルの外積 (ベクトル積)	79
4.1.4	3重積	80
4.2	行列とテンソル	85
4.2.1	行列の生成	85
4.2.2	行列の演算	87
4.2.3	行列式	88
4.2.4	逆行列関連	89
4.2.5	連立一次方程式 (逆行列)	90
4.2.6	連立一次方程式 (行列式)	90
4.2.7	固有値問題	91
4.2.8	テンソル演算	93
4.2.9	直交座標系のベクトル・テンソルの座標変換	94
4.2.10	対称行列の対角化	95
4.2.11	テンソルの不変量	98
4.3	ベクトルの微分	99
4.3.1	ベクトルの微分	99
4.3.2	物質微分 (時間微分)	100
4.3.3	勾配 (grad)	101
4.3.4	発散 (div)	101
4.3.5	回転 (rot, curl)	106
4.3.6	$\nabla$ を使った演算	110
4.4	ベクトルの積分	124
4.4.1	多重積分	124
4.4.2	多重積分 (変数変換)	125
4.4.3	スカラー場の線積分	134
4.4.4	ベクトル場の線積分	137
4.4.5	スカラー場の面積分	142
4.4.6	ベクトル場の面積分	145
4.4.7	平面におけるグリーンの定理	149
4.4.8	グリーンの定理	151
4.4.9	ガウスの定理	152
4.4.10	ストークスの定理	155
4.4.11	スカラーポテンシャル	160
4.5	ベクトルの座標変換	164
4.5.1	速度・加速度ベクトルの円柱座標系への変換	164
4.5.2	微分ベクトルの円柱座標系への変換	166
4.5.3	速度・加速度ベクトルの極座標系への変換	169
4.5.4	微分ベクトルの極座標系への変換	172
4.5.5	直交曲線座標系への座標変換	177
4.6	テンソル (斜交座標)	183
4.6.1	基底ベクトルと双対基底ベクトル (二次元)	183

4.6.2	基底ベクトルと双対基底ベクトル (三次元)	185
4.6.3	基底ベクトルによるベクトル表現 (反変ベクトルと共変ベクトル)	188
4.6.4	ベクトルの内積と計量テンソル	191
4.6.5	基底ベクトル、双対基底ベクトルが作る体積	192
4.6.6	ベクトル・テンソルの座標変換 (線形関係)	193
4.6.6.1	基底ベクトルと双対基底ベクトルの座標変換	193
4.6.6.2	ベクトルの座標変換 (反変成分)	195
4.6.6.3	ベクトルの座標変換 (共変成分)	196
4.6.6.4	計量テンソルの座標変換	197
4.6.6.5	ベクトル内積の座標変換不変性	198
4.6.7	テンソルの内積	199
4.6.8	クロネッカー積	200
4.6.9	テンソル積	202
4.6.10	テンソル積の座標変換 (基底の取り換え)	205
4.6.11	縮約記法	206
4.6.12	テンソル積の縮合	212
4.6.13	ベクトル・テンソルの座標変換 (微分線要素間に線形関係)	213
4.6.13.1	反変的に変換する	213
4.6.13.2	反変的に変換する: 円柱座標系の座標変換	214
4.6.13.3	反変的に変換する: 極座標系の座標変換	215
4.6.13.4	共変的に変換する (スカラー量の座標変換)	216
4.6.13.5	曲線と接ベクトル	217
4.6.13.6	計量テンソル	218
4.6.13.7	計量テンソルの座標変換	222
4.6.13.8	ベクトル・テンソルの座標変換まとめ	226
4.6.14	ベクトル・テンソルの微分	227
4.6.14.1	反変ベクトルの微分 (クリストフェルの記号)	227
4.6.14.2	共変ベクトルの微分	233
4.6.14.3	クリストフェル記号の座標変換	234
4.6.14.4	反変ベクトル共変微分係数	238
4.6.14.5	共変ベクトル共変微分係数	239
4.6.14.6	反変テンソル共変微分係数	240
4.6.14.7	共変テンソル共変微分係数	243
4.6.14.8	混合テンソル共変微分係数	246
4.6.14.9	反変ベクトルの微分の座標変換	249
4.6.14.10	共変ベクトルの微分の座標変換	252
4.6.14.11	反変ベクトルの2回の共変微分係数	254
4.6.14.12	共変ベクトルの2回の共変微分係数	255
4.6.14.13	計量テンソルの共変微分	256
4.6.14.14	クリストフェルの記号を計量テンソルで表現	257
<b>第5章</b>	<b>複素関数</b>	<b>261</b>
5.1	複素演算	261
5.1.1	Maximaの複素数定義	261
5.1.2	複素演算例	263
5.2	複素微分	265
5.2.1	複素関数の微分	265
5.2.2	Cauchy-Riemanの関係式	266
5.3	複素積分	267
5.3.1	Cauchyの積分定理	267

5.3.2	Cauchy の積分公式	269
5.3.3	留数定理と Maxima の留数関数	270
5.3.4	留数を使った実積分	271
5.4	複素解析 (流体力学への応用)	284
5.4.1	2次元速度ポテンシャルと流れ関数	284
5.4.2	一様な流れ	286
5.4.3	わき出し	286
5.4.4	二重わき出し	288
5.4.5	渦糸	289
5.4.6	写像：角を曲がる流れ	290
5.4.7	写像：平板・楕円変換 (Joukowski 変換)	292
5.4.8	円定理	294
5.4.9	Blasius の定理	294
5.4.10	Lagally の定理	296
5.4.11	特異点に作用する力 (Blasius の定理の例)	299
5.4.12	一様流中のわき出しと吸い込み	301
5.4.13	一様流中の円柱まわりの流れ	302
5.4.14	一様流中の楕円柱まわりの流れ・作用力・運動エネルギー (Joukowski 変換)	305
5.4.15	平板をすぎる流れ (Joukowski 変換)	310
5.4.16	円柱の外に置いたわき出し	312
5.4.17	Kutta-Joukowski の定理	314
5.4.18	二次元翼に作用する揚力 (写像関数を用いた)	316
5.4.19	二次元平板翼	319
<b>第 6 章</b>	<b>フーリエ解析</b>	<b>322</b>
6.1	フーリエ級数	322
6.1.1	フーリエ級数	322
6.1.2	Maxima のフーリエ級数関数	324
6.1.3	フーリエ級数展開例	324
6.1.4	Maxima の高速フーリエ変換 (FFT) 関数	326
6.2	フーリエ積分	328
6.2.1	フーリエ積分	328
6.2.2	畳み込み積分 (インパルス応答)	331
6.2.3	フーリエ積分例	332
6.2.4	Hunkel 変換 (Hunkel Transform)	333
6.3	Parseval の等式	334
6.4	時系列解析	336
6.4.1	自己相関とパワースペクトル	336
6.4.2	線形システムのパワースペクトルによる時系列解析	337
6.4.3	線形システムのクロススペクトルによる時系列解析	339
6.4.4	ウインドウ	340
6.4.5	サンプリング定理	343
6.5	時系列解析の具体例	345
6.5.1	時系列データの作成	345
6.5.2	自己相関	350
6.5.3	スペクトル	352
6.5.4	1次元自己回帰モデル	354
6.5.5	FFT による応答解析	357
6.5.6	線形システムのスペクトル・クロススペクトルによる応答解析	359

<b>第 7 章</b>	<b>円柱関数と球関数</b>	<b>361</b>
7.1	円柱関数	361
7.1.1	フーリエ・ベッセル (Fourier-Bessel) 展開	361
7.1.2	フーリエ・ベッセル展開例	365
7.1.3	ディニ (Dini) 展開	368
7.2	球関数	370
7.2.1	Legendre の多項式による展開	370
7.2.2	Legendre の多項式による展開例	374
7.2.3	Legendre の陪関数 (球関数) による展開	376
<b>第 8 章</b>	<b>ラプラス変換</b>	<b>384</b>
8.1	ラプラス変換	384
8.1.1	ラプラス変換の定義と例題	384
8.1.2	関数の和と定数積	389
8.1.3	単位ステップ関数	390
8.1.4	デルタ関数	391
8.1.5	関数に $e^{at}$ を掛ける	391
8.1.6	関数を時間: $A$ だけずらす	392
8.1.7	関数の微分	393
8.1.8	関数の積分	394
8.1.9	インパルス応答	395
8.1.10	周期関数	397
8.1.11	変換結果の微分	398
8.1.12	変換結果の積分	398
8.2	微分方程式	399
8.2.1	一階微分方程式	399
8.2.2	二階微分方程式	400
8.2.3	連立線形微分方程式	403
8.3	電気回路の応答	407
8.3.1	RC 回路	407
8.3.2	RL 回路	409
8.3.3	RCL 回路 例 1	410
8.3.4	RCL 回路 例 2	411
8.4	システム解析	413
8.4.1	一次システム	413
8.4.2	二次システム	416
8.4.3	一次フィードバック制御	422
8.4.4	二次フィードバック制御	424
<b>第 9 章</b>	<b>変分法</b>	<b>428</b>
9.1	オイラー (Eular) の微分方程式	428
9.1.1	一変数一変関数	428
9.1.2	多変数	430
9.1.3	高階導関数	432
9.1.4	多未知数	435
9.1.5	付帯条件のついた変分問題	438
9.2	変分問題	442
9.2.1	二点を結ぶ最短曲線	442
9.2.2	最速降下線	443
9.2.3	光の屈折	445

9.2.4	高さにより光速が変化する場合の光路	446
9.2.5	曲線長さ一定で面積最大の曲線	448
9.2.6	鎖の形状	450
9.2.7	Lagrange の運動方程式	452
<b>第 10 章</b>	<b>偏微分方程式</b>	<b>454</b>
10.1	ラプラス方程式とグリーン関数	454
10.1.1	二次元グリーン関数	454
10.1.2	三次元グリーン関数	456
10.2	二次元ラプラスの方程式	457
10.2.1	$xy$ 座標における二次元ラプラスの方程式	457
10.2.2	$xy$ 座標における二次元ラプラスの方程式 ( $x$ 方向無限境界)	459
10.2.3	極座標における二次元ラプラスの方程式	460
10.3	三次元ラプラスの方程式	463
10.3.1	$xyz$ 座標における三次元ラプラスの方程式	463
10.3.2	円柱座標における三次元ラプラスの方程式	465
10.3.3	極座標における三次元ラプラスの方程式	467
10.3.4	極座標における三次元ラプラスの方程式の境界値問題	469
10.4	ポアソン方程式とグリーン関数	471
10.4.1	三次元グリーン関数	471
10.4.2	三次元ポアソン方程式の特殊解	471
10.4.3	三次元波動方程式の特殊解	473
10.5	二次元ポアソンの方程式	476
10.5.1	$xy$ 座標における二次元ポアソンの方程式	476
10.6	二次元ヘルムホルツの方程式	478
10.6.1	$xy$ 座標における二次元ヘルムホルツの方程式	478
10.6.2	極座標における二次元ヘルムホルツの方程式	479
10.7	三次元ヘルムホルツの方程式	480
10.7.1	極座標における三次元ヘルムホルツの方程式	480
10.8	一次元波動方程式	483
10.8.1	波動方程式の基本解	483
10.8.2	波動方程式の固有値問題	485
10.8.3	波動方程式の有限境界問題	487
10.8.4	波動方程式の無限境界問題	489
10.9	二次元波動方程式	491
10.9.1	$xy$ 座標における二次元波動方程式：矩形膜の振動	491
10.9.2	極座標における二次元波動方程式：円形膜の振動	495
10.9.3	極座標における二次元波動方程式：軸対称 無限境界	503
10.10	三次元波動方程式	505
10.10.1	$xyz$ 座標における三次元波動方程式 (平面波)	505
10.10.2	極座標における三次元波動方程式 (球面波)	507
10.10.3	極座標における三次元波動方程式	509
10.11	一次元熱伝導方程式	510
10.11.1	熱伝導方程式の変数分離法による基本解	510
10.11.2	熱伝導方程式 端部一定	511
10.11.3	熱伝導方程式 端部反射	512
10.11.4	熱伝導方程式 無限境界	513
10.12	二次元熱伝導の方程式	514
10.12.1	二次元 $xy$ 座標における熱伝導方程式	514
10.12.2	二次元極座標における熱伝導方程式	517



10.12.3 中実円柱の熱伝導境界値問題 (表面温度一定)	519
10.12.4 中実円柱の軸対称熱伝導境界値問題 (表面断熱)	523
10.13 三次元熱伝導の方程式	525
10.13.1 極座標における三次元熱伝導方程式	525
<b>第 11 章 積分方程式</b>	<b>530</b>
11.1 積分方程式の種類	530
11.2 ボルテラ型積分方程式	531
11.2.1 ボルテラ型第二種積分方程式の解法 (級数)	531
11.2.2 合成型積分方程式の解法 (ラプラス変換)	532
11.2.3 ボルテラ型第一種積分方程式の解法	532
11.2.4 ボルテラ型第一種積分方程式 例 1	533
11.2.5 ボルテラ型第二種積分方程式 例 1	533
11.2.6 ボルテラ型第二種積分方程式 例 2	534
11.2.7 ボルテラ型第二種積分方程式 例 3	536
11.2.8 ボルテラ型第二種積分方程式 例 4	538
11.2.9 ボルテラ型第二種積分方程式 例 5	539
11.2.10 ボルテラ型第二種積分方程式 例 6	540
11.2.11 ボルテラ型第二種積分方程式 例 7	542
11.2.12 ボルテラ型第二種積分方程式 例 8	544
11.3 ボルテラ型積分方程式と常微分方程式	546
11.3.1 常微分方程式の解法	546
11.3.2 Bessel の微分方程式	549
11.3.3 鉛直放出体の運動	551
11.4 ボルテラ型積分方程式の数値解法	553
11.4.1 ボルテラ型第二種積分方程式 例 1	553
11.4.2 ボルテラ型第一種積分方程式 例 1	555
11.5 フレドホルム型積分方程式	557
11.5.1 フレドホルム型第二種積分方程式の解法 (級数)	557
11.5.2 フレドホルム型第二種積分方程式の解法 (行列式)	558
11.5.3 パンシュール・グルサー核を持つフレドホルム型第二種積分方程式の解法	561
11.5.4 フレドホルム型同次積分方程式の解法	562
11.5.5 フレドホルム型第一種積分方程式の解法	563
11.5.6 フレドホルム型同次積分方程式 例 1	564
11.5.7 フレドホルム型第二種積分方程式 例 1	566
11.5.8 フレドホルム型第二種積分方程式 例 2	568
11.5.9 フレドホルム型第二種積分方程式 例 3	569
11.5.10 フレドホルム型第一種積分方程式 例 1	573
11.5.11 フレドホルム型第一種積分方程式 例 2	574
11.5.12 フレドホルム型第二種積分方程式 例 4	575
11.5.13 フレドホルム型第二種積分方程式 例 5	576
11.5.14 フレドホルム型第二種積分方程式 例 6	577
11.5.15 フレドホルム型第二種積分方程式 例 7	581
11.5.16 パンシュール・グルサー核を持つフレドホルム型第二種積分方程式 例 1	582
11.5.17 フレドホルム型同次積分方程式 例 2	584
11.5.18 フレドホルム型同次積分方程式 例 3	585
11.6 フレドホルム型積分方程式の数値解法	589
11.6.1 フレドホルム型第二種積分方程式 例 1	589
11.6.2 フレドホルム型同次積分方程式 例 1	591
11.7 特異核を持つ積分方程式	594

11.7.1	アーベルの積分方程式 . . . . .	594
11.7.2	二次元薄翼理論 (有限ヒルベルト変換) . . . . .	595
11.7.3	二次元薄翼理論 (フーリエ級数) . . . . .	606
11.7.4	三次元翼 揚力線理論 (フーリエ級数) . . . . .	608
<b>付録 A よく使う Maxima の関数</b>		<b>610</b>
A.1	wxMaxima を使用した演習の進め方 . . . . .	610
A.2	宣言文 . . . . .	610
A.3	数式操作 . . . . .	611
A.4	行列 . . . . .	614
A.5	微分・積分 . . . . .	615
A.6	複素数 . . . . .	618
A.7	極限・級数 . . . . .	619
A.8	プログラム . . . . .	620
A.9	その他 . . . . .	620
A.10	グラフ作成 . . . . .	621

## 第1章 はじめに

理工系で物理学を学ぶ初心者を対象に、物理学でよく出てくる式などについて、Maxima を使った物理数学演習ノートを作成しました。あくまで演習ノートであるので、式の詳細な導出や証明、解説は行っていません。これらについては、参考文献などのすばらしい書籍等があるので、それらを参考にしてください。物理学を学ぼうとしている人にとって、数学は道具であり、それをある程度、しっかり理解することを通して、物理の概念、本質の理解を深めていけると思います。数学の数式展開や証明に主眼をおく必要はありません。このような観点から、数式の展開に多くの時間をかけるのではなく、Maxima などの数式処理システムを使って物理数学を学ぶのが効率的な学び方ではないかと思い、本書をまとめました。

最近では、インターネットや電子辞書・電子書籍で多くの知識を容易に得ることができ、音声認識システムで、話したことを文章化できたり、翻訳できます。そして、これらが可能な携帯情報端末が一般に使用される時代となっています。また、人工知能の発展は目を見張るものがあり、将棋や囲碁の分野ではプロ棋士を負かすほどになっています。人工知能を使った数式処理システムで因数分解、微分、積分、微分方程式など、多くの数式処理がパーソナルコンピューターで容易に可能になっています。フリーの数式処理ソフト：Maxima も公開され、多くの人がこれを使用していると思われます。このようなすばらしいシステムが多く存在する時代では、これらを使いこなし、各人が求める深い知恵を得る活動に多くの時間を割くことがよいと思います。

また、近年、科学の進歩で、多くのことが明らかになり、分野も広がっており、変化が激しい世の中となっています。その中で、時間も限られる状況下でどのような深い知恵を習得すべきなのでしょう。前述したように、現在、携帯情報端末で多くの情報、知識を容易に得ることができます。また、将来は、人工知能の発達で、更に我々に対し多くの事柄を補佐してくれるでしょう。このような時代に備え、我々は何を身につけておくべきなのでしょう。私は高い問題解決能力を身につけることが大切ではないかと思います。

問題解決能力を高めるには、できる限り多くのよい問題を解くことを経験し、物事の本質を理解するとともに、問題解決のプロセスを習得することが重要とされています<sup>31)</sup>。ここに Maxima を活用して、多くの例題

を効率よく解き、物事の本質の理解を深め、経験を積むことができます。例えば、運動方程式の導出やその極座標系への変換では、手計算では気が遠くなるような作業であり、現実には本に書かれているようになるんですね、で終わってしまいます。しかし、Maxima などの数式処理システムを用いれば、基本的な考え方をプログラムするだけで、後の大変な式の展開は計算機が実行してくれます。ここでは問題解決のプロセスを明らかにすることが要求され、効率よく問題解決能力を高める訓練が行えると思います。

本ノートは wxMaxima 13.04.2(Maxima-5.31.2) を使用してまとめました。これは会話形式で処理を実行でき、数式出力結果を Tex 出力・コピーができるとともに、グラフも出力・コピーできるので、大変便利です。また、これらを有効活用できる文書作成ソフト： $\text{\LaTeX}$  2 $\epsilon$  を使用し、本ノートをまとめました。

以下では Maxima の入力部分を枠で囲って表し、出力結果をその後に数式で示しています。また、小文字は関数、変数を、大文字は定数を表すのに統一して使っています。Maxima の微分の出力で、例えば本来、 $\frac{\partial}{\partial x}$  と記述されるべきが、 $\frac{d}{dx}$  と出力されます。ここでは Maxima の出力通りに記述しているので誤解の無いように願います。また、Maxima のプログラムに統一性を欠いたり、例題の選定・記述などで不十分なところもありますが、まずは、まとめた結果を早期に公表し、皆様に供することとしたので、ご容赦願います。

本ノートをまとめるにあたり、参考文献に掲げた多くの著書を参考にしました。これらの著書をまとめられた著者に感謝します。また、これをまとめるのに活用した Maxima および  $\text{\LaTeX}$  2 $\epsilon$  の開発や普及に携わられた方々に感謝します。

平成 27 年 7 月 第二回改訂 全面改訂 「Maxima を使った微分方程式演習ノート」に「ベクトルと行列」、「複素関数」、「フーリエ解析」、「円柱関数と球関数」、「変分法」、「偏微分方程式」等を付加し、全面改訂を行った。このため表題も「Maxima を使った物理数学基礎演習ノート」とした。

平成 28 年 9 月 第三回改訂 フーリエ級数の誤記を修正した。

平成 29 年 11 月 第四回改訂 「 $\nabla$ を使ったベクトル演算」、「直交曲線座標系への座標変換」を付加した。

平成 30 年 7 月 第五回改訂 「ラプラス変換」「積分方程式」を付加した。

令和元年 7 月 第六回改訂 「時系列解析」「時系列解析の具体例」を付加した。

令和 2 年 4 月 第七回改訂 「多重積分、スカラー場、ベクトル場の線積分・面積分」「偏微分方程式」を充実させた。

令和 4 年 3 月 第八回改訂 「テンソル (斜交座標)」を充実させた。

## 第2章 微分・積分

### 2.1 微分

#### 2.1.1 Maxima の微分

微分の実行は *diff* 関数で行える。実行方法は下記の要領で行う。

*diff*(関数, 変数<sub>1</sub>, 微分階数<sub>1</sub>)

微分の例題を下記に示す。

```
/* 微分 */
kill(all);
EQ:x^k;
'diff(EQ,x,1)=diff(EQ,x,1);
'diff(EQ,x,2)=diff(EQ,x,2);
'diff(EQ,x,3)=diff(EQ,x,3);
```

$$\frac{d}{dx} x^k = k x^{k-1}$$

$$\frac{d^2}{dx^2} x^k = (k-1) k x^{k-2}$$

$$\frac{d^3}{dx^3} x^k = (k-2)(k-1) k x^{k-3}$$

例 1  $\frac{d}{dx} x^\alpha$

```
EQ:x^\alpha;
'diff(EQ,x,1)=diff(EQ,x,1);
```

$$\frac{d}{dx} x^\alpha = \alpha x^{\alpha-1}$$

例 2  $\frac{d}{dx} e^x$

```
EQ:%e^x;
'diff(EQ,x,1)=diff(EQ,x,1);
```

$$\frac{d}{dx} e^x = e^x$$

例 3  $\frac{d}{dx} \log(x)$

```
EQ:log(x);
'diff(EQ,x,1)=diff(EQ,x,1);
```

$$\frac{d}{dx} \log(x) = \frac{1}{x}$$

例 4  $\frac{d}{dx} \cos(x)$

```
EQ:cos(x);
'diff(EQ,x,1)=diff(EQ,x,1);
```

$$\frac{d}{dx} \cos(x) = -\sin(x)$$

例 5  $\frac{d}{dx} \sin(x)$

```
EQ:sin(x);
'diff(EQ,x,1)=diff(EQ,x,1);
```

$$\frac{d}{dx} \sin(x) = \cos(x)$$

例 6  $\frac{d}{dx} \tan(x)$

```
EQ:tan(x);
'diff(EQ,x,1)=diff(EQ,x,1);
```

$$\frac{d}{dx} \tan(x) = \sec(x)^2$$

例 11  $\frac{d}{dx} \cosh(x)$

```
EQ:cosh(x);
'diff(EQ,x,1)=diff(EQ,x,1);
```

$$\frac{d}{dx} \cosh(x) = \sinh(x)$$

例 7  $\frac{d}{dx} \operatorname{asin}(x)$

```
EQ:asin(x);
'diff(EQ,x,1)=diff(EQ,x,1);
```

$$\frac{d}{dx} \operatorname{asin}(x) = \frac{1}{\sqrt{1-x^2}}$$

例 12  $\frac{d}{dx} \operatorname{asinh}(x)$

```
EQ:asinh(x);
'diff(EQ,x,1)=diff(EQ,x,1);
```

$$\frac{d}{dx} \operatorname{asinh}(x) = \frac{1}{\sqrt{x^2+1}}$$

例 8  $\frac{d}{dx} \operatorname{acos}(x)$

```
EQ:acos(x);
'diff(EQ,x,1)=diff(EQ,x,1);
```

$$\frac{d}{dx} \operatorname{acos}(x) = -\frac{1}{\sqrt{1-x^2}}$$

例 13  $\frac{d}{dx} \operatorname{acosh}(x)$

```
EQ:acosh(x);
'diff(EQ,x,1)=diff(EQ,x,1);
```

$$\frac{d}{dx} \operatorname{acosh}(x) = \frac{1}{\sqrt{x^2-1}}$$

例 9  $\frac{d}{dx} \operatorname{atan}(x)$

```
EQ:atan(x);
'diff(EQ,x,1)=diff(EQ,x,1);
```

$$\frac{d}{dx} \operatorname{atan}(x) = \frac{1}{x^2+1}$$

例 14  $\left[\frac{d}{dx} \sqrt{x}\right]$

```
EQ:sqrt(x);
'diff(EQ,x,1)=diff(EQ,x,1);
```

$$\frac{d}{dx} \sqrt{x} = \frac{1}{2\sqrt{x}}$$

例 10  $\frac{d}{dx} \sinh(x)$

```
EQ:sinh(x);
'diff(EQ,x,1)=diff(EQ,x,1);
```

$$\frac{d}{dx} \sinh(x) = \cosh(x)$$

例 15  $\frac{d}{dx} \frac{1}{x+a}$

```
EQ:1/(x+a);
'diff(EQ,x,1)=diff(EQ,x,1);
```

$$\frac{d}{dx} \frac{1}{x+a} = -\frac{1}{(x+a)^2}$$

例 16  $\frac{d}{dx} \frac{x}{x^2+a^2}$

```
EQ:x/(x^2+a^2);
'diff(EQ,x,1)=diff(EQ,x,1);
factor(%);
```

$$\frac{d}{dx} \frac{x}{x^2+a^2} = \frac{1}{x^2+a^2} - \frac{2x^2}{(x^2+a^2)^2} - \frac{(x-a)(x+a)}{(x^2+a^2)^2}$$

例 17  $\frac{d}{dx} \frac{1}{a^k-x^k}$

```
EQ:1/(a^k-x^k);
'diff(EQ,x,1)=diff(EQ,x,1);
```

$$\frac{d}{dx} \frac{1}{a^k-x^k} = \frac{kx^{k-1}}{(a^k-x^k)^2}$$

例 18  $\frac{d}{dx} e^{ax}$

```
EQ:%e^(a*x);
'diff(EQ,x,1)=diff(EQ,x,1);
```

$$\frac{d}{dx} e^{ax} = a e^{ax}$$

例 19  $\frac{d}{dx} e^{\frac{a}{x}}$

```
EQ:%e^(a/x);
'diff(EQ,x,1)=diff(EQ,x,1);
```

$$\frac{d}{dx} e^{\frac{a}{x}} = -\frac{a e^{\frac{a}{x}}}{x^2}$$

例 20  $\frac{d}{dx} e^{ax^2}$

```
EQ:%e^(a*x^2);
'diff(EQ,x,1)=diff(EQ,x,1);
```

$$\frac{d}{dx} e^{ax^2} = 2ax e^{ax^2}$$

例 21  $\frac{d}{dx} \sinh(x)$

```
EQ:sinh(x);
'diff(EQ,x,1)=diff(EQ,x,1);
```

$$\frac{d}{dx} \sinh(x) = \cosh(x)$$

例 22  $\frac{d}{dx} x^x$

```
EQ:x^x;
'diff(EQ,x,1)=diff(EQ,x,1);
```

$$\frac{d}{dx} x^x = x^x (\log(x) + 1)$$

例 23  $\frac{d}{dx} \frac{\log(x)}{\log(a)}$

```
EQ:log(x)/log(a);
'diff(EQ,x,1)=diff(EQ,x,1);
```

$$\frac{d}{dx} \frac{\log(x)}{\log(a)} = \frac{1}{\log(a)x}$$

例 24  $\frac{d}{dx} \log(\sqrt{x^2+1}+x)$

```
EQ:log(x+sqrt(1+x^2));
'diff(EQ,x,1)=diff(EQ,x,1);
factor(%);
```

$$\begin{aligned} \frac{d}{dx} \log(\sqrt{x^2+1}+x) &= \frac{\frac{x}{\sqrt{x^2+1}} + 1}{\sqrt{x^2+1}+x} \\ &= \frac{1}{\sqrt{x^2+1}} \end{aligned}$$

例 25  $\frac{d}{dx} \operatorname{acosh}(x)$

```
EQ:acosh(x);
'diff(EQ,x,1)=diff(EQ,x,1);
```

$$\frac{d}{dx} \operatorname{acosh}(x) = \frac{1}{\sqrt{x^2-1}}$$

## 2.1.2 Maxima の全微分

偏微分の実行は *diff* 関数で行える。実行方法は下記の要領で、変数と微分階数を入力しないで行う。

*diff*(関数)

例1  $d(e^{xy})$

```
diff (exp (x*y));
```

$$de^{xy} = xe^{xy} \text{del}(y) + ye^{xy} \text{del}(x)$$

例2  $d(xyz)$

```
diff (x*y*z);
```

$$d(xyz) = xy \text{del}(z) + xz \text{del}(y) + yz \text{del}(x)$$

例3  $df$

```
depends(f, [x,y]);
diff (f);
```

$$df = \left(\frac{d}{dy} f\right) \text{del}(y) + \left(\frac{d}{dx} f\right) \text{del}(x)$$

## 2.1.3 Maxima の偏微分

偏微分の実行は *diff* 関数で行える。実行方法は下記の要領で行う。

*diff*(関数, 変数<sub>1</sub>, 微分階数<sub>1</sub>, 変数<sub>2</sub>, 微分階数<sub>2</sub>)

微分の例題を下記に示す。

```
EQ:x^3*y^3;
'diff(EQ,x,2,y,1)=diff(x^3*y^3,x,2,y,1);
```

$$\frac{d^3}{dx^2 dy} (x^3 y^3) = 18xy^2$$

偏微分の間数の表現として、*depends* 関数を用いると下記のように、容易に偏微分の実行ができる。

```
depends(x, [t]);
depends(y, [t]);
depends(f, [x,y]);
depends(g, [x]);
'diff(f,t,1)=diff(f,t,1);
'diff(f*g,t,1)=diff(f*g,t,1);
```

$[x(t)]$

$[y(t)]$

$[f(x,y)]$

$[g(x)]$

$$\frac{d}{dt} f = \left(\frac{d}{dy} f\right) \left(\frac{d}{dt} y\right) + \left(\frac{d}{dx} f\right) \left(\frac{d}{dt} x\right)$$

$$\begin{aligned} \frac{d}{dt} (fg) = & g \left( \left(\frac{d}{dy} f\right) \left(\frac{d}{dt} y\right) \right. \\ & \left. + \left(\frac{d}{dx} f\right) \left(\frac{d}{dt} x\right) \right) \\ & + f \left(\frac{d}{dx} g\right) \left(\frac{d}{dt} x\right) \end{aligned}$$



## 2.2 級数

### 2.2.1 Maxima の級数和

級数の実行は *sum* 関数で行える。実行方法は下記の要領で行う。

*sum*(関数, 添え字変数, 初期値, 終値)

また、下記により、級数の簡素化を行うことができる。

*sum* の式, *simpsum*

級数の例題を下記に示す。

例 1  $\sum_{n=1}^{\infty} \frac{1}{n(n+1)}$

```
sum(1/(n)/(n+1),n,1,inf);
%,simpsum;
```

$$\sum_{n=1}^{\infty} \frac{1}{n(n+1)}$$

簡素化の結果が得られない。

例 2  $\sum_{n=1}^{\infty} \frac{1}{n^2}$

```
sum(1/(n)^2,n,1,inf);
%,simpsum;
```

簡素化の結果は、

$$\sum_{n=1}^{\infty} \frac{1}{n^2} = \frac{\pi^2}{6}$$

例 3  $\sum_{n=1}^{\infty} \frac{1}{n^4}$

```
sum(1/(n)^4,n,1,inf);
%,simpsum;
```

簡素化の結果は、

$$\sum_{n=1}^{\infty} \frac{1}{n^4} = \frac{\pi^4}{90}$$

例 4  $\sum_{n=0}^{\infty} \frac{1}{(2n+1)^2}$

```
sum(1/(2*n+1)^2,n,0,inf);
%,simpsum;
```

簡素化の結果が得られない。

例 5  $\sum_{n=0}^{\infty} \frac{1}{n!}$

```
sum(1/(n!),n,0,inf);
%,simpsum;
```

簡素化の結果が得られない。

例 6  $\sum_{n=1}^{\infty} \frac{1}{2^n}$

```
sum(1/2^n,n,1,inf);
%,simpsum;
```

簡素化の結果は、

$$\sum_{n=1}^{\infty} \frac{1}{2^n} = 1$$

例 7  $\sum_{n=1}^{\infty} \frac{1}{3^n}$

```
sum(1/3^n,n,1,inf);
%,simpsum;
```

簡素化の結果は、

$$\sum_{n=1}^{\infty} \frac{1}{3^n} = \frac{1}{2}$$

### 2.2.2 Maxima の乗積

乗積の実行は *product* 関数で行える。実行方法は下記の要領で行う。

*product*(関数, 添え字変数, 初期値, 終値)

また、下記により、級数の簡素化を行うことができる。

*product* の式, *simpproduct*

乗積の例題を下記に示す。

例 1  $\prod_{n=1}^4 x + \frac{n(n+1)}{2}$

```
kill(all);
'product(x+n*(n+1)/2,n,1,4)=product(x
+n*(n+1)/2,n,1,4);
```

簡素化の結果は、

$$\prod_{n=1}^4 x + \frac{n(n+1)}{2} = (x+1)(x+3)(x+6)(x+10)$$

例 2  $\prod_{k=1}^n k$

```
product(k,k,1,n)=n!;
lhs(%),simpproduct;
```

簡素化の結果は、

$$\prod_{k=1}^n k = n!$$

例 3  $\prod_{n=1}^{\infty} \frac{1}{n^2} + 1$

```
product((1+1/n^2),n,1,inf)=sinh(%pi)/%pi;
lhs(%),simpproduct;
```

簡素化の結果が得られない。

$$\prod_{n=1}^{\infty} \frac{1}{n^2} + 1 = \frac{\sinh(\pi)}{\pi}$$

例 4  $\prod_{n=2}^{\infty} 1 - \frac{1}{n^2}$

```
product((1-1/n^2),n,2,inf)=1/2;
lhs(%),simpproduct;
```

簡素化の結果が得られない。

$$\prod_{n=2}^{\infty} 1 - \frac{1}{n^2} = \frac{1}{2}$$

例 5  $\prod_{n=1}^{\infty} \frac{1}{n^2} + 1$

```
product((1+1/n^2),n,1,inf)=(%e^(%pi)
-%e^(-%pi))/(2*%pi);
lhs(%),simpproduct;
```

簡素化の結果が得られない。

$$\prod_{n=1}^{\infty} \frac{1}{n^2} + 1 = \frac{e^{\pi} - e^{-\pi}}{2\pi}$$

例 6  $\prod_{n=1}^{\infty} 1 - \frac{x^2}{n^2}$

```
product((1-x^2/n^2),n,1,inf)=sin(%pi*x)
/(%pi*x);
lhs(%),simpproduct;
```

簡素化の結果が得られない。

$$\prod_{n=1}^{\infty} 1 - \frac{x^2}{n^2} = \frac{\sin(\pi x)}{\pi x}$$

例 7  $\prod_{n=1}^{\infty} \cos\left(\frac{x}{2^n}\right)$

```
product(cos(x/2^n),n,1,inf)=sin(x)/x;
lhs(%),simpproduct;
```

簡素化の結果が得られない。

$$\prod_{n=1}^{\infty} \cos\left(\frac{x}{2^n}\right) = \frac{\sin(x)}{x}$$

### 2.2.3 Maxima の Taylor 展開

Taylor 展開は下記で表現できる。

$$f(x) = \sum_{n=0}^{\infty} \frac{d^n}{dx^n} f(a) \frac{(x-a)^n}{n!}$$

Taylor 展開の実行は `taylor` 関数で行える。実行方法は下記の要領で行う。

`taylor(関数, 変数1, a, n)`

ここで、 $a$  のまわりの Taylor 級数を  $(x-a)^n$  まで展開する。

Taylor 展開の例題を下記に示す。当然ながら、関数の級数表示と Maxima による Taylor 展開の結果は一致している。

#### 例 1 $e^x$

```
kill(all);
%e^x=sum(x^n/(n!),n,0,inf);
%e^x=sum(x^n/(n!),n,0,6);
%e^x=taylor(%e^x,x,0,6);
```

級数展開結果、

$$e^x = \sum_{n=0}^{\infty} \frac{x^n}{n!} \\ = \dots + \frac{x^6}{720} + \frac{x^5}{120} + \frac{x^4}{24} + \frac{x^3}{6} + \frac{x^2}{2} + x + 1$$

Taylor 展開結果、

$$e^x = 1 + x + \frac{x^2}{2} + \frac{x^3}{6} + \frac{x^4}{24} + \frac{x^5}{120} + \frac{x^6}{720} + \dots$$

#### 例 2 $\cos(x)$

```
cos(x)=sum((-1)^(n)*x^(2*n)/((2*n)!),
n,0,inf);
cos(x)=sum((-1)^(n)*x^(2*n)/((2*n)!),
n,0,4);
cos(x)=taylor(cos(x),x,0,8);
```

級数展開結果、

$$\cos(x) = \sum_{n=0}^{\infty} \frac{(-1)^n x^{2n}}{(2n)!} \\ = \dots + \frac{x^8}{40320} - \frac{x^6}{720} + \frac{x^4}{24} - \frac{x^2}{2} + 1$$

Taylor 展開結果、

$$\cos(x) = 1 - \frac{x^2}{2} + \frac{x^4}{24} - \frac{x^6}{720} + \frac{x^8}{40320} + \dots$$

#### 例 3 $\sin(x)$

```
sin(x)=sum((-1)^(n)*x^(2*n+1)/((2*n+1)!),
n,0,inf);
sin(x)=sum((-1)^(n)*x^(2*n+1)/((2*n+1)!),
n,0,4);
sin(x)=taylor(sin(x),x,0,9);
```

級数展開結果、

$$\sin(x) = \sum_{n=0}^{\infty} \frac{(-1)^n x^{2n+1}}{(2n+1)!} \\ = \dots + \frac{x^9}{362880} - \frac{x^7}{5040} + \frac{x^5}{120} - \frac{x^3}{6} + x$$

Taylor 展開結果、

$$\sin(x) = x - \frac{x^3}{6} + \frac{x^5}{120} - \frac{x^7}{5040} + \frac{x^9}{362880} + \dots$$

#### 例 4 $\log(x+1)$

```
log(x+1)=sum((-1)^(n-1)*x^n/n,n,1,inf);
log(x+1)=sum((-1)^(n-1)*x^n/n,n,1,5);
log(x+1)=taylor(log(x+1),x,0,5);
```

級数展開結果、

$$\log(x+1) = \sum_{n=1}^{\infty} \frac{(-1)^{n-1} x^n}{n} \\ = \dots + \frac{x^5}{5} - \frac{x^4}{4} + \frac{x^3}{3} - \frac{x^2}{2} + x$$

Taylor 展開結果、

$$\log(x+1) = x - \frac{x^2}{2} + \frac{x^3}{3} - \frac{x^4}{4} + \frac{x^5}{5} + \dots$$

#### 例 5 $-\log(1-x)$

```
'log(1/(1-x))=sum(x^n/(n),n,1,inf);
'log(1/(1-x))=sum(x^n/(n),n,1,5);
'log(1/(1-x))=taylor(log(1/(1-x)),x,0,5);
```

級数展開結果、

$$-\log(1-x) = \sum_{n=1}^{\infty} \frac{x^n}{n} \\ = \dots + \frac{x^5}{5} + \frac{x^4}{4} + \frac{x^3}{3} + \frac{x^2}{2} + x$$

Taylor 展開結果、

$$-\log(1-x) = x + \frac{x^2}{2} + \frac{x^3}{3} + \frac{x^4}{4} + \frac{x^5}{5} + \dots$$

## 2.3 積分

### 2.3.1 Maxima の積分

微分の実行は *integrate* 関数で行える。実行方法は下記の要領で行う。

不定積分では、

*integrate*(関数, 変数)

定積分では、

*integrate*(関数, 変数, 初期値, 終値)

### 2.3.2 不定積分

不定積分の例題を下記に示す。

例 1  $\int x^\alpha dx$

```
EQ:x^\alpha;
assume(\alpha>-1);
'integrate(EQ,x)=integrate(EQ,x);
```

$$\alpha > -1$$

$$\int x^\alpha dx = \frac{x^{\alpha+1}}{\alpha+1}$$

例 2  $\int \frac{1}{x} dx$

```
EQ:1/x;
'integrate(EQ,x)=integrate(EQ,x);
```

$$\int \frac{1}{x} dx = \log(x)$$

例 3  $\int e^x dx$

```
EQ:%e^x;
'integrate(EQ,x)=integrate(EQ,x);
```

$$\int e^x dx = e^x$$

例 4  $\int \sin(x) dx$

```
EQ:sin(x);
'integrate(EQ,x)=integrate(EQ,x);
```

$$\int \sin(x) dx = -\cos(x)$$

例 5  $\int \cos(x) dx$

```
EQ:cos(x);
'integrate(EQ,x)=integrate(EQ,x);
```

$$\int \cos(x) dx = \sin(x)$$

例 6  $\int \tan(x) dx$

```
EQ:tan(x);
'integrate(EQ,x)=integrate(EQ,x);
```

$$\int \tan(x) dx = \log(\sec(x))$$

例 7  $\int \frac{1}{x^2+1} dx$

```
EQ:1/(1+x^2);
'integrate(EQ,x)=integrate(EQ,x);
```

$$\int \frac{1}{x^2+1} dx = \operatorname{atan}(x)$$

例 8  $\int \frac{1}{\sqrt{1-x^2}} dx$

```
EQ:1/sqrt(1-x^2);
'integrate(EQ,x)=integrate(EQ,x);
```

$$\int \frac{1}{\sqrt{1-x^2}} dx = \operatorname{asin}(x)$$

例 9  $\int \frac{1}{x(x^2-1)} dx$

```
EQ: 1/x/(x^2-1);
'integrate(EQ,x)=integrate(EQ,x);
```

$$\int \frac{1}{x(x^2-1)} dx = \frac{\log(x^2-1)}{2} - \log(x)$$

例 10  $\int \frac{1}{x^2-1} dx$

```
EQ: 1/(x^2-1);
'integrate(EQ,x)=integrate(EQ,x);
```

$$\int \frac{1}{x^2-1} dx = \frac{\log(x-1)}{2} - \frac{\log(x+1)}{2}$$

例 11  $\int \frac{1}{x^2+1} dx$

```
EQ: 1/(x^2+1);
'integrate(EQ,x)=integrate(EQ,x);
```

$$\int \frac{1}{x^2+1} dx = \text{atan}(x)$$

例 12  $\int (ax+b)^n dx$

```
assume(n>1);
EQ: (a*x+b)^n;
'integrate(EQ,x)=integrate(EQ,x);
```

$$n > 1$$

$$\int (ax+b)^n dx = \frac{(ax+b)^{n+1}}{a(n+1)}$$

例 13  $\int \frac{1}{ax+b} dx$

```
EQ: 1/(a*x+b);
'integrate(EQ,x)=integrate(EQ,x);
```

$$\int \frac{1}{ax+b} dx = \frac{\log(ax+b)}{a}$$

例 14  $\int \frac{px+q}{(ax+b)^2} dx$

```
EQ: (p*x+q)/(a*x+b)^2;
'integrate(EQ,x)=integrate(EQ,x);
```

$$\int \frac{px+q}{(ax+b)^2} dx = \frac{p \log(ax+b)}{a^2} - \frac{aq-bp}{a^3x+a^2b}$$

例 15  $\int \frac{1}{x^2+c} dx$

```
assume(c>0);
EQ: 1/(x^2+c);
'integrate(EQ,x)=integrate(EQ,x);
```

$$c > 0$$

$$\int \frac{1}{x^2+c} dx = \frac{\text{atan}\left(\frac{x}{\sqrt{c}}\right)}{\sqrt{c}}$$

例 16  $\int \frac{1}{x^2+c} dx$

```
forget(c>0);
assume(c<0);
'integrate(EQ,x)=integrate(EQ,x);
```

$$c < 0$$

$$\int \frac{1}{x^2+c} dx = \frac{\log\left(\frac{2x-2\sqrt{-c}}{2x+2\sqrt{-c}}\right)}{2\sqrt{-c}}$$

例 17  $\int \frac{1}{x^3+a^3} dx$

```
EQ: 1/(x^3+a^3);
'integrate(EQ,x)=integrate(EQ,x);
```

$$\int \frac{1}{x^3+a^3} dx = -\frac{\log(x^2-ax+a^2)}{6a^2} + \frac{\text{atan}\left(\frac{2x-a}{\sqrt{3}a}\right)}{\sqrt{3}a^2} + \frac{\log(x+a)}{3a^2}$$

例 18  $\int \sqrt{x^2 + c} dx$

```
EQ:sqrt(x^2+c);
'integrate(EQ,x)=integrate(EQ,x);
```

$$\int \sqrt{x^2 + c} dx = \frac{c \log(2\sqrt{x^2 + c} + 2x)}{2} + \frac{x\sqrt{x^2 + c}}{2}$$

例 19  $\int \sqrt{a^2 - x^2} dx$

```
EQ:sqrt(a^2-x^2);
'integrate(EQ,x)=integrate(EQ,x);
```

$$\int \sqrt{a^2 - x^2} dx = \frac{a^2 \operatorname{asin}\left(\frac{x}{|a|}\right)}{2} + \frac{x\sqrt{a^2 - x^2}}{2}$$

例 20  $\int \frac{1}{\sqrt{a^2 - x^2}} dx$

```
EQ:1/sqrt(a^2-x^2);
'integrate(EQ,x)=integrate(EQ,x);
```

$$\int \frac{1}{\sqrt{a^2 - x^2}} dx = \operatorname{asin}\left(\frac{x}{|a|}\right)$$

例 21  $\int \frac{1}{\sqrt{x^2 - a^2}} dx$

```
EQ:1/sqrt(x^2-a^2);
'integrate(EQ,x)=integrate(EQ,x);
```

$$\int \frac{1}{\sqrt{x^2 - a^2}} dx = \log\left(2\sqrt{x^2 - a^2} + 2x\right)$$

### 2.3.3 定積分

定積分の例題を下記に示す。

例 1  $\int_0^1 (1-x)^{p-1} x dx$

```
EQ:(1-x)^(p-1)*x;
assume(p>0);
'integrate(EQ,x,0,1)=integrate(EQ,x,0,1);
```

$$p > 0$$

$$\int_0^1 (1-x)^{p-1} x dx = \frac{1}{p^2 + p}$$

例 2  $\int_0^1 e^{-px} dx$

```
EQ:%e^(-p*x);
assume(p>0);
'integrate(EQ,x,0,1)=integrate(EQ,x,0,1);
```

$$\int_0^1 e^{-px} dx = \frac{1}{p} - \frac{e^{-p}}{p}$$

例 3  $\int_0^1 \log(1-x) \log(x) dx$

```
EQ:log(x)*log(1-x);
'integrate(EQ,x,0,1)=integrate(EQ,x,0,1);
```

$$\int_0^1 \log(1-x) \log(x) dx = -\frac{\pi^2 - 12}{6}$$

例 4  $\int_0^1 x \sin(\alpha x) dx$

```
EQ:x*sin(\alpha*x);
'integrate(EQ,x,0,1)=integrate(EQ,x,0,1);
```

$$\int_0^1 x \sin(\alpha x) dx = \frac{\sin(\alpha) - \alpha \cos(\alpha)}{\alpha^2}$$

例 5  $\int_0^1 \alpha \sin(\alpha x) dx$

```
EQ:asin(\alpha*x);
'integrate(EQ,x,0,1)=integrate(EQ,x,0,1);
```

$$\int_0^1 \alpha \sin(\alpha x) dx = \frac{\alpha \sin(\alpha) + \sqrt{1 - \alpha^2}}{\alpha} - \frac{1}{\alpha}$$

例 6  $\int_0^{\frac{\pi}{2}} e^{2x} \sin(x)^2 dx$

```
EQ:%e^(2*x)*(sin(x))^2;
'integrate(EQ,x,0,%pi/2)
=integrate(EQ,x,0,%pi/2);
```

$$\int_0^{\frac{\pi}{2}} e^{2x} \sin(x)^2 dx = \frac{3e^{\pi}}{8} - \frac{1}{8}$$

例 7  $\int_0^{\infty} \frac{1}{e^{px} + 1} dx$

```
EQ:1/(1+%e^(p*x));
'integrate(EQ,x,0,inf)
=integrate(EQ,x,0,inf);
```

$$\int_0^{\infty} \frac{1}{e^{px} + 1} dx = \frac{\log(2)}{p}$$

例 8  $\int_0^{\infty} e^{-p^2 x^2} dx$

```
EQ:%e^(-p^2*x^2);
'integrate(EQ,x,0,inf)
=integrate(EQ,x,0,inf);
```

$$\int_0^{\infty} e^{-p^2 x^2} dx = \frac{\sqrt{\pi}}{2p}$$

例 9  $\int_0^{\infty} \frac{\sin(px)}{x} dx$

```
EQ:sin(p*x)/x;
'integrate(EQ,x,0,inf)
=integrate(EQ,x,0,inf);
```

$$\int_0^{\infty} \frac{\sin(px)}{x} dx = \frac{\pi}{2}$$

## 第3章 常微分方程式

### 3.1 Maxima の微分方程式

#### 3.1.1 *desolve* 関数

微分方程式の解は *desolve* 関数で得られる。この関数は連立微分方程式を解く場合に有効である。実行方法は下記の要領で行う。まず、*atvalue* 関数で初期値を与え、*desolve* 関数で解く。ここで関数型として *depends* で定義した関数は使用できず、 $y(x)$  の型が要求される。

*atvalue*(関数, 変数の初期値, 関数の初期値)

*desolve*([微分方程式<sub>1</sub>, 微分方程式<sub>2</sub>, ...],  
[変数<sub>1</sub>, 変数<sub>2</sub>, ...])

例題を下記に示す。

```
kill(all);
EQ1:diff(y(x),x,2)+2*y(x)+z(x)=0;
EQ2:y(x)+diff(z(x),x,2)+2*z(x)=0;
atvalue(y(x),x=0,1);
atvalue(diff(y(x),x,1),x=0,0);
atvalue(z(x),x=0,2);
atvalue(diff(z(x),x,1),x=0,0);
desolve([EQ1,EQ2],[y(x),z(x)]);
```

$$\begin{aligned} \frac{d^2}{dx^2} y(x) + z(x) + 2y(x) &= 0 \\ \frac{d^2}{dx^2} z(x) + 2z(x) + y(x) &= 0 \\ [y(x) &= \frac{3 \cos(\sqrt{3}x)}{2} - \frac{\cos(x)}{2}, \\ z(x) &= \frac{3 \cos(\sqrt{3}x)}{2} + \frac{\cos(x)}{2}] \end{aligned}$$

*atvalue* 関数で初期値を与えないと下記となる。

```
kill(all);
EQ1:diff(y(x),x,2)+2*y(x)+z(x)=0;
EQ2:y(x)+diff(z(x),x,2)+2*z(x)=0;
desolve([EQ1,EQ2],[y(x),z(x)]);
```

$$\begin{aligned} \frac{d^2}{dx^2} y(x) + z(x) + 2y(x) &= 0 \\ \frac{d^2}{dx^2} z(x) + 2z(x) + y(x) &= 0 \\ [y(x) &= \frac{\sin(\sqrt{3}x) \left( \frac{d}{dx} z(x) \Big|_{x=0} + \frac{d}{dx} y(x) \Big|_{x=0} \right)}{2\sqrt{3}} \\ &+ \frac{\sin(x) \left( \frac{d}{dx} y(x) \Big|_{x=0} - \frac{d}{dx} z(x) \Big|_{x=0} \right)}{2} \\ &+ \frac{(z(0) + y(0)) \cos(\sqrt{3}x)}{2} \\ &- \frac{(z(0) - y(0)) \cos(x)}{2}, \\ z(x) &= \frac{\sin(\sqrt{3}x) \left( \frac{d}{dx} z(x) \Big|_{x=0} + \frac{d}{dx} y(x) \Big|_{x=0} \right)}{2\sqrt{3}} \\ &+ \frac{\sin(x) \left( \frac{d}{dx} z(x) \Big|_{x=0} - \frac{d}{dx} y(x) \Big|_{x=0} \right)}{2} \\ &+ \frac{(z(0) + y(0)) \cos(\sqrt{3}x)}{2} \\ &+ \frac{(z(0) - y(0)) \cos(x)}{2}] \end{aligned}$$



## 3.1.2 ode2 関数

微分方程式の解は *ode2* 関数で得られる。この関数は広範囲の一階・二階微分方程式を解く場合に有効である。実行方法は下記の要領で行う。*ode2* 関数で一般解を求めた後、*bc2*, *ic1*, *ic2* 関数で境界値問題を解く。関数の形として、*depends* 関数や  $y(x)$  の形でも解ける。

*ode2*(微分方程式, 関数, 変数)

一階微分方程式の境界値問題に対して、

*ic1*(*ode2* で得られた解, 変数の境界値, 関数の境界値)

二階微分方程式の境界値問題に対して、

*ic2*(*ode2* で得られた解, 変数の境界値,  
関数の境界値, 微分関数の境界値)

または、

*bc2*(*ode2* で得られた解, 変数の境界値<sub>1</sub>,  
関数の境界値<sub>1</sub>, 変数の境界値<sub>2</sub>, 関数の境界値<sub>2</sub>)

例題を下記に示す。

一階微分方程式の場合

```
kill(all);
EQ: diff(y(x),x,1)=-(x-C)/y(x);
ANS:ode2(EQ,y(x),x);
ANS1:ic1(ANS,x=0,y(x)=1);
```

下記に出力結果を示す。 $y(x)$  の関数形で解は得られるが、境界条件を *ic1* で求めた結果は満足ではない。

$$\frac{d}{dx} y(x) = \frac{C-x}{y(x)}$$

$$\frac{y(x)^2}{2} = \frac{2xC - x^2}{2} + \%c$$

$$\frac{y(x)^2}{2} = \frac{2xC - x^2 + y(0)^2}{2}$$

```
kill(all);
depends(y,x);
EQ: diff(y,x,1)=-(x-C)/y;
ANS:ode2(EQ,y,x);
ANS1:ic1(ANS,x=0,y=1);
```

下記に *depends* を使った関数形の出力結果を示す。境界条件を *ic1* で求めた結果は満足できる。

$[y(x)]$

$$\frac{d}{dx} y = \frac{C-x}{y}$$

$$\frac{y^2}{2} = \frac{2xC - x^2}{2} + \%c$$

$$\frac{y^2}{2} = \frac{2xC - x^2 + 1}{2}$$

二階微分方程式の場合

```
kill(all);
EQ:x^2*diff(y(x),x,2)+x*diff(y(x),x,1)
-4*y(x)=0;
ANS:ode2(EQ,y(x),x);
ANS1:ic2(ANS,x=1,y(x)=1,diff(y(x),x,1)=0);
ANS2:bc2(ANS,x=1,y(x)=0,x=2,y(x)=1);
```

下記に出力結果を示す。 $y(x)$  の関数形で解は得られるが、境界条件を *ic2*, *bc2* で求めた結果は満足ではない。

$$x^2 \left( \frac{d^2}{dx^2} y(x) \right) + x \left( \frac{d}{dx} y(x) \right) - 4y(x) = 0$$

$$y(x) = \%k1 x^2 + \frac{\%k2}{x^2}$$

$$y(x) = \frac{y(1) x^2}{2} + \frac{y(1)}{2x^2}$$

$$y(x) = \frac{16y(1) - 4y(2)}{15x^2} - \frac{(y(1) - 4y(2)) x^2}{15}$$

```
kill(all);
depends(y,x);
EQ:x^2*diff(y,x,2)+x*diff(y,x,1)
-4*y=0;
ANS:ode2(EQ,y,x);
ANS1:ic2(ANS,x=1,y=1,diff(y,x,1)=0);
ANS2:bc2(ANS,x=1,y=0,x=2,y=1);
```

下記に *depends* を使った関数形の出力結果を示す。境界条件を *ic2*, *bc2* で求めた結果は満足できる。

$[y(x)]$

$$x^2 \left( \frac{d^2}{dx^2} y \right) + x \left( \frac{d}{dx} y \right) - 4y = 0$$

$$y = \%k1 x^2 + \frac{\%k2}{x^2}$$

$$y = \frac{x^2}{2} + \frac{1}{2x^2}$$

$$y = \frac{4x^2}{15} - \frac{4}{15x^2}$$

### 3.1.3 微分方程式の数値解：rk 関数

ルンゲ・クッタ法で微分方程式を *rk* 関数で数値解析する。ルンゲ・クッタ法であるから、微分方程式を左辺が一階微分の形、右辺が独立変数と従属変数にだけ依存する式で表す。ここで独立変数は  $x(t)$  の形は扱えない。実行する前に、ルンゲ・クッタ法のプログラムをロードする必要があるので、`load("dynamics");` を入力する。実行方法は下記のとおりで行う。

```
rk([微分方程式の右辺1, 微分方程式の右辺2, ...],
   [従属変数1, 従属変数2, ...],
   [従属変数初期値1, 従属変数初期値2, ...],
   [独立変数, 独立変数初期値, 独立変数終値,
    独立変数数値解析間隔])
```

例題を下記に示す。

$$\frac{d}{dt}x = -4y^2 - x^2 + 4$$

$$\frac{d}{dt}y = y^2 - x^2 + 1$$

の場合、

```
kill(all);
EQ1: 'diff(x,t)=4-x^2-4*y^2;
EQ2: 'diff(y,t)=y^2-x^2+1;
load("dynamics");
sol:rk([rhs(EQ1),rhs(EQ2)], [x,y],
       [-1.25,0.75], [t,0,4,0.02]);
```

$$\frac{d}{dt}x = -4y^2 - x^2 + 4$$

$$\frac{d}{dt}y = y^2 - x^2 + 1$$

結果は *sol* にリストの形式で出力される。

```
kill(all);
depends(x, [t]);
EQ1: 'diff(x,t,2)=-sin(t);
ode2(EQ1,x,t);
EQ11: ic2(%,t=0,x=0,diff(x,t,1)=0);
Tmax:3;
dT:0.03;
Nplot:fix(Tmax/dT);
load("dynamics");
P[0]:0;
sol:rk([y,rhs(EQ1)], [x,y], [P[0],0],
       [t,0,Tmax,dT]);
list12: [[sol[1][1],sol[1][2]]];
for J:2 thru Nplot do(list12:append(list12,
                                     [[sol[J][1],sol[J][2]]]);
plot2d([rhs(EQ11), [discrete,list12]],
       [t,0,4], [legend, "sin(t)-t", "rk"],
       [style, [lines,4,1], [lines,4,2]]);
```

$$\frac{d^2}{dt^2}x = -\sin(t)$$

の場合、下記のとおり1階連立微分方程式に置き換えて解く。

$$\frac{d}{dt}x = y$$

$$\frac{d}{dt}y = -\sin(t)$$

数値解：*rk* 関数で解いた結果と解析解の比較を下記に示す。当然ながらよく一致している。

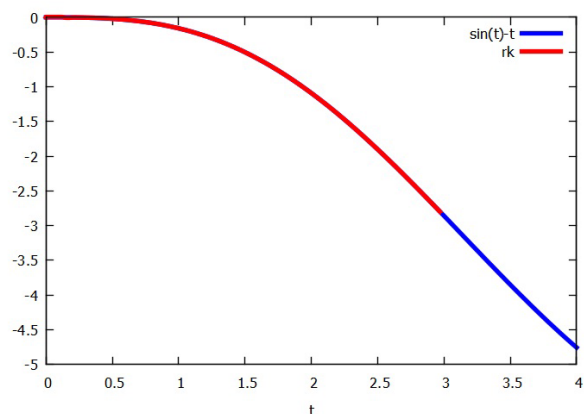


図 3.1.1: 数値解と解析解

## 3.2 一階微分方程式

$$\frac{e^{2y} + 2e^x}{2} = \%c$$

## 3.2.1 変数分離形

$$\frac{d}{dx} y = f(x)g(y)$$

の形の微分方程式を変数分離型という。以下に Maxima で解いた結果を示す。下記の結果から、desolve 関数では一部の簡単な問題は解けるが、他はうまく解けなかった。一方、ode2 関数では、全てよい結果が得られた。例題を下記に示す。

```
kill(all);
depends(y, [x]);
EQ: diff(y,x,1)=y;
ode2(EQ,y,x);
```

$$[y(x)]$$

$$\frac{d}{dx} y = y$$

$$y = \%c e^x$$

```
EQ: diff(y,x,1)=x-y;
ode2(EQ,y,x);
```

$$\frac{d}{dx} y = x - y$$

$$y = e^{-x} ((x - 1) e^x + \%c)$$

```
EQ: diff(y,x,1)=cot(y)/tan(x);
ode2(EQ,y,x);
```

$$\frac{d}{dx} y = \frac{\cot(y)}{\tan(x)}$$

$$-\frac{\log(1 - \sin(y)^2)}{2} = \log(\sin(x)) + \%c$$

```
EQ: diff(y,x,1)=1/(x*(x+1));
ode2(EQ,y,x);
```

$$\frac{d}{dx} y = \frac{1}{x(x+1)}$$

$$y = -\log(x+1) + \log(x) + \%c$$

```
EQ:%e^(2*x-y)+%e^(x+y) *diff(y,x,1)=0;
ode2(EQ,y,x);
```

$$e^{y+x} \left( \frac{d}{dx} y \right) + e^{2x-y} = 0$$

```
EQ: cos(x)*sin(y)*diff(y,x,1)
=sin(x)*cos(y);
ode2(EQ,y,x);
```

$$\cos(x) \sin(y) \left( \frac{d}{dx} y \right) = \sin(x) \cos(y)$$

$$-\log(\cos(y)) = \%c - \log(\cos(x))$$

```
EQ:diff(y,x,1)=(-x-C)/y;
ode2(EQ,y,x);
```

$$\frac{d}{dx} y = \frac{C-x}{y}$$

$$\frac{y^2}{2} = \frac{2xC - x^2}{2} + \%c$$

```
assume(G>0);
assume(K>0);
EQ:M*diff(v(t),t,1)=-K*v(t)^2-G;
ode2(EQ,v(t),t);
```

$$[G > 0]$$

$$[K > 0]$$

$$\left( \frac{d}{dt} v(t) \right) M = -v(t)^2 K - G$$

$$-\frac{\operatorname{atan}\left(\frac{v(t)\sqrt{K}}{\sqrt{G}}\right) M}{\sqrt{G}\sqrt{K}} = t + \%c$$

## 3.2.2 同次形

$$\frac{d}{dx} y = f\left(\frac{y}{x}\right)$$

の形の微分方程式を同次形という。以下に Maxima で解いた結果を示す。下記の結果から、desolve 関数では全く解けなかった。一方、ode2 関数では、一部タイプの式で解けなかった。しかし、例題に示すように変数変換を行えば解くことができる。例題を下記に示す。

```
kill(all);
depends(y, [x]);
depends(u, [x]);
EQ: (x^3+y^3)-3*x*y^2*diff(y,x,1)=0;
ode2(EQ,y,x);
```

$$-3xy^2 \left(\frac{d}{dx} y\right) + y^3 + x^3 = 0$$

$$-\frac{2y^3 - x^3}{2x} = \%c$$

```
EQ: 2*x*y*diff(y,x,1)=- (x^2-y^2);
ode2(EQ,y,x);
```

$$2xy \left(\frac{d}{dx} y\right) = y^2 - x^2$$

$$-\frac{x}{y^2 + x^2} = \%c$$

```
EQ: (3*x+4*y+1)*diff(y,x,1)=- (2*x+3*y+1);
ode2(EQ,y,x);
```

$$(4y + 3x + 1) \left(\frac{d}{dx} y\right) = -3y - 2x - 1$$

$$2y^2 + (3x + 1)y + x^2 + x = \%c$$

```
EQ: y*(1-x*y+x^2*y^2)+x*(x^2*y^2+x*y)
*diff(y,x,1)=0;
ode2(EQ,y,x);
ANS1: %^4;
```

$$x(x^2y^2 + xy) \left(\frac{d}{dx} y\right) + y(x^2y^2 - xy + 1) = 0$$

$$x = \%c e^{\frac{3 \log(2xy-1) + 2xy}{4}}$$

$$x^4 = \%c^4 (2xy - 1)^3 e^{2xy}$$

```
EQ: x*y^2*diff(y,x,1)=x^3+y^3;
ode2(EQ,y,x);
```

$$xy^2 \left(\frac{d}{dx} y\right) = y^3 + x^3$$

$$\frac{y^3 - 3x^3 \log(x)}{3x^3} = \%c$$

```
EQ: diff(y,x,1)=((x-y-1)/(2*x-2*y+1))^2;
FYU: y=u+x;
FUY: solve(FYU,u) [1];
subst([FYU],EQ);
ev(% ,diff);
ode2(% ,u,x);
subst([FUY],%);
```

$$\frac{d}{dx} y = \frac{(-y + x - 1)^2}{(-2y + 2x + 1)^2}$$

このままでは解けないので、下記の変換を行って解く。

$$y = x + u$$

$$u = y - x$$

$$\frac{d}{dx} (x + u) = \frac{(-u - 1)^2}{(-2(x + u) + 2x + 1)^2}$$

$$\frac{d}{dx} u + 1 = \frac{(-u - 1)^2}{(-2(x + u) + 2x + 1)^2}$$

$$\frac{\log(u) - 9 \log(u - 2) - 8u}{6} = x + \%c$$

$$\frac{\log(y - x) - 9 \log(y - x - 2) - 8(y - x)}{6} = x + \%c$$

```
EQ: (x+y)+(3*x+3*y-4)*diff(y,x,1)=0;
FYU: y=u-x;
FUY: solve(FYU,u) [1];
subst([FYU],EQ);
ev(% ,diff);
ode2(% ,u,x);
subst([FUY],%);
```

$$(3y + 3x - 4) \left(\frac{d}{dx} y\right) + y + x = 0$$

このままでは解けないので、下記の変換を行って解く。

$$y = u - x$$

$$u = y + x$$

$$\left(\frac{d}{dx} (u - x)\right) (3x + 3(u - x) - 4) + u = 0$$

$$\left(\frac{d}{dx} u - 1\right) (3x + 3(u - x) - 4) + u = 0$$

$$\frac{2 \log(u - 2) + 3u}{2} = x + \%c$$

$$\frac{2 \log(y + x - 2) + 3(y + x)}{2} = x + \%c$$

## 3.2.3 線形

$$\frac{d}{dx} y + P(x)y = Q(x)$$

の形の微分方程式を一階線形微分方程式という。以下に Maxima で解いた結果を示す。下記の結果から、`desolve` 関数では全く解けなかった。一方、`ode2` 関数ではよい結果が得られた。例題を下記に示す。

```
kill(all);
depends(y, [x]);
diff(y, x, 1) + P(x)*y = Q(x);
EQ: diff(y, x, 1) - y/x = x*%e^x;
ode2(EQ, y, x);
```

$$\frac{d}{dx} y - \frac{y}{x} = x e^x$$

$$y = x (e^x + \%c)$$

```
EQ: 2*x*diff(y, x, 1) + y = 2*x^2;
ode2(EQ, y, x);
```

$$2x \left( \frac{d}{dx} y \right) + y = 2x^2$$

$$y = e^{-\frac{\log(x)}{2}} \left( \frac{2e^{\frac{5\log(x)}{2}}}{5} + \%c \right)$$

```
EQ: diff(y, x, 1) + y = %e^x;
ode2(EQ, y, x);
```

$$\frac{d}{dx} y + y = e^x$$

$$y = e^{-x} \left( \frac{e^{2x}}{2} + \%c \right)$$

## 3.2.4 Bernoulli の方程式

$$\frac{d}{dx} y + P(x)y = Q(x)y^n$$

の形の微分方程式を一階線形微分方程式 Bernoulli の方程式という。以下に Maxima で解いた結果を示す。下記の結果から、`desolve` 関数では全く解けなかった。一方、`ode2` 関数では、よい結果が得られた。例題を下記に示す。

```
diff(y, x, 1) + P(x)*y = Q(x)*y^n;
EQ: x*diff(y, x, 1) + y = y^2*log(x);
ode2(EQ, y, x);
```

$$x \left( \frac{d}{dx} y \right) + y = \log(x) y^2$$

$$y = \frac{1}{x \left( \frac{\log(x)}{x} + \frac{1}{x} + \%c \right)}$$

```
EQ: diff(y, x, 1) - y/x = A*(A-x)/y/x;
ode2(EQ, y, x);
```

$$\frac{d}{dx} y - \frac{y}{x} = \frac{A(A-x)}{xy}$$

$$-\frac{A^2 - 2xA + y^2}{2x^2} = \%c$$

## 3.2.5 Riccati の方程式

$$\frac{d}{dx} y + P(x) + Q(x)y + R(x)y^2 = 0$$

の形の微分方程式を一階線形微分方程式 Riccati の方程式という。以下に Maxima で解いた結果を示す。下記の結果から、desolve 関数では全く解けなかった。一方、ode2 関数では、よい結果が得られた。例題を下記に示す。

```
diff(y,x,1)+P(x)+Q(x)*y+R(x)*y^2=0;
EQ:diff(y,x,1)+4*x/(2*x^2-x)
-(1+4*x)/(2*x^2-x)*y
+1/(2*x^2-x)*y^2=0;
ode2(EQ,y,x);
```

$$\frac{d}{dx} y + \frac{y^2}{2x^2 - x} + \frac{(-4x - 1)y}{2x^2 - x} + \frac{4x}{2x^2 - x} = 0$$

$$\frac{xy - 2x^2}{y - 1} = \%c$$

```
EQ:diff(y,x,1)+(x-2)/(x-x^2)*y
+1/(x^2-x^3)*y^2=0;
ode2(EQ,y,x);
ratsimp(%);
```

$$\frac{d}{dx} y + \frac{y^2}{x^2 - x^3} + \frac{(x - 2)y}{x - x^2} = 0$$

$$y = \frac{(x - 1) e^{-2(\log(x-1) - \log(x))}}{\frac{2x-1}{2x^2-4x+2} - \frac{1}{2x^2-4x+2}} + \%c$$

$$y = \frac{x^2}{\%cx - \%c + 1}$$

```
EQ: diff(y,x,1)=(y-1)*(x/(x-1)-y);
ode2(EQ,y,x);
ANS:solve(%,y)[1];
```

$$\frac{d}{dx} y = \left( \frac{x}{x-1} - y \right) (y - 1)$$

$$\frac{(x^2 - 2x)y - x^2 + 2}{2y - 2} = \%c$$

$$y = \frac{x^2 - 2\%c - 2}{x^2 - 2x - 2\%c}$$

## 3.2.6 完全微分方程式

$$Q(x, y) \left( \frac{d}{dx} y \right) + P(x, y) = 0$$

が、ある関数  $u(x, y)$  に対して

$$P(x, y) = \frac{d}{dx} u(x, y)$$

$$Q(x, y) = \frac{d}{dy} u(x, y)$$

以上から、下記の関係が得られ、

$$\frac{d}{dy} P(x, y) = \frac{d}{dx} Q(x, y)$$

上式が成立するとき、完全微分方程式という。ode2 関数では、よい結果が得られた。例題を下記に示す。

```
kill(all);
depends(y, [x]);
Q(x,y)*diff(y,x,1)+P(x,y)=0;
P(x,y)=diff(u(x,y),x,1);
Q(x,y)=diff(u(x,y),y,1);
EQ: (7*x-3*y+2)+(4*y-3*x-5)*diff(y,x,1)=0;
ode2(EQ,y,x);
```

$$(4y - 3x - 5) \left( \frac{d}{dx} y \right) - 3y + 7x + 2 = 0$$

$$\frac{4y^2 + (-6x - 10)y + 7x^2 + 4x}{2} = \%c$$

```
EQ: (x^3+5*x*y^2)+(5*x^2*y+2*y^3)
*diff(y,x,1)=0;
ode2(EQ,y,x);
solve(%,y);
%[1];
subst(%,EQ);
ev(%,diff);
factor(%);
```

$$(2y^3 + 5x^2y) \left( \frac{d}{dx} y \right) + 5xy^2 + x^3 = 0$$

$$\frac{2y^4 + 10x^2y^2 + x^4}{4} = \%c$$

## 3.2.7 高次微分方程式

微分方程式を  $p = \frac{d}{dx}y(x)$  で置き換え、 $p$  の 2 次以上の高次方程式となる場合、因数分解できると下記のように一般解が得られる。置き換えを行わず、Maxima で直接解くと、`desolve` 関数では不明な解が、`ode2` 関数では「first order equation not linear in y'」の表示が出て解けない。上記に示した方法をプログラムすると解くことができる。例題を下記に示す。

```
kill(all);
depends(y, [x]);
EQ: diff(y,x,1)^2-(2*x+3*y)*diff(y,x,1)
+6*x*y=0;
ode2(EQ,y,x);
subst(p,diff(y,x,1),EQ);
PP:solve(%,p);
EQ1:subst(diff(y,x,1),p,PP[1]);
EQ2:subst(diff(y,x,1),p,PP[2]);
ANS1:ode2(EQ1,y,x);
ANS2:ode2(EQ2,y,x);
ANS:(lhs(ANS1)-rhs(ANS1))*(lhs(ANS2)
-rhs(ANS2))=0;
```

$$\left(\frac{d}{dx}y\right)^2 - (3y + 2x)\left(\frac{d}{dx}y\right) + 6xy = 0$$

$$\frac{d}{dx}y = p$$

上記の置き換えを行うと、微分方程式は、

$$-p(3y + 2x) + 6xy + p^2 = 0$$

$p$  を求め、

$$[p = 3y, p = 2x]$$

微分方程式とすると、

$$\frac{d}{dx}y = 3y$$

$$\frac{d}{dx}y = 2x$$

これを `ode2` 関数で解いて、

$$y = \%c e^{3x}$$

$$y = x^2 + \%c1$$

まとめると、

$$(y - x^2 - \%c1)(y - \%c e^{3x}) = 0$$

```
EQ: x^2*diff(y,x,1)^2+3*x*y*diff(y,x,1)
+2*y^2=0;
ode2(EQ,y,x);
subst(p,diff(y,x,1),EQ);
PP:solve(%,p);
EQ1:subst(diff(y,x,1),p,PP[1]);
EQ2:subst(diff(y,x,1),p,PP[2]);
ANS1:ode2(EQ1,y,x);
ANS2:ode2(EQ2,y,x);
ANS:(lhs(ANS1)-rhs(ANS1))*(lhs(ANS2)
-rhs(ANS2))=0;
```

$$x^2 \left(\frac{d}{dx}y\right)^2 + 3xy \left(\frac{d}{dx}y\right) + 2y^2 = 0$$

$$\frac{d}{dx}y = p$$

上記の置き換えを行うと、微分方程式は、

$$2y^2 + 3pxy + p^2x^2 = 0$$

$p$  を求め、

$$[p = -\frac{2y}{x}, p = -\frac{y}{x}]$$

微分方程式とすると、

$$\frac{d}{dx}y = -\frac{2y}{x}$$

$$\frac{d}{dx}y = -\frac{y}{x}$$

これを `ode2` 関数で解いて、

$$y = \frac{\%c}{x^2}$$

$$y = \frac{\%c1}{x}$$

まとめると、

$$\left(y - \frac{\%c}{x^2}\right) \left(y - \frac{\%c1}{x}\right) = 0$$

### 3.2.8 Clairaut の微分方程式

微分方程式を  $p = \frac{d}{dx}y(x)$  で置き換え、 $p$  の2次以上の高次方程式となり、

$$y = px + f(p) \quad (3.2.1)$$

の形で表現できるとき Clairaut の微分方程式という。これを Maxima で直接解こうとすると、下記のようにプログラミングすると解くことができる。例題を下記に示す。

```
kill(all);
depends(y, [x]);
depends(p, [x]);
depends(f, [p]);
EQ:y=x*diff(y,x,1)+2*diff(y,x,1)^2
-diff(y,x,1);
ode2(EQ,y,x);
P1:diff(y,x,1)=p;
EQ1:subst([P1],EQ);
EQ2:diff(EQ1,x,1);
subst([P1],EQ2);
P2:ode2(%,p,x);
EQ3:subst([P2],EQ1);
diff(%,%c,1);
C1:solve(%,%c)[1];
subst([C1],EQ3);
factor(%)
```

$$y = 2 \left( \frac{d}{dx}y \right)^2 + x \left( \frac{d}{dx}y \right) - \frac{d}{dx}y \quad (3.2.2)$$

ode2 関数で解けない。そこで、

$$\frac{d}{dx}y = p$$

上式を (3.2.2) 式に代入し、

$$y = px + 2p^2 - p \quad (3.2.3)$$

これを  $x$  で微分し、

$$p = \left( \frac{d}{dx}p \right) x + 4p \left( \frac{d}{dx}p \right) - \frac{d}{dx}p + p$$

ode2 関数で解くと、

$$p = \%c$$

上式を (3.2.3) 式に代入し、一般解は、

$$y = \%cx + 2\%c^2 - \%c \quad (3.2.4)$$

$\%c$  で微分し、

$$0 = x + 4\%c - 1$$

$\%c$  を求め、

$$\%c = -\frac{x-1}{4}$$

上式を (3.2.4) 式に代入し、整理すると、特異解は、

$$y = -\frac{(x-1)^2}{8}$$

```
EQ:y=x*diff(y,x,1)-diff(y,x,1)^2;
ode2(EQ,y,x);
P1:diff(y,x,1)=p;
EQ1:subst([P1],EQ);
EQ2:diff(EQ1,x,1);
subst([P1],EQ2);
P2:ode2(%,p,x);
EQ3:subst([P2],EQ1);
diff(%,%c,1);
C1:solve(%,%c)[1];
subst([C1],EQ3);
factor(%)
```

$$y = x \left( \frac{d}{dx}y \right) - \left( \frac{d}{dx}y \right)^2 \quad (3.2.5)$$

ode2 関数で解けない。そこで、

$$\frac{d}{dx}y = p$$

上式を (3.2.5) 式に代入し、

$$y = px - p^2 \quad (3.2.6)$$

これを  $x$  で微分し、

$$p = \left( \frac{d}{dx}p \right) x - 2p \left( \frac{d}{dx}p \right) + p$$

ode2 関数で解くと、

$$p = \%c$$

上式を (3.2.6) 式に代入し、一般解は、

$$y = \%cx - \%c^2 \quad (3.2.7)$$

$\%c$  で微分し、

$$0 = x - 2\%c$$

$\%c$  を求め、

$$\%c = \frac{x}{2}$$

上式を (3.2.7) 式に代入し、整理すると、特異解は、

$$y = \frac{x^2}{4}$$



```

EQ:y=x*diff(y,x,1)+diff(y,x,1)
-diff(y,x,1)^2;
ode2(EQ,y,x);
P1:diff(y,x,1)=p;
EQ1:subst([P1],EQ);
EQ2:diff(EQ1,x,1);
subst([P1],EQ2);
P2:ode2(%,p,x);
EQ3:subst([P2],EQ1);
diff(%,%c,1);
C1:solve(%,%c)[1];
subst([C1],EQ3);
factor(%);

```

$$y = -\left(\frac{d}{dx}y\right)^2 + x\left(\frac{d}{dx}y\right) + \frac{d}{dx}y \quad (3.2.8)$$

ode2 関数で解けない。そこで、

$$\frac{d}{dx}y = p$$

上式を (3.2.8) 式に代入し、

$$y = px - p^2 + p \quad (3.2.9)$$

これを  $x$  で微分し、

$$p = \left(\frac{d}{dx}p\right)x - 2p\left(\frac{d}{dx}p\right) + \frac{d}{dx}p + p$$

ode2 関数で解くと、

$$p = \%c$$

上式を (3.2.9) 式に代入し、一般解は、

$$y = \%cx - \%c^2 + \%c \quad (3.2.10)$$

$\%c$  で微分し、

$$0 = x - 2\%c + 1$$

$\%c$  を求め、

$$\%c = \frac{x+1}{2}$$

上式を (3.2.10) 式に代入し、整理すると、特異解は、

$$y = \frac{(x+1)^2}{4}$$

### 3.2.9 広義の Clairaut(Lagrange) の微分方程式

微分方程式を  $p = \frac{d}{dx}y(x)$  で置き換え、 $p$  の 2 次以上の高次方程式となり、

$$y = f(p)x + g(p)$$

の形で表現できるとき、広義の Clairaut(Lagrange) の微分方程式という。このとき、Maxima で直接解こうとすると、解けない。下記のようにプログラミングすると解くことができる。例題を下記に示す。

```
kill(all);
depends(y, [x]);
depends(p, [x]);
EQ:y=2*x*diff(y,x,1)+diff(y,x,1)^2;
ode2(EQ,y,x);
P1:diff(y,x,1)=p;
EQ1:subst([P1],EQ);
EQ2:diff(EQ1,x,1);
subst([P1],EQ2);
P2:ode2(%,p,x);
solve(EQ1,p)[2];
subst(%,P2);
expand(%)
```

$$y = \left(\frac{d}{dx}y\right)^2 + 2x \left(\frac{d}{dx}y\right) \quad (3.2.11)$$

ode2 関数で解けない。そこで、

$$\frac{d}{dx}y = p$$

上式を (3.2.11) 式に代入し、

$$y = 2px + p^2 \quad (3.2.12)$$

これを  $x$  で微分し、

$$p = 2 \left(\frac{d}{dx}p\right)x + 2p \left(\frac{d}{dx}p\right) + 2p$$

ode2 関数で解くと、

$$-\frac{3p^2x + 2p^3}{3} = \%c \quad (3.2.13)$$

(3.2.12) 式を解いて、

$$p = \sqrt{y + x^2} - x$$

上式を (3.2.13) 式に代入し、整理すると一般解は、

$$-\frac{2(y+x^2)^{\frac{3}{2}}}{3} + xy + \frac{2x^3}{3} = \%c$$

```
EQ:y=x*diff(y,x,1)^2+diff(y,x,1)^2;
ode2(EQ,y,x);
P1:diff(y,x,1)=p;
EQ1:subst([P1],EQ);
EQ2:diff(EQ1,x,1);
subst([P1],EQ2);
P2:ode2(%,p,x);
solve(EQ1,p)[2];
subst(%,P2);
expand(%)
radcan(%)
%^2;
%*(x+1);
```

$$y = x \left(\frac{d}{dx}y\right)^2 + \left(\frac{d}{dx}y\right)^2 \quad (3.2.14)$$

ode2 関数で解けない。そこで、

$$\frac{d}{dx}y = p$$

上式を (3.2.14) 式に代入し、

$$y = p^2x + p^2 \quad (3.2.15)$$

これを  $x$  で微分し、

$$p = 2p \left(\frac{d}{dx}p\right)x + 2p \left(\frac{d}{dx}p\right) + p^2$$

ode2 関数で解くと、

$$p = e^{-\frac{\log(2x+2)}{2}} \left( e^{\frac{\log(2x+2)}{2}} + \%c \right) \quad (3.2.16)$$

(3.2.15) 式を解いて、

$$p = \sqrt{\frac{y}{x+1}}$$

上式を (3.2.16) 式に代入し、整理すると一般解は、

$$\frac{\sqrt{y}}{\sqrt{x+1}} = \frac{\sqrt{2}\sqrt{x+1} + \%c}{\sqrt{2}\sqrt{x+1}}$$

両辺を二乗して、

$$\frac{y}{x+1} = \frac{(\sqrt{2}\sqrt{x+1} + \%c)^2}{2(x+1)}$$

整理すると、

$$y = \frac{(\sqrt{2}\sqrt{x+1} + \%c)^2}{2}$$

### 3.3 二階微分方程式

#### 3.3.1 定数係数線形微分方程式

$$\frac{d^2}{dx^2} y + a_1 \left( \frac{d}{dx} y \right) + a_2 y = F(x)$$

の形の微分方程式を二階定数係数線形微分方程式という。ここで  $a_1, a_2$  は定数とする。ode2 関数では、よい結果が得られる。例題を下記に示す。

```
kill(all);
depends(y, [x]);
EQ:diff(y,x,2)+2*diff(y,x,1)-8*y=0;
ode2(EQ,y,x);
```

$$\frac{d^2}{dx^2} y + 2 \left( \frac{d}{dx} y \right) - 8y = 0$$

$$y = \%k1 e^{2x} + \%k2 e^{-4x}$$

```
EQ:diff(y,x,2)+6*diff(y,x,1)+25*y=0;
ode2(EQ,y,x);
```

$$\frac{d^2}{dx^2} y + 6 \left( \frac{d}{dx} y \right) + 25y = 0$$

$$y = e^{-3x} (\%k1 \sin(4x) + \%k2 \cos(4x))$$

```
EQ:diff(y,x,2)-diff(y,x,1)-6*y=3*x^2-5*x+6;
ode2(EQ,y,x);
```

$$\frac{d^2}{dx^2} y - \frac{d}{dx} y - 6y = 3x^2 - 5x + 6$$

$$y = \%k1 e^{3x} + \%k2 e^{-2x} - \frac{3x^2 - 6x + 8}{6}$$

```
EQ:diff(y,x,2)-2*diff(y,x,1)-8*y=%e^(2*x);
ode2(EQ,y,x);
```

$$\frac{d^2}{dx^2} y - 2 \left( \frac{d}{dx} y \right) - 8y = e^{2x}$$

$$y = \%k1 e^{4x} - \frac{e^{2x}}{8} + \%k2 e^{-2x}$$

```
EQ:diff(y,x,2)+y=cos(x);
ode2(EQ,y,x);
```

$$\frac{d^2}{dx^2} y + y = \cos(x)$$

$$y = \frac{x \sin(x) + \cos(x)}{2} + \%k1 \sin(x) + \%k2 \cos(x)$$

```
EQ:diff(y,x,2)-2*diff(y,x,1)+y=(x^2+1)
*e^(3*x);
ode2(EQ,y,x);
```

$$\frac{d^2}{dx^2} y - 2 \left( \frac{d}{dx} y \right) + y = (x^2 + 1) e^{3x}$$

$$y = \frac{(2x^2 - 4x + 5) e^{3x}}{8} + (\%k2 x + \%k1) e^x$$

```
EQ:diff(y,x,2)-4*diff(y,x,1)+3*y=cos(2*x)
*e^(x);
ode2(EQ,y,x);
```

$$\frac{d^2}{dx^2} y - 4 \left( \frac{d}{dx} y \right) + 3y = e^x \cos(2x)$$

$$y = -\frac{e^x \sin(2x) + e^x \cos(2x)}{8} + \%k1 e^{3x} + \%k2 e^x$$

```
EQ:diff(y,x,2)+4*y=x*sin(x);
ode2(EQ,y,x);
```

$$\frac{d^2}{dx^2} y + 4y = x \sin(x)$$

$$y = \%k1 \sin(2x) + \%k2 \cos(2x) + \frac{3x \sin(x) - 2 \cos(x)}{9}$$

## 3.3.2 同次線形微分方程式

$$x^2 \frac{d^2}{dx^2} y + a_1 x \left( \frac{d}{dx} y \right) + a_2 y = F(x)$$

の形の微分方程式を二階同次線形微分方程式という。ode2関数では、よい結果が得られる。例題を下記に示す。

```
kill(all);
depends(y, [x]);
EQ:x^2*dif(y,x,2)+x*dif(y,x,1)-4*y=0;
ode2(EQ,y,x);
```

$$x^2 \left( \frac{d^2}{dx^2} y \right) + x \left( \frac{d}{dx} y \right) - 4y = 0$$

$$y = \%k1 x^2 + \frac{\%k2}{x^2}$$

```
EQ:x^2*dif(y,x,2)+5*x*dif(y,x,1)+4*y=x^2;
ode2(EQ,y,x);
```

$$x^2 \left( \frac{d^2}{dx^2} y \right) + 5x \left( \frac{d}{dx} y \right) + 4y = x^2$$

$$y = \frac{\%k2 \log(x) + \%k1}{x^2} + \frac{x^2}{16}$$

```
EQ:x^2*dif(y,x,2)-x*dif(y,x,1)+y=log(x);
ode2(EQ,y,x);
```

$$x^2 \left( \frac{d^2}{dx^2} y \right) - x \left( \frac{d}{dx} y \right) + y = \log(x)$$

$$y = x (\%k2 \log(x) + \%k1) + \log(x) + 2$$

```
EQ:(2*x+3)^2*dif(y,x,2)-2*(2*x+3)
*dif(y,x,1)-12*y=4*x+10;
ode2(EQ,y,x);
```

$$(2x+3)^2 \left( \frac{d^2}{dx^2} y \right) - 2(2x+3) \left( \frac{d}{dx} y \right) - 12y = 4x+10$$

$$y = -\frac{\%k1(2x+3)^3}{128x^4 + 768x^3 + 1728x^2 + 1728x + 648} + \%k2(2x+3)^3 - \frac{24x^2 + 104x + 39}{96x + 144}$$

3.3.3  $F\left(x, \frac{d}{dx} y, \frac{d^2}{dx^2} y\right)$  の微分方程式

$F\left(x, \frac{d}{dx} y, \frac{d^2}{dx^2} y\right)$  の二階微分方程式について、ode2関数では、よい結果が得られた。例題を下記に示す。

```
kill(all);
depends(y, [x]);
EQ:x*dif(y,x,2)+dif(y,x,1)=4*x;
ode2(EQ,y,x);
```

$$x \left( \frac{d^2}{dx^2} y \right) + \frac{d}{dx} y = 4x$$

$$y = \%k1 \log(x) + x^2 + \%k2$$

```
EQ:(x+1)*dif(y,x,2)-2*dif(y,x,1)=(x+1)^4;
ode2(EQ,y,x);
```

$$(x+1) \left( \frac{d^2}{dx^2} y \right) - 2 \left( \frac{d}{dx} y \right) = (x+1)^4$$

$$y = \%k2(x+1)^3 + \frac{3x^5 + 15x^4 + 25x^3 + 15x^2}{30} - \frac{\%k1}{3}$$

```
EQ:x^2/A-(A^2*dif(y,x,1))/x+(A^2-x^2)
*dif(y,x,2)=0;
ode2(EQ,y,x);
```

$$\left( \frac{d^2}{dx^2} y \right) (A^2 - x^2) - \frac{\left( \frac{d}{dx} y \right) A^2}{x} + \frac{x^2}{A} = 0$$

$$y = \frac{\%k1 A \sqrt{x^2 - A^2} + \frac{x^2}{2}}{A} + \%k2$$

3.3.4  $F\left(y, \frac{d}{dx}y, \frac{d^2}{dx^2}y\right)$  の微分方程式

$F\left(y, \frac{d}{dx}y, \frac{d^2}{dx^2}y\right)$  の二階微分方程式について、ode2 関数では、よい結果が得られた。例題を下記に示す。

```
kill(all);
depends(y, [x]);
EQ:sqrt(y)*diff(y,x,2)=1;
assume(%k1>0);
ANS:ode2(EQ,y,x);
ANS1:ANS[1];
ANS2:ANS[2];
ANS3:lhs(ANS1)*lhs(ANS2)=rhs(ANS1)
*rhs(ANS2);
```

$$\sqrt{y} \left( \frac{d^2}{dx^2} y \right) = 1$$

ode2 関数で解くと、

$$-\frac{(2\sqrt{y}-2\%k1)\sqrt{2\sqrt{y}+\%k1}}{3\sqrt{2}} = x + \%k2$$

$$\frac{(2\sqrt{y}-2\%k1)\sqrt{2\sqrt{y}+\%k1}}{3\sqrt{2}} = x + \%k2$$

上式から、解は、

$$-\frac{(2\sqrt{y}-2\%k1)^2(2\sqrt{y}+\%k1)}{18} = (x + \%k2)^2$$

```
EQ:A^2*diff(y,x,2)=%e^y;
ode2(EQ,y,x);
```

$$\left( \frac{d^2}{dx^2} y \right) A^2 = e^y$$

ode2 関数で解くと、

$$\left[ -\frac{\log\left(\frac{\sqrt{e^y+\%k1}-\sqrt{\%k1}}{\sqrt{e^y+\%k1}+\sqrt{\%k1}}\right)A}{\sqrt{2}\sqrt{\%k1}} = x + \%k2, \right.$$

$$\left. \frac{\log\left(\frac{\sqrt{e^y+\%k1}-\sqrt{\%k1}}{\sqrt{e^y+\%k1}+\sqrt{\%k1}}\right)A}{\sqrt{2}\sqrt{\%k1}} = x + \%k2 \right]$$

```
EQ:y*diff(y,x,2)+diff(y,x,1)^2
-diff(y,x,1)=0;
ode2(EQ,y,x);
```

$$y \left( \frac{d^2}{dx^2} y \right) + \left( \frac{d}{dx} y \right)^2 - \frac{d}{dx} y = 0$$

$$y - \%k1 \log(y + \%k1) = x + \%k2$$

```
EQ:diff(y,x,2)+diff(y,x,1)^2+1=0;
ode2(EQ,y,x);
```

$$\frac{d^2}{dx^2} y + \left( \frac{d}{dx} y \right)^2 + 1 = 0$$

$$y = \%k2 - \log(\sec(x + \%k1))$$

```
EQ:2*y*diff(y,x,2)-3*diff(y,x,1)^2=4*y^2;
ode2(EQ,y,x);
```

$$2y \left( \frac{d^2}{dx^2} y \right) - 3 \left( \frac{d}{dx} y \right)^2 = 4y^2$$

ode2 関数で解くと、

$$\left[ -\operatorname{atan}\left(\frac{\sqrt{\%k1}y-4}{2}\right) = x + \%k2, \right.$$

$$\left. \operatorname{atan}\left(\frac{\sqrt{\%k1}y-4}{2}\right) = x + \%k2 \right]$$

```
EQ:y*diff(y,x,2)-diff(y,x,1)^2-2*y^2=0;
ode2(EQ,y,x);
%[2]^2;
solve(%,y);
```

$$y \left( \frac{d^2}{dx^2} y \right) - \left( \frac{d}{dx} y \right)^2 - 2y^2 = 0$$

ode2 関数で解くと、

$$\left[ -\frac{\sqrt{2\log(y)+\%k1}}{\sqrt{2}} = x + \%k2, \right.$$

$$\left. \frac{\sqrt{2\log(y)+\%k1}}{\sqrt{2}} = x + \%k2 \right]$$

両辺を 2 乗し、

$$\frac{2\log(y)+\%k1}{2} = (x + \%k2)^2$$

上式を整理し、

$$y = e^{x^2+2\%k2x+\%k2^2-\frac{\%k1}{2}}$$

```
kill(all);
depends(y, [x]);
depends(p, [y]);
EQ:y*diff(y,x,2)+diff(y,x,1)^2=1;
ode2(EQ,y,x);
DYX1:diff(y,x,1)=p;
diff(%,x,1);
DYX2:subst([DYX1],%);
EQ1:subst([DYX2,DYX1],EQ);
ode2(EQ1,p,y);
logcontract(%);
solve(%,p);
%[2];
subst([rhs(DYX1)=lhs(DYX1)],%);
ode2(%,y,x);
```

$$y \left( \frac{d^2}{dx^2} y \right) + \left( \frac{d}{dx} y \right)^2 = 1 \quad (3.3.1)$$

ode2 関数で解くと、

$$\log \left( \frac{d}{dx} y + 1 \right) = -\log \left( \frac{d}{dx} y - 1 \right) - 2 \log(y) - 2 \%k1$$

”first order equation not linear in y” の表示が出て、うまく解けない。そこで、下記の置き換えを行って、

$$\frac{d}{dx} y = p$$

$$\frac{d^2}{dx^2} y = \left( \frac{d}{dy} p \right) \left( \frac{d}{dx} y \right) = p \left( \frac{d}{dy} p \right)$$

上式を (3.3.1) 式に代入し、

$$p \left( \frac{d}{dy} p \right) y + p^2 = 1$$

ode2 関数で解くと、

$$-\frac{\log(p+1) + \log(p-1)}{2} = \log(y) + \%c$$

p を求めると、

$$p = \frac{e^{-\%c} \sqrt{e^{2\%c} y^2 + 1}}{y}$$

置換関数から、

$$\frac{d}{dx} y = \frac{e^{-\%c} \sqrt{e^{2\%c} y^2 + 1}}{y}$$

ode2 関数で解くと、

$$e^{-\%c} \sqrt{e^{2\%c} y^2 + 1} = x + \%c$$

### 3.3.5 線形完全微分方程式

微分方程式： $F(x, y, \frac{d}{dx} y, \frac{d^2}{dx^2} y \dots)$  が下記の関係のとき、完全微分という。

$$F(x, y, \frac{d}{dx} y, \frac{d^2}{dx^2} y \dots) = \frac{d}{dx} G(y, \frac{d}{dx} y, \frac{d^2}{dx^2} y \dots)$$

下記の二階線形完全微分方程式で、

$$p_2(x) \left( \frac{d^2}{dx^2} y \right) + p_1(x) \left( \frac{d}{dx} y \right) + p_0(x) y = H(x)$$

完全微分方程式であるための条件は、

$$\frac{d^2}{dx^2} p_2(x) - \frac{d}{dx} p_1(x) + p_0(x) = 0$$

二階線形完全微分方程式について、ode2 関数では、よい結果が得られた。例題を下記に示す。

```
kill(all);
depends(y, [x]);
EQ:(x^2+1)*diff(y,x,2)+4*x*diff(y,x,1)+2*y
=-sin(x);
C0:coeff(lhs(EQ),y,1);
C1:coeff(lhs(EQ),diff(y,x,1),1);
C2:coeff(lhs(EQ),diff(y,x,2),1);
diff(C2,x,2)-diff(C1,x,1)+C0;
ode2(EQ,y,x);
```

$$(x^2 + 1) \left( \frac{d^2}{dx^2} y \right) + 4x \left( \frac{d}{dx} y \right) + 2y = -\sin(x)$$

$$y = \frac{\sin(x)}{x^2 + 1} + \frac{\%k1 x}{x^2 + 1} + \frac{\%k2}{x^2 + 1}$$

```
EQ:x*(x-1)*diff(y,x,2)+(3*x-2)*diff(y,x,1)
+y=0;
C0:coeff(lhs(EQ),y,1);
C1:coeff(lhs(EQ),diff(y,x,1),1);
C2:coeff(lhs(EQ),diff(y,x,2),1);
diff(C2,x,2)-diff(C1,x,1)+C0;
ode2(EQ,y,x);
```

$$(x-1)x \left( \frac{d^2}{dx^2} y \right) + (3x-2) \left( \frac{d}{dx} y \right) + y = 0$$

$$y = \frac{\%k1 \log(x-1)}{x} + \frac{\%k2}{x}$$

## 3.3.6 変数変換

変数変換を行って、微分方程式を解く。例題を以下に示す。

```
kill(all);
depends(y, [x]);
depends(t, [x]);
EQ:x*y*difff(y,x,2)-x*difff(y,x,1)^2
+y*difff(y,x,1)=0;
forget(y, [x]);
depends(y, [t]);
DYG1:'difff(y,x,1)=difff(y,x,1);
DYG2:'difff(y,x,2)=difff(y,x,2);
EQ1:subst([DYG1,DYG2],EQ);
TX:t=log(x);
XT:solve(%,x)[1];
D1TX:difff(TX,x,1);
D2TX:difff(TX,x,2);
subst([D1TX,D2TX,XT],EQ1);
factor(%);
ode2(%,y,t);
subst([TX],%);
radcan(%);
```

$$xy \left( \frac{d^2}{dx^2} y \right) - x \left( \frac{d}{dx} y \right)^2 + y \left( \frac{d}{dx} y \right) = 0 \quad (3.3.2)$$

次式の変数変換を行う。

$$t = \log(x), \quad x = e^t \quad (3.3.3)$$

下記の関係が得られる。

$$\frac{d}{dx} y = \left( \frac{d}{dx} t \right) \left( \frac{d}{dt} y \right)$$

$$\frac{d^2}{dx^2} y = \left( \frac{d}{dx} t \right)^2 \left( \frac{d^2}{dt^2} y \right) + \left( \frac{d^2}{dx^2} t \right) \left( \frac{d}{dt} y \right)$$

$$\frac{d}{dx} t = \frac{1}{x}, \quad \frac{d^2}{dx^2} t = -\frac{1}{x^2}$$

上式を (3.3.2) 式に代入し、

$$e^{-t} \left( y \left( \frac{d^2}{dt^2} y \right) - \left( \frac{d}{dt} y \right)^2 \right) = 0$$

ode2 関数で解くと、

$$y = \%k2 e^{\%k1 t}$$

(3.3.3) 式を代入し、整理すると、

$$y = \%k2 x^{\%k1}$$

```
kill(all);
depends(y, [x]);
depends(z, [t]);
depends(t, [x]);
depends(p, [z]);
EQ:x*difff(y,x,2)-2*x*y*difff(y,x,1)-2*y^2
+2*difff(y,x,1)=0;
XT1:x=%e^t;
TX1:solve(XT1,t)[1];
forget(y, [x]);
depends(y, [z]);
YZ1:y=z*%e^(-t);
ZY1:solve(YZ1,z)[1];
subst([YZ1],EQ);
EQ1:ev(%,difff);
DZT1:difff(TX1,x,1);
DZT2:difff(TX1,x,2);
EQ2:subst([DZT2,DZT1,XT1],EQ1);
factor(%);
EQ2:%/(2*%e^(-2*t));
P1:difff(z,t,1)=p;
P2:rhs(%)=lhs(%);
P3:difff(P1,t,1);
EQ3:subst([P3,P1],EQ2);
ode2(%,p,z);
subst([P2],%);
subst(['c=1/4+%d^2],%);
ode2(%,z,t);
solve(%,z)[1];
subst([ZY1],%);
subst([TX1],%);
%/x;
```

$$x \left( \frac{d^2}{dx^2} y \right) - 2xy \left( \frac{d}{dx} y \right) + 2 \left( \frac{d}{dx} y \right) - 2y^2 = 0 \quad (3.3.4)$$

次式の変数変換を行う。

$$x = e^t, \quad t = \log(x) \quad (3.3.5)$$

$$y = e^{-t} z, \quad z = e^t y \quad (3.3.6)$$

下記の関係が得られる。

$$\frac{d}{dx} y = \left( \frac{d}{dx} t \right) \left( \frac{d}{dt} y \right)$$

$$\frac{d^2}{dx^2} y = \left( \frac{d}{dx} t \right)^2 \left( \frac{d^2}{dt^2} y \right) + \left( \frac{d^2}{dx^2} t \right) \left( \frac{d}{dt} y \right)$$

$$\frac{d}{dx} t = \frac{1}{x}, \quad \frac{d^2}{dx^2} t = -\frac{1}{x^2}$$

上式を (3.3.4) 式に代入し、

$$\frac{\frac{d^2}{dt^2} z - 2z \left( \frac{d}{dt} z \right) - \frac{d}{dt} z}{2} = 0 \quad (3.3.7)$$

次式の変数変換を行う。

$$p = \frac{d}{dt} z, \quad \frac{d^2}{dt^2} z = \left( \frac{d}{dz} p \right) \left( \frac{d}{dt} z \right) \quad (3.3.8)$$

上式を (3.3.7) 式に代入し、

$$\frac{-2pz + p \left( \frac{d}{dz} p \right) - p}{2} = 0$$

ode2 関数で解くと、

$$p = z^2 + z + \%c$$

(3.3.8) 式から、 $\%c \rightarrow \%d^2 + \frac{1}{4}$  と置き換え、

$$\frac{d}{dt} z = z^2 + z + \%c = z^2 + z + \%d^2 + \frac{1}{4}$$

ode2 関数で解くと、

$$\frac{\operatorname{atan}\left(\frac{2z+1}{2\%d}\right)}{\%d} = t + \%c$$

$z$  を求めると、

$$z = \frac{2\%d \tan(\%dt + \%c\%d) - 1}{2}$$

(3.3.6) 式から、

$$e^t y = \frac{2\%d \tan(\%dt + \%c\%d) - 1}{2}$$

(3.3.5) 式から、

$$x y = \frac{2\%d \tan(\%d \log(x) + \%c\%d) - 1}{2}$$

上式を整理し、

$$y = \frac{2\%d \tan(\%d \log(x) + \%c\%d) - 1}{2x}$$



## 3.3.7 定数係数連立線形微分方程式

定数係数連立線形微分方程式は `desolve` 関数で解く。微分方程式を微分演算子  $D$  で表し、 $D$  の高次連立方程式の解を求めて解く。`desolve` 関数では、 $D$  の解が得られる場合には解ける。しかし、微分方程式を微分演算子  $D$  で表し、行列式に  $D$  が含まれない場合には、 $D$  の解が得られないので `desolve` 関数では解けない。この場合には、各式に  $D$  の式を作用させて、辺々引いて解ける。この方法は例題の後方で示している。例題を以下に示す。

```
kill(all);
EQ1:diff(y(t),t,1)-3*y(t)+z(t)=0;
EQ2:y(t)-diff(z(t),t,1)+z(t)=0;
desolve([EQ1,EQ2],[y(t),z(t)]);
```

$$\begin{aligned} \frac{d}{dt} y(t) + z(t) - 3y(t) &= 0 \\ -\frac{d}{dt} z(t) + z(t) + y(t) &= 0 \end{aligned}$$

`atvalue` 関数で初期値を与えていないので、初期値： $y(0), z(0)$  を残し、解が得られる。

$$\begin{aligned} y(t) &= -z(0) t e^{2t} + y(0) t e^{2t} + y(0) e^{2t}, \\ z(t) &= -z(0) t e^{2t} + y(0) t e^{2t} + z(0) e^{2t} \end{aligned}$$

```
EQ1:diff(y(t),t,2)+2*y(t)+z(t)=0;
EQ2:y(t)+diff(z(t),t,2)+2*z(t)=0;
desolve([EQ1,EQ2],[y(t),z(t)]);
```

$$\begin{aligned} \frac{d^2}{dt^2} y(t) + z(t) + 2y(t) &= 0 \\ \frac{d^2}{dt^2} z(t) + 2z(t) + y(t) &= 0 \end{aligned}$$

$$\begin{aligned} y(t) &= \frac{\sin(\sqrt{3}t) \left( \frac{d}{dt} z(t) \Big|_{t=0} + \frac{d}{dt} y(t) \Big|_{t=0} \right)}{2\sqrt{3}} \\ &+ \frac{\sin(t) \left( \frac{d}{dt} y(t) \Big|_{t=0} - \frac{d}{dt} z(t) \Big|_{t=0} \right)}{2} \\ &+ \frac{(z(0) + y(0)) \cos(\sqrt{3}t)}{2} \\ &- \frac{(z(0) - y(0)) \cos(t)}{2}, \\ z(t) &= \frac{\sin(\sqrt{3}t) \left( \frac{d}{dt} z(t) \Big|_{t=0} + \frac{d}{dt} y(t) \Big|_{t=0} \right)}{2\sqrt{3}} \\ &+ \frac{\sin(t) \left( \frac{d}{dt} z(t) \Big|_{t=0} - \frac{d}{dt} y(t) \Big|_{t=0} \right)}{2} \\ &+ \frac{(z(0) + y(0)) \cos(\sqrt{3}t)}{2} \\ &+ \frac{(z(0) - y(0)) \cos(t)}{2} \end{aligned}$$

```
EQ1:diff(y(t),t,2)+4*y(t)-3*diff(z(t),t,1)
=1;
EQ2:3*diff(y(t),t,1)+diff(z(t),t,2)+4*z(t)
=t;
desolve([EQ1,EQ2],[y(t),z(t)]);
```

$$\begin{aligned} -3 \left( \frac{d}{dt} z(t) \right) + \frac{d^2}{dt^2} y(t) + 4y(t) &= 1 \\ \frac{d^2}{dt^2} z(t) + 3 \left( \frac{d}{dt} y(t) \right) + 4z(t) &= t \end{aligned}$$

$$\begin{aligned} y(t) &= -\frac{\cos(4t) \left( 16 \left( \frac{d}{dt} z(t) \Big|_{t=0} \right) - 16y(0) + 3 \right)}{80} \\ &+ \frac{\cos(t) \left( \frac{d}{dt} z(t) \Big|_{t=0} + 4y(0) - 2 \right)}{5} \\ &+ \frac{\sin(4t) \left( 4 \left( \frac{d}{dt} y(t) \Big|_{t=0} \right) + 4z(0) \right)}{20} \\ &+ \frac{\sin(t) \left( \frac{d}{dt} y(t) \Big|_{t=0} - 4z(0) \right)}{5} + \frac{7}{16}, \\ z(t) &= \frac{\sin(4t) \left( 16 \left( \frac{d}{dt} z(t) \Big|_{t=0} \right) - 16y(0) + 3 \right)}{80} \\ &+ \frac{\sin(t) \left( \frac{d}{dt} z(t) \Big|_{t=0} + 4y(0) - 2 \right)}{5} \\ &+ \frac{\cos(4t) \left( \frac{d}{dt} y(t) \Big|_{t=0} + z(0) \right)}{5} \\ &- \frac{\cos(t) \left( \frac{d}{dt} y(t) \Big|_{t=0} - 4z(0) \right)}{5} + \frac{t}{4} \end{aligned}$$

```
EQ1:diff(y(t),t,1)+5*y(t)+z(t)=%e^t;
EQ2:-y(t)+diff(z(t),t,1)+3*z(t)=%e^(2*t);
desolve([EQ1,EQ2],[y(t),z(t)]);
```

$$\begin{aligned} \frac{d}{dt} y(t) + z(t) + 5y(t) &= e^t \\ \frac{d}{dt} z(t) + 3z(t) - y(t) &= e^{2t} \end{aligned}$$

$$\begin{aligned} y(t) &= -\frac{e^{2t}}{36} + \frac{4e^t}{25} - z(0) t e^{-4t} - y(0) t e^{-4t} \\ &+ \frac{11 t e^{-4t}}{30} + \frac{(900y(0) - 119) e^{-4t}}{900}, \\ z(t) &= \frac{7e^{2t}}{36} + \frac{e^t}{25} + z(0) t e^{-4t} + y(0) t e^{-4t} \\ &- \frac{11 t e^{-4t}}{30} + \frac{(900z(0) - 211) e^{-4t}}{900} \end{aligned}$$

```
EQ1:diff(x(t),t,1)-6*y(t)+9*z(t)=0;
EQ2:2*x(t)+diff(y(t),t,1)-3*z(t)=0;
EQ3:x(t)-y(t)+diff(z(t),t,1)=0;
desolve([EQ1,EQ2,EQ3],[x(t),y(t),z(t)]);
```

$$\begin{aligned}\frac{d}{dt}x(t) + 9z(t) - 6y(t) &= 0 \\ \frac{d}{dt}y(t) - 3z(t) + 2x(t) &= 0 \\ \frac{d}{dt}z(t) - y(t) + x(t) &= 0\end{aligned}$$

$$\begin{aligned}x(t) &= 9z(0)t^2 - \frac{9y(0)t^2}{2} - \frac{3x(0)t^2}{2} - 9z(0)t \\ &\quad + 6y(0)t + x(0), \\ y(t) &= 9z(0)t^2 - \frac{9y(0)t^2}{2} - \frac{3x(0)t^2}{2} \\ &\quad + 3z(0)t - 2x(0)t + y(0), \\ z(t) &= 6z(0)t^2 - 3y(0)t^2 - x(0)t^2 + y(0)t \\ &\quad - x(0)t + z(0)\end{aligned}$$

```
kill(all);
atvalue(y(t),t=0,0);
atvalue(z(t),t=0,0);
atvalue(diff(y(t),t,1),t=0,0);
atvalue(diff(z(t),t,1),t=0,0);
EQ1:diff(y(t),t,2)+2*diff(y(t),t,1)+3*y(t)
+3*diff(z(t),t,2)+3*diff(z(t),t,1)
+2*z(t)=0;
EQ2:diff(y(t),t,2)+diff(y(t),t,1)+y(t)
+2*diff(z(t),t,2)-diff(z(t),t,1)-2*z(t)=8;
desolve([EQ1,EQ2],[y(t),z(t)]);
```

$$\begin{aligned}3\left(\frac{d^2}{dt^2}z(t)\right) + 3\left(\frac{d}{dt}z(t)\right) + \frac{d^2}{dt^2}y(t) \\ + 2\left(\frac{d}{dt}y(t)\right) + 2z(t) + 3y(t) = 0 \\ 2\left(\frac{d^2}{dt^2}z(t)\right) - \frac{d}{dt}z(t) + \frac{d^2}{dt^2}y(t) + \frac{d}{dt}y(t) \\ - 2z(t) + y(t) = 8\end{aligned}$$

$$\begin{aligned}y(t) &= \frac{12\sin(2t)}{5} - \frac{14\cos(2t)}{5} - \frac{16e^{-t}}{5} \\ &\quad + 4e^{-2t} + 2, \\ z(t) &= \frac{\sin(2t)}{10} + \frac{13\cos(2t)}{10} + \frac{16e^{-t}}{5} - \frac{3e^{-2t}}{2} - 3\end{aligned}$$

```
kill(all);
EQ1:diff(y(t),t,2)+y(t)+diff(z(t),t,2)
+diff(z(t),t,1)+z(t)=t;
EQ2:diff(y(t),t,1)+diff(z(t),t,1)+z(t)
=%e^-t;
desolve([EQ1,EQ2],[y(t),z(t)]);
Y1:y(t);
Z1:z(t);
V1:t;
C1Z2:coeff(lhs(EQ1),diff(Z1,V1,2),1);
C1Z1:coeff(lhs(EQ1),diff(Z1,V1,1),1);
C1Z0:coeff(lhs(EQ1),Z1,1);
C1Y2:coeff(lhs(EQ1),diff(Y1,V1,2),1);
C1Y1:coeff(lhs(EQ1),diff(Y1,V1,1),1);
C1Y0:coeff(lhs(EQ1),Y1,1);
C2Z2:coeff(lhs(EQ2),diff(Z1,V1,2),1);
C2Z1:coeff(lhs(EQ2),diff(Z1,V1,1),1);
C2Z0:coeff(lhs(EQ2),Z1,1);
C2Y2:coeff(lhs(EQ2),diff(Y1,V1,2),1);
C2Y1:coeff(lhs(EQ2),diff(Y1,V1,1),1);
C2Y0:coeff(lhs(EQ2),Y1,1);
DEQ1:(C1Y2*D^2+C1Y1*D+C1Y0)*Y1+(C1Z2*D^2
+C1Z1*D+C1Z0)*Z1=rhs(EQ1);
DEQ2:(C2Y2*D^2+C2Y1*D+C2Y0)*Y1+(C2Z2*D^2
+C2Z1*D+C2Z0)*Z1=rhs(EQ2);
ANSY:expand(DEQ1*lhs(coeff(DEQ2,Z1,1))
-DEQ2*lhs(coeff(DEQ1,Z1,1)));
ANSZ:expand(DEQ1*lhs(coeff(DEQ2,Y1,1))
-DEQ2*lhs(coeff(DEQ1,Y1,1)));
ANSY1:solve(ANSY,Y1)[1];
ANSZ1:solve(ANSZ,Z1)[1];
ANSY2:lhs(ANSY1)=diff(coeff(rhs(ANSY1),D,2)
,V1,2)+diff(coeff(rhs(ANSY1),D,1),V1,1)
+coeff(rhs(ANSY1),D,0);
ANSZ2:lhs(ANSZ1)=diff(coeff(rhs(ANSZ1),D,2)
,V1,2)+diff(coeff(rhs(ANSZ1),D,1),V1,1)
+coeff(rhs(ANSZ1),D,0);
```

$$\begin{aligned}\frac{d^2}{dt^2}z(t) + \frac{d}{dt}z(t) + \frac{d^2}{dt^2}y(t) + z(t) + y(t) &= t \\ \frac{d}{dt}z(t) + \frac{d}{dt}y(t) + z(t) &= e^t\end{aligned}$$

desolve 関数で解けない。

微分方程式を微分演算子  $D$  で表し、

$$\begin{aligned}z(t)(D^2 + D + 1) + y(t)(D^2 + 1) &= t \\ z(t)(D + 1) + y(t)D &= e^t\end{aligned}$$

$y(t)$ ,  $z(t)$  を求め、

$$y(t) = -e^t D^2 + (t - e^t) D - e^t + t$$

$$z(t) = e^t D^2 - tD + e^t$$

以上から、解は、

$$y(t) = -3e^t + t + 1$$

$$z(t) = 2e^t - 1$$

```
kill(all);
EQ1:diff(y(t),t,2)+diff(y(t),t,1)+y(t)
+diff(z(t),t,2)=t;
EQ2:diff(y(t),t,1)+diff(z(t),t,1)-z(t)=t^2;
desolve([EQ1,EQ2],[y(t),z(t)]);
Y1:y(t);
Z1:z(t);
V1:t;
C1Z2:coeff(lhs(EQ1),diff(Z1,V1,2),1);
C1Z1:coeff(lhs(EQ1),diff(Z1,V1,1),1);
C1Z0:coeff(lhs(EQ1),Z1,1);
C1Y2:coeff(lhs(EQ1),diff(Y1,V1,2),1);
C1Y1:coeff(lhs(EQ1),diff(Y1,V1,1),1);
C1Y0:coeff(lhs(EQ1),Y1,1);
C2Z2:coeff(lhs(EQ2),diff(Z1,V1,2),1);
C2Z1:coeff(lhs(EQ2),diff(Z1,V1,1),1);
C2Z0:coeff(lhs(EQ2),Z1,1);
C2Y2:coeff(lhs(EQ2),diff(Y1,V1,2),1);
C2Y1:coeff(lhs(EQ2),diff(Y1,V1,1),1);
C2Y0:coeff(lhs(EQ2),Y1,1);
DEQ1:(C1Y2*D^2+C1Y1*D+C1Y0)*Y1+(C1Z2*D^2
+C1Z1*D+C1Z0)*Z1=rhs(EQ1);
DEQ2:(C2Y2*D^2+C2Y1*D+C2Y0)*Y1+(C2Z2*D^2
+C2Z1*D+C2Z0)*Z1=rhs(EQ2);
ANSY:expand(DEQ1*lhs(coeff(DEQ2,Z1,1))
-DEQ2*lhs(coeff(DEQ1,Z1,1)));
ANSZ:expand(DEQ1*lhs(coeff(DEQ2,Y1,1))
-DEQ2*lhs(coeff(DEQ1,Y1,1)));
ANSY1:solve(ANSY,Y1)[1];
ANSZ1:solve(ANSZ,Z1)[1];
ANSY2:lhs(ANSY1)=diff(coeff(rhs(ANSY1),D,2)
,V1,2)+diff(coeff(rhs(ANSY1),D,1),V1,1)
+coeff(rhs(ANSY1),D,0);
ANSZ2:lhs(ANSZ1)=diff(coeff(rhs(ANSZ1),D,2)
,V1,2)+diff(coeff(rhs(ANSZ1),D,1),V1,1)
+coeff(rhs(ANSZ1),D,0);
```

微分方程式を微分演算子  $D$  で表し、

$$y(t) (D^2 + D + 1) + z(t) D^2 = t$$

$$y(t) D + z(t) (D - 1) = t^2$$

$y(t)$ ,  $z(t)$  を求め、

$$y(t) = t^2 D^2 - tD + t$$

$$z(t) = -t^2 D^2 + (t - t^2) D - t^2$$

以上から、解は、

$$y(t) = t + 1$$

$$z(t) = -t^2 - 2t - 1$$

$$\frac{d^2}{dt^2} z(t) + \frac{d^2}{dt^2} y(t) + \frac{d}{dt} y(t) + y(t) = t$$

$$\frac{d}{dt} z(t) + \frac{d}{dt} y(t) - z(t) = t^2$$

desolve 関数で解けない。

## 3.3.8 Bessel の微分方程式

$$u(z^2 - n^2) + \left(\frac{d^2}{dz^2} u\right) z^2 + \left(\frac{d}{dz} u\right) z = 0$$

の形の微分方程式を Bessel の微分方程式という。ode2 関数では上記の式以外は解けない。そこで下記に示す変数変換で各種 Bessel の微分方程式を解くことができる。

```
kill(all);
depends(u, [z]);
declare(n, noninteger);
declare(m, integer);
BEEQ1:z^2*dif(u,z,2)+z*dif(u,z,1)
+(z^2-n^2)*u=0;
ode2(BEEQ1,u,z);
plot2d([bessel_j(0.5,x),bessel_j(1.5,x),
bessel_j(2.5,x),bessel_j(3.5,x),
bessel_j(4.5,x)], [x,0,15], [y,-1,1]);
plot2d([bessel_j(-0.5,x),bessel_j(-1.5,x),
bessel_j(-2.5,x),bessel_j(-3.5,x),
bessel_j(-4.5,x)], [x,0,15], [y,-1,1]);
BEEQ11:z^2*dif(u,z,2)+z*dif(u,z,1)
+(z^2-m^2)*u=0;
ode2(BEEQ11,u,z);
plot2d([bessel_j(0,x),bessel_j(1,x),
bessel_j(2,x),bessel_j(3,x),
bessel_j(4,x)], [x,0,15], [y,-1,1]);
plot2d([bessel_y(0,x),bessel_y(1,x),
bessel_y(2,x),bessel_y(3,x),
bessel_y(4,x)], [x,0,15], [y,-1,1]);
```

Bessel の微分方程式は、 $n$  が整数でない場合、

$$u(z^2 - n^2) + \left(\frac{d^2}{dz^2} u\right) z^2 + \left(\frac{d}{dz} u\right) z = 0 \quad (3.3.9)$$

上式の解は ode2 関数で解いて、

$$u = \%k1 \text{bessel\_j}(n, z) + \%k2 \text{bessel\_j}(-n, z) \quad (3.3.10)$$

Bessel の微分方程式は、 $m$  が整数の場合、

$$u(z^2 - m^2) + \left(\frac{d^2}{dz^2} u\right) z^2 + \left(\frac{d}{dz} u\right) z = 0 \quad (3.3.11)$$

上式の解は ode2 関数で解いて、

$$u = \%k2 \text{bessel\_y}(m, z) + \%k1 \text{bessel\_j}(m, z) \quad (3.3.12)$$

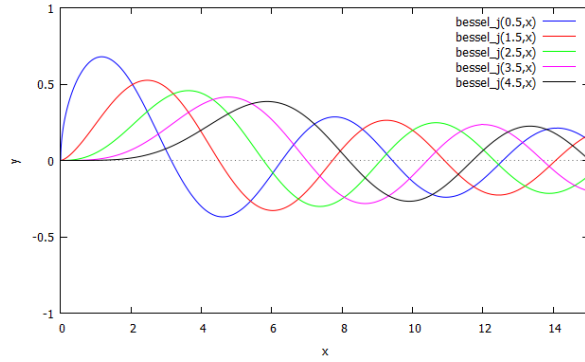


図 3.3.1:  $n$  が整数でない場合  $\text{bessel\_j}(n, x)$

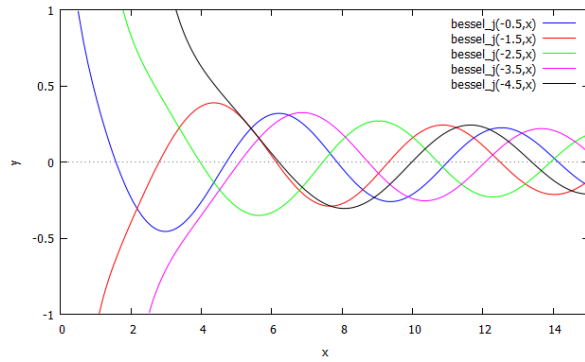


図 3.3.2:  $n$  が整数でない場合  $\text{bessel\_j}(-n, x)$

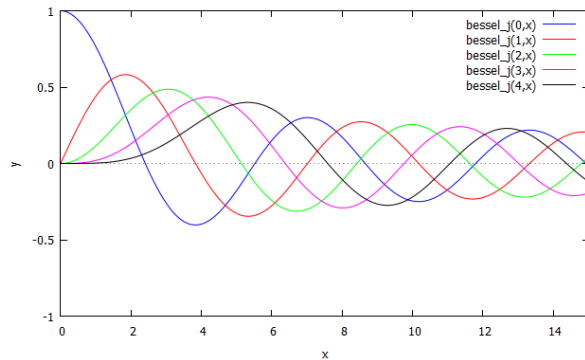


図 3.3.3:  $m$  が整数の場合  $\text{bessel\_j}(m, x)$

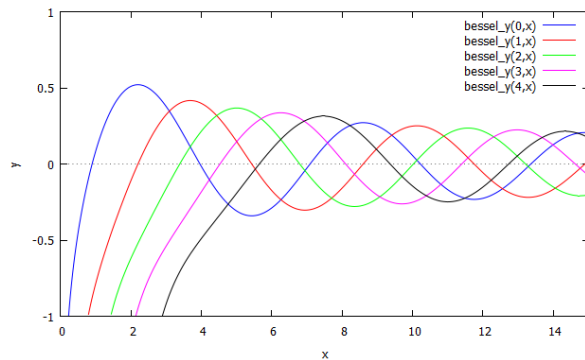


図 3.3.4:  $m$  が整数の場合  $\text{bessel\_y}(m, x)$

```

depends(u, [x]);
ZX:z=B*x^C;
XZ:x=(z/B)^(1/C);
depends(x, [z]);
DUZ1:'diff(u,z,1)=diff(u,z,1);
DUZ2:'diff(u,z,2)=diff(u,z,2);
DXZ1:diff(XZ,z,1);
DXZ2:diff(XZ,z,2);
subst([DUZ2,DUZ1,DXZ2,DXZ1,ZX],BEEQ1);
expand(%);
radcan(%);
BEEQ2:expand(%*C^2/x^2);
depends(v, [x]);
UV:u=x^(-A)*v;
DUV1:diff(UV,x,1);
DUV2:diff(UV,x,2);
subst([DUV2,DUV1,UV],BEEQ2);
BEEQ3:expand(%*x^A);
BEEQ31:rest(lhs(BEEQ3),5);
BEEQ32:factor(rest(lhs(BEEQ3)-BEEQ31,3));
BEEQ33:factor(rest(lhs(BEEQ3)-BEEQ31
-BEEQ32,1));
BEEQ34:rest(lhs(BEEQ3),-5);
BEEQ31+BEEQ32+BEEQ33+BEEQ34=0;
BEEQ4:v*(x^(2*C-2)*B^2*C^2+(A^2-n^2*C^2)
/x^2)+'diff(v,x,1)*(1-2*A)/x
+'diff(v,x,2)=0;
AN1:u=%k1*bessel_j(n,z)+%k2*bessel_j(-n,z);
subst([ZX,UV],%);
expand(%*x^A);
AN4:v=%k1*bessel_j(n,x^C*B)*x^A+%k2*
bessel_j(-n,x^C*B)*x^A;
AN5:v=%k1*bessel_j(n,x^C*B)*x^A+%k2*
bessel_y(n,x^C*B)*x^A;
BEA1:1-2*A=A1;
BEA2:A^2-n^2*C^2=A2;
BEA3:B^2*C^2=A3;
BEA4:2*C-2=A4;
solve([BEA1,BEA2,BEA3,BEA4],[A,B,C,n]);

```

下記の変数を  $z \rightarrow x$  の変換を行う。

$$z = x^C B, \quad x = \left(\frac{z}{B}\right)^{\frac{1}{C}} \quad (3.3.13)$$

上式から、下記の関係式を得る。

$$\begin{aligned} \frac{d}{dz} u &= \left(\frac{d}{dx} u\right) \left(\frac{d}{dz} x\right) \\ \frac{d^2}{dz^2} u &= \left(\frac{d}{dx} u\right) \left(\frac{d^2}{dz^2} x\right) + \left(\frac{d^2}{dx^2} u\right) \left(\frac{d}{dz} x\right)^2 \\ \frac{d}{dz} x &= \frac{\left(\frac{z}{B}\right)^{\frac{1}{C}}}{z C}, \quad \frac{d^2}{dz^2} x = \frac{\left(\frac{z}{B}\right)^{\frac{1}{C}}}{z^2 C^2} - \frac{\left(\frac{z}{B}\right)^{\frac{1}{C}}}{z^2 C} \end{aligned}$$

上式を (3.3.9) 式に代入し、Bessel の微分方程式は、

$$v x^{2C-2} B^2 C^2 - \frac{n^2 u C^2}{x^2} + \frac{d}{dx} u + \frac{d^2}{dx^2} u = 0 \quad (3.3.14)$$

下記の間数  $u \rightarrow v$  の変換を行う。

$$u = \frac{v}{x^A}, \quad v = u x^A \quad (3.3.15)$$

上式から、下記の関係式を得る。

$$\begin{aligned} \frac{d}{dx} u &= \frac{d}{dx} \frac{v}{x^A} - v x^{-A-1} A \\ \frac{d^2}{dx^2} u &= -v x^{-A-2} (-A-1) A \\ &\quad - 2 \left(\frac{d}{dx} v\right) x^{-A-1} A + \frac{d^2}{dx^2} v \end{aligned}$$

上式を (3.3.14) 式に代入し、

$$\begin{aligned} v x^{2C-2} B^2 C^2 - \frac{v (nC - A) (nC + A)}{x^2} \\ - \frac{\left(\frac{d}{dx} v\right) (2A - 1)}{x} + \frac{d^2}{dx^2} v = 0 \end{aligned}$$

上式を整理すると、Bessel の微分方程式は、

$$\begin{aligned} v \left( \frac{(A^2 - n^2 C^2)}{x^2} + x^{2C-2} B^2 C^2 \right) \\ + \frac{\left(\frac{d}{dx} v\right) (1 - 2A)}{x} + \frac{d^2}{dx^2} v = 0 \end{aligned} \quad (3.3.16)$$

$n$  が整数でない場合

Bessel の微分方程式の解：(3.3.10) 式に変数変換の関係式：(3.3.13) 式、(3.3.15) 式を代入すると、次式となり、上記、Bessel の微分方程式の解となる。

$$\begin{aligned} v = \%k1 \text{bessel.j}(n, x^C B) x^A \\ + \%k2 \text{bessel.j}(-n, x^C B) x^A \end{aligned} \quad (3.3.17)$$

$n$  が整数の場合

Bessel の微分方程式の解：(3.3.12) 式に変数変換の関係式：(3.3.13) 式、(3.3.15) 式を代入すると、次式となり、上記、Bessel の微分方程式の解となる。

$$\begin{aligned} v = \%k1 \text{bessel.j}(n, x^C B) x^A \\ + \%k2 \text{bessel.y}(n, x^C B) x^A \end{aligned} \quad (3.3.18)$$

変換係数の関係式は、

$$\begin{aligned} 1 - 2A = A1, \quad A^2 - n^2 C^2 = A2 \\ B^2 C^2 = A3, \quad 2C - 2 = A4 \end{aligned} \quad (3.3.19)$$

以下に例題を示す。

例1 .....

例2 .....

```
EQ:diff(v,x,2)+x*v=0;
BEEQ4;
BEA1:1-2*A=0;
BEA2:A^2-n^2*C^2=0;
BEA3:B^2*C^2=1;
BEA4:2*C-2=1;
solve([BEA1,BEA2,BEA3,BEA4],[A,B,C,n]);
AA1:%[4];
subst(AA1,BEEQ4);
subst(AA1,AN4);
```

```
EQ:diff(v,x,1)*(2*N+1)/x+diff(v,x,2)+v=0;
BEEQ4;
BEA1:1-2*A=2*N+1;
BEA2:A^2-n^2*C^2=0;
BEA3:B^2*C^2=1;
BEA4:2*C-2=0;
solve([BEA1,BEA2,BEA3,BEA4],[A,B,C,n]);
AA1:%[3];
subst(AA1,BEEQ4);
subst(AA1,AN4);
```

$$vx + \frac{d^2}{dx^2}v = 0$$

$$\frac{\left(\frac{d}{dx}v\right)(2N+1)}{x} + \frac{d^2}{dx^2}v + v = 0$$

上式を (3.3.16) 式と比較し、変換係数の関係は、

上式を (3.3.16) 式と比較し、変換係数の関係は、

$$1 - 2A = 0, A^2 - n^2C^2 = 0$$

$$B^2C^2 = 1, 2C - 2 = 1$$

$$1 - 2A = 2N + 1, A^2 - n^2C^2 = 0$$

$$B^2C^2 = 1, 2C - 2 = 0$$

上式を解いて、

上式を解いて、

$$\left[A = \frac{1}{2}, B = \frac{2}{3}, C = \frac{3}{2}, n = \frac{1}{3}\right]$$

$$[A = -N, B = 1, C = 1, n = N]$$

上式を (3.3.17) 式に代入し、解は  $N$  が整数でないとする、

上式を (3.3.17) 式に代入し、解は、

$$v = \frac{\%k1 \text{bessel}_j(N, x)}{x^N} + \frac{\%k2 \text{bessel}_j(-N, x)}{x^N}$$

$$v = \text{bessel}_j\left(-\frac{1}{3}, \frac{2x^{\frac{3}{2}}}{3}\right) \%k2 \sqrt{x}$$

$$+ \text{bessel}_j\left(\frac{1}{3}, \frac{2x^{\frac{3}{2}}}{3}\right) \%k1 \sqrt{x}$$

例 3 .....

```
EQ:diff(v,x,1)*(1-N)/x+diff(v,x,2)+v/x=0;
BEEQ4;
BEA1:1-2*A=1-N;
BEA2:A^2-n^2*C^2=0;
BEA3:B^2*C^2=1;
BEA4:2*C-2=-1;
solve([BEA1,BEA2,BEA3,BEA4],[A,B,C,n]);
AA1:%[4];
subst(AA1,BEEQ4);
subst(AA1,AN4);
```

$$\frac{\left(\frac{d}{dx}v\right)(1-N)}{x} + \frac{v}{x} + \frac{d^2}{dx^2}v = 0$$

上式を (3.3.16) 式と比較し、変換係数の関係は、

$$\begin{aligned} 1 - 2A &= 1 - N, \quad A^2 - n^2 C^2 = 0 \\ B^2 C^2 &= 1, \quad 2C - 2 = -1 \end{aligned}$$

上式を解いて、

$$\left[A = \frac{N}{2}, B = 2, C = \frac{1}{2}, n = N\right]$$

上式を (3.3.17) 式に代入し、解は、 $N$  が整数でないとすると、

$$\begin{aligned} v = & \%k1 x^{\frac{N}{2}} \text{bessel}_j(N, 2\sqrt{x}) \\ & + \%k2 x^{\frac{N}{2}} \text{bessel}_j(-N, 2\sqrt{x}) \end{aligned}$$

### 3.4 級数解

級数解の一般的な形として、

$$y(x) = a(0)(x-A)^r + a(1)(x-A)^{r+1} + a(2)(x-A)^{r+2} + a(3)(x-A)^{r+3} + \dots$$

級数解を微分方程式に代入し、 $(x-A)$ の最低べきの係数を零として最低指数： $r$ を求める。そして、 $(x-A)$ の全てのべきの係数を零に等値して、係数： $a(n)$ を求める。級数解による微分方程式の解法は、上記で示したように、手順が同じであるため、下記に示す例題のプログラムはほとんど同じで、一部変更して使用している。

#### 3.4.1 線形微分方程式

$$\frac{d^2}{dx^2} y(x) + P(x) \frac{d}{dx} y(x) + Q(x) y(x) = 0$$

の二階線形微分方程式の解を級数で求める。

例 1 .....

```
kill(all);
depends(y, [x]);
EQ:diff(y,x,1)-y=x^2;
EQ1:lhs(%)-rhs(%)=0;
AN1:ode2(EQ1,y,x);
DAN0:(x)^r*a(n)*(x)^n;
AN2:y=sum(DAN0,n,0,inf);
AN21:y=sum(DAN0,n,0,10);
DAN21:diff(AN21,x,1);
DDAN21:diff(AN21,x,2);
subst([DDAN21,DAN21,AN21],EQ1);
expand(%);
coeff(lhs(%),x^(r-1))=0;
solve(%,r);
```

$$\frac{d}{dx} y - y = x^2$$

右辺を左辺に移項し、

$$\frac{d}{dx} y - y - x^2 = 0 \tag{3.4.1}$$

ode2 関数で解くと、

$$y = ((-x^2 - 2x - 2) e^{-x} + \%c) e^x \tag{3.4.2}$$

級数の形として、 $x=0$ を中心に展開する次式とする。

$$y = \sum_{n=0}^{\infty} a(n) x^{r+n} \tag{3.4.3}$$

上式を (3.4.1) 式に代入し、

$$\dots - a(1) x^{r+1} + a(1) r x^r + a(1) x^r - a(0) x^r + a(0) r x^{r-1} - x^2 = 0$$

$x^{r-1}$ の項から、

$$a(0) r = 0$$

下記を得る。

$$[r = 0]$$

```
R1:r=0;
AN22:subst([R1],AN21);
subst([AN22],EQ1);
ev(%,diff);
EA2:expand(%);
a(1)-a(0)=0;
CA1:solve(%,a(1))[1];
coeff(lhs(EA2),x^(1))=0;
CA2:solve(%,a(2))[1];
coeff(lhs(EA2),x^(2))=0;
CA3:solve(%,a(3))[1];
coeff(lhs(EA2),x^(3))=0;
CA4:solve(%,a(4))[1];
coeff(lhs(EA2),x^(4))=0;
CA5:solve(%,a(5))[1];
coeff(lhs(EA2),x^(5))=0;
CA6:solve(%,a(6))[1];
C1:CA1;
C2:factor(subst([C1],CA2));
C3:factor(subst([C2,C1],CA3));
C4:factor(subst([C3,C2,C1],CA4));
C5:factor(subst([C4,C3,C2,C1],CA5));
C6:factor(subst([C5,C4,C3,C2,C1],CA6));
y=sum(DAN0,n,0,6);
subst([R1,C1,C2,C3,C4,C5,C6],%);
```

(3.4.3) 式に  $r=0$  とし、 $n=0$  から  $n=10$  までは、

$$y = a(10) x^{10} + a(9) x^9 + a(8) x^8 + a(7) x^7 + a(6) x^6 + a(5) x^5 + a(4) x^4 + a(3) x^3 + a(2) x^2 + a(1) x + a(0) \tag{3.4.4}$$

上式を (3.4.1) 式に代入し、

$$\dots x^6 - a(6) x^6 + 6a(6) x^5 - a(5) x^5 + 5a(5) x^4 - a(4) x^4 + 4a(4) x^3 - a(3) x^3 + 3a(3) x^2 - a(2) x^2 - x^2 + 2a(2) x - a(1) x + a(1) - a(0) = 0$$



上式の  $x$  の全てのべきの係数を零に等値して、

$$\begin{aligned} a(1) - a(0) &= 0, & 2a(2) - a(1) &= 0 \\ 3a(3) - a(2) - 1 &= 0, & 4a(4) - a(3) &= 0 \\ 5a(5) - a(4) &= 0, & 6a(6) - a(5) &= 0 \end{aligned}$$

上式から、係数： $a(n)$  を求める。

$$\begin{aligned} a(1) &= a(0), & a(2) &= \frac{a(0)}{2} \\ a(3) &= \frac{a(0)+2}{6}, & a(4) &= \frac{a(0)+2}{24} \\ a(5) &= \frac{a(0)+2}{120}, & a(6) &= \frac{a(0)+2}{720} \end{aligned}$$

上記の結果を (3.4.4) 式に代入すると、

$$\begin{aligned} y &= \dots \frac{(a(0)+2)x^6}{720} + \frac{(a(0)+2)x^5}{120} \\ &+ \frac{(a(0)+2)x^4}{24} + \frac{(a(0)+2)x^3}{6} \\ &+ \frac{a(0)x^2}{2} + a(0)x + a(0) \end{aligned} \quad (3.4.5)$$

```
AN31:y=sum(DAN0,n,n-8,n+5);
AN32:subst([R1],AN31);
subst([AN32],EQ1);
ev(%diff);
EA2:expand(%);
coeff(lhs(EA2),x^(n-2))=0;
CA4:factor(solve(%,a(n-1))[1]);
coeff(lhs(EA2),x^(n-1))=0;
CA5:factor(solve(%,a(n))[1]);
coeff(lhs(EA2),x^(n))=0;
CA6:factor(solve(%,a(n+1))[1]);
```

(3.4.3) 式に  $r = 0$  とし、 $n = n - 8$  から  $n = n + 5$  までは、

$$\begin{aligned} y &= a(n+5)x^{n+5} + a(n+4)x^{n+4} + a(n+3)x^{n+3} \\ &+ a(n+2)x^{n+2} + a(n+1)x^{n+1} + a(n)x^n \\ &+ a(n-1)x^{n-1} + a(n-2)x^{n-2} + a(n-3)x^{n-3} \\ &+ a(n-4)x^{n-4} + a(n-5)x^{n-5} + a(n-6)x^{n-6} \\ &+ a(n-7)x^{n-7} + a(n-8)x^{n-8} \end{aligned}$$

上式を (3.4.1) 式に代入し、

$$\begin{aligned} &\dots + 2a(n+2)x^{n+1} - a(n+1)x^{n+1} \\ &+ na(n+1)x^n + a(n+1)x^n \\ &- a(n)x^n + na(n)x^{n-1} \\ &- a(n-1)x^{n-1} + na(n-1)x^{n-2} \\ &- a(n-1)x^{n-2} - a(n-2)x^{n-2} \\ &+ na(n-2)x^{n-3} - 2a(n-2)x^{n-3} \\ &- a(n-3)x^{n-3} + \dots = 0 \end{aligned}$$

上式の  $x$  の全てのべきの係数を零に等値して、

$$\begin{aligned} na(n-1) - a(n-1) - a(n-2) &= 0 \\ na(n) - a(n-1) &= 0 \\ na(n+1) + a(n+1) - a(n) &= 0 \end{aligned}$$

上式から、係数： $a(n)$  を求める。

$$a(n-1) = \frac{a(n-2)}{n-1}, \quad a(n) = \frac{a(n-1)}{n}$$

```
AN2:y=a(0)+a(0)*x+a(0)/2*x^2+(a(0)+2)/6*x^3
+(a(0)+2)/24*x^4+sum((a(0)+2)*x^n/n!,n,
5,inf);
AN3:y=a(0)+a(0)*x+a(0)/2*x^2+sum((a(0)+2)
*x^n/n!,n,3,inf);
EX1:1+sum(x^n/n!,n,1,inf)=%e^x;
EX2:1+x+x^2/2+sum(x^n/n!,n,3,inf)=%e^x;
EX3:solve(%,sum(x^n/n!,n,3,inf))[1];
subst(%,AN3);
AN4:expand(%)
```

(3.4.5) 式と上式から、

$$\begin{aligned} y &= (a(0)+2) \left( \sum_{n=5}^{\infty} \frac{x^n}{n!} \right) + \frac{(a(0)+2)x^4}{24} \\ &+ \frac{(a(0)+2)x^3}{6} + \frac{a(0)x^2}{2} + a(0)x + a(0) \end{aligned}$$

上式を変形し、

$$\begin{aligned} y &= (a(0)+2) \left( \sum_{n=3}^{\infty} \frac{x^n}{n!} \right) + \frac{a(0)x^2}{2} \\ &+ a(0)x + a(0) \end{aligned} \quad (3.4.6)$$

級数展開の公式<sup>1</sup>から、

$$\left( \sum_{n=1}^{\infty} \frac{x^n}{n!} \right) + 1 = e^x$$

上式を変形し、

$$\sum_{n=3}^{\infty} \frac{x^n}{n!} = \frac{2e^x - x^2 - 2x - 2}{2}$$

(3.4.5) 式に上式を代入し整理すると、

$$\begin{aligned} y &= \frac{(a(0)+2)(2e^x - x^2 - 2x - 2)}{2} + \frac{a(0)x^2}{2} \\ &+ a(0)x + a(0) \\ &= a(0)e^x + 2e^x - x^2 - 2x - 2 \end{aligned}$$

上式は、*ode2* 関数で求めた (3.4.2) 式と一致している。

<sup>1</sup>森口 繁一他：岩波数学公式 2 級数・フーリエ解析、岩波書店 1998<sup>29)</sup>、P.56

例2 .....

```
kill(all);
depends(y, [x]);
EQ:diff(y,x,1)*(x+1)-y=x*(x+1);
EQ1:lhs(%)-rhs(%)=0;
AN1:ode2(EQ1,y,x);
DANO:(x)^r*a(n)*(x)^n;
AN2:y=sum(DANO,n,0,inf);
AN21:y=sum(DANO,n,0,10);
DAN21:diff(AN21,x,1);
DDAN21:diff(AN21,x,2);
subst([DDAN21,DAN21,AN21],EQ1);
expand(%);
coeff(lhs(%),x^(r-1))=0;
solve(%,r);
```

```
coeff(lhs(EA2),x^(2))=0;
CA3:solve(%,a(3))[1];
coeff(lhs(EA2),x^(3))=0;
CA4:solve(%,a(4))[1];
coeff(lhs(EA2),x^(4))=0;
CA5:solve(%,a(5))[1];
coeff(lhs(EA2),x^(5))=0;
CA6:solve(%,a(6))[1];
C1:CA1;
C2:subst([C1],CA2);
C3:subst([C2,C1],CA3);
C4:subst([C3,C2,C1],CA4);
C5:subst([C4,C3,C2,C1],CA5);
C6:subst([C5,C4,C3,C2,C1],CA6);
y=sum(DANO,n,0,6);
subst([R1,C1,C2,C3,C4,C5,C6],%);
```

$$(x + 1) \left( \frac{d}{dx} y \right) - y = x(x + 1)$$

右辺を左辺に移項し、

$$(x + 1) \left( \frac{d}{dx} y \right) - y - x(x + 1) = 0 \quad (3.4.7)$$

ode2 関数で解くと、

$$y = (x + 1) (-\log(x + 1) + x + \%c) \quad (3.4.8)$$

級数の形として、 $x = 0$  を中心に展開する次式とする。

$$y = \sum_{n=0}^{\infty} a(n) x^{r+n} \quad (3.4.9)$$

上式を (3.4.7) 式に代入し、

$$\dots + 2a(2)x^{r+1} + a(1)rx^r + a(0)rx^r + a(1)x^r - a(0)x^r + a(0)rx^{r-1} - x^2 - x = 0$$

$x^{r-1}$  の項から、

$$a(0)r = 0$$

下記を得る。

$$[r = 0]$$

```
R1:r=0;
AN22:subst([R1],AN21);
subst([AN22],EQ1);
ev(%,diff);
EA2:expand(%);
a(1)-a(0)=0;
CA1:solve(%,a(1))[1];
coeff(lhs(EA2),x^(1))=0;
CA2:solve(%,a(2))[1];
```

(3.4.9) 式に  $r = 0$  とし、 $n = 0$  から  $n = 10$  までは、

$$y = a(10)x^{10} + a(9)x^9 + a(8)x^8 + a(7)x^7 + a(6)x^6 + a(5)x^5 + a(4)x^4 + a(3)x^3 + a(2)x^2 + a(1)x + a(0)$$

$$(3.4.10)$$

上式を (3.4.7) 式に代入し、

$$\dots x^6 + 5a(6)x^6 + 6a(6)x^5 + 4a(5)x^5 + 5a(5)x^4 + 3a(4)x^4 + 4a(4)x^3 + 2a(3)x^3 + 3a(3)x^2 + a(2)x^2 - x^2 + 2a(2)x - x + a(1) - a(0) = 0$$

上式の  $x$  の全てのべきの係数を零に等値して、

$$\begin{aligned} a(1) - a(0) &= 0, & 2a(2) - 1 &= 0 \\ 3a(3) + a(2) - 1 &= 0, & 4a(4) + 2a(3) &= 0 \\ 5a(5) + 3a(4) &= 0, & 6a(6) + 4a(5) &= 0 \end{aligned}$$

上式から、係数  $a(n)$  を求める。

$$\begin{aligned} a(1) &= a(0), & a(2) &= \frac{1}{2} \\ a(3) &= \frac{1}{6}, & a(4) &= -\frac{1}{12} \\ a(5) &= \frac{1}{20}, & a(6) &= -\frac{1}{30} \end{aligned}$$

上記の結果を (3.4.10) 式に代入すると、

$$y = -\frac{x^6}{30} + \frac{x^5}{20} - \frac{x^4}{12} + \frac{x^3}{6} + \frac{x^2}{2} + a(0)x + a(0) \quad (3.4.11)$$

```

AN31:y=sum(DAN0,n,n-8,n+5);
AN32:subst([R1],AN31);
subst([AN32],EQ1);
ev(% ,diff);
EA2:expand(%);
coeff(lhs(EA2),x^(n-2))=0;
CA4:factor(solve(% ,a(n-1))[1]);
coeff(lhs(EA2),x^(n-1))=0;
CA5:factor(solve(% ,a(n))[1]);
coeff(lhs(EA2),x^(n))=0;
CA6:factor(solve(% ,a(n+1))[1]);

```

(3.4.9) 式に  $r = 0$  とし、 $n = n - 8$  から  $n = n + 5$  までは、

$$\begin{aligned}
y = & a(n+5)x^{n+5} + a(n+4)x^{n+4} + a(n+3)x^{n+3} \\
& + a(n+2)x^{n+2} + a(n+1)x^{n+1} + a(n)x^n \\
& + a(n-1)x^{n-1} + a(n-2)x^{n-2} + a(n-3)x^{n-3} \\
& + a(n-4)x^{n-4} + a(n-5)x^{n-5} + a(n-6)x^{n-6} \\
& + a(n-7)x^{n-7} + a(n-8)x^{n-8}
\end{aligned}$$

上式を (3.4.7) 式に代入し、

$$\begin{aligned}
& \dots + na(n+1)x^{n+1} + na(n+1)x^n \\
& + a(n+1)x^n + na(n)x^n - a(n)x^n \\
& + na(n)x^{n-1} + na(n-1)x^{n-1} \\
& - 2a(n-1)x^{n-1} + na(n-1)x^{n-2} \\
& - a(n-1)x^{n-2} + na(n-2)x^{n-2} \\
& - 3a(n-2)x^{n-2} + na(n-2)x^{n-3} \\
& - 2a(n-2)x^{n-3} + \dots = 0
\end{aligned}$$

上式の  $x$  の全てのべきの係数を零に等値して、

$$na(n-1) - a(n-1) + na(n-2) - 3a(n-2) = 0$$

$$na(n) + na(n-1) - 2a(n-1) = 0$$

$$na(n+1) + a(n+1) + na(n) - a(n) = 0$$

上式から、係数  $a(n)$  を求める。

$$a(n-1) = -\frac{(n-3)a(n-2)}{n-1}$$

$$a(n) = -\frac{(n-2)a(n-1)}{n}$$

$$a(n+1) = -\frac{(n-1)a(n)}{n+1}$$

```

AN2:y=a(0)+a(0)*x+1/2*x^2-sum((-1)^n*x^n
*(n-2)!/n!,n,3,inf);
y=a(0)+a(0)*x+1/2*x^2-sum((-1)^n*x^n
*(n-2)!/n!,n,3,7);
y=a(0)+a(0)*x+1/2*x^2-sum((-1)^n*x^n/n
/(n-1),n,3,inf);
y=a(0)+a(0)*x+1/2*x^2-sum((-1)^n*x^n
*(1/(n-1)-1/n),n,3,inf);
y=a(0)+a(0)*x+1/2*x^2-x*sum((-1)^(n-1)*(-1)
*x^(n-1)*(1/(n-1)),n,3,inf)-sum((-1)^n*x^n
*(-1/n),n,3,inf);
y=a(0)+a(0)*x-x*sum((-1)^(n-1)*(-1)*x^(n-1)
*(1/(n-1)),n,3,inf)-sum((-1)^n*x^n*(-1/n),
n,2,inf);
y=a(0)+a(0)*x-x*sum((-1)^(n)*(-1)*x^(n)*(1
/(n)),n,2,inf)-sum((-1)^n*x^n*(-1/n),n,2,
inf);
AN3:y=a(0)+a(0)*x-x*(sum((-1)^(n)*(-1)*
x^(n)*(1/(n)),n,1,inf)+x)-(sum((-1)^n*x^n*
(-1/n),n,1,inf)+x);
LOG1:sum((-1)^(n-1)*x^n*(1/n),n,1,inf)
=log(1+x);
LOG2:sum((-1)^(n)*x^n*(1/n),n,1,inf)
=-log(1+x);
subst([LOG2],AN3);
factor(%);
AN1;

```

(3.4.11) 式と上式から、

$$\begin{aligned}
y = & -\left(\sum_{n=3}^{\infty} \frac{(-1)^n (n-2)! x^n}{n!}\right) \\
& + \frac{x^2}{2} + a(0)x + a(0)
\end{aligned}$$

上式を変形し、

$$\begin{aligned}
y = & -\left(\sum_{n=3}^{\infty} \frac{(-1)^n x^n}{(n-1)n}\right) + \frac{x^2}{2} + a(0)x + a(0) \\
= & -\left(\sum_{n=3}^{\infty} \left(\frac{1}{n-1} - \frac{1}{n}\right) (-1)^n x^n\right) \\
& + \frac{x^2}{2} + a(0)x + a(0) \\
= & \left(\sum_{n=3}^{\infty} \frac{(-1)^n x^n}{n}\right) + x \left(\sum_{n=3}^{\infty} \frac{(-1)^{n-1} x^{n-1}}{n-1}\right) \\
& + \frac{x^2}{2} + a(0)x + a(0)
\end{aligned}$$

更に、

$$\begin{aligned}
 y &= x \left( \sum_{n=2}^{\infty} \frac{(-1)^n x^n}{n} \right) + \left( \sum_{n=2}^{\infty} \frac{(-1)^n x^n}{n} \right) \\
 &\quad + a(0) x + a(0) \\
 &= \left( \sum_{n=1}^{\infty} \frac{(-1)^n x^n}{n} \right) - x \left( x - \sum_{n=1}^{\infty} \frac{(-1)^n x^n}{n} \right) \\
 &\quad + a(0) x - x + a(0)
 \end{aligned}
 \tag{3.4.12}$$

級数展開の公式<sup>1</sup>から、

$$\sum_{n=1}^{\infty} \frac{x^n}{n} = -\log(1-x)$$

上式を変形し、

$$\sum_{n=1}^{\infty} \frac{(-1)^n x^n}{n} = -\log(x+1)$$

(3.4.11) 式に上式を代入し整理すると、

$$\begin{aligned}
 y &= -x (\log(x+1) + x) - \log(x+1) \\
 &\quad + a(0) x - x + a(0) \\
 &= -(x+1) (\log(x+1) + x - a(0)) \\
 &= (x+1) (-\log(x+1) + x + a(0))
 \end{aligned}$$

上式は、ode2関数で求めた(3.4.8)式と一致している。

例3 .....

```

kill(all);
depends(y, [x]);
EQ: 2*x^2*diff(y,x,2)-x*diff(y,x,1)
+(1-x^2)*y=0;
EQ1: lhs(%) - rhs(%) = 0;
AN1: ode2(EQ1, y, x);
DAN0: (x)^r*a(n)*(x)^n;
AN2: y=sum(DAN0, n, 0, inf);
AN21: y=sum(DAN0, n, 0, 10);
DAN21: diff(AN21, x, 1);
DDAN21: diff(AN21, x, 2);
subst([DDAN21, DAN21, AN21], EQ1);
expand(%);
coeff(lhs(%), x^r)=0;
solve(%, r);
    
```

$$2x^2 \left( \frac{d^2}{dx^2} y \right) - x \left( \frac{d}{dx} y \right) + (1-x^2) y = 0 \tag{3.4.13}$$

ode2関数では解けない。

級数の形として、 $x=0$ を中心に展開する次式とする。

$$y = \sum_{n=0}^{\infty} a(n) x^{r+n} \tag{3.4.14}$$

上式を(3.4.13)式に代入し、

$$\begin{aligned}
 &\dots - a(1) x^{r+3} + 2a(2) r^2 x^{r+2} + 5a(2) r x^{r+2} \\
 &\quad + 3a(2) x^{r+2} - a(0) x^{r+2} + 2a(1) r^2 x^{r+1} \\
 &\quad + a(1) r x^{r+1} + 2a(0) r^2 x^r - 3a(0) r x^r \\
 &\quad + a(0) x^r = 0
 \end{aligned}$$

$x^{r-1}$ の項から、

$$2a(0) r^2 - 3a(0) r + a(0) = 0$$

下記を得る。

$$\left[ r = 1, r = \frac{1}{2} \right]$$

級数は $r=1$ で、これに1つつ増加した $x$ のべき級数となる。 $r=\frac{1}{2}$ の級数は $r=1$ の級数と重ならないため、独立の解が得られる。

<sup>1</sup>森口 繁一他：岩波数学公式2 級数・フーリエ解析、岩波書店 1998<sup>29)</sup>, P.54

$r = 1$  の場合

```
R1:r=1;
AN22:subst([R1],AN21);
DAN22:subst([R1],DAN21);
DDAN22:subst([R1],DDAN21);
subst([DDAN22,DAN22,AN22],EQ1);
EA2:expand(%);
coeff(lhs(EA2),x^2)=0;
CA1:solve(%,a(1))[1];
coeff(lhs(EA2),x^3)=0;
CA2:solve(%,a(2))[1];
coeff(lhs(EA2),x^4)=0;
CA3:solve(%,a(3))[1];
coeff(lhs(EA2),x^5)=0;
CA4:solve(%,a(4))[1];
coeff(lhs(EA2),x^6)=0;
CA5:solve(%,a(5))[1];
coeff(lhs(EA2),x^7)=0;
CA6:solve(%,a(6))[1];
C1:CA1;
C2:subst([C1],CA2);
C3:subst([C2,C1],CA3);
C4:subst([C3,C2,C1],CA4);
C5:subst([C4,C3,C2,C1],CA5);
C6:subst([C5,C4,C3,C2,C1],CA6);
```

(3.4.14) 式に  $r = 1$  とし、 $n = 0$  から  $n = 10$  までは、

$$y = a(10)x^{11} + a(9)x^{10} + a(8)x^9 + a(7)x^8 \\ + a(6)x^7 + a(5)x^6 + a(4)x^5 + a(3)x^4 \\ + a(2)x^3 + a(1)x^2 + a(0)x$$

上式を (3.4.13) 式に代入し、

$$\dots - a(6)x^9 + 105a(7)x^8 - a(5)x^8 \\ + 78a(6)x^7 - a(4)x^7 + 55a(5)x^6 \\ - a(3)x^6 + 36a(4)x^5 - a(2)x^5 \\ + 21a(3)x^4 - a(1)x^4 + 10a(2)x^3 \\ - a(0)x^3 + 3a(1)x^2 = 0$$

上式の  $x$  の全てのべきの係数を零に等値して、

$$3a(1) = 0, \quad 10a(2) - a(0) = 0 \\ 21a(3) - a(1) = 0, \quad 36a(4) - a(2) = 0 \\ 55a(5) - a(3) = 0, \quad 78a(6) - a(4) = 0$$

上式から、係数  $a(n)$  を求める。

$$a(1) = 0, \quad a(2) = \frac{a(0)}{10}, \quad a(3) = 0 \\ a(4) = \frac{a(0)}{360}, \quad a(5) = 0, \quad a(6) = \frac{a(0)}{28080} \quad (3.4.15)$$

```
ANN1:y=sum(DANO,n,n-5,n+5);
DANN1:diff(ANN1,x,1);
DDANN1:diff(ANN1,x,2);
ANN2:subst([R1],ANN1);
DANN2:subst([R1],DANN1);
DDANN2:subst([R1],DDANN1);
subst([DDANN2,DANN2,ANN2],EQ1);
EA2:expand(%);
coeff(lhs(EA2),x^(n))=0;
CA1:factor(solve(%,a(n-1))[1]);
coeff(lhs(EA2),x^(n+1))=0;
CA2:factor(solve(%,a(n))[1]);
coeff(lhs(EA2),x^(n+2))=0;
CA3:factor(solve(%,a(n+1))[1]);
```

(3.4.14) 式に  $r = 1$  とし、 $n = n - 5$  から  $n = n + 5$  までは、

$$y = a(n+5)x^{n+6} + a(n+4)x^{n+5} + a(n+3)x^{n+4} \\ + a(n+2)x^{n+3} + a(n+1)x^{n+2} + a(n)x^{n+1} \\ + a(n-1)x^n + a(n-2)x^{n-1} + a(n-3)x^{n-2} \\ + a(n-4)x^{n-3} + a(n-5)x^{n-4}$$

上式を (3.4.13) 式に代入し、

$$\dots - a(n+1)x^{n+4} + 2n^2a(n+2)x^{n+3} \\ + 9na(n+2)x^{n+3} + 10a(n+2)x^{n+3} \\ - a(n)x^{n+3} + 2n^2a(n+1)x^{n+2} \\ + 5na(n+1)x^{n+2} + 3a(n+1)x^{n+2} \\ - a(n-1)x^{n+2} + 2n^2a(n)x^{n+1} \\ + na(n)x^{n+1} - a(n-2)x^{n+1} \\ + 2n^2a(n-1)x^n - 3na(n-1)x^n \\ + a(n-1)x^n - a(n-3)x^n \\ + 2n^2a(n-2)x^{n-1} - 7na(n-2)x^{n-1} \\ + 6a(n-2)x^{n-1} + \dots = 0$$

上式の  $x$  の全てのべきの係数を零に等値して、

$$2n^2a(n-1) - 3na(n-1) + a(n-1) \\ - a(n-3) = 0 \\ 2n^2a(n) + na(n) - a(n-2) = 0 \\ 2n^2a(n+1) + 5na(n+1) + 3a(n+1) \\ - a(n-1) = 0$$

上式から、係数  $a(n)$  を求める。

$$a(n-1) = \frac{a(n-3)}{(n-1)(2n-1)} \\ a(n) = \frac{a(n-2)}{n(2n+1)}$$

$$a(n+1) = \frac{a(n-1)}{(n+1)(2n+3)}$$

$r = \frac{1}{2}$  の場合

```

y=a(0)*x*(1+1/10*x^2+1/360*x^4
+1/28080*x^6
+sum(product(1/(2*m)*1/(4*m+1),
m,1,n)
*x^(2*n),n,4,inf));
Y1:y[1]=a(0)*x*(1+sum(product(1/(2*m)
*1/(4*m+1),
m,1,n)*x^(2*n),n,1,inf));

```

(3.4.15) 式と上式から、

$$y = a(0) x \left( \left( \sum_{n=4}^{\infty} \left( \prod_{m=1}^n \frac{1}{2m(4m+1)} \right) x^{2n} \right) + \frac{x^6}{28080} + \frac{x^4}{360} + \frac{x^2}{10} + 1 \right)$$

上式を変形し、

$$y_1 = a(0) x \left( \left( \sum_{n=1}^{\infty} \left( \prod_{m=1}^n \frac{1}{2m(4m+1)} \right) x^{2n} \right) + 1 \right) \quad (3.4.16)$$

```

R1:r=1/2;
AN22:subst([R1],AN21);
DAN22:subst([R1],DAN21);
DDAN22:subst([R1],DDAN21);
subst([DDAN22,DAN22,AN22],EQ1);
EA2:expand(%);
coeff(lhs(EA2),x^(3/2))=0;
CA1:solve(%,a(1))[1];
coeff(lhs(EA2),x^(5/2))=0;
CA2:solve(%,a(2))[1];
coeff(lhs(EA2),x^(7/2))=0;
CA3:solve(%,a(3))[1];
coeff(lhs(EA2),x^(9/2))=0;
CA4:solve(%,a(4))[1];
coeff(lhs(EA2),x^(11/2))=0;
CA5:solve(%,a(5))[1];
coeff(lhs(EA2),x^(13/2))=0;
CA6:solve(%,a(6))[1];
C1:CA1;
C2:subst([C1],CA2);
C3:subst([C2,C1],CA3);
C4:subst([C3,C2,C1],CA4);
C5:subst([C4,C3,C2,C1],CA5);
C6:subst([C5,C4,C3,C2,C1],CA6);

```

(3.4.14) 式に  $r = \frac{1}{2}$  とし、 $n = 0$  から  $n = 10$  までは、

$$y = a(10) x^{\frac{21}{2}} + a(9) x^{\frac{19}{2}} + a(8) x^{\frac{17}{2}} + a(7) x^{\frac{15}{2}} + a(6) x^{\frac{13}{2}} + a(5) x^{\frac{11}{2}} + a(4) x^{\frac{9}{2}} + a(3) x^{\frac{7}{2}} + a(2) x^{\frac{5}{2}} + a(1) x^{\frac{3}{2}} + a(0) \sqrt{x}$$

上式を (3.4.13) 式に代入し、

$$\begin{aligned} & \dots - a(6) x^{\frac{17}{2}} + 91 a(7) x^{\frac{15}{2}} - a(5) x^{\frac{15}{2}} \\ & + 66 a(6) x^{\frac{13}{2}} - a(4) x^{\frac{13}{2}} + 45 a(5) x^{\frac{11}{2}} \\ & - a(3) x^{\frac{11}{2}} + 28 a(4) x^{\frac{9}{2}} - a(2) x^{\frac{9}{2}} \\ & + 15 a(3) x^{\frac{7}{2}} - a(1) x^{\frac{7}{2}} + 6 a(2) x^{\frac{5}{2}} \\ & - a(0) x^{\frac{5}{2}} + a(1) x^{\frac{3}{2}} = 0 \end{aligned}$$

上式の  $x$  の全てのべきの係数を零に等値して、

$$\begin{aligned} a(1) &= 0, & 6a(2) - a(0) &= 0 \\ 15a(3) - a(1) &= 0, & 28a(4) - a(2) &= 0 \\ 45a(5) - a(3) &= 0, & 66a(6) - a(4) &= 0 \end{aligned}$$

上式から、係数  $a(n)$  を求める。

$$\begin{aligned} a(1) &= 0, & a(2) &= \frac{a(0)}{6}, & a(3) &= 0 \\ a(4) &= \frac{a(0)}{168}, & a(5) &= 0, & a(6) &= \frac{a(0)}{11088} \end{aligned} \quad (3.4.17)$$

```

AN21:y=sum(DAN0,n,n-5,n+5);
DAN21:diff(AN21,x,1);
DDAN21:diff(AN21,x,2);
AN22:subst([R1],AN21);
DAN22:subst([R1],DAN21);
DDAN22:subst([R1],DDAN21);
subst([DDAN22,DAN22,AN22],EQ1);
EA2:expand(%);
coeff(lhs(EA2),x^(n-1/2))=0;
CA1:factor(solve(%,a(n-1))[1]);
coeff(lhs(EA2),x^(n+1/2))=0;
CA2:factor(solve(%,a(n))[1]);
coeff(lhs(EA2),x^(n+3/2))=0;
CA3:factor(solve(%,a(n+1))[1]);

```

(3.4.14) 式に  $r = \frac{1}{2}$  とし、 $n = n - 5$  から  $n = n + 5$  までは、

$$\begin{aligned}
y = & a(n+5) x^{n+\frac{11}{2}} + a(n+4) x^{n+\frac{9}{2}} \\
& + a(n+3) x^{n+\frac{7}{2}} + a(n+2) x^{n+\frac{5}{2}} \\
& + a(n+1) x^{n+\frac{3}{2}} + a(n) x^{n+\frac{1}{2}} \\
& + a(n-1) x^{n-\frac{1}{2}} + a(n-2) x^{n-\frac{3}{2}} \\
& + a(n-3) x^{n-\frac{5}{2}} + a(n-4) x^{n-\frac{7}{2}} \\
& + a(n-5) x^{n-\frac{9}{2}}
\end{aligned}$$

上式を (3.4.13) 式に代入し、

$$\begin{aligned}
& \cdots + 2n^2 a(n+1) x^{n+\frac{3}{2}} + 3na(n+1) x^{n+\frac{3}{2}} \\
& + a(n+1) x^{n+\frac{3}{2}} - a(n-1) x^{n+\frac{3}{2}} \\
& + 2n^2 a(n) x^{n+\frac{1}{2}} - na(n) x^{n+\frac{1}{2}} \\
& - a(n-2) x^{n+\frac{1}{2}} + 2n^2 a(n-1) x^{n-\frac{1}{2}} \\
& - 5na(n-1) x^{n-\frac{1}{2}} + 3a(n-1) x^{n-\frac{1}{2}} \\
& - a(n-3) x^{n-\frac{1}{2}} + 2n^2 a(n-2) x^{n-\frac{3}{2}} \\
& - 9na(n-2) x^{n-\frac{3}{2}} + 10a(n-2) x^{n-\frac{3}{2}} \\
& + \cdots = 0
\end{aligned}$$

上式の  $x$  の全てのべきの係数を零に等値して、

$$\begin{aligned}
2n^2 a(n-1) - 5na(n-1) + 3a(n-1) \\
- a(n-3) &= 0 \\
2n^2 a(n) - na(n) - a(n-2) &= 0 \\
2n^2 a(n+1) + 3na(n+1) + a(n+1) \\
- a(n-1) &= 0
\end{aligned}$$

上式から、係数： $a(n)$  を求める。

$$\begin{aligned}
a(n-1) &= \frac{a(n-3)}{(n-1)(2n-3)} \\
a(n) &= \frac{a(n-2)}{n(2n-1)}
\end{aligned}$$

$$a(n+1) = \frac{a(n-1)}{(n+1)(2n+1)}$$

```

y=a(0)*x^(1/2)*(1+1/6*x^2+1/168*x^4
+1/11088*x^6+sum(product(1/(2*m)
*1/(4*m-1),m,1,n)*x^(2*n),n,4,inf));
y[2]=a(0)*x^(1/2)*(1+sum(product(1/(2*m)
*1/(4*m-1),m,1,n)*x^(2*n),n,1,inf));
y=y[1]+y[2]*%c1;

```

(3.4.17) 式と上式から、

$$\begin{aligned}
y = a(0) \sqrt{x} \left( \left( \sum_{n=4}^{\infty} \left( \prod_{m=1}^n \frac{1}{2m(4m-1)} \right) x^{2n} \right) \right. \\
\left. + \frac{x^6}{11088} + \frac{x^4}{168} + \frac{x^2}{6} + 1 \right)
\end{aligned}$$

上式を変形し、

$$y_2 = a(0) \sqrt{x} \left( \left( \sum_{n=1}^{\infty} \left( \prod_{m=1}^n \frac{1}{2m(4m-1)} \right) x^{2n} \right) + 1 \right)$$

(3.4.16) 式と上式から、一般解は、

$$y = y_2 \%c1 + y_1$$

例4 .....

```
kill(all);
depends(y, [x,r]);
EQ:diff(y,x,2)+1/x*diff(y,x,1)-1/x*y=0;
EQ1:expand(EQ*x);
ode2(EQ1,y,x);
DAN0:(x)^r*a(n)*(x)^n;
AN2:y=sum(DAN0,n,0,inf);
AN21:y=sum(DAN0,n,0,10);
DAN21:diff(AN21,x,1);
DDAN21:diff(AN21,x,2);
subst([DDAN21,DAN21,AN21],EQ1);
expand(%);
coeff(lhs(%),x^(r-1))=0;
solve(%,r);
```

$$x \left( \frac{d^2}{dx^2} y \right) + \frac{d}{dx} y - y = 0 \quad (3.4.18)$$

ode2 関数では解けない。  
級数の形として、 $x = 0$  を中心に展開する次式とする。

$$y = \sum_{n=0}^{\infty} a(n) x^{r+n} \quad (3.4.19)$$

上式を (3.4.18) 式に代入し、

$$\dots - a(1) x^{r+1} + a(1) r^2 x^r + 2a(1) r x^r + a(1) x^r - a(0) x^r + a(0) r^2 x^{r-1} = 0$$

$x^{r-1}$  の項から、

$$a(0) r^2 = 0$$

下記の重根を得る。

$$[r = 0]$$

```
R1:r=r;
AN22:subst([R1],AN21);
subst([AN22],EQ1);
ev(%,diff);
EA2:expand(%);
coeff(lhs(EA2),x^(r))=0;
CA1:factor(solve(%,a(1))[1]);
coeff(lhs(EA2),x^(r+1))=0;
CA2:factor(solve(%,a(2))[1]);
coeff(lhs(EA2),x^(r+2))=0;
CA3:factor(solve(%,a(3))[1]);
coeff(lhs(EA2),x^(r+3))=0;
CA4:factor(solve(%,a(4))[1]);
```

```
coeff(lhs(EA2),x^(r+4))=0;
CA5:factor(solve(%,a(5))[1]);
coeff(lhs(EA2),x^(r+5))=0;
CA6:factor(solve(%,a(6))[1]);
C1:CA1;
C2:factor(subst([C1],CA2));
C3:factor(subst([C2,C1],CA3));
C4:factor(subst([C3,C2,C1],CA4));
C5:factor(subst([C4,C3,C2,C1],CA5));
C6:factor(subst([C5,C4,C3,C2,C1],CA6));
```

(3.4.19) 式に  $r = r$  で残しておき、 $n = 0$  から  $n = 10$  までは、

$$y = a(10) x^{r+10} + a(9) x^{r+9} + a(8) x^{r+8} + a(7) x^{r+7} + a(6) x^{r+6} + a(5) x^{r+5} + a(4) x^{r+4} + a(3) x^{r+3} + a(2) x^{r+2} + a(1) x^{r+1} + a(0) x^r$$

上式を (3.4.18) 式に代入し、

$$\begin{aligned} &\dots - a(6) x^{r+6} + a(6) r^2 x^{r+5} \\ &+ 12a(6) r x^{r+5} + 36a(6) x^{r+5} \\ &- a(5) x^{r+5} + a(5) r^2 x^{r+4} \\ &+ 10a(5) r x^{r+4} + 25a(5) x^{r+4} \\ &- a(4) x^{r+4} + a(4) r^2 x^{r+3} \\ &+ 8a(4) r x^{r+3} + 16a(4) x^{r+3} \\ &- a(3) x^{r+3} + a(3) r^2 x^{r+2} \\ &+ 6a(3) r x^{r+2} + 9a(3) x^{r+2} \\ &- a(2) x^{r+2} + a(2) r^2 x^{r+1} \\ &+ 4a(2) r x^{r+1} + 4a(2) x^{r+1} \\ &- a(1) x^{r+1} + a(1) r^2 x^r \\ &+ 2a(1) r x^r + a(1) x^r \\ &- a(0) x^r + a(0) r^2 x^{r-1} = 0 \end{aligned}$$

上式の  $x$  の全てのべきの係数を零に等値して、

$$\begin{aligned} a(1) r^2 + 2a(1) r + a(1) - a(0) &= 0 \\ a(2) r^2 + 4a(2) r + 4a(2) - a(1) &= 0 \\ a(3) r^2 + 6a(3) r + 9a(3) - a(2) &= 0 \\ a(4) r^2 + 8a(4) r + 16a(4) - a(3) &= 0 \\ a(5) r^2 + 10a(5) r + 25a(5) - a(4) &= 0 \\ a(6) r^2 + 12a(6) r + 36a(6) - a(5) &= 0 \end{aligned}$$

上式から、係数  $a(n)$  を求める。

$$a(1) = \frac{a(0)}{(r+1)^2}$$

$$a(2) = \frac{a(0)}{(r+1)^2 (r+2)^2}$$



$$\begin{aligned}
 a(3) &= \frac{a(0)}{(r+1)^2 (r+2)^2 (r+3)^2} \\
 a(4) &= \frac{a(0)}{(r+1)^2 (r+2)^2 (r+3)^2 (r+4)^2} \\
 a(5) &= \frac{a(0)}{(r+1)^2 (r+2)^2 (r+3)^2 (r+4)^2 (r+5)^2} \\
 a(6) &= \frac{a(0)}{(r+1)^2 (r+2)^2 (r+3)^2 (r+4)^2 (r+5)^2 (r+6)^2} \quad (3.4.20)
 \end{aligned}$$

```

AN21:y=sum(DAN0,n,n-5,n+5);
DAN21:diff(AN21,x,1);
DDAN21:diff(AN21,x,2);
AN22:subst([R1],AN21);
DAN22:subst([R1],DAN21);
DDAN22:subst([R1],DDAN21);
subst([DDAN22,DAN22,AN22],EQ1);
EA2:expand(%);
coeff(lhs(EA2),x^(r+n-2))=0;
CA1:factor(solve(%,a(n-1))[1]);
coeff(lhs(EA2),x^(r+n-1))=0;
CA2:factor(solve(%,a(n))[1]);
coeff(lhs(EA2),x^(r+n))=0;
CA3:factor(solve(%,a(n+1))[1]);

```

(3.4.19) 式に  $r = r$  とし、 $n = n - 5$  から  $n = n + 5$  までは、

$$\begin{aligned}
 y &= a(n+5) x^{r+n+5} + a(n+4) x^{r+n+4} \\
 &+ a(n+3) x^{r+n+3} + a(n+2) x^{r+n+2} \\
 &+ a(n+1) x^{r+n+1} + a(n) x^{r+n} \\
 &+ a(n-1) x^{r+n-1} + a(n-2) x^{r+n-2} \\
 &+ a(n-3) x^{r+n-3} + a(n-4) x^{r+n-4} \\
 &+ a(n-5) x^{r+n-5}
 \end{aligned}$$

上式を (3.4.18) 式に代入し、

$$\begin{aligned}
 \dots - a(n+1) x^{r+n+1} &+ a(n+1) r^2 x^{r+n} \\
 + 2na(n+1) r x^{r+n} &+ 2a(n+1) r x^{r+n} \\
 + n^2 a(n+1) x^{r+n} &+ 2na(n+1) x^{r+n} \\
 + a(n+1) x^{r+n} - a(n) x^{r+n} \\
 + a(n) r^2 x^{r+n-1} &+ 2na(n) r x^{r+n-1} \\
 + n^2 a(n) x^{r+n-1} - a(n-1) x^{r+n-1} \\
 + a(n-1) r^2 x^{r+n-2} &+ 2na(n-1) r x^{r+n-2} \\
 - 2a(n-1) r x^{r+n-2} &+ n^2 a(n-1) x^{r+n-2} \\
 - 2na(n-1) x^{r+n-2} &+ a(n-1) x^{r+n-2} \\
 - a(n-2) x^{r+n-2} &+ a(n-2) r^2 x^{r+n-3} \\
 + 2na(n-2) r x^{r+n-3} &- 4a(n-2) r x^{r+n-3} \\
 + n^2 a(n-2) x^{r+n-3} &- 4na(n-2) x^{r+n-3} \\
 + 4a(n-2) x^{r+n-3} &+ \dots
 \end{aligned}$$

上式の  $x$  の全てのべきの係数を零に等値して、

$$\begin{aligned}
 a(n-1) r^2 + 2na(n-1) r - 2a(n-1) r \\
 + n^2 a(n-1) - 2na(n-1) \\
 + a(n-1) - a(n-2) &= 0 \\
 a(n) r^2 + 2na(n) r + n^2 a(n) - a(n-1) &= 0 \\
 a(n+1) r^2 + 2na(n+1) r + 2a(n+1) r \\
 + n^2 a(n+1) + 2na(n+1) \\
 + a(n+1) - a(n) &= 0
 \end{aligned}$$

上式から、係数  $a(n)$  を求める。

$$\begin{aligned}
 a(n-1) &= \frac{a(n-2)}{(r+n-1)^2} \\
 a(n) &= \frac{a(n-1)}{(r+n)^2} \\
 a(n+1) &= \frac{a(n)}{(r+n+1)^2}
 \end{aligned}$$

```

Y1:y=a(0)*x^r*(1+sum(product(
      1/((r+m))^2,m,1,n)*x^n,n,1,inf));
Y2:diff(Y1,r,1);
y[1]=subst([r=0],rhs(Y1));
y[2]=subst([r=0,a(0)=b(0)],rhs(Y2));
y=y[1]+y[2];

```

(3.4.20) 式と上式の係数  $a(n)$  の関係式から、解は、

$$y = a(0) x^r \left( \left( \sum_{n=1}^{\infty} \left( \prod_{m=1}^n \frac{1}{(r+m)^2} \right) x^n \right) + 1 \right)$$

もう一つの解は、 $r$  が重根であるので、上式を  $r$  で微分して、

$$\begin{aligned}
 \frac{d}{dr} y &= a(0) x^r \log(x) \\
 &\times \left( \left( \sum_{n=1}^{\infty} \left( \prod_{m=1}^n \frac{1}{(r+m)^2} \right) x^n \right) + 1 \right) \\
 &- 2a(0) x^r \\
 &\times \sum_{n=1}^{\infty} \left( \prod_{m=1}^n \frac{1}{(r+m)^2} \right) \left( \sum_{m=1}^n \frac{1}{r+m} \right) x^n
 \end{aligned}$$

上式で  $r = 0$  として、二つの解は、

$$\begin{aligned}
 y_1 &= a(0) \left( \left( \sum_{n=1}^{\infty} \left( \prod_{m=1}^n \frac{1}{m^2} \right) x^n \right) + 1 \right) \\
 y_2 &= b(0) \log(x) \left( \left( \sum_{n=1}^{\infty} \left( \prod_{m=1}^n \frac{1}{m^2} \right) x^n \right) + 1 \right) \\
 &- 2b(0) \sum_{n=1}^{\infty} \left( \prod_{m=1}^n \frac{1}{m^2} \right) \left( \sum_{m=1}^n \frac{1}{m} \right) x^n \quad (3.4.21)
 \end{aligned}$$

一般解は、

$$y = y_2 + y_1$$

## 3.4.2 Bessel の微分方程式

$$x^2 \left( \frac{d^2}{dx^2} y \right) + x \left( \frac{d}{dx} y \right) + (x^2 - \alpha^2) y = 0 \quad (3.4.22)$$

の形の微分方程式を Bessel の微分方程式という。

```
kill(all);
depends(y, [x,r]);
EQ1:x^2*dif(y,x,2)+x*dif(y,x,1)+(x^2
-\alpha^2)*y=0;
DANO:(x)^r*a(n)*(x)^n;
AN2:y=sum(DANO,n,0,inf);
AN21:y=sum(DANO,n,0,10);
subst([AN21],EQ1);
ev(% ,diff);
expand(%);
coeff(lhs(%),x^(r))=0;
solve(% ,r);
```

級数の形として、 $x = 0$  を中心に展開する次式とする。

$$y = \sum_{n=0}^{\infty} a(n) x^{r+n} \quad (3.4.23)$$

上式を (3.4.22) 式に代入し、

$$\begin{aligned} & \dots + a(0) x^{r+2} + a(1) r^2 x^{r+1} + 2a(1) r x^{r+1} \\ & - a(1) \alpha^2 x^{r+1} + a(1) x^{r+1} + a(0) r^2 x^r \\ & - a(0) \alpha^2 x^r = 0 \end{aligned}$$

$x^r$  の項から、

$$a(0) r^2 - a(0) \alpha^2 = 0$$

下記を得る。

$$[r = -\alpha, r = \alpha]$$

```
R1:r=\alpha;
AN22:subst([R1],AN21);
subst([AN22],EQ1);
ev(% ,diff);
EA2:expand(%);
coeff(lhs(EA2),x^(alpha+1))=0;
CA1:solve(% ,a(1))[1];
coeff(lhs(EA2),x^(alpha+2))=0;
CA2:solve(% ,a(2))[1];
coeff(lhs(EA2),x^(alpha+3))=0;
CA3:solve(% ,a(3))[1];
coeff(lhs(EA2),x^(alpha+4))=0;
CA4:solve(% ,a(4))[1];
coeff(lhs(EA2),x^(alpha+5))=0;
```

```
CA5:solve(% ,a(5))[1];
coeff(lhs(EA2),x^(alpha+6))=0;
CA6:solve(% ,a(6))[1];
C1:CA1;
C2:factor(subst([C1],CA2));
C3:factor(subst([C2,C1],CA3));
C4:factor(subst([C3,C2,C1],CA4));
C5:factor(subst([C4,C3,C2,C1],CA5));
C6:factor(subst([C5,C4,C3,C2,C1],CA6));
y=sum(DANO,n,0,6);
subst([R1,C1,C2,C3,C4,C5,C6],%);
```

(3.4.23) 式に  $r = \alpha$  とし、 $n = 0$  から  $n = 10$  までは、

$$\begin{aligned} y = & a(10) x^{\alpha+10} + a(9) x^{\alpha+9} + a(8) x^{\alpha+8} \\ & + a(7) x^{\alpha+7} + a(6) x^{\alpha+6} + a(5) x^{\alpha+5} \\ & + a(4) x^{\alpha+4} + a(3) x^{\alpha+3} + a(2) x^{\alpha+2} \\ & + a(1) x^{\alpha+1} + a(0) x^{\alpha} \end{aligned}$$

上式を (3.4.22) 式に代入し、

$$\begin{aligned} & \dots + a(6) x^{\alpha+8} + 14a(7) \alpha x^{\alpha+7} \\ & + 49a(7) x^{\alpha+7} + a(5) x^{\alpha+7} + 12a(6) \alpha x^{\alpha+6} \\ & + 36a(6) x^{\alpha+6} + a(4) x^{\alpha+6} + 10a(5) \alpha x^{\alpha+5} \\ & + 25a(5) x^{\alpha+5} + a(3) x^{\alpha+5} + 8a(4) \alpha x^{\alpha+4} \\ & + 16a(4) x^{\alpha+4} + a(2) x^{\alpha+4} + 6a(3) \alpha x^{\alpha+3} \\ & + 9a(3) x^{\alpha+3} + a(1) x^{\alpha+3} + 4a(2) \alpha x^{\alpha+2} \\ & + 4a(2) x^{\alpha+2} + a(0) x^{\alpha+2} + 2a(1) \alpha x^{\alpha+1} \\ & + a(1) x^{\alpha+1} = 0 \end{aligned}$$

上式の  $x$  の全てのべきの係数を零に等値して、

$$4a(2) \alpha + 4a(2) + a(0) = 0$$

$$2a(1) \alpha + a(1) = 0$$

$$6a(3) \alpha + 9a(3) + a(1) = 0$$

$$8a(4) \alpha + 16a(4) + a(2) = 0$$

$$10a(5) \alpha + 25a(5) + a(3) = 0$$

$$12a(6) \alpha + 36a(6) + a(4) = 0$$

上式から、係数  $a(n)$  を求める。

$$a(1) = 0, \quad a(2) = -\frac{a(0)}{4(\alpha+1)}, \quad a(3) = 0,$$

$$a(4) = \frac{a(0)}{32(\alpha+1)(\alpha+2)}, \quad a(5) = 0,$$

$$a(6) = -\frac{a(0)}{384(\alpha+1)(\alpha+2)(\alpha+3)}$$

上式を (3.4.23) 式に代入すると、級数は、

$$y = \dots - \frac{a(0) x^{\alpha+6}}{384 (\alpha+1) (\alpha+2) (\alpha+3)} + \frac{a(0) x^{\alpha+4}}{32 (\alpha+1) (\alpha+2)} - \frac{a(0) x^{\alpha+2}}{4 (\alpha+1)} + a(0) x^{\alpha} \quad (3.4.24)$$

```
AN31:y=sum(DAN0,n,n-5,n+5);
AN32:subst([R1],AN31);
subst([AN32],EQ1);
ev(%,diff);
EA2:expand(%);
coeff(lhs(EA2),x^(alpha+n-4))=0;
CA1:factor(solve(%,a(n-4))[1]);
coeff(lhs(EA2),x^(alpha+n-3))=0;
CA2:factor(solve(%,a(n-3))[1]);
coeff(lhs(EA2),x^(alpha+n-2))=0;
CA3:factor(solve(%,a(n-2))[1]);
coeff(lhs(EA2),x^(alpha+n-1))=0;
CA4:factor(solve(%,a(n-1))[1]);
coeff(lhs(EA2),x^(alpha+n))=0;
CA5:factor(solve(%,a(n))[1]);
coeff(lhs(EA2),x^(alpha+n+1))=0;
CA6:factor(solve(%,a(n+1))[1]);
subst([CA3,CA1],CA5);
subst([n=2*k],%);
factor(%);
```

(3.4.23) 式に  $r = \alpha$  とし、 $n = n - 5$  から  $n = n + 5$  までは、

$$y = a(n+5) x^{n+\alpha+5} + a(n+4) x^{n+\alpha+4} + a(n+3) x^{n+\alpha+3} + a(n+2) x^{n+\alpha+2} + a(n+1) x^{n+\alpha+1} + a(n) x^{n+\alpha} + a(n-1) x^{n+\alpha-1} + a(n-2) x^{n+\alpha-2} + a(n-3) x^{n+\alpha-3} + a(n-4) x^{n+\alpha-4} + a(n-5) x^{n+\alpha-5} \quad (3.4.25)$$

上式を (3.4.22) 式に代入し、

$$\begin{aligned} & \dots + n^2 a(n+1) x^{n+\alpha+1} + 2\alpha n a(n+1) x^{n+\alpha+1} \\ & + 2n a(n+1) x^{n+\alpha+1} + 2\alpha a(n+1) x^{n+\alpha+1} \\ & + a(n+1) x^{n+\alpha+1} + a(n-1) x^{n+\alpha+1} \\ & + n^2 a(n) x^{n+\alpha} + 2\alpha n a(n) x^{n+\alpha} \\ & + a(n-2) x^{n+\alpha} + n^2 a(n-1) x^{n+\alpha-1} \\ & + 2\alpha n a(n-1) x^{n+\alpha-1} - 2n a(n-1) x^{n+\alpha-1} \\ & - 2\alpha a(n-1) x^{n+\alpha-1} + a(n-1) x^{n+\alpha-1} \\ & + a(n-3) x^{n+\alpha-1} + \dots = 0 \end{aligned}$$

上式の  $x$  の全てのべきの係数を零に等値して、

$$\begin{aligned} n^2 a(n-1) + 2\alpha n a(n-1) - 2n a(n-1) \\ - 2\alpha a(n-1) + a(n-1) + a(n-3) &= 0 \\ n^2 a(n) + 2\alpha n a(n) + a(n-2) &= 0 \\ n^2 a(n+1) + 2\alpha n a(n+1) + 2n a(n+1) \\ + 2\alpha a(n+1) + a(n+1) + a(n-1) &= 0 \end{aligned}$$

上式から、係数  $a(n)$  を求める。

$$a(n) = -\frac{a(n-6)}{(n-4)(n-2)n(n+2\alpha-4)(n+2\alpha-2)(n+2\alpha)}$$

$n$  が奇数の時、係数は  $a(n) = 0$  であり、 $n$  が偶数の時に係数が存在し、 $n = 2k$  とすると、

$$a(2k) = -\frac{a(2(k-3))}{64(k-2)(k-1)k(k+\alpha-2)(k+\alpha-1)(k+\alpha)}$$

上式から、

$$a(2k) = \frac{a(0) (-1)^k}{2^{2k} k! \prod_{k=1}^k k + \alpha}$$

```
ANK1:a(2*k)=(-1)^k*a(0)/(2^(2*k))/(k!)
/\product((alpha+k),k,1,k);
AN4:y=a(0)*x^(alpha)+sum(a(2*k)*x^(
alpha+2*k),k,1,inf);
ANK0:a(0)=1/(2^alpha)/(alpha!);
AN41:y=sum((-1)^k/(k!)/((n+k)!)*(x/2)^(
alpha+2*k),k,0,inf);
AN42:y=sum((-1)^k/(k!)/(\Gamma(n+k+1))
*(x/2)^(alpha+2*k),k,0,inf);
```

(3.4.24) 式と上式の係数  $a(n)$  の関係式から、解は、

$$y = \left( \sum_{k=1}^{\infty} a(2k) x^{2k+\alpha} \right) + a(0) x^{\alpha}$$

$a(0)$  を下記とすると、

$$a(0) = \frac{1}{2^{\alpha} \alpha!}$$

解は、

$$y = \sum_{k=0}^{\infty} \frac{2^{-2k-\alpha} (-1)^k x^{2k+\alpha}}{k! (n+k)!}$$

$\Gamma$  関数で表現すると下記となる。当然ながら、Bessel 関数の級数表示<sup>1</sup>と一致している。

$$y = \sum_{k=0}^{\infty} \frac{2^{-2k-\alpha} (-1)^k x^{2k+\alpha}}{k! \Gamma(n+k+1)} = \text{bessel.j}(\alpha, x) \quad (3.4.26)$$

$\alpha$  が整数でなければ、 $r = -\alpha$  で解は独立となり、解は、

$$y = \%k1 \text{bessel.j}(\alpha, x) + \%k2 \text{bessel.j}(-\alpha, x)$$

<sup>1</sup>森口 繁一他：岩波数学公式3 特殊函数、岩波書店 2002<sup>30)</sup>、P.145

## 3.4.3 Gauss の微分方程式

$$(x-1)x\left(\frac{d^2}{dx^2}y\right) + \left(\frac{d}{dx}y\right)(x(B+A+1)-G) + yAB = 0 \quad (3.4.27)$$

の形の微分方程式を Gauss の微分方程式という。ここで  $A, B, G$  は定数で、 $G$  は整数でないとする。

```
kill(all);
depends(y, [x,r]);
EQ1:x*(x-1)*diff(y,x,2)+((A+B+1)*x-G)
  *diff(y,x,1)+A*B*y=0;
DANO:(x)^r*a(n)*(x)^n;
AN2:y=sum(DANO,n,0,inf);
AN21:y=sum(DANO,n,0,10);
subst([AN21],EQ1);
ev(%diff);
expand(%);
coeff(lhs(%),x^(r-1))=0;
solve(%r);
```

級数の形として、 $x=0$  を中心に展開する次式とする。

$$y = \sum_{n=0}^{\infty} a(n) x^{r+n} \quad (3.4.28)$$

上式を (3.4.27) 式に代入し、

$$\begin{aligned} & \dots - a(2) r^2 x^{r+1} + a(1) r^2 x^{r+1} - 3a(2) r x^{r+1} \\ & + 2a(1) r x^{r+1} - 2a(2) x^{r+1} + a(1) x^{r+1} \\ & - a(1) r^2 x^r + a(0) r^2 x^r - a(1) r x^r \\ & - a(0) r^2 x^{r-1} + a(0) r x^{r-1} = 0 \end{aligned}$$

$x^{r-1}$  の項から、

$$-a(0) r G - a(0) r^2 + a(0) r = 0$$

下記を得る。

$$[r = 1 - G, r = 0]$$

$r = 0$  の場合

```
R1:r=0;
AN22:subst([R1],AN21);
subst([AN22],EQ1);
ev(%diff);
EA2:expand(%);
-a(1)*G+a(0)*A*B=0;
CA1:factor(solve(%a(1))[1]);
coeff(lhs(EA2),x^(1))=0;
CA2:factor(solve(%a(2))[1]);
```

```
coeff(lhs(EA2),x^(2))=0;
CA3:factor(solve(%a(3))[1]);
coeff(lhs(EA2),x^(3))=0;
CA4:factor(solve(%a(4))[1]);
coeff(lhs(EA2),x^(4))=0;
CA5:factor(solve(%a(5))[1]);
coeff(lhs(EA2),x^(5))=0;
CA6:factor(solve(%a(6))[1]);
C1:CA1;
C2:factor(subst([C1],CA2));
C3:factor(subst([C2,C1],CA3));
C4:factor(subst([C3,C2,C1],CA4));
C5:factor(subst([C4,C3,C2,C1],CA5));
C6:factor(subst([C5,C4,C3,C2,C1],CA6));
y=sum(DANO,n,0,6);
subst([R1,C1,C2,C3,C4,C5,C6],%);
```

(3.4.28) 式に  $r = 0$  とし、 $n = 0$  から  $n = 10$  までは、

$$\begin{aligned} y = & a(10) x^{10} + a(9) x^9 + a(8) x^8 + a(7) x^7 \\ & + a(6) x^6 + a(5) x^5 + a(4) x^4 + a(3) x^3 \\ & + a(2) x^2 + a(1) x + a(0) \end{aligned}$$

上式を (3.4.27) 式に代入し、上式の  $x$  の全てのべきの係数を零に等値して、

$$\begin{aligned} & a(0) AB - a(1) G = 0 \\ & -2a(2) G + a(1) AB + a(1) B + a(1) A \\ & \quad - 2a(2) + a(1) = 0 \\ & -3a(3) G + a(2) AB + 2a(2) B + 2a(2) A \\ & \quad - 6a(3) + 4a(2) = 0 \\ & -4a(4) G + a(3) AB + 3a(3) B + 3a(3) A \\ & \quad - 12a(4) + 9a(3) = 0 \\ & -5a(5) G + a(4) AB + 4a(4) B + 4a(4) A \\ & \quad - 20a(5) + 16a(4) = 0 \\ & -6a(6) G + a(5) AB + 5a(5) B + 5a(5) A \\ & \quad - 30a(6) + 25a(5) = 0 \end{aligned}$$

上式から、係数： $a(n)$  を求める。

$$\begin{aligned} a(1) &= \frac{a(0) AB}{G} \\ a(2) &= \frac{a(0) A(A+1) B(B+1)}{2G(G+1)} \\ a(3) &= \frac{a(0) A(A+1)(A+2) B(B+1)(B+2)}{6G(G+1)(G+2)} \\ a(4) &= \frac{a(0) A(A+1)(A+2)(A+3) B(B+1)(B+2)(B+3)}{24G(G+1)(G+2)(G+3)} \\ a(5) &= \frac{a(0) A(A+1)(A+2)(A+3)(A+4) B(B+1)(B+2)(B+3)(B+4)}{120G(G+1)(G+2)(G+3)(G+4)} \\ a(6) &= \frac{a(0) A(A+1)(A+2)(A+3)(A+4)(A+5) B(B+1)(B+2)(B+3)(B+4)(B+5)}{720G(G+1)(G+2)(G+3)(G+4)(G+5)} \end{aligned}$$

上式を (3.4.28) 式に代入すると、級数は、

$$\begin{aligned} y = \dots &+ \frac{a(0) x^6 A(A+1)(A+2)(A+3)(A+4)(A+5) B(B+1)(B+2)(B+3)(B+4)(B+5)}{720G(G+1)(G+2)(G+3)(G+4)(G+5)} \\ &+ \frac{a(0) x^5 A(A+1)(A+2)(A+3)(A+4) B(B+1)(B+2)(B+3)(B+4)}{120G(G+1)(G+2)(G+3)(G+4)} \\ &+ \frac{a(0) x^4 A(A+1)(A+2)(A+3) B(B+1)(B+2)(B+3)}{24G(G+1)(G+2)(G+3)} \\ &+ \frac{a(0) x^3 A(A+1)(A+2) B(B+1)(B+2)}{6G(G+1)(G+2)} + \frac{a(0) x^2 A(A+1) B(B+1)}{2G(G+1)} + \frac{a(0) x AB}{G} + a(0) \end{aligned} \quad (3.4.29)$$

```
AN31:y=sum(DAN0,n,n-5,n+5);
AN32:subst([R1],AN31);
subst([AN32],EQ1);
ev(%diff);
EA2:expand(%);
coeff(lhs(EA2),x^(n-2))=0;
CA3:factor(solve(%,a(n-1))[1]);
coeff(lhs(EA2),x^(n-1))=0;
CA4:factor(solve(%,a(n))[1]);
coeff(lhs(EA2),x^n)=0;
CA5:factor(solve(%,a(n+1))[1]);
AN41:y=a(0)*(1+sum(x^n*product((A+m-1)
*(B+m-1)/m/(G+m-1),m,1,n),n,1,inf));
```

(3.4.28) 式に  $r = 0$  とし、 $n = n - 5$  から  $n = n + 5$  までは、

$$\begin{aligned} y = &a(n+5) x^{n+5} + a(n+4) x^{n+4} + a(n+3) x^{n+3} \\ &+ a(n+2) x^{n+2} + a(n+1) x^{n+1} + a(n) x^n \\ &+ a(n-1) x^{n-1} + a(n-2) x^{n-2} + a(n-3) x^{n-3} \\ &+ a(n-4) x^{n-4} + a(n-5) x^{n-5} \end{aligned}$$

上式を (3.4.27) 式に代入し、

上式の  $x$  の全てのべきの係数を零に等値して、

$$\begin{aligned} &-n a(n-1) G + a(n-1) G + a(n-2) AB \\ &+ n a(n-2) B - 2 a(n-2) B + n a(n-2) A \\ &- 2 a(n-2) A - n^2 a(n-1) + 3 n a(n-1) \\ &- 2 a(n-1) + n^2 a(n-2) - 4 n a(n-2) \\ &+ 4 a(n-2) = 0 \\ &-n a(n) G + a(n-1) AB + n a(n-1) B \\ &- a(n-1) B + n a(n-1) A - a(n-1) A \\ &- n^2 a(n) + n a(n) + n^2 a(n-1) \\ &- 2 n a(n-1) + a(n-1) = 0 \\ &-n a(n+1) G - a(n+1) G + a(n) AB \\ &+ n a(n) B + n a(n) A - n^2 a(n+1) \\ &- n a(n+1) + n^2 a(n) = 0 \end{aligned}$$

上式から、係数： $a(n)$  を求める。

$$\begin{aligned} a(n-1) &= \frac{a(n-2) (A+n-2) (B+n-2)}{(n-1) (G+n-2)} \\ a(n) &= \frac{a(n-1) (A+n-1) (B+n-1)}{n (G+n-1)} \\ a(n+1) &= \frac{a(n) (A+n) (B+n)}{(n+1) (G+n)} \end{aligned}$$

(3.4.29) 式と上式から、

$$\begin{aligned} y = &a(0) \\ &\times \left( \left( \sum_{n=1}^{\infty} x^n \prod_{m=1}^n \frac{(A+m-1) (B+m-1)}{m (G+m-1)} \right) + 1 \right) \end{aligned} \quad (3.4.30)$$

$r = 1 - G$  の場合

```
R1:r=1-G;
AN22:subst([R1],AN21);
subst([AN22],EQ1);
ev(% ,diff);
EA2:expand(%);
coeff(lhs(EA2),x^(1-G))=0;
CA1:factor(solve(% ,a(1))[1]);
coeff(lhs(EA2),x^(2-G))=0;
CA2:factor(solve(% ,a(2))[1]);
coeff(lhs(EA2),x^(3-G))=0;
CA3:factor(solve(% ,a(3))[1]);
coeff(lhs(EA2),x^(4-G))=0;
CA4:factor(solve(% ,a(4))[1]);
coeff(lhs(EA2),x^(5-G))=0;
CA5:factor(solve(% ,a(5))[1]);
coeff(lhs(EA2),x^(6-G))=0;
CA6:factor(solve(% ,a(6))[1]);
C1:CA1;
C2:factor(subst([C1],CA2));
C3:factor(subst([C2,C1],CA3));
C4:factor(subst([C3,C2,C1],CA4));
C5:factor(subst([C4,C3,C2,C1],CA5));
C6:factor(subst([C5,C4,C3,C2,C1],CA6));
y=sum(DAN0,n,0,6);
subst([R1,C1,C2,C3,C4,C5,C6],%);
```

$$r = 1 - G$$

(3.4.28) 式に  $r = 1 - G$  とし、 $n = 0$  から  $n = 10$  ま

上式から、係数  $a(n)$  を求める。

$$a(1) = -\frac{a(0)(G-A-1)(G-B-1)}{G-2}$$

$$a(2) = \frac{a(0)(G-A-2)(G-A-1)(G-B-2)(G-B-1)}{2(G-3)(G-2)}$$

$$a(3) = -\frac{a(0)(G-A-3)(G-A-2)(G-A-1)(G-B-3)(G-B-2)(G-B-1)}{6(G-4)(G-3)(G-2)}$$

$$a(4) = \frac{a(0)(G-A-4)(G-A-3)(G-A-2)(G-A-1)(G-B-4)(G-B-3)(G-B-2)(G-B-1)}{24(G-5)(G-4)(G-3)(G-2)}$$

$$a(5) = -\frac{a(0)(G-A-5)(G-A-4)(G-A-3)(G-A-2)(G-A-1)(G-B-5)(G-B-4)(G-B-3)(G-B-2)(G-B-1)}{120(G-6)(G-5)(G-4)(G-3)(G-2)}$$

上式を (3.4.28) 式に代入すると、級数は、

$$y = \dots - \frac{a(0)x^{6-G}(G-A-5)(G-A-4)(G-A-3)(G-A-2)(G-A-1)(G-B-5)(G-B-4)(G-B-3)(G-B-2)(G-B-1)}{120(G-6)(G-5)(G-4)(G-3)(G-2)}$$

$$+ \frac{a(0)x^{5-G}(G-A-4)(G-A-3)(G-A-2)(G-A-1)(G-B-4)(G-B-3)(G-B-2)(G-B-1)}{24(G-5)(G-4)(G-3)(G-2)}$$

$$- \frac{a(0)x^{4-G}(G-A-3)(G-A-2)(G-A-1)(G-B-3)(G-B-2)(G-B-1)}{6(G-4)(G-3)(G-2)}$$

$$+ \frac{a(0)x^{3-G}(G-A-2)(G-A-1)(G-B-2)(G-B-1)}{2(G-3)(G-2)} - \frac{a(0)x^{2-G}(G-A-1)(G-B-1)}{G-2} + a(0)x^{1-G}$$

(3.4.31)

では、

$$y = a(10)x^{11-G} + a(9)x^{10-G} + a(8)x^{9-G}$$

$$+ a(7)x^{8-G} + a(6)x^{7-G} + a(5)x^{6-G}$$

$$+ a(4)x^{5-G} + a(3)x^{4-G} + a(2)x^{3-G}$$

$$+ a(1)x^{2-G} + a(0)x^{1-G}$$

上式を (3.4.27) 式に代入し、上式の  $x$  の全てのべきの係数を零に等値して、

$$a(0)G^2 - a(0)BG - a(0)AG + a(1)G$$

$$- 2a(0)G + a(0)AB + a(0)B + a(0)A$$

$$- 2a(1) + a(0) = 0$$

$$a(1)G^2 - a(1)BG - a(1)AG + 2a(2)G$$

$$- 4a(1)G + a(1)AB + 2a(1)B + 2a(1)A$$

$$- 6a(2) + 4a(1) = 0$$

$$a(2)G^2 - a(2)BG - a(2)AG + 3a(3)G$$

$$- 6a(2)G + a(2)AB + 3a(2)B + 3a(2)A$$

$$- 12a(3) + 9a(2) = 0$$

$$a(3)G^2 - a(3)BG - a(3)AG + 4a(4)G$$

$$- 8a(3)G + a(3)AB + 4a(3)B + 4a(3)A$$

$$- 20a(4) + 16a(3) = 0$$

$$a(4)G^2 - a(4)BG - a(4)AG + 5a(5)G$$

$$- 10a(4)G + a(4)AB + 5a(4)B + 5a(4)A$$

$$- 30a(5) + 25a(4) = 0$$

$$a(5)G^2 - a(5)BG - a(5)AG + 6a(6)G$$

$$- 12a(5)G + a(5)AB + 6a(5)B + 6a(5)A$$

$$- 42a(6) + 36a(5) = 0$$

```

AN31:y=sum(DAN0,n,n-5,n+5);
AN32:subst([R1],AN31);
subst([AN32],EQ1);
ev(%,diff);
EA2:expand(%);
coeff(lhs(EA2),x^(n-1-G))=0;
CA3:factor(solve(%,a(n-1))[1]);
coeff(lhs(EA2),x^(n-G))=0;
CA4:factor(solve(%,a(n))[1]);
coeff(lhs(EA2),x^(n+1-G))=0;
CA5:factor(solve(%,a(n+1))[1]);
CA41:a(n)=(a(n-1)*(-G+A+n)*(-G+B+n))
/(n*(-G+n+1));
AN51:y=b(0)*x^(1-G)*(1+sum(x^n*product((
-G+A+m)*(-G+B+m)/m/(-G+m+1),m,1,n)
,n,1,inf));

```

(3.4.28) 式に  $r = 0$  とし、 $n = n - 5$  から  $n = n + 5$  までは、

$$\begin{aligned}
y = & a(n+5)x^{-G+n+6} + a(n+4)x^{-G+n+5} \\
& + a(n+3)x^{-G+n+4} + a(n+2)x^{-G+n+3} \\
& + a(n+1)x^{-G+n+2} + a(n)x^{-G+n+1} \\
& + a(n-1)x^{-G} + a(n-2)x^{-G+n-1} \\
& + a(n-3)x^{-G+n-2} + a(n-4)x^{-G+n-3} \\
& + a(n-5)x^{-G+n-4}
\end{aligned}$$

上式を (3.4.27) 式に代入し、

上式の  $x$  の全てのべきの係数を零に等値して、

$$\begin{aligned}
& a(n-1)G^2 - a(n-1)BG - a(n-1)AG \\
& + na(n)G - 2na(n-1)G + a(n-1)AB \\
& + na(n-1)B + na(n-1)A - n^2a(n) \\
& - na(n) + n^2a(n-1) = 0 \\
& a(n)G^2 - a(n)BG - a(n)AG \\
& + na(n+1)G + a(n+1)G - 2na(n)G \\
& - 2a(n)G + a(n)AB + na(n)B \\
& + a(n)B + na(n)A + a(n)A \\
& - n^2a(n+1) - 3na(n+1) - 2a(n+1) \\
& + n^2a(n) + 2na(n) + a(n) = 0
\end{aligned}$$

上式から、係数： $a(n)$  を求める。

$$a(n) = -\frac{a(n-1)(G-A-n)(G-B-n)}{n(G-n-1)}$$

$$a(n+1) = -\frac{a(n)(G-A-n-1)(G-B-n-1)}{(n+1)(G-n-2)}$$

(3.4.31) 式と上式から、

$$\begin{aligned}
y = & b(0)x^{1-G} \\
& \times \left( \left( \sum_{n=1}^{\infty} x^n \prod_{m=1}^n \frac{(-G+A+m)(-G+B+m)}{m(-G+m+1)} \right) \right. \\
& \left. + 1 \right)
\end{aligned} \tag{3.4.32}$$

```

F1:F(A,B,G,x)=1+sum(x^n*product((A+m-1)
*(B+m-1)/m/(G+m-1),m,1,n),n,1,inf);
AN42:y[1]=a(0)*F(A,B,G,x);
A1:A[1]+m-1=-G+A+m;
B1:B[1]+m-1=-G+B+m;
G1:G[1]+m-1=-G+m+1;
ABG1:solve([A1,B1,G1],[A[1],B[1],G[1]])[1];
AN52:y[2]=b(0)*x^(1-G)*F(A[1],B[1],G[1],x);
subst([ABG1],AN52);
y=y[1]+y[2];

```

下記の超幾何関数： $F$  を下記のように定義する。

$$\begin{aligned}
F(A, B, G, x) \\
= & \left( \sum_{n=1}^{\infty} x^n \prod_{m=1}^n \frac{(A+m-1)(B+m-1)}{m(G+m-1)} \right) + 1
\end{aligned} \tag{3.4.33}$$

このとき、(3.4.30) 式は下記となる。

$$y_1 = a(0)F(A, B, G, x) \tag{3.4.34}$$

(3.4.32) 式と (3.4.33) 式を比べ、下記の関係を得る。

$$m + A_1 - 1 = -G + A + m$$

$$m + B_1 - 1 = -G + B + m$$

$$m + G_1 - 1 = -G + m + 1$$

上式を解いて、

$$[A_1 = -G + A + 1, B_1 = -G + B + 1, G_1 = 2 - G]$$

以上の関係から、(3.4.32) 式と (3.4.33) 式から、

$$\begin{aligned}
y_2 = & b(0)F(A_1, B_1, G_1, x)x^{1-G} \\
= & b(0)x^{1-G} \\
& \times F(-G + A + 1, -G + B + 1, 2 - G, x)
\end{aligned} \tag{3.4.35}$$

一般解は、

$$y = y_2 + y_1$$

## 変数変換

```

kill(all);
depends(y, [x, r]);
EQ1: x*(x-1)*diff(y, x, 2) + ((A+B+1)*x-G)
    *diff(y, x, 1) + A*B*y = 0;
EQ2: (x-A[2])*(x-B[2])*diff(y, x, 2) + (C[2]*x
    -D[2])*diff(y, x, 1) + E[2]*y = 0;
TR2: x = (B[2]-A[2])*t + A[2];
TR21: solve(TR2, t)[1];
forget(y, [x, r]);
depends(y, [t]);
depends(t, [x]);
DTX1: diff(TR21, x, 1);
DTX2: diff(TR21, x, 2);
ev(EQ2, diff);
subst([DTX2, DTX1, TR2], %);
EQ21: expand(%);
DC0: factor(coeff(lhs(EQ21), y, 1));
factor(coeff(lhs(EQ21), 'diff(y, t, 1), 1));
DC1: partfrac(%, t);
DC2: factor(coeff(lhs(EQ21), 'diff(y, t, 2)
    , 1));
EQ22: DC2*'diff(y, t, 2) + DC1*'diff(y, t, 1)
    + DC0 = 0;
G1: B+A+1=C[2];
G2: -G = (-D[2]+A[2]*C[2])/(B[2]-A[2]);
G3: A*B=E[2];
G4: solve([G1, G3], [A, B]);
G5: -G2;

```

下記の微分方程式について、

$$(x - A_2)(x - B_2) \left( \frac{d^2}{dx^2} y \right) + (C_2 x - D_2) \left( \frac{d}{dx} y \right) + E_2 y = 0 \quad (3.4.36)$$

下記の変数変換で、

$$x = (B_2 - A_2)t + A_2, \quad t = \frac{x - A_2}{B_2 - A_2} \quad (3.4.37)$$

下記の関係があり、

$$\frac{d}{dx} t = \frac{1}{B_2 - A_2}, \quad \frac{d^2}{dx^2} t = 0$$

変数変換を行い、上記の関係を (3.4.36) 式に代入し、

$$(x - A_2)(x - B_2) \left( \left( \frac{d}{dx} t \right)^2 \left( \frac{d^2}{dt^2} y \right) + \left( \frac{d^2}{dx^2} t \right) \left( \frac{d}{dt} y \right) + \left( \frac{d}{dx} t \right) (C_2 x - D_2) \left( \frac{d}{dt} y \right) + E_2 y = 0 \right.$$

上式を整理すると、

$$(t - 1)t \left( \frac{d^2}{dt^2} y \right) + \frac{((B_2 - A_2) C_2 t - D_2 + A_2 C_2) \left( \frac{d}{dt} y \right)}{B_2 - A_2} + E_2 = 0$$

上式は (3.4.27) 式の Gauss の微分方程式になっており、係数の関係は、

$$B + A + 1 = C_2, \quad AB = E_2$$

$$-G = \frac{A_2 C_2 - D_2}{B_2 - A_2}$$

上式から、 $A, B, G$  を求めると、

$$\begin{aligned} A &= \frac{\sqrt{-4E_2 + C_2^2 - 2C_2 + 1} + C_2 - 1}{2}, \\ B &= \frac{2E_2}{\sqrt{-4E_2 + C_2^2 - 2C_2 + 1} + C_2 - 1} \quad (3.4.38) \\ G &= -\frac{A_2 C_2 - D_2}{B_2 - A_2} \end{aligned}$$

上式を (3.4.34) 式と (3.4.35) 式に代入することにより解が得られる。



## 3.4.4 Legendre の微分方程式

下記の形の微分方程式を Legendre の微分方程式という。

$$(x-1)(x+1)\left(\frac{d^2}{dx^2}y(x)\right) + 2x\left(\frac{d}{dx}y(x)\right) - N(N+1)y(x) = 0 \quad (3.4.39)$$

Gauss の方程式に変形

```
kill(all);
depends(y, [x]);
EQ1:x*(x-1)*diff(y,x,2)+((A+B+1)*x-G)
  *diff(y,x,1)+A*B*y=0;
AN1:y=b(0)*x^(1-G)*F(-G+A+1,-G+B+1,2-G,x)
  +a(0)*F(A,B,G,x);
EQ2:(x-A[2])*(x-B[2])*diff(y,x,2)+(C[2]*x
  -D[2])*diff(y,x,1)+E[2]*y=0;
TR2:x=(B[2]-A[2])*t+A[2];
TR21:solve(TR2,t)[1];
G4:[A=-((sqrt(-4*E[2]+C[2]^2-2*C[2]+1)
  -C[2]+1)/2),B=-((2*E[2])/((sqrt(-4*E[2]
  +C[2]^2-2*C[2]+1)-C[2]+1))),[A=(sqrt(-4*
  E[2]+C[2]^2-2*C[2]+1)+C[2]-1)/2,
  B=(2*E[2])/((sqrt(-4*E[2]+C[2]^2-2*C[2]+1)
  +C[2]-1))]];
G5:G=-((A[2]*C[2]-D[2])/(B[2]-A[2]));
EQ3:(x^2-1)*diff(y,x,2)+2*x*diff(y,x,1)
  -N*(N+1)*y=0;
LI1:[A[2]=1,B[2]=-1,C[2]=2,D[2]=0,E[2]=
  -N*(N+1)];
assume(N>0);
LI2:subst(LI1,G4);
4*N*(N+1)+1;
%=factor(%);
subst(%,LI2);
factor(%);
LI3:%[2];
G51:subst(LI1,G5);
X5:subst(LI1,TR21);
subst(LI3,AN1);
subst([G51,x=t,X5],%);
AN2:y=rest(rhs(%),1);
F1:F(A,B,G,x)=1+sum(x^n*product((A+m-1)
  *(B+m-1)/m/(G+m-1),m,1,n),n,1,inf);
subst(LI3,F1);
subst([G51,x=(1-x)/2],%);
AN3:y[1]=a(0)*rhs(%);
```

```
AN4:y[2]=y[1]*(log(1-x)+C[1]*(1-x));
PN1:P[n](x)=1/n!/2^n*diff((x^2-1)^n,x,n);
PN2:y=rhs(PN1);
```

(3.4.36) 式から、Gauss の方程式を変数変換した式は下記である。

$$(x-A_2)(x-B_2)\left(\frac{d^2}{dx^2}y\right) + (C_2x-D_2)\left(\frac{d}{dx}y\right) + E_2y = 0 \quad (3.4.40)$$

このときの変数変換は、

$$x = (B_2 - A_2)t + A_2, \quad t = \frac{x - A_2}{B_2 - A_2} \quad (3.4.41)$$

Gauss の方程式との係数の関係は次式となる。

$$\begin{aligned} A &= \frac{\sqrt{-4E_2 + C_2^2 - 2C_2 + 1} + C_2 - 1}{2}, \\ B &= \frac{2E_2}{\sqrt{-4E_2 + C_2^2 - 2C_2 + 1} + C_2 - 1}, \\ G &= -\frac{A_2C_2 - D_2}{B_2 - A_2} \end{aligned} \quad (3.4.42)$$

また、Gauss の方程式の解は (3.4.34) 式、(3.4.35) 式から次式の超幾何関数：F で得られる。

$$y = b(0)x^{1-G}F(-G+A+1,-G+B+1,2-G,x) + a(0)F(A,B,G,x) \quad (3.4.43)$$

(3.4.36) 式と (3.4.39) 式の Legendre の微分方程式を比較し、係数の関係は、

$$[A_2 = 1, B_2 = -1, C_2 = 2, D_2 = 0, E_2 = -N(N+1)]$$

上式を (3.4.42) 式に代入すると、

$$A = N+1, \quad B = -N, \quad G = 1, \quad t = -\frac{x-1}{2} \quad (3.4.44)$$

以上から、Legendre の微分方程式の解は次式となる。

$$y = b(0)F\left(N+1, -N, 1, -\frac{x-1}{2}\right) + a(0)F\left(N+1, -N, 1, -\frac{x-1}{2}\right)$$

上式の右辺第一項、第二項は同じであるから、解は、

$$y = a(0)F\left(N+1, -N, 1, -\frac{x-1}{2}\right)$$

超幾何関数：F は次式で得られ、

$$F(A, B, G, x) = \left(\sum_{n=1}^{\infty} x^n \prod_{m=1}^n \frac{(A+m-1)(B+m-1)}{m(G+m-1)}\right) + 1$$

(3.4.44) 式の係数の関係式を上式に代入し、

$$F\left(N+1, -N, 1, \frac{1-x}{2}\right) = \left(\sum_{n=1}^{\infty} \frac{(1-x)^n \prod_{m=1}^n \frac{(-N+m-1)(N+m)}{m^2}}{2^n}\right) + 1$$

以上から、Legendre の微分方程式の解は

$$y_1 = a(0) \left( \left( \sum_{n=1}^{\infty} \frac{(1-x)^n \prod_{m=1}^n \frac{(-N+m-1)(N+m)}{m^2}}{2^n} \right) + 1 \right) \quad (3.4.45)$$

もう一つの解は次式で得られるが、 $x=1$  で解が発散するので、解から省く。

$$y_2 = y_1 (C_1 (1-x) + \log(1-x))$$

級数解

```
kill(all);
depends(y, [x,r]);
EQ1:(x^2-1)*diff(y,x,2)+2*x*diff(y,x,1)
-N*(N+1)*y=0;
DANO:(x)^r*a(n)*(x)^n;
AN2:y=sum(DANO,n,0,inf);
AN21:y=sum(DANO,n,0,10);
subst([AN21],EQ1);
ev(% ,diff);
expand(%);
coeff(lhs(%),x^(r-2))=0;
solve(% ,r);
```

級数の形として、 $x=0$  を中心に展開する次式とする。

$$y = \sum_{n=0}^{\infty} a(n) x^{r+n} \quad (3.4.46)$$

上式を (3.4.39) 式に代入し、

$$\begin{aligned} \dots - a(2) r^2 x^r + a(0) r^2 x^r - 3a(2) r x^r \\ + a(0) r x^r - 2a(2) x^r - a(1) r^2 x^{r-1} \\ - a(1) r x^{r-1} - a(0) r^2 x^{r-2} + a(0) r x^{r-2} = 0 \end{aligned}$$

$x^{r-2}$  の項から、

$$a(0) r - a(0) r^2 = 0$$

下記を得る。

$$[r=0, r=1]$$

$r=0$  の場合

```
R1:r=0;
AN22:subst([R1],AN21);
subst([AN22],EQ1);
ev(% ,diff);
EA2:expand(%);
-a(0)*N^2-a(0)*N-2*a(2)=0;
CA1:factor(solve(% ,a(2))[1]);
coeff(lhs(EA2),x^(1))=0;
CA2:factor(solve(% ,a(3))[1]);
coeff(lhs(EA2),x^(2))=0;
CA3:factor(solve(% ,a(4))[1]);
coeff(lhs(EA2),x^(3))=0;
CA4:factor(solve(% ,a(5))[1]);
coeff(lhs(EA2),x^(4))=0;
CA5:factor(solve(% ,a(6))[1]);
coeff(lhs(EA2),x^(5))=0;
CA6:factor(solve(% ,a(7))[1]);
coeff(lhs(EA2),x^(6))=0;
CA7:factor(solve(% ,a(8))[1]);
coeff(lhs(EA2),x^(7))=0;
CA8:factor(solve(% ,a(9))[1]);
C1:CA1;
C2:factor(subst([C1],CA2));
C3:factor(subst([C2,C1],CA3));
C4:factor(subst([C3,C2,C1],CA4));
C5:factor(subst([C4,C3,C2,C1],CA5));
C6:factor(subst([C5,C4,C3,C2,C1],CA6));
C7:factor(subst([C6,C5,C4,C3,C2,C1],CA7));
C8:factor(subst([C7,C6,C5,C4,C3,C2,C1],
CA8));
y=sum(DANO,n,0,8);
AN22:subst([R1,C1,C2,C3,C4,C5,C6,C7,C7],%);
AN23:subst([a(1)=0],AN22);
AN24:subst([a(0)=0],AN22);
```

(3.4.46) 式に  $r=0$  とし、 $n=0$  から  $n=10$  までは、

$$\begin{aligned} y = a(10) x^{10} + a(9) x^9 + a(8) x^8 + a(7) x^7 \\ + a(6) x^6 + a(5) x^5 + a(4) x^4 + a(3) x^3 \\ + a(2) x^2 + a(1) x + a(0) \end{aligned}$$

上式を (3.4.39) 式に代入し、上式の  $x$  の全てのべきの係数を零に等値して、

$$-a(0) N^2 - a(0) N - 2a(2) = 0$$

$$-a(1) N^2 - a(1) N - 6a(3) + 2a(1) = 0$$

$$-a(2) N^2 - a(2) N - 12a(4) + 6a(2) = 0$$

$$-a(3) N^2 - a(3) N - 20a(5) + 12a(3) = 0$$

$$-a(4) N^2 - a(4) N - 30a(6) + 20a(4) = 0$$

上式から、係数： $a(n)$  を求める。

$$\begin{aligned} a(2) &= -\frac{a(0)N(N+1)}{2} \\ a(3) &= -\frac{a(1)(N-1)(N+2)}{6} \\ a(4) &= \frac{a(0)(N-2)N(N+1)(N+3)}{24} \\ a(5) &= \frac{a(1)(N-3)(N-1)(N+2)(N+4)}{120} \\ a(6) &= -\frac{a(0)(N-4)(N-2)N(N+1)(N+3)(N+5)}{720} \end{aligned}$$

上式を (3.4.46) 式に代入すると、級数は、

$$\begin{aligned} y &= \frac{a(0)x^8(N-6)(N-4)(N-2)N(N+1)(N+3)(N+5)(N+7)}{40320} \\ &\quad - \frac{a(1)x^7(N-5)(N-3)(N-1)(N+2)(N+4)(N+6)}{5040} \\ &\quad - \frac{a(0)x^6(N-4)(N-2)N(N+1)(N+3)(N+5)}{720} \\ &\quad + \frac{a(1)x^5(N-3)(N-1)(N+2)(N+4)}{120} \\ &\quad + \frac{a(0)x^4(N-2)N(N+1)(N+3)}{24} \\ &\quad - \frac{a(1)x^3(N-1)(N+2)}{6} - \frac{a(0)x^2N(N+1)}{2} + a(1)x + a(0) \end{aligned} \quad (3.4.47)$$

$N$  が奇数の時には、

$$\begin{aligned} y &= \frac{a(0)x^8(N-6)(N-4)(N-2)N(N+1)(N+3)(N+5)(N+7)}{40320} \\ &\quad - \frac{a(0)x^6(N-4)(N-2)N(N+1)(N+3)(N+5)}{720} \\ &\quad + \frac{a(0)x^4(N-2)N(N+1)(N+3)}{24} \\ &\quad - \frac{a(0)x^2N(N+1)}{2} + a(0) \end{aligned} \quad (3.4.48)$$

$N$  が偶数の時には、

$$\begin{aligned} y &= -\frac{a(1)x^7(N-5)(N-3)(N-1)(N+2)(N+4)(N+6)}{5040} \\ &\quad + \frac{a(1)x^5(N-3)(N-1)(N+2)(N+4)}{120} \\ &\quad - \frac{a(1)x^3(N-1)(N+2)}{6} + a(1)x \end{aligned} \quad (3.4.49)$$

```
AN31:y=sum(DANO,n,n-5,n+5);
AN32:subst([R1],AN31);
subst([AN32],EQ1);
ev(%,diff);
EA3:expand(%) ;
coeff(lhs(EA3),x^(n-3))=0;
CA3:factor(solve(%,a(n-1))[1]);
coeff(lhs(EA3),x^(n-2))=0;
CA4:factor(solve(%,a(n))[1]);
coeff(lhs(EA3),x^(n-1))=0;
CA5:factor(solve(%,a(n+1))[1]);
coeff(lhs(EA3),x^(n))=0;
CA6:factor(solve(%,a(n+2))[1]);
CA41:subst([n=2*m],CA4);
CA42:subst([n=2*m+1],CA4);
```

(3.4.46) 式に  $r = 0$  とし、 $n = n - 5$  から  $n = n + 5$  までは、

$$\begin{aligned} y &= a(n+5)x^{r+n+5} + a(n+4)x^{r+n+4} \\ &\quad + a(n+3)x^{r+n+3} + a(n+2)x^{r+n+2} \\ &\quad + a(n+1)x^{r+n+1} + a(n)x^{r+n} \\ &\quad + a(n-1)x^{r+n-1} + a(n-2)x^{r+n-2} \\ &\quad + a(n-3)x^{r+n-3} + a(n-4)x^{r+n-4} \\ &\quad + a(n-5)x^{r+n-5} \end{aligned}$$

上式を (3.4.39) 式に代入し、

上式の  $x$  の全てのべきの係数を零に等値して、

$$\begin{aligned} &-a(n-3)N^2 - a(n-3)N - n^2a(n-1) \\ &\quad + 3na(n-1) - 2a(n-1) + n^2a(n-3) \\ &\quad - 5na(n-3) + 6a(n-3) = 0 \\ &-a(n-2)N^2 - a(n-2)N - n^2a(n) \\ &\quad + na(n) + n^2a(n-2) - 3na(n-2) \\ &\quad + 2a(n-2) = 0 \\ &-a(n-1)N^2 - a(n-1)N - n^2a(n+1) \\ &\quad - na(n+1) + n^2a(n-1) - na(n-1) = 0 \\ &-a(n)N^2 - a(n)N - n^2a(n+2) \\ &\quad - 3na(n+2) - 2a(n+2) + n^2a(n) \\ &\quad + na(n) = 0 \end{aligned}$$

上式から、係数： $a(n)$  を求める。

$$a(n) = -\frac{a(n-2)(N-n+2)(N+n-1)}{(n-1)n}$$

上式で、偶数の乗数と奇数の乗数とで分かれるので、 $n$  が偶数の時には、 $n = 2m$  と置き、

$$a(2m) = -\frac{a(2m-2)(N-2m+2)(N+2m-1)}{2m(2m-1)}$$

上式で、 $n$  が奇数の時には、 $n = 2m + 1$  と置き、

$$a(2m+1) = -\frac{a(2m-1)(N-2m+1)(N+2m)}{2m(2m+1)}$$

```
AN23;
PD1:(-1)^m*product((N-2*k+2)*(N+2*k-1),
k,1,m)/((2*m)!);
subst([m=1],PD1);
ev(%,product);
subst([m=2],PD1);
ev(%,product);
subst([m=3],PD1);
ev(%,product);
subst([m=4],PD1);
ev(%,product);
AN41:y[1]=a(0)*(1+sum(x^(2*m)*PD1,
m,1,inf));
```

(3.4.47) 式と上式から、係数:  $a(n)$  で偶数の  $n$  の時、即ち、偶数の乗数の項は下記となる。次式は  $N$  が偶数の時、無限級数は有限の多項式となる。

$$y_1 = a(0) \left( \left( \sum_{m=1}^{\infty} \frac{(-1)^m x^{2m} \prod_{k=1}^m (N-2k+2)(N+2k-1)}{(2m)!} \right) + 1 \right) \quad (3.4.50)$$

```
AN24;
PD2: (-1)^m*product((N-(2*k+1)+2)*(N
+(2*k+1)-1),k,1,m)/((2*m+1)!);
subst([m=1],PD2);
ev(%,product);
subst([m=2],PD2);
ev(%,product);
subst([m=3],PD2);
```

```
ev(%,product);
AN42: y[2]=a(1)*(x+sum(x^(2*m+1)*PD2,m,
1,inf));
y=y[1]+y[2];
```

(3.4.47) 式と上式から、係数:  $a(n)$  で奇数の  $n$  の時、即ち、奇数の乗数の項は下記となる。次式は  $N$  が奇数の時、無限級数は有限の多項式となる。

$$y_2 = a(1) \left( \left( \sum_{m=1}^{\infty} \frac{(-1)^m x^{2m+1} \prod_{k=1}^m (N-2k+1)(N+2k)}{(2m+1)!} \right) + x \right) \quad (3.4.51)$$

以上から、一般解は下記となる。

$$y = y_2 + y_1$$

### Legendre の多項式

$N$  が偶数の時、(3.4.50) 式の無限級数は有限の多項式となり、 $N$  が奇数の時、(3.4.51) 式の無限級数は有限の多項式となる。この多項式を  $p_N(x)$  とし、 $x=1$  で 1 となる  $P_N(x)$  を求めると、

$$P_N(x) = \frac{p_N(x)}{p_N(1)}$$

```
P10:p[2*K](x)=subst([inf=K,N=2*K],
rhs(AN41));
P11:subst([x=1],P10);
P12:P[2*K](x)=rhs(P10)/rhs(P11);
subst([K=1],P12);
ev(%,sum);
expand(ev(%,product));
subst([K=2],P12);
ev(%,sum);
expand(ev(%,product));
subst([K=3],P12);
ev(%,sum);
expand(ev(%,product));
```

$N = 2, 4, 6$  では、

$$P_2(x) = \frac{3x^2}{2} - \frac{1}{2}$$

$$P_4(x) = \frac{35x^4}{8} - \frac{15x^2}{4} + \frac{3}{8}$$

$$P_6(x) = \frac{231x^6}{16} - \frac{315x^4}{16} + \frac{105x^2}{16} - \frac{5}{16}$$

```
P20:p[2*K+1](x)=subst([inf=K,N=2*K+1],
rhs(AN42));
P21:subst([x=1],P20);
P22:P[2*K+1](x)=rhs(P20)/rhs(P21);
subst([K=0],P22);
ev(%,sum);
expand(ev(%,product));
subst([K=1],P22);
ev(%,sum);
expand(ev(%,product));
subst([K=2],P22);
ev(%,sum);
expand(ev(%,product));
subst([K=3],P22);
ev(%,sum);
expand(ev(%,product));
```

$N = 1, 3, 5, 7$  では、

$$P_1(x) = x$$

$$P_3(x) = \frac{5x^3}{2} - \frac{3x}{2}$$

$$P_5(x) = \frac{63x^5}{8} - \frac{35x^3}{4} + \frac{15x}{8}$$

$$P_7(x) = \frac{429x^7}{16} - \frac{693x^5}{16} + \frac{315x^3}{16} - \frac{35x}{16}$$

```
EQ3:(x^2-1)*diff(y,x,2)+2*x*diff(y,x,1)
-N*(N+1)*y=0;
PN1:P[n](x)=1/n!/2^n*diff((x^2-1)^n,x,n);
PN2:y=rhs(PN1);
subst([N=n],EQ3);
EQ31:subst([PN2],lhs(%));
subst([n=1],EQ31);
ev(%diff);
factor(%);
subst([n=2],EQ31);
ev(%diff);
factor(%);
subst([n=3],EQ31);
ev(%diff);
factor(%);
subst([n=4],EQ31);
ev(%diff);
factor(%);
```

```
subst([n=0],PN1);
PL0:expand(ev(%diff));
subst([n=1],PN1);
PL1:expand(ev(%diff));
subst([n=2],PN1);
PL2:expand(ev(%diff));
subst([n=3],PN1);
PL3:expand(ev(%diff));
subst([n=4],PN1);
PL4:expand(ev(%diff));
subst([n=5],PN1);
PL5:expand(ev(%diff));
subst([n=6],PN1);
PL6:expand(ev(%diff));
subst([n=7],PN1);
PL7:expand(ev(%diff));
plot2d([rhs(PL0),rhs(PL1),rhs(PL2),rhs(PL3)
,rhs(PL4),rhs(PL5),rhs(PL6),rhs(PL7)],
[x,-1,1.5],[y,-1.5,1],[legend,"N=0",
"N=1","N=2","N=3","N=4","N=5",
"N=6","N=7"]);
```

$n$  が整数である前述の Legendre の多項式として、次式の Rodrigue の公式でも表現できる。

$$P_n(x) = \frac{d^n}{dx^n} \frac{(x^2 - 1)^n}{2^n n!} \quad (3.4.52)$$

上式で  $n = 3$  の場合を (3.4.39) 式の Legendre の微分方程式に代入すると、

$$\begin{aligned} (x^2 - 1) \left( \frac{d^2}{dx^2} \frac{d^3}{dx^3} \frac{(x^2 - 1)^3}{48} \right) \\ + 2x \left( \frac{d}{dx} \frac{d^3}{dx^3} \frac{(x^2 - 1)^3}{48} \right) \\ - \frac{d^3}{dx^3} \frac{(x^2 - 1)^3}{4} = 0 \end{aligned}$$

上式の微分を実行し、

$$\begin{aligned} - \frac{48x^3 + 72x(x^2 - 1)}{4} + \frac{x(288x^2 + 72(x^2 - 1))}{24} \\ + 15x(x^2 - 1) = 0 \end{aligned}$$

上式を整理すると、確かに成り立っている。

(3.4.52) 式で  $P_n(x)$  を図示すると、

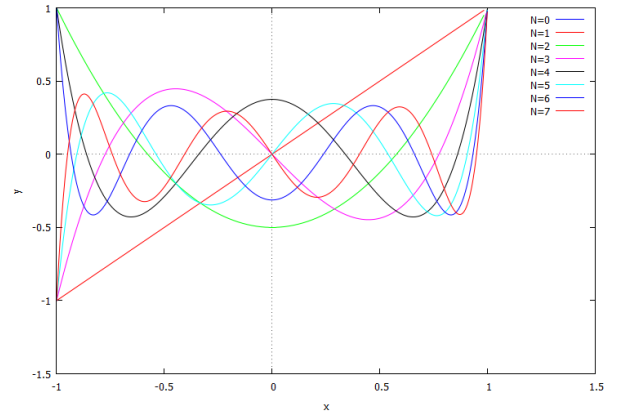


図 3.4.1:  $P_n(x)$   $n$ : 整数

## 3.4.5 Legendre の陪微分方程式

下記の形の微分方程式を Legendre の陪微分方程式という。

$$z \left( N(N+1) - \frac{m^2}{1-x^2} \right) + (1-x^2) \left( \frac{d^2}{dx^2} z \right) - 2x \left( \frac{d}{dx} z \right) = 0 \quad (3.4.53)$$

```
kill(all);
depends(y, [x]);
depends(z, [x]);
declare(N, integer);
EZ1:diff((1-x^2)*diff(z,x,1),x,1)+(N*(N+1)
-m^2/(1-x^2))*z=0;
Z1:z=(1-x^2)^(m/2)*y;
subst([Z1],EZ1);
ev(% ,diff);
factor(%);
EZ2:%/((1-x^2)^(m/2));
CZ2:coeff(lhs(EZ2),'diff(y,x,2));
CZ1:factor(coeff(lhs(EZ2),'diff(y,x,1)));
CZ0:factor(coeff(lhs(EZ2),y));
EZ21:CZ2*'diff(y,x,2)+CZ1*'diff(y,x,1)
+CZ0*y=0;
subst([m=0],EZ21);
```

次式を上式に代入し、

$$z = (1-x^2)^{\frac{m}{2}} y \quad (3.4.54)$$

微分を実行すると、

$$(1-x^2)^{\frac{m}{2}} \left( yN^2 + yN - x^2 \left( \frac{d^2}{dx^2} y \right) + \frac{d^2}{dx^2} y - 2mx \left( \frac{d}{dx} y \right) - 2x \left( \frac{d}{dx} y \right) - m^2 y - my \right) = 0$$

上式を整理し、

$$y(N-m)(N+m+1) + (1-x^2) \left( \frac{d^2}{dx^2} y \right) - 2(m+1)x \left( \frac{d}{dx} y \right) = 0 \quad (3.4.55)$$

```
EQ1:(x^2-1)*diff(y,x,2)+2*x*diff(y,x,1)
-N*(N+1)*y=0;
EQ11:first(lhs(EQ1));
EQ13:last(lhs(EQ1));
EQ12:lhs(EQ1)-EQ11-EQ13;
diff(EQ11,x,1);
diff(EQ11,x,2);
diff(EQ11,x,3);
EQ11M:-('diff(y,x,m))*N*(N+1);
diff(EQ12,x,1);
diff(EQ12,x,2);
diff(EQ12,x,3);
diff(EQ12,x,4);
diff(EQ12,x,5);
(x^2-1)*('diff(y,x,m+2))+2*m*x*('diff(y,x,
m+1))+sum(2*(n-1),n,1,m)*('diff(y,x,m));
EQ12M:% ,simpsum;
diff(EQ13,x,1);
diff(EQ13,x,2);
diff(EQ13,x,3);
EQ13M:2*x*('diff(y,x,m+1))
+2*m*('diff(y,x,m));
EQ2:EQ11M+EQ12M+EQ13M=0;
C2:coeff(lhs(EQ2),'diff(y,x,m+2));
C1:factor(coeff(lhs(EQ2),'diff(y,x,m+1)));
C0:factor(coeff(lhs(EQ2),'diff(y,x,m)));
EQ21:-C2*'diff(y,x,m+2)-C1*'diff(y,x,m+1)
-C0*'diff(y,x,m)=0;
Z2:z=P[m,n](x);
PM1:P[m,n](x)=(1-x^2)^(m/2)
*diff(P[n](x),x,m);
PN1:PN1:P[n](x)=1/n!/2^n
*diff((x^2-1)^n,x,n);
```

(3.4.39) 式の Legendre の微分方程式は下記である。

$$-yN(N+1) + (x^2-1) \left( \frac{d^2}{dx^2} y \right) + 2x \left( \frac{d}{dx} y \right) = 0 \quad (3.4.56)$$

上式を  $m$  階微分する。上式の左辺第一項は下記で、

$$\begin{aligned} & -yN(N+1) \\ 1 \text{ 階微分} : & - \left( \frac{d}{dx} y \right) N(N+1) \\ 2 \text{ 階微分} : & - \left( \frac{d^2}{dx^2} y \right) N(N+1) \\ 3 \text{ 階微分} : & - \left( \frac{d^3}{dx^3} y \right) N(N+1) \end{aligned}$$

上記から左辺第一項の  $m$  階微分は、

$$- \left( \frac{d^m}{dx^m} y \right) N(N+1) \quad (3.4.57)$$

(3.4.56) 式の左辺第二項は下記で、

$$\begin{aligned} & (x^2 - 1) \left( \frac{d^2}{dx^2} y \right) \\ \text{1 階微分 : } & (x^2 - 1) \left( \frac{d^3}{dx^3} y \right) + 2x \left( \frac{d^2}{dx^2} y \right) \\ \text{2 階微分 : } & (x^2 - 1) \left( \frac{d^4}{dx^4} y \right) + 4x \left( \frac{d^3}{dx^3} y \right) + 2 \left( \frac{d^2}{dx^2} y \right) \\ \text{3 階微分 : } & (x^2 - 1) \left( \frac{d^5}{dx^5} y \right) + 6x \left( \frac{d^4}{dx^4} y \right) + 6 \left( \frac{d^3}{dx^3} y \right) \\ \text{4 階微分 : } & (x^2 - 1) \left( \frac{d^6}{dx^6} y \right) + 8x \left( \frac{d^5}{dx^5} y \right) + 12 \left( \frac{d^4}{dx^4} y \right) \\ \text{5 階微分 : } & (x^2 - 1) \left( \frac{d^7}{dx^7} y \right) + 10x \left( \frac{d^6}{dx^6} y \right) + 20 \left( \frac{d^5}{dx^5} y \right) \end{aligned}$$

上記から左辺第二項の  $m$  階微分は、

$$\begin{aligned} & (x^2 - 1) \left( \frac{d^{m+2}}{dx^{m+2}} y \right) + 2mx \left( \frac{d^{m+1}}{dx^{m+1}} y \right) + 2 \left( \sum_{n=1}^m n - 1 \right) \left( \frac{d^m}{dx^m} y \right) \\ & = (x^2 - 1) \left( \frac{d^{m+2}}{dx^{m+2}} y \right) + 2mx \left( \frac{d^{m+1}}{dx^{m+1}} y \right) + 2 \left( \frac{m^2 + m}{2} - m \right) \left( \frac{d^m}{dx^m} y \right) \end{aligned} \quad (3.4.58)$$

(3.4.56) 式の左辺第三項は下記で、

$$\begin{aligned} & 2x \left( \frac{d}{dx} y \right) \quad \text{1 階微分 : } \quad 2x \left( \frac{d^2}{dx^2} y \right) + 2 \left( \frac{d}{dx} y \right) \\ \text{2 階微分 : } & \quad 2x \left( \frac{d^3}{dx^3} y \right) + 4 \left( \frac{d^2}{dx^2} y \right) \quad \text{3 階微分 : } \quad 2x \left( \frac{d^4}{dx^4} y \right) + 6 \left( \frac{d^3}{dx^3} y \right) \end{aligned}$$

上記から左辺第三項の  $m$  階微分は、

$$2x \left( \frac{d^{m+1}}{dx^{m+1}} y \right) + 2m \left( \frac{d^m}{dx^m} y \right) \quad (3.4.59)$$

(3.4.57) 式、(3.4.58) 式と (3.4.59) 式をまとめ、(3.4.56) 式の  $m$  階微分は、

$$\left( \frac{d^m}{dx^m} y \right) (N - m) (N + m + 1) + (1 - x^2) \left( \frac{d^{m+2}}{dx^{m+2}} y \right) - 2(m + 1)x \left( \frac{d^{m+1}}{dx^{m+1}} y \right) = 0 \quad (3.4.60)$$

(3.4.55) 式は (3.4.56) 式の  $m$  階微分したものと類似しており、(3.4.60) 式の解は (3.4.56) 式の Legendre の微分方程式の解を  $m$  階微分したものであり、(3.4.54) 式から (3.4.53) 式 : Legendre の陪微分方程式の解は

$$z = P_{m,n}(x)$$

$$\text{ここで、} \quad P_{m,n}(x) = (1 - x^2)^{\frac{m}{2}} \left( \frac{d^m}{dx^m} P_n(x) \right)$$

$$P_n(x) = \frac{d^n}{dx^n} \frac{(x^2 - 1)^n}{2^n n!} \quad (3.4.61)$$

```
subst([N=n],EZ1);
subst([Z2],%);
subst([PM1],%);
EZ3:subst([PN1],%);
subst([n=3,m=2],EZ3);
ev(%,diff);
factor(%);
subst([n=3,m=3],EZ3);
ev(%,diff);
factor(%);
```

確認のため、上式を (3.4.53) 式に代入すると、

$$(1 - x^2) \left( \frac{d^2}{dx^2} P_{m,n}(x) \right) - 2x \left( \frac{d}{dx} P_{m,n}(x) \right) + \left( n(n + 1) - \frac{m^2}{1 - x^2} \right) P_{m,n}(x) = 0$$

$n = 3, m = 3$  の場合で微分を実行すると、

$$15x(1 - x^2) \left( 12 - \frac{4}{1 - x^2} \right) - 90x(1 - x^2) - 2x(15(1 - x^2) - 30x^2) = 0$$

整理すると左辺は零となり、解となっていることが分かる。

$P_{m,n}(x)$  を求めると下記となる。

```
PM2:subst([PN1],PM1);
subst([n=1,m=0],PM2);
PL1:factor(ev(%,diff));
subst([n=1,m=1],PM2);
PL2:factor(ev(%,diff));
subst([n=2,m=0],PM2);
PL3:factor(ev(%,diff));
subst([n=2,m=1],PM2);
PL4:factor(ev(%,diff));
subst([n=2,m=2],PM2);
PL5:factor(ev(%,diff));
subst([n=3,m=0],PM2);
PL6:factor(ev(%,diff));
subst([n=3,m=1],PM2);
PL7:factor(ev(%,diff));
plot2d([rhs(PL1),rhs(PL2),rhs(PL3),rhs(PL4),
rhs(PL5),rhs(PL6),rhs(PL7)], [x,-1,1],
[legend,"P0,1","P1,1","P0,2","P1,2",
"P2,2","P0,3","P1,3"]];
```

$$P_{m,n}(x) = (1-x^2)^{\frac{m}{2}} \left( \frac{d^m}{dx^m} \frac{d^n}{dx^n} \frac{(x^2-1)^n}{2^n n!} \right)$$

$$P_{0,1}(x) = x, \quad P_{1,1}(x) = \sqrt{1-x^2}$$

$$P_{0,2}(x) = \frac{3x^2-1}{2}, \quad P_{1,2}(x) = 3x\sqrt{1-x^2}$$

$$P_{2,2}(x) = -3(x-1)(x+1)$$

$$P_{0,3}(x) = \frac{x(5x^2-3)}{2}$$

$$P_{1,3}(x) = \frac{3\sqrt{1-x^2}(5x^2-1)}{2}$$

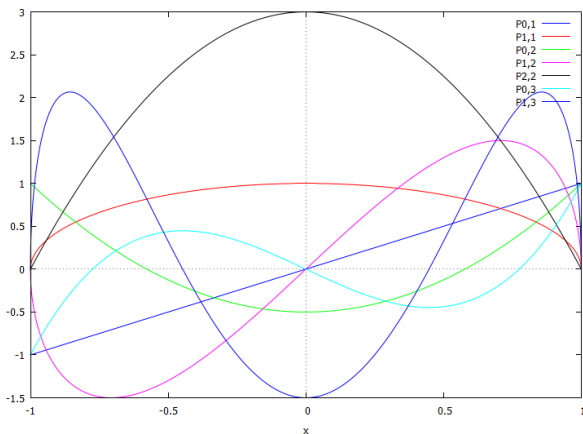


図 3.4.2:  $P_{m,n}(x)$

$P_{m,n}(\cos(\theta))$  を求めると下記となる。

```
PL11:subst([x=cos(\theta)],PL1);
PL21:subst([x=cos(\theta)],PL2);
PL31:subst([x=cos(\theta)],PL3);
PL41:subst([x=cos(\theta)],PL4);
PL51:subst([x=cos(\theta)],PL5);
PL61:subst([x=cos(\theta)],PL6);
PL71:subst([x=cos(\theta)],PL7);
plot2d([rhs(PL11),rhs(PL21),rhs(PL31),
rhs(PL41),rhs(PL51),rhs(PL61),
rhs(PL71)], [\theta,0,%pi], [legend,
"P0,1","P1,1","P0,2","P1,2",
"P2,2","P0,3","P1,3"]];
```

$$P_{0,1}(\cos(\theta)) = \cos(\theta)$$

$$P_{1,1}(\cos(\theta)) = \sqrt{1-\cos(\theta)^2}$$

$$P_{0,2}(\cos(\theta)) = \frac{3\cos(\theta)^2-1}{2}$$

$$P_{1,2}(\cos(\theta)) = 3\cos(\theta)\sqrt{1-\cos(\theta)^2}$$

$$P_{2,2}(\cos(\theta)) = -3(\cos(\theta)-1)(\cos(\theta)+1)$$

$$P_{0,3}(\cos(\theta)) = \frac{\cos(\theta)(5\cos(\theta)^2-3)}{2}$$

$$P_{1,3}(\cos(\theta)) = \frac{3\sqrt{1-\cos(\theta)^2}(5\cos(\theta)^2-1)}{2}$$

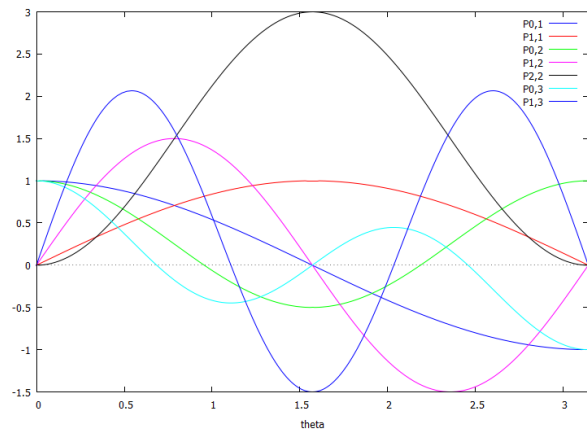


図 3.4.3:  $P_{m,n}(\cos(\theta))$



## 3.4.6 Hermite の微分方程式

下記の形の微分方程式を Hermite の微分方程式という。

$$\frac{d^2}{dx^2} y - 2x \left( \frac{d}{dx} y \right) + 2yN = 0 \quad (3.4.62)$$

```
kill(all);
depends(y,[x,r]);
EQ1:diff(y,x,2)-2*x*diff(y,x,1)+2*N*y=0;
DAN0:(x)^r*a(n)*(x)^n;
AN2:y=sum(DAN0,n,0,inf);
AN21:y=sum(DAN0,n,0,10);
subst([AN21],EQ1);
ev(%,diff);
expand(%)
coeff(lhs(%),x^(r-2))=0;
solve(%,r);
```

級数の形として、 $x = 0$  を中心に展開する次式とする。

$$y = \sum_{n=0}^{\infty} a(n) x^{r+n} \quad (3.4.63)$$

上式を (3.4.62) 式に代入し、

$$\begin{aligned} & \dots + a(2) r^2 x^r + 3a(2) r x^r - 2a(0) r x^r \\ & + 2a(2) x^r + a(1) r^2 x^{r-1} + a(1) r x^{r-1} \\ & + a(0) r^2 x^{r-2} - a(0) r x^{r-2} = 0 \end{aligned}$$

$x^{r-2}$  の項から、

$$a(0) r^2 - a(0) r = 0$$

下記を得る。

$$[r = 0, r = 1]$$

$r = 0$  の場合

```
R1:r=0;
AN22:subst([R1],AN21);
subst([AN22],EQ1);
ev(%,diff);
EA2:expand(%)
+2*a(0)*N+2*a(2)=0;
CA1:factor(solve(%,a(2))[1]);
coeff(lhs(EA2),x^(1))=0;
CA2:factor(solve(%,a(3))[1]);
coeff(lhs(EA2),x^(2))=0;
CA3:factor(solve(%,a(4))[1]);
coeff(lhs(EA2),x^(3))=0;
```

```
CA4:factor(solve(%,a(5))[1]);
coeff(lhs(EA2),x^(4))=0;
CA5:factor(solve(%,a(6))[1]);
coeff(lhs(EA2),x^(5))=0;
CA6:factor(solve(%,a(7))[1]);
coeff(lhs(EA2),x^(6))=0;
CA7:factor(solve(%,a(8))[1]);
coeff(lhs(EA2),x^(7))=0;
CA8:factor(solve(%,a(9))[1]);
C1:CA1;
C2:factor(subst([C1],CA2));
C3:factor(subst([C2,C1],CA3));
C4:factor(subst([C3,C2,C1],CA4));
C5:factor(subst([C4,C3,C2,C1],CA5));
C6:factor(subst([C5,C4,C3,C2,C1],CA6));
C7:factor(subst([C6,C5,C4,C3,C2,C1],CA7));
C8:factor(subst([C7,C6,C5,C4,C3,C2,C1],
CA8));
y=sum(DAN0,n,0,8);
AN22:subst([R1,C1,C2,C3,C4,C5,C6,C7,C7],%);
AN23:subst([a(1)=0],AN22);
AN24:subst([a(0)=0],AN22);
```

(3.4.63) 式に  $r = 0$  とし、 $n = 0$  から  $n = 10$  までは、

$$\begin{aligned} y = & a(10) x^{10} + a(9) x^9 + a(8) x^8 + a(7) x^7 \\ & + a(6) x^6 + a(5) x^5 + a(4) x^4 + a(3) x^3 \\ & + a(2) x^2 + a(1) x + a(0) \end{aligned}$$

上式を (3.4.62) 式に代入し、上式の  $x$  の全てのべきの係数を零に等値して、

$$2a(0)N + 2a(2) = 0$$

$$2a(1)N + 6a(3) - 2a(1) = 0$$

$$2a(2)N + 12a(4) - 4a(2) = 0$$

$$2a(3)N + 20a(5) - 6a(3) = 0$$

$$2a(4)N + 30a(6) - 8a(4) = 0$$

$$2a(5)N + 42a(7) - 10a(5) = 0$$

$$2a(6)N + 56a(8) - 12a(6) = 0$$

$$2a(7)N + 72a(9) - 14a(7) = 0$$

上式から、係数： $a(n)$  を求める。

$$a(2) = -a(0)N$$

$$a(3) = -\frac{a(1)(N-1)}{3}$$

$$a(4) = \frac{a(0)(N-2)N}{6}$$

$$a(5) = \frac{a(1)(N-3)(N-1)}{30}$$

$$\begin{aligned}
 a(6) &= -\frac{a(0)(N-4)(N-2)N}{90} \\
 a(7) &= -\frac{a(1)(N-5)(N-3)(N-1)}{630} \\
 a(8) &= \frac{a(0)(N-6)(N-4)(N-2)N}{2520} \\
 a(9) &= \frac{a(1)(N-7)(N-5)(N-3)(N-1)}{22680}
 \end{aligned}$$

上式を (3.4.63) 式に代入すると、級数は、

$$\begin{aligned}
 y &= \frac{a(0)x^8(N-6)(N-4)(N-2)N}{2520} \\
 &\quad - \frac{a(0)x^6(N-4)(N-2)N}{90} \\
 &\quad + \frac{a(0)x^4(N-2)N}{6} - a(0)x^2N \\
 &\quad - \frac{a(1)x^7(N-5)(N-3)(N-1)}{630} \\
 &\quad + \frac{a(1)x^5(N-3)(N-1)}{30} \\
 &\quad - \frac{a(1)x^3(N-1)}{3} + a(1)x + a(0)
 \end{aligned} \tag{3.4.64}$$

$N$  が奇数の時には、

$$\begin{aligned}
 y &= \frac{a(0)x^8(N-6)(N-4)(N-2)N}{2520} \\
 &\quad - \frac{a(0)x^6(N-4)(N-2)N}{90} \\
 &\quad + \frac{a(0)x^4(N-2)N}{6} - a(0)x^2N + a(0)
 \end{aligned} \tag{3.4.65}$$

$N$  が偶数の時には、

$$\begin{aligned}
 y &= -\frac{a(1)x^7(N-5)(N-3)(N-1)}{630} \\
 &\quad + \frac{a(1)x^5(N-3)(N-1)}{30} \\
 &\quad - \frac{a(1)x^3(N-1)}{3} + a(1)x
 \end{aligned} \tag{3.4.66}$$

```

AN31:y=sum(DAN0,n,n-5,n+5);
AN32:subst([R1],AN31);
subst([AN32],EQ1);
ev(%,diff);
EA3:expand(%);
coeff(lhs(EA3),x^(n-3))=0;
CA3:factor(solve(%,a(n-1))[1]);
coeff(lhs(EA3),x^(n-2))=0;
CA4:factor(solve(%,a(n))[1]);
coeff(lhs(EA3),x^(n-1))=0;
CA5:factor(solve(%,a(n+1))[1]);
coeff(lhs(EA3),x^(n))=0;
CA6:factor(solve(%,a(n+2))[1]);
CA41:subst([n=2*m],CA4);
CA42:subst([n=2*m+1],CA4);

```

(3.4.63) 式に  $r = 0$  とし、 $n = n - 5$  から  $n = n + 5$  までは、

$$\begin{aligned}
 y &= a(n+5)x^{r+n+5} + a(n+4)x^{r+n+4} \\
 &\quad + a(n+3)x^{r+n+3} + a(n+2)x^{r+n+2} \\
 &\quad + a(n+1)x^{r+n+1} + a(n)x^{r+n} \\
 &\quad + a(n-1)x^{r+n-1} + a(n-2)x^{r+n-2} \\
 &\quad + a(n-3)x^{r+n-3} + a(n-4)x^{r+n-4} \\
 &\quad + a(n-5)x^{r+n-5}
 \end{aligned}$$

上式を (3.4.62) 式に代入し、

上式の  $x$  の全てのべきの係数を零に等値して、

$$\begin{aligned}
 2a(n-3)N + n^2a(n-1) - 3na(n-1) \\
 + 2a(n-1) - 2na(n-3) + 6a(n-3) &= 0 \\
 2a(n-2)N + n^2a(n) - na(n) - 2na(n-2) \\
 + 4a(n-2) &= 0 \\
 2a(n-1)N + n^2a(n+1) + na(n+1) \\
 - 2na(n-1) + 2a(n-1) &= 0 \\
 2a(n)N + n^2a(n+2) + 3na(n+2) \\
 + 2a(n+2) - 2na(n) &= 0
 \end{aligned}$$

上式から、係数  $a(n)$  を求める。

$$a(n) = -\frac{2a(n-2)(N-n+2)}{(n-1)n}$$

上式で、偶数の乗数と奇数の乗数とで分かれるので、 $n$  が偶数の時には、 $n = 2m$  と置き、

$$a(2m) = -\frac{a(2m-2)(N-2m+2)}{m(2m-1)}$$

上式で、 $n$  が奇数の時には、 $n = 2m + 1$  と置き、

$$a(2m+1) = -\frac{a(2m-1)(N-2m+1)}{m(2m+1)}$$

```

AN23;
PD1:(-2)^m*product((N-(2*k)+2),k,1,m)
/((2*m)!);
subst([m=1],PD1);
ev(%,product);
subst([m=2],PD1);
ev(%,product);
subst([m=3],PD1);
ev(%,product);
subst([m=4],PD1);
ev(%,product);
AN41:y[1]=a(0)*(1+sum(x^(2*m)*PD1,
m,1,inf));

```

(3.4.64) 式と上式から、係数： $a(n)$  で偶数の  $n$  の時、即ち、偶数の乗数の項は下記となる。次式は  $N$  が偶数の時、無限級数は有限の多項式となる。

$$y_1 = a(0) \left( \left( \sum_{m=1}^{\infty} \frac{(-2)^m x^{2m} \prod_{k=1}^m N - 2k + 2}{(2m)!} \right) + 1 \right) \quad (3.4.67)$$

```
AN24;
PD2: (-2)^m*product((N-(2*k+1)+2),k,1,m)
/((2*m+1)!);
subst([m=1],PD2);
ev(% ,product);
subst([m=2],PD2);
ev(% ,product);
subst([m=3],PD2);
```

```
ev(% ,product);
AN42: y[2]=a(1)*(x+sum(x^(2*m+1)*PD2,m,
1,inf));
y=y[1]+y[2];
```

(3.4.64) 式と上式から、係数： $a(n)$  で奇数の  $n$  の時、即ち、奇数の乗数の項は下記となる。次式は  $N$  が奇数の時、無限級数は有限の多項式となる。

$$y_2 = a(1) \left( \left( \sum_{m=1}^{\infty} \frac{(-2)^m x^{2m+1} \prod_{k=1}^m N - 2k + 1}{(2m+1)!} \right) + x \right) \quad (3.4.68)$$

以上から、一般解は下記となる。

$$y = y_2 + y_1$$

### Hermite の多項式

$N$  が偶数の時、(3.4.67) 式の無限級数は有限の多項式となり、 $N$  が奇数の時、(3.4.68) 式の無限級数は有限の多項式となる。ここで、

$$a(0) = \frac{(-1)^K (2K)!}{K!}$$

$$a(1) = \frac{2(-1)^K (2K+1)!}{K!}$$

とし、この多項式を  $H_N(x)$  とし、

```
P10:h[2*K](x)=subst([inf=K,N=2*K],
rhs(AN41));
P11:[a(0)=(-1)^K*((2*K)!)/(K!)];
P12:H[2*K](x)=subst(P11,rhs(P10));
subst([K=0],P12);
ev(% ,sum);
expand(ev(% ,product));
subst([K=1],P12);
ev(% ,sum);
expand(ev(% ,product));
subst([K=2],P12);
ev(% ,sum);
expand(ev(% ,product));
subst([K=3],P12);
ev(% ,sum);
expand(ev(% ,product));
```

$N = 0, 2, 4, 6$  では、

$$H_0(x) = 1$$

$$H_2(x) = 4x^2 - 2$$

$$H_4(x) = 16x^4 - 48x^2 + 12$$

$$H_6(x) = 64x^6 - 480x^4 + 720x^2 - 120$$

```
P20:h[2*K+1](x)=subst([inf=K,N=2*K+1],
rhs(AN42));
P21:[a(1)=(-1)^K*2*((2*K+1)!)/(K!)];
P22:H[2*K+1](x)=subst(P21,rhs(P20));
subst([K=0],P22);
ev(% ,sum);
expand(ev(% ,product));
subst([K=1],P22);
ev(% ,sum);
expand(ev(% ,product));
subst([K=2],P22);
ev(% ,sum);
expand(ev(% ,product));
subst([K=3],P22);
ev(% ,sum);
expand(ev(% ,product));
```

$N = 1, 3, 5, 7$  では、

$$H_1(x) = 2x$$

$$H_3(x) = 8x^3 - 12x$$

$$H_5(x) = 32x^5 - 160x^3 + 120x$$

$$H_7(x) = 128x^7 - 1344x^5 + 3360x^3 - 1680x$$

## 第4章 ベクトルとテンソル

### 4.1 ベクトル

#### 4.1.1 ベクトルの演算

大きさと方向性を持つ量をベクトルという。以下にその表現、演算法について述べる。

Maxima のベクトルの表現

```
kill(all);
VCAR:matrix([A[1],A[2],A[3]]);
VCA:matrix([A[1]], [A[2]], [A[3]]);
VCB:matrix([B[1]], [B[2]], [B[3]]);
VCC:matrix([C[1]], [C[2]], [C[3]]);
```

Maxima のベクトルの記述方法は matrix 関数を使う。Matrix の各種ベクトル演算では、下記の行の行列を用いている。

$matrix([成分_1, 成分_2, 成分_3])$

$$\vec{A} = \begin{pmatrix} A_1 & A_2 & A_3 \end{pmatrix}$$

しかし、力学などで使用されるベクトル表現では、方程式との対応から列の行列が用いられている。本書でもこの列の行列を用いる。そこで Maxima のベクトル関数を使用するときは、列行列を行行列に転置してから使用する。ベクトルを列行列で表すと、

$matrix([成分_1], [成分_2], [成分_3]);$

$$\vec{A} = \begin{pmatrix} A_1 \\ A_2 \\ A_3 \end{pmatrix}, \quad \vec{B} = \begin{pmatrix} B_1 \\ B_2 \\ B_3 \end{pmatrix}, \quad \vec{C} = \begin{pmatrix} C_1 \\ C_2 \\ C_3 \end{pmatrix} \quad (4.1.1)$$

行列の転置

```
transpose(VCA);
transpose(VCAR);
```

A の転置行列:  $A^T$  は、行と列を入れ替えて得られる。Maxima では転置行列は下記の transpose 関数で得られる。

$transpose(行列)$

$$\begin{pmatrix} A_1 \\ A_2 \\ A_3 \end{pmatrix}^T = \begin{pmatrix} A_1 & A_2 & A_3 \end{pmatrix}$$

$$\begin{pmatrix} A_1 & A_2 & A_3 \end{pmatrix}^T = \begin{pmatrix} A_1 \\ A_2 \\ A_3 \end{pmatrix}$$

ベクトルの大きさ

```
sqrt(VCA.VCA);
```

$$|\vec{A}| = \sqrt{A_3^2 + A_2^2 + A_1^2}$$

ベクトルの和差

```
VCSUM:VCA+VCB;
VCDIF:VCA-VCB;
```

$$\vec{A} + \vec{B} = \begin{pmatrix} B_1 + A_1 \\ B_2 + A_2 \\ B_3 + A_3 \end{pmatrix}$$

$$\vec{A} - \vec{B} = \begin{pmatrix} A_1 - B_1 \\ A_2 - B_2 \\ A_3 - B_3 \end{pmatrix}$$

スカラーとベクトルの積

```
a*VCA;
```

スカラー:  $a$  とベクトル:  $\vec{A}$  の積は、

$$a \vec{A} = \begin{pmatrix} A_1 a \\ A_2 a \\ A_3 a \end{pmatrix}$$

```
K*(VCA+VCB);
%=expand(%);
VCBN1:(K+J)*VCA;
expand(%);
VCBN2:K*VCA+J*VCA;
```

スカラー： $K$  とベクトルの分配則は、

$$K(\vec{A} + \vec{B}) = \begin{pmatrix} B_1 K + A_1 K \\ B_2 K + A_2 K \\ B_3 K + A_3 K \end{pmatrix}$$

スカラー： $K, J$  とベクトルの分配則は、

$$(K + J)\vec{A} = \begin{pmatrix} A_1 K + A_1 J \\ A_2 K + A_2 J \\ A_3 K + A_3 J \end{pmatrix}$$

ベクトル各要素の積

VCA*VCB;
----------

$$\vec{A} * \vec{B} = \begin{pmatrix} A_1 B_1 \\ A_2 B_2 \\ A_3 B_3 \end{pmatrix}$$

## 4.1.2 ベクトルの内積 (スカラー積)

```
SPRAB:VCA.VCB;
SPRBA:VCB.VCA;
expand(SPRAB-SPRBA);
```

ベクトル:  $\vec{A}$  とベクトル:  $\vec{B}$  の内積は、`.` で実行できる。

$$\vec{A} \cdot \vec{B} = A_3 B_3 + A_2 B_2 + A_1 B_1 \quad (4.1.2)$$

また、交換則が成り立つ。

$$\vec{A} \cdot \vec{B} = \vec{B} \cdot \vec{A}$$

ベクトルの内積 (スカラー積) の意味

```
VCA1:matrix([D],[0],[0]);
VCB1:matrix([E*cos(\theta)],
[E*sin(\theta)],[0]);
VCA1.VCB1;
```

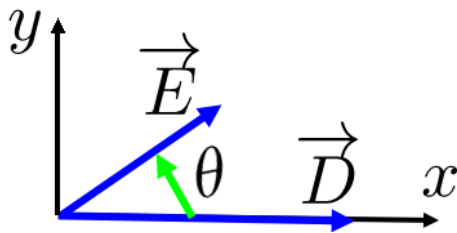


図 4.1.1: 内積の意味

$$\vec{D} = \begin{pmatrix} D \\ 0 \\ 0 \end{pmatrix}, \quad \vec{E} = \begin{pmatrix} \cos(\theta) E \\ \sin(\theta) E \\ 0 \end{pmatrix}$$

ベクトルを上記のように定義し、内積を求めると、

$$\vec{D} \cdot \vec{E} = \cos(\theta) D E$$

上記から、ベクトルの内積は、ベクトル間の角度:  $\theta$  とすると、それぞれのベクトルの大きさの積に  $\cos(\theta)$  を掛けたものである。

ベクトルの内積の分配則

```
VCBC:VCB+VCC;
VCABC:VCA.VCBC;
expand(%);
VCAB:VCA.VCB;
VCAC:VCA.VCC;
VCABC1:VCAB+VCAC;
expand(VCABC-VCABC1);
```

$$\begin{aligned} \vec{A} \cdot (\vec{B} + \vec{C}) &= A_3 C_3 + A_3 B_3 + A_2 C_2 \\ &\quad + A_2 B_2 + A_1 C_1 + A_1 B_1 \\ \vec{A} \cdot \vec{B} + \vec{A} \cdot \vec{C} &= A_3 C_3 + A_3 B_3 + A_2 C_2 \\ &\quad + A_2 B_2 + A_1 C_1 + A_1 B_1 \end{aligned}$$

以上から、下記のベクトルの内積の分配則が得られる。

$$\vec{A} \cdot (\vec{B} + \vec{C}) = \vec{A} \cdot \vec{B} + \vec{A} \cdot \vec{C} \quad (4.1.3)$$

4.1.3 ベクトルの外積 (ベクトル積)

```
VPRAB:col(adjoint(transpose(addcol(VCA,
VCB,matrix([1],[1],[1])))),3);
```

ベクトルの外積は上記の手順<sup>1</sup>で得られ、下記の結果となる。

$$\vec{A} \times \vec{B} = \begin{pmatrix} A_1 \\ A_2 \\ A_3 \end{pmatrix} \times \begin{pmatrix} B_1 \\ B_2 \\ B_3 \end{pmatrix} = \begin{pmatrix} A_2 B_3 - B_2 A_3 \\ B_1 A_3 - A_1 B_3 \\ A_1 B_2 - B_1 A_2 \end{pmatrix} \quad (4.1.4)$$

```
vcprod(a,b):=matrix(
[a[2][1]*b[3][1]-a[3][1]*b[2][1],
[a[3][1]*b[1][1]-a[1][1]*b[3][1],
[a[1][1]*b[2][1]-a[2][1]*b[1][1]])$
vcprod(VCA,VCB);
```

また、上記の vcprod 関数を定義しておくと、vcprod(VCA,VCB); でベクトルの外積が得られる。

ベクトルの外積 (ベクトル積) の意味

```
col(adjoint(transpose(addcol(VCD,VCE,
matrix([1],[1],[1])))),3);
```

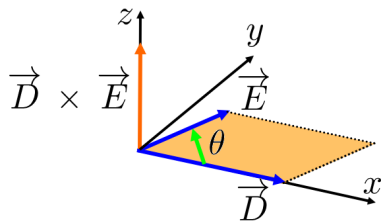


図 4.1.2: 外積の意味

$$\vec{D} = \begin{pmatrix} D \\ 0 \\ 0 \end{pmatrix}, \quad \vec{E} = \begin{pmatrix} \cos(\theta) E \\ \sin(\theta) E \\ 0 \end{pmatrix}$$

$x-y$  軸平面上のベクトルを上記のように定義し、外積を求めると、

$$\vec{D} \times \vec{E} = \begin{pmatrix} 0 \\ 0 \\ \sin(\theta) D E \end{pmatrix}$$

上記から、 $x-y$  軸平面上のベクトルの外積は、ベクトル間の角度  $\theta$  とすると、それぞれのベクトルの大きさの積に  $\sin(\theta)$  を掛けたもので、これはベクトルでつくられる平行四辺形の面積に当たる。ベクトルの向きは、 $z$  軸方向となっている。一般的に、ベクトルの外積の大

きさは、それぞれのベクトルの大きさの積に  $\sin(\theta)$  を掛けたものである。また、向きは被積ベクトルで構成される面に垂直で、右手ねじの方向である。

ベクトルの外積の交換則

```
VPRBA:col(adjoint(transpose(addcol(VCB,
VCA,matrix([1],[1],[1])))),3);
expand(VPRAB-(-VPRBA));
```

$$\vec{A} \times \vec{B} = \begin{pmatrix} A_2 B_3 - B_2 A_3 \\ B_1 A_3 - A_1 B_3 \\ A_1 B_2 - B_1 A_2 \end{pmatrix}$$

$$\vec{B} \times \vec{A} = \begin{pmatrix} B_2 A_3 - A_2 B_3 \\ A_1 B_3 - B_1 A_3 \\ B_1 A_2 - A_1 B_2 \end{pmatrix}$$

以上から、

$$\vec{A} \times \vec{B} = -\vec{B} \times \vec{A}$$

ベクトルの外積 の分配則

```
VCB+VCC;
col(adjoint(transpose(addcol(VCA,%,
matrix([1],[1],[1])))),3);
VPRABC:expand(%);
VPRAB:col(adjoint(transpose(addcol(VCA,
VCB,matrix([1],[1],[1])))),3);
VPRAC:col(adjoint(transpose(addcol(VCA,
VCC,matrix([1],[1],[1])))),3);
VPRAB+VPRAC;
VPRABC-%;
```

$$\vec{A} \times (\vec{B} + \vec{C}) = \begin{pmatrix} A_2 C_3 + A_2 B_3 - C_2 A_3 - B_2 A_3 \\ -A_1 C_3 - A_1 B_3 + C_1 A_3 + B_1 A_3 \\ A_1 C_2 + A_1 B_2 - C_1 A_2 - B_1 A_2 \end{pmatrix}$$

$$\vec{A} \times \vec{B} + \vec{A} \times \vec{C} = \begin{pmatrix} A_2 C_3 + A_2 B_3 - C_2 A_3 - B_2 A_3 \\ -A_1 C_3 - A_1 B_3 + C_1 A_3 + B_1 A_3 \\ A_1 C_2 + A_1 B_2 - C_1 A_2 - B_1 A_2 \end{pmatrix}$$

以上から、

$$\vec{A} \times (\vec{B} + \vec{C}) = \vec{A} \times \vec{B} + \vec{A} \times \vec{C} \quad (4.1.5)$$

<sup>1</sup>中川 義行:Maxima 入門ノート 1.2.1、  
http://www.eonet.ne.jp/~kyo-ju/maxima.pdf 4), P.59 ベクトルの演算

## 4.1.4 3重積

## (1) スカラー3重積

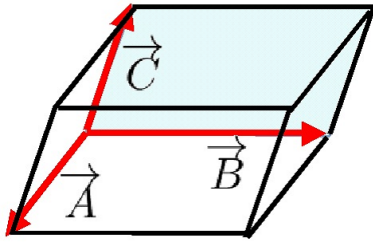


図 4.1.3: スカラー3重積

$\vec{B} \times \vec{C}$  は前節の外積の意味から、ベクトル:  $\vec{B}, \vec{C}$  で構成される平行四辺形の面積を表し、その向きは平行四辺形の面に垂直である。このベクトルに  $\vec{A}$  のスカラー積をとると、 $\vec{A}, \vec{B}, \vec{C}$  で構成される平行六面体の体積を表している。このことから下記の関係式を得る。

$$\vec{A} \cdot (\vec{B} \times \vec{C}) = \vec{B} \cdot (\vec{C} \times \vec{A}) = \vec{C} \cdot (\vec{A} \times \vec{B}) \quad (4.1.6)$$

```
VCA;
VPRBC:col(adjoint(transpose(addcol(VCB,
  VCC,matrix([1],[1],[1])))),3);
SPRABC:VCA.(VPRBC);
VCB;
VPRAC;
SPRBCA:VCB.(-VPRAC);
VCC;
VPRAB;
SPRCAB:VCC.VPRAB;
expand(SPRABC-SPRBCA);
expand(SPRBCA-SPRCAB);
```

ベクトルを行列列として求めると、

$$\begin{aligned} \vec{A} \cdot (\vec{B} \times \vec{C}) &= A_1 (B_2 C_3 - C_2 B_3) + A_2 (C_1 B_3 - B_1 C_3) \\ &\quad + (B_1 C_2 - C_1 B_2) A_3 \\ \vec{B} \cdot (\vec{C} \times \vec{A}) &= B_1 (C_2 A_3 - A_2 C_3) + B_2 (A_1 C_3 - C_1 A_3) \\ &\quad + (C_1 A_2 - A_1 C_2) B_3 \\ \vec{C} \cdot (\vec{A} \times \vec{B}) &= (A_1 B_2 - B_1 A_2) C_3 + C_1 (A_2 B_3 - B_2 A_3) \\ &\quad + C_2 (B_1 A_3 - A_1 B_3) \end{aligned}$$

以上から、上式が確認できた。いま、二つのベクトルが同一であるとすると、(4.1.6) 式からスカラー3重積は零となる。

## (2) ベクトル3重積

下記のベクトル3重積について調べる。

$$\vec{A} \times (\vec{B} \times \vec{C})$$

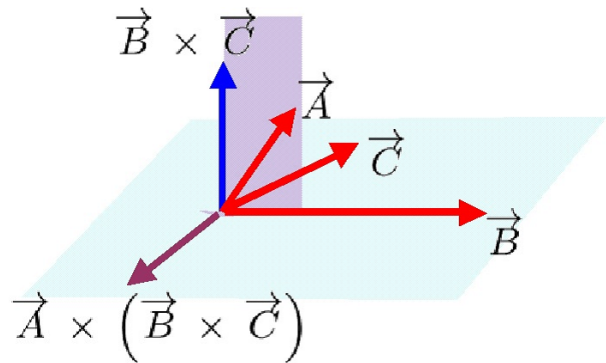


図 4.1.4: ベクトル3重積

ベクトル:  $\vec{B} \times \vec{C}$  はベクトル:  $\vec{B}, \vec{C}$  を含む面: 面 BC に垂直である。次に、 $(\vec{B} \times \vec{C})$  と  $\vec{A}$  のベクトル積は、面 BC と垂直な  $(\vec{B} \times \vec{C})$  と  $\vec{A}$  を含む面 A に垂直になり、 $\vec{A} \times (\vec{B} \times \vec{C})$  は  $\vec{B}, \vec{C}$  を含む面: 面 BC 内にある。以上のことから、ベクトル3重積は下記のようにも表現できる。ここで  $p, q$  は定数とする。

$$\vec{A} \times (\vec{B} \times \vec{C}) = p \vec{B} - q \vec{C} \quad (4.1.7)$$

上式に  $\vec{A}$  のスカラー積をとると、 $\vec{A} \times (\vec{B} \times \vec{C})$  と  $\vec{A}$  は垂直であるから、左辺は零となり、

$$0 = p \vec{A} \cdot \vec{B} - q \vec{A} \cdot \vec{C}$$

上式から、 $p, q$  は

$$p = \alpha \vec{C}, \quad q = \alpha \vec{B}$$

上式を (4.1.7) 式に代入すると右辺が零となり不適である。そこで  $p, q$  として、下記とする。

$$p = \alpha \vec{A} \cdot \vec{C}, \quad q = \alpha \vec{A} \cdot \vec{B}$$

上式を (4.1.7) 式に代入すると

$$\vec{A} \times (\vec{B} \times \vec{C}) = \alpha (\vec{A} \cdot \vec{C}) \vec{B} - \alpha (\vec{A} \cdot \vec{B}) \vec{C} \quad (4.1.8)$$

```
col(adjoint(transpose(addcol(VCB,VCC,
  matrix([1],[1],[1])))),3);
VC3ML:col(adjoint(transpose(addcol(VCA,%,
  matrix([1],[1],[1])))),3);
AL1:\alpha*(VCA.VCC)*VCB;
AL2:\alpha*(VCA.VCB)*VCC;
VC3ML-AL1+AL2;
factor(%);
```



ベクトルとして、(4.1.1) 式を (4.1.8) 式に代入し、 $\alpha$  を求める。

$$\begin{aligned}\vec{A} \times (\vec{B} \times \vec{C}) &= \begin{pmatrix} A_2 (B_1 C_2 - C_1 B_2) - A_3 (C_1 B_3 - B_1 C_3) \\ A_3 (B_2 C_3 - C_2 B_3) - A_1 (B_1 C_2 - C_1 B_2) \\ A_1 (C_1 B_3 - B_1 C_3) - A_2 (B_2 C_3 - C_2 B_3) \end{pmatrix}\end{aligned}$$

$$\alpha (\vec{A} \cdot \vec{C}) \vec{B} = \begin{pmatrix} B_1 (A_3 C_3 + A_2 C_2 + A_1 C_1) \alpha \\ B_2 (A_3 C_3 + A_2 C_2 + A_1 C_1) \alpha \\ B_3 (A_3 C_3 + A_2 C_2 + A_1 C_1) \alpha \end{pmatrix}$$

$$\alpha (\vec{A} \cdot \vec{B}) \vec{C} = \begin{pmatrix} C_1 (A_3 B_3 + A_2 B_2 + A_1 B_1) \alpha \\ C_2 (A_3 B_3 + A_2 B_2 + A_1 B_1) \alpha \\ (A_3 B_3 + A_2 B_2 + A_1 B_1) C_3 \alpha \end{pmatrix}$$

上式を (4.1.8) 式に代入し、整理すると、

$$\begin{pmatrix} -(B_1 A_3 C_3 - C_1 A_3 B_3 + B_1 A_2 C_2 - C_1 A_2 B_2) (\alpha - 1) \\ -(B_2 A_3 C_3 - C_2 A_3 B_3 - A_1 B_1 C_2 + A_1 C_1 B_2) (\alpha - 1) \\ (A_2 B_2 C_3 + A_1 B_1 C_3 - A_2 C_2 B_3 - A_1 C_1 B_3) (\alpha - 1) \end{pmatrix} = 0$$

上式から、 $\alpha = 1$  となる。以上から、ベクトル 3 重積は下記のように表現できる。

$$\vec{A} \times (\vec{B} \times \vec{C}) = (\vec{A} \cdot \vec{C}) \vec{B} - (\vec{A} \cdot \vec{B}) \vec{C} \quad (4.1.9)$$

```
col(adjoint(transpose(addcol(VCB,VCC,
matrix([1],[1],[1])))),3);
col(adjoint(transpose(addcol(VCA,%,
matrix([1],[1],[1])))),3);
VPRABC:expand(%);
VCA.VCC;
VPACB:%*VCB;
VCA.VCB;
VPABC:%*VCC;
VPRABC1:expand(VPACB-VPABC);
VPRABC-VPRABC1;
```

上式を具体的に確かめる。

$$\begin{aligned}\vec{A} \times (\vec{B} \times \vec{C}) &= \begin{pmatrix} B_1 A_3 C_3 - C_1 A_3 B_3 + B_1 A_2 C_2 - C_1 A_2 B_2 \\ B_2 A_3 C_3 - C_2 A_3 B_3 - A_1 B_1 C_2 + A_1 C_1 B_2 \\ -A_2 B_2 C_3 - A_1 B_1 C_3 + A_2 C_2 B_3 + A_1 C_1 B_3 \end{pmatrix}\end{aligned}$$

$$(\vec{A} \cdot \vec{C}) \vec{B} = \begin{pmatrix} B_1 (A_3 C_3 + A_2 C_2 + A_1 C_1) \\ B_2 (A_3 C_3 + A_2 C_2 + A_1 C_1) \\ B_3 (A_3 C_3 + A_2 C_2 + A_1 C_1) \end{pmatrix}$$

$$(\vec{A} \cdot \vec{B}) \vec{C} = \begin{pmatrix} C_1 (A_3 B_3 + A_2 B_2 + A_1 B_1) \\ C_2 (A_3 B_3 + A_2 B_2 + A_1 B_1) \\ (A_3 B_3 + A_2 B_2 + A_1 B_1) C_3 \end{pmatrix}$$

$$\begin{aligned}(\vec{A} \cdot \vec{C}) \vec{B} - (\vec{A} \cdot \vec{B}) \vec{C} &= \begin{pmatrix} B_1 A_3 C_3 - C_1 A_3 B_3 + B_1 A_2 C_2 - C_1 A_2 B_2 \\ B_2 A_3 C_3 - C_2 A_3 B_3 - A_1 B_1 C_2 + A_1 C_1 B_2 \\ -A_2 B_2 C_3 - A_1 B_1 C_3 + A_2 C_2 B_3 + A_1 C_1 B_3 \end{pmatrix}\end{aligned}$$

以上から、(4.1.9) 式が確認できた。

## (3) スカラーのみの3重積

下記のスカラーのみの3重積について調べる。

$$\vec{A} \cdot (\vec{B} \cdot \vec{C})$$

ベクトル3重積の(4.1.9)式で、 $\vec{A} \rightarrow \vec{B}$ ,  $\vec{B} \rightarrow \vec{A}$ に置き換えると、

$$\vec{B} \times (\vec{A} \times \vec{C}) = (\vec{B} \cdot \vec{C}) \vec{A} - (\vec{B} \cdot \vec{A}) \vec{C}$$

以上から、

$$\vec{A} \cdot (\vec{B} \cdot \vec{C}) = \vec{B} \times (\vec{A} \times \vec{C}) + (\vec{B} \cdot \vec{A}) \cdot \vec{C} \quad (4.1.10)$$

```
col(adjoint(transpose(addcol(VCA,VCC,
matrix([1],[1],[1])))),3);
col(adjoint(transpose(addcol(VCB,%,
matrix([1],[1],[1])))),3);
VPRBAC:expand(%);
VCB.VCC;
SPRABC:expand(VCA*%);
VCB.VCA;
SPRCBA:expand(VCC*%);
VPRBAC+SPRCBA;
SPRABC-%;
```

$$\vec{B} \times (\vec{A} \times \vec{C}) = (\vec{B} \cdot \vec{C}) \vec{A} - (\vec{B} \cdot \vec{A}) \vec{C}$$

$$\vec{B} \times (\vec{A} \times \vec{C}) = \begin{pmatrix} A_1 B_3 C_3 - C_1 A_3 B_3 + A_1 B_2 C_2 - C_1 A_2 B_2 \\ A_2 B_3 C_3 - C_2 A_3 B_3 - A_1 B_1 C_2 + B_1 C_1 A_2 \\ -A_2 B_2 C_3 - A_1 B_1 C_3 + B_2 C_2 A_3 + B_1 C_1 A_3 \end{pmatrix}$$

$$(\vec{B} \cdot \vec{C}) \vec{A} = \begin{pmatrix} A_1 B_3 C_3 + A_1 B_2 C_2 + A_1 B_1 C_1 \\ A_2 B_3 C_3 + A_2 B_2 C_2 + B_1 C_1 A_2 \\ A_3 B_3 C_3 + B_2 C_2 A_3 + B_1 C_1 A_3 \end{pmatrix}$$

$$(\vec{B} \cdot \vec{A}) \vec{C} = \begin{pmatrix} C_1 A_3 B_3 + C_1 A_2 B_2 + A_1 B_1 C_1 \\ C_2 A_3 B_3 + A_2 B_2 C_2 + A_1 B_1 C_2 \\ A_3 B_3 C_3 + A_2 B_2 C_3 + A_1 B_1 C_3 \end{pmatrix}$$

上式を(4.1.10)式に代入すると、(4.1.10)式が成り立っているのがわかる。

## (4) ベクトル積・内積

スカラー 3 重積：(4.1.6) 式から、

$$(\vec{A} \times \vec{B}) \cdot (\vec{C} \times \vec{D}) = \vec{C} \cdot (\vec{D} \times (\vec{A} \times \vec{B}))$$

更に、ベクトル 3 重積：(4.1.9) 式を用いて、

$$\begin{aligned} & \vec{C} \cdot (\vec{D} \times (\vec{A} \times \vec{B})) \\ &= \vec{C} \cdot (\vec{A} \cdot (\vec{B} \cdot \vec{D}) - \vec{B} \cdot (\vec{A} \cdot \vec{D})) \\ &= (\vec{A} \cdot \vec{C}) \cdot (\vec{B} \cdot \vec{D}) - (\vec{B} \cdot \vec{C}) \cdot (\vec{A} \cdot \vec{D}) \end{aligned}$$

以上から、

$$(\vec{A} \times \vec{B}) \cdot (\vec{C} \times \vec{D}) = (\vec{A} \cdot \vec{C}) \cdot (\vec{B} \cdot \vec{D}) - (\vec{B} \cdot \vec{C}) \cdot (\vec{A} \cdot \vec{D}) \quad (4.1.11)$$

上式を

```
VCD:matrix([D[1]], [D[2]], [D[3]]);
VCAB:col(adjoint(transpose(addcol(VCA,
  VCB,matrix([1], [1], [1])))),3);
VCCD:col(adjoint(transpose(addcol(VCC,
  VCD,matrix([1], [1], [1])))),3);
VCAB.VCCD;
SABCD:expand(%);
SACBD:(VCA.VCC)*(VCB.VCD);
SBCAD:(VCB.VCC)*(VCA.VCD);
SACBD-SBCAD;
%-SABCD;
expand(%);
```

$$\vec{A} \times \vec{B} = \begin{pmatrix} A_2 B_3 - B_2 A_3 \\ B_1 A_3 - A_1 B_3 \\ A_1 B_2 - B_1 A_2 \end{pmatrix}$$

$$\vec{C} \times \vec{D} = \begin{pmatrix} C_2 D_3 - D_2 C_3 \\ D_1 C_3 - C_1 D_3 \\ C_1 D_2 - D_1 C_2 \end{pmatrix}$$

$$\begin{aligned} & (\vec{A} \times \vec{B}) \cdot (\vec{C} \times \vec{D}) \\ &= A_2 C_2 B_3 D_3 + A_1 C_1 B_3 D_3 - B_2 C_2 A_3 D_3 \\ & \quad - B_1 C_1 A_3 D_3 - A_2 D_2 B_3 C_3 - A_1 D_1 B_3 C_3 \\ & \quad + B_2 D_2 A_3 C_3 + B_1 D_1 A_3 C_3 + A_1 C_1 B_2 D_2 \\ & \quad - B_1 C_1 A_2 D_2 - A_1 D_1 B_2 C_2 + B_1 D_1 A_2 C_2 \end{aligned} \quad (4.1.12)$$

$$\begin{aligned} (\vec{A} \cdot \vec{C}) \cdot (\vec{B} \cdot \vec{D}) &= (A_3 C_3 + A_2 C_2 + A_1 C_1) \\ & \quad \times (B_3 D_3 + B_2 D_2 + B_1 D_1) \end{aligned}$$

$$\begin{aligned} (\vec{B} \cdot \vec{C}) \cdot (\vec{A} \cdot \vec{D}) &= (B_3 C_3 + B_2 C_2 + B_1 C_1) \\ & \quad \times (A_3 D_3 + A_2 D_2 + A_1 D_1) \end{aligned}$$

上式から、

$$\begin{aligned} & (\vec{A} \cdot \vec{C}) \cdot (\vec{B} \cdot \vec{D}) - (\vec{B} \cdot \vec{C}) \cdot (\vec{A} \cdot \vec{D}) \\ &= A_2 C_2 B_3 D_3 + A_1 C_1 B_3 D_3 - B_2 C_2 A_3 D_3 \\ & \quad - B_1 C_1 A_3 D_3 - A_2 D_2 B_3 C_3 - A_1 D_1 B_3 C_3 \\ & \quad + B_2 D_2 A_3 C_3 + B_1 D_1 A_3 C_3 + A_1 C_1 B_2 D_2 \\ & \quad - B_1 C_1 A_2 D_2 - A_1 D_1 B_2 C_2 + B_1 D_1 A_2 C_2 \end{aligned} \quad (4.1.13)$$

(4.1.12) 式、(4.1.13) 式から (4.1.11) 式が成り立っているのがわかる。

(4.1.11) 式の図形的解釈として、 $|\vec{A} \times \vec{B}|$  は  $\vec{A}$  と  $\vec{B}$  がつくる平行四辺形の面積、 $|\vec{C} \times \vec{D}|$  は  $\vec{C}$  と  $\vec{D}$  がつくる平行四辺形の面積であり、ベクトル： $\vec{A} \times \vec{B}$  とベクトル： $\vec{C} \times \vec{D}$  のなす角： $\theta$  とすると、(4.1.11) 式は  $|\vec{A} \times \vec{B}| |\vec{C} \times \vec{D}| \cos(\theta)$  となる。

## ベクトル積・内積

下記の関係式の  $\vec{V}$  を求める。

$$\vec{A} \cdot \vec{V} = \alpha, \quad \vec{B} \times \vec{V} = \vec{C} \quad (4.1.14)$$

(4.1.14) 式の第二式に  $\vec{A}$  のベクトル積をとり、

$$\vec{A} \times (\vec{B} \times \vec{V}) = \vec{A} \times \vec{C}$$

上式を展開し、

$$\vec{B} (\vec{A} \cdot \vec{V}) - \vec{V} (\vec{A} \cdot \vec{B}) = \vec{A} \times \vec{C}$$

(4.1.14) 式の第一式を代入し、

$$\alpha \vec{B} - \vec{V} (\vec{A} \cdot \vec{B}) = \vec{A} \times \vec{C}$$

上式から  $\vec{V}$  を求めると、

$$\vec{V} = \frac{\alpha \vec{B} - \vec{A} \times \vec{C}}{\vec{A} \cdot \vec{B}}$$

## 4.2 行列とテンソル

### 4.2.1 行列の生成

#### (1) Maxima の行列の表現

```
kill(all);
MTA:matrix([A[11],A[12],A[13]],
[A[21],A[22],A[23]],[A[31],A[32],A[33]]);
MTB:matrix([B[11],B[12],B[13]],
[B[21],B[22],B[23]],[B[31],B[32],B[33]]);
MTC:matrix([C[11],C[12],C[13]],
[C[21],C[22],C[23]],[C[31],C[32],C[33]]);
```

Maxima の行列の記述方法は `matrix` 関数を使う。

`matrix([成分11, 成分12, …], [成分21, 成分22, …], …)`

$$A = \begin{pmatrix} A_{11} & A_{12} & A_{13} \\ A_{21} & A_{22} & A_{23} \\ A_{31} & A_{32} & A_{33} \end{pmatrix}$$

$$B = \begin{pmatrix} B_{11} & B_{12} & B_{13} \\ B_{21} & B_{22} & B_{23} \\ B_{31} & B_{32} & B_{33} \end{pmatrix}$$

$$C = \begin{pmatrix} C_{11} & C_{12} & C_{13} \\ C_{21} & C_{22} & C_{23} \\ C_{31} & C_{32} & C_{33} \end{pmatrix}$$

#### (2) 単位行列

```
ident(3);
```

下記の `ident` 関数で得られる。

`ident(次数)`

$$\begin{pmatrix} 1 & 0 & 0 \\ 0 & 1 & 0 \\ 0 & 0 & 1 \end{pmatrix}$$

#### (3) 行列生成

```
genmatrix(A,3,3);
genmatrix(A,5,4,2,2);
h[i,j]:=1/(i+j-1);
genmatrix(h,3,3);
```

`genmatrix` 関数で配列関数に添え字を付けた行列で、添え字を行 1 から行 2、列 1 から列 2 の行列を生成する。

`genmatrix(配列関数, 行 2, 列 2, 行 1, 列 1)`

$$\begin{pmatrix} A_{1,1} & A_{1,2} & A_{1,3} \\ A_{2,1} & A_{2,2} & A_{2,3} \\ A_{3,1} & A_{3,2} & A_{3,3} \end{pmatrix}$$

$$\begin{pmatrix} A_{2,2} & A_{2,3} & A_{2,4} \\ A_{3,2} & A_{3,3} & A_{3,4} \\ A_{4,2} & A_{4,3} & A_{4,4} \\ A_{5,2} & A_{5,3} & A_{5,4} \end{pmatrix}$$

下記の関数を定義しても生成できる。

$$h_{i,j} := \frac{1}{i+j-1}$$

$$\begin{pmatrix} 1 & \frac{1}{2} & \frac{1}{3} \\ \frac{1}{2} & \frac{1}{3} & \frac{1}{4} \\ \frac{1}{3} & \frac{1}{4} & \frac{1}{5} \end{pmatrix}$$

#### (4) 行の抽出

```
row(MTA,2);
```

行列の  $n$  行目の行を抽出する。

`row(行列, n)`

$$\begin{pmatrix} A_{21} & A_{22} & A_{23} \end{pmatrix}$$

#### (5) 列の抽出

```
col(MTA,2);
```

行列の  $n$  列目の列を抽出する。

`col(行列, n)`

$$\begin{pmatrix} A_{12} \\ A_{22} \\ A_{32} \end{pmatrix}$$

## (6) 行方向に行列を追加

```
A1:genmatrix(A,2,2);
B1:genmatrix(B,2,2);
addrow(A1,B1);
```

$$A1 = \begin{pmatrix} A_{1,1} & A_{1,2} \\ A_{2,1} & A_{2,2} \end{pmatrix}$$

$$B1 = \begin{pmatrix} B_{1,1} & B_{1,2} \\ B_{2,1} & B_{2,2} \end{pmatrix}$$

A1 の行方向に B1 を追加する。

```
addrow(A1,B1)
```

$$\begin{pmatrix} A_{1,1} & A_{1,2} \\ A_{2,1} & A_{2,2} \\ B_{1,1} & B_{1,2} \\ B_{2,1} & B_{2,2} \end{pmatrix}$$

## (7) 列方向に行列を追加

```
addcol(A1,B1);
```

A1 の列方向に B1 を追加する。

```
addcol(A1,B1)
```

$$\begin{pmatrix} A_{1,1} & A_{1,2} & B_{1,1} & B_{1,2} \\ A_{2,1} & A_{2,2} & B_{2,1} & B_{2,2} \end{pmatrix}$$

## (8) 行列の指定行、列を削除

```
A1:genmatrix(A,5,5);
submatrix(2,3,A1,4);
```

A1 の指定の行、指定の列を削除する。

*submatrix*(行 1, 行 2, ..., 行 n, 行列, 列 1, 列 2, ..., 列 m)

$$\begin{pmatrix} A_{1,1} & A_{1,2} & A_{1,3} & A_{1,4} & A_{1,5} \\ A_{2,1} & A_{2,2} & A_{2,3} & A_{2,4} & A_{2,5} \\ A_{3,1} & A_{3,2} & A_{3,3} & A_{3,4} & A_{3,5} \\ A_{4,1} & A_{4,2} & A_{4,3} & A_{4,4} & A_{4,5} \\ A_{5,1} & A_{5,2} & A_{5,3} & A_{5,4} & A_{5,5} \end{pmatrix}$$

$$\rightarrow \begin{pmatrix} A_{1,1} & A_{1,2} & A_{1,3} & A_{1,5} \\ A_{4,1} & A_{4,2} & A_{4,3} & A_{4,5} \\ A_{5,1} & A_{5,2} & A_{5,3} & A_{5,5} \end{pmatrix}$$

## (9) 連立方程式の係数

```
XY1:x+2*y=3;
XY2:4*x+5*y=6;
coefmatrix([XY1,XY2], [x,y]);
```

$$2y + x = 3$$

$$5y + 4x = 6$$

上記の連立方程式の係数の行列を求める。

$$\begin{pmatrix} 1 & 2 \\ 4 & 5 \end{pmatrix}$$

## 4.2.2 行列の演算

$m \times n$  の行列は、 $m$  個の行と  $n$  個の列の数字や式を並べたものである。その各種演算について、以下に示す。

## (1) 行列の和差

```
MTA+MTB;
```

$$A + B = \begin{pmatrix} B_{11} + A_{11} & B_{12} + A_{12} & B_{13} + A_{13} \\ B_{21} + A_{21} & B_{22} + A_{22} & B_{23} + A_{23} \\ B_{31} + A_{31} & B_{32} + A_{32} & B_{33} + A_{33} \end{pmatrix}$$

## (2) 行列の積

```
A1:genmatrix(A,2,2);
B1:genmatrix(B,2,2);
A1.B1;
```

行列： $A$  と行列： $B$  の積は、 $.$  で実行でき、行列： $A$  の行の成分と行列： $B$  の列の成分を掛け、その総和が積の成分となる。

$$\begin{pmatrix} A_{1,1} & A_{1,2} \\ A_{2,1} & A_{2,2} \end{pmatrix} \cdot \begin{pmatrix} B_{1,1} & B_{1,2} \\ B_{2,1} & B_{2,2} \end{pmatrix} \\ = \begin{pmatrix} A_{1,2} B_{2,1} + A_{1,1} B_{1,1} & A_{1,2} B_{2,2} + A_{1,1} B_{1,2} \\ B_{2,1} A_{2,2} + B_{1,1} A_{2,1} & A_{2,2} B_{2,2} + B_{1,2} A_{2,1} \end{pmatrix}$$

## (3) 行列の積 のトレース (対角成分の和)

```
MT1:MTA.MTB;
TR1:MT1[1][1]+MT1[2][2]+MT1[3][3];
MT2:MTB.MTA;
TR2:MT2[1][1]+MT2[2][2]+MT2[3][3];
expand(TR1-TR2);
```

$$AB \text{ のトレース} = BA \text{ のトレース} \\ = A_{33} B_{33} + A_{23} B_{32} + B_{23} A_{32} + A_{13} B_{31} + B_{13} A_{31} \\ + A_{22} B_{22} + A_{12} B_{21} + B_{12} A_{21} + A_{11} B_{11} \quad (4.2.1)$$

## (4) 行列の結合則

```
MT1:MTA.(MTB.MTC);
MT2:(MTA.MTB).MTC;
expand(MT1-MT2);
```

出力結果が膨大なので、省く。結果は、

$$A(BC) = (AB)C$$

## (5) 行列の分配則

```
MT1:(MTA+MTB).MTC;
MT2:MTA.MTC+MTB.MTC;
expand(MT1-MT2);
MT1:MTC.(MTA+MTB);
MT2:MTC.MTA+MTC.MTB;
expand(MT1-MT2);
```

出力結果が膨大なので、省く。結果は、

$$(A + B)C = AC + BC$$

$$C(A + B) = CA + CB$$

## (6) 行列の転置行列

```
MT1:transpose(MTA);
```

$A$  の転置行列： $A^T$  は、行と列を入れ替えて得られる。Maxima では転置行列は下記の `transpose` 関数で得られる。

$$\text{transpose(行列)} \\ A^T = \begin{pmatrix} A_{11} & A_{12} & A_{13} \\ A_{21} & A_{22} & A_{23} \\ A_{31} & A_{32} & A_{33} \end{pmatrix}^T = \begin{pmatrix} A_{11} & A_{21} & A_{31} \\ A_{12} & A_{22} & A_{32} \\ A_{13} & A_{23} & A_{33} \end{pmatrix}$$

## (7) 行列の和の転置行列

```
MT1:transpose(MTA+MTB);
MT2:transpose(MTA)+transpose(MTB);
expand(MT1-MT2);
```

$$(A + B)^T = \begin{pmatrix} B_{11} + A_{11} & B_{21} + A_{21} & B_{31} + A_{31} \\ B_{12} + A_{12} & B_{22} + A_{22} & B_{32} + A_{32} \\ B_{13} + A_{13} & B_{23} + A_{23} & B_{33} + A_{33} \end{pmatrix} \\ = A^T + B^T \quad (4.2.2)$$

## (8) 行列の積の転置行列

```
MT1:transpose(MTA.MTB);
MT2:transpose(MTB).transpose(MTA);
expand(MT1-MT2);
```

$$(AB)^T = B^T A^T \quad (4.2.3)$$

## 4.2.3 行列式

```
DT1:determinant(MTA);
DT2:determinant(transpose(MTA));
expand(DT1-DT2);
```

Maxima では行列  $A$  の行列式  $\det |A|$  は、下記の determinant 関数で得られる。

*determinant*(行列)

$$\begin{aligned} \det |A| = & A_{11} (A_{22} A_{33} - A_{23} A_{32}) \\ & - A_{12} (A_{21} A_{33} - A_{23} A_{31}) \\ & + A_{13} (A_{21} A_{32} - A_{22} A_{31}) \end{aligned}$$

また、次の関係がある。

$$\det |A| = \det |A^T| \quad (4.2.4)$$

```
DT1:determinant(MTA.MTB);
DT2:determinant(MTA)*determinant(MTB);
expand(DT1-DT2);
```

$$\det |A \cdot B| = \det |A| \det |B| \quad (4.2.5)$$



## 4.2.4 逆行列関連

```
MTI:matrix([I[11],I[12]], [I[21],I[22]]);
invert(MTI)
```

Maxima では行列:  $A$  の逆行列:  $A^{-1}$  は、下記の invert 関数で得られる。

*invert*(行列)

$$A = \begin{pmatrix} A_{11} & A_{12} \\ A_{21} & A_{22} \end{pmatrix}$$

上記行列の逆行列は、次式となる。

$$A^{-1} = \begin{pmatrix} \frac{A_{22}}{A_{11}A_{22}-A_{12}A_{21}} & -\frac{A_{12}}{A_{11}A_{22}-A_{12}A_{21}} \\ -\frac{A_{21}}{A_{11}A_{22}-A_{12}A_{21}} & \frac{A_{11}}{A_{11}A_{22}-A_{12}A_{21}} \end{pmatrix}$$

```
invert(MTI).MTI;
factor(%);
MTI.invert(MTI);
factor(%);
```

逆行列と元の行列の積は単位行列となる。

$$A^{-1} \cdot A = A \cdot A^{-1} = \begin{pmatrix} 1 & 0 \\ 0 & 1 \end{pmatrix} \quad (4.2.6)$$

```
invert(MTI);
invert(%);
factor(%);
MTI-%;
factor(%);
```

逆行列の逆行列は元の行列となる。

$$(A^{-1})^{-1} = A \quad (4.2.7)$$

```
invert(MTI);
transpose(%);
X1:invert(%);
X2:transpose(MTI);
X1-X2;
factor(%);
```

逆行列の転置行列、その逆行列は元の転置行列となる。

$$\left((A^{-1})^T\right)^{-1} = A^T \quad (4.2.8)$$

```
transpose(MTI);
invert(%);
transpose(%);
invert(MTI)-%;
factor(%);
```

転置行列の逆行列、その転置行列は元の逆行列となる。

$$\left((A^T)^{-1}\right)^T = A^{-1} \quad (4.2.9)$$

```
transpose(MTI);
X1:invert(%);
invert(MTI);
X2:transpose(%);
X1-X2;
factor(%);
```

転置行列の逆行列は、逆行列の転置行列に等しい。

$$(A^T)^{-1} = (A^{-1})^T \quad (4.2.10)$$

## 4.2.5 連立一次方程式 (逆行列)

下記の連立一次方程式を逆行列を使って解く。

$$\begin{aligned} 2y + x &= 3 \\ 5y + 4x &= 6 \end{aligned} \quad (4.2.11)$$

```
kill(all);
XY1:x+2*y=3;
XY2:4*x+5*y=6;
MXY1:matrix([1,2],[4,5]);
MXY2:matrix([x],[y]);
B1:matrix([3],[6]);
MXY1.MXY2=B1;
MXY3:invert(MXY1);
MXY3.MXY1;
%.MXY2=MXY3.B1;
solve([XY1,XY2],[x,y]);
```

方程式の要素を行列で表すと、

$$A = \begin{pmatrix} 1 & 2 \\ 4 & 5 \end{pmatrix}, \quad X = \begin{pmatrix} x \\ y \end{pmatrix}, \quad B = \begin{pmatrix} 3 \\ 6 \end{pmatrix}$$

方程式を行列で表すと、

$$AX = B, \quad \begin{pmatrix} 1 & 2 \\ 4 & 5 \end{pmatrix} \begin{pmatrix} x \\ y \end{pmatrix} = \begin{pmatrix} 3 \\ 6 \end{pmatrix} \quad (4.2.12)$$

行列:  $A$  の逆行列:  $A^{-1}$  を求め、

$$A^{-1} = \begin{pmatrix} -\frac{5}{3} & \frac{2}{3} \\ \frac{4}{3} & -\frac{1}{3} \end{pmatrix}$$

上記逆行列を (4.2.12) 式に掛け、

$$A^{-1}AX = A^{-1}B,$$

$A^{-1}A$  は単位行列となり、解が得られ、

$$X = A^{-1}B,$$

$$\begin{pmatrix} x \\ y \end{pmatrix} = \begin{pmatrix} -1 \\ 2 \end{pmatrix}$$

(4.2.11) 式を solve 関数で連立方程式を解くと、当然ながら上記の結果と一致している。

$$[[x = -1, y = 2]]$$

## 4.2.6 連立一次方程式 (行列式)

(4.2.11) 式の連立一次方程式を行列式を使って解く。

```
MXY1:matrix([1,2],[4,5]);
B1:matrix([3],[6]);
submatrix(MXY1,1);
MXY4:addcol(B1,%);
submatrix(MXY1,2);
MXY5:addcol(% ,B1);
D0:determinant(MXY1);
D4:determinant(MXY4);
D5:determinant(MXY5);
x=D4/D0;
y=D5/D0;
```

係数のマトリックス:  $D0$  は、

$$M0 = \begin{pmatrix} 1 & 2 \\ 4 & 5 \end{pmatrix}$$

(4.2.11) 式の右辺のマトリックスは、

$$B1 = \begin{pmatrix} 3 \\ 6 \end{pmatrix}$$

$M0$  の一列目を  $B1$  と置き換えて、

$$M1 = \begin{pmatrix} 3 & 2 \\ 6 & 5 \end{pmatrix}$$

$M0$  の二列目を  $B1$  と置き換えて、

$$M2 = \begin{pmatrix} 1 & 3 \\ 4 & 6 \end{pmatrix}$$

$$D0 = \det |M0| = \det \begin{vmatrix} 1 & 2 \\ 4 & 5 \end{vmatrix} = -3$$

$$D1 = \det |M1| = \det \begin{vmatrix} 3 & 2 \\ 6 & 5 \end{vmatrix} = 3$$

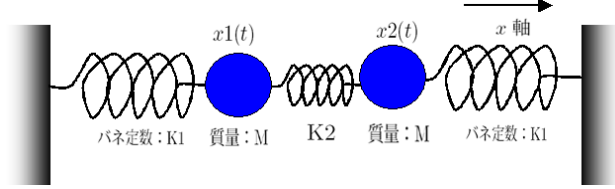
$$D2 = \det |M2| = \det \begin{vmatrix} 1 & 3 \\ 4 & 6 \end{vmatrix} = -6$$

上式から、 $x, y$  は、

$$x = \frac{D1}{D0} = -1, \quad y = \frac{D2}{D0} = 2$$

## 4.2.7 固有値問題

水平線： $x$  軸上を運動する 2 質点（質量： $M$ ）に、左右両壁から距離に比例する力（バネ定数： $K_1$ ）が作用する。そして、2つの質点間に距離に比例する力（バネ定数： $K_2$ ）が作用する。



```
kill(all);
EQ1:M*diff(x[1](t),t,2)=-K[1]*x[1](t)
+K[2]*(x[2](t)-x[1](t));
EQ2:M*diff(x[2](t),t,2)=-K[1]*x[2](t)
-K[2]*(x[2](t)-x[1](t));
X1:x[1](t)=C[1]*%e^(%i*\omega*t);
X2:x[2](t)=C[2]*%e^(%i*\omega*t);
EQ11:subst([X1,X2],EQ1);
ev(%diff);
EQ12:expand(%/M/%e^(%i*\omega*t));
EQ21:subst([X1,X2],EQ2);
ev(%diff);
EQ22:expand(%/M/%e^(%i*\omega*t));
EQ12;
EQ22;
MC12:matrix([C[1]], [C[2]]);
MK12:matrix([- (K[1]+K[2])/M, K[2]/M],
[K[2]/M, - (K[1]+K[2])/M]);
EQM1:-\omega^2*MC12=MK12.MC12;
EQM2:subst([\omega^2=\Lambda],%);
MI1:ident(2);
MI2:MI1*(-\Lambda);
MI2.MC12;
%=MK12.MC12;
MK12-MI2;
determinant(%)=0;
expand(%);
OM1:solve(%,\Lambda);
subst([\Lambda=\omega^2],%);
EQM3:EQM2-lhs(EQM2);
subst([OM1[1]],EQM3);
factor(%);
C[2]=-C[1];
subst([OM1[2]],EQM3);
factor(%);
C[2]=C[1];
```

質点に作用する力の分析から、質点の変位： $x_1(t), x_2(t)$  に関する運動方程式は下記となる。

$$\begin{aligned} \left( \frac{d^2}{dt^2} x_1(t) \right) M &= K_2 (x_2(t) - x_1(t)) - K_1 x_1(t) \\ \left( \frac{d^2}{dt^2} x_2(t) \right) M &= -K_2 (x_2(t) - x_1(t)) - K_1 x_2(t) \end{aligned} \quad (4.2.13)$$

上式に次式を代入し、

$$x_1(t) = C_1 e^{i\omega t}, \quad x_2(t) = C_2 e^{i\omega t}$$

整理すると、

$$\begin{aligned} -C_1 \omega^2 e^{i\omega t} M &= K_2 (C_2 e^{i\omega t} - C_1 e^{i\omega t}) - C_1 K_1 e^{i\omega t} \\ -C_2 \omega^2 e^{i\omega t} M &= -K_2 (C_2 e^{i\omega t} - C_1 e^{i\omega t}) - K_1 C_2 e^{i\omega t} \end{aligned}$$

上式を  $e^{i\omega t}$  で割ると、

$$\begin{aligned} -C_1 \omega^2 &= \frac{C_2 K_2}{M} - \frac{C_1 K_2}{M} - \frac{C_1 K_1}{M} \\ -C_2 \omega^2 &= -\frac{C_2 K_2}{M} + \frac{C_1 K_2}{M} - \frac{K_1 C_2}{M} \end{aligned}$$

上式を行列で表現すると、

$$C = \begin{pmatrix} C_1 \\ C_2 \end{pmatrix}, \quad A = \begin{pmatrix} \frac{-K_2 - K_1}{M} & \frac{K_2}{M} \\ \frac{K_2}{M} & \frac{-K_2 - K_1}{M} \end{pmatrix}$$

$$-\omega^2 C = A C$$

上式から、

$$\begin{pmatrix} -C_1 \omega^2 \\ -C_2 \omega^2 \end{pmatrix} = \begin{pmatrix} \frac{C_2 K_2}{M} + \frac{C_1 (-K_2 - K_1)}{M} \\ \frac{C_1 K_2}{M} + \frac{C_2 (-K_2 - K_1)}{M} \end{pmatrix}$$

$\omega^2 = \Lambda$  と置いて、

$$\begin{pmatrix} -C_1 \Lambda \\ -C_2 \Lambda \end{pmatrix} = \begin{pmatrix} \frac{C_2 K_2}{M} + \frac{C_1 (-K_2 - K_1)}{M} \\ \frac{C_1 K_2}{M} + \frac{C_2 (-K_2 - K_1)}{M} \end{pmatrix}$$

ところで、下記の関係から、

$$\begin{pmatrix} -\Lambda & 0 \\ 0 & -\Lambda \end{pmatrix} \begin{pmatrix} C_1 \\ C_2 \end{pmatrix} = \begin{pmatrix} -C_1 \Lambda \\ -C_2 \Lambda \end{pmatrix}$$

次式が得られる。

$$\begin{pmatrix} -\Lambda & 0 \\ 0 & -\Lambda \end{pmatrix} \begin{pmatrix} C_1 \\ C_2 \end{pmatrix} = \begin{pmatrix} \frac{-K_2 - K_1}{M} & \frac{K_2}{M} \\ \frac{K_2}{M} & \frac{-K_2 - K_1}{M} \end{pmatrix} \begin{pmatrix} C_1 \\ C_2 \end{pmatrix}$$

上式の左辺を右辺に移動し、

$$\begin{pmatrix} \frac{-K_2 - K_1}{M} + \Lambda & \frac{K_2}{M} \\ \frac{K_2}{M} & \frac{-K_2 - K_1}{M} + \Lambda \end{pmatrix} \begin{pmatrix} C_1 \\ C_2 \end{pmatrix} = 0 \quad (4.2.14)$$

上式で、 $C_1, C_2$  の解が存在するためには、

$$\det \begin{vmatrix} \frac{-K_2 - K_1}{M} + \Lambda & \frac{K_2}{M} \\ \frac{K_2}{M} & \frac{-K_2 - K_1}{M} + \Lambda \end{vmatrix} = 0$$

上式から、

$$\left( \frac{-K_2 - K_1}{M} + \Lambda \right)^2 - \frac{K_2^2}{M^2} = 0$$

上式の解を求めると、

$$\left[ \Lambda = \frac{2K_2 + K_1}{M}, \Lambda = \frac{K_1}{M} \right]$$

$\omega^2 = \Lambda$  の関係から、

$$\left[ \omega^2 = \frac{2K_2 + K_1}{M}, \omega^2 = \frac{K_1}{M} \right]$$

(4.2.14) 式に  $\omega^2 = \frac{2K_2 + K_1}{M}$  を代入し整理すると、

$$\begin{pmatrix} 0 \\ 0 \end{pmatrix} = \begin{pmatrix} \frac{(C_2 + C_1) K_2}{M} \\ \frac{(C_2 + C_1) K_2}{M} \end{pmatrix}$$

上式から、 $\omega^2 = \frac{2K_2 + K_1}{M}$  の時、 $C_2 = -C_1$  で、二つの質点は反対方向に動く。

(4.2.14) 式に  $\omega^2 = \frac{K_1}{M}$  を代入し整理すると、

$$\begin{pmatrix} 0 \\ 0 \end{pmatrix} = \begin{pmatrix} \frac{(C_2 - C_1) K_2}{M} \\ -\frac{(C_2 - C_1) K_2}{M} \end{pmatrix}$$

上式から、 $\omega^2 = \frac{K_1}{M}$  の時、 $C_2 = C_1$  で、二つの質点は同じ方向に動く。

## 4.2.8 テンソル演算

Maxima のテンソル表現

```
kill(all);
MTA:matrix([A[1]],[A[2]],[A[3]]);
MTB:matrix([B[1]],[B[2]],[B[3]]);
TNL:matrix([1[11],1[12],1[13]],[1[21],
1[22],1[23]],[1[31],1[32],1[33]]);
TNM:matrix([m[11],m[12],m[13]],[m[21],
m[22],m[23]],[m[31],m[32],m[33]]);
TNN:matrix([n[11],n[12],n[13]],[n[21],
n[22],n[23]],[n[31],n[32],n[33]]);
```

テンソルは行列と同じ記述方法である。

$$\vec{A} = \begin{pmatrix} A_1 \\ A_2 \\ A_3 \end{pmatrix}$$

$$\vec{B} = \begin{pmatrix} B_1 \\ B_2 \\ B_3 \end{pmatrix}$$

$$L = \begin{pmatrix} l_{11} & l_{12} & l_{13} \\ l_{21} & l_{22} & l_{23} \\ l_{31} & l_{32} & l_{33} \end{pmatrix}$$

$$M = \begin{pmatrix} m_{11} & m_{12} & m_{13} \\ m_{21} & m_{22} & m_{23} \\ m_{31} & m_{32} & m_{33} \end{pmatrix}$$

$$N = \begin{pmatrix} n_{11} & n_{12} & n_{13} \\ n_{21} & n_{22} & n_{23} \\ n_{31} & n_{32} & n_{33} \end{pmatrix}$$

## (1) テンソルの内積

```
kill(all);
TNM.MTA;
```

テンソルの内積は、ベクトルや行列の内積と同じ方法で得られる。

$$M \vec{A} = \begin{pmatrix} A_3 m_{13} + A_2 m_{12} + A_1 m_{11} \\ A_3 m_{23} + A_2 m_{22} + A_1 m_{21} \\ A_3 m_{33} + A_2 m_{32} + A_1 m_{31} \end{pmatrix}$$

## (2) テンソルの分配則

```
TN11:TNM.(MTA+MTB);
TN12:TNM.MTA+TNM.MTB;
expand(TN11-TN12);
```

$$M (\vec{A} + \vec{B}) = M \vec{A} + M \vec{B}$$

## (3) テンソルとスカラーとの内積

```
TN21:TNM.(k*MTA);
TN22:k*(TNM.MTA);
expand(TN21-TN22);
```

$$M (k \vec{A}) = k (M \vec{A})$$

## (4) テンソルとベクトルとの内積

```
TN31:TNL.TNM;
TN32:expand(TNM.(TNL.MTA));
TN33:expand((TNM.TNL).MTA);
expand(TN32-TN33);
```

$$M (L \vec{A}) = (M L) \vec{A}$$

### 4.2.9 直交座標系のベクトル・テンソルの座標変換

#### 座標変換行列

$xyz$  座標の各座標の単位ベクトルを  $\vec{i}$ 、 $\vec{j}$ 、 $\vec{k}$  とし、 $x'y'z'$  座標の各座標の単位ベクトルを  $\vec{e}_1$ 、 $\vec{e}_2$ 、 $\vec{e}_3$  とする。この関係を下図に示す。

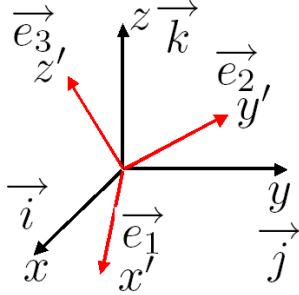


図 4.2.1: 座標変換

関係式は、

$$\begin{aligned} \vec{e}_1 &= (\vec{e}_1 \cdot \vec{i}) \vec{i} + (\vec{e}_1 \cdot \vec{j}) \vec{j} + (\vec{e}_1 \cdot \vec{k}) \vec{k} \\ &= l_{11} \vec{i} + l_{12} \vec{j} + l_{13} \vec{k} \\ \vec{e}_2 &= (\vec{e}_2 \cdot \vec{i}) \vec{i} + (\vec{e}_2 \cdot \vec{j}) \vec{j} + (\vec{e}_2 \cdot \vec{k}) \vec{k} \\ &= l_{21} \vec{i} + l_{22} \vec{j} + l_{23} \vec{k} \\ \vec{e}_3 &= (\vec{e}_3 \cdot \vec{i}) \vec{i} + (\vec{e}_3 \cdot \vec{j}) \vec{j} + (\vec{e}_3 \cdot \vec{k}) \vec{k} \\ &= l_{31} \vec{i} + l_{32} \vec{j} + l_{33} \vec{k} \end{aligned}$$

上式をベクトル表記すると、下記となる。ここで、座標変換行列： $L$  とする。

$$\begin{pmatrix} \vec{e}_1 \\ \vec{e}_2 \\ \vec{e}_3 \end{pmatrix} = L \begin{pmatrix} \vec{i} \\ \vec{j} \\ \vec{k} \end{pmatrix}, \quad L = \begin{pmatrix} l_{11} & l_{12} & l_{13} \\ l_{21} & l_{22} & l_{23} \\ l_{31} & l_{32} & l_{33} \end{pmatrix} \quad (4.2.15)$$

```
TR110:solve(TR11,1[31]^2)[1];
TR120:solve(TR12,1[32]^2)[1];
TR130:solve(TR13,1[33]^2)[1];
TR140:solve(TR14,1[11]*1[12])[1];
TR150:solve(TR15,1[12]*1[13])[1];
TR160:solve(TR16,1[11]*1[13])[1];
subst([TR110,TR120,TR130,TR140,TR150,
TR160],TN71);
```

また、下記の関係がある。

$$\begin{pmatrix} \vec{i} \\ \vec{j} \\ \vec{k} \end{pmatrix} = L^T \begin{pmatrix} \vec{e}_1 \\ \vec{e}_2 \\ \vec{e}_3 \end{pmatrix}$$

即ち、

$$\begin{aligned} \vec{i} &= l_{11} \vec{e}_1 + l_{21} \vec{e}_2 + l_{31} \vec{e}_3 \\ \vec{j} &= l_{12} \vec{e}_1 + l_{22} \vec{e}_2 + l_{32} \vec{e}_3 \\ \vec{k} &= l_{13} \vec{e}_1 + l_{23} \vec{e}_2 + l_{33} \vec{e}_3 \end{aligned}$$

この直交座標系の単位ベクトル： $\vec{i}$ 、 $\vec{j}$ 、 $\vec{k}$  の内積から下記の関係を得る。

$$\begin{aligned} l_{31}^2 + l_{21}^2 + l_{11}^2 &= 1 \\ l_{32}^2 + l_{22}^2 + l_{12}^2 &= 1 \\ l_{33}^2 + l_{23}^2 + l_{13}^2 &= 1 \\ l_{31} l_{32} + l_{21} l_{22} + l_{11} l_{12} &= 0 \\ l_{32} l_{33} + l_{22} l_{23} + l_{12} l_{13} &= 0 \\ l_{31} l_{33} + l_{21} l_{23} + l_{11} l_{13} &= 0 \end{aligned} \quad (4.2.16)$$

上式を  $L^T L$  に代入すると下記の単位マトリクスとなる。

$$L^T L = \begin{pmatrix} 1 & 0 & 0 \\ 0 & 1 & 0 \\ 0 & 0 & 1 \end{pmatrix}$$

```
TN71:transpose(TNL).TNL;
EV1:TNL.matrix([1],[0],[0]);
EV2:TNL.matrix([0],[1],[0]);
EV3:TNL.matrix([0],[0],[1]);
TR11:EV1.EV1=1;
TR12:EV2.EV2=1;
TR13:EV3.EV3=1;
TR14:EV1.EV2=0;
TR15:EV2.EV3=0;
TR16:EV3.EV1=0;
```

## ベクトルの座標変換

以上から、ベクトルの座標変換は次式で得られる。

$$\vec{A}' = L \vec{A} \quad (4.2.17)$$

## テンソルの座標変換

```
TN51:MTA.transpose(MTB);
TN52:TNL.MTA;
TN53:TNL.MTB;
TN54:transpose(MTB).transpose(TNL);
TN55:transpose(TN53);
TN55-TN54;
TN56:TN52.TN54;
TN57:(TNL.TN51).transpose(TNL);
expand(TN56-TN57);
```

テンソル： $C$  を下記のベクトル： $\vec{A}$  とベクトル： $\vec{B}$  の転置行列の内積で表現したものとす。

$$C = \vec{A} \vec{B}^T$$

このテンソル： $C$  の座標変換を行う。ベクトル： $\vec{A}$  とベクトル： $\vec{B}$  の座標変換は、座標変換行列： $L$  とすると、

$$\vec{A}' = L \vec{A}, \quad \vec{B}' = L \vec{B},$$

上式から、座標変換した  $C'$  は、

$$\vec{C}' = \vec{A}' \vec{B}'^T$$

ところで、

$$\vec{B}'^T = \vec{B}^T L^T$$

以上から、

$$\vec{C}' = L \vec{A} \vec{B}^T L^T = L C L^T \quad (4.2.18)$$

## 4.2.10 対称行列の対角化

下記の簡単な例で、正規行列を対角化する手順を示す。ここで正規行列： $A$  は下記の関係が成り立つときである。

$$A A^T = A^T A$$

```
kill(all);
TNF:matrix([2,1],[1,2]);
X1:matrix([x[1]],[x[2]]);
EQ1:TNF.X1=\Lambda*X1;
TNF=ident(2)*\Lambda;
EQ2:%-rhs(%);
determinant(lhs(%))=0;
R1:solve(%,\Lambda);
TNFM1:invert(TNF);
TNFM1.EQ1;
EQ3:lhs(EQ2).X1=0;
subst([R1[1]],EQ3);
X2:c[1]*matrix([1],[1]);
X3:c[2]*matrix([1],[-1]);
TNL1:1/sqrt(2)*matrix([1,1],[1,-1]);
TNL2:invert(TNL1);
TNL2.TNF.TNL1;
```

下記の行列を対角化する。

$$A = \begin{pmatrix} 2 & 1 \\ 1 & 2 \end{pmatrix}$$

上記行列は下記に示すように正規行列である。

$$A A^T = \begin{pmatrix} 5 & 4 \\ 4 & 5 \end{pmatrix}, \quad A^T A = \begin{pmatrix} 5 & 4 \\ 4 & 5 \end{pmatrix}$$

固有値： $\Lambda$  を導入し、下記の方程式とする。

$$\begin{pmatrix} 2 & 1 \\ 1 & 2 \end{pmatrix} \begin{pmatrix} x_1 \\ x_2 \end{pmatrix} = \Lambda \begin{pmatrix} x_1 \\ x_2 \end{pmatrix} \quad (4.2.19)$$

上式を次式とし、

$$\begin{pmatrix} 2 & 1 \\ 1 & 2 \end{pmatrix} = \begin{pmatrix} \Lambda & 0 \\ 0 & \Lambda \end{pmatrix}$$

右辺を左辺に移項し、

$$\begin{pmatrix} 2 - \Lambda & 1 \\ 1 & 2 - \Lambda \end{pmatrix} = \begin{pmatrix} 0 & 0 \\ 0 & 0 \end{pmatrix}$$

上式の左辺の行列式をとり、

$$\det \begin{vmatrix} 2 - \Lambda & 1 \\ 1 & 2 - \Lambda \end{vmatrix} = (2 - \Lambda)^2 - 1 = 0$$

上式の解は、

$$[\Lambda = 3, \Lambda = 1]$$

(4.2.19) 式から、

$$\begin{pmatrix} x_1(2-\Lambda) + x_2 \\ x_2(2-\Lambda) + x_1 \end{pmatrix} = 0 \quad (4.2.20)$$

(4.2.20) 式に  $\Lambda = 3$  を代入し、

$$\begin{pmatrix} x_2 - x_1 \\ x_1 - x_2 \end{pmatrix} = 0$$

上式から、固有ベクトルは、

$$c_1 \begin{pmatrix} 1 \\ 1 \end{pmatrix}$$

$\Lambda = 1$  の場合、同様に固有ベクトルは、

$$c_2 \begin{pmatrix} 1 \\ -1 \end{pmatrix}$$

単位ベクトルからなる固有ベクトルを並べ、

$$P = \begin{pmatrix} \frac{1}{\sqrt{2}} & \frac{1}{\sqrt{2}} \\ \frac{1}{\sqrt{2}} & -\frac{1}{\sqrt{2}} \end{pmatrix}$$

$$P^{-1} = \begin{pmatrix} \frac{1}{\sqrt{2}} & \frac{1}{\sqrt{2}} \\ \frac{1}{\sqrt{2}} & -\frac{1}{\sqrt{2}} \end{pmatrix}$$

次式により対角化できる。

$$P^{-1}AP = \begin{pmatrix} 3 & 0 \\ 0 & 1 \end{pmatrix}$$

次に Maxima の下記の関数を使用した方法<sup>1</sup>を示す。

*eigenvectors*(行列)

上記の処理の結果を下記に示す。リストの一つ目の要素が、固有値と解空間の次元を表している。二つ目の要素は固有ベクトルである。

[[[固有値のリスト][解空間の次元のリスト]]  
[固有ベクトルのリスト]]

*gramschmidt*(行列)

上記の処理の結果として、線型独立なベクトルの組が与えられたとき、ベクトルのノルムが 1 で、どの二つも互いに直交しているようなベクトルの組を作り出す。

以下に例題を示す。

```
kill(all);
A:matrix([2,1],[1,2]);
A.transpose(A)=transpose(A).A;
eigenvectors(A);
n : length(A);
B : eigenvectors(A);
C : zeromatrix(n, n);
B1:transpose(B[2][1][1]);
B2:transpose(B[2][2][1]);
Q:addcol(B1,B2);
m : length(Q);
B : transpose(Q);
n : length(B);
C : gramshmidt(B);
D : zeromatrix(n, m);
for i:1 thru n do
  (D[i] : unitvector(C[i]));
P:transpose(D);
P1:ratsimp(invert(P));
P1.A.P;
ratsimp(%);
```

前記と同じ行列を対角化する。

$$A = \begin{pmatrix} 2 & 1 \\ 1 & 2 \end{pmatrix}$$

*eigenvectors* 関数の結果は、

[[[3, 1], [1, 1]], [[1, 1]], [[1, -1]]]

変換行列 :  $P$  は、

$$P = \begin{pmatrix} \frac{1}{\sqrt{2}} & \frac{1}{\sqrt{2}} \\ \frac{1}{\sqrt{2}} & -\frac{1}{\sqrt{2}} \end{pmatrix}$$

$A$  の対角化した結果は、

$$P^{-1}AP = \begin{pmatrix} 3 & 0 \\ 0 & 1 \end{pmatrix}$$

<sup>1</sup>足立健朗：行列計算における数式処理ソフト maxima の利用について、<http://www.yo.rim.or.jp/kenrou/maxima/maxlin.pdf> 17), P.87 10.2. 対称行列の対角化



```
kill(all);
A:matrix([-21,4,7],[4,-6,28],[7,28,27]);
A.transpose(A)=transpose(A).A;
eigenvectors(A);
n : length(A);
B : eigenvectors(A);
C : zeromatrix(n, n);
B1:transpose(B[2] [1] [1]);
B2:transpose(B[2] [2] [1]);
B3:transpose(B[2] [2] [2]);
Q:addcol(B1,B2,B3);
m : length(Q);
B : transpose(Q);
n : length(B);
C : gramschmidt(B);
D : zeromatrix(n, m);
for i:1 thru n do
  (D[i] : unitvector(C[i]));
P:transpose(D);
P1:ratsimp(invert(P));
P1.A.P;
ratsimp(%);
```

下記の行列を対角化する。

$$A = \begin{pmatrix} -21 & 4 & 7 \\ 4 & -6 & 28 \\ 7 & 28 & 27 \end{pmatrix}$$

*eigenvectors* 関数の結果は、

$$[[[44, -22], [1, 2]], [[1, 4, 7]], [[1, 0, -\frac{1}{7}], [0, 1, -\frac{4}{7}]]]$$

変換行列 :  $P$  は、

$$P = \begin{pmatrix} \frac{1}{\sqrt{66}} & \frac{7}{5\sqrt{2}} & -\frac{2}{5\sqrt{33}} \\ \frac{4}{\sqrt{66}} & 0 & \frac{5}{\sqrt{33}} \\ \frac{7}{\sqrt{66}} & -\frac{1}{5\sqrt{2}} & -\frac{14}{5\sqrt{33}} \end{pmatrix}$$

$A$  の対角化した結果は、

$$P^{-1}AP = \begin{pmatrix} 44 & 0 & 0 \\ 0 & -22 & 0 \\ 0 & 0 & -22 \end{pmatrix}$$

```
kill(all);
A:matrix([1,0,1],[0,1,0],[1,0,1]);
A.transpose(A)=transpose(A).A;
eigenvectors(A);
n : length(A);
B : eigenvectors(A);
C : zeromatrix(n, n);
B1:transpose(B[2] [1] [1]);
B2:transpose(B[2] [2] [1]);
B3:transpose(B[2] [3] [1]);
Q:addcol(B1,B2,B3);
m : length(Q);
B : transpose(Q);
n : length(B);
C : gramschmidt(B);
D : zeromatrix(n, m);
for i:1 thru n do
  (D[i] : unitvector(C[i]));
P:transpose(D);
P1:ratsimp(invert(P));
P1.A.P;
ratsimp(%);
```

下記の行列を対角化する。

$$A = \begin{pmatrix} 1 & 0 & 1 \\ 0 & 1 & 0 \\ 1 & 0 & 1 \end{pmatrix}$$

*eigenvectors* 関数の結果は、

$$[[[1, 2, 0], [1, 1, 1]], [[0, 1, 0]], [[1, 0, 1]], [[1, 0, -1]]]$$

変換行列 :  $P$  は、

$$P = \begin{pmatrix} 0 & \frac{1}{\sqrt{2}} & \frac{1}{\sqrt{2}} \\ 1 & 0 & 0 \\ 0 & \frac{1}{\sqrt{2}} & -\frac{1}{\sqrt{2}} \end{pmatrix}$$

$A$  の対角化した結果は、

$$P^{-1}AP = \begin{pmatrix} 1 & 0 & 0 \\ 0 & 2 & 0 \\ 0 & 0 & 0 \end{pmatrix}$$

## 4.2.11 テンソルの不変量

トレース

```
TN57:(TNL.TNM).transpose(TNL);
TN571:expand(TN57[1][1]+TN57[2][2]
+TN57[3][3]);
TN572:expand(subst([TR110,TR120,TR130,
TR140*m[12],TR150*m[23],TR160*m[13]],
TN571));
TN573:expand(subst([TR140*m[21],
TR150*m[32],TR160*m[31]],TN572));
load("nchrp1");
mattrace(TNM);
```

行列の対角項の和：トレースが不変であることを示す。  
 行列： $M$  を座標変換行列： $L$  で変換すると、

$$M' = L M L^T$$

座標変換した行列： $M'$  の対角項の和は下記となり、  
 (4.2.16) 式の関係式を代入すると、

$$\begin{aligned} \text{tr}(M') &= \\ & l_{33}^2 m_{33} + l_{23}^2 m_{33} + l_{13}^2 m_{33} + l_{32} m_{32} l_{33} + m_{23} l_{32} l_{33} \\ & + l_{31} m_{31} l_{33} + m_{13} l_{31} l_{33} + l_{22} l_{23} m_{32} + l_{12} l_{13} m_{32} \\ & + m_{22} l_{32}^2 + m_{21} l_{31} l_{32} + m_{12} l_{31} l_{32} + l_{21} l_{23} m_{31} \\ & + l_{11} l_{13} m_{31} + m_{11} l_{31}^2 + l_{22} l_{23} m_{23} + l_{12} l_{13} m_{23} \\ & + m_{13} l_{21} l_{23} + l_{22}^2 m_{22} + l_{12}^2 m_{22} + l_{21} m_{21} l_{22} \\ & + m_{12} l_{21} l_{22} + l_{11} l_{12} m_{21} + m_{11} l_{21}^2 + l_{11} l_{13} m_{13} \\ & + l_{11} l_{12} m_{12} + l_{11}^2 m_{11} \\ & = m_{33} + m_{22} + m_{11} \\ & = \text{tr}(M) \end{aligned}$$

座標変換しても、行列の対角項の和は不変である。

行列式の不変量

```
determinant(TNM);
'TNL*TNM*TNL^T);
```

座標変換した行列： $M'$  の行列式は元の行列： $M$  の行列式と等しい。

$$\begin{aligned} \det|M'| &= \det|L M L^T| \\ &= \det|L| \det|M| \det|L^T| \\ &= \det|L^T L| \det|M| \\ &= \det|M| \end{aligned}$$

テンソルの不変量まとめ

```
kill(all);
load("nchrp1");
TN61:matrix([\sigma[1],0,0],
[0,\sigma[2],0],[0,0,\sigma[3]]);
TN62:matrix([\sigma,0,0],[0,\sigma,0],
[0,0,\sigma]);
TN63:TN61-TN62;
TN64:partfrac(expand(determinant(TN63)),
\sigma);
TRA1:coeff(TN64,\sigma^2);
TRA2:-expand(coeff(TN64,\sigma));
TN61.TN61;
TRA1^2-mattrace(%);
expand(%/2);
TRA3:last(TN64);
determinant(TN61);
```

下記の対角行列： $M$  について、

$$M = \begin{pmatrix} \sigma_1 & 0 & 0 \\ 0 & \sigma_2 & 0 \\ 0 & 0 & \sigma_3 \end{pmatrix}$$

$\sigma$  を導入し、下記の行列式を考え、

$$\begin{vmatrix} \sigma_1 - \sigma & 0 & 0 \\ 0 & \sigma_2 - \sigma & 0 \\ 0 & 0 & \sigma_3 - \sigma \end{vmatrix} = 0$$

上式を解いて、

$$\begin{aligned} & -\sigma^3 + (\sigma_3 + \sigma_2 + \sigma_1) \sigma^2 \\ & + ((-\sigma_2 - \sigma_1) \sigma_3 - \sigma_1 \sigma_2) \sigma \\ & + \sigma_1 \sigma_2 \sigma_3 = 0 \end{aligned}$$

$\sigma^2$  の係数は、

$$\text{第一不変量} = \sigma_3 + \sigma_2 + \sigma_1$$

上記はトレースの項で不変量である。

$\sigma$  の係数は、

$$\text{第二不変量} = \sigma_2 \sigma_3 + \sigma_1 \sigma_3 + \sigma_1 \sigma_2$$

上記は下記から不変量である。

$$M^2 = \begin{pmatrix} \sigma_1^2 & 0 & 0 \\ 0 & \sigma_2^2 & 0 \\ 0 & 0 & \sigma_3^2 \end{pmatrix}$$

$$\begin{aligned} & \frac{1}{2} \left( (\text{tr}(M))^2 - \text{tr}(M^2) \right) \\ & = \frac{1}{2} \left( (\sigma_3 + \sigma_2 + \sigma_1)^2 - \sigma_3^2 - \sigma_2^2 - \sigma_1^2 \right) \\ & = \sigma_2 \sigma_3 + \sigma_1 \sigma_3 + \sigma_1 \sigma_2 \end{aligned}$$

$$\text{第三不変量} = \sigma_1 \sigma_2 \sigma_3 = \det|M|$$

上記は行列式の不変量から不変量である。

## 4.3 ベクトルの微分

### 4.3.1 ベクトルの微分

ベクトル:  $\vec{A}$  は  $s$  の変数とする。  $s$  が  $\Delta s$  変化したとき、  $\vec{A}$  も  $\Delta \vec{A}$  変化するとする。このとき、  $\vec{A}$  の微分は、

$$\frac{d}{ds} \vec{A} = \lim_{\Delta s \rightarrow 0} \frac{(\vec{A} + \Delta \vec{A}) - \vec{A}}{\Delta s} = \lim_{\Delta s \rightarrow 0} \frac{\Delta \vec{A}}{\Delta s}$$

ベクトル和の微分

$$\begin{aligned} \frac{d}{ds} (\vec{A} + \vec{B}) &= \lim_{\Delta s \rightarrow 0} \frac{((\vec{A} + \Delta \vec{A}) + (\vec{B} + \Delta \vec{B})) - (\vec{A} + \vec{B})}{\Delta s} \\ &= \lim_{\Delta s \rightarrow 0} \frac{(\Delta \vec{A} + \Delta \vec{B})}{\Delta s} = \lim_{\Delta s \rightarrow 0} \frac{\Delta \vec{A}}{\Delta s} + \lim_{\Delta s \rightarrow 0} \frac{\Delta \vec{B}}{\Delta s} \\ &= \frac{d}{ds} \vec{A} + \frac{d}{ds} \vec{B} \end{aligned} \tag{4.3.1}$$

ベクトルの内積の微分

(4.1.3) 式のベクトルの内積の分配則から、

$$\begin{aligned} \frac{d}{ds} (\vec{A} \cdot \vec{B}) &= \lim_{\Delta s \rightarrow 0} \frac{((\vec{A} + \Delta \vec{A}) \cdot (\vec{B} + \Delta \vec{B})) - (\vec{A} \cdot \vec{B})}{\Delta s} \\ &= \lim_{\Delta s \rightarrow 0} \frac{(\Delta \vec{A} \cdot \vec{B} + \vec{A} \cdot \Delta \vec{B})}{\Delta s} \\ &= \left( \lim_{\Delta s \rightarrow 0} \frac{\Delta \vec{A}}{\Delta s} \right) \cdot \vec{B} + \vec{A} \cdot \left( \lim_{\Delta s \rightarrow 0} \frac{\Delta \vec{B}}{\Delta s} \right) \\ &= \left( \frac{d}{ds} \vec{A} \right) \cdot \vec{B} + \vec{A} \cdot \left( \frac{d}{ds} \vec{B} \right) \end{aligned} \tag{4.3.2}$$

ベクトルの外積の微分

(4.1.5) 式のベクトルの外積の分配則から、

$$\begin{aligned} \frac{d}{ds} (\vec{A} \times \vec{B}) &= \lim_{\Delta s \rightarrow 0} \frac{((\vec{A} + \Delta \vec{A}) \times (\vec{B} + \Delta \vec{B})) - (\vec{A} \times \vec{B})}{\Delta s} \\ &= \lim_{\Delta s \rightarrow 0} \frac{(\Delta \vec{A} \times \vec{B} + \vec{A} \times \Delta \vec{B})}{\Delta s} \\ &= \left( \lim_{\Delta s \rightarrow 0} \frac{\Delta \vec{A}}{\Delta s} \right) \times \vec{B} + \vec{A} \times \left( \lim_{\Delta s \rightarrow 0} \frac{\Delta \vec{B}}{\Delta s} \right) \\ &= \left( \frac{d}{ds} \vec{A} \right) \times \vec{B} + \vec{A} \times \left( \frac{d}{ds} \vec{B} \right) \end{aligned} \tag{4.3.3}$$

4.3.2 物質微分 (時間微分)

まず、時間に関係しているベクトルの微分について、位置ベクトル： $\vec{r}$ 、時間： $t$ とすると、速度： $\vec{V}$ は、

$$\vec{V} = \frac{d}{dt} \vec{r}$$

変数： $\alpha$ が時間と位置により変化するとすると、

$$\alpha = f(\vec{r}, t)$$

上式を時間： $t$ で微分すると、

$$\begin{aligned} \frac{d}{dt} \alpha &= \frac{\partial}{\partial t} \alpha + \frac{d}{dt} \vec{r} \cdot \frac{\partial}{\partial \vec{r}} f(\vec{r}, t) \\ &= \frac{\partial}{\partial t} \alpha + \vec{V} \cdot \frac{\partial}{\partial \vec{r}} f(\vec{r}, t) \\ &= \frac{\partial}{\partial t} \alpha + \vec{V} \cdot \frac{\partial}{\partial \vec{r}} \alpha \end{aligned}$$

上式から、

$$\frac{d}{dt} \alpha = \frac{\partial}{\partial t} \alpha + \vec{V} \cdot \nabla \alpha \tag{4.3.4}$$

いま、(4.3.4)式で  $\alpha \rightarrow \vec{A}$  と置くと、

$$\frac{d}{dt} \vec{A} = \frac{\partial}{\partial t} \vec{A} + \vec{V} \cdot \nabla \vec{A} \tag{4.3.5}$$

```
kill(all);
MTR:matrix([x],[y],[z]);
MTA:matrix([A[x]],[A[y]],[A[z]]);
depends([x,y,z],[t]);
depends(\alpha,[x,y,z,t]);
depends([A],[x,y,z,t]);
'diff(\alpha,t,1)=diff(\alpha,t,1);
subst(['diff(x,t,1)=u','diff(y,t,1)=v,
'diff(z,t,1)=w'],%);
'diff(MTA,t,1)=diff(MTA,t,1);
subst(['diff(x,t,1)=u','diff(y,t,1)=v,
'diff(z,t,1)=w'],%);
```

$\alpha$ が $x, y, z, t$ の関数であるとし、更に $x, y, z$ が $t$ の関数であるとし、 $\alpha$ を時間で微分すると、

$$\begin{aligned} \frac{d}{dt} \alpha &= \left( \frac{d}{dz} \alpha \right) \left( \frac{d}{dt} z \right) + \left( \frac{d}{dy} \alpha \right) \left( \frac{d}{dt} y \right) \\ &\quad + \left( \frac{d}{dx} \alpha \right) \left( \frac{d}{dt} x \right) + \frac{d}{dt} \alpha \end{aligned}$$

上式から、(4.3.4)式と同じ次式が得られた。

$$\frac{d}{dt} \alpha = \left( \frac{d}{dz} \alpha \right) w + \left( \frac{d}{dy} \alpha \right) v + \left( \frac{d}{dx} \alpha \right) u + \frac{d}{dt} \alpha$$

同様にして、

$$\vec{A} = \begin{pmatrix} A_x \\ A_y \\ A_z \end{pmatrix}$$

とし、 $\vec{A}$ が $x, y, z, t$ の関数であるとし、更に $x, y, z$ が $t$ の関数であるとし、 $\vec{A}$ を時間で微分すると、

$$\begin{aligned} \frac{d}{dt} \begin{pmatrix} A_x \\ A_y \\ A_z \end{pmatrix} &= \begin{pmatrix} \left( \frac{d}{dz} A_x \right) \left( \frac{d}{dt} z \right) + \left( \frac{d}{dy} A_x \right) \left( \frac{d}{dt} y \right) + \left( \frac{d}{dx} A_x \right) \left( \frac{d}{dt} x \right) + \frac{d}{dt} A_x \\ \left( \frac{d}{dz} A_y \right) \left( \frac{d}{dt} z \right) + \left( \frac{d}{dy} A_y \right) \left( \frac{d}{dt} y \right) + \left( \frac{d}{dx} A_y \right) \left( \frac{d}{dt} x \right) + \frac{d}{dt} A_y \\ \left( \frac{d}{dz} A_z \right) \left( \frac{d}{dt} z \right) + \left( \frac{d}{dy} A_z \right) \left( \frac{d}{dt} y \right) + \left( \frac{d}{dx} A_z \right) \left( \frac{d}{dt} x \right) + \frac{d}{dt} A_z \end{pmatrix} \end{aligned}$$

上式で、 $\frac{d}{dt} x = u, \frac{d}{dt} y = v, \frac{d}{dt} z = w$ とすると、(4.3.5)式と同じ次式が得られた。

$$\begin{aligned} \frac{d}{dt} \begin{pmatrix} A_x \\ A_y \\ A_z \end{pmatrix} &= \begin{pmatrix} w \left( \frac{d}{dz} A_x \right) + v \left( \frac{d}{dy} A_x \right) + u \left( \frac{d}{dx} A_x \right) + \frac{d}{dt} A_x \\ w \left( \frac{d}{dz} A_y \right) + v \left( \frac{d}{dy} A_y \right) + u \left( \frac{d}{dx} A_y \right) + \frac{d}{dt} A_y \\ w \left( \frac{d}{dz} A_z \right) + v \left( \frac{d}{dy} A_z \right) + u \left( \frac{d}{dx} A_z \right) + \frac{d}{dt} A_z \end{pmatrix} \end{aligned}$$

### 4.3.3 勾配 (grad)

勾配 (grad) はスカラーの関数:  $f$  の下記を計算する。これは勾配のベクトルを表している。

$$\text{grad}(f) = \frac{d}{dx} f \vec{i} + \frac{d}{dy} f \vec{j} + \frac{d}{dz} f \vec{k} \quad (4.3.6)$$

Maxima の勾配 (grad) の実行方法は下記のとおりで行う。まず、vect を load しておく。

```
grad(スカラーの関数)
```

この後、下記を実行し、微分表示とする。

```
express(%)
```

微分を実行するには、更に下記を実行する。

```
ev(%, diff)
```

下記に例を示す。

```
kill(all);
load("vect")$
depends([f],[x,y,z]);
NAB:grad(f);
transpose(express(%));
```

$$\text{grad}(f) = \begin{pmatrix} \frac{d}{dx} f \\ \frac{d}{dy} f \\ \frac{d}{dz} f \end{pmatrix} \quad (4.3.7)$$

$f$  として、具体的な関数の例とすると、

```
E1:f=x^2+y^2;
grad(rhs(E1));
transpose(express(%));
ev(%,diff);
```

$$f = y^2 + x^2$$

$$\text{grad}(y^2 + x^2) = \begin{pmatrix} \frac{d}{dx} (y^2 + x^2) \\ \frac{d}{dy} (y^2 + x^2) \\ \frac{d}{dz} (y^2 + x^2) \end{pmatrix} = \begin{pmatrix} 2x \\ 2y \\ 0 \end{pmatrix}$$

### 4.3.4 発散 (div)

発散 (div) はベクトルの関数:  $\vec{V}$  の下記を計算する。

$$\text{div}(\vec{V}) = \frac{d}{dx} V_x + \frac{d}{dy} V_y + \frac{d}{dz} V_z \quad (4.3.8)$$

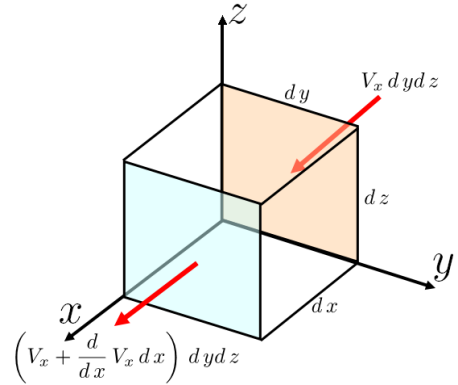


図 4.3.1:  $dydz$  を通過する流体の流量変化

上図から  $x$  軸方向の  $dydz$  を通過する流体の流量変化は  $\frac{d}{dx} V_x dx dy dz$  であり、単位容積あたり  $\frac{d}{dx} V_x$  となる。他軸方向も同様に考えると、(4.3.8) 式は流場や電磁気場のわき出し量を表している。

Maxima の発散 (div) の実行方法は下記のとおりで行う。まず、vect を load しておく。

```
div(ベクトルの関数)
```

ここで Maxima のベクトルの微分で使うベクトルの関数は、行の行列で表す必要がある。この後、下記を実行し、微分表示とする。

```
express(%)
```

微分を実行するには、更に下記を実行する。

```
ev(%, diff)
```

下記に例を示す。

```
kill(all);
load("vect")$
depends([V],[x,y,z]);
MTA:matrix([V[x]],[V[y]],[V[z]]);
div(transpose(MTA)[1]);
express(%);
ev(%,diff);
```

下記のベクトル関数で、

$$\vec{V} = \begin{pmatrix} V_x \\ V_y \\ V_z \end{pmatrix}$$

発散 (div) を求めると、

$$\text{div}([V_x, V_y, V_z]) = \frac{d}{dz} V_z + \frac{d}{dy} V_y + \frac{d}{dx} V_x \quad (4.3.9)$$

```
P1:-m/sqrt(x^2+y^2+z^2);
VX1:diff(P1,x,1);
VY1:diff(P1,y,1);
VZ1:diff(P1,z,1);
MTV:matrix([VX1],[VY1],[VZ1]);
div(transpose(MTV)[1]);
express(%);
ev(%diff);
factor(%);
```

下記のわき出しの速度ポテンシャル<sup>1</sup>:  $\Phi$  で、

$$[\Phi = -\frac{m}{\sqrt{z^2 + y^2 + x^2}}$$

流速ベクトル:  $\vec{V}$  を求めると、

$$\vec{V} = \begin{pmatrix} \frac{mx}{(z^2+y^2+x^2)^{\frac{3}{2}}} \\ \frac{my}{(z^2+y^2+x^2)^{\frac{3}{2}}} \\ \frac{mz}{(z^2+y^2+x^2)^{\frac{3}{2}}} \end{pmatrix}$$

上記の発散 (div) を求めると、

$$\begin{aligned} \operatorname{div} \left( \left[ \frac{mx}{(z^2+y^2+x^2)^{\frac{3}{2}}}, \frac{my}{(z^2+y^2+x^2)^{\frac{3}{2}}}, \frac{mz}{(z^2+y^2+x^2)^{\frac{3}{2}}} \right] \right) \\ = \frac{d}{dz} \frac{mz}{(z^2+y^2+x^2)^{\frac{3}{2}}} + \frac{d}{dy} \frac{my}{(z^2+y^2+x^2)^{\frac{3}{2}}} \\ + \frac{d}{dx} \frac{mx}{(z^2+y^2+x^2)^{\frac{3}{2}}} \\ = \frac{3m}{(z^2+y^2+x^2)^{\frac{3}{2}}} - \frac{3mz^2}{(z^2+y^2+x^2)^{\frac{5}{2}}} \\ - \frac{3my^2}{(z^2+y^2+x^2)^{\frac{5}{2}}} - \frac{3mx^2}{(z^2+y^2+x^2)^{\frac{5}{2}}} = 0 \end{aligned}$$

当然ながら、わき出しの速度ポテンシャル流場の原点以外の発散は零である。

```
P1:-m/(sqrt(x^2+y^2+z^2))^2;
VX1:diff(P1,x,1);
VY1:diff(P1,y,1);
VZ1:diff(P1,z,1);
MTV:matrix([VX1],[VY1],[VZ1]);
div(transpose(MTV)[1]);
express(%);
ev(%diff);
factor(%);
```

下記の関数:  $\Phi$  で、

$$\Phi = -\frac{m}{z^2 + y^2 + x^2}$$

ベクトル:  $\vec{V}$  を下記とすると、

$$\vec{V} = \begin{pmatrix} \frac{2mx}{(z^2+y^2+x^2)^2} \\ \frac{2my}{(z^2+y^2+x^2)^2} \\ \frac{2mz}{(z^2+y^2+x^2)^2} \end{pmatrix}$$

上記の発散 (div) を求めると、

$$\begin{aligned} \operatorname{div} \left( \left[ \frac{2mx}{(z^2+y^2+x^2)^2}, \frac{2my}{(z^2+y^2+x^2)^2}, \frac{2mz}{(z^2+y^2+x^2)^2} \right] \right) \\ = \frac{d}{dz} \frac{2mz}{(z^2+y^2+x^2)^2} + \frac{d}{dy} \frac{2my}{(z^2+y^2+x^2)^2} \\ + \frac{d}{dx} \frac{2mx}{(z^2+y^2+x^2)^2} \\ = \frac{6m}{(z^2+y^2+x^2)^2} - \frac{8mz^2}{(z^2+y^2+x^2)^3} \\ - \frac{8my^2}{(z^2+y^2+x^2)^3} - \frac{8mx^2}{(z^2+y^2+x^2)^3} \\ = -\frac{2m}{(z^2+y^2+x^2)^2} \end{aligned}$$

零にはならない。

```
MTUVW:matrix([u],[v],[w]);
MTXYZ:matrix([x],[y],[z]);
TNL:matrix([1[11],1[12],1[13]], [1[21],
1[22],1[23]], [1[31],1[32],1[33]]);
MTUVW=TNL.MTXYZ;
MTXYZ=transpose(TNL).rhs(%);
```

$x, y, z$  座標系の発散と  $u, v, w$  座標系の発散について検討する。 $u, v, w$  座標系は  $x, y, z$  座標系から下記の変換マトリックスを用いて変換できる。

$$\begin{pmatrix} u \\ v \\ w \end{pmatrix} = \begin{pmatrix} l_{11} & l_{12} & l_{13} \\ l_{21} & l_{22} & l_{23} \\ l_{31} & l_{32} & l_{33} \end{pmatrix} \begin{pmatrix} x \\ y \\ z \end{pmatrix} \quad (4.3.10)$$

また、その逆は、

$$\begin{pmatrix} x \\ y \\ z \end{pmatrix} = \begin{pmatrix} l_{11} & l_{12} & l_{13} \\ l_{21} & l_{22} & l_{23} \\ l_{31} & l_{32} & l_{33} \end{pmatrix}^T \begin{pmatrix} u \\ v \\ w \end{pmatrix} \quad (4.3.11)$$

<sup>1</sup>溝口純敏: Maxima を使った流体力学基礎演習ノート <http://www9.plala.or.jp/alcwitcery/>、第6章 3次元完全流体、6.1.7 わき出し

```

depends([V],[u,v,w]);
MTUDU:diff(MTU1,u,1);
MTUDV:diff(MTU1,v,1);
MTUDW:diff(MTU1,w,1);
MTUD21:transpose(matrix(transpose(lhs(
  MTUDU))[1],transpose(lhs(MTUDV))[1],
  transpose(lhs(MTUDW))[1]));
MTUD22:transpose(matrix(transpose(rhs(
  MTUDU))[1],transpose(rhs(MTUDV))[1],
  transpose(rhs(MTUDW))[1]));
MTUD23:MTUD21=MTUD22;
MTVD3:subst([U[u]=V[x],U[v]=V[y],
  U[w]=V[z]],MTUD21);
MTVD31:TNL.MTVD3;
MTUD22-MTVD31;

```

ベクトル関数： $\vec{V}$  を  $x, y, z$  座標系で表すと、

$$\vec{V} = \begin{pmatrix} V_x \\ V_y \\ V_z \end{pmatrix}$$

上式をまとめると、

$$\begin{pmatrix} \frac{d}{du} U_u & \frac{d}{dv} U_u & \frac{d}{dw} U_u \\ \frac{d}{du} U_v & \frac{d}{dv} U_v & \frac{d}{dw} U_v \\ \frac{d}{du} U_w & \frac{d}{dv} U_w & \frac{d}{dw} U_w \end{pmatrix} = \begin{pmatrix} l_{13} \left( \frac{d}{du} V_z \right) + l_{12} \left( \frac{d}{du} V_y \right) + l_{11} \left( \frac{d}{du} V_x \right) & l_{13} \left( \frac{d}{dv} V_z \right) + l_{12} \left( \frac{d}{dv} V_y \right) + l_{11} \left( \frac{d}{dv} V_x \right) & l_{13} \left( \frac{d}{dw} V_z \right) + l_{12} \left( \frac{d}{dw} V_y \right) + l_{11} \left( \frac{d}{dw} V_x \right) \\ l_{23} \left( \frac{d}{du} V_z \right) + l_{22} \left( \frac{d}{du} V_y \right) + l_{21} \left( \frac{d}{du} V_x \right) & l_{23} \left( \frac{d}{dv} V_z \right) + l_{22} \left( \frac{d}{dv} V_y \right) + l_{21} \left( \frac{d}{dv} V_x \right) & l_{23} \left( \frac{d}{dw} V_z \right) + l_{22} \left( \frac{d}{dw} V_y \right) + l_{21} \left( \frac{d}{dw} V_x \right) \\ l_{33} \left( \frac{d}{du} V_z \right) + l_{32} \left( \frac{d}{du} V_y \right) + l_{31} \left( \frac{d}{du} V_x \right) & l_{33} \left( \frac{d}{dv} V_z \right) + l_{32} \left( \frac{d}{dv} V_y \right) + l_{31} \left( \frac{d}{dv} V_x \right) & l_{33} \left( \frac{d}{dw} V_z \right) + l_{32} \left( \frac{d}{dw} V_y \right) + l_{31} \left( \frac{d}{dw} V_x \right) \end{pmatrix}$$

上式は次式となる。

$$\begin{pmatrix} \frac{d}{du} U_u & \frac{d}{dv} U_u & \frac{d}{dw} U_u \\ \frac{d}{du} U_v & \frac{d}{dv} U_v & \frac{d}{dw} U_v \\ \frac{d}{du} U_w & \frac{d}{dv} U_w & \frac{d}{dw} U_w \end{pmatrix} = \begin{pmatrix} l_{11} & l_{12} & l_{13} \\ l_{21} & l_{22} & l_{23} \\ l_{31} & l_{32} & l_{33} \end{pmatrix} \begin{pmatrix} \frac{d}{du} V_x & \frac{d}{dv} V_x & \frac{d}{dw} V_x \\ \frac{d}{du} V_y & \frac{d}{dv} V_y & \frac{d}{dw} V_y \\ \frac{d}{du} V_z & \frac{d}{dv} V_z & \frac{d}{dw} V_z \end{pmatrix} \quad (4.3.12)$$

```

depends([V],[x,y,z]);
depends([x,y,z],[u,v,w]);
FXDU:'diff(V[x],u,1)=diff(V[x],u,1);
FXDV:'diff(V[x],v,1)=diff(V[x],v,1);
FXDW:'diff(V[x],w,1)=diff(V[x],w,1);
FYDU:'diff(V[y],u,1)=diff(V[y],u,1);
FYDV:'diff(V[y],v,1)=diff(V[y],v,1);
FYDW:'diff(V[y],w,1)=diff(V[y],w,1);
FZDU:'diff(V[z],u,1)=diff(V[z],u,1);
FZDV:'diff(V[z],v,1)=diff(V[z],v,1);
FZDW:'diff(V[z],w,1)=diff(V[z],w,1);
subst([FXDU,FXDV,FXDW],MTVD3);
subst([FYDU,FYDV,FYDW],%);
MTVD32:subst([FZDU,FZDV,FZDW],%);
MTVD33:MTVD3=MTVD32;

```

このときベクトル関数： $\vec{V}$  を  $u, v, w$  座標系で表す  $\vec{U}$  は次式で表せる。

$$\vec{U} = \begin{pmatrix} U_u \\ U_v \\ U_w \end{pmatrix} = \begin{pmatrix} l_{11} & l_{12} & l_{13} \\ l_{21} & l_{22} & l_{23} \\ l_{31} & l_{32} & l_{33} \end{pmatrix} \begin{pmatrix} V_x \\ V_y \\ V_z \end{pmatrix}$$

上式を  $u, v, w$  で微分すると、

$$\begin{pmatrix} \frac{d}{du} U_u \\ \frac{d}{du} U_v \\ \frac{d}{du} U_w \end{pmatrix} = \begin{pmatrix} l_{13} \left( \frac{d}{du} V_z \right) + l_{12} \left( \frac{d}{du} V_y \right) + l_{11} \left( \frac{d}{du} V_x \right) \\ l_{23} \left( \frac{d}{du} V_z \right) + l_{22} \left( \frac{d}{du} V_y \right) + l_{21} \left( \frac{d}{du} V_x \right) \\ l_{33} \left( \frac{d}{du} V_z \right) + l_{32} \left( \frac{d}{du} V_y \right) + l_{31} \left( \frac{d}{du} V_x \right) \end{pmatrix}$$

$$\begin{pmatrix} \frac{d}{dv} U_u \\ \frac{d}{dv} U_v \\ \frac{d}{dv} U_w \end{pmatrix} = \begin{pmatrix} l_{13} \left( \frac{d}{dv} V_z \right) + l_{12} \left( \frac{d}{dv} V_y \right) + l_{11} \left( \frac{d}{dv} V_x \right) \\ l_{23} \left( \frac{d}{dv} V_z \right) + l_{22} \left( \frac{d}{dv} V_y \right) + l_{21} \left( \frac{d}{dv} V_x \right) \\ l_{33} \left( \frac{d}{dv} V_z \right) + l_{32} \left( \frac{d}{dv} V_y \right) + l_{31} \left( \frac{d}{dv} V_x \right) \end{pmatrix}$$

$$\begin{pmatrix} \frac{d}{dw} U_u \\ \frac{d}{dw} U_v \\ \frac{d}{dw} U_w \end{pmatrix} = \begin{pmatrix} l_{13} \left( \frac{d}{dw} V_z \right) + l_{12} \left( \frac{d}{dw} V_y \right) + l_{11} \left( \frac{d}{dw} V_x \right) \\ l_{23} \left( \frac{d}{dw} V_z \right) + l_{22} \left( \frac{d}{dw} V_y \right) + l_{21} \left( \frac{d}{dw} V_x \right) \\ l_{33} \left( \frac{d}{dw} V_z \right) + l_{32} \left( \frac{d}{dw} V_y \right) + l_{31} \left( \frac{d}{dw} V_x \right) \end{pmatrix}$$

$V_x, V_y, V_z$  を  $u, v, w$  で微分すると、

$$\frac{d}{du} V_x = \left( \frac{d}{dz} V_x \right) \left( \frac{d}{du} z \right) + \left( \frac{d}{dy} V_x \right) \left( \frac{d}{du} y \right) + \left( \frac{d}{dx} V_x \right) \left( \frac{d}{du} x \right)$$

$$\frac{d}{dv} V_x = \left( \frac{d}{dz} V_x \right) \left( \frac{d}{dv} z \right) + \left( \frac{d}{dy} V_x \right) \left( \frac{d}{dv} y \right) + \left( \frac{d}{dx} V_x \right) \left( \frac{d}{dv} x \right)$$

$$\frac{d}{dw} V_x = \left( \frac{d}{dz} V_x \right) \left( \frac{d}{dw} z \right) + \left( \frac{d}{dy} V_x \right) \left( \frac{d}{dw} y \right) + \left( \frac{d}{dx} V_x \right) \left( \frac{d}{dw} x \right)$$

$$\frac{d}{du} V_y = \left( \frac{d}{dz} V_y \right) \left( \frac{d}{du} z \right) + \left( \frac{d}{dy} V_y \right) \left( \frac{d}{du} y \right) + \left( \frac{d}{dx} V_y \right) \left( \frac{d}{du} x \right)$$

$$\frac{d}{dv} V_y = \left( \frac{d}{dz} V_y \right) \left( \frac{d}{dv} z \right) + \left( \frac{d}{dy} V_y \right) \left( \frac{d}{dv} y \right) + \left( \frac{d}{dx} V_y \right) \left( \frac{d}{dv} x \right)$$

$$\frac{d}{dw} V_y = \left( \frac{d}{dz} V_y \right) \left( \frac{d}{dw} z \right) + \left( \frac{d}{dy} V_y \right) \left( \frac{d}{dw} y \right) + \left( \frac{d}{dx} V_y \right) \left( \frac{d}{dw} x \right)$$

$$\frac{d}{du} V_z = \left( \frac{d}{dz} V_z \right) \left( \frac{d}{du} z \right) + \left( \frac{d}{dy} V_z \right) \left( \frac{d}{du} y \right) + \left( \frac{d}{dx} V_z \right) \left( \frac{d}{du} x \right)$$

$$\frac{d}{dv} V_z = \left( \frac{d}{dz} V_z \right) \left( \frac{d}{dv} z \right) + \left( \frac{d}{dy} V_z \right) \left( \frac{d}{dv} y \right) + \left( \frac{d}{dx} V_z \right) \left( \frac{d}{dv} x \right)$$

$$\frac{d}{dw} V_z = \left( \frac{d}{dz} V_z \right) \left( \frac{d}{dw} z \right) + \left( \frac{d}{dy} V_z \right) \left( \frac{d}{dw} y \right) + \left( \frac{d}{dx} V_z \right) \left( \frac{d}{dw} x \right)$$

上式を (4.3.12) 式右辺に代入すると、

$$\begin{pmatrix} \frac{d}{du} V_x & \frac{d}{dv} V_x & \frac{d}{dw} V_x \\ \frac{d}{du} V_y & \frac{d}{dv} V_y & \frac{d}{dw} V_y \\ \frac{d}{du} V_z & \frac{d}{dv} V_z & \frac{d}{dw} V_z \end{pmatrix} = \begin{pmatrix} \left(\frac{d}{dz} V_x\right) \left(\frac{d}{du} z\right) + \left(\frac{d}{dy} V_x\right) \left(\frac{d}{du} y\right) + \left(\frac{d}{dx} V_x\right) \left(\frac{d}{du} x\right) & \cdots & \left(\frac{d}{dz} V_x\right) \left(\frac{d}{dw} z\right) + \left(\frac{d}{dy} V_x\right) \left(\frac{d}{dw} y\right) + \left(\frac{d}{dx} V_x\right) \left(\frac{d}{dw} x\right) \\ \left(\frac{d}{dz} V_y\right) \left(\frac{d}{du} z\right) + \left(\frac{d}{dy} V_y\right) \left(\frac{d}{du} y\right) + \left(\frac{d}{dx} V_y\right) \left(\frac{d}{du} x\right) & \cdots & \left(\frac{d}{dz} V_y\right) \left(\frac{d}{dw} z\right) + \left(\frac{d}{dy} V_y\right) \left(\frac{d}{dw} y\right) + \left(\frac{d}{dx} V_y\right) \left(\frac{d}{dw} x\right) \\ \left(\frac{d}{dz} V_z\right) \left(\frac{d}{du} z\right) + \left(\frac{d}{dy} V_z\right) \left(\frac{d}{du} y\right) + \left(\frac{d}{dx} V_z\right) \left(\frac{d}{du} x\right) & \cdots & \left(\frac{d}{dz} V_z\right) \left(\frac{d}{dw} z\right) + \left(\frac{d}{dy} V_z\right) \left(\frac{d}{dw} y\right) + \left(\frac{d}{dx} V_z\right) \left(\frac{d}{dw} x\right) \end{pmatrix} \quad (4.3.13)$$

```
MTXYZ1:MTXYZ=transpose(TNL).MTUVW;
MTXYZ10:diff(MTXYZ1,u,1);
MTXYZ11:lhs(MTXYZ10)[1][1]=
rhs(MTXYZ10)[1][1];
MTXYZ12:lhs(MTXYZ10)[2][1]=
rhs(MTXYZ10)[2][1];
MTXYZ13:lhs(MTXYZ10)[3][1]=
rhs(MTXYZ10)[3][1];
MTXYZ20:diff(MTXYZ1,v,1);
MTXYZ21:lhs(MTXYZ20)[1][1]=
rhs(MTXYZ20)[1][1];
MTXYZ22:lhs(MTXYZ20)[2][1]=
rhs(MTXYZ20)[2][1];
MTXYZ23:lhs(MTXYZ20)[3][1]=
rhs(MTXYZ20)[3][1];
MTXYZ30:diff(MTXYZ1,w,1);
MTXYZ31:lhs(MTXYZ30)[1][1]=
rhs(MTXYZ30)[1][1];
MTXYZ32:lhs(MTXYZ30)[2][1]=
rhs(MTXYZ30)[2][1];
MTXYZ33:lhs(MTXYZ30)[3][1]=
rhs(MTXYZ30)[3][1];
subst([MTXYZ11,MTXYZ12,MTXYZ13],MTVD33);
subst([MTXYZ21,MTXYZ22,MTXYZ23],%);
```

```
MTUD41:subst([MTXYZ31,MTXYZ32,MTXYZ33],%);
MTUD4:subst([u=x,v=y,w=z],MTUD3);
MTUD4.transpose(TNL);
%-rhs(MTUD41);
MTUD21=TNL.MTUD4.transpose(TNL);
MTUD21[1][1]+MTUD21[2][2]+MTUD21[3][3]
=MTUD4[1][1]+MTUD4[2][2]+MTUD4[3][3];
```

(4.3.11) 式から、

$$\begin{pmatrix} x \\ y \\ z \end{pmatrix} = \begin{pmatrix} l_{11} & l_{12} & l_{13} \\ l_{21} & l_{22} & l_{23} \\ l_{31} & l_{32} & l_{33} \end{pmatrix}^T \begin{pmatrix} u \\ v \\ w \end{pmatrix}$$

上式を  $u, v, w$  で微分すると、

$$\begin{pmatrix} \frac{d}{du} x \\ \frac{d}{du} y \\ \frac{d}{du} z \end{pmatrix} = \begin{pmatrix} l_{11} \\ l_{12} \\ l_{13} \end{pmatrix}$$

$$\begin{pmatrix} \frac{d}{dv} x \\ \frac{d}{dv} y \\ \frac{d}{dv} z \end{pmatrix} = \begin{pmatrix} l_{21} \\ l_{22} \\ l_{23} \end{pmatrix}$$

$$\begin{pmatrix} \frac{d}{dw} x \\ \frac{d}{dw} y \\ \frac{d}{dw} z \end{pmatrix} = \begin{pmatrix} l_{31} \\ l_{32} \\ l_{33} \end{pmatrix}$$

上式を (4.3.13) 式に代入すると、

$$\begin{pmatrix} \frac{d}{du} V_x & \frac{d}{dv} V_x & \frac{d}{dw} V_x \\ \frac{d}{du} V_y & \frac{d}{dv} V_y & \frac{d}{dw} V_y \\ \frac{d}{du} V_z & \frac{d}{dv} V_z & \frac{d}{dw} V_z \end{pmatrix} = \begin{pmatrix} l_{13} \left(\frac{d}{dz} V_x\right) + l_{12} \left(\frac{d}{dy} V_x\right) + l_{11} \left(\frac{d}{dx} V_x\right) & l_{23} \left(\frac{d}{dz} V_x\right) + l_{22} \left(\frac{d}{dy} V_x\right) + l_{21} \left(\frac{d}{dx} V_x\right) & l_{33} \left(\frac{d}{dz} V_x\right) + l_{32} \left(\frac{d}{dy} V_x\right) + l_{31} \left(\frac{d}{dx} V_x\right) \\ l_{13} \left(\frac{d}{dz} V_y\right) + l_{12} \left(\frac{d}{dy} V_y\right) + l_{11} \left(\frac{d}{dx} V_y\right) & l_{23} \left(\frac{d}{dz} V_y\right) + l_{22} \left(\frac{d}{dy} V_y\right) + l_{21} \left(\frac{d}{dx} V_y\right) & l_{33} \left(\frac{d}{dz} V_y\right) + l_{32} \left(\frac{d}{dy} V_y\right) + l_{31} \left(\frac{d}{dx} V_y\right) \\ l_{13} \left(\frac{d}{dz} V_z\right) + l_{12} \left(\frac{d}{dy} V_z\right) + l_{11} \left(\frac{d}{dx} V_z\right) & l_{23} \left(\frac{d}{dz} V_z\right) + l_{22} \left(\frac{d}{dy} V_z\right) + l_{21} \left(\frac{d}{dx} V_z\right) & l_{33} \left(\frac{d}{dz} V_z\right) + l_{32} \left(\frac{d}{dy} V_z\right) + l_{31} \left(\frac{d}{dx} V_z\right) \end{pmatrix}$$

上式を整理すると、

$$\begin{pmatrix} \frac{d}{du} V_x & \frac{d}{dv} V_x & \frac{d}{dw} V_x \\ \frac{d}{du} V_y & \frac{d}{dv} V_y & \frac{d}{dw} V_y \\ \frac{d}{du} V_z & \frac{d}{dv} V_z & \frac{d}{dw} V_z \end{pmatrix} = \begin{pmatrix} \frac{d}{dx} V_x & \frac{d}{dy} V_x & \frac{d}{dz} V_x \\ \frac{d}{dx} V_y & \frac{d}{dy} V_y & \frac{d}{dz} V_y \\ \frac{d}{dx} V_z & \frac{d}{dy} V_z & \frac{d}{dz} V_z \end{pmatrix} \begin{pmatrix} l_{11} & l_{12} & l_{13} \\ l_{21} & l_{22} & l_{23} \\ l_{31} & l_{32} & l_{33} \end{pmatrix}^T$$



上式を (4.3.12) 式に代入すると、

$$\begin{aligned} \begin{pmatrix} \frac{d}{du} U_u & \frac{d}{dv} U_u & \frac{d}{dw} U_u \\ \frac{d}{du} U_v & \frac{d}{dv} U_v & \frac{d}{dw} U_v \\ \frac{d}{du} U_w & \frac{d}{dv} U_w & \frac{d}{dw} U_w \end{pmatrix} &= \begin{pmatrix} l_{11} & l_{12} & l_{13} \\ l_{21} & l_{22} & l_{23} \\ l_{31} & l_{32} & l_{33} \end{pmatrix} \begin{pmatrix} \frac{d}{dx} V_x & \frac{d}{dy} V_x & \frac{d}{dz} V_x \\ \frac{d}{dx} V_y & \frac{d}{dy} V_y & \frac{d}{dz} V_y \\ \frac{d}{dx} V_z & \frac{d}{dy} V_z & \frac{d}{dz} V_z \end{pmatrix} \\ &= \begin{pmatrix} l_{11} & l_{12} & l_{13} \\ l_{21} & l_{22} & l_{23} \\ l_{31} & l_{32} & l_{33} \end{pmatrix} \begin{pmatrix} \frac{d}{dx} V_x & \frac{d}{dy} V_x & \frac{d}{dz} V_x \\ \frac{d}{dx} V_y & \frac{d}{dy} V_y & \frac{d}{dz} V_y \\ \frac{d}{dx} V_z & \frac{d}{dy} V_z & \frac{d}{dz} V_z \end{pmatrix} \begin{pmatrix} l_{11} & l_{12} & l_{13} \\ l_{21} & l_{22} & l_{23} \\ l_{31} & l_{32} & l_{33} \end{pmatrix}^T \end{aligned} \quad (4.3.14)$$

上式のトレース（対角成分の和）は次式となり、(4.2.16) 式から、

$$\begin{aligned} \frac{d}{dw} U_w + \frac{d}{dv} U_v + \frac{d}{du} U_u &= (l_{33}^2 + l_{23}^2 + l_{13}^2) \left( \frac{d}{dz} V_z \right) + (l_{32} l_{33} + l_{22} l_{23} + l_{12} l_{13}) \left( \frac{d}{dy} V_y \right) \\ &\quad + (l_{31} l_{33} + l_{21} l_{23} + l_{11} l_{13}) \left( \frac{d}{dx} V_x \right) + (l_{32} l_{33} + l_{22} l_{23} + l_{12} l_{13}) \left( \frac{d}{dz} V_y \right) \\ &\quad + (l_{32}^2 + l_{22}^2 + l_{12}^2) \left( \frac{d}{dy} V_y \right) + (l_{31} l_{32} + l_{21} l_{22} + l_{11} l_{12}) \left( \frac{d}{dx} V_x \right) \\ &\quad + (l_{31} l_{33} + l_{21} l_{23} + l_{11} l_{13}) \left( \frac{d}{dz} V_x \right) + (l_{31} l_{32} + l_{21} l_{22} + l_{11} l_{12}) \left( \frac{d}{dy} V_x \right) \\ &\quad + (l_{31}^2 + l_{21}^2 + l_{11}^2) \left( \frac{d}{dx} V_x \right) \\ &= \frac{d}{dz} V_z + \frac{d}{dy} V_y + \frac{d}{dx} V_x \end{aligned}$$

また、(4.3.14) 式のトレース（対角成分の和）は 87 頁から、積の項を入れ替えても変わらないので、

$$\begin{aligned} \text{tr} \left( \begin{pmatrix} \frac{d}{du} U_u & \frac{d}{dv} U_u & \frac{d}{dw} U_u \\ \frac{d}{du} U_v & \frac{d}{dv} U_v & \frac{d}{dw} U_v \\ \frac{d}{du} U_w & \frac{d}{dv} U_w & \frac{d}{dw} U_w \end{pmatrix} \right) &= \text{tr} \left( \begin{pmatrix} l_{11} & l_{12} & l_{13} \\ l_{21} & l_{22} & l_{23} \\ l_{31} & l_{32} & l_{33} \end{pmatrix} \begin{pmatrix} \frac{d}{dx} V_x & \frac{d}{dy} V_x & \frac{d}{dz} V_x \\ \frac{d}{dx} V_y & \frac{d}{dy} V_y & \frac{d}{dz} V_y \\ \frac{d}{dx} V_z & \frac{d}{dy} V_z & \frac{d}{dz} V_z \end{pmatrix} \begin{pmatrix} l_{11} & l_{12} & l_{13} \\ l_{21} & l_{22} & l_{23} \\ l_{31} & l_{32} & l_{33} \end{pmatrix}^T \right) \\ &= \text{tr} \left( \begin{pmatrix} \frac{d}{dx} V_x & \frac{d}{dy} V_x & \frac{d}{dz} V_x \\ \frac{d}{dx} V_y & \frac{d}{dy} V_y & \frac{d}{dz} V_y \\ \frac{d}{dx} V_z & \frac{d}{dy} V_z & \frac{d}{dz} V_z \end{pmatrix} \begin{pmatrix} l_{11} & l_{12} & l_{13} \\ l_{21} & l_{22} & l_{23} \\ l_{31} & l_{32} & l_{33} \end{pmatrix}^T \begin{pmatrix} l_{11} & l_{12} & l_{13} \\ l_{21} & l_{22} & l_{23} \\ l_{31} & l_{32} & l_{33} \end{pmatrix} \right) \\ &= \text{tr} \left( \begin{pmatrix} \frac{d}{dx} V_x & \frac{d}{dy} V_x & \frac{d}{dz} V_x \\ \frac{d}{dx} V_y & \frac{d}{dy} V_y & \frac{d}{dz} V_y \\ \frac{d}{dx} V_z & \frac{d}{dy} V_z & \frac{d}{dz} V_z \end{pmatrix} \right) \end{aligned}$$

上式のトレースから次式となる。この結果から、座標変換しても発散は変わらないことがわかる。

$$\frac{d}{dw} U_w + \frac{d}{dv} U_v + \frac{d}{du} U_u = \frac{d}{dz} V_z + \frac{d}{dy} V_y + \frac{d}{dx} V_x \quad (4.3.15)$$

4.3.5 回転 (rot,curl)

回転 (rot,curl) はベクトルの関数： $\vec{V}$  を微分する関数で下記を計算する。

$$\text{curl}([V_x, V_y, V_z]) = \begin{pmatrix} \frac{d}{dy} V_z - \frac{d}{dz} V_y \\ \frac{d}{dz} V_x - \frac{d}{dx} V_z \\ \frac{d}{dx} V_y - \frac{d}{dy} V_x \end{pmatrix} \quad (4.3.16)$$

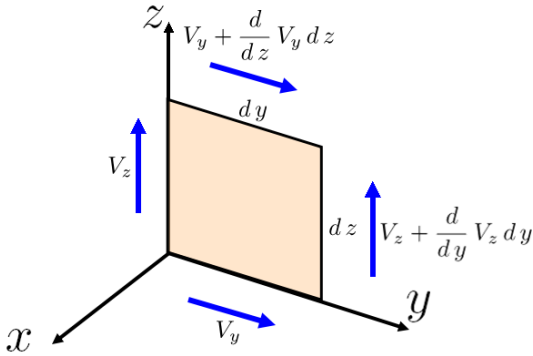


図 4.3.2: dydz の流速

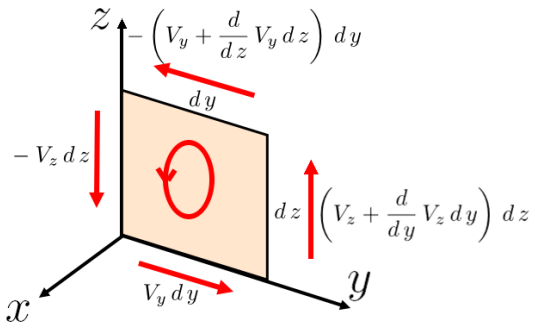


図 4.3.3: dydz の循環

上図の  $x$  軸方向の  $dydz$  周囲の循環： $\Gamma$  は、流速に辺の長さを掛け、上図の回転方向を正として、

$$\begin{aligned} \Gamma &= V_y dy - V_z dz - \left( V_y + \frac{d}{dz} V_y dz \right) dy \\ &\quad + \left( V_z + \frac{d}{dy} V_z dy \right) dz \\ &= -\frac{d}{dz} V_y dz dy + \frac{d}{dy} V_z dy dz \end{aligned}$$

以上から、単位面積あたり  $\frac{d}{dy} V_z - \frac{d}{dz} V_y$  となる。他軸方向も同様に考えると、(4.3.9) 式は流場や電磁気場の回転を表している。

Maxima の回転 (rot,curl) の実行方法は下記の要領で行う。まず、vect を load しておく。

`curl`(ベクトルの関数)

ここで Maxima のベクトルの微分で使うベクトルの関数は、行の行列で表す必要がある。この後、下記を実行し、微分表示とする。

`express(%)`

微分を実行するには、更に下記を実行する。

`ev(% ,diff)`

下記に例を示す。

```
kill(all);
load("vect")$
depends([V],[x,y,z]);
MTA:matrix([V[x]],[V[y]],[V[z]]);
curl(transpose(MTA)[1]);
transpose(express(%));
```

$$\text{curl}([V_x, V_y, V_z]) = \begin{pmatrix} \frac{d}{dy} V_z - \frac{d}{dz} V_y \\ \frac{d}{dz} V_x - \frac{d}{dx} V_z \\ \frac{d}{dx} V_y - \frac{d}{dy} V_x \end{pmatrix}$$

```
P1:-m/sqrt(x^2+y^2+z^2);
VX1:diff(P1,x,1);
VY1:diff(P1,y,1);
VZ1:diff(P1,z,1);
MTV:matrix([VX1],[VY1],[VZ1]);
curl(transpose(MTV)[1]);
express(%);
ev(% ,diff);
factor(%);
```

下記のわき出しの速度ポテンシャル<sup>1</sup>： $\Phi$  で、

$$\Phi = -\frac{m}{\sqrt{z^2 + y^2 + x^2}}$$

流速ベクトル： $\vec{V}$  を求めると、

$$\vec{V} = \begin{pmatrix} \frac{m x}{(z^2 + y^2 + x^2)^{\frac{3}{2}}} \\ \frac{m y}{(z^2 + y^2 + x^2)^{\frac{3}{2}}} \\ \frac{m z}{(z^2 + y^2 + x^2)^{\frac{3}{2}}} \end{pmatrix}$$

<sup>1</sup>溝口純敏：Maxima を使った流体力学基礎演習ノート <http://http://www9.plala.or.jp/alcwitchery/>、第6章 3次元完全流体、6.1.7 わき出し

上記の回転 (rot,curl) を求めると、

$$\begin{aligned} & \text{curl} \left( \left[ \frac{mx}{(z^2+y^2+x^2)^{\frac{3}{2}}}, \frac{my}{(z^2+y^2+x^2)^{\frac{3}{2}}}, \frac{mz}{(z^2+y^2+x^2)^{\frac{3}{2}}} \right] \right) \\ &= \left[ \frac{d}{dy} \frac{mz}{(z^2+y^2+x^2)^{\frac{3}{2}}} - \frac{d}{dz} \frac{my}{(z^2+y^2+x^2)^{\frac{3}{2}}}, \right. \\ & \quad \frac{d}{dz} \frac{mx}{(z^2+y^2+x^2)^{\frac{3}{2}}} - \frac{d}{dx} \frac{mz}{(z^2+y^2+x^2)^{\frac{3}{2}}}, \\ & \quad \left. \frac{d}{dx} \frac{my}{(z^2+y^2+x^2)^{\frac{3}{2}}} - \frac{d}{dy} \frac{mx}{(z^2+y^2+x^2)^{\frac{3}{2}}} \right] \\ &= [0, 0, 0] \end{aligned}$$

当然ながら、わき出しの速度ポテンシャル流場の回転は零である。

```
VR:A*(R-r)*(R+r);
VX1:0;
VY1:0;
VZ1:subst([r=sqrt(x^2+y^2)],VR);
MTV:matrix([VX1],[VY1],[VZ1]);
curl(transpose(MTV)[1]);
express(%);
ev(% ,diff);
factor(%);
```

円管内の粘性流れの流速： $V_z$  は下記で表現できる。

$$\begin{aligned} V_z &= A(R-r)(R+r) \\ &= A \left( R - \sqrt{y^2+x^2} \right) \left( R + \sqrt{y^2+x^2} \right) \end{aligned}$$

上記をベクトルで表現すると、

$$\vec{V} = \begin{pmatrix} 0 \\ 0 \\ A \left( R - \sqrt{y^2+x^2} \right) \left( R + \sqrt{y^2+x^2} \right) \end{pmatrix}$$

上記の回転 (rot,curl) を求めると、

$$\begin{aligned} & \text{curl} \left( [0, 0, A \left( R - \sqrt{y^2+x^2} \right) \left( R + \sqrt{y^2+x^2} \right)] \right) \\ &= \left[ \frac{d}{dy} \left( A \left( R - \sqrt{y^2+x^2} \right) \left( R + \sqrt{y^2+x^2} \right) \right), \right. \\ & \quad \left. - \frac{d}{dx} \left( A \left( R - \sqrt{y^2+x^2} \right) \left( R + \sqrt{y^2+x^2} \right) \right), 0 \right] \\ &= \left[ \frac{yA \left( R - \sqrt{y^2+x^2} \right)}{\sqrt{y^2+x^2}} - \frac{yA \left( R + \sqrt{y^2+x^2} \right)}{\sqrt{y^2+x^2}}, \right. \\ & \quad \left. \frac{xA \left( R + \sqrt{y^2+x^2} \right)}{\sqrt{y^2+x^2}} - \frac{xA \left( R - \sqrt{y^2+x^2} \right)}{\sqrt{y^2+x^2}}, 0 \right] \\ &= R[-2yA, 2xA, 0] \end{aligned}$$

粘性流では  $x$  軸、 $y$  軸方向の回転は零にならない。

回転 (rot,curl) が座標系によらないこと、すなわち一定のベクトル値となることを示す。

```
FUVW:matrix(['diff(U[u],u,1)','diff(U[u],v,1)','diff(U[u],w,1)'],
['diff(U[v],u,1)','diff(U[v],v,1)','diff(U[v],w,1)'],
['diff(U[w],u,1)','diff(U[w],v,1)','diff(U[w],w,1)']);
FXYZ:matrix(['diff(V[x],x,1)','diff(V[x],y,1)','diff(V[x],z,1)'],
['diff(V[y],x,1)','diff(V[y],y,1)','diff(V[y],z,1)'],
['diff(V[z],x,1)','diff(V[z],y,1)','diff(V[z],z,1)']);
TNL:matrix([1[11],1[12],1[13]],[1[21],1[22],1[23]],[1[31],1[32],1[33]]);
I1:matrix([0,0,1]);
I2:matrix([0,1,0]);
I3:matrix([1,0,0]);
RXYZ:FXYZ-transpose(FXYZ);
RY1:RY=RXYZ[1][3];
RZ1:RZ=RXYZ[2][1];
RX1:RX=RXYZ[3][2];
RXYZ1:matrix([0,-RZ,RY],[RZ,0,-RX],[-RY,RX,0]);
subst([RX1,RY1,RZ1],RXYZ1);
%-RXYZ;
RUVW:FUVW-transpose(FUVW);
RV1:RV=RUVW[1][3];
RW1:RW=RUVW[2][1];
RU1:RU=RUVW[3][2];
RUVW1:matrix([0,-RW,RV],[RW,0,-RU],[-RV,RU,0]);
subst([RU1,RV1,RW1],RUVW1);
%-RUVW;
RXYZ2:TNL.(RXYZ1.transpose(TNL));
R0:RUVW1=RXYZ2;
partfrac(% ,RX);
```

(4.3.14) 式の各項を下記のようにおくと、

$$F_{uvw} = \begin{pmatrix} \frac{d}{du} U_u & \frac{d}{dv} U_u & \frac{d}{dw} U_u \\ \frac{d}{du} U_v & \frac{d}{dv} U_v & \frac{d}{dw} U_v \\ \frac{d}{du} U_w & \frac{d}{dv} U_w & \frac{d}{dw} U_w \end{pmatrix}$$

$$F_{xyz} = \begin{pmatrix} \frac{d}{dx} V_x & \frac{d}{dy} V_x & \frac{d}{dz} V_x \\ \frac{d}{dx} V_y & \frac{d}{dy} V_y & \frac{d}{dz} V_y \\ \frac{d}{dx} V_z & \frac{d}{dy} V_z & \frac{d}{dz} V_z \end{pmatrix}$$

$$L = \begin{pmatrix} l_{11} & l_{12} & l_{13} \\ l_{21} & l_{22} & l_{23} \\ l_{31} & l_{32} & l_{33} \end{pmatrix}$$

(4.3.14) 式は、

$$F_{uvw} = L F_{xyz} L^T \quad (4.3.17)$$

いま、 $F_{xyz}$  について、 $F_{xyz}^T$  との差をとると、回転 (rot, curl) の各項が得られ、

$$\begin{aligned} F_{xyz} - F_{xyz}^T &= \begin{pmatrix} 0 & \frac{d}{dy} V_x - \frac{d}{dx} V_y & \frac{d}{dz} V_x - \frac{d}{dx} V_z \\ \frac{d}{dx} V_y - \frac{d}{dy} V_x & 0 & \frac{d}{dz} V_y - \frac{d}{dy} V_z \\ \frac{d}{dx} V_z - \frac{d}{dz} V_x & \frac{d}{dy} V_z - \frac{d}{dz} V_y & 0 \end{pmatrix} \\ &= \begin{pmatrix} 0 & -RW & RV \\ RW & 0 & -RU \\ -RV & RU & 0 \end{pmatrix} \end{aligned} \quad (4.3.18)$$

$$\begin{aligned} \text{ここで、} \quad RY &= \frac{d}{dz} V_x - \frac{d}{dx} V_z \\ RZ &= \frac{d}{dx} V_y - \frac{d}{dy} V_x \\ RX &= \frac{d}{dy} V_z - \frac{d}{dz} V_y \end{aligned} \quad (4.3.19)$$

同様に、 $F_{uvw}$  について、 $F_{uvw}^T$  との差をとると、回転

(rot, curl) の各項が得られ、

$$\begin{aligned} F_{uvw} - F_{uvw}^T &= \begin{pmatrix} 0 & \frac{d}{dv} U_u - \frac{d}{du} U_v & \frac{d}{dw} U_u - \frac{d}{du} U_w \\ \frac{d}{du} U_v - \frac{d}{dv} U_u & 0 & \frac{d}{dw} U_v - \frac{d}{dv} U_w \\ \frac{d}{du} U_w - \frac{d}{dw} U_u & \frac{d}{dv} U_w - \frac{d}{dv} U_v & 0 \end{pmatrix} \\ &= \begin{pmatrix} 0 & -RW & RV \\ RW & 0 & -RU \\ -RV & RU & 0 \end{pmatrix} \end{aligned} \quad (4.3.20)$$

$$\begin{aligned} \text{ここで、} \quad RV &= \frac{d}{dw} U_u - \frac{d}{du} U_w \\ RW &= \frac{d}{du} U_v - \frac{d}{dv} U_u \\ RU &= \frac{d}{dv} U_w - \frac{d}{dw} U_v \end{aligned} \quad (4.3.21)$$

(4.3.17) 式の転置行列は 87 頁の「行列の積の転置行列」から、

$$\begin{aligned} F_{uvw}^T &= (L ((F_{xyz}) L^T))^T = ((F_{xyz}) L^T)^T L^T \\ &= L (F_{xyz})^T L^T \end{aligned}$$

(4.3.17) 式と上式の差から、

$$F_{uvw} - F_{uvw}^T = L (F_{xyz} - F_{xyz}^T) L^T \quad (4.3.22)$$

上式に (4.3.18) 式、(4.3.20) 式を代入すると、

$$\begin{aligned} \begin{pmatrix} 0 & -RW & RV \\ RW & 0 & -RU \\ -RV & RU & 0 \end{pmatrix} &= \begin{pmatrix} l_{11} & l_{12} & l_{13} \\ l_{21} & l_{22} & l_{23} \\ l_{31} & l_{32} & l_{33} \end{pmatrix} \begin{pmatrix} 0 & -RZ & RY \\ RZ & 0 & -RX \\ -RY & RX & 0 \end{pmatrix} \begin{pmatrix} l_{11} & l_{12} & l_{13} \\ l_{21} & l_{22} & l_{23} \\ l_{31} & l_{32} & l_{33} \end{pmatrix}^T \\ &= \begin{pmatrix} 0 \\ (l_{11} l_{22} - l_{12} l_{21}) RZ + (l_{13} l_{21} - l_{11} l_{23}) RY + (l_{12} l_{23} - l_{13} l_{22}) RX \\ (l_{11} l_{32} - l_{12} l_{31}) RZ + (l_{13} l_{31} - l_{11} l_{33}) RY + (l_{12} l_{33} - l_{13} l_{32}) RX \\ (l_{12} l_{21} - l_{11} l_{22}) RZ + (l_{11} l_{23} - l_{13} l_{21}) RY + (l_{13} l_{22} - l_{12} l_{23}) RX \\ 0 \\ (l_{21} l_{32} - l_{22} l_{31}) RZ + (l_{23} l_{31} - l_{21} l_{33}) RY + (l_{22} l_{33} - l_{23} l_{32}) RX \\ (l_{12} l_{31} - l_{11} l_{32}) RZ + (l_{11} l_{33} - l_{13} l_{31}) RY + (l_{13} l_{32} - l_{12} l_{33}) RX \\ (l_{22} l_{31} - l_{21} l_{32}) RZ + (l_{21} l_{33} - l_{23} l_{31}) RY + (l_{23} l_{32} - l_{22} l_{33}) RX \\ 0 \end{pmatrix} \end{aligned} \quad (4.3.23)$$

```

-RUVW1[2][3]=-RXYZ2[2][3];
R11:partfrac(%,RX);
RUVW1[3][2]=RXYZ2[3][2];
R12:partfrac(%,RX);
RUVW1[1][3]=RXYZ2[1][3];
R21:partfrac(%,RX);
-RUVW1[3][1]=-RXYZ2[3][1];
R22:partfrac(%,RX);
-RUVW1[1][2]=-RXYZ2[1][2];
R31:partfrac(%,RX);
RUVW1[2][1]=RXYZ2[2][1];
R32:partfrac(%,RX);

```

(4.3.23) 式から、

$$\begin{aligned}
RU &= (l_{21} l_{32} - l_{22} l_{31}) RZ + (l_{23} l_{31} - l_{21} l_{33}) RY \\
&\quad + (l_{22} l_{33} - l_{23} l_{32}) RX \\
RV &= (l_{12} l_{31} - l_{11} l_{32}) RZ + (l_{11} l_{33} - l_{13} l_{31}) RY \\
&\quad + (l_{13} l_{32} - l_{12} l_{33}) RX \\
RW &= (l_{11} l_{22} - l_{12} l_{21}) RZ + (l_{13} l_{21} - l_{11} l_{23}) RY \\
&\quad + (l_{12} l_{23} - l_{13} l_{22}) RX
\end{aligned}
\tag{4.3.24}$$

```

LX:transpose(matrix([1[11],1[12],1[13]]));
LY:transpose(matrix([1[21],1[22],1[23]]));
LZ:transpose(matrix([1[31],1[32],1[33]]));
LZ1:LZ=col(adjoint(transpose(addcol(LX,LY,
matrix([1],[1],[1])))),3);
LX1:LX=col(adjoint(transpose(addcol(LY,LZ,
matrix([1],[1],[1])))),3);
LY1:LY=col(adjoint(transpose(addcol(LZ,LX,
matrix([1],[1],[1])))),3);
RU1:RU=1[13]*RZ+1[12]*RY+1[11]*RX;
RV1:RV=1[23]*RZ+1[22]*RY+1[21]*RX;
RW1:RW=1[33]*RZ+1[32]*RY+1[31]*RX;
RUVW1:transpose(matrix([RU,RV,RW]));
RXYZ1:transpose(matrix([RX,RY,RZ]));
RUVW1=TNL.RXYZ1;

```

$xyz$  座標の各座標の単位ベクトルを  $\vec{i}$ 、 $\vec{j}$ 、 $\vec{k}$  とし、 $uvw$  座標の各座標の単位ベクトルを  $\vec{e}_1$ 、 $\vec{e}_2$ 、 $\vec{e}_3$  とすと (4.2.15) 式から、

$$\begin{aligned}
\vec{e}_1 &= l_{11} \vec{i} + l_{12} \vec{j} + l_{13} \vec{k} \\
\vec{e}_2 &= l_{21} \vec{i} + l_{22} \vec{j} + l_{23} \vec{k} \\
\vec{e}_3 &= l_{31} \vec{i} + l_{32} \vec{j} + l_{33} \vec{k}
\end{aligned}$$

上式をベクトル表記すると、下記となる。ここで、座標変換行列： $L$  とする。

$$\begin{pmatrix} \vec{e}_1 \\ \vec{e}_2 \\ \vec{e}_3 \end{pmatrix} = L \begin{pmatrix} \vec{i} \\ \vec{j} \\ \vec{k} \end{pmatrix}, \quad L = \begin{pmatrix} l_{11} & l_{12} & l_{13} \\ l_{21} & l_{22} & l_{23} \\ l_{31} & l_{32} & l_{33} \end{pmatrix}$$

上式から、

$$\vec{e}_1 = \begin{pmatrix} l_{11} \\ l_{12} \\ l_{13} \end{pmatrix} \quad \vec{e}_2 = \begin{pmatrix} l_{21} \\ l_{22} \\ l_{23} \end{pmatrix} \quad \vec{e}_3 = \begin{pmatrix} l_{31} \\ l_{32} \\ l_{33} \end{pmatrix}
\tag{4.3.25}$$

また、直角座標系であるから、

$$\vec{e}_3 = \vec{e}_1 \times \vec{e}_2 \quad \vec{e}_1 = \vec{e}_2 \times \vec{e}_3 \quad \vec{e}_2 = \vec{e}_3 \times \vec{e}_1$$

上式に (4.3.25) 式を代入すると、下記の関係式が得られる。

$$\begin{pmatrix} l_{31} \\ l_{32} \\ l_{33} \end{pmatrix} = \begin{pmatrix} l_{12} l_{23} - l_{13} l_{22} \\ l_{13} l_{21} - l_{11} l_{23} \\ l_{11} l_{22} - l_{12} l_{21} \end{pmatrix}$$

$$\begin{pmatrix} l_{11} \\ l_{12} \\ l_{13} \end{pmatrix} = \begin{pmatrix} l_{22} l_{33} - l_{23} l_{32} \\ l_{23} l_{31} - l_{21} l_{33} \\ l_{21} l_{32} - l_{22} l_{31} \end{pmatrix}$$

$$\begin{pmatrix} l_{21} \\ l_{22} \\ l_{23} \end{pmatrix} = \begin{pmatrix} l_{13} l_{32} - l_{12} l_{33} \\ l_{11} l_{33} - l_{13} l_{31} \\ l_{12} l_{31} - l_{11} l_{32} \end{pmatrix}$$

上記の関係式を (4.3.24) 式に代入すると、

$$RU = l_{13} RZ + l_{12} RY + l_{11} RX$$

$$RV = l_{23} RZ + l_{22} RY + l_{21} RX$$

$$RW = l_{33} RZ + l_{32} RY + l_{31} RX$$

上式を行列を用いて表すと、

$$\begin{pmatrix} RU \\ RV \\ RW \end{pmatrix} = \begin{pmatrix} l_{11} & l_{12} & l_{13} \\ l_{21} & l_{22} & l_{23} \\ l_{31} & l_{32} & l_{33} \end{pmatrix} \begin{pmatrix} RX \\ RY \\ RZ \end{pmatrix}$$

上式から回転 (rot,curl) が座標変換マトリックスで座標変換できる。このことは座標系によらないこと、すなわち一定のベクトル値となることを示している。

4.3.6  $\nabla$  を使った演算

$\nabla$  は下記の微分を含んだベクトルの式とする。

$$\nabla = \frac{d}{dx} \vec{i} + \frac{d}{dy} \vec{j} + \frac{d}{dz} \vec{k} \quad (4.3.26)$$

```
kill(all);
load("vect")$
depends([A,B],[x,y,z]);
MTA:matrix([A[x]],[A[y]],[A[z]]);
MTB:matrix([B[x]],[B[y]],[B[z]]);
NABM:matrix([d/dx],[d/dy],[d/dz]);
```

また、行列表記すると、

$$\nabla = \begin{pmatrix} \frac{d}{dx} \\ \frac{d}{dy} \\ \frac{d}{dz} \end{pmatrix}$$

ベクトル： $\vec{A}$ 、ベクトル： $\vec{B}$  を下記とする。

$$\vec{A} = \begin{pmatrix} A_x \\ A_y \\ A_z \end{pmatrix} \quad \vec{B} = \begin{pmatrix} B_x \\ B_y \\ B_z \end{pmatrix}$$

(1)  $\nabla$  とスカラーとの積  $\rightarrow$  grad ベクトルに

```
/* nabla (grad f) */
NABM*f;
grad(f);
transpose(express(%));
```

$\nabla$  とスカラー： $f$  の積は、

$$\nabla f = \begin{pmatrix} \frac{df}{dx} \\ \frac{df}{dy} \\ \frac{df}{dz} \end{pmatrix}$$

上記は  $\text{grad}(f)$  であり、次の公式となる。

$$\nabla f = \text{grad}(f) = \begin{pmatrix} \frac{d}{dx} f \\ \frac{d}{dy} f \\ \frac{d}{dz} f \end{pmatrix} \quad (4.3.27)$$

(2)  $\nabla$  とベクトルの内積  $\rightarrow$  div スカラーに

```
NABM.MTA;
div(transpose(MTA)[1]);
express(%);
```

$\nabla$  とベクトル： $\vec{A}$  の内積は、

$$\nabla \vec{A} = \frac{dA_z}{dz} + \frac{dA_y}{dy} + \frac{dA_x}{dx}$$

上記は  $\text{div}(\vec{A})$  であり、次の公式となる。

$$\nabla \vec{A} = \text{div}([A_x, A_y, A_z]) = \frac{d}{dz} A_z + \frac{d}{dy} A_y + \frac{d}{dx} A_x \quad (4.3.28)$$

(3)  $\nabla$  とベクトルの外積  $\rightarrow \text{curl}$  ベクトルに

```
col(adjoint(transpose(addcol(NABM,MTA,
matrix([1],[1],[1])))),3);
curl(transpose(MTA)[1]);
transpose(express(%));
ev(%,diff);
```

$\nabla$  とベクトル:  $\vec{A}$  の外積は、

$$\nabla \times \vec{A} = \begin{pmatrix} \frac{dA_z}{dy} - \frac{dA_y}{dz} \\ \frac{dA_x}{dz} - \frac{dA_z}{dx} \\ \frac{dA_y}{dx} - \frac{dA_x}{dy} \end{pmatrix}$$

上記は  $\text{curl}(\vec{A})$  であり、次の公式となる。

$$\nabla \times \vec{A} = \text{curl}([A_x, A_y, A_z]) = \begin{pmatrix} \frac{d}{dy} A_z - \frac{d}{dz} A_y \\ \frac{d}{dz} A_x - \frac{d}{dx} A_z \\ \frac{d}{dx} A_y - \frac{d}{dy} A_x \end{pmatrix} \quad (4.3.29)$$

(4)  $\vec{A} \nabla$

```
MTA.NABM;
```

$\vec{A}$  と  $\nabla$  の内積は次式に示すようにスカラー微分オペレータである。

$$\vec{A} \nabla = A_z \frac{d}{dz} + A_y \frac{d}{dy} + A_x \frac{d}{dx}$$

(5)  $\nabla^2$   $\text{div}(\text{grad}(f))$

```
expand((NABM.NABM)*f);
NAB:grad(f);
transpose(express(%));
div(transpose(%) [1]);
express(%);
expand((NABM.NABM)*MTB);
matrix([div(grad(MTB[1][1])),
[div(grad(MTB[2][1])),
[div(grad(MTB[3][1]))]);
express(%);
```

$\nabla^2$  は、 $\nabla$  の内積で、 $\nabla^2$  はスカラー微分オペレータであり、

$$\nabla^2 = (\nabla \nabla) = \frac{d^2}{dz^2} + \frac{d^2}{dy^2} + \frac{d^2}{dx^2}$$

$\nabla^2$  とスカラー:  $f$  の積は、

$$\nabla^2 f = \frac{d^2 f}{dz^2} + \frac{d^2 f}{dy^2} + \frac{d^2 f}{dx^2}$$

上記は  $\text{div}(\text{grad}(f))$  であり、次の公式となる。

$$\begin{aligned} \nabla^2 f &= \text{div}(\text{grad}(f)) = \text{div}\left(\left[\frac{d}{dx} f, \frac{d}{dy} f, \frac{d}{dz} f\right]\right) \\ &= \frac{d^2}{dz^2} f + \frac{d^2}{dy^2} f + \frac{d^2}{dx^2} f \end{aligned} \quad (4.3.30)$$

スカラーの  $\nabla^2$  とベクトル:  $\vec{A}$  の積は、

$$\nabla^2 \vec{A} = \begin{pmatrix} \frac{d^2 A_x}{dz^2} + \frac{d^2 A_x}{dy^2} + \frac{d^2 A_x}{dx^2} \\ \frac{d^2 A_y}{dz^2} + \frac{d^2 A_y}{dy^2} + \frac{d^2 A_y}{dx^2} \\ \frac{d^2 A_z}{dz^2} + \frac{d^2 A_z}{dy^2} + \frac{d^2 A_z}{dx^2} \end{pmatrix}$$

上記は  $\text{div}(\text{grad}(\text{ベクトルの各要素}))$  であり、次の公式となる。

$$\begin{aligned} \nabla^2 \vec{A} &= \begin{pmatrix} \text{div}(\text{grad}(A_x)) \\ \text{div}(\text{grad}(A_y)) \\ \text{div}(\text{grad}(A_z)) \end{pmatrix} \\ &= \begin{pmatrix} \frac{d^2}{dz^2} A_x + \frac{d^2}{dy^2} A_x + \frac{d^2}{dx^2} A_x \\ \frac{d^2}{dz^2} A_y + \frac{d^2}{dy^2} A_y + \frac{d^2}{dx^2} A_y \\ \frac{d^2}{dz^2} A_z + \frac{d^2}{dy^2} A_z + \frac{d^2}{dx^2} A_z \end{pmatrix} \end{aligned} \quad (4.3.31)$$

また、(4.3.50) 式から、

$$\nabla^2 \vec{A} = \nabla(\nabla \cdot \vec{A}) - \nabla \times (\nabla \times \vec{A}) \quad (4.3.32)$$

$$(6) \nabla (\vec{A} \times \vec{B}) = \vec{B} (\nabla \times \vec{A}) - \vec{A} (\nabla \times \vec{B})$$

$$\operatorname{div} (\vec{A} \times \vec{B})$$

ベクトルの内積の微分：(4.3.2) 式、ベクトルの外積の微分：(4.3.3) 式から、 $\nabla$  を作用させないものにサフィックス：0 を付けると、下記のように書ける。

$$\nabla (\vec{A} \times \vec{B}) = \nabla (\vec{A} \times \vec{B}_0) + \nabla (\vec{A}_0 \times \vec{B})$$

スカラー 3 重積：(4.1.6) 式から、

$$\begin{aligned} \nabla (\vec{A} \times \vec{B}) &= \nabla (\vec{A} \times \vec{B}_0) + \nabla (\vec{A}_0 \times \vec{B}) \\ &= \vec{B}_0 (\nabla \times \vec{A}) - \vec{A}_0 (\nabla \times \vec{B}) \quad (4.3.33) \\ &= \vec{B} (\nabla \times \vec{A}) - \vec{A} (\nabla \times \vec{B}) \end{aligned}$$

```
P1:col(adjoint(transpose(addcol(MTA,MTB,
matrix([1],[1],[1])))),3);
div(transpose(%) [1]);
express(%);
P11:ev(%,diff);
curl(transpose(MTA) [1]);
P2:transpose(express(%));
curl(transpose(MTB) [1]);
P3:transpose(express(%));
P21:MTB.P2-MTA.P3;
P11-P21;
factor(%);
```

上式を具体的に求めて確かめる。内積は *div*、外積は *curl* を使用して求める。(4.3.33) 式の左辺は、

$$\begin{aligned} \nabla (\vec{A} \times \vec{B}) &= \frac{d}{dx} (A_y B_z - B_y A_z) + \frac{d}{dy} (B_x A_z - A_x B_z) \\ &\quad + \frac{d}{dz} (A_x B_y - B_x A_y) \end{aligned} \quad (4.3.34)$$

(4.3.33) 式の右辺の一部は、

$$\nabla \times \vec{A} = \begin{pmatrix} \frac{d}{dy} A_z - \frac{d}{dz} A_y \\ \frac{d}{dz} A_x - \frac{d}{dx} A_z \\ \frac{d}{dx} A_y - \frac{d}{dy} A_x \end{pmatrix},$$

$$\nabla \times \vec{B} = \begin{pmatrix} \frac{d}{dy} B_z - \frac{d}{dz} B_y \\ \frac{d}{dz} B_x - \frac{d}{dx} B_z \\ \frac{d}{dx} B_y - \frac{d}{dy} B_x \end{pmatrix}$$

上式から、(4.3.33) 式の右辺は、

$$\begin{aligned} &\vec{B} (\nabla \times \vec{A}) - \vec{A} (\nabla \times \vec{B}) \\ &= -A_x \left( \frac{d}{dy} B_z - \frac{d}{dz} B_y \right) - A_y \left( \frac{d}{dz} B_x - \frac{d}{dx} B_z \right) \\ &\quad + B_x \left( \frac{d}{dy} A_z - \frac{d}{dz} A_y \right) + B_y \left( \frac{d}{dz} A_x - \frac{d}{dx} A_z \right) \\ &\quad + \left( \frac{d}{dx} A_y - \frac{d}{dy} A_x \right) B_z - \left( \frac{d}{dx} B_y - \frac{d}{dy} B_x \right) A_z \end{aligned} \quad (4.3.35)$$

(4.3.34) 式、(4.3.35) 式から (4.3.33) 式が成り立っていることがわかる。



$$(7) \nabla \times (\vec{A} \times \vec{B}) = (\vec{B} \nabla) \vec{A} - (\nabla \vec{A}) \vec{B} + (\nabla \vec{B}) \vec{A} - (\vec{A} \nabla) \vec{B}$$

$$\text{curl}(\vec{A} \times \vec{B})$$

$\nabla$  を作用させないものにサフィックス:0 を付けると、下記のように書ける。

$$\nabla \times (\vec{A} \times \vec{B}) = \nabla \times (\vec{A} \times \vec{B}_0) + \nabla \times (\vec{A}_0 \times \vec{B})$$

ベクトル3重積: (4.1.9) 式から下記となる。ここで、 $\nabla \vec{A}_0 \rightarrow \vec{A}_0 \nabla$ 、 $\nabla \vec{B}_0 \rightarrow \vec{B}_0 \nabla$  とする。

$$\nabla \times (\vec{A} \times \vec{B}_0) = (\vec{B}_0 \nabla) \vec{A} - (\nabla \vec{A}) \vec{B}_0$$

$$\nabla \times (\vec{A}_0 \times \vec{B}) = (\nabla \vec{B}) \vec{A}_0 - (\vec{A}_0 \nabla) \vec{B}$$

以上から、

$$\begin{aligned} \nabla \times (\vec{A} \times \vec{B}) &= \nabla \times (\vec{A} \times \vec{B}_0) + \nabla \times (\vec{A}_0 \times \vec{B}) \\ &= (\vec{B}_0 \nabla) \vec{A} - (\nabla \vec{A}) \vec{B}_0 \\ &\quad + (\nabla \vec{B}) \vec{A}_0 - (\vec{A}_0 \nabla) \vec{B} \end{aligned}$$

上式から、

$$\begin{aligned} \nabla \times (\vec{A} \times \vec{B}) &= (\vec{B} \nabla) \vec{A} - (\nabla \vec{A}) \vec{B} \\ &\quad + (\nabla \vec{B}) \vec{A} - (\vec{A} \nabla) \vec{B} \end{aligned} \quad (4.3.36)$$

```
P1:col(adjoint(transpose(addcol(MTA,MTB,
matrix([1],[1],[1])))),3);
curl(transpose(%)[1]);
express(%);
transpose(%);
P11:ev(%diff);
MTB.NABM;
BD1:B[z]*(d/dz)+B[y]*d/dy+B[x]*d/dx;
M11:B[z]*diff(A[x],z,1)+B[y]*
diff(A[x],y,1)+B[x]*diff(A[x],x,1);
M12:subst([A[x]=A[y]],M11);
M13:subst([A[x]=A[z]],M11);
P2:matrix([M11],[M12],[M13]);
MTA.NABM;
AD1:A[z]*(d/dz)+A[y]*d/dy+A[x]*d/dx;
M21:A[z]*diff(B[x],z,1)+A[y]*
diff(B[x],y,1)+A[x]*diff(B[x],x,1);
M22:subst([B[x]=B[y]],M21);
M23:subst([B[x]=B[z]],M21);
P3:matrix([M21],[M22],[M23]);
div(transpose(MTA)[1]);
express(%);
P4:MTB*%;
div(transpose(MTB)[1]);
express(%);
P5:MTA*%;
P2-P3-P4+P5;
%-P11;
factor(%);
```

上式を具体的に求めて確かめる。内積は *div*、外積は *curl* を使用して、求める。(4.3.36) 式の左辺は、

$$\begin{aligned} \nabla \times (\vec{A} \times \vec{B}) &= \begin{pmatrix} \frac{d}{dy}(A_x B_y - B_x A_y) - \frac{d}{dz}(B_x A_z - A_x B_z) \\ \frac{d}{dz}(A_y B_z - B_y A_z) - \frac{d}{dx}(A_x B_y - B_x A_y) \\ \frac{d}{dx}(B_x A_z - A_x B_z) - \frac{d}{dy}(A_y B_z - B_y A_z) \end{pmatrix} \\ &= \begin{pmatrix} A_x \left( \frac{d}{dz} B_z \right) - B_x \left( \frac{d}{dz} A_z \right) + \left( \frac{d}{dz} A_x \right) B_z - \left( \frac{d}{dz} B_x \right) A_z + A_x \left( \frac{d}{dy} B_y \right) - B_x \left( \frac{d}{dy} A_y \right) + \left( \frac{d}{dy} A_x \right) B_y - \left( \frac{d}{dy} B_x \right) A_y \\ A_y \left( \frac{d}{dz} B_z \right) - B_y \left( \frac{d}{dz} A_z \right) + \left( \frac{d}{dz} A_y \right) B_z - \left( \frac{d}{dz} B_y \right) A_z - A_x \left( \frac{d}{dx} B_y \right) + B_x \left( \frac{d}{dx} A_y \right) - \left( \frac{d}{dx} A_x \right) B_y + \left( \frac{d}{dx} B_x \right) A_y \\ -A_y \left( \frac{d}{dy} B_z \right) - A_x \left( \frac{d}{dx} B_z \right) + B_y \left( \frac{d}{dy} A_z \right) + B_x \left( \frac{d}{dx} A_z \right) - \left( \frac{d}{dy} A_y \right) B_z - \left( \frac{d}{dx} A_x \right) B_z + \left( \frac{d}{dy} B_y \right) A_z + \left( \frac{d}{dx} B_x \right) A_z \end{pmatrix} \end{aligned} \quad (4.3.37)$$

(4.3.36) 式の右辺第一項の  $\vec{B}\nabla$  は、

$$\vec{B}\nabla = B_z \frac{d}{dz} + B_y \frac{d}{dy} + B_x \frac{d}{dx}$$

上記から、

$$(\vec{B}\nabla) \vec{A} = \begin{pmatrix} \left( \frac{d}{dz} A_x \right) B_z + \left( \frac{d}{dy} A_x \right) B_y + B_x \left( \frac{d}{dx} A_x \right) \\ \left( \frac{d}{dz} A_y \right) B_z + B_y \left( \frac{d}{dy} A_y \right) + B_x \left( \frac{d}{dx} A_y \right) \\ B_z \left( \frac{d}{dz} A_z \right) + B_y \left( \frac{d}{dy} A_z \right) + B_x \left( \frac{d}{dx} A_z \right) \end{pmatrix} \quad (4.3.38)$$

右辺第四項は上記と同様にして、

$$(\vec{A}\nabla) \vec{B} = \begin{pmatrix} \left( \frac{d}{dz} B_x \right) A_z + \left( \frac{d}{dy} B_x \right) A_y + A_x \left( \frac{d}{dx} B_x \right) \\ \left( \frac{d}{dz} B_y \right) A_z + A_y \left( \frac{d}{dy} B_y \right) + A_x \left( \frac{d}{dx} B_y \right) \\ A_z \left( \frac{d}{dz} B_z \right) + A_y \left( \frac{d}{dy} B_z \right) + A_x \left( \frac{d}{dx} B_z \right) \end{pmatrix} \quad (4.3.39)$$

右辺第二項は、

$$(\nabla \vec{A}) \vec{B} = \begin{pmatrix} B_x \left( \frac{d}{dz} A_z + \frac{d}{dy} A_y + \frac{d}{dx} A_x \right) \\ B_y \left( \frac{d}{dz} A_z + \frac{d}{dy} A_y + \frac{d}{dx} A_x \right) \\ B_z \left( \frac{d}{dz} A_z + \frac{d}{dy} A_y + \frac{d}{dx} A_x \right) \end{pmatrix} \quad (4.3.40)$$

右辺第三項は、

$$(\nabla \vec{B}) \vec{A} = \begin{pmatrix} A_x \left( \frac{d}{dz} B_z + \frac{d}{dy} B_y + \frac{d}{dx} B_x \right) \\ A_y \left( \frac{d}{dz} B_z + \frac{d}{dy} B_y + \frac{d}{dx} B_x \right) \\ A_z \left( \frac{d}{dz} B_z + \frac{d}{dy} B_y + \frac{d}{dx} B_x \right) \end{pmatrix} \quad (4.3.41)$$

(4.3.36) 式に (4.3.37) 式、(4.3.38) 式、(4.3.39) 式、(4.3.40) 式を代入すると、(4.3.36) 式が成り立つことがわかる。

$$(8) \nabla(\vec{A} \cdot \vec{B}) = \vec{A} \times (\nabla \times \vec{B}) + (\vec{A} \nabla) \cdot \vec{B} + \vec{B} \times (\nabla \times \vec{A}) + (\vec{B} \nabla) \cdot \vec{A}$$

$$\text{grad}(\vec{A} \cdot \vec{B})$$

$\nabla$  を作用させないものにサフィックス:0 を付けると、下記のように書ける。

$$\nabla(\vec{A} \cdot \vec{B}) = \nabla(\vec{A}_0 \cdot \vec{B}) + \nabla(\vec{B}_0 \cdot \vec{A})$$

スカラーのみの3重積:(4.1.10)式から下記となる。

$$\nabla(\vec{A}_0 \cdot \vec{B}) = \vec{A}_0 \times (\nabla \times \vec{B}) + (\vec{A}_0 \cdot \nabla) \cdot \vec{B}$$

$$\nabla(\vec{B}_0 \cdot \vec{A}) = \vec{B}_0 \times (\nabla \times \vec{A}) + (\vec{B}_0 \cdot \nabla) \cdot \vec{A}$$

以上から、

$$\begin{aligned} \nabla(\vec{A} \cdot \vec{B}) &= \vec{A} \times (\nabla \times \vec{B}) + (\vec{A} \nabla) \cdot \vec{B} \\ &+ \vec{B} \times (\nabla \times \vec{A}) + (\vec{B} \nabla) \cdot \vec{A} \end{aligned} \quad (4.3.42)$$

```
MTA.MTB;
grad(%);
express(%);
ev(% ,diff);
P1:transpose(%);
curl(transpose(MTB)[1]);
transpose(express(%));
P4:col(adjoint(transpose(addcol(MTA,
%,matrix([1],[1],[1])))),3);
curl(transpose(MTA)[1]);
transpose(express(%));
P5:col(adjoint(transpose(addcol(MTB,
%,matrix([1],[1],[1])))),3);
P1-P2-P3-P4-P5;
factor(%);
```

上式を具体的に求めて確かめる。

(4.3.42) 式の左辺は、

$$\nabla(\vec{A} \cdot \vec{B}) = \begin{pmatrix} A_z \left(\frac{d}{dx} B_z\right) + B_z \left(\frac{d}{dx} A_z\right) + A_y \left(\frac{d}{dx} B_y\right) + B_y \left(\frac{d}{dx} A_y\right) + A_x \left(\frac{d}{dx} B_x\right) + B_x \left(\frac{d}{dx} A_x\right) \\ A_z \left(\frac{d}{dy} B_z\right) + B_z \left(\frac{d}{dy} A_z\right) + A_y \left(\frac{d}{dy} B_y\right) + B_y \left(\frac{d}{dy} A_y\right) + A_x \left(\frac{d}{dy} B_x\right) + B_x \left(\frac{d}{dy} A_x\right) \\ A_z \left(\frac{d}{dz} B_z\right) + B_z \left(\frac{d}{dz} A_z\right) + A_y \left(\frac{d}{dz} B_y\right) + B_y \left(\frac{d}{dz} A_y\right) + A_x \left(\frac{d}{dz} B_x\right) + B_x \left(\frac{d}{dz} A_x\right) \end{pmatrix} \quad (4.3.43)$$

(4.3.42) 式の右辺第一項、右辺第三項は、

$$\vec{A} \times (\nabla \times \vec{B}) = \begin{pmatrix} A_y \left(\frac{d}{dx} B_y - \frac{d}{dy} B_x\right) - A_z \left(\frac{d}{dz} B_x - \frac{d}{dx} B_z\right) \\ A_z \left(\frac{d}{dy} B_z - \frac{d}{dz} B_y\right) - A_x \left(\frac{d}{dx} B_y - \frac{d}{dy} B_x\right) \\ A_x \left(\frac{d}{dz} B_x - \frac{d}{dx} B_z\right) - A_y \left(\frac{d}{dy} B_z - \frac{d}{dz} B_y\right) \end{pmatrix} \quad (4.3.44)$$

$$\vec{B} \times (\nabla \times \vec{A}) = \begin{pmatrix} B_y \left(\frac{d}{dx} A_y - \frac{d}{dy} A_x\right) - B_z \left(\frac{d}{dz} A_x - \frac{d}{dx} A_z\right) \\ B_z \left(\frac{d}{dy} A_z - \frac{d}{dz} A_y\right) - B_x \left(\frac{d}{dx} A_y - \frac{d}{dy} A_x\right) \\ B_x \left(\frac{d}{dz} A_x - \frac{d}{dx} A_z\right) - B_y \left(\frac{d}{dy} A_z - \frac{d}{dz} A_y\right) \end{pmatrix} \quad (4.3.45)$$

(4.3.42) 式に (4.3.38) 式、(4.3.39) 式、(4.3.43) 式、(4.3.44) 式、(4.3.45) 式を代入すると成り立つことがわかる。

$$(9) \nabla \times (\nabla \times \vec{A}) = \nabla (\nabla \cdot \vec{A}) - \nabla^2 \vec{A}$$

$$\text{curl} (\text{curl} \vec{A}) = \text{grad} \text{div} (\vec{A}) - \text{div} (\text{grad} \vec{A})$$

```
kill(all);
load("vect")$
depends([A],[x,y,z]);
MTA:matrix([A[x]], [A[y]], [A[z]]);
curl(transpose(MTA)[1]);
express(%);
ev(%,diff);
curl(%);
express(%);
ev(%,diff);
MT1:transpose(%);
div(transpose(MTA)[1]);
express(%);
ev(%,diff);
grad(%);
express(%);
ev(%,diff);
MT21:transpose(%);
grad(transpose(MTA)[1]);
express(%);
ev(%,diff);
div(%);
express(%);
ev(%,diff);
MT22:transpose(%);
MT2:MT21-MT22;
MT1-MT2;
```

$$\nabla \times \nabla \times \vec{A}$$

$$= \begin{pmatrix} \frac{d^2}{dx dz} A_z + \frac{d^2}{dx dy} A_y - \frac{d^2}{dz^2} A_x - \frac{d^2}{dy^2} A_x \\ \frac{d^2}{dy dz} A_z - \frac{d^2}{dz^2} A_y - \frac{d^2}{dx^2} A_y + \frac{d^2}{dx dy} A_x \\ -\frac{d^2}{dy^2} A_z - \frac{d^2}{dx^2} A_z + \frac{d^2}{dy dz} A_y + \frac{d^2}{dx dz} A_x \end{pmatrix} \quad (4.3.46)$$

$$(\nabla \cdot \vec{A}) = \frac{d}{dz} A_z + \frac{d}{dy} A_y + \frac{d}{dx} A_x$$

さらに、

$$\nabla (\nabla \cdot \vec{A}) = \begin{pmatrix} \frac{d^2}{dx dz} A_z + \frac{d^2}{dx dy} A_y + \frac{d^2}{dx^2} A_x \\ \frac{d^2}{dy dz} A_z + \frac{d^2}{dy^2} A_y + \frac{d^2}{dx dy} A_x \\ \frac{d^2}{dz^2} A_z + \frac{d^2}{dy dz} A_y + \frac{d^2}{dx dz} A_x \end{pmatrix} \quad (4.3.47)$$

(4.3.31) 式から、

$$\nabla^2 \vec{A} = \begin{pmatrix} \frac{d^2}{dz^2} A_x + \frac{d^2}{dy^2} A_x + \frac{d^2}{dx^2} A_x \\ \frac{d^2}{dz^2} A_y + \frac{d^2}{dy^2} A_y + \frac{d^2}{dx^2} A_y \\ \frac{d^2}{dz^2} A_z + \frac{d^2}{dy^2} A_z + \frac{d^2}{dx^2} A_z \end{pmatrix} \quad (4.3.48)$$

(4.3.46) 式、(4.3.47) 式、(4.3.48) 式から、次式が成り立つ。

$$\nabla \times (\nabla \times \vec{A}) = \nabla (\nabla \cdot \vec{A}) - \nabla^2 \vec{A} \quad (4.3.49)$$

また、

$$\nabla^2 \vec{A} = \nabla (\nabla \cdot \vec{A}) - \nabla \times (\nabla \times \vec{A}) \quad (4.3.50)$$

(10)  $(\vec{A}\nabla)\vec{B}$

(4.3.36) 式から、

$$\begin{aligned} (\vec{A}\nabla)\vec{B} &= (\vec{B}\nabla)\vec{A} - (\nabla\vec{A})\vec{B} \\ &\quad + (\nabla\vec{B})\vec{A} - \nabla\times(\vec{A}\times\vec{B}) \end{aligned}$$

(4.3.42) 式から、

$$\begin{aligned} (\vec{A}\nabla)\cdot\vec{B} &= \nabla(\vec{A}\cdot\vec{B}) - \vec{A}\times(\nabla\times\vec{B}) \\ &\quad - \vec{B}\times(\nabla\times\vec{A}) - (\vec{B}\nabla)\cdot\vec{A} \end{aligned}$$

上記二式の和を取ると、

$$\begin{aligned} (\vec{A}\nabla)\cdot\vec{B} &= \frac{1}{2}\left(-(\nabla\vec{A})\vec{B} \right. \\ &\quad + (\nabla\vec{B})\vec{A} - \nabla\times(\vec{A}\times\vec{B}) \quad (4.3.51) \\ &\quad + \nabla(\vec{A}\cdot\vec{B}) - \vec{A}\times(\nabla\times\vec{B}) \\ &\quad \left. - \vec{B}\times(\nabla\times\vec{A})\right) \end{aligned}$$

いま、上式を  $\vec{B} \rightarrow \vec{A}$  と置くと、下記がえられ、(4.3.50) 式と同じ結果が得られた。

$$(\vec{A}\nabla)\vec{A} = \frac{1}{2}\nabla(\vec{A}^2) - \vec{A}\times(\nabla\times\vec{A}) \quad (4.3.52)$$

(4.3.51) 式に (4.3.36) 式を代入し、 $\vec{A}$  が定数のベクトルとすると、上式は、

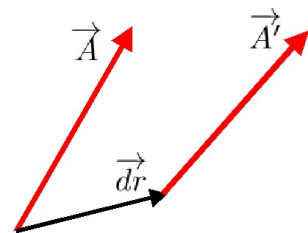
$$\begin{aligned} 2(\vec{A}\nabla)\cdot\vec{B} &= -(\nabla\vec{A})\vec{B} \\ &\quad + (\nabla\vec{B})\vec{A} - (\vec{B}\nabla)\vec{A} + (\nabla\vec{A})\vec{B} \\ &\quad - (\nabla\vec{B})\vec{A} + (\vec{A}\nabla)\vec{B} \\ &\quad + \nabla(\vec{A}\cdot\vec{B}) - \vec{A}\times(\nabla\times\vec{B}) \\ &\quad - \vec{B}\times(\nabla\times\vec{A}) \\ &= +(\vec{A}\nabla)\vec{B} \\ &\quad + \nabla(\vec{A}\cdot\vec{B}) - \vec{A}\times(\nabla\times\vec{B}) \end{aligned}$$

以上から、 $\vec{A}$  が定数のベクトルの場合には、

$$(\vec{A}\nabla)\cdot\vec{B} = \nabla(\vec{A}\cdot\vec{B}) + (\nabla\times\vec{B})\times\vec{A} \quad (4.3.53)$$

(11)  $\vec{A}' = \vec{A} + (\vec{dr}\nabla)\vec{A}$

```
kill(all);
load("vect")$
depends([A],[x,y,z]);
F:matrix([A[x]],[A[y]],[A[z]]);
DR:matrix([dr[x]],[dr[y]],[dr[z]]);
DR.F;
grad(%);
express(%);
transpose(%);
DRF1:ev(%,diff);
curl(transpose(F)[1]);
express(%);
transpose(%);
DRF2:col(adjoint(transpose(addcol(%,DR,
matrix([1],[1],[1])))),3);
DRF1+DRF2;
expand(%);
F+;
```



下記とし、

$$\vec{A} = \begin{pmatrix} A_x \\ A_y \\ A_z \end{pmatrix}, \quad \vec{dr} = \begin{pmatrix} dr_x \\ dr_y \\ dr_z \end{pmatrix}$$

(4.3.53) 式から、上式を代入すると、

$$\begin{aligned} \vec{A}' &= \vec{A} + (\vec{dr}\nabla)\vec{A} \\ &= \begin{pmatrix} A_x \\ A_y \\ A_z \end{pmatrix} \\ &\quad + \begin{pmatrix} \left(\frac{d}{dz}A_x\right)dr_z + \left(\frac{d}{dy}A_x\right)dr_y + dr_x\left(\frac{d}{dx}A_x\right) \\ \left(\frac{d}{dz}A_y\right)dr_z + dr_y\left(\frac{d}{dy}A_y\right) + dr_x\left(\frac{d}{dx}A_y\right) \\ dr_z\left(\frac{d}{dz}A_z\right) + dr_y\left(\frac{d}{dy}A_z\right) + dr_x\left(\frac{d}{dx}A_z\right) \end{pmatrix} \quad (4.3.54) \end{aligned}$$

$$(12) \nabla (f \vec{A}) = f \nabla \vec{A} + \nabla (f) \cdot \vec{A}$$

$$\operatorname{div} (f \vec{A}) = f \operatorname{div} (\vec{A}) + \operatorname{grad} (f) \cdot \vec{A}$$

```
kill(all);
load("vect")$
depends([f],[x,y,z]);
depends([A],[x,y,z]);
MTA:matrix([A[x]],[A[y]],[A[z]]);
div(transpose(f*MTA)[1]);
express(%);
DV1:ev(%diff);
div(transpose(MTA)[1]);
DV2:expand(f*express(%));
grad(f);
transpose(express(%));
DV3:%.MTA;
DV1;
DV2+DV3;
```

上式の左辺、右辺を具体的に求めて証明する。左辺は、

$$\begin{aligned} \operatorname{div} (f \vec{A}) &= f \left( \frac{d}{dz} A_z \right) + \left( \frac{d}{dz} f \right) A_z \\ &\quad + f \left( \frac{d}{dy} A_y \right) + \left( \frac{d}{dy} f \right) A_y \\ &\quad + f \left( \frac{d}{dx} A_x \right) + \left( \frac{d}{dx} f \right) A_x \end{aligned}$$

右辺第一項は、

$$f \operatorname{div} (\vec{A}) = f \left( \frac{d}{dz} A_z \right) + f \left( \frac{d}{dy} A_y \right) + f \left( \frac{d}{dx} A_x \right)$$

右辺第二項は、

$$\operatorname{grad} (f) \cdot \vec{A} = \left( \frac{d}{dz} f \right) A_z + \left( \frac{d}{dy} f \right) A_y + \left( \frac{d}{dx} f \right) A_x$$

上式から、

$$\operatorname{div} (f \vec{A}) = f \operatorname{div} (\vec{A}) + \operatorname{grad} (f) \cdot \vec{A} \quad (4.3.55)$$

$$(13) \nabla \times (\vec{A} f)$$

$\nabla$  を作用させないものにサフィックス :0 を付けると、下記のように書ける。

$$\begin{aligned} \nabla \times (\vec{A} f) &= \nabla \times (\vec{A}_0 f) + \nabla \times (\vec{A} f_0) \\ &= -\vec{A} \times (\nabla f) + f (\nabla \times \vec{A}) \end{aligned} \quad (4.3.56)$$

$$(14) \nabla \times (\nabla f) = 0$$

*curl grad(f)*

```
kill(all);
load("vect")$
depends([f],[x,y,z]);
grad(f);
express(%);
curl(%);
express(%);
ev(%diff);
MT1:transpose(%);
```

$$\nabla f = \begin{pmatrix} \frac{d}{dx} f \\ \frac{d}{dy} f \\ \frac{d}{dz} f \end{pmatrix}$$

$$\nabla \times (\nabla f) = \nabla \times \begin{pmatrix} \frac{d}{dx} f \\ \frac{d}{dy} f \\ \frac{d}{dz} f \end{pmatrix} = \begin{pmatrix} 0 \\ 0 \\ 0 \end{pmatrix} \quad (4.3.57)$$

$$(15) \nabla (\nabla \times \vec{A}) = 0$$

*div curl*( $\vec{A}$ )

```
kill(all);
load("vect")$
depends([a,b,c],[x,y,z]);
MTA:matrix([a],[b],[c]);
curl(transpose(MTA)[1]);
express(%);
ev(%,diff);
div(%);
express(%);
ev(%,diff);
```

$$\nabla \times \vec{A} = \begin{pmatrix} \frac{d}{dy} A_z - \frac{d}{dz} A_y \\ \frac{d}{dz} A_x - \frac{d}{dx} A_z \\ \frac{d}{dx} A_y - \frac{d}{dy} A_x \end{pmatrix}$$

$$\begin{aligned} & \nabla (\nabla \times \vec{A}) \\ &= \frac{d}{dx} \left( \frac{d}{dy} A_z - \frac{d}{dz} A_y \right) \\ & \quad + \frac{d}{dy} \left( \frac{d}{dz} A_x - \frac{d}{dx} A_z \right) \\ & \quad + \frac{d}{dz} \left( \frac{d}{dx} A_y - \frac{d}{dy} A_x \right) = 0 \end{aligned} \tag{4.3.58}$$

$$(16) \quad (\vec{A} \nabla) (\vec{B} \cdot \vec{C}) = \vec{B} ((\vec{A} \nabla) \vec{C}) + \vec{C} ((\vec{A} \nabla) \vec{B})$$

$\nabla$  を作用させないものにサフィックス : 0 を付けると、下記のように書け、ベクトルの内積は交換則が成り立つので、

$$(\vec{A} \nabla) (\vec{B} \cdot \vec{C}) = (\vec{A} \nabla) (\vec{B}_0 \cdot \vec{C} + \vec{B} \cdot \vec{C}_0) = \vec{B} (\vec{A} \nabla) \vec{C} + \vec{C} (\vec{A} \nabla) \vec{B} \quad (4.3.59)$$

```
kill(all);
load("vect")$
depends([A,B,C],[x,y,z]);
NABM:matrix([d/dx],[d/dy],[d/dz]);
MTA:matrix([A[x]],[A[y]],[A[z]]);
MTB:matrix([B[x]],[B[y]],[B[z]]);
MTC:matrix([C[x]],[C[y]],[C[z]]);
P0:MTB.MTC;
MTA.NABM;
P01:A[x]*diff(P0,x,1)+A[y]*diff(P0,y,1)
+A[z]*diff(P0,z,1);
P02:ev(%,diff);
MTA.NABM;
%*MTC;
expand(%);
P21:A[x]*diff(C[x],x,1)+A[y]*
diff(C[x],y,1)+A[z]*diff(C[x],z,1);
```

```
P22:subst([C[x]=C[y]],P21);
P23:subst([C[x]=C[z]],P21);
matrix([P21],[P22],[P23]);
P2:MTB.%;
MTA.NABM;
%*MTB;
expand(%);
P31:A[x]*diff(B[x],x,1)+A[y]*
diff(B[x],y,1)+A[z]*diff(B[x],z,1);
P32:subst([B[x]=B[y]],P31);
P33:subst([B[x]=B[z]],P31);
matrix([P31],[P32],[P33]);
P3:MTC.%;
P02-P2-P3;
factor(%);
factor(%);
```

(4.3.59) 式の左辺は、

$$\begin{aligned} & (\vec{A} \nabla) (\vec{B} \cdot \vec{C}) \\ &= (\vec{A} \nabla) (B_z C_z + B_y C_y + B_x C_x) \\ &= A_z \left( \frac{d}{dz} (B_z C_z + B_y C_y + B_x C_x) \right) + A_y \left( \frac{d}{dy} (B_z C_z + B_y C_y + B_x C_x) \right) \\ &\quad + A_x \left( \frac{d}{dx} (B_z C_z + B_y C_y + B_x C_x) \right) \\ &= A_z \left( B_z \left( \frac{d}{dz} C_z \right) + C_z \left( \frac{d}{dz} B_z \right) + B_y \left( \frac{d}{dz} C_y \right) + C_y \left( \frac{d}{dz} B_y \right) + B_x \left( \frac{d}{dz} C_x \right) + C_x \left( \frac{d}{dz} B_x \right) \right) \\ &\quad + A_y \left( B_z \left( \frac{d}{dy} C_z \right) + C_z \left( \frac{d}{dy} B_z \right) + B_y \left( \frac{d}{dy} C_y \right) + C_y \left( \frac{d}{dy} B_y \right) + B_x \left( \frac{d}{dy} C_x \right) + C_x \left( \frac{d}{dy} B_x \right) \right) \\ &\quad + A_x \left( B_z \left( \frac{d}{dx} C_z \right) + C_z \left( \frac{d}{dx} B_z \right) + B_y \left( \frac{d}{dx} C_y \right) + C_y \left( \frac{d}{dx} B_y \right) + B_x \left( \frac{d}{dx} C_x \right) + C_x \left( \frac{d}{dx} B_x \right) \right) \end{aligned} \quad (4.3.60)$$

(4.3.59) 式の右辺第一項は、

$$\begin{aligned} \vec{B} (\vec{A} \nabla) \vec{C} &= \vec{B} \begin{pmatrix} \left( \frac{d}{dz} C_x \right) A_z + \left( \frac{d}{dy} C_x \right) A_y + A_x \left( \frac{d}{dx} C_x \right) \\ \left( \frac{d}{dz} C_y \right) A_z + A_y \left( \frac{d}{dy} C_y \right) + A_x \left( \frac{d}{dx} C_y \right) \\ A_z \left( \frac{d}{dz} C_z \right) + A_y \left( \frac{d}{dy} C_z \right) + A_x \left( \frac{d}{dx} C_z \right) \end{pmatrix} \\ &= B_z \left( A_z \left( \frac{d}{dz} C_z \right) + A_y \left( \frac{d}{dy} C_z \right) + A_x \left( \frac{d}{dx} C_z \right) \right) \\ &\quad + B_y \left( \left( \frac{d}{dz} C_y \right) A_z + A_y \left( \frac{d}{dy} C_y \right) + A_x \left( \frac{d}{dx} C_y \right) \right) \\ &\quad + B_x \left( \left( \frac{d}{dz} C_x \right) A_z + \left( \frac{d}{dy} C_x \right) A_y + A_x \left( \frac{d}{dx} C_x \right) \right) \end{aligned} \quad (4.3.61)$$



(4.3.59) 式の右辺第二項は、

$$\begin{aligned}
 \vec{C} \left( \vec{A} \nabla \right) \vec{B} &= \vec{C} \begin{pmatrix} \left( \frac{d}{dz} B_x \right) A_z + \left( \frac{d}{dy} B_x \right) A_y + A_x \left( \frac{d}{dx} B_x \right) \\ \left( \frac{d}{dz} B_y \right) A_z + A_y \left( \frac{d}{dy} B_y \right) + A_x \left( \frac{d}{dx} B_y \right) \\ A_z \left( \frac{d}{dz} B_z \right) + A_y \left( \frac{d}{dy} B_z \right) + A_x \left( \frac{d}{dx} B_z \right) \end{pmatrix} \\
 &= C_z \left( A_z \left( \frac{d}{dz} B_z \right) + A_y \left( \frac{d}{dy} B_z \right) + A_x \left( \frac{d}{dx} B_z \right) \right) \\
 &\quad + C_y \left( \left( \frac{d}{dz} B_y \right) A_z + A_y \left( \frac{d}{dy} B_y \right) + A_x \left( \frac{d}{dx} B_y \right) \right) \\
 &\quad + C_x \left( \left( \frac{d}{dz} B_x \right) A_z + \left( \frac{d}{dy} B_x \right) A_y + A_x \left( \frac{d}{dx} B_x \right) \right)
 \end{aligned} \tag{4.3.62}$$

(4.3.60) 式、(4.3.61) 式、(4.3.62) 式から (4.3.59) 式が成り立つのがわかる。

$$(17) \quad (\vec{A}\nabla) (\vec{B} \times \vec{C}) = ((\vec{A}\nabla) \vec{B}) \times \vec{C} + \vec{B} \times ((\vec{A}\nabla) \vec{C})$$

$\nabla$  を作用させないものにサフィックス : 0 を付けると、下記のように書ける。

$$(\vec{A}\nabla) (\vec{B} \times \vec{C}) = (\vec{A}\nabla) (\vec{B} \times \vec{C}_0 + \vec{B}_0 \times \vec{C}) = ((\vec{A}\nabla) \vec{B}) \times \vec{C} + \vec{B} \times ((\vec{A}\nabla) \vec{C}) \quad (4.3.63)$$

```
kill(all);
load("vect")$
depends([A,B,C],[x,y,z]);
NABM:matrix([d/dx],[d/dy],[d/dz]);
MTA:matrix([A[x]],[A[y]],[A[z]]);
MTB:matrix([B[x]],[B[y]],[B[z]]);
MTC:matrix([C[x]],[C[y]],[C[z]]);
MTA.NABM;
P0:col(adjoint(transpose(addcol(MTB,MTC,
matrix([1],[1],[1])))),3);
P01:A[x]*diff(P0,x,1)+A[y]*diff(P0,y,1)
+A[z]*diff(P0,z,1);
P02:ev(%,diff);
```

```
P11:A[x]*diff(MTB,x,1)+A[y]*diff(MTB,
y,1)+A[z]*diff(MTB,z,1);
P12:ev(%,diff);
P13:col(adjoint(transpose(addcol(P12,MTC,
matrix([1],[1],[1])))),3);
P21:A[x]*diff(MTC,x,1)+A[y]*diff(MTC,y,
1)+A[z]*diff(MTC,z,1);
P22:ev(%,diff);
P23:col(adjoint(transpose(addcol(MTB,P22,
matrix([1],[1],[1])))),3);
P02-P13-P23;
factor(%)
```

(4.3.63) 式の左辺は、

$$\begin{aligned} (\vec{A}\nabla) (\vec{B} \times \vec{C}) &= (\vec{A}\nabla) \begin{pmatrix} B_y C_z - C_y B_z \\ C_x B_z - B_x C_z \\ B_x C_y - C_x B_y \end{pmatrix} \\ &= A_z \begin{pmatrix} \frac{d}{dz} (B_y C_z - C_y B_z) \\ \frac{d}{dz} (C_x B_z - B_x C_z) \\ \frac{d}{dz} (B_x C_y - C_x B_y) \end{pmatrix} + A_y \begin{pmatrix} \frac{d}{dy} (B_y C_z - C_y B_z) \\ \frac{d}{dy} (C_x B_z - B_x C_z) \\ \frac{d}{dy} (B_x C_y - C_x B_y) \end{pmatrix} + A_x \begin{pmatrix} \frac{d}{dx} (B_y C_z - C_y B_z) \\ \frac{d}{dx} (C_x B_z - B_x C_z) \\ \frac{d}{dx} (B_x C_y - C_x B_y) \end{pmatrix} \end{aligned}$$

上式の微分を実行すると、

$$\begin{aligned} (\vec{A}\nabla) (\vec{B} \times \vec{C}) &= \begin{pmatrix} A_z (B_y (\frac{d}{dz} C_z) - C_y (\frac{d}{dz} B_z) + (\frac{d}{dz} B_y) C_z - (\frac{d}{dz} C_y) B_z) \\ A_z (-B_x (\frac{d}{dz} C_z) + C_x (\frac{d}{dz} B_z) - (\frac{d}{dz} B_x) C_z + (\frac{d}{dz} C_x) B_z) \\ (B_x (\frac{d}{dz} C_y) - C_x (\frac{d}{dz} B_y) + (\frac{d}{dz} B_x) C_y - (\frac{d}{dz} C_x) B_y) A_z \end{pmatrix} \\ &\quad + A_y \begin{pmatrix} B_y (\frac{d}{dy} C_z) - C_y (\frac{d}{dy} B_z) + (\frac{d}{dy} B_y) C_z - (\frac{d}{dy} C_y) B_z \\ -B_x (\frac{d}{dy} C_z) + C_x (\frac{d}{dy} B_z) - (\frac{d}{dy} B_x) C_z + (\frac{d}{dy} C_x) B_z \\ (B_x (\frac{d}{dy} C_y) - C_x (\frac{d}{dy} B_y) + (\frac{d}{dy} B_x) C_y - (\frac{d}{dy} C_x) B_y) \end{pmatrix} \\ &\quad + A_x \begin{pmatrix} B_y (\frac{d}{dx} C_z) - C_y (\frac{d}{dx} B_z) + (\frac{d}{dx} B_y) C_z - (\frac{d}{dx} C_y) B_z \\ -B_x (\frac{d}{dx} C_z) + C_x (\frac{d}{dx} B_z) - (\frac{d}{dx} B_x) C_z + (\frac{d}{dx} C_x) B_z \\ (B_x (\frac{d}{dx} C_y) - C_x (\frac{d}{dx} B_y) + (\frac{d}{dx} B_x) C_y - (\frac{d}{dx} C_x) B_y) \end{pmatrix} \end{aligned} \quad (4.3.64)$$

(4.3.63) 式の右辺第一項は下記となり、微分を実行すると、

$$\begin{aligned}
& ((\vec{A}\nabla)\vec{B})\times\vec{C} \\
&= \left(\frac{d}{dz}\begin{pmatrix} B_x \\ B_y \\ B_z \end{pmatrix}\right)A_z + \left(\frac{d}{dy}\begin{pmatrix} B_x \\ B_y \\ B_z \end{pmatrix}\right)A_y + A_x\left(\frac{d}{dx}\begin{pmatrix} B_x \\ B_y \\ B_z \end{pmatrix}\right)\times\vec{C} \\
&= \begin{pmatrix} \left(\frac{d}{dz}B_x\right)A_z + \left(\frac{d}{dy}B_x\right)A_y + A_x\left(\frac{d}{dx}B_x\right) \\ \left(\frac{d}{dz}B_y\right)A_z + A_y\left(\frac{d}{dy}B_y\right) + A_x\left(\frac{d}{dx}B_y\right) \\ A_z\left(\frac{d}{dz}B_z\right) + A_y\left(\frac{d}{dy}B_z\right) + A_x\left(\frac{d}{dx}B_z\right) \end{pmatrix}\times\vec{C} \\
&= \begin{pmatrix} \left(\left(\frac{d}{dz}B_y\right)A_z + A_y\left(\frac{d}{dy}B_y\right) + A_x\left(\frac{d}{dx}B_y\right)\right)C_z - C_y\left(A_z\left(\frac{d}{dz}B_z\right) + A_y\left(\frac{d}{dy}B_z\right) + A_x\left(\frac{d}{dx}B_z\right)\right) \\ C_x\left(A_z\left(\frac{d}{dz}B_z\right) + A_y\left(\frac{d}{dy}B_z\right) + A_x\left(\frac{d}{dx}B_z\right)\right) - \left(\left(\frac{d}{dz}B_x\right)A_z + \left(\frac{d}{dy}B_x\right)A_y + A_x\left(\frac{d}{dx}B_x\right)\right)C_z \\ C_y\left(\left(\frac{d}{dz}B_x\right)A_z + \left(\frac{d}{dy}B_x\right)A_y + A_x\left(\frac{d}{dx}B_x\right)\right) - C_x\left(\left(\frac{d}{dz}B_y\right)A_z + A_y\left(\frac{d}{dy}B_y\right) + A_x\left(\frac{d}{dx}B_y\right)\right) \end{pmatrix} \\
& \hspace{15em} (4.3.65)
\end{aligned}$$

(4.3.63) 式の右辺第二項は下記となり、微分を実行すると、

$$\begin{aligned}
& \vec{B}\times((\vec{A}\nabla)\vec{C}) \\
&= \vec{B}\times\left(\frac{d}{dz}\begin{pmatrix} C_x \\ C_y \\ C_z \end{pmatrix}\right)A_z + \left(\frac{d}{dy}\begin{pmatrix} C_x \\ C_y \\ C_z \end{pmatrix}\right)A_y + A_x\left(\frac{d}{dx}\begin{pmatrix} C_x \\ C_y \\ C_z \end{pmatrix}\right) \\
&= \vec{B}\times\begin{pmatrix} \left(\frac{d}{dz}C_x\right)A_z + \left(\frac{d}{dy}C_x\right)A_y + A_x\left(\frac{d}{dx}C_x\right) \\ \left(\frac{d}{dz}C_y\right)A_z + A_y\left(\frac{d}{dy}C_y\right) + A_x\left(\frac{d}{dx}C_y\right) \\ A_z\left(\frac{d}{dz}C_z\right) + A_y\left(\frac{d}{dy}C_z\right) + A_x\left(\frac{d}{dx}C_z\right) \end{pmatrix} \\
&= \begin{pmatrix} B_y\left(A_z\left(\frac{d}{dz}C_z\right) + A_y\left(\frac{d}{dy}C_z\right) + A_x\left(\frac{d}{dx}C_z\right)\right) - \left(\left(\frac{d}{dz}C_y\right)A_z + A_y\left(\frac{d}{dy}C_y\right) + A_x\left(\frac{d}{dx}C_y\right)\right)B_z \\ \left(\left(\frac{d}{dz}C_x\right)A_z + \left(\frac{d}{dy}C_x\right)A_y + A_x\left(\frac{d}{dx}C_x\right)\right)B_z - B_x\left(A_z\left(\frac{d}{dz}C_z\right) + A_y\left(\frac{d}{dy}C_z\right) + A_x\left(\frac{d}{dx}C_z\right)\right) \\ B_x\left(\left(\frac{d}{dz}C_y\right)A_z + A_y\left(\frac{d}{dy}C_y\right) + A_x\left(\frac{d}{dx}C_y\right)\right) - B_y\left(\left(\frac{d}{dz}C_x\right)A_z + \left(\frac{d}{dy}C_x\right)A_y + A_x\left(\frac{d}{dx}C_x\right)\right) \end{pmatrix} \\
& \hspace{15em} (4.3.66)
\end{aligned}$$

(4.3.64) 式、(4.3.65) 式、(4.3.66) 式から (4.3.63) 式が成り立つのがわかる。

## 4.4 ベクトルの積分

### 4.4.1 多重積分

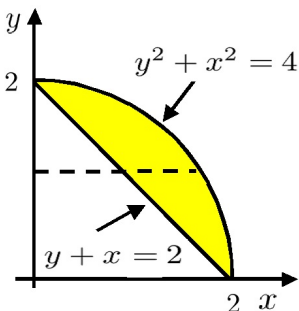
例1  $\int_0^1 \int_1^2 x - y dy dx$

```
kill(all);
I='integrate('integrate(x-y,y,1,2),x,0,1);
ev(%,integrate);
```

$$I = \int_0^1 \int_1^2 x - y dy dx = -1$$

例2  $\iint_S x dx dy$   $S: y^2 + x^2 \leq 4, y + x \geq 2$

```
kill(all);
assume(y<2);
assume(y>0);
I='integrate('integrate(x,x,2-y,
sqrt(4-y^2)),y,0,2);
ev(%,integrate);
```



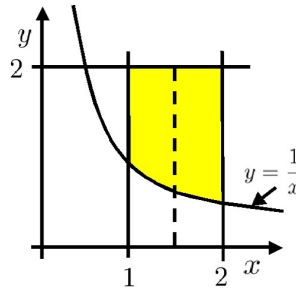
まず、積分範囲を考慮して  $y$  を一定として  $x$  で積分、そして  $y$  で積分すると、

$$I = \int_0^2 \int_{2-y}^{\sqrt{4-y^2}} x dx dy = \frac{4}{3}$$

例3  $\iint_S x(x-3y) dy dx$

$$S: 1 \leq x \leq 2, \frac{1}{x} \leq y \leq 2$$

```
kill(all);
I='integrate('integrate(x*(x-3*y),y,
1/x,2),x,1,2);
ev(%,integrate);
```



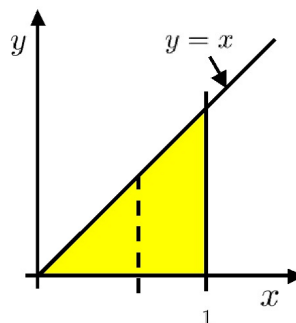
まず、積分範囲を考慮して  $x$  を一定として  $y$  で積分、そして  $x$  で積分すると、

$$I = \int_1^2 x \int_{\frac{1}{x}}^2 x - 3y dy dx = \frac{3 \log(2)}{2} - \frac{35}{6}$$

例4  $\iint_S \sqrt{4x^2 - y^2} dy dx$

$$S: 0 \leq y \leq x, 0 \leq x \leq 1$$

```
kill(all);
assume(x>0);
I='integrate('integrate(sqrt(4*x^2-y^2),
y,0,x),x,0,1);
ev(%,integrate);
```



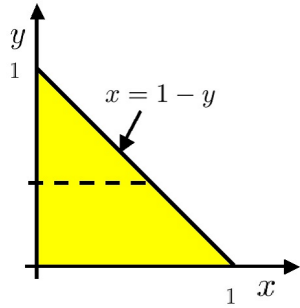
まず、積分範囲を考慮して  $x$  を一定として  $y$  で積分、そして  $x$  で積分すると、

$$I = \int_0^1 \int_0^x \sqrt{4x^2 - y^2} dy dx = \frac{2\pi + 3^{\frac{3}{2}}}{18}$$

例5  $\iint_S y^2 + x^2 dx dy$

$$S : x \geq 0, y \geq 0, x + y \leq 1$$

```
kill(all);
I='integrate('integrate(x^2+y^2,x,0,1-y),
y,0,1);
ev(%,integrate);
```



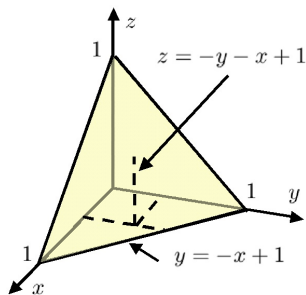
まず、積分範囲を考慮して  $y$  を一定として  $x$  で積分、そして  $y$  で積分すると、

$$I = \int_0^1 \int_0^{1-y} y^2 + x^2 dx dy = \frac{1}{6}$$

例6  $\iiint_V z + y + x dz dy dx$

$$S : x \geq 0, y \geq 0, z \geq 0, x + y + z \leq 1$$

```
kill(all);
I='integrate('integrate('integrate(x+y+z,
z,0,1-x-y),y,0,1-x),x,0,1);
ev(%,integrate);
```



まず、積分範囲を考慮して  $x, y$  を一定として  $z$  で積分、 $x$  を一定として  $y$  で積分、そして  $x$  で積分すると、

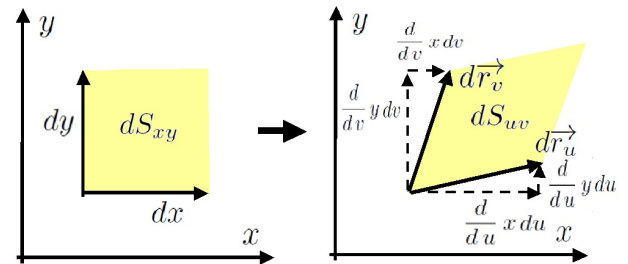
$$I = \int_0^1 \int_0^{1-x} \int_0^{-y-x+1} z + y + x dz dy dx = \frac{1}{8}$$

4.4.2 多重積分 (変数変換)

積分範囲によっては  $xyz$  の直角座標系より他の座標系を用いた方が簡素化されることがある。

二重積分の変数変換

```
kill(all);
load("vect")$
depends([x,y,z],[u,v,w]);
RU2:matrix([diff(x,u,1)],[diff(y,u,1)],[0]);
RV2:matrix([diff(x,v,1)],[diff(y,v,1)],[0]);
RUV2:col(adjoint(transpose(addcol(RU2,
RV2,matrix([1],[1],[1])))),3);
DUV21:matrix([RU2[1][1],RU2[2][1]],
[RV2[1][1],RV2[2][1]]);
DUV21:determinant(DUV21);
DUV21-RUV2[3][1];
```



$x, y$  座標を  $u, v$  で表すとすると、 $u$  曲線の接線ベクトル:  $d\vec{r}_u$ 、 $v$  曲線の接線ベクトル:  $d\vec{r}_v$  は上図から、

$$d\vec{r}_u = \begin{pmatrix} \frac{d}{du} x \\ \frac{d}{du} y \\ 0 \end{pmatrix} du, \quad d\vec{r}_v = \begin{pmatrix} \frac{d}{dv} x \\ \frac{d}{dv} y \\ 0 \end{pmatrix} dv$$

上記のベクトルの平行四辺形の面積:  $dS_{uv}$  は 79 頁から次式となる。

$$dS_{uv} = |d\vec{r}_u \times d\vec{r}_v| = \left( \left( \frac{d}{du} x \right) \left( \frac{d}{dv} y \right) - \left( \frac{d}{dv} x \right) \left( \frac{d}{du} y \right) \right) du dv \tag{4.4.1}$$

また、下記のヤコビアン (ヤコビの行列式):  $J$  からも得られる。

$$J = \begin{vmatrix} \frac{d}{du} x & \frac{d}{du} y \\ \frac{d}{dv} x & \frac{d}{dv} y \end{vmatrix} = \left( \frac{d}{du} x \right) \left( \frac{d}{dv} y \right) - \left( \frac{d}{dv} x \right) \left( \frac{d}{du} y \right) \tag{4.4.2}$$

これにより、 $dS_{xy} = dx dy \rightarrow dS_{uv}$  に置き換えることができる。

## 三重積分の変数変換

```

RU1:matrix([diff(x,u,1)],[diff(y,u,1)],[diff(z,u,1)]);
RV1:matrix([diff(x,v,1)],[diff(y,v,1)],[diff(z,v,1)]);
RW1:matrix([diff(x,w,1)],[diff(y,w,1)],[diff(z,w,1)]);
RUVW1:col(adjoint(transpose(addcol(RU1,RV1,matrix([1],[1],[1]))),3);
RUVW2:%.RW1;
DUV3:matrix(transpose(RU1)[1],transpose(RV1)[1],transpose(RW1)[1]);
DUV31:determinant(DUV3);
RUVW2-DUV31;
factor(%);

```

$x, y, z$  座標を  $u, v, w$  で表すとすると、 $u$  曲線の接線ベクトル： $d\vec{r}_u$ 、 $v$  曲線の接線ベクトル： $d\vec{r}_v$ 、 $w$  曲線の接線ベクトル： $d\vec{r}_w$  は、

$$d\vec{r}_u = \begin{pmatrix} \frac{d}{du} x \\ \frac{d}{du} y \\ \frac{d}{du} z \end{pmatrix} du \quad d\vec{r}_v = \begin{pmatrix} \frac{d}{dv} x \\ \frac{d}{dv} y \\ \frac{d}{dv} z \end{pmatrix} dv$$

$$d\vec{r}_w = \begin{pmatrix} \frac{d}{dw} x \\ \frac{d}{dw} y \\ \frac{d}{dw} z \end{pmatrix} dw$$

上記のベクトルの平行六面体の体積： $dV_{uvw}$  は 80 頁から次式となる。

$$dV_{uvw} = d\vec{r}_u \times d\vec{r}_v \cdot d\vec{r}_w$$

$$= \left( \left( \frac{d}{du} x \right) \left( \frac{d}{dv} y \right) - \left( \frac{d}{dv} x \right) \left( \frac{d}{du} y \right) \right) \left( \frac{d}{dw} z \right)$$

$$+ \left( \frac{d}{dw} x \right) \left( \left( \frac{d}{du} y \right) \left( \frac{d}{dv} z \right) - \left( \frac{d}{dv} y \right) \left( \frac{d}{du} z \right) \right)$$

$$+ \left( \frac{d}{dw} y \right) \left( \left( \frac{d}{dv} x \right) \left( \frac{d}{du} z \right) - \left( \frac{d}{du} x \right) \left( \frac{d}{dv} z \right) \right)$$

$$\times du dv dw \quad (4.4.3)$$

また、下記のヤコビアン (ヤコビの行列式)： $J$  から得られる。

$$J = \begin{vmatrix} \frac{d}{du} x & \frac{d}{du} y & \frac{d}{du} z \\ \frac{d}{dv} x & \frac{d}{dv} y & \frac{d}{dv} z \\ \frac{d}{dw} x & \frac{d}{dw} y & \frac{d}{dw} z \end{vmatrix} \quad (4.4.4)$$

これにより、 $dV_{xyz} = dx dy dz \rightarrow dV_{uvw}$  に置き換えることができる。

## 二重積分の変数変換 (極座標)

```

RU1:matrix([diff(x,u,1)],[diff(y,u,1)],[diff(z,u,1)]);
RV1:matrix([diff(x,v,1)],[diff(y,v,1)],[diff(z,v,1)]);
RW1:matrix([diff(x,w,1)],[diff(y,w,1)],[diff(z,w,1)]);
RUVW1:col(adjoint(transpose(addcol(RU1,RV1,matrix([1],[1],[1]))),3);
RUVW2:%.RW1;
DUV3:matrix(transpose(RU1)[1],transpose(RV1)[1],transpose(RW1)[1]);
DUV31:determinant(DUV3);
RUVW2-DUV31;
factor(%);

```

$xy$  座標と二次元極座標の関係は下記である。

$$\begin{pmatrix} x \\ y \\ 0 \end{pmatrix} = \begin{pmatrix} r \cos(\theta) \\ r \sin(\theta) \\ 0 \end{pmatrix}$$

上式を  $r, \theta$  で微分すると、

$$d\vec{r}_r = \begin{pmatrix} \frac{d}{dr} x \\ \frac{d}{dr} y \\ 0 \end{pmatrix} dr = \begin{pmatrix} \cos(\theta) \\ \sin(\theta) \\ 0 \end{pmatrix} dr$$

$$d\vec{r}_\theta = \begin{pmatrix} \frac{d}{d\theta} x \\ \frac{d}{d\theta} y \\ 0 \end{pmatrix} d\theta = \begin{pmatrix} -r \sin(\theta) \\ r \cos(\theta) \\ 0 \end{pmatrix} d\theta$$

(4.4.1) 式と上式から、

$$d\vec{r}_r \times d\vec{r}_\theta = \begin{pmatrix} 0 \\ 0 \\ r \sin^2(\theta) + r \cos^2(\theta) \end{pmatrix} dr d\theta$$

以上から、

$$dS_{r\theta} = r dr d\theta \quad (4.4.5)$$

また、ヤコビアン (ヤコビの行列式)： $J$  からは、

$$J = \begin{vmatrix} \cos(\theta) & \sin(\theta) \\ -r \sin(\theta) & r \cos(\theta) \end{vmatrix} = r$$

## 三重積分の変数変換 (円柱座標)

```
kill(all);
load("vect")$
depends([x,y],[r,\theta,z]);
XYZ2:matrix([x],[y],[z])=matrix([r*cos(\theta),[r*sin(\theta)],z]);
DXR1:diff(XYZ2,r,1);
DXT1:diff(XYZ2,\theta,1);
DZ1:diff(XYZ2,z,1);
col(adjoint(transpose(addcol(rhs(DXR1),rhs(DXT1),matrix([1],[1],[1])))),3);
%.rhs(DZ1);
trigsimp(%);
matrix([rhs(DXR1)[1][1],rhs(DXR1)[2][1],rhs(DXR1)[3][1]],[rhs(DXT1)[1][1],rhs(DXT1)[2][1],rhs(DXT1)[3][1]],[rhs(DZ1)[1][1],rhs(DZ1)[2][1],rhs(DZ1)[3][1]]);
determinant(%);
trigsimp(%);
```

$xyz$  座標と円柱座標の関係は下記である。

$$\begin{pmatrix} x \\ y \\ z \end{pmatrix} = \begin{pmatrix} r \cos(\theta) \\ r \sin(\theta) \\ z \end{pmatrix}$$

上式を  $r$ 、 $\theta$ 、 $z$  で微分すると、

$$\begin{aligned} d\vec{r}_r &= \begin{pmatrix} \frac{d}{dr} x \\ \frac{d}{dr} y \\ \frac{d}{dr} z \end{pmatrix} dr = \begin{pmatrix} \cos(\theta) \\ \sin(\theta) \\ 0 \end{pmatrix} dr \\ d\vec{r}_\theta &= \begin{pmatrix} \frac{d}{d\theta} x \\ \frac{d}{d\theta} y \\ \frac{d}{d\theta} z \end{pmatrix} d\theta = \begin{pmatrix} -r \sin(\theta) \\ r \cos(\theta) \\ 0 \end{pmatrix} d\theta \\ d\vec{r}_z &= \begin{pmatrix} \frac{d}{dz} x \\ \frac{d}{dz} y \\ \frac{d}{dz} z \end{pmatrix} dz = \begin{pmatrix} 0 \\ 0 \\ 1 \end{pmatrix} dz \end{aligned}$$

(4.4.3) 式に上式を代入し、

$$d\vec{r}_r \times d\vec{r}_\theta \cdot \vec{r}_z = r dr d\theta dz$$

以上から、

$$dS_{r\theta z} = r dr d\theta dz \quad (4.4.6)$$

また、ヤコビアン (ヤコビの行列式) :  $J$  からは、

$$J = \begin{vmatrix} \cos(\theta) & \sin(\theta) & 0 \\ -r \sin(\theta) & r \cos(\theta) & 0 \\ 0 & 0 & 1 \end{vmatrix} = r$$

## 三重積分の変数変換 (極座標)

```
kill(all);
load("vect")$
depends([x,y,z],[r,\theta,\psi]);
XYZ2:matrix([x],[y],[z])=matrix([r*sin(\theta)*cos(\psi),[r*sin(\theta)*sin(\psi)],r*cos(\theta)]);
DXR1:diff(XYZ2,r,1);
DXT1:diff(XYZ2,\theta,1);
DXP1:diff(XYZ2,\psi,1);
col(adjoint(transpose(addcol(rhs(DXR1),rhs(DXT1),matrix([1],[1],[1])))),3);
%.rhs(DXP1);
trigsimp(%);
matrix([rhs(DXR1)[1][1],rhs(DXR1)[2][1],rhs(DXR1)[3][1]],[rhs(DXT1)[1][1],rhs(DXT1)[2][1],rhs(DXT1)[3][1]],[rhs(DXP1)[1][1],rhs(DXP1)[2][1],rhs(DXP1)[3][1]]);
determinant(%);
trigsimp(%);
```

$xyz$  座標と三次元極座標の関係は下記である。

$$\begin{pmatrix} x \\ y \\ z \end{pmatrix} = \begin{pmatrix} \cos(\psi) r \sin(\theta) \\ \sin(\psi) r \sin(\theta) \\ r \cos(\theta) \end{pmatrix}$$

上式を  $r$ 、 $\theta$ 、 $\psi$  で微分すると、

$$\begin{aligned} d\vec{r}_r &= \begin{pmatrix} \frac{d}{dr} x \\ \frac{d}{dr} y \\ \frac{d}{dr} z \end{pmatrix} dr = \begin{pmatrix} \cos(\psi) \sin(\theta) \\ \sin(\psi) \sin(\theta) \\ \cos(\theta) \end{pmatrix} dr \\ d\vec{r}_\theta &= \begin{pmatrix} \frac{d}{d\theta} x \\ \frac{d}{d\theta} y \\ \frac{d}{d\theta} z \end{pmatrix} d\theta = \begin{pmatrix} \cos(\psi) r \cos(\theta) \\ \sin(\psi) r \cos(\theta) \\ -r \sin(\theta) \end{pmatrix} d\theta \\ d\vec{r}_\psi &= \begin{pmatrix} \frac{d}{d\psi} x \\ \frac{d}{d\psi} y \\ \frac{d}{d\psi} z \end{pmatrix} d\psi = \begin{pmatrix} -\sin(\psi) r \sin(\theta) \\ \cos(\psi) r \sin(\theta) \\ 0 \end{pmatrix} d\psi \end{aligned}$$

(4.4.3) 式に上式を代入し、

$$d\vec{r}_r \times d\vec{r}_\theta \cdot \vec{r}_\psi = dS_{r\theta\psi} = r^2 \sin(\theta) dr d\theta dz \quad (4.4.7)$$

また、ヤコビアン (ヤコビの行列式) :  $J$  からは、

$$\begin{aligned} J &= \begin{vmatrix} \cos(\psi) \sin(\theta) & \sin(\psi) \sin(\theta) & \cos(\theta) \\ \cos(\psi) r \cos(\theta) & \sin(\psi) r \cos(\theta) & -r \sin(\theta) \\ -\sin(\psi) r \sin(\theta) & \cos(\psi) r \sin(\theta) & 0 \end{vmatrix} \\ &= r^2 \sin(\theta) \end{aligned}$$

例1 円板の面積： $\iint_S dx dy$   $S: x^2 + y^2 \leq R^2$

```
kill(all);
DI1:1;
I1:'integrate('integrate(DI1,x),y);
I='integrate('integrate(DI1*r,r,0,R),
\theta,0,2*pi);
ev(%,integrate);
```

積分範囲が半径： $R$ の円内であるから、二次元極座標の変数変換を行って、

$$\iint_S dx dy = \int_0^R \int_0^{2\pi} r d\theta dr = 2\pi \int_0^R r dr = \pi R^2$$

例2 円板の慣性モーメント： $\iint_S x^2 + y^2 dx dy$

$$S: x^2 + y^2 \leq R^2$$

```
kill(all);
DI1:x^2+y^2;
I1:'integrate('integrate(DI1,x),y);
X1:x=r*cos(\theta);
Y1:y=r*sin(\theta);
subst([X1,Y1],DI1);
DI2:trigsimp(%);
I='integrate('integrate(DI2*r,r,0,R),
\theta,0,2*pi);
ev(%,integrate);
```

積分範囲が半径： $R$ の円内であるから、二次元極座標の下記の変数変換を行って、

$$x = r \cos(\theta), \quad y = r \sin(\theta)$$

被積分関数に上式を代入し、

$$y^2 + x^2 \rightarrow r^2 \sin^2(\theta) + r^2 \cos^2(\theta) = r^2$$

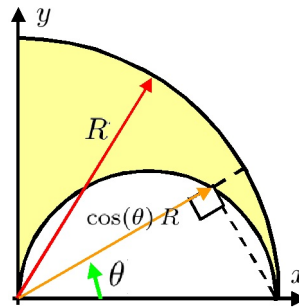
積分は、

$$\begin{aligned} \iint_S y^2 + x^2 dx dy &= \int_0^R \int_0^{2\pi} r^2 r d\theta dr \\ &= 2\pi \int_0^R r^3 dr = \frac{\pi R^4}{2} \end{aligned}$$

例3  $\iint_S \sqrt{y^2 + x^2} dx dy$

$$S: x, y \geq 0, x^2 + y^2 \leq R^2, x^2 + y^2 \geq Rx$$

```
kill(all);
assume(r>0);
DI1:sqrt(x^2+y^2);
I1:'integrate('integrate(DI1,x),y);
X1:x=r*cos(\theta);
Y1:y=r*sin(\theta);
subst([X1,Y1],DI1);
DI2:trigsimp(%);
I='integrate('integrate(DI2*r,r,R*cos(\theta),R),
\theta,0,%pi/2);
ev(%,integrate);
```



$x^2 + y^2 \leq R^2$  は原点に中心を持つ半径： $R$ 内の範囲を示しており、

$$y^2 + x^2 \geq xR \rightarrow \left(x - \frac{R}{2}\right)^2 + y^2 \geq \frac{R^2}{4}$$

から、 $x$ 軸上の  $x = \frac{1}{2}R$  に中心を持つ半径： $\frac{R}{2}$  外の範囲を示している。

上図の積分範囲で二次元極座標の下記の変数変換を行って、

$$x = r \cos(\theta), \quad y = r \sin(\theta)$$

被積分関数に上式を代入し、

$$\sqrt{y^2 + x^2} \rightarrow \sqrt{r^2 \sin^2(\theta) + r^2 \cos^2(\theta)} = r$$

積分は、

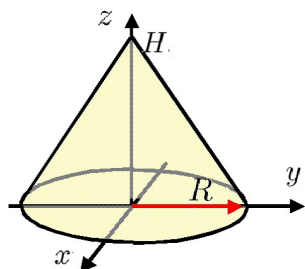
$$\begin{aligned} \iint_S \sqrt{y^2 + x^2} dx dy &= \int_0^{\pi/2} \int_{\cos(\theta)R}^R r \cdot r dr d\theta \\ &= \frac{(3\pi - 4) R^3}{18} \end{aligned}$$



例 4 円錐の体積： $\iiint_V dx dy dz$

$$V: 0 \leq z \leq H, x^2 + y^2 \leq \left(-\frac{R}{H}z + R\right)^2$$

```
kill(all);
assume(r>0);
DI1:1;
I1:'integrate('integrate('integrate(
  DI1,x),y),z);
X1:x=r*cos(\theta);
Y1:y=r*sin(\theta);
subst([X1,Y1],DI1);
DI2:trigsimp(%);
I='integrate('integrate('integrate(DI2*r,
  z,0,-H/R*r+H),r,0,R),\theta,0,2*pi);
ev(%,integrate);
```



上図の積分範囲で三次元円柱座標の下記の変数変換を行って、

$$x = r \cos(\theta), \quad y = r \sin(\theta) \quad z = z$$

積分は、(4.4.6) 式から、

$$\begin{aligned} \iiint_V dx dy dz &= \int_0^{2\pi} \int_0^R \int_0^{-\frac{H}{R}r+H} r dz dr d\theta \\ &= \frac{\pi H R^2}{3} \end{aligned}$$

例 5 円錐の慣性モーメント： $\iiint_V x^2 + y^2 dx dy dz$

$$V: 0 \leq z \leq H, x^2 + y^2 \leq \left(-\frac{R}{H}z + R\right)^2$$

```
kill(all);
assume(r>0);
DI1:x^2+y^2;
I1:'integrate('integrate('integrate(DI1,
  x),y),z);
X1:x=r*cos(\theta);
Y1:y=r*sin(\theta);
subst([X1,Y1],DI1);
DI2:trigsimp(%);
I='integrate('integrate('integrate(DI2*r,
  z,0,-H/R*r+H),r,0,R),\theta,0,2*pi);
ev(%,integrate);
```

前例と同じ積分範囲で三次元円柱座標の下記の変数変換を行って、

$$x = r \cos(\theta), \quad y = r \sin(\theta) \quad z = z$$

被積分関数に上式を代入し、

$$y^2 + x^2 \rightarrow r^2 \sin^2(\theta) + r^2 \cos^2(\theta) = r^2$$

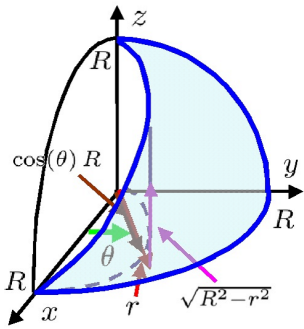
上式から積分は (4.4.6) 式から、

$$\begin{aligned} \iiint_V x^2 + y^2 dx dy dz &= \int_0^{2\pi} \int_0^R \int_0^{-\frac{H}{R}r+H} r^2 \cdot r dz dr d\theta = \frac{\pi H R^4}{10} \end{aligned}$$

例6  $\iiint_V z dx dy dz$

$$V : z \leq 0, x^2 + y^2 + z^2 \leq R^2, x^2 + y^2 \geq Rx$$

```
kill(all);
assume(r>0);
assume(R^2-r^2>0);
DI1:z;
I1:'integrate('integrate('integrate(DI1,
x),y),z);
X1:x*r*cos(\theta);
Y1:y*r*sin(\theta);
subst([X1,Y1],DI1);
DI2:trigsimp(%);
I='integrate('integrate('integrate(DI2*r,
z,0,sqrt(R^2-r^2)),r,0,R*cos(\theta)),
\theta,0,%pi/2);
ev(%,integrate);
```



$x^2 + y^2 + z^2 \leq R^2$  は原点に中心を持つ半径:  $R$  の球面の内部を示している。また、 $x^2 + y^2 \geq Rx$  は、

$$y^2 + x^2 \geq xR \rightarrow \left(x - \frac{R}{2}\right)^2 + y^2 \geq \frac{R^2}{4}$$

から、 $x$  軸上の  $x = \frac{1}{2}R$  に中心を持つ半径:  $\frac{R}{2}$  の半円柱の外の範囲を示している。

上図の積分範囲で三次元円柱座標の下記の変数変換を行って、

$$x = r \cos(\theta), \quad y = r \sin(\theta) \quad z = z$$

積分は、(4.4.6) 式から、

$$\begin{aligned} \iiint_V z dx dy dz &= \int_0^{\frac{\pi}{2}} \int_0^{\cos(\theta)R} r \int_0^{\sqrt{R^2-r^2}} z dz dr d\theta \\ &= \frac{5\pi R^4}{128} \end{aligned}$$

例7 球の体積:  $\iiint_V dx dy dz$

$$V : x^2 + y^2 + z^2 \leq R^2$$

```
kill(all);
assume(r>0);
DI1:1;
I1:'integrate('integrate('integrate(DI1,
x),y),z);
X1:x*r*sin(\theta)*cos(\psi);
Y1:y*r*sin(\theta)*sin(\psi);
Z1:z*r*cos(\theta);
subst([X1,Y1,Z1],DI1);
DI2:trigsimp(%);
I='integrate('integrate('integrate(DI2*r^2*sin(\theta),r,0,R),\theta,0,%pi),
\psi,0,2*%pi);
ev(%,integrate);
```

$x^2 + y^2 + z^2 \leq R^2$  は原点に中心を持つ半径:  $R$  の球面の内部を示している。この積分範囲で三次元円柱座標の下記の変数変換を行って、

$$\begin{aligned} x &= \cos(\psi) r \sin(\theta), \quad y = \sin(\psi) r \sin(\theta), \\ z &= r \cos(\theta) \end{aligned}$$

積分は、(4.4.7) 式から、

$$\begin{aligned} \iiint_V dx dy dz &= \int_0^{2\pi} \int_0^{\pi} \int_0^R r^2 \sin(\theta) dr d\theta d\psi \\ &= 2\pi \int_0^R r^2 dr \int_0^{\pi} \sin(\theta) d\theta = \frac{4\pi R^3}{3} \end{aligned}$$

例 8 球の慣性モーメント:  $\iiint_V x^2 + y^2 dx dy dz$

$$V: x^2 + y^2 + z^2 \leq R^2$$

```
kill(all);
assume(r>0);
DI1:x^2+y^2;
I1:'integrate('integrate('integrate(DI1,
x),y),z);
X1:x=r*sin(\theta)*cos(\psi);
Y1:y=r*sin(\theta)*sin(\psi);
Z1:z=r*cos(\theta);
subst([X1,Y1,Z1],DI1);
DI2:trigsimp(%);
I='integrate('integrate('integrate(DI2*
r^2*sin(\theta),r,0,R),\theta,0,%pi),
\psi,0,2*%pi);
ev(%integrate);
```

$x^2 + y^2 + z^2 \leq R^2$  は原点に中心を持つ半径:  $R$  の球面の内部を示している。この積分範囲で三次元円柱座標の下記の変数変換を行って、

$$x = \cos(\psi) r \sin(\theta), \quad y = \sin(\psi) r \sin(\theta),$$

$$z = r \cos(\theta)$$

被積分関数に上式を代入し、

$$y^2 + x^2$$

$$= \sin^2(\psi) r^2 \sin^2(\theta) + \cos^2(\psi) r^2 \sin^2(\theta)^2$$

$$= r^2 \sin^2(\theta)^2$$

積分は、(4.4.7) 式から、

$$\iiint_V x^2 + y^2 dx dy dz$$

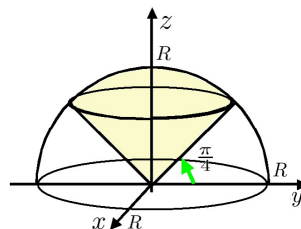
$$= \int_0^{2\pi} \int_0^\pi \int_0^R r^2 \sin^2(\theta)^2 \cdot r^2 \sin(\theta) dr d\theta d\psi$$

$$= 2\pi \int_0^R r^4 dr \int_0^\pi \sin^3(\theta) d\theta = \frac{8\pi R^5}{15}$$

例 9  $\iiint_V z dx dy dz$

$$V: z \geq 0, x^2 + y^2 \leq z^2, x^2 + y^2 + z^2 \leq R^2$$

```
kill(all);
assume(r>0);
DI1:z;
I1:'integrate('integrate('integrate(DI1,
x),y),z);
X1:x=r*sin(\theta)*cos(\psi);
Y1:y=r*sin(\theta)*sin(\psi);
Z1:z=r*cos(\theta);
subst([X1,Y1,Z1],DI1);
DI2:trigsimp(%);
I='integrate('integrate('integrate(DI2*
r^2*sin(\theta),r,0,R),\theta,0,%pi/4),
\psi,0,2*%pi);
ev(%integrate);
```



$x^2 + y^2 + z^2 \leq R^2$  は原点に中心を持つ半径:  $R$  の球面の内部を示している。 $x^2 + y^2 \leq z^2$  は原点に頂点を持つ円錐の内部を示している。この積分範囲で三次元円柱座標の下記の変数変換を行って、

$$x = \cos(\psi) r \sin(\theta), \quad y = \sin(\psi) r \sin(\theta),$$

$$z = r \cos(\theta)$$

被積分関数に上式を代入し、積分は (4.4.7) 式から、

$$\iiint_V z dx dy dz$$

$$= \int_0^{2\pi} \int_0^\pi \int_0^R r \cos(\theta) \cdot r^2 \sin(\theta) dr d\theta d\psi$$

$$= 2\pi \int_0^R r^3 dr \int_0^{\pi/4} \cos(\theta) \sin(\theta) d\theta = \frac{\pi R^4}{8}$$

例 10 楕円の体積:  $\iiint_V dx dy dz$

$$V: \frac{z^2}{C^2} + \frac{y^2}{B^2} + \frac{x^2}{A^2} \leq 1$$

```
kill(all);
load("vect")$
depends([x,y,z],[u,v,w]);
XYZ1:x^2/A^2+y^2/B^2+z^2/C^2=1;
X2:x=A*u;
Y2:y=B*v;
Z2:z=C*w;
subst([X2,Y2,Z2],XYZ1);
J1:J=matrix(['diff(x,u,1)','diff(y,u,1),
'diff(z,u,1)],['diff(x,v,1)','diff(y,v,1),
'diff(z,v,1)],['diff(x,w,1)','diff(y,w,1),
'diff(z,w,1)]);
subst([X2,Y2,Z2],J1);
ev(%,diff);
J2:J=determinant(rhs(%));
DI1:1;
DI11:subst([X2,Y2,Z2],DI1);
I1:I='integrate('integrate('integrate(
DI11,x),y),z);
DI2:subst([X2,Y2,Z2],DI1)*A*B*C;
I2:I='integrate('integrate('integrate(
DI2,u),v),w);
U1:u=r*sin(\theta)*cos(\psi);
V1:v=r*sin(\theta)*sin(\psi);
W1:w=r*cos(\theta);
subst([U1,V1,W1],DI2);
DI2:trigsimp(%);
I='integrate('integrate('integrate(DI2*
r^2*sin(\theta),r,0,1),\theta,0,%pi),
\psi,0,2*%pi);
ev(%,integrate);
```

上記は楕円の積分範囲で下記の変数変換を行って、

$$x = uA, \quad y = vB, \quad z = wC$$

下記の半径: 1 の球の積分範囲となる。

$$w^2 + v^2 + u^2 \leq 1$$

(4.4.4) 式から、

$$\begin{aligned} J &= \begin{vmatrix} \frac{d}{du} x & \frac{d}{du} y & \frac{d}{du} z \\ \frac{d}{dv} x & \frac{d}{dv} y & \frac{d}{dv} z \\ \frac{d}{dw} x & \frac{d}{dw} y & \frac{d}{dw} z \end{vmatrix} \\ &= \begin{vmatrix} \frac{d}{du} (uA) & \frac{d}{du} (vB) & \frac{d}{du} (wC) \\ \frac{d}{dv} (uA) & \frac{d}{dv} (vB) & \frac{d}{dv} (wC) \\ \frac{d}{dw} (uA) & \frac{d}{dw} (vB) & \frac{d}{dw} (wC) \end{vmatrix} \\ &= \begin{vmatrix} A & 0 & 0 \\ 0 & B & 0 \\ 0 & 0 & C \end{vmatrix} = ABC \end{aligned}$$

以上から、 $dS_{xyz} = ABC dS_{uvw}$  となり積分は、

$$\iiint_V dx dy dz = ABC \iiint_V du dv dw$$

さらに三次元極座標の下記の変換を行って、

$$u = \cos(\psi) r \sin(\theta), \quad v = \sin(\psi) r \sin(\theta)$$

$$w = r \cos(\theta)$$

積分は (4.4.7) 式から、

$$\begin{aligned} \iiint_V dx dy dz &= ABC \iiint_V du dv dw \\ &= ABC \int_0^{2\pi} \int_0^\pi \int_0^1 r^2 \sin(\theta) dr d\theta d\psi \\ &= \frac{4\pi ABC}{3} \end{aligned}$$

例 11 楕円の慣性モーメント：

$$\iiint_V x^2 + y^2 dx dy dz \quad V : \frac{z^2}{C^2} + \frac{y^2}{B^2} + \frac{x^2}{A^2} \leq 1$$

```
kill(all);
XYZ1:x^2/A^2+y^2/B^2+z^2/C^2=1;
X2:x=A*u;
Y2:y=B*v;
Z2:z=C*w;
subst([X2,Y2,Z2],XYZ1);
J1:J=matrix(['diff(x,u,1)','diff(y,u,1)',
'diff(z,u,1)],['diff(x,v,1)','diff(y,v,1)',
'diff(z,v,1)],['diff(x,w,1)','diff(y,w,1)',
'diff(z,w,1)]);
subst([X2,Y2,Z2],J1);
ev(%,diff);
J2:J=determinant(rhs(%));
DI1:x^2+y^2;
DI11:subst([X2,Y2,Z2],DI1);
I1:I='integrate('integrate('integrate(
DI11,x),y),z);
DI2:subst([X2,Y2,Z2],DI1)*A*B*C;
I2:I='integrate('integrate('integrate(
DI2,u),v),w);
U1:u=r*sin(\theta)*cos(\psi);
V1:v=r*sin(\theta)*sin(\psi);
W1:w=r*cos(\theta);
subst([U1,V1,W1],DI2);
DI2:factor(%);
I='integrate('integrate('integrate(DI2*
r^2*sin(\theta),r,0,1),\theta,0,%pi),
\psi,0,2*pi);
ev(%,integrate);
factor(%);
```

上記は楕円の積分範囲で下記の変数変換を行って、

$$x = uA, \quad y = vB, \quad z = wC$$

下記の半径：1の球の積分範囲となる。

$$w^2 + v^2 + u^2 \leq 1$$

(4.4.4) 式から、

$$\begin{aligned} J &= \begin{vmatrix} \frac{d}{du} x & \frac{d}{du} y & \frac{d}{du} z \\ \frac{d}{dv} x & \frac{d}{dv} y & \frac{d}{dv} z \\ \frac{d}{dw} x & \frac{d}{dw} y & \frac{d}{dw} z \end{vmatrix} \\ &= \begin{vmatrix} \frac{d}{du} (uA) & \frac{d}{du} (vB) & \frac{d}{du} (wC) \\ \frac{d}{dv} (uA) & \frac{d}{dv} (vB) & \frac{d}{dv} (wC) \\ \frac{d}{dw} (uA) & \frac{d}{dw} (vB) & \frac{d}{dw} (wC) \end{vmatrix} \\ &= \begin{vmatrix} A & 0 & 0 \\ 0 & B & 0 \\ 0 & 0 & C \end{vmatrix} = ABC \end{aligned}$$

以上から、 $dS_{xyz} = ABC dS_{uvw}$  となり、

$$y^2 + x^2 \rightarrow AB (v^2 B^2 + u^2 A^2) C$$

積分は、

$$\begin{aligned} &\iiint_V y^2 + x^2 dx dy dz \\ &= ABC \iiint_V v^2 B^2 + u^2 A^2 du dv dw \end{aligned}$$

さらに三次元極座標の下記の変換を行って、

$$u = \cos(\psi) r \sin(\theta), \quad v = \sin(\psi) r \sin(\theta)$$

$$w = r \cos(\theta)$$

被積分関数に上式を代入し、

$$\begin{aligned} &AB (v^2 B^2 + u^2 A^2) C \\ &= r^2 \sin^2(\theta)^2 AB (\sin^2(\psi)^2 B^2 + \cos^2(\psi)^2 A^2) C \end{aligned}$$

積分は、上式と (4.4.7) 式から、

$$\begin{aligned} &\iiint_V x^2 + y^2 dx dy dz \\ &= \iiint_V AB (v^2 B^2 + u^2 A^2) C dudv dw \\ &= \int_0^{2\pi} \int_0^\pi \int_0^1 r^2 \sin^2(\theta)^2 AB \\ &\quad \times (\sin^2(\psi)^2 B^2 + \cos^2(\psi)^2 A^2) C \\ &\quad \cdot r^2 \sin(\theta) dr d\theta d\psi \\ &= \int_0^1 r^4 dr \int_0^\pi \sin^3(\theta) d\theta AB \\ &\quad \times \int_0^{2\pi} \sin^2(\psi)^2 B^2 + \cos^2(\psi)^2 A^2 d\psi \\ &= \frac{4\pi AB (B^2 + A^2) C}{15} \end{aligned}$$

## 4.4.3 スカラー場の線積分

線積分は関数:  $F(x(s), y(s), z(s))$  内の2点  $A, B$  を結ぶ曲線:  $C$  に沿って積分する。

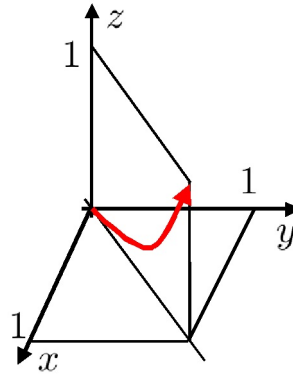
$$\int_C F(x(s), y(s), z(s)) ds \quad (4.4.8)$$

いま、 $C$  を  $x = f(t), y = g(t), z = h(t)$  で表すと  $\frac{d}{dt} s = \sqrt{\left(\frac{d}{dt} f(t)\right)^2 + \left(\frac{d}{dt} g(t)\right)^2 + \left(\frac{d}{dt} h(t)\right)^2}$  であるから、

$$\begin{aligned} & \int_C F(x(s), y(s), z(s)) ds \\ &= \int_C F(f(t), g(t), h(t)) \\ & \quad \times \sqrt{\left(\frac{d}{dt} f(t)\right)^2 + \left(\frac{d}{dt} g(t)\right)^2 + \left(\frac{d}{dt} h(t)\right)^2} dt \end{aligned} \quad (4.4.9)$$

例1  $F(x, y, z) = 2yz + x$   $C: (t, t, t^2), 0 \leq t \leq 1$

```
kill(all);
F1:F(x,y,z)=x+2*y*z;
C1:x=t;
C2:y=t;
C3:z=t^2;
DS1:ds=sqrt(diff(rhs(C1),t,1)^2+diff(
  rhs(C2),t,1)^2+diff(rhs(C3),t,1)^2)*dt;
FT1:subst([C1,C2,C3],rhs(F1));
I='integrate(FT1*rhs(DS1)/dt,t,0,1);
ev(%,integrate);
```



下記の線積分を求めよ。

$$I = \int_C F(x, y, z) = \int_C 2yz + x ds$$

ここで、積分経路:  $C$  として、

$$x = t, y = t, z = t^2 \quad \text{積分範囲: } 0 \leq t \leq 1$$

(4.4.9) 式から、

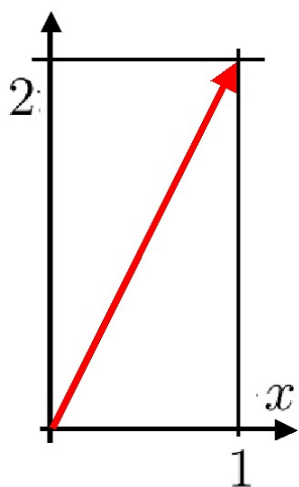
$$ds = dt \sqrt{4t^2 + 2}$$

被積分関数に積分経路の式を代入し、上式から、

$$I = \int_0^1 \sqrt{4t^2 + 2} (2t^3 + t) dt = \frac{9\sqrt{6}}{10} - \frac{1}{5\sqrt{2}}$$

例2  $F(x, y) = -xy$   $C: (t, 2t, 0), 0 \leq t \leq 1$

```
kill(all);
F1:F(x,y)=-x*y;
C1:x=t;
C2:y=2*t;
C3:z=0;
DS1:ds=sqrt(diff(rhs(C1),t,1)^2+diff(
  rhs(C2),t,1)^2+diff(rhs(C3),t,1)^2)*dt;
FT1:subst([C1,C2,C3],rhs(F1));
I='integrate(FT1*rhs(DS1)/dt,t,0,1);
ev(%,integrate);
```



下記の線積分を求めよ。

$$I = \int_C F(x, y) = \int_C -xy \, ds$$

ここで、積分経路:  $C$  として、

$$x = t, y = 2t, z = 0 \quad \text{積分範囲: } 0 \leq t \leq 1$$

(4.4.9) 式から、

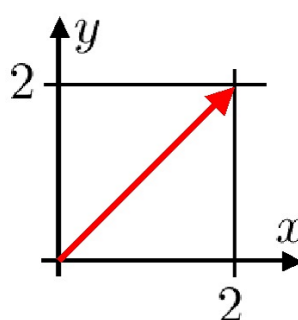
$$ds = \sqrt{5} \, dt$$

被積分関数に積分経路の式を代入し、上式から、

$$I = -2\sqrt{5} \int_0^1 t^2 \, dt = -\frac{2\sqrt{5}}{3}$$

例3  $F(x, y) = x^2 y$   $C: (t, 2-t, 0), 0 \leq t \leq 2$

```
kill(all);
F1:F(x,y)=x^2*y;
C1:x=t;
C2:y=2-t;
C3:z=0;
DS1:ds=sqrt(diff(rhs(C1),t,1)^2+diff(
  rhs(C2),t,1)^2+diff(rhs(C3),t,1)^2)*dt;
FT1:subst([C1,C2,C3],rhs(F1));
I='integrate(FT1*rhs(DS1)/dt,t,0,2);
ev(%,integrate);
```



下記の線積分を求めよ。

$$I = \int_C F(x, y) = \int_C x^2 y \, ds$$

ここで、積分経路:  $C$  として、

$$x = t, y = 2-t, z = 0 \quad \text{積分範囲: } 0 \leq t \leq 2$$

(4.4.9) 式から、

$$ds = \sqrt{2} \, dt$$

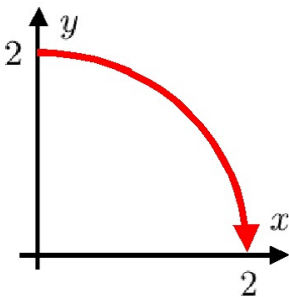
被積分関数に積分経路の式を代入し、上式から、

$$I = \sqrt{2} \int_0^2 (2-t) t^2 \, dt = \frac{2\sqrt{2}}{3}$$

例4  $F(x, y) = x^2 y$

$$C : (2 \sin(t), 2 \cos(t), 0), 0 \leq t \leq \frac{\pi}{2}$$

```
kill(all);
F1:F(x,y)=x^2*y;
C1:x=2*sin(t);
C2:y=2*cos(t);
C3:z=0;
DS1:ds=sqrt(diff(rhs(C1),t,1)^2+diff(
  rhs(C2),t,1)^2+diff(rhs(C3),t,1)^2)*dt;
FT1:subst([C1,C2,C3],rhs(F1));
I='integrate(FT1*rhs(DS1)/dt,t,0,%pi/2);
ev(%,integrate);
```



下記の線積分を求めよ。

$$I = \int_C F(x, y) = \int_C x^2 y \, ds$$

ここで、積分経路： $C$ として、

$$x = 2 \sin(t), y = 2 \cos(t), z = 0 \quad \text{積分範囲：} 0 \leq t \leq \frac{\pi}{2}$$

(4.4.9) 式から、

$$ds = dt \sqrt{4 \sin^2(t) + 4 \cos^2(t)}$$

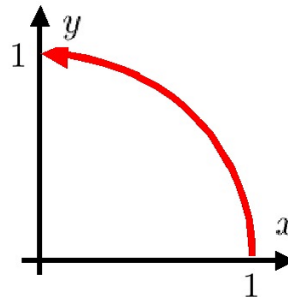
被積分関数に積分経路の式を代入し、上式から、

$$I = 8 \int_0^{\frac{\pi}{2}} \cos(t) \sin(t)^2 \sqrt{4 \sin^2(t) + 4 \cos^2(t)} \, dt \\ = \frac{16}{3}$$

例5  $F(x, y) = x y^3$

$$C : (\cos(t), \sin(t), 0), 0 \leq t \leq \frac{\pi}{2}$$

```
kill(all);
F1:F(x,y)=x*y^3;
C1:x=cos(t);
C2:y=sin(t);
C3:z=0;
DS1:ds=sqrt(diff(rhs(C1),t,1)^2+diff(
  rhs(C2),t,1)^2+diff(rhs(C3),t,1)^2)*dt;
FT1:subst([C1,C2,C3],rhs(F1));
I='integrate(FT1*rhs(DS1)/dt,t,0,%pi/2);
ev(%,integrate);
```



下記の線積分を求めよ。

$$I = \int_C F(x, y) = \int_C x y^3 \, ds$$

ここで、積分経路： $C$ として、

$$x = \cos(t), y = \sin(t), z = 0 \quad \text{積分範囲：} 0 \leq t \leq \frac{\pi}{2}$$

(4.4.9) 式から、

$$ds = dt \sqrt{\sin^2(t) + \cos^2(t)}$$

被積分関数に積分経路の式を代入し、上式から、

$$I = \int_0^{\frac{\pi}{2}} \cos(t) \sin(t)^3 \sqrt{\sin^2(t) + \cos^2(t)} \, dt = \frac{1}{4}$$



## 4.4.4 ベクトル場の線積分

ベクトル場： $\vec{F}$  内の 2 点  $A, B$  を結ぶ  $\vec{r}$  の曲線： $C$  に沿って積分する。

$$\int_C \vec{F} \cdot d\vec{r} \quad (4.4.10)$$

$\vec{F} = F_x \vec{i} + F_y \vec{j} + F_z \vec{k}$ ,  $\vec{r} = x \vec{i} + y \vec{j} + z \vec{k}$  とすると、

$$\int_C \vec{F} \cdot d\vec{r} = \int_C F_x dx + F_y dy + F_z dz \quad (4.4.11)$$

いま、 $C$  を  $x = f(t)$ ,  $y = g(t)$ ,  $z = h(t)$  で表すと上式は、

$$\begin{aligned} & \int_C F_x(x, y, z) dx + F_y(x, y, z) dy + F_z(x, y, z) dz \\ &= \int_C F_x(f(t), g(t), h(t)) \frac{d}{dx} f(t) \\ & \quad + F_y(f(t), g(t), h(t)) \frac{d}{dy} g(t) \\ & \quad + F_z(f(t), g(t), h(t)) \frac{d}{dz} h(t) dt \end{aligned} \quad (4.4.12)$$

線積分結果が積分経路に依存しない条件 1

$$\nabla \times \vec{F} = \text{curl} \vec{F} = 0 \quad (4.4.13)$$

閉経路： $C_O$  とすると、ストークスの定理：(4.4.59) 式 155 頁から、

$$\int_{C_O} \vec{F} \cdot d\vec{r} = \iint_S (\nabla \times \vec{F}) \cdot \vec{n} dS$$

いま、 $\nabla \times \vec{F} = \text{curl} \vec{F} = 0$  とすると、上式は零となり、

$$\int_{C_O} \vec{F} \cdot d\vec{r} = 0 \quad (4.4.14)$$

二点間： $(B \rightarrow A)$  の積分経路として二つの  $C_1, C_2$  を考える。積分経路： $C_1$  による線積分：(4.4.10) 式は次式となり、 $C_1 - C_2 = C_O$  は閉経路となるため、(4.4.14) 式から零となり、下記のように書き換えることができ、線積分結果が積分経路によらない。

$$\begin{aligned} \int_{C_1} \vec{E} \cdot d\vec{r} &= \int_{C_1 - C_2} \vec{E} \cdot d\vec{r} + \int_{C_2} \vec{E} \cdot d\vec{r} \\ &= 0 + \int_{C_2} \vec{E} \cdot d\vec{r} = \int_{C_2} \vec{E} \cdot d\vec{r} \end{aligned}$$

線積分結果が積分経路に依存しない条件 2

$\vec{F} = \text{grad} G(x, y, z)$  で表される場合

$\vec{F} = \text{grad} G(x, y, z)$  で表され、 $\frac{d}{dt} \vec{r}$  は、

$$\vec{F} = \begin{pmatrix} \frac{d}{dx} G \\ \frac{d}{dy} G \\ \frac{d}{dz} G \end{pmatrix}, \quad \frac{d}{dt} \vec{r} = \begin{pmatrix} \frac{d}{dt} x(t) \\ \frac{d}{dt} y(t) \\ \frac{d}{dt} z(t) \end{pmatrix}$$

上式から、(4.4.10) 式は、

$$\begin{aligned} \int_C \vec{F} \cdot d\vec{r} &= \int_C \text{grad} G \cdot \frac{d}{dt} \vec{r} dt \\ &= \int_C \left( \frac{d}{dt} z(t) \right) \left( \frac{d}{dz} G \right) + \left( \frac{d}{dt} y(t) \right) \left( \frac{d}{dy} G \right) \\ & \quad + \left( \frac{d}{dt} x(t) \right) \left( \frac{d}{dx} G \right) dt \end{aligned}$$

上式の被積分関数は  $\frac{d}{dt} G$  であるから、

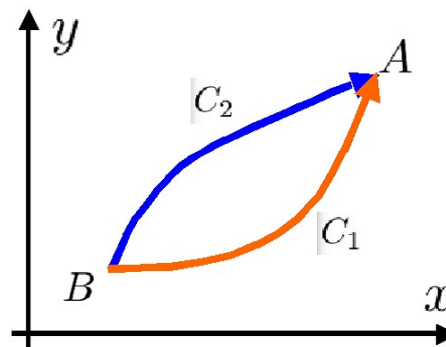
$$\begin{aligned} \int_C \vec{F} \cdot d\vec{r} &= \int_A^B \frac{d}{dt} G(x(t), y(t), z(t)) dt \\ &= [G(x(t), y(t), z(t))]_A^B \\ &= G(x(B), y(B), z(B)) - G(x(A), y(A), z(A)) \end{aligned} \quad (4.4.15)$$

上式から、 $\vec{F} = \text{grad} G(x, y, z)$  で表される場合には、 $\vec{F}$  の線積分結果は積分経路に依存しない。

また、 $\vec{F} = \text{grad} G(x, y, z)$  で表される場合、この回転： $\text{curl}$  は (4.3.57) 式から、

$$\nabla \times \vec{F} = \text{curl} \text{grad} G(x, y, z) = 0$$

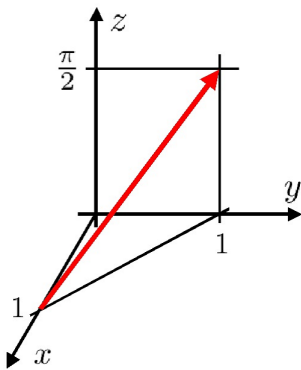
上式より前条件の (4.4.13) 式を満足しているため、線積分結果が積分経路に依存しない。



例1  $\vec{F} = (2y, x, \sin(z)^2)$

$$C: (1-t, t, \frac{\pi t}{2}), 0 \leq t \leq 1$$

```
kill(all);
load("vect")$
depends(F, [x,y,z]);
depends([x,y,z], [t]);
F1:F=matrix([2*y],[x],[sin(z)^2]);
C1:x=1-t;
C2:y=t;
C3:z=%pi/2*t;
MTR:matrix([x],[y],[z]);
F2:subst([C1,C2,C3],F1);
MTR1:subst([C1,C2,C3],MTR);
DMRT1:diff(MTR1,t,1);
rhs(F2).DMRT1;
I='integrate(%,t,0,1);
ev(%,integrate);
```



下記の線積分を求める。

$$I = \int_C \vec{F} \cdot d\vec{r}$$

ここで、 $\vec{F}$ 、積分経路: $C$ を下記とし、積分範囲: $0 \leq t \leq 1$ とすると、

$$\vec{F} = \begin{pmatrix} 2y \\ x \\ \sin(z)^2 \end{pmatrix}, \quad C: \vec{r} = \begin{pmatrix} x \\ y \\ z \end{pmatrix} = \begin{pmatrix} 1-t \\ t \\ \frac{\pi t}{2} \end{pmatrix}$$

被積分関数に上式の関係代入し、 $\vec{r}$ を $t$ で微分して、

$$\vec{F} = \begin{pmatrix} 2t \\ 1-t \\ \sin(\frac{\pi t}{2})^2 \end{pmatrix}, \quad d\vec{r} = \begin{pmatrix} -1 \\ 1 \\ \frac{\pi}{2} \end{pmatrix} dt$$

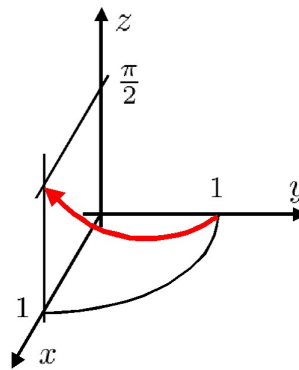
上式から線積分結果は、

$$\begin{aligned} I &= \int_C \vec{F} \cdot d\vec{r} = \int_0^1 \frac{\pi \sin(\frac{\pi t}{2})^2}{2} - 3t + 1 dt \\ &= \frac{\pi - 2}{4} \end{aligned}$$

例2  $\vec{F} = (2y, x, \sin(z)^2)$

$$C: (\cos(t), \sin(t), t), 0 \leq t \leq \frac{\pi}{2}$$

```
kill(all);
load("vect")$
depends(F, [x,y,z]);
depends([x,y,z], [t]);
F1:F=matrix([2*y],[x],[sin(z)^2]);
C1:x=cos(t);
C2:y=sin(t);
C3:z=t;
MTR:matrix([x],[y],[z]);
F2:subst([C1,C2,C3],F1);
MTR1:subst([C1,C2,C3],MTR);
DMRT1:diff(MTR1,t,1);
rhs(F2).DMRT1;
I='integrate(%,t,0,%pi/2);
ev(%,integrate);
```



下記の線積分を求める。

$$I = \int_C \vec{F} \cdot d\vec{r}$$

ここで、 $\vec{F}$ 、積分経路: $C$ を下記とし、積分範囲: $0 \leq t \leq \frac{\pi}{2}$ とすると、

$$\vec{F} = \begin{pmatrix} 2y \\ x \\ \sin(z)^2 \end{pmatrix}, \quad C: \vec{r} = \begin{pmatrix} x \\ y \\ z \end{pmatrix} = \begin{pmatrix} \cos(t) \\ \sin(t) \\ t \end{pmatrix}$$

被積分関数に上式の関係代入し、 $\vec{r}$ を $t$ で微分して、

$$\vec{F} = \begin{pmatrix} 2\sin(t) \\ \cos(t) \\ \sin(t)^2 \end{pmatrix}, \quad d\vec{r} = \begin{pmatrix} -\sin(t) \\ \cos(t) \\ 1 \end{pmatrix} dt$$

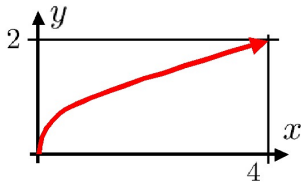
上式から線積分結果は、

$$\begin{aligned} I &= \int_C \vec{F} \cdot d\vec{r} = \int_0^{\frac{\pi}{2}} \cos(t)^2 - \sin(t)^2 dt \\ &= 0 \end{aligned}$$

例 3  $\vec{F} = (x+1, xy, 0)$

$C: (t^2, t, 0), 0 \leq t \leq 2$

```
kill(all);
load("vect")$
depends(F,[x,y,z]);
depends([x,y,z],[t]);
F1:F=matrix([x+1],[x*y],[0]);
C1:x=t^2;
C2:y=t;
C3:z=0;
MTR:matrix([x],[y],[z]);
F2:subst([C1,C2,C3],F1);
MTR1:subst([C1,C2,C3],MTR);
DMRT1:diff(MTR1,t,1);
rhs(F2).DMRT1;
I='integrate(%,t,0,2);
ev(%,integrate);
```



下記の線積分を求めよ。

$$I = \int_C \vec{F} \cdot d\vec{r}$$

ここで、 $\vec{F}$ 、積分経路: $C$ を下記とし、積分範囲: $0 \leq t \leq 2$ とすると、

$$\vec{F} = \begin{pmatrix} x+1 \\ xy \\ 0 \end{pmatrix}, \quad C: \vec{r} = \begin{pmatrix} x \\ y \\ z \end{pmatrix} = \begin{pmatrix} t^2 \\ t \\ 0 \end{pmatrix}$$

被積分関数に上式の関係代入し、 $\vec{r}$ を $t$ で微分して、

$$\vec{F} = \begin{pmatrix} t^2+1 \\ t^3 \\ 0 \end{pmatrix}, \quad d\vec{r} = \begin{pmatrix} 2t \\ 1 \\ 0 \end{pmatrix} dt$$

上式から線積分結果は、

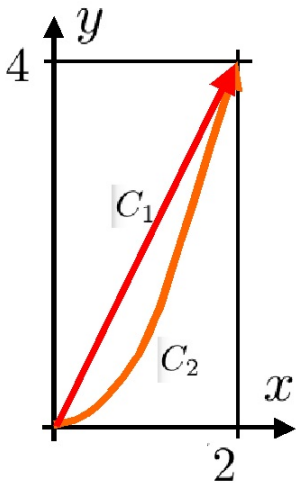
$$\begin{aligned} I &= \int_C \vec{F} \cdot d\vec{r} = \int_0^2 t^3 + 2t(t^2+1) dt \\ &= 16 \end{aligned}$$

例4  $\vec{F} = (x^2, x + y, 0)$

$$C_1: (2t, 4t, 0), 0 \leq t \leq 1$$

$$C_2: (t, t^2, 0), 0 \leq t \leq 2$$

```
kill(all);
load("vect")$
depends(F, [x,y,z]);
depends([x,y,z], [t]);
F1:F=matrix([x^2], [x+y], [0]);
curl(transpose(rhs(F1))[1]);
express(%);
transpose(%);
ev(%,diff);
C1:x=2*t;
C2:y=4*t;
C3:z=0;
MTR:matrix([x],[y],[z]);
F2:subst([C1,C2,C3],F1);
MTR1:subst([C1,C2,C3],MTR);
DMRT1:diff(MTR1,t,1);
rhs(F2).DMRT1;
I='integrate(%,t,0,1);
ev(%,integrate);
```



下記の線積分を求める。

$$I = \int_C \vec{F} \cdot d\vec{r}$$

ここで、 $\vec{F}$  は下記から

$$\vec{F} = \begin{pmatrix} x^2 \\ y + x \\ 0 \end{pmatrix}$$

$\nabla \times \vec{F}$  は下記から積分経路で積分結果が変わる。

$$\nabla \times \vec{F} = \begin{pmatrix} -\frac{d}{dz}(y+x) \\ \frac{d}{dz}x^2 \\ \frac{d}{dx}(y+x) - \frac{d}{dy}x^2 \end{pmatrix} = \begin{pmatrix} 0 \\ 0 \\ 1 \end{pmatrix} \neq 0$$

積分経路： $C_1$  を下記とし、積分範囲： $0 \leq t \leq 1$  とすると、

$$C_1: \vec{r} = \begin{pmatrix} x \\ y \\ z \end{pmatrix} = \begin{pmatrix} 2t \\ 4t \\ 0 \end{pmatrix} \quad 0 \leq t \leq 1$$

被積分関数に上式の関係代入し、 $\vec{r}$  を  $t$  で微分して、

$$\vec{F} = \begin{pmatrix} 4t^2 \\ 6t \\ 0 \end{pmatrix}, \quad d\vec{r} = \begin{pmatrix} 2 \\ 4 \\ 0 \end{pmatrix} dt$$

上式から線積分結果は、

$$I = \int_{C_1} \vec{F} \cdot d\vec{r} = \int_0^1 8t^2 + 24t dt = \frac{44}{3}$$

```
C1:x=t;
C2:y=t^2;
C3:z=0;
MTR:matrix([x],[y],[z]);
F2:subst([C1,C2,C3],F1);
MTR1:subst([C1,C2,C3],MTR);
DMRT1:diff(MTR1,t,1);
rhs(F2).DMRT1;
I='integrate(%,t,0,2);
ev(%,integrate);
```

積分経路： $C_2$  を下記とし、積分範囲： $0 \leq t \leq 2$  とすると、

$$C_2: \vec{r} = \begin{pmatrix} x \\ y \\ z \end{pmatrix} = \begin{pmatrix} t \\ t^2 \\ 0 \end{pmatrix} \quad 0 \leq t \leq 2$$

被積分関数に上式の関係代入し、 $\vec{r}$  を  $t$  で微分して、

$$\vec{F} = \begin{pmatrix} t^2 \\ t^2 + t \\ 0 \end{pmatrix}, \quad d\vec{r} = \begin{pmatrix} 1 \\ 2t \\ 0 \end{pmatrix} dt$$

上式から線積分結果は、

$$I = \int_{C_2} \vec{F} \cdot d\vec{r} = \int_0^2 2t(t^2 + t) + t^2 dt = 16$$

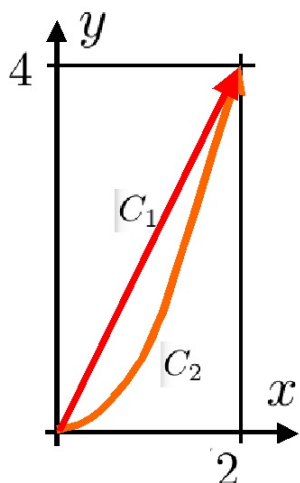
$C_1, C_2$  の積分経路で積分結果は異なっていた。

例5  $\vec{F} = \left(x^2 y^2, \frac{2x^3 y}{3}, 0\right)$

$$C_1: (t, 2t, 0), 0 \leq t \leq 2$$

$$C_2: (t, t^2, 0), 0 \leq t \leq 2$$

```
kill(all);
load("vect")$
depends(F,[x,y,z]);
depends([x,y,z],[t]);
F1:F=matrix([x^2*y^2],[2/3*x^3*y],[0]);
curl(transpose(rhs(F1))[1]);
express(%);
transpose(%);
ev(%,diff);
C1:x=t;
C2:y=2*t;
C3:z=0;
MTR:matrix([x],[y],[z]);
F2:subst([C1,C2,C3],F1);
MTR1:subst([C1,C2,C3],MTR);
DMRT1:diff(MTR1,t,1);
rhs(F2).DMRT1;
I='integrate(%,t,0,2);
ev(%,integrate);
```



下記の線積分を求めろ。

$$I = \int_C \vec{F} \cdot d\vec{r}$$

ここで、 $\vec{F}$  は下記から

$$F = \begin{pmatrix} x^2 y^2 \\ \frac{2x^3 y}{3} \\ 0 \end{pmatrix}$$

$\nabla \times \vec{F}$  は下記から零であるから、積分経路で積分結果

は変わらない。

$$\nabla \times \vec{F} = \begin{pmatrix} -\frac{d}{dz} \frac{2x^3 y}{3} \\ \frac{d}{dz} (x^2 y^2) \\ \frac{d}{dx} \frac{2x^3 y}{3} - \frac{d}{dy} (x^2 y^2) \end{pmatrix} = \begin{pmatrix} 0 \\ 0 \\ 0 \end{pmatrix}$$

積分経路： $C_1$  を下記とし、積分範囲： $0 \leq t \leq 2$  とすると、

$$C_1: \vec{r} = \begin{pmatrix} x \\ y \\ z \end{pmatrix} = \begin{pmatrix} t \\ 2t \\ 0 \end{pmatrix} \quad 0 \leq t \leq 2$$

被積分関数に上式の関係を代入し、 $\vec{r}$  を  $t$  で微分して、

$$\vec{F} = \begin{pmatrix} 4t^4 \\ \frac{4t^4}{3} \\ 0 \end{pmatrix}, \quad d\vec{r} = \begin{pmatrix} 1 \\ 2 \\ 0 \end{pmatrix} dt$$

上式から線積分結果は、

$$I = \int_{C_1} \vec{F} \cdot d\vec{r} = \frac{20}{3} \int_0^2 t^4 dt = \frac{128}{3}$$

```
C1:x=t;
C2:y=t^2;
C3:z=0;
MTR:matrix([x],[y],[z]);
F2:subst([C1,C2,C3],F1);
MTR1:subst([C1,C2,C3],MTR);
DMRT1:diff(MTR1,t,1);
rhs(F2).DMRT1;
I='integrate(%,t,0,2);
ev(%,integrate);
```

積分経路： $C_2$  を下記とし、積分範囲： $0 \leq t \leq 2$  とすると、

$$C_2: \vec{r} = \begin{pmatrix} x \\ y \\ z \end{pmatrix} = \begin{pmatrix} t \\ t^2 \\ 0 \end{pmatrix} \quad 0 \leq t \leq 2$$

被積分関数に上式の関係を代入し、 $\vec{r}$  を  $t$  で微分して、

$$\vec{F} = \begin{pmatrix} t^6 \\ \frac{2t^5}{3} \\ 0 \end{pmatrix}, \quad d\vec{r} = \begin{pmatrix} 1 \\ 2t \\ 0 \end{pmatrix} dt$$

上式から線積分結果は、

$$I = \int_{C_2} \vec{F} \cdot d\vec{r} = \frac{7}{3} \int_0^2 t^6 dt = \frac{128}{3}$$

$C_1, C_2$  の積分経路で積分結果は同じであった。

#### 4.4.5 スカラー場の面積分

積分する場合、 $x, y, z$  座標でなく、別の座標系を用いた方が便利な場合がある。 $x(u, v), y(u, v), z(u, v)$  の座標変換を行う。曲面:  $\vec{r}$  上の点:  $P$  は、

$$\vec{r} = x(u, v) \vec{i} + y(u, v) \vec{j} + z(u, v) \vec{k}$$

曲面上で、 $v$  一定の  $u$  曲線の接線ベクトル:  $\frac{d}{du} \vec{r}$ 、 $u$  一定の  $v$  曲線の接線ベクトル:  $\frac{d}{dv} \vec{r}$  となり下記となる。

$$\frac{d}{du} \vec{r} = \begin{pmatrix} \frac{d}{du} x \\ \frac{d}{du} y \\ \frac{d}{du} z \end{pmatrix}, \quad \frac{d}{dv} \vec{r} = \begin{pmatrix} \frac{d}{dv} x \\ \frac{d}{dv} y \\ \frac{d}{dv} z \end{pmatrix}$$

微小量:  $du, dv$  で作られる平行四辺形の微小面積:  $dS$  は、79 頁から次式となる。

$$dS = \left| \frac{d}{du} \vec{r} \times \frac{d}{dv} \vec{r} \right| du dv$$

上式で、

$$\frac{d}{du} \vec{r} \times \frac{d}{dv} \vec{r} = \begin{pmatrix} \left( \frac{d}{du} y \right) \left( \frac{d}{dv} z \right) - \left( \frac{d}{dv} y \right) \left( \frac{d}{du} z \right) \\ \left( \frac{d}{dv} x \right) \left( \frac{d}{du} z \right) - \left( \frac{d}{du} x \right) \left( \frac{d}{dv} z \right) \\ \left( \frac{d}{du} x \right) \left( \frac{d}{dv} y \right) - \left( \frac{d}{dv} x \right) \left( \frac{d}{du} y \right) \end{pmatrix}$$

上式から、

$$\begin{aligned} dS &= \left( \left( \left( \frac{d}{du} y \right) \left( \frac{d}{dv} z \right) - \left( \frac{d}{dv} y \right) \left( \frac{d}{du} z \right) \right)^2 \right. \\ &\quad + \left( \left( \frac{d}{dv} x \right) \left( \frac{d}{du} z \right) - \left( \frac{d}{du} x \right) \left( \frac{d}{dv} z \right) \right)^2 \\ &\quad \left. + \left( \left( \frac{d}{du} x \right) \left( \frac{d}{dv} y \right) - \left( \frac{d}{dv} x \right) \left( \frac{d}{du} y \right) \right)^2 \right)^{\frac{1}{2}} \\ &\quad \times du dv \end{aligned}$$

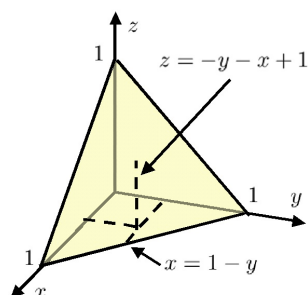
スカラー場:  $F(x, y, z)$  における曲面:  $S$  上での  $F(x, y, z)$  の面積分は、

$$\iint_S F dS = \iint_D F \left| \frac{d}{du} \vec{r} \times \frac{d}{dv} \vec{r} \right| du dv \quad (4.4.16)$$

例1  $F = yz + xy$

$$S: z + y + x = 1, x \geq 0, y \geq 0, z \geq 0$$

```
kill(all);
load("vect")$
DI1:x*y+y*z;
S1:x+y+z=1;
S2:solve(S1,z)[1];
subst([S2],DI1);
DI2:factor(%);
R1:matrix([x],[y],[rhs(S2)]);
RX1:diff(R1,x,1);
RY1:diff(R1,y,1);
col(adjoint(transpose(addcol(RX1,RY1,
matrix([1],[1],[1]))),3);
CDS1:sqrt(%[1][1]^2+%[2][1]^2+%[3][1]^2);
subst([z=0],S1);
L1:solve(%,x)[1];
subst([z=0,x=0],S1);
L2:solve(%,y)[1];
I='integrate('integrate(DI2*CDS1,x,0,
rhs(L1)),y,0,rhs(L2));
ev(%,integrate);
```



下記の面積分を求める。

$$I = \iiint_S F dS = \iiint_S yz + xy dS \quad (4.4.17)$$

曲面:  $S$ 、積分範囲は下記とする。

$$S: z + y + x = 1 \quad x \geq 0, y \geq 0, z \geq 0$$

曲面上では、 $z = -y - x + 1$  であるから、(4.4.17) 式に代入し、

$$I = \iint_S F dS = \iint_S -(y-1)y dS \quad (4.4.18)$$

$\vec{r}$ ,  $\frac{d}{dx} \vec{r}$ ,  $\frac{d}{dy} \vec{r}$  は、

$$\vec{r} = \begin{pmatrix} x \\ y \\ -y - x + 1 \end{pmatrix}$$

$$\frac{d}{dx} \vec{r} = \begin{pmatrix} 1 \\ 0 \\ -1 \end{pmatrix}, \quad \frac{d}{dy} \vec{r} = \begin{pmatrix} 0 \\ 1 \\ -1 \end{pmatrix}$$

上式から、

$$\frac{d}{dx} \vec{r} \times \frac{d}{dy} \vec{r} = \begin{pmatrix} 1 \\ 1 \\ 1 \end{pmatrix}$$

(4.4.16) 式に上式を代入し、

$$dS = \left| \frac{d}{dx} \vec{r} \times \frac{d}{dy} \vec{r} \right| dx dy = \sqrt{3} dx dy$$

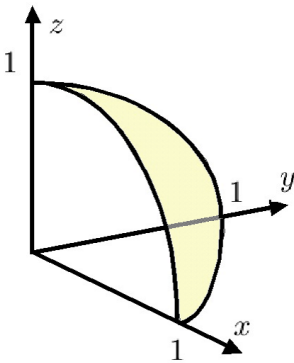
(4.4.18) 式の面積分は

$$\begin{aligned} I &= \iint_S F dS = \iint_S -(y-1)y dS \\ &= \int_0^1 \int_0^{1-y} -(y-1)y \cdot \sqrt{3} dx dy \\ &= -\sqrt{3} \int_0^1 (1-y)(y-1) y dy \\ &= \frac{1}{4\sqrt{3}} \end{aligned}$$

例2  $F = \sin(\psi) \cos(\theta)$

$S$ : 半径:  $r = 1$  の球面,  $0 \leq \theta \leq \frac{\pi}{2}$ ,  $0 \leq \psi \leq \frac{\pi}{2}$

```
kill(all);
load("vect")$
DI1:cos(\theta)*sin(\psi);
R1:matrix([sin(\theta)*cos(\psi)],
[sin(\theta)*sin(\psi)], [cos(\theta)]);
RX1:diff(R1,\theta,1);
RY1:diff(R1,\psi,1);
col(adjoint(transpose(addcol(RX1,RY1,
matrix([1],[1],[1])))),3);
%[1][1]^2+%[2][1]^2+%[3][1]^2;
trigsimp(%);
CDS1:sin(\theta);
I='integrate('integrate(DI1*CDS1,\theta,
0,%pi/2),\psi,0,%pi/2);
ev(%,integrate);
```



下記の面積分を求める。

$$I = \iint_S F dS = \iint_S \sin(\psi) \cos(\theta) dS \quad (4.4.19)$$

曲面:  $S$ : は半径:  $r = 1$  の球面であるから、下記の極座標を用いる。

$$S: \vec{r} = \begin{pmatrix} x \\ y \\ z \end{pmatrix} = \begin{pmatrix} \cos(\psi) \sin(\theta) \\ \sin(\psi) \sin(\theta) \\ \cos(\theta) \end{pmatrix}$$

また、積分範囲は下記とする。

$$0 \leq \theta \leq \frac{\pi}{2}, 0 \leq \psi \leq \frac{\pi}{2}$$

$\frac{d}{d\theta} \vec{r}$ ,  $\frac{d}{d\psi} \vec{r}$  は、

$$\frac{d}{d\theta} \vec{r} = \begin{pmatrix} \cos(\psi) \cos(\theta) \\ \sin(\psi) \cos(\theta) \\ -\sin(\theta) \end{pmatrix}, \frac{d}{d\psi} \vec{r} = \begin{pmatrix} -\sin(\psi) \sin(\theta) \\ \cos(\psi) \sin(\theta) \\ 0 \end{pmatrix}$$

上式から、

$$\frac{d}{dx} \vec{r} \times \frac{d}{dy} \vec{r} = \begin{pmatrix} \cos(\psi) \sin(\theta)^2 \\ \sin(\psi) \sin(\theta)^2 \\ \sin(\psi)^2 \cos(\theta) \sin(\theta) + \cos(\psi)^2 \cos(\theta) \sin(\theta) \end{pmatrix}$$

(4.4.16) 式に上式を代入し、積分範囲を考慮して、

$$dS = \left| \frac{d}{d\theta} \vec{r} \times \frac{d}{d\psi} \vec{r} \right| d\theta d\psi = \sin(\theta) d\theta d\psi$$

(4.4.18) 式の面積分は

$$\begin{aligned} I &= \iiint_S F dS = \iint_S \sin(\psi) \cos(\theta) dS \\ &= \int_0^{\frac{\pi}{2}} \sin(\psi) d\psi \int_0^{\frac{\pi}{2}} \cos(\theta) \sin(\theta) d\theta \\ &= \frac{1}{2} \end{aligned}$$



## 4.4.6 ベクトル場の面積分

積分する場合、 $x, y, z$  座標でなく、別の座標系を用いた方が便利な場合がある。 $x(u, v), y(u, v), z(u, v)$  の座標変換を行う。曲面:  $\vec{r}$  上の点:  $P$  は、

$$\vec{r} = x(u, v) \vec{i} + y(u, v) \vec{j} + z(u, v) \vec{k}$$

曲面上で、 $v$  一定の  $u$  曲線の接線ベクトル:  $\frac{d}{du} \vec{r}$ 、 $u$  一定の  $v$  曲線の接線ベクトル:  $\frac{d}{dv} \vec{r}$  となり下記となる。

$$\frac{d}{du} \vec{r} = \begin{pmatrix} \frac{d}{du} x \\ \frac{d}{du} y \\ \frac{d}{du} z \end{pmatrix}, \quad \frac{d}{dv} \vec{r} = \begin{pmatrix} \frac{d}{dv} x \\ \frac{d}{dv} y \\ \frac{d}{dv} z \end{pmatrix}$$

微小量:  $du, dv$  で作られる平行四辺形の面積要素:  $dS$  は、79 頁から次式となる。

$$dS = \left| \frac{d}{du} \vec{r} \times \frac{d}{dv} \vec{r} \right| du dv$$

また、この面積要素に垂直な単位ベクトル:  $\vec{n}$  は、

$$\vec{n} = \frac{\frac{d}{du} \vec{r} \times \frac{d}{dv} \vec{r}}{\left| \frac{d}{du} \vec{r} \times \frac{d}{dv} \vec{r} \right|}$$

面積要素:  $dS$  のベクトル表記として、 $\vec{n}$  方向とすると、

$$d\vec{S} = dS \vec{n} = \frac{d}{du} \vec{r} \times \frac{d}{dv} \vec{r} du dv$$

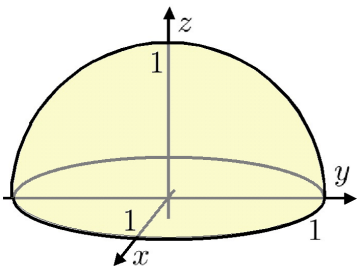
ベクトル場:  $\vec{F}$  における曲面:  $S$  上での面積分は、

$$\iint_S \vec{F} \cdot d\vec{S} = \iint_D \vec{F} \cdot \left( \frac{d}{du} \vec{r} \times \frac{d}{dv} \vec{r} \right) du dv \quad (4.4.20)$$

例1  $\vec{F} = 2xz\vec{i} + yz\vec{j} + xy\vec{k}$

$$S: x^2 + y^2 + z^2 = 1, 0 \leq z$$

```
kill(all);
load("vect")$
DI1:matrix([2*x*z],[y*z],[x*y]);
X1:x=sin(\theta)*cos(\psi);
Y1:y=sin(\theta)*sin(\psi);
Z1:z=cos(\theta);
XYZ1:matrix([x],[y],[z]);
R1:matrix([sin(\theta)*cos(\psi)],
[sin(\theta)*sin(\psi)],[cos(\theta)]);
RX1:diff(R1,\theta,1);
RY1:diff(R1,\psi,1);
RXY1:col(adjoint(transpose(addcol(RX1,
RY1,matrix([1],[1],[1])))),3);
DI2:subst([X1,Y1,Z1],DI1);
DI2.RXY1;
DI3:trigsimp(%);
I='integrate('integrate(DI3,\theta,0,
%pi/2),\psi,0,2*pi);
ev(%,integrate);
```



上式から、

$$\frac{d}{dx}\vec{r} \times \frac{d}{dy}\vec{r} = \begin{pmatrix} \cos(\psi)\sin(\theta)^2 \\ \sin(\psi)\sin(\theta)^2 \\ \sin(\psi)^2\cos(\theta)\sin(\theta) + \cos(\psi)^2\cos(\theta)\sin(\theta) \end{pmatrix} \quad (4.4.23)$$

また、被積分関数： $\vec{F}$  は、(4.4.22) 式を代入し、

$$\vec{F} = \begin{pmatrix} 2xz \\ yz \\ xy \end{pmatrix} = \begin{pmatrix} 2\cos(\psi)\cos(\theta)\sin(\theta) \\ \sin(\psi)\cos(\theta)\sin(\theta) \\ \cos(\psi)\sin(\psi)\sin(\theta)^2 \end{pmatrix} \quad (4.4.24)$$

(4.4.21) 式に (4.4.23) 式、(4.4.24) 式上式を代入し、面積分は、

$$\begin{aligned} \iint_S \vec{F} \cdot d\vec{S} &= \iint_D \vec{F} \cdot \left( \frac{d}{du}\vec{r} \times \frac{d}{dv}\vec{r} \right) du dv \\ &= \int_0^{2\pi} \cos(\psi)\sin(\psi) + \cos(\psi)^2 + 1 d\psi \int_0^{\frac{\pi}{2}} \cos(\theta)\sin(\theta)^3 d\theta = \frac{3\pi}{4} \end{aligned}$$

ベクトル場： $\vec{F}$  における曲面： $S$  上での面積分は (4.4.20) 式から、

$$\iint_S \vec{F} \cdot d\vec{S} = \iint_D \vec{F} \cdot \left( \frac{d}{du}\vec{r} \times \frac{d}{dv}\vec{r} \right) du dv$$

$$\text{ここで、} \vec{F} = \begin{pmatrix} 2xz \\ yz \\ xy \end{pmatrix}$$

(4.4.21)

曲面： $S$  は半径： $r = 1$  の球面であるから、下記の極座標を用いる。

$$S: \vec{r} = \begin{pmatrix} x \\ y \\ z \end{pmatrix} = \begin{pmatrix} \cos(\psi)\sin(\theta) \\ \sin(\psi)\sin(\theta) \\ \cos(\theta) \end{pmatrix} \quad (4.4.22)$$

また、積分範囲は  $0 \leq z$  である。

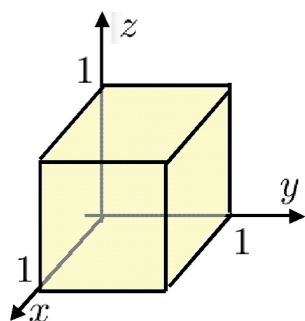
$\frac{d}{d\theta}\vec{r}$ ,  $\frac{d}{d\psi}\vec{r}$  は、

$$\frac{d}{d\theta}\vec{r} = \begin{pmatrix} \cos(\psi)\cos(\theta) \\ \sin(\psi)\cos(\theta) \\ -\sin(\theta) \end{pmatrix}, \quad \frac{d}{d\psi}\vec{r} = \begin{pmatrix} -\sin(\psi)\sin(\theta) \\ \cos(\psi)\sin(\theta) \\ 0 \end{pmatrix}$$

例2  $\vec{F} = (x^2 + y^2) \vec{i} + 2xy \vec{j} + (y^2 - xy) \vec{k}$

$$S: 0 \leq x \leq 1, 0 \leq y \leq 1, 0 \leq z \leq 1$$

```
kill(all);
load("vect")$
DI1:matrix([x^2-y^2],[2*x*y],[y^2-x*y]);
ZO:matrix([0],[0],[-1]);
DIZO:subst([z=0],DI1);
DIZO.ZO;
'integrate('integrate(%,x,0,1),y,0,1);
IZO:ev(%,integrate);
```



被積分関数:  $\vec{F}$  は、

$$\vec{F} = \begin{pmatrix} x^2 - y^2 \\ 2xy \\ y^2 - xy \end{pmatrix} \quad (4.4.25)$$

$z = 0$  の  $xy$  面の  $\vec{n}$  は、

$$\vec{n} = \begin{pmatrix} 0 \\ 0 \\ -1 \end{pmatrix}$$

(4.4.25) 式に  $z = 0$  を代入し、 $\vec{F} \cdot \vec{n}$  は、

$$\vec{F} \cdot \vec{n} = \begin{pmatrix} x^2 - y^2 \\ 2xy \\ y^2 - xy \end{pmatrix} \cdot \begin{pmatrix} 0 \\ 0 \\ -1 \end{pmatrix} = xy - y^2$$

これを積分し、 $I_1$  は、

$$I_1 = \int_0^1 \int_0^1 xy - y^2 dx dy = -\frac{1}{12} \quad (4.4.26)$$

```
Z1:matrix([0],[0],[1]);
DIZ1:subst([z=1],DI1);
DIZ1.Z1;
'integrate('integrate(%,x,0,1),y,0,1);
IZ1:ev(%,integrate);
```

$z = 1$  の  $xy$  面の  $\vec{n}$  は、

$$\vec{n} = \begin{pmatrix} 0 \\ 0 \\ 1 \end{pmatrix}$$

(4.4.25) 式に  $z = 1$  を代入し、 $\vec{F} \cdot \vec{n}$  は、

$$\vec{F} \cdot \vec{n} = \begin{pmatrix} x^2 - y^2 \\ 2xy \\ y^2 - xy \end{pmatrix} \cdot \begin{pmatrix} 0 \\ 0 \\ 1 \end{pmatrix} = y^2 - xy$$

これを積分し、 $I_2$  は、

$$I_2 = \int_0^1 \int_0^1 y^2 - xy dx dy = \frac{1}{12} \quad (4.4.27)$$

```
X0:matrix([-1],[0],[0]);
DIX0:subst([x=0],DI1);
DIX0.X0;
'integrate('integrate(%,y,0,1),z,0,1);
IX0:ev(%,integrate);
```

$x = 0$  の  $yz$  面の  $\vec{n}$  は、

$$\vec{n} = \begin{pmatrix} -1 \\ 0 \\ 0 \end{pmatrix}$$

(4.4.25) 式に  $x = 0$  を代入し、 $\vec{F} \cdot \vec{n}$  は、

$$\vec{F} \cdot \vec{n} = \begin{pmatrix} -y^2 \\ 0 \\ y^2 \end{pmatrix} \cdot \begin{pmatrix} -1 \\ 0 \\ 0 \end{pmatrix} = y^2$$

これを積分し、 $I_3$  は、

$$I_3 = \int_0^1 \int_0^1 y^2 dy dz = \frac{1}{3} \quad (4.4.28)$$

```
X1:matrix([1],[0],[0]);
DIX1:subst([x=1],DI1);
DIX1.X1;
'integrate('integrate(%,y,0,1),z,0,1);
IX1:ev(%,integrate);
```

$x = 1$  の  $yz$  面の  $\vec{n}$  は、

$$\vec{n} = \begin{pmatrix} 1 \\ 0 \\ 0 \end{pmatrix}$$

(4.4.25) 式に  $x = 1$  を代入し、 $\vec{F} \cdot \vec{n}$  は、

$$\vec{F} \cdot \vec{n} = \begin{pmatrix} 1 - y^2 \\ 2y \\ y^2 - y \end{pmatrix} \cdot \begin{pmatrix} 1 \\ 0 \\ 0 \end{pmatrix} = 1 - y^2$$

これを積分し、 $I_4$  は、

$$I_4 = \int_0^1 \int_0^1 1 - y^2 dy dz = \frac{2}{3} \quad (4.4.29)$$

```

Y0:matrix([0],[-1],[0]);
DIY0:subst([y=0],DI1);
DIY0.Y0;
'integrate('integrate(%x,0,1),z,0,1);
IY0:ev(%integrate);

```

$y = 0$  の  $zx$  面の  $\vec{n}$  は、

$$\vec{n} = \begin{pmatrix} 0 \\ -1 \\ 0 \end{pmatrix}$$

(4.4.25) 式に  $y = 0$  を代入し、 $\vec{F} \cdot \vec{n}$  は、

$$\vec{F} \cdot \vec{n} = \begin{pmatrix} x^2 \\ 0 \\ 0 \end{pmatrix} \cdot \begin{pmatrix} 0 \\ -1 \\ 0 \end{pmatrix} = 0$$

これを積分し、 $I_5$  は、

$$I_5 = 0 \quad (4.4.30)$$

```

Y1:matrix([0],[1],[0]);
DIY1:subst([y=1],DI1);
DIY1.Y1;
'integrate('integrate(%x,0,1),z,0,1);
IY1:ev(%integrate);
I=IZ0+IZ1+IX0+IX1+IY0+IY1;

```

$y = 1$  の  $zx$  面の  $\vec{n}$  は、

$$\vec{n} = \begin{pmatrix} 0 \\ 1 \\ 0 \end{pmatrix}$$

(4.4.25) 式に  $y = 1$  を代入し、 $\vec{F} \cdot \vec{n}$  は、

$$\vec{F} \cdot \vec{n} = \begin{pmatrix} x^2 - 1 \\ 2x \\ 1 - x \end{pmatrix} \cdot \begin{pmatrix} 0 \\ 1 \\ 0 \end{pmatrix} = 2x$$

これを積分し、 $I_6$  は、

$$I_6 = 2 \int_0^1 \int_0^1 x \, dx \, dz = 1 \quad (4.4.31)$$

以上から、

$$I = I_1 + I_2 + I_3 + I_4 + I_5 + I_6 = 2$$

4.4.7 平面におけるグリーンの定理

```
kill(all);
GX1:='integrate('integrate(diff(P(x,y),y,
1),y,y[1],y[2]),x,a,b);
GX1=ev(GX1,integrate);
GX1=(-('integrate(P(x,y[2]),x,a,b)
-'integrate(P(x,y[1]),x,a,b));
GX1='integrate(P(x,y[1]),x,a,b)
+'integrate(P(x,y[2]),x,b,a);
GY1:'integrate('integrate(diff(Q(x,y),
x,1),x,x[1],x[2]),y,c,d);
GY1=ev(GY1,integrate);
GY1='integrate(Q(x[2],y),y,c,d)
-'integrate(Q(x[1],y),y,c,d);
GY:GY1='integrate(Q(x[2],y),y,c,d)
+'integrate(Q(x[1],y),y,d,c);
```

下記の平面におけるグリーンの定理を証明する。

$$\iint_S \left( \frac{d}{dx} Q - \frac{d}{dy} P \right) dydx = \oint_C Q dy + P dx \tag{4.4.32}$$

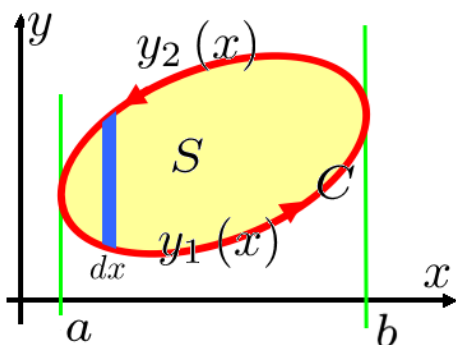


図 4.4.1: 曲線 : C で囲まれた領域における  $\frac{d}{dy} P(x, y)$  の面積分

曲線 : C で囲まれた領域の関数 :  $P(x, y), Q(x, y)$  を考える。次の面積分について考える。

$$\iint_S \left( \frac{d}{dx} Q - \frac{d}{dy} P \right) dydx$$

曲線 : C で囲まれた領域における  $\frac{d}{dy} P(x, y)$  の面積分を求める。曲線 : C の  $a \rightarrow b$  の下側の曲線を  $y_1(x)$ 、 $b \rightarrow a$  の上側の曲線を  $y_2(x)$  とすると、積分結果は下記

となる。

$$\begin{aligned} & - \int_a^b \int_{y_1(x)}^{y_2(x)} \frac{d}{dy} P(x, y) dydx \\ &= - \int_a^b P(x, y_2(x)) - P(x, y_1(x)) dx \\ &= \int_b^a P(x, y_2(x)) dx + \int_a^b P(x, y_1(x)) dx \\ &= \oint_C P(x, y) dx \end{aligned} \tag{4.4.33}$$

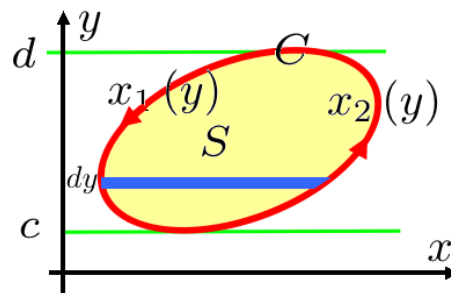


図 4.4.2: 曲線 : C で囲まれた領域における  $\frac{d}{dx} Q(x, y)$  の面積分

同様に、曲線 : C で囲まれた領域における  $\frac{d}{dx} Q(x, y)$  の面積分を求める。曲線 : C の  $d \rightarrow c$  の下側の曲線を  $x_1(y)$ 、 $c \rightarrow d$  の上側の曲線を  $x_2(y)$  とすると、積分結果は下記となる。

$$\begin{aligned} & \int_c^d \int_{x_1(y)}^{x_2(y)} \frac{d}{dx} Q(x, y) dx dy \\ &= \int_c^d Q(x_2(y), y) - Q(x_1(y), y) dy \\ &= \int_c^d Q(x_2(y), y) dy + \int_d^c Q(x_1(y), y) dy \\ &= \oint_C Q(x, y) dx dy \end{aligned} \tag{4.4.34}$$

(4.4.33) 式と (4.4.34) 式の和をとると、

$$\begin{aligned} & \iint_S \left( \frac{d}{dx} Q - \frac{d}{dy} P \right) dydx \\ &= \int_c^d \int_{x_1(y)}^{x_2(y)} \frac{d}{dx} Q(x, y) dx dy \\ & \quad - \int_a^b \int_{y_1(x)}^{y_2(x)} \frac{d}{dy} P(x, y) dydx \\ &= \oint_C P(x, y) dx + \oint_C Q(x, y) dy \end{aligned}$$

上式を整理すると、平面におけるグリーンの定理となる。

$$\iint_S \left( \frac{d}{dx} Q - \frac{d}{dy} P \right) dydx = \oint_C Q dy + P dx$$

## 二次元グリーンの第二定理

```
kill(all);
load("vect");
depends(r,[x,y,z]);
depends([\phi,\psi],[x,y]);
DS1:'diff(Q,x,1)'+diff(P,y,1);
DS2:Q*dy+P*dx;
DXT3:dx=-n[y]*ds;
DYT3:dy=n[x]*ds;
DS3:subst([DXT3,DYT3],DS2);
Q3:Q=\phi*diff(\psi,x,1);
P3:P=-\phi*diff(\psi,y,1);
subst([Q3,P3],DS1);
DS11:ev(%,diff);
subst([Q3,P3],DS3);
DS31:ds*\phi*(diff(\psi,n,1));
Q4:Q=\psi*diff(\phi,x,1);
P4:P=-\psi*diff(\phi,y,1);
subst([Q4,P4],DS1);
DS12:ev(%,diff);
subst([Q4,P4],DS3);
```

```
DS32:ds*\psi*(diff(\phi,n,1));
DS11-DS12;
DS14:partfrac(%,\phi);
DS31-DS32;
```

(4.4.32) 式の平面におけるグリーンの定理を変形する。

$$\iint_S \left( \frac{d}{dx} Q - \frac{d}{dy} P \right) dydx = \oint_C Q dy + P dx \quad (4.4.35)$$

上式右辺の  $dx, dy$  は、

$$dx = -ds n_y, \quad dy = ds n_x$$

(4.4.35) 式に上式を代入し、

$$\iint_S \left( \frac{d}{dx} Q - \frac{d}{dy} P \right) dydx = \oint_C n_x Q - n_y P ds \quad (4.4.36)$$

上式に下式を代入すると、

$$Q = \phi \left( \frac{d}{dx} \psi \right), \quad P = -\phi \left( \frac{d}{dy} \psi \right)$$

$$\begin{aligned} & \iint_S \left( \phi \left( \frac{d^2}{dy^2} \psi \right) + \left( \frac{d}{dy} \phi \right) \left( \frac{d}{dy} \psi \right) + \phi \left( \frac{d^2}{dx^2} \psi \right) + \left( \frac{d}{dx} \phi \right) \left( \frac{d}{dx} \psi \right) \right) dydx \\ &= \oint_C \phi \left( \frac{d}{dy} \psi \right) n_y + \phi \left( \frac{d}{dx} \psi \right) n_x ds \\ &= \oint_C \phi \left( \frac{d}{dn} \psi \right) ds \end{aligned} \quad (4.4.37)$$

(4.4.36) 式に下式を代入すると、

$$Q = \left( \frac{d}{dx} \phi \right) \psi \quad P = -\left( \frac{d}{dy} \phi \right) \psi$$

$$\begin{aligned} & \iint_S \left( \left( \frac{d}{dy} \phi \right) \left( \frac{d}{dy} \psi \right) + \left( \frac{d}{dx} \phi \right) \left( \frac{d}{dx} \psi \right) + \left( \frac{d^2}{dy^2} \phi \right) \psi + \left( \frac{d^2}{dx^2} \phi \right) \psi \right) dydx \\ &= \oint_C \left( \frac{d}{dy} \phi \right) \psi n_y + \left( \frac{d}{dx} \phi \right) \psi n_x ds \\ &= \oint_C \left( \frac{d}{dn} \phi \right) \psi ds \end{aligned} \quad (4.4.38)$$

(4.4.37) 式 - (4.4.38) 式を求めると、

$$\iint_S \left( \phi \left( \frac{d^2}{dy^2} \psi + \frac{d^2}{dx^2} \psi \right) + \left( -\frac{d^2}{dy^2} \phi - \frac{d^2}{dx^2} \phi \right) \psi \right) dydx = \oint_C \left( \phi \left( \frac{d}{dn} \psi \right) - ds \left( \frac{d}{dn} \phi \right) \psi \right) ds$$

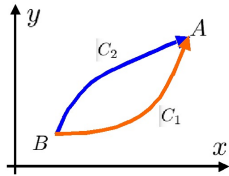
上式から、

$$\iint_S \left( \phi (\nabla^2 \psi) - (\nabla^2 \phi) \psi \right) dydx = \oint_C \left( \phi \left( \frac{d}{dn} \psi \right) - \left( \frac{d}{dn} \phi \right) \psi \right) ds \quad (4.4.39)$$

平面上の線積分が積分経路によらない条件

線積分が積分経路によらなければ、任意の積分経路： $C_1, C_2$  として、下記となる。

$$\int_{C_1} Q dy + P dx = \int_{C_2} Q dy + P dx$$



線積分が積分経路によらないとすると、

$$\begin{aligned} \int_{C_1} Q dy + P dx - \int_{C_2} Q dy + P dx \\ = \int_{C_1 - C_2} Q dy + P dx \\ = \oint_C Q dy + P dx = 0 \end{aligned}$$

平面におけるグリーンの定理：(4.4.32) 式から、

$$\iint_S \left( \frac{d}{dx} Q - \frac{d}{dy} P \right) dy dx = 0$$

以上から、線積分が積分経路によらない必要十分条件は、

$$\frac{d}{dx} Q = \frac{d}{dy} P \quad (4.4.40)$$

$B : (x_0, y_0)$  から  $A : (x, y)$  の線積分で、下記の  $U(x, y)$  を考える。

$$U(x, y) = \int_{(x_0, y_0)}^{(x, y)} Q dy + P dx$$

上式で  $x$  を  $\delta x$  だけ移動させると、

$$\begin{aligned} U(x + \delta x, y) &= \int_{(x_0, y_0)}^{(x + \delta x, y)} Q dy + P dx \\ &= \int_{(x_0, y_0)}^{(x, y)} Q dy + P dx + \int_{(x, y)}^{(x + \delta x, y)} P dx \\ &= U(x, y) + \int_{(x, y)}^{(x + \delta x, y)} P dx \\ &= U(x, y) + P \delta x \\ &= U(x, y) + \frac{d}{dx} U \delta x \end{aligned}$$

以上から下記となり、同様に、

$$\frac{d}{dx} U = P, \quad \frac{d}{dy} U = Q$$

上記で定義される  $U$  で  $P, Q$  の (4.4.32) 式の線積分は積分経路によらない。

4.4.8 グリーンの定理

下記のグリーンの定理を証明する。

$$\begin{aligned} \iiint_V F (\nabla^2 G) - G (\nabla^2 F) dV \\ = \iint_S F \frac{d}{dn} G - G \frac{d}{dn} F dS \end{aligned} \quad (4.4.41)$$

ガウスの定理：(4.4.44) 式から、

$$\iiint_V \nabla \cdot \vec{A} dV = \iint_S \vec{A} \cdot \vec{n} dS \quad (4.4.42)$$

いま、 $\vec{A} = F \vec{B}$  とすると、

$$\nabla \vec{A} = \nabla (F \vec{B}) = \vec{B} (\nabla F) + F (\nabla \vec{B})$$

(4.4.42) 式に上式を代入すると、

$$\begin{aligned} \iiint_V \vec{B} (\nabla F) dV + \iiint_V F (\nabla \vec{B}) dV \\ = \iint_S (F \vec{B}) \cdot \vec{n} dS \end{aligned} \quad (4.4.43)$$

$\vec{B} = \nabla G$  とおくと、

$$\begin{aligned} \iiint_V (\nabla G) (\nabla F) dV + \iiint_V F (\nabla^2 G) dV \\ = \iint_S F (\nabla G) \cdot \vec{n} dS \\ = \iint_S F \frac{d}{dn} G dS \end{aligned}$$

$F$  と  $G$  を置き換えて、

$$\begin{aligned} \iiint_V (\nabla F) (\nabla G) dV + \iiint_V G (\nabla^2 F) dV \\ = \iint_S G \frac{d}{dn} F dS \end{aligned}$$

上式から下式を引くと、下記のグリーンの定理が得られた。

$$\begin{aligned} \iiint_V F (\nabla^2 G) - G (\nabla^2 F) dV \\ = \iint_S F \frac{d}{dn} G - G \frac{d}{dn} F dS \end{aligned}$$

4.4.9 ガウスの定理

```
kill(all);
load("vect");
depends([P,Q,R],[x,y,z]);
VCA:matrix([P],[Q],[R]);
VCN:matrix([n[x]],[n[y]],[n[z]]);
S1:matrix([x],[y],[z[1](x,y)]);
S2:matrix([x],[y],[z[2](x,y)]);
VCA.VCN;
div(transpose(VCA)[1]);
express(%);
DVCA:IVXYZ:ev(% ,diff);
GZ1:'integrate('integrate('integrate(
diff(R(x,y,z),z,1),z,z[1],z[2]),x),y);
GZ2:GZ1=ev(GZ1,integrate);
DS1X:diff(S1,x,1);
DS1Y:diff(S1,y,1);
DS1V:col(adjoint(transpose(addcol(DS1X,
DS1Y,matrix([1],[1],[1])))),3);
DS1AB:sqrt(DS1V[1][1]^2+DS1V[2][1]^2
+DS1V[3][1]^2);
DS12:dS=DS1AB*dx*dy;
N1:DS1V/DS1AB;
N1Z:N1[3][1];
DS2X:diff(S2,x,1);
DS2Y:diff(S2,y,1);
DS2V:col(adjoint(transpose(addcol(DS2X,
DS2Y,matrix([1],[1],[1])))),3);
DS2AB:sqrt(DS2V[1][1]^2+DS2V[2][1]^2
+DS2V[3][1]^2);
DS21:dS=DS2AB*dx*dy;
N2:DS2V/DS2AB;
N2Z:N2[3][1];
```

下記のガウスの定理を証明する。

$$\iiint_V \nabla \cdot \vec{A} dV = \iint_S \vec{A} \cdot \vec{n} dS \quad (4.4.44)$$

曲面:  $S$  で囲まれた領域の関数:  $P(x, y, z), Q(x, y, z), R(x, y, z)$  を考える。これらの関数を基にした下記のベクトル関数:  $\vec{A}$  および曲面の単位法線ベクトル:  $\vec{n}$  とすると、

$$\vec{A} = \begin{pmatrix} P \\ Q \\ R \end{pmatrix}, \quad \vec{n} = \begin{pmatrix} n_x \\ n_y \\ n_z \end{pmatrix} \quad (4.4.45)$$

ここで、下記の関係がある。

$$\vec{A} \cdot \vec{n} = n_z R + n_y Q + n_x P \quad (4.4.46)$$

$$\nabla \cdot \vec{A} = \text{div } \vec{A} = \frac{d}{dz} R + \frac{d}{dy} Q + \frac{d}{dx} P \quad (4.4.47)$$

また、(4.4.44) 式は (4.4.46) 式、(4.4.47) 式から下記のように記述できる。

$$\begin{aligned} \iiint_V \frac{d}{dz} R + \frac{d}{dy} Q + \frac{d}{dx} P dV \\ = \iint_S n_z R + n_y Q + n_x P dS \end{aligned} \quad (4.4.48)$$

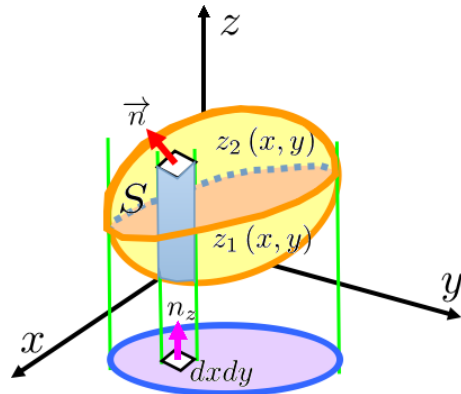


図 4.4.3: 曲面:  $S$  で囲まれた領域における  $\frac{d}{dz} R(x, y, z)$  の体積分

(4.4.48) 式の左辺の被積分関数の第一項:  $\frac{d}{dz} R$  の体積分について、

$$\begin{aligned} \iiint_{z_1}^{z_2} \frac{d}{dz} R(x, y, z) dz dxdy \\ = \iint_S R(x, y, z_2) - R(x, y, z_1) dxdy \end{aligned} \quad (4.4.49)$$

(4.4.48) 式の右辺の被積分関数の第一項:  $n_z R$  の面積分について、曲面:  $S$  の下部を  $z_1(x, y)$ 、上部を  $z_2(x, y)$  とし、下部の面を表すベクトル:  $\vec{r}_1$  とすると、

$$\vec{r}_1 = \begin{pmatrix} x \\ y \\ z_1(x, y) \end{pmatrix}$$

$\vec{r}_1$  を  $x, y$  で微分すると、

$$\frac{d}{dx} \vec{r}_1 = \begin{pmatrix} 1 \\ 0 \\ \frac{d}{dx} z_1(x, y) \end{pmatrix}, \quad \frac{d}{dy} \vec{r}_1 = \begin{pmatrix} 0 \\ 1 \\ \frac{d}{dy} z_1(x, y) \end{pmatrix}$$

微小面積:  $dS$  は、79 頁から次式となる。

$$dS = \left| \frac{d}{dx} \vec{r} \times \frac{d}{dy} \vec{r} \right| dx dy$$

上式から、

$$\frac{d}{dx} \vec{r}_1 \times \frac{d}{dy} \vec{r}_1 = \begin{pmatrix} -\frac{d}{dx} z_1(x, y) \\ -\frac{d}{dy} z_1(x, y) \\ 1 \end{pmatrix} \quad (4.4.50)$$



以上から、 $dS$  は、

$$dS = dx dy \sqrt{\left(\frac{d}{dy} z_1(x, y)\right)^2 + \left(\frac{d}{dx} z_1(x, y)\right)^2 + 1}$$

$S$  面に垂直な単位ベクトル： $\vec{n}_1$  は、

$$\vec{n}_1 = \frac{\begin{pmatrix} -\frac{d}{dx} z_1(x, y) \\ -\frac{d}{dy} z_1(x, y) \\ 1 \end{pmatrix}}{\sqrt{\left(\frac{d}{dy} z_1(x, y)\right)^2 + \left(\frac{d}{dx} z_1(x, y)\right)^2 + 1}} \quad (4.4.51)$$

$\vec{n}_1$  の  $z$  軸方向は、

$$\vec{n}_1 = \frac{1}{\sqrt{\left(\frac{d}{dy} z_2(x, y)\right)^2 + \left(\frac{d}{dx} z_2(x, y)\right)^2 + 1}}$$

以上から、下部の面： $z_1(x, y)$  は下向きであるから、

$$n_z dS = 1 dx dy \rightarrow n_z dS = -1 dx dy$$

上部の面も同じようにすると、上部の面： $z_2(x, y)$  は上向きであるから、

$$n_z dS = 1 dx dy \quad (4.4.52)$$

以上から、

$$\iint_S n_z R dS = \iint_S R(x, y, z_2) - R(x, y, z_1) dx dy \quad (4.4.53)$$

(4.4.49) 式の右辺と (4.4.53) 式の右辺が一致している  
ので、その左辺が等しいとして、

$$\iiint_{z_1}^{z_2} \frac{d}{dz} R(x, y, z) dz dx dy = \iint_S n_z R dS$$

上式から  $x, y$  軸も同様にして得られ、(4.4.48) 式のガウスの定理を証明できた。

また、 $\nabla \cdot \vec{A} = \text{div } \vec{A} = 0$  の場合には、(4.4.44) 式から、 $\iint_S \vec{A} \cdot \vec{n} dS$  は、積分範囲によらず、積分結果は零となる。

ガウスの積分例

$$\iint_S \frac{\vec{r} \cdot \vec{n}}{r^3} dS = \begin{cases} 0 & (\text{原点が曲面: } S \text{ の外}) \\ 4\pi & (\text{原点が曲面: } S \text{ の内}) \end{cases} \quad (4.4.54)$$

```
kill(all);
load("vect");
R1:matrix([x],[y],[z]);
RAB1:sqrt(x^2+y^2+z^2);
R2:R1/RAB1^3;
div(transpose(R2)[1]);
express(%);
ev(%,diff);
factor(%);
-(-R)/R^3*4*%pi*R^2;
```

(4.4.54) 式をガウスの定理: (4.4.44) 式に適用すると、

$$\iiint_V \nabla \cdot \frac{\vec{r}}{r^3} dV = \iint_S \frac{\vec{r}}{r^3} \cdot \vec{n} dS \quad (4.4.55)$$

$\vec{r}$ ,  $|r|$  は、

$$\vec{r} = \begin{pmatrix} x \\ y \\ z \end{pmatrix}, \quad |r| = \sqrt{z^2 + y^2 + x^2}$$

上式から、

$$\frac{\vec{r}}{r^3} = \begin{pmatrix} \frac{x}{(z^2+y^2+x^2)^{\frac{3}{2}}} \\ \frac{y}{(z^2+y^2+x^2)^{\frac{3}{2}}} \\ \frac{z}{(z^2+y^2+x^2)^{\frac{3}{2}}} \end{pmatrix}$$

$\nabla \cdot \frac{\vec{r}}{r^3}$  は、

$$\begin{aligned} \nabla \cdot \frac{\vec{r}}{r^3} &= \text{div} \left( \frac{\vec{r}}{r^3} \right) \\ &= \frac{3}{(z^2+y^2+x^2)^{\frac{3}{2}}} - \frac{3z^2}{(z^2+y^2+x^2)^{\frac{5}{2}}} \\ &\quad - \frac{3y^2}{(z^2+y^2+x^2)^{\frac{5}{2}}} - \frac{3x^2}{(z^2+y^2+x^2)^{\frac{5}{2}}} \\ &= 0 \end{aligned} \quad (4.4.56)$$

以上から、原点を含まない場合には特異点はなく、(4.4.54) 式で原点が曲面:  $S$  の外では零となる。

一方、原点では特異点のなるので、微小半径:  $\delta R$  の球で囲んで除き、外部の局面:  $S_1$ 、半径:  $\delta R$  の球面:  $S_2$  とすると、

$$\iint_S \frac{\vec{r}}{r^3} \cdot \vec{n} dS = \iint_{S_1} \frac{\vec{r}}{r^3} \cdot \vec{n} dS - \iint_{S_2} \frac{\vec{r}}{r^3} \cdot \vec{n} dS = 0 \quad (4.4.57)$$

上式の右辺第一項は、(4.4.55) 式、(4.4.56) 式から、

$$\iint_{S_1} \frac{\vec{r}}{r^3} \cdot \vec{n} dS = \iiint_{V_1} \nabla \cdot \frac{\vec{r}}{r^3} dV = 0$$

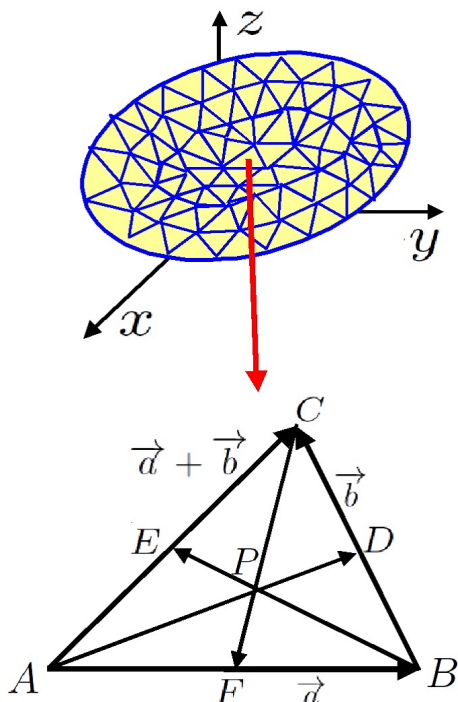
以上から、 $\vec{n}$  は内向きであるから、 $\vec{r} \cdot \vec{n} = -\delta R$  となり、

$$\begin{aligned} \iint_S \frac{\vec{r}}{r^3} \cdot \vec{n} dS &= - \iint_{S_2} \frac{\vec{r}}{r^3} \cdot \vec{n} dS \\ &= - \frac{-\delta R}{\delta R^3} 4\pi \delta R^2 = 4\pi \end{aligned} \quad (4.4.58)$$

以上から (4.4.54) 式が証明された。

4.4.10 ストークスの定理

```
kill(all);
load("vect");
depends([A],[x,y,z]);
NB:matrix([d/dx],[d/dy],[d/dz]);
AP:matrix([A[x]],[A[y]],[A[z]]);
VA:matrix([a[x]],[a[y]],[a[z]]);
VB:matrix([b[x]],[b[y]],[b[z]]);
```



下記のストークスの定理を証明する。

$$\int_C \vec{F} \cdot d\vec{r} = \iint_S (\nabla \times \vec{F}) \cdot \vec{n} dS \quad (4.4.59)$$

曲面の積分範囲を前図のように多くの三角形で分割し、その微小三角形の一部で上式左辺の線積分について検討する。

$$\int_{\Delta C} \vec{F} \cdot d\vec{r} \quad (4.4.60)$$

いま、下記とする。

$$\vec{A} = \begin{pmatrix} A_x \\ A_y \\ A_z \end{pmatrix}, \quad \vec{a} = \begin{pmatrix} a_x \\ a_y \\ a_z \end{pmatrix}, \quad \vec{b} = \begin{pmatrix} b_x \\ b_y \\ b_z \end{pmatrix}$$

三角形の頂点を A, B, C、三角形の中心を P、辺 : AB の中点を F、辺 : BC の中点を D、辺 : CA の中点を E とする。点 : D, E, F における  $\vec{F}$  の値 :  $\vec{F}_D, \vec{F}_E, \vec{F}_F$  と中心 : P の  $\vec{F}_P$  の関係は、(4.3.54) 式から、

$$\vec{F}_D = \vec{F}_P + (\vec{PD} \cdot \nabla) \vec{F}_P$$

$$\vec{F}_E = \vec{F}_P + (\vec{PE} \cdot \nabla) \vec{F}_P$$

$$\vec{F}_F = \vec{F}_P + (\vec{PF} \cdot \nabla) \vec{F}_P$$

ここで、 $\vec{PD}, \vec{PE}, \vec{PF}$  は、

$$\vec{PF} - \vec{PE} = \vec{EF} = -\frac{1}{2} \vec{b}$$

$$\vec{PD} - \vec{PE} = \vec{ED} = \frac{1}{2} \vec{a}$$

(4.4.60) 式は上式を用いて、

$$\begin{aligned} \oint_{\Delta C} \vec{F} \cdot d\vec{r} &= \vec{b} \cdot \vec{F}_D - (\vec{a} + \vec{b}) \cdot \vec{F}_E + \vec{a} \cdot \vec{F}_F \\ &= \vec{a} (\vec{F}_F - \vec{F}_E) + \vec{b} (\vec{F}_D - \vec{F}_E) \\ &= \vec{a} ((\vec{PF} \cdot \nabla) \vec{F}_P - (\vec{PE} \cdot \nabla) \vec{F}_P) \\ &\quad + \vec{b} ((\vec{PD} \cdot \nabla) \vec{F}_P - (\vec{PE} \cdot \nabla) \vec{F}_P) \\ &= \vec{a} ((\vec{EF} \cdot \nabla) \vec{F}_P) + \vec{b} ((\vec{ED} \cdot \nabla) \vec{F}_P) \\ &= -\frac{1}{2} \vec{a} ((\vec{b} \cdot \nabla) \vec{F}_P) + \frac{1}{2} \vec{b} ((\vec{a} \cdot \nabla) \vec{F}_P) \end{aligned} \quad (4.4.61)$$

```
VA.AP;
grad(%);
express(%);
ev(%,diff);
VPA21:transpose(%);
curl(transpose(AP)[1]);
transpose(express(%));
ev(%,diff);
VPA22:col(adjoint(transpose(addcol(%,VA,
matrix([1],[1],[1])))),3);
VPA21+VPA22;
VPA1:expand(%);
VB.VPA1;
I11:%/2;
VB.AP;
grad(%);
express(%);
ev(%,diff);
VPB21:transpose(%);
curl(transpose(AP)[1]);
transpose(express(%));
ev(%,diff);
VPB22:col(adjoint(transpose(addcol(%,VB,
matrix([1],[1],[1])))),3);
VPB21+VPB22;
```

```

VPB1: expand(%);
VA.VPB1;
I12:%/2;
I11-I12;
I1: expand(%);

```

下記は (4.3.53) 式から計算することができ、

$$\begin{aligned}
& \oint_{\Delta C} \vec{F} \cdot d\vec{r} \\
&= -\frac{1}{2} \vec{a} \left( (\vec{b} \cdot \nabla) \vec{F}_P \right) + \frac{1}{2} \vec{b} \left( (\vec{a} \cdot \nabla) \vec{F}_P \right) \\
&= \frac{a_y b_z \left( \frac{d}{dy} A_z \right)}{2} - \frac{b_y a_z \left( \frac{d}{dy} A_z \right)}{2} + \frac{a_x b_z \left( \frac{d}{dx} A_z \right)}{2} \\
&\quad - \frac{b_x a_z \left( \frac{d}{dx} A_z \right)}{2} - \frac{a_y \left( \frac{d}{dz} A_y \right) b_z}{2} - \frac{a_x \left( \frac{d}{dz} A_x \right) b_z}{2} \\
&\quad + \frac{b_y \left( \frac{d}{dz} A_y \right) a_z}{2} + \frac{b_x \left( \frac{d}{dz} A_x \right) a_z}{2} + \frac{a_x b_y \left( \frac{d}{dx} A_y \right)}{2} \\
&\quad - \frac{b_x a_y \left( \frac{d}{dx} A_y \right)}{2} - \frac{a_x \left( \frac{d}{dy} A_x \right) b_y}{2} + \frac{b_x \left( \frac{d}{dy} A_x \right) a_y}{2}
\end{aligned} \tag{4.4.62}$$

```

curl(transpose(AP)[1]);
transpose(express(%));
CVCA1: ev(% , diff);
col(adjoint(transpose(addcol(VA, VB,
matrix([1],[1],[1])))),3);
%.CVCA1/2;
I2: expand(%);
I1-I2;
factor(%);

```

(4.4.59) 式の右辺の微小三角形の面積分について検討する。

$$\iint_{\Delta S} (\nabla \times \vec{F}) \cdot \vec{n} dS$$

ここで、

$$\vec{n} dS = \frac{1}{2} \vec{a} \times \vec{b}$$

上式から、

$$\begin{aligned}
& \iint_{\Delta S} (\nabla \times \vec{F}) \cdot \vec{n} dS = \frac{1}{2} (\vec{a} \times \vec{b}) \cdot (\nabla \times \vec{F}) \\
&= \frac{a_y b_z \left( \frac{d}{dy} A_z \right)}{2} - \frac{b_y a_z \left( \frac{d}{dy} A_z \right)}{2} + \frac{a_x b_z \left( \frac{d}{dx} A_z \right)}{2} \\
&\quad - \frac{b_x a_z \left( \frac{d}{dx} A_z \right)}{2} - \frac{a_y \left( \frac{d}{dz} A_y \right) b_z}{2} - \frac{a_x \left( \frac{d}{dz} A_x \right) b_z}{2} \\
&\quad + \frac{b_y \left( \frac{d}{dz} A_y \right) a_z}{2} + \frac{b_x \left( \frac{d}{dz} A_x \right) a_z}{2} + \frac{a_x b_y \left( \frac{d}{dx} A_y \right)}{2} \\
&\quad - \frac{b_x a_y \left( \frac{d}{dx} A_y \right)}{2} - \frac{a_x \left( \frac{d}{dy} A_x \right) b_y}{2} + \frac{b_x \left( \frac{d}{dy} A_x \right) a_y}{2}
\end{aligned} \tag{4.4.63}$$

(4.4.62) 式、(4.4.63) 式から、両式の右辺は等しいから、

$$\oint_{\Delta C} \vec{F} \cdot d\vec{r} = \iint_{\Delta S} (\nabla \times \vec{F}) \cdot \vec{n} dS$$

各微小部分に接する線積分はお互いに打ち消しあい、最終的に与えられた線積分境界と面積分となり、(4.4.59) 式が証明された。

## ストークスの定理の別解

```

kill(all);
load("vect");
depends([A],[x,y,z]);
depends([x,y,z],[u,v]);
VCA:matrix([A[x]],[A[y]],[A[z]]);
curl(transpose(VCA)[1]);
transpose(express(%));
CVCA1:ev(%diff);
DRU1:matrix([diff(x,u,1)],[diff(y,u,1)],[diff(z,u,1)]);
DRV1:matrix([diff(x,v,1)],[diff(y,v,1)],[diff(z,v,1)]);
DUV1:col(adjoint(transpose(addcol(DRU1,DRV1,matrix([1],[1],[1])))),3);
CVCA1.DUV1;
CVCA2:expand(%);
AXP:+('diff(x,v,1))*('diff(A[x],z,1))
*('diff(z,u,1))+('diff(x,v,1))
*('diff(A[x],y,1))*('diff(y,u,1));
AXM:-('diff(x,u,1))*('diff(A[x],y,1))
*('diff(y,v,1))-('diff(x,u,1))
*('diff(A[x],z,1))*('diff(z,v,1));
AYP:+('diff(y,v,1))*('diff(A[y],z,1))
*('diff(z,u,1))+('diff(x,u,1))
*('diff(y,v,1))*('diff(A[y],x,1));
AYM:-('diff(y,u,1))*('diff(A[y],z,1))
*('diff(z,v,1))-('diff(x,v,1))
*('diff(y,u,1))*('diff(A[y],x,1));

```

以上から、

$$\begin{aligned}
(\nabla \times \vec{A}) \cdot \left( \frac{d}{du} \vec{r} \times \frac{d}{dv} \vec{r} \right) &= \left( \left( \frac{d}{dv} x \right) \left( \frac{d}{dz} A_x \right) \left( \frac{d}{du} z \right) + \left( \frac{d}{dv} x \right) \left( \frac{d}{dy} A_x \right) \left( \frac{d}{du} y \right) \right) \\
&+ \left( - \left( \frac{d}{du} x \right) \left( \frac{d}{dz} A_x \right) \left( \frac{d}{dv} z \right) - \left( \frac{d}{du} x \right) \left( \frac{d}{dy} A_x \right) \left( \frac{d}{dv} y \right) \right) \\
&+ \left( \left( \frac{d}{dv} y \right) \left( \frac{d}{dz} A_y \right) \left( \frac{d}{du} z \right) + \left( \frac{d}{dv} y \right) \left( \frac{d}{dx} A_y \right) \left( \frac{d}{du} x \right) \right) \\
&+ \left( - \left( \frac{d}{du} y \right) \left( \frac{d}{dz} A_y \right) \left( \frac{d}{dv} z \right) - \left( \frac{d}{dv} y \right) \left( \frac{d}{dx} A_y \right) \left( \frac{d}{du} x \right) \right) \\
&+ \left( \left( \frac{d}{du} z \right) \left( \frac{d}{dy} A_z \right) + \left( \frac{d}{du} x \right) \left( \frac{d}{dv} z \right) \left( \frac{d}{dx} A_z \right) \right) \\
&+ \left( - \left( \frac{d}{dv} z \right) \left( \frac{d}{du} z \right) \left( \frac{d}{dy} A_z \right) - \left( \frac{d}{dv} x \right) \left( \frac{d}{du} z \right) \left( \frac{d}{dx} A_z \right) \right)
\end{aligned} \tag{4.4.65}$$

```

AZP:( 'diff(y,u,1))*('diff(z,v,1))
*('diff(A[z],y,1))+('diff(x,u,1))
*('diff(z,v,1))*('diff(A[z],x,1));
AZM:-('diff(y,v,1))*('diff(z,u,1))
*('diff(A[z],y,1))-('diff(x,v,1))
*('diff(z,u,1))*('diff(A[z],x,1));
AXP+AXM+AYP+AYM+AZP+AZM;
CVCA2-%;

```

(4.4.59) 式の下記について調べる。(4.4.20) 式から、

$$\begin{aligned}
\iint_S (\nabla \times \vec{A}) \cdot \vec{n} \, dS \\
= \iint_D (\nabla \times \vec{A}) \cdot \left( \frac{d}{du} \vec{r} \times \frac{d}{dv} \vec{r} \right) \, du \, dv
\end{aligned} \tag{4.4.64}$$

ここで、

$$\vec{A} = \begin{pmatrix} A_x \\ A_y \\ A_z \end{pmatrix}, \quad \nabla \times \vec{A} = \begin{pmatrix} \frac{d}{dy} A_z - \frac{d}{dz} A_y \\ \frac{d}{dz} A_x - \frac{d}{dx} A_z \\ \frac{d}{dx} A_y - \frac{d}{dy} A_x \end{pmatrix}$$

$$\frac{d}{du} \vec{r} = \begin{pmatrix} \frac{d}{du} x \\ \frac{d}{du} y \\ \frac{d}{du} z \end{pmatrix}, \quad \frac{d}{dv} \vec{r} = \begin{pmatrix} \frac{d}{dv} x \\ \frac{d}{dv} y \\ \frac{d}{dv} z \end{pmatrix}$$

$$\frac{d}{du} \vec{r} \times \frac{d}{dv} \vec{r} = \begin{pmatrix} \left( \frac{d}{du} y \right) \left( \frac{d}{dv} z \right) - \left( \frac{d}{dv} y \right) \left( \frac{d}{du} z \right) \\ \left( \frac{d}{dv} x \right) \left( \frac{d}{du} z \right) - \left( \frac{d}{du} x \right) \left( \frac{d}{dv} z \right) \\ \left( \frac{d}{du} x \right) \left( \frac{d}{dv} y \right) - \left( \frac{d}{dv} x \right) \left( \frac{d}{du} y \right) \end{pmatrix}$$

```

AXA: ('diff(x,v,1))*('diff(A[x],x,1))
      *('diff(x,u,1));
AYA: ('diff(y,v,1))*('diff(A[y],y,1))
      *('diff(y,u,1));
AZA: ('diff(z,v,1))*('diff(A[z],z,1))
      *('diff(z,u,1));
AXP+AXA;
factor(%);
AXP1:'diff(A[x],u,1)*'diff(x,v,1);
AXM-AXA;
factor(%);
AXM1:-'diff(A[x],v,1)*'diff(x,u,1);
AYP+AYA;
factor(%);
AYP1:'diff(A[y],u,1)*'diff(y,v,1);
AYM-AYA;
factor(%);
AYM1:-'diff(A[y],v,1)*'diff(y,u,1);
AZP+AZA;
factor(%);
AZP1:'diff(A[z],u,1)*'diff(z,v,1);
AZM-AZA;
factor(%);
AZM1:-'diff(A[z],v,1)*'diff(z,u,1);
AXYZ1:AXP1+AYP1+AZP1;

```

```

XYZ2:AXM1+AYM1+AZM1;
remove(A, dependency);
depends([A],[u,v]);
DVAU1:diff(VCA,u,1);
DVAV1:diff(VCA,v,1);
DS1:DVAU1.DRV1;
DS1-XYZ2;
DS2:DVAV1.DRU1;
DS2+XYZ2;
VCA.DRV1;
DS11:diff(%,u,1);
VCA.DRU1;
DS21:diff(%,v,1);
DS11-DS21;
DS1-DS2-%;

```

(4.4.65) 式の右辺第一項に  $\left(\frac{d}{du}x\right)\left(\frac{d}{dv}x\right)\left(\frac{d}{dx}A_x\right)$  を  
 足し、 $I_{11}$  とし、右辺第二項に同じ  $\left(\frac{d}{du}x\right)\left(\frac{d}{dv}x\right)\left(\frac{d}{dx}A_x\right)$   
 を引き、 $I_{12}$  とする。

(4.4.65) 式の右辺第三項に  $\left(\frac{d}{du}y\right)\left(\frac{d}{dv}y\right)\left(\frac{d}{dy}A_y\right)$  を  
 足し、 $I_{21}$  とし、右辺第四項に同じ  $\left(\frac{d}{du}y\right)\left(\frac{d}{dv}y\right)\left(\frac{d}{dy}A_y\right)$   
 を引き、 $I_{22}$  とする。

(4.4.65) 式の右辺第五項に  $\left(\frac{d}{du}z\right)\left(\frac{d}{dv}z\right)\left(\frac{d}{dz}A_z\right)$  を  
 足し、 $I_{31}$  とし、右辺第六項に同じ  $\left(\frac{d}{du}z\right)\left(\frac{d}{dv}z\right)\left(\frac{d}{dz}A_z\right)$   
 を引き、 $I_{32}$  とする。

上記から、

$$\begin{aligned}
 I_{11} &= \left(\frac{d}{dv}x\right) \left( \left(\frac{d}{dz}A_x\right)\left(\frac{d}{du}z\right) + \left(\frac{d}{dy}A_x\right)\left(\frac{d}{du}y\right) + \left(\frac{d}{du}x\right)\left(\frac{d}{dx}A_x\right) \right) = \left(\frac{d}{dv}x\right)\left(\frac{d}{du}A_x\right) \\
 I_{12} &= -\left(\frac{d}{du}x\right) \left( \left(\frac{d}{dz}A_x\right)\left(\frac{d}{dv}z\right) + \left(\frac{d}{dy}A_x\right)\left(\frac{d}{dv}y\right) + \left(\frac{d}{dv}x\right)\left(\frac{d}{dx}A_x\right) \right) = -\left(\frac{d}{du}x\right)\left(\frac{d}{dv}A_x\right) \\
 I_{21} &= \left(\frac{d}{dv}y\right) \left( \left(\frac{d}{dz}A_y\right)\left(\frac{d}{du}z\right) + \left(\frac{d}{du}y\right)\left(\frac{d}{dy}A_y\right) + \left(\frac{d}{du}x\right)\left(\frac{d}{dx}A_y\right) \right) = \left(\frac{d}{dv}y\right)\left(\frac{d}{du}A_y\right) \\
 I_{22} &= -\left(\frac{d}{du}y\right) \left( \left(\frac{d}{dz}A_y\right)\left(\frac{d}{dv}z\right) + \left(\frac{d}{dv}y\right)\left(\frac{d}{dy}A_y\right) + \left(\frac{d}{dv}x\right)\left(\frac{d}{dx}A_y\right) \right) = -\left(\frac{d}{du}y\right)\left(\frac{d}{dv}A_y\right) \\
 I_{31} &= \left(\frac{d}{dv}z\right) \left( \left(\frac{d}{du}z\right)\left(\frac{d}{dz}A_z\right) + \left(\frac{d}{du}y\right)\left(\frac{d}{dy}A_z\right) + \left(\frac{d}{du}x\right)\left(\frac{d}{dx}A_z\right) \right) = \left(\frac{d}{dv}z\right)\left(\frac{d}{du}A_z\right) \\
 I_{32} &= -\left(\frac{d}{du}z\right) \left( \left(\frac{d}{dv}z\right)\left(\frac{d}{dz}A_z\right) + \left(\frac{d}{dv}y\right)\left(\frac{d}{dy}A_z\right) + \left(\frac{d}{dv}x\right)\left(\frac{d}{dx}A_z\right) \right) = -\left(\frac{d}{du}z\right)\left(\frac{d}{dv}A_z\right)
 \end{aligned}$$

上式を整理して、

$$\begin{aligned}
 I_{11} + I_{21} + I_{31} &= \left(\frac{d}{dv}z\right)\left(\frac{d}{du}A_z\right) + \left(\frac{d}{dv}y\right)\left(\frac{d}{du}A_y\right) + \left(\frac{d}{dv}x\right)\left(\frac{d}{du}A_x\right) \\
 I_{12} + I_{22} + I_{32} &= -\left(\frac{d}{du}z\right)\left(\frac{d}{dv}A_z\right) - \left(\frac{d}{du}y\right)\left(\frac{d}{dv}A_y\right) - \left(\frac{d}{du}x\right)\left(\frac{d}{dv}A_x\right)
 \end{aligned}$$

$I_{11} + I_{21} + I_{31}$  は、

$$\begin{aligned} \frac{d}{du} \vec{A} \cdot \frac{d}{dv} \vec{r} &= \begin{pmatrix} \frac{d}{du} A_x \\ \frac{d}{du} A_y \\ \frac{d}{du} A_z \end{pmatrix} \cdot \begin{pmatrix} \frac{d}{dv} x \\ \frac{d}{dv} y \\ \frac{d}{dv} z \end{pmatrix} = \left( \frac{d}{dv} z \right) \left( \frac{d}{du} A_z \right) + \left( \frac{d}{dv} y \right) \left( \frac{d}{du} A_y \right) + \left( \frac{d}{dv} x \right) \left( \frac{d}{du} A_x \right) \\ &= I_{11} + I_{21} + I_{31} \end{aligned}$$

$I_{12} + I_{22} + I_{32}$  は、

$$\begin{aligned} \frac{d}{dv} \vec{A} \cdot \frac{d}{du} \vec{r} &= \begin{pmatrix} \frac{d}{dv} A_x \\ \frac{d}{dv} A_y \\ \frac{d}{dv} A_z \end{pmatrix} \cdot \begin{pmatrix} \frac{d}{du} x \\ \frac{d}{du} y \\ \frac{d}{du} z \end{pmatrix} = \left( \frac{d}{du} z \right) \left( \frac{d}{dv} A_z \right) + \left( \frac{d}{du} y \right) \left( \frac{d}{dv} A_y \right) + \left( \frac{d}{du} x \right) \left( \frac{d}{dv} A_x \right) \\ &= I_{12} + I_{22} + I_{32} \end{aligned}$$

(4.4.64) 式は上記の結果から、

$$\iint_S (\nabla \times \vec{A}) \cdot \vec{n} \, dS = \iint_D (\nabla \times \vec{A}) \cdot \left( \frac{d}{du} \vec{r} \times \frac{d}{dv} \vec{r} \right) \, du \, dv = \iint_D \frac{d}{du} \vec{A} \cdot \frac{d}{dv} \vec{r} - \frac{d}{dv} \vec{A} \cdot \frac{d}{du} \vec{r} \, du \, dv \quad (4.4.66)$$

ところで、

$$\vec{A} \cdot \frac{d}{dv} \vec{r} = A_z \left( \frac{d}{dv} z \right) + A_y \left( \frac{d}{dv} y \right) + A_x \left( \frac{d}{dv} x \right), \quad \vec{A} \cdot \frac{d}{du} \vec{r} = A_z \left( \frac{d}{du} z \right) + A_y \left( \frac{d}{du} y \right) + A_x \left( \frac{d}{du} x \right)$$

上式を  $u, v$  で微分すると、

$$\begin{aligned} \frac{d}{du} \left( \vec{A} \cdot \frac{d}{dv} \vec{r} \right) - \frac{d}{dv} \left( \vec{A} \cdot \frac{d}{du} \vec{r} \right) &= - \left( \frac{d}{du} z \right) \left( \frac{d}{dv} A_z \right) + \left( \frac{d}{dv} z \right) \left( \frac{d}{du} A_z \right) - \left( \frac{d}{du} y \right) \left( \frac{d}{dv} A_y \right) \\ &\quad + \left( \frac{d}{dv} y \right) \left( \frac{d}{du} A_y \right) - \left( \frac{d}{du} x \right) \left( \frac{d}{dv} A_x \right) + \left( \frac{d}{dv} x \right) \left( \frac{d}{du} A_x \right) \end{aligned}$$

上式は  $I_{11} + I_{21} + I_{31} + I_{12} + I_{22} + I_{32}$  と等しく、

$$\frac{d}{du} \left( \vec{A} \cdot \frac{d}{dv} \vec{r} \right) - \frac{d}{dv} \left( \vec{A} \cdot \frac{d}{du} \vec{r} \right) = \frac{d}{du} \vec{A} \cdot \frac{d}{dv} \vec{r} - \frac{d}{dv} \vec{A} \cdot \frac{d}{du} \vec{r}$$

(4.4.66) 式に上式を代入すると、

$$\iint_S (\nabla \times \vec{A}) \cdot \vec{n} \, dS = \iint_D \frac{d}{du} \vec{A} \cdot \frac{d}{dv} \vec{r} - \frac{d}{dv} \vec{A} \cdot \frac{d}{du} \vec{r} \, du \, dv = \iint_D \frac{d}{du} \left( \vec{A} \cdot \frac{d}{dv} \vec{r} \right) - \frac{d}{dv} \left( \vec{A} \cdot \frac{d}{du} \vec{r} \right) \, du \, dv \quad (4.4.67)$$

(4.4.32) 式の下記の平面におけるグリーンの定理から、

$$\iint_S \left( \frac{d}{dx} Q - \frac{d}{dy} P \right) \, dy \, dx = \oint_C Q \, dy + P \, dx$$

上記を適用し、下記からストークスの定理が証明された。

$$\begin{aligned} \iint_S (\nabla \times \vec{A}) \cdot \vec{n} \, dS &= \iint_D \frac{d}{du} \left( \vec{A} \cdot \frac{d}{dv} \vec{r} \right) - \frac{d}{dv} \left( \vec{A} \cdot \frac{d}{du} \vec{r} \right) \, du \, dv \\ &= \oint_C \left( \vec{A} \cdot \frac{d}{du} \vec{r} \right) \, du + \left( \vec{A} \cdot \frac{d}{dv} \vec{r} \right) \, dv = \oint_C \vec{A} \cdot d\vec{r} \end{aligned} \quad (4.4.68)$$

4.4.11 スカラーポテンシャル

```
kill(all);
load("vect");
V:matrix([u],[v],[w]);
depends(u,[x,y,z,t]);
depends(v,[x,y,z,t]);
depends(w,[x,y,z,t]);
depends(p,[x,y,z,t]);
depends(\Phi,[x,y,z,t]);
X:matrix([0],[0],[-\rho*g]);
curl(transpose(V)[1])=0;
express(%);
transpose(lhs(%))=0;
grad(\Phi);
express(%);
PH01:ev(% ,diff);
PH02:V=transpose(PH01);
curl(PH01);
express(%);
ev(% ,diff);
div(transpose(V)[1])=0;
express(%);
EQC01:ev(% ,diff);
```

ベクトル場： $\vec{V}$  とし、

$$\vec{V} = \begin{pmatrix} u \\ v \\ w \end{pmatrix}$$

下記の回転無しとする。

$$\text{curl}(\vec{V}) = \nabla \times \vec{V} = \begin{pmatrix} \frac{d}{dy} w - \frac{d}{dz} v \\ \frac{d}{dz} u - \frac{d}{dx} w \\ \frac{d}{dx} v - \frac{d}{dy} u \end{pmatrix} = 0$$

(4.4.59) 式のストークスの定理から、

$$\int_C \vec{V} \cdot d\vec{r} = \iint_S (\nabla \times \vec{V}) \cdot \vec{n} dS$$

回転無し： $\nabla \times \vec{V} = 0$  から、上式の右辺が零となり、

$$\int_C \vec{V} \cdot d\vec{r} = 0 \tag{4.4.69}$$

上式の基準点： $O$  から点： $P$  の線積分をポテンシャル： $\Phi$  とすると、

$$\Phi = \int_O^P \vec{V} \cdot d\vec{r} \tag{4.4.70}$$

また、二点間： $(O \rightarrow P)$  の積分経路として二つの  $C_1, C_2$  を考える。積分経路： $C_1$  によるポテンシャル： $\Phi$

は次式となり、 $C_1 - C_2$  は閉経路となるため、(4.4.69) 式から零となり、下記のように書き換えることができる。

$$\begin{aligned} \Phi &= \int_{C_1} \vec{V} \cdot d\vec{r} = \int_{C_1 - C_2} \vec{V} \cdot d\vec{r} + \int_{C_2} \vec{V} \cdot d\vec{r} \\ &= 0 + \int_{C_2} \vec{V} \cdot d\vec{r} = \int_{C_2} \vec{V} \cdot d\vec{r} \end{aligned}$$

上式から、ポテンシャル： $\Phi$  は積分経路に依存しないことが示された。

$\Phi$  について、下記の関係がある。

$$d\Phi = \frac{d\Phi}{dx} dx + \frac{d\Phi}{dy} dy + \frac{d\Phi}{dz} dz$$

$$d\vec{r} = dx \vec{i} + dy \vec{j} + dz \vec{k}$$

$$\text{grad} \Phi = \frac{d\Phi}{dx} \vec{i} + \frac{d\Phi}{dy} \vec{j} + \frac{d\Phi}{dz} \vec{k}$$

上式から、

$$d\Phi = \text{grad} \Phi \cdot d\vec{r} \tag{4.4.71}$$

上式と (4.4.70) 式から、

$$d\Phi = \text{grad} \Phi \cdot d\vec{r} = \vec{V} \cdot d\vec{r}$$

上式からポテンシャル： $\Phi$  とベクトル場： $\vec{V}$  との関係式は、

$$\vec{V} = \text{grad} \Phi = \begin{pmatrix} \frac{d}{dx} \Phi \\ \frac{d}{dy} \Phi \\ \frac{d}{dz} \Phi \end{pmatrix} \tag{4.4.72}$$

また、ポテンシャル： $\Phi$  は積分経路に依存しないことから、点： $A$  の座標： $(a, b, c)$  から点： $B$  の座標： $(x, y, z)$  の積分経路で、経路： $(a, b, c) \rightarrow (x, b, c) \rightarrow (x, y, c) \rightarrow (x, y, z)$  とすると、

$$\begin{aligned} \Phi &= \int_a^x V_x(x', b, c) dx' + \int_b^y V_y(x, y', c) dy' \\ &\quad + \int_c^z V_z(x, y, z') dz' \end{aligned}$$

上式を  $z$  で微分すると、

$$\frac{d\Phi}{dz} = V_z$$

同様にして、

$$\frac{d\Phi}{dx} = V_x, \quad \frac{d\Phi}{dy} = V_y$$

以上から (4.4.72) 式と同じ結果が得られた。



## 例1 重力ポテンシャル・静電ポテンシャル

質量： $M$  と質量： $m$  の物体が  $r$  だけ離れているとき、物体間に作用する引力は、

$$F = G \frac{mM}{r^2}$$

また、二つの小さい球が帯電し、球間距離： $r$  が球の大きさより十分大きいとする。小球の電荷： $Q_1, Q_2$  とすると、球間に作用するクーロン力： $F$  は、

$$F = \frac{1}{\epsilon_0} \frac{Q_1 Q_2}{4\pi r^2}$$

ここで、 $\epsilon_0 = 8.854 \times 10^{-12} C^2 \cdot N^{-1} \cdot m^{-2}$  これらの力は  $\frac{1}{r^2}$  に比例しているのので、これについて調べる。

```
kill(all);
load("vect")$
XYZ1:matrix([x],[y],[z]);
ABC1:matrix([A],[B],[C]);
F=G*(m*M)/(r^2);
F=1/(4*pi*\epsilon[0])*
  Q[1]*Q[2]/r^2;
XA1:XYZ1-ABC1;
XA11:XA1.XA1;
XA2:XA11^(3/2);
XA3:XA1/XA2;
XA4:1/XA11^(1/2);
div(transpose(XA3)[1]);
express(%);
ev(% ,diff);
factor(%);
curl(transpose(XA3)[1]);
express(%);
```

```
ev(% ,diff);
grad(XA4);
express(%);
ev(% ,diff);
transpose(%);
%+XA3;
```

物体の位置： $\vec{a}$ 、評価位置： $\vec{r}$  とすると、

$$\vec{r} = \begin{pmatrix} x \\ y \\ z \end{pmatrix}, \quad \vec{a} = \begin{pmatrix} A \\ B \\ C \end{pmatrix}$$

$\vec{r} - \vec{a}$  は、

$$\vec{r} - \vec{a} = \begin{pmatrix} x - A \\ y - B \\ z - C \end{pmatrix}$$

また、 $|\vec{r} - \vec{a}|$  は、

$$|\vec{r} - \vec{a}| = \sqrt{(z - C)^2 + (y - B)^2 + (x - A)^2}$$

$F$  をベクトル表記し、係数： $G$ 、質量または電荷： $q_j$  とすると、

$$\begin{aligned} \vec{F} &= G q_j \frac{\vec{r} - \vec{a}}{|\vec{r} - \vec{a}|^{\frac{3}{2}}} \\ &= G q_j \begin{pmatrix} \frac{x - A}{((z - C)^2 + (y - B)^2 + (x - A)^2)^{\frac{3}{2}}} \\ \frac{y - B}{((z - C)^2 + (y - B)^2 + (x - A)^2)^{\frac{3}{2}}} \\ \frac{z - C}{((z - C)^2 + (y - B)^2 + (x - A)^2)^{\frac{3}{2}}} \end{pmatrix} \quad (4.4.73) \end{aligned}$$

$div \vec{F}$ ,  $curl \vec{F}$  を求めると、

$$\begin{aligned} div \vec{F} = \nabla \cdot \vec{F} &= G q_j \left( \frac{d}{dz} \frac{z - C}{((z - C)^2 + (y - B)^2 + (x - A)^2)^{\frac{3}{2}}} + \frac{d}{dy} \frac{y - B}{((z - C)^2 + (y - B)^2 + (x - A)^2)^{\frac{3}{2}}} \right. \\ &\quad \left. + \frac{d}{dx} \frac{x - A}{((z - C)^2 + (y - B)^2 + (x - A)^2)^{\frac{3}{2}}} \right) \\ &= G q_j \left( -\frac{3(z - C)^2}{((z - C)^2 + (y - B)^2 + (x - A)^2)^{\frac{5}{2}}} + \frac{3}{((z - C)^2 + (y - B)^2 + (x - A)^2)^{\frac{3}{2}}} \right. \\ &\quad \left. - \frac{3(y - B)^2}{((z - C)^2 + (y - B)^2 + (x - A)^2)^{\frac{5}{2}}} - \frac{3(x - A)^2}{((z - C)^2 + (y - B)^2 + (x - A)^2)^{\frac{5}{2}}} \right) \\ &= 0 \end{aligned}$$

(4.4.74)

$$\operatorname{curl} \vec{F} = \nabla \times \vec{F} = G q_j \begin{pmatrix} \frac{d}{dy} \frac{z-C}{((z-C)^2+(y-B)^2+(x-A)^2)^{\frac{3}{2}}} - \frac{d}{dz} \frac{y-B}{((z-C)^2+(y-B)^2+(x-A)^2)^{\frac{3}{2}}} \\ \frac{d}{dz} \frac{x-A}{((z-C)^2+(y-B)^2+(x-A)^2)^{\frac{3}{2}}} - \frac{d}{dx} \frac{z-C}{((z-C)^2+(y-B)^2+(x-A)^2)^{\frac{3}{2}}} \\ \frac{d}{dx} \frac{y-B}{((z-C)^2+(y-B)^2+(x-A)^2)^{\frac{3}{2}}} - \frac{d}{dy} \frac{x-A}{((z-C)^2+(y-B)^2+(x-A)^2)^{\frac{3}{2}}} \end{pmatrix} = \begin{pmatrix} 0 \\ 0 \\ 0 \end{pmatrix} \quad (4.4.75)$$

上式から、重力場・静電場の  $\frac{1}{r^2}$  に比例する力は回転無しとなり、(4.4.70) 式から、基準点:  $O$  から点:  $P$  の線積分のポテンシャル:  $\Phi$  とすると、

$$\Phi = - \int_O^P \vec{F} \cdot d\vec{r} \quad (4.4.76)$$

$\Phi$  を上式で無限遠を基準点とすると、

$$\Phi = - \int_{\infty}^P \vec{F} \cdot d\vec{r} = \int_P^{\infty} \vec{F} \cdot d\vec{r}$$

(4.4.73) 式から、

$$\begin{aligned} \Phi &= \int_P^{\infty} \vec{F} \cdot d\vec{r} = \int_r^{\infty} \vec{F} \cdot d\vec{r} \\ &= \int_r^{\infty} G q_j \frac{1}{r^2} \cdot dr = G q_j \left[ -\frac{1}{r} \right]_r^{\infty} \\ &= G q_j \frac{1}{r} = G q_j \frac{1}{|\vec{r} - \vec{a}|} \end{aligned}$$

この  $\Phi$  の  $\operatorname{grad}$  を求めると、(4.4.73) 式から、

$$\operatorname{grad} \Phi = G q_j \begin{pmatrix} -\frac{x-A}{((z-C)^2+(y-B)^2+(x-A)^2)^{\frac{3}{2}}} \\ -\frac{y-B}{((z-C)^2+(y-B)^2+(x-A)^2)^{\frac{3}{2}}} \\ -\frac{z-C}{((z-C)^2+(y-B)^2+(x-A)^2)^{\frac{3}{2}}} \end{pmatrix} = -\vec{F} \quad (4.4.77)$$

上式から、

$$\vec{F} = -\operatorname{grad} \Phi \quad (4.4.78)$$

また、 $\operatorname{div} \operatorname{grad} \Phi$  を求めると、(4.4.74) 式および上式から、

$$\operatorname{div} \operatorname{grad} \Phi = \nabla^2 \Phi = -\operatorname{div} \vec{F} = 0 \quad (4.4.79)$$

$q_j$  を静電気の電荷とし、それが  $q_1, q_1, q_1, \dots, q_n$  ある時、静電ポテンシャル:  $\Phi$  は、

$$\Phi = G \sum_{j=1}^n \frac{q_j}{|\vec{r} - \vec{r}_j|} \quad (4.4.80)$$

電荷の体積密度:  $\rho(\vec{r})$  が分布している時の静電ポテンシャル:  $\Phi$  は、

$$\Phi = G \iiint_V \frac{\rho(\vec{r}')}{|\vec{r} - \vec{r}'|} dV \quad (4.4.81)$$

上式を  $\nabla^2$  の微分を行うと、ガウスの定理: (4.4.44) 式から下記のポアソンの方程式が得られる。

$$\begin{aligned} \nabla^2 \Phi &= G \rho(\vec{r}') \operatorname{div} \operatorname{grad} \iiint_V \frac{1}{|\vec{r} - \vec{r}'|} dV \\ &= G \rho(\vec{r}') \iint_S \operatorname{grad} \frac{1}{|\vec{r} - \vec{r}'|} \cdot \vec{n}(\vec{r}') dS \\ &= -G \rho(\vec{r}') \iint_{r'=R} \frac{1}{r'^2} \vec{n}(\vec{r}') dS \\ &= -4\pi G \rho(\vec{r}') \end{aligned} \quad (4.4.82)$$

## 例 1 流体力学：速度ポテンシャル

```
div(grad(\Phi))=0;
express(%);
EQC02:ev(%,diff);
```

流速： $\vec{V}$  とし、

$$\vec{V} = \begin{pmatrix} u \\ v \\ w \end{pmatrix}$$

下記の渦無し流れとし、

$$\text{curl}(\vec{V}) = \nabla \times \vec{V} = \begin{pmatrix} \frac{d}{dy} w - \frac{d}{dz} v \\ \frac{d}{dz} u - \frac{d}{dx} w \\ \frac{d}{dx} v - \frac{d}{dy} u \end{pmatrix} = 0$$

速度ポテンシャル： $\Phi$  と流速： $\vec{V}$  の関係は、(4.4.72) 式から、

$$\vec{V} = \text{grad} \Phi = \begin{pmatrix} \frac{d}{dx} \Phi \\ \frac{d}{dy} \Phi \\ \frac{d}{dz} \Phi \end{pmatrix} \quad (4.4.83)$$

流体の質量保存の方程式は、

$$\text{div}(\vec{V}) = \frac{d}{dz} w + \frac{d}{dy} v + \frac{d}{dx} u = 0$$

上式に (4.4.83) 式を代入すると、

$$\text{div}(\text{grad}(\Phi)) = \frac{d^2}{dz^2} \Phi + \frac{d^2}{dy^2} \Phi + \frac{d^2}{dx^2} \Phi = 0 \quad (4.4.84)$$

速度ポテンシャル： $\Phi$  の質量保存の方程式は上記となり、速度ポテンシャル： $\Phi$  は上記のラプラスの方程式を満足する必要がある。

### 4.5 ベクトルの座標変換

#### 4.5.1 速度・加速度ベクトルの円柱座標系への変換

$xyz$  座標系の速度・加速度ベクトルを円柱座標  $r-\theta-z$  系に変換表記する。二次元極座標への変換については、円柱座標系で  $z$  軸の項を省けばよい。 $xyz$  座標系の速度： $v_x, v_y, v_z$ 、加速度： $a_x, a_y, a_z$  を円柱座標変換し、速度： $v_r, v_\theta, v_z$ 、加速度： $a_r, a_\theta, a_z$  を求める。下図に  $xyz$  座標系と円柱座標系の関係を示す。

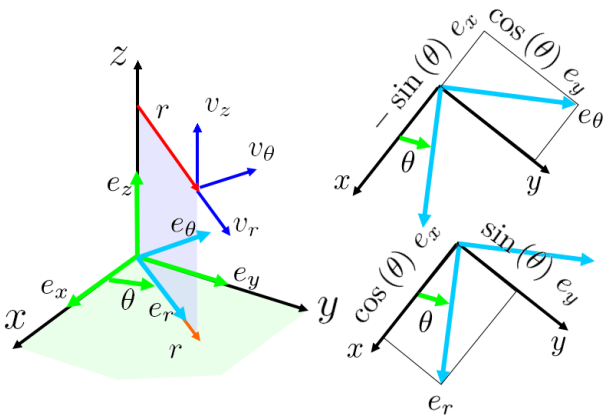


図 4.5.1:  $xyz$  座標系と円柱座標系の関係

```
kill(all);
load("vect")$
depends(r, [t]);
depends(theta, [t]);
depends(x, [t]);
depends(y, [t]);
depends(z, [t]);
XR:x=r*cos(theta);
YR:y=r*sin(theta);
ZR:z=z;
ER1:e[r]=e[x]*cos(theta)+e[y]*sin(theta);
ET1:e[theta]=-e[x]*sin(theta)+e[y]*cos(theta);
EZ1:e[z]=e[z];
TR:matrix([cos(theta), sin(theta), 0],
[-sin(theta), cos(theta), 0], [0, 0, 1]);
ERTZ1:matrix([e[r]], [e[theta]], [e[z]]);
EXYZ1:matrix([e[x]], [e[y]], [e[z]]);
ERTZ1=TR.EXYZ1;
```

$xyz$  座標系と円柱座標系の関係式は、

$$x = r \cos(\theta), \quad y = r \sin(\theta), \quad z = z \quad (4.5.1)$$

$xyz$  座標系の単位ベクトル： $e_x, e_y, e_z$  と円柱座標系

の単位ベクトル： $e_r, e_\theta, e_z$  の関係は上図から、

$$e_r = \sin(\theta) e_y + \cos(\theta) e_x$$

$$e_\theta = \cos(\theta) e_y - \sin(\theta) e_x$$

$$e_z = e_z$$

上式をベクトル表記すると、

$$\begin{pmatrix} e_r \\ e_\theta \\ e_z \end{pmatrix} = \begin{pmatrix} \sin(\theta) e_y + \cos(\theta) e_x \\ \cos(\theta) e_y - \sin(\theta) e_x \\ e_z \end{pmatrix}$$

以上から座標変換行列： $L$  は、

$$L = \begin{pmatrix} \cos(\theta) & \sin(\theta) & 0 \\ -\sin(\theta) & \cos(\theta) & 0 \\ 0 & 0 & 1 \end{pmatrix} \quad (4.5.2)$$

```
VXR1:diff(XR,t,1);
VYR1:diff(YR,t,1);
VZR1:diff(ZR,t,1);
LVXY1:['diff(x,t,1)=v[x]', 'diff(y,t,1)=v[y]', 'diff(z,t,1)=v[z]'];
VXR2:subst(LVXY1,VXR1);
VYR2:subst(LVXY1,VYR1);
VZR2:subst(LVXY1, lhs(VZR1))=rhs(VZR1);
VXY1:matrix([v[x]], [v[y]], [v[z]]);
VRT1:matrix([v[r]], [v[theta]], [v[z]]);
VRT1=TR.VXY1;
lhs(%)=subst([VXR2,VYR2,VZR2], rhs(%));
VRT2:trigsimp(%);
```

速度は下記で表せる。

$$\left[ \frac{d}{dt} x = v_x, \frac{d}{dt} y = v_y, \frac{d}{dt} z = v_z \right]$$

(4.5.1) 式を時間： $t$  で微分し、上記の関係から、

$$v_x = \frac{d}{dt} x = \left( \frac{d}{dt} r \right) \cos(\theta) - r \sin(\theta) \left( \frac{d}{dt} \theta \right)$$

$$v_y = \frac{d}{dt} y = r \cos(\theta) \left( \frac{d}{dt} \theta \right) + \left( \frac{d}{dt} r \right) \sin(\theta)$$

$$v_z = \frac{d}{dt} z = \frac{d}{dt} z$$

$$(4.5.3)$$

円柱座標系の速度： $v_r, v_\theta, v_z$  は座標変換行列： $L$  を使って、

$$\begin{pmatrix} v_r \\ v_\theta \\ v_z \end{pmatrix} = L \begin{pmatrix} v_x \\ v_y \\ v_z \end{pmatrix} = \begin{pmatrix} \sin(\theta) v_y + \cos(\theta) v_x \\ \cos(\theta) v_y - \sin(\theta) v_x \\ v_z \end{pmatrix}$$

上式に (4.5.3) 式を代入し、整理すると、下記の円柱座標系の速度： $v_r, v_\theta, v_z$  が得られる。

$$\begin{pmatrix} v_r \\ v_\theta \\ v_z \end{pmatrix} = \begin{pmatrix} \frac{d}{dt} r \\ r \left( \frac{d}{dt} \theta \right) \\ \frac{d}{dt} z \end{pmatrix} \quad (4.5.4)$$

```

AXR1:diff(XR,t,2);
AYR1:diff(YR,t,2);
AZR1:diff(ZR,t,2);
LAXY1:['diff(x,t,2)=a[x]','diff(y,t,2)=
a[y]','diff(z,t,2)=a[z]];
AXR2:subst(LAXY1,AXR1);
AYR2:subst(LAXY1,AYR1);
AZR2:subst(LAXY1,lhs(AZR1))=rhs(AZR1);
AXY1:matrix([a[x]],[a[y]],[a[z]]);
ART1:matrix([a[r]],[a[\theta]],[a[z]]);
ART1=TR.AXY1;
lhs(%)=subst([AXR2,AYR2,AZR2],rhs(%));
ART2:trigsimp(%);

```

加速度は下記で表せる。

$$\left[ \frac{d^2}{dt^2} x = a_x, \frac{d^2}{dt^2} y = a_y, \frac{d^2}{dt^2} z = a_z \right]$$

(4.5.1) 式を時間： $t$  で二階微分し、上記の関係から、

$$\begin{aligned} a_x &= \frac{d^2}{dt^2} x = -r \sin(\theta) \left( \frac{d^2}{dt^2} \theta \right) - r \cos(\theta) \left( \frac{d}{dt} \theta \right)^2 - 2 \left( \frac{d}{dt} r \right) \sin(\theta) \left( \frac{d}{dt} \theta \right) + \left( \frac{d^2}{dt^2} r \right) \cos(\theta) \\ a_y &= \frac{d^2}{dt^2} y = r \cos(\theta) \left( \frac{d^2}{dt^2} \theta \right) - r \sin(\theta) \left( \frac{d}{dt} \theta \right)^2 + 2 \left( \frac{d}{dt} r \right) \cos(\theta) \left( \frac{d}{dt} \theta \right) + \left( \frac{d^2}{dt^2} r \right) \sin(\theta) \\ a_z &= \frac{d^2}{dt^2} z = \frac{d^2}{dt^2} z \end{aligned} \quad (4.5.5)$$

円柱座標系の加速度： $a_r, a_\theta, a_z$  は座標変換行列： $L$  を使って、

$$\begin{pmatrix} a_r \\ a_\theta \\ a_z \end{pmatrix} = L \begin{pmatrix} a_x \\ a_y \\ a_z \end{pmatrix} = \begin{pmatrix} \sin(\theta) a_y + \cos(\theta) a_x \\ \cos(\theta) a_y - \sin(\theta) a_x \\ a_z \end{pmatrix}$$

上式に (4.5.5) 式を代入し、整理すると、下記の円柱座標系の加速度： $a_r, a_\theta, a_z$  が得られる。

$$\begin{pmatrix} a_r \\ a_\theta \\ a_z \end{pmatrix} = \begin{pmatrix} \frac{d^2}{dt^2} r - r \left( \frac{d}{dt} \theta \right)^2 \\ r \left( \frac{d^2}{dt^2} \theta \right) + 2 \left( \frac{d}{dt} r \right) \left( \frac{d}{dt} \theta \right) \\ \frac{d^2}{dt^2} z \end{pmatrix} \quad (4.5.6)$$

## 4.5.2 微分ベクトルの円柱座標系への変換

$xyz$  座標系の微分ベクトルを円柱座標  $r - \theta - z$  系に変換表記する。

```
kill(all);
load("vect")$
depends([r,\theta],[x,y]);
XR:x=r*cos(\theta);
YR:y=r*sin(\theta);
LXR1:diff(XR,x,1);
LYR1:diff(YR,x,1);
solve([LXR1,LYR1],[diff(r,x,1),
diff(\theta,x,1)]);
LXYR1:trigrat(%) [1];
LXR2:diff(XR,y,1);
LYR2:diff(YR,y,1);
solve([LXR2,LYR2],[diff(r,y,1),
diff(\theta,y,1)]);
LXYR2:trigrat(%) [1];
LXR3:diff(XR,x,2);
LYR3:diff(YR,x,2);
solve([LXR3,LYR3],[diff(r,x,2),
diff(\theta,x,2)]);
LXYR3:trigrat(%) [1];
LXR4:diff(XR,y,2);
LYR4:diff(YR,y,2);
solve([LXR4,LYR4],[diff(r,y,2),
diff(\theta,y,2)]);
LXYR4:trigrat(%) [1];
TR:matrix([cos(\theta),sin(\theta),0],
[-sin(\theta),cos(\theta),0],[0,0,1]);
TR1:transpose(TR);
VXYZ:matrix([u],[v],[w]);
VRTZ:matrix([a],[b],[c]);
depends([u,v,w],[x,y,z]);
depends([a,b,c],[r,\theta,z]);
```

$xyz$  座標系と円柱座標系の関係式は、

$$x = r \cos(\theta), \quad y = r \sin(\theta), \quad z = z \quad (4.5.7)$$

(4.5.7) 式を  $x$  および  $y$  で微分し、下記の関係を得る。

$$\begin{aligned} \frac{d}{dx} r &= \frac{\cos(\theta)}{\sin^2(\theta) + \cos^2(\theta)}, \quad \frac{d}{dx} \theta = -\frac{\sin(\theta)}{r \sin^2(\theta) + r \cos^2(\theta)} \\ \frac{d}{dx} r &= \cos(\theta), \quad \frac{d}{dx} \theta = -\frac{\sin(\theta)}{r} \\ \frac{d}{dy} r &= \frac{\sin(\theta)}{\sin^2(\theta) + \cos^2(\theta)}, \quad \frac{d}{dy} \theta = \frac{\cos(\theta)}{r \sin^2(\theta) + r \cos^2(\theta)} \\ \frac{d}{dy} r &= \sin(\theta), \quad \frac{d}{dy} \theta = \frac{\cos(\theta)}{r} \end{aligned} \quad (4.5.8)$$

(4.5.7) 式を  $x$  および  $y$  で二階微分し、下記の関係を得る。

$$\begin{aligned} \frac{d^2}{dx^2} r &= r \left( \frac{d}{dx} \theta \right)^2, \quad \frac{d^2}{dx^2} \theta = -\frac{2 \left( \frac{d}{dx} r \right) \left( \frac{d}{dx} \theta \right)}{r} \\ \frac{d^2}{dx^2} r &= r \left( \frac{d}{dx} \theta \right)^2, \quad \frac{d^2}{dx^2} \theta = -\frac{2 \left( \frac{d}{dx} r \right) \left( \frac{d}{dx} \theta \right)}{r} \\ \frac{d^2}{dy^2} r &= r \left( \frac{d}{dy} \theta \right)^2, \quad \frac{d^2}{dy^2} \theta = -\frac{2 \left( \frac{d}{dy} r \right) \left( \frac{d}{dy} \theta \right)}{r} \\ \frac{d^2}{dy^2} r &= r \left( \frac{d}{dy} \theta \right)^2, \quad \frac{d^2}{dy^2} \theta = -\frac{2 \left( \frac{d}{dy} r \right) \left( \frac{d}{dy} \theta \right)}{r} \end{aligned} \quad (4.5.9)$$

$xyz$  座標から円柱座標  $r - \theta - z$  系に変換する座標変換行列:  $L$  は、(4.5.2) 式から、

$$L = \begin{pmatrix} \cos(\theta) & \sin(\theta) & 0 \\ -\sin(\theta) & \cos(\theta) & 0 \\ 0 & 0 & 1 \end{pmatrix} \quad (4.5.10)$$

ここで、速度:  $\vec{V}$  を  $xyz$  座標系の速度:  $v_x, v_y, v_z$ 、円柱座標型の速度:  $v_r, v_\theta, v_z$  とする。Maxima の処理の都合上、それぞれ、 $xyz$  座標系の速度:  $u, v, w$ 、円柱座標型の速度:  $a, b, c$  とする。

$$\begin{aligned} \vec{V} &= \begin{pmatrix} v_x \\ v_y \\ v_z \end{pmatrix} = \begin{pmatrix} u \\ v \\ w \end{pmatrix} \\ \vec{V} &= \begin{pmatrix} v_r \\ v_\theta \\ v_z \end{pmatrix} = \begin{pmatrix} a \\ b \\ c \end{pmatrix} \end{aligned}$$

## 勾配 (grad)

```

/* grad */
depends(A, [r, \theta, z]);
grad(A);
express(%);
transpose(%);
ev(%, diff);
subst([LXYR1], %);
subst([LXYR2], %);
TR.%;
trigsimp(%);

```

勾配 (grad) は (4.3.7) 式から、

$$\text{grad}(A) = \begin{pmatrix} \frac{d}{dx} A \\ \frac{d}{dy} A \\ \frac{d}{dz} A \end{pmatrix}$$

上式で  $A$  が  $r, \theta, z$  の関数であるとし、微分して、(4.5.8) 式を代入し、座標変換行列:  $L$  を掛けて、整理すると、

$$\begin{aligned} \text{grad}(A) &= L \cdot \begin{pmatrix} \left( \frac{d}{dx} \theta \right) \left( \frac{d}{d\theta} A \right) + \left( \frac{d}{dx} r \right) \left( \frac{d}{dr} A \right) \\ \left( \frac{d}{dy} \theta \right) \left( \frac{d}{d\theta} A \right) + \left( \frac{d}{dy} r \right) \left( \frac{d}{dr} A \right) \\ \frac{d}{dz} A \end{pmatrix} \\ &= \begin{pmatrix} \frac{d}{dr} A \\ \frac{d}{d\theta} A \\ \frac{d}{dz} A \end{pmatrix} \end{aligned} \quad (4.5.11)$$

(4.5.12) 式に上式を代入し、円柱座標型の速度:  $a, b, c$  は  $r, \theta, z$  の関数であるから、これらで微分し、(4.5.8) 式を代入して整理すると、

$$\begin{aligned} \text{div}(\vec{V}) &= \frac{d}{dx} (a \cos(\theta) - b \sin(\theta)) + \frac{d}{dy} (a \sin(\theta) + b \cos(\theta)) + \frac{d}{dz} c \\ &= \cos(\theta) \left( \left( \frac{d}{d\theta} b \right) \left( \frac{d}{dy} \theta \right) + \left( \frac{d}{dr} b \right) \left( \frac{d}{dy} r \right) \right) + \sin(\theta) \left( \left( \frac{d}{d\theta} a \right) \left( \frac{d}{dy} \theta \right) + \left( \frac{d}{dr} a \right) \left( \frac{d}{dy} r \right) \right) \\ &\quad - b \sin(\theta) \left( \frac{d}{dy} \theta \right) + a \cos(\theta) \left( \frac{d}{dy} \theta \right) - \sin(\theta) \left( \left( \frac{d}{d\theta} b \right) \left( \frac{d}{dx} \theta \right) + \left( \frac{d}{dr} b \right) \left( \frac{d}{dx} r \right) \right) \\ &\quad + \cos(\theta) \left( \left( \frac{d}{d\theta} a \right) \left( \frac{d}{dx} \theta \right) + \left( \frac{d}{dr} a \right) \left( \frac{d}{dx} r \right) \right) - a \sin(\theta) \left( \frac{d}{dx} \theta \right) - b \cos(\theta) \left( \frac{d}{dx} \theta \right) + \frac{d}{dz} c \\ &= \frac{d}{dr} b + \frac{a}{r} + \frac{d}{dz} c + \frac{d}{dr} a \\ &= \frac{d}{dz} v_z + \frac{d}{d\theta} v_\theta + \frac{d}{dr} v_r + \frac{v_r}{r} \end{aligned} \quad (4.5.14)$$

## 発散 (div)

```

/* divergence */
div(transpose(VXYZ) [1]);
express(%);
DIVXYZ:ev(%, diff);
VXYZ1:VXYZ=TR1.VRTZ;
UA:lhs(VXYZ1) [1] [1]=rhs(VXYZ1) [1] [1];
VA:lhs(VXYZ1) [2] [1]=rhs(VXYZ1) [2] [1];
WA:lhs(VXYZ1) [3] [1]=rhs(VXYZ1) [3] [1];
subst([UA,VA,WA], DIVXYZ);
ev(%, diff);
subst([LXYR1], %);
subst([LXYR2], %);
trigsimp(%);
expand(%);
subst([c=v[z], a=v[r], b=v[\theta]], %);

```

発散 (div) は (4.3.8) 式から、

$$\text{div}(\vec{V}) = \frac{d}{dz} w + \frac{d}{dy} v + \frac{d}{dx} u \quad (4.5.12)$$

$xyz$  座標系の速度:  $u, v, w$  と円柱座標型の速度:  $a, b, c$  の関係は、

$$\vec{V} = \begin{pmatrix} u \\ v \\ w \end{pmatrix} = L^T \begin{pmatrix} a \\ b \\ c \end{pmatrix} = \begin{pmatrix} a \cos(\theta) - b \sin(\theta) \\ a \sin(\theta) + b \cos(\theta) \\ c \end{pmatrix} \quad (4.5.13)$$

$\nabla^2$ 

```

/* nabra^2 */
NABA: 'diff(A,x,2)+'diff(A,y,2)+'diff(A,z,2);
ev(%,diff);
subst([LXYR4],%);
subst([LXYR3],%);
subst([LXYR2],%);
subst([LXYR1],%);
trigsimp(%);
expand(%);

```

$\nabla^2$  は (4.3.30) 式から、

$$\nabla^2 A = \frac{d^2}{dz^2} A + \frac{d^2}{dy^2} A + \frac{d^2}{dx^2} A$$

上式で  $A$  が  $r, \theta, z$  の関数であるとし、微分して、(4.5.8) 式、(4.5.9) 式を代入し、整理すると、

$$\begin{aligned}
\nabla^2 A &= \frac{d^2}{dz^2} A + \left( \frac{d}{dy} \theta \right) \left( \left( \frac{d}{dy} \theta \right) \left( \frac{d^2}{d\theta^2} A \right) \right. \\
&\quad \left. + \left( \frac{d}{dy} r \right) \left( \frac{d^2}{dr d\theta} A \right) \right) \\
&\quad + \left( \frac{d}{dx} \theta \right) \left( \left( \frac{d}{dx} \theta \right) \left( \frac{d^2}{d\theta^2} A \right) \right. \\
&\quad \left. + \left( \frac{d}{dx} r \right) \left( \frac{d^2}{dr d\theta} A \right) \right) \\
&\quad + \left( \frac{d^2}{dy^2} \theta \right) \left( \frac{d}{d\theta} A \right) + \left( \frac{d^2}{dx^2} \theta \right) \left( \frac{d}{d\theta} A \right) \\
&\quad + \left( \frac{d}{dy} r \right) \left( \left( \frac{d}{dy} r \right) \left( \frac{d^2}{dr^2} A \right) \right. \\
&\quad \left. + \left( \frac{d}{dy} \theta \right) \left( \frac{d^2}{dr d\theta} A \right) \right) \\
&\quad + \left( \frac{d}{dx} r \right) \left( \left( \frac{d}{dx} r \right) \left( \frac{d^2}{dr^2} A \right) \right. \\
&\quad \left. + \left( \frac{d}{dx} \theta \right) \left( \frac{d^2}{dr d\theta} A \right) \right) \\
&\quad + \left( \frac{d^2}{dy^2} r \right) \left( \frac{d}{dr} A \right) + \left( \frac{d^2}{dx^2} r \right) \left( \frac{d}{dr} A \right) \\
&= \frac{d^2}{dz^2} A + \frac{d^2}{r^2} A + \frac{d^2}{dr^2} A + \frac{d}{dr} A
\end{aligned} \tag{4.5.15}$$

回転 (rot,curl)

```

/* rotation */
curl(transpose(VXYZ)[1]);
express(%);
VXYZCURL:transpose(ev(%,diff));
subst([UA,VA,WA],VXYZCURL);
ev(%,diff);
subst([LXYR1],%);
subst([LXYR2],%);
trigrat(expand(TR.%));
subst([c=v[z],a=v[r],b=v[\theta]],%);

```

回転 (rot,curl) は (4.3.9) 式から、

$$\text{curl}(\vec{V}) = \begin{pmatrix} \frac{d}{dy} w - \frac{d}{dz} v \\ \frac{d}{dz} u - \frac{d}{dx} w \\ \frac{d}{dx} v - \frac{d}{dy} u \end{pmatrix}$$

上式に (4.5.13) 式を代入し、座標変換行列:  $L$  を掛け、

$$\begin{aligned}
&\text{curl}(\vec{V}) \\
&= L \begin{pmatrix} \frac{d}{dy} c - \frac{d}{dz} (a \sin(\theta) + b \cos(\theta)) \\ \frac{d}{dz} (a \cos(\theta) - b \sin(\theta)) - \frac{d}{dx} c \\ \frac{d}{dx} (a \sin(\theta) + b \cos(\theta)) - \frac{d}{dy} (a \cos(\theta) - b \sin(\theta)) \end{pmatrix}
\end{aligned}$$

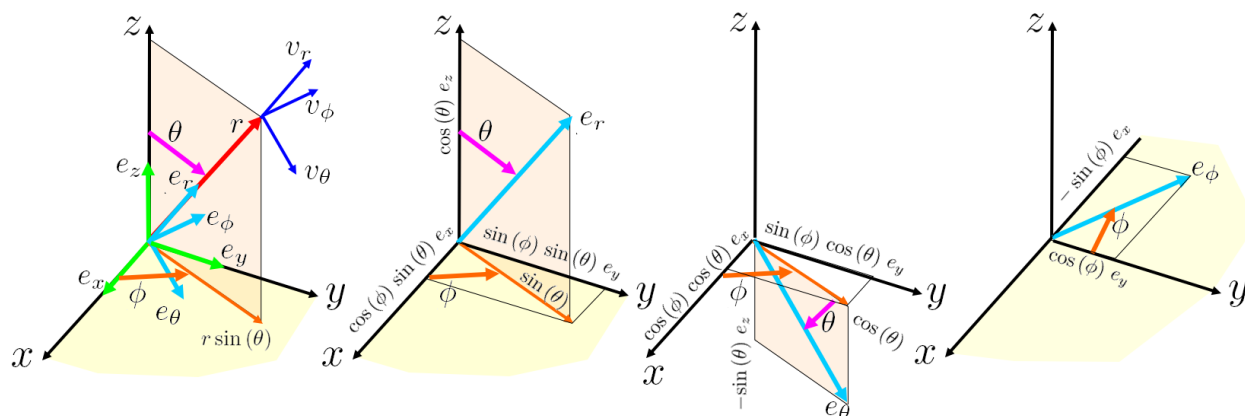
$a, b, c$  が  $r, \theta, z$  の関数であるとし、微分して、(4.5.8) 式を代入し、整理すると、

$$\begin{aligned}
\text{curl}(\vec{V}) &= \begin{pmatrix} -\frac{(\frac{d}{dz} b)r - \frac{d}{d\theta} c}{r} \\ \frac{\frac{d}{dz} a - \frac{d}{dr} c}{(\frac{d}{dr} b)r + b - \frac{d}{d\theta} a} \\ \frac{r(\frac{d}{dz} v_\theta) - \frac{d}{d\theta} v_z}{r} \end{pmatrix} \\
&= \begin{pmatrix} \frac{d}{dz} v_r - \frac{d}{dr} v_z \\ r(\frac{d}{dr} v_\theta) + v_\theta - \frac{d}{d\theta} v_r \end{pmatrix}
\end{aligned} \tag{4.5.16}$$



## 4.5.3 速度・加速度ベクトルの極座標系への変換

$xyz$  座標系を極座標系  $r - \theta - \phi$  座標に変換する。 $xyz$  座標系の速度： $v_x, v_y, v_z$ 、加速度： $a_x, a_y, a_z$  を極座標変換し、速度： $v_r, v_\theta, v_\phi$ 、加速度： $a_r, a_\theta, a_\phi$  を求める。下図に  $xyz$  座標系と極座標系の関係を示す。

図 4.5.2:  $xyz$  座標系と極座標系の関係

```
kill(all);
load("vect")$
depends(r, [t]);
depends(\theta, [t]);
depends(\phi, [t]);
depends(x, [t]);
depends(y, [t]);
depends(z, [t]);
XR:x=r*sin(\theta)*cos(\phi);
YR:y=r*sin(\theta)*sin(\phi);
ZR:z=r*cos(\theta);
ER1:e[r]=e[x]*sin(\theta)*cos(\phi)+e[y]*sin(\theta)*sin(\phi)+e[z]*cos(\theta);
ET1:e[\theta]=e[x]*cos(\theta)*cos(\phi)+e[y]*cos(\theta)*sin(\phi)-e[z]*sin(\theta);
EZ1:e[\phi]=-e[x]*sin(\phi)+e[y]*cos(\phi);
TR:matrix([sin(\theta)*cos(\phi), sin(\theta)*sin(\phi), cos(\theta)],
  [cos(\theta)*cos(\phi), cos(\theta)*sin(\phi), -sin(\theta)], [-sin(\phi), cos(\phi), 0]);
ERTZ1:matrix([e[r]], [e[\theta]], [e[\phi]]);
EXYZ1:matrix([e[x]], [e[y]], [e[z]]);
ERTZ1=TR.EXYZ1;
```

$xyz$  座標系と極座標系の関係式は、

$$x = \cos(\phi) r \sin(\theta), \quad y = \sin(\phi) r \sin(\theta), \quad z = r \cos(\theta) \quad (4.5.17)$$

$xyz$  座標系の単位ベクトル： $e_x, e_y, e_z$  と極座標系の単位ベクトル： $e_r, e_\theta, e_\phi$  の関係は上図から、

$$e_r = \cos(\theta) e_z + \sin(\phi) \sin(\theta) e_y + \cos(\phi) \sin(\theta) e_x$$

$$e_\theta = -\sin(\theta) e_z + \sin(\phi) \cos(\theta) e_y + \cos(\phi) \cos(\theta) e_x$$

$$e_\phi = \cos(\phi) e_y - \sin(\phi) e_x$$

上式をベクトル表記すると、

$$\begin{pmatrix} e_r \\ e_\theta \\ e_\phi \end{pmatrix} = \begin{pmatrix} \cos(\theta) e_z + \sin(\phi) \sin(\theta) e_y + \cos(\phi) \sin(\theta) e_x \\ -\sin(\theta) e_z + \sin(\phi) \cos(\theta) e_y + \cos(\phi) \cos(\theta) e_x \\ \cos(\phi) e_y - \sin(\phi) e_x \end{pmatrix}$$

以上から座標変換行列： $L$ は、

$$L = \begin{pmatrix} \cos(\phi) \sin(\theta) & \sin(\phi) \sin(\theta) & \cos(\theta) \\ \cos(\phi) \cos(\theta) & \sin(\phi) \cos(\theta) & -\sin(\theta) \\ -\sin(\phi) & \cos(\phi) & 0 \end{pmatrix} \quad (4.5.18)$$

```
VXR1:diff(XR,t,1);
VYR1:diff(YR,t,1);
VZR1:diff(ZR,t,1);
LVXY1:['diff(x,t,1)=v[x]','diff(y,t,1)=v[y]','diff(z,t,1)=v[z]'];
VXR2:subst(LVXY1,VXR1);
VYR2:subst(LVXY1,VYR1);
VZR2:subst(LVXY1,lhs(VZR1))=rhs(VZR1);
VXY1:matrix([v[x]],[v[y]],[v[z]]);
VRT1:matrix([v[r]],[v[\theta]],[v[\phi]]);
VRT1=TR.VXY1;
lhs(%)=subst([VXR2,VYR2,VZR2],rhs(%));
VRT2:trigsimp(%);
```

速度は下記で表せる。

$$\left[ \frac{d}{dt} x = v_x, \frac{d}{dt} y = v_y, \frac{d}{dt} z = v_z \right]$$

(4.5.17) 式を時間： $t$  で微分し、上記の関係から、

$$\begin{aligned} v_x &= \frac{d}{dt} x = \cos(\phi) r \cos(\theta) \left( \frac{d}{dt} \theta \right) + \cos(\phi) \left( \frac{d}{dt} r \right) \sin(\theta) - \sin(\phi) \left( \frac{d}{dt} \phi \right) r \sin(\theta) \\ v_y &= \frac{d}{dt} y = \sin(\phi) r \cos(\theta) \left( \frac{d}{dt} \theta \right) + \sin(\phi) \left( \frac{d}{dt} r \right) \sin(\theta) + \cos(\phi) \left( \frac{d}{dt} \phi \right) r \sin(\theta) \\ v_z &= \frac{d}{dt} z = \left( \frac{d}{dt} r \right) \cos(\theta) - r \sin(\theta) \left( \frac{d}{dt} \theta \right) \end{aligned} \quad (4.5.19)$$

極座標系の速度： $v_r, v_\theta, v_\phi$  は座標変換行列： $L$  を使って、

$$\begin{pmatrix} v_r \\ v_\theta \\ v_\phi \end{pmatrix} = L \begin{pmatrix} v_x \\ v_y \\ v_z \end{pmatrix} = \begin{pmatrix} \cos(\theta) v_z + \sin(\phi) \sin(\theta) v_y + \cos(\phi) \sin(\theta) v_x \\ -\sin(\theta) v_z + \sin(\phi) \cos(\theta) v_y + \cos(\phi) \cos(\theta) v_x \\ \cos(\phi) v_y - \sin(\phi) v_x \end{pmatrix}$$

上式に (4.5.19) 式を代入し、整理すると、下記の極座標系の速度： $v_r, v_\theta, v_\phi$  が得られる。

$$\begin{pmatrix} v_r \\ v_\theta \\ v_\phi \end{pmatrix} = \begin{pmatrix} \frac{d}{dt} r \\ r \left( \frac{d}{dt} \theta \right) \\ \left( \frac{d}{dt} \phi \right) r \sin(\theta) \end{pmatrix} \quad (4.5.20)$$

```

AXR1:diff(XR,t,2);
AYR1:diff(YR,t,2);
AZR1:diff(ZR,t,2);
LAXY1:['diff(x,t,2)=a[x]','diff(y,t,2)=a[y]','diff(z,t,2)=a[z]'];
AXR2:subst(LAXY1,AXR1);
AYR2:subst(LAXY1,AYR1);
AZR2:subst(LAXY1,lhs(AZR1))=rhs(AZR1);
AXY1:matrix([a[x]],[a[y]],[a[z]]);
ART1:matrix([a[r]],[a[\theta]],[a[\phi]]);
ART1=TR.AXY1;
lhs(%)=subst([AXR2,AYR2,AZR2],rhs(%));
trigsimp(%);
ART2:expand(%);

```

加速度は下記で表せる。

$$\left[ \frac{d^2}{dt^2} x = a_x, \frac{d^2}{dt^2} y = a_y, \frac{d^2}{dt^2} z = a_z \right]$$

(4.5.17) 式を時間 :  $t$  で二階微分し、上記の関係から、

$$\begin{aligned}
a_x = \frac{d^2}{dt^2} x &= \cos(\phi) r \cos(\theta) \left( \frac{d^2}{dt^2} \theta \right) - \cos(\phi) r \sin(\theta) \left( \frac{d}{dt} \theta \right)^2 + 2 \cos(\phi) \left( \frac{d}{dt} r \right) \cos(\theta) \left( \frac{d}{dt} \theta \right) \\
&\quad - 2 \sin(\phi) \left( \frac{d}{dt} \phi \right) r \cos(\theta) \left( \frac{d}{dt} \theta \right) + \cos(\phi) \left( \frac{d^2}{dt^2} r \right) \sin(\theta) \\
&\quad - 2 \sin(\phi) \left( \frac{d}{dt} \phi \right) \left( \frac{d}{dt} r \right) \sin(\theta) - \sin(\phi) \left( \frac{d^2}{dt^2} \phi \right) r \sin(\theta) - \cos(\phi) \left( \frac{d}{dt} \phi \right)^2 r \sin(\theta) \\
a_y = \frac{d^2}{dt^2} y &= \sin(\phi) r \cos(\theta) \left( \frac{d^2}{dt^2} \theta \right) - \sin(\phi) r \sin(\theta) \left( \frac{d}{dt} \theta \right)^2 + 2 \sin(\phi) \left( \frac{d}{dt} r \right) \cos(\theta) \left( \frac{d}{dt} \theta \right) \\
&\quad + 2 \cos(\phi) \left( \frac{d}{dt} \phi \right) r \cos(\theta) \left( \frac{d}{dt} \theta \right) + \sin(\phi) \left( \frac{d^2}{dt^2} r \right) \sin(\theta) \\
&\quad + 2 \cos(\phi) \left( \frac{d}{dt} \phi \right) \left( \frac{d}{dt} r \right) \sin(\theta) + \cos(\phi) \left( \frac{d^2}{dt^2} \phi \right) r \sin(\theta) - \sin(\phi) \left( \frac{d}{dt} \phi \right)^2 r \sin(\theta) \\
a_z = \frac{d^2}{dt^2} z &= -r \sin(\theta) \left( \frac{d^2}{dt^2} \theta \right) - r \cos(\theta) \left( \frac{d}{dt} \theta \right)^2 - 2 \left( \frac{d}{dt} r \right) \sin(\theta) \left( \frac{d}{dt} \theta \right) + \left( \frac{d^2}{dt^2} r \right) \cos(\theta)
\end{aligned} \tag{4.5.21}$$

極座標系の加速度 :  $a_r, a_\theta, a_\phi$  は座標変換行列 :  $L$  を使って、

$$\begin{pmatrix} a_r \\ a_\theta \\ a_\phi \end{pmatrix} = L \begin{pmatrix} a_x \\ a_y \\ a_z \end{pmatrix} = \begin{pmatrix} \cos(\theta) a_z + \sin(\phi) \sin(\theta) a_y + \cos(\phi) \sin(\theta) a_x \\ -\sin(\theta) a_z + \sin(\phi) \cos(\theta) a_y + \cos(\phi) \cos(\theta) a_x \\ \cos(\phi) a_y - \sin(\phi) a_x \end{pmatrix}$$

上式に (4.5.21) 式を代入し、整理すると、下記の極座標系の加速度 :  $a_r, a_\theta, a_\phi$  が得られる。

$$\begin{pmatrix} a_r \\ a_\theta \\ a_\phi \end{pmatrix} = \begin{pmatrix} -r \left( \frac{d}{dt} \theta \right)^2 - \left( \frac{d}{dt} \phi \right)^2 r \sin(\theta)^2 + \frac{d^2}{dt^2} r \\ r \left( \frac{d^2}{dt^2} \theta \right) + 2 \left( \frac{d}{dt} r \right) \left( \frac{d}{dt} \theta \right) - \left( \frac{d}{dt} \phi \right)^2 r \cos(\theta) \sin(\theta) \\ 2 \left( \frac{d}{dt} \phi \right) r \cos(\theta) \left( \frac{d}{dt} \theta \right) + 2 \left( \frac{d}{dt} \phi \right) \left( \frac{d}{dt} r \right) \sin(\theta) + \left( \frac{d^2}{dt^2} \phi \right) r \sin(\theta) \end{pmatrix} \tag{4.5.22}$$

## 4.5.4 微分ベクトルの極座標系への変換

$xyz$  座標系の微分ベクトルを極座標  $r - \theta - \phi$  系に変換表記する。

```
kill(all);
load("vect")$
depends([r,\phi,\theta],[x,y,z]);
XR:x=r*sin(\theta)*cos(\phi);
YR:y=r*sin(\theta)*sin(\phi);
ZR:z=r*cos(\theta);
LXR1:diff(XR,x,1);
LYR1:diff(YR,x,1);
LZR1:diff(ZR,x,1);
solve([LXR1,LYR1,LZR1],[diff(r,x,1),
diff(\theta,x,1),diff(\phi,x,1)]);
LXYZR1:trigsimp(%) [1];
LXR2:diff(XR,y,1);
LYR2:diff(YR,y,1);
LZR2:diff(ZR,y,1);
solve([LXR2,LYR2,LZR2],[diff(r,y,1),
diff(\theta,y,1),diff(\phi,y,1)]);
LXYZR2:trigsimp(%) [1];
LXR3:diff(XR,z,1);
LYR3:diff(YR,z,1);
LZR3:diff(ZR,z,1);
solve([LXR3,LYR3,LZR3],[diff(r,z,1),
diff(\theta,z,1),diff(\phi,z,1)]);
LXYZR3:trigsimp(%) [1];
LXR4:diff(XR,x,2);
```

```
LXR4:diff(XR,x,2);
LYR4:diff(YR,x,2);
LZR4:diff(ZR,x,2);
solve([LXR4,LYR4,LZR4],[diff(r,x,2),
diff(\theta,x,2),diff(\phi,x,2)]);
LXYZR4:trigsimp(%) [1];
LXR5:diff(XR,y,2);
LYR5:diff(YR,y,2);
LZR5:diff(ZR,y,2);
solve([LXR5,LYR5,LZR5],[diff(r,y,2),
diff(\theta,y,2),diff(\phi,y,2)]);
LXYZR5:trigsimp(%) [1];
LXR6:diff(XR,z,2);
LYR6:diff(YR,z,2);
LZR6:diff(ZR,z,2);
solve([LXR6,LYR6,LZR6],[diff(r,z,2),
diff(\theta,z,2),diff(\phi,z,2)]);
LXYZR6:trigsimp(%) [1];
TR:matrix([sin(\theta)*cos(\phi),
sin(\theta)*sin(\phi),cos(\theta)],
[cos(\theta)*cos(\phi),
cos(\theta)*sin(\phi),-sin(\theta)],
[-sin(\phi),cos(\phi),0]);
TR1:transpose(TR);
VXYZ:matrix([u],[v],[w]);
VRTP:matrix([a],[b],[c]);
depends([u,v,w],[x,y,z]);
depends([a,b,c],[r,\theta,\phi]);
```

$xyz$  座標系と極座標系の関係式は、

$$x = \cos(\phi) r \sin(\theta), \quad y = \sin(\phi) r \sin(\theta), \quad z = r \cos(\theta) \quad (4.5.23)$$

(4.5.23) 式を  $x, y, z$  で微分し、下記の関係を得る。

$$\begin{aligned} \frac{d}{dx} r &= \cos(\phi) \sin(\theta), \quad \frac{d}{dx} \theta = \frac{\cos(\phi) \cos(\theta)}{r}, \quad \frac{d}{dx} \phi = -\frac{\sin(\phi)}{r \sin(\theta)} \\ \frac{d}{dy} r &= \sin(\phi) \sin(\theta), \quad \frac{d}{dy} \theta = \frac{\sin(\phi) \cos(\theta)}{r}, \quad \frac{d}{dy} \phi = \frac{\cos(\phi)}{r \sin(\theta)} \\ \frac{d}{dz} r &= \cos(\theta), \quad \frac{d}{dz} \theta = -\frac{\sin(\theta)}{r}, \quad \frac{d}{dz} \phi = 0 \end{aligned} \quad (4.5.24)$$

(4.5.23) 式を  $x, y, z$  で二階微分し、下記の関係を得る。

$$\begin{aligned}
 \frac{d^2}{dx^2} r &= r \left( \frac{d}{dx} \theta \right)^2 + \left( \frac{d}{dx} \phi \right)^2 r \sin^2(\theta), \quad \frac{d^2}{dx^2} \theta = -\frac{2 \left( \frac{d}{dx} r \right) \left( \frac{d}{dx} \theta \right) - \left( \frac{d}{dx} \phi \right)^2 r \cos(\theta) \sin(\theta)}{r}, \\
 \frac{d^2}{dx^2} \phi &= -\frac{2 \left( \frac{d}{dx} \phi \right) r \cos(\theta) \left( \frac{d}{dx} \theta \right) + 2 \left( \frac{d}{dx} \phi \right) \left( \frac{d}{dx} r \right) \sin(\theta)}{r \sin(\theta)} \\
 \frac{d^2}{dy^2} r &= r \left( \frac{d}{dy} \theta \right)^2 + \left( \frac{d}{dy} \phi \right)^2 r \sin^2(\theta), \quad \frac{d^2}{dy^2} \theta = -\frac{2 \left( \frac{d}{dy} r \right) \left( \frac{d}{dy} \theta \right) - \left( \frac{d}{dy} \phi \right)^2 r \cos(\theta) \sin(\theta)}{r}, \\
 \frac{d^2}{dy^2} \phi &= -\frac{2 \left( \frac{d}{dy} \phi \right) r \cos(\theta) \left( \frac{d}{dy} \theta \right) + 2 \left( \frac{d}{dy} \phi \right) \left( \frac{d}{dy} r \right) \sin(\theta)}{r \sin(\theta)} \\
 \frac{d^2}{dz^2} r &= r \left( \frac{d}{dz} \theta \right)^2 + \left( \frac{d}{dz} \phi \right)^2 r \sin^2(\theta), \quad \frac{d^2}{dz^2} \theta = -\frac{2 \left( \frac{d}{dz} r \right) \left( \frac{d}{dz} \theta \right) - \left( \frac{d}{dz} \phi \right)^2 r \cos(\theta) \sin(\theta)}{r}, \\
 \frac{d^2}{dz^2} \phi &= -\frac{2 \left( \frac{d}{dz} \phi \right) r \cos(\theta) \left( \frac{d}{dz} \theta \right) + 2 \left( \frac{d}{dz} \phi \right) \left( \frac{d}{dz} r \right) \sin(\theta)}{r \sin(\theta)}
 \end{aligned} \tag{4.5.25}$$

$xyz$  座標から極座標  $r - \theta - \phi$  系に変換する座標変換行列  $L$  は、(4.5.18) 式から、

$$L = \begin{pmatrix} \cos(\phi) \sin(\theta) & \sin(\phi) \sin(\theta) & \cos(\theta) \\ \cos(\phi) \cos(\theta) & \sin(\phi) \cos(\theta) & -\sin(\theta) \\ -\sin(\phi) & \cos(\phi) & 0 \end{pmatrix} \tag{4.5.26}$$

ここで、速度  $\vec{V}$  を  $xyz$  座標系の速度  $v_x, v_y, v_z$ 、極座標型の速度  $v_r, v_\theta, v_\phi$  とする。Maxima の処理の都合上、それぞれ、 $xyz$  座標系の速度  $u, v, w$ 、極座標型の速度  $a, b, c$  とする。

$$\vec{V} = \begin{pmatrix} v_x \\ v_y \\ v_z \end{pmatrix} = \begin{pmatrix} u \\ v \\ w \end{pmatrix}$$

$$\vec{V} = \begin{pmatrix} v_r \\ v_\theta \\ v_\phi \end{pmatrix} = \begin{pmatrix} a \\ b \\ c \end{pmatrix}$$

## 勾配 (grad)

```

depends(A, [r, \theta, \phi]);
grad(A);
express(%);
transpose(%);
ev(% , diff);
subst([LXYZR1], %);
subst([LXYZR2], %);
subst([LXYZR3], %);
TR.%;
trigsimp(%);

```

勾配 (grad) は (4.3.7) 式から、

$$\text{grad}(A) = \begin{pmatrix} \frac{d}{dx} A \\ \frac{d}{dy} A \\ \frac{d}{dz} A \end{pmatrix}$$

上式で  $A$  が  $r, \theta, \phi$  の関数であるとし、微分して、(4.5.24) 式を代入し、座標変換行列:  $L$  を掛けて、整理すると、

$$\begin{aligned} \text{grad}(A) &= L \cdot \begin{pmatrix} \left( \frac{d}{dx} \theta \right) \left( \frac{d}{d\theta} A \right) + \left( \frac{d}{dx} r \right) \left( \frac{d}{dr} A \right) + \left( \frac{d}{dx} \phi \right) \left( \frac{d}{d\phi} A \right) \\ \left( \frac{d}{dy} \theta \right) \left( \frac{d}{d\theta} A \right) + \left( \frac{d}{dy} r \right) \left( \frac{d}{dr} A \right) + \left( \frac{d}{dy} \phi \right) \left( \frac{d}{d\phi} A \right) \\ \left( \frac{d}{dz} \theta \right) \left( \frac{d}{d\theta} A \right) + \left( \frac{d}{dz} r \right) \left( \frac{d}{dr} A \right) + \left( \frac{d}{dz} \phi \right) \left( \frac{d}{d\phi} A \right) \end{pmatrix} \\ &= \begin{pmatrix} \frac{d}{dr} A \\ \frac{d}{d\theta} A \\ \frac{r}{r \sin(\theta)} \frac{d}{d\phi} A \end{pmatrix} \end{aligned} \quad (4.5.27)$$

## 発散 (div)

```

/* divergence */
div(transpose(VXYZ) [1]);
express(%);
DIVXYZ:ev(% ,diff);
VXYZ1:VXYZ=TR1.VRTP;
UA:lhs(VXYZ1) [1] [1]=rhs(VXYZ1) [1] [1];
VA:lhs(VXYZ1) [2] [1]=rhs(VXYZ1) [2] [1];
WA:lhs(VXYZ1) [3] [1]=rhs(VXYZ1) [3] [1];
subst([UA,VA,WA],DIVXYZ);
ev(% ,diff);
subst([LXYZR1],%);
subst([LXYZR2],%);
subst([LXYZR3],%);
trigsimp(%);
expand(%);
subst([a=v[r],b=v[\theta],c=v[\phi]],%);

```

発散 (div) は (4.3.8) 式から、

$$\operatorname{div}(\vec{V}) = \frac{d}{dz} w + \frac{d}{dy} v + \frac{d}{dx} u \quad (4.5.28)$$

$xyz$  座標系の速度 :  $u, v, w$  と極座標型の速度 :  $a, b, c$  の関係は、

$$\vec{V} = \begin{pmatrix} u \\ v \\ w \end{pmatrix} = L^T \begin{pmatrix} a \\ b \\ c \end{pmatrix} = \begin{pmatrix} a \cos(\phi) \sin(\theta) + b \cos(\phi) \cos(\theta) - c \sin(\phi) \\ a \sin(\phi) \sin(\theta) + b \sin(\phi) \cos(\theta) + c \cos(\phi) \\ a \cos(\theta) - b \sin(\theta) \end{pmatrix} \quad (4.5.29)$$

(4.5.28) 式に上式を代入し、極座標型の速度 :  $a, b, c$  は  $r, \theta, \phi$  の関数であるから、これらで微分し、(4.5.24) 式を代入して整理すると、

$$\begin{aligned} \operatorname{div}(\vec{V}) &= \frac{d}{dz} (a \sin(\phi) \sin(\theta) + b \sin(\phi) \cos(\theta) + c \cos(\phi)) \\ &\quad + \frac{d}{dx} (a \cos(\phi) \sin(\theta) + b \cos(\phi) \cos(\theta) - c \sin(\phi)) \\ &\quad + \frac{d}{dy} (a \cos(\theta) - b \sin(\theta)) \\ &= \frac{b \cos(\theta)}{r \sin(\theta)} + \frac{\frac{d}{d\phi} c}{r \sin(\theta)} + \frac{\frac{d}{d\theta} b}{r} + \frac{2a}{r} + \frac{d}{dr} a \\ &= \frac{\frac{d}{d\theta} v_\theta}{r} + \frac{v_\theta \cos(\theta)}{r \sin(\theta)} + \frac{\frac{d}{d\phi} v_\phi}{r \sin(\theta)} + \frac{d}{dr} v_r + \frac{2v_r}{r} \end{aligned} \quad (4.5.30)$$

$\nabla^2$

```
/* nabla^2 */
NABA: 'diff(A,x,2)+'diff(A,y,2)+'diff(A,z,2);
ev(% ,diff);
subst([LXYZR6],%);
subst([LXYZR5],%);
subst([LXYZR4],%);
subst([LXYZR3],%);
subst([LXYZR2],%);
subst([LXYZR1],%);
trigsimp(%);
expand(%);
```

$\nabla^2$  は (4.3.30) 式から、

$$\nabla^2 A = \frac{d^2}{dz^2} A + \frac{d^2}{dy^2} A + \frac{d^2}{dx^2} A$$

上式で  $A$  が  $r, \theta, \phi$  の関数であるとし、微分して、(4.5.24) 式、(4.5.25) 式を代入し、整理すると、

$$\begin{aligned} \nabla^2 A = & \frac{d^2}{d\theta^2} A + \frac{\cos(\theta)}{r^2 \sin(\theta)} \left( \frac{d}{d\theta} A \right) + \frac{d^2}{dr^2} A \\ & + \frac{2}{r} \left( \frac{d}{dr} A \right) + \frac{d^2}{r^2 \sin(\theta)^2} A \end{aligned} \quad (4.5.31)$$

上式に (4.5.29) 式を代入し、座標変換行列： $L$  を掛け、

$$\begin{aligned} & \text{curl}(\vec{V}) \\ = & L \begin{pmatrix} \frac{d}{dy} (a \cos(\theta) - b \sin(\theta)) - \frac{d}{dz} (a \sin(\phi) \sin(\theta) + b \sin(\phi) \cos(\theta) + c \cos(\phi)) \\ \frac{d}{dz} (a \cos(\phi) \sin(\theta) + b \cos(\phi) \cos(\theta) - c \sin(\phi)) - \frac{d}{dx} (a \cos(\theta) - b \sin(\theta)) \\ \frac{d}{dx} (a \sin(\phi) \sin(\theta) + b \sin(\phi) \cos(\theta) + c \cos(\phi)) - \frac{d}{dy} (a \cos(\phi) \sin(\theta) + b \cos(\phi) \cos(\theta) - c \sin(\phi)) \end{pmatrix} \end{aligned}$$

$a, b, c$  が  $r, \theta, \phi$  の関数であるとし、微分して、(4.5.24) 式を代入し、整理すると、

$$\begin{aligned} \text{curl}(\vec{V}) = & \begin{pmatrix} \frac{(\frac{d}{d\theta} c) \sin(\theta) + c \cos(\theta) - \frac{d}{d\phi} b}{r \sin(\theta)} \\ - \frac{((\frac{d}{dr} c) r + c) \sin(\theta) - \frac{d}{d\phi} a}{r \sin(\theta)} \\ \frac{(\frac{d}{dr} b) r + b - \frac{d}{d\theta} a}{r} \end{pmatrix} \\ = & \begin{pmatrix} -\frac{\frac{d}{d\phi} v_\theta + (\frac{d}{d\theta} v_\phi) \sin(\theta) + v_\phi \cos(\theta)}{r \sin(\theta)} \\ - \frac{((\frac{d}{dr} v_\phi) r + v_\phi) \sin(\theta) - \frac{d}{d\phi} v_r}{r \sin(\theta)} \\ \frac{r (\frac{d}{dr} v_\theta) + v_\theta - \frac{d}{d\theta} v_r}{r} \end{pmatrix} \end{aligned} \quad (4.5.32)$$

回転 (rot,curl)

```
/* rotation */
curl(transpose(VXYZ)[1]);
express(%);
VXYZCURL: transpose(ev(% ,diff));
subst([UA,VA,WA],VXYZCURL);
ev(% ,diff);
subst([LXYZR1],%);
subst([LXYZR2],%);
subst([LXYZR3],%);
trigrat(expand(TR.%));
subst([a=v[r],b=v[\theta],c=v[\phi]],%);
```

回転 (rot,curl) は (4.3.9) 式から、

$$\text{curl}(\vec{V}) = \begin{pmatrix} \frac{d}{dy} w - \frac{d}{dz} v \\ \frac{d}{dz} u - \frac{d}{dx} w \\ \frac{d}{dx} v - \frac{d}{dy} u \end{pmatrix}$$



4.5.5 直交曲線座標系への座標変換

直交座標系： $x, y, z$  の点は、 $x = \text{一定}$ 、 $y = \text{一定}$ 、 $z = \text{一定}$  のお互いに垂直な面の交点で与えられる。直交座標系： $x, y, z$  の単位ベクトルを各々  $\vec{i}, \vec{j}, \vec{k}$  とする。

いま、直交座標系： $u_1, u_2, u_3$  とする。これを  $x, y, z$  座標系で表すと、<sup>1</sup>

$$\begin{aligned} x &= f_1(u_1, u_2, u_3), \quad y = f_2(u_1, u_2, u_3), \\ z &= f_3(u_1, u_2, u_3) \end{aligned}$$

直交座標系： $u_1, u_2, u_3$  の点は、 $u_1 = \text{一定}$ 、 $u_2 = \text{一定}$ 、 $u_3 = \text{一定}$  のお互いに垂直な面の交点で与えられる。 $u_1, u_2, u_3$  の単位ベクトルを各々  $\vec{i}_1, \vec{i}_2, \vec{i}_3$  とする。 $u_1, u_2, u_3$  と  $u_1 + du_1, u_2 + du_2, u_3 + du_3$  に対応する面で、端部： $h_1 du_1, h_2 du_2, h_3 du_3$  の直方体の図を描くと下図となる。

ここで  $h_1, h_2, h_3$  は下記の関係式で得られる。

$$ds^2 = dz^2 + dy^2 + dx^2 \quad (4.5.33)$$

ここで、

$$\begin{aligned} dx &= du_3 \left( \frac{d}{du_3} x \right) + du_2 \left( \frac{d}{du_2} x \right) + du_1 \left( \frac{d}{du_1} x \right) \\ dy &= du_3 \left( \frac{d}{du_3} y \right) + du_2 \left( \frac{d}{du_2} y \right) + du_1 \left( \frac{d}{du_1} y \right) \\ dz &= du_3 \left( \frac{d}{du_3} z \right) + du_2 \left( \frac{d}{du_2} z \right) + du_1 \left( \frac{d}{du_1} z \right) \end{aligned} \quad (4.5.34)$$

(4.5.33) 式に (4.5.34) 式を代入すると、

$$\begin{aligned} ds^2 &= \left( du_3 \left( \frac{d}{du_3} z \right) + du_2 \left( \frac{d}{du_2} z \right) + du_1 \left( \frac{d}{du_1} z \right) \right)^2 \\ &+ \left( du_3 \left( \frac{d}{du_3} y \right) + du_2 \left( \frac{d}{du_2} y \right) + du_1 \left( \frac{d}{du_1} y \right) \right)^2 \\ &+ \left( du_3 \left( \frac{d}{du_3} x \right) + du_2 \left( \frac{d}{du_2} x \right) + du_1 \left( \frac{d}{du_1} x \right) \right)^2 \end{aligned} \quad (4.5.35)$$

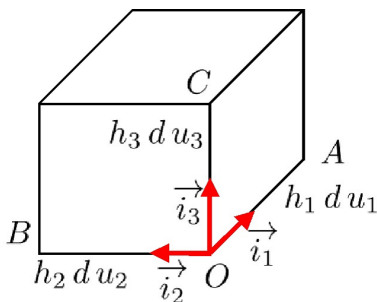


図 4.5.3: 直交曲線座標

```
kill(all);
depends([x,y,z,\Phi],[u[1],u[2],u[3]]);
DS1:(ds)^2=(dx)^2+(dy)^2+(dz)^2;
DS2:(ds)^2=h[1]^2*(du[1])^2+h[2]^2
*(du[2])^2+h[3]^2*(du[3])^2;
DX1:dx=diff(x,u[1])*du[1]+diff(x,u[2])
*du[2]+diff(x,u[3])*du[3];
DY1:dy=diff(y,u[1])*du[1]+diff(y,u[2])
*du[2]+diff(y,u[3])*du[3];
DZ1:dz=diff(z,u[1])*du[1]+diff(z,u[2])
*du[2]+diff(z,u[3])*du[3];
DS2:subst([DX1,DY1,DZ1],DS1);
subst([du[2]=0,du[3]=0],DS2);
factor(%);
%/(du[1])^2;
H12:h[1]^2=rhs(%);
subst([du[3]=0,du[1]=0],DS2);
factor(%);
%/(du[2])^2;
H22:h[2]^2=rhs(%);
subst([du[1]=0,du[2]=0],DS2);
factor(%);
%/(du[3])^2;
H32:h[3]^2=rhs(%);
```

上式で直交座標系の性質から、 $du_1 du_2$  の高次項を無視する。また、 $du_1$  について、 $du_1$  の方向に対して、 $du_2, du_3$  の方向は直角であるため、上式で  $du_2 = 0, du_3 = 0$  と置くことができ、下記の関係式を得る。

$$ds^2 = du_1^2 \left( \left( \frac{d}{du_1} z \right)^2 + \left( \frac{d}{du_1} y \right)^2 + \left( \frac{d}{du_1} x \right)^2 \right)$$

上式から、 $h_1$  は下記となる。

$$h_1^2 = \left( \frac{d}{du_1} z \right)^2 + \left( \frac{d}{du_1} y \right)^2 + \left( \frac{d}{du_1} x \right)^2$$

上記から、

$$\begin{aligned} ds^2 &= dz^2 + dy^2 + dx^2 \\ &= du_3^2 h_3^2 + du_2^2 h_2^2 + du_1^2 h_1^2 \end{aligned} \quad (4.5.36)$$

ここで、

$$\begin{aligned} h_1^2 &= \left( \frac{d}{du_1} z \right)^2 + \left( \frac{d}{du_1} y \right)^2 + \left( \frac{d}{du_1} x \right)^2 \\ h_2^2 &= \left( \frac{d}{du_2} z \right)^2 + \left( \frac{d}{du_2} y \right)^2 + \left( \frac{d}{du_2} x \right)^2 \\ h_3^2 &= \left( \frac{d}{du_3} z \right)^2 + \left( \frac{d}{du_3} y \right)^2 + \left( \frac{d}{du_3} x \right)^2 \end{aligned} \quad (4.5.37)$$

直交座標系： $x, y, z$  では  $\nabla$  は (4.3.26) 式から、

$$\nabla = \frac{d}{dx} \vec{i} + \frac{d}{dy} \vec{j} + \frac{d}{dz} \vec{k} \quad (4.5.38)$$

<sup>1</sup>L. M. Milne-Thomson : Theoretical Hydrodynamics, Fourth Edition, Macmillan & Co. Ltd., 1962 2・72 Orthogonal Curvilinear coordinates P.60

$\nabla$  を直交座標系:  $u_1, u_2, u_3$  で表すと、

$$\begin{aligned}\nabla F &= \frac{1}{h_1} \frac{\partial}{\partial u_1} F \vec{i}_1 + \frac{1}{h_2} \frac{\partial}{\partial u_2} F \vec{i}_2 + \frac{1}{h_3} \frac{\partial}{\partial u_3} F \vec{i}_3 \\ &= F_1 \vec{i}_1 + F_2 \vec{i}_2 + F_3 \vec{i}_3\end{aligned}$$

$$\text{ここで、 } F_1 = \frac{1}{h_1} \frac{\partial}{\partial u_1} F,$$

$$F_2 = \frac{1}{h_2} \frac{\partial}{\partial u_2} F, \quad F_3 = \frac{1}{h_3} \frac{\partial}{\partial u_3} F \quad (4.5.39)$$

また、

$$\nabla = \frac{1}{h_1} \frac{\partial}{\partial u_1} \vec{i}_1 + \frac{1}{h_2} \frac{\partial}{\partial u_2} \vec{i}_2 + \frac{1}{h_3} \frac{\partial}{\partial u_3} \vec{i}_3 \quad (4.5.40)$$

$\nabla \vec{F}$  について、(4.5.39) 式から、

$$\begin{aligned}\nabla \vec{F} &= F_1 \nabla \vec{i}_1 + \vec{i}_1 \nabla F_1 + F_2 \nabla \vec{i}_2 + \vec{i}_2 \nabla F_2 \\ &\quad + F_3 \nabla \vec{i}_3 + \vec{i}_3 \nabla F_3\end{aligned} \quad (4.5.41)$$

上式の  $\nabla F_1$  について、 $\vec{i}_1 \cdot \vec{i}_1 = 1$ ,  $\vec{i}_1 \cdot \vec{i}_2 = 0$ ,  $\vec{i}_1 \cdot \vec{i}_3 = 0$  であるから、

$$\vec{i}_1 \nabla F_1 = \frac{1}{h_1} \frac{\partial}{\partial u_1} F_1$$

同様に、

$$\begin{aligned}\vec{i}_1 \nabla F_1 &= \frac{1}{h_1} \frac{\partial}{\partial u_1} F_1 \\ \vec{i}_2 \nabla F_2 &= \frac{1}{h_2} \frac{\partial}{\partial u_2} F_2 \\ \vec{i}_3 \nabla F_3 &= \frac{1}{h_3} \frac{\partial}{\partial u_3} F_3\end{aligned} \quad (4.5.42)$$

(4.5.41) 式の  $\nabla \vec{i}_1$  について、(4.3.33) 式から、

$$\nabla \vec{i}_1 = \nabla (\vec{i}_2 \times \vec{i}_3) = \vec{i}_3 (\nabla \times \vec{i}_2) - \vec{i}_2 (\nabla \times \vec{i}_3)$$

同様にして、

$$\begin{aligned}\nabla \vec{i}_1 &= \nabla (\vec{i}_2 \times \vec{i}_3) = \vec{i}_3 (\nabla \times \vec{i}_2) - \vec{i}_2 (\nabla \times \vec{i}_3) \\ \nabla \vec{i}_2 &= \nabla (\vec{i}_3 \times \vec{i}_1) = \vec{i}_1 (\nabla \times \vec{i}_3) - \vec{i}_3 (\nabla \times \vec{i}_1) \\ \nabla \vec{i}_3 &= \nabla (\vec{i}_1 \times \vec{i}_2) = \vec{i}_2 (\nabla \times \vec{i}_1) - \vec{i}_1 (\nabla \times \vec{i}_2)\end{aligned} \quad (4.5.43)$$

さらに、 $\nabla \times \vec{i}_1$  について、(4.3.56) 式から、

$$\frac{1}{h_1} (\nabla \times \vec{i}_1) = \nabla \times \left( \vec{i}_1 \frac{1}{h_1} \right) + \vec{i}_1 \times \nabla \left( \frac{1}{h_1} \right)$$

(4.5.40) 式から  $\vec{i}_1 \frac{1}{h_1} = \nabla u_1$  で上式の右辺第一項は

$\nabla \times (\nabla u_1) = 0$  から零となる。よって、上式は、

$$\begin{aligned}\frac{1}{h_1} (\nabla \times \vec{i}_1) &= \vec{i}_1 \times \nabla \left( \frac{1}{h_1} \right) \\ &= -\vec{i}_1 \times \left( \frac{1}{h_1^3} \frac{\partial}{\partial u_1} h_1 \vec{i}_1 \right. \\ &\quad \left. + \frac{1}{h_1^2 h_2} \frac{\partial}{\partial u_2} h_1 \vec{i}_2 + \frac{1}{h_1^2 h_3} \frac{\partial}{\partial u_3} h_1 \vec{i}_3 \right) \\ &= -\frac{1}{h_1^2 h_2} \frac{\partial}{\partial u_2} h_1 \vec{i}_3 + \frac{1}{h_1^2 h_3} \frac{\partial}{\partial u_3} h_1 \vec{i}_2\end{aligned}$$

$$\begin{aligned}\frac{1}{h_2} (\nabla \times \vec{i}_2) &= \vec{i}_2 \times \nabla \left( \frac{1}{h_2} \right) \\ &= -\vec{i}_2 \times \left( \frac{1}{h_1 h_2^2} \frac{\partial}{\partial u_1} h_2 \vec{i}_1 \right. \\ &\quad \left. + \frac{1}{h_2^3} \frac{\partial}{\partial u_2} h_2 \vec{i}_2 + \frac{1}{h_2^2 h_3} \frac{\partial}{\partial u_3} h_2 \vec{i}_3 \right) \\ &= \frac{1}{h_1 h_2^2} \frac{\partial}{\partial u_1} h_2 \vec{i}_3 - \frac{1}{h_2^2 h_3} \frac{\partial}{\partial u_3} h_2 \vec{i}_1\end{aligned}$$

$$\begin{aligned}\frac{1}{h_3} (\nabla \times \vec{i}_3) &= \vec{i}_3 \times \nabla \left( \frac{1}{h_3} \right) \\ &= -\vec{i}_3 \times \left( \frac{1}{h_1 h_3^2} \frac{\partial}{\partial u_1} h_3 \vec{i}_1 \right. \\ &\quad \left. + \frac{1}{h_2 h_3^2} \frac{\partial}{\partial u_2} h_3 \vec{i}_2 + \frac{1}{h_3^3} \frac{\partial}{\partial u_3} h_3 \vec{i}_3 \right) \\ &= -\frac{1}{h_1 h_3^2} \frac{\partial}{\partial u_1} h_3 \vec{i}_2 + \frac{1}{h_2 h_3^2} \frac{\partial}{\partial u_2} h_3 \vec{i}_1\end{aligned}$$

上式から、

$$\begin{aligned}\nabla \times \vec{i}_1 &= -\frac{1}{h_1 h_2} \frac{\partial}{\partial u_2} h_1 \vec{i}_3 + \frac{1}{h_1 h_3} \frac{\partial}{\partial u_3} h_1 \vec{i}_2 \\ \nabla \times \vec{i}_2 &= +\frac{1}{h_1 h_2} \frac{\partial}{\partial u_1} h_2 \vec{i}_3 - \frac{1}{h_2 h_3} \frac{\partial}{\partial u_3} h_2 \vec{i}_1 \\ \nabla \times \vec{i}_3 &= -\frac{1}{h_1 h_3} \frac{\partial}{\partial u_1} h_3 \vec{i}_2 + \frac{1}{h_2 h_3} \frac{\partial}{\partial u_2} h_3 \vec{i}_1\end{aligned} \quad (4.5.44)$$

(4.5.43) 式に (4.5.44) 式を代入し、

$$\begin{aligned}\nabla \vec{i}_1 &= \frac{1}{h_1 h_2} \frac{\partial}{\partial u_1} h_2 + \frac{1}{h_1 h_3} \frac{\partial}{\partial u_1} h_3 \\ &= \frac{1}{h_1 h_2 h_3} \frac{\partial}{\partial u_1} (h_2 h_3) \\ \nabla \vec{i}_2 &= \frac{1}{h_2 h_3} \frac{\partial}{\partial u_2} h_3 + \frac{1}{h_1 h_2} \frac{\partial}{\partial u_2} h_1 \\ &= \frac{1}{h_1 h_2 h_3} \frac{\partial}{\partial u_2} (h_1 h_3) \\ \nabla \vec{i}_3 &= \frac{1}{h_1 h_3} \frac{\partial}{\partial u_3} h_1 + \frac{1}{h_2 h_3} \frac{\partial}{\partial u_3} h_2 \\ &= \frac{1}{h_1 h_2 h_3} \frac{\partial}{\partial u_3} (h_1 h_2)\end{aligned} \quad (4.5.45)$$

(4.5.41) 式に (4.5.42) 式、(4.5.45) 式を代入し、

$$\begin{aligned}
\nabla \vec{F} &= \frac{1}{h_1} \frac{\partial}{\partial u_1} F_1 + \frac{F_1}{h_1 h_2 h_3} \frac{\partial}{\partial u_1} (h_2 h_3) \\
&\quad + \frac{1}{h_2} \frac{\partial}{\partial u_2} F_2 + \frac{F_2}{h_1 h_2 h_3} \frac{\partial}{\partial u_2} (h_1 h_3) \\
&\quad + \frac{1}{h_3} \frac{\partial}{\partial u_3} F_3 + \frac{F_3}{h_1 h_2 h_3} \frac{\partial}{\partial u_3} (h_1 h_2) \\
&= \frac{1}{h_1 h_2 h_3} \frac{\partial}{\partial u_1} (F_1 h_2 h_3) \\
&\quad + \frac{1}{h_1 h_2 h_3} \frac{\partial}{\partial u_2} (F_2 h_1 h_3) \\
&\quad + \frac{1}{h_1 h_2 h_3} \frac{\partial}{\partial u_3} (F_3 h_1 h_2)
\end{aligned} \tag{4.5.46}$$

$$\begin{aligned}
\nabla^2 F &= \nabla (\nabla F) = \frac{1}{h_1 h_2 h_3} \left( \frac{\partial}{\partial u_1} \left( \frac{h_2 h_3}{h_1} \frac{\partial}{\partial u_1} F \right) \right. \\
&\quad + \frac{\partial}{\partial u_2} \left( \frac{h_1 h_3}{h_2} \frac{\partial}{\partial u_2} F \right) \\
&\quad \left. + \frac{\partial}{\partial u_3} \left( \frac{h_1 h_2}{h_3} \frac{\partial}{\partial u_3} F \right) \right)
\end{aligned} \tag{4.5.47}$$

$\nabla \times \vec{F}$  について、(4.5.39) 式から、

$$\nabla \times \vec{F} = \nabla \times (F_1 \vec{i}_1 + F_2 \vec{i}_2 + F_3 \vec{i}_3)$$

(4.3.56) 式から、上式は、

$$\begin{aligned}
\nabla \times \vec{F} &= -\vec{i}_1 \times \nabla F_1 + F_1 (\nabla \times \vec{i}_1) \\
&\quad - \vec{i}_2 \times \nabla F_2 + F_2 (\nabla \times \vec{i}_2) \\
&\quad - \vec{i}_3 \times \nabla F_3 + F_3 (\nabla \times \vec{i}_3)
\end{aligned}$$

$\nabla^2 F$  について、上式に (4.5.39) 式の下記の関係を代入し、

$$F_1 = \frac{1}{h_1} \frac{\partial}{\partial u_1} F, \quad F_2 = \frac{1}{h_2} \frac{\partial}{\partial u_2} F, \quad F_3 = \frac{1}{h_3} \frac{\partial}{\partial u_3} F$$

上式に (4.5.39) 式、(4.5.44) 式から、

$$\begin{aligned}
\nabla \times \vec{F} &= -\vec{i}_1 \times \left( \frac{1}{h_1} \frac{\partial}{\partial u_1} F_1 \vec{i}_1 + \frac{1}{h_2} \frac{\partial}{\partial u_2} F_1 \vec{i}_2 + \frac{1}{h_3} \frac{\partial}{\partial u_3} F_1 \vec{i}_3 \right) - \frac{F_1}{h_1 h_2} \frac{\partial}{\partial u_2} h_1 \vec{i}_3 + \frac{F_1}{h_1 h_3} \frac{\partial}{\partial u_3} h_1 \vec{i}_2 \\
&\quad - \vec{i}_2 \times \left( \frac{1}{h_1} \frac{\partial}{\partial u_1} F_2 \vec{i}_1 + \frac{1}{h_2} \frac{\partial}{\partial u_2} F_2 \vec{i}_2 + \frac{1}{h_3} \frac{\partial}{\partial u_3} F_2 \vec{i}_3 \right) + \frac{F_2}{h_1 h_2} \frac{\partial}{\partial u_1} h_2 \vec{i}_3 - \frac{F_2}{h_2 h_3} \frac{\partial}{\partial u_3} h_2 \vec{i}_1 \\
&\quad - \vec{i}_3 \times \left( \frac{1}{h_1} \frac{\partial}{\partial u_1} F_3 \vec{i}_1 + \frac{1}{h_2} \frac{\partial}{\partial u_2} F_3 \vec{i}_2 + \frac{1}{h_3} \frac{\partial}{\partial u_3} F_3 \vec{i}_3 \right) - \frac{F_3}{h_1 h_3} \frac{\partial}{\partial u_1} h_3 \vec{i}_2 + \frac{F_3}{h_2 h_3} \frac{\partial}{\partial u_2} h_3 \vec{i}_1
\end{aligned}$$

上式に単位ベクトル： $\vec{i}_1, \vec{i}_2, \vec{i}_3$  の外積から、

$$\begin{aligned}
\nabla \times \vec{F} &= -\frac{1}{h_2} \frac{\partial}{\partial u_2} F_1 \vec{i}_3 + \frac{1}{h_3} \frac{\partial}{\partial u_3} F_1 \vec{i}_2 - \frac{F_1}{h_1 h_2} \frac{\partial}{\partial u_2} h_1 \vec{i}_3 + \frac{F_1}{h_1 h_3} \frac{\partial}{\partial u_3} h_1 \vec{i}_2 \\
&\quad + \frac{1}{h_1} \frac{\partial}{\partial u_1} F_2 \vec{i}_3 - \frac{1}{h_3} \frac{\partial}{\partial u_3} F_2 \vec{i}_1 + \frac{F_2}{h_1 h_2} \frac{\partial}{\partial u_1} h_2 \vec{i}_3 - \frac{F_2}{h_2 h_3} \frac{\partial}{\partial u_3} h_2 \vec{i}_1 \\
&\quad - \frac{1}{h_1} \frac{\partial}{\partial u_1} F_3 \vec{i}_2 + \frac{1}{h_2} \frac{\partial}{\partial u_2} F_3 \vec{i}_1 - \frac{F_3}{h_1 h_3} \frac{\partial}{\partial u_1} h_3 \vec{i}_2 + \frac{F_3}{h_2 h_3} \frac{\partial}{\partial u_2} h_3 \vec{i}_1 \\
&= -\frac{1}{h_1 h_2} \frac{\partial}{\partial u_2} h_1 F_1 \vec{i}_3 + \frac{1}{h_1 h_3} \frac{\partial}{\partial u_3} h_1 F_1 \vec{i}_2 + \frac{1}{h_1 h_2} \frac{\partial}{\partial u_1} h_2 F_2 \vec{i}_3 - \frac{1}{h_2 h_3} \frac{\partial}{\partial u_3} h_2 F_2 \vec{i}_1 \\
&\quad - \frac{1}{h_1 h_3} \frac{\partial}{\partial u_1} h_3 F_3 \vec{i}_2 + \frac{1}{h_2 h_3} \frac{\partial}{\partial u_2} h_3 F_3 \vec{i}_1
\end{aligned}$$

上式から、

$$\begin{aligned}
\nabla \times \vec{F} &= +\frac{1}{h_2 h_3} \left( \frac{\partial}{\partial u_2} h_3 F_3 - \frac{\partial}{\partial u_3} h_2 F_2 \right) \vec{i}_1 + \frac{1}{h_1 h_3} \left( \frac{\partial}{\partial u_3} h_1 F_1 - \frac{\partial}{\partial u_1} h_3 F_3 \right) \vec{i}_2 \\
&\quad + \frac{1}{h_1 h_2} \left( \frac{\partial}{\partial u_1} h_2 F_2 - \frac{\partial}{\partial u_2} h_1 F_1 \right) \vec{i}_3
\end{aligned} \tag{4.5.48}$$

上記までの式をまとめる。ここでベクトルをマトリックスで表現する。

$$\vec{F} = \begin{pmatrix} F_1 \\ F_2 \\ F_3 \end{pmatrix} \quad (4.5.49)$$

$$\nabla F = \begin{pmatrix} \frac{\frac{d}{du_1} F}{h_1} \\ \frac{\frac{d}{du_2} F}{h_2} \\ \frac{\frac{d}{du_3} F}{h_3} \end{pmatrix} \quad (4.5.50)$$

$$\begin{aligned} \nabla \vec{F} &= \frac{1}{h_1 h_2 h_3} \frac{\partial}{\partial u_1} (F_1 h_2 h_3) \\ &+ \frac{1}{h_1 h_2 h_3} \frac{\partial}{\partial u_2} (F_2 h_1 h_3) \\ &+ \frac{1}{h_1 h_2 h_3} \frac{\partial}{\partial u_3} (F_3 h_1 h_2) \end{aligned} \quad (4.5.51)$$

$$\begin{aligned} \nabla^2 F &= \frac{1}{h_1 h_2 h_3} \left( \frac{\partial}{\partial u_1} \left( \frac{h_2 h_3}{h_1} \frac{\partial}{\partial u_1} F \right) \right. \\ &+ \frac{\partial}{\partial u_2} \left( \frac{h_1 h_3}{h_2} \frac{\partial}{\partial u_2} F \right) \\ &\left. + \frac{\partial}{\partial u_3} \left( \frac{h_1 h_2}{h_3} \frac{\partial}{\partial u_3} F \right) \right) \end{aligned} \quad (4.5.52)$$

$$\nabla \times \vec{F} = \begin{pmatrix} \frac{1}{h_2 h_3} \left( \frac{\partial}{\partial u_2} h_3 F_3 - \frac{\partial}{\partial u_3} h_2 F_2 \right) \\ \frac{1}{h_1 h_3} \left( \frac{\partial}{\partial u_3} h_1 F_1 - \frac{\partial}{\partial u_1} h_3 F_3 \right) \\ \frac{1}{h_1 h_2} \left( \frac{\partial}{\partial u_1} h_2 F_2 - \frac{\partial}{\partial u_2} h_1 F_1 \right) \end{pmatrix} \quad (4.5.53)$$

上記の結果をプログラムすると、

```
/* 直角座標系 */
kill(all);
depends([x,y,z,F],[u[1],u[2],u[3]]);
DS1:(ds)^2=(dx)^2+(dy)^2+(dz)^2;
DS2:(ds)^2=h[1]^2*(du[1])^2+h[2]^2
*(du[2])^2+h[3]^2*(du[3])^2;
DX1:dx=diff(x,u[1])*du[1]+diff(x,u[2])
*du[2]+diff(x,u[3])*du[3];
DY1:dy=diff(y,u[1])*du[1]+diff(y,u[2])
*du[2]+diff(y,u[3])*du[3];
DZ1:dz=diff(z,u[1])*du[1]+diff(z,u[2])
*du[2]+diff(z,u[3])*du[3];
DS2:subst([DX1,DY1,DZ1],DS1);
subst([du[2]=0,du[3]=0],DS2);
factor(%);
%/(du[1])^2;
H12:h[1]^2=rhs(%);
subst([du[3]=0,du[1]=0],DS2);
factor(%);
%/(du[2])^2;
H22:h[2]^2=rhs(%);
subst([du[1]=0,du[2]=0],DS2);
factor(%);
%/(du[3])^2;
H32:h[3]^2=rhs(%);
DF1:\nabla*F=matrix([ 1/h[1]*'diff(F,u[1]
,1) ], [ 1/h[2]*'diff(F,u[2],1) ], [ 1/h[3]
*'diff(F,u[3],1) ]);
DF2:\nabla*F=1/(h[1]*h[2]*h[3])*('diff(
(h[2]*h[3]*F[1]),u[1],1)+ 'diff((h[3]*
h[1]*F[2]),u[2],1)+ 'diff((h[1]*h[2]
*F[3]),u[3],1));
DF3:\nabla^2*F=1/(h[1]*h[2]*h[3])*('
diff(h[2]*h[3]/h[1]*'diff(F,u[1]),u[1])
+'diff(h[1]*h[3]/h[2]*'diff(F,u[2]),u[2])
+'diff(h[2]*h[1]/h[3]*'diff(F,u[3]),
u[3]));
DF4:\nabla*F=matrix([ 1/(h[2]*h[3])*
('diff((h[3]*F[3]),u[2],1)-'diff((h[2]
*F[2]), u[3],1) )], [ 1/(h[3]*h[1])*('
diff((h[1]*F[1]),u[3],1)-'diff((h[3]
*F[3]),u[1],1) )], [1/(h[1]*h[2])*
('diff((h[2]*F[2]),u[1],1)-'diff((h[1]
*F[1]),u[2],1) )]);
```

円柱座標系

```

/* 円柱座標系 */
depends([x,y,z,F],[r,\theta,t]);
X1:x=r*cos(\theta);
Y1:y=r*sin(\theta);
Z1:z=t;
U1:u[1]=r;
U2:u[2]=\theta;
U3:u[3]=t;
subst([U1,U2,U3],H12);
subst([X1,Y1,Z1],%);
ev(%,diff);
trigsimp(%);
H13:h[1]=1;
subst([U1,U2,U3],H22);
subst([X1,Y1,Z1],%);
ev(%,diff);
trigsimp(%);
H23:h[2]=r;
subst([U1,U2,U3],H32);
subst([X1,Y1,Z1],%);
ev(%,diff);
trigsimp(%);
H33:h[3]=1;
subst([H13,H23,H33,U1,U2,U3],DF1);
ev(%,diff);
expand(%);
subst([H13,H23,H33,U1,U2,U3],DF2);
ev(%,diff);
DF21:expand(%);
subst([H13,H23,H33,U1,U2,U3],DF3);
ev(%,diff);
expand(%);
subst([H13,H23,H33,U1,U2,U3],DF4);
ev(%,diff);
expand(%);

```

$xyz$  座標と円柱座標の関係式は、

$$x = r \cos(\theta), \quad y = r \sin(\theta), \quad z = t \quad (4.5.54)$$

円柱座標の変数は、

$$u_1 = r, \quad u_2 = \theta, \quad u_3 = t \quad (4.5.55)$$

(4.5.37) 式に (4.5.54) 式、(4.5.55) 式を代入し、

$$h_1 = 1, \quad h_2 = r, \quad h_3 = 1 \quad (4.5.56)$$

(4.5.50) 式に (4.5.55) 式、(4.5.56) 式を代入し、

$$\nabla F = \begin{pmatrix} \frac{d}{dr} F \\ \frac{d}{d\theta} \frac{F}{r} \\ \frac{d}{dt} F \end{pmatrix}$$

上式は (4.5.11) 式と一致している。  
(4.5.51) 式に (4.5.55) 式、(4.5.56) 式を代入し、

$$\nabla \vec{F} = \frac{d}{dr} \frac{F_2}{r} + \frac{F_1}{r} + \frac{d}{dt} F_3 + \frac{d}{dr} F_1$$

上式は (4.5.14) 式と一致している。  
(4.5.52) 式 (4.5.55) 式、(4.5.56) 式を代入し、

$$\nabla^2 F = \frac{d^2}{dr^2} F + \frac{d^2}{dt^2} F + \frac{d^2}{dr^2} F + \frac{d}{dr} \frac{F}{r}$$

上式は (4.5.15) 式と一致している。  
(4.5.53) 式に (4.5.55) 式、(4.5.56) 式を代入し、

$$\nabla \times \vec{F} = \begin{pmatrix} \frac{d}{d\theta} \frac{F_3}{r} - \frac{d}{dt} F_2 \\ \frac{d}{dt} F_1 - \frac{d}{dr} F_3 \\ -\frac{d}{d\theta} \frac{F_1}{r} + \frac{F_2}{r} + \frac{d}{dr} F_2 \end{pmatrix}$$

上式は (4.5.16) 式と一致している。

極座標系

```

/* 極座標系 */
depends([x,y,z,F],[r,\theta,\phi]);
X1:x=r*cos(\phi)*sin(\theta);
Y1:y=r*sin(\phi)*sin(\theta);
Z1:z=r*cos(\theta);
U1:u[1]=r;
U2:u[2]=\theta;
U3:u[3]=\phi;
subst([U1,U2,U3],H12);
subst([X1,Y1,Z1],%);
ev(%,diff);
trigsimp(%);
H13:h[1]=1;
subst([U1,U2,U3],H22);
subst([X1,Y1,Z1],%);
ev(%,diff);
trigsimp(%);
H23:h[2]=r;
subst([U1,U2,U3],H32);
subst([X1,Y1,Z1],%);
ev(%,diff);
trigsimp(%);
H33:h[3]=r*sin(\theta);
subst([H13,H23,H33,U1,U2,U3],DF1);
ev(%,diff);
expand(%);
subst([H13,H23,H33,U1,U2,U3],DF2);
ev(%,diff);
expand(%);
subst([H13,H23,H33,U1,U2,U3],DF3);
ev(%,diff);
expand(%);
subst([H13,H23,H33,U1,U2,U3],DF4);
ev(%,diff);
expand(%);

```

$xyz$  座標と極座標の関係式は、

$$\begin{aligned} x &= \cos(\phi) r \sin(\theta), & y &= \sin(\phi) r \sin(\theta) \\ z &= r \cos(\theta) \end{aligned} \quad (4.5.57)$$

極座標の変数は、

$$u_1 = r, \quad u_2 = \theta, \quad u_3 = \phi \quad (4.5.58)$$

(4.5.37) 式に (4.5.57) 式、(4.5.58) 式を代入し、

$$h_1 = 1, \quad h_2 = r, \quad h_3 = r \sin(\theta) \quad (4.5.59)$$

(4.5.50) 式に (4.5.58) 式、(4.5.59) 式を代入し、

$$\nabla F = \begin{pmatrix} \frac{d}{dr} F \\ \frac{d}{d\theta} F \\ \frac{d}{d\phi} F \\ \frac{r}{r \sin(\theta)} F \end{pmatrix}$$

上式は (4.5.27) 式と一致している。

(4.5.51) 式に (4.5.58) 式、(4.5.59) 式を代入し、

$$\nabla \vec{F} = \frac{F_2 \cos(\theta)}{r \sin(\theta)} + \frac{\frac{d}{d\phi} F_3}{r \sin(\theta)} + \frac{\frac{d}{d\theta} F_2}{r} + \frac{2 F_1}{r} + \frac{d}{dr} F_1$$

上式は (4.5.30) 式と一致している。

(4.5.52) 式に (4.5.58) 式、(4.5.59) 式を代入し、

$$\begin{aligned} \nabla^2 F &= \frac{d^2}{dr^2} F + \frac{\cos(\theta)}{r^2 \sin(\theta)} \left( \frac{d}{d\theta} F \right) + \frac{d^2}{dr^2} F + \frac{2}{r} \left( \frac{d}{dr} F \right) \\ &\quad + \frac{\frac{d^2}{d\phi^2} F}{r^2 \sin^2(\theta)} \end{aligned}$$

上式は (4.5.31) 式と一致している。

(4.5.53) 式に (4.5.58) 式、(4.5.59) 式を代入し、

$$\nabla \times \vec{F} = \begin{pmatrix} \frac{F_3 \cos(\theta)}{r \sin(\theta)} - \frac{\frac{d}{d\phi} F_2}{r \sin(\theta)} + \frac{\frac{d}{d\theta} F_3}{r} \\ \frac{\frac{d}{d\phi} F_1}{r \sin(\theta)} - \frac{F_3}{r} - \frac{d}{dr} F_3 \\ -\frac{\frac{d}{d\theta} F_1}{r} + \frac{F_2}{r} + \frac{d}{dr} F_2 \end{pmatrix}$$

上式は (4.5.32) 式と一致している。

## 4.6 テンソル (斜交座標)

### 4.6.1 基底ベクトルと双対基底ベクトル (二次元)

直角座標系では座標間の角度は90度で、座標軸は例として単位ベクトル： $\vec{e}_x, \vec{e}_y, \vec{e}_z$ で、その大きさは1である。下図の斜交座標では座標間の角度は一般的に90度ではない。また、座標軸の基底ベクトル： $\vec{e}_1, \vec{e}_2$ の大きさは1とは限らない。この基底ベクトル： $\vec{e}_1, \vec{e}_2$ に対して、双対基底ベクトルを $\vec{e}_2$ と直角な $\vec{e}^1$ 、 $\vec{e}_1$ と直角な $\vec{e}^2$ の基底ベクトルとし、 $\vec{e}_1 \cdot \vec{e}^1 = 1$ 、 $\vec{e}_2 \cdot \vec{e}^2 = 1$ となるように双対基底ベクトルの大きさを決める。

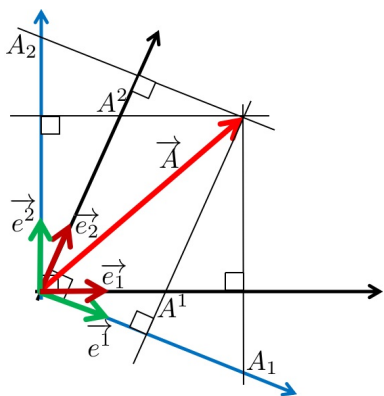


図 4.6.1: 基底ベクトルと双対基底ベクトル (二次元)

```
kill(all);
load("vect")$
ABV10:A=A^"1"*e[1]+A^"2"*e[2];
ADBV10:A=A[1]*e^"1"+A[2]*e^"2";
E10:e[1]=matrix([e["1x"]],[e["1y"]]);
E20:e[2]=matrix([e["2x"]],[e["2y"]]);
EP10:e^"1"=matrix([\epsilon["1x"]],
[\epsilon["1y"]]);
EP20:e^"2"=matrix([\epsilon["2x"]],
[\epsilon["2y"]]);
EQ1:rhs(E10).rhs(EP10)=1;
EQ2:rhs(E20).rhs(EP20)=1;
EQ3:rhs(E10).rhs(EP20)=0;
EQ4:rhs(E20).rhs(EP10)=0;
EBV1:matrix([e[1]],[e[2]]);
EDBV1:matrix([e^"1"],[e^"2"]);
EBVXY1:matrix([e[x]],[e[y]]);
E3:matrix([rhs(E10)[1][1],rhs(E10)[2][1]],
[rhs(E20)[1][1],rhs(E20)[2][1]]);
```

```
EP3:matrix([rhs(EP10)[1][1],rhs(EP10)[2][1]],
[rhs(EP20)[1][1],rhs(EP20)[2][1]]);
E3.transpose(EP3);
subst([EQ1,EQ2,EQ3,EQ4],%);
EP31:invert(E3);
E3.EP31;
factor(%);
EP4:transpose(EP31);
E3.transpose(EP4);
factor(%);
EP41:e^"1"=matrix([EP4[1][1]],
[EP4[1][2]]);
EP42:e^"2"=matrix([EP4[2][1]],
[EP4[2][2]]);
EP40:solve([EQ1,EQ2,EQ3,EQ4],
[\epsilon["1x"],\epsilon["1y"],
\epsilon["2x"],\epsilon["2y"]]);
EP12:e^"1"=matrix([rhs(EP41)[1][1]],
[rhs(EP41)[1][2]]);
EP22:e^"2"=matrix([rhs(EP41)[1][3]],
[rhs(EP41)[1][4]]);
EP11-EP12;
factor(%);
EP21-EP22;
factor(%);
factor(%);
```

ベクトル： $\vec{A}$ を基底ベクトルで表すと、

$$\vec{A} = \vec{e}_2 A^2 + \vec{e}_1 A^1 \quad (4.6.1)$$

ベクトル： $\vec{A}$ を双対基底ベクトルで表すと、

$$\vec{A} = A_2 \vec{e}^2 + A_1 \vec{e}^1 \quad (4.6.2)$$

基底ベクトルを  $xy$  座標で表すと、

$$\vec{e}_1 = \begin{pmatrix} e_{1x} \\ e_{1y} \end{pmatrix}, \quad \vec{e}_2 = \begin{pmatrix} e_{2x} \\ e_{2y} \end{pmatrix} \quad (4.6.3)$$

双対基底ベクトルを  $xy$  座標で表すと、

$$\vec{e}^1 = \begin{pmatrix} \epsilon_{1x} \\ \epsilon_{1y} \end{pmatrix}, \quad \vec{e}^2 = \begin{pmatrix} \epsilon_{2x} \\ \epsilon_{2y} \end{pmatrix} \quad (4.6.4)$$

基底ベクトルと双対基底ベクトルの関係は上記から、

$$\begin{aligned} \vec{e}_1 \cdot \vec{e}^1 &= e_{1y} \epsilon_{1y} + e_{1x} \epsilon_{1x} = 1 \\ \vec{e}_2 \cdot \vec{e}^2 &= e_{2y} \epsilon_{2y} + e_{2x} \epsilon_{2x} = 1 \\ \vec{e}_1 \cdot \vec{e}^2 &= e_{1y} \epsilon_{2y} + e_{1x} \epsilon_{2x} = 0 \\ \vec{e}_2 \cdot \vec{e}^1 &= e_{2y} \epsilon_{1y} + e_{2x} \epsilon_{1x} = 0 \end{aligned} \quad (4.6.5)$$

(4.6.3) 式の基底ベクトルを別の形で表すと、

$$\begin{pmatrix} \vec{e}_1 \\ \vec{e}_2 \end{pmatrix} = \begin{pmatrix} e_{1x} & e_{1y} \\ e_{2x} & e_{2y} \end{pmatrix} \cdot \begin{pmatrix} \vec{e}_x \\ \vec{e}_y \end{pmatrix} \quad (4.6.6)$$

(4.6.4) 式の双対基底ベクトルを別の形で表すと、

$$\begin{pmatrix} \vec{e}^1 \\ \vec{e}^2 \end{pmatrix} = \begin{pmatrix} \epsilon_{1x} & \epsilon_{1y} \\ \epsilon_{2x} & \epsilon_{2y} \end{pmatrix} \cdot \begin{pmatrix} \vec{e}_x \\ \vec{e}_y \end{pmatrix} \quad (4.6.7)$$

(4.6.6) 式、(4.6.7) 式のマトリックスから下記を求め、(4.6.5) 式を代入すると、単位マトリックスとなる。

$$\begin{aligned} & \begin{pmatrix} \epsilon_{1x} & \epsilon_{1y} \\ \epsilon_{2x} & \epsilon_{2y} \end{pmatrix} \cdot \begin{pmatrix} \epsilon_{1x} & \epsilon_{1y} \\ \epsilon_{2x} & \epsilon_{2y} \end{pmatrix}^T \\ &= \begin{pmatrix} \epsilon_{1y} \epsilon_{1y} + \epsilon_{1x} \epsilon_{1x} & \epsilon_{1y} \epsilon_{2y} + \epsilon_{1x} \epsilon_{2x} \\ \epsilon_{1y} \epsilon_{2y} + \epsilon_{1x} \epsilon_{2x} & \epsilon_{2y} \epsilon_{2y} + \epsilon_{2x} \epsilon_{2x} \end{pmatrix} = \begin{pmatrix} 1 & 0 \\ 0 & 1 \end{pmatrix} \end{aligned} \quad (4.6.8)$$

また、(4.6.6) 式の逆行列を求めると、

$$\begin{pmatrix} \epsilon_{1x} & \epsilon_{1y} \\ \epsilon_{2x} & \epsilon_{2y} \end{pmatrix}^{-1} = \begin{pmatrix} \frac{\epsilon_{2y}}{\epsilon_{1x} \epsilon_{2y} - \epsilon_{1y} \epsilon_{2x}} & -\frac{\epsilon_{1y}}{\epsilon_{1x} \epsilon_{2y} - \epsilon_{1y} \epsilon_{2x}} \\ -\frac{\epsilon_{2x}}{\epsilon_{1x} \epsilon_{2y} - \epsilon_{1y} \epsilon_{2x}} & \frac{\epsilon_{1x}}{\epsilon_{1x} \epsilon_{2y} - \epsilon_{1y} \epsilon_{2x}} \end{pmatrix} \quad (4.6.9)$$

元のマトリックスに逆行列を掛けると単位行列となるから、

$$\begin{pmatrix} \epsilon_{1x} & \epsilon_{1y} \\ \epsilon_{2x} & \epsilon_{2y} \end{pmatrix} \cdot \begin{pmatrix} \epsilon_{1x} & \epsilon_{1y} \\ \epsilon_{2x} & \epsilon_{2y} \end{pmatrix}^{-1} = \begin{pmatrix} 1 & 0 \\ 0 & 1 \end{pmatrix} \quad (4.6.10)$$

(4.6.8) 式と (4.6.10) 式から、双対基底ベクトルのマトリックスは、基底ベクトルのマトリックスの逆行列：(4.6.9) 式の転置行列で得られる。

$$\begin{pmatrix} \epsilon_{1x} & \epsilon_{1y} \\ \epsilon_{2x} & \epsilon_{2y} \end{pmatrix} = \begin{pmatrix} \frac{\epsilon_{2y}}{\epsilon_{1x} \epsilon_{2y} - \epsilon_{1y} \epsilon_{2x}} & -\frac{\epsilon_{2x}}{\epsilon_{1x} \epsilon_{2y} - \epsilon_{1y} \epsilon_{2x}} \\ -\frac{\epsilon_{1y}}{\epsilon_{1x} \epsilon_{2y} - \epsilon_{1y} \epsilon_{2x}} & \frac{\epsilon_{1x}}{\epsilon_{1x} \epsilon_{2y} - \epsilon_{1y} \epsilon_{2x}} \end{pmatrix} \quad (4.6.11)$$

(4.6.7) 式と上式から、基底ベクトルと双対基底ベクトルの関係式が得られた。

$$\vec{e}^1 = \begin{pmatrix} \frac{\epsilon_{2y}}{\epsilon_{1x} \epsilon_{2y} - \epsilon_{1y} \epsilon_{2x}} \\ -\frac{\epsilon_{2x}}{\epsilon_{1x} \epsilon_{2y} - \epsilon_{1y} \epsilon_{2x}} \end{pmatrix}, \quad \vec{e}^2 = \begin{pmatrix} -\frac{\epsilon_{1y}}{\epsilon_{1x} \epsilon_{2y} - \epsilon_{1y} \epsilon_{2x}} \\ \frac{\epsilon_{1x}}{\epsilon_{1x} \epsilon_{2y} - \epsilon_{1y} \epsilon_{2x}} \end{pmatrix} \quad (4.6.12)$$

また、(4.6.5) 式から連立方程式で  $\epsilon_{1x}, \epsilon_{1y}, \epsilon_{2x}, \epsilon_{2y}$  を求めると、

$$\begin{aligned} \epsilon_{1x} &= -\frac{\epsilon_{2y}}{\epsilon_{1y} \epsilon_{2x} - \epsilon_{1x} \epsilon_{2y}}, \quad \epsilon_{1y} = \frac{\epsilon_{2x}}{\epsilon_{1y} \epsilon_{2x} - \epsilon_{1x} \epsilon_{2y}}, \\ \epsilon_{2x} &= \frac{\epsilon_{1y}}{\epsilon_{1y} \epsilon_{2x} - \epsilon_{1x} \epsilon_{2y}}, \quad \epsilon_{2y} = -\frac{\epsilon_{1x}}{\epsilon_{1y} \epsilon_{2x} - \epsilon_{1x} \epsilon_{2y}} \end{aligned} \quad (4.6.13)$$

(4.6.2) 式に上式を代入すると下記が得られ、(4.6.12) 式と同じ結果が得られた。

$$\begin{aligned} \vec{e}^1 &= \begin{pmatrix} -\frac{\epsilon_{2y}}{\epsilon_{1y} \epsilon_{2x} - \epsilon_{1x} \epsilon_{2y}} \\ \frac{\epsilon_{2x}}{\epsilon_{1y} \epsilon_{2x} - \epsilon_{1x} \epsilon_{2y}} \end{pmatrix} \\ \vec{e}^2 &= \begin{pmatrix} \frac{\epsilon_{1y}}{\epsilon_{1y} \epsilon_{2x} - \epsilon_{1x} \epsilon_{2y}} \\ -\frac{\epsilon_{1x}}{\epsilon_{1y} \epsilon_{2x} - \epsilon_{1x} \epsilon_{2y}} \end{pmatrix} \end{aligned}$$



### 4.6.2 基底ベクトルと双対基底ベクトル (三次元)

前節の三次元問題について検討する。斜交座標の基底ベクトル： $\vec{e}_1, \vec{e}_2, \vec{e}_3$ 、双対基底ベクトル： $\vec{e}^1, \vec{e}^2, \vec{e}^3$ とする。

```
kill(all);
load("vect")$
E10:e[1]=matrix([e["1x"]],[e["1y"]],
[e["1z"]]);
E20:e[2]=matrix([e["2x"]],[e["2y"]],
[e["2z"]]);
E30:e[3]=matrix([e["3x"]],[e["3y"]],
[e["3z"]]);
EP10:e^"1"=matrix([\epsilon["1x"]],
[\epsilon["1y"]],[\epsilon["1z"]]);
EP20:e^"2"=matrix([\epsilon["2x"]],
[\epsilon["2y"]],[\epsilon["2z"]]);
EP30:e^"3"=matrix([\epsilon["3x"]],
[\epsilon["3y"]],[\epsilon["3z"]]);
EQ1:rhs(E10).rhs(EP10)=1;
EQ2:rhs(E20).rhs(EP20)=1;
EQ3:rhs(E30).rhs(EP30)=1;
EQ4:rhs(E10).rhs(EP20)=0;
EQ5:rhs(E10).rhs(EP30)=0;
EQ6:rhs(E20).rhs(EP10)=0;
EQ7:rhs(E20).rhs(EP30)=0;
EQ8:rhs(E30).rhs(EP10)=0;
EQ9:rhs(E30).rhs(EP20)=0;
EQ01:lhs(E10)*lhs(EP10)=1;
EQ02:lhs(E20)*lhs(EP20)=1;
EQ03:lhs(E30)*lhs(EP30)=1;
EQ04:lhs(E10)*lhs(EP20)=0;
EQ05:lhs(E10)*lhs(EP30)=0;
EQ06:lhs(E20)*lhs(EP10)=0;
EQ07:lhs(E20)*lhs(EP30)=0;
EQ08:lhs(E30)*lhs(EP10)=0;
EQ09:lhs(E30)*lhs(EP20)=0;
EBV1:matrix([e[1]],[e[2]],[e[3]]);
EDBV1:matrix([e^"1"],[e^"2"],[e^"3"]);
E3:matrix([transpose(rhs(E10))[1][1],
transpose(rhs(E10))[1][2],transpose(
rhs(E10))[1][3]],[transpose(rhs(E20))[1]
[1],transpose(rhs(E20))[1][2],transpose(
rhs(E20))[1][3]],[transpose(rhs(E30))[1]
[1],transpose(rhs(E30))[1][2],
transpose(rhs(E30))[1][3]]);
```

```
EP3:matrix([transpose(rhs(EP10))[1][1],
transpose(rhs(EP10))[1][2],transpose(
rhs(EP10))[1][3]],[transpose(rhs(EP20))
[1][1],transpose(rhs(EP20))[1][2],
transpose(rhs(EP20))[1][3]],[transpose(
rhs(EP30))[1][1],transpose(rhs(EP30))[1]
[2],transpose(rhs(EP30))[1][3]]);
E3.transpose(EP3);
subst([EQ1,EQ2,EQ3,EQ4,EQ5,EQ6,EQ7,EQ8,
EQ9],%);
EP31:invert(E3);
E3.EP31;
factor(%);
EP4:transpose(EP31);
E3.transpose(EP4);
factor(%);
EP41:e^"1"=matrix([EP4[1][1]],[EP4[1][2]
],[EP4[1][3]]);
EP42:e^"2"=matrix([EP4[2][1]],[EP4[2][2]
],[EP4[2][3]]);
EP43:e^"3"=matrix([EP4[3][1]],[EP4[3][2]
],[EP4[3][3]]);
```

基底ベクトルを  $xy$  座標で表すと、

$$\vec{e}_1 = \begin{pmatrix} e_{1x} \\ e_{1y} \\ e_{1z} \end{pmatrix}, \quad \vec{e}_2 = \begin{pmatrix} e_{2x} \\ e_{2y} \\ e_{2z} \end{pmatrix}, \quad \vec{e}_3 = \begin{pmatrix} e_{3x} \\ e_{3y} \\ e_{3z} \end{pmatrix} \quad (4.6.14)$$

双対基底ベクトル  $xy$  座標で表すと、

$$\vec{e}^1 = \begin{pmatrix} \epsilon_{1x} \\ \epsilon_{1y} \\ \epsilon_{1z} \end{pmatrix}, \quad \vec{e}^2 = \begin{pmatrix} \epsilon_{2x} \\ \epsilon_{2y} \\ \epsilon_{2z} \end{pmatrix}, \quad \vec{e}^3 = \begin{pmatrix} \epsilon_{3x} \\ \epsilon_{3y} \\ \epsilon_{3z} \end{pmatrix} \quad (4.6.15)$$

前節に記した基底ベクトルと双対基底ベクトルの関係から、

$$\begin{aligned} \vec{e}_1 \cdot \vec{e}^1 &= 1, & \vec{e}_2 \cdot \vec{e}^2 &= 1, & \vec{e}_3 \cdot \vec{e}^3 &= 1 \\ \vec{e}_1 \cdot \vec{e}^2 &= 0, & \vec{e}_1 \cdot \vec{e}^3 &= 0, & \vec{e}_2 \cdot \vec{e}^1 &= 0 \\ \vec{e}_2 \cdot \vec{e}^3 &= 0, & \vec{e}_3 \cdot \vec{e}^1 &= 0, & \vec{e}_3 \cdot \vec{e}^2 &= 0 \end{aligned} \quad (4.6.16)$$

上式に (4.6.14) 式、(4.6.15) 式を代入すると、

$$\begin{aligned}
 e_{1z} \epsilon_{1z} + e_{1y} \epsilon_{1y} + e_{1x} \epsilon_{1x} &= 1 \\
 e_{2z} \epsilon_{2z} + e_{2y} \epsilon_{2y} + e_{2x} \epsilon_{2x} &= 1 \\
 e_{3z} \epsilon_{3z} + e_{3y} \epsilon_{3y} + e_{3x} \epsilon_{3x} &= 1 \\
 e_{1z} \epsilon_{2z} + e_{1y} \epsilon_{2y} + e_{1x} \epsilon_{2x} &= 0 \\
 e_{1z} \epsilon_{3z} + e_{1y} \epsilon_{3y} + e_{1x} \epsilon_{3x} &= 0 \\
 e_{1z} \epsilon_{2z} + \epsilon_{1y} e_{2y} + \epsilon_{1x} e_{2x} &= 0 \\
 e_{2z} \epsilon_{3z} + e_{2y} \epsilon_{3y} + e_{2x} \epsilon_{3x} &= 0 \\
 e_{1z} \epsilon_{3z} + \epsilon_{1y} e_{3y} + \epsilon_{1x} e_{3x} &= 0 \\
 e_{2z} \epsilon_{3z} + \epsilon_{2y} e_{3y} + \epsilon_{2x} e_{3x} &= 0
 \end{aligned} \tag{4.6.17}$$

(4.6.14) 式の基底ベクトルを別の形で表すと、

$$\begin{pmatrix} \vec{e}_1 \\ \vec{e}_2 \\ \vec{e}_3 \end{pmatrix} = \begin{pmatrix} e_{1x} & e_{1y} & e_{1z} \\ e_{2x} & e_{2y} & e_{2z} \\ e_{3x} & e_{3y} & e_{3z} \end{pmatrix} \cdot \begin{pmatrix} \vec{e}_x \\ \vec{e}_y \\ \vec{e}_z \end{pmatrix} \tag{4.6.18}$$

(4.6.15) 式的双対基底ベクトルを別の形で表すと、

$$\begin{pmatrix} \vec{e}^1 \\ \vec{e}^2 \\ \vec{e}^3 \end{pmatrix} = \begin{pmatrix} \epsilon_{1x} & \epsilon_{1y} & \epsilon_{1z} \\ \epsilon_{2x} & \epsilon_{2y} & \epsilon_{2z} \\ \epsilon_{3x} & \epsilon_{3y} & \epsilon_{3z} \end{pmatrix} \cdot \begin{pmatrix} \vec{e}_x \\ \vec{e}_y \\ \vec{e}_z \end{pmatrix} \tag{4.6.19}$$

(4.6.18) 式、(4.6.19) 式のマトリックスから下記を求め、(4.6.17) 式を代入すると、単位行列となる。

$$\begin{aligned}
 & \begin{pmatrix} e_{1x} & e_{1y} & e_{1z} \\ e_{2x} & e_{2y} & e_{2z} \\ e_{3x} & e_{3y} & e_{3z} \end{pmatrix} \cdot \begin{pmatrix} \epsilon_{1x} & \epsilon_{1y} & \epsilon_{1z} \\ \epsilon_{2x} & \epsilon_{2y} & \epsilon_{2z} \\ \epsilon_{3x} & \epsilon_{3y} & \epsilon_{3z} \end{pmatrix}^T \\
 &= \begin{pmatrix} e_{1z} \epsilon_{1z} + e_{1y} \epsilon_{1y} + e_{1x} \epsilon_{1x} & e_{1z} \epsilon_{2z} + e_{1y} \epsilon_{2y} + e_{1x} \epsilon_{2x} & e_{1z} \epsilon_{3z} + e_{1y} \epsilon_{3y} + e_{1x} \epsilon_{3x} \\ e_{1z} \epsilon_{2z} + \epsilon_{1y} e_{2y} + \epsilon_{1x} e_{2x} & e_{2z} \epsilon_{2z} + e_{2y} \epsilon_{2y} + e_{2x} \epsilon_{2x} & e_{2z} \epsilon_{3z} + e_{2y} \epsilon_{3y} + e_{2x} \epsilon_{3x} \\ e_{1z} \epsilon_{3z} + \epsilon_{1y} e_{3y} + \epsilon_{1x} e_{3x} & e_{2z} \epsilon_{3z} + \epsilon_{2y} e_{3y} + \epsilon_{2x} e_{3x} & e_{3z} \epsilon_{3z} + e_{3y} \epsilon_{3y} + e_{3x} \epsilon_{3x} \end{pmatrix} = \begin{pmatrix} 1 & 0 & 0 \\ 0 & 1 & 0 \\ 0 & 0 & 1 \end{pmatrix}
 \end{aligned} \tag{4.6.20}$$

また、(4.6.18) 式のマトリックスの逆行列を求め、元のマトリックスに逆行列を掛けると単位行列となるから、

$$\begin{pmatrix} e_{1x} & e_{1y} & e_{1z} \\ e_{2x} & e_{2y} & e_{2z} \\ e_{3x} & e_{3y} & e_{3z} \end{pmatrix} \cdot \begin{pmatrix} e_{1x} & e_{1y} & e_{1z} \\ e_{2x} & e_{2y} & e_{2z} \\ e_{3x} & e_{3y} & e_{3z} \end{pmatrix}^{-1} = \begin{pmatrix} 1 & 0 & 0 \\ 0 & 1 & 0 \\ 0 & 0 & 1 \end{pmatrix} \tag{4.6.21}$$

(4.6.20) 式と (4.6.21) 式から、(4.6.19) 式的双対基底ベクトルのマトリックスは、基底ベクトルのマトリックスの逆行列：(4.6.9) 式の転置行列で得られる。これから双対基底ベクトルのマトリックスは、

$$\begin{pmatrix} \epsilon_{1x} & \epsilon_{1y} & \epsilon_{1z} \\ \epsilon_{2x} & \epsilon_{2y} & \epsilon_{2z} \\ \epsilon_{3x} & \epsilon_{3y} & \epsilon_{3z} \end{pmatrix} = \left( \begin{pmatrix} e_{1x} & e_{1y} & e_{1z} \\ e_{2x} & e_{2y} & e_{2z} \\ e_{3x} & e_{3y} & e_{3z} \end{pmatrix}^{-1} \right)^T \tag{4.6.22}$$

上式から双対基底ベクトル： $\vec{e}^1, \vec{e}^2, \vec{e}^3$  は、

$$\begin{aligned}
 \vec{e}^1 &= \begin{pmatrix} \frac{e_{2y} e_{3z} - e_{2z} e_{3y}}{e_{1x} (e_{2y} e_{3z} - e_{2z} e_{3y}) + e_{1y} (e_{2z} e_{3x} - e_{2x} e_{3z}) + e_{1z} (e_{2x} e_{3y} - e_{2y} e_{3x})} \\ \frac{e_{2z} e_{3x} - e_{2x} e_{3z}}{e_{1x} (e_{2y} e_{3z} - e_{2z} e_{3y}) + e_{1y} (e_{2z} e_{3x} - e_{2x} e_{3z}) + e_{1z} (e_{2x} e_{3y} - e_{2y} e_{3x})} \\ \frac{e_{2x} e_{3y} - e_{2y} e_{3x}}{e_{1x} (e_{2y} e_{3z} - e_{2z} e_{3y}) + e_{1y} (e_{2z} e_{3x} - e_{2x} e_{3z}) + e_{1z} (e_{2x} e_{3y} - e_{2y} e_{3x})} \end{pmatrix} \\
 \vec{e}^2 &= \begin{pmatrix} \frac{e_{1z} e_{3y} - e_{1y} e_{3z}}{e_{1x} (e_{2y} e_{3z} - e_{2z} e_{3y}) + e_{1y} (e_{2z} e_{3x} - e_{2x} e_{3z}) + e_{1z} (e_{2x} e_{3y} - e_{2y} e_{3x})} \\ \frac{e_{1x} e_{3z} - e_{1z} e_{3x}}{e_{1x} (e_{2y} e_{3z} - e_{2z} e_{3y}) + e_{1y} (e_{2z} e_{3x} - e_{2x} e_{3z}) + e_{1z} (e_{2x} e_{3y} - e_{2y} e_{3x})} \\ \frac{e_{1y} e_{3x} - e_{1x} e_{3y}}{e_{1x} (e_{2y} e_{3z} - e_{2z} e_{3y}) + e_{1y} (e_{2z} e_{3x} - e_{2x} e_{3z}) + e_{1z} (e_{2x} e_{3y} - e_{2y} e_{3x})} \end{pmatrix} \\
 \vec{e}^3 &= \begin{pmatrix} \frac{e_{1y} e_{2z} - e_{1z} e_{2y}}{e_{1x} (e_{2y} e_{3z} - e_{2z} e_{3y}) + e_{1y} (e_{2z} e_{3x} - e_{2x} e_{3z}) + e_{1z} (e_{2x} e_{3y} - e_{2y} e_{3x})} \\ \frac{e_{1z} e_{2x} - e_{1x} e_{2z}}{e_{1x} (e_{2y} e_{3z} - e_{2z} e_{3y}) + e_{1y} (e_{2z} e_{3x} - e_{2x} e_{3z}) + e_{1z} (e_{2x} e_{3y} - e_{2y} e_{3x})} \\ \frac{e_{1x} e_{2y} - e_{1y} e_{2x}}{e_{1x} (e_{2y} e_{3z} - e_{2z} e_{3y}) + e_{1y} (e_{2z} e_{3x} - e_{2x} e_{3z}) + e_{1z} (e_{2x} e_{3y} - e_{2y} e_{3x})} \end{pmatrix}
 \end{aligned} \tag{4.6.23}$$

```

E23:col(adjoint(transpose(addcol(rhs(E20)
,rhs(E30),matrix([1],[1],[1])))),3);
EP51:e^"1"=(E23/(rhs(E10).E23));
EP41-EP51;
E31:col(adjoint(transpose(addcol(rhs(E30)
,rhs(E10),matrix([1],[1],[1])))),3);
EP52:e^"2"=(E31/(rhs(E20).E31));
EP42-EP52;
factor(%);
E12:col(adjoint(transpose(addcol(rhs(E10)
,rhs(E20),matrix([1],[1],[1])))),3);
EP53:e^"3"=(E12/(rhs(E30).E12));
EP43-EP53;
factor(%);

```

```

solve([EQ1,EQ2,EQ3,EQ4,EQ5,EQ6,EQ7,EQ8,
EQ9],[\epsilon["1x"],\epsilon["1y"],
\epsilon["1z"],\epsilon["2x"],
\epsilon["2y"],\epsilon["2z"],
\epsilon["3x"],\epsilon["3y"],
\epsilon["3z"]]);
EQEP1:%[1];
subst(EQEP1,EP41);
factor(%-EP51);
subst(EQEP1,EP42);
factor(%-EP52);
subst(EQEP1,EP43);
factor(%-EP53);

```

基底ベクトルの  $\vec{e}_2, \vec{e}_3$  の外積は、これに垂直な方向ベクトルとなり、 $\vec{e}^1$  の方向となる。ベクトルの大きさとして、 $\vec{e}_1 \cdot \vec{e}^1 = 1$  であるから、次式で双対基底ベクトルが得られる。

$$\vec{e}^1 = \frac{\vec{e}_2 \times \vec{e}_3}{\vec{e}_1 \cdot (\vec{e}_2 \times \vec{e}_3)}, \quad \vec{e}^2 = \frac{\vec{e}_3 \times \vec{e}_1}{\vec{e}_2 \cdot (\vec{e}_3 \times \vec{e}_1)}, \quad \vec{e}^3 = \frac{\vec{e}_1 \times \vec{e}_2}{\vec{e}_3 \cdot (\vec{e}_1 \times \vec{e}_2)} \quad (4.6.24)$$

(4.6.17) 式から連立方程式で  $\epsilon_{1x} \rightarrow \epsilon_{3z}$  を求めると下記となり、(4.6.15) 式に下記を代入すると双対基底ベクトルが得られる。

$$\begin{aligned} \epsilon_{1x} &= \frac{e_{2z} e_{3y} - e_{2y} e_{3z}}{e_{1x} (e_{2z} e_{3y} - e_{2y} e_{3z}) + e_{1y} (e_{2x} e_{3z} - e_{2z} e_{3x}) + e_{1z} (e_{2y} e_{3x} - e_{2x} e_{3y})}, \\ \epsilon_{1y} &= - \frac{e_{2z} e_{3x} - e_{2x} e_{3z}}{e_{1x} (e_{2z} e_{3y} - e_{2y} e_{3z}) + e_{1y} (e_{2x} e_{3z} - e_{2z} e_{3x}) + e_{1z} (e_{2y} e_{3x} - e_{2x} e_{3y})}, \\ \epsilon_{1z} &= \frac{e_{2y} e_{3x} - e_{2x} e_{3y}}{e_{1x} (e_{2z} e_{3y} - e_{2y} e_{3z}) + e_{1y} (e_{2x} e_{3z} - e_{2z} e_{3x}) + e_{1z} (e_{2y} e_{3x} - e_{2x} e_{3y})}, \\ \epsilon_{2x} &= - \frac{e_{1z} e_{3y} - e_{1y} e_{3z}}{e_{1x} (e_{2z} e_{3y} - e_{2y} e_{3z}) + e_{1y} (e_{2x} e_{3z} - e_{2z} e_{3x}) + e_{1z} (e_{2y} e_{3x} - e_{2x} e_{3y})}, \\ \epsilon_{2y} &= \frac{e_{1z} e_{3x} - e_{1x} e_{3z}}{e_{1x} (e_{2z} e_{3y} - e_{2y} e_{3z}) + e_{1y} (e_{2x} e_{3z} - e_{2z} e_{3x}) + e_{1z} (e_{2y} e_{3x} - e_{2x} e_{3y})}, \\ \epsilon_{2z} &= - \frac{e_{1y} e_{3x} - e_{1x} e_{3y}}{e_{1x} (e_{2z} e_{3y} - e_{2y} e_{3z}) + e_{1y} (e_{2x} e_{3z} - e_{2z} e_{3x}) + e_{1z} (e_{2y} e_{3x} - e_{2x} e_{3y})}, \\ \epsilon_{3x} &= \frac{e_{1z} e_{2y} - e_{1y} e_{2z}}{e_{1x} (e_{2z} e_{3y} - e_{2y} e_{3z}) + e_{1y} (e_{2x} e_{3z} - e_{2z} e_{3x}) + e_{1z} (e_{2y} e_{3x} - e_{2x} e_{3y})}, \\ \epsilon_{3y} &= - \frac{e_{1z} e_{2x} - e_{1x} e_{2z}}{e_{1x} (e_{2z} e_{3y} - e_{2y} e_{3z}) + e_{1y} (e_{2x} e_{3z} - e_{2z} e_{3x}) + e_{1z} (e_{2y} e_{3x} - e_{2x} e_{3y})}, \\ \epsilon_{3z} &= \frac{e_{1y} e_{2x} - e_{1x} e_{2y}}{e_{1x} (e_{2z} e_{3y} - e_{2y} e_{3z}) + e_{1y} (e_{2x} e_{3z} - e_{2z} e_{3x}) + e_{1z} (e_{2y} e_{3x} - e_{2x} e_{3y})} \end{aligned} \quad (4.6.25)$$

### 4.6.3 基底ベクトルによるベクトル表現 (反変ベクトルと共変ベクトル)

```

ABV1:A=A^"1"*e[1]+A^"2"*e[2]+A^"3"*e[3];
ADBV1:A=A[1]*e^"1"+A[2]*e^"2"+A[3]*e^"3";
ABVM1:matrix([A^"1"],[A^"2"],[A^"3"]);
ADBVM1:matrix([A[1]],[A[2]],[A[3]]);
ABV2:A=ABVM1.EBV1;
ADBV2:A=ADBVM1.EDBV1;
ABDBV:rhs(ABV2)=rhs(ADBV2);
ABDBV*e[1];
expand(%);
lhs(%)=subst([e^"3"]=0,e^"2"]=0,e^"1"]=1,
e[1]=1],rhs(%));
ABDBV*e[2];
expand(%);
lhs(%)=subst([e^"3"]=0,e^"2"]=1,e^"1"]=0,
e[2]=1],rhs(%));
ABDBV*e[3];
expand(%);
lhs(%)=subst([e^"3"]=1,e^"2"]=0,e^"1"]=0,
e[3]=1],rhs(%));
GABV1:matrix([g[11],g[12],g[13]],[g[21],
g[22],g[23]],[g[31],g[32],g[33]]);
GA11:g[11]=rhs(E10).rhs(E10);
GA12:g[12]=rhs(E10).rhs(E20);
GA13:g[13]=rhs(E10).rhs(E30);
GA21:g[21]=rhs(E20).rhs(E10);
GA22:g[22]=rhs(E20).rhs(E20);
GA23:g[23]=rhs(E20).rhs(E30);
GA31:g[31]=rhs(E30).rhs(E10);
GA32:g[32]=rhs(E30).rhs(E20);
GA33:g[33]=rhs(E30).rhs(E30);
GA110:g[11]=e[1]*e[1];
GA120:g[12]=e[1]*e[2];
GA130:g[13]=e[1]*e[3];
GA210:g[21]=e[2]*e[1];
GA220:g[22]=e[2]*e[2];
GA230:g[23]=e[2]*e[3];
GA310:g[31]=e[3]*e[1];
GA320:g[32]=e[3]*e[2];
GA330:g[33]=e[3]*e[3];
ADBV3:ADBV1=GABV1.ABVM1;
ADBV31:subst([GA110,GA120,GA130,GA210,
GA220,GA230,GA310,GA320,GA330],GABV1);
ADBV32:subst([GA11,GA12,GA13,GA21,GA22,
GA23,GA31,GA32,GA33],ADBV3);
ADBV33:subst([GA11,GA12,GA13,GA21,GA22,
GA23,GA31,GA32,GA33],GABV1);

```

ベクトル:  $\vec{A}$  を基底ベクトルで表したものを反変ベクトルといい、下記となる。

$$\vec{A} = \vec{e}_3 A^3 + \vec{e}_2 A^2 + \vec{e}_1 A^1 = \begin{pmatrix} A^1 \\ A^2 \\ A^3 \end{pmatrix}^T \cdot \begin{pmatrix} \vec{e}_1 \\ \vec{e}_2 \\ \vec{e}_3 \end{pmatrix} \quad (4.6.26)$$

ベクトル:  $\vec{A}$  を双対基底ベクトルで表したものを共変ベクトルといい、下記となる。

$$\vec{A} = A_3 \vec{e}^3 + A_2 \vec{e}^2 + A_1 \vec{e}^1 = \begin{pmatrix} A_1 \\ A_2 \\ A_3 \end{pmatrix}^T \cdot \begin{pmatrix} \vec{e}^1 \\ \vec{e}^2 \\ \vec{e}^3 \end{pmatrix} \quad (4.6.27)$$

(4.6.26) 式と (4.6.27) 式は同じベクトル:  $\vec{A}$  であるから、

$$\vec{e}_3 A^3 + \vec{e}_2 A^2 + \vec{e}_1 A^1 = A_3 \vec{e}^3 + A_2 \vec{e}^2 + A_1 \vec{e}^1 \quad (4.6.28)$$

基底ベクトルで表した反変ベクトルの係数:  $A^1, A^2, A^3$  が与えられたときの共変ベクトルの係数:  $A_1, A_2, A_3$  を求める。上式の両辺に、 $\vec{e}_1, \vec{e}_2, \vec{e}_3$  をそれぞれ掛け、(4.6.16) 式の関係式から次式を得る。

$$\vec{e}_1 \vec{e}_3 A^3 + \vec{e}_1 \vec{e}_2 A^2 + \vec{e}_1 \vec{e}_1 A^1 = A_1$$

$$\vec{e}_2 \vec{e}_3 A^3 + \vec{e}_2 \vec{e}_2 A^2 + \vec{e}_2 \vec{e}_1 A^1 = A_2$$

$$\vec{e}_3 \vec{e}_3 A^3 + \vec{e}_3 \vec{e}_2 A^2 + \vec{e}_3 \vec{e}_1 A^1 = A_3$$

上式をまとめると下記となり、 $g_{ij}$  は反変成分を共変成分に変換する働きがある。また、 $g_{ij}$  を基本計量共変テンソルと言う。

$$\begin{pmatrix} A_1 \\ A_2 \\ A_3 \end{pmatrix} = \begin{pmatrix} \vec{e}_1^2 & \vec{e}_1 \vec{e}_2 & \vec{e}_1 \vec{e}_3 \\ \vec{e}_2 \vec{e}_1 & \vec{e}_2^2 & \vec{e}_2 \vec{e}_3 \\ \vec{e}_3 \vec{e}_1 & \vec{e}_3 \vec{e}_2 & \vec{e}_3^2 \end{pmatrix} \cdot \begin{pmatrix} A^1 \\ A^2 \\ A^3 \end{pmatrix} \quad (4.6.29)$$

$$= \begin{pmatrix} g_{11} & g_{12} & g_{13} \\ g_{21} & g_{22} & g_{23} \\ g_{31} & g_{32} & g_{33} \end{pmatrix} \cdot \begin{pmatrix} A^1 \\ A^2 \\ A^3 \end{pmatrix}$$

ここで、

$$\begin{aligned} g_{11} &= \vec{e}_1^2 = e_{1z}^2 + e_{1y}^2 + e_{1x}^2 \\ g_{12} &= \vec{e}_1 \vec{e}_2 = e_{1z} e_{2z} + e_{1y} e_{2y} + e_{1x} e_{2x} \\ g_{13} &= \vec{e}_1 \vec{e}_3 = e_{1z} e_{3z} + e_{1y} e_{3y} + e_{1x} e_{3x} \\ g_{21} &= \vec{e}_2 \vec{e}_1 = e_{1z} e_{2z} + e_{1y} e_{2y} + e_{1x} e_{2x} \\ g_{22} &= \vec{e}_2^2 = e_{2z}^2 + e_{2y}^2 + e_{2x}^2 \\ g_{23} &= \vec{e}_2 \vec{e}_3 = e_{2z} e_{3z} + e_{2y} e_{3y} + e_{2x} e_{3x} \\ g_{31} &= \vec{e}_3 \vec{e}_1 = e_{1z} e_{3z} + e_{1y} e_{3y} + e_{1x} e_{3x} \\ g_{32} &= \vec{e}_3 \vec{e}_2 = e_{2z} e_{3z} + e_{2y} e_{3y} + e_{2x} e_{3x} \\ g_{33} &= \vec{e}_3^2 = e_{3z}^2 + e_{3y}^2 + e_{3x}^2 \end{aligned} \quad (4.6.30)$$

上式から、共変ベクトルの係数： $A_1, A_2, A_3$  を求める  
計量テンソル： $g_{ij}$  は、

$$\begin{pmatrix} g_{11} & g_{12} & g_{13} \\ g_{21} & g_{22} & g_{23} \\ g_{31} & g_{32} & g_{33} \end{pmatrix} = \begin{pmatrix} e_{1z}^2 + e_{1y}^2 + e_{1x}^2 & e_{1z}e_{2z} + e_{1y}e_{2y} + e_{1x}e_{2x} & e_{1z}e_{3z} + e_{1y}e_{3y} + e_{1x}e_{3x} \\ e_{1z}e_{2z} + e_{1y}e_{2y} + e_{1x}e_{2x} & e_{2z}^2 + e_{2y}^2 + e_{2x}^2 & e_{2z}e_{3z} + e_{2y}e_{3y} + e_{2x}e_{3x} \\ e_{1z}e_{3z} + e_{1y}e_{3y} + e_{1x}e_{3x} & e_{2z}e_{3z} + e_{2y}e_{3y} + e_{2x}e_{3x} & e_{3z}^2 + e_{3y}^2 + e_{3x}^2 \end{pmatrix}$$

```

ABDBV*e^"1";
expand(%);
rhs(%)=subst([e^"1"=1,e[2]=0,e[3]=0,
e[1]=1],lhs(%));
ABDBV*e^"2";
expand(%);
rhs(%)=subst([e^"2"=1,e[2]=1,e[3]=0,
e[1]=0],lhs(%));
ABDBV*e^"3";
expand(%);
rhs(%)=subst([e^"3"=1,e[2]=0,e[3]=1,
e[1]=0],lhs(%));
GDABV1:matrix([g^"11",g^"12",g^"13"],
[g^"21",g^"22",g^"23"],[g^"31",g^"32",
g^"33"]);
GDA11:g^"11"=rhs(EP10).rhs(EP10);
GDA12:g^"12"=rhs(EP10).rhs(EP20);
GDA13:g^"13"=rhs(EP10).rhs(EP30);
GDA21:g^"21"=rhs(EP20).rhs(EP10);
GDA22:g^"22"=rhs(EP20).rhs(EP20);
GDA23:g^"23"=rhs(EP20).rhs(EP30);
GDA31:g^"31"=rhs(EP30).rhs(EP10);
GDA32:g^"32"=rhs(EP30).rhs(EP20);
GDA33:g^"33"=rhs(EP30).rhs(EP30);
GDA110:g^"11"=e^"1"*e^"1";
GDA120:g^"12"=e^"1"*e^"2";
GDA130:g^"13"=e^"1"*e^"3";
GDA210:g^"21"=e^"2"*e^"1";
GDA220:g^"22"=e^"2"*e^"2";
GDA230:g^"23"=e^"2"*e^"3";
GDA310:g^"31"=e^"3"*e^"1";
GDA320:g^"32"=e^"3"*e^"2";
GDA330:g^"33"=e^"3"*e^"3";
GDA111:g^"11"=rhs(EP41).rhs(EP41);
GDA121:g^"12"=rhs(EP41).rhs(EP42);
GDA131:g^"13"=rhs(EP41).rhs(EP43);
GDA211:g^"21"=rhs(EP42).rhs(EP41);
GDA221:g^"22"=rhs(EP42).rhs(EP42);
GDA231:g^"23"=rhs(EP42).rhs(EP43);
GDA311:g^"31"=rhs(EP43).rhs(EP41);
GDA321:g^"32"=rhs(EP43).rhs(EP42);
GDA331:g^"33"=rhs(EP43).rhs(EP43);

```

```

ADBV4:ABVM1=GDABV1.ADBVM1;
ADBV42:subst([GDA11,GDA12,GDA13,GDA21,
GDA22,GDA23,GDA31,GDA32,GDA33],GDABV1);
ADBV41:subst([GDA110,GDA120,GDA130,
GDA210,GDA220,GDA230,GDA310,GDA320,
GDA330],GDABV1);
ADBV43:subst([GDA111,GDA121,GDA131,
GDA211,GDA221,GDA231,GDA311,GDA321,
GDA331],GDABV1);
ADBV33.ADBV43;
factor(%);
ABV2:A=ABVM1.EBV1;
ABV22:first(rhs(ABV2));
ABV23:last(rhs(ABV2));
ABV24:rhs(ABV2)-ABV22-ABV23;
ABV3:A=A1*rhs(E10)+A2*rhs(E20)
+A3*rhs(E30);
ABV31:subst([A1=A^"1",A2=A^"2",A3=A^"3"],
%);
ADBV2:A=ADBVM1.EDBV1;
ADBV32;
A=AA1*rhs(EP41)+AA2*rhs(EP42)+AA3
*rhs(EP43);
subst([AA1=rhs(ADBV32)[1][1]],%);
subst([AA2=rhs(ADBV32)[2][1]],%);
subst([AA3=rhs(ADBV32)[3][1]],%);
ABV51:factor(%);
ABV31;
ABV51-ABV31;

```

共変ベクトルの係数： $A_1, A_2, A_3$  が与えられたときの  
反変ベクトルの係数： $A^1, A^2, A^3$  を求める。(4.6.28) 式  
の両辺に、 $\vec{e}^1, \vec{e}^2, \vec{e}^3$  をそれぞれ掛け、(4.6.16) 式の関係  
式から次式を得る。

$$\begin{aligned} A_3 \vec{e}^1 \vec{e}^3 + A_2 \vec{e}^1 \vec{e}^2 + A_1 \vec{e}^1 \vec{e}^1 &= A^1 \\ A_3 \vec{e}^2 \vec{e}^3 + A_2 \vec{e}^2 \vec{e}^2 + A_1 \vec{e}^2 \vec{e}^1 &= A^2 \\ A_3 \vec{e}^3 \vec{e}^2 + A_2 \vec{e}^3 \vec{e}^2 + A_1 \vec{e}^3 \vec{e}^1 &= A^3 \end{aligned}$$

上式をまとめると下記となり、 $g^{ij}$  は共変成分を反変  
成分に変換する働きがある。また、 $g^{ij}$  を基本計量反変

テンソルと言う。

$$\begin{aligned} \begin{pmatrix} A^1 \\ A^2 \\ A^3 \end{pmatrix} &= \begin{pmatrix} \vec{e}^1_2 & \vec{e}^1_2 \vec{e}^2 & \vec{e}^1_2 \vec{e}^3 \\ \vec{e}^2_2 & \vec{e}^2_2 & \vec{e}^2_2 \vec{e}^3 \\ \vec{e}^3_2 & \vec{e}^3_2 \vec{e}^2 & \vec{e}^3_2 \vec{e}^3 \end{pmatrix} \cdot \begin{pmatrix} A_1 \\ A_2 \\ A_3 \end{pmatrix} \\ &= \begin{pmatrix} g^{11} & g^{12} & g^{13} \\ g^{21} & g^{22} & g^{23} \\ g^{31} & g^{32} & g^{33} \end{pmatrix} \cdot \begin{pmatrix} A_1 \\ A_2 \\ A_3 \end{pmatrix} \end{aligned} \quad (4.6.31)$$

ここで、

$$\begin{aligned} g^{11} &= \vec{e}^1_2 = \epsilon_{1z}^2 + \epsilon_{1y}^2 + \epsilon_{1x}^2 \\ g^{12} &= \vec{e}^1_2 \vec{e}^2 = \epsilon_{1z} \epsilon_{2z} + \epsilon_{1y} \epsilon_{2y} + \epsilon_{1x} \epsilon_{2x} \\ g^{13} &= \vec{e}^1_2 \vec{e}^3 = \epsilon_{1z} \epsilon_{3z} + \epsilon_{1y} \epsilon_{3y} + \epsilon_{1x} \epsilon_{3x} \\ g^{21} &= \vec{e}^2_2 \vec{e}^1 = \epsilon_{1z} \epsilon_{2z} + \epsilon_{1y} \epsilon_{2y} + \epsilon_{1x} \epsilon_{2x} \\ g^{22} &= \vec{e}^2_2 \vec{e}^2 = \epsilon_{2z}^2 + \epsilon_{2y}^2 + \epsilon_{2x}^2 \\ g^{23} &= \vec{e}^2_2 \vec{e}^3 = \epsilon_{2z} \epsilon_{3z} + \epsilon_{2y} \epsilon_{3y} + \epsilon_{2x} \epsilon_{3x} \\ g^{31} &= \vec{e}^3_2 \vec{e}^1 = \epsilon_{1z} \epsilon_{3z} + \epsilon_{1y} \epsilon_{3y} + \epsilon_{1x} \epsilon_{3x} \\ g^{32} &= \vec{e}^3_2 \vec{e}^2 = \epsilon_{2z} \epsilon_{3z} + \epsilon_{2y} \epsilon_{3y} + \epsilon_{2x} \epsilon_{3x} \\ g^{33} &= \vec{e}^3_2 \vec{e}^3 = \epsilon_{3z}^2 + \epsilon_{3y}^2 + \epsilon_{3x}^2 \end{aligned} \quad (4.6.32)$$

$A^1, A^2, A^3$  を求める計量テンソル:  $g^{ij}$  は上式及び (4.6.25) 式から得られる。

また、(4.6.29) 式、(4.6.31) 式から

$$\begin{aligned} \begin{pmatrix} A_1 \\ A_2 \\ A_3 \end{pmatrix} &= \begin{pmatrix} g_{11} & g_{12} & g_{13} \\ g_{21} & g_{22} & g_{23} \\ g_{31} & g_{32} & g_{33} \end{pmatrix} \cdot \begin{pmatrix} A^1 \\ A^2 \\ A^3 \end{pmatrix} \\ &= \begin{pmatrix} g_{11} & g_{12} & g_{13} \\ g_{21} & g_{22} & g_{23} \\ g_{31} & g_{32} & g_{33} \end{pmatrix} \cdot \begin{pmatrix} g^{11} & g^{12} & g^{13} \\ g^{21} & g^{22} & g^{23} \\ g^{31} & g^{32} & g^{33} \end{pmatrix} \cdot \begin{pmatrix} A_1 \\ A_2 \\ A_3 \end{pmatrix} \end{aligned} \quad (4.6.33)$$

上式から次式となり、 $g^{ij}$  は  $g_{ij}$  の逆行列でも得られる。

$$\begin{pmatrix} g_{11} & g_{12} & g_{13} \\ g_{21} & g_{22} & g_{23} \\ g_{31} & g_{32} & g_{33} \end{pmatrix} \cdot \begin{pmatrix} g^{11} & g^{12} & g^{13} \\ g^{21} & g^{22} & g^{23} \\ g^{31} & g^{32} & g^{33} \end{pmatrix} = \begin{pmatrix} 1 & 0 & 0 \\ 0 & 1 & 0 \\ 0 & 0 & 1 \end{pmatrix} \quad (4.6.34)$$

## 4.6.4 ベクトルの内積と計量テンソル

ベクトル:  $\vec{A}, \vec{B}$  を斜交座標軸の基底ベクトル:  $\vec{e}_1, \vec{e}_2, \vec{e}_3$ ,  
 双対基底ベクトル:  $\vec{e}^1, \vec{e}^2, \vec{e}^3$  で表し、その内積を求め  
 る。

(本節の下記のプログラムは前節のプログラムに続いて  
 実行する。)

```

BBV1:B=B^"1"*e[1]+B^"2"*e[2]+B^"3"*e[3];
BDBV1:B=B[1]*e^"1"+B[2]*e^"2"+B[3]*e^"3";
BBVM1:matrix([B^"1"],[B^"2"],[B^"3"]);
BDBVM1:matrix([B[1]],[B[2]],[B[3]]);
BBV2:B=BBVM1.EBV1;
BDBV2:B=BDBVM1.EDBV1;
ABV1*BBV1;
ABBV60:expand(%);
transpose(ABVM1).ADBV31.BBVM1;
ABBV61:expand(%);
rhs(ABBV60)-ABBV61;
factor(%);
ADBV1*BDBV1;
ABDBV62:expand(%);
transpose(ADBVM1).ADBV41.BDBVM1;
ABDBV63:expand(%);
rhs(ABDBV62)-ABDBV63;
factor(%);

```

(4.6.26) 式からベクトル:  $\vec{A}$  を基底ベクトルで表すと、

$$\vec{A} = \vec{e}_3 A^3 + \vec{e}_2 A^2 + \vec{e}_1 A^1 = \begin{pmatrix} A^1 \\ A^2 \\ A^3 \end{pmatrix}^T \cdot \begin{pmatrix} \vec{e}_1 \\ \vec{e}_2 \\ \vec{e}_3 \end{pmatrix} \quad (4.6.35)$$

(4.6.27) 式からベクトル:  $\vec{A}$  を双対基底ベクトルで表すと、

$$\vec{A} = A_3 \vec{e}^3 + A_2 \vec{e}^2 + A_1 \vec{e}^1 \quad (4.6.36)$$

ベクトル:  $\vec{B}$  を基底ベクトルで表すと、

$$\vec{B} = \vec{e}_3 B^3 + \vec{e}_2 B^2 + \vec{e}_1 B^1 = \begin{pmatrix} \vec{e}_1 \\ \vec{e}_2 \\ \vec{e}_3 \end{pmatrix}^T \cdot \begin{pmatrix} B^1 \\ B^2 \\ B^3 \end{pmatrix} \quad (4.6.37)$$

ベクトル:  $\vec{B}$  を双対基底ベクトルで表すと、

$$\vec{B} = B_3 \vec{e}^3 + B_2 \vec{e}^2 + B_1 \vec{e}^1 \quad (4.6.38)$$

基底ベクトルで表されたベクトル:  $\vec{A}, \vec{B}$  の内積は、

$$\begin{aligned} \vec{A} \cdot \vec{B} &= \vec{e}_3^2 A^3 B^3 + \vec{e}_2 \vec{e}_3 A^2 B^3 + \vec{e}_1 \vec{e}_3 A^1 B^3 \\ &+ \vec{e}_2 \vec{e}_3 A^3 B^2 + \vec{e}_2^2 A^2 B^2 + \vec{e}_1 \vec{e}_2 A^1 B^2 \\ &+ \vec{e}_1 \vec{e}_3 A^3 B^1 + \vec{e}_1 \vec{e}_2 A^2 B^1 + \vec{e}_1^2 A^1 B^1 \end{aligned} \quad (4.6.39)$$

上式を書き換えると、(4.6.35) 式、(4.6.37) 式、(4.6.29) 式から下記となる。ここで  $g_{ij}$  を計量テンソルという。

$$\begin{aligned} \vec{A} \cdot \vec{B} &= \begin{pmatrix} A^1 \\ A^2 \\ A^3 \end{pmatrix}^T \cdot \begin{pmatrix} \vec{e}_1^2 & \vec{e}_1 \vec{e}_2 & \vec{e}_1 \vec{e}_3 \\ \vec{e}_1 \vec{e}_2 & \vec{e}_2^2 & \vec{e}_2 \vec{e}_3 \\ \vec{e}_1 \vec{e}_3 & \vec{e}_2 \vec{e}_3 & \vec{e}_3^2 \end{pmatrix} \cdot \begin{pmatrix} B^1 \\ B^2 \\ B^3 \end{pmatrix} \\ &= \begin{pmatrix} A^1 \\ A^2 \\ A^3 \end{pmatrix}^T \cdot \begin{pmatrix} g_{11} & g_{12} & g_{13} \\ g_{21} & g_{22} & g_{23} \\ g_{31} & g_{32} & g_{33} \end{pmatrix} \cdot \begin{pmatrix} B^1 \\ B^2 \\ B^3 \end{pmatrix} \\ &= \begin{pmatrix} A^1 \\ A^2 \\ A^3 \end{pmatrix}^T \cdot \begin{pmatrix} B_1 \\ B_2 \\ B_3 \end{pmatrix} \end{aligned} \quad (4.6.40)$$

双対基底ベクトルで表されたベクトル:  $\vec{A}, \vec{B}$  の内積は、

$$\begin{aligned} \vec{A} \cdot \vec{B} &= A_2 B_3 \vec{e}^2 \vec{e}^3 + A_3 B_3 \vec{e}^3 \vec{e}^2 + B_2 A_3 \vec{e}^3 \vec{e}^2 \\ &+ A_1 B_3 \vec{e}^1 \vec{e}^3 + B_1 A_3 \vec{e}^3 \vec{e}^1 + A_1 B_2 \vec{e}^1 \vec{e}^2 \\ &+ A_2 B_2 \vec{e}^2 \vec{e}^2 + B_1 A_2 \vec{e}^2 \vec{e}^1 + A_1 B_1 \vec{e}^1 \vec{e}^1 \end{aligned} \quad (4.6.41)$$

上式を書き換えると、(4.6.31) 式、(4.6.32) 式から、

$$\begin{aligned} \vec{A} \cdot \vec{B} &= \begin{pmatrix} A_1 \\ A_2 \\ A_3 \end{pmatrix}^T \cdot \begin{pmatrix} \vec{e}^1_2 & \vec{e}^2_1 & \vec{e}^3_1 \\ \vec{e}^1_2 & \vec{e}^2_2 & \vec{e}^3_2 \\ \vec{e}^1_3 & \vec{e}^2_3 & \vec{e}^3_3 \end{pmatrix} \cdot \begin{pmatrix} B_1 \\ B_2 \\ B_3 \end{pmatrix} \\ &= \begin{pmatrix} A_1 \\ A_2 \\ A_3 \end{pmatrix}^T \cdot \begin{pmatrix} g^{11} & g^{12} & g^{13} \\ g^{21} & g^{22} & g^{23} \\ g^{31} & g^{32} & g^{33} \end{pmatrix} \cdot \begin{pmatrix} B_1 \\ B_2 \\ B_3 \end{pmatrix} \\ &= \begin{pmatrix} A_1 \\ A_2 \\ A_3 \end{pmatrix}^T \cdot \begin{pmatrix} B^1 \\ B^2 \\ B^3 \end{pmatrix} \end{aligned} \quad (4.6.42)$$

微小変位ベクトル:  $\vec{dr}$  とするとき、基底ベクトルで表すと、

$$\vec{dr} = \vec{e}_3 dr^3 + \vec{e}_2 dr^2 + \vec{e}_1 dr^1 \quad (4.6.43)$$

双対基底ベクトルで表すと、

$$\vec{dr} = dr_3 \vec{e}^3 + dr_2 \vec{e}^2 + dr_1 \vec{e}^1 \quad (4.6.44)$$

微小変位ベクトル:  $\vec{dr}$  の長さの二乗:  $ds^2$  は、(4.6.40) 式、(4.6.42) 式から、

$$ds^2 = \begin{pmatrix} dr^1 \\ dr^2 \\ dr^3 \end{pmatrix}^T \cdot \begin{pmatrix} dr_1 \\ dr_2 \\ dr_3 \end{pmatrix} = \begin{pmatrix} dr_1 \\ dr_2 \\ dr_3 \end{pmatrix}^T \cdot \begin{pmatrix} dr^1 \\ dr^2 \\ dr^3 \end{pmatrix}$$

4.6.5 基底ベクトル、双対基底ベクトルが作る体積

斜交座標軸の基底ベクトル： $\vec{e}_1, \vec{e}_2, \vec{e}_3$ 、双対基底ベクトル： $\vec{e}^1, \vec{e}^2, \vec{e}^3$  が作る平行六面体の体積について調べる。(本節の下記のプログラムは前節のプログラムに続いて実行する。)

```
DV1:v=rhs(E30).col(adjoint(transpose(
    addcol(rhs(E10),rhs(E20),
    matrix([1],[1],[1])))),3);
DTE3:determinant(E3);
rhs(DV1)-DTE3;
factor(%);
DTE32:DTE3^(2);
DTE33:determinant(ADB33);
DTE32-DTE33;
factor(%);
DVP1:v=rhs(EP30).col(adjoint(transpose(
    addcol(rhs(EP10),rhs(EP20),
    matrix([1],[1],[1])))),3);
DTEP3:determinant(EP3);
rhs(DVP1)-DTEP3;
factor(%);
```

```
DTEP32:DTEP3^(2);
DTEP33:determinant(ADB42);
DTEP32-DTEP33;
factor(%);
DTE43:determinant(ADB43);
DTE43*DTE33;
factor(%);
```

基盤ベクトル： $\vec{e}_1, \vec{e}_2, \vec{e}_3$  が作る平行六面体の体積： $V$  はスカラー3重積：(4.1.6)式から、

$$V = \vec{e}_3 \cdot (\vec{e}_1 \times \vec{e}_2) = (e_{1x} e_{2y} - e_{1y} e_{2x}) e_{3z} + (e_{1z} e_{2x} - e_{1x} e_{2z}) e_{3y} + (e_{1y} e_{2z} - e_{1z} e_{2y}) e_{3x} \tag{4.6.45}$$

また、(4.6.18)式の基盤ベクトルのマトリックスの行列式を求めると、下記となり上式と一致する。

$$\det \begin{vmatrix} e_{1x} & e_{1y} & e_{1z} \\ e_{2x} & e_{2y} & e_{2z} \\ e_{3x} & e_{3y} & e_{3z} \end{vmatrix} = e_{1x} (e_{2y} e_{3z} - e_{2z} e_{3y}) - e_{1y} (e_{2x} e_{3z} - e_{2z} e_{3x}) + e_{1z} (e_{2x} e_{3y} - e_{2y} e_{3x}) = V \tag{4.6.46}$$

(4.6.29)式の基盤ベクトルのマトリックス  $g_{ij}$  の行列式を求めると  $V^2$  となる。

$$\det \begin{vmatrix} g_{11} & g_{12} & g_{13} \\ g_{21} & g_{22} & g_{23} \\ g_{31} & g_{32} & g_{33} \end{vmatrix} = \det \begin{vmatrix} e_{1z}^2 + e_{1y}^2 + e_{1x}^2 & e_{1z} e_{2z} + e_{1y} e_{2y} + e_{1x} e_{2x} & e_{1z} e_{3z} + e_{1y} e_{3y} + e_{1x} e_{3x} \\ e_{1z} e_{2z} + e_{1y} e_{2y} + e_{1x} e_{2x} & e_{2z}^2 + e_{2y}^2 + e_{2x}^2 & e_{2z} e_{3z} + e_{2y} e_{3y} + e_{2x} e_{3x} \\ e_{1z} e_{3z} + e_{1y} e_{3y} + e_{1x} e_{3x} & e_{2z} e_{3z} + e_{2y} e_{3y} + e_{2x} e_{3x} & e_{3z}^2 + e_{3y}^2 + e_{3x}^2 \end{vmatrix} = V^2 \tag{4.6.47}$$

双対基底ベクトル： $\vec{e}^1, \vec{e}^2, \vec{e}^3$  が作る平行六面体の体積： $V'$  はスカラー3重積：(4.1.6)式から、

$$V' = \vec{e}^3 \cdot (\vec{e}^1 \times \vec{e}^2) = (\epsilon_{1x} \epsilon_{2y} - \epsilon_{1y} \epsilon_{2x}) \epsilon_{3z} + (\epsilon_{1z} \epsilon_{2x} - \epsilon_{1x} \epsilon_{2z}) \epsilon_{3y} + (\epsilon_{1y} \epsilon_{2z} - \epsilon_{1z} \epsilon_{2y}) \epsilon_{3x} \tag{4.6.48}$$

また、(4.6.19)式の双対基盤ベクトルのマトリックスの行列式を求めると、下記となり上式と一致する。

$$\det \begin{vmatrix} \epsilon_{1x} & \epsilon_{1y} & \epsilon_{1z} \\ \epsilon_{2x} & \epsilon_{2y} & \epsilon_{2z} \\ \epsilon_{3x} & \epsilon_{3y} & \epsilon_{3z} \end{vmatrix} = \epsilon_{1x} (\epsilon_{2y} \epsilon_{3z} - \epsilon_{2z} \epsilon_{3y}) - \epsilon_{1y} (\epsilon_{2x} \epsilon_{3z} - \epsilon_{2z} \epsilon_{3x}) + \epsilon_{1z} (\epsilon_{2x} \epsilon_{3y} - \epsilon_{2y} \epsilon_{3x}) = V' \tag{4.6.49}$$

(4.6.29)式の双対基盤ベクトルのマトリックス  $g^{ij}$  の行列式を求めると、式は長くなるので省略するが、 $V'^2$

となる。

$$\det \begin{vmatrix} g^{11} & g^{12} & g^{13} \\ g^{21} & g^{22} & g^{23} \\ g^{31} & g^{32} & g^{33} \end{vmatrix} = V'^2 \tag{4.6.50}$$

(4.6.34)式から、

$$\begin{pmatrix} g_{11} & g_{12} & g_{13} \\ g_{21} & g_{22} & g_{23} \\ g_{31} & g_{32} & g_{33} \end{pmatrix} \cdot \begin{pmatrix} g^{11} & g^{12} & g^{13} \\ g^{21} & g^{22} & g^{23} \\ g^{31} & g^{32} & g^{33} \end{pmatrix} = \begin{pmatrix} 1 & 0 & 0 \\ 0 & 1 & 0 \\ 0 & 0 & 1 \end{pmatrix} \tag{4.6.51}$$

上式の行列式を求めると、(4.2.5)式から、

$$\det \left[ \begin{pmatrix} g_{11} & g_{12} & g_{13} \\ g_{21} & g_{22} & g_{23} \\ g_{31} & g_{32} & g_{33} \end{pmatrix} \cdot \begin{pmatrix} g^{11} & g^{12} & g^{13} \\ g^{21} & g^{22} & g^{23} \\ g^{31} & g^{32} & g^{33} \end{pmatrix} \right] = \det \begin{vmatrix} g_{11} & g_{12} & g_{13} \\ g_{21} & g_{22} & g_{23} \\ g_{31} & g_{32} & g_{33} \end{vmatrix} \det \begin{vmatrix} g^{11} & g^{12} & g^{13} \\ g^{21} & g^{22} & g^{23} \\ g^{31} & g^{32} & g^{33} \end{vmatrix} = V^2 \cdot V'^2 = 1 \tag{4.6.52}$$



## 4.6.6 ベクトル・テンソルの座標変換 (線形関係)

## 4.6.6.1 基底ベクトルと双対基底ベクトルの座標変換

```

kill(all);
load("vect")$
EBV1:matrix([e[1]], [e[2]], [e[3]]);
EDBV1:matrix([e^"1"], [e^"2"], [e^"3"]);
EBVT1:matrix([e["1'"]], [e["2'"]],
[e["3'"]]);
EDBVT1:matrix([e^"1'"], [e^"2'"], [e^"3'"]);
ATR1:matrix([A["1'"]^(" 1"),
A["1'"]^(" 2"), A["1'"]^(" 3")],
[A["2'"]^(" 1"), A["2'"]^(" 2"),
A["2'"]^(" 3")], [A["3'"]^(" 1"),
A["3'"]^(" 2"), A["3'"]^(" 3")]);
BTR1:matrix([B[" 1"]^("1'"),
B[" 2"]^("1'"), B[" 3"]^("1'")],
[B[" 1"]^("2'"), B[" 2"]^("2'"),
B[" 3"]^("2'")], [B[" 1"]^("3'"),
B[" 2"]^("3'"), B[" 3"]^("3'")]);
TRE1:EBVT1=ATR1.EBV1;
IAT1:IATR1=ATR1^("-1");
TRE2:EBV1=IATR1.EBVT1;
TREP1:EDBVT1=BTR1.EDBV1;
IBT1:IBTR1=BTR1^("-1");
TREP2:EDBV1=IBTR1.EDBVT1;
EBV1.transpose(EDBV1);
EBVT1.transpose(EDBVT1);
X1:transpose(BTR1.EDBV1);
X2:transpose(EDBV1).transpose(BTR1);
X1-X2;
EBVT1.transpose(EDBVT1);
ATR1;
EBV1.transpose(EDBV1);
transpose(BTR1);

```

元の基底ベクトル:  $\vec{e}_j$  (4.6.18) 式を係数:  $A_{i'j}$  で座標変換後の基底ベクトル:  $\vec{e}_{j'}$  に線形変換すると、

$$\begin{aligned}\vec{e}_{1'} &= A_{1'1} \vec{e}_1 + A_{1'2} \vec{e}_2 + A_{1'3} \vec{e}_3 \\ \vec{e}_{2'} &= A_{2'1} \vec{e}_1 + A_{2'2} \vec{e}_2 + A_{2'3} \vec{e}_3 \\ \vec{e}_{3'} &= A_{3'1} \vec{e}_1 + A_{3'2} \vec{e}_2 + A_{3'3} \vec{e}_3\end{aligned}\quad (4.6.53)$$

(4.6.54) 式に (4.6.59) 式を掛けると、

$$\begin{pmatrix} \vec{e}_{1'} \\ \vec{e}_{2'} \\ \vec{e}_{3'} \end{pmatrix} \cdot \begin{pmatrix} \vec{e}_{1'} \\ \vec{e}_{2'} \\ \vec{e}_{3'} \end{pmatrix}^T = \begin{pmatrix} A_{1'1} & A_{1'2} & A_{1'3} \\ A_{2'1} & A_{2'2} & A_{2'3} \\ A_{3'1} & A_{3'2} & A_{3'3} \end{pmatrix} \cdot \begin{pmatrix} \vec{e}_1 \\ \vec{e}_2 \\ \vec{e}_3 \end{pmatrix} \cdot \begin{pmatrix} \vec{e}_1 \\ \vec{e}_2 \\ \vec{e}_3 \end{pmatrix}^T \cdot \begin{pmatrix} B^{1'}_1 & B^{1'}_2 & B^{1'}_3 \\ B^{2'}_1 & B^{2'}_2 & B^{2'}_3 \\ B^{3'}_1 & B^{3'}_2 & B^{3'}_3 \end{pmatrix}^T$$

上式をテンソルを使って表現すると、

$$\begin{pmatrix} \vec{e}_{1'} \\ \vec{e}_{2'} \\ \vec{e}_{3'} \end{pmatrix} = \begin{pmatrix} A_{1'1} & A_{1'2} & A_{1'3} \\ A_{2'1} & A_{2'2} & A_{2'3} \\ A_{3'1} & A_{3'2} & A_{3'3} \end{pmatrix} \cdot \begin{pmatrix} \vec{e}_1 \\ \vec{e}_2 \\ \vec{e}_3 \end{pmatrix} \quad (4.6.54)$$

上式のテンソルの逆行列を掛けると、

$$\begin{pmatrix} \vec{e}_1 \\ \vec{e}_2 \\ \vec{e}_3 \end{pmatrix} = \begin{pmatrix} A_{1'1} & A_{1'2} & A_{1'3} \\ A_{2'1} & A_{2'2} & A_{2'3} \\ A_{3'1} & A_{3'2} & A_{3'3} \end{pmatrix}^{-1} \cdot \begin{pmatrix} \vec{e}_{1'} \\ \vec{e}_{2'} \\ \vec{e}_{3'} \end{pmatrix} \quad (4.6.55)$$

元の双対基底ベクトル:  $\vec{e}^j$  (4.6.19) 式を係数:  $B^{i'j}$  で座標変換後の双対基底ベクトル:  $\vec{e}^{j'}$  に線形変換すると、

$$\begin{aligned}\vec{e}^{1'} &= B^{1'}_1 \vec{e}^1 + B^{1'}_2 \vec{e}^2 + B^{1'}_3 \vec{e}^3 \\ \vec{e}^{2'} &= B^{2'}_1 \vec{e}^1 + B^{2'}_2 \vec{e}^2 + B^{2'}_3 \vec{e}^3 \\ \vec{e}^{3'} &= B^{3'}_1 \vec{e}^1 + B^{3'}_2 \vec{e}^2 + B^{3'}_3 \vec{e}^3\end{aligned}\quad (4.6.56)$$

上式をテンソルを使って表現すると、

$$\begin{pmatrix} \vec{e}^{1'} \\ \vec{e}^{2'} \\ \vec{e}^{3'} \end{pmatrix} = \begin{pmatrix} B^{1'}_1 & B^{1'}_2 & B^{1'}_3 \\ B^{2'}_1 & B^{2'}_2 & B^{2'}_3 \\ B^{3'}_1 & B^{3'}_2 & B^{3'}_3 \end{pmatrix} \cdot \begin{pmatrix} \vec{e}^1 \\ \vec{e}^2 \\ \vec{e}^3 \end{pmatrix} \quad (4.6.57)$$

上式のテンソルの逆行列を掛けると、

$$\begin{pmatrix} \vec{e}^1 \\ \vec{e}^2 \\ \vec{e}^3 \end{pmatrix} = \begin{pmatrix} B^{1'}_1 & B^{1'}_2 & B^{1'}_3 \\ B^{2'}_1 & B^{2'}_2 & B^{2'}_3 \\ B^{3'}_1 & B^{3'}_2 & B^{3'}_3 \end{pmatrix}^{-1} \cdot \begin{pmatrix} \vec{e}^{1'} \\ \vec{e}^{2'} \\ \vec{e}^{3'} \end{pmatrix} \quad (4.6.58)$$

(4.6.57) 式の転置行列は、

$$\begin{pmatrix} \vec{e}^{1'} \\ \vec{e}^{2'} \\ \vec{e}^{3'} \end{pmatrix}^T = \begin{pmatrix} \vec{e}^1 \\ \vec{e}^2 \\ \vec{e}^3 \end{pmatrix}^T \cdot \begin{pmatrix} B^{1'}_1 & B^{1'}_2 & B^{1'}_3 \\ B^{2'}_1 & B^{2'}_2 & B^{2'}_3 \\ B^{3'}_1 & B^{3'}_2 & B^{3'}_3 \end{pmatrix}^T \quad (4.6.59)$$

上式を展開すると、

$$\begin{pmatrix} \vec{e}_1' \cdot \vec{e}_1' & \vec{e}_1' \cdot \vec{e}_2' & \vec{e}_1' \cdot \vec{e}_3' \\ \vec{e}_2' \cdot \vec{e}_1' & \vec{e}_2' \cdot \vec{e}_2' & \vec{e}_2' \cdot \vec{e}_3' \\ \vec{e}_3' \cdot \vec{e}_1' & \vec{e}_3' \cdot \vec{e}_2' & \vec{e}_3' \cdot \vec{e}_3' \end{pmatrix} = \begin{pmatrix} A_{1'}^1 & A_{1'}^2 & A_{1'}^3 \\ A_{2'}^1 & A_{2'}^2 & A_{2'}^3 \\ A_{3'}^1 & A_{3'}^2 & A_{3'}^3 \end{pmatrix} \cdot \begin{pmatrix} \vec{e}_1' \cdot \vec{e}_1' & \vec{e}_1' \cdot \vec{e}_2' & \vec{e}_1' \cdot \vec{e}_3' \\ \vec{e}_2' \cdot \vec{e}_1' & \vec{e}_2' \cdot \vec{e}_2' & \vec{e}_2' \cdot \vec{e}_3' \\ \vec{e}_3' \cdot \vec{e}_1' & \vec{e}_3' \cdot \vec{e}_2' & \vec{e}_3' \cdot \vec{e}_3' \end{pmatrix} \cdot \begin{pmatrix} B^{1'}_1 & B^{1'}_2 & B^{1'}_3 \\ B^{2'}_1 & B^{2'}_2 & B^{2'}_3 \\ B^{3'}_1 & B^{3'}_2 & B^{3'}_3 \end{pmatrix}^T$$

(4.6.16) 式の基底ベクトルと双対基底ベクトルの関係式:  $\vec{e}_i \cdot \vec{e}^j = \delta_{ij}$  および座標変換後の基底ベクトルと双対基底ベクトルの関係式:  $\vec{e}_i' \cdot \vec{e}^{j'} = \delta_{i'j'}$  から、

$$\begin{pmatrix} A_{1'}^1 & A_{1'}^2 & A_{1'}^3 \\ A_{2'}^1 & A_{2'}^2 & A_{2'}^3 \\ A_{3'}^1 & A_{3'}^2 & A_{3'}^3 \end{pmatrix} \cdot \begin{pmatrix} B^{1'}_1 & B^{1'}_2 & B^{1'}_3 \\ B^{2'}_1 & B^{2'}_2 & B^{2'}_3 \\ B^{3'}_1 & B^{3'}_2 & B^{3'}_3 \end{pmatrix}^T = \begin{pmatrix} 1 & 0 & 0 \\ 0 & 1 & 0 \\ 0 & 0 & 1 \end{pmatrix} \quad (4.6.60)$$

上式の転置テンソルを求めると、

$$\begin{pmatrix} B^{1'}_1 & B^{1'}_2 & B^{1'}_3 \\ B^{2'}_1 & B^{2'}_2 & B^{2'}_3 \\ B^{3'}_1 & B^{3'}_2 & B^{3'}_3 \end{pmatrix} \cdot \begin{pmatrix} A_{1'}^1 & A_{1'}^2 & A_{1'}^3 \\ A_{2'}^1 & A_{2'}^2 & A_{2'}^3 \\ A_{3'}^1 & A_{3'}^2 & A_{3'}^3 \end{pmatrix}^T = \begin{pmatrix} 1 & 0 & 0 \\ 0 & 1 & 0 \\ 0 & 0 & 1 \end{pmatrix}$$

上式から双対基底ベクトルの線形変換マトリックス:  $B_j^{i'}$  を求めると、

$$\begin{pmatrix} B^{1'}_1 & B^{1'}_2 & B^{1'}_3 \\ B^{2'}_1 & B^{2'}_2 & B^{2'}_3 \\ B^{3'}_1 & B^{3'}_2 & B^{3'}_3 \end{pmatrix} = \left( \begin{pmatrix} A_{1'}^1 & A_{1'}^2 & A_{1'}^3 \\ A_{2'}^1 & A_{2'}^2 & A_{2'}^3 \\ A_{3'}^1 & A_{3'}^2 & A_{3'}^3 \end{pmatrix}^T \right)^{-1} \quad (4.6.61)$$

いま、(4.6.54) 式を横ベクトル表記にすると、

$$\begin{pmatrix} \vec{e}_1' & \vec{e}_2' & \vec{e}_3' \end{pmatrix} = \begin{pmatrix} \vec{e}_1 & \vec{e}_2 & \vec{e}_3 \end{pmatrix} \cdot \begin{pmatrix} A_{1'}^1 & A_{2'}^1 & A_{3'}^1 \\ A_{1'}^2 & A_{2'}^2 & A_{3'}^2 \\ A_{1'}^3 & A_{2'}^3 & A_{3'}^3 \end{pmatrix} = \begin{pmatrix} \vec{e}_1 & \vec{e}_2 & \vec{e}_3 \end{pmatrix} \cdot \begin{pmatrix} A_{1'}^1 & A_{1'}^2 & A_{1'}^3 \\ A_{2'}^1 & A_{2'}^2 & A_{2'}^3 \\ A_{3'}^1 & A_{3'}^2 & A_{3'}^3 \end{pmatrix}^T \quad (4.6.62)$$

(4.6.57) 式をそのまま縦ベクトル表記し、(4.6.61) 式を代入すると、

$$\begin{aligned} \begin{pmatrix} \vec{e}_1' \\ \vec{e}_2' \\ \vec{e}_3' \end{pmatrix} &= \begin{pmatrix} B^{1'}_1 & B^{1'}_2 & B^{1'}_3 \\ B^{2'}_1 & B^{2'}_2 & B^{2'}_3 \\ B^{3'}_1 & B^{3'}_2 & B^{3'}_3 \end{pmatrix} \cdot \begin{pmatrix} \vec{e}_1 \\ \vec{e}_2 \\ \vec{e}_3 \end{pmatrix} = \left( \begin{pmatrix} A_{1'}^1 & A_{1'}^2 & A_{1'}^3 \\ A_{2'}^1 & A_{2'}^2 & A_{2'}^3 \\ A_{3'}^1 & A_{3'}^2 & A_{3'}^3 \end{pmatrix}^T \right)^{-1} \cdot \begin{pmatrix} \vec{e}_1 \\ \vec{e}_2 \\ \vec{e}_3 \end{pmatrix} \\ &= \begin{pmatrix} A_{1'}^1 & A_{2'}^1 & A_{3'}^1 \\ A_{1'}^2 & A_{2'}^2 & A_{3'}^2 \\ A_{1'}^3 & A_{2'}^3 & A_{3'}^3 \end{pmatrix}^{-1} \cdot \begin{pmatrix} \vec{e}_1 \\ \vec{e}_2 \\ \vec{e}_3 \end{pmatrix} \end{aligned} \quad (4.6.63)$$

基底ベクトルを横ベクトル表記に、双対基底ベクトルを縦ベクトル表記にすると、双対基底ベクトルの線形変換マトリックス:  $B_j^{i'}$  は、

$$\begin{pmatrix} B^{1'}_1 & B^{1'}_2 & B^{1'}_3 \\ B^{2'}_1 & B^{2'}_2 & B^{2'}_3 \\ B^{3'}_1 & B^{3'}_2 & B^{3'}_3 \end{pmatrix} = \begin{pmatrix} A_{1'}^1 & A_{2'}^1 & A_{3'}^1 \\ A_{1'}^2 & A_{2'}^2 & A_{3'}^2 \\ A_{1'}^3 & A_{2'}^3 & A_{3'}^3 \end{pmatrix}^{-1} \quad (4.6.64)$$

## 4.6.6.2 ベクトルの座標変換 (反変成分)

```

PMT1:matrix([P^"1"],[P^"2"],[P^"3"]);
PMD1:matrix([P["1"],[P["2"],[P["3"]]);
PMT1:matrix([P^"1'"],[P^"2'"],[P^"3'"]);
PMDT1:matrix([P["1'"],[P["2'"],
[P["3'"]]);
PBV1:P=P^"1"*e[1]+P^"2"*e[2]+P^"3"*e[3];
PBV2:P=P1*e[1]+P2*e[2]+P3*e[3];
PBVTR1:P=P^"1'"*e["1'"]+P^"2'"*e["2'"]
+P^"3'"*e["3'"];
PBVTR2:P=PT1*e["1'"]+PT2*e["2'"]
+PT3*e["3'"];
rhs(PBVTR2)*lhs(TREP1);
X2:expand(%);
subst([PT1=P^"1'",PT2=P^"2'",PT3=P^"3'"],
%);

```

```

X30:rhs(PBV2)*(rhs(TREP1));
subst([P1=P^"1",P2=P^"2",P3=P^"3"],%);
X3:expand(X30);
BTRT1.matrix([P1],[P2],[P3]);
subst([P1=P^"1",P2=P^"2",P3=P^"3"],%);

```

基底ベクトルを使った下記の任意ベクトル： $\vec{P}$  の反変成分の座標変換を行う。

$$\vec{P} = \vec{e}_3 P^3 + \vec{e}_2 P^2 + \vec{e}_1 P^1 \quad (4.6.65)$$

変換結果を下記とする。

$$\vec{P} = \vec{e}_{3'} P^{3'} + \vec{e}_{2'} P^{2'} + \vec{e}_{1'} P^{1'} \quad (4.6.66)$$

同じベクトルであるから、

$$\begin{aligned} \vec{e}_{3'} P^{3'} + \vec{e}_{2'} P^{2'} + \vec{e}_{1'} P^{1'} \\ = \vec{e}_3 P^3 + \vec{e}_2 P^2 + \vec{e}_1 P^1 \end{aligned} \quad (4.6.67)$$

上式をベクトル表記し、(4.6.57) 式を掛けると、

$$\begin{pmatrix} \vec{e}_1 \\ \vec{e}_2 \\ \vec{e}_3 \end{pmatrix} \cdot \begin{pmatrix} \vec{e}_{1'} \\ \vec{e}_{2'} \\ \vec{e}_{3'} \end{pmatrix}^T \cdot \begin{pmatrix} P^{1'} \\ P^{2'} \\ P^{3'} \end{pmatrix} = \begin{pmatrix} B^{1'}_1 & B^{1'}_2 & B^{1'}_3 \\ B^{2'}_1 & B^{2'}_2 & B^{2'}_3 \\ B^{3'}_1 & B^{3'}_2 & B^{3'}_3 \end{pmatrix} \cdot \begin{pmatrix} \vec{e}_1 \\ \vec{e}_2 \\ \vec{e}_3 \end{pmatrix} \cdot \begin{pmatrix} \vec{e}_{1'} \\ \vec{e}_{2'} \\ \vec{e}_{3'} \end{pmatrix}^T \cdot \begin{pmatrix} P^1 \\ P^2 \\ P^3 \end{pmatrix}$$

上式を展開すると、

$$\begin{pmatrix} \vec{e}_{1'} \vec{e}_1 & \vec{e}_{1'} \vec{e}_2 & \vec{e}_{1'} \vec{e}_3 \\ \vec{e}_{2'} \vec{e}_1 & \vec{e}_{2'} \vec{e}_2 & \vec{e}_{2'} \vec{e}_3 \\ \vec{e}_{3'} \vec{e}_1 & \vec{e}_{3'} \vec{e}_2 & \vec{e}_{3'} \vec{e}_3 \end{pmatrix} \cdot \begin{pmatrix} P^{1'} \\ P^{2'} \\ P^{3'} \end{pmatrix} = \begin{pmatrix} B^{1'}_1 & B^{1'}_2 & B^{1'}_3 \\ B^{2'}_1 & B^{2'}_2 & B^{2'}_3 \\ B^{3'}_1 & B^{3'}_2 & B^{3'}_3 \end{pmatrix} \cdot \begin{pmatrix} \vec{e}_1 \vec{e}_1 & \vec{e}_1 \vec{e}_2 & \vec{e}_1 \vec{e}_3 \\ \vec{e}_2 \vec{e}_1 & \vec{e}_2 \vec{e}_2 & \vec{e}_2 \vec{e}_3 \\ \vec{e}_3 \vec{e}_1 & \vec{e}_3 \vec{e}_2 & \vec{e}_3 \vec{e}_3 \end{pmatrix} \cdot \begin{pmatrix} P^1 \\ P^2 \\ P^3 \end{pmatrix}$$

(4.6.16) 式の基底ベクトルと双対基底ベクトルの関係式： $\vec{e}_i \cdot \vec{e}^j = \delta_{ij}$  および座標変換後の基底ベクトルと双対基底ベクトルの関係式： $\vec{e}_{i'} \cdot \vec{e}^{j'} = \delta_{i'j'}$  から、

$$\begin{pmatrix} P^{1'} \\ P^{2'} \\ P^{3'} \end{pmatrix} = \begin{pmatrix} B^{1'}_1 & B^{1'}_2 & B^{1'}_3 \\ B^{2'}_1 & B^{2'}_2 & B^{2'}_3 \\ B^{3'}_1 & B^{3'}_2 & B^{3'}_3 \end{pmatrix} \cdot \begin{pmatrix} P^1 \\ P^2 \\ P^3 \end{pmatrix} \quad (4.6.68)$$

上式のテンソル： $B_i^{j'}$  の逆行列を上式に掛け、(4.6.61) 式を代入すると、

$$\begin{aligned} \begin{pmatrix} P^1 \\ P^2 \\ P^3 \end{pmatrix} &= \begin{pmatrix} B^{1'}_1 & B^{1'}_2 & B^{1'}_3 \\ B^{2'}_1 & B^{2'}_2 & B^{2'}_3 \\ B^{3'}_1 & B^{3'}_2 & B^{3'}_3 \end{pmatrix}^{-1} \cdot \begin{pmatrix} P^{1'} \\ P^{2'} \\ P^{3'} \end{pmatrix} = \left( \left( \begin{pmatrix} A_{1'}^1 & A_{1'}^2 & A_{1'}^3 \\ A_{2'}^1 & A_{2'}^2 & A_{2'}^3 \\ A_{3'}^1 & A_{3'}^2 & A_{3'}^3 \end{pmatrix}^T \right)^{-1} \right)^{-1} \cdot \begin{pmatrix} P^{1'} \\ P^{2'} \\ P^{3'} \end{pmatrix} \\ &= \begin{pmatrix} A_{1'}^1 & A_{1'}^2 & A_{1'}^3 \\ A_{2'}^1 & A_{2'}^2 & A_{2'}^3 \\ A_{3'}^1 & A_{3'}^2 & A_{3'}^3 \end{pmatrix}^T \cdot \begin{pmatrix} P^{1'} \\ P^{2'} \\ P^{3'} \end{pmatrix} \end{aligned} \quad (4.6.69)$$

## 4.6.6.3 ベクトルの座標変換 (共変成分)

```

ADB1:P=P[1]*e^"1"+P[2]*e^"2"+P[3]*e^"3";
ADB2:P=P[1]*E1+P[2]*E2+P[3]*E3;
ADBVTR1:P=P["1'"]*e^"1'"+"P["2'"]*e^"2'"
+P["3'"]*e^"3'";
ADBVTR2:P=P["1'"]*ET1+P["2'"]*ET2
+P["3'"]*ET3;
rhs(ADBVTR2)*lhs(TRE1);
expand(%);
subst([ET1=e^"1'",ET2=e^"2'",ET3=e^"3'"],
%);
rhs(ADB2)*(rhs(TRE1));
expand(%);
subst([E1=e^"1",E2=e^"2",E3=e^"3"],%);
ATRT1.matrix([P1],[P2],[P3]);
subst([P1=P["1"],P2=P["2"],P3=P["3"]],%);

```

上式をベクトル表記し、(4.6.54) 式を掛けると、

$$\begin{pmatrix} \vec{e}_1' \\ \vec{e}_2' \\ \vec{e}_3' \end{pmatrix} \cdot \begin{pmatrix} \vec{e}_1' \\ \vec{e}_2' \\ \vec{e}_3' \end{pmatrix}^T \cdot \begin{pmatrix} P_1' \\ P_2' \\ P_3' \end{pmatrix} = \begin{pmatrix} A_1'^1 & A_1'^2 & A_1'^3 \\ A_2'^1 & A_2'^2 & A_2'^3 \\ A_3'^1 & A_3'^2 & A_3'^3 \end{pmatrix} \cdot \begin{pmatrix} \vec{e}_1 \\ \vec{e}_2 \\ \vec{e}_3 \end{pmatrix} \cdot \begin{pmatrix} \vec{e}_1 \\ \vec{e}_2 \\ \vec{e}_3 \end{pmatrix}^T \cdot \begin{pmatrix} P_1 \\ P_2 \\ P_3 \end{pmatrix}$$

上式を展開すると、

$$\begin{pmatrix} \vec{e}_1' \vec{e}_1' & \vec{e}_1' \vec{e}_2' & \vec{e}_1' \vec{e}_3' \\ \vec{e}_2' \vec{e}_1' & \vec{e}_2' \vec{e}_2' & \vec{e}_2' \vec{e}_3' \\ \vec{e}_3' \vec{e}_1' & \vec{e}_3' \vec{e}_2' & \vec{e}_3' \vec{e}_3' \end{pmatrix} \cdot \begin{pmatrix} P_1' \\ P_2' \\ P_3' \end{pmatrix} = \begin{pmatrix} A_1'^1 & A_1'^2 & A_1'^3 \\ A_2'^1 & A_2'^2 & A_2'^3 \\ A_3'^1 & A_3'^2 & A_3'^3 \end{pmatrix} \cdot \begin{pmatrix} \vec{e}_1 \vec{e}_1 & \vec{e}_1 \vec{e}_2 & \vec{e}_1 \vec{e}_3 \\ \vec{e}_2 \vec{e}_1 & \vec{e}_2 \vec{e}_2 & \vec{e}_2 \vec{e}_3 \\ \vec{e}_3 \vec{e}_1 & \vec{e}_3 \vec{e}_2 & \vec{e}_3 \vec{e}_3 \end{pmatrix} \cdot \begin{pmatrix} P_1 \\ P_2 \\ P_3 \end{pmatrix}$$

(4.6.16) 式の基底ベクトルと双対基底ベクトルの関係式:  $\vec{e}_i \cdot \vec{e}^j = \delta_{ij}$  および座標変換後の基底ベクトルと双対基底ベクトルの関係式:  $\vec{e}_i' \cdot \vec{e}^{j'} = \delta_{i'j'}$  から、

$$\begin{pmatrix} P_1' \\ P_2' \\ P_3' \end{pmatrix} = \begin{pmatrix} A_1'^1 & A_1'^2 & A_1'^3 \\ A_2'^1 & A_2'^2 & A_2'^3 \\ A_3'^1 & A_3'^2 & A_3'^3 \end{pmatrix} \cdot \begin{pmatrix} P_1 \\ P_2 \\ P_3 \end{pmatrix} \quad (4.6.73)$$

(4.6.61) 式の転置テンソルは、

$$\begin{pmatrix} B^1' & B^2' & B^3' \\ B^1' & B^2' & B^3' \\ B^1' & B^2' & B^3' \end{pmatrix}^T = \left( \left( \begin{pmatrix} A_1'^1 & A_1'^2 & A_1'^3 \\ A_2'^1 & A_2'^2 & A_2'^3 \\ A_3'^1 & A_3'^2 & A_3'^3 \end{pmatrix}^T \right)^{-1} \right)^T = \begin{pmatrix} A_1'^1 & A_1'^2 & A_1'^3 \\ A_2'^1 & A_2'^2 & A_2'^3 \\ A_3'^1 & A_3'^2 & A_3'^3 \end{pmatrix}^{-1} \quad (4.6.74)$$

(4.6.73) 式のテンソル:  $A_i^j$  の逆行列を (4.6.73) 式に掛け、上式を代入すると、

$$\begin{pmatrix} P_1 \\ P_2 \\ P_3 \end{pmatrix} = \begin{pmatrix} A_1'^1 & A_1'^2 & A_1'^3 \\ A_2'^1 & A_2'^2 & A_2'^3 \\ A_3'^1 & A_3'^2 & A_3'^3 \end{pmatrix}^{-1} \cdot \begin{pmatrix} P_1' \\ P_2' \\ P_3' \end{pmatrix} = \begin{pmatrix} B^1' & B^2' & B^3' \\ B^2' & B^2' & B^2' \\ B^3' & B^3' & B^3' \end{pmatrix}^T \cdot \begin{pmatrix} P_1' \\ P_2' \\ P_3' \end{pmatrix} \quad (4.6.75)$$

基底ベクトルを使った下記の任意ベクトル:  $\vec{A}$  の共変成分の座標変換を行う。

$$\vec{P} = e^3 P_3 + e^2 P_2 + e^1 P_1 \quad (4.6.70)$$

変換結果を下記とする。

$$\vec{P} = e^{3'} P_{3'} + e^{2'} P_{2'} + e^{1'} P_{1'} \quad (4.6.71)$$

同じベクトルであるから、

$$\begin{aligned} e^{3'} P_{3'} + e^{2'} P_{2'} + e^{1'} P_{1'} \\ = e^3 P_3 + e^2 P_2 + e^1 P_1 \end{aligned} \quad (4.6.72)$$

## 4.6.6.4 計量テンソルの座標変換

```
GABV1:matrix([g[11],g[12],g[13]], [g[21],
g[22],g[23]], [g[31],g[32],g[33]]);
GDABV1:matrix([g^"11",g^"12",g^"13"],
[g^"21",g^"22",g^"23"], [g^"31",g^"32",
g^"33"]);
GABVT1:matrix([g["1'1'"],g["1'2'"],
g["1'3'"]], [g["2'1'"],g["2'2'"],
g["2'3'"]], [g["3'1'"],g["3'2'"],
g["3'3'"]]);
GDABVT1:matrix([g^"1'1'",g^"1'2'",
g^"1'3'"], [g^"2'1'",g^"2'2'",g^"2'3'"],
[g^"3'1'",g^"3'2'",g^"3'3'"]);
GABVT1=EBVT1.transpose(EBVT1);
GABV1=EBV1.transpose(EBV1);
GDABV1=EDBVT1.transpose(EDBVT1);
GDABV1=EDBV1.transpose(EDBV1);
```

座標変換後の基底ベクトルの計量テンソルは、

$$\begin{aligned} \begin{pmatrix} g_{1'1'} & g_{1'2'} & g_{1'3'} \\ g_{2'1'} & g_{2'2'} & g_{2'3'} \\ g_{3'1'} & g_{3'2'} & g_{3'3'} \end{pmatrix} &= \begin{pmatrix} e_{1'}^2 & e_{1'} e_{2'} & e_{1'} e_{3'} \\ e_{1'} e_{2'} & e_{2'}^2 & e_{2'} e_{3'} \\ e_{1'} e_{3'} & e_{2'} e_{3'} & e_{3'}^2 \end{pmatrix} \\ &= \begin{pmatrix} e_{1'} \\ e_{2'} \\ e_{3'} \end{pmatrix} \cdot \begin{pmatrix} e_{1'} \\ e_{2'} \\ e_{3'} \end{pmatrix}^T \end{aligned} \quad (4.6.76)$$

元の基底ベクトルの計量テンソルは、

$$\begin{pmatrix} g_{11} & g_{12} & g_{13} \\ g_{21} & g_{22} & g_{23} \\ g_{31} & g_{32} & g_{33} \end{pmatrix} = \begin{pmatrix} e_1 \\ e_2 \\ e_3 \end{pmatrix} \cdot \begin{pmatrix} e_1 \\ e_2 \\ e_3 \end{pmatrix}^T \quad (4.6.77)$$

(4.6.54) 式の転置テンソルは、

$$\begin{pmatrix} \vec{e}_{1'} \\ \vec{e}_{2'} \\ \vec{e}_{3'} \end{pmatrix}^T = \begin{pmatrix} \vec{e}_1 \\ \vec{e}_2 \\ \vec{e}_3 \end{pmatrix}^T \cdot \begin{pmatrix} A_{1'}^1 & A_{1'}^2 & A_{1'}^3 \\ A_{2'}^1 & A_{2'}^2 & A_{2'}^3 \\ A_{3'}^1 & A_{3'}^2 & A_{3'}^3 \end{pmatrix}^T \quad (4.6.78)$$

(4.6.76) 式に (4.6.54) 式と上式を代入すると、

$$\begin{pmatrix} g_{1'1'} & g_{1'2'} & g_{1'3'} \\ g_{2'1'} & g_{2'2'} & g_{2'3'} \\ g_{3'1'} & g_{3'2'} & g_{3'3'} \end{pmatrix} = \begin{pmatrix} A_{1'}^1 & A_{1'}^2 & A_{1'}^3 \\ A_{2'}^1 & A_{2'}^2 & A_{2'}^3 \\ A_{3'}^1 & A_{3'}^2 & A_{3'}^3 \end{pmatrix} \cdot \begin{pmatrix} \vec{e}_1 \\ \vec{e}_2 \\ \vec{e}_3 \end{pmatrix} \cdot \begin{pmatrix} \vec{e}_1 \\ \vec{e}_2 \\ \vec{e}_3 \end{pmatrix}^T \cdot \begin{pmatrix} A_{1'}^1 & A_{1'}^2 & A_{1'}^3 \\ A_{2'}^1 & A_{2'}^2 & A_{2'}^3 \\ A_{3'}^1 & A_{3'}^2 & A_{3'}^3 \end{pmatrix}^T$$

上式に (4.6.77) 式を代入すると、座標変換後の基底ベクトルの計量テンソル:  $g_{i'j'}$  は、

$$\begin{pmatrix} g_{1'1'} & g_{1'2'} & g_{1'3'} \\ g_{2'1'} & g_{2'2'} & g_{2'3'} \\ g_{3'1'} & g_{3'2'} & g_{3'3'} \end{pmatrix} = \begin{pmatrix} A_{1'}^1 & A_{1'}^2 & A_{1'}^3 \\ A_{2'}^1 & A_{2'}^2 & A_{2'}^3 \\ A_{3'}^1 & A_{3'}^2 & A_{3'}^3 \end{pmatrix} \cdot \begin{pmatrix} g_{11} & g_{12} & g_{13} \\ g_{21} & g_{22} & g_{23} \\ g_{31} & g_{32} & g_{33} \end{pmatrix} \cdot \begin{pmatrix} A_{1'}^1 & A_{1'}^2 & A_{1'}^3 \\ A_{2'}^1 & A_{2'}^2 & A_{2'}^3 \\ A_{3'}^1 & A_{3'}^2 & A_{3'}^3 \end{pmatrix}^T \quad (4.6.79)$$

座標変換後の双対基底ベクトルの計量テンソルは、

$$\begin{pmatrix} g^{1'1'} & g^{1'2'} & g^{1'3'} \\ g^{2'1'} & g^{2'2'} & g^{2'3'} \\ g^{3'1'} & g^{3'2'} & g^{3'3'} \end{pmatrix} = \begin{pmatrix} e^{1'} \\ e^{2'} \\ e^{3'} \end{pmatrix} \cdot \begin{pmatrix} e^{1'} \\ e^{2'} \\ e^{3'} \end{pmatrix}^T \quad (4.6.80)$$

(4.6.57) 式の転置テンソルは、

$$\begin{pmatrix} \vec{e}_{1'} \\ \vec{e}_{2'} \\ \vec{e}_{3'} \end{pmatrix}^T = \begin{pmatrix} \vec{e}_1 \\ \vec{e}_2 \\ \vec{e}_3 \end{pmatrix}^T \cdot \begin{pmatrix} B^1_1 & B^1_2 & B^1_3 \\ B^2_1 & B^2_2 & B^2_3 \\ B^3_1 & B^3_2 & B^3_3 \end{pmatrix}^T \quad (4.6.82)$$

元の双対基底ベクトルの計量テンソルは、

$$\begin{pmatrix} g^{11} & g^{12} & g^{13} \\ g^{21} & g^{22} & g^{23} \\ g^{31} & g^{32} & g^{33} \end{pmatrix} = \begin{pmatrix} e^1 \\ e^2 \\ e^3 \end{pmatrix} \cdot \begin{pmatrix} e^1 \\ e^2 \\ e^3 \end{pmatrix}^T \quad (4.6.81)$$

(4.6.80) 式に (4.6.57) 式と (4.6.82) 式を代入すると、

$$\begin{pmatrix} g^{1'1'} & g^{1'2'} & g^{1'3'} \\ g^{2'1'} & g^{2'2'} & g^{2'3'} \\ g^{3'1'} & g^{3'2'} & g^{3'3'} \end{pmatrix} = \begin{pmatrix} B^1_1 & B^1_2 & B^1_3 \\ B^2_1 & B^2_2 & B^2_3 \\ B^3_1 & B^3_2 & B^3_3 \end{pmatrix} \cdot \begin{pmatrix} e^1 \\ e^2 \\ e^3 \end{pmatrix} \cdot \begin{pmatrix} e^1 \\ e^2 \\ e^3 \end{pmatrix}^T \cdot \begin{pmatrix} B^1_1 & B^1_2 & B^1_3 \\ B^2_1 & B^2_2 & B^2_3 \\ B^3_1 & B^3_2 & B^3_3 \end{pmatrix}^T$$

上式に (4.6.81) 式を代入すると、座標変換後の双対基底ベクトルの計量テンソル:  $g^{i'j'}$  は、

$$\begin{pmatrix} g^{1'1'} & g^{1'2'} & g^{1'3'} \\ g^{2'1'} & g^{2'2'} & g^{2'3'} \\ g^{3'1'} & g^{3'2'} & g^{3'3'} \end{pmatrix} = \begin{pmatrix} B^1_1 & B^1_2 & B^1_3 \\ B^2_1 & B^2_2 & B^2_3 \\ B^3_1 & B^3_2 & B^3_3 \end{pmatrix} \cdot \begin{pmatrix} g^{11} & g^{12} & g^{13} \\ g^{21} & g^{22} & g^{23} \\ g^{31} & g^{32} & g^{33} \end{pmatrix} \cdot \begin{pmatrix} B^1_1 & B^1_2 & B^1_3 \\ B^2_1 & B^2_2 & B^2_3 \\ B^3_1 & B^3_2 & B^3_3 \end{pmatrix}^T \quad (4.6.83)$$

## 4.6.6.5 ベクトル内積の座標変換不変性

座標変換されたベクトル： $\vec{P}$ ,  $\vec{Q}$  は (4.6.61) 式から、

$$\begin{aligned}\vec{P} &= \vec{e}_{3'} P^{3'} + \vec{e}_{2'} P^{2'} + \vec{e}_{1'} P^{1'} \\ \vec{Q} &= \vec{e}_{3'} Q^{3'} + \vec{e}_{2'} Q^{2'} + \vec{e}_{1'} Q^{1'}\end{aligned}\quad (4.6.84)$$

座標変換されたベクトル： $\vec{P}$ ,  $\vec{Q}$  内積は (4.6.40) 式から、

$$\vec{P} \cdot \vec{Q} = \begin{pmatrix} P^{1'} \\ P^{2'} \\ P^{3'} \end{pmatrix}^T \cdot \begin{pmatrix} g_{1'1'} & g_{1'2'} & g_{1'3'} \\ g_{2'1'} & g_{2'2'} & g_{2'3'} \\ g_{3'1'} & g_{3'2'} & g_{3'3'} \end{pmatrix} \cdot \begin{pmatrix} Q^{1'} \\ Q^{2'} \\ Q^{3'} \end{pmatrix}\quad (4.6.85)$$

(4.6.79) 式から、

$$\vec{P} \cdot \vec{Q} = \begin{pmatrix} P^{1'} \\ P^{2'} \\ P^{3'} \end{pmatrix}^T \cdot \begin{pmatrix} A_{1'}^1 & A_{1'}^2 & A_{1'}^3 \\ A_{2'}^1 & A_{2'}^2 & A_{2'}^3 \\ A_{3'}^1 & A_{3'}^2 & A_{3'}^3 \end{pmatrix} \cdot \begin{pmatrix} g_{11} & g_{12} & g_{13} \\ g_{21} & g_{22} & g_{23} \\ g_{31} & g_{32} & g_{33} \end{pmatrix} \cdot \begin{pmatrix} A_{1'}^1 & A_{1'}^2 & A_{1'}^3 \\ A_{2'}^1 & A_{2'}^2 & A_{2'}^3 \\ A_{3'}^1 & A_{3'}^2 & A_{3'}^3 \end{pmatrix}^T \cdot \begin{pmatrix} Q^1 \\ Q^2 \\ Q^3 \end{pmatrix}\quad (4.6.86)$$

(4.6.68) 式から、

$$\begin{pmatrix} P^{1'} \\ P^{2'} \\ P^{3'} \end{pmatrix}^T = \begin{pmatrix} P^1 \\ P^2 \\ P^3 \end{pmatrix}^T \cdot \begin{pmatrix} B^1_1 & B^1_2 & B^1_3 \\ B^2_1 & B^2_2 & B^2_3 \\ B^3_1 & B^3_2 & B^3_3 \end{pmatrix}^T, \quad \begin{pmatrix} Q^{1'} \\ Q^{2'} \\ Q^{3'} \end{pmatrix} = \begin{pmatrix} B^1_1 & B^1_2 & B^1_3 \\ B^2_1 & B^2_2 & B^2_3 \\ B^3_1 & B^3_2 & B^3_3 \end{pmatrix} \cdot \begin{pmatrix} Q^1 \\ Q^2 \\ Q^3 \end{pmatrix}$$

(4.6.86) 式に上式を代入すると、

$$\begin{aligned}\vec{P} \cdot \vec{Q} &= \begin{pmatrix} P^1 \\ P^2 \\ P^3 \end{pmatrix}^T \cdot \begin{pmatrix} B^1_1 & B^1_2 & B^1_3 \\ B^2_1 & B^2_2 & B^2_3 \\ B^3_1 & B^3_2 & B^3_3 \end{pmatrix}^T \cdot \begin{pmatrix} A_{1'}^1 & A_{1'}^2 & A_{1'}^3 \\ A_{2'}^1 & A_{2'}^2 & A_{2'}^3 \\ A_{3'}^1 & A_{3'}^2 & A_{3'}^3 \end{pmatrix} \cdot \begin{pmatrix} g_{11} & g_{12} & g_{13} \\ g_{21} & g_{22} & g_{23} \\ g_{31} & g_{32} & g_{33} \end{pmatrix} \\ &\cdot \begin{pmatrix} A_{1'}^1 & A_{1'}^2 & A_{1'}^3 \\ A_{2'}^1 & A_{2'}^2 & A_{2'}^3 \\ A_{3'}^1 & A_{3'}^2 & A_{3'}^3 \end{pmatrix}^T \cdot \begin{pmatrix} B^1_1 & B^1_2 & B^1_3 \\ B^2_1 & B^2_2 & B^2_3 \\ B^3_1 & B^3_2 & B^3_3 \end{pmatrix} \cdot \begin{pmatrix} Q^1 \\ Q^2 \\ Q^3 \end{pmatrix}\end{aligned}\quad (4.6.87)$$

(4.6.61) 式から、

$$\begin{aligned}\begin{pmatrix} B^1_1 & B^1_2 & B^1_3 \\ B^2_1 & B^2_2 & B^2_3 \\ B^3_1 & B^3_2 & B^3_3 \end{pmatrix}^T &= \left( \left( \begin{pmatrix} A_{1'}^1 & A_{1'}^2 & A_{1'}^3 \\ A_{2'}^1 & A_{2'}^2 & A_{2'}^3 \\ A_{3'}^1 & A_{3'}^2 & A_{3'}^3 \end{pmatrix}^T \right)^{-1} \right)^T = \begin{pmatrix} A_{1'}^1 & A_{1'}^2 & A_{1'}^3 \\ A_{2'}^1 & A_{2'}^2 & A_{2'}^3 \\ A_{3'}^1 & A_{3'}^2 & A_{3'}^3 \end{pmatrix}^{-1} \\ \begin{pmatrix} B^1_1 & B^1_2 & B^1_3 \\ B^2_1 & B^2_2 & B^2_3 \\ B^3_1 & B^3_2 & B^3_3 \end{pmatrix}^{-1} &= \left( \left( \begin{pmatrix} A_{1'}^1 & A_{1'}^2 & A_{1'}^3 \\ A_{2'}^1 & A_{2'}^2 & A_{2'}^3 \\ A_{3'}^1 & A_{3'}^2 & A_{3'}^3 \end{pmatrix}^T \right)^{-1} \right)^{-1} = \begin{pmatrix} A_{1'}^1 & A_{1'}^2 & A_{1'}^3 \\ A_{2'}^1 & A_{2'}^2 & A_{2'}^3 \\ A_{3'}^1 & A_{3'}^2 & A_{3'}^3 \end{pmatrix}^T\end{aligned}$$

(4.6.87) 式に上式を代入すると下記となり、元のベクトル内積となり、内積結果は座標変換しても変わらない。

$$\vec{P} \cdot \vec{Q} = \begin{pmatrix} P^1 \\ P^2 \\ P^3 \end{pmatrix}^T \cdot \begin{pmatrix} g_{11} & g_{12} & g_{13} \\ g_{21} & g_{22} & g_{23} \\ g_{31} & g_{32} & g_{33} \end{pmatrix} \cdot \begin{pmatrix} Q^1 \\ Q^2 \\ Q^3 \end{pmatrix}$$

いま、座標変換されたベクトル： $\vec{A}$ ,  $\vec{B}$  を座標変換された微小変位ベクトル： $\vec{dr}^j$  としてその長さの二乗： $ds^2$  を求めると、上式から下記となり、座標変換しても長さは変わらない。

$$ds^2 = \vec{dr}^j \cdot \vec{dr}^j = \begin{pmatrix} dr^{1'} \\ dr^{2'} \\ dr^{3'} \end{pmatrix}^T \cdot \begin{pmatrix} g_{1'1'} & g_{1'2'} & g_{1'3'} \\ g_{2'1'} & g_{2'2'} & g_{2'3'} \\ g_{3'1'} & g_{3'2'} & g_{3'3'} \end{pmatrix} \cdot \begin{pmatrix} dr^{1'} \\ dr^{2'} \\ dr^{3'} \end{pmatrix} = \begin{pmatrix} dr^1 \\ dr^2 \\ dr^3 \end{pmatrix}^T \cdot \begin{pmatrix} g_{11} & g_{12} & g_{13} \\ g_{21} & g_{22} & g_{23} \\ g_{31} & g_{32} & g_{33} \end{pmatrix} \cdot \begin{pmatrix} dr^1 \\ dr^2 \\ dr^3 \end{pmatrix} = \vec{dr} \cdot \vec{dr}\quad (4.6.88)$$

## 4.6.7 テンソルの内積

テンソル:  $A$  とテンソル:  $B$  のテンソルの内積を  $A : B$  で表す。計算は  $A_{ij} \times B_{ij}$  で行う。このため、 $A, B$  の行の数:  $m_a, m_b$  と列の数:  $n_a, n_b$  はそれぞれ一致:  $m_a = m_b, n_a = n_b$  しなければならない。Maxima では \* 記号を使って下記のように実行する。

```
kill(all);
A1:matrix([A[11],A[12],A[13]], [A[21],
  A[22],A[23]], [A[31],A[32],A[33]]);
B1:matrix([B[11],B[12],B[13]], [B[21],
  B[22],B[23]], [B[31],B[32],B[33]]);
A1*B1;
```

$$A = \begin{pmatrix} A_{11} & A_{12} & A_{13} \\ A_{21} & A_{22} & A_{23} \\ A_{31} & A_{32} & A_{33} \end{pmatrix}$$

$$B = \begin{pmatrix} B_{11} & B_{12} & B_{13} \\ B_{21} & B_{22} & B_{23} \\ B_{31} & B_{32} & B_{33} \end{pmatrix}$$

$$A : B = \begin{pmatrix} A_{11} B_{11} & A_{12} B_{12} & A_{13} B_{13} \\ A_{21} B_{21} & A_{22} B_{22} & A_{23} B_{23} \\ A_{31} B_{31} & A_{32} B_{32} & A_{33} B_{33} \end{pmatrix}$$

## 4.6.8 クロネッカー積

クロネッカー積は行列の積と異なり、kronecker\_product関数を使って、下記のようにして得られる。

kronecker\_product関数を使うには、linearalgebraをloadしておく必要がある。

`kronecker_product(テンソル1, テンソル2)`

クロネッカー積は下記の演算で得られる。 $C$ を $m, n$ のテンソル、 $D$ をテンソルとすると、

$$C \otimes D = \begin{pmatrix} c_{11}D & \cdots & c_{1n}D \\ \vdots & \ddots & \vdots \\ c_{m1}D & \cdots & c_{mn}D \end{pmatrix}$$

```
kill(all);
load("linearalgebra")$
A1:matrix([A[1]], [A[2]], [A[3]]);
B1:matrix([B[1]], [B[2]], [B[3]]);
C1:matrix([C[1]], [C[2]]);
D1:matrix([D[11], D[12], D[13]], [D[21],
D[22], D[23]], [D[31], D[32], D[33]]);
E1:matrix([E[11], E[12]], [E[21], E[22]]);
```

テンソル： $A, B, C, D, E$ を下記とする。

$$A = \begin{pmatrix} A_1 \\ A_2 \\ A_3 \end{pmatrix}, \quad B = \begin{pmatrix} B_1 \\ B_2 \\ B_3 \end{pmatrix}, \quad C = \begin{pmatrix} C_1 \\ C_2 \end{pmatrix}$$

$$D = \begin{pmatrix} D_{11} & D_{12} & D_{13} \\ D_{21} & D_{22} & D_{23} \\ D_{31} & D_{32} & D_{33} \end{pmatrix}, \quad E = \begin{pmatrix} E_{11} & E_{12} \\ E_{21} & E_{22} \end{pmatrix}$$

(4.6.89)

```
A1.transpose(B1);
```

これまでのベクトルの内積を使用して、

$$\begin{pmatrix} A_1 \\ A_2 \\ A_3 \end{pmatrix} \cdot \begin{pmatrix} B_1 \\ B_2 \\ B_3 \end{pmatrix}^T = \begin{pmatrix} A_1 \\ A_2 \\ A_3 \end{pmatrix} \cdot (B_1 \ B_2 \ B_3)$$

$$= \begin{pmatrix} A_1 B_1 & A_1 B_2 & A_1 B_3 \\ B_1 A_2 & A_2 B_2 & A_2 B_3 \\ B_1 A_3 & B_2 A_3 & A_3 B_3 \end{pmatrix}$$

```
kronecker_product(A1, transpose(B1));
```

kronecker\_product関数を使用して求めると、上記と同じ結果が得られる。

$$A \otimes B^T = \begin{pmatrix} A_1 \\ A_2 \\ A_3 \end{pmatrix} \otimes (B_1 \ B_2 \ B_3)$$

$$= \begin{pmatrix} A_1 (B_1 \ B_2 \ B_3) \\ A_2 (B_1 \ B_2 \ B_3) \\ A_3 (B_1 \ B_2 \ B_3) \end{pmatrix}$$

$$= \begin{pmatrix} A_1 B_1 & A_1 B_2 & A_1 B_3 \\ B_1 A_2 & A_2 B_2 & A_2 B_3 \\ B_1 A_3 & B_2 A_3 & A_3 B_3 \end{pmatrix}$$

以下に例を示す。

```
A1.C1;
kronecker_product(A1, transpose(C1));
```

kronecker\_product関数を使用して下記を求める。ベクトルの内積では得られない。

$$A \otimes C^T = \begin{pmatrix} A_1 \\ A_2 \\ A_3 \end{pmatrix} \otimes (C_1 \ C_2)$$

$$= \begin{pmatrix} A_1 (C_1 \ C_2) \\ A_2 (C_1 \ C_2) \\ A_3 (C_1 \ C_2) \end{pmatrix}$$

$$= \begin{pmatrix} A_1 C_1 & A_1 C_2 \\ C_1 A_2 & A_2 C_2 \\ C_1 A_3 & C_2 A_3 \end{pmatrix}$$

```
kronecker_product(transpose(A1), C1);
```

kronecker\_product関数を使用して下記を求める。

$$A^T \otimes C = (A_1 \ A_2 \ A_3) \otimes \begin{pmatrix} C_1 \\ C_2 \end{pmatrix}$$

$$= \begin{pmatrix} A_1 \begin{pmatrix} C_1 \\ C_2 \end{pmatrix} & A_2 \begin{pmatrix} C_1 \\ C_2 \end{pmatrix} & A_3 \begin{pmatrix} C_1 \\ C_2 \end{pmatrix} \end{pmatrix}$$

$$= \begin{pmatrix} A_1 C_1 & C_1 A_2 & C_1 A_3 \\ A_1 C_2 & A_2 C_2 & C_2 A_3 \end{pmatrix}$$



```
kronecker_product(A1,C1);
```

kronecker\_product 関数を使用して下記を求める。

$$\begin{aligned} A^T \otimes C &= \begin{pmatrix} A_1 \\ A_2 \\ A_3 \end{pmatrix} \otimes \begin{pmatrix} C_1 \\ C_2 \end{pmatrix} \\ &= \begin{pmatrix} A_1 \begin{pmatrix} C_1 \\ C_2 \end{pmatrix} \\ A_2 \begin{pmatrix} C_1 \\ C_2 \end{pmatrix} \\ A_3 \begin{pmatrix} C_1 \\ C_2 \end{pmatrix} \end{pmatrix} = \begin{pmatrix} A_1 C_1 \\ A_1 C_2 \\ C_1 A_2 \\ A_2 C_2 \\ C_1 A_3 \\ C_2 A_3 \end{pmatrix} \end{aligned}$$

```
kronecker_product(transpose(A1),
transpose(C1));
```

```
kronecker_product(A1,E1);
```

kronecker\_product 関数を使用して下記を求める。

$$\begin{aligned} E \otimes D &= \begin{pmatrix} E_{11} & E_{12} \\ E_{21} & E_{22} \end{pmatrix} \otimes \begin{pmatrix} D_{11} & D_{12} & D_{13} \\ D_{21} & D_{22} & D_{23} \\ D_{31} & D_{32} & D_{33} \end{pmatrix} \\ &= \begin{pmatrix} E_{11} \begin{pmatrix} D_{11} & D_{12} & D_{13} \\ D_{21} & D_{22} & D_{23} \\ D_{31} & D_{32} & D_{33} \end{pmatrix} & E_{12} \begin{pmatrix} D_{11} & D_{12} & D_{13} \\ D_{21} & D_{22} & D_{23} \\ D_{31} & D_{32} & D_{33} \end{pmatrix} \\ E_{21} \begin{pmatrix} D_{11} & D_{12} & D_{13} \\ D_{21} & D_{22} & D_{23} \\ D_{31} & D_{32} & D_{33} \end{pmatrix} & E_{22} \begin{pmatrix} D_{11} & D_{12} & D_{13} \\ D_{21} & D_{22} & D_{23} \\ D_{31} & D_{32} & D_{33} \end{pmatrix} \end{pmatrix} \\ &= \begin{pmatrix} D_{11} E_{11} & E_{11} D_{12} & E_{11} D_{13} & D_{11} E_{12} & D_{12} E_{12} & E_{12} D_{13} \\ E_{11} D_{21} & E_{11} D_{22} & E_{11} D_{23} & E_{12} D_{21} & E_{12} D_{22} & E_{12} D_{23} \\ E_{11} D_{31} & E_{11} D_{32} & E_{11} D_{33} & E_{12} D_{31} & E_{12} D_{32} & E_{12} D_{33} \\ D_{11} E_{21} & D_{12} E_{21} & D_{13} E_{21} & D_{11} E_{22} & D_{12} E_{22} & D_{13} E_{22} \\ D_{21} E_{21} & E_{21} D_{22} & E_{21} D_{23} & D_{21} E_{22} & D_{22} E_{22} & E_{22} D_{23} \\ E_{21} D_{31} & E_{21} D_{32} & E_{21} D_{33} & E_{22} D_{31} & E_{22} D_{32} & E_{22} D_{33} \end{pmatrix} \end{aligned}$$

kronecker\_product 関数を使用して下記を求める。

$$\begin{aligned} A^T \otimes C^T &= \begin{pmatrix} A_1 & A_2 & A_3 \end{pmatrix} \otimes \begin{pmatrix} C_1 & C_2 \end{pmatrix} \\ &= \begin{pmatrix} A_1 \begin{pmatrix} C_1 & C_2 \end{pmatrix} & A_2 \begin{pmatrix} C_1 & C_2 \end{pmatrix} & A_3 \begin{pmatrix} C_1 & C_2 \end{pmatrix} \end{pmatrix} \\ &= \begin{pmatrix} A_1 C_1 & A_1 C_2 & C_1 A_2 & A_2 C_2 & C_1 A_3 & C_2 A_3 \end{pmatrix} \end{aligned}$$

```
kronecker_product(A1,E1);
```

kronecker\_product 関数を使用して下記を求める。

$$\begin{aligned} A \otimes E &= \begin{pmatrix} A_1 \\ A_2 \\ A_3 \end{pmatrix} \otimes \begin{pmatrix} E_{11} & E_{12} \\ E_{21} & E_{22} \end{pmatrix} \\ &= \begin{pmatrix} A_1 \begin{pmatrix} E_{11} & E_{12} \\ E_{21} & E_{22} \end{pmatrix} \\ A_2 \begin{pmatrix} E_{11} & E_{12} \\ E_{21} & E_{22} \end{pmatrix} \\ A_3 \begin{pmatrix} E_{11} & E_{12} \\ E_{21} & E_{22} \end{pmatrix} \end{pmatrix} = \begin{pmatrix} A_1 E_{11} & A_1 E_{12} \\ A_1 E_{21} & A_1 E_{22} \\ A_2 E_{11} & A_2 E_{12} \\ A_2 E_{21} & A_2 E_{22} \\ A_3 E_{11} & A_3 E_{12} \\ A_3 E_{21} & A_3 E_{22} \end{pmatrix} \end{aligned}$$

## 4.6.9 テンソル積

## (1) ベクトルのテンソル積の定義

$n$ 次元線形空間:  $A$ とし、その基底:  $\vec{a}_1, \vec{a}_2, \dots, \vec{a}_n$ 、ベクトル:  $\vec{A}$ とする。また、 $m$ 次元線形空間:  $B$ とし、その基底:  $\vec{b}_1, \vec{b}_2, \dots, \vec{b}_m$ 、ベクトル:  $\vec{B}$ とする。 $\vec{a}, \vec{b}$ は、

$$\begin{aligned}\vec{A} &= A^1 \vec{a}_1 + A^2 \vec{a}_2 + \dots + A^n \vec{a}_n \\ \vec{B} &= B^1 \vec{b}_1 + B^2 \vec{b}_2 + \dots + B^m \vec{b}_m\end{aligned}\quad (4.6.90)$$

上記のテンソル積:  $A \otimes B$ を以下で定義する。

$$A \otimes B = \sum_{i=1}^n \sum_{j=1}^m A^i B^j \vec{a}_i \otimes \vec{b}_j = \sum_{i=1}^n \sum_{j=1}^m S^{ij} \vec{a}_i \otimes \vec{b}_j \quad (4.6.91)$$

```
kill(all);
load("vect")$
A1:A=A^"1"*a[1]+A^"2"*a[2]+A^"3"*a[3];
AD1:AD=A^"1"*a[1]+A^"2"*a[2]+A^"3"*a[3];
B1:B=B^"1"*b[1]+B^"2"*b[2]+B^"3"*b[3];
C1:C=C^"1"*c[1]+C^"2"*c[2]+C^"3"*c[3];
MA1:matrix([A^"1"],[A^"2"],[A^"3"]);
MAD1:matrix([A^"1"],[A^"2"],[A^"3"]);
MAT1:matrix([a[1]],[a[2]],[a[3]]);
MB1:matrix([B^"1"],[B^"2"],[B^"3"]);
MBT1:matrix([b[1]],[b[2]],[b[3]]);
MC1:matrix([C^"1"],[C^"2"],[C^"3"]);
MCT1:matrix([c[1]],[c[2]],[c[3]]);
A=transpose(MA1).(MAT1);
B=transpose(MB1).(MBT1);
SM1:A1*B1;
expand(%);
AB1:MA1.transpose(MB1);
ABT1:MAT1.transpose(MBT1);
AB1*ABT1;
SM2:sum(sum(%[i][j],i,1,3),j,1,3);
rhs(SM1)-SM2;
factor(%);
```

いま、ベクトル:  $\vec{A}, \vec{B}$ を下記とすると、

$$\begin{aligned}\vec{A} &= \vec{a}_3 A^3 + \vec{a}_2 A^2 + \vec{a}_1 A^1 \\ \vec{B} &= \vec{b}_3 B^3 + \vec{b}_2 B^2 + \vec{b}_1 B^1\end{aligned}\quad (4.6.92)$$

線形空間:  $A$ の基底:  $\vec{a}_1, \vec{a}_2, \vec{a}_3$ と線形空間:  $B$ の基底:  $\vec{b}_1, \vec{b}_2, \vec{b}_3$ を基に  $a_1 \otimes b_1, a_1 \otimes b_2, a_1 \otimes b_3, b_1 \otimes a_2, a_2 \otimes b_2, a_2 \otimes b_3, b_1 \otimes a_3, b_2 \otimes a_3, a_3 \otimes b_3$ の9個の基底とした線形空間  $A \otimes B$ とし、 $A$ と $B$ のテンソル積という。具

体的には、このテンソル積は下記の  $\vec{A}$ と $\vec{B}$ の積の展開で表わされる。

$$\begin{aligned}A \otimes B &= A^3 B^3 \vec{a}_3 \otimes \vec{b}_3 + A^2 B^3 \vec{a}_2 \otimes \vec{b}_3 \\ &\quad + A^1 B^3 \vec{a}_1 \otimes \vec{b}_3 + A^3 B^2 \vec{a}_3 \otimes \vec{b}_2 \\ &\quad + A^2 B^2 \vec{a}_2 \otimes \vec{b}_2 + A^1 B^2 \vec{a}_1 \otimes \vec{b}_2 \\ &\quad + A^3 B^1 \vec{a}_3 \otimes \vec{b}_1 + A^2 B^1 \vec{a}_2 \otimes \vec{b}_1 \\ &\quad + A^1 B^1 \vec{a}_1 \otimes \vec{b}_1 \\ &= \sum_{i=1}^3 \sum_{j=1}^3 A^i B^j \vec{a}_i \otimes \vec{b}_j\end{aligned}\quad (4.6.93)$$

$S^{ij} = A^i B^j$ は下記のベクトルの内積で得られる。

$$S^{ij} = \begin{pmatrix} A^1 \\ A^2 \\ A^3 \end{pmatrix} \cdot \begin{pmatrix} B^1 \\ B^2 \\ B^3 \end{pmatrix}^T = \begin{pmatrix} A^1 B^1 & A^1 B^2 & A^1 B^3 \\ A^2 B^1 & A^2 B^2 & A^2 B^3 \\ A^3 B^1 & A^3 B^2 & A^3 B^3 \end{pmatrix}\quad (4.6.94)$$

上記の係数に対応した9個の基底も同様に基底の内積で得られる。

$$\begin{pmatrix} \vec{a}_1 \\ \vec{a}_2 \\ \vec{a}_3 \end{pmatrix} \cdot \begin{pmatrix} \vec{b}_1 \\ \vec{b}_2 \\ \vec{b}_3 \end{pmatrix}^T = \begin{pmatrix} \vec{a}_1 \otimes \vec{b}_1 & \vec{a}_1 \otimes \vec{b}_2 & \vec{a}_1 \otimes \vec{b}_3 \\ \vec{a}_2 \otimes \vec{b}_1 & \vec{a}_2 \otimes \vec{b}_2 & \vec{a}_2 \otimes \vec{b}_3 \\ \vec{a}_3 \otimes \vec{b}_1 & \vec{a}_3 \otimes \vec{b}_2 & \vec{a}_3 \otimes \vec{b}_3 \end{pmatrix}\quad (4.6.95)$$

以上から、 $A \otimes B$ の各項は、(4.6.94)式と(4.6.95)式のテンソルの内積で得られる。

(2) ベクトルのテンソル積の双線形性

いま、ベクトル:  $\vec{A}, \vec{A}', \vec{B}$  を下記とし、 $\vec{A}, \vec{A}'$  は共通の基底とする。ここで、 $P, Q$  は定数とする。

$$\begin{aligned} \vec{A} &= A^1 \vec{a}_1 + A^2 \vec{a}_2 + \dots + A^n \vec{a}_n \\ \vec{A}' &= A^{1'} \vec{a}_1 + A^{2'} \vec{a}_2 + \dots + A^{n'} \vec{a}_n \\ \vec{B} &= B^1 \vec{b}_1 + B^2 \vec{b}_2 + \dots + B^m \vec{b}_m \end{aligned} \quad (4.6.96)$$

上式から、

$$\begin{aligned} &(P \vec{A} + Q \vec{A}') \otimes B \\ &= \left( P \sum_{i=1}^n A^i \vec{a}_i + Q \sum_{i=1}^n A^{i'} \vec{a}_i \right) \otimes \left( \sum_{j=1}^m B^j \vec{b}_j \right) \\ &= \left( \sum_{i=1}^n (P A^i + Q A^{i'}) \vec{a}_i \right) \otimes \left( \sum_{j=1}^m B^j \vec{b}_j \right) \\ &= \sum_{i=1}^n \sum_{j=1}^m P A^i B^j \vec{a}_i \otimes \vec{b}_j \\ &\quad + \sum_{i=1}^n \sum_{j=1}^m Q A^{i'} B^j \vec{a}_i \otimes \vec{b}_j \\ &= P \vec{A} \otimes B + Q \vec{A}' \otimes B \end{aligned} \quad (4.6.97)$$

(3) ベクトルのテンソル積の非可換性

$$A \otimes B \neq B \otimes A \quad (4.6.98)$$

いま、(4.6.96) 式の共通の基底ベクトルのテンソル積でも、一般に  $A^i A^{j'} \neq A^{i'} A^j$  であるから可換性はない。

(4) テンソル空間

```
kill(all);
A1:A=A^"1"*e[1]+A^"2"*e[2]+A^"3"*e[3];
B1:B=B^"1"*e[1]+B^"2"*e[2];
C1:C=C^"1"*e[1]+C^"3"*e[3];
D1:D=D[1]*e^"1"+D[2]*e^"2";
A1*B1;
AB1:expand(%);
```

反変ベクトル:  $A, B$  を下記とすると、

$$\begin{aligned} A &= \vec{e}_3 A^3 + \vec{e}_2 A^2 + \vec{e}_1 A^1 \\ B &= \vec{e}_2 B^2 + \vec{e}_1 B^1 \end{aligned}$$

上記のテンソル積は、

$$\begin{aligned} A \otimes B &= (A^3 \vec{e}_3 + A^2 \vec{e}_2 + A^1 \vec{e}_1) (B^2 \vec{e}_2 + B^1 \vec{e}_1) \\ &= A^3 B^2 \vec{e}_3 \otimes \vec{e}_2 + A^2 B^2 \vec{e}_2 \otimes \vec{e}_2 \\ &\quad + A^1 B^2 \vec{e}_1 \otimes \vec{e}_2 + A^3 B^1 \vec{e}_3 \otimes \vec{e}_1 \\ &\quad + A^2 B^1 \vec{e}_2 \otimes \vec{e}_1 + A^1 B^1 \vec{e}_1 \otimes \vec{e}_1 \end{aligned}$$

上記の  $\vec{e}_1, \vec{e}_2$  などの2個の基底ベクトルで作る  $\vec{e}_1 \otimes \vec{e}_2$  などの6個の組み合わせを基底とした6次元線形空間を  $T^2(V)$  と表し、2階の反変テンソル空間という。

```
AB1*C1;
expand(%);
```

反変ベクトル:  $C$  を下記とすると、

$$C = C^3 \vec{e}_3 + C^1 \vec{e}_1$$

$$(A \otimes B) \otimes C$$

$$\begin{aligned} &= (A^3 B^2 \vec{e}_3 \otimes \vec{e}_2 + A^2 B^2 \vec{e}_2 \otimes \vec{e}_2 \\ &\quad + A^1 B^2 \vec{e}_1 \otimes \vec{e}_2 + A^3 B^1 \vec{e}_3 \otimes \vec{e}_1 \\ &\quad + A^2 B^1 \vec{e}_2 \otimes \vec{e}_1 + A^1 B^1 \vec{e}_1 \otimes \vec{e}_1) \\ &\quad \otimes (C^3 \vec{e}_3 + C^1 \vec{e}_1) \\ &= A^3 B^2 C^3 \vec{e}_3 \otimes \vec{e}_2 \otimes \vec{e}_3 + A^2 B^2 C^3 \vec{e}_2 \otimes \vec{e}_2 \otimes \vec{e}_3 \\ &\quad + A^1 B^2 C^3 \vec{e}_1 \otimes \vec{e}_2 \otimes \vec{e}_3 + A^3 B^1 C^3 \vec{e}_3 \otimes \vec{e}_1 \otimes \vec{e}_3 \\ &\quad + A^2 B^1 C^3 \vec{e}_2 \otimes \vec{e}_1 \otimes \vec{e}_3 + A^1 B^1 C^3 \vec{e}_1 \otimes \vec{e}_1 \otimes \vec{e}_3 \\ &\quad + A^3 B^2 C^1 \vec{e}_3 \otimes \vec{e}_2 \otimes \vec{e}_1 + A^2 B^2 C^1 \vec{e}_2 \otimes \vec{e}_2 \otimes \vec{e}_1 \\ &\quad + A^1 B^2 C^1 \vec{e}_1 \otimes \vec{e}_2 \otimes \vec{e}_1 + A^3 B^1 C^1 \vec{e}_3 \otimes \vec{e}_1 \otimes \vec{e}_1 \\ &\quad + A^2 B^1 C^1 \vec{e}_2 \otimes \vec{e}_1 \otimes \vec{e}_1 + A^1 B^1 C^1 \vec{e}_1 \otimes \vec{e}_1 \otimes \vec{e}_1 \end{aligned}$$

上記の  $\vec{e}_1, \vec{e}_2, \vec{e}_3$  などの3個の基底ベクトルで作る  $\vec{e}_1 \otimes \vec{e}_2 \otimes \vec{e}_3$  などの12個の組み合わせを基底とした12

次元線形空間を  $T^3(V)$  と表し、3階の反変テンソル空間という。また、共変ベクトルのみによるテンソル積の空間を共変テンソル空間という。

```
A1*D1;
expand(%);
```

共変ベクトル： $D$  を下記とすると、

$$D = D_2 \vec{e}^2 + D_1 \vec{e}^1$$

反変テンソル： $A$  と共変ベクトル： $D$  のテンソル積は、

$$\begin{aligned} A \otimes D &= (A^3 \vec{e}_3 + A^2 \vec{e}_2 + A^1 \vec{e}_1) \otimes (D_2 \vec{e}^2 + D_1 \vec{e}^1) \\ &= A^3 D_2 \vec{e}_3 \vec{e}^2 + A^3 D_1 \vec{e}_3 \vec{e}^1 \\ &\quad + A^2 D_2 \vec{e}_2 \vec{e}^2 + A^2 D_1 \vec{e}_2 \vec{e}^1 \\ &\quad + A^1 D_2 \vec{e}_1 \vec{e}^2 + A^1 D_1 \vec{e}_1 \vec{e}^1 \end{aligned}$$

上記で1個の基底ベクトルと1個の双対基底ベクトルのテンソル積の6個の組み合わせを基底とした6次元線形空間を、 $T_1^1(V)$  と表し、1階反変・1階共変のテンソル空間という。

### 4.6.10 テンソル積の座標変換 (基底の取り換え)

下記のテンソル積の座標変換を行う。

$$V = \sum_{i=1}^n \sum_{j=1}^m S^{ij} \vec{e}_i \otimes \vec{e}_j \quad (4.6.99)$$

```
kill(all);
load("vect")$
load("linearalgebra")$
load(itensor)$
EBV2:matrix([e[1]],[e[2]]);
EBVT2:matrix([e["1'"]],[e["2'"]]);
ATRT2:matrix([A["1'"]^(" 1"),A["1'"]^(" 2")],[A["2'"]^(" 1"),A["2'"]^(" 2")]);
BTRT2:matrix([Av["1'"]^(" 1'"),Av["1'"]^(" 2'")],[Av["2'"]^(" 1'"),Av["2'"]^(" 2'")]);
S2:matrix([S^("11"),S^("12")],[S^("21"),S^("22")]);
TRE2:EBVT2=ATRT2.EBV2;
TRE21:EBV2=BTRT2.EBVT2;
TRE22:subst([e=f,Av=D],TRE21);
EBV22:subst([e=f,Av=D],EBV2);
BTRT22:subst([e=f,Av=D],BTRT2);
EBVT22:subst([e=f,Av=D],EBVT2);
kronecker_product(lhs(TRE21),transpose(lhs(TRE22)))=kronecker_product(rhs(TRE21),transpose(rhs(TRE22)));
```

```
S2*%;
sum(sum(lhs(%) [i] [j], i, 1, 2), j, 1, 2)=sum(sum(rhs(%) [i] [j], i, 1, 2), j, 1, 2);
Y1:expand(%) ;
```

$m, n$  が大きい数字では式が煩雑になるので、 $m = 2, n = 2$  の場合について、下記の  $\vec{e}_i \rightarrow \vec{e}'_i$  の座標変換を行ったときのテンソル積:  $V$  を求める。 $\vec{e}_i$  と  $\vec{e}'_i$  の関係は (4.6.54) 式から、

$$\begin{pmatrix} \vec{e}'_1 \\ \vec{e}'_2 \end{pmatrix} = \begin{pmatrix} A_{1'}^1 & A_{1'}^2 \\ A_{2'}^1 & A_{2'}^2 \end{pmatrix} \cdot \begin{pmatrix} \vec{e}_1 \\ \vec{e}_2 \end{pmatrix} = \begin{pmatrix} e_2 A_{1'}^2 + e_1 A_{1'}^1 \\ e_2 A_{2'}^2 + e_1 A_{2'}^1 \end{pmatrix} \quad (4.6.100)$$

上式から  $\vec{e}_i$  を求めるには (4.6.55) 式から、

$$\begin{pmatrix} \vec{e}_1 \\ \vec{e}_2 \end{pmatrix} = \begin{pmatrix} Av_1^{1'} & Av_1^{2'} \\ Av_2^{1'} & Av_2^{2'} \end{pmatrix} \cdot \begin{pmatrix} \vec{e}'_1 \\ \vec{e}'_2 \end{pmatrix} = \begin{pmatrix} Av_1^{2'} e_{2'} + Av_1^{1'} e_{1'} \\ e_{1'} Av_2^{1'} + Av_2^{2'} e_{2'} \end{pmatrix}$$

ここで、 $\begin{pmatrix} Av_1^{1'} & Av_1^{2'} \\ Av_2^{1'} & Av_2^{2'} \end{pmatrix} = \begin{pmatrix} A_{1'}^1 & A_{1'}^2 \\ A_{2'}^1 & A_{2'}^2 \end{pmatrix}^{-1}$  (4.6.101)

上式を基に  $\vec{e}_i \otimes \vec{e}_j$  を求めると下記となる。

$$\begin{aligned} \vec{e}_i \otimes \vec{e}_j &= \begin{pmatrix} \vec{e}'_1 \\ \vec{e}'_2 \end{pmatrix} \cdot \begin{pmatrix} \vec{e}'_1 \\ \vec{e}'_2 \end{pmatrix}^T = \begin{pmatrix} e_{1'}^2 & e_1 e_2 \\ e_2 e_1 & e_2^2 \end{pmatrix} \\ &= \begin{pmatrix} Av_1^{2'} e_{2'} + Av_1^{1'} e_{1'} \\ e_{1'} Av_2^{1'} + Av_2^{2'} e_{2'} \end{pmatrix} \cdot \begin{pmatrix} Av_1^{2'} e_{2'} + Av_1^{1'} e_{1'} \\ e_{1'} Av_2^{1'} + Av_2^{2'} e_{2'} \end{pmatrix}^T \\ &= \begin{pmatrix} Av_1^{1'} & Av_1^{2'} \\ Av_2^{1'} & Av_2^{2'} \end{pmatrix} \cdot \begin{pmatrix} \vec{e}'_1 \\ \vec{e}'_2 \end{pmatrix} \cdot \begin{pmatrix} \vec{e}'_1 \\ \vec{e}'_2 \end{pmatrix}^T \cdot \begin{pmatrix} Av_1^{1'} & Av_1^{2'} \\ Av_2^{1'} & Av_2^{2'} \end{pmatrix}^T \\ &= \begin{pmatrix} Av_1^{1'} & Av_1^{2'} \\ Av_2^{1'} & Av_2^{2'} \end{pmatrix} \cdot \begin{pmatrix} \vec{e}'_1 & \vec{e}'_2 \\ \vec{e}'_2 & \vec{e}'_1 \end{pmatrix} \cdot \begin{pmatrix} Av_1^{1'} & Av_1^{2'} \\ Av_2^{1'} & Av_2^{2'} \end{pmatrix}^T \end{aligned} \quad (4.6.102)$$

上式は計量テンソルの座標変換: (4.6.83) 式と同じである。上式を展開するにあたり、テンソル積の基底:  $\vec{e}_i \otimes \vec{e}_j$  でその前後を区別する必要があることと、簡略化するため、ベクトル表記の  $\rightarrow$  を省き、次:  $\vec{e}_i \otimes \vec{e}_j \rightarrow e_i f_j$  のように書き換える。即ち、 $e_i$  は前の、 $f_j$  は後ろのテンソル積の基底とする。(4.6.102) 式を展開すると、

$$\begin{pmatrix} e_1 f_1 & e_1 f_2 \\ f_1 e_2 & e_2 f_2 \end{pmatrix} = \begin{pmatrix} (Av_1^{2'} e_{2'} + Av_1^{1'} e_{1'}) & (Av_1^{2'} f_{2'} + Av_1^{1'} f_{1'}) \\ (Av_1^{2'} f_{2'} + Av_1^{1'} f_{1'}) & (e_{1'} Av_2^{1'} + Av_2^{2'} e_{2'}) \end{pmatrix} \begin{pmatrix} (Av_1^{2'} e_{2'} + Av_1^{1'} e_{1'}) & (f_{1'} Av_2^{1'} + Av_2^{2'} f_{2'}) \\ (e_{1'} Av_2^{1'} + Av_2^{2'} e_{2'}) & (f_{1'} Av_2^{1'} + Av_2^{2'} f_{2'}) \end{pmatrix}$$

$S^{ij}$  を下記として、上式に次式のテンソル内積をし、各項目の和をとると (4.6.102) 式の  $V$  が得られ、次式となる。

$$S = \begin{pmatrix} S^{11} & S^{12} \\ S^{21} & S^{22} \end{pmatrix}$$

$$\begin{aligned} V &= \sum_{i=1}^2 \sum_{j=1}^2 S^{ij} \vec{e}_i \otimes \vec{e}_j = e_2 f_2 S^{22} + f_1 e_2 S^{21} + e_1 f_2 S^{12} + e_1 f_1 S^{11} \\ &= e_{1'} f_{1'} Av_2^{1'} Av_2^{1'} S^{22} + e_{1'} Av_2^{1'} Av_2^{2'} f_{2'} S^{22} + Av_2^{2'} Av_2^{2'} e_{2'} f_{2'} S^{22} + f_{1'} Av_2^{2'} Av_2^{1'} e_{2'} S^{22} \\ &\quad + Av_1^{1'} e_{1'} f_{1'} Av_2^{1'} S^{21} + Av_1^{2'} e_{1'} Av_2^{1'} f_{2'} S^{21} + Av_1^{2'} Av_2^{2'} e_{2'} f_{2'} S^{21} + Av_1^{1'} f_{1'} Av_2^{2'} e_{2'} S^{21} \\ &\quad + Av_1^{1'} e_{1'} f_{1'} Av_2^{1'} S^{12} + Av_1^{1'} e_{1'} Av_2^{2'} f_{2'} S^{12} + Av_1^{2'} Av_2^{2'} e_{2'} f_{2'} S^{12} + Av_1^{2'} f_{1'} Av_2^{1'} e_{2'} S^{12} \\ &\quad + Av_1^{2'} Av_1^{2'} e_{2'} f_{2'} S^{11} + Av_1^{1'} Av_1^{1'} e_{1'} f_{1'} S^{11} + Av_1^{2'} Av_1^{1'} f_{1'} e_{2'} S^{11} + Av_1^{1'} Av_1^{1'} e_{1'} f_{1'} S^{11} \end{aligned} \quad (4.6.103)$$

## 4.6.11 縮約記法

アインシュタインの縮約記法は  $\sum_{i=1}^3 a_i b^i$  を  $\sum$  を省略して、 $a_i b^i$  と表す記法です。これによると、これまで示してきたベクトルやテンソルの演算が簡単な表記となり、各表記が前後してもかまいません。ただ、総和をとるときの添え字の振り方、これが演算の方法を決めるので、注意を払う必要があります。ここでは、例題で添え字の振り方を示します。Maxima で添え字をうまく扱う関数として *ishow* があります。これを使うときには *itensor* を予め読み込む必要があります。

*ishow* は、下記のように、上付き、下付きを入力します。

```
ishow([下付き],[上付き],下付き)
```

例として、

```
kill(all);
load(itensor);
ishow(a([i,j],[k,l],m,n)*b([k,o],[j,m,p],q,r));
```

下記が出力される。

$$a_{ij,mn}^{kl} b_{ko,qr}^{jmp}$$

$$a([i,j],[k,l],m,n) b([k,o],[j,m,p],q,r)$$

以降、基底： $\vec{e}_i \otimes \vec{e}_j \otimes \vec{e}_k$  などの基底表現を Maxima 使用上と簡略化のため、ベクトル表記の  $\rightarrow$  を省き、 $\vec{e}_i \otimes \vec{e}_j \otimes \vec{e}_k \rightarrow e_i f_j g^k$  のように書き換える。即ち、 $e_i$  は前の、 $f_j$  はその後ろ、 $g^k$  はさらにその後ろの基底のテンソル積とする。また、座標変換の基底： $\vec{e}_i'$  の'が Maxima の添え字関数：*ishow* で使用できないので、基底： $\vec{e}_i' \rightarrow u_i$  とし、この後ろのテンソル積を  $v_j$ 、さらにその後ろを  $w_k$  と表す。

## (1)2 階反変テンソル積

```
kill(all);
load("vect")$
load("linearalgebra")$
load(itensor)$
S1:matrix([S^11,S^12],[S^21,S^22]);
EBV2:matrix([e[1]],[e[2]]);
EBV3:matrix([e[1]],[e[2]],[e[3]]);
EBV2;
EBV2F:subst([e=f],EBV2);
EBV2G:subst([e=g],EBV2);
EBV2.transpose(EBV2F);
S1*%;
sum(sum(lhs(%) [i] [j], i, 1, 2), j, 1, 2);
X1:expand(%);
```

$$\sum_{i=1}^2 \sum_{j=1}^2 S^{ij} \vec{e}_i \otimes \vec{e}_j$$

上式をベクトル表記すると、

$$\begin{aligned} \begin{pmatrix} S^{11} & S^{12} \\ S^{21} & S^{22} \end{pmatrix} &: \left( \begin{pmatrix} e_1 \\ e_2 \end{pmatrix} \cdot \begin{pmatrix} f_1 \\ f_2 \end{pmatrix}^T \right) \\ &= \begin{pmatrix} S^{11} & S^{12} \\ S^{21} & S^{22} \end{pmatrix} : \begin{pmatrix} e_1 f_1 & e_1 f_2 \\ f_1 e_2 & e_2 f_2 \end{pmatrix} \\ &= \begin{pmatrix} e_1 f_1 S^{11} & e_1 f_2 S^{12} \\ f_1 e_2 S^{21} & e_2 f_2 S^{22} \end{pmatrix} \end{aligned}$$

上記の結果の各項の和をとると、

$$e_2 f_2 S^{22} + f_1 e_2 S^{21} + e_1 f_2 S^{12} + e_1 f_1 S^{11}$$

```
LI1:S([], [i,j])*e([i],[j])*f([j],[i]);
ishow(LI1);
X2:sum(sum(LI1,i,1,2),j,1,2);
ishow(X2);
```

入力結果として、縮約表記は、

$$S^{ij} e_i f_j \quad (4.6.104)$$

和の *ishow* 出力結果は下記となり、上記と同じ結果である。

$$S^{22} e_2 f_2 + S^{12} e_1 f_2 + S^{21} f_1 e_2 + S^{11} e_1 f_1$$

## (2)3 階反変テンソル積

$S = \sum_{i=1}^3 \sum_{j=1}^3 S^{ij} \vec{e}_i \otimes \vec{f}_j$  と  $T = \sum_{k=1}^2 T^k \vec{g}_k$  のテンソル積を求める。

```
S2:matrix([S^11,S^12,S^13],[S^21,S^22,
  S^23],[S^31,S^32,S^33]);
T2:matrix([T^"1"],[T^"2"]);
EBV3;
EBV3F:subst([e=f],EBV3);
kronecker_product(EBV3,transpose(EBV3F));
X0:S2*%;
kronecker_product(%,T2*EBV2G);
sum(sum(lhs(%) [i] [j], i, 1, 6), j, 1, 3);
X1:expand(%)
```

$$S' = \begin{pmatrix} S^{11} & S^{12} & S^{13} \\ S^{21} & S^{22} & S^{23} \\ S^{31} & S^{32} & S^{33} \end{pmatrix} : \begin{pmatrix} e_1 \\ e_2 \\ e_3 \end{pmatrix} \cdot \begin{pmatrix} f_1 \\ f_2 \\ f_3 \end{pmatrix}^T$$

$$= \begin{pmatrix} e_1 f_1 S^{11} & e_1 f_2 S^{12} & e_1 f_3 S^{13} \\ f_1 e_2 S^{21} & e_2 f_2 S^{22} & e_2 f_3 S^{23} \\ f_1 e_3 S^{31} & f_2 e_3 S^{32} & e_3 f_3 S^{33} \end{pmatrix}$$

$$T' = \begin{pmatrix} T^1 \\ T^2 \end{pmatrix} : \begin{pmatrix} g_1 \\ g_2 \end{pmatrix} = \begin{pmatrix} g_1 T^1 \\ g_2 T^2 \end{pmatrix}$$

上式のクロネッカー積をとり、

$$S' \otimes T' = \begin{pmatrix} e_1 f_1 g_1 S^{11} T^1 & e_1 g_1 f_2 S^{12} T^1 & e_1 g_1 f_3 S^{13} T^1 \\ e_1 f_1 g_2 S^{11} T^2 & e_1 f_2 g_2 S^{12} T^2 & e_1 g_2 f_3 S^{13} T^2 \\ f_1 g_1 e_2 S^{21} T^1 & g_1 e_2 f_2 S^{22} T^1 & g_1 e_2 f_3 S^{23} T^1 \\ f_1 e_2 g_2 S^{21} T^2 & e_2 f_2 g_2 S^{22} T^2 & e_2 g_2 f_3 S^{23} T^2 \\ f_1 g_1 e_3 S^{31} T^1 & g_1 f_2 e_3 S^{32} T^1 & g_1 e_3 f_3 S^{33} T^1 \\ f_1 g_2 e_3 S^{31} T^2 & f_2 g_2 e_3 S^{32} T^2 & g_2 e_3 f_3 S^{33} T^2 \end{pmatrix}$$

上式の各項の和から、

$$S \otimes T = g_2 e_3 f_3 S^{33} T^2 + f_2 g_2 e_3 S^{32} T^2 + f_1 g_2 e_3 S^{31} T^2 + e_2 g_2 f_3 S^{23} T^2 + e_2 f_2 g_2 S^{22} T^2 + f_1 e_2 g_2 S^{21} T^2$$

$$+ e_1 g_2 f_3 S^{13} T^2 + e_1 f_2 g_2 S^{12} T^2 + e_1 f_1 g_2 S^{11} T^2 + g_1 e_3 f_3 S^{33} T^1 + g_1 f_2 e_3 S^{32} T^1 + f_1 g_1 e_3 S^{31} T^1$$

$$+ g_1 e_2 f_3 S^{23} T^1 + g_1 e_2 f_2 S^{22} T^1 + f_1 g_1 e_2 S^{21} T^1 + e_1 g_1 f_3 S^{13} T^1 + e_1 g_1 f_2 S^{12} T^1 + e_1 f_1 g_1 S^{11} T^1$$

```
LI1:S([], [i, j])*e([i], [])*f([j], [])
  *T([], [k])*g([k], []);
ishow(LI1);
X2:sum(sum(sum(LI1, i, 1, 3), j, 1, 3), k, 1, 2);
ishow(X2);
```

入力結果として、縮約表記は、

$$S^{ij} T^k e_i f_j g_k \quad (4.6.105)$$

和の ishow 出力結果は下記となり、上記と同じ結果である。

$$S \otimes T = T^2 S^{33} g_2 e_3 f_3 + T^1 S^{33} g_1 e_3 f_3 + T^2 S^{23} e_2 g_2 f_3 + S^{13} T^2 e_1 g_2 f_3 + T^1 S^{23} g_1 e_2 f_3 + T^1 S^{13} e_1 g_1 f_3$$

$$+ T^2 S^{32} f_2 g_2 e_3 + T^2 S^{31} f_1 g_2 e_3 + T^1 S^{32} g_1 f_2 e_3 + T^1 S^{31} f_1 g_1 e_3 + T^2 S^{22} e_2 f_2 g_2 + S^{12} T^2 e_1 f_2 g_2$$

$$+ T^2 S^{21} f_1 e_2 g_2 + S^{11} T^2 e_1 f_1 g_2 + T^1 S^{22} g_1 e_2 f_2 + T^1 S^{12} e_1 g_1 f_2 + T^1 S^{21} f_1 g_1 e_2 + T^1 S^{11} e_1 f_1 g_1$$

## (3) 基底の座標変換

```

EDBV2:matrix([e^"1"],[e^"2"]);
EPBV2:matrix([u[1]],[u[2]]);
EDPBV2:matrix([u^"1"],[u^"2"]);
A1:matrix([A[1]^"1",A[1]^"2"],
[A[2]^"1",A[2]^"2"]);
B1:matrix([B[1]^"1",B[2]^"1"],
[B[1]^"2",B[2]^"2"]);
AI1:matrix([Av[1]^("1"),Av[1]^("2")],
[Av[2]^("1"),Av[2]^("2")]);
BI1:matrix([Bv[1]^("1"),Bv[2]^("1")],
[Bv[1]^("2"),Bv[2]^("2")]);
EPBV2=A1.EBV2;
EBV2=AI1.EPBV2;
EDBV2=BI1.EDPBV2;

```

(4.6.53) 式、(4.6.54) 式 (4.6.55) 式から、`ishow` では ' が添え字として使えないため、基底： $\vec{e}_1, \vec{e}_2$  を下記の  $\vec{u}_1, \vec{u}_2$  に置き換えて座標変換する。

$$\begin{aligned}\vec{e}_1 &\rightarrow \vec{u}_1 = A_1^1 \vec{e}_1 + A_1^2 \vec{e}_2 \\ \vec{e}_2 &\rightarrow \vec{u}_2 = A_2^1 \vec{e}_1 + A_2^2 \vec{e}_2\end{aligned}\quad (4.6.106)$$

$$\text{縮約表記 } \vec{e}_i = A_i^j \vec{e}_j$$

ベクトル表記すると、

$$\begin{pmatrix} u_1 \\ u_2 \end{pmatrix} = \begin{pmatrix} A_1^1 & A_1^2 \\ A_2^1 & A_2^2 \end{pmatrix} \cdot \begin{pmatrix} e_1 \\ e_2 \end{pmatrix} = \begin{pmatrix} e_1 A_1^1 + A_1^2 e_2 \\ e_2 A_2^1 + e_1 A_2^2 \end{pmatrix}$$

係数マトリックスの逆行列を求め、

$$\begin{pmatrix} A_1^1 & A_1^2 \\ A_2^1 & A_2^2 \end{pmatrix}^{-1} = \begin{pmatrix} Av_1^1 & Av_1^2 \\ Av_2^1 & Av_2^2 \end{pmatrix}\quad (4.6.107)$$

上式に掛けると、

$$\begin{aligned}\begin{pmatrix} e_1 \\ e_2 \end{pmatrix} &= \begin{pmatrix} A_1^1 & A_1^2 \\ A_2^1 & A_2^2 \end{pmatrix}^{-1} \cdot \begin{pmatrix} u_1 \\ u_2 \end{pmatrix} \\ &= \begin{pmatrix} Av_1^1 & Av_1^2 \\ Av_2^1 & Av_2^2 \end{pmatrix} \cdot \begin{pmatrix} u_1 \\ u_2 \end{pmatrix} \\ &= \begin{pmatrix} Av_1^2 u_2 + Av_1^1 u_1 \\ u_1 Av_2^1 + Av_2^2 u_2 \end{pmatrix}\end{aligned}\quad (4.6.108)$$

上式を書き換えると、

$$\begin{aligned}\vec{e}_1 &= Av_1^1 \vec{u}_1 + Av_1^2 \vec{u}_2 \\ \vec{e}_2 &= Av_2^1 \vec{u}_1 + Av_2^2 \vec{u}_2\end{aligned}\quad (4.6.109)$$

$$\text{縮約表記 } \vec{e}_i = Av_i^j \vec{e}_j$$

(4.6.56) 式、(4.6.57) 式、(4.6.58) 式、(4.6.61) 式から、

双対基底： $\vec{e}'_1, \vec{e}'_2$  を  $\vec{u}_1, \vec{u}_2$  に置き換えて座標変換する。

$$\begin{aligned}\vec{e}'_1 &\rightarrow \vec{u}_1 = B_1^1 \vec{e}'_1 + B_1^2 \vec{e}'_2 \\ \vec{e}'_2 &\rightarrow \vec{u}_2 = B_2^1 \vec{e}'_1 + B_2^2 \vec{e}'_2\end{aligned}$$

$$\text{縮約表記 } \vec{e}'_i = B_i^j \vec{e}'_j$$

$$\text{ここで、} \begin{pmatrix} B_1^1 & B_1^2 \\ B_2^1 & B_2^2 \end{pmatrix} = \left( \begin{pmatrix} A_1^1 & A_1^2 \\ A_2^1 & A_2^2 \end{pmatrix}^T \right)^{-1}\quad (4.6.110)$$

ベクトル表記すると、

$$\begin{pmatrix} u^1 \\ u^2 \end{pmatrix} = \begin{pmatrix} B_1^1 & B_1^2 \\ B_2^1 & B_2^2 \end{pmatrix} \cdot \begin{pmatrix} e^1 \\ e^2 \end{pmatrix} = \begin{pmatrix} B_2^1 e^2 + B_1^1 e^1 \\ B_2^2 e^2 + B_1^2 e^1 \end{pmatrix}$$

係数マトリックスの逆行列を求め、

$$\begin{pmatrix} B_1^1 & B_1^2 \\ B_2^1 & B_2^2 \end{pmatrix}^{-1} = \begin{pmatrix} Bv_1^1 & Bv_1^2 \\ Bv_2^1 & Bv_2^2 \end{pmatrix}$$

上式に掛けると、

$$\begin{aligned}\begin{pmatrix} e^1 \\ e^2 \end{pmatrix} &= \begin{pmatrix} B_1^1 & B_1^2 \\ B_2^1 & B_2^2 \end{pmatrix}^{-1} \cdot \begin{pmatrix} u^1 \\ u^2 \end{pmatrix} \\ &= \begin{pmatrix} Bv_1^1 & Bv_1^2 \\ Bv_2^1 & Bv_2^2 \end{pmatrix} \cdot \begin{pmatrix} u^1 \\ u^2 \end{pmatrix} \\ &= \begin{pmatrix} Bv_2^1 u^2 + Bv_1^1 u^1 \\ Bv_2^2 u^2 + Bv_1^2 u^1 \end{pmatrix}\end{aligned}\quad (4.6.111)$$

上式を書き換えると、

$$\begin{aligned}\vec{e}^1 &= Bv_1^1 \vec{u}^1 + Bv_2^1 \vec{u}^2 \\ \vec{e}^2 &= Bv_1^2 \vec{u}^1 + Bv_2^2 \vec{u}^2\end{aligned}\quad (4.6.112)$$

$$\text{縮約表記 } \vec{e}^i = Bv_j^i \vec{e}'_j$$



```

LI1:u([i],[j])=A([i],[j])*e([j],[j]);
ishow(%);
X2:lhs(LI1)=sum(rhs(LI1),j,1,2);
ishow(%);
subst([i=1],X2);
ishow(%);
subst([i=2],X2);
ishow(%);
LI2:e([i],[j])=Av([i],[j])*u([j],[j]);
ishow(%);
X2:lhs(LI2)=sum(rhs(LI2),j,1,2);
ishow(%);
subst([i=1],X2);
ishow(%);
subst([i=2],X2);
ishow(%);

```

基底： $\vec{e}_1, \vec{e}_2$  の座標変換の縮約表記は、

$$\vec{e}_i = \vec{u}_i = A_i^j \vec{e}_j \quad (4.6.113)$$

$$\vec{e}_i = Av_i^j \vec{u}_j = Av_i^j \vec{e}_j \quad (4.6.114)$$

和の ishow 出力結果は下記となり、

$$u_i = e_2 A_i^2 + e_1 A_i^1, \quad e_i = u_2 Av_i^2 + u_1 Av_i^1$$

$i = 1, i = 2$  とすると下記となり、上記と同じ結果である。

$$u_1 = A_1^2 e_2 + e_1 A_1^1, \quad e_1 = Av_1^2 u_2 + u_1 Av_1^1$$

$$u_2 = e_2 A_2^2 + e_1 A_2^1, \quad e_2 = u_2 Av_2^2 + u_1 Av_2^1$$

双対基底： $\vec{e}^1, \vec{e}^2$  の座標変換の縮約表記は、

$$\vec{e}^k = u^k = \vec{e}^l B_l^k \quad (4.6.115)$$

$$\vec{e}^k = u^l Bv_l^k = Bv_l^k \vec{e}^l \quad (4.6.116)$$

和の ishow 出力結果は下記となり、

$$u^k = e^2 B_2^k + e^1 B_1^k, \quad e^k = u^2 Bv_2^k + u^1 Bv_1^k$$

$k = 1, k = 2$  とすると下記となり、上記と同じ結果である。

$$u^1 = e^2 B_2^1 + e^1 B_1^1, \quad e^1 = u^2 Bv_2^1 + u^1 Bv_1^1$$

$$u^2 = e^2 B_2^2 + e^1 B_1^2, \quad e^2 = u^2 Bv_2^2 + u^1 Bv_1^2$$

```

LDI1:u([],[k])=B([1],[k])*e([],[1]);
ishow(%);
X3:lhs(LDI1)=sum(rhs(LDI1),1,1,2);
ishow(%);
subst([k=1],X3);
ishow(%);
subst([k=2],X3);
ishow(%);
LDI2:e([],[k])=Bv([1],[k])*u([],[1]);
ishow(%);
X3:lhs(LDI2)=sum(rhs(LDI2),1,1,2);
ishow(%);
subst([k=1],X3);
ishow(%);
subst([k=2],X3);
ishow(%);

```

## (4) 計量テンソルの座標変換

```
EPBV2V:matrix([v[1]], [v[2]]);
EBV2.transpose(EBV2F);
EPBV2.transpose(EPBV2V)=A1.
%.transpose(subst([A=D], A1));
X1:expand(%);
```

基底:  $\vec{e}_1, \vec{e}_2$  を下記の  $\vec{u}_1, \vec{u}_2$  に座標変換する。

$$\begin{pmatrix} u_1 \\ u_2 \end{pmatrix} = \begin{pmatrix} A_1^1 & A_1^2 \\ A_2^1 & A_2^2 \end{pmatrix} \cdot \begin{pmatrix} e_1 \\ e_2 \end{pmatrix}$$

このとき  $u$  の計量テンソルは、後方の  $u \rightarrow v$  に変

上式の  $(A)^T \rightarrow (D)^T$  を置き換えて、展開し、 $D \rightarrow A$  に置き換えると、

$$\begin{pmatrix} u_1 v_1 & u_1 v_2 \\ v_1 u_2 & u_2 v_2 \end{pmatrix} = \begin{pmatrix} e_1 f_1 A_1^1 A_1^1 + e_1 A_1^1 A_1^2 f_2 + A_1^2 A_1^2 e_2 f_2 + f_1 A_1^2 A_1^1 e_2 & e_1 A_1^1 f_2 A_2^2 + A_1^2 e_2 f_2 A_2^2 + e_1 f_1 A_1^1 A_2^1 + f_1 A_1^2 e_2 A_2^1 \\ A_2^2 e_2 f_2 A_2^2 + f_1 A_1^1 e_2 A_2^2 + e_1 f_1 A_1^1 A_2^1 + e_1 A_1^2 f_2 A_2^1 & e_2 f_2 A_2^2 A_2^2 + e_1 f_2 A_2^1 A_2^2 + f_1 e_2 A_2^2 A_2^1 + e_1 f_1 A_2^1 A_2^1 \end{pmatrix}$$

```
LI1:u([i],[j])=A([i],[m])*e([m],[j]);
ishow(%);
LI2:v([j],[i])=D([j],[n])*f([n],[i]);
ishow(%);
LI3:LI1*LI2;
ishow(lhs(LI3));
ishow(rhs(LI3));
X2:lhs(LI3)=sum(sum(rhs(LI3),m,1,2),
n,1,2);
ishow(%);
subst([i=1,j=1],X2);
ishow(%);
subst([i=1,j=2],X2);
ishow(%);
subst([i=2,j=1],X2);
ishow(%);
subst([i=2,j=2],X2);
ishow(%);
```

換し、

$$\begin{pmatrix} u_1 \\ u_2 \end{pmatrix} \cdot \begin{pmatrix} u_1 \\ u_2 \end{pmatrix}^T \rightarrow \begin{pmatrix} u_1 \\ u_2 \end{pmatrix} \cdot \begin{pmatrix} v_1 \\ v_2 \end{pmatrix}^T = \begin{pmatrix} u_1 v_1 & u_1 v_2 \\ v_1 u_2 & u_2 v_2 \end{pmatrix}$$

$e$  の計量テンソルは、後方の  $e \rightarrow f$  に変換し、

$$\begin{pmatrix} e_1 \\ e_2 \end{pmatrix} \cdot \begin{pmatrix} e_1 \\ e_2 \end{pmatrix} \rightarrow \begin{pmatrix} e_1 \\ e_2 \end{pmatrix} \cdot \begin{pmatrix} f_1 \\ f_2 \end{pmatrix} = \begin{pmatrix} e_1 f_1 & e_1 f_2 \\ f_1 e_2 & e_2 f_2 \end{pmatrix}$$

上記の計量テンソルの座標変換の関係式 (4.6.79) 式から、

$$\begin{pmatrix} u_1 v_1 & u_1 v_2 \\ v_1 u_2 & u_2 v_2 \end{pmatrix} = \begin{pmatrix} A_1^1 & A_1^2 \\ A_2^1 & A_2^2 \end{pmatrix} \cdot \begin{pmatrix} e_1 f_1 & e_1 f_2 \\ f_1 e_2 & e_2 f_2 \end{pmatrix} \cdot \begin{pmatrix} A_1^1 & A_1^2 \\ A_2^1 & A_2^2 \end{pmatrix}^T$$

座標変換の式の縮約表記は、

$$u_i = A_i^m e_m, \quad v_j = A_j^n f_n$$

計量テンソルの座標変換の縮約表記は、

$$g_{ij} = u_i v_j = A_i^m A_j^n e_m f_n = A_i^m A_j^n g_{mn} \quad (4.6.117)$$

和の `ishow` 出力結果は下記となり、

$$u_i v_j = e_2 f_2 A_i^2 A_j^2 + e_1 f_2 A_i^1 A_j^2 + f_1 e_2 A_i^2 A_j^1 + e_1 f_1 A_i^1 A_j^1$$

計量テンソルの縮約表記の  $A_j^n \rightarrow D_j^n$  と置き換え、 $m = 1, 2, n = 1, 2$  の和をとり、 $i = 1, 2, j = 1, 2$  を入力し、 $D \rightarrow A$  と置き換えると下記が得られ、これは上記の結果と一致している。

$$u_1 v_1 = A_1^2 A_1^2 e_2 f_2 + e_1 A_1^1 A_1^2 f_2 + f_1 A_1^1 A_1^2 e_2 + e_1 f_1 A_1^1 A_1^1$$

$$u_1 v_2 = A_1^2 e_2 f_2 A_2^2 + e_1 A_1^1 f_2 A_2^2 + f_1 A_1^2 e_2 A_2^1 + e_1 f_1 A_1^1 A_2^1$$

$$v_1 u_2 = A_1^2 e_2 f_2 A_2^2 + f_1 A_1^1 e_2 A_2^2 + e_1 A_1^2 f_2 A_2^1 + e_1 f_1 A_1^1 A_2^1$$

$$u_2 v_2 = e_2 f_2 A_2^2 A_2^2 + e_1 f_2 A_2^1 A_2^2 + f_1 e_2 A_2^2 A_2^1 + e_1 f_1 A_2^1 A_2^1$$

## (5) テンソル積の座標変換

「4.6.10 テンソル積の座標変換 (基底の取り換え)」の (4.6.99) 式の下記のテンソル積を縮約表記で行う。ここでは  $m = 2, n = 2$  の場合について示す。

$$V = \sum_{i=1}^n \sum_{j=1}^m S^{ij} \vec{e}_i \otimes \vec{e}_j \quad (4.6.118)$$

```
LI1:u([i],[j])=A([i],[j])*e([j],[j]);
ishow(%);
X2:lhs(LI1)=sum(rhs(LI1),j,1,2);
ishow(%);
subst([i=1],X2);
ishow(%);
subst([i=2],X2);
ishow(%);
LI2:e([i],[j])=Av([i],[j])*u([j],[j]);
ishow(%);
X2:lhs(LI2)=sum(rhs(LI2),j,1,2);
ishow(%);
subst([i=1],X2);
ishow(%);
subst([i=2],X2);
ishow(%);
LI3:subst([e=f,Av=Dv,i=k,j=1,u=v],LI2);
ishow(%);
X2:lhs(LI3)=sum(rhs(LI3),1,1,2);
ishow(%);
LI4:S([],[i,k])*e([i],[j])*f([k],[j]);
ishow(LI4);
X2:sum(sum(LI4,i,1,2),k,1,2);
ishow(X2);
LI5:subst([LI2,LI3],LI4);
```

```
ishow(LI5);
X4:sum(sum(sum(sum(LI5,i,1,2),j,1,2),
k,1,2),1,1,2);
ishow(X4);
```

(4.6.106) 式から、ishow では ' が添え字として使えないため、基底:  $\vec{e}_1, \vec{e}_2$  を下記の  $\vec{e}_1' \rightarrow \vec{u}_1, \vec{e}_2' \rightarrow \vec{u}_2$  に置き換えて座標変換する。

$$\begin{aligned} \vec{e}_1' \rightarrow \vec{u}_1 &= A_1^1 \vec{e}_1 + A_1^2 \vec{e}_2 \\ \vec{e}_2' \rightarrow \vec{u}_2 &= A_2^1 \vec{e}_1 + A_2^2 \vec{e}_2 \end{aligned} \quad (4.6.119)$$

上式を縮約表記すると、

$$u_i = A_i^j e_j$$

(4.6.107) 式から下記として、

$$\begin{pmatrix} A_1^1 & A_1^2 \\ A_2^1 & A_2^2 \end{pmatrix}^{-1} = \begin{pmatrix} Av_1^1 & Av_1^2 \\ Av_2^1 & Av_2^2 \end{pmatrix} \quad (4.6.120)$$

$e_j$  を求めると (4.6.109) 式から、

$$\begin{aligned} e_1 &= Av_1^1 u_1 + Av_1^2 u_2 \\ e_2 &= Av_2^1 u_1 + Av_2^2 u_2 \end{aligned} \quad (4.6.121)$$

上式を縮約表記すると、

$$e_i = Av_i^m u_m \quad (4.6.122)$$

(4.6.118) 式の後方の  $e_j$  を上式から  $e \rightarrow f, u \rightarrow v$  の書き換えを行うと、

$$f_j = Av_j^n v_n \quad (4.6.123)$$

(4.6.118) 式のテンソル積を縮約表記すると、

$$S^{ij} e_i f_j$$

上式に (4.6.122) 式、(4.6.123) 式を代入すると、

$$S^{ij} Av_i^m Av_j^n u_m v_n \quad (4.6.124)$$

和の ishow 出力結果に  $Dv \rightarrow Av$  と置き換えると下記となり、(4.6.103) 式と同じ結果が得られた。

$$\begin{aligned} V &= \sum_{i=1}^2 \sum_{j=1}^2 S^{ij} \vec{e}_i \otimes \vec{e}_j = e_2 f_2 S^{22} + f_1 e_2 S^{21} + e_1 f_2 S^{12} + e_1 f_1 S^{11} \\ &= S^{22} u_2 v_2 Av_2^2 Av_2^2 + S^{22} u_1 v_2 Av_2^1 Av_2^2 + S^{12} Av_1^2 u_2 v_2 Av_2^2 + S^{12} u_1 Av_1^1 v_2 Av_2^2 \\ &\quad + S^{22} v_1 u_2 Av_2^1 Av_2^2 + S^{21} Av_1^2 u_2 v_2 Av_2^2 + S^{21} v_1 Av_1^1 u_2 Av_2^2 + S^{22} u_1 v_1 Av_2^1 Av_2^2 \\ &\quad + S^{12} v_1 Av_1^2 u_2 Av_2^2 + S^{12} u_1 v_1 Av_1^1 Av_2^2 + S^{21} u_1 Av_1^2 v_2 Av_2^2 + S^{21} u_1 v_1 Av_1^1 Av_2^2 \\ &\quad + S^{11} Av_1^2 Av_1^2 u_2 v_2 + S^{11} u_1 Av_1^1 Av_1^2 v_2 + S^{11} v_1 Av_1^1 Av_1^2 u_2 + S^{11} u_1 v_1 Av_1^1 Av_1^1 \end{aligned}$$

## 4.6.12 テンソル積の縮合

基底ベクトル： $\vec{e}_i$  と双対基底ベクトル： $\vec{e}^k$  が混在するテンソル積では、(4.6.16) 式に示す基底ベクトルと双対基底ベクトルの下記の関係から、縮合できる。

$$\begin{aligned} \vec{e}_1 \cdot \vec{e}^1 &= 1, & \vec{e}_2 \cdot \vec{e}^2 &= 1, & \vec{e}_3 \cdot \vec{e}^3 &= 1 \\ \vec{e}_1 \cdot \vec{e}^2 &= 0, & \vec{e}_1 \cdot \vec{e}^3 &= 0, & \vec{e}_2 \cdot \vec{e}^1 &= 0 \\ \vec{e}_2 \cdot \vec{e}^3 &= 0, & \vec{e}_3 \cdot \vec{e}^1 &= 0, & \vec{e}_3 \cdot \vec{e}^2 &= 0 \end{aligned} \quad (4.6.125)$$

```
kill(all);
load("vect")$
load("linearalgebra")$
load(itensor)$
EBV2:matrix([e[1]], [e[2]]);
EBV2F:subst([e=f], EBV2);
EBV2H:matrix([e^"1"], [e^"2"]);
S2:matrix([S^"11", S^"12"], [S^"21", S^"22"]);
T2:matrix([T^"1"], [T^"2"]);
kronecker_product(EBV2, transpose(EBV2F));
X0:S2*%;
T2*EBV2H;
kronecker_product(X0,%);
sum(sum(%[i][j], i, 1, 4), j, 1, 2);
X1:expand(%);
```

$S = \sum_{i=1}^2 \sum_{j=1}^2 S^{ij} \vec{e}_i \otimes \vec{f}_j$  と  $T = \sum_{k=1}^2 T^k \vec{e}^k$  のテンソル積を求める。

$$\begin{aligned} S' &= \begin{pmatrix} S^{11} & S^{12} \\ S^{21} & S^{22} \end{pmatrix} : \begin{pmatrix} e_1 \\ e_2 \end{pmatrix} \cdot \begin{pmatrix} f_1 \\ f_2 \end{pmatrix} \\ &= \begin{pmatrix} e_1 f_1 S^{11} & e_1 f_2 S^{12} \\ f_1 e_2 S^{21} & e_2 f_2 S^{22} \end{pmatrix} \\ T' &= \begin{pmatrix} T^1 \\ T^2 \end{pmatrix} : \begin{pmatrix} e^1 \\ e^2 \end{pmatrix} = \begin{pmatrix} e^1 T^1 \\ e^2 T^2 \end{pmatrix} \end{aligned}$$

上式のクロネッカー積をとり、

$$S' \otimes T' = \begin{pmatrix} e_1 f_1 e^1 S^{11} T^1 & e_1 f_2 e^1 S^{12} T^1 \\ e_1 f_1 e^2 S^{11} T^2 & e_1 f_2 e^2 S^{12} T^2 \\ f_1 e_2 e^1 S^{21} T^1 & e_2 f_2 e^1 S^{22} T^1 \\ f_1 e_2 e^2 S^{21} T^2 & e_2 f_2 e^2 S^{22} T^2 \end{pmatrix}$$

上式の各項の和から、

$$\begin{aligned} S \otimes T &= e_2 f_2 e^2 S^{22} T^2 + f_1 e_2 e^2 S^{21} T^2 + e_1 f_2 e^2 S^{12} T^2 \\ &\quad + e_1 f_1 e^2 S^{11} T^2 + e_2 f_2 e^1 S^{22} T^1 + f_1 e_2 e^1 S^{21} T^1 \\ &\quad + e_1 f_2 e^1 S^{12} T^1 + e_1 f_1 e^1 S^{11} T^1 \end{aligned}$$

```
LI1:S([], [i, j])*T([], [k])*e([i], [])
*f([j], [])*e([], [k])*delta[j, k];
ishow(%);
X2:sum(sum(sum(LI1, i, 1, 2), j, 1, 2), k, 1, 2);
X3:ishow(%);
subst([delta[1, 1]=1/(e([], [1])*f([1], [])),
delta[2, 2]=1/(e([], [2])*f([2], [])),
delta[1, 2]=0, delta[2, 1]=0], X2);
ishow(%);
LI1:S([], [i, j])*T([], [k])*e([i], [])
*f([j], [])*e([], [k])*delta[i, k];
ishow(%);
X2:sum(sum(sum(LI1, i, 1, 2), j, 1, 2), k, 1, 2);
subst([delta[1, 1]=1/(e([], [1])*e([1], [])),
delta[2, 2]=1/(e([], [2])*e([2], [])),
delta[1, 2]=0, delta[2, 1]=0], X2);
ishow(%);
```

$S \otimes T$  の縮合表記は、 $f_j$  と  $e^k$  間の (4.6.125) 式の間係をとるため、 $\delta_{j,k}$  を導入し、下記となる。

$$S \otimes T = S^{ij} e^k T^k e_i \delta_{j,k} f_j$$

ここで、 $\delta_{j=k} = \frac{1}{f_j e^k}, \delta_{j \neq k} = 0$

和の ishow 出力結果は下記となり、上記の結果と同じである。

$$\begin{aligned} S \otimes T &= \delta_{2,2} e^2 T^2 S^{22} e_2 f_2 + \delta_{2,1} e^1 T^1 S^{22} e_2 f_2 \\ &\quad + \delta_{2,2} S^{12} e^2 T^2 e_1 f_2 + \delta_{2,1} e^1 T^1 S^{12} e_1 f_2 \\ &\quad + \delta_{1,2} e^2 T^2 S^{21} f_1 e_2 + \delta_{1,1} e^1 T^1 S^{21} f_1 e_2 \\ &\quad + \delta_{1,2} S^{11} e^2 T^2 e_1 f_1 + \delta_{1,1} e^1 T^1 S^{11} e_1 f_1 \end{aligned}$$

$\delta_{j,k}$  を処理し、縮合すると、

$$S \otimes T = T^2 S^{22} e_2 + T^1 S^{21} e_2 + S^{12} T^2 e_1 + T^1 S^{11} e_1$$

$S \otimes T$  の縮合表記は、 $e_i$  と  $e^k$  間の (4.6.125) 式の間係をとるため、 $\delta_{i,k}$  を導入し、下記となる。

$$S \otimes T = S^{ij} e^k T^k \delta_{i,k} e_i f_j$$

ここで、 $\delta_{i=k} = \frac{1}{e_i e^k}, \delta_{i \neq k} = 0$

和の ishow 出力結果に  $\delta_{j,k}$  を処理し、縮合すると、

$$S \otimes T = T^2 S^{22} f_2 + T^1 S^{12} f_2 + T^2 S^{21} f_1 + T^1 S^{11} f_1$$

### 4.6.13 ベクトル・テンソルの座標変換 (微分線要素間に線形関係)

#### 4.6.13.1 反変的に変換する

「4.6.6 ベクトル・テンソルの座標変換 (線形関係) 4.6.6.2 ベクトルの座標変換 (反変成分)」では座標変換を線形変換として扱っています。しかし、一般的には次式の極座標変換のように線形変換ではありません。

$$x = \cos(\phi) r \sin(\theta)$$

$$y = \sin(\phi) r \sin(\theta)$$

$$z = r \cos(\theta)$$

しかし、 $x, y, z$  の微分と  $r, \theta, \phi$  の微分の関係では、たとえば、 $\text{del}(x)$  では、

$$\begin{aligned} \text{del}(x) = & \cos(\phi) r \cos(\theta) \text{del}(\theta) + \cos(\phi) \sin(\theta) \text{del}(r) \\ & - \sin(\phi) r \sin(\theta) \text{del}(\phi) \end{aligned}$$

上式から、ある場所の無限小の場において線形な関係が成り立ちます。

```
kill(all);
load("vect")$
DUVW1:matrix([del(u)], [del(v)], [del(w)]);
DX1:matrix([del(x)], [del(y)], [del(z)]);
depends([u,v,w], [x,y,z]);
D1:del(u)=diff(u);
D2:del(v)=diff(v);
D3:del(w)=diff(w);
DX11:coeff(rhs(D1), del(x));
DX12:coeff(rhs(D1), del(y));
DX13:coeff(rhs(D1), del(z));
DX21:coeff(rhs(D2), del(x));
DX22:coeff(rhs(D2), del(y));
DX23:coeff(rhs(D2), del(z));
DX31:coeff(rhs(D3), del(x));
DX32:coeff(rhs(D3), del(y));
DX33:coeff(rhs(D3), del(z));
DMT1:matrix([DX11,DX12,DX13], [DX21,DX22,DX23], [DX31,DX32,DX33]);
DMT2:DUVW1=DMT1.DX1;
subst([x=x^"1", y=x^"2", z=x^"3"], DMT2);
DMT3:subst([u=x^"1", v=x^"2", w=x^"3"], %);
```

いま、 $u, v, w$  が  $x, y, z$  の関数であるとする、 $u, v, w$  の全微分は、

$$\text{del}(u) = \left(\frac{d}{dz} u\right) \text{del}(z) + \left(\frac{d}{dy} u\right) \text{del}(y) + \left(\frac{d}{dx} u\right) \text{del}(x)$$

$$\text{del}(v) = \left(\frac{d}{dz} v\right) \text{del}(z) + \left(\frac{d}{dy} v\right) \text{del}(y) + \left(\frac{d}{dx} v\right) \text{del}(x)$$

$$\text{del}(w) = \left(\frac{d}{dz} w\right) \text{del}(z) + \left(\frac{d}{dy} w\right) \text{del}(y) + \left(\frac{d}{dx} w\right) \text{del}(x) \quad (4.6.126)$$

上式を変換行列の形で表現すると、

$$\begin{pmatrix} \text{del}(u) \\ \text{del}(v) \\ \text{del}(w) \end{pmatrix} = \begin{pmatrix} \frac{d}{dx} u & \frac{d}{dy} u & \frac{d}{dz} u \\ \frac{d}{dx} v & \frac{d}{dy} v & \frac{d}{dz} v \\ \frac{d}{dx} w & \frac{d}{dy} w & \frac{d}{dz} w \end{pmatrix} \cdot \begin{pmatrix} \text{del}(x) \\ \text{del}(y) \\ \text{del}(z) \end{pmatrix} \quad (4.6.127)$$

上式を  $u, v, w$  を  $x^1, x^2, x^3$  と、 $x, y, z$  を  $x^1, x^2, x^3$  と置き換えると、

$$\begin{aligned} & \begin{pmatrix} \text{del}(x^1) \\ \text{del}(x^2) \\ \text{del}(x^3) \end{pmatrix} \\ &= \begin{pmatrix} \frac{d}{dx^3} x^1 \text{del}(x^3) + \frac{d}{dx^2} x^1 \text{del}(x^2) + \frac{d}{dx^1} x^1 \text{del}(x^1) \\ \frac{d}{dx^3} x^2 \text{del}(x^3) + \frac{d}{dx^2} x^2 \text{del}(x^2) + \frac{d}{dx^1} x^2 \text{del}(x^1) \\ \frac{d}{dx^3} x^3 \text{del}(x^3) + \frac{d}{dx^2} x^3 \text{del}(x^2) + \frac{d}{dx^1} x^3 \text{del}(x^1) \end{pmatrix} \end{aligned} \quad (4.6.128)$$

縮約表記すると、

$$dx^i = \frac{dx^i}{dx^j} dx^j \quad (4.6.129)$$

また、ベクトルの座標変換 (反変成分) を、もとの座標軸に対する接ベクトルととらまえ、 $\begin{pmatrix} \text{del}(x^1) \\ \text{del}(x^2) \\ \text{del}(x^3) \end{pmatrix} \rightarrow$

$$\vec{P} = \begin{pmatrix} P^1 \\ P^2 \\ P^3 \end{pmatrix}, \begin{pmatrix} \text{del}(x^1) \\ \text{del}(x^2) \\ \text{del}(x^3) \end{pmatrix} \rightarrow \vec{P} = \begin{pmatrix} P^1 \\ P^2 \\ P^3 \end{pmatrix} \text{ とすると、}$$

$$\begin{pmatrix} P^1 \\ P^2 \\ P^3 \end{pmatrix} = \begin{pmatrix} \frac{d}{dx^1} x^1 & \frac{d}{dx^2} x^1 & \frac{d}{dx^3} x^1 \\ \frac{d}{dx^1} x^2 & \frac{d}{dx^2} x^2 & \frac{d}{dx^3} x^2 \\ \frac{d}{dx^1} x^3 & \frac{d}{dx^2} x^3 & \frac{d}{dx^3} x^3 \end{pmatrix} \cdot \begin{pmatrix} P^1 \\ P^2 \\ P^3 \end{pmatrix} \quad (4.6.130)$$

縮約表記すると、

$$P^i = \frac{dx^i}{dx^j} P^j \quad (4.6.131)$$

## 4.6.13.2 反変的に変換する：円柱座標系の座標変換

円柱座標系： $r, \theta, p$  と  $xyz$  座標系の関係は (4.5.1) 式から下記である。

$$x = r \cos(\theta), \quad y = r \sin(\theta), \quad z = p \quad (4.6.132)$$

```
kill(all);
load("vect")$
DUV1:matrix([del(r)], [del(\theta)],
  [del(p)]);
DX1:matrix([del(x)], [del(y)], [del(z)]);
depends([x,y,z], [r,\theta,p]);
D1:del(x)=diff(x);
D2:del(y)=diff(y);
D3:del(z)=diff(z);
X1:x=r*cos(\theta);
Y1:y=r*sin(\theta);
Z1:z=p;
lhs(D1)=subst([X1,Y1,Z1], rhs(D1));
D11:lhs(%)=ev(rhs(%), diff);
lhs(D2)=subst([X1,Y1,Z1], rhs(D2));
D21:lhs(%)=ev(rhs(%), diff);
```

```
lhs(D3)=subst([X1,Y1,Z1], rhs(D3));
D31:lhs(%)=ev(rhs(%), diff);
DX11:coeff(rhs(D11), del(r));
DX12:coeff(rhs(D11), del(\theta));
DX13:coeff(rhs(D11), del(p));
DX21:coeff(rhs(D21), del(r));
DX22:coeff(rhs(D21), del(\theta));
DX23:coeff(rhs(D21), del(p));
DX31:coeff(rhs(D31), del(r));
DX32:coeff(rhs(D31), del(\theta));
DX33:coeff(rhs(D31), del(p));
matrix([DX11,DX12,DX13], [DX21,DX22,DX23],
  [DX31,DX32,DX33]);
DMT1:trigsimp(%);
DX1=DMT1.DUV1;
invert(DMT1);
DMT2:trigsimp(%);
DUV1=DMT2.DX1;
trigsimp(%)
```

$x, y, z$  が  $r, \theta, p$  の関数であるとして、全微分すると、

$$\text{del}(x) = \left(\frac{d}{d\theta} x\right) \text{del}(\theta) + \left(\frac{d}{dr} x\right) \text{del}(r) + \left(\frac{d}{dp} x\right) \text{del}(p)$$

$$\text{del}(y) = \left(\frac{d}{d\theta} y\right) \text{del}(\theta) + \left(\frac{d}{dr} y\right) \text{del}(r) + \left(\frac{d}{dp} y\right) \text{del}(p)$$

$$\text{del}(z) = \left(\frac{d}{d\theta} z\right) \text{del}(\theta) + \left(\frac{d}{dr} z\right) \text{del}(r) + \left(\frac{d}{dp} z\right) \text{del}(p)$$

上式に (4.6.132) 式を代入し、整理すると、

$$\begin{pmatrix} \text{del}(x) \\ \text{del}(y) \\ \text{del}(z) \end{pmatrix} = \begin{pmatrix} \cos(\theta) & -r \sin(\theta) & 0 \\ \sin(\theta) & r \cos(\theta) & 0 \\ 0 & 0 & 1 \end{pmatrix} \cdot \begin{pmatrix} \text{del}(r) \\ \text{del}(\theta) \\ \text{del}(p) \end{pmatrix}$$

$\begin{pmatrix} \text{del}(r) \\ \text{del}(\theta) \\ \text{del}(p) \end{pmatrix}$  は行列の逆行列を掛けることにより得られ、

$$\begin{pmatrix} \text{del}(r) \\ \text{del}(\theta) \\ \text{del}(p) \end{pmatrix} = \begin{pmatrix} \cos(\theta) & \sin(\theta) & 0 \\ -\frac{\sin(\theta)}{r} & \frac{\cos(\theta)}{r} & 0 \\ 0 & 0 & 1 \end{pmatrix} \cdot \begin{pmatrix} \text{del}(x) \\ \text{del}(y) \\ \text{del}(z) \end{pmatrix}$$

ここで、 $\text{del}(r) \rightarrow \vec{e}_r$ ,  $r \text{del}(\theta) \rightarrow \vec{e}_\theta$ ,  $\text{del}(p) \rightarrow \vec{e}_z$ ,  $\text{del}(x) \rightarrow \vec{e}_x$ ,  $\text{del}(y) \rightarrow \vec{e}_y$ ,  $\text{del}(z) \rightarrow \vec{e}_z$ , とすると、下記となり、(4.5.2) 式の座標変換行列と一致する。

$$\begin{pmatrix} \vec{e}_r \\ \vec{e}_\theta \\ \vec{e}_z \end{pmatrix} = \begin{pmatrix} \cos(\theta) & \sin(\theta) & 0 \\ -\sin(\theta) & \cos(\theta) & 0 \\ 0 & 0 & 1 \end{pmatrix} \cdot \begin{pmatrix} \vec{e}_x \\ \vec{e}_y \\ \vec{e}_z \end{pmatrix}$$

## 4.6.13.3 反変的に変換する：極座標系の座標変換

極座標系  $r, \theta, \phi$  と  $xyz$  座標系の関係は (4.5.17) 式から下記である。

$$x = \cos(\phi) r \sin(\theta), y = \sin(\phi) r \sin(\theta), z = r \cos(\theta) \quad (4.6.133)$$

```
kill(all);
load("vect")$
DUV1:matrix([del(r)], [del(theta)],
  [del(phi)]);
DX1:matrix([del(x)], [del(y)], [del(z)]);
depends([x,y,z], [r,theta,phi]);
D1:del(x)=diff(x);
D2:del(y)=diff(y);
D3:del(z)=diff(z);
X1:x=r*cos(phi)*sin(theta);
Y1:y=r*sin(phi)*sin(theta);
Z1:z=r*cos(theta);
lhs(D1)=subst([X1,Y1,Z1], rhs(D1));
D11:lhs(%)=ev(rhs(%), diff);
lhs(D2)=subst([X1,Y1,Z1], rhs(D2));
```

```
D21:lhs(%)=ev(rhs(%), diff);
lhs(D3)=subst([X1,Y1,Z1], rhs(D3));
D31:lhs(%)=ev(rhs(%), diff);
DX11:coeff(rhs(D11), del(r));
DX12:coeff(rhs(D11), del(theta));
DX13:coeff(rhs(D11), del(phi));
DX21:coeff(rhs(D21), del(r));
DX22:coeff(rhs(D21), del(theta));
DX23:coeff(rhs(D21), del(phi));
DX31:coeff(rhs(D31), del(r));
DX32:coeff(rhs(D31), del(theta));
DX33:coeff(rhs(D31), del(phi));
DMT1:matrix([DX11,DX12,DX13], [DX21,DX22,
  DX23], [DX31,DX32,DX33]);
DX1=DMT1.DUV1;
invert(DMT1);
DMT2:trigsimp(%);
DUV1=DMT2.DX1;
trigsimp(%);
expand(%)
```

$x, y, z$  が  $r, \theta, \phi$  の関数であるとして、全微分すると、

$$\text{del}(x) = \left(\frac{d}{d\theta} x\right) \text{del}(\theta) + \left(\frac{d}{dr} x\right) \text{del}(r) + \left(\frac{d}{d\phi} x\right) \text{del}(\phi)$$

$$\text{del}(y) = \left(\frac{d}{d\theta} y\right) \text{del}(\theta) + \left(\frac{d}{dr} y\right) \text{del}(r) + \left(\frac{d}{d\phi} y\right) \text{del}(\phi)$$

$$\text{del}(z) = \left(\frac{d}{d\theta} z\right) \text{del}(\theta) + \left(\frac{d}{dr} z\right) \text{del}(r) + \left(\frac{d}{d\phi} z\right) \text{del}(\phi)$$

上式に (4.6.133) 式を代入し、整理すると、

$$\begin{pmatrix} \text{del}(x) \\ \text{del}(y) \\ \text{del}(z) \end{pmatrix} = \begin{pmatrix} \cos(\phi) \sin(\theta) & \cos(\phi) r \cos(\theta) & -\sin(\phi) r \sin(\theta) \\ \sin(\phi) \sin(\theta) & \sin(\phi) r \cos(\theta) & \cos(\phi) r \sin(\theta) \\ \cos(\theta) & -r \sin(\theta) & 0 \end{pmatrix} \cdot \begin{pmatrix} \text{del}(r) \\ \text{del}(\theta) \\ \text{del}(\phi) \end{pmatrix}$$

$\begin{pmatrix} \text{del}(r) \\ \text{del}(\theta) \\ \text{del}(\phi) \end{pmatrix}$  は行列の逆行列を掛けることにより得られ、

$$\begin{pmatrix} \text{del}(r) \\ \text{del}(\theta) \\ \text{del}(\phi) \end{pmatrix} = \begin{pmatrix} \cos(\phi) \sin(\theta) & \sin(\phi) \sin(\theta) & \cos(\theta) \\ \frac{\cos(\phi) \cos(\theta)}{r} & \frac{\sin(\phi) \cos(\theta)}{r} & -\frac{\sin(\theta)}{r} \\ -\frac{\sin(\phi)}{r \sin(\theta)} & \frac{\cos(\phi)}{r \sin(\theta)} & 0 \end{pmatrix} \cdot \begin{pmatrix} \text{del}(x) \\ \text{del}(y) \\ \text{del}(z) \end{pmatrix}$$

ここで、 $\text{del}(r) \rightarrow \vec{e}_r$ ,  $r \text{del}(\theta) \rightarrow \vec{e}_\theta$ ,  $r \sin(\theta) \text{del}(\phi) \rightarrow \vec{e}_\phi$ ,  $\text{del}(x) \rightarrow \vec{e}_x$ ,  $\text{del}(y) \rightarrow \vec{e}_y$ ,  $\text{del}(z) \rightarrow \vec{e}_z$ , とすると、下記となり、(4.5.18) 式の座標変換行列と一致する。

$$\begin{pmatrix} \vec{e}_r \\ \vec{e}_\theta \\ \vec{e}_\phi \end{pmatrix} = \begin{pmatrix} \cos(\phi) \sin(\theta) & \sin(\phi) \sin(\theta) & \cos(\theta) \\ \cos(\phi) \cos(\theta) & \sin(\phi) \cos(\theta) & -\sin(\theta) \\ -\sin(\phi) & \cos(\phi) & 0 \end{pmatrix} \cdot \begin{pmatrix} \vec{e}_x \\ \vec{e}_y \\ \vec{e}_z \end{pmatrix}$$

## 4.6.13.4 共变的に変換する (スカラー量の座標変換)

「4.6.6 基底ベクトルのベクトル・テンソルの座標変換 (3) ベクトルの座標変換 (共変成分)」では座標変換を線形変換として扱っています。しかし、一般的には線形変換ではありません。あるスカラー量:  $f(x, y, z)$  で与えられているとする。これを  $x, y, z$  座標から  $u, v, w$  座標に変換する。

```
kill(all);
load("vect")$
depends([x,y,z],[u,v,w]);
depends([f],[x,y,z]);
F1:'diff(f,u)=diff(f,u);
F2:'diff(f,v)=diff(f,v);
F3:'diff(f,w)=diff(f,w);
FX11:coeff(rhs(F1),'diff(f,x));
FX12:coeff(rhs(F1),'diff(f,y));
```

```
FX13:coeff(rhs(F1),'diff(f,z));
FX21:coeff(rhs(F2),'diff(f,x));
FX22:coeff(rhs(F2),'diff(f,y));
FX23:coeff(rhs(F2),'diff(f,z));
FX31:coeff(rhs(F3),'diff(f,x));
FX32:coeff(rhs(F3),'diff(f,y));
FX33:coeff(rhs(F3),'diff(f,z));
FUVW1:matrix([lhs(F1)],[lhs(F2)],[
  [lhs(F3)]]);
FX1:matrix(['diff(f,x[1])],[diff(f,x[2])],
  [diff(f,x[3])]);
FMT1:matrix([FX11,FX12,FX13],[FX21,FX22,
  FX23],[FX31,FX32,FX33]);
FUVW1=FMT1.FX1;
```

$x, y, z$  が  $u, v, w$  の関数であるとして、 $f$  を  $u, v, w$  で偏微分すると、

$$\begin{aligned}\frac{d}{du} f &= \left(\frac{d}{dz} f\right) \left(\frac{d}{du} z\right) + \left(\frac{d}{dy} f\right) \left(\frac{d}{du} y\right) + \left(\frac{d}{dx} f\right) \left(\frac{d}{du} x\right) \\ \frac{d}{dv} f &= \left(\frac{d}{dz} f\right) \left(\frac{d}{dv} z\right) + \left(\frac{d}{dy} f\right) \left(\frac{d}{dv} y\right) + \left(\frac{d}{dx} f\right) \left(\frac{d}{dv} x\right) \\ \frac{d}{dw} f &= \left(\frac{d}{dz} f\right) \left(\frac{d}{dw} z\right) + \left(\frac{d}{dy} f\right) \left(\frac{d}{dw} y\right) + \left(\frac{d}{dx} f\right) \left(\frac{d}{dw} x\right)\end{aligned}$$

上式を変換行列の形で表現すると、

$$\begin{pmatrix} \frac{d}{du} f \\ \frac{d}{dv} f \\ \frac{d}{dw} f \end{pmatrix} = \begin{pmatrix} \frac{d}{du} x & \frac{d}{du} y & \frac{d}{du} z \\ \frac{d}{dv} x & \frac{d}{dv} y & \frac{d}{dv} z \\ \frac{d}{dw} x & \frac{d}{dw} y & \frac{d}{dw} z \end{pmatrix} \cdot \begin{pmatrix} \frac{d}{dx} f \\ \frac{d}{dy} f \\ \frac{d}{dz} f \end{pmatrix} \quad (4.6.134)$$

上式を  $u, v, w$  を  $x^1, x^2, x^3$  と、 $x, y, z$  を  $x^1, x^2, x^3$  と置き換えると、

$$\begin{pmatrix} \frac{d}{dx^1} f \\ \frac{d}{dx^2} f \\ \frac{d}{dx^3} f \end{pmatrix} = \begin{pmatrix} \frac{d}{dx^1} x^1 & \frac{d}{dx^1} x^2 & \frac{d}{dx^1} x^3 \\ \frac{d}{dx^2} x^1 & \frac{d}{dx^2} x^2 & \frac{d}{dx^2} x^3 \\ \frac{d}{dx^3} x^1 & \frac{d}{dx^3} x^2 & \frac{d}{dx^3} x^3 \end{pmatrix} \cdot \begin{pmatrix} \frac{d}{dx^1} f \\ \frac{d}{dx^2} f \\ \frac{d}{dx^3} f \end{pmatrix} \quad (4.6.135)$$

上式を縮約表記すると、

$$\frac{d}{dx^i} f = \frac{dx^j}{dx^i} \frac{d}{dx^j} f \quad (4.6.136)$$

上式の変換行列の要素:  $\frac{dx^j}{dx^i}$  は反变的に変換する (座標変換) の変換行列の要素:  $\frac{dx^i}{dx^j}$  の逆数である。したがって、上式の変換行列の要素:  $\frac{dx^j}{dx^i}$  は座標変換行列の要素:  $\frac{dx^i}{dx^j}$  に対して共变的に変化する。

また、ベクトルの座標変換 (共変成分) は、 $\begin{pmatrix} \frac{d}{dx^1} f \\ \frac{d}{dx^2} f \\ \frac{d}{dx^3} f \end{pmatrix}$ ,  $\begin{pmatrix} \frac{d}{dx^1} f \\ \frac{d}{dx^2} f \\ \frac{d}{dx^3} f \end{pmatrix}$  をベクトルととらまえ、

$$\begin{pmatrix} \frac{d}{dx^1} f \\ \frac{d}{dx^2} f \\ \frac{d}{dx^3} f \end{pmatrix} \rightarrow \vec{P}' = \begin{pmatrix} P'_1 \\ P'_2 \\ P'_3 \end{pmatrix}, \quad \begin{pmatrix} \frac{d}{dx^1} f \\ \frac{d}{dx^2} f \\ \frac{d}{dx^3} f \end{pmatrix} \rightarrow \vec{P} = \begin{pmatrix} P_1 \\ P_2 \\ P_3 \end{pmatrix} \quad \text{とすると、}$$

$$\begin{pmatrix} P'_1 \\ P'_2 \\ P'_3 \end{pmatrix} = \begin{pmatrix} \frac{d}{dx^1} x^1 & \frac{d}{dx^1} x^2 & \frac{d}{dx^1} x^3 \\ \frac{d}{dx^2} x^1 & \frac{d}{dx^2} x^2 & \frac{d}{dx^2} x^3 \\ \frac{d}{dx^3} x^1 & \frac{d}{dx^3} x^2 & \frac{d}{dx^3} x^3 \end{pmatrix} \cdot \begin{pmatrix} P_1 \\ P_2 \\ P_3 \end{pmatrix} \quad \text{縮約すると、} \quad P'_i = \frac{dx^j}{dx^i} P_j \quad (4.6.137)$$



## 4.6.13.5 曲線と接ベクトル

曲線:  $f$  の座標を経路:  $s$  で表現すると、曲線上で定義されるスカラー関数:  $f$  は、

$$f(s) = f(x^1(s), x^2(s), x^3(s))$$

```
kill(all);
load("vect")$
depends([x,y,z],[s]);
depends([f],[x,y,z]);
DFS1:'diff(f,s)=diff(f,s);
subst([x=x^"1",y=x^"2",z=x^"3"],DFS1);
V1:matrix(['diff(x^"1",s,1)',
['diff(x^"2",s,1)'],['diff(x^"3",s,1)']);
NF1:matrix(['diff(f,x^"1")',
['diff(f,x^"2")'],['diff(f,x^"3")']);
'diff(f,s)=NF1.V1;
```

$x^1 = x$ ,  $x^2 = y$ ,  $x^3 = z$ , の置き換えを行って、 $f$  を  $s$  で微分すると、

$$\begin{aligned} \frac{d}{ds} f &= \left( \frac{d}{dz} f \right) \left( \frac{d}{ds} z \right) + \left( \frac{d}{dy} f \right) \left( \frac{d}{ds} y \right) \\ &\quad + \left( \frac{d}{dx} f \right) \left( \frac{d}{ds} x \right) \end{aligned}$$

上式を、 $x = x^1$ ,  $y = x^2$ ,  $z = x^3$ , の置き換えを行って

$$\begin{aligned} \frac{d}{ds} f &= \left( \frac{d}{dx^3} f \right) \left( \frac{d}{ds} x^3 \right) + \left( \frac{d}{dx^2} f \right) \left( \frac{d}{ds} x^2 \right) \\ &\quad + \left( \frac{d}{dx^1} f \right) \left( \frac{d}{ds} x^1 \right) \end{aligned} \quad (4.6.138)$$

ここで、ベクトル:  $\vec{V}$  を下記のように定義する。

$$\vec{V} = \begin{pmatrix} \frac{d}{ds} x^1 \\ \frac{d}{ds} x^2 \\ \frac{d}{ds} x^3 \end{pmatrix} \quad (4.6.139)$$

$f$  の勾配は、

$$\nabla f = \begin{pmatrix} \frac{d}{dx^1} f \\ \frac{d}{dx^2} f \\ \frac{d}{dx^3} f \end{pmatrix} \quad (4.6.140)$$

上式を使って、 $\frac{d}{ds} f$  は、

$$\frac{d}{ds} f = \nabla f \cdot \vec{V}$$

$\vec{V}$  は曲線に接しており、接ベクトルといわれる。

## 4.6.13.6 計量テンソル

「4.6.6.5 ベクトル内積の座標変換不変性」の微小変位ベクトルの長さの二乗を「4.6.13.1 反変的に変換する」から、

```
kill(all);
load("vect")$
DUVW1:matrix([del(u)], [del(v)], [del(w)]);
DX1:matrix([del(x)], [del(y)], [del(z)]);
depends([u,v,w], [x,y,z]);
D1:del(u)=diff(u);
D2:del(v)=diff(v);
D3:del(w)=diff(w);
DX11:coeff(rhs(D1), del(x));
DX12:coeff(rhs(D1), del(y));
DX13:coeff(rhs(D1), del(z));
```

```
DX21:coeff(rhs(D2), del(x));
DX22:coeff(rhs(D2), del(y));
DX23:coeff(rhs(D2), del(z));
DX31:coeff(rhs(D3), del(x));
DX32:coeff(rhs(D3), del(y));
DX33:coeff(rhs(D3), del(z));
DMT1:matrix([DX11,DX12,DX13], [DX21,DX22,DX23], [DX31,DX32,DX33]);
DMT2:DUVW1=DMT1.DX1;
subst([x=x^"1", y=x^"2", z=x^"3"], DMT2);
DMT3:subst([u=x^"1", v=x^"2", w=x^"3"], %);
DMT4:transpose(lhs(DMT3)).lhs(DMT3);
DMT5:transpose(rhs(DMT3)).rhs(DMT3);
DMT6:expand(DMT5);
```

(4.6.88) 式から、

$$ds^2 = \begin{pmatrix} dr^1 \\ dr^2 \\ dr^3 \end{pmatrix}^T \cdot \begin{pmatrix} g_{11} & g_{12} & g_{13} \\ g_{21} & g_{22} & g_{23} \\ g_{31} & g_{32} & g_{33} \end{pmatrix} \cdot \begin{pmatrix} dr^1 \\ dr^2 \\ dr^3 \end{pmatrix} \quad (4.6.141)$$

(4.6.126) 式から  $ds^2$  を求め、 $u, v, w$  を  $x^1, x^2, x^3$  と、 $x, y, z$  を  $x^1, x^2, x^3$  と置き換えると、

$$\begin{aligned} ds^2 &= \text{del}(x'^3)^2 + \text{del}(x'^2)^2 + \text{del}(x'^1)^2 \\ &= 2 \left( \frac{d}{dx^2} x'^3 \right) \left( \frac{d}{dx^3} x'^3 \right) \text{del}(x^2) \text{del}(x^3) + 2 \left( \frac{d}{dx^2} x'^2 \right) \left( \frac{d}{dx^3} x'^2 \right) \text{del}(x^2) \text{del}(x^3) \\ &\quad + 2 \left( \frac{d}{dx^2} x'^1 \right) \left( \frac{d}{dx^3} x'^1 \right) \text{del}(x^2) \text{del}(x^3) \\ &\quad + 2 \left( \frac{d}{dx^1} x'^3 \right) \left( \frac{d}{dx^3} x'^3 \right) \text{del}(x^1) \text{del}(x^3) + 2 \left( \frac{d}{dx^1} x'^2 \right) \left( \frac{d}{dx^3} x'^2 \right) \text{del}(x^1) \text{del}(x^3) \\ &\quad + 2 \left( \frac{d}{dx^1} x'^1 \right) \left( \frac{d}{dx^3} x'^1 \right) \text{del}(x^1) \text{del}(x^3) \\ &\quad + 2 \left( \frac{d}{dx^1} x'^3 \right) \left( \frac{d}{dx^2} x'^3 \right) \text{del}(x^1) \text{del}(x^2) + 2 \left( \frac{d}{dx^1} x'^2 \right) \left( \frac{d}{dx^2} x'^2 \right) \text{del}(x^1) \text{del}(x^2) \\ &\quad + 2 \left( \frac{d}{dx^1} x'^1 \right) \left( \frac{d}{dx^2} x'^1 \right) \text{del}(x^1) \text{del}(x^2) \\ &\quad + \left( \frac{d}{dx^3} x'^3 \right)^2 \text{del}(x^3)^2 + \left( \frac{d}{dx^3} x'^2 \right)^2 \text{del}(x^3)^2 + \left( \frac{d}{dx^3} x'^1 \right)^2 \text{del}(x^3)^2 \\ &\quad + \left( \frac{d}{dx^2} x'^3 \right)^2 \text{del}(x^2)^2 + \left( \frac{d}{dx^2} x'^2 \right)^2 \text{del}(x^2)^2 + \left( \frac{d}{dx^2} x'^1 \right)^2 \text{del}(x^2)^2 \\ &\quad + \left( \frac{d}{dx^1} x'^3 \right)^2 \text{del}(x^1)^2 + \left( \frac{d}{dx^1} x'^2 \right)^2 \text{del}(x^1)^2 + \left( \frac{d}{dx^1} x'^1 \right)^2 \text{del}(x^1)^2 \end{aligned} \quad (4.6.142)$$

上式を整理して、

$$\begin{aligned}
ds^2 &= \text{del}(x'^3)^2 + \text{del}(x'^2)^2 + \text{del}(x'^1)^2 \\
&= \left( \frac{d}{dx^3} x'^3 \frac{d}{dx^2} x'^3 + \frac{d}{dx^3} x'^2 \frac{d}{dx^2} x'^2 + \frac{d}{dx^3} x'^1 \frac{d}{dx^2} x'^1 \right) \text{del}(x^3) \text{del}(x^2) \\
&\quad + \left( \frac{d}{dx^2} x'^3 \frac{d}{dx^3} x'^3 + \frac{d}{dx^2} x'^2 \frac{d}{dx^3} x'^2 + \frac{d}{dx^2} x'^1 \frac{d}{dx^3} x'^1 \right) \text{del}(x^2) \text{del}(x^3) \\
&\quad + \left( \frac{d}{dx^3} x'^3 \frac{d}{dx^1} x'^3 + \frac{d}{dx^3} x'^2 \frac{d}{dx^1} x'^2 + \frac{d}{dx^3} x'^1 \frac{d}{dx^1} x'^1 \right) \text{del}(x^3) \text{del}(x^1) \\
&\quad + \left( \frac{d}{dx^1} x'^3 \frac{d}{dx^3} x'^3 + \frac{d}{dx^1} x'^2 \frac{d}{dx^3} x'^2 + \frac{d}{dx^1} x'^1 \frac{d}{dx^3} x'^1 \right) \text{del}(x^1) \text{del}(x^3) \\
&\quad + \left( \frac{d}{dx^2} x'^3 \frac{d}{dx^1} x'^3 + \frac{d}{dx^2} x'^2 \frac{d}{dx^1} x'^2 + \frac{d}{dx^2} x'^1 \frac{d}{dx^1} x'^1 \right) \text{del}(x^2) \text{del}(x^1) \\
&\quad + \left( \frac{d}{dx^1} x'^3 \frac{d}{dx^2} x'^3 + \frac{d}{dx^1} x'^2 \frac{d}{dx^2} x'^2 + \frac{d}{dx^1} x'^1 \frac{d}{dx^2} x'^1 \right) \text{del}(x^1) \text{del}(x^2) \\
&\quad + \left( \frac{d}{dx^3} x'^3 \frac{d}{dx^3} x'^3 + \frac{d}{dx^3} x'^2 \frac{d}{dx^3} x'^2 + \frac{d}{dx^3} x'^1 \frac{d}{dx^3} x'^1 \right) \text{del}(x^3) \text{del}(x^3) \\
&\quad + \left( \frac{d}{dx^2} x'^3 \frac{d}{dx^2} x'^3 + \frac{d}{dx^2} x'^2 \frac{d}{dx^2} x'^2 + \frac{d}{dx^2} x'^1 \frac{d}{dx^2} x'^1 \right) \text{del}(x^2) \text{del}(x^2) \\
&\quad + \left( \frac{d}{dx^1} x'^3 \frac{d}{dx^1} x'^3 + \frac{d}{dx^1} x'^2 \frac{d}{dx^1} x'^2 + \frac{d}{dx^1} x'^1 \frac{d}{dx^1} x'^1 \right) \text{del}(x^1) \text{del}(x^1)
\end{aligned} \tag{4.6.143}$$

上式と (4.6.141) 式から、 $g_{ij}$  を求めると、

$$\begin{aligned}
g_{11} &= \frac{d}{dx^1} x'^3 \frac{d}{dx^1} x'^3 + \frac{d}{dx^1} x'^2 \frac{d}{dx^1} x'^2 + \frac{d}{dx^1} x'^1 \frac{d}{dx^1} x'^1 \\
g_{22} &= \frac{d}{dx^2} x'^3 \frac{d}{dx^2} x'^3 + \frac{d}{dx^2} x'^2 \frac{d}{dx^2} x'^2 + \frac{d}{dx^2} x'^1 \frac{d}{dx^2} x'^1 \\
g_{33} &= \frac{d}{dx^3} x'^3 \frac{d}{dx^3} x'^3 + \frac{d}{dx^3} x'^2 \frac{d}{dx^3} x'^2 + \frac{d}{dx^3} x'^1 \frac{d}{dx^3} x'^1 \\
g_{12} &= \frac{d}{dx^1} x'^3 \frac{d}{dx^2} x'^3 + \frac{d}{dx^1} x'^2 \frac{d}{dx^2} x'^2 + \frac{d}{dx^1} x'^1 \frac{d}{dx^2} x'^1 \\
g_{21} &= \frac{d}{dx^2} x'^3 \frac{d}{dx^1} x'^3 + \frac{d}{dx^2} x'^2 \frac{d}{dx^1} x'^2 + \frac{d}{dx^2} x'^1 \frac{d}{dx^1} x'^1 \\
g_{13} &= \frac{d}{dx^1} x'^3 \frac{d}{dx^3} x'^3 + \frac{d}{dx^1} x'^2 \frac{d}{dx^3} x'^2 + \frac{d}{dx^1} x'^1 \frac{d}{dx^3} x'^1 \\
g_{31} &= \frac{d}{dx^3} x'^3 \frac{d}{dx^1} x'^3 + \frac{d}{dx^3} x'^2 \frac{d}{dx^1} x'^2 + \frac{d}{dx^3} x'^1 \frac{d}{dx^1} x'^1 \\
g_{23} &= \frac{d}{dx^2} x'^3 \frac{d}{dx^3} x'^3 + \frac{d}{dx^2} x'^2 \frac{d}{dx^3} x'^2 + \frac{d}{dx^2} x'^1 \frac{d}{dx^3} x'^1 \\
g_{32} &= \frac{d}{dx^3} x'^3 \frac{d}{dx^2} x'^3 + \frac{d}{dx^3} x'^2 \frac{d}{dx^2} x'^2 + \frac{d}{dx^3} x'^1 \frac{d}{dx^2} x'^1
\end{aligned} \tag{4.6.144}$$

上式を縮約すると、

$$g_{ij} = \frac{d}{dx^i} x'^3 \frac{d}{dx^j} x'^3 + \frac{d}{dx^i} x'^2 \frac{d}{dx^j} x'^2 + \frac{d}{dx^i} x'^1 \frac{d}{dx^j} x'^1 \tag{4.6.145}$$

更に縮約すると、

$$g_{ij} = \frac{d}{dx^i} x'^m \frac{d}{dx^j} x'^m \tag{4.6.146}$$

(4.6.144) 式と  $g_{ij} = \vec{e}_i \cdot \vec{e}_j$  から、

$$\vec{e}_1 = \begin{pmatrix} \frac{d}{dx^1} x'^1 \\ \frac{d}{dx^1} x'^2 \\ \frac{d}{dx^1} x'^3 \end{pmatrix}, \quad \vec{e}_2 = \begin{pmatrix} \frac{d}{dx^2} x'^1 \\ \frac{d}{dx^2} x'^2 \\ \frac{d}{dx^2} x'^3 \end{pmatrix}, \quad \vec{e}_3 = \begin{pmatrix} \frac{d}{dx^3} x'^1 \\ \frac{d}{dx^3} x'^2 \\ \frac{d}{dx^3} x'^3 \end{pmatrix} \tag{4.6.147}$$

## (1) 極座標系の計量テンソル

極座標系  $r, \theta, \phi$  と  $xyz$  座標系の関係は (4.5.17) 式から下記である。

$$x = \cos(\phi) r \sin(\theta), y = \sin(\phi) r \sin(\theta), z = r \cos(\theta) \quad (4.6.148)$$

```
kill(all);
D11:'diff(x''1",x''1");
D12:'diff(x''1",x''2");
D13:'diff(x''1",x''3");
D21:'diff(x''2",x''1");
D22:'diff(x''2",x''2");
D23:'diff(x''2",x''3");
D31:'diff(x''3",x''1");
D32:'diff(x''3",x''2");
D33:'diff(x''3",x''3");
G11:g[11]=D11*D11+D21*D21+D31*D31;
G22:g[22]=D12*D12+D22*D22+D32*D32;
G33:g[33]=D13*D13+D23*D23+D33*D33;
G12:g[12]=D11*D12+D21*D22+D31*D32;
G13:g[13]=D11*D13+D21*D23+D31*D33;
G23:g[23]=D12*D13+D22*D23+D32*D33;
GG1:matrix([g[11],g[12],g[13]], [g[21],g[22],
g[23]], [g[31],g[32],g[33]]);
X1:x=r*cos(phi)*sin(theta);
Y1:y=r*sin(phi)*sin(theta);
Z1:z=r*cos(theta);
LI1:[x''1"=x,x''2"=y,x''3"=z,x''1"=r,
x''2"=theta,x''3"=phi,X1,Y1,Z1];
subst(LI1,G11);
ev(%,diff);
GG11:trigsimp(%)
subst(LI1,G11);
ev(%,diff);
GG11:trigsimp(%)
subst(LI1,G22);
ev(%,diff);
GG22:trigsimp(%)
subst(LI1,G33);
ev(%,diff);
GG33:trigsimp(%)
subst(LI1,G12);
ev(%,diff);
```

```
GG12:trigsimp(%)
subst(LI1,G13);
ev(%,diff);
GG13:trigsimp(%)
subst(LI1,G23);
ev(%,diff);
GG23:trigsimp(%)
GG1=subst([g[21]=g[12],g[31]=g[13],
g[32]=g[23],GG11,GG22,GG33,GG12,
GG13,GG23],GG1);
```

(4.6.144) 式の  $x^1, x^2, x^3$  を  $x, y, z$  に、 $x^1, x^2, x^3$  を  $r, \phi, \theta$  と置き換え、(4.6.148) 式を代入すると、極座標系の計量テンソル  $g_{ij}$  は下記となり、非対角は零となる。これは直交座標系であることを示している。

$$\begin{pmatrix} g_{11} & g_{12} & g_{13} \\ g_{21} & g_{22} & g_{23} \\ g_{31} & g_{32} & g_{33} \end{pmatrix} = \begin{pmatrix} 1 & 0 & 0 \\ 0 & r^2 & 0 \\ 0 & 0 & r^2 \sin^2(\theta) \end{pmatrix} \quad (4.6.149)$$

また、 $g^{ij}$  は (4.6.34) 式から、上式の逆行列で得られ、

$$\begin{pmatrix} g^{11} & g^{12} & g^{13} \\ g^{21} & g^{22} & g^{23} \\ g^{31} & g^{32} & g^{33} \end{pmatrix} = \begin{pmatrix} 1 & 0 & 0 \\ 0 & \frac{1}{r^2} & 0 \\ 0 & 0 & \frac{1}{r^2 \sin^2(\theta)} \end{pmatrix} \quad (4.6.150)$$

## (2) 円柱座標系の計量テンソル

円柱座標系  $r, \theta, p$  と  $xyz$  座標系の関係は (4.5.17) 式から下記である。

$$x = \cos(\theta) r, y = \sin(\theta) r, z = p \quad (4.6.151)$$

```
kill(all);
D11:'diff(x''1",x''1");
D12:'diff(x''1",x''2");
D13:'diff(x''1",x''3");
D21:'diff(x''2",x''1");
D22:'diff(x''2",x''2");
D23:'diff(x''2",x''3");
D31:'diff(x''3",x''1");
D32:'diff(x''3",x''2");
D33:'diff(x''3",x''3");
G11:g[11]=D11*D11+D21*D21+D31*D31;
G22:g[22]=D12*D12+D22*D22+D32*D32;
G33:g[33]=D13*D13+D23*D23+D33*D33;
G12:g[12]=D11*D12+D21*D22+D31*D32;
G13:g[13]=D11*D13+D21*D23+D31*D33;
G23:g[23]=D12*D13+D22*D23+D32*D33;
GG1:matrix([g[11],g[12],g[13]], [g[21],g[22],
g[23]], [g[31],g[32],g[33]]);
X1:x=r*cos(\theta);
Y1:y=r*sin(\theta);
Z1:z=p;
LI1:[x''1"=x,x''2"=y,x''3"=z,x''1"=r,
x''2"=\theta,x''3"=p,X1,Y1,Z1];
subst(LI1,G11);
ev(%,diff);
GG11:trigsimp(%);
subst(LI1,G11);
ev(%,diff);
GG11:trigsimp(%);
subst(LI1,G22);
ev(%,diff);
GG22:trigsimp(%);
subst(LI1,G33);
ev(%,diff);
GG33:trigsimp(%);
subst(LI1,G12);
ev(%,diff);
```

```
GG12:trigsimp(%);
subst(LI1,G13);
ev(%,diff);
GG13:trigsimp(%);
subst(LI1,G23);
ev(%,diff);
GG23:trigsimp(%);
GG1=subst([g[21]=g[12],g[31]=g[13],
g[32]=g[23],GG11,GG22,GG33,GG12,
GG13,GG23],GG1);
```

(4.6.144) 式の  $x^1, x^2, x^3$  を  $x, y, z$  に、 $x^1, x^2, x^3$  を  $r, \theta, p$  と置き換え、(4.6.151) 式を代入すると、円柱座標系の計量テンソルは下記となり、非対角は零となる。これは直交座標系であることを示している。

$$\begin{pmatrix} g_{11} & g_{12} & g_{13} \\ g_{21} & g_{22} & g_{23} \\ g_{31} & g_{32} & g_{33} \end{pmatrix} = \begin{pmatrix} 1 & 0 & 0 \\ 0 & r^2 & 0 \\ 0 & 0 & 1 \end{pmatrix} \quad (4.6.152)$$

また、 $g^{ij}$  は (4.6.34) 式から、上式の逆行列で得られ、

$$\begin{pmatrix} g^{11} & g^{12} & g^{13} \\ g^{21} & g^{22} & g^{23} \\ g^{31} & g^{32} & g^{33} \end{pmatrix} = \begin{pmatrix} 1 & 0 & 0 \\ 0 & \frac{1}{r^2} & 0 \\ 0 & 0 & 1 \end{pmatrix} \quad (4.6.153)$$

## 4.6.13.7 計量テンソルの座標変換

$x^1, x^2, x^3$  座標系の  $f(x^1, x^2, x^3)$  を  $x^1, x^2, x^3$  座標系の  $f(x^1, x^2, x^3)$  に変換する。ここで、 $x^1 = x, x^2 = y, x^3 = z, x^1 = u, x^2 = v, x^3 = z$  と置き換える。

```
kill(all);
load("vect")$
depends([x,y,z],[u,v,w]);
depends([f],[x,y,z]);
DFU1:'diff(f,u)=diff(f,u);
DFV1:'diff(f,v)=diff(f,v);
DFW1:'diff(f,w)=diff(f,w);
EU1:'diff(f,u)=e[u];
EV1:'diff(f,v)=e[v];
EW1:'diff(f,w)=e[w];
EX1:'diff(f,x)=e[x];
EY1:'diff(f,y)=e[y];
EZ1:'diff(f,z)=e[z];
DFU2:subst([EU1,EV1,EW1,EX1,EY1,EZ1],DFU1);
DFV2:subst([EU1,EV1,EW1,EX1,EY1,EZ1],DFV1);
DFW2:subst([EU1,EV1,EW1,EX1,EY1,EZ1],DFW1);
DFU2*DFU2;
GUU1:expand(%);
DFU2*DFV2;
GUV1:expand(%);
DFU2*DFW2;
GUW1:expand(%);
DFV2*DFU2;
GVU1:expand(%);
DFV2*DFV2;
GVV1:expand(%);
DFV2*DFW2;
GVW1:expand(%);
DFW2*DFU2;
GWU1:expand(%);
DFW2*DFV2;
GWW1:expand(%);
DFW2*DFW2;
GWW1:expand(%);
LI1:[x=x^"1",y=x^"2",z=x^"3",u=x^"1",
     v=x^"2",w=x^"3"];
subst(LI1,GUU1);
subst(LI1,GUV1);
subst(LI1,GUW1);
```

```
subst(LI1,GVU1);
subst(LI1,GVV1);
subst(LI1,GVW1);
subst(LI1,GWU1);
subst(LI1,GWV1);
subst(LI1,GWW1);
```

$x, y, z$  が  $u, v, w$  の関数であるとして、 $f$  を  $u, v, w$  で微分すると、

$$\frac{d}{du} f = \left( \frac{d}{dz} f \right) \left( \frac{d}{du} z \right) + \left( \frac{d}{dy} f \right) \left( \frac{d}{du} y \right) + \left( \frac{d}{dx} f \right) \left( \frac{d}{du} x \right)$$

$$\frac{d}{dv} f = \left( \frac{d}{dz} f \right) \left( \frac{d}{dv} z \right) + \left( \frac{d}{dy} f \right) \left( \frac{d}{dv} y \right) + \left( \frac{d}{dx} f \right) \left( \frac{d}{dv} x \right)$$

$$\frac{d}{dw} f = \left( \frac{d}{dz} f \right) \left( \frac{d}{dw} z \right) + \left( \frac{d}{dy} f \right) \left( \frac{d}{dw} y \right) + \left( \frac{d}{dx} f \right) \left( \frac{d}{dw} x \right)$$

(4.6.154)

上式に下記の置き換えを行うと、

$$\frac{d}{du} f = e_u, \quad \frac{d}{dv} f = e_v, \quad \frac{d}{dw} f = e_w$$

$$\frac{d}{dx} f = e_x, \quad \frac{d}{dy} f = e_y, \quad \frac{d}{dz} f = e_z$$

$$e_u = e_z \left( \frac{d}{du} z \right) + e_y \left( \frac{d}{du} y \right) + e_x \left( \frac{d}{du} x \right)$$

$$e_v = e_z \left( \frac{d}{dv} z \right) + e_y \left( \frac{d}{dv} y \right) + e_x \left( \frac{d}{dv} x \right)$$

$$e_w = e_z \left( \frac{d}{dw} z \right) + e_y \left( \frac{d}{dw} y \right) + e_x \left( \frac{d}{dw} x \right)$$

(4.6.155)



ここで、 $x = x^1, y = x^2, z = x^3, u = x^1, v = x^2, w = x^3$  と置き換え、計量テンソルの定義から、 $e_x e_x = g_{11}, e_x e_y = g_{12}, e_x e_z = g_{13}, e_y e_x = g_{21}, e_y e_y = g_{22}, e_y e_z = g_{23}, e_z e_x = g_{31}, e_z e_y = g_{32}, e_z e_z = g_{33}, e_u e_u = g'_{11}, e_u e_v = g'_{12}, e_u e_w = g'_{13}, e_v e_u = g'_{21}, e_v e_v = g'_{22}, e_v e_w = g'_{23}, e_w e_u = g'_{31}, e_w e_v = g'_{32}, e_w e_w = g'_{33}$  と置き換えると、

$$\begin{aligned}
g_{11} &= \left(\frac{d}{dx^1} x^3\right)^2 g_{33} + 2 \left(\frac{d}{dx^1} x^2\right) \left(\frac{d}{dx^1} x^3\right) g_{23} + 2 \left(\frac{d}{dx^1} x^1\right) \left(\frac{d}{dx^1} x^3\right) g_{13} \\
&\quad + \left(\frac{d}{dx^1} x^2\right)^2 g_{22} + 2 \left(\frac{d}{dx^1} x^1\right) \left(\frac{d}{dx^1} x^2\right) g_{12} + \left(\frac{d}{dx^1} x^1\right)^2 g_{11} \\
g_{12} &= \left(\frac{d}{dx^1} x^3\right) \left(\frac{d}{dx^2} x^3\right) g_{33} + \left(\frac{d}{dx^1} x^2\right) \left(\frac{d}{dx^2} x^3\right) g_{23} + \left(\frac{d}{dx^1} x^1\right) \left(\frac{d}{dx^2} x^3\right) g_{13} \\
&\quad + \left(\frac{d}{dx^2} x^2\right) \left(\frac{d}{dx^1} x^3\right) g_{32} + \left(\frac{d}{dx^2} x^1\right) \left(\frac{d}{dx^1} x^3\right) g_{31} + \left(\frac{d}{dx^1} x^2\right) \left(\frac{d}{dx^2} x^2\right) g_{22} \\
&\quad + \left(\frac{d}{dx^1} x^1\right) \left(\frac{d}{dx^2} x^2\right) g_{12} + \left(\frac{d}{dx^2} x^1\right) \left(\frac{d}{dx^1} x^2\right) g_{21} + \left(\frac{d}{dx^1} x^1\right) \left(\frac{d}{dx^2} x^1\right) g_{11} \\
g_{13} &= \left(\frac{d}{dx^1} x^3\right) \left(\frac{d}{dx^3} x^3\right) g_{33} + \left(\frac{d}{dx^1} x^2\right) \left(\frac{d}{dx^3} x^3\right) g_{23} + \left(\frac{d}{dx^1} x^1\right) \left(\frac{d}{dx^3} x^3\right) g_{13} \\
&\quad + \left(\frac{d}{dx^3} x^2\right) \left(\frac{d}{dx^1} x^3\right) g_{32} + \left(\frac{d}{dx^3} x^1\right) \left(\frac{d}{dx^1} x^3\right) g_{31} + \left(\frac{d}{dx^1} x^2\right) \left(\frac{d}{dx^3} x^2\right) g_{22} \\
&\quad + \left(\frac{d}{dx^1} x^1\right) \left(\frac{d}{dx^3} x^2\right) g_{12} + \left(\frac{d}{dx^3} x^1\right) \left(\frac{d}{dx^1} x^2\right) g_{21} + \left(\frac{d}{dx^1} x^1\right) \left(\frac{d}{dx^3} x^1\right) g_{11} \\
g_{21} &= \left(\frac{d}{dx^1} x^3\right) \left(\frac{d}{dx^2} x^3\right) g_{33} + \left(\frac{d}{dx^1} x^2\right) \left(\frac{d}{dx^2} x^3\right) g_{23} + \left(\frac{d}{dx^1} x^1\right) \left(\frac{d}{dx^2} x^3\right) g_{13} \\
&\quad + \left(\frac{d}{dx^2} x^2\right) \left(\frac{d}{dx^1} x^3\right) g_{32} + \left(\frac{d}{dx^2} x^1\right) \left(\frac{d}{dx^1} x^3\right) g_{31} + \left(\frac{d}{dx^1} x^2\right) \left(\frac{d}{dx^2} x^2\right) g_{22} \\
&\quad + \left(\frac{d}{dx^1} x^1\right) \left(\frac{d}{dx^2} x^2\right) g_{12} + \left(\frac{d}{dx^2} x^1\right) \left(\frac{d}{dx^1} x^2\right) g_{21} + \left(\frac{d}{dx^1} x^1\right) \left(\frac{d}{dx^2} x^1\right) g_{11} \\
g_{22} &= \left(\frac{d}{dx^2} x^3\right)^2 g_{33} + 2 \left(\frac{d}{dx^2} x^2\right) \left(\frac{d}{dx^2} x^3\right) g_{23} + 2 \left(\frac{d}{dx^2} x^1\right) \left(\frac{d}{dx^2} x^3\right) g_{13} \\
&\quad + \left(\frac{d}{dx^2} x^2\right)^2 g_{22} + 2 \left(\frac{d}{dx^2} x^1\right) \left(\frac{d}{dx^2} x^2\right) g_{12} + \left(\frac{d}{dx^2} x^1\right)^2 g_{11} \\
g_{23} &= \left(\frac{d}{dx^2} x^3\right) \left(\frac{d}{dx^3} x^3\right) g_{33} + \left(\frac{d}{dx^2} x^2\right) \left(\frac{d}{dx^3} x^3\right) g_{23} + \left(\frac{d}{dx^2} x^1\right) \left(\frac{d}{dx^3} x^3\right) g_{13} \\
&\quad + \left(\frac{d}{dx^3} x^2\right) \left(\frac{d}{dx^2} x^3\right) g_{32} + \left(\frac{d}{dx^3} x^1\right) \left(\frac{d}{dx^2} x^3\right) g_{31} + \left(\frac{d}{dx^2} x^2\right) \left(\frac{d}{dx^3} x^2\right) g_{22} \\
&\quad + \left(\frac{d}{dx^2} x^1\right) \left(\frac{d}{dx^3} x^2\right) g_{12} + \left(\frac{d}{dx^3} x^1\right) \left(\frac{d}{dx^2} x^2\right) g_{21} + \left(\frac{d}{dx^2} x^1\right) \left(\frac{d}{dx^3} x^1\right) g_{11} \\
g_{31} &= \left(\frac{d}{dx^1} x^3\right) \left(\frac{d}{dx^3} x^3\right) g_{33} + \left(\frac{d}{dx^1} x^2\right) \left(\frac{d}{dx^3} x^3\right) g_{32} + \left(\frac{d}{dx^1} x^1\right) \left(\frac{d}{dx^3} x^3\right) g_{31} \\
&\quad + \left(\frac{d}{dx^3} x^2\right) \left(\frac{d}{dx^1} x^3\right) g_{23} + \left(\frac{d}{dx^3} x^1\right) \left(\frac{d}{dx^1} x^3\right) g_{13} + \left(\frac{d}{dx^1} x^2\right) \left(\frac{d}{dx^3} x^2\right) g_{22} \\
&\quad + \left(\frac{d}{dx^1} x^1\right) \left(\frac{d}{dx^3} x^2\right) g_{21} + \left(\frac{d}{dx^3} x^1\right) \left(\frac{d}{dx^1} x^2\right) g_{12} + \left(\frac{d}{dx^1} x^1\right) \left(\frac{d}{dx^3} x^1\right) g_{11} \\
g_{32} &= \left(\frac{d}{dx^2} x^3\right) \left(\frac{d}{dx^3} x^3\right) g_{33} + \left(\frac{d}{dx^2} x^2\right) \left(\frac{d}{dx^3} x^3\right) g_{32} + \left(\frac{d}{dx^2} x^1\right) \left(\frac{d}{dx^3} x^3\right) g_{31} \\
&\quad + \left(\frac{d}{dx^3} x^2\right) \left(\frac{d}{dx^2} x^3\right) g_{23} + \left(\frac{d}{dx^3} x^1\right) \left(\frac{d}{dx^2} x^3\right) g_{13} + \left(\frac{d}{dx^2} x^2\right) \left(\frac{d}{dx^3} x^2\right) g_{22} \\
&\quad + \left(\frac{d}{dx^2} x^1\right) \left(\frac{d}{dx^3} x^2\right) g_{21} + \left(\frac{d}{dx^3} x^1\right) \left(\frac{d}{dx^2} x^2\right) g_{12} + \left(\frac{d}{dx^2} x^1\right) \left(\frac{d}{dx^3} x^1\right) g_{11} \\
g_{33} &= \left(\frac{d}{dx^3} x^3\right)^2 g_{33} + 2 \left(\frac{d}{dx^3} x^2\right) \left(\frac{d}{dx^3} x^3\right) g_{32} + 2 \left(\frac{d}{dx^3} x^1\right) \left(\frac{d}{dx^3} x^3\right) g_{31} \\
&\quad + \left(\frac{d}{dx^3} x^2\right)^2 g_{22} + 2 e_{x^1} \left(\frac{d}{dx^3} x^1\right) \left(\frac{d}{dx^3} x^2\right) g_{21} + \left(\frac{d}{dx^3} x^1\right)^2 g_{11}
\end{aligned} \tag{4.6.157}$$

上式を縮約すると下記となり、次頁の(4.6.171)式の変換テンソルの座標変換の結果と一致している。

$$g_{ij} = \frac{dx^k}{dx'^i} \frac{dx^l}{dx'^j} g_{kl} \tag{4.6.158}$$



```

kill(all);
load("vect")$
load(itensor)$
depends([x],[u]);
depends([g],[x]);
depends([gu],[u]);
GUX1:gu([i],[j],[l])='diff(x[a],u[i],1)
*'diff(x[b],u[j],1)*g([a],[b],[l]);
ishow(%);
DLX1:g([l],[b],[k])*g([l],[b],[k])=
\delta([l],[k]);
ishow(%);
DLX2:solve(DLX1,\delta([l],[k]))[1];
ishow(%);
DLU1:gu([i],[a],[j])*gu([j],[a],[i])=
\Delta([i],[j]);
ishow(%);
DLU2:solve(DLU1,\Delta([i],[j]))[1];
ishow(%);
DLUX1:\Delta([i],[j])='diff(x[l],u[i],1)
*'diff(u[j],x[k],1)*\delta([l],[k]);
ishow(%);
DLUX2:subst([DLX2,DLU2],DLUX1);
ishow(%);
GUX2:subst([a=1,j=a],GUX1);
ishow(%);
GUX21:subst([GUX2],DLUX2);
ishow(%);
GUX22:GUX21/g([l],[b],[k]);
ishow(%);
GUX23:GUX22*'diff(u[i],x[l],1)
*'diff(u[a],x[b],1);
ishow(%);
GUX24:gu([j],[a],[i])=g([j],[a],[i])
*('diff(u[a],x[b],1))*('diff(u[j],x[k],1));
ishow(%);

```

基底ベクトルの計量テンソル： $g_{i,j}$ 、双対基底ベクトルの計量テンソル： $g^{k,l}$  とし、 $x_i$  の関数、 $g_{u_i,j}$ 、 $g^{k,l}$  は  $u_i$  の関数とする。基底ベクトルの計量テンソルの座標変換関係式は (4.6.158) 式を書き換えて、

$$g_{u_i,j} = \left( \frac{d}{d u_i} x_a \right) g_{ab} \left( \frac{d}{d u_j} x_b \right) \quad (4.6.159)$$

基底ベクトルの計量テンソルと双対基底ベクトルの計量テンソルの関係は、

$$g^{bk} g_{lb} = \delta_l^k \quad (4.6.160)$$

$$g^{aj} g_{u_{ia}} = \delta_i^j \quad (4.6.161)$$

$\delta_l^k$  は混合テンソルであるから、この座標変換関係式は、

$$\delta u_i^j = \left( \frac{d}{d x_k} u_j \right) \left( \frac{d}{d u_i} x_l \right) \delta_l^k \quad (4.6.162)$$

上式に (4.6.160) 式、(4.6.161) 式を代入すると、

$$g^{aj} g_{u_{ia}} = g^{bk} \left( \frac{d}{d x_k} u_j \right) \left( \frac{d}{d u_i} x_l \right) g_{lb} \quad (4.6.163)$$

(4.6.159) 式を書き直すと、

$$g_{u_{ia}} = \left( \frac{d}{d u_a} x_b \right) \left( \frac{d}{d u_i} x_l \right) g_{lb}$$

(4.6.163) 式に上式を代入すると、

$$\begin{aligned} g^{aj} \left( \frac{d}{d u_a} x_b \right) \left( \frac{d}{d u_i} x_l \right) g_{lb} \\ = g^{bk} \left( \frac{d}{d x_k} u_j \right) \left( \frac{d}{d u_i} x_l \right) g_{lb} \end{aligned} \quad (4.6.164)$$

上式を整理すると、

$$g^{aj} \left( \frac{d}{d u_a} x_b \right) \left( \frac{d}{d u_i} x_l \right) = g^{bk} \left( \frac{d}{d x_k} u_j \right) \left( \frac{d}{d u_i} x_l \right)$$

上式の両辺に  $\left( \frac{d}{d x_b} u_a \right) \left( \frac{d}{d x_l} u_i \right)$  を掛けると、

$$\begin{aligned} g^{aj} \left( \frac{d}{d x_b} u_a \right) \left( \frac{d}{d u_a} x_b \right) \left( \frac{d}{d x_l} u_i \right) \left( \frac{d}{d u_i} x_l \right) \\ = g^{bk} \left( \frac{d}{d x_b} u_a \right) \left( \frac{d}{d x_l} u_i \right) \left( \frac{d}{d x_k} u_j \right) \left( \frac{d}{d u_i} x_l \right) \end{aligned} \quad (4.6.165)$$

上式で、 $\left( \frac{d}{d x_b} u_a \right) \left( \frac{d}{d u_a} x_b \right) = 1$ 、 $\left( \frac{d}{d x_l} u_i \right) \left( \frac{d}{d u_i} x_l \right) = 1$  であるから、双対基底ベクトルの計量テンソルの座標変換関係式は、

$$g^{aj} = g^{bk} \left( \frac{d}{d x_b} u_a \right) \left( \frac{d}{d x_k} u_j \right) \quad (4.6.166)$$

## 4.6.13.8 ベクトル・テンソルの座標変換まとめ

ベクトル： $\vec{A}$  は反変成分、共変成分で表すと、

$$\vec{A} = A^i \vec{e}_i = A_i \vec{e}^i \quad (4.6.167)$$

ベクトルの反変成分の座標変換は、(4.6.131) 式から、もとの座標系の反変成分： $A^j$ 、新しい座標系の反変成分： $A'^i$  とすると、

$$A'^i = \frac{dx'^i}{dx^j} A^j \quad (4.6.168)$$

ベクトルの共変成分の座標変換は、(4.6.137) 式から、もとの座標系の共変成分： $A_j$ 、新しい座標系の共変成分： $A_i$  とすると、

$$A_i = \frac{dx^j}{dx'^i} A_j \quad (4.6.169)$$

(4.6.168) 式から、もとの座標系の反変テンソル成分： $A^{kl}$ 、新しい座標系の反変テンソル成分： $A'^{ij}$  とすると、

$$A'^{ij} = \frac{dx'^i}{dx^k} \frac{dx'^j}{dx^l} A^{kl} \quad (4.6.170)$$

(4.6.169) 式から、もとの座標系の共変テンソル成分： $A_{kl}$ 、新しい座標系の共変テンソル成分： $A_{ij}$  とすると、

$$A_{ij} = \frac{dx^k}{dx'^i} \frac{dx^l}{dx'^j} A_{kl} \quad (4.6.171)$$

混合テンソルでは、(4.6.168) 式、(4.6.169) 式から、もとの座標系の混合テンソル成分： $A_l^k$ 、新しい座標系の混合テンソル成分： $A_j^i$  とすると、

$$A_j^i = \frac{dx'^i}{dx^k} \frac{dx^l}{dx'^j} A_l^k \quad (4.6.172)$$

## 4.6.14 ベクトル・テンソルの微分

## 4.6.14.1 反変ベクトルの微分 (クリストフェルの記号)

反変ベクトル:  $\vec{A}$  の微分について検討する。

```
kill(all);
load("vect")$
load(itensor)$
depends([A,e],[x[j]]);
depends([u,v,w],[x[1],x[2],x[3],x[i],x[j]]);
A1:A=A([],[i])*e([i],[j]);
ishow(%);
A11:lhs(A1)=sum(rhs(A1),i,1,3);
ishow(%);
DA1:diff(A1,x[j],1);
ishow(%);
DA11:lhs(DA1)=sum(rhs(DA1),i,1,3);
ishow(%);
```

反変ベクトル:  $\vec{A}$  を基底ベクトル:  $\vec{e}_1, \vec{e}_2, \vec{e}_3$  で表し、基底ベクトルが  $x^1, x^2, x^3$  の関数であるとする。反変ベクトル:  $\vec{A}$  は、

$$\vec{A} = \vec{e}_3 A^3 + \vec{e}_2 A^2 + \vec{e}_1 A^1 \quad (4.6.173)$$

反変ベクトル:  $\vec{A}$  を  $x^3$  で微分すると、

$$\begin{aligned} \frac{d}{dx^3} \vec{A} &= \vec{e}_3 \left( \frac{d}{dx^3} A^3 \right) + \vec{e}_2 \left( \frac{d}{dx^3} A^2 \right) \\ &+ \vec{e}_1 \left( \frac{d}{dx^3} A^1 \right) + \left( \frac{d}{dx^3} \vec{e}_3 \right) A^3 \quad (4.6.174) \\ &+ \left( \frac{d}{dx^3} \vec{e}_2 \right) A^2 + \left( \frac{d}{dx^3} \vec{e}_1 \right) A^1 \end{aligned}$$

上式を縮約すると、

$$\frac{d}{dx^j} \vec{A} = \vec{e}_i \left( \frac{d}{dx^j} A^i \right) + \left( \frac{d}{dx^j} \vec{e}_i \right) A^i \quad (4.6.175)$$

```
LI3:[x[i]=x([],[i]),x[j]=x([],[j]),
x[k]=x([],[k])];
DEIJ0:diff(e([i],[j]),x[j],1)=
Gamma([i],[j],[k])*e([k],[j]);
ishow(%);
DEIJ1:lhs(DEIJ0)=sum(rhs(DEIJ0),k,1,3);
ishow(%);
DEIJ2:subst([LI3],DEIJ1);
ishow(%);
DEI1:subst([i=1,j=1],DEIJ2);
DEI11:ishow(%);
DEI2:subst([i=1,j=2],DEIJ2);
DEI21:ishow(%);
DEI3:subst([i=1,j=3],DEIJ2);
DEI31:ishow(%);
```

```
DE21:subst([i=2,j=1],DEIJ2);
DE211:ishow(%);
DE22:subst([i=2,j=2],DEIJ2);
DE221:ishow(%);
DE23:subst([i=2,j=3],DEIJ2);
DE231:ishow(%);
DE31:subst([i=3,j=1],DEIJ2);
DE311:ishow(%);
DE32:subst([i=3,j=2],DEIJ2);
DE321:ishow(%);
DE33:subst([i=3,j=3],DEIJ2);
DE331:ishow(%);
```

(4.6.175) 式の  $\vec{e}_i$  の  $x^j$  による微分を、基底ベクトルと重み係数 (クリストフェルの記号):  $\Gamma_{ij}^k$  で下記のように定義する。

$$\frac{d}{dx^j} \vec{e}_i = \vec{e}_3 \Gamma_{ij}^3 + \vec{e}_2 \Gamma_{ij}^2 + \vec{e}_1 \Gamma_{ij}^1 \quad (4.6.176)$$

上式を縮約すると、

$$\frac{d}{dx^j} \vec{e}_i = \vec{e}_k \Gamma_{ij}^k \quad (4.6.177)$$

具体的には下記に示すように、27 個のクリストフェルの記号が必要となる。

$$\frac{d}{dx^1} \vec{e}_1 = \Gamma_{11}^3 \vec{e}_3 + \Gamma_{11}^2 \vec{e}_2 + \vec{e}_1 \Gamma_{11}^1$$

$$\frac{d}{dx^2} \vec{e}_1 = \Gamma_{12}^3 \vec{e}_3 + \Gamma_{12}^2 \vec{e}_2 + \vec{e}_1 \Gamma_{12}^1$$

$$\frac{d}{dx^3} \vec{e}_1 = \Gamma_{13}^3 \vec{e}_3 + \Gamma_{13}^2 \vec{e}_2 + \vec{e}_1 \Gamma_{13}^1$$

$$\frac{d}{dx^1} \vec{e}_2 = \Gamma_{21}^3 \vec{e}_3 + \Gamma_{21}^2 \vec{e}_2 + \vec{e}_1 \Gamma_{21}^1$$

$$\frac{d}{dx^2} \vec{e}_2 = \Gamma_{22}^3 \vec{e}_3 + \Gamma_{22}^2 \vec{e}_2 + \vec{e}_1 \Gamma_{22}^1$$

$$\frac{d}{dx^3} \vec{e}_2 = \Gamma_{23}^3 \vec{e}_3 + \Gamma_{23}^2 \vec{e}_2 + \vec{e}_1 \Gamma_{23}^1$$

$$\frac{d}{dx^1} \vec{e}_3 = \Gamma_{31}^3 \vec{e}_3 + \Gamma_{31}^2 \vec{e}_2 + \vec{e}_1 \Gamma_{31}^1$$

$$\frac{d}{dx^2} \vec{e}_3 = \Gamma_{32}^3 \vec{e}_3 + \Gamma_{32}^2 \vec{e}_2 + \vec{e}_1 \Gamma_{32}^1$$

$$\frac{d}{dx^3} \vec{e}_3 = \Gamma_{33}^3 \vec{e}_3 + \Gamma_{33}^2 \vec{e}_2 + \vec{e}_1 \Gamma_{33}^1$$

```

DEIJO*e([], [1]);
DEIJL:ishow(%);
subst([k=1], DEIJL);
ishow(%);
Gamma([i, j], [1])=lhs(%);
DEIJL1:ishow(%);
e[i]=matrix([diff(u, x[i], 1)],
             [diff(v, x[i], 1)], [diff(w, x[i], 1)]);
DEIJA:'diff(lhs(%), x[j], 1)=
diff(rhs(%), x[j], 1);
e[j]=matrix([diff(u, x[j], 1)],
             [diff(v, x[j], 1)], [diff(w, x[j], 1)]);
DEJIA:'diff(lhs(%), x[i], 1)
=diff(rhs(%), x[i], 1);
lhs(DEIJA)=lhs(DEJIA);
lhs(DEIJL1)=ishow('diff(e[i], x[j], 1))/2
*e([], [1])+ishow('diff(e[j], x[i], 1))/2
*e([], [1]);
DEIJL2:ishow(%);
subst([LI3], %);
DEIJL21:ishow(%);

```

(4.6.177) 式に  $\vec{e}^l$  を掛けると、

$$\vec{e}^l \left( \frac{d}{dx^j} \vec{e}_i \right) = \vec{e}^l \Gamma_{ij}^k \vec{e}_k$$

$\vec{e}^l \cdot \vec{e}_k = 1$  at  $l = k$   $\vec{e}^l \cdot \vec{e}_k = 0$  at  $l \neq k$  だから、  
 $k \rightarrow l$  として、

$$\Gamma_{ij}^l = \vec{e}^l \left( \frac{d}{dx^j} \vec{e}_i \right) \quad (4.6.178)$$

基底ベクトルは (4.6.147) 式から、 $x^1, x^2, x^3$  を  $u, v, w$  と置き換えて、次式で表せる。

$$\vec{e}_i = \begin{pmatrix} \frac{d}{dx^i} u \\ \frac{d}{dx^i} v \\ \frac{d}{dx^i} w \end{pmatrix}, \quad \vec{e}_j = \begin{pmatrix} \frac{d}{dx^j} u \\ \frac{d}{dx^j} v \\ \frac{d}{dx^j} w \end{pmatrix}$$

上式を各々  $x^i, x^j$  で微分すると、

$$\frac{d}{dx^j} \vec{e}_i = \begin{pmatrix} \frac{d^2}{dx^i dx^j} u \\ \frac{d^2}{dx^i dx^j} v \\ \frac{d^2}{dx^i dx^j} w \end{pmatrix}, \quad \frac{d}{dx^i} \vec{e}_j = \begin{pmatrix} \frac{d^2}{dx^i dx^j} u \\ \frac{d^2}{dx^i dx^j} v \\ \frac{d^2}{dx^i dx^j} w \end{pmatrix}$$

上式の右辺は等しいので、

$$\frac{d}{dx^j} \vec{e}_i = \frac{d}{dx^i} \vec{e}_j \quad (4.6.179)$$

上式から、(4.6.178) 式は下記のように書き換えられる。

$$\Gamma_{ij}^l = \frac{\vec{e}^l \left( \frac{d}{dx^i} \vec{e}_j \right)}{2} + \frac{\vec{e}^l \left( \frac{d}{dx^j} \vec{e}_i \right)}{2} \quad (4.6.180)$$

```

DEI01:'diff(e[k], x[j], 1)/2*e([i], [1])*
g([], [k, 1]);
ishow(%);
DEI011:subst([LI3], %);
ishow(%);
DEI02:'diff(e[j], x[k], 1)/2*e([i], [1])*
g([], [k, 1]);
ishow(%);
DEI021:subst([LI3], %);
ishow(%);
DEI03:ishow('diff(e[k], x[i], 1))/2*
e([j], [1])*g([], [k, 1]);
ishow(%);
DEI031:subst([LI3], %);
ishow(%);
DEI04:'diff(e[i], x[k], 1)/2*e([j], [1])*
g([], [k, 1]);
ishow(%);
DEI041:subst([LI3], %);
ishow(%);
DEI011-DEI021+DEI031-DEI041;
ishow(%);
subst([LI3], %);
ishow(%);

```

また、(4.6.179) 式を使って、零となる次式を考える。

$$\frac{g^{kl} \vec{e}_i \left( \frac{d}{dx^j} \vec{e}_k \right)}{2} + \frac{g^{kl} \vec{e}_j \left( \frac{d}{dx^i} \vec{e}_k \right)}{2} - \frac{g^{kl} \left( \frac{d}{dx^k} \vec{e}_i \right) \vec{e}_j}{2} - \frac{g^{kl} \vec{e}_i \left( \frac{d}{dx^k} \vec{e}_j \right)}{2} = 0 \quad (4.6.181)$$

```

GKL1:g([], [k, 1])=e([], [k])*e([], [1]);
ishow(%);
GKL1*e([k], [1]);
ishow(%);
e([], [1])=lhs(%);
EL1:ishow(%);
lhs(DEIJL2)=rhs(DEIJL2)+DEI01-DEI02+DEI03
-DEI04;
ishow(%);
subst([EL1], %);
ishow(%);
factor(%);
GKL2:ishow(%);
subst([LI3], %);
ishow(%);

```

計量テンソルの定義から、

$$g^{kl} = \vec{e}^k \cdot \vec{e}^l$$

上式に  $\vec{e}_k$  を掛け、

$$g^{kl} \vec{e}_k = \vec{e}^k \vec{e}^l \vec{e}_k$$

$\vec{e}^k \cdot \vec{e}_k = 1$  だから、

$$\vec{e}^l = g^{kl} \vec{e}_k \quad (4.6.182)$$

(4.6.180) 式と (4.6.181) 式の和をとり、(4.6.182) 式を代入すると、

$$\begin{aligned} \Gamma_{ij}^l = & \frac{g^{kl} \left( \frac{d}{dx^i} \vec{e}_j \right) \vec{e}_k}{2} + \frac{g^{kl} \left( \frac{d}{dx^j} \vec{e}_i \right) \vec{e}_k}{2} \\ & + \frac{g^{kl} \vec{e}^i \left( \frac{d}{dx^j} \vec{e}_k \right)}{2} + \frac{g^{kl} \vec{e}_j \left( \frac{d}{dx^i} \vec{e}_k \right)}{2} \\ & - \frac{g^{kl} \left( \frac{d}{dx^k} \vec{e}_i \right) \vec{e}_j}{2} - \frac{g^{kl} \vec{e}_i \left( \frac{d}{dx^k} \vec{e}_j \right)}{2} \end{aligned} \quad (4.6.183)$$

上式を整理すると、

$$\begin{aligned} \Gamma_{ij}^l = & \frac{g^{kl}}{2} \left( \left( \frac{d}{dx^i} \vec{e}_j \right) \vec{e}_k + \left( \frac{d}{dx^j} \vec{e}_i \right) \vec{e}_k \right. \\ & + \vec{e}_i \left( \frac{d}{dx^j} \vec{e}_k \right) + \vec{e}_j \left( \frac{d}{dx^i} \vec{e}_k \right) \\ & \left. - \left( \frac{d}{dx^k} \vec{e}_i \right) \vec{e}_j - \vec{e}_i \left( \frac{d}{dx^k} \vec{e}_j \right) \right) \end{aligned} \quad (4.6.184)$$

```
EKL1:(e([i],[ ]))*e([k],[ ]);
diff(% ,x[j],1)='diff(EKL1,x[j],1);
EKL11:ishow(%);
%-last(lhs(%));
%/(e([i],[ ]));
ishow(%);
EKL12:'diff(e[k],x[j],1)=rhs(%);
subst([LI3],%);
ishow(%);
EKL2:ishow(e([j],[ ]))*ishow(e([k],[ ]));
diff(% ,x[i],1)='diff(EKL2,x[i],1);
EKL21:ishow(%);
%-first(lhs(%));
%/(e([k],[ ]));
ishow(%);
EKL22:'diff(e[j],x[i],1)=rhs(%);
subst([LI3],%);
ishow(%);
```

```
EKL3:ishow(e([i],[ ]))*ishow(e([j],[ ]));
diff(% ,x[k],1)='diff(EKL3,x[k],1);
EKL31:ishow(%);
%-first(lhs(%));
%/(e([j],[ ]));
ishow(%);
EKL32:'diff(e[i],x[k],1)=rhs(%);
subst([LI3],%);
ishow(%);
subst([EKL12,EKL22,EKL32],GKL2);
ishow(%);
subst(['diff(e[k],[ ],x[i],1)='
'diff(e[k],x[i],1)],%);
subst(['diff(e[j],[ ],x[k],1)='
'diff(e[j],x[k],1)],%);
subst(['diff(e[i],[ ],x[j],1)='
'diff(e[i],x[j],1)],%);
subst([e([j],[ ])*e([k],[ ])=g([j,k],[ ])],%);
subst([e([i],[ ])*e([k],[ ])=g([k,i],[ ])],%);
subst([e([i],[ ])*e([j],[ ])=g([i,j],[ ])],%);
GIJL3:ishow(%);
subst([LI3],%);
ishow(%);
GIJL4:lhs(GIJL3)=sum(rhs(GIJL3),k,1,3);
ishow(%);
subst([LI3],%);
ishow(%);
```

$\vec{e}_i \cdot \vec{e}_k$  を  $x_j$  で微分する。他も同様にして、

$$\begin{aligned} \vec{e}_i \left( \frac{d}{dx^j} \vec{e}_k \right) + \left( \frac{d}{dx^j} \vec{e}_i \right) \vec{e}_k &= \frac{d}{dx^j} (\vec{e}_i \vec{e}_k) \\ \vec{e}_j \left( \frac{d}{dx^i} \vec{e}_k \right) + \left( \frac{d}{dx^i} \vec{e}_j \right) \vec{e}_k &= \frac{d}{dx^i} (\vec{e}_j \vec{e}_k) \\ \vec{e}_i \left( \frac{d}{dx^k} \vec{e}_j \right) + \left( \frac{d}{dx^k} \vec{e}_i \right) \vec{e}_j &= \frac{d}{dx^k} (\vec{e}_i \vec{e}_j) \end{aligned} \quad (4.6.185)$$

上式から、

$$\begin{aligned} \frac{d}{dx^j} \vec{e}_k &= \frac{\frac{d}{dx^j} (\vec{e}_i \vec{e}_k) - \left( \frac{d}{dx^j} \vec{e}_i \right) \vec{e}_k}{\vec{e}_i} \\ \frac{d}{dx^i} \vec{e}_j &= \frac{\frac{d}{dx^i} (\vec{e}_j \vec{e}_k) - \vec{e}_j \left( \frac{d}{dx^i} \vec{e}_k \right)}{\vec{e}_k} \\ \frac{d}{dx^k} \vec{e}_i &= \frac{\frac{d}{dx^k} (\vec{e}_i \vec{e}_j) - \vec{e}_i \left( \frac{d}{dx^k} \vec{e}_j \right)}{\vec{e}_j} \end{aligned} \quad (4.6.186)$$

(4.6.184) 式に上式を代入すると、

$$\begin{aligned} \Gamma_{ij}^l = & \frac{g^{kl}}{2} \left( \frac{d}{dx^i} (\vec{e}_j^l \vec{e}_k^l) + \frac{d}{dx^j} (\vec{e}_i^l \vec{e}_k^l) \right. \\ & - \vec{e}_j^l \left( \frac{d}{dx^i} \vec{e}_k^l \right) - \left( \frac{d}{dx^j} \vec{e}_i^l \right) \vec{e}_k^l \\ & + \left( \frac{d}{dx^j} \vec{e}_i^l \right) \vec{e}_k^l + \vec{e}_j^l \left( \frac{d}{dx^i} \vec{e}_k^l \right) \\ & - \frac{d}{dx^k} (\vec{e}_i^l \vec{e}_j^l) + \vec{e}_i^l \left( \frac{d}{dx^k} \vec{e}_j^l \right) \\ & \left. - \vec{e}_i^l \left( \frac{d}{dx^k} \vec{e}_j^l \right) \right) \end{aligned} \quad (4.6.187)$$

$\vec{e}_j^l \vec{e}_k^l = g_{jk}$  であり、他も同様にして、上式に代入し、整理すると、クリストフェルの記号が得られる。

$$\Gamma_{ij}^l = \frac{g^{kl} \left( \frac{d}{dx^j} g_{ki} + \frac{d}{dx^i} g_{jk} - \frac{d}{dx^k} g_{ij} \right)}{2} \quad (4.6.188)$$

上式を  $k = 1 \rightarrow 3$  で展開すると、

$$\begin{aligned} \Gamma_{ij}^l = & \frac{g^{3l} \left( \frac{d}{dx^i} g_{j3} - \frac{d}{dx^3} g_{ij} + \frac{d}{dx^j} g_{3i} \right)}{2} \\ & + \frac{g^{2l} \left( \frac{d}{dx^i} g_{j2} - \frac{d}{dx^2} g_{ij} + \frac{d}{dx^j} g_{2i} \right)}{2} \\ & + \frac{g^{1l} \left( \frac{d}{dx^i} g_{j1} - \frac{d}{dx^1} g_{ij} + \frac{d}{dx^j} g_{1i} \right)}{2} \end{aligned} \quad (4.6.189)$$

```
LI11: [x[1]=x([],[1]),x[2]=x([],[2]),
x[3]=x([],[3])];
subst([i=1,j=1,l=1],GIJL4);
GIJL4111:ishow(%);
subst([LI11],%);
ishow(%);
subst([i=1,j=1,l=2],GIJL4);
GIJL4112:ishow(%);
subst([LI11],%);
ishow(%);
subst([i=1,j=1,l=3],GIJL4);
GIJL4113:ishow(%);
subst([LI11],%);
ishow(%);
subst([i=1,j=2,l=1],GIJL4);
GIJL4121:ishow(%);
subst([LI11],%);
ishow(%);
```

```
subst([i=1,j=2,l=2],GIJL4);
GIJL4122:ishow(%);
subst([LI11],%);
ishow(%);
subst([i=1,j=2,l=3],GIJL4);
GIJL4123:ishow(%);
subst([LI11],%);
ishow(%);
subst([i=1,j=3,l=1],GIJL4);
GIJL4131:ishow(%);
subst([LI11],%);
ishow(%);
subst([i=1,j=3,l=2],GIJL4);
GIJL4132:ishow(%);
subst([LI11],%);
ishow(%);
subst([i=1,j=3,l=3],GIJL4);
GIJL4133:ishow(%);
subst([LI11],%);
ishow(%);
subst([i=2,j=1,l=1],GIJL4);
GIJL4121:ishow(%);
subst([LI11],%);
ishow(%);
subst([i=2,j=1,l=2],GIJL4);
GIJL4122:ishow(%);
subst([LI11],%);
ishow(%);
subst([i=2,j=1,l=3],GIJL4);
GIJL4123:ishow(%);
subst([LI11],%);
ishow(%);
```

具体的に  $i, j, l$  を変えて、クリストフェルの記号  $\Gamma_{ij}^l$  の一部を (4.6.188) 式から求めると、

$$\begin{aligned}\Gamma_{11}^1 &= \frac{g^{31} \left( \frac{d}{dx^1} g_{31} + \frac{d}{dx^1} g_{13} - \frac{d}{dx^3} g_{11} \right)}{2} + \frac{g^{21} \left( \frac{d}{dx^1} g_{21} + \frac{d}{dx^1} g_{12} - \frac{d}{dx^2} g_{11} \right)}{2} + \frac{g^{11} \left( \frac{d}{dx^1} g_{11} \right)}{2} \\ \Gamma_{11}^2 &= \frac{g^{32} \left( \frac{d}{dx^1} g_{31} + \frac{d}{dx^1} g_{13} - \frac{d}{dx^3} g_{11} \right)}{2} + \frac{g^{22} \left( \frac{d}{dx^1} g_{21} + \frac{d}{dx^1} g_{12} - \frac{d}{dx^2} g_{11} \right)}{2} + \frac{g^{12} \left( \frac{d}{dx^1} g_{11} \right)}{2} \\ \Gamma_{11}^3 &= \frac{g^{33} \left( \frac{d}{dx^1} g_{31} + \frac{d}{dx^1} g_{13} - \frac{d}{dx^3} g_{11} \right)}{2} + \frac{g^{23} \left( \frac{d}{dx^1} g_{21} + \frac{d}{dx^1} g_{12} - \frac{d}{dx^2} g_{11} \right)}{2} + \frac{g^{13} \left( \frac{d}{dx^1} g_{11} \right)}{2} \\ \\ \Gamma_{12}^1 &= \frac{g^{31} \left( \frac{d}{dx^2} g_{31} + \frac{d}{dx^1} g_{23} - \frac{d}{dx^3} g_{12} \right)}{2} + \frac{g^{21} \left( \frac{d}{dx^1} g_{22} + \frac{d}{dx^2} g_{21} - \frac{d}{dx^2} g_{12} \right)}{2} + \frac{g^{11} \left( \frac{d}{dx^1} g_{21} - \frac{d}{dx^1} g_{12} + \frac{d}{dx^2} g_{11} \right)}{2} \\ \Gamma_{12}^2 &= \frac{g^{32} \left( \frac{d}{dx^2} g_{31} + \frac{d}{dx^1} g_{23} - \frac{d}{dx^3} g_{12} \right)}{2} + \frac{g^{22} \left( \frac{d}{dx^1} g_{22} + \frac{d}{dx^2} g_{21} - \frac{d}{dx^2} g_{12} \right)}{2} + \frac{g^{12} \left( \frac{d}{dx^1} g_{21} - \frac{d}{dx^1} g_{12} + \frac{d}{dx^2} g_{11} \right)}{2} \\ \Gamma_{12}^3 &= \frac{g^{33} \left( \frac{d}{dx^2} g_{31} + \frac{d}{dx^1} g_{23} - \frac{d}{dx^3} g_{12} \right)}{2} + \frac{g^{23} \left( \frac{d}{dx^1} g_{22} + \frac{d}{dx^2} g_{21} - \frac{d}{dx^2} g_{12} \right)}{2} + \frac{g^{13} \left( \frac{d}{dx^1} g_{21} - \frac{d}{dx^1} g_{12} + \frac{d}{dx^2} g_{11} \right)}{2} \\ \\ \Gamma_{13}^1 &= \frac{g^{31} \left( \frac{d}{dx^1} g_{33} + \frac{d}{dx^3} g_{31} - \frac{d}{dx^3} g_{13} \right)}{2} + \frac{g^{21} \left( \frac{d}{dx^1} g_{32} + \frac{d}{dx^3} g_{21} - \frac{d}{dx^2} g_{13} \right)}{2} + \frac{g^{11} \left( \frac{d}{dx^1} g_{31} - \frac{d}{dx^1} g_{13} + \frac{d}{dx^3} g_{11} \right)}{2} \\ \Gamma_{13}^2 &= \frac{g^{32} \left( \frac{d}{dx^1} g_{33} + \frac{d}{dx^3} g_{31} - \frac{d}{dx^3} g_{13} \right)}{2} + \frac{g^{22} \left( \frac{d}{dx^1} g_{32} + \frac{d}{dx^3} g_{21} - \frac{d}{dx^2} g_{13} \right)}{2} + \frac{g^{12} \left( \frac{d}{dx^1} g_{31} - \frac{d}{dx^1} g_{13} + \frac{d}{dx^3} g_{11} \right)}{2} \\ \Gamma_{13}^3 &= \frac{g^{33} \left( \frac{d}{dx^1} g_{33} + \frac{d}{dx^3} g_{31} - \frac{d}{dx^3} g_{13} \right)}{2} + \frac{g^{23} \left( \frac{d}{dx^1} g_{32} + \frac{d}{dx^3} g_{21} - \frac{d}{dx^2} g_{13} \right)}{2} + \frac{g^{13} \left( \frac{d}{dx^1} g_{31} - \frac{d}{dx^1} g_{13} + \frac{d}{dx^3} g_{11} \right)}{2} \\ \\ \Gamma_{21}^1 &= \frac{g^{31} \left( \frac{d}{dx^1} g_{32} - \frac{d}{dx^3} g_{21} + \frac{d}{dx^2} g_{13} \right)}{2} + \frac{g^{21} \left( \frac{d}{dx^1} g_{22} - \frac{d}{dx^2} g_{21} + \frac{d}{dx^2} g_{12} \right)}{2} + \frac{g^{11} \left( -\frac{d}{dx^1} g_{21} + \frac{d}{dx^1} g_{12} + \frac{d}{dx^2} g_{11} \right)}{2} \\ \Gamma_{21}^2 &= \frac{g^{32} \left( \frac{d}{dx^1} g_{32} - \frac{d}{dx^3} g_{21} + \frac{d}{dx^2} g_{13} \right)}{2} + \frac{g^{22} \left( \frac{d}{dx^1} g_{22} - \frac{d}{dx^2} g_{21} + \frac{d}{dx^2} g_{12} \right)}{2} + \frac{g^{12} \left( -\frac{d}{dx^1} g_{21} + \frac{d}{dx^1} g_{12} + \frac{d}{dx^2} g_{11} \right)}{2} \\ \Gamma_{21}^3 &= \frac{g^{33} \left( \frac{d}{dx^1} g_{32} - \frac{d}{dx^3} g_{21} + \frac{d}{dx^2} g_{13} \right)}{2} + \frac{g^{23} \left( \frac{d}{dx^1} g_{22} - \frac{d}{dx^2} g_{21} + \frac{d}{dx^2} g_{12} \right)}{2} + \frac{g^{13} \left( -\frac{d}{dx^1} g_{21} + \frac{d}{dx^1} g_{12} + \frac{d}{dx^2} g_{11} \right)}{2}\end{aligned}$$

## (1) 極座標のクリストフェルの記号

下記のクリストフェルの記号：(4.6.189) 式に極座標系の計量テンソル：(4.6.149) 式、(4.6.150) 式を代入して、極座標のクリストフェルの記号を求めることができる。ここで  $x^1 = r$ ,  $x^2 = \theta$ ,  $x^3 = \phi$  である。

$$\begin{aligned} \Gamma_{ij}^l = & \frac{g^{3l} \left( \frac{d}{dx^i} g_{j3} - \frac{d}{dx^3} g_{ij} + \frac{d}{dx^j} g_{3i} \right)}{2} \\ & + \frac{g^{2l} \left( \frac{d}{dx^i} g_{j2} - \frac{d}{dx^2} g_{ij} + \frac{d}{dx^j} g_{2i} \right)}{2} \\ & + \frac{g^{1l} \left( \frac{d}{dx^i} g_{j1} - \frac{d}{dx^1} g_{ij} + \frac{d}{dx^j} g_{1i} \right)}{2} \end{aligned} \quad (4.6.190)$$

```
kill(all);
load("vect")$
load(itensor)$
X1:x=r*cos(phi)*sin(theta);
Y1:y=r*sin(phi)*sin(theta);
Z1:z=r*cos(theta);
LI1:[x[1]=r,x[2]=theta,x[3]=phi];
LI2:[1=r,2=theta,3=phi];
MTA:matrix([g([1,1],[1]),g([1,2],[1]),
g([1,3],[1]),g([2,1],[1]),g([2,2],[1]),
g([2,3],[1]),g([3,1],[1]),g([3,2],[1]),
g([3,3],[1])]=matrix([1,0,0],[0,r^2,0],
[0,0,r^2*sin(theta)^2]);
MTB:matrix([g([1,1],[1,1]),g([1,2],[1,2]),
g([1,3],[1,3]),g([2,1],[2,1]),g([2,2],[2,2]),
g([2,3],[2,3]),g([3,1],[3,1]),g([3,2],[3,2]),
g([3,3],[3,3])]=matrix([1,0,0],[0,1/r^2,0],
[0,0,1/(r^2*sin(theta)^2)]);
GA11:lhs(MTA)[1,1]=rhs(MTA)[1,1];
GA12:lhs(MTA)[1,2]=rhs(MTA)[1,2];
GA13:lhs(MTA)[1,3]=rhs(MTA)[1,3];
GA21:lhs(MTA)[2,1]=rhs(MTA)[2,1];
GA22:lhs(MTA)[2,2]=rhs(MTA)[2,2];
GA23:lhs(MTA)[2,3]=rhs(MTA)[2,3];
GA31:lhs(MTA)[3,1]=rhs(MTA)[3,1];
GA32:lhs(MTA)[3,2]=rhs(MTA)[3,2];
GA33:lhs(MTA)[3,3]=rhs(MTA)[3,3];
GB11:lhs(MTB)[1,1]=rhs(MTB)[1,1];
GB12:lhs(MTB)[1,2]=rhs(MTB)[1,2];
GB13:lhs(MTB)[1,3]=rhs(MTB)[1,3];
GB21:lhs(MTB)[2,1]=rhs(MTB)[2,1];
GB22:lhs(MTB)[2,2]=rhs(MTB)[2,2];
GB23:lhs(MTB)[2,3]=rhs(MTB)[2,3];
GB31:lhs(MTB)[3,1]=rhs(MTB)[3,1];
GB32:lhs(MTB)[3,2]=rhs(MTB)[3,2];
GB33:lhs(MTB)[3,3]=rhs(MTB)[3,3];
```

(4.6.149) 式、(4.6.150) 式から計量テンソルは下記となる。

$$\begin{pmatrix} g_{11} & g_{12} & g_{13} \\ g_{21} & g_{22} & g_{23} \\ g_{31} & g_{32} & g_{33} \end{pmatrix} = \begin{pmatrix} 1 & 0 & 0 \\ 0 & r^2 & 0 \\ 0 & 0 & r^2 \sin^2(\theta) \end{pmatrix}$$

$$\begin{pmatrix} g^{11} & g^{12} & g^{13} \\ g^{21} & g^{22} & g^{23} \\ g^{31} & g^{32} & g^{33} \end{pmatrix} = \begin{pmatrix} 1 & 0 & 0 \\ 0 & \frac{1}{r^2} & 0 \\ 0 & 0 & \frac{1}{r^2 \sin^2(\theta)} \end{pmatrix}$$

```
for L:1 thru 3 do(
L1:L,
for I:1 thru 3 do(
I1:I,
for J:1 thru 3 do(
J1:J,
GAM21:subst([l=L1,i=I1,j=J1],GAM2),
GAM22:subst(LI1,GAM21),
GAM23:subst([GA11,GA12,GA13,GA21,GA22,
GA23,GA31,GA32,GA33],GAM22),
GAM24:subst([GB11,GB12,GB13,GB21,GB22,
GB23,GB31,GB32,GB33],GAM23),
GAM25:ev(GAM24,diff),
GAM26:subst(LI2,lhs(GAM25))=rhs(GAM25),
print(ishow(GAM26)))));
```

以上より、極座標のクリストフェルの記号は下記となる。

$$\begin{aligned} \Gamma_{rr}^r &= 0, & \Gamma_{r\theta}^r &= 0, & \Gamma_{r\phi}^r &= 0 \\ \Gamma_{\theta r}^r &= 0, & \Gamma_{\theta\theta}^r &= -r, & \Gamma_{\theta\phi}^r &= 0 \\ \Gamma_{\phi r}^r &= 0, & \Gamma_{\phi\theta}^r &= 0, & \Gamma_{\phi\phi}^r &= -r \sin^2(\theta) \\ \Gamma_{rr}^\theta &= 0, & \Gamma_{r\theta}^\theta &= \frac{1}{r}, & \Gamma_{r\phi}^\theta &= 0 \\ \Gamma_{\theta r}^\theta &= \frac{1}{r}, & \Gamma_{\theta\theta}^\theta &= 0, & \Gamma_{\theta\phi}^\theta &= 0 \\ \Gamma_{\phi r}^\theta &= 0, & \Gamma_{\phi\theta}^\theta &= 0, & \Gamma_{\phi\phi}^\theta &= -\cos(\theta) \sin(\theta) \\ \Gamma_{rr}^\phi &= 0, & \Gamma_{r\theta}^\phi &= 0, & \Gamma_{r\phi}^\phi &= \frac{1}{r} \\ \Gamma_{\theta r}^\phi &= 0, & \Gamma_{\theta\theta}^\phi &= 0, & \Gamma_{\theta\phi}^\phi &= \frac{\cos(\theta)}{\sin(\theta)} \\ \Gamma_{\phi r}^\phi &= \frac{1}{r}, & \Gamma_{\phi\theta}^\phi &= \frac{\cos(\theta)}{\sin(\theta)}, & \Gamma_{\phi\phi}^\phi &= 0 \end{aligned}$$



## 4.6.14.2 共変ベクトルの微分

共変ベクトル:  $\vec{A}$  の微分について検討する。

```
kill(all);
load("vect")$
load(itensor)$
depends([A,e],[x[j]]);
A1:A=A([i],[j])*e([j],[i]);
ishow(%);
A11:lhs(A1)=sum(rhs(A1),i,1,3);
ishow(%);
DA1:diff(A1,x[j],1);
ishow(%);
DA11:lhs(DA1)=sum(rhs(DA1),i,1,3);
ishow(%);
DEIJ0:'diff(e([j],[i]),x[j],1)=
  Lambda([i,j],[k])*e([k],[j]);
ishow(%);
DA2:subst([DEIJ0],DA1);
ishow(%);
DA21:lhs(DA2)=sum(first(rhs(DA2)),i,1,3)
+sum(sum(last(rhs(DA2)),k,1,3),i,1,3);
ishow(%);
EIJ1:(e([i],[j]))*(e([j],[k]))=\delta[i]^j;
ishow(%);
EIJD1:diff(EIJ1,x[k],1)=0;
ishow(%);
GDM1:diff(e([i],[j]),x[k],1)=sum(
  Gamma([i,k],[m])*e([m],[j]),m,1,3);
ishow(%);
LDN1:diff(e([j],[i]),x[k],1)=sum(
  Lambda([j,k],[n])*e([n],[i]),n,1,3);
ishow(%);
subst([GDM1,LDN1],EIJD1);
ishow(%);
e([i],[j])*e([j],[k])*Lambda([j,k],[i])
+e([i],[k])*e([k],[j])*Gamma([i,k],[j])=0;
ishow(%);
Lambda([j,k],[i])+Gamma([i,k],[j])=0;
ishow(%);
LD1:Lambda([j,k],[i])=-Gamma([i,k],[j]);
ishow(%);
LD2:Lambda([i,j],[k])=-Gamma([k,j],[i]);
ishow(%);
DEIJ2:subst([LD2],DEIJ0);
ishow(%);
lhs(DEIJ2)=sum(rhs(DEIJ2),k,1,3);
ishow(%);
```

共変ベクトル:  $\vec{A}$  を双対基底ベクトル:  $\vec{e}^1, \vec{e}^2, \vec{e}^3$  で表し、双対基底ベクトルが  $x^1, x^2, x^3$  の関数であるとす。共変ベクトル:  $\vec{A}$  は、

$$\vec{A} = A_3 \vec{e}^3 + A_2 \vec{e}^2 + A_1 \vec{e}^1 \quad (4.6.191)$$

上式を縮約すると、

$$A = e^i A_i \quad (4.6.192)$$

共変ベクトル:  $\vec{A}$  を  $x^j$  で微分すると、

$$\begin{aligned} \frac{d}{dx^j} \vec{A} &= A_3 \left( \frac{d}{dx^j} \vec{e}^3 \right) + A_2 \left( \frac{d}{dx^j} \vec{e}^2 \right) \\ &+ A_1 \left( \frac{d}{dx^j} \vec{e}^1 \right) + \left( \frac{d}{dx^j} A_3 \right) \vec{e}^3 \\ &+ \left( \frac{d}{dx^j} A_2 \right) \vec{e}^2 + \left( \frac{d}{dx^j} A_1 \right) \vec{e}^1 \end{aligned} \quad (4.6.193)$$

上式を縮約すると、

$$\frac{d}{dx^j} A = e^i \left( \frac{d}{dx^j} A_i \right) + \left( \frac{d}{dx^j} e^i \right) A_i \quad (4.6.194)$$

ここで、

$$\vec{e}^j \vec{e}_i = \delta_i^j$$

$$\text{ここで、} \delta_i^j = 1 \text{ at } i = j, \delta_i^j = 0 \text{ at } i \neq j$$

$$(4.6.195)$$

上式を  $x^k$  で微分すると、

$$\vec{e}^j \left( \frac{d}{dx^k} \vec{e}_i \right) + \left( \frac{d}{dx^k} \vec{e}^j \right) \vec{e}_i = 0 \quad (4.6.196)$$

(4.6.176) 式から、基底ベクトル:  $\vec{e}_i$  の  $x^k$  による微分は、

$$\frac{d}{dx^k} \vec{e}_i = \vec{e}_3^3 \Gamma_{ik}^3 + \vec{e}_2^2 \Gamma_{ik}^2 + \vec{e}_1^1 \Gamma_{ik}^1 \quad (4.6.197)$$

双対基底ベクトル:  $\vec{e}^j$  の  $x^k$  による微分を、双対基底ベクトルと重み係数:  $\Lambda_{jk}^i$  で下記のように定義する。

$$\frac{d}{dx^k} \vec{e}^j = \vec{e}^3 \Lambda_{jk}^3 + \vec{e}^2 \Lambda_{jk}^2 + \vec{e}^1 \Lambda_{jk}^1 \quad (4.6.198)$$

(4.6.196) 式に (4.6.197) 式、(4.6.198) 式を代入すると、

$$\begin{aligned} \vec{e}_i \left( \vec{e}_3^3 \Lambda_{jk}^3 + \vec{e}_2^2 \Lambda_{jk}^2 + \vec{e}_1^1 \Lambda_{jk}^1 \right) \\ + \vec{e}^j \left( \vec{e}_3^3 \Gamma_{ik}^3 + \vec{e}_2^2 \Gamma_{ik}^2 + \vec{e}_1^1 \Gamma_{ik}^1 \right) = 0 \end{aligned}$$

(4.6.195) 式から、

$$\vec{e}_i^i \vec{e}_i \Lambda_{jk}^i + \vec{e}^j \Gamma_{ik}^j \vec{e}_j = 0$$

$$\Lambda_{jk}^i + \Gamma_{ik}^j = 0$$

以上から、

$$\Lambda_{jk}^i = -\Gamma_{ik}^j \quad (4.6.199)$$

(4.6.198) 式に上式を代入すると、

$$\frac{d}{dx^k} \vec{e}^j = -\vec{e}^3 \Gamma_{3k}^j - \vec{e}^2 \Gamma_{2k}^j - \vec{e}^1 \Gamma_{1k}^j \quad (4.6.200)$$

上式を縮約すると、

$$\frac{d}{dx^j} \vec{e}^i = -\vec{e}^k \Gamma_{kj}^i \quad (4.6.201)$$

## 4.6.14.3 クリストフェル記号の座標変換

クリストフェル記号： $\Gamma_{ij}^l$  の座標変換について検討する<sup>1</sup>。

```
kill(all);
load("vect")$
load(itensor)$
depends([x],[u]);
depends([g],[x]);
depends([gu],[u]);
GMU1:\Gamma([i,j],[1])=1/2*g([],[k,1])
*'diff(g([i,k],[1]),x[j],1)+'diff(
g([k,j],[1]),x[i],1)-'diff(g([i,j],[1]),
x[k],1));
ishow(%);
GMX1:subst([i=a,j=b,k=c,l=h],GMU1);
ishow(%);
GUX1:gu([i,j],[1])='diff(x[a],u[i],1)
*'diff(x[b],u[j],1)*g([a,b],[1]);
ishow(%);
GUX2:gu([i,j],[1])=sum(sum('diff(x[a],u[i],
1)*'diff(x[b],u[j],1)*g([a,b],[1]),
a,1,3),b,1,3);
ishow(%);
DGUX1:'diff(gu([i,j],[1]),u[k],1)='diff(
x[a],u[i],1)*'diff(x[b],u[j],1)*'diff(
x[c],u[k],1)*'diff(g([a,b],[1]),x[c],1)
+'diff(x[a],u[i],1,u[k],1)*'diff(x[b],
u[j],1)*g([a,b],[1])+'diff(x[a],u[i],1)
*'diff(x[b],u[j],1,u[k],1)*g([a,b],[1]);
ishow(%);
DGUX0:subst([i=o,j=p,k=q],DGUX1);
ishow(%);
```

```
DGUX2:subst([o=i,p=k,q=j],DGUX0);
ishow(%);
DGUX3:subst([o=k,p=j,q=i],DGUX0);
ishow(%);
GMU00:subst([g=gu,x=u],GMU1);
ishow(%);
GMU10:GMU00*2/gu([],[k,1]);
ishow(%);
subst([DGUX1],rhs(GMU10));
subst([DGUX2],%);
DGUX2:subst([DGUX3],%);
ishow(%);
```

(4.6.188) 式から、クリストフェル記号： $\Gamma_{ij}^l$  は、

$$\Gamma_{ij}^l = \frac{g^{kl} \left( \frac{d}{dx^i} g_{kj} + \frac{d}{dx^j} g_{ik} - \frac{d}{dx^k} g_{ij} \right)}{2} \quad (4.6.202)$$

計量テンソル： $gu$  は  $u^i$  の関数、計量テンソル： $g$  は  $x^i$  の関数とする。クリストフェル記号： $\Gamma_{ij}^l$  が計量テンソル： $gu$ 、 $u^i$  の関数とすると、

$$\Gamma_{ij}^l = \frac{gu^{kl} \left( \frac{d}{du^i} gu_{kj} + \frac{d}{du^j} gu_{ik} - \frac{d}{du^k} gu_{ij} \right)}{2} \quad (4.6.203)$$

上式を下記のように変更する。

$$\frac{2\Gamma_{ij}^l}{gu^{kl}} = \frac{d}{du^i} gu_{kj} + \frac{d}{du^j} gu_{ik} - \frac{d}{du^k} gu_{ij} \quad (4.6.204)$$

計量テンソルの座標変換は (4.6.158) 式から次式である。

$$gu_{ij} = \left( \frac{d}{du^i} x^a \right) g_{ab} \left( \frac{d}{du^j} x^b \right) \quad (4.6.205)$$

(4.6.205) 式を基に  $gu_{ij}$  を  $u^k$  で微分すると、

$$\begin{aligned} \frac{d}{du^k} gu_{ij} &= \left( \frac{d}{du^i} x^a \right) \left( \frac{d}{dx^c} g_{ab} \right) \left( \frac{d}{du^j} x^b \right) \left( \frac{d}{du^k} x^c \right) + \left( \frac{d}{du^i} x^a \right) g_{ab} \left( \frac{d^2}{du^j du^k} x^b \right) \\ &+ \left( \frac{d^2}{du^i du^k} x^a \right) g_{ab} \left( \frac{d}{du^j} x^b \right) \end{aligned} \quad (4.6.206)$$

(4.6.205) 式を基に  $gu_{ik}$  を  $u^j$  で微分すると、

$$\begin{aligned} \frac{d}{du^j} gu_{ik} &= \left( \frac{d}{du^i} x^a \right) \left( \frac{d}{dx^c} g_{ab} \right) \left( \frac{d}{du^k} x^b \right) \left( \frac{d}{du^j} x^c \right) + \left( \frac{d^2}{du^i du^j} x^a \right) g_{ab} \left( \frac{d}{du^k} x^b \right) \\ &+ \left( \frac{d}{du^i} x^a \right) g_{ab} \left( \frac{d^2}{du^j du^k} x^b \right) \end{aligned} \quad (4.6.207)$$

<sup>1</sup> FNの高校物理 数学 曲面上の幾何学 <http://fnorio.com>

(4.6.205) 式を基に  $gu_{kj}$  を  $u^i$  で微分すると、

$$\begin{aligned} \frac{d}{du^i} gu_{kj} &= \left( \frac{d}{du^k} x^a \right) \left( \frac{d}{dx^c} g_{ab} \right) \left( \frac{d}{du^j} x^b \right) \left( \frac{d}{du^i} x^c \right) + \left( \frac{d^2}{du^i du^k} x^a \right) g_{ab} \left( \frac{d}{du^j} x^b \right) \\ &+ \left( \frac{d}{du^k} x^a \right) g_{ab} \left( \frac{d^2}{du^i du^j} x^b \right) \end{aligned} \quad (4.6.208)$$

(4.6.204) 式に、(4.6.206) 式、(4.6.207) 式、(4.6.208) 式を代入すると、

$$\begin{aligned} \frac{2\Gamma u_{ij}^l}{gu^{kl}} &= - \left( \frac{d}{du^i} x^a \right) \left( \frac{d}{dx^c} g_{ab} \right) \left( \frac{d}{du^j} x^b \right) \left( \frac{d}{du^k} x^c \right) + \left( \frac{d}{du^i} x^a \right) \left( \frac{d}{dx^c} g_{ab} \right) \left( \frac{d}{du^k} x^b \right) \left( \frac{d}{du^j} x^c \right) \\ &+ \left( \frac{d}{du^k} x^a \right) \left( \frac{d}{dx^c} g_{ab} \right) \left( \frac{d}{du^j} x^b \right) \left( \frac{d}{du^i} x^c \right) + \left( \frac{d^2}{du^i du^j} x^a \right) g_{ab} \left( \frac{d}{du^k} x^b \right) \\ &+ \left( \frac{d}{du^k} x^a \right) g_{ab} \left( \frac{d^2}{du^i du^j} x^b \right) \end{aligned} \quad (4.6.209)$$

```

DGUX22:rest(DGUX2,3);
ishow(%);
DGUX21:DGUX2-DGUX22;
ishow(%);
DGUX20:subst([a=o,b=p,c=q],DGUX21);
ishow(%);
DGUX201:rest(DGUX20,2);
ishow(%);
DGUX20-DGUX201;
ishow(%);
DGUX202:rest(%,1);
ishow(%);
DGUX203:DGUX20-DGUX201-DGUX202;
ishow(%);
DGUX301:subst([q=a,p=b,o=c],DGUX201);
ishow(%);
DGUX302:subst([o=a,p=b,q=c],DGUX202);
ishow(%);
DGUX303:subst([q=b,p=c,o=a],DGUX203);
ishow(%);

```

```

DGUX304:DGUX301+DGUX302+DGUX303;
ishow(%);
DGUX31:factor(DGUX304);
ishow(%);
DGUX31+DGUX22;
ishow(%);
sum(sum(sum(DGUX22,a,1,3),b,1,3),k,1,3);
subst([g([2,1],[ ])=g([1,2],[ ]),g([3,1],[ ])=g([1,3],[ ])],%);
DGUX321:subst([g([3,2],[ ])=g([2,3],[ ])],%);
ishow(%);
DGUX32:last(DGUX22)*2;
sum(sum(sum(DGUX32,a,1,3),b,1,3),k,1,3);
subst([g([2,1],[ ])=g([1,2],[ ]),g([3,1],[ ])=g([1,3],[ ])],%);
DGUX322:subst([g([3,2],[ ])=g([2,3],[ ])],%);
ishow(%);
DGUX321-DGUX322;
DGUX3:DGUX31+DGUX32;
ishow(%);

```

(4.6.209) 式の右辺第一項から第三項を  $\left(\frac{d}{du^i} x^a\right) \left(\frac{d}{du^j} x^b\right) \left(\frac{d}{du^k} x^c\right)$  でくくる。そのため、 $\frac{d}{dx^c} g_{ab}$  の  $a, b, c$  も変更し、整理すると、

$$\begin{aligned} \frac{2\Gamma u_{ij}^l}{gu^{kl}} &= \left( \frac{d}{du^i} x^a \right) \left( \frac{d}{du^j} x^b \right) \left( \frac{d}{du^k} x^c \right) \left( \frac{d}{dx^a} g_{cb} + \frac{d}{dx^b} g_{ac} - \frac{d}{dx^c} g_{ab} \right) + \left( \frac{d^2}{du^i du^j} x^a \right) g_{ab} \left( \frac{d}{du^k} x^b \right) \\ &+ \left( \frac{d}{du^k} x^a \right) g_{ab} \left( \frac{d^2}{du^i du^j} x^b \right) \end{aligned} \quad (4.6.210)$$

上式の第二項と第三項を下記の式と比べ、 $a, b, k = 1 \rightarrow 3$  で展開すると、同じであることがわかる。

$$\left( \frac{d^2}{du^i du^j} x^a \right) g_{ab} \left( \frac{d}{du^k} x^b \right) + \left( \frac{d}{du^k} x^a \right) g_{ab} \left( \frac{d^2}{du^i du^j} x^b \right) \rightarrow 2 \left( \frac{d}{du^k} x^a \right) g_{ab} \left( \frac{d^2}{du^i du^j} x^b \right)$$

これから (4.6.210) 式を書き換えて、

$$\frac{2\Gamma u_{ij}^l}{gu^{kl}} = \left( \frac{d}{du^i} x^a \right) \left( \frac{d}{du^j} x^b \right) \left( \frac{d}{du^k} x^c \right) \left( \frac{d}{dx^a} g_{cb} + \frac{d}{dx^b} g_{ac} - \frac{d}{dx^c} g_{ab} \right) + 2 \left( \frac{d}{du^k} x^a \right) g_{ab} \left( \frac{d^2}{du^i du^j} x^b \right) \quad (4.6.211)$$

```

DGUX41:DGUX31*gu([], [k,1])/2;
ishow(%);
DGUX42:DGUX32*gu([], [k,1])/2;
ishow(%);
DGUX4:DGUX41+DGUX42;
ishow(%);
GUX30:gu([], [a,j])=g([], [b,k])*( 'diff(u[a],
x[b],1))*( 'diff(u[j],x[k],1));
ishow(%);
subst([a=o,b=p,j=q,k=r],GUX30);
GUX31:subst([o=k,p=c,q=l,r=h],%);
ishow(%);
DGUX410:subst([GUX31],DGUX41);
ishow(%);
DGUX411:subst(['diff(x[c],u[k],1)=1,
'diff(u[k],x[c],1)=1],DGUX410);
ishow(%);
DGUX412:( 'diff(x[a],u[i],1))*( 'diff(x[b],
u[j],1))*( 'diff(u[l],x[h],1))*
\Gamma([a,b],[h]);

```

```

ishow(%);
subst([a=o,b=p,j=q,k=r],GUX30);
GUX32:subst([o=k,p=a,q=l,r=h],%);
ishow(%);
DGUX4211:subst([GUX32],DGUX42);
ishow(%);
DGUX421:subst(['diff(x[a],u[k],1)=1,
'diff(u[k],x[a],1)=1],DGUX4211);
ishow(%);
DGUX422:subst([h=b],DGUX421);
ishow(%);
DGUX423:( 'diff(x[b],u[i],1,u[j],1))*
( 'diff(u[l],x[b],1));
ishow(%);
GMU4:lhs(GMU1)=DGUX412+DGUX423;
ishow(%);
subst([l=k,h=c],GMU4);
ishow(%);

```

(4.6.211) 式を変形し、

$$\begin{aligned} \Gamma_{ij}^l = & \frac{gu^{kl}}{2} \left( \frac{d}{du^i} x^a \right) \left( \frac{d}{du^j} x^b \right) \left( \frac{d}{du^k} x^c \right) \left( \frac{d}{dx^a} g_{cb} + \frac{d}{dx^b} g_{ac} - \frac{d}{dx^c} g_{ab} \right) \\ & + gu^{kl} \left( \frac{d}{du^k} x^a \right) g_{ab} \left( \frac{d^2}{du^i du^j} x^b \right) \end{aligned} \quad (4.6.212)$$

双対基底ベクトルの計量テンソルの座標変換関係式は (4.6.166) 式から、

$$gu^{aj} = g^{bk} \left( \frac{d}{dx^b} u^a \right) \left( \frac{d}{dx^k} u^j \right) \quad (4.6.213)$$

(4.6.212) 式の右辺第一項の  $gu^{kl}$  の座標変換をクリストフェル記号に置き換えるため、(4.6.213) 式の座標変換関係式は、

$$gu^{kl} = g^{ch} \left( \frac{d}{dx^c} u^k \right) \left( \frac{d}{dx^h} u^l \right) \quad (4.6.214)$$

(4.6.212) 式の右辺第一項に上式を代入し、 $\left( \frac{d}{du^k} x^c \right) \left( \frac{d}{dx^c} u^k \right) = 1$  であるから簡略化でき、クリストフェル記号に置き換えると、

$$\begin{aligned} & \frac{g^{ch}}{2} \left( \frac{d}{du^i} x^a \right) \left( \frac{d}{du^j} x^b \right) \left( \frac{d}{du^k} x^c \right) \left( \frac{d}{dx^a} g_{cb} + \frac{d}{dx^b} g_{ac} - \frac{d}{dx^c} g_{ab} \right) \left( \frac{d}{dx^c} u^k \right) \left( \frac{d}{dx^h} u^l \right) \\ & = \frac{g^{ch}}{2} \left( \frac{d}{du^i} x^a \right) \left( \frac{d}{du^j} x^b \right) \left( \frac{d}{dx^a} g_{cb} + \frac{d}{dx^b} g_{ac} - \frac{d}{dx^c} g_{ab} \right) \left( \frac{d}{dx^h} u^l \right) \\ & = \left( \frac{d}{du^i} x^a \right) \Gamma_{ab}^h \left( \frac{d}{du^j} x^b \right) \left( \frac{d}{dx^h} u^l \right) \end{aligned} \quad (4.6.215)$$

(4.6.212) 式の右辺第二項の  $gu^{kl}$  の座標変換を  $g^{ab}g_{ab} = 1$  に置き換えるため、(4.6.213) 式の座標変換関係式は、

$$gu^{kl} = g^{ah} \left( \frac{d}{dx^a} u^k \right) \left( \frac{d}{dx^h} u^l \right) \quad (4.6.216)$$

(4.6.212) 式の右辺第二項に上式を代入し、 $\left( \frac{d}{du^k} x^a \right) \left( \frac{d}{dx^a} u^k \right) = 1$  であり、 $h \neq b$  のとき  $g^{ah}g_{ab} = 0$ 、 $h = b$  のとき  $g^{ab}g_{ab} = 1$  であるから、

$$\begin{aligned} & g^{ah} \left( \frac{d}{du^k} x^a \right) g_{ab} \left( \frac{d^2}{du^i du^j} x^b \right) \left( \frac{d}{dx^a} u^k \right) \left( \frac{d}{dx^h} u^l \right) \\ &= g^{ah} g_{ab} \left( \frac{d^2}{du^i du^j} x^b \right) \left( \frac{d}{dx^h} u^l \right) \\ &= g^{ab} g_{ab} \left( \frac{d^2}{du^i du^j} x^b \right) \left( \frac{d}{dx^b} u^l \right) \\ &= \left( \frac{d^2}{du^i du^j} x^b \right) \left( \frac{d}{dx^b} u^l \right) \end{aligned} \quad (4.6.217)$$

(4.6.215) 式、(4.6.217) 式から、(4.6.212) 式は、

$$\Gamma u_{ij}^l = \left( \frac{d}{du^i} x^a \right) \Gamma_{ab}^h \left( \frac{d}{du^j} x^b \right) \left( \frac{d}{dx^h} u^l \right) + \left( \frac{d^2}{du^i du^j} x^b \right) \left( \frac{d}{dx^b} u^l \right)$$

上式の  $l \rightarrow k$ ,  $h \rightarrow c$  の置き換えを行うと、

$$\Gamma u_{ij}^k = \left( \frac{d}{du^i} x^a \right) \Gamma_{ab}^c \left( \frac{d}{du^j} x^b \right) \left( \frac{d}{dx^c} u^k \right) + \left( \frac{d^2}{du^i du^j} x^b \right) \left( \frac{d}{dx^b} u^k \right) \quad (4.6.218)$$

## 4.6.14.4 反変ベクトル共変微分係数

反変ベクトルの共変微分係数を求める。

```
kill(all);
load("vect")$
load(itensor)$
depends([A,e],[x[j]]);
A1:A=A([],[i])*e([i],[i]);
ishow(%);
A11:lhs(A1)=sum(rhs(A1),i,1,3);
ishow(%);
DA1:diff(A1,x[j],1);
ishow(%);
DA11:lhs(DA1)=sum(rhs(DA1),i,1,3);
ishow(%);
DEIJO:'diff(e([i],[i]),x[j],1)=
  Gamma([i,j],[k])*e([k],[i]);
ishow(%);
AVD6:subst([DEIJO],DA1);
ishow(%);
AVD61:lhs(AVD6)=sum(last(rhs(AVD6)),i,1,3)
+sum(sum(first(rhs(AVD6)),i,1,3),k,1,3);
ishow(%);
AVD62:coeff(rhs(AVD61),e([1],[i]));
ishow(%);
coeff(rhs(AVD61),e([2],[i]));
ishow(%);
coeff(rhs(AVD61),e([3],[i]));
ishow(%);
AVD71:subst([A([],[1])=A([],[i])],
  first(AVD62))+subst([1=i,3=k],
  first(AVD62-first(AVD62)));
ishow(%);
AVD72:lhs(AVD6)=AVD71*e([i],[i]);
expand(%);
AVD73:lhs(%)=sum(last(rhs(%)),i,1,3)
+sum(sum(first(rhs(%)),i,1,3),k,1,3);
ishow(%);
AVD61-AVD73;
subst([x[j]=x^"j"],AVD72);
ishow(%);
```

反変ベクトル:  $\vec{A}$  は、基底ベクトルを  $\vec{e}_1, \vec{e}_2, \vec{e}_3$  とすると、

$$\vec{A} = A^3 \vec{e}_3 + A^2 \vec{e}_2 + A^1 \vec{e}_1$$

縮約表記すると、

$$\vec{A} = A^i \vec{e}_i$$

上式を  $x^j$  で微分すると、

$$\frac{d}{dx^j} \vec{A} = A^i \left( \frac{d}{dx^j} \vec{e}_i \right) + \left( \frac{d}{dx^j} A^i \right) \vec{e}_i \quad (4.6.219)$$

上式を  $i = 1 \rightarrow 3$  で展開すると、

$$\begin{aligned} \frac{d}{dx^j} \vec{A} = & A^3 \left( \frac{d}{dx^j} \vec{e}_3 \right) + A^2 \left( \frac{d}{dx^j} \vec{e}_2 \right) \\ & + A^1 \left( \frac{d}{dx^j} \vec{e}_1 \right) + \vec{e}_3 \left( \frac{d}{dx^j} A^3 \right) \\ & + \vec{e}_2 \left( \frac{d}{dx^j} A^2 \right) + \vec{e}_1 \left( \frac{d}{dx^j} A^1 \right) \end{aligned} \quad (4.6.220)$$

(4.6.177) 式から、

$$\frac{d}{dx^j} \vec{e}_i = \Gamma_{ij}^k \vec{e}_k$$

(4.6.219) 式に上式を代入すると、

$$\frac{d}{dx^j} \vec{A} = A^i \Gamma_{ij}^k \vec{e}_k + \left( \frac{d}{dx^j} A^i \right) \vec{e}_i \quad (4.6.221)$$

上式を  $i, k = 1 \rightarrow 3$  で展開すると、

$$\begin{aligned} \frac{d}{dx^j} \vec{A} = & \vec{e}_3 \left( \frac{d}{dx^j} A^3 \right) + \vec{e}_2 \left( \frac{d}{dx^j} A^2 \right) \\ & + \vec{e}_1 \left( \frac{d}{dx^j} A^1 \right) + A^3 \vec{e}_3 \Gamma_{3j}^3 \\ & + A^3 \vec{e}_2 \Gamma_{3j}^2 + A^3 \vec{e}_1 \Gamma_{3j}^1 \\ & + A^2 \Gamma_{2j}^3 \vec{e}_3 + A^1 \Gamma_{1j}^3 \vec{e}_3 \\ & + A^2 \vec{e}_2 \Gamma_{2j}^2 + A^2 \vec{e}_1 \Gamma_{2j}^1 \\ & + A^1 \Gamma_{1j}^2 \vec{e}_2 + A^1 \vec{e}_1 \Gamma_{1j}^1 \end{aligned} \quad (4.6.222)$$

(4.6.222) 式の  $\vec{e}_1$  項をまとめると、

$$\frac{d}{dx^j} A^1 + A^3 \Gamma_{3j}^1 + A^2 \Gamma_{2j}^1 + A^1 \Gamma_{1j}^1$$

(4.6.222) 式の  $\vec{e}_2$  項をまとめると、

$$\frac{d}{dx^j} A^2 + A^3 \Gamma_{3j}^2 + A^2 \Gamma_{2j}^2 + A^1 \Gamma_{1j}^2$$

(4.6.222) 式の  $\vec{e}_3$  項をまとめると、

$$\frac{d}{dx^j} A^3 + A^3 \Gamma_{3j}^3 + A^2 \Gamma_{2j}^3 + A^1 \Gamma_{1j}^3$$

上式を縮約表記すると、反変ベクトル共変微分係数は、

$$A^k \Gamma_{kj}^i + \frac{d}{dx^j} A^i \quad (4.6.223)$$

上式から、

$$\frac{d}{dx^j} A = \vec{e}_i \left( A^k \Gamma_{kj}^i + \frac{d}{dx^j} A^i \right) \quad (4.6.224)$$

また、次のように記述する。

$$A_{,j}^i = A^k \Gamma_{kj}^i + \frac{d}{dx^j} A^i \quad (4.6.225)$$

## 4.6.14.5 共変ベクトル共変微分係数

共変ベクトルの共変微分係数を求める。

```
kill(all);
load("vect")$
load(itensor)$
depends([A,e],[x[j]]);
A1:A=A([i],[j])*e([j],[i]);
ishow(%);
LI1:[x[j]=x^"j"];
DA1:diff(A1,x[j],1);
subst(LI1,%);
ishow(%);
DEIJ0:'diff(e([j],[i]),x[j],1)=
  Lambda([i],[j],[k])*e([j],[k]);
subst(LI1,%);
ishow(%);
LD1:Lambda([j],[k],[i])=-Gamma([i],[k],[j]);
ishow(%);
LD2:Lambda([i],[j],[k])=-Gamma([k],[j],[i]);
ishow(%);
DEIJ2:subst([LD2],DEIJ0);
subst(LI1,%);
ishow(%);
DA2:subst([DEIJ2],DA1);
DA3:lhs(DA2)=sum(first(rhs(DA2)),i,1,3)
  +sum(sum(last(rhs(DA2)),i,1,3),k,1,3);
subst(LI1,%);
ishow(%);
C1:coeff(rhs(DA3),e([j],[1]));
subst(LI1,%);
ishow(%);
C2:coeff(rhs(DA3),e([j],[2]));
subst(LI1,%);
ishow(%);
C3:coeff(rhs(DA3),e([j],[3]));
subst(LI1,%);
ishow(%);
C0:'diff(A[i],x[j],1)-A[k]
  *Gamma([i],[j],[k]);
subst(LI1,%);
ishow(%);
DA4:lhs(DA2)=C0*e([j],[i]);
subst(LI1,%);
ishow(%);
```

共変ベクトル:  $\vec{A}$  は、双対基底ベクトルを  $\vec{e}^1, \vec{e}^2, \vec{e}^3$  とし、縮約表記すると、

$$\vec{A} = e^i A_i$$

上式を  $x^j$  で微分すると、

$$\frac{d}{dx^j} \vec{A} = \vec{e}^i \left( \frac{d}{dx^j} A_i \right) + \left( \frac{d}{dx^j} \vec{e}^i \right) A_i \quad (4.6.226)$$

(4.6.198) 式から双対基底ベクトル:  $\vec{e}^i$  の  $x^j$  による微分を、双対基底ベクトルと重み係数:  $\Lambda_{jk}^i$  で下記のように縮約できる。

$$\frac{d}{dx^j} \vec{e}^i = \vec{e}^k \Lambda_{ij}^k \quad (4.6.227)$$

(4.6.199) 式から

$$\Lambda_{jk}^i = -\Gamma_{ik}^j$$

(4.6.227) 式にあう添え字にして、

$$\Lambda_{ij}^k = -\Gamma_{kj}^i$$

(4.6.227) 式に上式を代入すると、

$$\frac{d}{dx^j} \vec{e}^i = -e^k \Gamma_{kj}^i$$

(4.6.226) 式に上式を代入すると、

$$\frac{d}{dx^j} A = e^i \left( \frac{d}{dx^j} A_i \right) - e^k A_i \Gamma_{kj}^i$$

上式を  $i, k = 1 \rightarrow 3$  で展開すると、

$$\begin{aligned} \frac{d}{dx^j} \vec{A} = & e^3 \left( \frac{d}{dx^j} A_3 \right) + e^2 \left( \frac{d}{dx^j} A_2 \right) \\ & + e^1 \left( \frac{d}{dx^j} A_1 \right) \\ & - e^3 A_3 \Gamma_{3j}^3 - e^3 A_2 \Gamma_{3j}^2 - e^3 A_1 \Gamma_{3j}^1 \\ & - e^2 \Gamma_{2j}^3 A_3 - e^2 \Gamma_{1j}^3 A_3 - e^2 A_2 \Gamma_{2j}^2 \\ & - e^2 A_1 \Gamma_{2j}^1 - e^1 \Gamma_{1j}^2 A_2 - e^1 A_1 \Gamma_{1j}^1 \end{aligned} \quad (4.6.228)$$

(4.6.228) 式の  $\vec{e}^1$  項をまとめると、

$$\frac{d}{dx^j} A_1 - \Gamma_{1j}^3 A_3 - \Gamma_{1j}^2 A_2 - A_1 \Gamma_{1j}^1$$

(4.6.228) 式の  $\vec{e}^2$  項をまとめると、

$$\frac{d}{dx^j} A_2 - \Gamma_{2j}^3 A_3 - A_2 \Gamma_{2j}^2 - A_1 \Gamma_{2j}^1$$

(4.6.228) 式の  $\vec{e}^3$  項をまとめると、

$$\frac{d}{dx^j} A_3 - A_3 \Gamma_{3j}^3 - A_2 \Gamma_{3j}^2 - A_1 \Gamma_{3j}^1$$

上式を縮約表記すると、共変ベクトル共変微分係数は、

$$\frac{d}{dx^j} A_i - \Gamma_{ij}^k A_k \quad (4.6.229)$$

上式から、

$$\frac{d}{dx^j} \vec{A} = \vec{e}^i \left( \frac{d}{dx^j} A_i - \Gamma_{ij}^k A_k \right) \quad (4.6.230)$$

また、次のように記述する。

$$A_{i,j} = \frac{d}{dx^j} A_i - \Gamma_{ij}^k A_k \quad (4.6.231)$$

## 4.6.14.6 反変テンソル共変微分係数

反変テンソルの共変微分係数を求める。

```
kill(all);
load("vect")$
load(itensor)$
depends([T,e],[x[k]]);
T1:T([],[i,j])*e([i,[]])*f([j,[]]);
ishow(%);
DT1:diff(T1,x[k],1);
ishow(%);
DEIJ0:'diff(e([i,[]],x[j],1)=Gamma([i,j],
[m])*e([m,[]]);
ishow(%);
DEIJ1:'diff(e([i,[]],x[k],1)=Gamma([i,k],
[m])*e([m,[]]);
ishow(%);
DEIJ2:'diff(f([j,[]],x[k],1)=Gamma([j,k],
[n])*f([n,[]]);
ishow(%);
DT2:subst([DEIJ1,DEIJ2],DT1);
ishow(%);
```

反変テンソル:  $V$  を下記とし、後ろの  $\vec{e}_j$  を  $\vec{f}_j$  と表し、下記とする。

$$V = T^{ij} \vec{e}_i \otimes \vec{e}_j = T^{ij} \vec{e}_i \vec{f}_j \quad (4.6.232)$$

上式を  $x^k$  で微分すると、

$$\begin{aligned} \frac{d}{dx^k} V &= T^{ij} \vec{e}_i \left( \frac{d}{dx^k} \vec{f}_j \right) + T^{ij} \left( \frac{d}{dx^k} \vec{e}_i \right) \vec{f}_j \\ &\quad + \left( \frac{d}{dx^k} T^{ij} \right) \vec{e}_i \vec{f}_j \end{aligned} \quad (4.6.233)$$

反変ベクトルの基底ベクトル:  $\vec{e}_i$  を  $x^j$  で微分した結果: (4.6.177) 式から、

$$\frac{d}{dx^j} \vec{e}_i = \Gamma_{ij}^m \vec{e}_m$$

上式で  $j \rightarrow k$  の置き換えを行って、

$$\frac{d}{dx^k} \vec{e}_i = \Gamma_{ik}^m \vec{e}_m \quad (4.6.234)$$

基底ベクトル:  $\vec{f}_j$  についても、同様にして、

$$\frac{d}{dx^k} \vec{f}_j = \Gamma_{jk}^n \vec{f}_n \quad (4.6.235)$$

(4.6.233) 式に (4.6.234) 式 (4.6.235) 式を代入し、

$$\begin{aligned} \frac{d}{dx^k} V &= T^{ij} e_i \Gamma_{jk}^n f_n + T^{ij} \Gamma_{ik}^m f_j e_m \\ &\quad + \left( \frac{d}{dx^k} T^{ij} \right) e_i f_j \end{aligned} \quad (4.6.236)$$

```
DT3:first(DT2);
ishow(%);
DT4:DT2-DT3-last(DT2);
ishow(%);
DT30:sum(sum(sum(DT3,i,1,3),j,1,3),n,1,3);
ishow(%);
DT31:coeff(DT30,e([1,[]]));
DT311:coeff(DT31,f([1,[]])*e([1,[]])
*f([1,[]]);
ishow(DT311);
DT312:coeff(DT31,f([2,[]])*e([1,[]])
*f([2,[]]);
ishow(DT312);
DT313:coeff(DT31,f([3,[]])*e([1,[]])
*f([3,[]]);
ishow(DT313);
DT32:coeff(DT30,e([2,[]]));
DT321:coeff(DT32,f([1,[]])*e([2,[]])
*f([1,[]]);
ishow(DT321);
DT322:coeff(DT32,f([2,[]])*e([2,[]])
*f([2,[]]);
ishow(DT322);
DT323:coeff(DT32,f([3,[]])*e([2,[]])
*f([3,[]]);
ishow(DT323);
DT33:coeff(DT30,e([3,[]]));
DT331:coeff(DT33,f([1,[]])*e([3,[]])
*f([1,[]]);
ishow(DT331);
DT332:coeff(DT33,f([2,[]])*e([3,[]])
*f([2,[]]);
ishow(DT332);
DT333:coeff(DT33,f([3,[]])*e([3,[]])
*f([3,[]]);
ishow(DT333);
DT35:e([i,[]])*f([j,[]])*T([],[i,n])
*Gamma([n,k],[j]);
ishow(%);
subst([i=1,j=2],DT35);
sum(% ,n,1,3);
factor(%-DT312);
subst([i=2,j=3],DT35);
sum(% ,n,1,3);
factor(%-DT323);
subst([i=3,j=2],DT35);
sum(% ,n,1,3);
factor(%-DT332);
```



(4.6.236) 式の下記の右辺第一項について、

$$T^{ij} e_i \Gamma_{jk}^n f_n$$

(4.6.236) 式の右辺第三項と同じ  $e_i f_j$  の項を求めるため、上式を  $i, j, n = 1 \rightarrow 3$  で展開すると、

$$\begin{aligned} & T^{33} e_3 f_3 \Gamma_{3k}^3 + T^{23} e_2 f_3 \Gamma_{3k}^3 + T^{13} e_1 f_3 \Gamma_{3k}^3 \\ & + T^{33} f_2 e_3 \Gamma_{3k}^2 + T^{23} e_2 f_2 \Gamma_{3k}^2 + T^{13} e_1 f_2 \Gamma_{3k}^2 \\ & + T^{33} f_1 e_3 \Gamma_{3k}^1 + T^{23} f_1 e_2 \Gamma_{3k}^1 + T^{13} e_1 f_1 \Gamma_{3k}^1 \\ & + T^{32} \Gamma_{2k}^3 e_3 f_3 + T^{31} \Gamma_{1k}^3 e_3 f_3 + T^{22} e_2 \Gamma_{2k}^3 f_3 \\ & + T^{12} e_1 \Gamma_{2k}^3 f_3 + T^{21} \Gamma_{1k}^3 e_2 f_3 + T^{11} e_1 \Gamma_{1k}^3 f_3 \\ & + T^{32} f_2 \Gamma_{2k}^2 e_3 + T^{32} f_1 \Gamma_{2k}^1 e_3 + T^{31} \Gamma_{1k}^2 f_2 e_3 \\ & + T^{31} f_1 \Gamma_{1k}^1 e_3 + T^{22} e_2 f_2 \Gamma_{2k}^2 + T^{12} e_1 f_2 \Gamma_{2k}^2 \\ & + T^{22} f_1 e_2 \Gamma_{2k}^1 + T^{12} e_1 f_1 \Gamma_{2k}^1 + T^{21} \Gamma_{1k}^2 e_2 f_2 \\ & + T^{11} e_1 \Gamma_{1k}^2 f_2 + T^{21} f_1 \Gamma_{1k}^1 e_2 + T^{11} e_1 f_1 \Gamma_{1k}^1 \end{aligned} \quad (4.6.237)$$

$e_i f_j$   $i, j = 1 \rightarrow 3$  の各項を求めると、

$$\begin{aligned} & e_1 f_1 (T^{13} \Gamma_{3k}^1 + T^{12} \Gamma_{2k}^1 + T^{11} \Gamma_{1k}^1) \\ & e_1 f_2 (T^{13} \Gamma_{3k}^2 + T^{12} \Gamma_{2k}^2 + T^{11} \Gamma_{1k}^2) \\ & e_1 f_3 (T^{13} \Gamma_{3k}^3 + T^{12} \Gamma_{2k}^3 + T^{11} \Gamma_{1k}^3) \\ & f_1 e_2 (T^{23} \Gamma_{3k}^1 + T^{22} \Gamma_{2k}^1 + T^{21} \Gamma_{1k}^1) \\ & e_2 f_2 (T^{23} \Gamma_{3k}^2 + T^{22} \Gamma_{2k}^2 + T^{21} \Gamma_{1k}^2) \\ & e_2 f_3 (T^{23} \Gamma_{3k}^3 + T^{22} \Gamma_{2k}^3 + T^{21} \Gamma_{1k}^3) \\ & f_1 e_3 (T^{33} \Gamma_{3k}^1 + T^{32} \Gamma_{2k}^1 + T^{31} \Gamma_{1k}^1) \\ & f_2 e_3 (T^{33} \Gamma_{3k}^2 + T^{32} \Gamma_{2k}^2 + T^{31} \Gamma_{1k}^2) \\ & e_3 f_3 (T^{33} \Gamma_{3k}^3 + T^{32} \Gamma_{2k}^3 + T^{31} \Gamma_{1k}^3) \end{aligned}$$

上式をまとめ、縮約表記すると、

$$T^{in} e_i f_j \Gamma_{nk}^j \quad (4.6.238)$$

```
DT30:sum(sum(sum(DT4,i,1,3),j,1,3),m,1,3);
ishow(%);
DT31:coeff(DT30,e([1],[ ]));
DT311:coeff(DT31,f([1],[ ]))*e([1],[ ])*f([1],[ ]);
ishow(DT311);
DT312:coeff(DT31,f([2],[ ]))*e([1],[ ])*f([2],[ ]);
ishow(DT312);
DT313:coeff(DT31,f([3],[ ]))*e([1],[ ])*f([3],[ ]);
ishow(DT313);
DT32:coeff(DT30,e([2],[ ]));
DT321:coeff(DT32,f([1],[ ]))*e([2],[ ])*f([1],[ ]);
ishow(DT321);
DT322:coeff(DT32,f([2],[ ]))*e([2],[ ])*f([2],[ ]);
ishow(DT322);
DT323:coeff(DT32,f([3],[ ]))*e([2],[ ])*f([3],[ ]);
ishow(DT323);
DT33:coeff(DT30,e([3],[ ]));
DT331:coeff(DT33,f([1],[ ]))*e([3],[ ])*f([1],[ ]);
ishow(DT331);
DT332:coeff(DT33,f([2],[ ]))*e([3],[ ])*f([2],[ ]);
ishow(DT332);
DT333:coeff(DT33,f([3],[ ]))*e([3],[ ])*f([3],[ ]);
ishow(DT333);
DT45:e([i],[ ])*f([j],[ ])*T([],[m,j])*Gamma([m,k],[i]);
ishow(%);
subst([i=1,j=2],DT45);
sum(% ,m,1,3);
factor(%-DT312);
subst([i=2,j=3],DT45);
sum(% ,m,1,3);
factor(%-DT323);
subst([i=3,j=2],DT45);
sum(% ,m,1,3);
factor(%-DT332);
DT35+DT45+last(DT2);
subst([n=m],%);
factor(%);
ishow(%);
```

(4.6.236) 式の下記の右辺第二項について、

$$T^{ij} \Gamma_{ik}^m f_j e_m$$

(4.6.236) 式の右辺第三項と同じ  $e_i f_j$  の項を求めるため、上式を  $i, j, n = 1 \rightarrow 3$  で展開すると、

$$\begin{aligned} & T^{33} e_3 f_3 \Gamma_{3k}^3 + T^{32} f_2 e_3 \Gamma_{3k}^3 + T^{31} f_1 e_3 \Gamma_{3k}^3 \\ & + T^{33} e_2 f_3 \Gamma_{3k}^2 + T^{32} e_2 f_2 \Gamma_{3k}^2 + T^{31} f_1 e_2 \Gamma_{3k}^2 \\ & + T^{33} e_1 f_3 \Gamma_{3k}^1 + T^{32} e_1 f_2 \Gamma_{3k}^1 + T^{31} e_1 f_1 \Gamma_{3k}^1 \\ & + T^{23} \Gamma_{2k}^3 e_3 f_3 + T^{13} \Gamma_{1k}^3 e_3 f_3 + T^{23} e_2 \Gamma_{2k}^2 f_3 \\ & + T^{23} e_1 \Gamma_{2k}^1 f_3 + T^{13} \Gamma_{1k}^2 e_2 f_3 + T^{13} e_1 \Gamma_{1k}^1 f_3 \\ & + T^{22} f_2 \Gamma_{2k}^3 e_3 + T^{21} f_1 \Gamma_{2k}^3 e_3 + T^{12} \Gamma_{1k}^3 f_2 e_3 \\ & + T^{11} f_1 \Gamma_{1k}^3 e_3 + T^{22} e_2 f_2 \Gamma_{2k}^2 + T^{21} f_1 e_2 \Gamma_{2k}^2 \\ & + T^{22} e_1 f_2 \Gamma_{2k}^1 + T^{21} e_1 f_1 \Gamma_{2k}^1 + T^{12} \Gamma_{1k}^2 e_2 f_2 \\ & + T^{12} e_1 \Gamma_{1k}^1 f_2 + T^{11} f_1 \Gamma_{1k}^2 e_2 + T^{11} e_1 f_1 \Gamma_{1k}^1 \end{aligned} \quad (4.6.239)$$

$e_i f_j$   $i, j = 1 \rightarrow 3$  の各項を求めると、

$$\begin{aligned} & e_1 f_1 (T^{31} \Gamma_{3k}^1 + T^{21} \Gamma_{2k}^1 + T^{11} \Gamma_{1k}^1) \\ & e_1 f_2 (T^{32} \Gamma_{3k}^1 + T^{22} \Gamma_{2k}^1 + T^{12} \Gamma_{1k}^1) \\ & e_1 f_3 (T^{33} \Gamma_{3k}^1 + T^{23} \Gamma_{2k}^1 + T^{13} \Gamma_{1k}^1) \\ & f_1 e_2 (T^{31} \Gamma_{3k}^2 + T^{21} \Gamma_{2k}^2 + T^{11} \Gamma_{1k}^2) \\ & e_2 f_2 (T^{32} \Gamma_{3k}^2 + T^{22} \Gamma_{2k}^2 + T^{12} \Gamma_{1k}^2) \\ & e_2 f_3 (T^{33} \Gamma_{3k}^2 + T^{23} \Gamma_{2k}^2 + T^{13} \Gamma_{1k}^2) \\ & f_1 e_3 (T^{31} \Gamma_{3k}^3 + T^{21} \Gamma_{2k}^3 + T^{11} \Gamma_{1k}^3) \\ & f_2 e_3 (T^{32} \Gamma_{3k}^3 + T^{22} \Gamma_{2k}^3 + T^{12} \Gamma_{1k}^3) \\ & e_3 f_3 (T^{33} \Gamma_{3k}^3 + T^{23} \Gamma_{2k}^3 + T^{13} \Gamma_{1k}^3) \end{aligned}$$

上式をまとめ、縮約表記すると、

$$T^{mj} e_i f_j \Gamma_{mk}^i \quad (4.6.240)$$

(4.6.236) 式の右辺第三項と (4.6.238) 式、(4.6.240) 式の和から、 $n = m$  として、

$$\frac{d}{dx^k} V = e_i f_j \left( T^{im} \Gamma_{mk}^j + T^{mj} \Gamma_{mk}^i + \frac{d}{dx^k} T^{ij} \right) \quad (4.6.241)$$

また、次のように記述する。

$$T_{,k}^{ij} = T^{im} \Gamma_{mk}^j + T^{mj} \Gamma_{mk}^i + \frac{d}{dx^k} T^{ij} \quad (4.6.242)$$

以上から、反変テンソル共変微分係数は、

$$T^{im} \Gamma_{mk}^j + T^{mj} \Gamma_{mk}^i + \frac{d}{dx^k} T^{ij} \quad (4.6.243)$$

## 4.6.14.7 共変テンソル共変微分係数

共変テンソルの共変微分係数を求める。

```
kill(all);
load("vect")$
load(itensor)$
depends([T,e],[x[k]]);
T1:T([i,j],[])*e([],[i])*f([],[j]);
ishow(%);
DT1:diff(T1,x[k],1);
ishow(%);
DEIJ0:'diff(e([],[i]),x[j],1)=
-Gamma([m,j],[i])*e([],[m]);
ishow(%);
DEIJ1:'diff(f([],[j]),x[k],1)=
-Gamma([m,k],[j])*f([],[m]);
ishow(%);
DEIJ2:'diff(e([],[i]),x[k],1)=
-Gamma([m,k],[i])*e([],[m]);
ishow(%);
DT2:subst([DEIJ1,DEIJ2],DT1);
ishow(%);
```

共変テンソル:  $V$  を下記とし、後ろの  $\vec{e}^i$  を  $\vec{f}^j$  と表し、下記とする。

$$V = T_{ij} \vec{e}^i \otimes \vec{e}^j = T_{ij} e^i f^j \quad (4.6.244)$$

上式を  $x^k$  で微分すると、

$$\begin{aligned} \frac{d}{dx^k} V &= \vec{e}^i \vec{f}^j \left( \frac{d}{dx^k} T_{ij} \right) + \vec{e}^i \left( \frac{d}{dx^k} \vec{f}^j \right) T_{ij} \\ &\quad + \vec{f}^j \left( \frac{d}{dx^k} \vec{e}^i \right) T_{ij} \end{aligned} \quad (4.6.245)$$

共変ベクトルの双対基底ベクトル:  $\vec{e}^i$  を  $x^j$  で微分した結果: (4.6.201) 式から、

$$\frac{d}{dx^j} \vec{e}^i = -\vec{e}^m \Gamma_{mj}^i$$

上式で  $j \rightarrow k$  の置き換えを行って、

$$\frac{d}{dx^k} \vec{e}^i = -\vec{e}^m \Gamma_{mk}^i \quad (4.6.246)$$

基底ベクトル:  $\vec{f}^j$  についても、同様にして、

$$\frac{d}{dx^k} \vec{f}^j = -\vec{f}^m \Gamma_{mk}^j \quad (4.6.247)$$

(4.6.245) 式に (4.6.246) 式 (4.6.247) 式を代入し、

$$\begin{aligned} \frac{d}{dx^k} V &= -\vec{e}^i \vec{f}^m T_{ij} \Gamma_{mk}^j - \vec{f}^j \vec{e}^m T_{ij} \Gamma_{mk}^i \\ &\quad + \vec{e}^i \vec{f}^j \left( \frac{d}{dx^k} T_{ij} \right) \end{aligned} \quad (4.6.248)$$

```
DT21:last(DT2);
ishow(%);
DT22:DT2-DT21;
ishow(%);
DT221:first(DT22);
ishow(%);
DT222:last(DT22);
ishow(%);
DT30:sum(sum(sum(DT221,i,1,3),j,1,3),m,
1,3);
ishow(%);
DT31:coeff(DT30,e([],[1]));
DT311:coeff(DT31,f([],[1]))*e([],[1])
*f([],[1]);
ishow(DT311);
DT312:coeff(DT31,f([],[2]))*e([],[1])
*f([],[2]);
ishow(DT312);
DT313:coeff(DT31,f([],[3]))*e([],[1])
*f([],[3]);
ishow(DT313);
DT32:coeff(DT30,e([],[2]));
DT321:coeff(DT32,f([],[1]))*e([],[2])
*f([],[1]);
ishow(DT321);
DT322:coeff(DT32,f([],[2]))*e([],[2])
*f([],[2]);
ishow(DT322);
DT323:coeff(DT32,f([],[3]))*e([],[2])
*f([],[3]);
ishow(DT323);
DT33:coeff(DT30,e([],[3]));
DT331:coeff(DT33,f([],[1]))*e([],[3])
*f([],[1]);
ishow(DT331);
DT332:coeff(DT33,f([],[2]))*e([],[3])
*f([],[2]);
ishow(DT332);
DT333:coeff(DT33,f([],[3]))*e([],[3])
*f([],[3]);
ishow(DT333);
DT35:-e([],[i])*f([],[j])*T([i,m],[j])
*Gamma([j,k],[m]);
ishow(%);
subst([i=1,j=2],DT35);
sum(% ,m,1,3);
factor(%-DT312);
```

```

subst([i=2,j=3],DT35);
sum(%m,1,3);
factor(%-DT323);
subst([i=3,j=2],DT35);
sum(%m,1,3);
factor(%-DT332);

```

(4.6.248) 式の下記の右辺第一項について、

$$-e^i f^m T_{ij} \Gamma_{mk}^j$$

(4.6.248) 式の右辺第三項と同じ  $e^i f^j$  の項を求めるため、上式を  $i, j, m = 1 \rightarrow 3$  で展開すると、

$$\begin{aligned}
& -e^3 f^3 T_{33} \Gamma_{3k}^3 - e^2 f^3 T_{23} \Gamma_{3k}^3 - e^1 f^3 T_{13} \Gamma_{3k}^3 \\
& -e^3 f^3 T_{32} \Gamma_{3k}^2 - e^2 f^3 T_{22} \Gamma_{3k}^2 - e^1 f^3 T_{12} \Gamma_{3k}^2 \\
& -e^3 f^3 T_{31} \Gamma_{3k}^1 - e^2 f^3 T_{21} \Gamma_{3k}^1 - e^1 f^3 T_{11} \Gamma_{3k}^1 \\
& -f^2 e^3 \Gamma_{2k}^3 T_{33} - f^1 e^3 \Gamma_{1k}^3 T_{33} - f^2 e^3 \Gamma_{2k}^2 T_{32} \\
& -f^1 e^3 \Gamma_{1k}^2 T_{32} - f^2 e^3 \Gamma_{2k}^1 T_{31} - f^1 e^3 \Gamma_{1k}^1 T_{31} \\
& -e^2 f^2 T_{23} \Gamma_{2k}^3 - e^1 f^2 T_{13} \Gamma_{2k}^3 - e^2 f^2 T_{22} \Gamma_{2k}^2 \\
& -e^1 f^2 T_{12} \Gamma_{2k}^2 - e^2 f^2 T_{21} \Gamma_{2k}^1 - e^1 f^2 T_{11} \Gamma_{2k}^1 \\
& -f^1 e^2 \Gamma_{1k}^3 T_{23} - f^1 e^2 \Gamma_{1k}^2 T_{22} - f^1 e^2 \Gamma_{1k}^1 T_{21} \\
& -e^1 f^1 T_{13} \Gamma_{1k}^3 - e^1 f^1 T_{12} \Gamma_{1k}^2 - e^1 f^1 T_{11} \Gamma_{1k}^1
\end{aligned} \tag{4.6.249}$$

$e^i f^j$   $i, j = 1 \rightarrow 3$  の各項を求めると、

$$\begin{aligned}
& e^1 f^1 (-T_{13} \Gamma_{1k}^3 - T_{12} \Gamma_{1k}^2 - T_{11} \Gamma_{1k}^1) \\
& e^1 f^2 (-T_{13} \Gamma_{2k}^3 - T_{12} \Gamma_{2k}^2 - T_{11} \Gamma_{2k}^1) \\
& e^1 f^3 (-T_{13} \Gamma_{3k}^3 - T_{12} \Gamma_{3k}^2 - T_{11} \Gamma_{3k}^1) \\
& f^1 e^2 (-\Gamma_{1k}^3 T_{23} - \Gamma_{1k}^2 T_{22} - \Gamma_{1k}^1 T_{21}) \\
& e^2 f^2 (-T_{23} \Gamma_{2k}^3 - T_{22} \Gamma_{2k}^2 - T_{21} \Gamma_{2k}^1) \\
& e^2 f^3 (-T_{23} \Gamma_{3k}^3 - T_{22} \Gamma_{3k}^2 - T_{21} \Gamma_{3k}^1) \\
& f^1 e^3 (-\Gamma_{1k}^3 T_{33} - \Gamma_{1k}^2 T_{32} - \Gamma_{1k}^1 T_{31}) \\
& f^2 e^3 (-\Gamma_{2k}^3 T_{33} - \Gamma_{2k}^2 T_{32} - \Gamma_{2k}^1 T_{31}) \\
& e^3 f^3 (-T_{33} \Gamma_{3k}^3 - T_{32} \Gamma_{3k}^2 - T_{31} \Gamma_{3k}^1)
\end{aligned}$$

上式をまとめ、縮約表記すると、

$$-e^i f^j T_{im} \Gamma_{jk}^m \tag{4.6.250}$$

```

DT30:sum(sum(sum(DT222,i,1,3),j,1,3),
m,1,3);
ishow(%);
DT31:coeff(DT30,e([],[1]));
DT311:coeff(DT31,f([],[1]))*e([],[1])
*f([],[1]);
ishow(DT311);
DT312:coeff(DT31,f([],[2]))*e([],[1])
*f([],[2]);
ishow(DT312);
DT313:coeff(DT31,f([],[3]))*e([],[1])
*f([],[3]);
ishow(DT313);
DT32:coeff(DT30,e([],[2]));
DT321:coeff(DT32,f([],[1]))*e([],[2])
*f([],[1]);
ishow(DT321);
DT322:coeff(DT32,f([],[2]))*e([],[2])
*f([],[2]);
ishow(DT322);
DT323:coeff(DT32,f([],[3]))*e([],[2])
*f([],[3]);
ishow(DT323);
DT33:coeff(DT30,e([],[3]));
DT331:coeff(DT33,f([],[1]))*e([],[3])
*f([],[1]);
ishow(DT331);
DT332:coeff(DT33,f([],[2]))*e([],[3])
*f([],[2]);
ishow(DT332);
DT333:coeff(DT33,f([],[3]))*e([],[3])
*f([],[3]);
ishow(DT333);
DT36:-e([],[i])*f([],[j])*T([m],[j],[i])
*Gamma([i],[k],[m]);
ishow(%);
subst([i=1,j=2],DT36);
sum(%m,1,3);
factor(%-DT312);
subst([i=2,j=3],DT36);
sum(%m,1,3);
factor(%-DT323);
subst([i=3,j=2],DT36);
sum(%m,1,3);
factor(%-DT332);
DT4:DT35+DT36+DT21;
ishow(%);

```

```
DT41:factor(DT4);
ishow(%);
DT41/(e([],[i])*f([],[j]));
ishow(%);
```

(4.6.248) 式の下記の右辺第二項について、

$$-f^j e^m T_{ij} \Gamma_{mk}^i$$

(4.6.248) 式の右辺第三項と同じ  $e^i f^j$  の項を求めるため、上式を  $i, j, m = 1 \rightarrow 3$  で展開すると、

$$\begin{aligned}
& -e^3 f^3 T_{33} \Gamma_{3k}^3 - f^2 e^3 T_{32} \Gamma_{3k}^3 - f^1 e^3 T_{31} \Gamma_{3k}^3 \\
& -e^3 f^3 T_{23} \Gamma_{3k}^2 - f^2 e^3 T_{22} \Gamma_{3k}^2 - f^1 e^3 T_{21} \Gamma_{3k}^2 \\
& -e^3 f^3 T_{13} \Gamma_{3k}^1 - f^2 e^3 T_{12} \Gamma_{3k}^1 - f^1 e^3 T_{11} \Gamma_{3k}^1 \\
& -e^2 f^3 \Gamma_{2k}^3 T_{33} - e^1 f^3 \Gamma_{1k}^3 T_{33} - e^2 f^2 \Gamma_{2k}^3 T_{32} \\
& -e^1 f^2 \Gamma_{1k}^3 T_{32} - f^1 e^2 \Gamma_{2k}^3 T_{31} - e^1 f^1 \Gamma_{1k}^3 T_{31} \\
& -e^2 f^3 T_{23} \Gamma_{2k}^2 - e^2 f^2 T_{22} \Gamma_{2k}^2 - f^1 e^2 T_{21} \Gamma_{2k}^2 \\
& -e^2 f^3 T_{13} \Gamma_{2k}^1 - e^2 f^2 T_{12} \Gamma_{2k}^1 - f^1 e^2 T_{11} \Gamma_{2k}^1 \\
& -e^1 f^3 \Gamma_{1k}^2 T_{23} - e^1 f^2 \Gamma_{1k}^2 T_{22} - e^1 f^1 \Gamma_{1k}^2 T_{21} \\
& -e^1 f^3 T_{13} \Gamma_{1k}^1 - e^1 f^2 T_{12} \Gamma_{1k}^1 - e^1 f^1 T_{11} \Gamma_{1k}^1
\end{aligned} \tag{4.6.251}$$

$e^i f^j$   $i, j = 1 \rightarrow 3$  の各項を求めると、

$$\begin{aligned}
& e^1 f^1 (-\Gamma_{1k}^3 T_{31} - \Gamma_{1k}^2 T_{21} - T_{11} \Gamma_{1k}^1) \\
& e^1 f^2 (-\Gamma_{1k}^3 T_{32} - \Gamma_{1k}^2 T_{22} - T_{12} \Gamma_{1k}^1) \\
& e^1 f^3 (-\Gamma_{1k}^3 T_{33} - \Gamma_{1k}^2 T_{23} - T_{13} \Gamma_{1k}^1) \\
& f^1 e^2 (-\Gamma_{2k}^3 T_{31} - T_{21} \Gamma_{2k}^2 - T_{11} \Gamma_{2k}^1) \\
& e^2 f^2 (-\Gamma_{2k}^3 T_{32} - T_{22} \Gamma_{2k}^2 - T_{12} \Gamma_{2k}^1) \\
& e^2 f^3 (-\Gamma_{2k}^3 T_{33} - T_{23} \Gamma_{2k}^2 - T_{13} \Gamma_{2k}^1) \\
& f^1 e^3 (-T_{31} \Gamma_{3k}^3 - T_{21} \Gamma_{3k}^2 - T_{11} \Gamma_{3k}^1) \\
& f^2 e^3 (-T_{32} \Gamma_{3k}^3 - T_{22} \Gamma_{3k}^2 - T_{12} \Gamma_{3k}^1) \\
& e^3 f^3 (-T_{33} \Gamma_{3k}^3 - T_{23} \Gamma_{3k}^2 - T_{13} \Gamma_{3k}^1)
\end{aligned}$$

上式をまとめ、縮約表記すると、

$$-e^i f^j \Gamma_{ik}^m T_{mj} \tag{4.6.252}$$

(4.6.248) 式の右辺第三項と (4.6.250) 式、(4.6.252) 式の和から、

$$\frac{d}{dx^k} V = -e^i f^j \left( \Gamma_{ik}^m T_{mj} + T_{im} \Gamma_{jk}^m - \frac{d}{dx^k} T_{ij} \right) \tag{4.6.253}$$

また、次のように記述する。

$$T_{ij,k} = \Gamma_{ik}^m T_{mj} + T_{im} \Gamma_{jk}^m - \frac{d}{dx^k} T_{ij} \tag{4.6.254}$$

以上から、共変テンソル共変微分係数は、

$$-\Gamma_{ik}^m T_{mj} - T_{im} \Gamma_{jk}^m + \frac{d}{dx^k} T_{ij} \tag{4.6.255}$$

## 4.6.14.8 混合テンソル共変微分係数

混合テンソルの共変微分係数を求める。

```
kill(all);
load("vect")$
load(itensor)$
depends([T,e],[x[k]]);
T1:T([j],[i])*e([i],[1])*f([],[j]);
ishow(%);
DT1:diff(T1,x[k],1);
ishow(%);
DEIJ01:'diff(e([i],[1]),x[j],1)=
  Gamma([i,j],[m])*e([m],[1]);
ishow(%);
DEIJ02:'diff(e([],[i]),x[j],1)=
  -Gamma([m,j],[i])*e([],[m]);
ishow(%);
DEIJ1:'diff(e([i],[1]),x[k],1)=
  Gamma([i,k],[m])*e([m],[1]);
ishow(%);
DEIJ2:'diff(f([],[j]),x[k],1)=
  -Gamma([m,k],[j])*f([],[m]);
ishow(%);
DT2:subst([DEIJ1,DEIJ2],DT1);
ishow(%);
```

混合テンソル:  $V$  を下記とし、後ろの  $\vec{e}^j$  を  $\vec{f}^j$  と表し、下記とする。

$$V = T_j^i \vec{e}_i \otimes \vec{e}^j = T_j^i \vec{e}_i \vec{f}^j \quad (4.6.256)$$

上式を  $x^k$  で微分すると、

$$\begin{aligned} \frac{d}{dx^k} V = & \vec{f}^j \vec{e}_i \left( \frac{d}{dx^k} T_j^i \right) + \vec{f}^j \left( \frac{d}{dx^k} \vec{e}_i \right) T_j^i \\ & + \left( \frac{d}{dx^k} \vec{f}^j \right) \vec{e}_i T_j^i \end{aligned} \quad (4.6.257)$$

反変ベクトルの基底ベクトル:  $\vec{e}_i$  を  $x^j$  で微分した結果: (4.6.177) 式から、

$$\frac{d}{dx^j} \vec{e}_i = \Gamma_{ij}^m \vec{e}_m$$

上式で  $j \rightarrow k$  の置き換えを行って、

$$\frac{d}{dx^k} \vec{e}_i = \Gamma_{ik}^m \vec{e}_m \quad (4.6.258)$$

共変ベクトルの双対基底ベクトル:  $\vec{e}^i$  を  $x^j$  で微分した結果: (4.6.201) 式から、

$$\frac{d}{dx^j} \vec{e}^i = -\vec{e}^m \Gamma_{mj}^i$$

上式で  $j \rightarrow k$ ,  $i \rightarrow j$ ,  $e \rightarrow f$  の置き換えを行って、

$$\frac{d}{dx^k} \vec{f}^j = -\vec{f}^m \Gamma_{mk}^j \quad (4.6.259)$$

(4.6.257) 式に (4.6.258) 式 (4.6.259) 式を代入し、

$$\begin{aligned} \frac{d}{dx^k} V = & -\vec{f}^m \vec{e}_i T_j^i \Gamma_{mk}^j + \vec{f}^j \Gamma_{ik}^m T_j^i \vec{e}_m \\ & + \vec{f}^j \vec{e}_i \left( \frac{d}{dx^k} T_j^i \right) \end{aligned} \quad (4.6.260)$$

```
DT21:last(DT2);
ishow(%);
DT22:DT2-DT21;
ishow(%);
DT221:first(DT22);
ishow(%);
DT222:last(DT22);
ishow(%);
DT30:sum(sum(sum(DT221,i,1,3),j,1,3),
  m,1,3);
ishow(%);
DT31:coeff(DT30,e([1],[1]));
DT311:coeff(DT31,f([],[1]))*e([1],[1])
*f([],[1]);
ishow(DT311);
DT312:coeff(DT31,f([],[2]))*e([1],[1])
*f([],[2]);
ishow(DT312);
DT313:coeff(DT31,f([],[3]))*e([1],[1])
*f([],[3]);
ishow(DT313);
DT32:coeff(DT30,e([2],[1]));
DT321:coeff(DT32,f([],[1]))*e([2],[1])
*f([],[1]);
ishow(DT321);
DT322:coeff(DT32,f([],[2]))*e([2],[1])
*f([],[2]);
ishow(DT322);
DT323:coeff(DT32,f([],[3]))*e([2],[1])
*f([],[3]);
ishow(DT323);
DT33:coeff(DT30,e([3],[1]));
DT331:coeff(DT33,f([],[1]))*e([3],[1])
*f([],[1]);
ishow(DT331);
DT332:coeff(DT33,f([],[2]))*e([3],[1])
*f([],[2]);
ishow(DT332);
```

```

DT333:coeff(DT33,f([],[3]))*e([3],[1])
*f([],[3]);
ishow(DT333);
DT35:e([i],[1])*f([],[j])*T([j],[m])
*Gamma([m,k],[i]);
ishow(%);
subst([i=1,j=2],DT35);
sum(%m,1,3);
factor(%-DT312);
subst([i=2,j=3],DT35);
sum(%m,1,3);
factor(%-DT323);
subst([i=3,j=2],DT35);
sum(%m,1,3);
factor(%-DT332);

```

(4.6.260) 式の下記の右辺第二項について、

$$f^j \Gamma_{ik}^m T_j^i e_m$$

(4.6.260) 式の右辺第三項と同じ  $e_i f^j$  の項を求めるため、上式を  $i, j, m = 1 \rightarrow 3$  で展開すると、

$$\begin{aligned}
& f^3 e_3 T_3^3 \Gamma_{3k}^3 + f^2 T_2^3 e_3 \Gamma_{3k}^3 + f^1 T_1^3 e_3 \Gamma_{3k}^3 \\
& + f^3 e_2 T_3^3 \Gamma_{3k}^2 + f^2 e_2 T_2^3 \Gamma_{3k}^2 + f^1 T_1^3 e_2 \Gamma_{3k}^2 \\
& + f^3 e_1 T_3^3 \Gamma_{3k}^1 + f^2 e_1 T_2^3 \Gamma_{3k}^1 + f^1 T_1^3 e_1 \Gamma_{3k}^1 \\
& + f^3 \Gamma_{2k}^3 e_3 T_3^2 + f^3 e_2 \Gamma_{2k}^2 T_3^2 + f^3 e_1 \Gamma_{2k}^1 T_3^2 \\
& + f^3 \Gamma_{1k}^3 e_3 T_3^1 + f^3 \Gamma_{1k}^2 e_2 T_3^1 + f^3 e_1 \Gamma_{1k}^1 T_3^1 \\
& + f^2 T_2^2 \Gamma_{2k}^3 e_3 + f^1 T_1^2 \Gamma_{2k}^3 e_3 + f^2 \Gamma_{1k}^3 T_2^1 e_3 \\
& + f^1 T_1^1 \Gamma_{1k}^3 e_3 + f^2 e_2 T_2^2 \Gamma_{2k}^2 + f^1 T_1^2 e_2 \Gamma_{2k}^2 \\
& + f^2 e_1 T_2^2 \Gamma_{2k}^1 + f^1 e_1 T_1^2 \Gamma_{2k}^1 + f^2 \Gamma_{1k}^2 e_2 T_2^1 \\
& + f^2 e_1 \Gamma_{1k}^1 T_2^1 + f^1 T_1^1 \Gamma_{1k}^2 e_2 + f^1 e_1 T_1^1 \Gamma_{1k}^1
\end{aligned}
\tag{4.6.261}$$

$e_i f^j$   $i, j = 1 \rightarrow 3$  の各項を求めると、

$$\begin{aligned}
& f^1 e_1 (T_1^3 \Gamma_{3k}^1 + T_1^2 \Gamma_{2k}^1 + T_1^1 \Gamma_{1k}^1) \\
& f^2 e_1 (T_2^3 \Gamma_{3k}^1 + T_2^2 \Gamma_{2k}^1 + \Gamma_{1k}^1 T_2^1) \\
& f^3 e_1 (T_3^3 \Gamma_{3k}^1 + \Gamma_{2k}^1 T_3^2 + \Gamma_{1k}^1 T_3^1) \\
& f^1 e_2 (T_1^3 \Gamma_{3k}^2 + T_1^2 \Gamma_{2k}^2 + T_1^1 \Gamma_{1k}^2) \\
& f^2 e_2 (T_2^3 \Gamma_{3k}^2 + T_2^2 \Gamma_{2k}^2 + \Gamma_{1k}^2 T_2^1) \\
& f^3 e_2 (T_3^3 \Gamma_{3k}^2 + \Gamma_{2k}^2 T_3^2 + \Gamma_{1k}^2 T_3^1) \\
& f^1 e_3 (T_1^3 \Gamma_{3k}^3 + T_1^2 \Gamma_{2k}^3 + T_1^1 \Gamma_{1k}^3) \\
& f^2 e_3 (T_2^3 \Gamma_{3k}^3 + T_2^2 \Gamma_{2k}^3 + \Gamma_{1k}^3 T_2^1) \\
& f^3 e_3 (T_3^3 \Gamma_{3k}^3 + \Gamma_{2k}^3 T_3^2 + \Gamma_{1k}^3 T_3^1)
\end{aligned}$$

上式をまとめ、縮約表記すると、

$$f^j e_i T_j^m \Gamma_{mk}^i \tag{4.6.262}$$

```

DT30:sum(sum(sum(DT222,i,1,3),j,1,3),
m,1,3);
ishow(%);
DT31:coeff(DT30,e([1],[1]));
DT311:coeff(DT31,f([],[1]))*e([1],[1])
*f([],[1]);
ishow(DT311);
DT312:coeff(DT31,f([],[2]))*e([1],[1])
*f([],[2]);
ishow(DT312);
DT313:coeff(DT31,f([],[3]))*e([1],[1])
*f([],[3]);
ishow(DT313);
DT32:coeff(DT30,e([2],[1]));
DT321:coeff(DT32,f([],[1]))*e([2],[1])
*f([],[1]);
ishow(DT321);
DT322:coeff(DT32,f([],[2]))*e([2],[1])
*f([],[2]);
ishow(DT322);
DT323:coeff(DT32,f([],[3]))*e([2],[1])
*f([],[3]);
ishow(DT323);
DT33:coeff(DT30,e([3],[1]));
DT331:coeff(DT33,f([],[1]))*e([3],[1])
*f([],[1]);
ishow(DT331);
DT332:coeff(DT33,f([],[2]))*e([3],[1])
*f([],[2]);
ishow(DT332);
DT333:coeff(DT33,f([],[3]))*e([3],[1])
*f([],[3]);
ishow(DT333);
DT36:-e([i],[1])*f([],[j])*T([m],[i])
*Gamma([j,k],[m]);
ishow(%);
subst([i=1,j=2],DT36);
sum(%m,1,3);
factor(%-DT312);
subst([i=2,j=3],DT36);
sum(%m,1,3);
factor(%-DT323);
subst([i=3,j=2],DT36);
sum(%m,1,3);
factor(%-DT332);

```

```

DT4:DT35+DT36+DT21;
ishow(%);
DT41:factor(DT4);
ishow(%);
DT41/(e([i],[j])*f([i],[j]));
ishow(%);

```

(4.6.260) 式の下記の右辺第一項について、

$$-f^m e_i T_j^i \Gamma_{mk}^j$$

(4.6.260) 式の右辺第三項と同じ  $e_i f^j$  の項を求めるため、上式を  $i, j, m = 1 \rightarrow 3$  で展開すると、

$$\begin{aligned}
& -f^3 e_3 T_3^3 \Gamma_{3k}^3 - f^3 e_2 T_3^2 \Gamma_{3k}^3 - f^3 e_1 T_3^1 \Gamma_{3k}^3 \\
& -f^3 T_2^3 e_3 \Gamma_{3k}^2 - f^3 e_2 T_2^2 \Gamma_{3k}^2 - f^3 e_1 T_2^1 \Gamma_{3k}^2 \\
& -f^3 T_1^3 e_3 \Gamma_{3k}^1 - f^3 T_1^2 e_2 \Gamma_{3k}^1 - f^3 e_1 T_1^1 \Gamma_{3k}^1 \\
& -f^2 \Gamma_{2k}^3 e_3 T_3^3 - f^1 \Gamma_{1k}^3 e_3 T_3^3 - f^2 e_2 \Gamma_{2k}^3 T_3^2 \\
& -f^1 \Gamma_{1k}^3 e_2 T_3^2 - f^2 e_1 \Gamma_{2k}^3 T_3^1 - f^1 e_1 \Gamma_{1k}^3 T_3^1 \\
& -f^2 T_2^3 \Gamma_{2k}^2 e_3 - f^2 T_1^3 \Gamma_{2k}^1 e_3 - f^1 \Gamma_{1k}^2 T_2^3 e_3 \\
& -f^1 T_1^3 \Gamma_{1k}^1 e_3 - f^2 e_2 T_2^2 \Gamma_{2k}^2 - f^2 e_1 T_2^1 \Gamma_{2k}^2 \\
& -f^2 T_1^2 e_2 \Gamma_{2k}^1 - f^2 e_1 T_1^1 \Gamma_{2k}^1 - f^1 \Gamma_{1k}^2 e_2 T_2^2 \\
& -f^1 e_1 \Gamma_{1k}^2 T_2^1 - f^1 T_1^2 \Gamma_{1k}^1 e_2 - f^1 e_1 T_1^1 \Gamma_{1k}^1
\end{aligned} \tag{4.6.263}$$

$e_i f^j$   $i, j = 1 \rightarrow 3$  の各項を求めると、

$$\begin{aligned}
& f^1 e_1 (-\Gamma_{1k}^3 T_3^1 - \Gamma_{1k}^2 T_2^1 - T_1^1 \Gamma_{1k}^1) \\
& f^2 e_1 (-\Gamma_{2k}^3 T_3^1 - T_2^1 \Gamma_{2k}^2 - T_1^1 \Gamma_{2k}^1) \\
& f^3 e_1 (-T_3^1 \Gamma_{3k}^3 - T_2^1 \Gamma_{3k}^2 - T_1^1 \Gamma_{3k}^1) \\
& f^1 e_2 (-\Gamma_{1k}^3 T_3^2 - \Gamma_{1k}^2 T_2^2 - T_1^2 \Gamma_{1k}^1) \\
& f^2 e_2 (-\Gamma_{2k}^3 T_3^2 - T_2^2 \Gamma_{2k}^2 - T_1^2 \Gamma_{2k}^1) \\
& f^3 e_2 (-T_3^2 \Gamma_{3k}^3 - T_2^2 \Gamma_{3k}^2 - T_1^2 \Gamma_{3k}^1) \\
& f^1 e_3 (-\Gamma_{1k}^3 T_3^3 - \Gamma_{1k}^2 T_2^3 - T_1^3 \Gamma_{1k}^1) \\
& f^2 e_3 (-\Gamma_{2k}^3 T_3^3 - T_2^3 \Gamma_{2k}^2 - T_1^3 \Gamma_{2k}^1) \\
& f^3 e_3 (-T_3^3 \Gamma_{3k}^3 - T_2^3 \Gamma_{3k}^2 - T_1^3 \Gamma_{3k}^1)
\end{aligned}$$

上式をまとめ、縮約表記すると、

$$-f^j e_i \Gamma_{jk}^m T_m^i \tag{4.6.264}$$

(4.6.260) 式の右辺第三項と (4.6.262) 式、(4.6.264) 式の和から、

$$\frac{d}{dx^k} V = f^j e_i \left( T_j^m \Gamma_{mk}^i - \Gamma_{jk}^m T_m^i + \frac{d}{dx^k} T_j^i \right) \tag{4.6.265}$$

また、次のように記述する。

$$T_{j,k}^i = T_j^m \Gamma_{mk}^i - \Gamma_{jk}^m T_m^i + \frac{d}{dx^k} T_j^i \tag{4.6.266}$$

以上から、混合テンソル共変微分係数は、

$$T_j^m \Gamma_{mk}^i - \Gamma_{jk}^m T_m^i + \frac{d}{dx^k} T_j^i \tag{4.6.267}$$



4.6.14.9 反変ベクトルの微分の座標変換

反変ベクトルの微分の座標変換の関係式を求める<sup>1</sup>。

```
kill(all);
load("vect")$
load(itensor)$
depends([u,v,w],[x,y,z]);
depends([fx,fy,fz],[x,y,z]);
depends([fu,fv,fw],[u,v,w]);
U1:del(u)=diff(u);
FU1:subst([del(u)=fu,del(x)=fx,del(y)=fy,
del(z)=fz],U1);
subst([u=u[1],v=u[2],w=u[3]],%);
subst([fx=f[1],fy=f[2],fz=f[3],fu=fu[1]],
%);
FU2:subst([x=x[1],y=x[2],z=x[3]],%);
FU3:fu[i]='diff(u[i],v[j],1)*f[j];
FUL1:diff(lhs(FU1),v,1);
DFUR1:first(rhs(FU1));
DFUR3:last(rhs(FU1));
DFUR2:rhs(FU1)-DFUR1-DFUR3;
DFUR1;
diff(DFUR1);
DDFUR1:subst([del(z)='diff(z,v,1),del(y)
='diff(y,v,1),del(x)='diff(x,v,1)],%);
```

```
DFUR2;
diff(DFUR2);
DDFUR2:subst([del(z)='diff(z,v,1),del(y)
='diff(y,v,1),del(x)='diff(x,v,1)],%);
DFUR3;
diff(DFUR3);
DDFUR3:subst([del(z)='diff(z,v,1),del(y)
='diff(y,v,1),del(x)='diff(x,v,1)],%);
FUL1=DDFUR1+DDFUR2+DDFUR3;
subst([u=u[1],v=u[2],w=u[3]],%);
subst([fx=f[1],fy=f[2],fz=f[3],fu=fu[1]],
%);
FUL2:subst([x=x[1],y=x[2],z=x[3]],%);
FULK:'diff(fu[i],u[j],1)='diff(u[i],x[a],
1)*'diff(x[b],u[j],1)*'diff(f[a],x[b],1)
+'diff(u[i],x[a],1,x[b],1)
*'diff(x[b],u[j],1)*f[a];
```

$f u^i$  が $i$ 、 $u^i$  の関数、 $f^j$  が $j$ 、 $x^j$  の関数、 $u^i$  が $i$ 、 $x^j$  の関数とすると、反変ベクトルの座標変換の関係式:(4.6.131)式から、次式となる。

$$f u^i = \left( \frac{d}{d v^j} u^i \right) f^j \tag{4.6.268}$$

上式を  $i = 1, j = 1, \rightarrow 3$  として展開すると、

$$f u^1 = f^3 \left( \frac{d}{d x^3} u^1 \right) + f^2 \left( \frac{d}{d x^2} u^1 \right) + f^1 \left( \frac{d}{d x^1} u^1 \right)$$

上式を  $u_2$  で微分すると、

$$\begin{aligned} \frac{d}{d u^2} f u^1 &= \left( \frac{d}{d x^3} u^1 \right) \left( \frac{d}{d x^3} f^3 \right) \left( \frac{d}{d u^2} x^3 \right) + \left( \frac{d}{d x^2} u^1 \right) \left( \frac{d}{d x^3} f^2 \right) \left( \frac{d}{d u^2} x^3 \right) + f^3 \left( \frac{d^2}{d x^3^2} u^1 \right) \left( \frac{d}{d u^2} x^3 \right) \\ &+ f^2 \left( \frac{d^2}{d x^2 d x^3} u^1 \right) \left( \frac{d}{d u^2} x^3 \right) + f^1 \left( \frac{d^2}{d x^1 d x^3} u^1 \right) \left( \frac{d}{d u^2} x^3 \right) + \left( \frac{d}{d x^3} f^1 \right) \left( \frac{d}{d x^1} u^1 \right) \left( \frac{d}{d u^2} x^3 \right) \\ &+ \left( \frac{d}{d x^3} u^1 \right) \left( \frac{d}{d u^2} x^2 \right) \left( \frac{d}{d x^2} f^3 \right) + \left( \frac{d}{d x^3} u^1 \right) \left( \frac{d}{d u^2} x^1 \right) \left( \frac{d}{d x^1} f^3 \right) \\ &+ \left( \frac{d}{d x^2} u^1 \right) \left( \frac{d}{d x^2} f^2 \right) \left( \frac{d}{d u^2} x^2 \right) + f^2 \left( \frac{d^2}{d x^2^2} u^1 \right) \left( \frac{d}{d u^2} x^2 \right) + f^3 \left( \frac{d^2}{d x^2 d x^3} u^1 \right) \left( \frac{d}{d u^2} x^2 \right) \\ &+ f^1 \left( \frac{d^2}{d x^1 d x^2} u^1 \right) \left( \frac{d}{d u^2} x^2 \right) + \left( \frac{d}{d x^2} f^1 \right) \left( \frac{d}{d x^1} u^1 \right) \left( \frac{d}{d u^2} x^2 \right) \\ &+ \left( \frac{d}{d x^2} u^1 \right) \left( \frac{d}{d u^2} x^1 \right) \left( \frac{d}{d x^1} f^2 \right) + f^1 \left( \frac{d^2}{d x^1^2} u^1 \right) \left( \frac{d}{d u^2} x^1 \right) + f^3 \left( \frac{d^2}{d x^1 d x^3} u^1 \right) \left( \frac{d}{d u^2} x^1 \right) \\ &+ f^2 \left( \frac{d^2}{d x^1 d x^2} u^1 \right) \left( \frac{d}{d u^2} x^1 \right) + \left( \frac{d}{d x^1} f^1 \right) \left( \frac{d}{d x^1} u^1 \right) \left( \frac{d}{d u^2} x^1 \right) \end{aligned}$$

上式を縮約すると、

$$\frac{d}{d u^j} f u^i = f^a \left( \frac{d}{d u^j} x^b \right) \left( \frac{d^2}{d x^a d x^b} u^i \right) + \left( \frac{d}{d x^b} f^a \right) \left( \frac{d}{d u^j} x^b \right) \left( \frac{d}{d x^a} u^i \right) \tag{4.6.269}$$

<sup>1</sup> FNの高校物理 数学 曲面上の幾何学 <http://fnorio.com>

```

GMK1: Gm([i,j],[k])='diff(x[a],u[i],1)
*'diff(x[b],u[j],1)*'diff(u[k],x[c],1)
*\Gamma([a,b],[c])+'diff(x[b],u[i],1)
,u[j],1)*'diff(u[k],x[b],1);
ishow(%);
DL1: 'diff(u[i],x[b],1)*'diff(x[b],u[j],1)
=\delta([j],[i]);
ishow(%);
DL2: 'diff(u[i],x[b],1,x[a],1)*'diff(x[b],
u[j],1)+'diff(u[i],x[b],1)*'diff(x[b],
u[j],1,u[c],1)*'diff(u[c],x[a],1)=0;
DL21: last(lhs(DL2))=-first(lhs(DL2));
FULK2: lhs(FULK)=f[a]*rhs(DL21)
+last(rhs(FULK));
ishow(%);
subst([a=o,b=p,c=q],last(rhs(FULK2)));
subst([o=b,p=c,q=a],%);
FULK3: lhs(FULK2)=first(rhs(FULK2))+%;
ishow(%);
GMK1;
subst([k=o,i=p,c=q,a=r,b=s],%);
GMK3: subst([o=i,p=a,q=b,r=l,s=c],%);
GMK31: last(rhs(GMK3))=lhs(GMK3)
-first(rhs(GMK3));

```

```

ishow(%);
FULK4: lhs(FULK3)=first(rhs(FULK3))
-('diff(u[a],x[b],1))*f[b]*rhs(GMK31);
ishow(%);
FULK41: expand(%);
ishow(%);
FU4: fu[a]='diff(u[a],x[b],1)*f[b];
FU41: solve(%,f[b])[1];
lhs(FULK41)=subst([FU41],rhs(FULK4));
FULK41: expand(%);
ishow(%);
FU5: f[a]='diff(x[a],u[b],1)*fu[b];
solve(%,fu[b])[1];
FU51: subst([a=l,b=a],%);
lhs(FULK41)=subst([FU51],first(rhs(
FULK41)))-first(rhs(FULK41))
+rhs(FULK41);
FULK5: %-last(rhs(%));
ishow(%);
subst([l=o,c=p,b=q],first(rhs(FULK5)));
subst([o=c,p=b,q=a],%);
FULK51: lhs(FULK5)=%+last(rhs(FULK5));
factor(%);
ishow(%);

```

(4.6.269) 式の右辺第一項には  $\left(\frac{d}{du^i} x^b\right)$  の項があるが、次式の (4.6.218) 式のクリストフェル記号の座標変換では、右辺第二項に  $\left(\frac{d}{dx^b} u^k\right)$  で、これを一致させ、(4.6.269) 式の  $\left(\frac{d^2}{du^i du^j} x^b\right)$  の項を消去する。

$$\Gamma_{ij}^k = \left(\frac{d}{du^i} x^a\right) \Gamma_{ab}^c \left(\frac{d}{du^j} x^b\right) \left(\frac{d}{dx^c} u^k\right) + \left(\frac{d^2}{du^i du^j} x^b\right) \left(\frac{d}{dx^b} u^k\right) \quad (4.6.270)$$

$u_i$  と  $x_j$  の要素間の関数は、

$$\left(\frac{d}{du^j} x^b\right) \left(\frac{d}{dx^b} u^i\right) = \delta_j^i$$

上式を  $x_a$  で微分すると、

$$\left(\frac{d^2}{du^c du^j} x^b\right) \left(\frac{d}{dx^a} u^c\right) \left(\frac{d}{dx^b} u^i\right) + \left(\frac{d}{du^j} x^b\right) \left(\frac{d^2}{dx^a dx^b} u^i\right) = 0$$

(4.6.269) 式に上式の関係を代入すると、

$$\frac{d}{du^j} f u^i = \left(\frac{d}{dx^b} f^a\right) \left(\frac{d}{du^j} x^b\right) \left(\frac{d}{dx^a} u^i\right) - f^a \left(\frac{d^2}{du^c du^j} x^b\right) \left(\frac{d}{dx^a} u^c\right) \left(\frac{d}{dx^b} u^i\right)$$

上式の右辺第二項で  $a \rightarrow b, b \rightarrow c, c \rightarrow a$  の置き換えを行うと、

$$\frac{d}{du^j} f u^i = \left(\frac{d}{dx^b} f^a\right) \left(\frac{d}{du^j} x^b\right) \left(\frac{d}{dx^a} u^i\right) - \left(\frac{d}{dx^b} u^a\right) f^b \left(\frac{d^2}{du^a du^j} x^c\right) \left(\frac{d}{dx^c} u^i\right) \quad (4.6.271)$$

上式右辺第二項と (4.6.270) 式右辺第二項を一致させるため、(4.6.270) 式で  $k \rightarrow i, i \rightarrow a, c \rightarrow b, a \rightarrow l, b \rightarrow c$  の置き換えを行うと、

$$\Gamma_{aj}^i = \left(\frac{d}{du^j} x^c\right) \left(\frac{d}{dx^b} u^i\right) \left(\frac{d}{du^a} x^l\right) \Gamma_{lc}^b + \left(\frac{d^2}{du^a du^j} x^c\right) \left(\frac{d}{dx^c} u^i\right)$$

(4.6.271) 式に上式の関係を代入すると、

$$\frac{d}{du^j} f u^i = \left( \frac{d}{dx^b} f^a \right) \left( \frac{d}{du^j} x^b \right) \left( \frac{d}{dx^a} u^i \right) - \left( \frac{d}{dx^b} u^a \right) f^b \left( \Gamma_{aj}^i - \left( \frac{d}{du^j} x^c \right) \left( \frac{d}{dx^b} u^i \right) \left( \frac{d}{du^a} x^l \right) \Gamma_{lc}^b \right) \quad (4.6.272)$$

(4.6.268) 式から、

$$f u^a = \left( \frac{d}{dx^b} u^a \right) f^b$$

(4.6.272) 式に上式の関係を代入すると、

$$\frac{d}{du^j} f u^i = f u^a \left( \frac{d}{du^j} x^c \right) \left( \frac{d}{dx^b} u^i \right) \left( \frac{d}{du^a} x^l \right) \Gamma_{lc}^b + \left( \frac{d}{dx^b} f^a \right) \left( \frac{d}{du^j} x^b \right) \left( \frac{d}{dx^a} u^i \right) - f u^a \Gamma_{aj}^i \quad (4.6.273)$$

(4.6.268) 式から、

$$f^l = \left( \frac{d}{du^a} x^l \right) f u^a$$

(4.6.273) 式に上式の関係を代入すると、

$$\frac{d}{du^j} f u^i + f u^a \Gamma_{aj}^i = \left( \frac{d}{du^j} x^c \right) \left( \frac{d}{dx^b} u^i \right) f^l \Gamma_{lc}^b + \left( \frac{d}{dx^b} f^a \right) \left( \frac{d}{du^j} x^b \right) \left( \frac{d}{dx^a} u^i \right)$$

上式の右辺第一項で  $l \rightarrow c$ ,  $c \rightarrow b$ ,  $b \rightarrow a$  の置き換えを行うと、

$$\frac{d}{du^j} f u^i + f u^a \Gamma_{aj}^i = \left( \frac{d}{du^j} x^b \right) \left( \frac{d}{dx^a} u^i \right) \left( f_c \Gamma_{cb}^a + \frac{d}{dx^b} f^a \right) \quad (4.6.274)$$

また、次のように記述できる。下記から、(1,1) 型の混合テンソルである。

$$f u_{,j}^i = \left( \frac{d}{du^j} x^b \right) \left( \frac{d}{dx^a} u^i \right) f_{,b}^a \quad (4.6.275)$$

## 4.6.14.10 共変ベクトルの微分の座標変換

共変ベクトルの微分の座標変換の関係式を求める<sup>1</sup>。

```
kill(all);
load("vect")$
load(itensor)$
depends([x,y,z],[u,v,w]);
depends([f,fx,fy,fz],[x,y,z]);
depends([fu,fv,fw],[u,v,w]);
DF1:'diff(f,u)=diff(f,u);
DF2:'diff(f,v)=diff(f,v);
DF3:'diff(f,w)=diff(f,w);
LF1:['diff(f,u)=fu[1]','diff(f,v)=fu[2],
'diff(f,w)=fu[3]];
LF2:['diff(f,x)=f[1]','diff(f,y)=f[2],
'diff(f,z)=f[3]];
LF3:[u=u[1],v=u[2],w=u[3],x=x[1],y=x[2],
z=x[3]];
subst([LF1],DF1);
subst([LF2],%);
subst([LF3],%);
subst([LF1],DF2);
subst([LF2],%);
subst([LF3],%);
subst([LF1],DF3);
subst([LF2],%);
subst([LF3],%);
```

```
FT1:fu[i]='diff(x[j],u[i],1)*f[j];
FT2:subst([j=a],FT1);
FT5:f[j]='diff(u[i],x[j],1)*fu[i];
LF4:['diff(f,u)=fu,'diff(f,v)=fv,
'diff(f,w)=fw];
LF5:['diff(f,x)=fx','diff(f,y)=fy,
'diff(f,z)=fz];
subst([LF4],DF1);
FT3:subst([LF5],%);
diff(FT3,v,1);
DFT3:expand(%);
LF6:[fu=fu[1],fx=f[1],fy=f[2],fz=f[3]];
subst([LF6],DFT3);
DFT31:subst([LF3],%);
DFT4:'diff(fu[i],u[j],1)='diff(x[a],u[i],
1)*'diff(f[a],x[b],1)*'diff(x[b],u[j],1)
+'diff(x[a],u[i],1,u[j],1)*f[a];
DFT41:first(rhs(DFT4));
DFT42:last(rhs(DFT4));
subst([i=1,j=2],DFT4);
sum(sum(first(rhs(%)),a,1,3),b,1,3)
+sum(last(rhs(%)),a,1,3);
%-rhs(DFT31);
```

$f u_i$  が  $x_j$  の関数、 $u_i$  の関数、 $f_j$  が  $x_j$  の関数、 $u_i$  が  $x_j$  の関数とすると、共変ベクトルの座標変換の関係式：(4.6.137)式から、次式となる。

$$f u_i = f_j \left( \frac{d}{d u^i} x^j \right) \quad (4.6.276)$$

上式を  $i = 1, j = 1, \rightarrow 3$  として展開すると、

$$f u_1 = f_3 \left( \frac{d}{d u^1} x^3 \right) + f_2 \left( \frac{d}{d u^1} x^2 \right) + f_1 \left( \frac{d}{d u^1} x^1 \right)$$

上式を  $u_2$  で微分すると、

$$\begin{aligned} \frac{d}{d u^2} f u_1 &= \left( \frac{d}{d x^3} f_3 \right) \left( \frac{d}{d u^1} x^3 \right) \left( \frac{d}{d u^2} x^3 \right) + \left( \frac{d}{d x^3} f_2 \right) \left( \frac{d}{d u^1} x^2 \right) \left( \frac{d}{d u^2} x^3 \right) \\ &+ \left( \frac{d}{d x^3} f_1 \right) \left( \frac{d}{d u^1} x^1 \right) \left( \frac{d}{d u^2} x^3 \right) + f_3 \left( \frac{d^2}{d u^1 d u^2} x^3 \right) + \left( \frac{d}{d u^2} x^2 \right) \left( \frac{d}{d x^2} f_3 \right) \left( \frac{d}{d u^1} x^3 \right) \\ &+ \left( \frac{d}{d u^2} x^1 \right) \left( \frac{d}{d x^1} f_3 \right) \left( \frac{d}{d u^1} x^3 \right) + \left( \frac{d}{d x^2} f_2 \right) \left( \frac{d}{d u^1} x^2 \right) \left( \frac{d}{d u^2} x^2 \right) \\ &+ \left( \frac{d}{d x^2} f_1 \right) \left( \frac{d}{d u^1} x^1 \right) \left( \frac{d}{d u^2} x^2 \right) + f_2 \left( \frac{d^2}{d u^1 d u^2} x^2 \right) + \left( \frac{d}{d u^2} x^1 \right) \left( \frac{d}{d x^1} f_2 \right) \left( \frac{d}{d u^1} x^2 \right) \\ &+ \left( \frac{d}{d x^1} f_1 \right) \left( \frac{d}{d u^1} x^1 \right) \left( \frac{d}{d u^2} x^1 \right) + f_1 \left( \frac{d^2}{d u^1 d u^2} x^1 \right) \end{aligned}$$

上式を縮約すると、

$$\frac{d}{d u^j} f u_i = \left( \frac{d}{d x^b} f_a \right) \left( \frac{d}{d u^i} x^a \right) \left( \frac{d}{d u^j} x^b \right) + f_a \left( \frac{d^2}{d u^i d u^j} x^a \right) \quad (4.6.277)$$

<sup>1</sup> FNの高校物理 数学 曲面上の幾何学 <http://fnorio.com>

```

GMK1:Gm([i,j],[k])='diff(x[a],u[i],1)
*'diff(x[b],u[j],1)''diff(u[k],x[c],1)
*\Gamma([a,b],[c])+'diff(x[b],u[i],
1,u[j],1)''diff(u[k],x[b],1);
ishow(%);
DFT421:subst([a=b],DFT42);
subst([j=b,i=k],FT5);
DFT422:subst([],DFT421);
DFT5:lhs(DFT4)=DFT41+DFT422;
ishow(%);
GMK2:last(rhs(GMK1))=lhs(GMK1)
-first(rhs(GMK1));

```

```

GMK21:%*fu[k];
GMK22:expand(%);
ishow(%);
DFT51:lhs(DFT4)=rhs(GMK22)+DFT41;
ishow(%);
DFT52:DFT51-lhs(GMK1)*fu[k];
DFT53:lhs(DFT52)=subst([fu[k]=f[c]/
('diff(u[k],x[c],1))],rhs(DFT52));
ishow(%);
factor(DFT53);
ishow(%);

```

(4.6.218) 式のクリストフェル記号の座標変換から、

$$\Gamma_{ij}^k = \left( \frac{d}{du^i} x^a \right) \Gamma_{ab}^c \left( \frac{d}{du^j} x^b \right) \left( \frac{d}{dx^c} u^k \right) + \left( \frac{d^2}{du^i du^j} x^b \right) \left( \frac{d}{dx^b} u^k \right) \quad (4.6.278)$$

(4.6.277) 式の右辺第二項の  $\frac{d^2}{du^i du^j} x^a$  と (4.6.278) 式の右辺第二項の  $\frac{d^2}{du^i du^j} x^b$  を一致させるため、(4.6.277) 式の右辺第二項で  $a \rightarrow b$  の置き換えると、

$$\frac{d}{du^j} fu_i = \left( \frac{d}{dx^b} f_a \right) \left( \frac{d}{du^i} x^a \right) \left( \frac{d}{du^j} x^b \right) + f_b \left( \frac{d^2}{du^i du^j} x^b \right) \quad (4.6.279)$$

(4.6.276) 式を変形し、

$$f_b = fu_k \left( \frac{d}{dx^b} u^k \right)$$

(4.6.279) 式に上式を代入すると、

$$\frac{d}{du^j} fu_i = \left( \frac{d^2}{du^i du^j} x^b \right) fu_k \left( \frac{d}{dx^b} u^k \right) + \left( \frac{d}{dx^b} f_a \right) \left( \frac{d}{du^i} x^a \right) \left( \frac{d}{du^j} x^b \right) \quad (4.6.280)$$

(4.6.278) 式を変形し、

$$\left( \frac{d^2}{du^i du^j} x^b \right) fu_k \left( \frac{d}{dx^b} u^k \right) = \Gamma_{ij}^k fu_k - \left( \frac{d}{du^i} x^a \right) \Gamma_{ab}^c \left( \frac{d}{du^j} x^b \right) fu_k \left( \frac{d}{dx^c} u^k \right)$$

(4.6.280) 式に上式を代入すると、

$$\frac{d}{du^j} fu_i = - \left( \frac{d}{du^i} x^a \right) \Gamma_{ab}^c \left( \frac{d}{du^j} x^b \right) fu_k \left( \frac{d}{dx^c} u^k \right) + \Gamma_{ij}^k fu_k + \left( \frac{d}{dx^b} f_a \right) \left( \frac{d}{du^i} x^a \right) \left( \frac{d}{du^j} x^b \right) \quad (4.6.281)$$

(4.6.276) 式を変形し、

$$fu_k = \frac{f_c}{\frac{d}{dx^c} u^k}$$

(4.6.281) 式に上式を代入し、上式右辺第二項を左辺に移動すると、

$$\frac{d}{du^j} fu_i - \Gamma_{ij}^k fu_k = \left( \frac{d}{dx^b} f_a \right) \left( \frac{d}{du^i} x^a \right) \left( \frac{d}{du^j} x^b \right) - \left( \frac{d}{du^i} x^a \right) \Gamma_{ab}^c \left( \frac{d}{du^j} x^b \right) f_c$$

上式を整理すると、

$$\frac{d}{du^j} fu_i - \Gamma_{ij}^k fu_k = \left( \frac{d}{du^i} x^a \right) \left( \frac{d}{du^j} x^b \right) \left( \frac{d}{dx^b} f_a - \Gamma_{ab}^c f_c \right) \quad (4.6.282)$$

また、次のように記述できる。下記から 2 階の共変テンソルである。

$$fu_{i,j} = \left( \frac{d}{du^i} x^a \right) \left( \frac{d}{du^j} x^b \right) f_{a,b} \quad (4.6.283)$$

## 4.6.14.11 反変ベクトルの2回の共変微分係数

反変ベクトルの2回の共変微分係数を求める<sup>1</sup>。

```
kill(all);
load("vect")$
load(itensor)$
depends([f],[x]);
DF0:f([],[i],j)'diff(f([],[i]),x[j],1)
+f([],[k])*\Gamma([k,j],[i]);
ishow(%);
DF1:subst([k=a],DF0);
ishow(%);
DF2:subst([i=a,k=b],DF0);
ishow(%);
DF3:subst([j=a,k=b],DF0);
ishow(%);
DDF1:f([],[i],j,k)=f([],[a],j)*\Gamma([a,k],
[i])-\Gamma([j,k],[a])*f([],[i],a)+
'diff(f([],[i],j),x[k],1);
ishow(%);
DDF2:subst([DF1,DF2,DF3],DDF1);
ishow(%);
expand(DDF2);
DDF3:ev(%,'diff');
ishow(%);
coeff(rhs(DDF3),f([],[b]));
CF3:expand(%*f([],[b]));
```

```
subst([a=o,b=p],%);
CF4:subst([o=b,p=a],%);
DDF4:lhs(DDF3)=rhs(DDF3)-CF3+CF4;
ishow(%);
partfrac(DDF4,f([],[a]));
ishow(%);
```

$f^i$  が  $x_j$  の関数とすると、反変ベクトルの共変微分係数は (4.6.225) 式から次式となる。

$$f_{,j}^i = f^k \Gamma_{kj}^i + \frac{d}{dx^j} f^i \quad (4.6.284)$$

また、反変ベクトルの微分の座標変換の (4.6.275) 式から、反変ベクトルの共変微分は (1,1) 型の混合テンソルである。このことから反変ベクトルの2回の共変微分係数は、(4.6.266) 式の混合テンソル共変微分係数から、

$$f_{,jk}^i = -f_{,a}^i \Gamma_{jk}^a + f_{,j}^a \Gamma_{ak}^i + \frac{d}{dx^k} f_{,j}^i \quad (4.6.285)$$

上式の  $f_{,j}^i$ ,  $f_{,j}^a$ ,  $f_{,a}^i$  を (4.6.284) 式から求めると、

$$f_{,j}^i = f^a \Gamma_{aj}^i + \frac{d}{dx^j} f^i$$

$$f_{,j}^a = f^b \Gamma_{bj}^a + \frac{d}{dx^j} f^a$$

$$f_{,a}^i = f^b \Gamma_{ba}^i + \frac{d}{dx^a} f^i$$

(4.6.285) 式に上式を代入すると、

$$f_{,jk}^i = - \left( f^b \Gamma_{ba}^i + \frac{d}{dx^a} f^i \right) \Gamma_{jk}^a + \Gamma_{ak}^i \left( f^b \Gamma_{bj}^a + \frac{d}{dx^j} f^a \right) + \frac{d}{dx^k} \left( f^a \Gamma_{aj}^i + \frac{d}{dx^j} f^i \right)$$

上式を展開すると、

$$f_{,jk}^i = -f^b \Gamma_{ba}^i \Gamma_{jk}^a - \left( \frac{d}{dx^a} f^i \right) \Gamma_{jk}^a + f^b \Gamma_{ak}^i \Gamma_{bj}^a + f^a \left( \frac{d}{dx^k} \Gamma_{aj}^i \right) + \left( \frac{d}{dx^j} f^a \right) \Gamma_{ak}^i + \left( \frac{d}{dx^k} f^a \right) \Gamma_{aj}^i + \frac{d^2}{dx^j dx^k} f^i$$

上式で  $f^b$  の項を  $f^a$  の項に統一するため、上式右辺第一項、第三項で  $a \rightarrow b$ ,  $b \rightarrow a$  に置き換えると、

$$f_{,jk}^i = -f^a \Gamma_{ab}^i \Gamma_{jk}^b - \left( \frac{d}{dx^a} f^i \right) \Gamma_{jk}^a + f^a \Gamma_{aj}^b \Gamma_{bk}^i + f^a \left( \frac{d}{dx^k} \Gamma_{aj}^i \right) + \left( \frac{d}{dx^j} f^a \right) \Gamma_{ak}^i + \left( \frac{d}{dx^k} f^a \right) \Gamma_{aj}^i + \frac{d^2}{dx^j dx^k} f^i$$

上式を  $f^a$  でまとめると、次式の反変ベクトルの2回の共変微分係数が得られた。

$$f_{,jk}^i = f^a \left( -\Gamma_{ab}^i \Gamma_{jk}^b + \Gamma_{aj}^b \Gamma_{bk}^i + \frac{d}{dx^k} \Gamma_{aj}^i \right) - \left( \frac{d}{dx^a} f^i \right) \Gamma_{jk}^a + \left( \frac{d}{dx^j} f^a \right) \Gamma_{ak}^i + \left( \frac{d}{dx^k} f^a \right) \Gamma_{aj}^i + \frac{d^2}{dx^j dx^k} f^i \quad (4.6.286)$$

<sup>1</sup> FNの高校物理 数学 曲面上の幾何学 <http://fnorio.com>

## 4.6.14.12 共変ベクトルの2回の共変微分係数

共変ベクトルの2回の共変微分係数を求める<sup>1</sup>。

```
kill(all);
load("vect")$
load(itensor)$
depends([f],[x]);
DF0:f([i],[j])='diff(f([i],[j]),x[j],1)
-f([k],[j])*\Gamma([i],[j],[k]);
ishow(%);
DF1:subst([k=a],DF0);
ishow(%);
DF2:subst([i=a,k=b],DF0);
ishow(%);
DF3:subst([j=a,k=b],DF0);
ishow(%);
DDF1:f([i],[j],[k])=-f([a],[j])*\Gamma([i],[k],
[a])-\Gamma([j],[k],[a])*f([i],[j],a)+
'diff(f([i],[j]),x[k],1);
ishow(%);
DDF2:subst([DF1,DF2,DF3],DDF1);
ishow(%);
expand(DDF2);
DDF3:ev(%diff);
ishow(%);
coeff(rhs(DDF3),f([b],[j]));
CF3:expand(%*f([b],[j]));
```

```
subst([a=o,b=p],%);
CF4:subst([o=b,p=a],%);
DDF4:lhs(DDF3)=rhs(DDF3)-CF3+CF4;
ishow(%);
partfrac(DDF4,f([a],[j]));
ishow(%);
```

$f^i$  が  $x_j$  の関数とすると、共変ベクトルの共変微分係数は (4.6.231) 式から次式となる。

$$f_{i,j} = \frac{d}{dx^j} f_i - \Gamma_{ij}^k f_k \quad (4.6.287)$$

また、共変ベクトルの微分の座標変換の (4.6.282) 式から、共変ベクトルの共変微分は (0,2) 型の共変テンソルである。このことから共変ベクトルの2回の共変微分係数は、(4.6.254) 式の共変テンソル共変微分係数から、

$$f_{i,jk} = -f_{i,a} \Gamma_{jk}^a + \frac{d}{dx^k} f_{i,j} - f_{a,j} \Gamma_{ik}^a \quad (4.6.288)$$

上式の  $f_{i,j}$ ,  $f_{a,j}$ ,  $f_{i,a}$  を (4.6.287) 式から求めると、

$$f_{i,j} = \frac{d}{dx^j} f_i - f_a \Gamma_{ij}^a$$

$$f_{a,j} = \frac{d}{dx^j} f_a - \Gamma_{aj}^b f_b$$

$$f_{i,a} = \frac{d}{dx^a} f_i - f_b \Gamma_{ia}^b$$

(4.6.288) 式に上式を代入すると、

$$f_{i,jk} = - \left( \frac{d}{dx^a} f_i - f_b \Gamma_{ia}^b \right) \Gamma_{jk}^a + \frac{d}{dx^k} \left( \frac{d}{dx^j} f_i - f_a \Gamma_{ij}^a \right) - \left( \frac{d}{dx^j} f_a - \Gamma_{aj}^b f_b \right) \Gamma_{ik}^a$$

上式を展開すると、

$$f_{i,jk} = - \left( \frac{d}{dx^a} f_i \right) \Gamma_{jk}^a + f_b \Gamma_{ia}^b \Gamma_{jk}^a - f_a \left( \frac{d}{dx^k} \Gamma_{ij}^a \right) + \frac{d^2}{dx^j dx^k} f_i + \Gamma_{aj}^b f_b \Gamma_{ik}^a - \left( \frac{d}{dx^j} f_a \right) \Gamma_{ik}^a - \left( \frac{d}{dx^k} f_a \right) \Gamma_{ij}^a$$

上式で  $f^b$  の項を  $f^a$  の項に統一するため、上式右辺第一項、第三項で  $a \rightarrow b$ ,  $b \rightarrow a$  に置き換えると、

$$f_{i,jk} = f_a \Gamma_{ib}^a \Gamma_{jk}^b - \left( \frac{d}{dx^a} f_i \right) \Gamma_{jk}^a - f_a \left( \frac{d}{dx^k} \Gamma_{ij}^a \right) + \frac{d^2}{dx^j dx^k} f_i + f_a \Gamma_{bj}^a \Gamma_{ik}^b - \left( \frac{d}{dx^j} f_a \right) \Gamma_{ik}^a - \left( \frac{d}{dx^k} f_a \right) \Gamma_{ij}^a$$

上式を  $f^a$  でまとめると、次式の反変ベクトルの2回の共変微分係数が得られた。

$$f_{i,jk} = f_a \left( \Gamma_{ib}^a \Gamma_{jk}^b - \frac{d}{dx^k} \Gamma_{ij}^a + \Gamma_{bj}^a \Gamma_{ik}^b \right) - \left( \frac{d}{dx^a} f_i \right) \Gamma_{jk}^a + \frac{d^2}{dx^j dx^k} f_i - \left( \frac{d}{dx^j} f_a \right) \Gamma_{ik}^a - \left( \frac{d}{dx^k} f_a \right) \Gamma_{ij}^a \quad (4.6.289)$$

<sup>1</sup> FNの高校物理 数学 曲面上の幾何学 <http://fnorio.com>

## 4.6.14.13 計量テンソルの共変微分

計量テンソル： $g_{ij}$  の共変微分を求める。

```
kill(all);
load("vect")$
load(itensor)$
depends([g,e],[x[k]]);
DT1:diff(g([i,j],[ ]),x[k],1);
ishow(%);
DEIK1:'diff(e([i],[ ]),x[k],1)=
  Gamma([i,k],[m])*e([m],[ ]);
ishow(%);
DEJK1:'diff(e([j],[ ]),x[k],1)=
  Gamma([j,k],[m])*e([m],[ ]);
ishow(%);
DGO:DT1-Gamma([i,k],[m])*g([m,j],[ ])
  -Gamma([j,k],[m])*g([i,m],[ ]);
ishow(%);
G1:g([i,j],[ ])=e([i],[ ])*e([j],[ ]);
ishow(%);
DG1:diff(G1,x[k],1);
ishow(%);
DG2:subst([DEIK1,DEJK1],DG1);
ishow(%);
DGO1:subst([DG2],DGO);
ishow(%);
subst([e([i],[ ])=g([i,m],[ ])/e([m],[ ]),
  e([j],[ ])=g([m,j],[ ])/e([m],[ ])],DGO1);
factor(%);
```

(4.6.158) 式から計量テンソルが共変テンソルであるから、計量テンソル： $g_{ij}$  の共変微分は、共変テンソル共変微分係数：(4.6.254) 式から、

$$g_{ij;k} = -\Gamma_{ik}^m g_{mj} - g_{im} \Gamma_{jk}^m + \frac{\partial}{\partial x^k} g_{ij} \quad (4.6.290)$$

計量テンソルの定義：(4.6.30) 式から、

$$g_{ij} = e_i e_j$$

上式を  $x^k$  で微分すると、

$$\frac{\partial}{\partial x^k} g_{ij} = e_i \left( \frac{\partial}{\partial x^k} e_j \right) + \left( \frac{d}{dx^k} e_i \right) e_j \quad (4.6.291)$$

ここで、(4.6.177) 式から、

$$\frac{d}{dx^k} e_i = \Gamma_{ik}^m e_m, \quad \frac{d}{dx^k} e_j = \Gamma_{jk}^m e_m$$

(4.6.291) 式に上式を代入すると、

$$\frac{\partial}{\partial x^k} g_{ij} = e_i \Gamma_{jk}^m e_m + \Gamma_{ik}^m e_j e_m \quad (4.6.292)$$

(4.6.290) 式に上式を代入すると、

$$\begin{aligned} g_{ij;k} &= -\Gamma_{ik}^m g_{mj} + e_i \Gamma_{jk}^m e_m + \Gamma_{ik}^m e_j e_m - g_{im} \Gamma_{jk}^m \\ &= -\Gamma_{ik}^m g_{mj} + \Gamma_{jk}^m g_{im} + \Gamma_{ik}^m g_{mj} - g_{im} \Gamma_{jk}^m \\ &= 0 \end{aligned} \quad (4.6.293)$$



## 4.6.14.14 クリストフェルの記号を計量テンソルで表現

クリストフェルの記号:  $\Gamma_{ij}^l$  の特殊な場合を計量テンソル:  $g_{ij}$  で表現する。

```
kill(all);
load("vect")$
load(itensor)$
depends([g,e],[x[i]]);
G1:matrix([g[11],g[12],g[13]],[g[21],g[22],g[23]],[g[31],g[32],g[33]]);
GI1:matrix([g^("11"),g^("12"),g^("13")],[g^("21"),g^("22"),g^("23")],
[g^("31"),g^("32"),g^("33")]);
GAM1:Gamma([i,j],[l])=(g([],[k,l])*('diff(g([k,i],[]),x[j],1)+'diff(g([j,k],[]),
x[i],1)-'diff(g([i,j],[]),x[k],1)))/2;
ishow(%);
GAM2:lhs(%)=sum(rhs(%),k,1,3);
ishow(%);
GAM11:subst([l=j],GAM1);
ishow(%);
GAM21:lhs(GAM11)=sum(sum(rhs(GAM11),j,1,3),k,1,3);
expand(%);
ishow(%);
GAM22:lhs(GAM11)=
-(g([],[3,3])*('diff(g([i,3],[]),x[3],1)))/2-(g([],[2,3])*('diff(g([i,3],[]),x[2],1)))/2
-(g([],[1,3])*('diff(g([i,3],[]),x[1],1)))/2-(g([],[3,2])*('diff(g([i,2],[]),x[3],1)))/2
-(g([],[2,2])*('diff(g([i,2],[]),x[2],1)))/2-(g([],[1,2])*('diff(g([i,2],[]),x[1],1)))/2
-(g([],[3,1])*('diff(g([i,1],[]),x[3],1)))/2-(g([],[2,1])*('diff(g([i,1],[]),x[2],1)))/2
-(g([],[1,1])*('diff(g([i,1],[]),x[1],1)))/2+(g([],[3,3])*('diff(g([3,i],[]),x[3],1)))/2
+(g([],[3,2])*('diff(g([3,i],[]),x[2],1)))/2+(g([],[3,1])*('diff(g([3,i],[]),x[1],1)))/2
+(g([],[3,3])*('diff(g([3,3],[]),x[i],1)))/2+(g([],[2,3])*('diff(g([3,2],[]),x[i],1)))/2
+(g([],[1,3])*('diff(g([3,1],[]),x[i],1)))/2+(g([],[2,3])*('diff(g([2,i],[]),x[3],1)))/2
+(g([],[2,2])*('diff(g([2,i],[]),x[2],1)))/2+(g([],[2,1])*('diff(g([2,i],[]),x[1],1)))/2
+(g([],[3,2])*('diff(g([2,3],[]),x[i],1)))/2+(g([],[2,2])*('diff(g([2,2],[]),x[i],1)))/2
+(g([],[1,2])*('diff(g([2,1],[]),x[i],1)))/2+(g([],[1,3])*('diff(g([1,i],[]),x[3],1)))/2
+(g([],[1,2])*('diff(g([1,i],[]),x[2],1)))/2+(g([],[1,1])*('diff(g([1,i],[]),x[1],1)))/2
+(g([],[3,1])*('diff(g([1,3],[]),x[i],1)))/2+(g([],[2,1])*('diff(g([1,2],[]),x[i],1)))/2
+(g([],[1,1])*('diff(g([1,1],[]),x[i],1)))/2;
GAM21-GAM22;
expand(%);
GAM23:lhs(GAM11)=
+(g([],[3,3])*('diff(g([3,3],[]),x[i],1)))/2+(g([],[2,3])*('diff(g([3,2],[]),x[i],1)))/2
+(g([],[1,3])*('diff(g([3,1],[]),x[i],1)))/2+(g([],[3,2])*('diff(g([2,3],[]),x[i],1)))/2
+(g([],[2,2])*('diff(g([2,2],[]),x[i],1)))/2+(g([],[1,2])*('diff(g([2,1],[]),x[i],1)))/2
+(g([],[3,1])*('diff(g([1,3],[]),x[i],1)))/2+(g([],[2,1])*('diff(g([1,2],[]),x[i],1)))/2
+(g([],[1,1])*('diff(g([1,1],[]),x[i],1)))/2;
ishow(%);
```

```
GAM24:lhs(GAM11)=
+(g([], [j,k])*('diff(g([k,j], []), x[i], 1)))/2;
imshow(%);
GAM25:lhs(GAM24)=sum(sum(rhs(GAM24), j, 1, 3), k, 1, 3);
expand(%);
imshow(%);
GAM23-GAM25;
```

クリストフェルの記号は (4.6.188) 式から下記である。

$$\Gamma_{ij}^l = \frac{g^{kl} \left( \frac{d}{dx^j} g_{ki} + \frac{d}{dx^i} g_{jk} - \frac{d}{dx^k} g_{ij} \right)}{2}$$

上式で、 $l = j$  とすると、

$$\Gamma_{ij}^j = \frac{g^{kj} \left( \frac{d}{dx^j} g_{ki} + \frac{d}{dx^i} g_{jk} - \frac{d}{dx^k} g_{ij} \right)}{2} \quad (4.6.294)$$

上式を  $j = 1 \rightarrow 3, k = 1 \rightarrow 3$  で展開すると、

$$\begin{aligned} \Gamma_{ij}^j = & -\frac{g^{33} \left( \frac{d}{dx^3} g_{i3} \right)}{2} - \frac{g^{23} \left( \frac{d}{dx^2} g_{i3} \right)}{2} - \frac{g^{13} \left( \frac{d}{dx^1} g_{i3} \right)}{2} - \frac{g^{32} \left( \frac{d}{dx^3} g_{i2} \right)}{2} - \frac{g^{22} \left( \frac{d}{dx^2} g_{i2} \right)}{2} - \frac{g^{12} \left( \frac{d}{dx^1} g_{i2} \right)}{2} \\ & - \frac{g^{31} \left( \frac{d}{dx^3} g_{i1} \right)}{2} - \frac{g^{21} \left( \frac{d}{dx^2} g_{i1} \right)}{2} - \frac{g^{11} \left( \frac{d}{dx^1} g_{i1} \right)}{2} + \frac{g^{33} \left( \frac{d}{dx^3} g_{3i} \right)}{2} + \frac{g^{32} \left( \frac{d}{dx^2} g_{3i} \right)}{2} + \frac{g^{31} \left( \frac{d}{dx^1} g_{3i} \right)}{2} \\ & + \frac{g^{33} \left( \frac{d}{dx^3} g_{33} \right)}{2} + \frac{g^{23} \left( \frac{d}{dx^2} g_{32} \right)}{2} + \frac{g^{13} \left( \frac{d}{dx^1} g_{31} \right)}{2} + \frac{g^{23} \left( \frac{d}{dx^3} g_{2i} \right)}{2} + \frac{g^{22} \left( \frac{d}{dx^2} g_{2i} \right)}{2} + \frac{g^{21} \left( \frac{d}{dx^1} g_{2i} \right)}{2} \\ & + \frac{g^{32} \left( \frac{d}{dx^3} g_{23} \right)}{2} + \frac{g^{22} \left( \frac{d}{dx^2} g_{22} \right)}{2} + \frac{g^{12} \left( \frac{d}{dx^1} g_{21} \right)}{2} + \frac{g^{13} \left( \frac{d}{dx^3} g_{1i} \right)}{2} + \frac{g^{12} \left( \frac{d}{dx^2} g_{1i} \right)}{2} + \frac{g^{11} \left( \frac{d}{dx^1} g_{1i} \right)}{2} \\ & + \frac{g^{31} \left( \frac{d}{dx^3} g_{13} \right)}{2} + \frac{g^{21} \left( \frac{d}{dx^2} g_{12} \right)}{2} + \frac{g^{11} \left( \frac{d}{dx^1} g_{11} \right)}{2} \end{aligned}$$

$g_{ij} = g_{ji}$  の関係を使って上式を整理すると、

$$\begin{aligned} \Gamma_{ij}^j = & \frac{g^{33} \left( \frac{d}{dx^3} g_{33} \right)}{2} + \frac{g^{23} \left( \frac{d}{dx^2} g_{32} \right)}{2} + \frac{g^{13} \left( \frac{d}{dx^1} g_{31} \right)}{2} + \frac{g^{32} \left( \frac{d}{dx^3} g_{23} \right)}{2} + \frac{g^{22} \left( \frac{d}{dx^2} g_{22} \right)}{2} + \frac{g^{12} \left( \frac{d}{dx^1} g_{21} \right)}{2} \\ & + \frac{g^{31} \left( \frac{d}{dx^3} g_{13} \right)}{2} + \frac{g^{21} \left( \frac{d}{dx^2} g_{12} \right)}{2} + \frac{g^{11} \left( \frac{d}{dx^1} g_{11} \right)}{2} \end{aligned}$$

上式を縮約すると、

$$\Gamma_{ij}^j = \frac{g^{jk} \left( \frac{d}{dx^i} g_{kj} \right)}{2} \quad (4.6.295)$$

```

DEG1:determinant(G1);
'diff(G1,x[i],1)=diff(DEG1,x[i],1);
DDEG1:factor(%);
ADG1:adjoint(G1);
G11:G[11]=ADG1[1][1];
G12:G[12]=ADG1[1][2];
G13:G[13]=ADG1[1][3];
G21:G[21]=ADG1[2][1];
G22:G[22]=ADG1[2][2];
G23:G[23]=ADG1[2][3];
G31:G[31]=ADG1[3][1];
G32:G[32]=ADG1[3][2];
G33:G[33]=ADG1[3][3];
'diff(matrix([g[11],g[12],g[13]],[g[21],g[22],g[23]],[g[31],g[32],g[33]]),x[i],1)
=(G[33]*'diff(g[33],x[i],1))+G[23]*('diff(g[32],x[i],1))+G[13]*('diff(g[31],
x[i],1))+G[32]*('diff(g[23],x[i],1))+G[22]*('diff(g[22],x[i],1))+G[12]*
('diff(g[21],x[i],1))+G[31]*('diff(g[13],x[i],1))+G[21]*('diff(g[12],x[i],1))+
G[11]*('diff(g[11],x[i],1));
DDEG2:'diff(matrix([g[11],g[12],g[13]],[g[21],g[22],g[23]],[g[31],g[32],g[33]]),
x[i],1)=G[jk]*'diff(g[kj],x[i],1);

```

計量テンソル:  $g_{ij}$  を  $g$  と表す。

$$g = \begin{pmatrix} g_{11} & g_{12} & g_{13} \\ g_{21} & g_{22} & g_{23} \\ g_{31} & g_{32} & g_{33} \end{pmatrix} \quad (4.6.296)$$

計量テンソルの行列式は、

$$|g| = \begin{vmatrix} g_{11} & g_{12} & g_{13} \\ g_{21} & g_{22} & g_{23} \\ g_{31} & g_{32} & g_{33} \end{vmatrix} = g_{11} (g_{22} g_{33} - g_{23} g_{32}) - g_{12} (g_{21} g_{33} - g_{23} g_{31}) + g_{13} (g_{21} g_{32} - g_{22} g_{31}) \quad (4.6.297)$$

計量テンソルの行列式  $|g|$  を  $x_i$  で微分すると、

$$\begin{aligned} \frac{d}{dx^i} |g| &= \frac{d}{dx^i} \begin{vmatrix} g_{11} & g_{12} & g_{13} \\ g_{21} & g_{22} & g_{23} \\ g_{31} & g_{32} & g_{33} \end{vmatrix} \\ &= g_{11} g_{22} \left( \frac{d}{dx^i} g_{33} \right) - g_{12} g_{21} \left( \frac{d}{dx^i} g_{33} \right) - g_{11} g_{23} \left( \frac{d}{dx^i} g_{32} \right) + g_{13} g_{21} \left( \frac{d}{dx^i} g_{32} \right) \\ &\quad + g_{12} g_{23} \left( \frac{d}{dx^i} g_{31} \right) - g_{13} g_{22} \left( \frac{d}{dx^i} g_{31} \right) - g_{11} g_{32} \left( \frac{d}{dx^i} g_{23} \right) + g_{12} g_{31} \left( \frac{d}{dx^i} g_{23} \right) \\ &\quad + g_{11} g_{33} \left( \frac{d}{dx^i} g_{22} \right) - g_{13} g_{31} \left( \frac{d}{dx^i} g_{22} \right) - g_{12} g_{33} \left( \frac{d}{dx^i} g_{21} \right) + g_{13} g_{32} \left( \frac{d}{dx^i} g_{21} \right) \\ &\quad + g_{21} g_{32} \left( \frac{d}{dx^i} g_{13} \right) - g_{22} g_{31} \left( \frac{d}{dx^i} g_{13} \right) - g_{21} g_{33} \left( \frac{d}{dx^i} g_{12} \right) + g_{23} g_{31} \left( \frac{d}{dx^i} g_{12} \right) \\ &\quad + g_{22} g_{33} \left( \frac{d}{dx^i} g_{11} \right) - g_{23} g_{32} \left( \frac{d}{dx^i} g_{11} \right) \end{aligned} \quad (4.6.298)$$

計測テンソル:  $g_{ij}$  の余因子行列:  $G_{ij}$  は、

$$\begin{pmatrix} G_{11} & G_{12} & G_{13} \\ G_{21} & G_{22} & G_{23} \\ G_{31} & G_{32} & G_{33} \end{pmatrix} = \begin{pmatrix} g_{22} g_{33} - g_{23} g_{32} & g_{13} g_{32} - g_{12} g_{33} & g_{12} g_{23} - g_{13} g_{22} \\ g_{23} g_{31} - g_{21} g_{33} & g_{11} g_{33} - g_{13} g_{31} & g_{13} g_{21} - g_{11} g_{23} \\ g_{21} g_{32} - g_{22} g_{31} & g_{12} g_{31} - g_{11} g_{32} & g_{11} g_{22} - g_{12} g_{21} \end{pmatrix} \quad (4.6.299)$$

(4.6.298) 式に上式の余因子行列:  $G_{ij}$  の関係を代入すると、

$$\begin{aligned} \frac{d}{dx^i} |g| &= \frac{d}{dx^i} \begin{pmatrix} g_{11} & g_{12} & g_{13} \\ g_{21} & g_{22} & g_{23} \\ g_{31} & g_{32} & g_{33} \end{pmatrix} \\ &= G_{33} \left( \frac{d}{dx^i} g_{33} \right) + G_{23} \left( \frac{d}{dx^i} g_{32} \right) + G_{13} \left( \frac{d}{dx^i} g_{31} \right) + G_{32} \left( \frac{d}{dx^i} g_{23} \right) + G_{22} \left( \frac{d}{dx^i} g_{22} \right) \\ &\quad + G_{12} \left( \frac{d}{dx^i} g_{21} \right) + G_{31} \left( \frac{d}{dx^i} g_{13} \right) + G_{21} \left( \frac{d}{dx^i} g_{12} \right) + G_{11} \left( \frac{d}{dx^i} g_{11} \right) \end{aligned} \quad (4.6.300)$$

上式を縮約すると、

$$\frac{d}{dx^i} |g| = \frac{d}{dx^i} \begin{pmatrix} g_{11} & g_{12} & g_{13} \\ g_{21} & g_{22} & g_{23} \\ g_{31} & g_{32} & g_{33} \end{pmatrix} = G_{jk} \left( \frac{d}{dx^i} g_{kj} \right) \quad (4.6.301)$$

```
ADG1G1:ADG1.G1;
ADG1G12:factor(%);
ADG1G12[1][1];
%-DEG1;
factor(%);
ADG1G12[2][2];
%-DEG1;
factor(%);
ADG1G12[3][3];
%-DEG1;
factor(%);
GG1:G([i,j],[j,k],[j,k])=abs(g)*
\delta([k],[i]);
ishow(%);
GG2:g([i],[j],[j,k],[j,k])=
\delta([k],[i]);
ishow(%);
GG3:GG2*abs(g);
ishow(%);
lhs(GG1)=lhs(GG3);
GG4:%/g([j,k],[j,k]);
ishow(%);
GG41:G([j,k],[j,k])=g([j,k],[j,k])*abs(g);
ishow(%);
'diff(abs(g),x[i],1)=G([j,k],[j,k])*
'diff(g([k,j],[j,k]),x[i],1);
subst([GG41],%);
ishow(%);
GG42:%/abs(g);
ishow(%);
GAM24;
lhs(GAM24)=lhs(GG42)/2;
lhs(GAM24)='diff(log(abs(g)),x[i],1)/2;
lhs(GAM24)='diff(sqrt(abs(g)),x[i],1)/
sqrt(abs(g));
```

余因子行列:  $G_{ij}$  の関係式: (4.6.299) 式の右辺の結果を使って、下記を求め、計量テンソルの行列式の関係式: (4.6.297) 式の結果から、

$$\begin{pmatrix} G_{11} & G_{12} & G_{13} \\ G_{21} & G_{22} & G_{23} \\ G_{31} & G_{32} & G_{33} \end{pmatrix} \begin{pmatrix} g_{11} & g_{12} & g_{13} \\ g_{21} & g_{22} & g_{23} \\ g_{31} & g_{32} & g_{33} \end{pmatrix} = \begin{pmatrix} |g| & 0 & 0 \\ 0 & |g| & 0 \\ 0 & 0 & |g| \end{pmatrix}$$

上式を縮約すると、

$$G_{ij} g_{jk} = |g| \delta_k^i \quad (4.6.302)$$

また、計量テンソルの関係式: (4.6.34) 式を縮約すると、

$$g^{ij} g_{jk} = \delta_k^i \quad (4.6.303)$$

上式に  $|g|$  を掛けると、(4.6.302) 式から、

$$g^{ij} |g| g_{jk} = |g| \delta_k^i = G_{ij} g_{jk} \quad (4.6.304)$$

上式から、

$$G_{ij} = g^{ij} |g|$$

(4.6.301) 式の余因子行列の添え字と上式の添え字を合わせて、上式を、

$$G_{jk} = g^{jk} |g|$$

(4.6.301) 式に上式を代入し、

$$\frac{d}{dx^i} |g| = g^{jk} |g| \left( \frac{d}{dx^i} g_{kj} \right)$$

上式を変形し、

$$\frac{\frac{d}{dx^i} |g|}{|g|} = g^{jk} \left( \frac{d}{dx^i} g_{kj} \right)$$

(4.6.295) 式に上式を代入すると、

$$\Gamma_{ij}^j = \frac{\frac{d}{dx^i} |g|}{2 |g|} = \frac{\frac{d}{dx^i} \log(|g|)}{2} = \frac{\frac{d}{dx^i} \sqrt{|g|}}{\sqrt{|g|}} \quad (4.6.305)$$

# 第5章 複素関数

## 5.1 複素演算

### 5.1.1 Maxima の複素数定義

Maxima の関数や変数の属性（整数、実数、複素数など）の宣言は下記の declare 関数で行う。属性としては、整数:integer、実数:real、複素数:complex などがある。

```
declare([変数1, 変数2, ..., 属性])
```

また、虚数:  $i$  を、Maxima では %i で表現する。

$xy$  座標表記

```
kill(all);
declare(z, complex);
declare(w, complex);
Z1:z[1]=x[1]+%i*y[1];
Z2:z[2]=x[2]+%i*y[2];
```

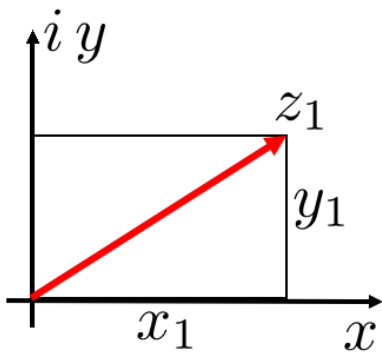


図 5.1.1:  $xy$  座標表記

複素数を  $xy$  座標表記すると下記となる。

$$z_1 = i y_1 + x_1 \tag{5.1.1}$$

$$z_2 = i y_2 + x_2 \tag{5.1.2}$$

極座標表記

```
assume(r[1]>0);
assume(r[2]>0);
Z3:z[1]=r[1]*e^(%i*\theta[1]);
Z4:z[2]=r[2]*e^(%i*\theta[2]);
```

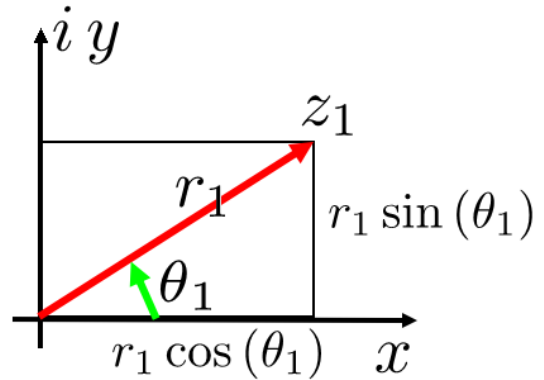


図 5.1.2: 極座標表記

複素数を極座標表記すると下記となる。

$$z_1 = e^{i\theta_1} r_1 \tag{5.1.3}$$

$$z_2 = e^{i\theta_2} r_2 \tag{5.1.4}$$

ここで、 $r_1 > 0, r_2 > 0$  とする。

実部、虚部

```
realpart(rhs(Z1));
imagpart(rhs(Z1));
realpart(rhs(Z3));
imagpart(rhs(Z3));
```

Maxima で複素数の記述の実部は下記の *realpart* 関数で得られる。

$$\text{realpart}(\text{複素数の記述})$$

Maxima で複素数の記述の虚部は下記の *imagpart* 関数で得られる。

$$\text{imagpart}(\text{複素数の記述})$$

(5.1.1) 式の実部は、

$$x_1$$

(5.1.1) 式の虚部は、

$$y_1$$

(5.1.3) 式の実部は、

$$r_1 \cos(\theta_1)$$

(5.1.3) 式の虚部は、

$$r_1 \sin(\theta_1)$$

*xy* 座標、極座標出力

```
z=polarform(rhs(Z1));
z=rectform(rhs(Z3));
```

Maxima で複素数の記述の *xy* 座標表記は下記の *rectform* 関数で得られる。

*rectform*(複素数の記述)

Maxima で複素数の記述の極座標表記は下記の *polarform* 関数で得られる。

*polarform*(複素数の記述)

(5.1.1) 式の極座標表記は、

$$z = \sqrt{y_1^2 + x_1^2} e^{i \operatorname{atan2}(y_1, x_1)}$$

(5.1.3) 式の *xy* 座標表記は、

$$z = i r_1 \sin(\theta_1) + r_1 \cos(\theta_1)$$

絶対値

```
abs(lhs(Z1))=cabs(rhs(Z1));
abs(lhs(Z3))=cabs(rhs(Z3));
```

Maxima で複素数の絶対値は下記の *cabs* 関数で得られる。

*cabs*(複素数の記述)

(5.1.1) 式の絶対値は、

$$|z_1| = \sqrt{y_1^2 + x_1^2}$$

(5.1.3) 式の絶対値は、

$$|z_1| = r_1$$

角度

```
arg(lhs(Z1))=carg(rhs(Z1));
arg(lhs(Z3))=carg(rhs(Z3));
arg(lhs(Z3))=imagpart(radcan(log(rhs(Z3))));
```

Maxima で複素数の角度は下記の *carg* 関数で得られる。

*carg*(複素数の記述)

(5.1.1) 式の角度は、

$$\arg(z_1) = \operatorname{atan2}(y_1, x_1)$$

(5.1.3) 式の角度は、

$$\arg(z_1) = \operatorname{atan2}(\sin(\theta_1), \cos(\theta_1))$$

また、*log* の虚部でも得られ、(5.1.3) 式の角度は、

$$\arg(z_1) = \theta_1$$

共役複素数

```
ZC1:conjugate(Z1);
conjugate(Z3);
expand(Z1*ZC1);
```

Maxima で複素数の共役複素数は下記の *conjugate* 関数で得られる。

*conjugate*(複素数の記述)

(5.1.1) 式の共役複素数は、

$$\bar{z}_1 = \operatorname{conjugate}(z_1) = x_1 - i y_1$$

(5.1.3) 式の共役複素数は、

$$\bar{z}_1 = \operatorname{conjugate}(z_1) = e^{-i \theta_1} r_1$$

また、下記の関係がある。

$$z_1 \bar{z}_1 = z_1 \operatorname{conjugate}(z_1) = y_1^2 + x_1^2$$

## 5.1.2 複素演算例

複素演算例を下記に示す。

和

```
Z1+Z2;
Z3+Z4;
```

和の  $xy$  座標表記は下記となる。

$$z_2 + z_1 = i y_2 + x_2 + i y_1 + x_1$$

和の極座標表記は下記となる。

$$z_2 + z_1 = e^{i\theta_2} r_2 + e^{i\theta_1} r_1$$

積と商

```
MP1:Z1*Z2;
lhs(MP1)=polarform(rhs(MP1));
lhs(MP1)=rectform(rhs(MP1));
MP3:Z3*Z4;
lhs(MP3)=polarform(rhs(MP3));
lhs(MP3)=rectform(rhs(MP3));
MP1:Z1/Z2;
lhs(MP1)=polarform(rhs(MP1));
lhs(MP1)=rectform(rhs(MP1));
MP3:Z3/Z4;
lhs(MP3)=polarform(rhs(MP3));
lhs(MP3)=rectform(rhs(MP3));
```

$xy$  座標表記式の積の極座標表記と  $xy$  座標表記は下記となる。

$$\begin{aligned} z_1 z_2 &= (i y_1 + x_1) (i y_2 + x_2) \\ &= \sqrt{y_1^2 + x_1^2} \sqrt{y_2^2 + x_2^2} e^{i(\operatorname{atan2}(y_2, x_2) + \operatorname{atan2}(y_1, x_1))} \\ &= i (x_1 y_2 + y_1 x_2) - y_1 y_2 + x_1 x_2 \end{aligned}$$

極座標表記式の積の極座標表記と  $xy$  座標表記は下記となる。

$$\begin{aligned} z_1 z_2 &= e^{i\theta_2 + i\theta_1} r_1 r_2 \\ &= r_1 r_2 e^{i \operatorname{atan2}(\sin(\theta_2 + \theta_1), \cos(\theta_2 + \theta_1))} \\ &= i r_1 r_2 \sin(\theta_2 + \theta_1) + r_1 r_2 \cos(\theta_2 + \theta_1) \end{aligned}$$

$xy$  座標表記式の商の極座標表記と  $xy$  座標表記は下記となる。

$$\begin{aligned} \frac{z_1}{z_2} &= \frac{i y_1 + x_1}{i y_2 + x_2} \\ &= \frac{\sqrt{y_1^2 + x_1^2} e^{i \left( \operatorname{atan2}(y_1, x_1) - \operatorname{atan2}\left(\frac{y_2}{\sqrt{y_2^2 + x_2^2}}, \frac{x_2}{\sqrt{y_2^2 + x_2^2}}\right)\right)}}{\sqrt{y_2^2 + x_2^2}} \\ &= \frac{y_1 y_2 + x_1 x_2}{y_2^2 + x_2^2} + \frac{i (y_1 x_2 - x_1 y_2)}{y_2^2 + x_2^2} \end{aligned}$$

極座標表記式の商の極座標表記と  $xy$  座標表記は下記となる。

$$\begin{aligned} \frac{z_1}{z_2} &= \frac{e^{i\theta_1 - i\theta_2} r_1}{r_2} \\ &= \frac{r_1 e^{-i \operatorname{atan2}(\sin(\theta_2 - \theta_1), \cos(\theta_2 - \theta_1))}}{r_2} \\ &= \frac{r_1 \cos(\theta_2 - \theta_1)}{r_2} - \frac{i r_1 \sin(\theta_2 - \theta_1)}{r_2} \end{aligned}$$

直線

```
z=a*(z[2]-z[1])+z[1];
subst([Z1,Z2],%);
```

$z_1$  と  $z_2$  を通る直線は次式で表現できる。

$$\begin{aligned} z &= (z_2 - z_1) a + z_1 \\ &= (i y_2 + x_2 - i y_1 - x_1) a + i y_1 + x_1 \end{aligned}$$

円

```
z=z[1]+R*e^(%i*\theta);
```

中心が  $z_1$  で半径  $R$  の円は次式で表現できる。

$$z = e^{i\theta} R + z_1$$

複素数積とベクトル積

```
conjugate(rhs(Z1))*rhs(Z2);
VZ0:expand(%);
realpart(VZ0);
imagpart(VZ0);
VZ1:matrix([x[1]], [y[1]], [0]);
VZ2:matrix([x[2]], [y[2]], [0]);
VZ11:VZ1.VZ2;
VZ12:col(adjoint(transpose(addcol(VZ1,VZ2,
matrix([1],[1],[1])))),3);
```

$z_1$  の共役複素数  $\bar{z}_1$  と  $z_2$  の積は、

$$\begin{aligned} \bar{z}_1 z_2 &= (x_1 - i y_1) (i y_2 + x_2) \\ &= y_1 y_2 + i x_1 y_2 - i y_1 x_2 + x_1 x_2 \end{aligned}$$

上式の実部は、

$$y_1 y_2 + x_1 x_2$$

虚部は、

$$x_1 y_2 - y_1 x_2$$

複素数  $z_1$  と  $z_2$  に対応した下記のベクトルを導入する。

$$\vec{Z}_1 = \begin{pmatrix} x_1 \\ y_1 \\ 0 \end{pmatrix}, \vec{Z}_2 = \begin{pmatrix} x_2 \\ y_2 \\ 0 \end{pmatrix}$$

上記ベクトルの内積は下記となり、 $z_1$  の共役複素数  $\bar{z}_1$  と  $z_2$  の積の実部となっている。

$$\vec{Z}_1 \cdot \vec{Z}_2 = y_1 y_2 + x_1 x_2$$

また、上記ベクトルの外積は下記となり、 $z_1$  の共役複素数： $\bar{z}_1$  と  $z_2$  の積の虚部となっている。

$$\vec{Z}_1 \times \vec{Z}_2 = \begin{pmatrix} 0 \\ 0 \\ x_1 y_2 - y_1 x_2 \end{pmatrix}$$

$z^n$

```
Z1^n;
lhs(%)=rhs(Z1)^n;
lhs(%)=rhs(Z3)^n;
```

$z^n$  の  $xy$  座標表記と極座標表記は下記となる。

$$\begin{aligned} z_1^n &= (i y_1 + x_1)^n \\ &= r_1^n e^{i \theta_1 n} \end{aligned}$$

$\log(z)$

```
log(Z1);
lhs(%)=rectform(rhs(%));
log(Z3);
radcan(%);
```

$\log(z)$  の  $xy$  座標表記は下記となる。

$$\begin{aligned} \log(z_1) &= \log(i y_1 + x_1) \\ &= \frac{\log(y_1^2 + x_1^2)}{2} + i \operatorname{atan2}(y_1, x_1) \end{aligned}$$

$\log(z)$  の極座標表記は下記となる。

$$\begin{aligned} \log(z_1) &= \log(e^{i \theta_1} r_1) \\ &= \log(r_1) + i \theta_1 \end{aligned}$$

$e^z$

```
EZ1:%e^z=%e^(rhs(Z1));
lhs(%)=rectform(rhs(%));
```

$e^z$  の  $xy$  座標表記は下記となる。

$$\begin{aligned} e^z &= e^{i y_1 + x_1} \\ &= i e^{x_1} \sin(y_1) + e^{x_1} \cos(y_1) \end{aligned}$$

オイラーの公式

```
(%e^(%i*x)+%e^(-%i*x))/2;
%=rectform(%);
(%e^(%i*x)-%e^(-%i*x))/2;
%=rectform(%);
```

オイラーの公式は左辺の  $xy$  座標表記で得られる。

$$\begin{aligned} \frac{e^{ix} + e^{-ix}}{2} &= \cos(x) \\ \frac{e^{ix} - e^{-ix}}{2} &= i \sin(x) \end{aligned}$$

$\cos(z) \sin(z)$

```
cos(Z1);
lhs(%)=rectform(rhs(%));
sin(Z1);
lhs(%)=rectform(rhs(%));
```

$\cos(z)$  の  $xy$  座標表記は下記となる。

$$\begin{aligned} \cos(z_1) &= \cos(i y_1 + x_1) \\ &= \cos(x_1) \cosh(y_1) - i \sin(x_1) \sinh(y_1) \end{aligned}$$

$\sin(z)$  の  $xy$  座標表記は下記となる。

$$\begin{aligned} \sin(z_1) &= \sin(i y_1 + x_1) \\ &= i \cos(x_1) \sinh(y_1) + \sin(x_1) \cosh(y_1) \end{aligned}$$



## 5.2 複素微分

## 5.2.1 複素関数の微分

```
kill(all);
load("vect")$
declare(z,complex);
declare(w,complex);
declare(F,complex);
depends(z,[x,y]);
depends(w,[x,y]);
depends(F,[z,w]);
Z1:z=x+%i*y;
CZ1:w=rhs(conjugate(Z1));
XY1:solve([Z1,CZ1],[x,y]);
X1:XY1[1][1];
Y1:XY1[1][2];
Z1DX:diff(Z1,x);
CZ1DX:diff(CZ1,x);
Z1DY:diff(Z1,y);
CZ1DY:diff(CZ1,y);
'diff(F,x,1)=diff(F,x,1);
FDX:subst([Z1DX,CZ1DX],%);
'diff(F,y,1)=diff(F,y,1);
FDY:subst([Z1DY,CZ1DY],%);
FDZW:solve([FDX,FDY],[ 'diff(F,z,1),
'diff(F,w,1)]);
FDZ:FDZW[1][1];
FDW:FDZW[1][2];
```

複素数:  $z$  を下記のように定義する。その複素共役:  $\bar{z} = w$  とする。

$$z = iy + x, \quad \bar{z} = w = x - iy \quad (5.2.1)$$

$x, y$  を  $z, w$  で表現すると、

$$x = \frac{z+w}{2}, \quad y = -\frac{iz-iw}{2} \quad (5.2.2)$$

(5.2.1) 式から、

$$\frac{d}{dx} z = 1, \quad \frac{d}{dx} w = 1, \quad \frac{d}{dy} z = i, \quad \frac{d}{dy} w = -i \quad (5.2.3)$$

複素関数:  $F$  とし、 $x, y$  で微分すると、

$$\frac{d}{dx} F = \left( \frac{d}{dx} z \right) \left( \frac{d}{dz} F \right) + \left( \frac{d}{dx} w \right) \left( \frac{d}{dw} F \right)$$

$$\frac{d}{dy} F = \left( \frac{d}{dy} z \right) \left( \frac{d}{dz} F \right) + \left( \frac{d}{dy} w \right) \left( \frac{d}{dw} F \right)$$

上式に (5.2.3) 式を代入し、

$$\frac{d}{dx} F = \frac{d}{dz} F + \frac{d}{dw} F$$

$$\frac{d}{dy} F = i \left( \frac{d}{dz} F \right) - i \left( \frac{d}{dw} F \right)$$

$\frac{d}{dz}, \frac{d}{dw}$  で整理すると、

$$\frac{d}{dz} F = \frac{\frac{d}{dx} F - i \left( \frac{d}{dy} F \right)}{2} \quad (5.2.4)$$

$$\frac{d}{dw} F = \frac{d}{dz} F = \frac{i \left( \frac{d}{dy} F \right) + \frac{d}{dx} F}{2}$$

```
depends(u,[x,y]);
depends(v,[x,y]);
F1:F=u+%i*v;
UX1:'diff(u,x,1)='diff(v,y,1);
UX2:solve(%,'diff(v,y,1))[1];
UY1:'diff(u,y,1)=-'diff(v,x,1);
UY2:solve(%,'diff(v,x,1))[1];
lhs(FDZ)=subst([F1],rhs(FDZ));
ev(%,'diff');
FD1:expand(%);
subst([UX2,UY1],FD1);
subst([UX1,UY2],FD1);
lhs(FDW)=subst([F1],rhs(FDW));
ev(%,'diff');
FD2:expand(%);
subst([UX2,UY1],FD2);
subst([UX1,UY2],FD2);
```

複素関数:  $F$  を実部:  $u$  と虚部:  $v$  で下記のように定義する。

$$F = iv + u \quad (5.2.5)$$

(5.2.4) 式から  $\frac{d}{dz} F$  を求めると、

$$\frac{d}{dz} F = \frac{-i \left( i \left( \frac{d}{dy} v \right) + \frac{d}{dy} u \right) + i \left( \frac{d}{dx} v \right) + \frac{d}{dx} u}{2} \quad (5.2.6)$$

また、同様に (5.2.4) 式から  $\frac{d}{d\bar{z}} F$  を求めると、

$$\frac{d}{dw} F = \frac{i \left( i \left( \frac{d}{dy} v \right) + \frac{d}{dy} u \right) + i \left( \frac{d}{dx} v \right) + \frac{d}{dx} u}{2} \quad (5.2.7)$$

次節の (5.2.14) 式から、

$$\frac{d}{dx} u = \frac{d}{dy} v, \quad \frac{d}{dy} u = -\frac{d}{dx} v \quad (5.2.8)$$

(5.2.8) 式を (5.2.6) 式に代入すると下記の関係が得られる。

$$\frac{d}{dz} F = i \left( \frac{d}{dx} v \right) + \frac{d}{dx} u = \frac{d}{dy} v - i \left( \frac{d}{dy} u \right) \quad (5.2.9)$$

(5.2.8) 式を (5.2.7) 式に代入すると下記の関係が得られる。

$$\frac{d}{dw} F = \frac{d}{dz} F = 0 \quad (5.2.10)$$

## 5.2.2 Cauchy-Rieman の関係式

```
kill(all);
depends(u, [x,y]);
depends(v, [x,y]);
z=x+%i*y;
F1:F(z)=u(z)+%i*v(z);
F0:F(z[0])=u(z[0])+%i*v(z[0]);
DFZ:(F(z)-F(z[0]))/(z-z[0]);
DFZ1:'diff(F(z),z,1)='limit(DFZ,z,z[0]);
Z1:z=x+%i*y[0];
Z0:z[0]=x[0]+%i*y[0];
subst([F1,F0,Z0,Z1],DFZ);
partfrac(%,%i);
'diff(F(z),z,1)='limit(% ,x,x[0]);
DFZ1X:lhs(DFZ1)='diff(u,x,1)
+%i*'diff(v,x,1);
Z1:z=x[0]+%i*y;
Z0:z[0]=x[0]+%i*y[0];
subst([F1,F0,Z0,Z1],DFZ);
partfrac(%,%i);
'diff(F(z),z,1)='limit(% ,y,y[0]);
```

```
DFZ1Y:lhs(DFZ1)=-%i*'diff(u,y,1)
+'diff(v,y,1);
RE1:realpart(rhs(DFZ1X))
=realpart(rhs(DFZ1Y));
IM1:imagpart(rhs(DFZ1Y))
=imagpart(rhs(DFZ1X));
diff(RE1,x,1)-diff(IM1,y);
diff(RE1,y,1)+diff(IM1,x);
```

複素変数:  $z$ 、複素関数:  $F(z)$  とし、下記に示す。

$$z = iy + x$$

$$F(z) = iv(z) + u(z)$$

$$F(z_0) = iv(z_0) + u(z_0)$$

$F(z)$  が  $z_0$  で連続で、微分可能とする。

$$\frac{d}{dz} F(z) = \lim_{z \rightarrow z_0} \frac{F(z) - F(z_0)}{z - z_0} \quad (5.2.11)$$

$y_0$  で固定し、 $x \rightarrow x_0$  として次式を (5.2.11) 式に代入し、

$$z = x + iy_0, \quad z_0 = iy_0 + x_0$$

$$\begin{aligned} \frac{d}{dz} F(z) &= \lim_{x \rightarrow x_0} \frac{i(v(x + iy_0) - v(iy_0 + x_0)) + u(x + iy_0) - u(iy_0 + x_0)}{x - x_0} \\ &= i \left( \frac{d}{dx} v \right) + \frac{d}{dx} u \end{aligned} \quad (5.2.12)$$

また、 $x_0$  で固定し、 $y \rightarrow y_0$  として次式を (5.2.11) 式に代入し、

$$z = iy + x_0, \quad z_0 = iy_0 + x_0$$

$$\begin{aligned} \frac{d}{dz} F(z) &= \lim_{y \rightarrow y_0} \frac{v(iy + x_0) - v(iy_0 + x_0)}{y - y_0} - \frac{i(u(iy + x_0) - u(iy_0 + x_0))}{y - y_0} \\ &= \frac{d}{dy} v - i \left( \frac{d}{dy} u \right) \end{aligned} \quad (5.2.13)$$

(5.2.12) 式、(5.2.13) 式の左辺は同じであるから、右辺も等しいとして下記の Cauchy-Rieman の関係式を得る。

$$\frac{d}{dx} u = \frac{d}{dy} v, \quad -\frac{d}{dy} u = \frac{d}{dx} v \quad (5.2.14)$$

上式を変形して、同様に下記の関係式が得られる。

$$\frac{d^2}{dy^2} u + \frac{d^2}{dx^2} u = 0$$

$$0 = \frac{d^2}{dy^2} v + \frac{d^2}{dx^2} v$$

### 5.3 複素積分

#### 5.3.1 Cauchy の積分定理

Gauss の定理 は下記である。

$$\iint F \vec{n} dS = \iiint grad(F) dV$$

上式を二次元表記すると、

$$\oint F n_x ds = \iint \frac{d}{dx} F dS, \quad \oint F n_y ds = \iint \frac{d}{dy} F dS \tag{5.3.1}$$

```
kill(all);
declare(z,complex);
declare(w,complex);
declare(F,complex);
'diff(F,z,1)=( 'diff(F,x,1)
-%i*( 'diff(F,y,1))/2;
'diff(F,w,1)=(%i*( 'diff(F,y,1)
+'diff(F,x,1))/2;
integrate(%i*( 'diff(F,y,1))+ 'diff(F,x,1),S)
=integrate(F*(n[x]+%i*n[y]),s);
NXY1:(n[x]+%i*n[y])=%e^(%i*\theta);
NXY2:lhs(NXY1)=rectform(rhs(NXY1));
DZ1:dz=ds*%e^(%i*(\theta+%pi/2));
```

(5.2.4) 式から

$$\frac{d}{dw} F = \frac{d}{dz} F = \frac{i \left( \frac{d}{dy} F \right) + \frac{d}{dx} F}{2} \tag{5.3.2}$$

上式右辺は、

$$\iint \frac{d}{dz} F dS = \frac{1}{2} \left( \iint \frac{\partial}{\partial x} F dS + i \iint \frac{\partial}{\partial y} F dS \right)$$

上式に (5.3.1) 式を代入すると、

$$\iint \frac{d}{dw} F dS = \frac{1}{2} \left( \oint F n_x ds + i \oint F n_y ds \right)$$

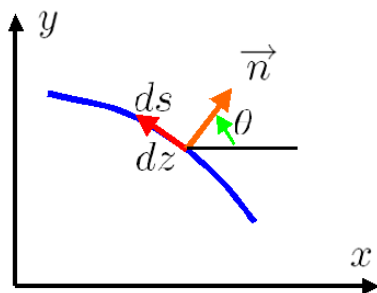


図 5.3.1: dz 表現

法線ベクトルの各要素:  $n_x, n_y$  を複素表示すると下記となる。

$$i n_y + n_x = e^{i\theta} = i \sin(\theta) + \cos(\theta)$$

この法線法線ベクトルを  $\pi/2$  回転させたものが境界に沿った  $dz$  となり下記の関係を得る。

$$dz = ds e^{i(\frac{\pi}{2}+\theta)} = i ds e^{i\theta} = i ds (i n_y + n_x)$$

上式を代入し、二次元 Gauss の定理の複素表示として下記を得る。

$$\iint \frac{d}{dz} F dS = \frac{1}{2i} \oint F dz \tag{5.3.3}$$

(5.2.10) 式から、

$$\frac{d}{dz} F = 0$$

上式を (5.3.3) 式に代入すると、下記の Cauchy の積分定理が得られる。 $F = f(z)$  が閉曲線  $C$  で囲まれた領域で正則であれば、

$$\oint_C F dz = 0 \tag{5.3.4}$$

(1) 簡単な例 (楕円の面積)

軸径:  $a, b$  の楕円の面積を上記、二次元 Gauss の定理の複素表示を用いて求める。(5.3.3) 式から、 $F = \bar{z}$  とすると、

$$\iint dS = S = \frac{1}{2i} \oint F dz$$

```
depends(z, [\theta]);
F1:F=w;
Z2:z=a*cos(\theta)+i*b*sin(\theta);
F2:F=conjugate(rhs(Z2));
DZ2:diff(Z2, \theta, 1);
Z2DT:'diff(z, \theta, 1)=diff(rhs(Z2), \theta, 1);
S=1/(2*i)*integrate(rhs(F2)*rhs(DZ2), \theta, 0, 2*pi);
ev(%integrate);
```

楕円形状を複素表示すると、

$$z = ib \sin(\theta) + a \cos(\theta)$$

また、

$$\frac{d}{d\theta} z = ib \cos(\theta) - a \sin(\theta)$$

複素関数:  $F$  は、 $F = \bar{z}$  とすると、

$$F = \bar{z} = a \cos(\theta) - ib \sin(\theta)$$

これらの関係式を上式に代入すると、

$$\begin{aligned} S &= \frac{1}{2i} \int_0^{2\pi} F \frac{d}{d\theta} z d\theta \\ &= -\frac{i}{2} \int_0^{2\pi} (ib \cos(\theta) - a \sin(\theta)) \\ &\quad \times (a \cos(\theta) - ib \sin(\theta)) d\theta \\ &= \pi ab \end{aligned}$$

楕円の面積が得られた。

(2) 簡単な例 (半円の重心位置)

原点からのモーメント:  $M$  は、上記の面積を求める式:  $F = \bar{z}$  を基にレバー:  $z$  を掛けて  $F = z\bar{z}$  とし、下記で表せる。

$$M = \iint z dS = \frac{1}{2i} \oint z \bar{z} dz$$

```
depends(z, [\theta]);
Z3:z=R*e^(i*\theta);
Z31:conjugate(Z3);
Z4:z=x+i*y;
Z41:conjugate(Z4);
Z4:z=x;
DZ3:diff(Z3, \theta, 1);
S1:S=1/(2*i)*integrate(rhs(Z31)*rhs(DZ3), \theta, 0, pi);
SH1:H[1]=1/(2*i)*integrate(rhs(Z31)*rhs(Z3)*rhs(DZ3), \theta, 0, pi);
SH2:H[2]=factor(1/(2*i)*integrate(rhs(Z41)*rhs(Z4), x, -R, R));
(SH1+SH2)/S1;
```

半径:  $R$  の円を複素表示すると、 $z$  と  $\bar{z}$  は下記のように表せる。

$$z = e^{i\theta} R, \quad \bar{z} = e^{-i\theta} R$$

$z$  を  $\theta$  で微分すると、

$$\frac{d}{d\theta} z = i e^{i\theta} R$$

半円の面積は、

$$\begin{aligned} S &= \frac{1}{4i} \int_0^{2\pi} \bar{z} \frac{d}{d\theta} z d\theta = \frac{1}{4i} \int_0^{2\pi} e^{-i\theta} R i e^{i\theta} R d\theta \\ &= \frac{\pi R^2}{2} \end{aligned}$$

上記の線積分を角度:  $0 \sim \pi$  の半円の積分:  $H_1$  と  $x$  軸上の積分:  $H_2$  に分ける。  $H_1$  は、

$$\begin{aligned} H_1 &= \frac{1}{2i} \int_0^\pi z \bar{z} \frac{d}{d\theta} z d\theta = \frac{1}{2i} \int_0^\pi e^{-i\theta} R e^{-i\theta} R i e^{i\theta} R d\theta \\ &= \frac{\int_0^\pi e^{i\theta} d\theta R^3}{2} = i R^3 \end{aligned}$$

$H_2$  では、 $z$  と  $\bar{z}$  は下記のように表せる。

$$z = iy + x, \quad \bar{z} = x - iy$$

$$\begin{aligned} H_2 &= \frac{1}{2i} \int_{-R}^R z \bar{z} dx = \frac{i}{2} \int_{-R}^R x (-x) dx \\ &= -\frac{i R^3}{3} \end{aligned}$$

以上から重心位置は、

$$\frac{H_2 + H_1}{S} = \frac{4iR}{3\pi}$$

### 5.3.2 Cauchy の積分公式

下記の複素関数  $F(z)$  を考える。ここで  $f(z)$  は検討する領域内で正則とする。 $F(z)$  は  $z_0$  で正則でない。

$$F(z) = \frac{f(z)}{z - z_0}$$

$z_0$  を含む周  $C$  と周  $C$  内の  $z_0$  を囲む小さな円  $K$  を考え、 $C$  の内側と  $K$  の外側の領域では正則である。この領域に Cauchy の積分定理：(5.3.4) 式を適用すると、

$$\oint_C \frac{f(z)}{z - z_0} dz - \oint_K \frac{f(z)}{z - z_0} dz = 0$$

ここで、 $K$  の積分は、 $C$  と逆方向に積分するため、負の符号を付ける。上記から、

$$\oint_C \frac{f(z)}{z - z_0} dz = \oint_K \frac{f(z)}{z - z_0} dz \quad (5.3.5)$$

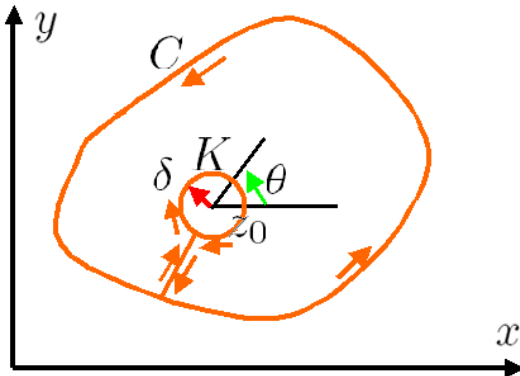


図 5.3.2: Cauchy の積分公式

また、小さな円  $K$  上では  $f(z) = f(z_0)$  と考えられるので、

$$\oint_K \frac{f(z)}{z - z_0} dz = f(z_0) \oint_K \frac{1}{z - z_0} dz \quad (5.3.7)$$

(5.3.6) 式、(5.3.7) 式を (5.3.5) 式に代入すると、

$$\begin{aligned} \oint_C \frac{f(z)}{z - z_0} dz &= \oint_K \frac{f(z)}{z - z_0} dz = f(z_0) \oint_K \frac{1}{z - z_0} dz \\ &= f(z_0) \int_0^{2\pi} \frac{1}{\delta e^{i\theta}} (i\delta e^{i\theta}) d\theta \\ &= 2i\pi f(z_0) \end{aligned}$$

以上から下記の Cauchy の積分公式が得られた。

$$f(z_0) = -\frac{i}{2\pi} \oint_C \frac{f(z)}{z - z_0} dz \quad (5.3.8)$$

```
kill(all);
declare(z,complex);
Z2:z=x+%i*y;
F2:F(z)=f(z)/(z-z[0]);
Z2:z-z[0]=\delta*e^(%i*\theta);
Z3:solve(Z2,z)[1];
Z2D:'diff(z,\theta,1)=diff(rhs(Z2),\theta,1);
CIF2:'integrate(F(z),z);
CIF3:subst([F2],CIF2);
CIF4:subst([f(z)=f(z[0])],%)='f(z[0])
*'integrate(1/(z-z[0]),z);
CIF5:CIF3=f(z[0])*'integrate(1/rhs(Z2)
*rhs(Z2D),\theta,0,2*%pi);
%/2/%i/%pi;
lhs(%)=rhs(%);
```

小さな円  $K$  を複素表示すると、

$$z - z_0 = \delta e^{i\theta}, \quad \frac{d}{d\theta} z = i\delta e^{i\theta} \quad (5.3.6)$$

### 5.3.3 留数定理と Maxima の留数関数

下記の複素関数:  $F(z)$  を考える。ここで  $f(z)$  は下記の級数和で表現され、 $z_0$  以外の領域で正則とする。

$$F(z) = \oint_C f(z) dz, \quad f(z) = \sum_{n=-\infty}^{\infty} a_n (z - z_0)^n$$

```
kill(all);
declare(z,complex);
FZ1:f[n](z)=a[n]*(z-z[0])^n;
F1:f(z)=sum(rhs(FZ1),n,minf,inf);
INF1:'integrate(rhs(FZ1),z);
Z2:z-z[0]=\delta*e^{i*\theta};
Z3:solve(Z2,z)[1];
Z2D:'diff(z,\theta,1)=diff(rhs(Z2),
\theta,1);
FZ2:subst([Z2],rhs(FZ1));
INF2:'integrate(FZ2*rhs(Z2D),\theta,0,
2*pi);
assume(n>=0);
INF1=ev(INF2,integrate);
forget(n>=0);
assume(n<-1);
INF1=ev(INF2,integrate);
subst([n=-1],INF2);
subst([n=-1],INF1)=ev(%,integrate);
```

$z_0$  を含む周:  $C$  と周:  $C$  内の  $z_0$  を囲む小さな円:  $K$  を考え、 $C$  の内側と  $K$  の外側の領域では正則である。この領域に Cauchy の積分定理: (5.3.4) 式を適用すると、

$$\oint_C f(z) dz = \oint_K \sum_{n=-\infty}^{\infty} a_n (z - z_0)^n dz$$

ここで級数和の各項は、

$$f_n(z) = a_n (z - z_0)^n$$

$$\oint_K f_n(z) dz = \oint_K a_n (z - z_0)^n dz$$

小さな円:  $K$  を複素表示すると、

$$z - z_0 = \delta e^{i\theta}, \quad \frac{d}{d\theta} z = i\delta e^{i\theta}$$

上式を代入すると、

$$\oint_K f_n(z) dz = i\delta a_n \int_0^{2\pi} e^{i\theta} (\delta e^{i\theta})^n d\theta$$

この積分は、 $n \geq 0$  では、

$$\oint_K f_n(z) dz = 0$$

$n < -1$  では、

$$\oint_K f_n(z) dz = 0$$

$n = -1$  では、

$$\oint_K f_n(z) dz = a_{-1} \int \frac{1}{z - z_0} dz = 2i\pi a_{-1}$$

以上から、 $n = -1$  の場合のみ積分の値を持ち、

$$F(z) = \oint_C f(z) dz = \oint_C \sum_{n=-\infty}^{\infty} a_n (z - z_0)^n dz \quad (5.3.9)$$

$$= 2i\pi a_{-1}$$

### Maxima の留数関数

Maxima で留数を求める関数は下記の *residue* で得られる。極は予め求めておき、指定する必要がある。

*residue*(留数を求める関数, 変数, 極)

例を下記に示す。

```
FZ1:f(z)=z/(z**2+a**2);
residue(rhs(FZ1),z,a*i);
```

下記の関数で、

$$f(z) = \frac{z}{z^2 + a^2}$$

極が  $a i$  の留数は、

$$Res(f(z), z = a) = \frac{1}{2}$$

```
FZ1:f(z)=sin(a*z)/z**4;
residue(rhs(FZ1),z,0);
```

下記の関数で、

$$f(z) = \frac{\sin(az)}{z^4}$$

極が  $0$  の留数は、

$$Res(f(z), z = 0) = -\frac{a^3}{6}$$

## 5.3.4 留数を使った実積分

$\int_0^{2\pi} F(\cos(\theta), \sin(\theta)) d\theta$  の計算

$$I = \int_0^{2\pi} \frac{1}{-2c \cos(\theta) + c^2 + 1} d\theta \quad |c| < 1 \quad (5.3.10)$$

```
kill(all);
declare(z, complex);
depends(z, [\theta]);
FZ1:1/(1-2*c*cos(\theta)+c^2);
I1:I='integrate(FZ1,\theta,0,2*pi);
Z1:z=%e^(%i*\theta);
Z2:%e^(%i*\theta)=z;
DZ1:diff(Z1,\theta,1);
DZ2:subst([Z2],DZ1);
C01:cos(\theta)=(%e^(%i*\theta)
+%e^(-%i*\theta))/2;
C02:subst([Z2],C01);
FZ2:subst([C02],FZ1/(rhs(DZ2)));
factor(%);
denom(%)=0;
solve(%,z);
Z01:%[2];
RE1:residue(FZ2, z, rhs(Z01));
rhs(I1)=2*pi*i*RE1;
```

上式の積分について検討する。被積分関数  $f(z)$  は、

$$f(z) = \frac{1}{-2c \cos(\theta) + c^2 + 1} \quad (5.3.11)$$

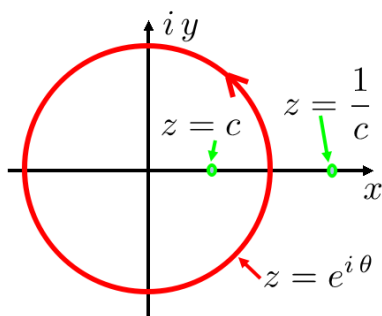


図 5.3.3: 閉積分

半径  $R = 1$  の円は複素関数で次式で表現できる。

$$z = e^{i\theta}, \quad e^{i\theta} = z$$

上式を  $\theta$  で微分すると、

$$\frac{d}{d\theta} z = i e^{i\theta}$$

上式を  $z$  で表現し、

$$\frac{d}{d\theta} z = iz, \quad d\theta = \frac{1}{iz} dz$$

また、オイラーの公式から、上式の関係を入れ、

$$\cos(\theta) = \frac{e^{i\theta} + e^{-i\theta}}{2} = \frac{z + \frac{1}{z}}{2}$$

以上の結果を (5.3.11) 式の被積分関数に代入し、積分変数を  $\theta \rightarrow z$  に変更して、被積分関数を複素関数で表すと、

$$\begin{aligned} f(z) &= -\frac{i}{z(-c(z + \frac{1}{z}) + c^2 + 1)} \\ &= \frac{i}{(z-c)(cz-1)} \end{aligned}$$

上式から (5.3.10) 式の積分は、

$$I = \oint \frac{i}{(z-c)(cz-1)} dz$$

上式の極は次式から得られ、

$$(z-c)(cz-1) = 0$$

極は、

$$\left[ z = \frac{1}{c}, z = c \right]$$

$|c| < 1$  とすると、積分経路の内の極は  $z = c$  で、この極の留数は、Maxima の留数関数から得られ、

$$\text{Res}(f(z), z=c) = \frac{i}{c^2 - 1}$$

以上から、(5.3.10) 式の積分結果は、

$$\begin{aligned} I &= \int_0^{2\pi} \frac{1}{-2c \cos(\theta) + c^2 + 1} d\theta \\ &= 2\pi i \text{Res}(F, z=c) \\ &= -\frac{2\pi}{c^2 - 1} \end{aligned}$$

$$I = \int_0^{2\pi} \frac{1}{p \cos(\theta) + 1} d\theta \quad |p| < 1 \quad (5.3.12)$$

```
kill(all);
declare(z,complex);
depends(z,[\theta]);
assume(p>0 and p<1);
FZ1:1/(1+p*cos(\theta));
I1:I='integrate(FZ1,\theta,0,2*pi);
Z1:z=%e^(%i*\theta);
Z2:%e^(%i*\theta)=z;
DZ1:diff(Z1,\theta,1);
DZ2:subst([Z2],DZ1);
C01:cos(\theta)=(%e^(%i*\theta)
+%e^(-%i*\theta))/2;
C02:subst([Z2],C01);
FZ2:subst([C02],FZ1/(rhs(DZ2)));
factor(%);
denom(%)=0;
solve(%,z);
Z01:%[2];
RE1:residue(FZ2,z,rhs(Z01));
rhs(I1)=2*pi*i*RE1;
```

上式の積分について検討する。被積分関数  $f(z)$  は、

$$f(z) = \frac{1}{p \cos(\theta) + 1} \quad (5.3.13)$$

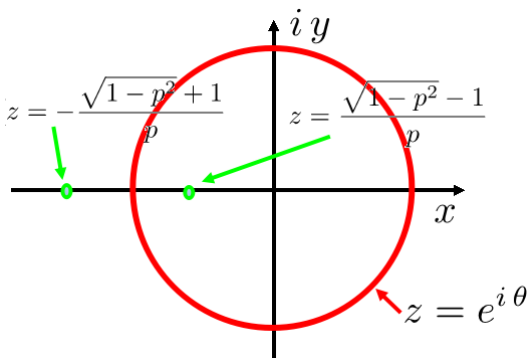


図 5.3.4: 閉積分

半径  $R = 1$  の円は複素関数で次式で表現できる。

$$z = e^{i\theta}, \quad e^{i\theta} = z$$

上式を  $\theta$  で微分すると、

$$\frac{d}{d\theta} z = i e^{i\theta}$$

上式を  $z$  で表現し、

$$\frac{d}{d\theta} z = i z, \quad d\theta = \frac{1}{i z} dz$$

また、オイラーの公式から、上式の関係代入し、

$$\cos(\theta) = \frac{e^{i\theta} + e^{-i\theta}}{2} = \frac{z + \frac{1}{z}}{2}$$

以上の結果を (5.3.13) 式の被積分関数に代入し、積分変数を  $\theta \rightarrow z$  に変更して、被積分関数を複素関数で表すと、

$$f(z) = -\frac{i}{z \left( \frac{p(z + \frac{1}{z})}{2} + 1 \right)} = -\frac{2i}{p z^2 + 2z + p}$$

上式から (5.3.12) 式の積分は、

$$I = \oint -\frac{2i}{p z^2 + 2z + p} dz$$

上式の極は次式から得られ、

$$p z^2 + 2z + p = 0$$

極は、

$$\left[ z = -\frac{\sqrt{1-p^2+1}}{p}, z = \frac{\sqrt{1-p^2-1}}{p} \right]$$

$|p| < 1$  とすると、積分経路の内の極は、

$$z = \frac{\sqrt{1-p^2-1}}{p}$$

この極の留数は、Maxima の留数関数から得られ、

$$Res \left( f(z), z = \frac{\sqrt{1-p^2-1}}{p} \right) = \frac{i \sqrt{1-p^2}}{p^2-1}$$

以上から、(5.3.12) 式の積分結果は、

$$\begin{aligned} I &= \int_0^{2\pi} \frac{1}{p \cos(\theta) + 1} d\theta \\ &= 2\pi i Res \left( f(z), z = \frac{\sqrt{1-p^2-1}}{p} \right) \\ &= -\frac{2\pi \sqrt{1-p^2}}{p^2-1} \end{aligned}$$



$$I = \int_0^\pi \frac{1}{b^2 \sin^2(\theta) + a^2 \cos^2(\theta)} d\theta \quad a > b > 0 \quad (5.3.14)$$

```
kill(all);
declare(z, complex);
depends(z, [\phi]);
FZ1:1/(a^2*cos(\theta)^2
+b^2*sin(\theta)^2);
I1:I='integrate(FZ1,\theta,0,%pi);
C03:cos(\theta)^2;
C04:%=trigrat(%);
SI3:sin(\theta)^2;
SI4:%=trigrat(%);
FZ11:subst([C04,SI4],FZ1);
\theta=\phi/2;
FZ12:subst([%],FZ11/2);
I11:I='integrate(FZ12,\phi,0,2*pi);
Z1:z=%e^(%i*\phi);
Z2:%e^(%i*\phi)=z;
DZ1:diff(Z1,\phi,1);
DZ2:subst([Z2],DZ1);
C01:cos(\phi)=(%e^(%i*\phi)
+%e^(-%i*\phi))/2;
C02:subst([Z2],C01);
FZ2:factor(subst([C02],FZ12/(rhs(DZ2))));
factor(%);
denom(%)=0;
solve(%,z);
Z01:%[1];
RE1:residue(FZ2, z, rhs(Z01));
rhs(I1)=2*pi*i*%;
```

上式の積分について検討する。被積分関数： $f(z)$  は、

$$f(z) = \frac{1}{b^2 \sin^2(\theta) + a^2 \cos^2(\theta)} \quad (5.3.15)$$

ここで下記の関係があり、

$$\cos^2(\theta) = \frac{\cos(2\theta) + 1}{2}, \quad \sin^2(\theta) = -\frac{\cos(2\theta) - 1}{2}$$

これを (5.3.15) 式の被積分関数： $F$  に代入すると、

$$f(z) = \frac{1}{\frac{a^2(\cos(2\theta)+1)}{2} - \frac{b^2(\cos(2\theta)-1)}{2}}$$

下記の変数変換を行うと、

$$\theta = \frac{\phi}{2}$$

上式の被積分関数： $F$  は、

$$f(z) = \frac{1}{2 \left( \frac{a^2(\cos(\phi)+1)}{2} - \frac{b^2(\cos(\phi)-1)}{2} \right)} \quad (5.3.16)$$

(5.3.14) 式の積分は、

$$I = \frac{1}{2} \int_0^{2\pi} \frac{1}{\frac{a^2(\cos(\phi)+1)}{2} - \frac{b^2(\cos(\phi)-1)}{2}} d\phi \quad (5.3.17)$$

半径： $R = 1$  の円は複素関数で次式で表現できる。

$$z = e^{i\phi}, \quad e^{i\phi} = z$$

上式を  $\phi$  で微分すると、

$$\frac{d}{d\phi} z = i e^{i\phi} = i z$$

また、オイラーの公式から、上式の関係代入し、

$$\cos(\phi) = \frac{e^{i\phi} + e^{-i\phi}}{2} = \frac{z + \frac{1}{z}}{2}$$

以上の結果を (5.3.16) 式の被積分関数に代入し、積分変数を  $\theta \rightarrow z$  に変更して、被積分関数を複素関数で表すと、

$$f(z) = \frac{2i}{(bz - az - b - a)(bz + az - b + a)}$$

上式から (5.3.17) 式の積分は、

$$I = \oint \frac{2i}{(bz - az - b - a)(bz + az - b + a)} dz$$

上式の極は次式から得られ、

$$(bz - az - b - a)(bz + az - b + a) = 0$$

極は、

$$\left[ z = \frac{b-a}{b+a}, z = \frac{b+a}{b-a} \right]$$

積分経路の半径： $R = 1$  内の極は、

$$z = \frac{b-a}{b+a}$$

この極の留数は、Maxima の留数関数から得られ、

$$\text{Res} \left( f(z), z = \frac{b-a}{b+a} \right) = -\frac{i}{2ab}$$

以上から、(5.3.14) 式の積分結果は、

$$\begin{aligned} I &= \int_0^\pi \frac{1}{b^2 \sin^2(\theta) + a^2 \cos^2(\theta)} d\theta \\ &= 2\pi i \text{Res} \left( f(z), z = \frac{b-a}{b+a} \right) \\ &= \frac{\pi}{ab} \end{aligned}$$

$\int_{-\infty}^{\infty} \frac{p(x)}{q(x)} dx$  の計算

$$I = \int_{-\infty}^{\infty} \frac{1}{x^2 + 1} dx \quad (5.3.18)$$

```
kill(all);
declare(z,complex);
depends(z,[\theta]);
I1:I='integrate(1/(1+x^2),x,-inf,inf);
FZ1:f(z)=1/(1+z^2);
denom(rhs(%))=0;
solve(%,z);
Z01:%[2];
RE1:residue (rhs(FZ1), z, rhs(Z01));
RZ1:z=R*%e^(%i*\theta);
DRZ1:diff(RZ1,\theta,1);
RFZ1:subst([RZ1],rhs(FZ1)*rhs(DRZ1));
'limit(%,R,inf);
%=ev(%,limit);
rhs(I1)=2*%pi*%i*RE1;
```

上式の積分について検討する。上式の被積分関数を複素関数： $f(z)$  で表すと、

$$f(z) = \frac{1}{z^2 + 1} \quad (5.3.19)$$

これを基に下記の積分を考える。

$$I_C = \oint \frac{1}{z^2 + 1} dz \quad (5.3.20)$$

この積分で下図の積分経路： $I_1, I_2$  を考える。(5.3.18)

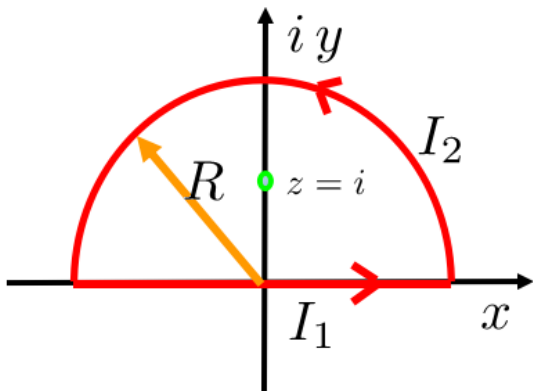


図 5.3.5: 閉積分

式の積分は (5.3.20) 式の  $x$  軸上の積分で、経路： $I_1$  は  $x$  軸上の  $-R \sim R$  の積分となる。

$$I_1 = \int_{-R}^R \frac{1}{x^2 + 1} dx$$

経路： $I_2$  は半径： $R$  の円上で  $\theta = 0 \sim \pi$  の積分となる。半径： $R$  の円は次式で表現でき、

$$z = e^{i\theta} R, \quad \frac{d}{d\theta} z = i e^{i\theta} R$$

経路： $I_2$  の積分は上記の結果と積分変数を  $z \rightarrow \theta$  に変更して、 $R \rightarrow \infty$  とすると、

$$I_2 = \lim_{R \rightarrow \infty} \int_0^\pi \frac{i e^{i\theta} R}{e^{2i\theta} R^2 + 1} d\theta = 0 \quad (5.3.21)$$

(5.3.19) 式の極は次式から得られ、

$$z^2 + 1 = 0$$

極は、

$$[z = -i, z = i]$$

積分経路： $I_1, I_2$  内の極は、 $R$  が十分大きいとすると、

$$z = i$$

この極の留数は、Maxima の留数関数から得られ、

$$Res(f(z), z = i) = -\frac{i}{2}$$

以上から、(5.3.20) 式の積分結果は、

$$\begin{aligned} I_C = I_1 + I_2 &= \oint \frac{1}{z^2 + 1} dz \\ &= 2\pi i Res(f(z), z = i) = \pi \end{aligned} \quad (5.3.22)$$

上式と (5.3.21) 式から  $I_1$  は、

$$I = I_1 = \int_{-\infty}^{\infty} \frac{1}{x^2 + 1} dx = \pi$$

$$I = \int_{-\infty}^{\infty} \frac{1}{x^4 + a^4} dx \quad a > 0 \quad (5.3.23)$$

```
kill(all);
declare(z,complex);
depends(z,[\theta]);
assume(a>0);
I1:I='integrate(1/(x^4+a^4),x,-inf,inf);
FZ1:1/(z^4+a^4);
z^4+a^4=0;
solve(%,z);
SZ1:rectform(%);
Z01:z[1]=rhs(SZ1[1]);
Z02:z[2]=rhs(SZ1[4]);
RE1:residue(FZ1,z,rhs(Z01));
RE2:residue(FZ1,z,rhs(Z02));
RZ1:z=R*e^(%i*\theta);
DRZ1:dif(RZ1,\theta,1);
RFZ1:subst([RZ1],FZ1*rhs(DRZ1));
'limit(%,R,inf);
%=ev(%,limit);
rhs(I1)=2*pi*i*(RE1+RE2);
I11:factor(%);
```

上式の積分について検討する。上式の被積分関数を複素関数  $f(z)$  で表すと、

$$f(z) = \frac{1}{z^4 + a^4} \quad (5.3.24)$$

これを基に下記の積分を考える。

$$I_C = \oint \frac{1}{z^4 + a^4} dz \quad (5.3.25)$$

この積分で下図の積分経路  $I_1, I_2$  を考える。  
(5.3.23) 式の積分は (5.3.25) 式の  $x$  軸上の積分で、経

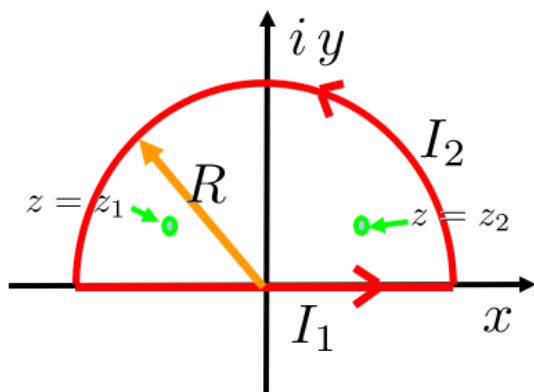


図 5.3.6: 閉積分

路  $I_1$  は  $x$  軸上の  $-\infty \sim \infty$  の積分となる。

$$I_1 = \int_{-\infty}^{\infty} \frac{1}{x^4 + a^4} dx$$

経路  $I_2$  は半径  $R$  の円上で  $\theta = 0 \sim \pi$  の積分となる。  
半径  $R$  の円は次式で表現でき、

$$z = e^{i\theta} R, \quad \frac{d}{d\theta} z = i e^{i\theta} R$$

経路  $I_2$  の積分は上記の結果と積分変数を  $z \rightarrow \theta$  に変更して、 $R \rightarrow \infty$  とすると、

$$I_2 = \lim_{R \rightarrow \infty} \int_0^\pi \frac{i e^{i\theta} R}{e^{4i\theta} R^4 + a^4} d\theta = 0 \quad (5.3.26)$$

(5.3.24) 式の極は次式から得られ、

$$z^4 + a^4 = 0$$

極は、

$$z = (-1)^{\frac{1}{4}} i a, \quad z = -(-1)^{\frac{1}{4}} a, \\ z = -(-1)^{\frac{1}{4}} i a, \quad z = (-1)^{\frac{1}{4}} a$$

上式を *rectform* 関数で表すと、

$$z = \frac{i a}{\sqrt{2}} - \frac{a}{\sqrt{2}}, \quad z = -\frac{i a}{\sqrt{2}} - \frac{a}{\sqrt{2}}, \\ z = \frac{a}{\sqrt{2}} - \frac{i a}{\sqrt{2}}, \quad z = \frac{i a}{\sqrt{2}} + \frac{a}{\sqrt{2}}$$

積分経路  $I_1, I_2$  内の極は、 $R$  が十分大きいとすると、

$$z_1 = \frac{i a}{\sqrt{2}} - \frac{a}{\sqrt{2}}, \quad z_2 = \frac{i a}{\sqrt{2}} + \frac{a}{\sqrt{2}}$$

この極の留数は、Maxima の留数関数から得られ、

$$Res(f(z), z = z_1) = -\frac{i-1}{2^{\frac{5}{2}} a^3}$$

$$Res(f(z), z = z_2) = -\frac{i+1}{2^{\frac{5}{2}} a^3}$$

以上から、(5.3.25) 式の積分結果は、

$$I_C = I_1 + I_2 = \oint \frac{1}{z^4 + a^4} dz \\ = 2\pi i (Res(f(z), z = z_1) + Res(f(z), z = z_2)) \\ = 2\pi i \left( -\frac{i+1}{2^{\frac{5}{2}} a^3} - \frac{i-1}{2^{\frac{5}{2}} a^3} \right) \\ = \frac{\pi}{\sqrt{2} a^3} \quad (5.3.27)$$

上式と (5.3.26) 式から  $I_1$  は、

$$I = I_1 = \int_{-\infty}^{\infty} \frac{1}{x^4 + a^4} dx = \frac{\pi}{\sqrt{2} a^3}$$

$$I = \int_0^{\infty} \frac{\cos(mx)}{x^2 + a^2} dx \quad a > 0, m > 0 \quad (5.3.28)$$

$$I = \int_0^{\infty} \frac{x \sin(mx)}{x^2 + a^2} dx \quad a > 0, m > 0 \quad (5.3.29)$$

```
kill(all);
declare(z,complex);
depends(z,[\theta]);
assume(m>0);
assume(R>0);
assume(sin(\theta)>0);
I1:I='integrate(cos(m*x)/(x^2+a^2),x,0,
inf);
I2:I[1]='integrate(cos(m*x)/(x^2+a^2),x,
-inf,inf);
FZ1:%e^{i*m*z}/(z^2+a^2);
z^2+a^2=0;
solve(%,z);
Z01:z[1]=rhs(%[2]);
RE1:residue(FZ1,z,rhs(Z01));
RZ1:z=R*e^{i*\theta};
DRZ1:diff(RZ1,\theta,1);
RFZ1:subst([RZ1],FZ1*rhs(DRZ1));
subst([a=0],%);
rectform(%);
'limit(%,R,inf);
ev(%,limit);
'integrate(subst([z=x],FZ1),x,-inf,inf);
%=2*pi*i*(RE1);
realpart(%);
rhs(I1)=rhs(%)/2;
/* [41]-(2) */
diff(%,m,1);
-%;
```

上式の積分について検討する。(5.3.28) 式の被積分関数は偶関数であるから、積分範囲を  $-\infty$  から  $\infty$  としてもよいので、改めて、

$$I = \int_{-\infty}^{\infty} \frac{\cos(mx)}{x^2 + a^2} dx \quad (5.3.30)$$

積分は上式の被積分関数を複素関数  $f(z)$  で表すと、

$$f(z) = \frac{e^{imz}}{z^2 + a^2} \quad (5.3.31)$$

これを基に下記の積分を考える。

$$I_C = \oint \frac{e^{imz}}{z^2 + a^2} dz \quad (5.3.32)$$

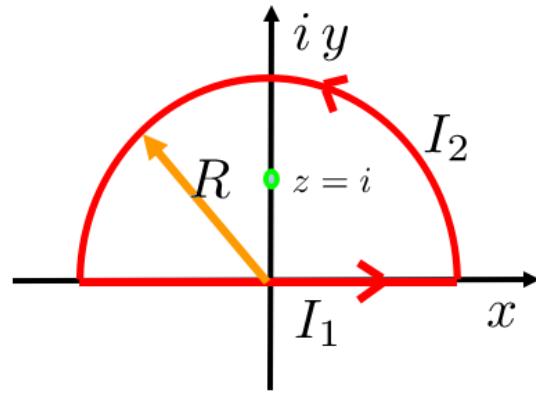


図 5.3.7: 閉積分

この積分で下図の積分経路  $I_1, I_2$  を考える。(5.3.30) 式の積分は (5.3.32) 式の  $x$  軸上の積分経路  $I_1$  で、 $x$  軸上の  $-\infty \sim \infty$  の積分となる。

$$I_1 = \int_{-\infty}^{\infty} \frac{e^{imx}}{x^2 + a^2} dx$$

経路  $I_2$  は半径  $R$  の円上で  $\theta = 0 \sim \pi$  の積分となる。半径  $R$  の円は次式で表現でき、

$$z = e^{i\theta} R, \quad \frac{d}{d\theta} z = i e^{i\theta} R$$

経路  $I_2$  の積分は上記の結果と積分変数を  $z \rightarrow \theta$  に変更して、積分範囲では  $\sin(\theta) > 0$  であるから、 $R \rightarrow \infty$  とすると、

$$\begin{aligned} I_2 &= \lim_{R \rightarrow \infty} \int_0^{\pi} \frac{i R e^{im e^{i\theta} R + i\theta}}{e^{2i\theta} R^2 + a^2} d\theta \\ &\approx \lim_{R \rightarrow \infty} \int_0^{\pi} \frac{i e^{im e^{i\theta} R - i\theta}}{R} d\theta \\ &= \lim_{R \rightarrow \infty} \int_0^{\pi} \frac{i e^{-m \sin(\theta) R} \cos(m \cos(\theta) R - \theta)}{R} \\ &\quad - \frac{e^{-m \sin(\theta) R} \sin(m \cos(\theta) R - \theta)}{R} d\theta \\ &= 0 \end{aligned} \quad (5.3.33)$$

(5.3.31) 式の極は次式から得られ、

$$z^2 + a^2 = 0$$

極は、

$$[z = -ia, z = ia]$$

積分経路  $I_1, I_2$  内の極は、 $R$  が十分大きいとすると、

$$z_1 = ia$$

この極の留数は、Maxima の留数関数から得られ、

$$\text{Res}(f(z), z = z_1) = -\frac{i e^{-am}}{2a}$$

以上から、(5.3.32) 式の積分結果は、

$$\begin{aligned} I_C = I_1 + I_2 &= \oint \frac{e^{imz}}{z^2 + a^2} dz \\ &= 2\pi i \operatorname{Res}(f(z), z = i) = \frac{\pi e^{-am}}{2a} \end{aligned} \quad (5.3.34)$$

上式と (5.3.33) 式から  $I_1$  は、

$$I = I_1 = \int_{-\infty}^{\infty} \frac{e^{imx}}{x^2 + a^2} dx = \frac{\pi e^{-am}}{a}$$

上式の実部をとると、

$$\int_{-\infty}^{\infty} \frac{\cos(mx)}{x^2 + a^2} dx = \frac{\pi e^{-am}}{a}$$

積分範囲を  $0 \sim \infty$  では、上式の  $1/2$  として、

$$\int_0^{\infty} \frac{\cos(mx)}{x^2 + a^2} dx = \frac{\pi e^{-am}}{2a}$$

上式を  $m$  で微分して、

$$\int_0^{\infty} \frac{x \sin(mx)}{x^2 + a^2} dx = \frac{\pi e^{-am}}{2}$$

$$I = \int_0^{\infty} \frac{\sin(x)}{x} dx \quad (5.3.35)$$

```
kill(all);
declare(z,complex);
depends(z,[\theta]);
assume(R>0);
assume(sin(\theta)>0);
I1:I='integrate(sin(x)/x,x,0,inf);
FZ1:%e^{i*z}/z;
I1:I[1]='integrate(subst([z=x],FZ1),x,0,inf);
I3:I[3]='integrate(subst([z=x],FZ1),x,-inf,0);
I3:I[3]='integrate(subst([z=-x],FZ1),x,0,inf);
I13:I[1]+I[3]=integrate(%e^{i*x}/x-%e^{-i*x}/x,x,0,inf);
I131:lhs(%)=2*i*'integrate(sin(x)/x,x,0,inf);
RZ1:z=R*%e^{i*\theta};
DRZ1:diff(RZ1,\theta,1);
RFZ1:subst([RZ1],FZ1*rhs(DRZ1));
rectform(%);
I4:I[4]=limit(%,R,inf);
RE1:residue(FZ1,z,0);
I2:I[2]=-2*%pi*i*RE1/2;
I131+I4+I2;
rhs(%)=0;
%+%pi*i;
%/2/i;
```

積分は次式の被積分関数を複素関数:  $f(z)$  で表すと、

$$f(z) = \frac{e^{iz}}{z} \quad (5.3.36)$$

これを基に下記の積分を考える。

$$I_C = \oint \frac{e^{iz}}{z} dz \quad (5.3.37)$$

この積分で下図の積分経路:  $I_1, I_2, I_3, I_4$  を考える。

(5.3.35) 式の積分は (5.3.37) 式の  $x$  軸上の積分経路:  $I_1$  で  $x$  軸上の  $0 \sim \infty$  の積分、経路:  $I_3$  で  $x$  軸上の  $-\infty \sim 0$  の積分となる。

$$I_1 = \int_0^{\infty} \frac{e^{ix}}{x} dx$$

$$I_3 = \int_{-\infty}^0 \frac{e^{ix}}{x} dx = - \int_0^{\infty} \frac{e^{-ix}}{x} dx$$

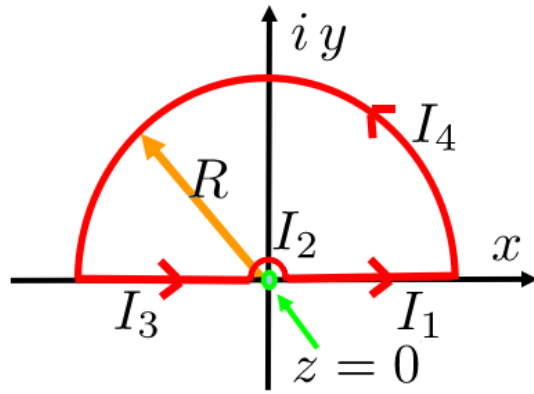


図 5.3.8: 閉積分

上式から、

$$I_3 + I_1 = \int_0^{\infty} \frac{e^{ix}}{x} - \frac{e^{-ix}}{x} dx = 2i \int_0^{\infty} \frac{\sin(x)}{x} dx \quad (5.3.38)$$

経路:  $I_4$  は半径:  $R$  の円上で  $\theta = 0 \sim \pi$  の積分となる。半径:  $R$  の円は次式で表現でき、

$$z = e^{i\theta} R, \quad \frac{d}{d\theta} z = i e^{i\theta} R$$

経路:  $I_4$  の積分は上記の結果と積分変数を  $z \rightarrow \theta$  に変更して、積分範囲では  $\sin(\theta) > 0$  であるから、 $R \rightarrow \infty$  とすると、

$$\begin{aligned} I_4 &= \lim_{R \rightarrow \infty} \int_0^{\pi} i e^{i e^{i\theta} R} R d\theta \\ &= \lim_{R \rightarrow \infty} \int_0^{\pi} i e^{-\sin(\theta) R} \cos(\cos(\theta) R) \\ &\quad - e^{-\sin(\theta) R} \sin(\cos(\theta) R) d\theta \\ &= 0 \end{aligned} \quad (5.3.39)$$

(5.3.36) 式の極は、

$$[z = 0]$$

この極の留数は、Maxima の留数関数から得られ、

$$Res(f(z), z = 0) = 1$$

$z = 0$  まわりの積分:  $I_2$  は積分の向きが反対で半周であるから、

$$I_2 = -\frac{1}{2} 2\pi i Res(f(z), z = 0) = -i\pi \quad (5.3.40)$$

積分経路内は正則であるから、 $I_C = 0$  として、(5.3.38) 式、(5.3.39) 式、(5.3.40) 式から、

$$I_C = I_4 + I_3 + I_2 + I_1 = 2i \int_0^{\infty} \frac{\sin(x)}{x} dx - i\pi = 0$$

以上から、

$$\int_0^{\infty} \frac{\sin(x)}{x} dx = \frac{\pi}{2}$$

$$I = \int_0^\infty \frac{x^{a-1}}{x+1} dx \quad 0 < a < 1 \quad (5.3.41)$$

```
kill(all);
declare(z,complex);
depends(z,[\theta]);
assume(R>0);
assume(a>0 and a<1);
I1:I='integrate(x^(a-1)/(x+1),x,0,inf);
FZ1:z^(a-1)/(z+1);
I1:I[1]='integrate(subst([z=r*e^(%i*0)],
  FZ1),r,0,inf);
I2:I[2]='integrate(subst([z=r*e^(%i*p)],
  FZ1),r,inf,0);
radcan(%);
subst([p=2*pi],%);
I21:lhs(%)=-%e^(2*i*pi*a)*I[1];
RZ1:z=R*e^(%i*\theta);
DRZ1:diff(RZ1,\theta,1);
RFZ1:subst([RZ1],FZ1*rhs(DRZ1));
I[3]='limit(%,R,inf);
I3:ev(%,limit);
I4:I[4]=limit(RFZ1,R,0);
RE2:residue(FZ1,z,-1);
I[0]=2*pi*i*RE2;
I0:%;
I1+I21+I3+I4;
lhs(%)=subst([I1],rhs(%));
rhs(%)=rhs(I0);
%/(1-%e^(2*i*pi*a));
factor(%);
lhs(%)=trigrat(rhs(%));
subst([r=x],lhs(%))=trigsimp(rhs(%));
```

積分は次式の被積分関数を複素関数:  $f(z)$  で表すと、

$$f(z) = \frac{z^{a-1}}{z+1} \quad (5.3.42)$$

これを基に下記の積分を考える。

$$I_C = \oint \frac{z^{a-1}}{z+1} dz \quad (5.3.43)$$

この積分で下図の積分経路:  $I_1, I_2, I_3, I_4$  を考える。

(5.3.41) 式の積分は (5.3.43) 式の経路:  $I_1$  で  $x$  軸上の  $0 \sim \infty$  の積分、 $z = r$  として、

$$I_1 = \int_0^\infty \frac{r^{a-1}}{r+1} dr \quad (5.3.44)$$

また、経路:  $I_2$  では  $x$  軸上の  $\infty \sim 0$  の積分で、 $z = r e^{i p}$

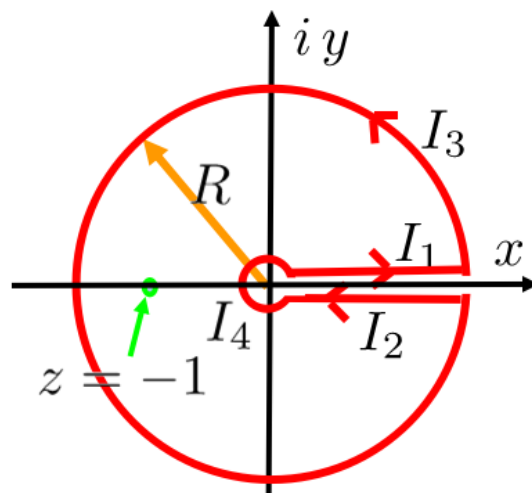


図 5.3.9: 閉積分

として、角度:  $p$  を  $2\pi$  とすると、

$$\begin{aligned} I_2 &= - \int_0^\infty \frac{(e^{i p} r)^{a-1}}{e^{i p} r + 1} dr \\ &= - e^{i a p} \int_0^\infty \frac{r^a}{e^{2 i p} r^2 + e^{i p} r} dr \\ &= - e^{2 i \pi a} \int_0^\infty \frac{r^a}{r^2 + r} dr \\ &= - I_1 e^{2 i \pi a} \end{aligned} \quad (5.3.45)$$

経路:  $I_3$  は半径:  $R$  の円上で  $\theta = 0 \sim 2\pi$  の積分となる。半径:  $R$  の円は次式で表現でき、

$$z = e^{i \theta} R, \quad \frac{d}{d\theta} z = i e^{i \theta} R$$

経路:  $I_3$  の積分は上記の結果と積分変数を  $z \rightarrow \theta$  に変更して、 $R \rightarrow \infty$  とすると、

$$I_3 = \lim_{R \rightarrow \infty} \int_0^{2\pi} \frac{i e^{i(a-1)\theta + i\theta} R^a}{e^{i\theta} R + 1} d\theta = 0 \quad (5.3.46)$$

経路:  $I_4$  の積分は上式を参考に半径:  $\delta$  の円上で  $\theta = 2\pi \sim 0$  の積分となり、 $\delta \rightarrow 0$  とすると、

$$I_4 = \lim_{\delta \rightarrow 0} \int_{2\pi}^0 \frac{i e^{i(a-1)\theta + i\theta} \delta^a}{e^{i\theta} \delta + 1} d\theta = 0 \quad (5.3.47)$$

(5.3.42) 式の極は、

$$[z = -1]$$

この極の留数は、Maxima の留数関数から得られ、

$$Res(f(z), z = -1) = -(-1)^a$$

$I_C$  の積分は、上記留数から得られ、

$$I_C = 2\pi i Res(f(z), z = -1) = -2i\pi (-1)^a \quad (5.3.48)$$

(5.3.44) 式、(5.3.45) 式、(5.3.46) 式、(5.3.47) 式から、

$$I_C = [I_4 + I_3 + I_2 + I_1] = \int_0^\infty \frac{r^{a-1}}{r+1} dr - I_1 e^{2 i \pi a}$$

上式と (5.3.44) 式、(5.3.48) 式から、

$$\int_0^{\infty} \frac{r^{a-1}}{r+1} dr - e^{2i\pi a} \int_0^{\infty} \frac{r^{a-1}}{r+1} dr = -2i\pi(-1)^a$$

上式を  $1 - e^{2i\pi a}$  で割り、

$$\frac{\int_0^{\infty} \frac{r^{a-1}}{r+1} dr - e^{2i\pi a} \int_0^{\infty} \frac{r^{a-1}}{r+1} dr}{1 - e^{2i\pi a}} = -\frac{2i\pi(-1)^a}{1 - e^{2i\pi a}}$$

整理すると、

$$\begin{aligned} \int_0^{\infty} \frac{r^{a-1}}{r+1} dr &= \frac{2i\pi(-1)^a}{(e^{i\pi a} - 1)(e^{i\pi a} + 1)} \\ &= \frac{\pi \sin(\pi a)^2 + \pi \cos(\pi a)^2}{\sin(\pi a)} \end{aligned}$$

上式を  $r \rightarrow x$  に変換すると、

$$\int_0^{\infty} \frac{x^{a-1}}{x+1} dx = \frac{\pi}{\sin(\pi a)}$$

$$I = \int_0^{\infty} \cos(x^2) dx \quad (5.3.49)$$

```
kill(all);
declare(z,complex);
depends(z,[r,\theta]);
assume(R>0);
assume(cos(2*\theta)>0);
I1:I='integrate(cos(x^2),x,0,inf);
FZ1:%e^(-z^2);
I1:I[1]='integrate(subst([z=r],FZ1),r,0,
inf);
I11:ev(%,integrate);
Z1:z=r*e^(%i*pi/4);
DZ1:diff(Z1,r,1);
I2:I[2]='integrate(subst([Z1],
FZ1*rhs(DZ1)),r,inf,0);
DI2:%e^(-(%i/sqrt(2)+1/sqrt(2))^2*r^2);
DI21:%=trigrat(%);
I21:subst([DI21],I2);
RZ1:z=R*e^(%i*\theta);
DRZ1:diff(RZ1,\theta,1);
RFZ1:subst([RZ1],FZ1*rhs(DRZ1));
factor(trigrat(%));
trigrat(%);
I[3]='limit(%,R,inf);
I3:ev(%,limit);
I11+I21+I3;
rhs(%)=0;
%-sqrt(%pi)/2;
factor(%/(-(%i/sqrt(2)+1/sqrt(2))));
subst([r=x],%);
I4:lhs(%)=rectform(rhs(%));
realpart(I4);
-imagpart(I4);
```

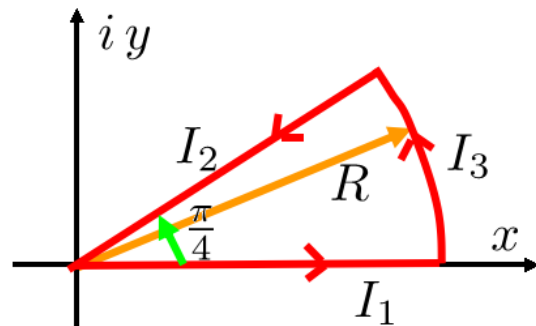


図 5.3.10: 閉積分



積分は次式の被積分関数を複素関数： $f(z)$  で表すと、として、

$$f(z) = e^{-z^2} \quad (5.3.50) \quad z = \left( \frac{i}{\sqrt{2}} + \frac{1}{\sqrt{2}} \right) r, \quad \frac{d}{dr} z = \frac{i}{\sqrt{2}} + \frac{1}{\sqrt{2}}$$

これを基に下記の積分を考える。

$$I_C = \oint e^{-z^2} dz \quad (5.3.51)$$

上記の結果から、

$$\begin{aligned} I_2 &= - \left( \frac{i}{\sqrt{2}} + \frac{1}{\sqrt{2}} \right) \int_0^\infty e^{-\left(\frac{i}{\sqrt{2}} + \frac{1}{\sqrt{2}}\right)^2 r^2} dr \\ &= - \left( \frac{i}{\sqrt{2}} + \frac{1}{\sqrt{2}} \right) \int_0^\infty \cos(r^2) - i \sin(r^2) dr \end{aligned} \quad (5.3.53)$$

この積分で上図の積分経路： $I_1, I_2, I_3$  を考える。(5.3.51) 式の経路： $I_1$  では  $x$  軸上の  $0 \sim \infty$  の積分、 $z = r$  として、積分値が得られ、

$$I_1 = \int_0^\infty e^{-r^2} dr = \frac{\sqrt{\pi}}{2} \quad (5.3.52)$$

経路： $I_3$  は半径： $R$  の円上で  $\theta = 0 \sim \frac{\pi}{4}$  の積分となる。  
半径： $R$  の円は次式で表現でき、

$$z = e^{i\theta} R, \quad \frac{d}{d\theta} z = i e^{i\theta} R$$

経路： $I_2$  では  $\theta = \frac{\pi}{4}$  上の  $r = \infty \sim 0$  の積分で、 $z = r e^{i\frac{\pi}{4}}$

経路： $I_3$  の積分は上記の結果と積分変数を  $z \rightarrow \theta$  に変更して、積分範囲では  $\cos(2\theta) > 0$  で、 $R \rightarrow \infty$  とすると、

$$\begin{aligned} I_3 &= \lim_{R \rightarrow \infty} \int_0^{\frac{\pi}{4}} i R e^{i\theta} e^{-e^{2i\theta} R^2} d\theta \\ &= \lim_{R \rightarrow \infty} \frac{i (\sin(\theta) R \sin(\sin(2\theta) R^2) + \cos(\theta) R \cos(\sin(2\theta) R^2)) + \cos(\theta) R \sin(\sin(2\theta) R^2) - \sin(\theta) R \cos(\sin(2\theta) R^2)}{e^{\cos(2\theta) R^2} \sin(\sin(2\theta) R^2)^2 + e^{\cos(2\theta) R^2} \cos(\sin(2\theta) R^2)^2} \\ &= 0 \end{aligned} \quad (5.3.54)$$

積分経路内は正則であるから、 $I_C = 0$  として、(5.3.52) 式、(5.3.53) 式、(5.3.54) 式から、

$$I_3 + I_2 + I_1 = \frac{\sqrt{\pi}}{2} - \left( \frac{i}{\sqrt{2}} + \frac{1}{\sqrt{2}} \right) \int_0^\infty \cos(r^2) - i \sin(r^2) dr = 0$$

上式を整理して、

$$- \left( \frac{i}{\sqrt{2}} + \frac{1}{\sqrt{2}} \right) \int_0^\infty \cos(r^2) - i \sin(r^2) dr = - \frac{\sqrt{\pi}}{2}$$

上式から、 $r \rightarrow x$  に変換して、

$$\int_0^\infty \cos(x^2) - i \sin(x^2) dx = \frac{\sqrt{\pi}}{2^{\frac{3}{2}}} - \frac{\sqrt{\pi} i}{2^{\frac{3}{2}}}$$

上式の実部から、

$$\int_0^\infty \cos(x^2) dx = \frac{\sqrt{\pi}}{2^{\frac{3}{2}}}$$

虚部から、

$$\int_0^\infty \sin(x^2) dx = \frac{\sqrt{\pi}}{2^{\frac{3}{2}}}$$

$$I = \int_0^\infty \frac{\sin(x^2)}{x} dx \quad (5.3.55)$$

```
kill(all);
declare(z,complex);
depends(z,[x,y,\theta]);
assume(sin(2*\theta)>0);
assume(R>0);
I1:I='integrate(sin(x^2)/x,x,0,inf);
FZ1:%e^(%i*z^2)/z;
I1:I[1]='integrate(subst([z=x],FZ1),x,0,inf);
Z1:z=%i*y;
DZ1:diff(Z1,y,1);
I2:I[2]='integrate(subst([Z1],FZ1*rhs(DZ1)),y,inf,0);
I21:subst([y=x],%);
RZ1:z=R*e^(%i*\theta);
DRZ1:diff(RZ1,\theta,1);
RFZ1:subst([RZ1],FZ1*rhs(DRZ1));
trigrat(%);
I[3]='limit(%,R,inf);
I3:ev(%,limit);
RE1:residue(FZ1,z,0);
I4:I[4]=-2*pi*i*RE1/4;
I1+I21+I3+I4;
rhs(%)=0;
%+(%i*pi)/2;
2*i*integrate(sin(x^2)/x,x,0,inf)=rhs(%);
%/2/%i;
```

積分は次式の被積分関数を複素関数:  $f(z)$  で表すと、

$$f(z) = \frac{e^{iz^2}}{z} \quad (5.3.56)$$

これを基に下記の積分を考える。

$$I_C = \oint \frac{e^{iz^2}}{z} dz \quad (5.3.57)$$

この積分で下図の積分経路:  $I_1, I_2, I_3, I_4$  を考える。

(5.3.57) 式の経路:  $I_1$  では  $x$  軸上の  $0 \sim \infty$  の積分で、 $z = x$  として、

$$I_1 = \int_0^\infty \frac{e^{ix^2}}{x} dx \quad (5.3.58)$$

経路:  $I_2$  では  $y$  軸上の  $\infty \sim 0$  の積分で、 $z = iy$  として、

$$z = iy, \quad \frac{d}{dy} z = i$$

経路:  $I_2$  の積分は上記の結果と積分変数を  $z \rightarrow y$  に変更し、更に  $y$  を  $x$  に変更し、

$$I_2 = \int_\infty^0 \frac{e^{-iy^2}}{y} dy = - \int_0^\infty \frac{e^{-ix^2}}{x} dx \quad (5.3.59)$$

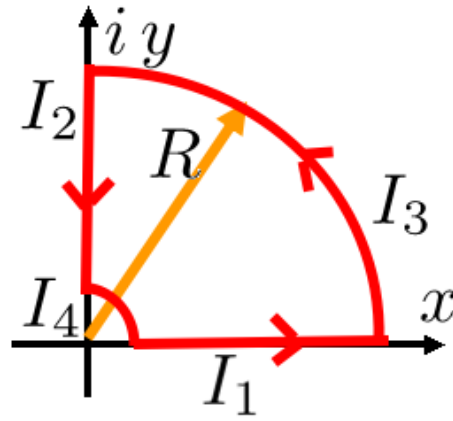


図 5.3.11: 閉積分

経路:  $I_3$  は半径:  $R$  の円上で  $\theta = 0 \sim \frac{\pi}{2}$  の積分となる。半径:  $R$  の円は次式で表現でき、

$$z = e^{i\theta} R, \quad \frac{d}{d\theta} z = i e^{i\theta} R$$

経路:  $I_3$  の積分は上記の結果と積分変数を  $z \rightarrow \theta$  に変更して、積分範囲では  $\sin(2\theta) > 0$  で、 $R \rightarrow \infty$  とすると、

$$\begin{aligned} I_3 &= \lim_{R \rightarrow \infty} \int_0^{\frac{\pi}{2}} i e^{i e^{2i\theta} R^2} d\theta \\ &= \lim_{R \rightarrow \infty} \int_0^{\frac{\pi}{2}} e^{-\sin(2\theta) R^2} \left( i \cos(\cos(2\theta) R^2) - \sin(\cos(2\theta) R^2) \right) d\theta \\ &= 0 \end{aligned} \quad (5.3.60)$$

経路:  $I_4$  の積分は極:  $z = 0$  の留数から得られ、極:  $z = 0$  の留数は、Maxima の留数関数から得られ、

$$Res(f(z), z = 0) = 1$$

$z = 0$  まわりの積分:  $I_4$  は積分の向きが反対で  $\frac{1}{4}$  周であるから、

$$I_4 = -\frac{1}{4} 2\pi i Res(f(z), z = 0) = -\frac{i\pi}{2} \quad (5.3.61)$$

積分経路内は正則であるから、 $I_C = 0$  として、(5.3.58) 式、(5.3.59) 式、(5.3.60) 式、(5.3.61) 式から、

$$I_4 + I_3 + I_2 + I_1 = \int_0^\infty \frac{e^{ix^2}}{x} dx - \int_0^\infty \frac{e^{-ix^2}}{x} dx - \frac{i\pi}{2} = 0$$

上式を整理して、

$$\int_0^\infty \frac{e^{ix^2}}{x} dx - \int_0^\infty \frac{e^{-ix^2}}{x} dx = \frac{i\pi}{2}$$

上式から、

$$\int_0^\infty \frac{\sin(x^2)}{x} dx = \frac{\pi}{4}$$

$$I = \int_0^{\infty} e^{-x^2} \cos(2ax) dx \quad a > 0, b > 0 \quad (5.3.62)$$

```
kill(all);
declare(z,complex);
depends(z,[x,y]);
assume(a>0);
assume(b>0);
I1:I='integrate(%e^(-x^2)*cos(2*a*x),x,0,
inf);
FZ1:%e^(-z^2);
I1:I[1]='integrate(subst([z=x],FZ1),x,
-inf,inf);
I11:ev(%integrate);
Z1:z=x+%i*a;
I2:I[2]='integrate(subst([Z1],FZ1),x,
inf,-inf);
trigrat(%);
subst([sin(2*a*x)=0],%);
I21:I[2]=-2*e^(a^2)*'integrate(%e^(-x^2)
*cos(2*a*x),x,0,inf);
Z3:z=b+%i*y;
I3:I[3]='integrate(subst([Z3],FZ1*i),y,
0,a);
rectform(%);
lhs(%)=limit(rhs(%),b,inf);
I31:I[3]=0;
Z4:z=-b+%i*y;
I4:I[4]='integrate(subst([Z4],FZ1*i),y,
a,0);
rectform(%);
lhs(%)=limit(rhs(%),b,inf);
I41:I[4]=0;
I11+I21+I31+I41;
rhs(%)=0;
%-sqrt(%pi);
%/(-2*e^(a^2));
```

積分は次式の被積分関数を複素関数:  $f(z)$  で表すと、

$$f(z) = e^{-z^2} \quad (5.3.63)$$

これを基に下記の積分を考える。

$$I_C = \oint e^{-z^2} dz \quad (5.3.64)$$

この積分で下図の積分経路:  $I_1, I_2, I_3, I_4$  を考える。

(5.3.64) 式の経路:  $I_1$  では  $x$  軸上で、 $z = x$  として、

$$I_1 = \int_{-\infty}^{\infty} e^{-x^2} dx = \sqrt{\pi} \quad (5.3.65)$$

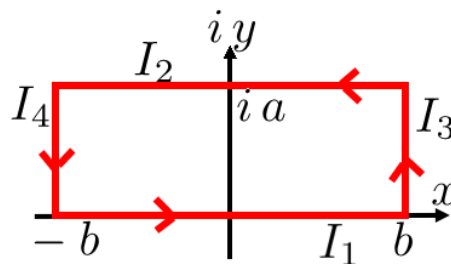


図 5.3.12: 閉積分

経路:  $I_2$  では  $y = ia$  上の積分で、 $z = x + ia$  として、

$$\begin{aligned} I_2 &= \int_{\infty}^{-\infty} e^{-(x+ia)^2} dx \\ &= i \int_{-\infty}^{\infty} e^{a^2-x^2} \sin(2ax) dx \\ &\quad - \int_{-\infty}^{\infty} e^{a^2-x^2} \cos(2ax) dx \end{aligned}$$

上式右辺第一項は奇関数の積分であるから零となり、

$$\begin{aligned} I_2 &= - \int_{-\infty}^{\infty} e^{a^2-x^2} \cos(2ax) dx \\ &= -2e^{a^2} \int_0^{\infty} e^{-x^2} \cos(2ax) dx \end{aligned} \quad (5.3.66)$$

経路:  $I_3$  では  $x = b$  上の積分で、 $z = iy + b$  として、 $b \rightarrow \infty$  とすると、

$$\begin{aligned} I_3 &= \lim_{b \rightarrow \infty} i \int_0^a e^{-(iy+b)^2} dy \\ &= \lim_{b \rightarrow \infty} \int_0^a e^{y^2-b^2} \sin(2by) dy \\ &\quad + i \int_0^a e^{y^2-b^2} \cos(2by) dy = 0 \end{aligned} \quad (5.3.67)$$

経路:  $I_4$  では  $x = -b$  上の積分で、 $z = iy - b$  として、 $b \rightarrow \infty$  とすると、

$$\begin{aligned} I_4 &= \lim_{b \rightarrow \infty} i \int_a^0 e^{-(iy-b)^2} dy \\ &= \lim_{b \rightarrow \infty} \int_0^a e^{y^2-b^2} \sin(2by) dy \\ &\quad - i \int_0^a e^{y^2-b^2} \cos(2by) dy = 0 \end{aligned} \quad (5.3.68)$$

積分経路内は正則であるから、 $I_C = 0$  として、(5.3.65) 式、(5.3.66) 式、(5.3.67) 式、(5.3.68) 式から、

$$I_4 + I_3 + I_2 + I_1 = \sqrt{\pi} - 2e^{a^2} \int_0^{\infty} e^{-x^2} \cos(2ax) dx = 0$$

上式を整理して、

$$-2e^{a^2} \int_0^{\infty} e^{-x^2} \cos(2ax) dx = -\sqrt{\pi}$$

上式から、

$$\int_0^{\infty} e^{-x^2} \cos(2ax) dx = \frac{\sqrt{\pi} e^{-a^2}}{2}$$

### 5.4 複素解析 (流体力学への応用)

ここでは複素解析の基本の例を示す。他の多くの例については、「Maxima を使った流体力学基礎演習<sup>1)</sup>」を参照願います。

#### 5.4.1 2次元速度ポテンシャルと流れ関数

##### (1) 流れ関数の関係式

下図点 A から点 P までの任意の面を考える。この面を左から右に通過する流量は  $\Psi = \int_A^P v_n ds$  で、検査面によって変化しない。 $\Psi$  は点 P の位置の関数で、流線に沿って点 P を移動させても、流線を通して流れる流れはないので、 $\Psi$  は一定である。これから  $\Psi = \text{一定}$  は流線を表す。

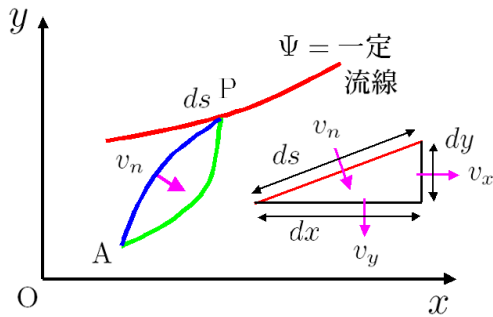


図 5.4.1: 2次元流れ関数

```
/* 二次元の流れの関数 */
kill(all);
load("vect")
depends(\Psi, [x,y]);
depends(\Phi, [x,y]);
STF1:\Psi='integrate(v[n],s,A,P);
\Psi+v[n]*ds=\Psi+'diff(\Psi,s,1)*ds;
STFN:solve(%,v[n])[1];
\Psi+v[x]*dy=\Psi+'diff(\Psi,y,1)*dy;
STFX:solve(%,v[x])[1];
\Psi-v[y]*dx=\Psi+'diff(\Psi,x,1)*dx;
STFY:solve(%,v[y])[1];
\Psi+v[r]*r*dt=\Psi+'diff(\Psi,t,1)/r*dt*r;
solve(%,v[r])[1];
STFR:subst([t=\theta,y=r*sin(\theta)],%);
\Psi-v[\theta]*dr=\Psi+'diff(\Psi,r,1)*dr;
solve(%,v[\theta])[1];
STFT:subst([y=r*sin(\theta)],%);
```

$\Psi$  が流量を表すので、 $dy$ 、 $dx$  間での流量変化の関係は、

$$dy v_x + \Psi = dy \left( \frac{d}{dy} \Psi \right) + \Psi$$

$$\Psi - dx v_y = dx \left( \frac{d}{dx} \Psi \right) + \Psi$$

上記から、

$$v_x = \frac{d}{dy} \Psi, \quad v_y = -\frac{d}{dx} \Psi \quad (5.4.1)$$

極座標  $r, \theta$  の流れ関数と流速の関係は、

$$dt r v_r + \Psi = dt \left( \frac{d}{dt} \Psi \right) + \Psi$$

$$\Psi - dr v_\theta = dr \left( \frac{d}{dr} \Psi \right) + \Psi$$

上記から、

$$v_r = \frac{d\theta}{r} \Psi, \quad v_\theta = -\frac{d}{dr} \Psi \quad (5.4.2)$$

```
CIR1:\omega='diff(v[y],x,1)
-'diff(v[x],y,1);
subst([STFX,STFY,\omega=0],CIR1);
ev(%,diff);
-rhs(%)=lhs(%)
```

渦度  $\omega$  は次式で表現でき、完全流体では  $\omega = 0$  である。

$$\omega = \frac{d}{dx} v_y - \frac{d}{dy} v_x$$

上式に (5.4.1) 式を代入し流れ関数の関係式を得る。

$$\frac{d^2}{dy^2} \Psi + \frac{d^2}{dx^2} \Psi = 0 \quad (5.4.3)$$

##### (1) 速度ポテンシャルの関係式

```
PODX:v[x]=diff(\Phi,x,1);
PODY:v[y]=diff(\Phi,y,1);
rhs(PODX)=rhs(STFX);
rhs(PODY)=rhs(STFY);
```

速度ポテンシャルの定義から、

$$v_x = \frac{d}{dx} \Phi, \quad v_y = \frac{d}{dy} \Phi \quad (5.4.4)$$

速度ポテンシャルの関係式は質量保存の式から、

$$\frac{d^2}{dy^2} \Phi + \frac{d^2}{dx^2} \Phi = 0 \quad (5.4.5)$$

(5.4.1) 式と (5.4.4) 式から速度ポテンシャルと流れ関数の関係は、

$$\frac{d}{dx} \Phi = \frac{d}{dy} \Psi, \quad \frac{d}{dy} \Phi = -\frac{d}{dx} \Psi \quad (5.4.6)$$

極座標  $r, \theta$  の速度ポテンシャルと流速の関係は、

<sup>1)</sup>溝口純敏: Maxima を使った流体力学基礎演習ノート、  
<http://www9.plala.or.jp/alcwitchery/>

```

/*座標変換 二次元極座標へ*/
/*r-theta co-ordinate*/
kill(all);
load("vect")
depends(r,[t,x,y]);
depends(\theta,[t,x,y]);
XR:x=r*cos(\theta);
YR:y=r*sin(\theta);
LXR1:diff(XR,x,1);
LYR1:diff(YR,x,1);
solve([LXR1,LYR1],[diff(r,x,1),
diff(\theta,x,1)]);
LXYR1:trigrat(%)[1];
LXR2:diff(XR,y,1);
LYR2:diff(YR,y,1);
solve([LXR2,LYR2],[diff(r,y,1),
diff(\theta,y,1)]);
LXYR2:trigrat(%)[1];
TR:matrix([cos(\theta),sin(\theta)],
[-sin(\theta),cos(\theta)]);
depends(\Phi,[r,\theta]);
ADFX1:'diff(\Phi,x,1)=diff(\Phi,x,1);
ADFX2:subst(LXYR1,%);
ADFY1:'diff(\Phi,y,1)=diff(\Phi,y,1);
ADFY2:subst(LXYR2,%);
expand(TR.matrix([rhs(ADFX2)],
[rhs(ADFY2)]));
GRADA:trigrat(%);

```

上記で\$が記入できないので、Maxima 実行時には

load("vect") →load("vect")\$として実行願う。

二次元の  $xy$  座標と極座標の関係は、

$$x = r \cos(\theta), \quad y = r \sin(\theta)$$

上記の関係から、

$$\begin{aligned} \frac{d}{dx} r &= \cos(\theta), & \frac{d}{dx} \theta &= -\frac{\sin(\theta)}{r} \\ \frac{d}{dy} r &= \sin(\theta), & \frac{d}{dy} \theta &= \frac{\cos(\theta)}{r} \end{aligned} \quad (5.4.7)$$

速度の  $xy$  成分は、

$$\begin{aligned} v_x &= \frac{d}{dx} \Phi = \left( \frac{d}{d\theta} \Phi \right) \left( \frac{d}{dx} \theta \right) + \left( \frac{d}{dr} \Phi \right) \left( \frac{d}{dx} r \right) \\ v_y &= \frac{d}{dy} \Phi = \left( \frac{d}{d\theta} \Phi \right) \left( \frac{d}{dy} \theta \right) + \left( \frac{d}{dr} \Phi \right) \left( \frac{d}{dy} r \right) \end{aligned} \quad (5.4.8)$$

座標から極座標に変換する下記の変換マトリックスを掛けることにより、速度の円柱座標表示を得ることができる。

$$TR = \begin{pmatrix} \cos(\theta) & \sin(\theta) \\ -\sin(\theta) & \cos(\theta) \end{pmatrix}$$

上式に (5.4.7) 式および (5.4.8) 式を代入し、変換マトリックスを掛けることにより、下記の極座標表記が得られる。

$$\begin{pmatrix} v_r \\ v_\theta \end{pmatrix} = (TR) \begin{pmatrix} \frac{d}{dx} \Phi \\ \frac{d}{dy} \Phi \end{pmatrix} = \begin{pmatrix} \frac{d}{dr} \Phi \\ \frac{d}{d\theta} \Phi \end{pmatrix} \quad (5.4.9)$$

## 5.4.2 一様な流れ

流速： $U$  で  $x$  軸と  $\theta$  の角度を持つ一様な流れの複素速度ポテンシャル： $F(z)$  を求める。

```
/* 一様な流れ */
kill(all);
declare(z,complex);
assume(U>0);
F1:F(z)=\Phi+i*\Psi;
FD1:diff(F(z),z,1)=v[x]-%i*v[y];
VX:v[x]=U*cos(\theta);
VY:v[y]=U*sin(\theta);
subst([VX,VY],FD1);
FD2:lhs(%)=polarform(rhs(%));
subst([atan2(sin(theta)*U,cos(theta)*U)
      =\theta],%);
trigsimp(%);
ode2(%,F(z),z);
subst([%c=0],%);
```

(5.2.5) 式から複素速度ポテンシャルは、

$$F(z) = i\Psi + \Phi$$

(5.2.9) 式から複素速度ポテンシャルと流速の関係は、

$$\frac{d}{dz} F(z) = v_x - i v_y$$

流速： $U$  で  $x$  軸と  $\theta$  の角度を持つ  $x, y$  軸の流速の関係は、

$$v_x = \cos(\theta) U, \quad v_y = \sin(\theta) U$$

上式を代入し、

$$\begin{aligned} \frac{d}{dz} F(z) &= \cos(\theta) U - i \sin(\theta) U \\ &= e^{-i\theta} \sqrt{\sin(\theta)^2 U^2 + \cos(\theta)^2 U^2} \\ &= e^{-i\theta} U \end{aligned}$$

上式を解いて、一様流の複素速度ポテンシャルは下記となる。

$$F(z) = e^{-i\theta} z U \quad (5.4.10)$$

## 5.4.3 わき出し

(1) 速度ポテンシャルの二次元質量保存の式から

原点にわき出しを置いた場合、流れは下図のように原点対称となる。この流れを速度ポテンシャルの二次元質量保存の式から求める。

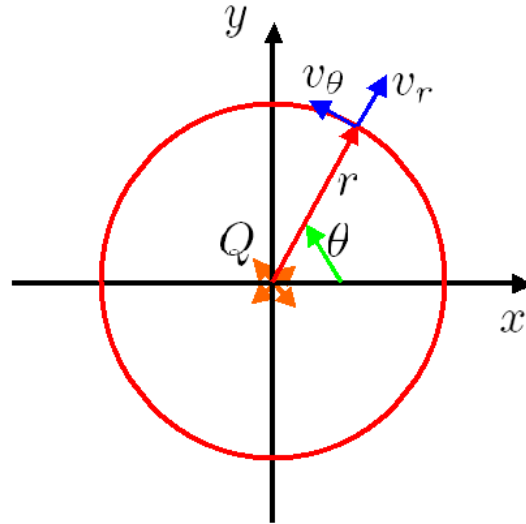


図 5.4.2: 2次元わき出し

```
/*座標変換 二次元極座標へ → わき出し*/
kill(all);
load("vect");
depends(r,[t,x,y]);
depends(\theta,[t,x,y]);
XR:x=r*cos(\theta);
YR:y=r*sin(\theta);
LXR1:diff(XR,x,1);
LYR1:diff(YR,x,1);
```

二次元の  $xy$  座標と極座標の関係は、

$$x = r \cos(\theta), \quad y = r \sin(\theta)$$

上記の関係から、

$$\frac{d}{dx} r = \cos(\theta), \quad \frac{d}{dx} \theta = -\frac{\sin(\theta)}{r}$$

$$\frac{d}{dy} r = \sin(\theta), \quad \frac{d}{dy} \theta = \frac{\cos(\theta)}{r}$$

$$\frac{d^2}{dx^2} r = \frac{\sin(\theta)^2}{r}, \quad \frac{d^2}{dx^2} \theta = \frac{2 \cos(\theta) \sin(\theta)}{r^2}$$

$$\frac{d^2}{dy^2} r = \frac{\cos(\theta)^2}{r}, \quad \frac{d^2}{dy^2} \theta = -\frac{2 \cos(\theta) \sin(\theta)}{r^2}$$

速度ポテンシャルの二次元質量保存の式は、

$$\frac{d^2}{dy^2} \Phi + \frac{d^2}{dx^2} \Phi = 0$$

上記の各項を展開する。 $\frac{d^2}{dx^2} \Phi$  の展開は下記となる。

$$\begin{aligned} \frac{d^2}{dx^2} \Phi &= \left( \frac{d}{d\theta} \Phi \right) \left( \frac{d^2}{dx^2} \theta \right) + \left( \frac{d}{dx} \theta \right) \left( \left( \frac{d^2}{d\theta^2} \Phi \right) \left( \frac{d}{dx} \theta \right) \right) \\ &+ \left( \frac{d^2}{dr d\theta} \Phi \right) \left( \frac{d}{dx} r \right) + \left( \frac{d}{dx} r \right) \left( \left( \frac{d^2}{dr d\theta} \Phi \right) \left( \frac{d}{dx} \theta \right) \right) \\ &+ \left( \frac{d^2}{dr^2} \Phi \right) \left( \frac{d}{dx} r \right) + \left( \frac{d}{dr} \Phi \right) \left( \frac{d^2}{dx^2} r \right) \end{aligned}$$

```

solve([LXR1,LYR1],[ 'diff(r,x,1),
 'diff(\theta,x,1)]);
LXYR1:trigrat(%)[1];
LXR2:diff(XR,y,1);
LYR2:diff(YR,y,1);
solve([LXR2,LYR2],[ 'diff(r,y,1),
 'diff(\theta,y,1)]);
LXYR2:trigrat(%)[1];
depends(\Phi,[r,\theta]);
/* nabla^2 */
NABA: 'diff(\Phi,x,2)+'diff(\Phi,y,2)=0;
ADDFX1: 'diff(\Phi,x,2)=diff(\Phi,x,2);
ADFDX2:subst(LXYR1,%);
ADFDY1: 'diff(\Phi,y,2)=diff(\Phi,y,2);
ADFDY2:subst(LXYR2,%);
LXDDR1:diff(XR,x,2);
LXDDR2:subst(LXYR1,%);
LYDDR1:diff(YR,x,2);
LYDDR2:subst(LXYR1,%);
solve([LXDDR2,LYDDR2],[ 'diff(r,x,2),
 'diff(\theta,x,2)] [1];
NABRAX:subst(%,ADFDX2);
LXDDR11:diff(XR,y,2);
LXDDR21:subst(LXYR2,%);
LYDDR11:diff(YR,y,2);
LYDDR21:subst(LXYR2,%);
solve([LXDDR21,LYDDR21],[ 'diff(r,y,2),
 'diff(\theta,y,2)] [1];
NABRAY:subst(%,ADFDY2);
NABRA1:subst([NABRAX,NABRAY],NABA);
NABRA2:expand(trigrat(expand(%)));
NABRA3:first(lhs(NABRA2))+last(lhs(NABRA2))
=0;
ode2(NABRA3,\Phi,r);

```

上式を整理し、原点対象とすると、二次元質量保存の式は下記となり、速度ポテンシャル： $\Phi$  は、

$$\frac{d}{dr} \Phi + \frac{d^2}{dr^2} \Phi = 0, \quad \Phi = \%k1 \log(r) + \%k2$$

## (2) 複素ポテンシャル

(5.4.2) 式、(5.4.9) 式から流速と速度ポテンシャル、流れ関数の関係は、

$$v_r = \frac{d}{dr} \Phi, \quad v_\theta = \frac{d\theta}{dr} \Phi, \quad v_r = \frac{d\theta}{dr} \Psi, \quad v_\theta = -\frac{d}{dr} \Psi$$

```

/* わき出し */
kill(all);
depends(\Phi,[r,\theta]);
depends(\Psi,[r,\theta]);
declare(z,complex);
declare(F,complex);
VRP:v[r]=diff(\Phi,r,1);
VTP:v[\theta]=diff(\Phi,\theta,1)/r;
VRS:v[r]=diff(\Psi,\theta,1)/r;
VTS:v[\theta]=-diff(\Psi,r,1);
Q1:Q=2*\pi*r*v[r];
VR:solve(%,v[r])[1];
VT:v[\theta]=0;
PH1:subst([VRP],VR);
ode2(PH1,\Phi,r);
PH2:subst([%c=0],%);
PS1:expand(subst([VRS],VR)*r);
PS2:\Psi=integrate(rhs(PS1),\theta);
F=\Phi+%i*\Psi;
F1:subst([PH2,PS2],%);
Z1:z=r*e^(%i*\theta);
Z2:solve(Z1,r)[1];
subst([Z2],F1);
radcan(%);
subst([Q=m*2*\pi],%);

```

わき出しの流量： $Q$  と半径： $r$  における  $v_r, v_\theta$  の関係は、

$$Q = 2\pi r v_r, \quad v_\theta = 0$$

速度ポテンシャル： $\Phi$  と流速： $v_r$  の関係から、

$$\frac{d}{dr} \Phi = \frac{Q}{2\pi r}, \quad \Phi = \frac{\log(r) Q}{2\pi}$$

流れ関数： $\Psi$  と流速： $v_r$  の関係から、

$$\frac{d}{d\theta} \Psi = \frac{Q}{2\pi}, \quad \Psi = \frac{\theta Q}{2\pi}$$

複素速度ポテンシャルは、

$$F = i\Psi + \Phi, \quad z = r e^{i\theta}$$

上記の関係から、

$$\begin{aligned} F &= \frac{i\theta Q}{2\pi} + \frac{\log(r) Q}{2\pi} = \frac{\log(e^{-i\theta} z) Q}{2\pi} + \frac{i\theta Q}{2\pi} \\ &= \frac{\log(z) Q}{2\pi} \end{aligned}$$

上記からわき出し強さ： $m$  とすると、わき出しの複素速度ポテンシャル： $F$  は、

$$F = m \log(z), \quad m = \frac{Q}{2\pi} \quad (5.4.11)$$

## 5.4.4 二重わき出し

$x$  軸から角度:  $\alpha$  の位置:  $z_0$  に強さ:  $m$  のわき出しを置き、原点に  $-m$  のわき出しを置く。 $z_0$  を原点に近づけることにより二重わき出しの複素ポテンシャルを求める。

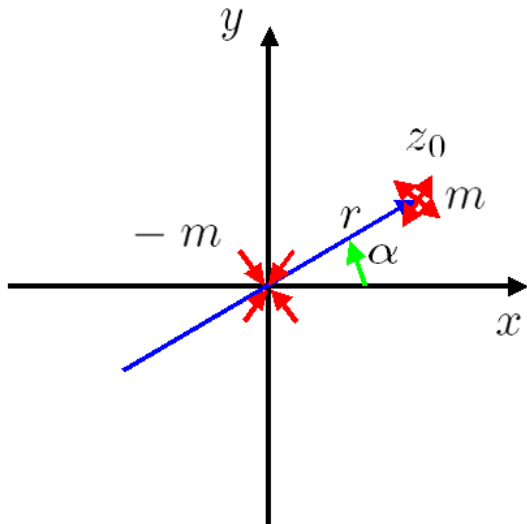


図 5.4.3: 2次元二重わき出し

$$F = -\frac{e^{i\alpha} m r}{z} - \frac{e^{2i\alpha} m r^2}{2z^2} - \frac{e^{3i\alpha} m r^3}{3z^3} - \frac{e^{4i\alpha} m r^4}{4z^4} - \frac{e^{5i\alpha} m r^5}{5z^5} + \dots$$

$m \rightarrow \infty, r \rightarrow 0$  の時、 $mr \rightarrow \mu$  とすると、

$$F = -\frac{e^{i\alpha} \mu}{z} - \frac{e^{2i\alpha} \mu r}{2z^2} - \frac{e^{3i\alpha} \mu r^2}{3z^3} - \frac{e^{4i\alpha} \mu r^3}{4z^4} - \frac{e^{5i\alpha} \mu r^4}{5z^5} + \dots$$

$$\rightarrow -\frac{e^{i\alpha} \mu}{z}$$

以上から、二重わき出し強さ:  $\mu$  とすると、二重わき出しの複素ポテンシャル:  $F$  は下記となる。

$$F = -\frac{e^{i\alpha} \mu}{z} \quad (5.4.12)$$

```
/* 二重わき出し */
kill(all);
declare(z,complex);
F1:F=m*log(z-z[0])-m*log(z);
logcontract(F1);
F2:expand(%);
subst([z[0]=z[1]*z],%);
lhs(%)=taylor(rhs(%),z[1],0,5);
subst([z[1]=z[0]/z],%);
subst([z[0]=r*e^(%i*\alpha)],%);
subst([m=\mu/r],%);
limit(%,r,0);
```

(5.4.11) 式から二重わき出しの複素ポテンシャル:  $F$  は下記となる。

$$F = m \log(z - z_0) - m \log(z)$$

$$= m \log\left(1 - \frac{z_0}{z}\right)$$

$\frac{z_0}{z}$  で Taylor 展開すると、

$$F = -\frac{z_0 m}{z} - \frac{z_0^2 m}{2z^2} - \frac{z_0^3 m}{3z^3} - \frac{z_0^4 m}{4z^4} - \frac{z_0^5 m}{5z^5} + \dots$$

ここで、

$$z_0 = r e^{i\alpha}$$

これを上式に代入し、



## 5.4.5 渦糸

原点に渦循環強さ:  $\Gamma$  の渦糸を置いた場合の複素ポテンシャルを求める。

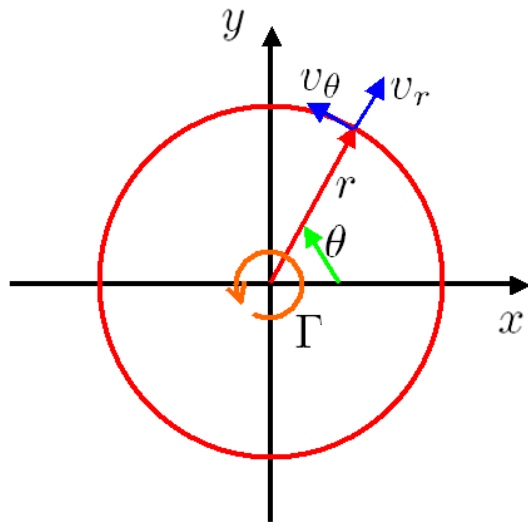


図 5.4.4: 渦糸

```

/* 渦糸 */
kill(all);
depends(\Phi, [r, \theta]);
depends(\Psi, [r, \theta]);
declare(z, complex);
declare(F, complex);
VRP:v[r]=diff(\Phi,r,1);
VTP:v[\theta]=diff(\Phi,\theta,1)/r;
VRS:v[r]=diff(\Psi,\theta,1)/r;
VTS:v[\theta]=-diff(\Psi,r,1);
G1:\gamma=2*\pi*r*v[\theta];
VT:solve(G1,v[\theta])[1];
PH1:subst([VTP],VT);
PH2:\Phi=integrate(rhs(PH1)*r,\theta);
PS1:subst([VTS],VT);
ode2(PS1,\Psi,r);
PS2:subst([%c=0],%);
F=\Phi+%i*\Psi;
F1:subst([PH2,PS2],%);
Z1:z=r*e^(%i*\theta);
Z2:solve(Z1,r)[1];
subst([Z2],F1);
radcan(%);
subst([\gamma=\kappa*2*\pi],%);

```

(5.4.2) 式、(5.4.9) 式から流速と速度ポテンシャル、流れ関数の関係は、

$$v_r = \frac{d}{dr} \Phi, \quad v_\theta = \frac{d}{d\theta} \frac{\Phi}{r}, \quad v_r = \frac{d}{dr} \Psi, \quad v_\theta = -\frac{d}{dr} \Psi$$

渦循環:  $\Gamma$  と半径:  $r$  における  $v_r, v_\theta$  の関係は、

$$v_r = 0, \quad \Gamma = 2\pi r v_\theta$$

速度ポテンシャル:  $\Phi$  と流速:  $v_\theta$  の関係から、

$$\frac{d}{d\theta} \frac{\Phi}{r} = \frac{\Gamma}{2\pi r}$$

$$\Phi = \frac{\theta \Gamma}{2\pi}$$

流れ関数:  $\Psi$  と流速:  $v_\theta$  の関係から、

$$-\frac{d}{dr} \Psi = \frac{\Gamma}{2\pi r}$$

$$\Psi = -\frac{\log(r) \Gamma}{2\pi}$$

複素速度ポテンシャルは、

$$F = i\Psi + \Phi, \quad z = r e^{i\theta}$$

上記の関係から、

$$\begin{aligned} F &= -\frac{i \log(r) \Gamma}{2\pi} + \frac{\theta \Gamma}{2\pi} = -\frac{i \log(e^{-i\theta} z) \Gamma}{2\pi} + \frac{\theta \Gamma}{2\pi} \\ &= -\frac{i \log(z) \Gamma}{2\pi} \end{aligned}$$

上記から渦糸の複素速度ポテンシャル:  $F$  は、

$$F = -i \kappa \log(z), \quad \kappa = \frac{\Gamma}{2\pi} \quad (5.4.13)$$

## 5.4.6 写像：角を曲がる流れ

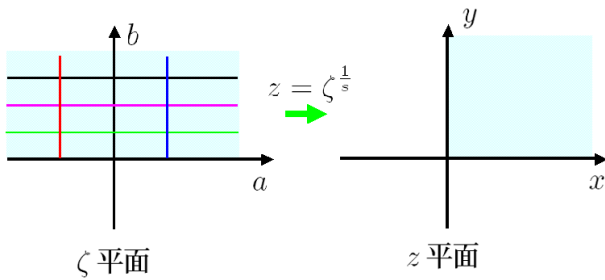


図 5.4.5: 角を曲がる流れ

```

/* 角を曲がる流れ */
kill(all);
declare(z,complex);
declare(\zeta,complex);
assume(s>0);
assume(\zeta>0);
G0:\zeta=a+%i*b;
G1:\zeta=z^s;
Z1:solve(G1,z)[1];
Z2:subst([G0],Z1);
X1:x=realpart(rhs(Z2));
Y1:y=imagpart(rhs(Z2));

```

$\zeta$  平面から  $z$  平面への変換関数として、下記を考える、

$$\zeta = z^s, \quad z = \zeta^{\frac{1}{s}} \quad (5.4.14)$$

$\zeta$  平面では、下記のように表現できる。

$$\zeta = ib + a$$

上式を (5.4.14) 式に代入し、 $\zeta$  平面の座標  $(a, b)$  が  $z$  平面でどのように変換されるかを求める。

$$z = (ib + a)^{\frac{1}{s}}$$

上式の実数部と虚数部から  $x, y$  座標が得られる。

$$x = (b^2 + a^2)^{\frac{1}{2s}} \cos\left(\frac{\text{atan2}(b, a)}{s}\right)$$

$$y = (b^2 + a^2)^{\frac{1}{2s}} \sin\left(\frac{\text{atan2}(b, a)}{s}\right)$$

図 5.4.5 の  $\zeta$  平面上で、 $a = \text{一定}$ 、 $b = \text{一定}$  の直線が  $z$  平面でどのように変換されるかの例を下記に示す。

```

X21:subst([s=2,b=2],rhs(X1));
Y21:subst([s=2,b=2],rhs(Y1));
X22:subst([s=2,b=4],rhs(X1));
Y22:subst([s=2,b=4],rhs(Y1));
X23:subst([s=2,b=6],rhs(X1));
Y23:subst([s=2,b=6],rhs(Y1));
X24:subst([s=2,a=0],rhs(X1));
Y24:subst([s=2,a=0],rhs(Y1));
X25:subst([s=2,a=4],rhs(X1));
Y25:subst([s=2,a=4],rhs(Y1));
X26:subst([s=2,a=-4],rhs(X1));
Y26:subst([s=2,a=-4],rhs(Y1));
XY1:[[0,0],[10,0]];
XY2:[[0,0],[10*cos(%pi/2),10*sin(%pi/2)]];
plot2d([[discrete,XY1],[discrete,XY2],
[parametric,X21,Y21,[a,-100,100],
[nticks,300]],
[parametric,X22,Y22,[a,-100,100],
[nticks,300]],
[parametric,X23,Y23,[a,-100,100],
[nticks,300]],
[parametric,X24,Y24,[b,0.01,100],
[nticks,300]],
[parametric,X25,Y25,[b,0.01,100],
[nticks,300]],
[parametric,X26,Y26,[b,0.01,100],
[nticks,300]]],
[x,-1,10],[y,-1,5]);

```

下記に、 $s = 2, 4, 3/2, 2/3$  とした場合の変換結果を以下に示す。各変換のプログラムは上記プログラムの数字を変えるだけなので、省略する。

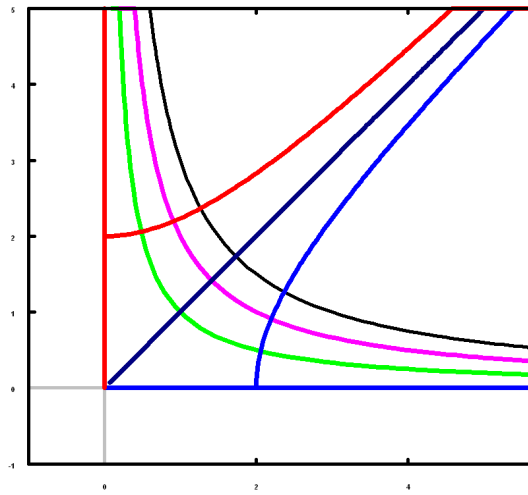


図 5.4.6:  $z$  平面 ( $s=2$ )

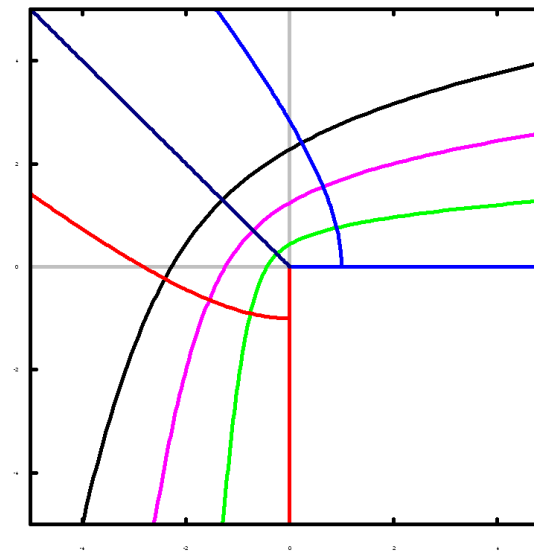


図 5.4.9:  $z$  平面 ( $s=2/3$ )

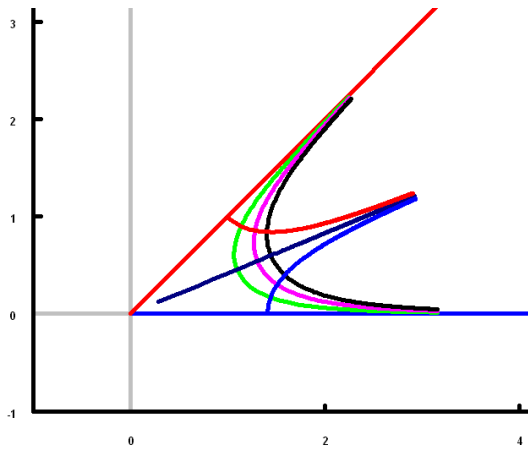


図 5.4.7:  $z$  平面 ( $s=4$ )

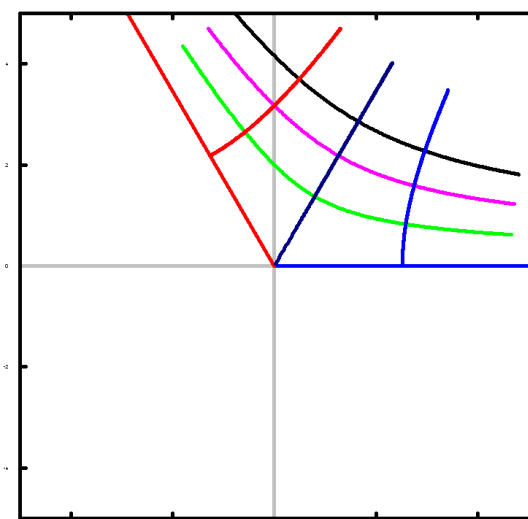


図 5.4.8:  $z$  平面 ( $s=3/2$ )

## 5.4.7 写像:平板・楕円変換 (Joukowski 変換)

$x, y$  座標を次式のように変換する。

$$\sin(\theta)^2 + \cos(\theta)^2 = \frac{x^2 R^2}{(R^2 + A^2)^2} + \frac{y^2 R^2}{(R^2 - A^2)^2}$$

$$1 = \frac{x^2 R^2}{(R^2 + A^2)^2} + \frac{y^2 R^2}{(R^2 - A^2)^2}$$

上式は明らかに楕円を表す式であり、 $\zeta$  平面上で半径： $R$  の円が  $z$  平面で楕円に変換される。

$\zeta$  平面上で半径： $R$  の円および、 $\theta$ ：一定の線を描くプログラムを下記に示す。

```
/* 円→楕円変換 (Joukowski 変換) */
kill(all);
declare(z,complex);
declare(\zeta,complex);
assume(A>0);
Z1:z=\zeta+A^2/\zeta;
G0:\zeta=R*e^(%i*\theta);
Z2:subst([G0],Z1);
E10:%e^(%i*\theta);
E11:E10=rectform(E10);
E20:%e^(-%i*\theta);
E21:E20=rectform(E20);
subst([E21],Z2);
Z3:subst([E11],%);
X1:x=factor(realpart(rhs(Z3)));
Y1:y=factor(imagpart(rhs(Z3)));
C1:solve(X1,cos(\theta))[1];
S1:solve(Y1,sin(\theta))[1];
CS1:C1^2+S1^2;
CS2:trigsimp(lhs(CS1))=rhs(CS1);
```

変換関数として、下記を考える。

$$z = \zeta + \frac{A^2}{\zeta} \quad (5.4.15)$$

$\zeta$  平面上で半径： $R$  の円が  $z$  平面でどうなるかを調べる。

$\zeta$  平面上の点を下記の関数で表現する。

$$\zeta = e^{i\theta} R \quad (5.4.16)$$

このとき、 $a, b$  座標は下記となる。

$$a = \cos(\theta) R, \quad b = \sin(\theta) R$$

(5.4.16) 式を (5.4.15) 式に代入し、 $\zeta$  平面上の点を  $z$  平面上に変換する。

$$z = e^{i\theta} R + \frac{e^{-i\theta} A^2}{R}$$

ところで、下記の関係が成り立つので、

$$e^{i\theta} = i \sin(\theta) + \cos(\theta), \quad e^{-i\theta} = \cos(\theta) - i \sin(\theta)$$

上式に代入し、

$$z = (i \sin(\theta) + \cos(\theta)) R + \frac{(\cos(\theta) - i \sin(\theta)) A^2}{R}$$

$x, y$  座標は、

$$x = \frac{\cos(\theta) (R^2 + A^2)}{R}$$

$$y = \frac{\sin(\theta) (R - A) (R + A)}{R}$$

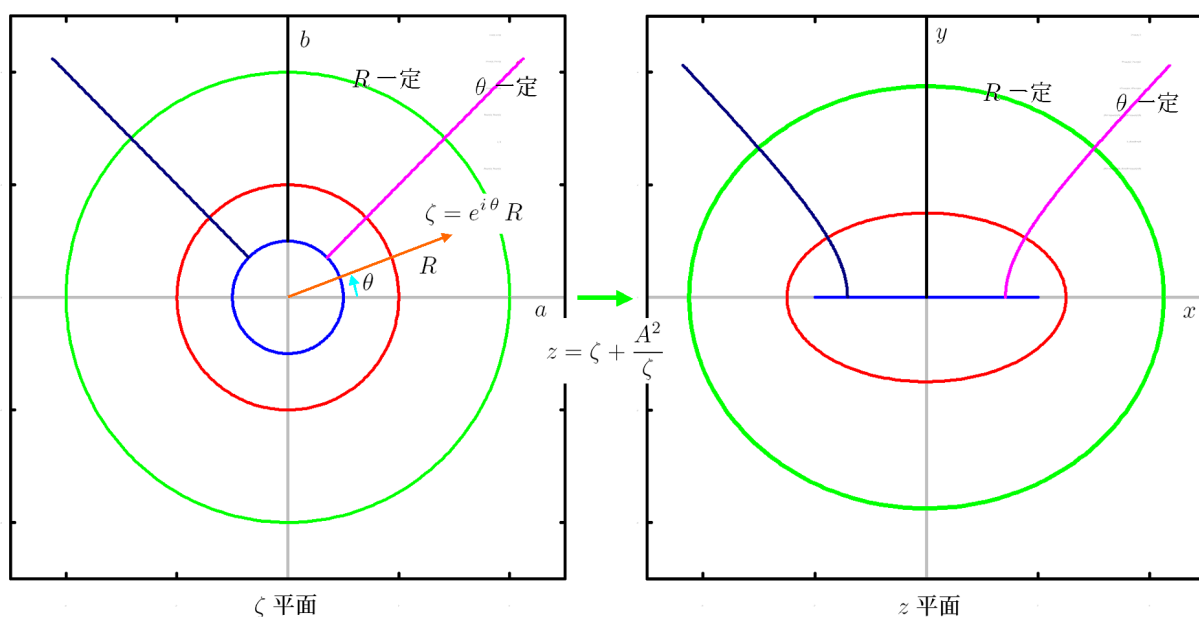
```
A1:a=realpart(rhs(G0));
B1:b=imagpart(rhs(G0));
AA:subst([\theta=t],A1);
BB:subst([\theta=t],B1);
X21:subst([R=1],rhs(AA));
Y21:subst([R=1],rhs(BB));
X22:subst([R=2],rhs(AA));
Y22:subst([R=2],rhs(BB));
X23:subst([R=4],rhs(AA));
Y23:subst([R=4],rhs(BB));
X24:subst([t=%pi/4],rhs(AA));
Y24:subst([t=%pi/4],rhs(BB));
X25:subst([t=%pi/2],rhs(AA));
Y25:subst([t=%pi/2],rhs(BB));
X26:subst([t=3*%pi/4],rhs(AA));
Y26:subst([t=3*%pi/4],rhs(BB));
plot2d([
[parametric,X21,Y21,[t,0.01,6.28],
[nticks,300]],
[parametric,X22,Y22,[t,0.01,6.28],
[nticks,300]],
[parametric,X23,Y23,[t,0.01,6.28],
[nticks,300]],
[parametric,X24,Y24,[R,1,6],[nticks,300]],
[parametric,X25,Y25,[R,1,6],[nticks,300]],
[parametric,X26,Y26,[R,1,6],[nticks,300]]
],[x,-5,5],[y,-5,5]);
```

$z$  平面で  $R$  の円および、 $\theta$  : 一定の線がどのようなプログラムを下記に示す。

```

XX:subst([\theta=t],X1);
YY:subst([\theta=t],Y1);
X21:subst([A=1,R=1],rhs(XX));
Y21:subst([A=1,R=1],rhs(YY));
X22:subst([A=1,R=2],rhs(XX));
Y22:subst([A=1,R=2],rhs(YY));
X23:subst([A=1,R=4],rhs(XX));
Y23:subst([A=1,R=4],rhs(YY));
X24:subst([A=1,t=%pi/4],rhs(XX));
Y24:subst([A=1,t=%pi/4],rhs(YY));
X25:subst([A=1,t=%pi/2],rhs(XX));
Y25:subst([A=1,t=%pi/2],rhs(YY));
X26:subst([A=1,t=3*%pi/4],rhs(XX));
Y26:subst([A=1,t=3*%pi/4],rhs(YY));
plot2d([
  [parametric,X21,Y21,[t,0.01,6.28],
  [nticks,300]],
  [parametric,X22,Y22,[t,0.01,6.28],
  [nticks,300]],
  [parametric,X23,Y23,[t,0.01,6.28],
  [nticks,300]],
  [parametric,X24,Y24,[R,1,6],[nticks,300]],
  [parametric,X25,Y25,[R,1,6],[nticks,300]],
  [parametric,X26,Y26,[R,1,6],[nticks,300]]
],[x,-5,5],[y,-5,5]);

```



0.327035, 5.40967

-1.25145, 5.42105

図 5.4.10: 円→楕円変換

5.4.8 円定理

円柱がないときの複素ポテンシャル： $f(z)$  とする。速度ポテンシャルを  $\Phi$ 、流れ関数を  $\Psi$  とすると、

$$f(z) = i\Psi(z) + \Phi(z) \tag{5.4.17}$$

原点に中心がある半径： $R$  の円柱を考える。円上では次の関係がある。

$$R^2 = z\bar{z} \tag{5.4.18}$$

次に示す関数を考える。

$$F(z) = f(z) + \bar{f}\left(\frac{R^2}{z}\right) \tag{5.4.19}$$

ここで下記の関係から、

$$\bar{f}(z) = \overline{f(\bar{z})} \tag{5.4.20}$$

(5.4.19) 式は、(5.4.18) 式、上式から、

$$F(z) = f(z) + \overline{f(\bar{z})} = 2\Phi \tag{5.4.21}$$

上式から  $\Psi = 0$  となり、原点に中心がある半径： $R$  の円が流線となる。

5.4.9 Blasius の定理

二次元完全流体中の物体に作用する力およびモーメントを求める。

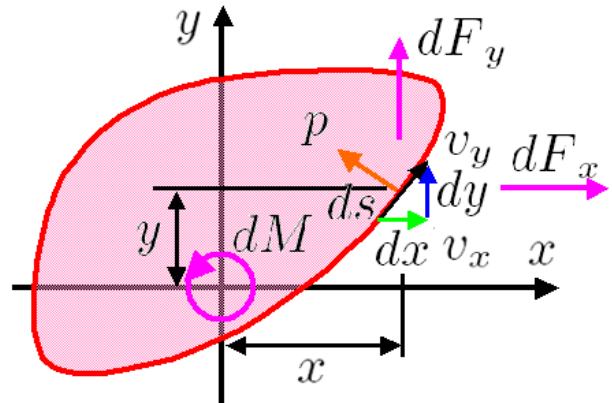


図 5.4.11: Blasius の定理

```

/* Blasius の定理 */
kill(all);
declare(z, complex);
declare(F, complex);
DFX: dF[x] = -p*dy;
DFY: dF[y] = p*dx;
DF: DFX - %i*DFY;
lhs(%) = factor(rhs(%));
lhs(%) = factor(subst([dy=%i*dy], rhs(%)));
DF1: subst([dy=-%i*dy], %);
P1: p = -1/2*rho*(v[x]^2 + v[y]^2);
V2: (v[x] - %i*v[y])*(v[x] + %i*v[y]);
V21: expand(V2) = V2;
P11: subst([V21], P1);
DF1: subst([P11], DF);
VXY: v[xy] = v[x] - %i*v[y];
DF2: subst([-%i*v[y] = v[xy] - v[x]], DF1);
DF3: lhs(DF2) = factor(expand(rhs(DF2)));
    
```

物体表面： $x, y$  における圧力を  $p$  とすると、物体表面要素長さ： $ds$  に作用する力の  $x, y$  成分は下記となる。

$$dF_x = -dy p, \quad dF_y = dx p$$

これをまとめて、

$$dF_x - i dF_y = -(dy + i dx) p \tag{5.4.22}$$

圧力： $p$  は物体表面流速： $v_x, v_y$  から下記で表現できる。

$$\begin{aligned}
 p &= -\frac{\rho (v_y^2 + v_x^2)}{2} \\
 &= -\frac{\rho (v_x - i v_y) (i v_y + v_x)}{2}
 \end{aligned}$$

一時的に下記に定義した  $v_{xy}$  を導入する。

$$v_{xy} = v_x - i v_y$$

上式を作用する力に代入し、

$$dF_x - i dF_y = \frac{\rho v_{xy} (i dy v_y - dx v_y + dy v_x + i dx v_x)}{2} \quad (5.4.23)$$

```
DF4: subst([dx*v[y]=-dx*v[y], dy*v[x]
  =-dy*v[x]], DF3);
VXY1: v[xy1]=%i*(v[x]-%i*v[y])*(dx+%i*dy);
VXY2: expand(%);
VX1: solve(VXY2, v[x])[1];
DF5: subst([VX1], DF4);
lhs(DF5)=factor(expand(rhs(DF5)));
DF6: subst([VXY1, VXY], %);
DZ1: dz=dx+%i*dy;
DZ2: solve(DZ1, dx)[1];
DFZ1: 'diff(F, z, 1)=v[x]-%i*v[y];
DFZ2: solve(DFZ1, v[x])[1];
DF7: subst([DZ2, DFZ2], DF6);
F1: F[x]-%i*F[y]='integrate(rhs(DF7)/dz, z);
```

境界も流線であるため、境界に沿った流れとなる。このため  $dx/v_x = dy/v_y$  の関係が成り立つ。(5.4.23) 式に  $dy v_x = dx v_y$  の関係から下記とする。

$$dF_x - i dF_y = \frac{\rho v_{xy} (i dy v_y + dx v_y - dy v_x + i dx v_x)}{2} \quad (5.4.24)$$

下記に定義した  $v_{xy1}$  を導入する。

$$\begin{aligned} v_{xy1} &= i (i dy + dx) (v_x - i v_y) \\ &= i dy v_y + dx v_y - dy v_x + i dx v_x \end{aligned}$$

(5.4.24) 式に上式を代入し、

$$\begin{aligned} dF_x - i dF_y &= \frac{\rho v_{xy} v_{xy1}}{2} \\ &= \frac{i (i dy + dx) \rho (v_x - i v_y)^2}{2} \end{aligned} \quad (5.4.25)$$

(5.2.9) 式などから、

$$dz = i dy + dx, \quad \frac{d}{dz} F = v_x - i v_y$$

(5.4.25) 式に上式を代入し、

$$dF_x - i dF_y = \frac{i dz \rho \left(\frac{d}{dz} F\right)^2}{2} \quad (5.4.26)$$

上式を積分し、

$$F_x - i F_y = \frac{i \rho}{2} \oint \left(\frac{d}{dz} F\right)^2 dz \quad (5.4.27)$$

```
DF10: dF=lhs(DF7);
DF11: dF=rhs(DF7);
DM1: dM=x*dF[y]-dF[x]*y;
DF10*z;
lhs(%)=subst([z=x+%i*y], rhs(%));
DM2: lhs(%)=expand(rhs(%));
DM3: 'imagpart(lhs(DM2))=imagpart(rhs(DM2));
solve(DM1, dF[y])[1];
subst([], DM3);
solve(%, dM)[1];
DM4: lhs(%)=(subst([DF11], rhs(%)));
DM5: lhs(%)='realpart(rhs(DM4));
M1: M='realpart('integrate(rhs(DM4)/dz, z));
```

下記に定義した  $dF$  を導入する。

$$\begin{aligned} dF &= dF_x - i dF_y \\ &= \frac{i dz \rho \left(\frac{d}{dz} F\right)^2}{2} \end{aligned}$$

上式に  $z$  を掛け、整理すると、

$$\begin{aligned} z dF &= (dF_x - i dF_y) z \\ &= (i y + x) (dF_x - i dF_y) \\ &= y dF_y - i x dF_y + i dF_x y + x dF_x \end{aligned}$$

物体表面要素長さ:  $ds$  に作用する原点まわりのモーメントは、

$$dM = x dF_y - dF_x y$$

上の二式から、

$$\Im_m(z dF) = dF_x y - x dF_y$$

原点まわりのモーメントは、

$$\begin{aligned} dM &= -\Im_m(z dF) \\ &= \Re_e \left( -\frac{dz \rho z \left(\frac{d}{dz} F\right)^2}{2} \right) \end{aligned}$$

上式を積分し、

$$M = \Re_e \left( -\frac{\rho}{2} \oint z \left(\frac{d}{dz} F\right)^2 dz \right) \quad (5.4.28)$$

5.4.10 Lagally の定理

流速： $U$ 、流向： $\alpha$  の一様流中の中に座標原点に柱状体  $C$  を置き、その原点に渦循環強さ： $\Gamma$  の渦糸を、その外部の  $z = a$  の位置に、わき出し強さ： $m$  のわき出しを置いたとき、柱状体  $C$  に作用する力、モーメントを求める。

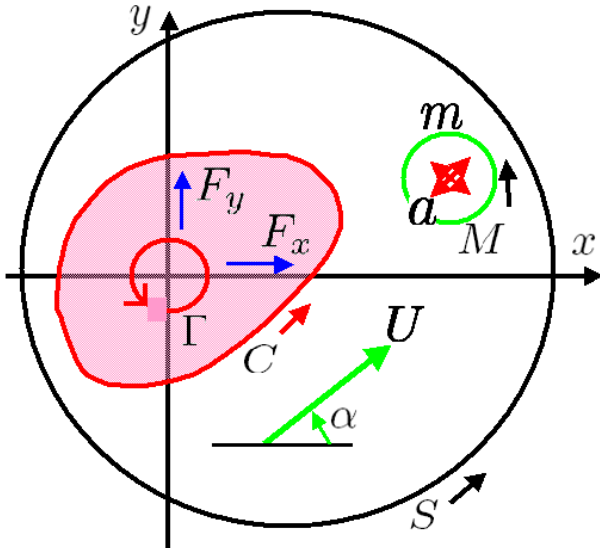


図 5.4.12: Lagally の定理

```

/* Lagally's 定理 */
kill(all);
declare(z,complex);
declare(F,complex);
declare(a,complex);
assume(r>0);
F0:U*e^(-%i*\alpha)*z;
F1:m*log(z-a);
F2:-%i*\Gamma/2/%pi*log(z);
F3:A[1]/z+A[2]/z^2+A[3]/z^3+A[4]/z^4;
F4:F=F0+F1+F2+F3;
    
```

一様流の複素ポテンシャルは、

$$F_0 = e^{-i\alpha} z U$$

$z = a$  に置いたわき出しの複素ポテンシャルは、

$$F_1 = m \log(z - a)$$

原点に置いた渦糸の複素ポテンシャルは、

$$F_2 = -\frac{i\Gamma \log(z)}{2\pi}$$

柱状体による攪乱の複素ポテンシャルは、

$$F_3 = \frac{A_1}{z} + \frac{A_2}{z^2} + \frac{A_3}{z^3} + \frac{A_4}{z^4}$$

上記流場の複素ポテンシャルは、下記のように表せる。

$$F = e^{-i\alpha} z U + m \log(z - a) - \frac{i\Gamma \log(z)}{2\pi} + \frac{A_1}{z} + \frac{A_2}{z^2} + \frac{A_3}{z^3} + \frac{A_4}{z^4} + \dots$$

(5.4.27) 式の Blasius の定理の定理から、物体に作用する力は下記となる。

$$F_x - iF_y = \frac{i\rho}{2} \oint_C \left( \frac{d}{dz} F \right)^2 dz$$

上図から物体境界： $C$ 、物体、わき出しを含む大きな円： $S$ 、わき出しを囲む小さな円： $M$  とすると下記の関係がある。

$$\frac{i\rho}{2} \oint_S \left( \frac{d}{dz} F \right)^2 dz - \frac{i\rho}{2} \oint_C \left( \frac{d}{dz} F \right)^2 dz - \frac{i\rho}{2} \oint_M \left( \frac{d}{dz} F \right)^2 dz = 0$$

上記から、物体に作用する力は下記となる。

$$F_x - iF_y = \frac{i\rho}{2} \oint_S \left( \frac{d}{dz} F \right)^2 dz - \frac{i\rho}{2} \oint_M \left( \frac{d}{dz} F \right)^2 dz \tag{5.4.29}$$

```

FD1:'diff(F,z,1)=diff(rhs(F4),z,1);
F[x]-%i*F[y]=%i*\rho/2*integrate((
'diff(F,z,1))^2,z);
F1D1:diff(F1,z,1);
F1D1=taylor(F1D1,a,0,3);
F1D2:F1D1=rest(rhs(%),-1);
FD2:subst([F1D2],FD1);
FD22:lhs(FD2)^2=expand(rhs(FD2)^2);
RFD22:coeff(rhs(FD22),z,-1);
FCS:F[xs]-%i*F[ys]=%i*\rho/2*(2*pi*i)
*RFD22;
lhs(%)=expand(rectform(rhs(%)));
    
```

物体、わき出しを含む大きな円： $S$  の積分について考える。

$$\frac{d}{dz} F = e^{-i\alpha} U + \frac{m}{z-a} - \frac{i\Gamma}{2\pi z} - \frac{A_1}{z^2} - \frac{2A_2}{z^3} - \frac{3A_3}{z^4} - \frac{4A_4}{z^5} + \dots \tag{5.4.30}$$

右辺第2項を Taylor 展開して、

$$\frac{m}{z-a} = \frac{m}{z} + \frac{ma}{z^2} + \frac{ma^2}{z^3} + \frac{ma^3}{z^4} + \dots$$

これを上式に代入し、

$$\frac{d}{dz} F = e^{-i\alpha} U + \frac{m}{z} - \frac{i\Gamma}{2\pi z} + \frac{am}{z^2} - \frac{A_1}{z^2} + \frac{a^2 m}{z^3} - \frac{2A_2}{z^3} - \frac{3A_3}{z^4} - \frac{4A_4}{z^5} + \dots$$



$$\left(\frac{d}{dz} F\right)^2 = e^{-2i\alpha} U^2 + \frac{2e^{-i\alpha} mU}{z} - \frac{ie^{-i\alpha} \Gamma U}{\pi z} + \frac{2ae^{-i\alpha} mU}{z^2} - \frac{2A_1 e^{-i\alpha} U}{z^2} + \dots$$

(5.4.29) 式の大きな円:  $S$  の積分項は、留数の定理から、

$$\begin{aligned} F_{xs} - iF_{ys} &= \frac{i\rho}{2} \oint_S \left(\frac{d}{dz} F\right)^2 dz \\ &= \frac{i\rho}{2} (2\pi i) (2e^{-i\alpha} mU - ie^{-i\alpha} \Gamma U) \\ &= -\pi\rho \left(2e^{-i\alpha} mU - \frac{ie^{-i\alpha} \Gamma U}{\pi}\right) \end{aligned} \tag{5.4.31}$$

```
FD3: rhs(FD1)=F1D1+f(z);
FD31: expand(solve(FD3,f(z))[1]);
FD32: lhs(FD1)^2=expand(rhs(FD3)^2);
FZ1: f(z)=taylor(f(z),z,a,3);
FZ2: f(a)=u[m]-%i*v[m];
FD33: subst([FZ1],FD32);
FCM: F[xm]-%i*F[ym]=-%i*\rho/2*(2*%pi*%i)
      *coeff(rhs(FD33),z-a,-1);
FC1: F[x]-%i*F[y]=rhs(FCS)+rhs(FCM);
subst([FZ2],FC1);
```

わき出しを囲む小さな円:  $M$  の積分について考える。

(5.4.30) 式のわき出しの項以外を  $f(z)$  と置き換えて、

$$\begin{aligned} \frac{d}{dz} F &= e^{-i\alpha} U + \frac{m}{z-a} - \frac{i\Gamma}{2\pi z} \\ &\quad - \frac{A_1}{z^2} - \frac{2A_2}{z^3} - \frac{3A_3}{z^4} - \frac{4A_4}{z^5} + \dots \\ &= f(z) + \frac{m}{z-a} \end{aligned}$$

$$\left(\frac{d}{dz} F\right)^2 = f(z)^2 + \frac{2mf(z)}{z-a} + \frac{m^2}{z^2 - 2az + a^2} + \dots$$

$f(z)$  を  $z = a$  で Taylor 展開すると、

$$\begin{aligned} f(z) &= f(a) + \left(\frac{d}{dz} f(z)\Big|_{z=a}\right) (z-a) \\ &\quad + \frac{\left(\frac{d^2}{dz^2} f(z)\Big|_{z=a}\right) (z-a)^2}{2} \\ &\quad + \frac{\left(\frac{d^3}{dz^3} f(z)\Big|_{z=a}\right) (z-a)^3}{6} + \dots \end{aligned}$$

また、 $z = a$  では、わき出しの項以外による流速:  $u_m, v_m$  となり、

$$f(a) = u_m - iv_m$$

$$\begin{aligned} \left(\frac{d}{dz} F\right)^2 &= \frac{m^2}{(z-a)^2} + \frac{2mf(a)}{z-a} \\ &\quad + \left(f(a)^2 + 2\left(\frac{d}{dz} f(z)\Big|_{z=a}\right) m\right) \\ &\quad + \left(2\left(\frac{d}{dz} f(z)\Big|_{z=a}\right) f(a)\right. \\ &\quad \left.+ \left(\frac{d^2}{dz^2} f(z)\Big|_{z=a}\right) m\right) (z-a) \end{aligned}$$

(5.4.29) 式のわき出しを囲む小さな円:  $M$  の積分項は、留数の定理から、

$$\begin{aligned} F_{xm} - iF_{ym} &= -\frac{i\rho}{2} \oint_M \left(\frac{d}{dz} F\right)^2 dz \\ &= -\frac{i\rho}{2} (2\pi i) (2mf(a)) \\ &= 2\pi f(a) m\rho \end{aligned} \tag{5.4.32}$$

(5.4.31) 式と (5.4.32) 式の和から、物体に作用する力は、

$$\begin{aligned} F_x - iF_y &= 2\pi f(a) m\rho \\ &\quad - \pi\rho \left(2e^{-i\alpha} mU - \frac{ie^{-i\alpha} \Gamma U}{\pi}\right) \\ &= 2\pi m (u_m - iv_m) \rho \\ &\quad - \pi\rho \left(2e^{-i\alpha} mU - \frac{ie^{-i\alpha} \Gamma U}{\pi}\right) \end{aligned} \tag{5.4.33}$$

```
MD2: expand(FD22*z);
MCS: M[xs]+%i*N[xs]=-\rho/2*(2*%pi*%i)
      *coeff(rhs(MD2),z,-1);
MD3: expand(FD33*z);
MCM: M[xm]+%i*N[xm]=\rho/2*(2*%pi*%i)
      *coeff(rhs(MD3),z-a,-1);
MC: M+%iN=rhs(MCS)+rhs(MCM);
subst([FZ2],MC);
```

物体に作用するモーメントは、(5.4.28) 式で与えられる。物体、わき出しを含む大きな円： $S$  の積分について、

$$\begin{aligned} z \left( \frac{d}{dz} F \right)^2 = & e^{-2i\alpha} z U^2 + \frac{2a e^{-i\alpha} m U}{z} - \frac{2A_1 e^{-i\alpha} U}{z} + \frac{2a^2 e^{-i\alpha} m U}{z^2} - \frac{4A_2 e^{-i\alpha} U}{z^2} \\ & - \frac{6A_3 e^{-i\alpha} U}{z^3} - \frac{8a_4 e^{-i\alpha} U}{z^4} + 2e^{-i\alpha} m U - \frac{i e^{-i\alpha} \Gamma U}{\pi} + \frac{m^2}{z} - \frac{i \Gamma m}{\pi z} - \frac{\Gamma^2}{4\pi^2 z} \\ & + \frac{2a m^2}{z^2} - \frac{i a \Gamma m}{\pi z^2} - \frac{2A_1 m}{z^2} + \frac{i A_1 \Gamma}{\pi z^2} \end{aligned}$$

大きな円： $S$  の積分項は、

$$i N_{xs} + M_{xs} = -i \pi \rho \left( 2a e^{-i\alpha} m U - 2A_1 e^{-i\alpha} U + m^2 - \frac{i \Gamma m}{\pi} - \frac{\Gamma^2}{4\pi^2} \right)$$

わき出しを囲む小さな円： $M$  の積分について、

$$\begin{aligned} z \left( \frac{d}{dz} F \right)^2 = & \frac{m^2 a}{(z-a)^2} + \frac{2f(a) m a + m^2}{z-a} + \left( \left( 2 \left( \frac{d}{dz} f(z) \right) \Big|_{z=a} \right) m + f(a)^2 \right) a + 2f(a) m \\ & + \left( \left( \left( \frac{d^2}{dz^2} f(z) \right) \Big|_{z=a} \right) m + 2 \left( \frac{d}{dz} f(z) \right) \Big|_{z=a} f(a) \right) a \\ & + 2 \left( \frac{d}{dz} f(z) \Big|_{z=a} \right) m + f(a)^2 \right) (z-a) \end{aligned}$$

わき出しを囲む小さな円： $M$  の積分項は、

$$i N_{xm} + M_{xm} = i \pi (m^2 + 2a f(a) m) \rho$$

積分項の和から、物体に作用するモーメントは、

$$\begin{aligned} M + i N = & i \pi (m^2 + 2a f(a) m) \rho - i \pi \rho \left( 2a e^{-i\alpha} m U - 2A_1 e^{-i\alpha} U + m^2 - \frac{i \Gamma m}{\pi} - \frac{\Gamma^2}{4\pi^2} \right) \\ = & i \pi (2a m (u_m - i v_m) + m^2) \rho - i \pi \rho \left( 2a e^{-i\alpha} m U - 2A_1 e^{-i\alpha} U + m^2 - \frac{i \Gamma m}{\pi} - \frac{\Gamma^2}{4\pi^2} \right) \end{aligned} \quad (5.4.34)$$

5.4.11 特異点に作用する力 (Blasius の定理の例)

流れの複素ポテンシャル:  $F_0$  の中で、座標原点に置いた、わき出し、渦糸、二重わき出しに作用する力を求める。

```
/* 特異点に作用する力 */
kill(all);
declare(z,complex);
declare(F,complex);
F0:U*e^(-i*\alpha)*z;
F1:m*log(z);
F2:%i*\Gamma/2/%pi*log(z);
F3:-%e^(%i*\beta)*\mu/z;
F4:A[2]*z^2+A[3]*z^3+A[4]*z^4;
F5:F=F0+F1+F2+F3+F4;
```

特異点を除いた流れの複素ポテンシャル:  $F_0$  を下記とする

$$F_0 = e^{-i\alpha} z U + A_4 z^4 + A_3 z^3 + A_2 z^2$$

```
/* 特異点に作用する力 (f(z) での表現) */
kill(all);
declare(z,complex);
declare(F,complex);
F00:f(z);
F01:taylor(F00,z,0,5);
F02:rest(F01,-1);
F0:coeff(F02,z,1)*z;
F1:m*log(z);
F2:-%i*\Gamma/2/%pi*log(z);
F3:-%e^(%i*\beta)*\mu/z;
F4:F02-F0;
F5:F=F0+F1+F2+F3+F4;
```

また、特異点を除いた流れの複素ポテンシャルを  $F_0 = f(z)$  の形で表現し、 $z = 0$  に特異点があるとき、この点で Taylor 展開すると、

$$F_0 = f(0) + \left( \frac{d}{dz} f(z) \Big|_{z=0} \right) z + \frac{\left( \frac{d^2}{dz^2} f(z) \Big|_{z=0} \right) z^2}{2} + \frac{\left( \frac{d^3}{dz^3} f(z) \Big|_{z=0} \right) z^3}{6} + \frac{\left( \frac{d^4}{dz^4} f(z) \Big|_{z=0} \right) z^4}{24} + \frac{\left( \frac{d^5}{dz^5} f(z) \Big|_{z=0} \right) z^5}{120} + \dots$$

とも表現できる。上記のプログラム部分を入れ替えるだけでこの表現での結果が得られる。以下の結果では、結論のみの標記とした。

(1) わき出しに作用する力

```
/* わき出しに作用する力 */
F=F0+F1+F4;
FD1:'diff(F,z,1)=diff((rhs(%)),z,1);
F[x]-%i*F[y]=%i*\rho/2*integrate(
('diff(F,z,1))^2,z);
FD21:lhs(FD1)^2=expand(rhs(FD1)^2);
FCS:F[xs]-%i*F[ys]=%i*\rho/2*(2*pi*i)
*coeff(rhs(FD21),z,-1);
FXS1:F[x]=expand(realpart(rhs(FCS)));
FYS1:F[y]=expand(-imagpart(rhs(FCS)));
MD1:FD21*z;
MD2:expand(rhs(MD1));
MCS:M[xs]+%i*N[xs]=-rho/2*(2*pi*i)
*coeff(MD2,z,-1);
MXS:M[xs]=expand(realpart(rhs(MCS)));
```

流れの複素ポテンシャル:  $F_0$  に、強さ:  $m$  のわき出しを加えた複素ポテンシャルは下記となる。

$$F = e^{-i\alpha} z U + m \log(z) + A_4 z^4 + A_3 z^3 + A_2 z^2$$

$$\begin{aligned} \frac{d}{dz} F &= e^{-i\alpha} U + 4 A_4 z^3 + 3 A_3 z^2 + 2 A_2 z + \frac{m}{z} \\ \left( \frac{d}{dz} F \right)^2 &= e^{-2i\alpha} U^2 + 8 A_4 e^{-i\alpha} z^3 U \\ &\quad + 6 A_3 e^{-i\alpha} z^2 U \\ &\quad + 4 A_2 e^{-i\alpha} z U + \frac{2 e^{-i\alpha} m U}{z} + 16 A_4^2 z^6 \\ &\quad + 24 A_3 A_4 z^5 + 16 A_2 A_4 z^4 + 9 A_3^2 z^4 \\ &\quad + 12 A_2 A_3 z^3 + 8 A_4 m z^2 + 4 A_2^2 z^2 \\ &\quad + 6 A_3 m z + \frac{m^2}{z^2} + 4 A_2 m \end{aligned}$$

Blasius の定理: (5.4.27) 式と留数定理から、

$$\begin{aligned} F_x - i F_y &= \frac{i\rho}{2} \oint \left( \frac{d}{dz} F \right)^2 dz \\ &= -2\pi e^{-i\alpha} m \rho U \\ &= -2\pi m \rho \left( \frac{d}{dz} f(z) \Big|_{z=0} \right) \end{aligned} \tag{5.4.35}$$

わき出しに作用する力は、

$$F_x = -2\pi \cos(\alpha) m \rho U, \quad F_y = -2\pi \sin(\alpha) m \rho U$$

原点まわりのモーメントについて、Blasius の定理:(5.4.28) 式と留数定理から、

$$\begin{aligned} M &= \Re_e \left( -\frac{\rho}{2} \oint z \left( \frac{d}{dz} F \right)^2 dz \right) \\ i N + M &= -i\pi m^2 \rho \end{aligned}$$

わき出しに作用する原点まわりのモーメントは、

$$M = 0 \quad (5.4.36)$$

## (2) 渦糸に作用する力

```
/* 渦糸に作用する力 */
F=F0+F2+F4;
FD1:'diff(F,z,1)=diff((rhs(%)),z,1);
F[x]-%i*F[y]=%i*\rho/2*integrate(
('diff(F,z,1))^2,z);
FD21:lhs(FD1)^2=expand(rhs(FD1)^2);
FCS:F[xs]-%i*F[ys]=%i*\rho/2*(2*pi*i)
*coeff(rhs(FD21),z,-1);
FXS1:F[xs]=expand(realpart(rhs(FCS)));
FYS1:F[ys]=expand(-imagpart(rhs(FCS)));
MD1:FD21*z;
MD2:expand(rhs(MD1));
MCS:M[xs]+%i*N[xs]=-rho/2*(2*pi*i)
*coeff(MD2,z,-1);
MXS:M[xs]=expand(realpart(rhs(MCS)));
```

流れの複素ポテンシャル： $F_0$  に、渦循環： $\Gamma$  の渦糸を加えた複素ポテンシャルは下記となる。

$$F = e^{-i\alpha} z U - \frac{i\Gamma \log(z)}{2\pi} + A_4 z^4 + A_3 z^3 + A_2 z^2$$

上記と同様の方法（プログラムも1行目のみ異なり、他は上記と同じ）で求めると、渦糸に作用する力は、

$$\begin{aligned} F_x - i F_y &= i e^{-i\alpha} \Gamma \rho U \\ &= i \Gamma \rho \left( \frac{d}{dz} f(z) \Big|_{z=0} \right) \end{aligned} \quad (5.4.37)$$

$$F_x = \sin(\alpha) \Gamma \rho U, \quad F_y = -\cos(\alpha) \Gamma \rho U$$

原点まわりのモーメントについて、

$$\begin{aligned} i N + M &= \frac{i \Gamma^2 \rho}{4\pi} \\ M &= 0 \end{aligned} \quad (5.4.38)$$

## (3) 二重わき出しに作用する力

```
/* 二重わき出しに作用する力 */
F=F0+F3+F4;
FD1:'diff(F,z,1)=diff((rhs(%)),z,1);
F[x]-%i*F[y]=%i*\rho/2*integrate(
('diff(F,z,1))^2,z);
FD21:lhs(FD1)^2=expand(rhs(FD1)^2);
FCS:F[xs]-%i*F[ys]=%i*\rho/2*(2*pi*i)
*coeff(rhs(FD21),z,-1);
FXS1:F[xs]=expand(realpart(rhs(FCS)));
FYS1:F[ys]=expand(-imagpart(rhs(FCS)));
MD1:FD21*z;
MD2:expand(rhs(MD1));
MCS:M[xs]+%i*N[xs]=-rho/2*(2*pi*i)
*coeff(MD2,z,-1);
MXS:M[xs]=expand(realpart(rhs(MCS)));
```

流れの複素ポテンシャル： $F_0$  に、強さ： $\mu$  の二重わき出しを加えた複素ポテンシャルは下記となる。

$$F = e^{-i\alpha} z U + A_4 z^4 + A_3 z^3 + A_2 z^2 - \frac{e^{i\beta} \mu}{z}$$

上記と同様の方法（プログラムも1行目のみ異なり、他は上記と同じ）で求めると、二重わき出しに作用する力は、下記に示すように  $A_2$  に比例している。これは速度勾配に関連したものである。

$$\begin{aligned} F_x - i F_y &= -4\pi A_2 e^{i\beta} \mu \rho \\ &= -2\pi e^{i\beta} \mu \rho \left( \frac{d^2}{dz^2} f(z) \Big|_{z=0} \right) \end{aligned} \quad (5.4.39)$$

$$F_x = -4\pi A_2 \cos(\beta) \mu \rho, \quad F_y = 4\pi A_2 \sin(\beta) \mu \rho$$

原点まわりのモーメントについて、

$$\begin{aligned} i N + M &= -2i\pi e^{i\beta-i\alpha} \mu \rho U \\ &= -2i\pi e^{i\beta} \mu \rho \left( \frac{d}{dz} f(z) \Big|_{z=0} \right) \end{aligned} \quad (5.4.40)$$

$$M = 2\pi \sin(\beta - \alpha) \mu \rho U$$

## 5.4.12 一様流中のわき出しと吸い込み

流速:  $U$  の一様な流れの中で、 $x$  軸上の  $x = -a$  に強さ:  $m$  のわき出しを、 $x = a$  に強さ:  $-m$  の吸い込みを、置いたときの流れを求める。

```
/* 一様流中のわき出しと吸い込み */
kill(all);
declare(z,complex);
declare(F,complex);
assume(r>0);
assume(U>0);
assume(m>0);
assume(a>0);
assume(b>0);
assume(b>a);
F1:F=U*z+m*log(z+a)-m*log(z-a);
FD1:'diff(F,z,1)=diff(rhs(F1),z,1);
FD2:rhs(FD1)=0;
Z1:solve(FD2,z)[1];
Z11:subst([z=x[0]+%i*y[0]],Z1);
Z12:realpart(Z11);
B1:b^2=rhs(Z12)^2;
Z13:imagpart(Z11);
F2:subst([z=x+%i*y],F1);
PS1:\Psi=imagpart(rhs(F2));
PS10:subst([x=b,y=0],PS1);
PS11:subst([U=1,m=1,a=1],PS1);
```

一様な流れの複素ポテンシャルは (5.4.10) 式から、わき出しの複素ポテンシャルは (5.4.11) 式から一様な流れの中のわき出しと吸い込みの流れの複素ポテンシャルとして下記を得る。

$$F = zU + m \log(z + a) - m \log(z - a)$$

先端のよどみ点では、流速が零であるから、

$$\frac{d}{dz} F = U + \frac{m}{z+a} - \frac{m}{z-a} = 0$$

よどみ点の位置:  $x_0, y_0$  は、

$$z = -\frac{\sqrt{a} \sqrt{aU + 2m}}{\sqrt{U}}$$

$$iy_0 + x_0 = -\frac{\sqrt{a} \sqrt{aU + 2m}}{\sqrt{U}}$$

$$x_0 = -\frac{\sqrt{a} \sqrt{aU + 2m}}{\sqrt{U}}, \quad y_0 = 0$$

$$b^2 = \frac{a(aU + 2m)}{U}$$

流れ関数:  $\Psi$  を  $x, y$  座標で表記すると、

$$F = \Phi + i\Psi = (iy + x)U + m \log(iy + x + a) - m \log(iy + x - a)$$

$$\Psi = yU + m \operatorname{atan2}(y, x + a) - m \operatorname{atan2}(y, x - a)$$

よどみ点の上記の位置を代入すると、物体表面の流れ関数の値が得られ、

$$\Psi = 0$$

上記の結果から、 $U = 1, m = 1, a = 1$  として、gnuplot を用いて流線を求めた結果を下記に示す。

```
#!/gnuplot
set xrange [-4:4]
set yrange [-3:3]
set isosamples 150,150
set contour base
set cntrparam levels incremental -10,0.2,10
unset key
unset surface
set view map
splot atan2(y,x+1)-atan2(y,x-1)+y
# EOF
```

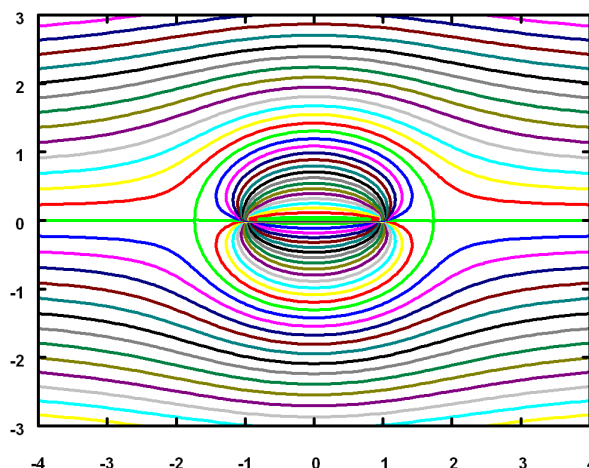


図 5.4.13: 一様流中のわき出しと吸い込みまわりの流れ

5.4.13 一様流中の円柱まわりの流れ

$x$  軸と  $\alpha$  の角度を持ち、流速： $U$  の一様な流れの中に、半径： $A$  の円柱を置いたときの流れを求める。また、円の中心に渦循環： $-\Gamma$  を置いた場合の円柱まわりの流れ、円柱に作用する力を求める。

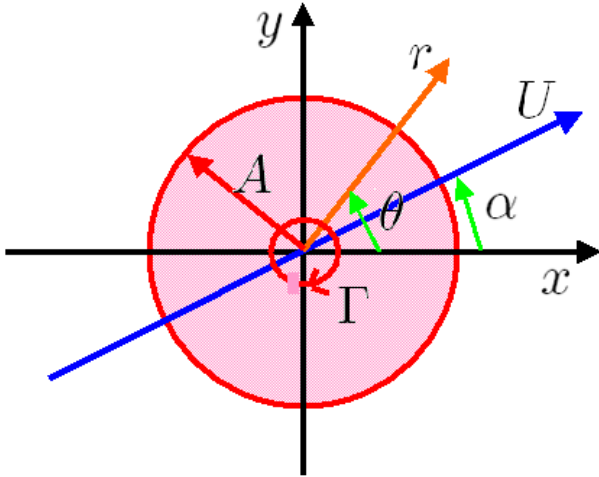


図 5.4.14: 一様流中の円柱まわりの流れ

```

/* 円柱まわりの流れと作用力 (xmaxima) */
kill(all);
load("plotdf")
declare(z,complex);
declare(F,complex);
assume(r>0);
F0:U*e^(-%i*\alpha)*z;
subst([z=A^2/conjugate(z)],F0);
F1:conjugate(%);
F2:%i*\Gamma/2/%pi*log(z);
F3:F=F0+F1+F2;
F4:subst([z=r*e^(%i*\theta)],F3);
PH1:\Phi=realpart(rhs(F4));
PS1:\Psi=imagpart(rhs(F4));
F5:F4:subst([z=x+%i*y],F3);
PH2:\Phi=realpart(rhs(F5));
PS2:\Psi=imagpart(rhs(F5));

```

一様流の複素関数： $F_0$  は下記となる。

$$F_0 = e^{-i\alpha} z U$$

この流れの中に円柱を置いたときの複素関数： $F_1$  は、円定理の (5.4.19) 式から、

$$F_1 = \bar{f}\left(\frac{R^2}{z}\right) = \overline{f\left(\frac{R^2}{\bar{z}}\right)}$$

一様流の複素関数： $F_0$  で

$$z \rightarrow \frac{A^2}{\text{conjugate}(z)}$$

に置き換えて、

$$F_1 = \overline{\left(\frac{e^{-i\alpha} A^2 U}{\text{conjugate}(z)}\right)} = \frac{e^{i\alpha} A^2 U}{z}$$

渦循環の複素関数： $F_2$  は (5.4.13) 式から

$$F_2 = \frac{i\Gamma \log(z)}{2\pi}$$

以上から、全体の流れの複素関数： $F$  は、

$$F = F_0 + F_1 + F_2 = \frac{e^{i\alpha} A^2 U}{z} + e^{-i\alpha} z U + \frac{i\Gamma \log(z)}{2\pi} = \Phi + i\Psi \tag{5.4.41}$$

極座標表記： $z = r e^{i\theta}$  を上式に代入し、実部および虚部を取り、速度ポテンシャル： $\Phi$ 、流れ関数： $\Psi$  は、

$$\Phi = \frac{\cos(\theta - \alpha) A^2 U}{r} + r \cos(\theta - \alpha) U - \frac{\Gamma \theta}{2\pi} \tag{5.4.42}$$

$$\Psi = -\frac{\sin(\theta - \alpha) A^2 U}{r} + r \sin(\theta - \alpha) U + \frac{\Gamma \log(r)}{2\pi} \tag{5.4.43}$$

$xy$  座標表記： $z = iy + x$  を (5.4.41) 式に代入し、実部および虚部を取り、速度ポテンシャル： $\Phi$ 、流れ関数： $\Psi$  は、

$$\Phi = \frac{(\sin(\alpha) y + \cos(\alpha) x) A^2 U}{y^2 + x^2} + (\sin(\alpha) y + \cos(\alpha) x) U - \frac{\Gamma \text{atan2}(y, x)}{2\pi} \tag{5.4.44}$$

$$\Psi = \frac{(\sin(\alpha) x - \cos(\alpha) y) A^2 U}{y^2 + x^2} + (\cos(\alpha) y - \sin(\alpha) x) U + \frac{\Gamma \log(y^2 + x^2)}{4\pi} \tag{5.4.45}$$

```

VT1:v[\theta]='diff(\Phi,\theta,1)/r;
subst([PH1],VT1);
ev(%,diff);
VT2:expand(subst([r=A],%));
P0:p[0]+\rho/2*U^2=p+\rho/2*v[\theta]^2;
solve(P0,p)[1];
P1:subst([VT2],%);
FX1:F[x]=-'integrate(rhs(P1)*cos(\theta)*A,\theta,0,2*pi);
FY1:F[y]=-'integrate(rhs(P1)*sin(\theta)*A,\theta,0,2*pi);
factor(ev(FX1,integrate));
factor(ev(FY1,integrate));
P2:(lhs(P1)-p[0])/(1/2*\rho*U^2)=(rhs(P1)-p[0])/(1/2*\rho*U^2);
P3:lhs(P2)=expand(rhs(P2));
P4:subst([\Gamma=0],P3);

```

円柱に作用する力を求める。 $r = A$ における円柱表面の流速  $v_\theta$  は、

$$\begin{aligned} v_\theta &= \frac{d\Phi}{r} \\ &= \frac{-\frac{\sin(\theta-\alpha)A^2U}{r} - r\sin(\theta-\alpha)U - \frac{\Gamma}{2\pi}}{r} \quad (5.4.46) \\ &= -2\sin(\theta-\alpha)U - \frac{\Gamma}{2\pi A} \end{aligned}$$

下記に Bernoulli の定理から、

$$\frac{\rho U^2}{2} + p_0 = \frac{\rho v_\theta^2}{2} + p$$

円柱表面の圧力 :  $p$  は

$$\begin{aligned} p &= \frac{\rho U^2 - \rho v_\theta^2 + 2p_0}{2} \\ &= \frac{-\rho(-2\sin(\theta-\alpha)U - \frac{\Gamma}{2\pi A})^2 + \rho U^2 + 2p_0}{2} \end{aligned}$$

円柱に作用する力は、圧力 :  $p$  を円周方向に積分して、

$$F_x = -\int_0^{2\pi} p \cos(\theta) A d\theta, \quad F_y = -\int_0^{2\pi} p \sin(\theta) A d\theta$$

上式に圧力 :  $p$  を代入し、まとめ、円柱に作用するとは下記となる。

$$F_x = -\sin(\alpha) \Gamma \rho U, \quad F_y = \cos(\alpha) \Gamma \rho U$$

円柱の圧力分布は、

$$\begin{aligned} \frac{2(p-p_0)}{\rho U^2} &= -\frac{2\Gamma \sin(\theta-\alpha)}{\pi A U} - \frac{\Gamma^2}{4\pi^2 A^2 U^2} \\ &\quad - 4\sin(\theta-\alpha)^2 + 1 \end{aligned}$$

渦循環がない場合の円柱の圧力分布は、

$$\frac{2(p-p_0)}{\rho U^2} = 1 - 4\sin(\theta-\alpha)^2$$

```
FD1:diff(rhs(F3),z,1);
FD2:subst([z=x+i*y],FD1);
VX1:realpart(FD2);
VY1:-imagpart(FD2);
VX2:subst([\alpha=0,A=1,U=1,\Gamma=14,
\theta=t],VX1);
VY2:subst([\alpha=0,A=1,U=1,\Gamma=14,
\theta=t],VY1);
plotdf([VX2,VY2],[x,-4,4],[y,-4,4])
PS31:subst([\alpha=0,A=1,U=1,\Gamma=0],
PS2);
PS32:subst([\alpha=0,A=1,U=1,\Gamma=7],
PS2);
PS33:subst([\alpha=0,A=1,U=1,\Gamma=14],
PS2);
```

流速は複素関数を微分して、下記のように得られる。この結果から Maxima の流向を表示できる plotdf では、 $xy$  座標表記が要求されるので、表現式も  $xy$  座標表記とした。

$$\begin{aligned} \frac{d}{dz} F &= -\frac{e^{i\alpha} A^2 U}{z^2} + e^{-i\alpha} U + \frac{i\Gamma}{2\pi z} \\ &= -\frac{e^{i\alpha} A^2 U}{(iy+x)^2} + e^{-i\alpha} U + \frac{i\Gamma}{2\pi(iy+x)} \\ &= v_x - i v_y \end{aligned}$$

$$\begin{aligned} v_x &= -\frac{(\cos(\alpha)(x^2-y^2) + 2\sin(\alpha)xy)A^2U}{(y^2+x^2)^2} \\ &\quad + \cos(\alpha)U + \frac{\Gamma y}{2\pi(y^2+x^2)} \end{aligned}$$

$$\begin{aligned} v_y &= \frac{(\sin(\alpha)(x^2-y^2) - 2\cos(\alpha)xy)A^2U}{(y^2+x^2)^2} \\ &\quad + \sin(\alpha)U - \frac{\Gamma x}{2\pi(y^2+x^2)} \end{aligned}$$

流線については、各点における流れ関数の値を求め、同じ値のところを結ぶ：等高線図を求めると流線となる。しかし、Maxima の作図機能ではうまく描けなかったので、gnuplot を使用して描いた。下記は gnuplot で使用する流れ関数を求めた。

$$\Psi = y - \frac{y}{y^2+x^2} \quad (\Gamma = 0)$$

$$\Psi = \frac{7 \log(y^2+x^2)}{4\pi} - \frac{y}{y^2+x^2} + y \quad (\Gamma = 7)$$

$$\Psi = \frac{7 \log(y^2+x^2)}{2\pi} - \frac{y}{y^2+x^2} + y \quad (\Gamma = 14)$$

gnuplot を起動させ、下記を入力すると流れ関数の等高線図：流線が得られる。

```
#!/gnuplot
set xrange [-3:3]
set yrange [-3:3]
set isosamples 150,150
set contour base
set cntrparam levels incremental -3,0.2,4
unset key
unset surface
set view map
splot (7*log(y**2+x**2))/(2*pi)
-y/(y**2+x**2)+y
# EOF
```

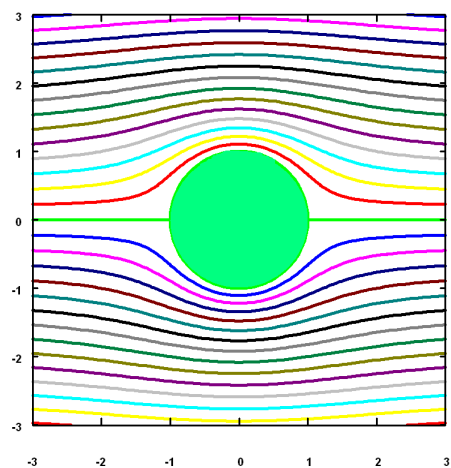


図 5.4.15: 一様流中の円柱まわりの流れ関数:  $\alpha = 0, A = 1, U = 1, \Gamma = 0$

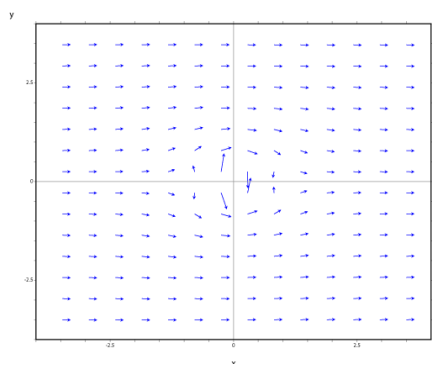


図 5.4.16: 一様流中の円柱まわりの流向:  $\alpha = 0, A = 1, U = 1, \Gamma = 0$

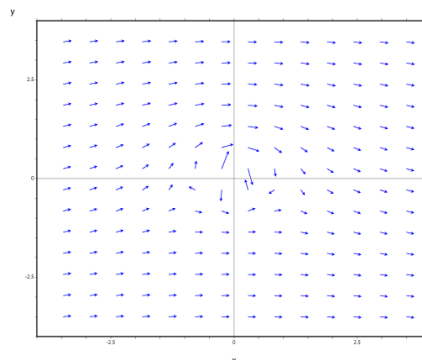


図 5.4.18: 一様流中の円柱まわりの流向:  $\alpha = 0, A = 1, U = 1, \Gamma = 7$

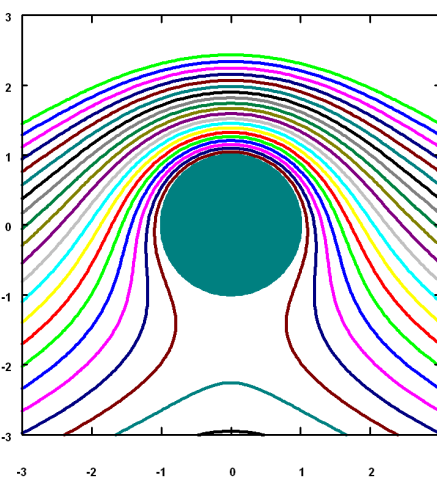


図 5.4.19: 一様流中の円柱まわりの流れ関数:  $\alpha = 0, A = 1, U = 1, \Gamma = 14$

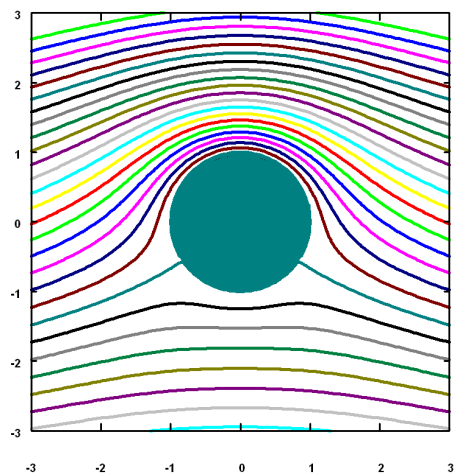


図 5.4.17: 一様流中の円柱まわりの流れ関数:  $\alpha = 0, A = 1, U = 1, \Gamma = 7$

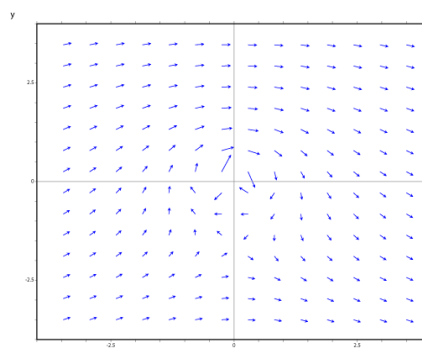


図 5.4.20: 一様流中の円柱まわりの流向:  $\alpha = 0, A = 1, U = 1, \Gamma = 14$



5.4.14 一様流中の楕円柱まわりの流れ・作用力・運動エネルギー (Joukowski 変換)

$x$  軸と  $\alpha$  の角度を持ち、流速:  $U$  の一様な流れの中に、半軸:  $a, b$  の楕円柱を置いたときの流れを  $z$  平面の楕円外部領域を  $\zeta$  平面の半径:  $R$  の円外部領域に写像変換: Joukowski 変換することにより求める。

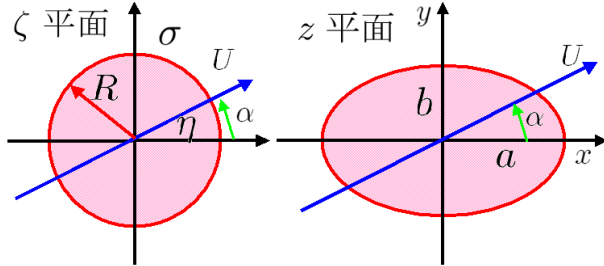


図 5.4.21: 一様流中の楕円柱まわりの流れ (Joukowski 変換)

```
/* 楕円柱まわりの流れ (Joukowski 変換) */
kill(all);
declare(z,complex);
declare(F,complex);
declare(\zeta,complex);
assume(a>0);
assume(b>0);
assume(\sigma>0);
assume(z^2>A^2);
Z0:z=x+i*y;
Z1:z=\zeta+A^2/\zeta;
ZT1:\zeta=\sigma*e^(i*\eta);
ZT2:\zeta=R*e^(i*\eta);
F0:U*e^(-i*\alpha)*\zeta;
subst([\zeta=R^2/conjugate(\zeta)],F0);
F1:conjugate(%);
F3:F=F0+F1;
F4:subst([ZT1],F3);
```

写像関数を下記とする。

$$z = \zeta + \frac{A^2}{\zeta} \quad (5.4.47)$$

(5.4.41) 式から  $\zeta$  平面で流速:  $U$  の一様な流れの中に半径:  $R$  の円柱を置いたときの複素ポテンシャルは下記となる。

$$F = e^{-i\alpha} U \zeta + \frac{e^{i\alpha} R^2 U}{\zeta} \quad (5.4.48)$$

```
Z2:subst([ZT2,Z0],Z1);
X1:realpart(Z2);
Y1:imagpart(Z2);
C01:solve(X1,cos(\eta))[1];
SI1:solve(Y1,sin(\eta))[1];
COSI1:cos(\eta)^2+sin(\eta)^2=1;
COSI2:subst([C01,SI1],COSI1);
COSI3:x^2/a^2+y^2/b^2=1;
A1:first(lhs(COSI2))=last(lhs(COSI3));
B1:last(lhs(COSI2))=first(lhs(COSI3));
A2:solve(A1,a)[2];
B2:solve(B1,b)[2];
AB1:solve([A1,B1],[R,A])[2];
R2:AB1[1];
A2:AB1[2];
```

$R, A$  と  $a, b$  の関係式を求める。(5.4.47) 式に下記の関係式を代入し、

$$\zeta = e^{i\eta} \sigma, \quad z = iy + x$$

境界である  $\sigma = R$  とし下記を得る。

$$iy + x = e^{i\eta} R + \frac{e^{-i\eta} A^2}{R}$$

上式の実部、虚部から、

$$x = \cos(\eta) R + \frac{\cos(\eta) A^2}{R}$$

$$y = \sin(\eta) R - \frac{\sin(\eta) A^2}{R}$$

下記の関係式に代入し、

$$\sin(\eta)^2 + \cos(\eta)^2 = 1$$

下記の楕円の関係式を得る。

$$\frac{x^2 R^2}{(R^2 + A^2)^2} + \frac{y^2 R^2}{(R^2 - A^2)^2} = 1$$

半軸:  $a, b$  の楕円の関係式から、

$$\frac{y^2}{b^2} + \frac{x^2}{a^2} = 1$$

$R, A$  と  $a, b$  の関係は下記となる。

$$R = \frac{b+a}{2}, \quad A = \frac{\sqrt{a^2 - b^2}}{2} \quad (5.4.49)$$

## (1) 複素ポテンシャルと流れ関数

```

ZT20:solve(Z1,\zeta);
ZT21:ZT20[1];
ZT22:ZT20[2];
ZT23:(rhs(ZT21)*rhs(ZT22));
ZT23=expand(ZT23);
ZT24:%/rhs(ZT21)*2;
F40:subst([ZT22],F0);
F41:subst([ZT22],F1);
F42:subst([ZT24],%);
F43:F=F40+F41;
F44:F=F40+F42;
SQ1:sqrt(z^2-4*A^2)+z;
SQ11:SQ1=z*(1+sqrt(1-4*A^2/z^2));
SQ3:1/SQ1;
SQ5:sqrt(z^2-4*A^2)-z;
SQ51:SQ5=z*(sqrt(1-4*A^2/z^2)-1);
F401:subst([SQ11],F40);
F411:subst([SQ11],F41);
F421:subst([SQ51],F42);
F431:F=F401+F411;
F441:F=F401+F421;
PS1:\Psi=imagpart(subst([z=x+%i*y,R2,A2],
    ,rhs(F431)));
subst([a=2,b=1,U=1,\alpha=%pi/6],PS1);
trigsimp(%);
PS2:\Psi=imagpart(subst([z=x+%i*y,R2,A2],
    ,rhs(F441)));
trigsimp(%);
subst([a=2,b=1,U=1,\alpha=%pi/6],PS2);
trigsimp(%);

```

(5.4.47) 式を  $\zeta$  で解くと、

$$\zeta = -\frac{\sqrt{z^2 - 4A^2} - z}{2} \quad (5.4.50)$$

$$\zeta = \frac{\sqrt{z^2 - 4A^2} + z}{2} \quad (5.4.51)$$

外部領域である  $z^2 \gg A^2$  では、(5.4.51) 式が外部領域に対応していることが明らかで、この式を (5.4.48) 式の  $\zeta$  平面の複素ポテンシャルに代入し、 $z$  平面の複素ポテンシャルを下記に得る。

$$F = \frac{2e^{i\alpha} R^2 U}{\sqrt{z^2 - 4A^2} + z} + \frac{e^{-i\alpha} (\sqrt{z^2 - 4A^2} + z) U}{2} \quad (5.4.52)$$

下記に關係から、

$$-\frac{(\sqrt{z^2 - 4A^2} - z)(\sqrt{z^2 - 4A^2} + z)}{4} = A^2$$

次式が得られる。

$$\sqrt{z^2 - 4A^2} + z = -\frac{4A^2}{\sqrt{z^2 - 4A^2} - z}$$

上式を (5.4.52) 式に代入し、別の  $z$  平面の複素ポテンシャルを得る。

$$F = \frac{e^{-i\alpha} (\sqrt{z^2 - 4A^2} + z) U}{2} - \frac{e^{i\alpha} (\sqrt{z^2 - 4A^2} - z) R^2 U}{2A^2} \quad (5.4.53)$$

級数展開するのに便利のように、下記の關係式を

$$\sqrt{z^2 - 4A^2} + z = z \left( \sqrt{1 - \frac{4A^2}{z^2}} + 1 \right)$$

$$\sqrt{z^2 - 4A^2} - z = z \left( \sqrt{1 - \frac{4A^2}{z^2}} - 1 \right)$$

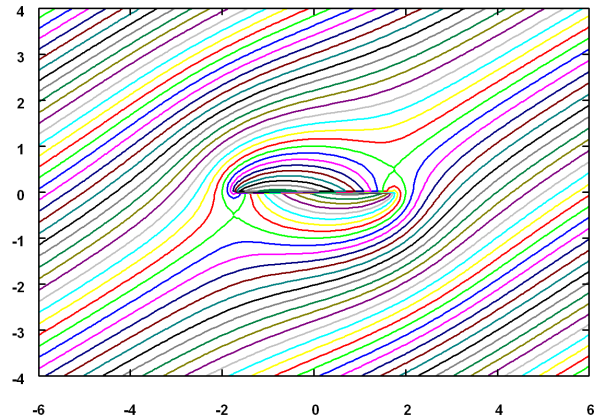


図 5.4.22: 一様流中の楕円柱まわりの流れ (Joukowski 変換)(5.4.54) 式による:  $\alpha = 30^\circ, a = 2, b = 1, U = 1$

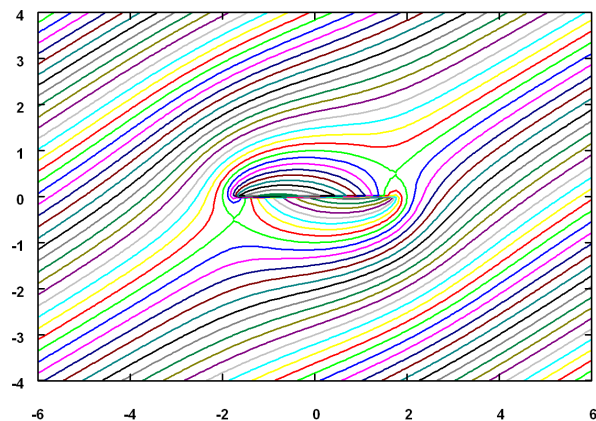


図 5.4.23: 一様流中の楕円柱まわりの流れ (Joukowski 変換)(5.4.55) 式による:  $\alpha = 30^\circ, a = 2, b = 1, U = 1$

(5.4.52) 式に代入し、

$$F = \frac{2 e^{i\alpha} R^2 U}{z \left( \sqrt{1 - \frac{4A^2}{z^2}} + 1 \right)} + \frac{e^{-i\alpha} z \left( \sqrt{1 - \frac{4A^2}{z^2}} + 1 \right) U}{2} \quad (5.4.54)$$

(5.4.53) 式に代入し、

$$F = \frac{e^{-i\alpha} z \left( \sqrt{1 - \frac{4A^2}{z^2}} + 1 \right) U}{2} - \frac{e^{i\alpha} z \left( \sqrt{1 - \frac{4A^2}{z^2}} - 1 \right) R^2 U}{2A^2} \quad (5.4.55)$$

流れ関数は  $z = iy + x$  を複素ポテンシャルの式に代入し、その虚部として得られる。(5.4.54) 式の複素ポテンシャルから得られる流れ関数は記述が長いので省く。(5.4.55) 式の複素ポテンシャルから得られる流れ関数を下記に示す。

$$\begin{aligned} \Psi = & \left( (y^4 + (2x^2 - 2b^2 + 2a^2)y^2 + x^4 + (2b^2 - 2a^2)x^2 + b^4 - 2a^2b^2 + a^4)^{\frac{1}{4}} \right. \\ & \times \left( (a \sin(\alpha)y - \cos(\alpha)bx) \sin \left( \frac{\operatorname{atan2} \left( \frac{(2b^2 - 2a^2)xy}{y^4 + 2x^2y^2 + x^4}, \frac{y^4 + (2x^2 - b^2 + a^2)y^2 + x^4 + (b^2 - a^2)x^2}{y^4 + 2x^2y^2 + x^4} \right)}{2} \right) \right. \\ & \left. \left. + (\cos(\alpha)by + a \sin(\alpha)x) \cos \left( \frac{\operatorname{atan2} \left( \frac{(2b^2 - 2a^2)xy}{y^4 + 2x^2y^2 + x^4}, \frac{y^4 + (2x^2 - b^2 + a^2)y^2 + x^4 + (b^2 - a^2)x^2}{y^4 + 2x^2y^2 + x^4} \right)}{2} \right) \right) \right) U \\ & + (-a \cos(\alpha)y - \sin(\alpha)bx) (y^4 + 2x^2y^2 + x^4)^{\frac{1}{4}} U \Big/ \left( (b-a) (y^4 + 2x^2y^2 + x^4)^{\frac{1}{4}} \right) \end{aligned}$$

上記の流れ関数から得られる流線を前頁に示す。

## (2) 楕円柱に作用する力

```
/* 作用する力 */
DF43: 'diff(F,z,1)=diff(rhs(F431),z,1);
DF431: first(rhs(DF43));
DF432: last(rest(rhs(DF43),-2));
DF433: first(rest(rhs(DF43),2));
DF434: last(rhs(DF43));
SQR1: 1/(sqrt(1-(4*A^2)/z^2)+1);
SQR1=rest(taylor(SQR1,A,0,8),-1);
SQR11: 1/%;
DF4311: expand(subst([SQR11],DF431));
SQR2: 1/(sqrt(1-(4*A^2)/z^2)*(sqrt(1-(4*A^2)/z^2)+1)^2);
SQR2=rest(taylor(SQR2,A,0,8),-1);
DF4321: expand(num(DF432)*rhs(%)/z^4);
SQR3: sqrt(1-(4*A^2)/z^2)+1;
SQR31: SQR3=rest(taylor(SQR3,A,0,8),-1);
DF4331: expand(subst([SQR31],DF433));
SQR4: 1/(sqrt(1-(4*A^2)/z^2));
SQR4=rest(taylor(SQR4,A,0,8),-1);
SQR41: 1/%;
DF4341: expand(subst([SQR41],DF434));
```

```
DF435: 'diff(F,z,1)=DF4311+DF4321+DF4331
+DF4341;
DF436: expand(rhs(DF435)^2);
F[x]-%i*F[Y]=%i*\rho/2*(2*pi*i)
*residue(% ,z,0);
DF437: expand(rhs(DF435)^2*z);
M+%i*N=-\rho/2*(2*pi*i)*residue(% ,z,0);
realpart(%);
factor(trigexpand(%));
subst([A2],%);
```

(5.4.54) 式の複素ポテンシャルを  $z$  で微分し、

$$\begin{aligned} \frac{d}{dz} F = & - \frac{2 e^{i\alpha} R^2 U}{z^2 \left( \sqrt{1 - \frac{4A^2}{z^2}} + 1 \right)} \\ & - \frac{8 e^{i\alpha} A^2 R^2 U}{z^4 \sqrt{1 - \frac{4A^2}{z^2}} \left( \sqrt{1 - \frac{4A^2}{z^2}} + 1 \right)^2} \\ & + \frac{e^{-i\alpha} \left( \sqrt{1 - \frac{4A^2}{z^2}} + 1 \right) U}{2} + \frac{2 e^{-i\alpha} A^2 U}{z^2 \sqrt{1 - \frac{4A^2}{z^2}}} \end{aligned}$$

上式の下記の部分に級数展開し、

$$\frac{1}{\sqrt{1-\frac{4A^2}{z^2}}+1} = \frac{5A^6}{2z^6} + \frac{A^4}{z^4} + \frac{A^2}{2z^2} + \frac{1}{2}, \quad \frac{1}{\sqrt{1-\frac{4A^2}{z^2}}\left(\sqrt{1-\frac{4A^2}{z^2}}+1\right)^2} = \frac{14A^6}{z^6} + \frac{15A^4}{4z^4} + \frac{A^2}{z^2} + \frac{1}{4}$$

$$\sqrt{1-\frac{4A^2}{z^2}}+1 = -\frac{4A^6}{z^6} - \frac{2A^4}{z^4} - \frac{2A^2}{z^2} + 2, \quad \frac{1}{\sqrt{1-\frac{4A^2}{z^2}}} = \frac{20A^6}{z^6} + \frac{6A^4}{z^4} + \frac{2A^2}{z^2} + 1$$

上記展開式を代入し、

$$\begin{aligned} \frac{d}{dz} F = & -\frac{112e^{i\alpha}A^8R^2U}{z^{10}} - \frac{35e^{i\alpha}A^6R^2U}{z^8} - \frac{10e^{i\alpha}A^4R^2U}{z^6} - \frac{3e^{i\alpha}A^2R^2U}{z^4} - \frac{e^{i\alpha}R^2U}{z^2} \\ & + \frac{40e^{-i\alpha}A^8U}{z^8} + \frac{10e^{-i\alpha}A^6U}{z^6} + \frac{3e^{-i\alpha}A^4U}{z^4} + \frac{e^{-i\alpha}A^2U}{z^2} + e^{-i\alpha}U \end{aligned} \quad (5.4.56)$$

(5.4.27) 式に (5.4.56) 式を代入し、楕円柱に作用する力:  $F_x, F_y$  は、

$$F_x - iF_y = \frac{i\rho}{2} \oint \left( \frac{d}{dz} F \right)^2 dz = 0 \quad (5.4.57)$$

(5.4.28) 式に (5.4.56) 式を代入し、楕円柱に作用するモーメント:  $M$  は、

$$\begin{aligned} M = \Re_e \left( -\frac{\rho}{2} \oint z \left( \frac{d}{dz} F \right)^2 dz \right) \\ = -\pi \cos(\alpha) \sin(\alpha) (a^2 - b^2) \rho U^2 \end{aligned} \quad (5.4.58)$$

```
DF44: 'diff(F,z,1)=diff(rhs(F441),z,1);
DF441:first(rhs(DF44));
DF442:last(rest(rhs(DF44),-2));
DF443:first(rest(rhs(DF44),2));
DF444:last(rhs(DF44));
SQR5:sqrt(1-(4*A^2)/z^2);
SQR51:SQR5=rest(taylor(SQR5,A,0,8),-1);
DF4411:expand(subst([SQR51],DF441));
DF4421:expand(subst([SQR41],DF442));
DF4431:expand(subst([SQR51],DF443));
DF4441:expand(subst([SQR41],DF444));
DF445: 'diff(F,z,1)=DF4411+DF4421+DF4431
+DF4441;
DF446:expand(rhs(DF445)^2);
F[x]-%i*F[y]=%i*\rho/2*(2*pi*i)
*residue(%,z,0);
DF447:expand(rhs(DF445)^2*z);
M+%i*N=-\rho/2*(2*pi*i)*residue(%,z,0);
realpart(%)
factor(trigexpand(%%));
subst([A2],%);
```

上式の下記の部分に級数展開し、

$$\sqrt{1-\frac{4A^2}{z^2}} = -\frac{4A^6}{z^6} - \frac{2A^4}{z^4} - \frac{2A^2}{z^2} + 1$$

上記展開式および前述の展開式を代入し、

$$\begin{aligned} \frac{d}{dz} F = & -\frac{40e^{i\alpha}A^6R^2U}{z^8} - \frac{10e^{i\alpha}A^4R^2U}{z^6} \\ & - \frac{3e^{i\alpha}A^2R^2U}{z^4} - \frac{e^{i\alpha}R^2U}{z^2} \\ & + \frac{40e^{-i\alpha}A^8U}{z^8} + \frac{10e^{-i\alpha}A^6U}{z^6} \\ & + \frac{3e^{-i\alpha}A^4U}{z^4} + \frac{e^{-i\alpha}A^2U}{z^2} + e^{-i\alpha}U \end{aligned} \quad (5.4.59)$$

(5.4.27) 式に (5.4.59) 式を代入し、楕円柱に作用する力:  $F_x, F_y$  および (5.4.28) 式に (5.4.59) 式を代入し、楕円柱に作用するモーメント:  $M$  は前述の結果と一致する。この結果から、楕円柱に作用する力は零で、モーメントは時計回りで迎角をさらにつける方向に作用している。

## (3) 運動エネルギー

```

/* 運動エネルギー */
F11:F=F0+F1-U*e^(-i*\alpha)*z;
expand(subst([Z1],F11));
F12:expand(subst([ZT1],%));
PH1:\Phi=realpart(rhs(F12));
PS1:\Psi=imagpart(rhs(F12));
DPS1:'diff(\Psi,\eta)=diff(rhs(PS1),
\eta,1);
PHS1:rhs(PH1)*rhs(DPS1);
PHS2:subst([\sigma=R],PHS1);
T1:T=-rho/2*integrate(PHS2,\eta,0,2*pi);
subst([A2,R2],T1);
trigexpand(%);
T2:factor(%);
T3:factor(subst([\cos(\alpha)=V[x]/U,
sin(\alpha)=V[y]/U,U^2=V[x]^2+V[y]^2],
T2));

```

運動エネルギーは次式で得られる。ここで  $\frac{d}{dn} \Phi = -\frac{d}{ds} \Psi$  から次式となる。ここで流体を囲む、無限遠の積分： $\infty$  と物体表面の積分： $B$  になるが、無限遠の積分は零となるので、物体表面の積分のみが残る。

$$\begin{aligned}
T &= \frac{\rho}{2} \iint \left( \frac{d}{dy} \Phi \right)^2 + \left( \frac{d}{dx} \Phi \right)^2 dx dy \\
&= -\frac{\rho}{2} \oint \Phi \frac{d}{dn} \Phi ds \\
&= \frac{\rho}{2} \oint_{\infty} \Phi d\Psi - \frac{\rho}{2} \oint_B \Phi d\Psi
\end{aligned} \tag{5.4.60}$$

積分の容易さから、 $\zeta$  平面の複素ポテンシャルを使用する。上式から運動エネルギーの計算に使用する複素ポテンシャルは一様流成分を除く必要があり、(5.4.48) 式にその成分を引き、次式となる。さらに写像関数：(5.4.47) 式から、

$$F = e^{-i\alpha} U \zeta + \frac{e^{i\alpha} R^2 U}{\zeta} - e^{-i\alpha} z U = \frac{e^{i\alpha} R^2 U}{\zeta} - \frac{e^{-i\alpha} A^2 U}{\zeta}$$

$\zeta = e^{i\eta} \sigma$ , を代入し、

$$F = \Phi + i\Psi = \frac{e^{i\alpha-i\eta} R^2 U}{\sigma} - \frac{e^{-i\eta-i\alpha} A^2 U}{\sigma}$$

上式から、速度ポテンシャル： $\Phi$ 、流れ関数： $\Psi$  は、

$$\Phi = \frac{\cos(\eta - \alpha) R^2 U}{\sigma} - \frac{\cos(\eta + \alpha) A^2 U}{\sigma}, \quad \Psi = \frac{\sin(\eta + \alpha) A^2 U}{\sigma} - \frac{\sin(\eta - \alpha) R^2 U}{\sigma}$$

$$\frac{d}{d\eta} \Psi = \frac{\cos(\eta + \alpha) A^2 U}{\sigma} - \frac{\cos(\eta - \alpha) R^2 U}{\sigma}$$

運動エネルギーは上式を (5.4.60) 式に代入し、

$$T = -\frac{\rho}{2} \int_0^{2\pi} \Phi \frac{d}{d\eta} \Psi d\eta = -\frac{\pi \left( \sin(\alpha)^2 b^2 - \cos(\alpha)^2 b^2 - b^2 - a^2 \sin(\alpha)^2 + a^2 \cos(\alpha)^2 - a^2 \right) \rho U^2}{4}$$

一様流速： $U$  の  $x$  成分： $V_x$ 、 $y$  成分： $V_y$  とすると、下記の関係から、

$$\cos(\alpha) = \frac{V_x}{U}, \sin(\alpha) = \frac{V_y}{U}, U^2 = V_y^2 + V_x^2$$

運動エネルギーは

$$T = \frac{\pi \rho (a^2 V_y^2 + b^2 V_x^2)}{2} \tag{5.4.61}$$

## 5.4.15 平板をすぎる流れ (Joukowski 変換)

$\zeta$  平面上で円に対し流向:  $\alpha$  の流場を  $x$  軸上  $-1 \rightarrow 1$  の平板および  $y$  軸上  $-i \rightarrow i$  に変換する写像関数とそれらの流場を求める。

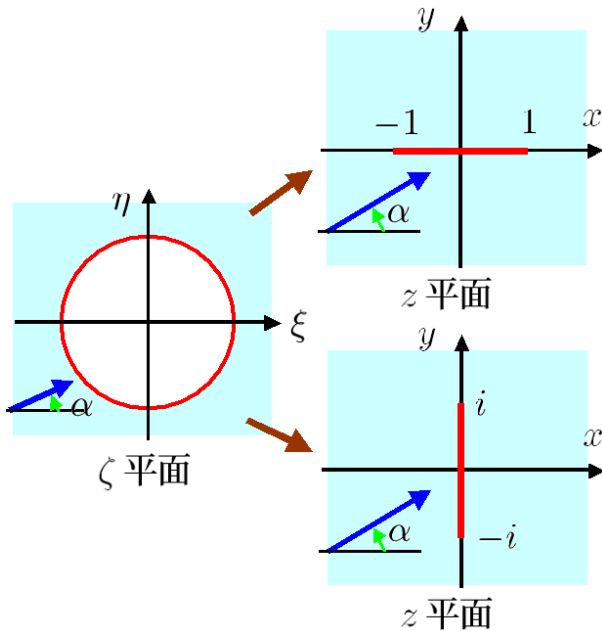


図 5.4.24: 平板をすぎる流れ

```

/* 平板をすぎる流れ (Joukowski 変換) */
kill(all);
declare(z,complex);
declare(F,complex);
declare(\zeta,complex);
assume(a>0);
assume(b>0);
assume(\sigma>0);
assume(z^2>A^2);
Z0:z=x+%i*y;
Z1:z=\zeta+A^2/\zeta;
ZT1:\zeta=\sigma*e^(%i*\eta);
ZT2:\zeta=R*e^(%i*\eta);
F0:U*e^(-%i*\alpha)*\zeta;
subst([\zeta=R^2/conjugate(\zeta)],F0);
F1:conjugate(%);
F3:F=F0+F1;
F4:subst([ZT1],F3);
Z2:subst([ZT2,Z0],Z1);
X1:realpart(Z2);
Y1:imagpart(Z2);
C01:solve(X1,cos(\eta))[1];
SI1:solve(Y1,sin(\eta))[1];

```

```

COSI1:cos(\eta)^2+sin(\eta)^2=1;
COSI2:subst([C01,SI1],COSI1);
COSI3:x^2/a^2+y^2/b^2=1;
A1:first(lhs(COSI2))=last(lhs(COSI3));
B1:last(lhs(COSI2))=first(lhs(COSI3));
A2:solve(A1,a)[2];
B2:solve(B1,b)[2];
AB1:solve([A1,B1],[R,A])[2];
R2:AB1[1];
A2:AB1[2];

```

例題 5.4.14 の結果を基に解く。(5.4.47) 式から写像関数を下記とする。

$$z = \zeta + \frac{A^2}{\zeta}$$

$\zeta$  平面で流速:  $U$  の一様な流れの中に半径:  $R$  の円柱を置いたときの複素ポテンシャルは (5.4.48) 式から下記となる。

$$F = e^{-i\alpha} U \zeta + \frac{e^{i\alpha} R^2 U}{\zeta}$$

半軸:  $a, b$  の楕円の関係式から、

$$\frac{y^2}{b^2} + \frac{x^2}{a^2} = 1$$

$R, A$  と  $a, b$  の関係は (5.4.49) 式から下記となる。

$$R = \frac{b+a}{2}, \quad A = \frac{\sqrt{a^2 - b^2}}{2}$$

```

F442:F=(%e^(-%i*alpha)*(sqrt(1-(a^2-b^2)/z^2)+1)*z*U)/2-(%e^(%i*alpha)*(b+a)^2*(sqrt(1-(a^2-b^2)/z^2)-1)*z*U)/(2*(a^2-b^2));
AB2:subst([b=0],AB1);
R3:AB2[1];
A3:AB2[2];
Z3:subst([R3,A3,a=2],Z1);
PS2:\Psi=imagpart(subst([z=x+%i*y],rhs(F442)));
subst([a=2,b=0,U=1,\alpha=%pi/2],PS2);
trigsimp(%);
subst([a=2,b=0,U=1,\alpha=%pi/4],PS2);
trigsimp(%);
AB3:subst([a=0],AB1);
R4:AB3[1];
A4:AB3[2];
Z4:subst([R4,A4,b=2],Z1);
subst([a=0,b=2,U=1,\alpha=0],PS2);
trigsimp(%);
subst([a=0,b=2,U=1,\alpha=%pi/4],PS2);
trigsimp(%);

```

$z$  平面の複素ポテンシャルは (5.4.55) 式から下記となる。

$$F = \frac{e^{-i\alpha} \left( \sqrt{1 - \frac{a^2 - b^2}{z^2}} + 1 \right) z U}{2} - \frac{e^{i\alpha} (b+a)^2 \left( \sqrt{1 - \frac{a^2 - b^2}{z^2}} - 1 \right) z U}{2(a^2 - b^2)}$$

$b = 0$  を代入し、 $x$  軸上の平板の写像関数は下記を代入し、

$$R = \frac{a}{2}, \quad A = \frac{a}{2}$$

$$z = \zeta + \frac{1}{\zeta} \quad (5.4.62)$$

$a = 2, b = 0, U = 1, \alpha = \frac{\pi}{2}, \alpha = \frac{\pi}{4}$  のときの流場を下記の gnuplot を用いて求めた。その結果を下記に示す。

```
#!/gnuplot
set xrange [-4:4]
set yrange [-3:3]
set isosamples 150,150
set contour base
set cntrparam levels incremental -20,0.1,20
unset key
unset surface
set view map
splot ((y**4+(2*x**2+8)*y**2+x**4-8*x**2
+16)**(0.25)*(1.4142135*y*sin(atan2((
8*x*y)/(y**4+2*x**2*y**2+x**4)),(y**4
+(2*x**2+4)*y**2+x**4-4*x**2)/(y**4
+2*x**2*y**2+x**4))/2)-1.4142135*x
*cos(atan2((8*x*y)/(y**4+2*x**2*y**2
+x**4)),(y**4+(2*x**2+4)*y**2+x**4
-4*x**2)/(y**4+2*x**2*y**2+x**4))/2))
+1.4142135*y*(y**4+2*x**2*y**2+x**4)
**(0.25))/(2*(y**4+2*x**2*y**2+x**4)
**(0.25))
# EOF
```

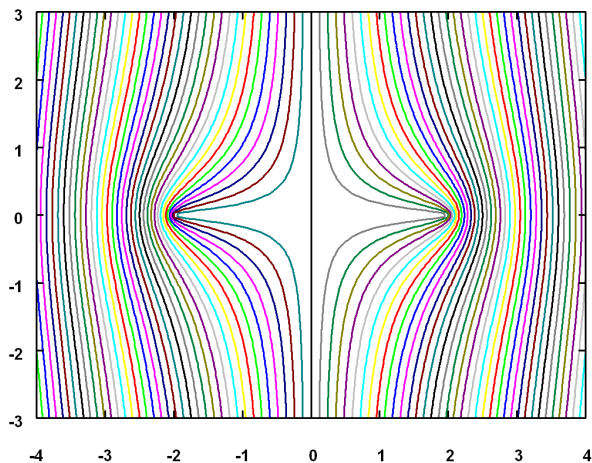


図 5.4.25: 平板をすぎる流れ  $a = 2, b = 0, U = 1, \alpha = \frac{\pi}{2}$

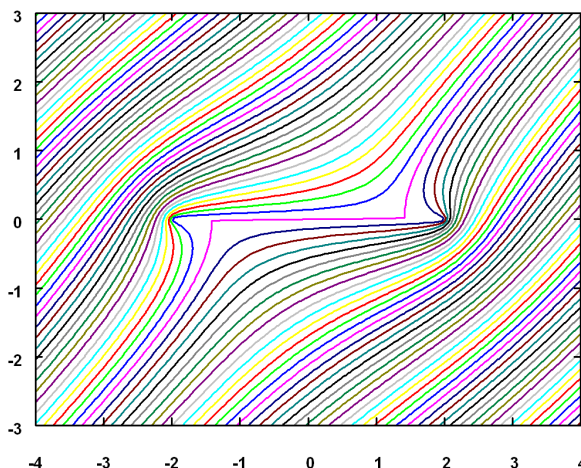


図 5.4.26: 平板をすぎる流れ  $a = 2, b = 0, U = 1, \alpha = \frac{\pi}{4}$

$a = 0$  を代入し、 $y$  軸上の平板の写像関数は下記を代入し、

$$R = \frac{b}{2}, \quad A = \frac{ib}{2}$$

$$z = \zeta - \frac{1}{\zeta} \quad (5.4.63)$$

$a = 0, b = 2, U = 1, \alpha = 0$  のときの流場を下記の gnuplot を用いて求めた。その結果を下記に示す。

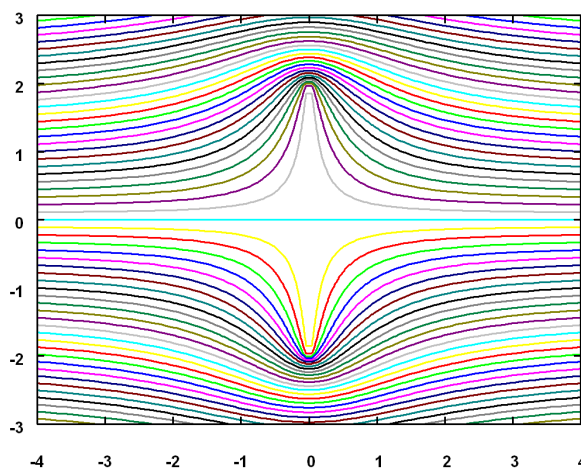


図 5.4.27: 平板をすぎる流れ  $a = 0, b = 2, U = 1, \alpha = 0$

## 5.4.16 円柱の外に置いたわき出し

半径： $A$ の円の外の、 $z = R e^{i\theta}$ に強さ： $m$ のわき出しを置いたときの流れを求める。

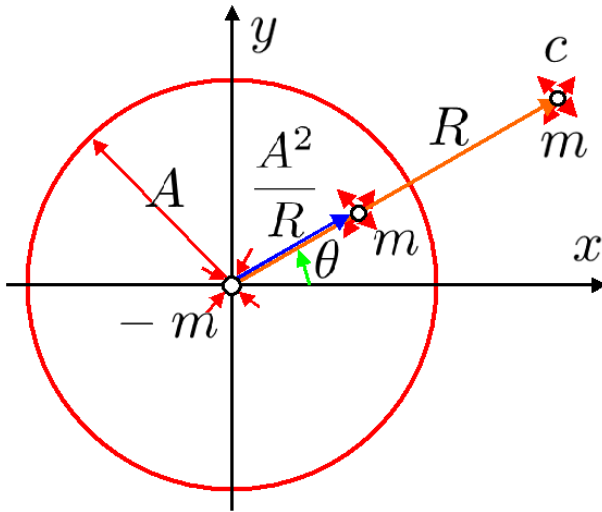


図 5.4.28: 円柱の外に置いたわき出し

```

/* 円柱の外に置いたわき出し */
kill(all);
declare(z,complex);
declare(F,complex);
declare(c,complex);
F0:m*log(z-c);
subst([z=A^2/conjugate(z)],F0);
conjugate(%);
F1:m*log(A^2/z-conjugate(c));
FF1:F=F0+F1;
factor(logcontract(%));
F11:factor(F1);
F2:-m*log(z);
F12:F11-F2;
F13:logcontract(F12);
F3:-m*log(-1/(conjugate(c)));
F14:F13-F3;
F15:expand(logcontract(F14));
F4:F=F0+F15+F2+F3;
F5:F=F0+F15+F2;
subst([c=R*e^(%i*\theta)],F5);
subst([z=x+i*y,c=R*e^(%i*\theta),\theta=0],F5);
PS1:\Psi=imagpart(rhs(%));
PS10:subst([x=-A,y=0],PS1);
subst([m=1,A=1,R=1.5],PS1);
subst([m=1,A=1,R=1.5],PS10);

```

$z = c = R e^{i\theta}$ に強さ： $m$ のわき出しの複素ポテン

シャル： $F_0$ は(5.4.11)式から、

$$F_0 = m \log(z - c)$$

5.4.8 円定理 (294 ページ) から、半径： $A$ の円が境界となるための複素ポテンシャル： $F_1$ は、

$$F_1 = m \left( \log \left( \frac{A^2}{z} - c \right) \right) = m \log \left( \frac{A^2}{z} - \bar{c} \right) \quad (5.4.64)$$

以上から、全体の複素ポテンシャルは、下記となり、展開すると、

$$\begin{aligned} F &= m \log \left( \frac{A^2}{z} - \bar{c} \right) + m \log(z - c) \\ &= m \log \left( z - \frac{A^2}{\bar{c}} \right) + m \log(z - c) - m \log(z) \\ &\quad - \log \left( -\frac{1}{\bar{c}} \right) m \end{aligned} \quad (5.4.65)$$

右辺最終項は常数であるため、省くことができるため、全体の複素ポテンシャルは下記となる。この結果から、円の境界となるためには、円内で原点と外に置いたわき出しを結んだ線上で原点から  $\frac{A^2}{R}$  の位置に同じ強さのわき出しを、原点に同じ強さの吸い込みを置けばよい。

$$\begin{aligned} F &= m \log \left( z - \frac{A^2}{\bar{c}} \right) + m \log(z - c) - m \log(z) \\ &= m \log \left( z - e^{i\theta} R \right) + m \log \left( z - \frac{e^{i\theta} A^2}{R} \right) - m \log(z) \end{aligned} \quad (5.4.66)$$

流れ関数： $\Psi$ は上式の虚部であり、 $\theta = 0$ としたとき、次式となる。

$$\begin{aligned} \Psi &= m \operatorname{atan2}(y, x - R) + m \operatorname{atan2} \left( y, x - \frac{A^2}{R} \right) \\ &\quad - m \operatorname{atan2}(y, x) \end{aligned}$$

円柱の左端における流れ関数の値は、 $x = -A, y = 0, m = 1, A = 1, R = 1.5$ を代入すると、

$\Psi = 6.283185307179586 - \pi$ を得る。これをもとに流線を gnuplot を用いて描く。 $m = 1, A = 1, a = 1.5$ として、gnuplot を用いて流線を求めた結果を下記に示す。下記の図から、 $x = 0, x = A^2/a = 0.6666, x = 1.5$ にわき出しがあるのがわかり、境界が円になっている。



```

#!/gnuplot
set xrange [-2:3]
set yrange [-2:2]
set isosamples 150,150
set contour base
set cntrparam levels incremental
-12.566368,0.12566368,12.5
unset key
unset surface
set view map
splot -atan2(y,x)
+atan2(y,x-0.666666666666667)
+atan2(y,x-1.5)
# EOF

```

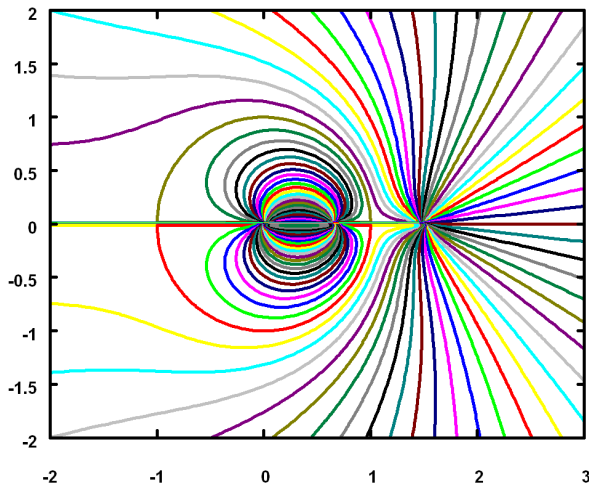


図 5.4.29: 円柱の外に置いたわき出しの流線

```

DF5: 'diff(F,z,1)=diff(rhs(F5),z,1);
subst([c=R*e^(i*theta),theta=0],%);
DF52:lhs(DF5)^2=expand(rhs(DF5)^2);
FXY1:F[x]-i*F[y]=-rho*i/2*(2*pi*i)
*residue(rhs(DF52),z,R);

```

円柱および円柱外部のわき出しを含む大きな円： $S$ 、円柱外部のわき出しを囲む小さな円： $M$  とすると物体に作用する力は (5.4.29) 式から下記となる。

$$F_x - iF_y = \frac{i\rho}{2} \oint_S \left(\frac{d}{dz} F\right)^2 dz - \frac{i\rho}{2} \oint_M \left(\frac{d}{dz} F\right)^2 dz$$

大きな円： $S$  の積分は零となり、円柱外部のわき出しを囲む小さな円： $M$  の積分が残る。(5.4.66) 式から、

$$\frac{d}{dz} F = \frac{m}{z - \frac{A^2}{R}} + \frac{m}{z - R} - \frac{m}{z}$$

$$\begin{aligned} \left(\frac{d}{dz} F\right)^2 &= \frac{m^2}{\frac{A^4}{R^2} - \frac{2zA^2}{R} + z^2} + \frac{2m^2}{-\frac{zA^2}{R} + A^2 + z^2 - Rz} \\ &\quad - \frac{2m^2}{z^2 - \frac{zA^2}{R}} - \frac{2m^2}{z^2 - Rz} + \frac{m^2}{z^2 - 2az + R^2} \\ &\quad + \frac{m^2}{z^2} \end{aligned}$$

留数定理から下記積分は得られる。

$$F_x - iF_y = -\frac{i\rho}{2} \oint_M \left(\frac{d}{dz} F\right)^2 dz = \frac{2\pi m^2 \rho A^2}{R^3 - A^2 R}$$

ここで  $A < R$  であるから、物体は円柱外部のわき出しと引き合っている。

## 5.4.17 Kutta-Joukowski の定理

二次元の流場で、物体内にわき出し、二重わき出しや渦循環がある場合に物体に作用する力を求める

```
/* Kutta-Joukowski の定理+平板翼 */
kill(all);
declare(z,complex);
declare(F,complex);
declare(c,complex);
declare(\zeta,complex);
assume(a>0);
assume(b>0);
assume(z^2>A^2);
assume(A>0);
assume(\rho>0);
assume(U>0);
assume(\gamma>0);
M1:m*log(z-c);
G1:%i*\gamma/2/%pi*log(z-c);
LOG1:A[1]*log(z-c);
LOG2:A[1]*log(z*(1-c/z));
taylor(%,c,0,5);
MU1:\mu/(z-c);
MU2:\mu/z/(1-c/z);
taylor(%,c,0,5);
```

二次元流場で、 $c$  に位置するわき出しの複素ポテンシャルは (5.4.11) 式から、渦循環の複素ポテンシャルは (5.4.13) 式から、二重わき出しの複素ポテンシャルは (5.4.12) 式から、一般的に次式で表現できる。

わき出し :  $m \log(z - c)$  ( $m$  : わき出し強さ)

渦循環 :  $\frac{i \log(z - c) \Gamma}{2\pi}$  ( $\Gamma$  : 渦循環強さ)

二重わき出し :  $\frac{\mu}{z - c}$  ( $\mu$  : 二重わき出し強さ)

$c$  が遠方の流場に比べ、小さいとして Taylor 展開すると、

$$A_1 \log(z - c) = \log(z) A_1 - \frac{A_1 c}{z} - \frac{A_1 c^2}{2z^2} - \frac{A_1 c^3}{3z^3} - \frac{A_1 c^4}{4z^4} - \frac{A_1 c^5}{5z^5} + \dots$$

$$\frac{\mu}{z - c} = \frac{\mu}{z} + \frac{\mu c}{z^2} + \frac{\mu c^2}{z^3} + \frac{\mu c^3}{z^4} + \frac{\mu c^4}{z^5} + \frac{\mu c^5}{z^6} + \dots$$

```
F0:F=U*e^(-i*\alpha)*z+A[0]+m*log(z)
+i*\gamma/2/%pi*log(z)+A[2]/z
+A[3]/z^2+A[4]/z^3;
DF0:'diff(F,z,1)=diff(rhs(F0),z,1);
DF02:lhs(DF0)^2=expand(rhs(DF0)^2);
FXY1:F[x]-%i*F[y]=%i*\rho/2
*'integrate(lhs(DF02),z);
COFF1:coeff(rhs(DF02),z,-1);
lhs(FXY1)=%i*\rho/2*2*%pi*%i*COFF1;
FXY2:lhs(FXY1)=rectform(rhs(%));
FX1:F[x]=realpart(rhs(FXY2));
FY1:F[y]=-imagpart(rhs(FXY2));
FX2:subst([m=0],FX1);
FY2:subst([m=0],FY1);
L1:L=sqrt(rhs(FX2)^2+rhs(FY2)^2);
trigsimp(%);
ZDF02:expand(z*DF02);
MXY1:M+%i*N=-\rho/2*'integrate(lhs(ZDF02),
z);
COFF2:coeff(rhs(ZDF02),z,-1);
MXY1:M+%i*N=-\rho/2*2*%pi*%i*COFF2;
MXY2:lhs(MXY1)=rectform(rhs(%));
M1:M=realpart(realpart(rhs(MXY2)));
subst([m=0],M1);
```

以上から、物体内にわき出し、二重わき出しや渦循環がある場合の複素ポテンシャルは下記のように表現できる。

$$F = \frac{i \log(z) \Gamma}{2\pi} + e^{-i\alpha} z U + m \log(z) + \frac{A_2}{z} + \frac{A_3}{z^2} + \frac{A_4}{z^3} + A_0 + \dots \quad (5.4.67)$$

上式を  $z$  で微分し、その二乗を求めると、

$$\begin{aligned} \frac{d}{dz} F &= \frac{i\Gamma}{2\pi z} + e^{-i\alpha} U + \frac{m}{z} - \frac{A_2}{z^2} - \frac{2A_3}{z^3} - \frac{3A_4}{z^4} \\ \left(\frac{d}{dz} F\right)^2 &= -\frac{\Gamma^2}{4\pi^2 z^2} + \frac{ie^{-i\alpha} U \Gamma}{\pi z} + \frac{im\Gamma}{\pi z^2} - \frac{iA_2\Gamma}{\pi z^3} - \frac{2iA_3\Gamma}{\pi z^4} - \frac{3iA_4\Gamma}{\pi z^5} + e^{-2i\alpha} U^2 \\ &\quad + \frac{2e^{-i\alpha} m U}{z} - \frac{2A_2 e^{-i\alpha} U}{z^2} - \frac{4A_3 e^{-i\alpha} U}{z^3} - \frac{6A_4 e^{-i\alpha} U}{z^4} + \frac{m^2}{z^2} + \dots \end{aligned}$$

物体に作用する力： $F_x, F_y$  は、Blasius の定理：(5.4.27) 式から、積分を留数定理を用いて解き、

$$\begin{aligned} F_x - iF_y &= \frac{i\rho}{2} \int \left(\frac{d}{dz} F\right)^2 dz \\ &= -\pi\rho \left(\frac{ie^{-i\alpha} U \Gamma}{\pi} + 2e^{-i\alpha} m U\right) \\ &= -\pi\rho \left(\frac{\sin(\alpha) U \Gamma}{\pi} + 2\cos(\alpha) m U\right) - i\pi\rho \left(\frac{\cos(\alpha) U \Gamma}{\pi} - 2\sin(\alpha) m U\right) \end{aligned} \quad (5.4.68)$$

上式より、

$$\begin{aligned} F_x &= -\pi\rho \left(\frac{\sin(\alpha) U \Gamma}{\pi} + 2\cos(\alpha) m U\right) \\ F_y &= \pi\rho \left(\frac{\cos(\alpha) U \Gamma}{\pi} - 2\sin(\alpha) m U\right) \end{aligned}$$

わき出しの総和は一般に物体の外に出ないので、 $m = 0$  として、物体に作用する力： $F_x, F_y$  は、

$$F_x = -\sin(\alpha) \rho U \Gamma, \quad F_y = \cos(\alpha) \rho U \Gamma, \quad L = \rho U \Gamma \quad (5.4.69)$$

物体に作用するモーメントについて、下記を求め、

$$\begin{aligned} z \left(\frac{d}{dz} F\right)^2 &= -\frac{\Gamma^2}{4\pi^2 z} + \frac{ie^{-i\alpha} U \Gamma}{\pi} + \frac{im\Gamma}{\pi z} - \frac{iA_2\Gamma}{\pi z^2} - \frac{2iA_3\Gamma}{\pi z^3} - \frac{3iA_4\Gamma}{\pi z^4} + e^{-2i\alpha} z U^2 \\ &\quad - \frac{2A_2 e^{-i\alpha} U}{z} - \frac{4A_3 e^{-i\alpha} U}{z^2} - \frac{6A_4 e^{-i\alpha} U}{z^3} + 2e^{-i\alpha} m U + \frac{m^2}{z} \\ &\quad - \frac{2A_2 m}{z^2} - \frac{4A_3 m}{z^3} + \frac{A_2^2}{z^3} + \dots \end{aligned}$$

物体に作用するモーメント： $M$  は、Blasius の定理：(5.4.28) 式から、積分を留数定理を用いて解き、

$$\begin{aligned} iN + M &= -\frac{\rho}{2} \int z \left(\frac{d}{dz} F\right)^2 dz \\ &= -i\pi\rho \left(-\frac{\Gamma^2}{4\pi^2} + \frac{im\Gamma}{\pi} - 2A_2 e^{-i\alpha} U + m^2\right) \end{aligned}$$

以上から、物体に作用するモーメント： $M$  は、

$$M = -\pi\rho \left(-\frac{m\Gamma}{\pi} - 2A_2 \sin(\alpha) U\right)$$

上記同様、 $m = 0$  として、

$$M = 2\pi A_2 \sin(\alpha) \rho U \quad (5.4.70)$$

### 5.4.18 二次元翼に作用する揚力 (写像関数を用いた)

写像関数を用いて、二次元翼形状を円写像する場合、一様流中の翼の揚力性能について調べる。

なお、下記のプログラムは、前前項、前項に続いて実行する。

```
ZT1:z=\zeta+B[1]/\zeta+B[2]/\zeta^2
+B[3]/\zeta^3+B[4]/\zeta^4;
ZT2:lhs(ZT1)=rhs(ZT1)-\zeta+Z;
solve(ZT2,Z)[1];
ZT3:expand(subst([Z=\zeta],%));
ZT30:rhs(ZT3)-z;
ZT301:-B[1]/\zeta-B[2]/\zeta^2-B[3]/\zeta^3
-B[4]/\zeta^4=b;
ZT302:b=-B[1]/\zeta-B[2]/\zeta^2-B[3]/\zeta^3
-B[4]/\zeta^4;
ZT31:1/\zeta;
ZT32:1/\zeta^2;
ZT33:1/\zeta^3;
subst([\zeta=b+z],ZT31);
taylor(%,b,0,2);
subst([ZT302],%);
expand(%);
ZT4:\zeta=z-B[1]/z-sum(C[n]/z^n,n,2,inf);
ZT41:\zeta=z-B[1]/z-C[2]/z^2-C[3]/z^3;
ZT42:\zeta=z*(1-B[1]/z^2-C[2]/z^3-C[3]/z^4);
ZT43:d=-B[1]/z^2-C[2]/z^3-C[3]/z^4;
ZT44:\zeta=z*(1+d);
```

翼より十分遠方では、翼を表す  $z$  平面と写像円を表す  $\zeta$  平面とで  $z \sim \zeta$  でなければならない。そこで円に写像する関数は、一般的に下記で表すことができる。

$$z = \zeta + \frac{B_1}{\zeta} + \frac{B_2}{\zeta^2} + \frac{B_3}{\zeta^3} + \frac{B_4}{\zeta^4} + \dots \quad (5.4.71)$$

$\zeta$  を  $z$  で表す式を求める。まず、上式から  $\zeta$  を求め、右辺の  $z$  以外を  $b$  とする。

$$\begin{aligned} \zeta &= -\frac{B_1}{\zeta} - \frac{B_2}{\zeta^2} - \frac{B_3}{\zeta^3} - \frac{B_4}{\zeta^4} + z \\ b &= -\frac{B_1}{\zeta} - \frac{B_2}{\zeta^2} - \frac{B_3}{\zeta^3} - \frac{B_4}{\zeta^4} \end{aligned} \quad (5.4.72)$$

$b \ll z$  であるので、 $b$  で Taylor 展開し、展開すると、

$$\begin{aligned} \frac{1}{\zeta} &= \frac{1}{z+b} \\ &= -\frac{-\frac{B_1}{\zeta} - \frac{B_2}{\zeta^2} - \frac{B_3}{\zeta^3} - \frac{B_4}{\zeta^4}}{z^2} \\ &\quad + \frac{\left(-\frac{B_1}{\zeta} - \frac{B_2}{\zeta^2} - \frac{B_3}{\zeta^3} - \frac{B_4}{\zeta^4}\right)^2}{z^3} + \frac{1}{z} \\ &= \frac{B_1}{z^2 \zeta} + \frac{B_2}{z^2 \zeta^2} + \frac{B_1^2}{z^3 \zeta^2} + \frac{B_3}{z^2 \zeta^3} + \frac{2 B_1 B_2}{z^3 \zeta^3} + \frac{1}{z} + \dots \end{aligned}$$

上式を (5.4.72) 式に代入し、更に、この作業を繰り返すと次の関係式が得られる。後にわかるが、この問題では  $C_n$  を明らかにする必要はない。

$$\zeta = -\left(\sum_{n=2}^{\infty} \frac{C_n}{z^n}\right) + z - \frac{B_1}{z} \quad (5.4.73)$$

上式で、 $C_3$  までとし、

$$\zeta = z - \frac{B_1}{z} - \frac{C_2}{z^2} - \frac{C_3}{z^3}$$

下記のように表現する。

$$\zeta = (d+1)z, \quad (d = -\frac{B_1}{z^2} - \frac{C_2}{z^3} - \frac{C_3}{z^4}) \quad (5.4.74)$$

```
F1:%e^{-%i*\alpha}*U*\zeta;
F2:%e^{%i*\alpha}*U*R^2/\zeta;
F3:%i*\gamma/2/%pi*log(\zeta);
F0:F=F1+F2+F3;
F11:subst([ZT41],F1);
F12:expand(%);
F21:subst([ZT44],F2);
taylor(%,d,0,3);
subst([ZT43],%);
F22:expand(%);
F31:subst([ZT44],F3);
%i*\gamma/2/%pi*log(z)+%i*\gamma/2/%pi
*log(1+d);
taylor(%,d,0,3);
subst([ZT43],%);
F32:expand(%);
```

渦循環がある一様流中の半径:  $R$  の円柱まわりの流れの複素ポテンシャルは、(5.4.41) 式から、

$$F = \frac{i \Gamma \log(\zeta)}{2\pi} + e^{-i\alpha} U \zeta + \frac{e^{i\alpha} R^2 U}{\zeta} \quad (5.4.75)$$

(5.4.75) 式の右辺第二項に (5.4.74) 式の関係式を代入し、展開すると、

$$\begin{aligned} e^{-i\alpha} U \zeta &= e^{-i\alpha} \left( z - \frac{B_1}{z} - \frac{C_2}{z^2} - \frac{C_3}{z^3} \right) U \\ &= e^{-i\alpha} z U - \frac{B_1 e^{-i\alpha} U}{z} \\ &\quad - \frac{C_2 e^{-i\alpha} U}{z^2} - \frac{C_3 e^{-i\alpha} U}{z^3} \end{aligned}$$

(5.4.75) 式の右边第三項に (5.4.74) 式の関係代入し、展開すると、

$$\begin{aligned}
 \frac{e^{i\alpha} R^2 U}{\zeta} &= \frac{e^{i\alpha} R^2 U}{(d+1)z} \\
 &= \frac{e^{i\alpha} R^2 U}{z} - \frac{e^{i\alpha} R^2 U d}{z} + \frac{e^{i\alpha} R^2 U d^2}{z} - \frac{e^{i\alpha} R^2 U d^3}{z} + \dots \\
 &= -\frac{e^{i\alpha} \left(-\frac{B_1}{z^2} - \frac{C_2}{z^3} - \frac{C_3}{z^4}\right) R^2 U}{z} - \frac{e^{i\alpha} \left(-\frac{B_1}{z^2} - \frac{C_2}{z^3} - \frac{C_3}{z^4}\right)^3 R^2 U}{z} \\
 &\quad + \frac{e^{i\alpha} \left(-\frac{B_1}{z^2} - \frac{C_2}{z^3} - \frac{C_3}{z^4}\right)^2 R^2 U}{z} + \frac{e^{i\alpha} R^2 U}{z} \\
 &= \frac{e^{i\alpha} R^2 U}{z} + \frac{B_1 e^{i\alpha} R^2 U}{z^3} + \frac{C_2 e^{i\alpha} R^2 U}{z^4} + \frac{C_3 e^{i\alpha} R^2 U}{z^5} + \frac{B_1^2 e^{i\alpha} R^2 U}{z^5} + \dots
 \end{aligned}$$

(5.4.75) 式の右边第一項に (5.4.74) 式の関係代入し、展開すると、

$$\begin{aligned}
 \frac{i \log((d+1)z) \Gamma}{2\pi} &= \frac{i \log(z) \Gamma}{2\pi} + \frac{i \log(d+1) \Gamma}{2\pi} \\
 &= \frac{i \log(z) \Gamma}{2\pi} + \frac{i \Gamma d}{2\pi} - \frac{i \Gamma d^2}{4\pi} + \frac{i \Gamma d^3}{6\pi} + \dots \\
 &= \frac{i \log(z) \Gamma}{2\pi} + \frac{i \left(-\frac{B_1}{z^2} - \frac{C_2}{z^3} - \frac{C_3}{z^4}\right) \Gamma}{2\pi} + \frac{i \left(-\frac{B_1}{z^2} - \frac{C_2}{z^3} - \frac{C_3}{z^4}\right)^3 \Gamma}{6\pi} - \frac{i \left(-\frac{B_1}{z^2} - \frac{C_2}{z^3} - \frac{C_3}{z^4}\right)^2 \Gamma}{4\pi} + \dots \\
 &= \frac{i \log(z) \Gamma}{2\pi} - \frac{i B_1 \Gamma}{2\pi z^2} - \frac{i C_2 \Gamma}{2\pi z^3} - \frac{i C_3 \Gamma}{2\pi z^4} + \dots
 \end{aligned}$$

```

F4:F=F12+F22+F32;
F41:coeff(rhs(F4),z,1);
F42:coeff(rhs(F4),log(z),1);
F43:coeff(rhs(F4),z,-1);
F44:coeff(rhs(F4),z,-2);
F45:F=F41*z+F42*log(z)+F43/z+F44/z^2;
DF45:'diff(F,z)=diff(rhs(F45),z,1);
DF451:expand(DF45^2);
COFF4:coeff(rhs(DF451),z,-1);
F[x]-%i*F[y]=%i*rho/2*2*pi*%i*COFF4;
FXY4:lhs(%)=rectform(rhs(%));

```

```

FX4:F[x]=realpart(rhs(FXY4));
FY4:F[y]=-imagpart(rhs(FXY4));
L=sqrt(rhs(FX2)^2+rhs(FY2)^2);
L1:trigsimp(%);
ZDF451:expand(z*DF451);
MXY1:M+%i*N=-\rho/2*'integrate(lhs(ZDF451),z);
COFF2:coeff(rhs(ZDF451),z,-1);
MXY1:M+%i*N=-\rho/2*2*pi*%i*COFF2;
MXY2:lhs(MXY1)=rectform(rhs(%));
M1:M=realpart(realpart(rhs(MXY2)));

```

上式をまとめ、 $1/z^2$  の項までを整理すると、

$$F = \frac{-\frac{i B_1 \Gamma}{2\pi} - C_2 e^{-i\alpha} U}{z^2} + \frac{i \log(z) \Gamma}{2\pi} + \frac{e^{i\alpha} R^2 U - B_1 e^{-i\alpha} U}{z} + e^{-i\alpha} z U \quad (5.4.76)$$

上式を微分し、その二乗は、

$$\begin{aligned}
 \frac{d}{dz} F &= -\frac{2 \left(-\frac{i B_1 \Gamma}{2\pi} - C_2 e^{-i\alpha} U\right)}{z^3} + \frac{i \Gamma}{2\pi z} - \frac{e^{i\alpha} R^2 U - B_1 e^{-i\alpha} U}{z^2} + e^{-i\alpha} U \\
 \left(\frac{d}{dz} F\right)^2 &= -\frac{\Gamma^2}{4\pi^2 z^2} - \frac{B_1 \Gamma^2}{\pi^2 z^4} - \frac{B_1^2 \Gamma^2}{\pi^2 z^6} - \frac{i e^{i\alpha} R^2 U \Gamma}{\pi z^3} - \frac{2i B_1 e^{i\alpha} R^2 U \Gamma}{\pi z^5} + \frac{i e^{-i\alpha} U \Gamma}{\pi z} \\
 &\quad + \frac{3i B_1 e^{-i\alpha} U \Gamma}{\pi z^3} + \dots + e^{-2i\alpha} U^2
 \end{aligned}$$

翼に作用する力： $F_x, F_y$  は、Blasius の定理：(5.4.27) 式から、積分を留数定理を用いて解き、

$$F_x - i F_y = \frac{i \rho}{2} \int \left(\frac{d}{dz} F\right)^2 dz = -i e^{-i\alpha} \rho U \Gamma = -\sin(\alpha) \rho U \Gamma - i \cos(\alpha) \rho U \Gamma \quad (5.4.77)$$

上式から、揚力： $L$  は、

$$F_x = -\sin(\alpha) \rho U \Gamma, \quad F_y = \cos(\alpha) \rho U \Gamma, \quad L = \rho U \Gamma \quad (5.4.78)$$

翼に作用するモーメントについて、下記を求め、

$$\begin{aligned}
 z \left( \frac{d}{dz} F \right)^2 &= -\frac{\Gamma^2}{4\pi^2 z} - \frac{B_1 \Gamma^2}{\pi^2 z^3} - \frac{B_1^2 \Gamma^2}{\pi^2 z^5} - \frac{i e^{i\alpha} R^2 U \Gamma}{\pi z^2} - \frac{2i B_1 e^{i\alpha} R^2 U \Gamma}{\pi z^4} + \frac{3i B_1 e^{-i\alpha} U \Gamma}{\pi z^2} + \frac{2i C_2 e^{-i\alpha} U \Gamma}{\pi z^3} \\
 &+ \frac{2i B_1^2 e^{-i\alpha} U \Gamma}{\pi z^4} + \frac{4i B_1 C_2 e^{-i\alpha} U \Gamma}{\pi z^5} + \frac{i e^{-i\alpha} U \Gamma}{\pi} + \frac{e^{2i\alpha} R^4 U^2}{z^3} - \frac{2R^2 U^2}{z} - \frac{2B_1 R^2 U^2}{z^3} \\
 &- \frac{4C_2 R^2 U^2}{z^4} + e^{-2i\alpha} z U^2 + \frac{2B_1 e^{-2i\alpha} U^2}{z} + \frac{4C_2 e^{-2i\alpha} U^2}{z^2} + \frac{B_1^2 e^{-2i\alpha} U^2}{z^3} + \frac{4B_1 C_2 e^{-2i\alpha} U^2}{z^4} \\
 &+ \frac{4C_2^2 e^{-2i\alpha} U^2}{z^5}
 \end{aligned}$$

翼に作用するモーメント： $M$  は、Blasius の定理：(5.4.28) 式から、積分を留数定理を用いて解き、

$$\begin{aligned}
 iN + M &= -i\pi\rho \left( -\frac{\Gamma^2}{4\pi^2} - 2R^2 U^2 + 2B_1 e^{-2i\alpha} U^2 \right) \\
 &= -i\pi\rho \left( -\frac{\Gamma^2}{4\pi^2} - 2R^2 U^2 + 2B_1 \cos(2\alpha) U^2 \right) - 2\pi B_1 \sin(2\alpha) \rho U^2
 \end{aligned} \tag{5.4.79}$$

翼に作用するモーメント： $M$  は、

$$M = -2\pi B_1 \sin(2\alpha) \rho U^2 \tag{5.4.80}$$

5.4.19 二次元平板翼

二次元平板翼の揚力特性を求める。

なお、下記のプログラムは、前前項、前項に続いて実行する。

```

B11:B[1]=A^2;
Z0:z=x+i*y;
Z1:z=\zeta+A^2/\zeta;
ZT1:\zeta=\sigma*e^(%i*\eta);
ZT2:\zeta=R*e^(%i*\eta);

Z2:subst([ZT2,Z0],Z1);
X1:realpart(Z2);
Y1:imagpart(Z2);
C01:solve(X1,cos(\eta))[1];
SI1:solve(Y1,sin(\eta))[1];
COSI1:cos(\eta)^2+sin(\eta)^2=1;
COSI2:subst([C01,SI1],COSI1);
COSI3:x^2/a^2+y^2/b^2=1;
A1:first(lhs(COSI2))=last(lhs(COSI3));
B1:last(lhs(COSI2))=first(lhs(COSI3));
A2:solve(A1,a)[2];
B2:solve(B1,b)[2];
AB1:solve([A1,B1],[R,A])[2];
R2:AB1[1];
A2:AB1[2];
R3:subst([b=0],R2);
A3:subst([b=0],A2);
M2:subst([B11,A2],M1);
    
```

Joukowski 変換：(5.4.15) 式を用いて、半径： $R$  の円を半軸： $a, b$  の楕円 (平板を含む) に変換する。変換関数は下記となる。

$$z = \zeta + \frac{A^2}{\zeta} \quad (5.4.81)$$

ここで (5.4.71) 式の一般的な変換関数との関係は、

$$B_1 = A^2, \quad B_n = 0 \quad (n = 2 \rightarrow \infty) \quad (5.4.82)$$

形状を求めるため、次式を上式に代入し、

$$z = iy + x, \quad \zeta = e^{i\eta} R$$

$$iy + x = e^{i\eta} R + \frac{e^{-i\eta} A^2}{R}$$

上式から、

$$x = \cos(\eta) R + \frac{\cos(\eta) A^2}{R}$$

$$y = \sin(\eta) R - \frac{\sin(\eta) A^2}{R}$$

また、下記の関係から、

$$\sin(\theta)^2 + \cos(\theta)^2 = 1$$

次式の楕円の式と対照し、

$$\frac{y^2}{b^2} + \frac{x^2}{a^2} = 1$$

次式の関係が得られる。

$$a = \frac{R^2 + A^2}{R}, \quad b = \frac{R^2 - A^2}{R}$$

また、

$$R = \frac{b+a}{2}, \quad A = \frac{\sqrt{a^2 - b^2}}{2} \quad (5.4.83)$$

平板では、

$$R = \frac{a}{2}, \quad A = \frac{a}{2} \quad (5.4.84)$$

```

F0;
DFZT1:'diff(F,\zeta,1)=diff(rhs(F0),\zeta,1);
DZZT1:'diff(z,\zeta,1)=diff(rhs(Z1),\zeta,1);
DFZ1:'diff(F,z,1)=rhs(DFZT1)/rhs(DZZT1);
DDFZ1:denom(rhs(DFZ1))=0;
solve(%,\zeta);
AZT1:%[2];
NDFZ1:num(rhs(DFZ1))=0;
subst([AZT1,R3,A3],%);
GM1:trigrat(solve(%,\gamma)[1]);
L2:subst([GM1],L1);
M3:subst([b=0],M2);
d=trigrat(rhs(M3)/rhs(L2)/cos(\alpha));
C[L]=rhs(L2)/(1/2*\rho*U^2*2*a);
    
```

渦循環がある一様流中の半径： $R$  の円柱まわりの流れの複素ポテンシャルは、(5.4.41) 式から、

$$F = \frac{i\Gamma \log(\zeta)}{2\pi} + e^{-i\alpha} U \zeta + \frac{e^{i\alpha} R^2 U}{\zeta} \quad (5.4.85)$$

翼まわりの流速を求めるため、下記の関係から、

$$\frac{d}{d\zeta} F = \frac{i\Gamma}{2\pi\zeta} - \frac{e^{i\alpha} R^2 U}{\zeta^2} + e^{-i\alpha} U$$

$$\frac{d}{d\zeta} z = 1 - \frac{A^2}{\zeta^2}$$

翼まわりの流速は、

$$\frac{d}{dz} F = v_x - i v_y = \frac{\frac{i\Gamma}{2\pi\zeta} - \frac{e^{i\alpha} R^2 U}{\zeta^2} + e^{-i\alpha} U}{1 - \frac{A^2}{\zeta^2}} \quad (5.4.86)$$

上式は分母が零のとき、発散し、

$$1 - \frac{A^2}{\zeta^2} = 0$$

その場所は、下記で前縁と、後縁である。

$$\zeta = -A, \zeta = A$$

後縁で流速が有限であるように、分子も零とすると

$$\frac{i\Gamma}{2\pi\zeta} - \frac{e^{i\alpha}R^2U}{\zeta^2} + e^{-i\alpha}U = 0$$

$\zeta = A$  を上記に代入し、

$$\frac{i\Gamma}{\pi a} - e^{i\alpha}U + e^{-i\alpha}U = 0$$

以上から、後縁で流速が有限となる渦循環強さ： $\Gamma$  が得られた。

$$\Gamma = 2\pi a \sin(\alpha) U \quad (5.4.87)$$

(5.4.78) 式から、二次元平板翼の揚力： $L$  は、

$$L = 2\pi a \sin(\alpha) \rho U^2 \quad (5.4.88)$$

(5.4.80) 式に (5.4.82) 式、(5.4.84) 式を代入し、二次元平板翼のモーメントは、

$$M = -\frac{\pi a^2 \sin(2\alpha) \rho U^2}{2}$$

揚力の翼に垂直な成分は  $L \cos(\alpha)$  であるから、翼の作用点： $d$  は

$$d = -\frac{a}{2}$$

前縁から  $1/4$  コード長さの位置である。揚力を無次元化すると、

$$C_L = \frac{L}{\rho U^2 2a} = 2\pi \sin(\alpha) \quad (5.4.89)$$

```
P1:p=1-rhs(DFZ1)^2/U^2;
P2:subst([GM1,\zeta=R*e^(%i*\theta),R3,A3,
\theta=t],P1);
YT1:trigrat(%);
X1:subst([Z0,\zeta=R*e^(%i*\theta),R3,A3,
\theta=t],Z1);
X2:realpart(%);
YT3:subst([\alpha=%pi/6,a=1],rhs(YT1));
X3:subst([\alpha=%pi/6,a=1],rhs(X2));
plot2d([parametric,X3,-YT3,[t,0,%pi*2],
[nticks,100]],[x,-2,2],[y,-2,10]);
```

翼まわりの圧力分布は、(5.4.86) 式の流速から、

$$\begin{aligned} p &= 1 - \frac{\text{rhs}\left(\frac{d}{dz}F\right)^2}{U^2} \\ &= 1 - \frac{\left(\frac{i\gamma}{2\pi\zeta} - \frac{e^{i\alpha}R^2U}{\zeta^2} + e^{-i\alpha}U\right)^2}{U^2\left(1 - \frac{A^2}{\zeta^2}\right)^2} \\ &= -\frac{\cos(t-2\alpha) - \cos(t)}{\cos(t) + 1} \end{aligned}$$

$\alpha = \frac{\pi}{6}, a = 1$  で圧力分布を描くと、

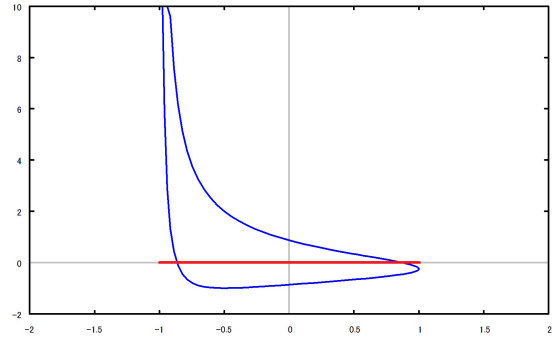


図 5.4.30: 二次元平板翼まわりの圧力分布

```
ZT20:solve(Z1,\zeta);
ZT21:ZT20[1];
ZT22:ZT20[2];
ZT23:(rhs(ZT21)*rhs(ZT22));
ZT23=expand(ZT23);
ZT24:%/rhs(ZT21)*2;
F40:subst([ZT22],F1);
F41:subst([ZT22],F2);
F42:subst([ZT24],%);
F45:subst([ZT22],F3);
F44:F=F40+F42+F45;
SQ1:sqrt(z^2-4*A^2)+z;
SQ11:SQ1=z*(1+sqrt(1-4*A^2/z^2));
SQ3:1/SQ1;
SQ5:sqrt(z^2-4*A^2)-z;
SQ51:SQ5=z*(sqrt(1-4*A^2/z^2)-1);
F401:subst([SQ11],F40);
F411:subst([SQ11],F41);
F421:subst([SQ51],F42);
F451:subst([SQ11],F45);
F441:F=F401+F421+F451;
PS2:\Psi=imagpart(subst([z=x+%i*y,R2,A2,
GM1],rhs(F441)));
trigsimp(%);
subst([a=1,b=0,U=1,\alpha=%pi/6],PS2);
trigsimp(%);
```

(5.4.81) 式を  $\zeta$  で解くと、

$$\zeta = -\frac{\sqrt{z^2 - 4A^2} - z}{2}, \zeta = \frac{\sqrt{z^2 - 4A^2} + z}{2}$$

翼より十分遠方で  $z \sim \zeta$  でなければならぬので、次式を用いる。

$$\zeta = \frac{\sqrt{z^2 - 4A^2} + z}{2}$$

また、次式の関係式から、

$$-\frac{(\sqrt{z^2 - 4A^2} - z)(\sqrt{z^2 - 4A^2} + z)}{4} = A^2$$



次式が得られる。

$$\sqrt{z^2 - 4A^2} + z = -\frac{4A^2}{\sqrt{z^2 - 4A^2} - z}$$

これらの式を (5.4.81) 式に代入し、

$$F = \frac{i \log\left(\frac{\sqrt{z^2 - 4A^2} + z}{2}\right) \Gamma}{2\pi} - \frac{e^{i\alpha} (\sqrt{z^2 - 4A^2} - z) R^2 U}{2A^2} + \frac{e^{-i\alpha} (\sqrt{z^2 - 4A^2} + z) U}{2}$$

$z$  で整理し、

$$\sqrt{z^2 - 4A^2} + z = z \left( \sqrt{1 - \frac{4A^2}{z^2}} + 1 \right)$$

$$\sqrt{z^2 - 4A^2} - z = z \left( \sqrt{1 - \frac{4A^2}{z^2}} - 1 \right)$$

代入すると、

$$F = \frac{i \log\left(\frac{z \left(\sqrt{1 - \frac{4A^2}{z^2}} + 1\right)}{2}\right) \Gamma}{2\pi} - \frac{e^{i\alpha} z \left(\sqrt{1 - \frac{4A^2}{z^2}} - 1\right) R^2 U}{2A^2} + \frac{e^{-i\alpha} z \left(\sqrt{1 - \frac{4A^2}{z^2}} + 1\right) U}{2}$$

上記の流れ関数は式が長くなるので省略する。上式から  $a = 1, b = 0, U = 1, \alpha = \pi/6$  における流線を下記に示す。

```
#!/gnuplot
set xrange [-3:3]
set yrange [-2:2]
set isosamples 150,150
set contour base
set cntrparam levels incremental -20,0.1,20
unset key
unset surface
set view map
splot ((y**4+2*x**2*y**2+x**4)**(0.25)*
(log((sqrt(y**2+x**2)*sqrt(2*(y**4+2*
x**2*y**2+x**4)**(0.75)*(y**4+(2*x**2
+2)*y**2+x**4-2*x**2+1)**(0.25)*cos(
atan2((2*x*y)/(y**4+2*x**2*y**2+x**4),
(y**4+(2*x**2+1)*y**2+x**4-x**2)/(y**4
+2*x**2*y**2+x**4))/2)+sqrt(y**4+2*x**2
*y**2+x**4)*sqrt(y**4+(2*x**2+2)*y**2
+x**4-2*x**2+1)+y**4+2*x**2*y**2+x**4))
/(2*sqrt(y**4+2*x**2*y**2+x**4)))
+1.7320508*y)+(y**4+(2*x**2+2)*y**2+x**4
-2*x**2+1)**(0.25)*(y*sin(atan2((2*x*y)/(y
**4+2*x**2*y**2+x**4), (y**4+(2*x**2+1)*
y**2+x**4-x**2)/(y**4+2*x**2*y**2+x**4))
/2)-x*cos(atan2((2*x*y)/(y**4+2*x**2*y**2
+x**4), (y**4+(2*x**2+1)*y**2+x**4-x**2)/
(y**4+2*x**2*y**2+x**4))/2)))/(2*(y**4
+2*x**2*y**2+x**4)**(0.25))
# EOF
```

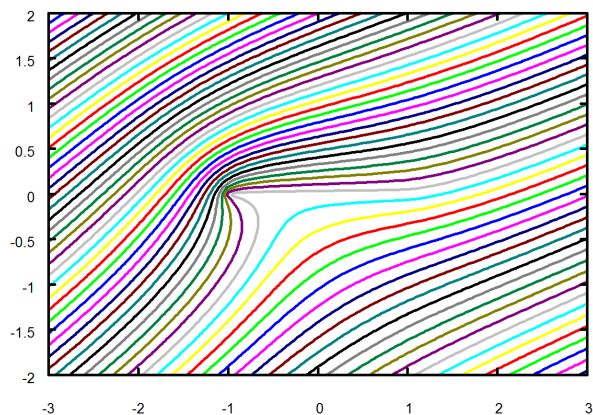


図 5.4.31: 二次元平板翼まわりの流れ

## 第6章 フーリエ解析

### 6.1 フーリエ級数

#### 6.1.1 フーリエ級数

```
kill(all);
FX1:f(x)=1/2*a[0]+sum(a[n]*cos(n*x)
+b[n]*sin(n*x),n,1,inf);
AN1:a[n]=1/%pi*integrate(f(s)*cos(n*s),s,
-%pi,%pi);
BN1:b[n]=1/%pi*integrate(f(s)*sin(n*s),s,
-%pi,%pi);
subst([AN1,BN1],FX1);
f(x)=(sum('integrate(f(s)*sin(n*s)*sin(n*x)
+f(s)*cos(n*s)*cos(n*x),s,-%pi,%pi)
/%pi,n,1,inf))+a[0]/2;
FX11:factor(%);
(sin(n*s)*sin(n*x)+cos(n*s)*cos(n*x));
CSI1:%=trigrat(%);
expand(subst([CSI1],FX11));
FX2:f(x)=1/2*a[0]+sum(a[n]*cos(2*pi
*n*x/L)+b[n]*sin(2*pi*n*x/L),n,1,inf);
AN2:a[n]=2/L*integrate(f(s)*cos(2*pi
*n*s/L),s,-L/2,L/2);
BN2:b[n]=2/L*integrate(f(s)*sin(2*pi
*n*s/L),s,-L/2,L/2);
```

$f(x)$  のフーリエ級数は下記のように表現される。

$$f(x) = \left( \sum_{n=1}^{\infty} b_n \sin(nx) + a_n \cos(nx) \right) + \frac{a_0}{2} \quad (6.1.1)$$

ここで、

$$\begin{aligned} a_n &= \frac{1}{\pi} \int_{-\pi}^{\pi} f(s) \cos(ns) ds \\ b_n &= \frac{1}{\pi} \int_{-\pi}^{\pi} f(s) \sin(ns) ds \end{aligned} \quad (6.1.2)$$

上式を (6.1.1) 式に代入すると、

$$f(x) = \left( \sum_{n=1}^{\infty} \frac{1}{\pi} \int_{-\pi}^{\pi} f(s) \sin(ns) ds \sin(nx) + \frac{1}{\pi} \int_{-\pi}^{\pi} f(s) \cos(ns) ds \cos(nx) \right) + \frac{a_0}{2}$$

下記の関係があり、

$$\sin(ns) \sin(nx) + \cos(ns) \cos(nx) = \cos(nx - ns)$$

上式を代入して、整理すると、

$$f(x) = \frac{1}{\pi} \sum_{n=1}^{\infty} \int_{-\pi}^{\pi} f(s) \cos(nx - ns) ds + \frac{a_0}{2} \quad (6.1.3)$$

また、任意の区間: $L$  では、

$$f(x) = \left( \sum_{n=1}^{\infty} b_n \sin\left(\frac{2\pi nx}{L}\right) + a_n \cos\left(\frac{2\pi nx}{L}\right) \right) + \frac{a_0}{2} \quad (6.1.4)$$

ここで、

$$\begin{aligned} a_n &= \frac{2}{L} \int_{-\frac{L}{2}}^{\frac{L}{2}} f(s) \cos\left(\frac{2\pi ns}{L}\right) ds \\ b_n &= \frac{2}{L} \int_{-\frac{L}{2}}^{\frac{L}{2}} f(s) \sin\left(\frac{2\pi ns}{L}\right) ds \end{aligned} \quad (6.1.5)$$

```

declare(n, integer);
declare(m, integer);
CC0: 'integrate(cos(m*x)*cos(n*x), x,
-%pi, %pi);
CC1: %=ev(% , integrate);
subst([n=m], CC0);
CC2: %=ev(% , integrate);
SS0: 'integrate(sin(m*x)*sin(n*x), x,
-%pi, %pi);
SS1: %=ev(% , integrate);
subst([n=m], SS0);
SS2: %=ev(% , integrate);
CS0: 'integrate(cos(m*x)*sin(n*x), x,
-%pi, %pi);
CS1: %=ev(% , integrate);
subst([n=m], CS0);
CS2: %=ev(% , integrate);
' integrate(lhs(FX1)*cos(m*x), x, -%pi, %pi)=
' integrate(rhs(FX1)*cos(m*x), x, -%pi, %pi);
lhs(% )=sum(' integrate(cos(m*x)*b[n]*
sin(n*x), x, -%pi, %pi)+' integrate(cos(m*x)
*a[n]*cos(n*x), x, -%pi, %pi), n, 1, inf)
+' integrate(cos(m*x)*a[0]/2, x, -%pi, %pi);
subst([b[n]=0, a[0]=0, 1=m, inf=m], %);
ev(% , sum);
ev(% , integrate);
solve(% , a[m])[1];

```

```

' integrate(lhs(FX1)*sin(m*x), x, -%pi, %pi)=
' integrate(rhs(FX1)*sin(m*x), x, -%pi, %pi);
lhs(% )=sum(' integrate(sin(m*x)*b[n]*
sin(n*x), x, -%pi, %pi)+' integrate(sin(m*x)
*a[n]*cos(n*x), x, -%pi, %pi), n, 1, inf)
+' integrate(sin(m*x)*a[0]/2, x, -%pi, %pi);
subst([a[n]=0, a[0]=0, 1=m, inf=m], %);
ev(% , sum);
ev(% , integrate);
solve(% , b[m])[1];

```

以下で、係数： $a_m, b_m$  を求める。いま、 $m, n$  が正の整数とすると、下記の関係が得られる。

$$\int_{-\pi}^{\pi} \cos(mx) \cos(nx) dx = 0$$

$$\int_{-\pi}^{\pi} \cos(mx)^2 dx = \pi \quad m \neq 0 \quad (6.1.6)$$

$$\int_{-\pi}^{\pi} \cos(mx)^2 dx = 2\pi \quad m = 0$$

$$\int_{-\pi}^{\pi} \sin(mx) \sin(nx) dx = 0$$

$$\int_{-\pi}^{\pi} \sin(mx)^2 dx = \pi \quad m \neq 0 \quad (6.1.7)$$

$$\int_{-\pi}^{\pi} \sin(mx)^2 dx = 0 \quad m = 0$$

$$\int_{-\pi}^{\pi} \cos(mx) \sin(nx) dx = 0$$

$$\int_{-\pi}^{\pi} \cos(mx) \sin(mx) dx = 0 \quad (6.1.8)$$

$\int_{-\pi}^{\pi} f(x) \cos(mx) dx$ 、 $\int_{-\pi}^{\pi} f(x) \sin(mx) dx$  に (6.1.1) 式を代入し、上記の関係式から、

$$\begin{aligned} \int_{-\pi}^{\pi} f(x) \cos(mx) dx &= \int_{-\pi}^{\pi} \cos(mx) \left( \left( \sum_{n=1}^{\infty} b_n \sin(nx) + a_n \cos(nx) \right) + \frac{a_0}{2} \right) dx \\ &= \left( \sum_{n=1}^{\infty} b_n \int_{-\pi}^{\pi} \cos(mx) \sin(nx) dx + a_n \int_{-\pi}^{\pi} \cos(mx) \cos(nx) dx \right) + \frac{a_0}{2} \int_{-\pi}^{\pi} \cos(mx) dx \\ &= a_m \int_{-\pi}^{\pi} \cos(mx)^2 dx = \pi a_m \end{aligned}$$

$$\begin{aligned} \int_{-\pi}^{\pi} f(x) \sin(mx) dx &= \int_{-\pi}^{\pi} \sin(mx) \left( \left( \sum_{n=1}^{\infty} b_n \sin(nx) + a_n \cos(nx) \right) + \frac{a_0}{2} \right) dx \\ &= \left( \sum_{n=1}^{\infty} b_n \int_{-\pi}^{\pi} \sin(mx) \sin(nx) dx + a_n \int_{-\pi}^{\pi} \sin(mx) \cos(nx) dx \right) + \frac{a_0}{2} \int_{-\pi}^{\pi} \sin(mx) dx \\ &= b_m \int_{-\pi}^{\pi} \sin(mx)^2 dx = \pi b_m \end{aligned}$$

上式から、(6.1.2) 式が得られる。

$$a_m = \frac{1}{\pi} \int_{-\pi}^{\pi} f(x) \cos(mx) dx, \quad b_m = \frac{1}{\pi} \int_{-\pi}^{\pi} f(x) \sin(mx) dx \quad (6.1.9)$$

### 6.1.2 Maxima のフーリエ級数関数

Maxima の関数で、フーリエ級数展開の実行は *fourier* 関数で行える。実行方法は下記の要領で行う。まず、*fourier* を load しておく。

*fourier*(関数, 変数, 積分範囲)

係数  $a_0, a_n, b_n$  および引継情報が出力される。下記を実行すると、フーリエ級数展開の式が表示される。

*fourexpand*(引継情報, 変数, 積分範囲, 級数の終項)

フーリエ級数展開の例題を以降に示す。

### 6.1.3 フーリエ級数展開例

$$f(x) = x$$

```
kill(all);
load("fourier");
fourier(x,x,1);
FA0:%t2;
FAN:%t3;
FBN:%t4;
FX11:f(x)=fourexpend(%o4,x,1,inf);
FX13:subst([FA0,FAN,FBN,inf=3],FX11);
FX19:subst([FA0,FAN,FBN,inf=9],FX11);
FX130:subst([FA0,FAN,FBN,inf=30],FX11);
plot2d([x,rhs(FX13),rhs(FX19),rhs(FX130)],
[x,-1,1],[y,-1.5,2],[legend,"x","N=3",
"N=9","N=30"],[style,[lines,3,1],
[lines,3,2],[lines,3,3],[lines,3,4]]);
```

$f(x) = x$  のフーリエ級数展開を範囲:  $-1 \sim 1$  で *fourier* を実行すると、下記が出力される。

$$(\%t8) \quad a_0 = 0$$

$$(\%t9) \quad a_n = 0$$

$$(\%t10) \quad b_n = 2 \left( \frac{\sin(\pi n)}{\pi^2 n^2} - \frac{\cos(\pi n)}{\pi n} \right)$$

$$(\%o10) \quad [\%t8, \%t9, \%t10]$$

一行目から 3 行目が係数  $a_0, a_n, b_n$  で 4 行目は引継情報である。 $t$  の後の数字は Maxima の行数を表す。以上から係数は、

$$a_0 = 0, \quad a_n = 0, \quad b_n = 2 \left( \frac{\sin(\pi n)}{\pi^2 n^2} - \frac{\cos(\pi n)}{\pi n} \right)$$

範囲:  $-1 \sim 1$  で、項数:  $\infty$  でフーリエ級数展開の式は *fourexpand* に引継情報;  $\%o10$  を入力すると、下記となる。

$$f(x) = - \frac{2 \sum_{n=1}^{\infty} \frac{(-1)^n \sin(\pi n x)}{n}}{\pi}$$

上式で項数:  $N = 3, N = 9, N = 30$  で  $f(x)$  を表現すると下記となる。

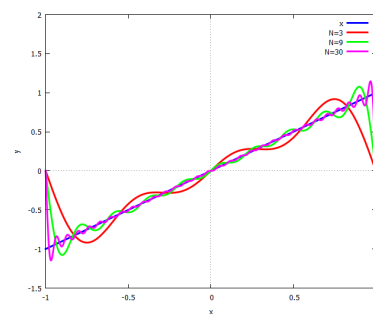


図 6.1.1:  $f(x) = x$  のフーリエ級数展開

$$f(x) = |x|$$

```
kill(all);
load("fourie");
fourier(abs(x),x,1);
FA0:%t2;
FAN:%t3;
FBN:%t4;
FX12:f(x)=fourexpend(%o4,x,1,inf);
FX13:subst([FA0,FAN,FBN,inf=3],FX12);
FX19:subst([FA0,FAN,FBN,inf=9],FX12);
FX130:subst([FA0,FAN,FBN,inf=30],FX12);
plot2d([abs(x),rhs(FX13),rhs(FX19),
rhs(FX130)], [x,-1,1], [y,-0.5,2],
[legend,"x","N=3","N=9","N=30"],
[style,[lines,3,1],[lines,3,2],[lines,3,3],
[lines,3,4]]);
```

$f(x) = |x|$  のフーリエ級数展開を *fourier* を実行すると係数は、

$$a_0 = \frac{1}{2}$$

$$a_n = 2 \left( \frac{\sin(\pi n)}{\pi n} + \frac{\cos(\pi n)}{\pi^2 n^2} - \frac{1}{\pi^2 n^2} \right)$$

$$b_n = 0$$

フーリエ級数展開の式は *fourexpend* に引継情報を入力すると、下記となる。

$$f(x) = 2 \left( \sum_{n=1}^{\infty} \left( \frac{(-1)^n}{\pi^2 n^2} - \frac{1}{\pi^2 n^2} \right) \cos(\pi n x) \right) + \frac{1}{2}$$

上式で項数:  $N = 3, N = 9, N = 30$  で  $f(x)$  を表現すると下記となる。

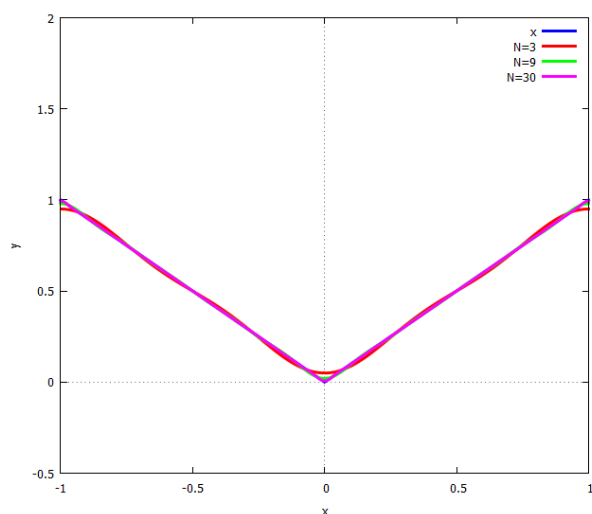


図 6.1.2:  $f(x) = |x|$  のフーリエ級数展開

$$f(x) = x^2$$

```
kill(all);
load("fourie");
fourier(x^2,x,1);
FA0:%t2;
FAN:%t3;
FBN:%t4;
FX12:f(x)=fourexpend(%o4,x,1,inf);
FX13:subst([FA0,FAN,FBN,inf=3],FX12);
FX19:subst([FA0,FAN,FBN,inf=9],FX12);
FX130:subst([FA0,FAN,FBN,inf=30],FX12);
plot2d([x^2,rhs(FX13),rhs(FX19),
rhs(FX130)], [x,-1,1], [y,-0.5,2],
[legend,"x","N=3","N=9","N=30"],
[style,[lines,3,1],[lines,3,2],[lines,3,3],
[lines,3,4]]);
```

$f(x) = x^2$  のフーリエ級数展開を *fourier* を実行すると係数は、

$$a_0 = \frac{1}{3}$$

$$a_n = 2 \left( \frac{\sin(\pi n)}{\pi n} - \frac{2 \sin(\pi n)}{\pi^3 n^3} + \frac{2 \cos(\pi n)}{\pi^2 n^2} \right)$$

$$b_n = 0$$

フーリエ級数展開の式は *fourexpend* に引継情報を入力すると、下記となる。

$$f(x) = \frac{4 \sum_{n=1}^{\infty} \frac{(-1)^n \cos(\pi n x)}{n^2}}{\pi^2} + \frac{1}{3}$$

上式で項数:  $N = 3, N = 9, N = 30$  で  $f(x)$  を表現すると下記となる。

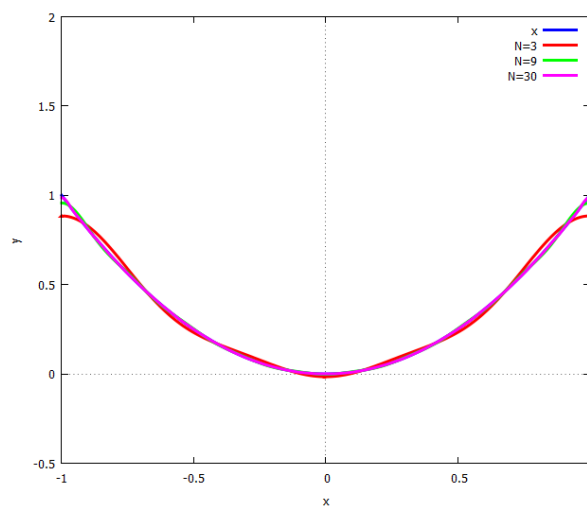


図 6.1.3:  $f(x) = x^2$  のフーリエ級数展開

### 6.1.4 Maxima の高速フーリエ変換 (FFT) 関数

フーリエ変換するデータの数が2のn乗の場合には、高速フーリエ変換 (FFT) が使用でき、変換が高速で行える。高速フーリエ変換 (FFT) する関数は、fft である。2のn乗個のリストデータを用意し、下記の要領で実行する。まず、fft を load しておく。

fft(リストデータのファイル名)

#### 高速フーリエ変換

```
kill(all);
load("fft");
N:32;
M:3;
L:6;
A:2;
B:1;
for J:1 thru N do (
if J=1 then listfft:[ float(A*sin((J-1)*M/
N*2*pi)+B*cos((J-1)*L/N*2*pi) ) ]
else listfft:append(listfft, [ float(A*
sin((J-1)*M/N*2*pi)+B*cos((J-1)
*L/N*2*pi) ) ]));
```

例として、次式のデータのリストを作成する。

$$A \sin\left(\frac{2\pi(J-1)M}{N}\right) + B \cos\left(\frac{2\pi(J-1)L}{N}\right)$$

上式で、 $M = 3, L = 6, A = 2, B = 1$  でデータ数： $N = 32$  とすると、作成したリストデータは下記となる。

```
[1.0, 1.493823898404294, 1.140652283836026,
1.037691028295174, 1.414213562373095,
1.314060176543544, -0.058260083543632,
-2.04562265697018, -3.0, -2.045622656970182,
-0.058260083543633, 1.314060176543543,
1.414213562373095, 1.037691028295174,
1.140652283836026, 1.493823898404294, 1.0,
-0.72845703367411, -2.55486584620912,
-2.885450093317749, -1.414213562373095,
0.53369888847903, 1.472473645916727,
1.280255792240001, 1.0, 1.28025579224,
1.472473645916729, 0.53369888847903,
-1.414213562373095, -2.885450093317746,
-2.554865846209121, -0.72845703367412]
```

上記リストの名前を listfft として、格納し fft 関数を実行する。

```
L01:fft(listfft);
for J:1 thru N do (
if J=1 then L01R:[ [ float(J-1),
realpart(L01[J]) ] ]
else L01R:append(L01R, [ [float(J-1),
realpart(L01[J])]]));
for J:1 thru N do (
if J=1 then L01I:[ [ float(J-1),
imagpart(L01[J]) ] ]
else L01I:append(L01I, [[float(J-1),
imagpart(L01[J])]]));
plot2d([[discrete, L01R], [discrete, L01I]],
[legend, "cos", "sin"], [style, [lines, 4, 1],
[lines, 4, 2]]);
```

高速フーリエ変換 (FFT) 結果のリストは下記となる。

```
[-2.0816681711721685 10-17,
-1.5959455978986625 10-16 i - 1.6653345369377348 10-16,
-4.163336342344337 10-17 i - 1.457167719820518 10-16,
1.0 i - 3.9551695252271202 10-16,
2.0558150319572812 10-16 i - 2.8457925813643421 10-16,
2.3592239273284576 10-16 i - 9.0205620750793969 10-17,
3.7470027081099033 10-16 i + 0.5,
6.0706560206022249 10-17 i + 1.0654906859119542 10-17,
2.7755575615628914 10-16 i - 4.8572257327350599 10-17,
2.1510571102112408 10-16 i + 8.3266726846886741 10-17,
4.2327252813834093 10-16 i - 5.5511151231257827 10-17,
1.8735013540549517 10-16 i + 2.9143354396410359 10-16,
1.0843698854102689 10-16 i + 2.8457925813643426 10-16,
2.7061686225238191 10-16,
1.6653345369377348 10-16 - 1.3877787807814457 10-17 i,
1.3822491912717625 10-16 - 1.1641170872154277 10-17 i,
1.1796119636642288 10-16,
1.9428902930940239 10-16 - 2.0816681711721685 10-17 i,
6.9388939039072284 10-17 i + 1.7347234759768071 10-16,
3.1225022567582528 10-16 - 1.1102230246251565 10-16 i,
2.8457925813643421 10-16 - 1.0843698854102692 10-16 i,
2.9837243786801082 10-16 - 2.3592239273284576 10-16 i,
-4.0245584642661925 10-16 i,
-2.8275116513105356 10-16 i - 3.8410482474748455 10-17,
-2.7755575615628914 10-16 i - 4.8572257327350599 10-17,
-3.4694469519536142 10-17 i - 5.5511151231257827 10-17,
0.5 - 4.5102810375396984 10-16 i,
-1.8735013540549517 10-16 i - 1.5265566588595902 10-16,
-2.0558150319572809 10-16 i - 2.8457925813643426 10-16,
-1.0 i - 5.3429483060085659 10-16,
4.163336342344337 10-17 i - 1.3877787807814457 10-16,
2.3368577579718559 10-16 i - 1.6598049474280516 10-16]
```

結果は複素数で出力され、実数は cos 項を、虚数は sin 項を表している。結果を図に表すと下図となる。

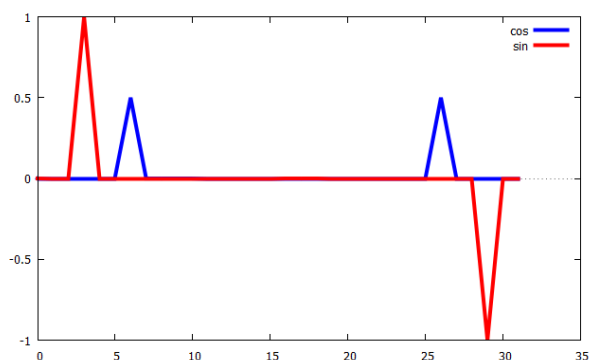


図 6.1.4: 高速フーリエ変換 (FFT) 結果

最初からデータ数の 1/2 までが結果で、以降は前述の対称結果となっている。また、振幅は 1/2 である。

### 高速逆フーリエ変換

```
L011:inverse_fft(L01);
for J:1 thru N do (
if J=1 then L011R:[ [float(J-1),
  realpart(L011[J]) ] ]
else L011R:append(L011R, [[ float(J-1),
  realpart(L011[J])]]));
for J:1 thru N do (
if J=1 then L011I:[ [float(J-1),
  realpart(listfft[J]) ] ]
else L011I:append(L011I, [[ float(J-1),
  realpart(listfft[J])]]));
plot2d([[discrete, L011R],[discrete,L011I]],
[legend,"inverse fft","orig."],
[style,[lines,4,1],[lines,4,2]]);
```

逆フーリエ変換するデータの数が 2 の  $n$  乗の場合には、高速逆フーリエ変換が使用でき、変換が高速で行える。逆高速フーリエ変換する関数は、*inverse\_fft* である。実行方法は下記の要領で行う。まず、*fft* を load しておく。

*inverse\_fft*(リストデータのファイル名)

逆変換するリストデータは複素数で与え、前述の高速フーリエ変換結果を参考に与える。例として、前述の高速フーリエ変換結果を与え、逆変換した結果は下記となり、元のデータと一致している。

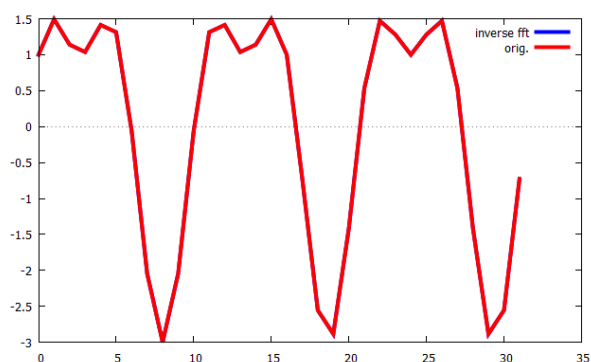


図 6.1.5: 逆高速フーリエ変換 (FFT) 結果

## 6.2 フーリエ積分

### 6.2.1 フーリエ積分

関数:  $f(x)$  のフーリエ級数は (6.1.4) 式で表現できる。

$$f(x) = \left( \sum_{n=1}^{\infty} b_n \sin\left(\frac{2\pi n x}{L}\right) + a_n \cos\left(\frac{2\pi n x}{L}\right) \right) + \frac{a_0}{2}$$

(6.2.1)

ここで、

$$\begin{aligned} a_n &= \frac{2}{L} \int_{-\frac{L}{2}}^{\frac{L}{2}} f(x) \cos\left(\frac{2\pi n x}{L}\right) dx \\ b_n &= \frac{2}{L} \int_{-\frac{L}{2}}^{\frac{L}{2}} f(x) \sin\left(\frac{2\pi n x}{L}\right) dx \end{aligned}$$

(6.2.2)

```
kill(all);
FX2:f(x)=1/2*a[0]+sum(a[n]*cos(2*pi*n*x/L)
+b[n]*sin(2*pi*n*x/L),n,1,inf);
AN2:a[n]=2/L*integrate(f(x)
*cos(2*pi*n*x/L),x,-L/2,L/2);
BN2:b[n]=2/L*integrate(f(x)
*sin(2*pi*n*x/L),x,-L/2,L/2);
FX5:f(x)=1/2*a[0]+sum(a[n]*cos(2*pi*n*x/L)
,n,1,inf)+sum(b[n]*sin(2*pi*n*x/L),n,1
,inf);
FX51:subst([AN2,BN2],FX5);
K1:(2*pi*n*x)/L=k[n]*x;
DK1:subst([n=1,x=1],lhs(K1))=dk[n];
%%pi;
subst([K1],FX51);
f(x)=(sum(sin(k[n]*x)*dk[n]*integrate(f(x)
*sin(k[n]*x),x,-L/2,L/2),n,1,inf))/pi
+(sum(cos(k[n]*x)*dk[n]*integrate(f(x)
*cos(k[n]*x),x,-L/2,L/2),n,1,inf))/pi
+a[0]/2;
FX52:f(x)=(integrate(sin(k*x)*integrate(
f(x)*sin(k*x),x,-inf,inf),k,0,inf))/pi
+(integrate(cos(k*x)*integrate(f(x)
*cos(k*x),x,-inf,inf),k,0,inf))/pi;
AK1:A(k)='integrate(f(x)*cos(k*x),x,
-inf,inf);
AK11:rhs(%)=lhs(%);
BK1:B(k)='integrate(f(x)*sin(k*x),x,
-inf,inf);
BK11:rhs(%)=lhs(%);
subst([AK11,BK11],FX52);
subst([AK11,BK11],FX52);
```

(6.2.1) 式に (6.2.2) 式を代入し、

$$\begin{aligned} f(x) &= \frac{2}{L} \sum_{n=1}^{\infty} \int_{-\frac{L}{2}}^{\frac{L}{2}} f(x) \sin\left(\frac{2\pi n x}{L}\right) dx \sin\left(\frac{2\pi n x}{L}\right) \\ &+ \frac{2}{L} \sum_{n=1}^{\infty} \int_{-\frac{L}{2}}^{\frac{L}{2}} f(x) \cos\left(\frac{2\pi n x}{L}\right) dx \cos\left(\frac{2\pi n x}{L}\right) \\ &+ \frac{a_0}{2} \end{aligned}$$

(6.2.3)

次式の  $k_n$  を導入する。  $k_n$  の間隔:  $dk_n$  は、

$$\frac{2\pi n x}{L} = k_n x, \quad \frac{2\pi}{L} = dk_n$$

上式を (6.2.3) 式に代入し、積分範囲:  $L \rightarrow \infty$  とすると、

$$\begin{aligned} f(x) &= \frac{1}{\pi} \sum_{n=1}^{\infty} dk_n \sin(k_n x) \int_{-\frac{L}{2}}^{\frac{L}{2}} f(x) \sin(k_n x) dx \\ &+ \frac{1}{\pi} \sum_{n=1}^{\infty} dk_n \cos(k_n x) \int_{-\frac{L}{2}}^{\frac{L}{2}} f(x) \cos(k_n x) dx \\ &= \frac{1}{\pi} \int_0^{\infty} \sin(k x) \int_{-\infty}^{\infty} f(x) \sin(k x) dx dk \\ &+ \frac{1}{\pi} \int_0^{\infty} \cos(k x) \int_{-\infty}^{\infty} f(x) \cos(k x) dx dk \end{aligned}$$

上式を整理すると、

$$\begin{aligned} f(x) &= \frac{1}{\pi} \int_0^{\infty} B(k) \sin(k x) dk \\ &+ \frac{1}{\pi} \int_0^{\infty} A(k) \cos(k x) dk \end{aligned}$$

(6.2.4)

ここで、

$$\begin{aligned} A(k) &= \int_{-\infty}^{\infty} f(x) \cos(k x) dx \\ B(k) &= \int_{-\infty}^{\infty} f(x) \sin(k x) dx \end{aligned}$$

(6.2.5)



```

COS1:cos(x)=(%e^(%i*x)+%e^(-%i*x))/2;
SIN1:sin(x)=(%e^(%i*x)-%e^(-%i*x))/(2*i);
COS2:subst([x=2*pi*n*x/L],COS1);
SIN2:subst([x=2*pi*n*x/L],SIN1);
subst([COS2,SIN2],FX2);
FX21:expand(%);
-(%i*b[n]*%e^((2*i*pi*n*x)/L))/2+(a[n]*%e^((2*i*pi*n*x)/L))/2;
DFX31:factor(%);
(%i*b[n]*%e^(-2*i*pi*n*x/L))/2+(a[n]*%e^(-2*i*pi*n*x/L))/2;
DFX32:factor(%);
CN1:(-i*b[n]+a[n])/2=c[n];
CN2:(i*b[n]+a[n])/2=c[n];
CNO:a[0]/2=c[0];
FX3:f(x)=sum(c[n]*%e^((2*i*pi*n*x)/L),n,1,inf)+sum(c[n]*%e^(-2*i*pi*n*x/L),n,1,inf)+c[0];
FX31:f(x)=sum(c[n]*%e^((2*i*pi*n*x)/L),n,minf,inf);

```

上式の複素表示を行う。cos, sin を複素表現すると、

$$\cos(x) = \frac{e^{ix} + e^{-ix}}{2}$$

$$\sin(x) = -\frac{i(e^{ix} - e^{-ix})}{2}$$

上式をフーリエ級数の (6.2.1) 式の cos, sin 項の形に変更し、

$$\cos\left(\frac{2\pi nx}{L}\right) = \frac{e^{\frac{2i\pi nx}{L}} + e^{-\frac{2i\pi nx}{L}}}{2}$$

$$\sin\left(\frac{2\pi nx}{L}\right) = -\frac{i\left(e^{\frac{2i\pi nx}{L}} - e^{-\frac{2i\pi nx}{L}}\right)}{2}$$

上式を (6.2.1) 式に代入すると、

$$f(x) = \left( \sum_{n=1}^{\infty} \frac{a_n \left( e^{\frac{2i\pi nx}{L}} + e^{-\frac{2i\pi nx}{L}} \right)}{2} - \frac{ib_n \left( e^{\frac{2i\pi nx}{L}} - e^{-\frac{2i\pi nx}{L}} \right)}{2} \right) + \frac{a_0}{2}$$

$$= \left( \sum_{n=1}^{\infty} -\frac{ib_n e^{\frac{2i\pi nx}{L}}}{2} + \frac{a_n e^{\frac{2i\pi nx}{L}}}{2} + \frac{ib_n e^{-\frac{2i\pi nx}{L}}}{2} + \frac{a_n e^{-\frac{2i\pi nx}{L}}}{2} \right) + \frac{a_0}{2} \quad (6.2.6)$$

$e^{\frac{2i\pi nx}{L}}$  の項を整理すると、

$$-\frac{(ib_n - a_n) e^{\frac{2i\pi nx}{L}}}{2}$$

$e^{-\frac{2i\pi nx}{L}}$  の項を整理すると、

$$\frac{(ib_n + a_n) e^{-\frac{2i\pi nx}{L}}}{2}$$

そこで、下記のように係数： $c_n$  定義し、

$$\frac{ib_n - a_n}{2} = c_n \quad n > 0$$

$$\frac{ib_n + a_n}{2} = c_n \quad n < 0$$

$$\frac{a_0}{2} = c_0 \quad n = 0$$

上式の関係 (6.2.6) 式に代入すると、

$$f(x) = \left( \sum_{n=1}^{\infty} c_n e^{\frac{2i\pi nx}{L}} \right) + \left( \sum_{n=-1}^{-\infty} c_n e^{-\frac{2i\pi nx}{L}} \right) + c_0$$

$$= \left( \sum_{n=-\infty}^{\infty} c_n e^{\frac{2i\pi nx}{L}} \right) \quad (6.2.7)$$

```

solve(CN1,c[n])[1];
subst([AN2,BN2],%);
subst([COS2,SIN2],%);
expand(%);
c[n]=integrate(f(x)*(%e^(-2*i*pi*n*x)/L),x,-L/2,L/2)/L;
subst([],FX31);
solve(CN2,c[n])[1];
subst([AN2,BN2],%);
lhs(%)=subst([COS2,SIN2,n=-n],rhs(%));
expand(%);
c[n]=integrate(f(x)*(+%e^(-2*i*pi*n*x)/L),x,-L/2,L/2)/L;
FX41:subst([],FX31);
K1:2*pi*n*x/L=k[n]*x;
f(x)=sum(%e^(%i*k[n]*x)*'integrate(f(x)*%e^(-%i*k[n]*x),x,-L/2,L/2),n,-inf,inf)/L;
f(x)='integrate(%e^(%i*k*x)*'integrate(f(x)*%e^(-%i*k*x),x,-inf,inf),k,-inf,inf)/(2*pi);
FK1:F(k)='integrate(%e^(-%i*k*x)*f(x),x,-inf,inf)/(2*pi);
FX1:f(x)='integrate(%e^(%i*k*x)*F(k),k,-inf,inf);

```

```

FK2:F(k)='integrate(%e^(-%i*k*x)*f(x),
x,-inf,inf)/sqrt(2*%pi);
FX2:f(x)='integrate(%e^(%i*k*x)*F(k),
k,-inf,inf)/sqrt(2*%pi);
FK3:F(k)='integrate(%e^(-%i*k*x)*f(x)
,x,-inf,inf);
FX3:f(x)='integrate(%e^(%i*k*x)*F(k)
,k,-inf,inf)/(2*%pi);

```

係数： $c_n$  について、

$$\begin{aligned}
c_n &= -\frac{ib_n - a_n}{2} \\
&= -\left( \frac{2i \int_{-\frac{L}{2}}^{\frac{L}{2}} f(x) \sin\left(\frac{2\pi nx}{L}\right) dx}{2L} \right. \\
&\quad \left. - \frac{2 \int_{-\frac{L}{2}}^{\frac{L}{2}} f(x) \cos\left(\frac{2\pi nx}{L}\right) dx}{2L} \right) \\
&= -\left( \frac{\int_{-\frac{L}{2}}^{\frac{L}{2}} f(x) \left( e^{\frac{2i\pi nx}{L}} - e^{-\frac{2i\pi nx}{L}} \right) dx}{2L} \right. \\
&\quad \left. - \frac{\int_{-\frac{L}{2}}^{\frac{L}{2}} f(x) \left( e^{\frac{2i\pi nx}{L}} + e^{-\frac{2i\pi nx}{L}} \right) dx}{2L} \right) \\
&= \frac{1}{L} \int_{-\frac{L}{2}}^{\frac{L}{2}} f(x) e^{-\frac{2i\pi nx}{L}} dx
\end{aligned} \tag{6.2.8}$$

また、別の係数： $c_n$  について、

$$\begin{aligned}
c_n &= \frac{ib_n + a_n}{2} \\
&= \frac{2i \int_{-\frac{L}{2}}^{\frac{L}{2}} f(x) \sin\left(\frac{2\pi nx}{L}\right) dx}{2L} \\
&\quad + \frac{2 \int_{-\frac{L}{2}}^{\frac{L}{2}} f(x) \cos\left(\frac{2\pi nx}{L}\right) dx}{2L} \\
&= \frac{\int_{-\frac{L}{2}}^{\frac{L}{2}} f(x) \left( e^{\frac{2i\pi nx}{L}} + e^{-\frac{2i\pi nx}{L}} \right) dx}{2L} \\
&\quad + \frac{\int_{-\frac{L}{2}}^{\frac{L}{2}} f(x) \left( e^{-\frac{2i\pi nx}{L}} - e^{\frac{2i\pi nx}{L}} \right) dx}{2L} \\
&= \frac{1}{L} \int_{-\frac{L}{2}}^{\frac{L}{2}} f(x) e^{-\frac{2i\pi nx}{L}} dx
\end{aligned} \tag{6.2.9}$$

(6.2.8) 式、(6.2.9) 式を (6.2.7) 式に代入すると、

$$\begin{aligned}
f(x) &= \frac{1}{L} \sum_{n=-\infty}^{\infty} e^{\frac{2i\pi nx}{L}} \\
&\quad \times \int_{-\frac{L}{2}}^{\frac{L}{2}} f(x) e^{-\frac{2i\pi nx}{L}} dx
\end{aligned} \tag{6.2.10}$$

次式の  $k_n$  を導入する。 $k_n$  の間隔： $dk_n$  は、

$$\frac{2\pi nx}{L} = k_n x, \quad \frac{2\pi}{L} = dk_n$$

上式を (6.2.10) 式に代入し、積分範囲： $L \rightarrow \infty$  とすると、

$$\begin{aligned}
f(x) &= \frac{1}{2\pi} \sum_{n=-\infty}^{\infty} e^{ik_n x} dk_n \int_{-\frac{L}{2}}^{\frac{L}{2}} e^{-ik_n x} f(x) dx \\
&= \frac{1}{2\pi} \int_{-\infty}^{\infty} e^{ikx} \int_{-\infty}^{\infty} e^{-ikx} f(x) dx dk
\end{aligned}$$

上式から下記のフーリエ積分の関係式が得られる。

$$\begin{aligned}
F(k) &= \frac{1}{2\pi} \int_{-\infty}^{\infty} e^{-ikx} f(x) dx \\
f(x) &= \int_{-\infty}^{\infty} F(k) e^{ikx} dk
\end{aligned} \tag{6.2.11}$$

また、下記のようにも表現できる。

$$\begin{aligned}
F(k) &= \int_{-\infty}^{\infty} e^{-ikx} f(x) dx \\
f(x) &= \frac{1}{2\pi} \int_{-\infty}^{\infty} F(k) e^{ikx} dk
\end{aligned} \tag{6.2.12}$$

$$\begin{aligned}
F(k) &= \frac{1}{\sqrt{2}\sqrt{\pi}} \int_{-\infty}^{\infty} e^{-ikx} f(x) dx \\
f(x) &= \frac{1}{\sqrt{2}\sqrt{\pi}} \int_{-\infty}^{\infty} F(k) e^{ikx} dk
\end{aligned} \tag{6.2.13}$$

## 6.2.2 畳み込み積分 (インパルス応答)

次式に示す積分を畳み込み積分という。

$$h(x) = \int_{-\infty}^{\infty} f(\tau) g(x - \tau) d\tau \quad (6.2.14)$$

入力:  $f(x)$  とし、それに対するインパルス応答:  $g(x)$  とする。原点において、入力:  $f(0)$  のインパルスが与えられたときの出力は  $f(0) \times g(x)$  となる。入力:  $f(x)$  に対する出力は、ずらした位置における出力を足し合わせるにより得られ、式で記述すると上式となる。

```
kill(all);
FK1:F(k)='integrate(%e^(-%i*k*x)*f(x),x,
-inf,inf)/(2*pi);
FX1:f(x)='integrate(%e^(%i*k*x)*F(k),k,
-inf,inf);
HX1:h(x)='integrate(f(\tau)*g(x-\tau),
\tau,minf,inf);
HK11:H(k)='integrate(%e^(-%i*k*x)*h(x),x,
-inf,inf)/(2*pi);
HK2:subst([HX1],HK11);
Y1:y=x-\tau;
solve(%,x)[1];
H(k)='integrate('integrate(f(\tau)*g(y)
*e^(-%i*k*(y+\tau)),\tau,-inf,inf),y,
-inf,inf)/(2*pi);
H(k)='integrate('integrate(f(\tau)
*e^(-%i*k*(\tau)),\tau,-inf,inf)*
*e^(-%i*k*(y))*g(y),y,-inf,inf)/(2*pi);
H(k)=2*pi*F(k)*G(k);
```

(6.2.11) 式のフーリエ積分の関係式: 次式をここで使用する。

$$F(k) = \frac{1}{2\pi} \int_{-\infty}^{\infty} e^{-ikx} f(x) dx \quad (6.2.15)$$

$$f(x) = \int_{-\infty}^{\infty} F(k) e^{ikx} dk \quad (6.2.16)$$

畳み込み積分の出力:  $h(x)$  を (6.2.15) 式にならってフーリエ積分し、(6.2.14) 式を代入すると次式となる。

$$\begin{aligned} H(k) &= \frac{1}{2\pi} \int_{-\infty}^{\infty} e^{-ikx} h(x) dx \\ &= \frac{1}{2\pi} \int_{-\infty}^{\infty} e^{-ikx} \int_{-\infty}^{\infty} f(\tau) g(x - \tau) d\tau dx \end{aligned} \quad (6.2.17)$$

次式の  $y$  を導入し、

$$y = x - \tau, \quad x = y + \tau$$

上式を (6.2.17) 式に代入し、下記を得る。

$$\begin{aligned} H(k) &= \frac{1}{2\pi} \int_{-\infty}^{\infty} g(y) \int_{-\infty}^{\infty} f(\tau) e^{-ik(y+\tau)} d\tau dy \\ &= \frac{1}{2\pi} \int_{-\infty}^{\infty} e^{-ik\tau} f(\tau) d\tau \int_{-\infty}^{\infty} e^{-iky} g(y) dy \\ &= 2\pi F(k) G(k) \end{aligned} \quad (6.2.18)$$

```
FK3:F(k)='integrate(%e^(-%i*k*x)*f(x),x,
-inf,inf);
FX3:f(x)='integrate(%e^(%i*k*x)*F(k),k,
-inf,inf)/(2*pi);
HK1:H(k)='integrate(%e^(-%i*k*x)*h(x),x,
-inf,inf);
HK2:subst([HX1],HK1);
Y1:y=x-\tau;
solve(%,x)[1];
H(k)='integrate('integrate(f(\tau)*g(y)
*e^(-%i*k*(y+\tau)),\tau,-inf,inf),y,
-inf,inf);
H(k)='integrate('integrate(f(\tau)
*e^(-%i*k*(\tau)),\tau,-inf,inf)*
*e^(-%i*k*(y))*g(y),y,-inf,inf);
H(k)=F(k)*G(k);
```

(6.2.12) 式のフーリエ積分の関係式: 次式をここで使用する。

$$F(k) = \int_{-\infty}^{\infty} e^{-ikx} f(x) dx \quad (6.2.19)$$

$$f(x) = \frac{1}{2\pi} \int_{-\infty}^{\infty} F(k) e^{ikx} dk \quad (6.2.20)$$

畳み込み積分の出力:  $h(x)$  を (6.2.19) 式にならってフーリエ積分し、(6.2.14) 式を代入すると次式となる。

$$\begin{aligned} H(k) &= \int_{-\infty}^{\infty} e^{-ikx} h(x) dx \\ &= \int_{-\infty}^{\infty} e^{-ikx} \int_{-\infty}^{\infty} f(\tau) g(x - \tau) d\tau dx \end{aligned} \quad (6.2.21)$$

次式の  $y$  を導入し、

$$y = x - \tau, \quad x = y + \tau$$

上式を (6.2.17) 式に代入し、下記を得る。

$$\begin{aligned} H(k) &= \int_{-\infty}^{\infty} g(y) \int_{-\infty}^{\infty} f(\tau) e^{-ik(y+\tau)} d\tau dy \\ &= \int_{-\infty}^{\infty} e^{-ik\tau} f(\tau) d\tau \int_{-\infty}^{\infty} e^{-iky} g(y) dy \\ &= F(k) G(k) \end{aligned} \quad (6.2.22)$$

上式から出力のフーリエ変換結果:  $H(k)$  は、入力のフーリエ変換結果:  $F(k)$  とインパルス応答のフーリエ変換結果:  $G(k)$  の積で得られる。

### 6.2.3 フーリエ積分例

#### 矩形のフーリエ積分

```
kill(all);
FK1:F(k)='integrate(%e^(-%i*k*x)*f(x),x,
-inf,inf)/(2*pi);
FK2:F(k)='integrate(%e^(-%i*k*x)*1,x,
-T/2,T/2)/(2*pi);
ev(%integrate);
FK21:lhs(%)=trigrat(rhs(%));
subst([T=1],rhs(FK21));
plot2d(%,[k,-50,50],[style,[lines,3,1]]);
plot2d([parametric,t,1,[t,-0.5,0.5],
[nticks,100],[x,-1,1],[y,-1,2],
[style,[lines,3,1]]];
```

矩形： $f(x) = 1, -T/2 < x < T/2$  のフーリエ積分結果は、

$$F(k) = \frac{\int_{-T/2}^{T/2} e^{-ikx} dx}{2\pi} = \frac{\sin\left(\frac{kT}{2}\right)}{\pi k}$$

$T = 1$  とすると、下図となる。

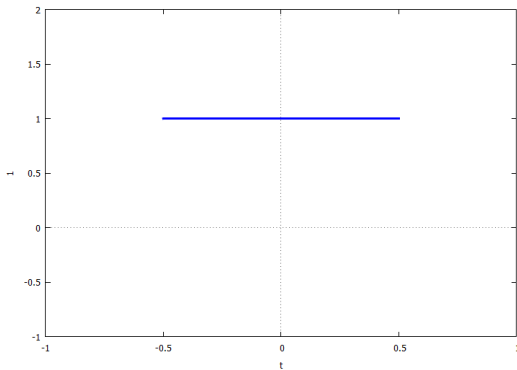


図 6.2.1: [矩形の波形]

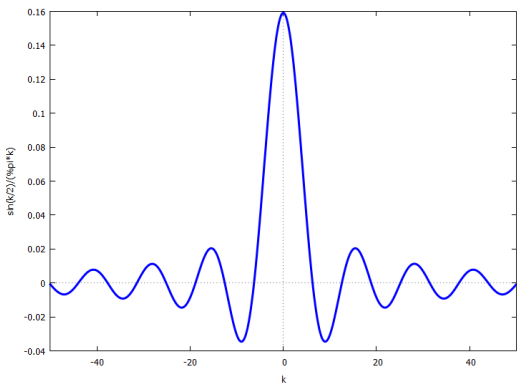


図 6.2.2: 矩形のフーリエ積分結果

#### 指数関数のフーリエ積分

```
assume(a>0);
assume(k>0);
FK3:F(k)='integrate(%e^(-%i*k*x)
*e^(-a*x),x,0,inf)/(2*pi);
ev(%integrate);
factor(%);
forget(k>0);
assume(k<0);
FK3:F(k)='integrate(%e^(-%i*k*x)
*e^(-a*x),x,0,inf)/(2*pi);
ev(%integrate);
FK31:factor(%);
subst([a=1],rhs(FK31));
plot2d([realpart(%),imagpart(%)], [k,-5,5],
[legend,"realpart F(k)","imagpart F(k)"],
[style,[lines,3,1],[lines,3,2]]);
plot2d([parametric,t,%e^(-t), [t,0,5],
[nticks,100],[x,-5,5],[y,-1,2],
[style,[lines,3,1]]];
```

指数関数： $f(x) = e^{-ax}, x > 0$  のフーリエ積分結果は、 $a > 0, k > 0$  とすると、

$$F(k) = \frac{\int_0^\infty e^{-ikx - ax} dx}{2\pi} = -\frac{ik + a}{2\pi(k^2 - 2iak - a^2)}$$

$k < 0$  でも同じ結果となる。 $a = 1$  とすると、下図となる。

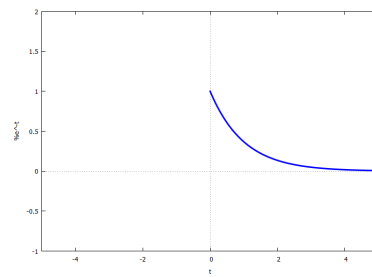


図 6.2.3: 指数関数の波形

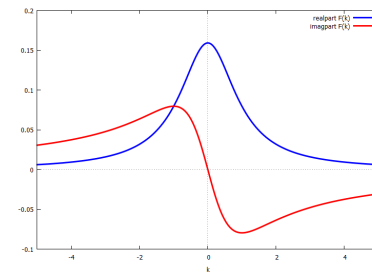


図 6.2.4: 指数関数のフーリエ積分結果

### ガウス関数のフーリエ積分

```
assume(a>0);
FK4:F(k)=integrate(%e^(-%i*k*x)*
%e^(-a^2*x^2),x,-inf,inf)/(2*pi);
ev(%integrate);
subst([a=1],rhs(%));
plot2d(%,[k,-10,10],[style,[lines,3,1]]);
plot2d(%e^(-x^2),[x,-5,5],[style,
[lines,3,1]]);
```

指数関数:  $f(x) = e^{-a^2 x^2}$  のフーリエ積分結果は、 $a > 0$  とすると、

$$F(k) = \frac{\int_{-\infty}^{\infty} e^{-a^2 x^2 - i k x} dx}{2\pi} = \frac{e^{-\frac{k^2}{4a^2}}}{2\sqrt{\pi}a}$$

$a = 1$  とすると、下図となる。

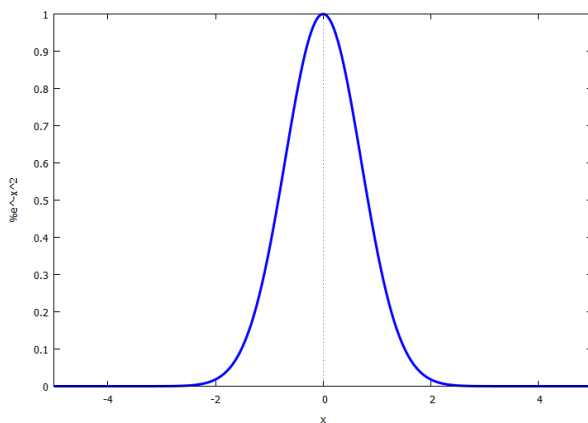


図 6.2.5: ガウス関数の波形

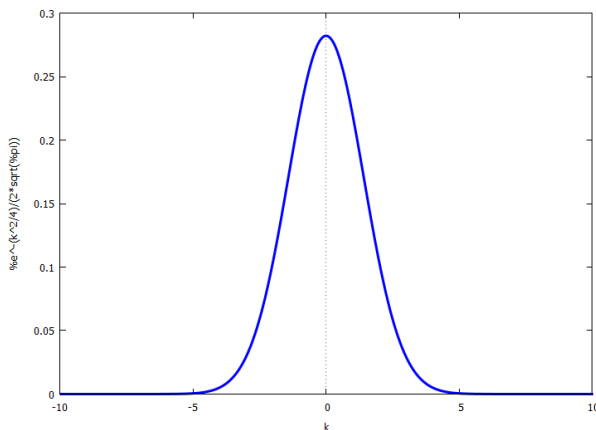


図 6.2.6: ガウス関数のフーリエ積分結果

### 6.2.4 Hunkel 変換 (Hunkel Transform)

(7.1.2) 式、(7.1.3) 式のフーリエ・ベッセル展開は下記である。

$$f(x) = \sum_{n=1}^{\infty} A_n \text{bessel}_j(\nu, \alpha_n x)$$

ここで、

$$A_n = \frac{2}{\text{bessel}_j(\nu + 1, \alpha_n)^2} \times \int_0^1 \text{bessel}_j(\nu, \alpha_n x) x f(x) dx$$

```
kill(all);
FR1:f(r)=integrate(k*F[\nu](k)*bessel_j
(\nu,k*r),k,0,inf);
FK1:F[\nu](k)=integrate(x*f(x)*bessel_j
(\nu,k*x),x,0,inf);
FR2:subst([FK1],FR1);
```

上式のフーリエ・ベッセル展開に対応した無限積分のフーリエ積分は次式に示す Hunkel 変換である。

$$f(r) = \int_0^{\infty} k F_{\nu}(k) \text{bessel}_j(\nu, k r) dk \quad (6.2.23)$$

ここで、

$$F_{\nu}(k) = \int_0^{\infty} \text{bessel}_j(\nu, k x) x f(x) dx \quad (6.2.24)$$

上式を (6.2.23) 式に代入すると、

$$f(r) = \int_0^{\infty} k \text{bessel}_j(\nu, k r) \times \int_0^{\infty} \text{bessel}_j(\nu, k x) x f(x) dx dk$$

### 6.3 Parseval の等式

#### (1) フーリエ級数

関数:  $f(x)$  のフーリエ級数は (6.1.4) 式で表現できる。

$$f(x) = \left( \sum_{n=1}^{\infty} b_n \sin\left(\frac{2\pi n x}{L}\right) + a_n \cos\left(\frac{2\pi n x}{L}\right) \right) + \frac{a_0}{2} \quad (6.3.1)$$

ここで、

$$a_n = \frac{2 \int_{-\frac{L}{2}}^{\frac{L}{2}} f(x) \cos\left(\frac{2\pi n x}{L}\right) dx}{L} \quad (6.3.2)$$

$$b_n = \frac{2 \int_{-\frac{L}{2}}^{\frac{L}{2}} f(x) \sin\left(\frac{2\pi n x}{L}\right) dx}{L}$$

```
kill(all);
f(x)=a[0]/2+sum(a[n]*cos(n*pi*x/L)+b[n]
*sin(n*pi*x/L),n,1,inf);
AN1:a[n]=1/L*integrate(f(x)*cos(n*pi*x/L),
x,-L,L);
ANO:subst([n=0],%);
BN1:b[n]=1/L*integrate(f(x)*sin(n*pi*x/L),
x,-L,L);
ANO1:rhs(ANO)*L=lhs(ANO)*L;
AN11:rhs(AN1)*L=lhs(AN1)*L;
BN11:rhs(BN1)*L=lhs(BN1)*L;
integrate(f(x)^2,x,-L,L)=integrate(f(x)*(
a[0]/2+sum(a[n]*cos(n*pi*x/L)+b[n]
*sin(n*pi*x/L),n,1,inf)),x,-L,L);
integrate(f(x)^2,x,-L,L)=integrate(f(x)*
a[0]/2,x,-L,L)+sum(a[n]*integrate(f(x)*
cos(n*pi*x/L),x,-L,L)+b[n]*integrate(
f(x)*sin(n*pi*x/L),x,-L,L),n,1,inf);
subst([ANO1,AN11,BN11],%);
integrate(f(x)^2,x,-L,L)/L=sum(b[n]^2
+a[n]^2,n,1,inf)+a[0]^2/2;
```

次式の  $f(x)^2$  の一部に (6.3.1) 式を代入すると、

$$\begin{aligned} \int_{-L}^L f(x)^2 dx &= \int_{-L}^L f(x) \left( \left( \sum_{n=1}^{\infty} b_n \sin\left(\frac{\pi n x}{L}\right) \right. \right. \\ &\quad \left. \left. + a_n \cos\left(\frac{\pi n x}{L}\right) \right) + \frac{a_0}{2} \right) dx \\ &= \left( \sum_{n=1}^{\infty} b_n \int_{-L}^L f(x) \sin\left(\frac{\pi n x}{L}\right) dx \right. \\ &\quad \left. + a_n \int_{-L}^L f(x) \cos\left(\frac{\pi n x}{L}\right) dx \right) \\ &\quad + \frac{a_0 \int_{-L}^L f(x) dx}{2} \end{aligned}$$

上式に (6.3.2) 式を代入すると、

$$\int_{-L}^L f(x)^2 dx = \left( \sum_{n=1}^{\infty} b_n^2 L + a_n^2 L \right) + \frac{a_0^2 L}{2}$$

上式を整理し、

$$\frac{1}{L} \int_{-L}^L f(x)^2 dx = \left( \sum_{n=1}^{\infty} b_n^2 + a_n^2 \right) + \frac{a_0^2}{2} \quad (6.3.3)$$

## (2) フーリエ積分

```
FK1:F(k)='integrate(%e^(-%i*k*x)*f(x),
x,-inf,inf)/(2*pi);
FX1:f(x)='integrate(%e^(%i*k*x)*F(k),
k,-inf,inf);
subst([k=-k],FK1);
FK11:rhs(%)*2*pi=lhs(%)*2*pi;
integrate(f(x)^2,x,-inf,inf)=integrate(
integrate(f(x)*F(k)*%e^(%i*k*x),x,
-inf,inf),k,-inf,inf);
subst([FK11],%);
```

フーリエ積分の (6.2.11) 式から、

$$F(k) = \frac{1}{2\pi} \int_{-\infty}^{\infty} e^{-ikx} f(x) dx \quad (6.3.4)$$

$$f(x) = \int_{-\infty}^{\infty} F(k) e^{ikx} dk \quad (6.3.5)$$

(6.3.4) 式において  $k \rightarrow -k$  に置き換えて、

$$\int_{-\infty}^{\infty} e^{ikx} f(x) dx = 2\pi F(-k) \quad (6.3.6)$$

次式の  $f(x)^2$  の一部に (6.3.5) 式を代入すると、

$$\int_{-\infty}^{\infty} f(x)^2 dx = \int_{-\infty}^{\infty} F(k) \int_{-\infty}^{\infty} e^{ikx} f(x) dx dk$$

上式に (6.3.6) 式を代入すると、

$$\begin{aligned} \int_{-\infty}^{\infty} f(x)^2 dx &= 2\pi \int_{-\infty}^{\infty} F(-k) F(k) dk \\ &= 2\pi \int_{-\infty}^{\infty} F(k) \overline{F(k)} dk \end{aligned} \quad (6.3.7)$$

```
FK3:F(k)='integrate(%e^(-%i*k*x)*f(x),
x,-inf,inf);
FX3:f(x)='integrate(%e^(%i*k*x)*F(k),
k,-inf,inf)/(2*pi);
subst([k=-k],FK3);
FK31:rhs(%)=lhs(%);
integrate(f(x)^2,x,-inf,inf)=integrate(
integrate(f(x)*F(k)*%e^(%i*k*x)/(2*pi),
x,-inf,inf),k,-inf,inf);
subst([FK31],%);
```

フーリエ積分の (6.2.12) 式の表現を使用すると、

$$F(k) = \int_{-\infty}^{\infty} e^{-ikx} f(x) dx \quad (6.3.8)$$

$$f(x) = \frac{\int_{-\infty}^{\infty} F(k) e^{ikx} dk}{2\pi} \quad (6.3.9)$$

(6.3.4) 式において  $k \rightarrow -k$  に置き換えて、

$$\int_{-\infty}^{\infty} e^{ikx} f(x) dx = F(-k) \quad (6.3.10)$$

次式の  $f(x)^2$  の一部に (6.3.9) 式を代入すると、

$$\int_{-\infty}^{\infty} f(x)^2 dx = \frac{\int_{-\infty}^{\infty} F(k) \int_{-\infty}^{\infty} e^{ikx} f(x) dx dk}{2\pi}$$

上式に (6.3.10) 式を代入すると、

$$\begin{aligned} \int_{-\infty}^{\infty} f(x)^2 dx &= \frac{\int_{-\infty}^{\infty} F(-k) F(k) dk}{2\pi} \\ &= \frac{1}{2\pi} \int_{-\infty}^{\infty} F(k) \overline{F(k)} dk \end{aligned} \quad (6.3.11)$$

## 6.4 時系列解析

### 6.4.1 自己相関とパワースペクトル

```
kill(all);
XFT1:x(t)=integrate(X(\omega)*%e^(%i*
\omega*t),\omega,-inf,inf);
XFT2:X(\omega)=1/2/%pi*'integrate(x(t)*
%e^(-%i*\omega*t),t,-inf,inf);
2*%pi*X(\omega)^2/T;
S1:S(\omega)='limit(%,T,inf);
S2:subst([X(\omega)^2=X(\omega)*
X[c](\omega)],%);
1/T*'integrate(x(t)*x(t+\tau),t,-T/2,T/2);
R1:R(\tau)='limit(%,T,inf);
subst([t=t+\tau],XFT1);
subst([%],R1);
'integrate(X(\omega)*%e^(%i*\omega*(\tau))
*'integrate(x(t)*%e^(%i*\omega*t),t,-T/2,
T/2),\omega,-inf,inf)/T;
R2:R(\tau)='limit(%,T,inf);
X[c](\omega)='limit(1/2/%pi*'integrate(
%e^(%i*\omega*t)*x(t),t,-T/2,T/2),T,inf);
X[c](\omega)=1/2/%pi*'integrate(%e^(%i*
*\omega*t)*x(t),t,-T/2,T/2);
subst([rhs(%)*2*%pi=lhs(%)*2*%pi],R2);
R3:R(\tau)='integrate(S(\omega)*%e^(%i*
*\omega*\tau),\omega,-inf,inf);
S3:S(\omega)=1/2/%pi*'integrate(R(\tau)
*'e^(-%i*\omega*\tau),\tau,-inf,inf);
subst([\tau=0],R3);
```

時間： $t$ としたとき、時間変化の関数： $x(t)$ の性質を調べるのに、自己相関関数とパワースペクトルが用いられる。まず、関数： $x(t)$ のフーリエ積分の関係式を下記とする。ここで関数： $x(t)$ は変動分のみで、平均値は引いたものとする。

$$x(t) = \int_{-\infty}^{\infty} X(\omega) e^{i\omega t} d\omega \quad (6.4.1)$$

$$X(\omega) = \frac{1}{2\pi} \int_{-\infty}^{\infty} e^{-i\omega t} x(t) dt \quad (6.4.2)$$

自己相関関数： $R(\tau)$ は $x(t)$ とそれをラグ： $\tau$ だけずらした $x(\tau+t)$ の積の平均値として得られ、

$$R(\tau) = \lim_{T \rightarrow \infty} \frac{1}{T} \int_{-\frac{T}{2}}^{\frac{T}{2}} x(t) x(\tau+t) dt \quad (6.4.3)$$

(6.4.1)式から $x(\tau+t)$ は、

$$x(\tau+t) = \int_{-\infty}^{\infty} X(\omega) e^{i\omega(\tau+t)} d\omega \quad (6.4.4)$$

(6.4.3)式に上式を代入すると、

$$R(\tau) = \lim_{T \rightarrow \infty} \frac{1}{T} \int_{-\infty}^{\infty} X(\omega) \int_{-\frac{T}{2}}^{\frac{T}{2}} e^{i\omega t} x(t) dt e^{i\omega\tau} d\omega \quad (6.4.5)$$

ここで、(6.4.2)式の共役( $i \rightarrow -i$ )は、

$$X_c(\omega) = \frac{1}{2\pi} \int_{-\infty}^{\infty} e^{i\omega t} x(t) dt \quad (6.4.6)$$

(6.4.5)式に上式を代入すると、

$$R(\tau) = \lim_{T \rightarrow \infty} \int_{-\infty}^{\infty} \frac{2\pi}{T} X_c(\omega) X(\omega) e^{i\omega\tau} d\omega \quad (6.4.7)$$

ここで $X(\omega)$ は振幅を表し、 $X(\omega)^2$ はエネルギーを表す。単位時間の平均エネルギーをパワースペクトル： $S(\omega)$ とすると、

$$S(\omega) = \lim_{T \rightarrow \infty} \frac{2\pi}{T} X(\omega)^2 = \lim_{T \rightarrow \infty} \frac{2\pi}{T} X_c(\omega) X(\omega)$$

(6.4.7)式に上式を代入すると、

$$R(\tau) = \int_{-\infty}^{\infty} S(\omega) e^{i\omega\tau} d\omega \quad (6.4.8)$$

フーリエ積分の関係式：(6.2.11)式から、

$$S(\omega) = \frac{1}{2\pi} \int_{-\infty}^{\infty} e^{-i\omega\tau} R(\tau) d\tau \quad (6.4.9)$$

(6.4.8)式で $\tau = 0$ を代入すると、

$$R(0) = \int_{-\infty}^{\infty} S(\omega) d\omega \quad (6.4.10)$$



### 6.4.2 線形システムのパワースペクトルによる時系列解析

```

RYY1:R[yy](\tau)=subst([x(t)=y(t),
x(t+\tau)=y(t+\tau)],rhs(R1));
Y0:y(t)='integrate(h(t-r)*x(r),r,-inf,inf);
Y1:y(t)='integrate(h(r)*x(t-r),r,-inf,inf);
H1:H(\omega)='integrate(%e^(-%i*omega*r)
*h(r),r,-inf,inf);
H2:H[c](\omega)='integrate(%e^(%i*omega*r)
*h(r),r,-inf,inf);
Y2:subst([t=t+\tau,r=s],Y1);
SYY1:S[yy](\omega)=1/2/%pi*'integrate(
%e^(-%i*omega*\tau)*R[yy](\tau),
\tau,-inf,inf);
subst([RYY1],SYY1);
subst([Y1,Y2],%);
SYY2:S[yy](\omega)=1/2/%pi*'integrate(
'limit('integrate('integrate('integrate(
%e^(-%i*omega*\tau)*h(r)*x(t-r)*
h(s)*x(\tau+t-s),r,-inf,inf),s,-inf,inf)
/T,t,-T/2,T/2)/T,T,inf),\tau,-inf,inf);
TT1:t-r=u;
solve(%,t)[1];
subst([%],SYY2);
S[yy](\omega)=1/2/%pi*integrate(limit(
integrate(integrate(integrate(%e^(-%i*omega*\tau)*h(r)*h(s)*x(u)*
x(u+\tau-s+r),r,-inf,inf),s,-inf,inf),u,
-T/2,T/2)/T,T,inf),\tau,-inf,inf);
S[yy](\omega)=1/2/%pi*integrate(limit(
integrate(h(r)*%e^(%i*omega*(r)),r,-inf,
inf)*integrate(integrate(%e^(-%i*omega*(\tau-s+r))*h(s)*%e^(%i*omega*(-s))*x(u)*x(u+\tau-s+r),s,
-inf,inf),u,-T/2,T/2)/T,T,inf),\tau,
-inf,inf);
S[yy](\omega)=1/2/%pi*integrate(limit(
integrate(h(r)*%e^(%i*omega*(r)),r,-inf,
inf)*integrate(h(s)*%e^(%i*omega*(-s)),
s,-inf,inf)*integrate(%e^(-%i*omega*(\tau-s+r))*x(u)*x(u+\tau-s+r),u,
-T/2,T/2)/T,T,inf),\tau,-inf,inf);

```

```

SYY3:S[yy](\omega)=1/2/%pi*integrate(
integrate(h(r)*%e^(%i*omega*(r)),r,-inf,
inf)*integrate(h(s)*%e^(%i*omega*(-s)),
s,-inf,inf)*%e^(-%i*omega*(\tau-s+r))
*R[xx](\tau-s+r),\tau,-inf,inf);
S[xx](\omega)=1/2/%pi*'integrate(
%e^(-%i*omega*(\tau-s+r))*R[xx]
(\tau-s+r),\tau,-inf,inf);
rhs(%)*2*%pi=lhs(%)*2*%pi;
SYY4:subst([%],SYY3);
subst([r=s],rhs(H1)=lhs(H1));
subst([%],SYY4);
subst([rhs(H2)=lhs(H2)],%);
SYY5:S[yy](\omega)=(H(\omega))^2*
S[xx](\omega);
solve(%,H(\omega)^2)[1];
H(\omega)=abs(rhs(%));

```

不規則な入力:  $x(t)$  とし、それに線形な応答出力:  $y(t)$  とすると、 $y(t)$  はインパルス応答関数:  $h(r)$  を使って、次式で表現できる。

$$y(t) = \int_{-\infty}^{\infty} x(r) h(t-r) dr = \int_{-\infty}^{\infty} h(r) x(t-r) dr \quad (6.4.11)$$

インパルス応答関数:  $h(r)$  のフーリエ変換が周波数応答:  $H(\omega)$  で次式で表現できる。

$$H(\omega) = \int_{-\infty}^{\infty} e^{-i\omega r} h(r) dr \quad (6.4.12)$$

ここで、上式の共役 ( $i \rightarrow -i$ ) は、

$$H_c(\omega) = \int_{-\infty}^{\infty} e^{i\omega r} h(r) dr \quad (6.4.13)$$

応答出力:  $y(t)$  の自己相関関数:  $R_{yy}(\tau)$  は (6.4.3) 式から、

$$R_{yy}(\tau) = \lim_{T \rightarrow \infty} \frac{1}{T} \int_{-\frac{T}{2}}^{\frac{T}{2}} y(t) y(\tau+t) dt \quad (6.4.14)$$

(6.4.9) 式から、(6.4.14) 式のフーリエ変換から応答出力 :  $y(t)$  のパワースペクトル :  $S_{yy}(\omega)$  を求め、(6.4.14) 式、(6.4.11) 式を代入すると、

$$\begin{aligned} S_{yy}(\omega) &= \frac{1}{2\pi} \int_{-\infty}^{\infty} e^{-i\omega\tau} R_{yy}(\tau) d\tau \\ &= \frac{1}{2\pi} \int_{-\infty}^{\infty} e^{-i\omega\tau} \left( \lim_{T \rightarrow \infty} \frac{1}{T} \int_{-\frac{T}{2}}^{\frac{T}{2}} y(t) y(\tau+t) dt \right) d\tau \\ &= \frac{1}{2\pi} \int_{-\infty}^{\infty} e^{-i\omega\tau} \left( \lim_{T \rightarrow \infty} \frac{1}{T} \int_{-\frac{T}{2}}^{\frac{T}{2}} \int_{-\infty}^{\infty} h(r) x(t-r) dr \int_{-\infty}^{\infty} h(s) x(\tau+t-s) ds dt \right) d\tau \end{aligned} \quad (6.4.15)$$

上式で  $t-r=u$  の置き換えを行うと、

$$\begin{aligned} S_{yy}(\omega) &= \frac{1}{2\pi} \int_{-\infty}^{\infty} e^{-i\omega\tau} \left( \lim_{T \rightarrow \infty} \frac{1}{T} \int_{-\frac{T}{2}}^{\frac{T}{2}} \int_{-\infty}^{\infty} h(r) dr x(u) \int_{-\infty}^{\infty} h(s) x(u+\tau-s+r) ds du \right) d\tau \\ &= \frac{1}{2\pi} \int_{-\infty}^{\infty} e^{-i\omega\tau} \left( \lim_{T \rightarrow \infty} \frac{1}{T} \int_{-\frac{T}{2}}^{\frac{T}{2}} x(u) \int_{-\infty}^{\infty} h(s) \int_{-\infty}^{\infty} h(r) x(u+\tau-s+r) dr ds du \right) d\tau \\ &= \frac{1}{2\pi} \int_{-\infty}^{\infty} e^{i\omega r} h(r) dr \int_{-\infty}^{\infty} \lim_{T \rightarrow \infty} \frac{1}{T} \int_{-\frac{T}{2}}^{\frac{T}{2}} x(u) \int_{-\infty}^{\infty} h(s) e^{-i\omega(\tau-s+r)-i\omega s} x(u+\tau-s+r) ds du d\tau \\ &= \frac{1}{2\pi} \int_{-\infty}^{\infty} e^{i\omega r} h(r) dr \int_{-\infty}^{\infty} e^{-i\omega s} h(s) ds \\ &\quad \times \int_{-\infty}^{\infty} e^{-i\omega(\tau-s+r)} \left( \lim_{T \rightarrow \infty} \frac{1}{T} \int_{-\frac{T}{2}}^{\frac{T}{2}} x(u) x(u+\tau-s+r) du \right) d\tau \\ &= \frac{1}{2\pi} \int_{-\infty}^{\infty} e^{i\omega r} h(r) dr \int_{-\infty}^{\infty} e^{-i\omega s} h(s) ds \int_{-\infty}^{\infty} e^{-i\omega(\tau-s+r)} R_{xx}(\tau-s+r) d\tau \end{aligned} \quad (6.4.16)$$

ところで、 $R_{xx}(\tau-s+r)$  のフーリエ積分はパワースペクトル :  $S_{xx}(\omega)$  であるから、

$$S_{xx}(\omega) = \frac{1}{2\pi} \int_{-\infty}^{\infty} e^{-i\omega(\tau-s+r)} R_{xx}(\tau-s+r) d\tau$$

(6.4.16) 式に上式と (6.4.12) 式、(6.4.13) 式を代入すると、

$$\begin{aligned} S_{yy}(\omega) &= S_{xx}(\omega) \int_{-\infty}^{\infty} e^{i\omega r} h(r) dr \int_{-\infty}^{\infty} e^{-i\omega s} h(s) ds \\ &= H_c(\omega) S_{xx}(\omega) H(\omega) = S_{xx}(\omega) H(\omega)^2 \end{aligned} \quad (6.4.17)$$

上式から周波数応答 :  $H(\omega)$  は次式となる。ここで  $H(\omega)$  は実数であるから周波数特性のみ得られ、位相特性は得られない。

$$H(\omega) = \frac{|S_{yy}(\omega)|}{|S_{xx}(\omega)|} \quad (6.4.18)$$

### 6.4.3 線形システムのクロススペクトルによる時系列解析

```

R[YX1]:R[yx](\tau)=subst([x(t+\tau)=
y(t+\tau)],rhs(R1));
Y1:y(t)='integrate(h(r)*x(t-r),r,-inf,inf);
Y2:subst([t=t+\tau],Y1);
SYX1:S[yx](\omega)=1/2/%pi*'integrate(
%e^(-%i*\omega*\tau)*R[yx](\tau),
\tau,-inf,inf);
subst([R[YX1],SYX1];
subst([Y2],%);
S[yx](\omega)='integrate(%e^(-%i*\omega*
\tau)*('limit('integrate(x(t)*'integrate(
%e^(-%i*\omega*(\tau-r))*%e^(%i*
\omega*(-r))*%e^(%i*\omega*\tau)*
h(r)*x(\tau+t-r),r,-inf,inf),t,-T/2,T/2)
/T,T,inf)),\tau,-inf,inf)/(2*%pi);
SYX2:S[yx](\omega)='integrate(%e^(%i*
\omega*(-r))*h(r)*'integrate('limit(
'integrate(%e^(-%i*\omega*(\tau-r))
*x(t)*x(\tau+t-r),t,-T/2,T/2)/T,T,inf),
\tau,-inf,inf),r,-inf,inf)/(2*%pi);
'limit('integrate(x(t)*x(\tau+t-r),t,
-T/2,T/2)/T,T,inf)=R[xx](\tau-r);
SYX3:subst([%],SYX2);

```

```

S[xx](\omega)=1/2/%pi*'integrate(%e^(-
%i*\omega*(\tau-r))*R[xx](\tau-r),
\tau,-inf,inf);
rhs(%)*2*%pi=lhs(%)*2*%pi;
subst([%],SYX3);
S[yx](\omega)=S[xx](\omega)*H(\omega);
solve(%),H(\omega))[1];

```

不規則な入力:  $x(t)$  とし、それに線形な応答出力:  $y(t)$  とすると、インパルス応答関数:  $h(r)$  を使って、 $y(t)$  は次式で表現できる。

$$y(t) = \int_{-\infty}^{\infty} x(r) h(t-r) dr = \int_{-\infty}^{\infty} h(r) x(t-r) dr \quad (6.4.19)$$

インパルス応答関数:  $h(r)$  のフーリエ変換が周波数応答:  $H(\omega)$  で次式で表現できる。

$$H(\omega) = \int_{-\infty}^{\infty} e^{-i\omega r} h(r) dr \quad (6.4.20)$$

$x(t)$  と  $y(t)$  の相互相関関数:  $R_{yx}(\tau)$  は (6.4.3) 式から、

$$R_{yx}(\tau) = \lim_{T \rightarrow \infty} \frac{1}{T} \int_{-\frac{T}{2}}^{\frac{T}{2}} x(t) y(\tau+t) dt \quad (6.4.21)$$

また、(6.4.19) 式から、

$$y(\tau+t) = \int_{-\infty}^{\infty} h(r) x(\tau+t-r) dr \quad (6.4.22)$$

(6.4.9) 式から、相互相関関数:  $R_{yx}(\tau)$  をフーリエ変換するとクロススペクトル:  $S_{yx}(\omega)$  が得られ、(6.4.21) 式、(6.4.22) 式を代入すると、

$$\begin{aligned}
S_{yx}(\omega) &= \frac{1}{2\pi} \int_{-\infty}^{\infty} e^{-i\omega\tau} R_{yx}(\tau) d\tau = \frac{1}{2\pi} \int_{-\infty}^{\infty} e^{-i\omega\tau} \left( \lim_{T \rightarrow \infty} \frac{1}{T} \int_{-\frac{T}{2}}^{\frac{T}{2}} x(t) y(\tau+t) dt \right) d\tau \\
&= \frac{1}{2\pi} \int_{-\infty}^{\infty} e^{-i\omega\tau} \left( \lim_{T \rightarrow \infty} \frac{1}{T} \int_{-\frac{T}{2}}^{\frac{T}{2}} x(t) \int_{-\infty}^{\infty} h(r) x(\tau+t-r) dr dt \right) d\tau \\
&= \frac{1}{2\pi} \int_{-\infty}^{\infty} e^{-i\omega\tau} \left( \lim_{T \rightarrow \infty} \frac{1}{T} \int_{-\frac{T}{2}}^{\frac{T}{2}} x(t) \int_{-\infty}^{\infty} h(r) e^{-i\omega(\tau-r)+i\omega\tau-i\omega r} x(\tau+t-r) dr dt \right) d\tau \\
&= \frac{1}{2\pi} \int_{-\infty}^{\infty} e^{-i\omega r} h(r) \int_{-\infty}^{\infty} e^{-i\omega(\tau-r)} \left( \lim_{T \rightarrow \infty} \frac{1}{T} \int_{-\frac{T}{2}}^{\frac{T}{2}} x(t) x(\tau+t-r) dt \right) d\tau dr
\end{aligned} \quad (6.4.23)$$

ここで (6.4.3) 式、(6.4.9) 式から、

$$R_{xx}(\tau-r) = \lim_{T \rightarrow \infty} \frac{1}{T} \int_{-\frac{T}{2}}^{\frac{T}{2}} x(t) x(\tau+t-r) dt, \quad S_{xx}(\omega) = \frac{1}{2\pi} \int_{-\infty}^{\infty} e^{-i\omega(\tau-r)} R_{xx}(\tau-r) d\tau \quad (6.4.24)$$

(6.4.23) 式に上式を代入すると、次式となり周波数応答:  $H(\omega)$  が得られる。ここで相互相関関数:  $R_{yx}(\tau)$  は一般に非対称であるため、 $H(\omega)$  は複素数となり、周波数特性、位相特性が得られる。

$$S_{yx}(\omega) = S_{xx}(\omega) \int_{-\infty}^{\infty} e^{-i\omega r} h(r) dr = S_{xx}(\omega) H(\omega) \quad \rightarrow \quad H(\omega) = \frac{S_{yx}(\omega)}{S_{xx}(\omega)} \quad (6.4.25)$$

### 6.4.4 ウィンドウ

自己相関:  $R(\tau)$  からパワースペクトル:  $S(\omega)$  を求めるとき、フーリエ積分で無限積分が要求される。このようなフーリエ変換の無限積分において、実際の数値計算では有限の積分に置き換えねばならない。それは無限の信号に対して、一部分を切り取るウィンドウを掛けることと同じである。このウィンドウについて調べる。

```
kill(all);
FK1:S(k)='integrate(%e^(-%i*k*\tau)
  *R(\tau),\tau,-inf,inf)/(2*pi);
FX1:R(\tau)='integrate(%e^(%i*k*\tau)
  *S(k),k,-inf,inf);
FK2:Q(k)='integrate(%e^(-%i*k*\tau)
  *W(\tau),\tau,-inf,inf)/(2*pi);
FX2:W(\tau)='integrate(%e^(%i*k*\tau)
  *Q(k),k,-inf,inf);
FX11:subst([k=kd],FX1);
HX1:sd(\tau)=R(\tau)*W(\tau);
HK11:Sd(k)='integrate(%e^(-%i*k*\tau)
  *sd(\tau),\tau,-inf,inf)/(2*pi);
subst([HX1],HK11);
subst([FX11],%);
Sd(k)=integrate(integrate(%e^(-%i*(k-kd)
  *\tau)*W(\tau)*S(kd),\tau,-inf,inf),
  kd,-inf,inf)/(2*pi);
Sd(k)=integrate(Q(k-kd)*S(kd),kd,-inf,inf);
```

自己相関:  $R(\tau)$  とパワースペクトル:  $S(\omega)$  のフーリエ積分の関係は、(6.4.8) 式、(6.4.9) 式から、

$$S(k) = \frac{1}{2\pi} \int_{-\infty}^{\infty} e^{-ik\tau} R(\tau) d\tau \quad (6.4.26)$$

$$R(\tau) = \int_{-\infty}^{\infty} S(k) e^{ik\tau} dk \quad (6.4.27)$$

上記と同様の関係式で、時間領域で掛ける時間ウィンドウ:  $W(\tau)$  とそのフーリエ積分のスペクトルウィンドウ:  $Q(k)$  の関係式は、

$$Q(k) = \frac{1}{2\pi} \int_{-\infty}^{\infty} e^{-ik\tau} W(\tau) d\tau \quad (6.4.28)$$

$$W(\tau) = \int_{-\infty}^{\infty} Q(k) e^{ik\tau} dk \quad (6.4.29)$$

自己相関:  $R(\tau)$  に時間ウィンドウ:  $W(\tau)$  を掛けたものを  $sd(\tau)$  とする。

$$sd(\tau) = R(\tau) W(\tau) \quad (6.4.30)$$

上式をフーリエ変換すると下記となり、(6.4.29) 式を

代入すると、

$$\begin{aligned} Sd(k) &= \frac{\int_{-\infty}^{\infty} e^{-ik\tau} sd(\tau) d\tau}{2\pi} \\ &= \frac{\int_{-\infty}^{\infty} e^{-ik\tau} R(\tau) W(\tau) d\tau}{2\pi} \\ &= \frac{\int_{-\infty}^{\infty} e^{-ik\tau} W(\tau) \int_{-\infty}^{\infty} S(kd) e^{ikd\tau} dk d\tau}{2\pi} \\ &= \frac{\int_{-\infty}^{\infty} S(kd) \int_{-\infty}^{\infty} e^{-i(k-kd)\tau} W(\tau) d\tau dk}{2\pi} \\ &= \int_{-\infty}^{\infty} Q(k-kd) S(kd) dk \end{aligned} \quad (6.4.31)$$

上記の結果からパワースペクトル:  $S(\omega)$  にスペクトルウィンドウ:  $Q(k)$  の畳み込み積分を行うことにより、ウィンドウを考慮したパワースペクトル:  $Sd(k)$  が得られる。

#### 矩形ウィンドウ

```
Q0:Q(f)='integrate(W(t)*%e^(-%i*2*pi*f*t),
  t,-inf,inf);
F=f*T;
F1:solve(%,f)[1];
W0:W(t)=1;
subst([inf=T/2,W0],Q0);
ev(%,integrate);
Q1:lhs(%)=trigrat(rhs(%))/T;
Q11:subst([F1],Q1);
plot2d(rhs(Q11),[F,-10,10],[ylabel,"Q(f)"],
  ,[style,[lines,3,1]]);
plot2d(log(abs(rhs(Q11)))/log(10)*20,
  [F,-10,10],[y,-60,0],[ylabel,"Q(f) dB"],
  ,[style,[lines,3,1]]);
plot2d([parametric, t,1, [t, -0.5,0.5],
  [nticks, 100]], [x,-0.75,0.75],
  [y,-0.5,1.5],
  [ylabel,"W(t)"], [style,[lines,3,1]]);
```

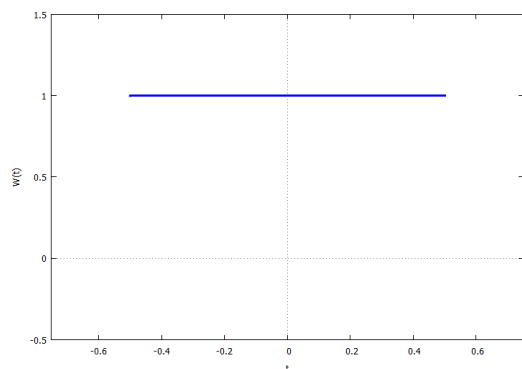


図 6.4.1: 矩形の時間ウィンドウ

無限積分を有限の積分にすることで生ずる影響について調べる。(6.4.28) 式を  $\omega \rightarrow 2\pi f$  の周波数:  $f$  に置き換えると、

$$Q(f) = \int_{-\infty}^{\infty} e^{-2i\pi ft} W(t) dt \quad (6.4.32)$$

矩形ウィンドウでは、 $W(t) = 1, -T/2 < t < T/2$  であり、上式は、

$$\begin{aligned} Q(f) &= \int_{-T/2}^{T/2} e^{-2i\pi ft} dt \\ &= \frac{ie^{-i\pi fT}}{2\pi f} - \frac{ie^{i\pi fT}}{2\pi f} \\ &= \frac{\sin(\pi fT)}{\pi fT} \end{aligned}$$

上式で、 $F = fT$  と置き換えると、

$$Q(F) = \frac{\sin(\pi F)}{\pi F} \quad (6.4.33)$$

矩形のスペクトルウィンドウ:  $Q(F)$  は下図に示すように大きく変動する。

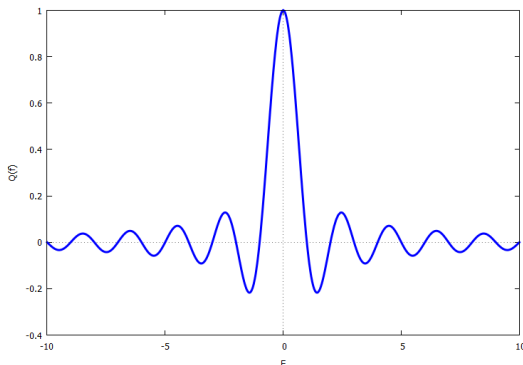


図 6.4.2: 矩形のスペクトルウィンドウ

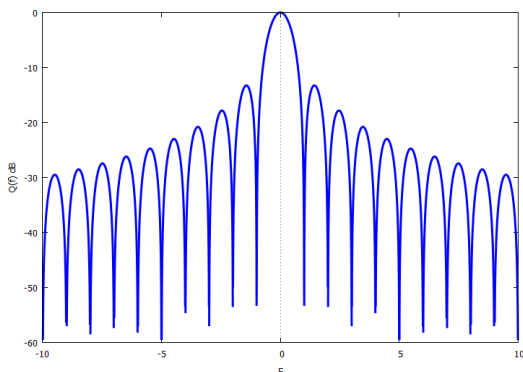


図 6.4.3: 矩形のスペクトルウィンドウ (dB)

ハニングウィンドウ

```

/* Hunning */
W0:W(t)=(0.5+0.5*cos(2*pi*t/T));
subst([inf=T/2,W0],Q0);
ev(%,integrate);
Q1:lhs(%)=trigrat(rhs(%%))/T;
Q11:subst([F1],Q1);
Q12:factor(%%);
A0:A/F+B/(F-1)+C/(F+1);
factor(%%);
A1:-A=-1/(2*pi)*sin(pi*F);
A2:B-C=0;
A3:A+B+C=0;
solve([A1,A2,A3],[A,B,C])[1];
subst(%%,A0);
lhs(Q12)=+sin(pi*(F+1))/(4*pi*(F+1))
+sin(pi*F)/(2*pi*F)+sin(pi*(F-1))
/(4*pi*(F-1));
plot2d(rhs(Q11),[F,-10,10],[ylabel,"Q(f)"],
[style,[lines,3,1]]);
plot2d(log(abs(rhs(Q11)))/log(10)*20,
[F,-10,10],[y,-60,0],[ylabel,"Q(f) dB"],
[style,[lines,3,1]]);
plot2d([parametric,t,(0.5+0.5*cos(2*
*pi*t))],[t,-0.5,0.5],[nticks,100]],
[x,-0.75,0.75],[y,-0.5,1.5],
[ylabel,"W(t)],[style,[lines,3,1]]);

```

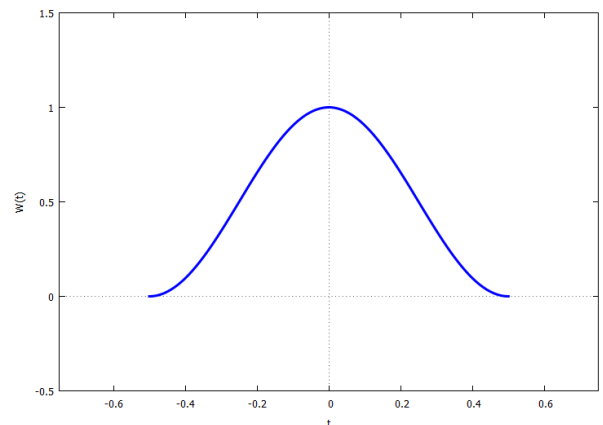


図 6.4.4: ハニングの時間ウィンドウ

ハニングの時間ウィンドウは  $-T/2 < t < T/2$  の範囲で下記である。

$$W(t) = 0.5 \cos\left(\frac{2\pi t}{T}\right) + 0.5$$

上式を (6.4.32) 式に代入すると、

$$\begin{aligned} Q(f) &= \int_{-\frac{T}{2}}^{\frac{T}{2}} e^{-2i\pi ft} \left( 0.5 \cos\left(\frac{2\pi t}{T}\right) + 0.5 \right) dt \\ &= -\frac{\sin(\pi f T)}{T(2\pi f^3 T^2 - 2\pi f)} \end{aligned}$$

上式で、 $F = fT$  と置き換えると、

$$\begin{aligned} Q(F) &= -\frac{\sin(\pi F)}{\left(\frac{2\pi F^3}{T} - \frac{2\pi F}{T}\right) T} \\ &= -\frac{\sin(\pi F)}{2\pi(F-1)F(F+1)} \end{aligned} \quad (6.4.34)$$

上式を次式の形にするためには、

$$\begin{aligned} \frac{C}{F+1} + \frac{A}{F} + \frac{B}{F-1} \\ = \frac{CF^2 + BF^2 + AF^2 - CF + BF - A}{(F-1)F(F+1)} \end{aligned}$$

(6.4.34) 式と上式を比較して、次式の関係式を得る。

$$-A = -\frac{\sin(\pi F)}{2\pi}, \quad B - C = 0, \quad C + B + A = 0$$

上式を解くと、

$$\left[ A = \frac{\sin(\pi F)}{2\pi}, \quad B = -\frac{\sin(\pi F)}{4\pi}, \quad C = -\frac{\sin(\pi F)}{4\pi} \right]$$

上式の結果を (6.4.34) 式に適用すると、

$$\begin{aligned} Q(F) &= -\frac{\sin(\pi F)}{4\pi(F+1)} + \frac{\sin(\pi F)}{2\pi F} - \frac{\sin(\pi F)}{4\pi(F-1)} \\ &= \frac{\sin(\pi(F+1))}{4\pi(F+1)} + \frac{\sin(\pi F)}{2\pi F} + \frac{\sin(\pi(F-1))}{4\pi(F-1)} \end{aligned}$$

ハニングウインドウを考慮したパワースペクトルは、(6.4.31) 式から、パワースペクトルにハニングのスペクトルウインドウの畳み込み積分を行うことで得られる。(6.4.33) 式と上式を比較して、ハニングウインドウを考慮したパワースペクトル:  $Sd(k)$  は、パワースペクトル:  $S(k)$  の結果に下記の荷重平均を行うことで得られる。

$$Sd(n) = \frac{1}{4} S(n-1) + \frac{1}{2} S(n) + \frac{1}{4} S(n+1)$$

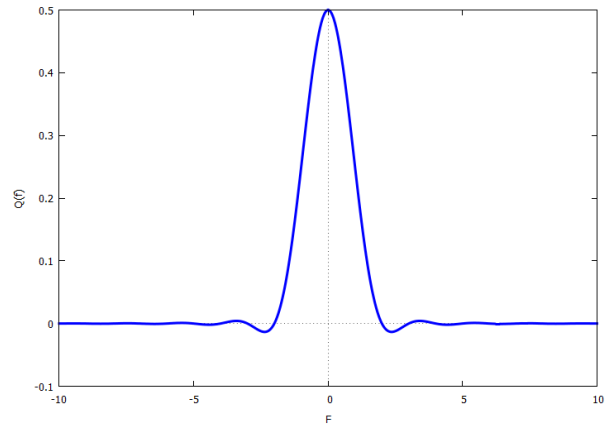


図 6.4.5: [ハニングのスペクトルウインドウ

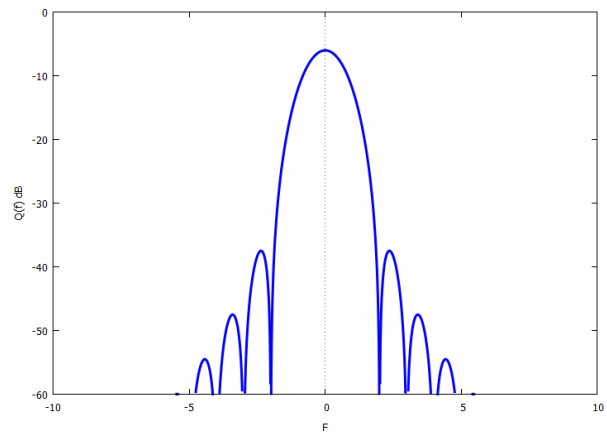


図 6.4.6: ハニングのスペクトルウインドウ (dB)

### 6.4.5 サンプリング定理

アナログ信号をある時間間隔でデジタル化して記録する。このデータの取り込みをサンプリングといい、その時間間隔をサンプリング間隔、この逆数をサンプリング周波数という。ある周波数帯の信号を捕まえようとするとき、デジタル化するサンプリング周波数をどのように選定すべきかの問題がある。周波数： $f$ の波形を表現する最小限のサンプル周波数は、高低を捕まえて、元の波形の周波数の2倍以上必要である。以上から、計測時間： $T$ 、サンプルデータ数： $N$ とすると、分析できる最大周波数(ナイキスト周波数)： $f_N$ は、

$$f_N = \frac{N}{2T} \quad (6.4.35)$$

「6.1.4 Maxima の高速フーリエ変換 (FFT) 関数」に示した高速フーリエ変換の結果もサンプルデータ数： $N$ の1/2の周波数の結果が出力される。

エイリアシング (折り返し雑音) : **Aliasing**

```
kill(all);
load("fft");
N:32;
NN:320;
M:18;
L:18;
A:2;
B:0;
for J:1 thru N do (
if J=1 then listfft:[ float(A*sin((J-1)*M/N
*2*%pi)+B*cos((J-1)*L/N*2*%pi) ) ]
else listfft:append(listfft, [ float(A*sin
((J-1)*M/N*2*%pi)+B*cos((J-1)
*L/N*2*%pi) ) ]));
for J:1 thru N do (
if J=1 then LOB:[[ float(J-1),
listfft[J] ] ]
else LOB:append(LOB, [ [float(J-1),
listfft[J]]]);
for J:1 thru NN do (
if J=1 then LOC:[float(0.1*(J-1)), float(
A*sin((J-1)*M/N*2*%pi*0.1)+B*
cos((J-1)*L/N*2*%pi*0.1))] ]
else LOC:append(LOC, [[float(0.1*(J-1)),
float(A*sin((J-1)*M/N*2*%pi*0.1)+
B*cos((J-1)*L/N*2*%pi*0.1))] ]));
plot2d([[discrete, LOC],[discrete,LOB]],
[legend,"org.,","sample deta"],[style,
[lines,4,1],[lines,4,2]],[y,-2.5,2.5]);
```

データ数:32の場合のナイキスト周波数： $f_N = 16$ となる。これを超えた周波数のデータがある場合について

調べる。

いま、 $n = 18$ の場合のデータをデータ数:32でサンプルすると、下図のようになる。サンプルが荒く、元のデータを表現できていないのが分かる。

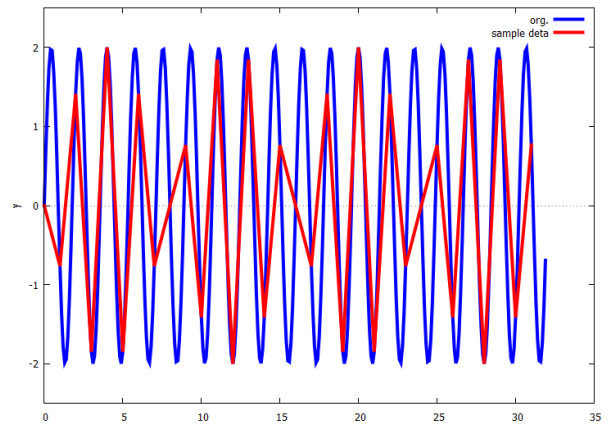


図 6.4.7:  $f_N$  を超えた  $n = 18$  のデータ

$n = 18$  の場合のデータについて調べる。fft を用いてフーリエ変換してみる。

```
L01B:fft(listfft);
for J:1 thru N do (
if J=1 then L01BR:[[ float(J-1),
realpart(L01B[J]) ] ]
else L01BR:append(L01BR, [ [float(J-1),
realpart(L01B[J])]]));
for J:1 thru N do (
if J=1 then L01BI:[[ float(J-1),
imagpart(L01B[J]) ] ]
else L01BI:append(L01BI, [[float(J-1),
imagpart(L01B[J])]]));
N:32;
M:14;
L:14;
A:2;
B:0;
for J:1 thru N do (
if J=1 then listfft:[ float(A*sin((J-1)*M/N
*2*%pi)+B*cos((J-1)*L/N*2*%pi) ) ]
else listfft:append(listfft, [ float(A*
sin((J-1)*M/N*2*%pi)+B*cos((J-1)
*L/N*2*%pi) ) ]));
for J:1 thru N do (
if J=1 then LOA:[float(J-1),listfft[J]]
else LOA:append(LOA, [ [float(J-1),
listfft[J]]]);
```

```

L01A:fft(listfft);
for J:1 thru N do (
if J=1 then L01AR:[ [ float(J-1),
  realpart(L01A[J]) ] ]
else L01AR:append(L01AR, [ [float(J-1),
  realpart(L01A[J])]]));
for J:1 thru N do (
if J=1 then L01AI:[ [ float(J-1),
  imagpart(L01A[J]) ] ]
else L01AI:append(L01AI, [[float(J-1),
  imagpart(L01A[J])]]));
plot2d([[discrete, L0A],[discrete,LOB]],
[legend,"n=14","over fn. n=18"],[style,
[lines,4,1],[lines,4,2]],[y,-2.5,2.5]);
plot2d([[discrete,L01AR],[discrete,L01AI],
[discrete, L01BR],[discrete,L01BI]],
[legend,"n=14 cos","n=14 sin",
"over fn n=18 cos","over fn n=18 sin"],
[style,[lines,4,1],[lines,4,2],
[lines,2,3],[lines,2,4]]);

```

$n = 18$  の場合のデータと  $f_N = 16$  と対称位置にある  $n = 14$  のデータを比較すると下図となる。両者、よく一致しており、同一の周波数のように思える。

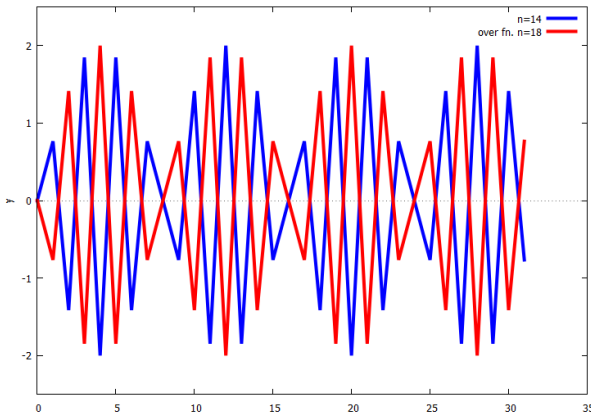


図 6.4.8:  $n = 14, 18$  のデータ

上記データを  $\text{fft}$  を用いてフーリエ変換した結果を下図に示す。この結果から、 $n = 18$  の場合のフーリエ変換結果は、 $f_N = 16$  より大きいので、本来ならば零になるべきであるが、下図に示すようにナイキスト周波数： $f_N = 16$  で折り返した位置： $n = 14$  に現れる。この現象をエイリアシング（折り返し雑音）: Aliasing と言う。もし、アナログデータに  $f_N$  を超える周波数のデータが混在していた場合には、誤差としてフーリエ変換結果に混入してくるので注意しなければならない。この現象を防ぐには  $f_N$  以上の周波数信号をフィルターでカットする必要がある。

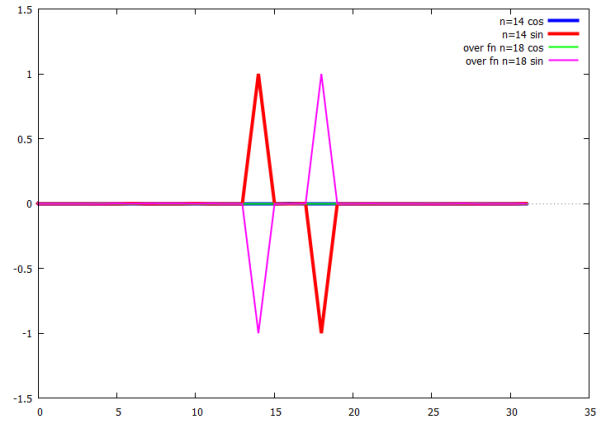


図 6.4.9:  $n = 14, 18$  のフーリエ変換結果



## 6.5 時系列解析の具体例

### 6.5.1 時系列データの作成

```

kill(all);
load("fft");
DT:0.1;
N:2048;
DF:float(1/(float(DT*N)));
DW:float(DF*2*pi);
L1:100;
L2:500;
LM:DW*float((L1+L2)/2);
LB:DW*float((L2-L1)/2);
LW1:L1*DW;
NW:400;
NW1:NW+1;
DNW:float((L2-L1)/NW);
ICDW:1;
ICAM:1;
SW1:%e^(-4*((w-LM)^2/LB^2));
SW2:2.64*%e^(-(1/1.2/(w-LW1+1)*LB)^4)/((
  1.2*(w-LW1+1)/LB)^5);
for J:1 thru NW1 do (
  if J=1 then LRANDM:[ random(float(2*pi)) ]
  else LRANDM:append(LRANDM, [ random(float(
    2*pi)) ]));
  if ICDW=1 then
  for J:1 thru NW1 do (
    if J=1 then LW:[ DW*float(L1+DNW*(J-1)) ]
    else LW:append(LW, [ DW*float(L1+DNW*(J-1))
      ]))
  else
  for J:1 thru NW1 do (
    if J=1 then LW:[ DW*float(L1+random(
      float(NW))) ]
    else LW:append(LW, [ DW*float(L1+random(
      float(NW)))
      ]));
  LW:sort(LW,'orderlessp);
  if ICAM=1 then
  for J:1 thru NW1 do (
    if J=1 then LAMP:[ sqrt(subst([w=LW[1]],
      SW1)*(LW[2]-LW[1])/2) ]
    else

```

```

    if J=NW1 then LAMP:append(LAMP, [ sqrt(
      subst([w=LW[NW1]],SW1)*(LW[NW1]
      -LW[NW])/2) ])
    else
    LAMP:append(LAMP, [ sqrt(subst([w=LW[J]],
      SW1)*(LW[J+1]-LW[J-1])/2) ]))
    else
    if ICAM=2 then
    for J:1 thru NW1 do (
      if J=1 then LAMP:[ sqrt(subst([w=LW[1]],
        SW2)*(LW[2]-LW[1])/2) ]
      else
      if J=NW1 then LAMP:append(LAMP, [ sqrt(
        subst([w=LW[NW1]],SW2)*(LW[NW1]-
        LW[NW])/2) ])
      else
      LAMP:append(LAMP, [ sqrt(subst([w=LW[J]],
        SW2)*(LW[J+1]-LW[J-1])/2) ]))
      else
      if ICAM=3 then
      for J:1 thru NW1 do (
        if J=1 then LAMP:[ sqrt(random(1.0))*(
          LW[2]-LW[1])/2 ]
        else
        if J=NW1 then LAMP:append(LAMP, [ sqrt(
          random(1.0))*(LW[NW1]-LW[NW])/2 ] )
        else
        LAMP:append(LAMP, [ sqrt(random(1.0))*(
          LW[J+1]-LW[J-1])/2 ]))
        else
        for J:1 thru NW1 do (
          if J=1 then LAMP:[ 1.0*(LW[2]-LW[1])/2 ]
          else
          if J=NW1 then LAMP:append(LAMP, [ 1.0*(
            LW[NW1]-LW[NW])/2 ] )
          else
          LAMP:append(LAMP, [ 1.0*(LW[J+1]-
            LW[J-1])/2 ]));
        K1:NW1;
        for K:1 thru K1 do (
          for J:1 thru N do (
            if J=1 then
            LTM1:[float(LAMP[K]*sin( LW[K]*(J-1)*DT
              +LRANDM[K]))]
            else LTM1:append(LTM1,[float(LAMP[K]*
              sin( LW[K]*(J-1)*DT+LRANDM[K]))]),

```

```

if K=1 then listfft:LTM1
else listfft:listfft+LTM1;
LTM1:listfft;
for J:1 thru N do (
if J=1 then LOB:[ [ float(DT*(J-1)),
listfft[J] ] ]
else LOB:append(LOB, [ [float(DT*(J-1)),
listfft[J]]]);
plot2d([discrete,LOB],[legend,
"sample deta",[style,[lines,2,1]],
[xlabel, "t (sec)],[ylabel, "x"]];
L01B:fft(listfft);
LM2:N/2;
for J:1 thru LM2 do (
if J=1 then L01BR:[ [ float(DW*(J-1)),
realpart(L01B[J]) ] ]
else L01BR:append(L01BR, [ [float
(DW*(J-1)),realpart(L01B[J])]]);
for J:1 thru LM2 do (
if J=1 then L01BI:[ [ float(DW*(J-1)),
imagpart(L01B[J] ) ] ]
else L01BI:append(L01BI,
[[float(DW*(J-1)), imagpart(L01B[J])]]);
plot2d([[discrete, L01BR],[discrete,
L01BI]], [legend,"cos","sin",
[style,[lines,4,1],[lines,4,2]],
[xlabel, "f (Hz)],[ylabel, "Amp."]);
for J:1 thru LM2 do (
if J=1 then LSPC:[ [ float(DW*(J-1)),
float(((L01BR[J][2])*2)^2+
((L01BI[J][2])*2)^2)/(DW) ] ]
else LSPC:append(LSPC,
[ [float(DW*(J-1)), float(((
L01BR[J][2])*2)^2+
((L01BI[J][2])*2)^2)/DW]]);
plot2d([discrete, LSPC],[legend,"SPC",
[style,[lines,4,1]], [xlabel,
"w (rad/sec)",
[ylabel, "Amp.**2"]);
LPL3:1;
LPL4:1;
if ICAM=1 then LPLO:SW1;
if ICAM=2 then LPLO:SW2;
if ICAM=3 then LPLO:LPL3;
if ICAM=4 then LPLO:LPL4;
LPLO;

```

```

plot2d([[discrete, LSPC], LPL0],[w,0,30],
[legend,"gen.", "given"], [style,[lines,4,1],
[lines,4,2]], [x,0,30],[xlabel, "f (Hz)",
[ylabel, "Amp.**2"]);
write_data(LTM1,"d:listtimeinput.cvs");
write_data(LOB,"d:listtimeinput-1.cvs");
write_data(LSPC,"d:listgenspec.cvs");

```

不規則な入力:  $x(t)$  とし、次式に示す多くの正弦波を合成したものとする。

$$x(t) = \sum_{K=K_1}^{K_2} A_K \sin(t\omega_K + \epsilon_K) \quad (6.5.1)$$

ここで、FFT を使用しているの、データ数:  $N$  は 2 の  $n$  乗である必要がある。

$$t = \Delta t (J - 1), \quad \omega_K = \omega_0 K,$$

$$\omega_0 = \frac{2\pi}{T}, \quad T = \Delta t N$$

$A(\omega)$  は下記から選択

$$A(\omega) = e^{-\frac{4(\omega - \omega_C)^2}{B^2}}$$

$$A(\omega) = \frac{1.06 B^5 e^{-\frac{0.482 B^4}{(-\omega_C + \omega + 1)^4}}}{(-\omega_C + \omega + 1)^5}$$

$A(\omega) : 0 \sim 1$  の乱数

$A(\omega) : 1$

$\epsilon_K : 0 \sim 2\pi$  の乱数

作成した時系列データの例を下図に示す。

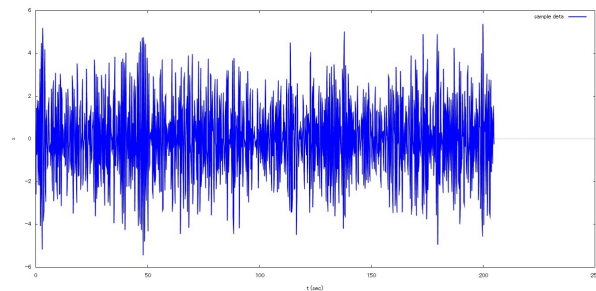
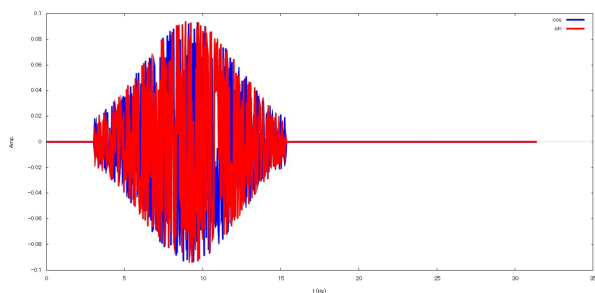
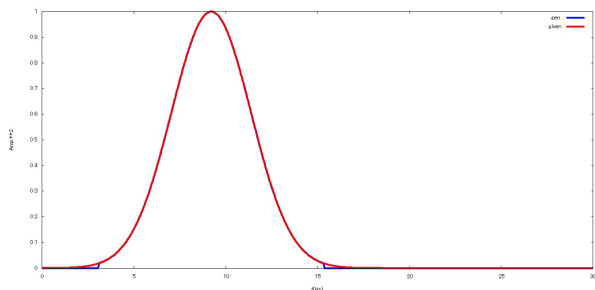


図 6.5.1:  $x(t)$  の時系列データ

FFT を使用して得られた  $x(t)$  の  $\cos, \sin$  振幅分布、 $x(t)$  の  $X(\omega)^2$  分布を以下に示す。

図 6.5.2:  $x(t)$  の  $\cos \sin$  振幅分布図 6.5.3:  $x(t)$  の  $X(\omega)^2$  分布

```

assume(\omega[N]>0);
assume(K>0);
LY1:laplace(y(t),t,s)=Y(s);
LX1:laplace(x(t),t,s)=X(s);
DF1:diff(y(t),t,2)+R*diff(y(t),t,1)+A
*y(t)=B*x(t);
laplace(lhs(DF1),t,s)=laplace(rhs(DF1),
t,s);
subst([LY1,LX1],%);
subst([at('diff(y(t),t,1),t=0)=0,y(0)=0],
%);
LY2:solve(%,Y(s))[1];
C1:B=K*\omega[n]^2;
C2:R=2*C*\omega[n];
C3:A=\omega[n]^2;
subst([C1,C2,C3],LY2);
LY3:factor(%);
HS1:H(s)=subst([X(s)=1,\omega[n]=8,K=1,
C=0.2],rhs(LY3));
HT1:h(t)=ilt(rhs(HS1),s,t);
plot2d(rhs(HT1),[t,0,8],[legend,"h(t)",
[style,[lines,2,1]],xlabel,"t (sec)",
ylabel,"h(t)"]);
FW1:f(w)=cabs(subst([s=%i*\omega],
rhs(HS1)));
plot2d(rhs(FW1),[\omega,0,128],
[legend,"f(w)",[style,[lines,2,1]],
xlabel,"w (rad/sec)",ylabel,"f(w)",
[x,0,20]);

```

```

PH1:ph(\omega)=180/%pi*carg(subst([s=%i*
\omega],rhs(HS1)));
plot2d(rhs(PH1),[\omega,0,128],
[legend,"ph(w)",[style,[lines,2,1]],
xlabel,"w (rad/sec)",
ylabel,"ph(w)",[x,0,20]);
for L:1 thru 200 do (
OM1:0.1*L,
if L=1 then FW2:[ [OM1,subst([\omega=OM1],
rhs(FW1))] ]
else
FW2:append(FW2,[ [OM1,subst([\omega=OM1],
rhs(FW1))] ]));
for L:1 thru 200 do (
OM1:0.1*L,
if L=1 then PH2:[ [OM1,subst([\omega=OM1],
float(rhs(PH1))] ] ]
else
PH2:append(PH2,[ [OM1,subst([\omega=OM1],
float(rhs(PH1))] ] ]));
NHT1:32;
for L:1 thru NHT1 do (
T1:t=float((L-1)*DT),
if L=1 then LHT1:[ float(subst([T1],
rhs(HT1)*DT)) ]
else
LHT1:append(LHT1,[float(subst([T1],
rhs(HT1)*DT))]));
LTM2:LTM1;
N2:N+NHT1;
for K:1 thru K1 do (
for J:1 thru N2 do (
if J=1 then
LTM2:[float(LAMP[K]*sin(LW[K]*(J-NHT1)*
DT+LRANDM[K]))]
else LTM2:append(LTM2,[float(LAMP[K]*
sin(LW[K]*(J-NHT1)*DT+LRANDM[K]))]),
if K=1 then LTM3:LTM2
else LTM3:LTM3+LTM2);
for J:1 thru N2 do (
if J=1 then LOB1:[ [ float(DT*(J-NHT1)),
LTM3[J] ] ]
else LOB1:append(LOB1, [ [float(DT*
(J-NHT1)),LTM3[J]]]);

```

```

plot2d([[discrete,LOB1],[discrete,LOB]],
  [legend,"input sample deta for multi",
  "original sample deta"],[style,
  [lines,1,1],[lines,1,2]],
  [xlabel,"t (sec)],[ylabel,"x"]);
plot2d([[discrete,LOB1],[discrete,LOB]],
  [legend,"input sample deta for multi",
  "original sample deta"],[style,
  [lines,2,1],[lines,2,2]],
  [xlabel,"t (sec)],[ylabel,"x",
  [x,-10,30]);
plot2d([[discrete,LOB1],[discrete,LOB]],
  [legend,"input sample deta for multi",
  "original sample deta"],[style,
  [lines,2,1],[lines,2,2]],
  [xlabel,"t (sec)],[ylabel,"x",
  [x,70,110]);
plot2d([[discrete,LOB1],[discrete,LOB]],
  [legend,"input sample deta for multi",
  "original sample deta"],[style,
  [lines,2,1],[lines,2,2]],
  [xlabel,"t (sec)],[ylabel,"x",
  [x,180,210]);
LINPUT1:LTMI;
LINPUT2:LTM3;
for J:1 thru N do (
AA:0.0,
for N:1 thru NHT1 do (
AA:AA+LHT1[NHT1-N+1]*LINPUT2[J+N-1]),
if J=1 then LOUTPUT1:[ AA ]
else LOUTPUT1:append(LOUTPUT1, [ AA]));
for J:1 thru N do (
if J=1 then LOC:[ [ float(DT*(J-1)),
LOUTPUT1[J]] ]
else LOC:append(LOC, [ [ float(DT*(J-1)),
LOUTPUT1[J]]]));
plot2d([[discrete,LOB],[discrete,LOC]],
  [legend,"input sample deta",
  "output sample deta"],[style,
  [lines,2,1],[lines,2,2]],
  [xlabel,"t (sec)],[ylabel,"x",
  [x,0,100]);

```

```

write_data(LHT1,"d:listht.csv");
write_data(FW2,"d:listfw.csv");
write_data(PH2,"d:listph.csv");
write_data(LOUTPUT1,"d:listtimeoutput.
csv");
write_data(LOC,"d:listtimeoutput-1.csv");

```

(6.4.11) 式から、 $x(t)$  に線形な応答出力： $y(t)$  とすると、

$$y(t) = \int_{-\infty}^{\infty} h(r) x(t-r) dr \quad (6.5.2)$$

「8.4.2 ラプラス変換 システム解析 二次システム」に示す下記の二階定数係数線形微分方程式の線形システムを考える。

$$\left(\frac{d}{dt} y(t)\right) R + y(t) A + \frac{d^2}{dt^2} y(t) = x(t) B$$

上式をラプラス変換し、 $Y(s)$  を求めると、

$$Y(s) = \frac{X(s) B}{s R + A + s^2}$$

ここで定数： $A, B, R$  を下記のように置き換えると、

$$A = \omega_N^2, B = K \omega_N^2, R = 2 C \omega_N \text{ ここで、} \omega_N > 0$$

$Y(s)$  は、

$$Y(s) = \frac{X(s) K \omega_N^2}{\omega_N^2 + 2 s C \omega_N + s^2} \quad (6.5.3)$$

インパルス応答は「8.1.4 デルタ関数」の(8.1.10)式から、 $X(s) = 1$  として得られ、また、定数を  $\omega_N = 8, K = 1, C = 0.2$  とすると、

$$H(s) = \frac{64}{s^2 + 3.2s + 64} \quad (6.5.4)$$

上式を逆ラプラス変換すると、インパルス応答： $h(t)$  が得られ、図示すると、

$$h(t) = \frac{20 e^{-\frac{8}{5}t} \sin\left(\frac{16\sqrt{6}t}{5}\right)}{\sqrt{6}} \quad (6.5.5)$$

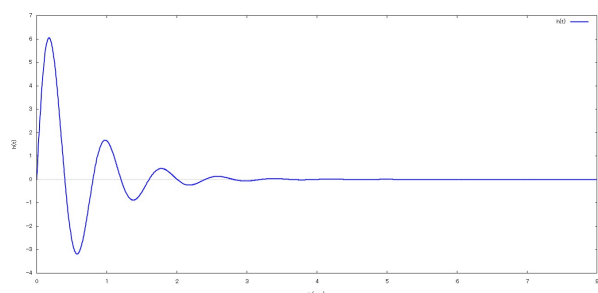


図 6.5.4: インパルス応答： $h(t)$

「8.4.2 ラプラス変換 システム解析 二次システム」の(8.4.19)式から、(6.5.4)式に  $s \rightarrow i\omega$  の置き換えを行うと、次式の周波数応答特性、位相特性が得られる。

$$f(\omega) = \frac{64}{\sqrt{(64 - \omega^2)^2 + 10.24\omega^2}} \quad (6.5.6)$$

$$\text{ph}(\omega) = -\frac{180 \text{atan2}\left(\frac{3.2\omega}{\sqrt{(64 - \omega^2)^2 + 10.24\omega^2}}, \frac{64 - \omega^2}{\sqrt{(64 - \omega^2)^2 + 10.24\omega^2}}\right)}{\pi} \quad (6.5.7)$$

上記の周波数特性を図示すると下図となる。

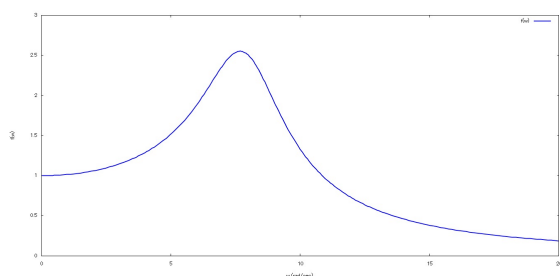


図 6.5.5: 周波数応答特性

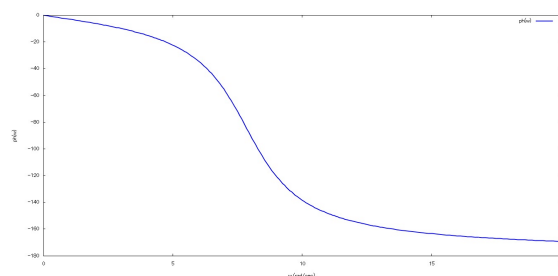


図 6.5.6: 位相特性

(6.5.5)式で得られたインパルス応答:  $h(t)$  を用いて、(6.5.2)式で  $x(t)$  に線形な応答出力:  $y(t)$  を求めると、下図となる。

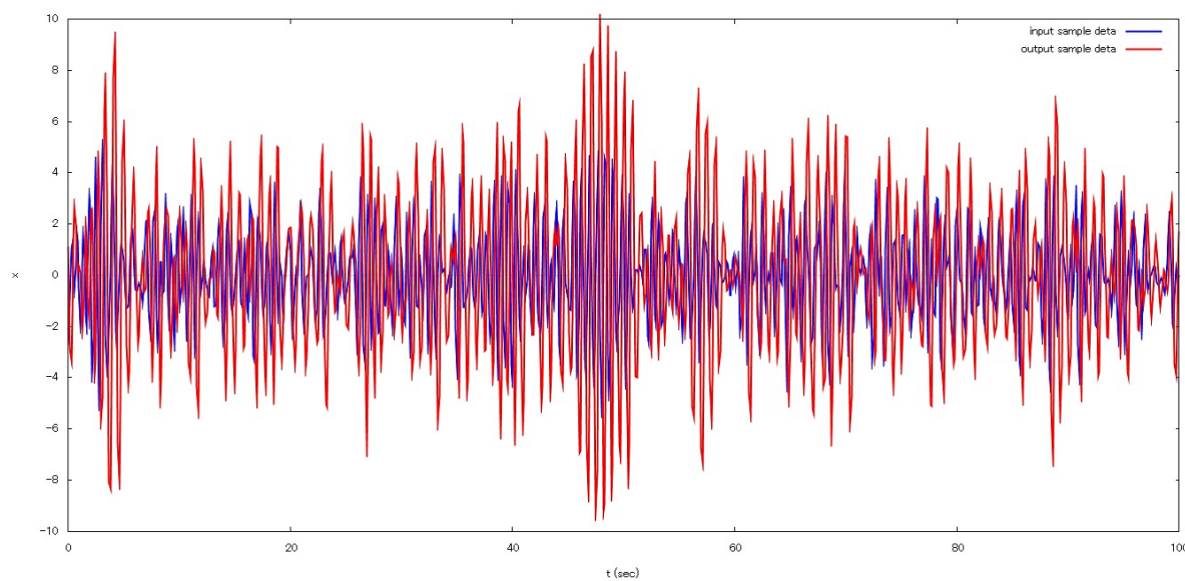


図 6.5.7: 不規則な入力:  $x(t)$  とそれに線形な応答出力:  $y(t)$

## 6.5.2 自己相関

```

kill(all);
ICANA:3;
DT:0.1;
N:2048;
if ICANA=1 then LTMI:read_list(
  "d:listtimeinput.cvs");
if ICANA=1 then LTMO:read_list(
  "d:listtimeinput.cvs");
if ICANA=2 then LTMI:read_list(
  "d:listtimeoutput.cvs");
if ICANA=2 then LTMO:read_list(
  "d:listtimeoutput.cvs");
if ICANA=3 then LTMI:read_list(
  "d:listtimeinput.cvs");
if ICANA=3 then LTMO:read_list(
  "d:listtimeoutput.cvs");
LAG:N/8;
LAG2:LAG*2;
for L:1 thru LAG do (
  LG1:L-LAG,
  ACOR:0,
  for N1:-LG1+1 thru N do (
    ACOR:ACOR+LTMI[N1]*LTMO[N1+LG1]),
    ACOR:float(ACOR/(N+LG1)),
    if L=1 then LACOR1:[ACOR]
    else LACOR1:append(LACOR1,[ACOR]));
  for L:LAG+1 thru LAG2 do (
    LG1:L-LAG,
    ACOR:0,
    for N1:LG1+1 thru N do (
      ACOR:ACOR+LTMI[N1-LG1]*LTMO[N1]),
      ACOR:float(ACOR/(N-LG1)),
      LACOR1:append(LACOR1,[ACOR]));
  for J:1 thru LAG2 do (
    if J=1 then LACOR:[ [ float(DT*(J-LAG)),
      LACOR1[J] ] ]
    else LACOR:append(LACOR, [ [
      float(DT*(J-LAG)),LACOR1[J]]]);
  plot2d([discrete,LACOR],[legend,
    "Auto-correlation"],[style,[lines,2,1]],
    [xlabel,"t Lag (sec)",
    ylabel,"Auto-correlation"]);
if ICANA=3 then plot2d([discrete,LACOR],
  [legend,"Cross-correlation"],
  [style,[lines,2,1]],
  [xlabel,"t Lag (sec)",
  ylabel,"Cross-correlation"]);

```

```

LAG;
LAG2;
if ICANA=1 then write_data(LACOR1,
  "d:listcorre1.cvs");
if ICANA=1 then write_data(LACOR,
  "d:listcorre1-1.cvs");
if ICANA=2 then write_data(LACOR1,
  "d:listcorre2.cvs");
if ICANA=2 then write_data(LACOR,
  "d:listcorre2-1.cvs");
if ICANA=3 then write_data(LACOR1,
  "d:listcorre3.cvs");
if ICANA=3 then write_data(LACOR,
  "d:listcorre3-1.cvs");

```

(6.4.3) 式から入力:  $x(t)$  の自己相関関数:  $R_{xx}(\tau)$  は、

$$R_{xx}(\tau) = \lim_{T \rightarrow \infty} \frac{1}{T} \int_{-\frac{T}{2}}^{\frac{T}{2}} x(t) x(\tau + t) dt \quad (6.5.8)$$

(6.4.14) 式から応答出力:  $y(t)$  の自己相関関数:  $R_{yy}(\tau)$  は、

$$R_{yy}(\tau) = \lim_{T \rightarrow \infty} \frac{1}{T} \int_{-\frac{T}{2}}^{\frac{T}{2}} y(t) y(\tau + t) dt \quad (6.5.9)$$

(6.4.21) 式から入力:  $x(t)$  と応答出力:  $y(t)$  の相互相関関数:  $R_{yx}(\tau)$  は、

$$R_{yx}(\tau) = \lim_{T \rightarrow \infty} \frac{1}{T} \int_{-\frac{T}{2}}^{\frac{T}{2}} x(t) y(\tau + t) dt \quad (6.5.10)$$

「6.5.1 時系列データの作成」で作成したデータを基に、自己相関関数、相互相関関数を求めると下図となる。

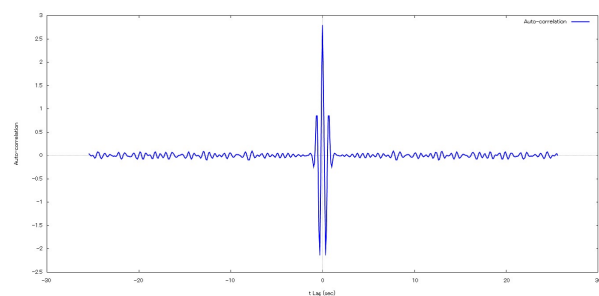
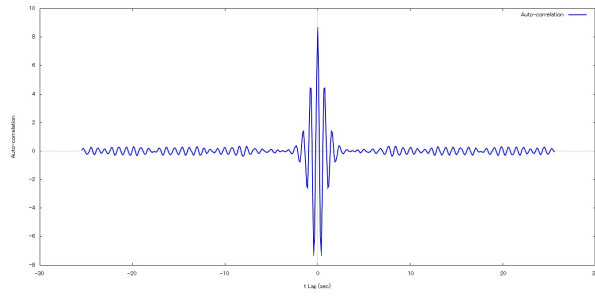
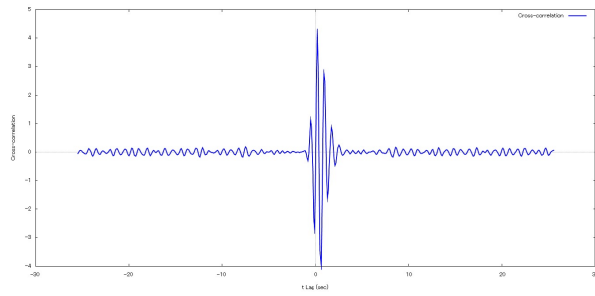


図 6.5.8: 自己相関関数:  $R_{xx}(\tau)$

図 6.5.9: 自己相関関数:  $R_{yy}(\tau)$ 図 6.5.10: 相互相関関数:  $R_{yx}(\tau)$

## 6.5.3 スペクトル

```

kill(all);
ICANA:3;
if ICANA=1 then LACOR1:read_list(
  "d:listcorre1.cvs");
if ICANA=2 then LACOR1:read_list(
  "d:listcorre2.cvs");
if ICANA=3 then LACOR1:read_list(
  "d:listcorre3.cvs");
if ICANA=1 then LTMI:read_list(
  "d:lsttimeinput.cvs");
if ICANA=1 then LTMO:read_list(
  "d:lsttimeinput.cvs");
if ICANA=2 then LTMI:read_list(
  "d:lsttimeoutput.cvs");
if ICANA=2 then LTMO:read_list(
  "d:lsttimeoutput.cvs");
if ICANA=3 then LTMI:read_list(
  "d:lsttimeinput.cvs");
if ICANA=3 then LTMO:read_list(
  "d:lsttimeoutput.cvs");
LSPC1:read_list("d:listgenspec.cvs");
N:2048;
LM2:N/2;
DT:0.1;
LAG:N/8;
LAG2:2*LAG;
ICWD:2;
for J:1 thru LM2 do (
  if J=1 then LSPC:[ [ LSPC1[1], LSPC1[2]/2 ] ]
  else LSPC:append(LSPC, [ [LSPC1[2*J-1],
    LSPC1[2*J]/2 ] ]));
DF1:1/float(DT*LAG2);
DW1:float(DF1*2*pi);
DW2:float(2*pi/DT/(LAG2-1));
for L:1 thru LAG-1 do (
  OM2:DW2*L,
  DSPC:0,
  for J:-LAG+1 thru LAG-1 do (
    DSPC:DSPC+LACOR1[J+LAG]*cos(OM2*DT*J)*DT,
    SPCC:float(DSPC/pi),
    if L=1 then LSPCC2:[ [ OM2, SPCC ] ]
    else LSPCC2:append(LSPCC2, [ [OM2,
      SPCC] ]));
  for L:1 thru LAG-1 do (
    OM2:DW2*L,
    DSPS:0,

```

```

for J:-LAG+1 thru LAG-1 do (
  DSPS:DSPS+LACOR1[J+LAG]*sin(OM2*DT*J)*DT,
  SPCS:float(DSPS/pi),
  if L=1 then LSPCS2:[ [ OM2, SPCS ] ]
  else LSPCS2:append(LSPCS2, [ [OM2,
    SPCS] ]));
plot2d([ [discrete,LSPCC2],
  [discrete,LSPCS2], [discrete,LSPC] ],
  [legend, "Spec-cos","Spec-sin","Given"],
  [style, [lines,2,1], [lines,2,2],
  [lines,2,3]],
  [xlabel, "w (rad/sec)",
  [ylabel, "Spectrum"], [x,0,30]);
LACOR1[LAG];
R0:0;
for J:1 thru LAG-1 do (
  R0:R0+DW2*(LSPCC2[J][2]);
  R0;
  R0-LACOR1[LAG];
  WND1:[0,0,1,0,0];
  WND2:[-0.06,0.24,0.64,0.24,-0.06];
  WND3:[0,0.25,0.5,0.25,0];
  WND4:[0,0.23,0.54,0.23,0];
  if ICWD=1 then WND:WND1;
  if ICWD=2 then WND:WND2;
  if ICWD=3 then WND:WND3;
  if ICWD=4 then WND:WND4;
  LMWD1:LAG-3;
  for J:3 thru LMWD1 do (
    SPW1:0.0,
    for L:1 thru 5 do (
      SPW1:SPW1+float(LSPCC2[J+L-3][2]*WND[L] )),
    if J=3 then LSPCCQ1:[ [ float(DW2*J),
      SPW1 ] ]
    else LSPCCQ1:append(LSPCCQ1, [
      [float(DW2*J), SPW1] ]));
  for J:3 thru LMWD1 do (
    SPW1:0.0,
    for L:1 thru 5 do (
      SPW1:SPW1+float(LSPCS2[J+L-3][2]*WND[L] )),
    if J=3 then LSPCSQ1:[ [ float(DW2*J),SPW1] ]
    else LSPCSQ1:append(LSPCSQ1, [
      [float(DW2*J), SPW1] ]));

```



```

plot2d([[discrete,LSPCC2],
[discrete,LSPCCQ1]], [legend,
"Spectrum-cos from Auto-correlation",
"Spectrum-cos with window"],
[style,[lines,2,1],[lines,2,2]],
[xlabel, "w (rad/sec)",
[ylabel, "Spectrum"]);
plot2d([[discrete,LSPCS2],
[discrete,LSPCSQ1]], [legend,
"Spectrum-sin from Auto-correlation",
"Spectrum-sin with window"],
[style,[lines,2,1],[lines,2,2]],
[xlabel, "w (rad/sec)",
[ylabel, "Spectrum"]);
if ICANA=1 then write_data(LSPCC2,
"d:listspect1.cvs");
if ICANA=2 then write_data(LSPCC2,
"d:listspect2.cvs");
if ICANA=1 then write_data(LSPCCQ1,
"d:listspect1wd.cvs");
if ICANA=2 then write_data(LSPCCQ1,
"d:listspect2wd.cvs");
if ICANA=3 then write_data(LSPCC2,
"d:listspect3c.cvs");
if ICANA=3 then write_data(LSPCS2,
"d:listspect3s.cvs");

```

(6.4.9) 式から入力:  $x(t)$  のスペクトル:  $S_{xx}(\omega)$ 、応答出力:  $y(t)$  のスペクトル:  $S_{yy}(\omega)$ 、(6.4.23) 式から入力:  $x(t)$  と応答出力:  $y(t)$  のクロススペクトル:  $S_{yx}(\omega)$  は次式で与えられる。ここで  $\omega > 0$  の範囲のみとする。

$$S_{xx}(\omega) = \frac{1}{2\pi} \int_{-\infty}^{\infty} e^{-i\omega\tau} R_{xx}(\tau) d\tau \quad (6.5.11)$$

$$S_{yy}(\omega) = \frac{1}{2\pi} \int_{-\infty}^{\infty} e^{-i\omega\tau} R_{yy}(\tau) d\tau \quad (6.5.12)$$

$$S_{yx}(\omega) = \frac{1}{2\pi} \int_{-\infty}^{\infty} e^{-i\omega\tau} R_{yx}(\tau) d\tau \quad (6.5.13)$$

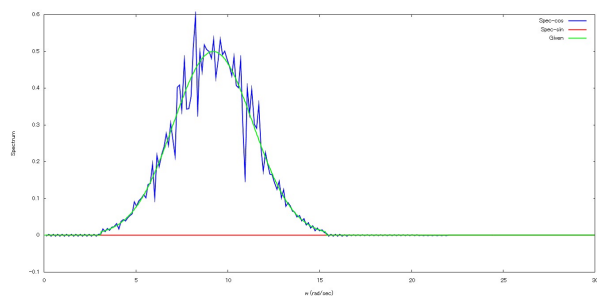


図 6.5.11: スペクトル:  $S_{xx}(\omega)$

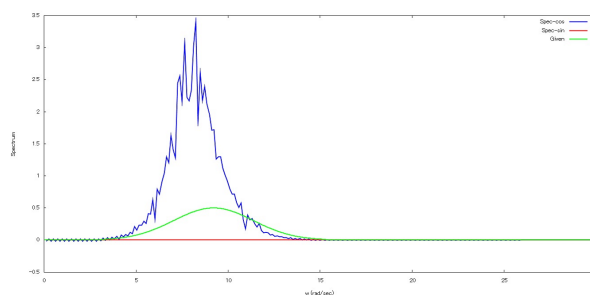


図 6.5.12: スペクトル:  $S_{yy}(\omega)$

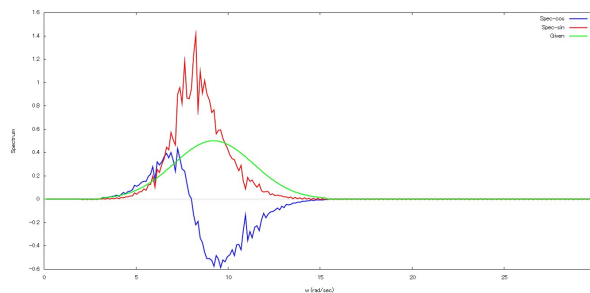


図 6.5.13: クロススペクトル:  $S_{yx}(\omega)$

「6.4.4 ウィンドウ」に示されているハニングのスペクトルウィンドウを上記の結果にかけ、元のスペクトルと比較すると、 $S_{xx}(\omega)$ 、 $S_{yy}(\omega)$  は、

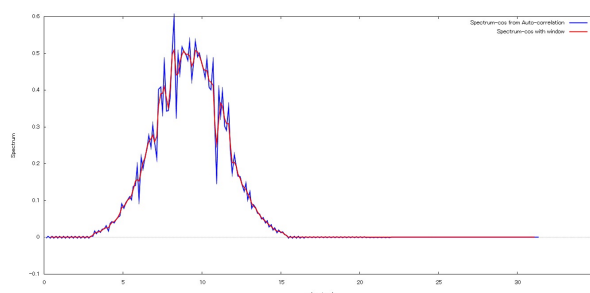


図 6.5.14: スペクトル:  $S_{xx}(\omega)$

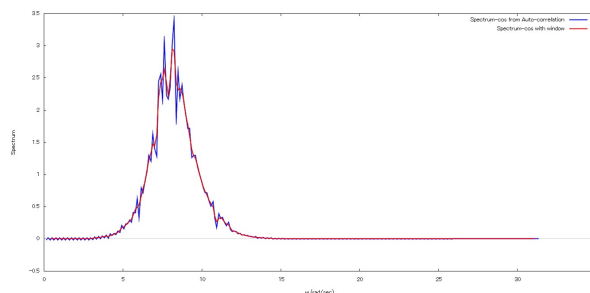


図 6.5.15: スペクトル:  $S_{yy}(\omega)$

## 6.5.4 1次元自己回帰モデル

```

LAK:N/16;
for L:1 thru LAK do (
ACOR:0,
for N1:1 thru N-L+1 do (
ACOR:ACOR+LTMI[N1]*LTMO[N1+L-1]),
ACOR:float(ACOR/(N)),
if L=1 then LC1:[ ACOR ]
else
LC1:append(LC1,[ACOR]);
for L:1 thru LAK do (
if L=1 then LC11:[ [L-1,LC1[L]] ]
else
LC11:append(LC11,[ [L-1,LC1[L]] ]));
plot2d([discrete,LC11],[legend,"Cxx"],
[style,[lines,2,1],[xlabel,"L"],
[ylabel,"Cxx"]]);
SIG2[0]:LC1[1];
AM[1,1]:[LC1[2]/SIG2[0]];
SIG2[1]:(1-(AM[1,1])^2)*SIG2[0];
for M:1 thru 100 do (
AM[M+1,M+1]:1/SIG2[M]*(LC1[M+2]-sum(
AM[M,MM]*LC1[M+1-MM+1],MM,1,M)),
for MM:1 thru M do (
AM[M+1,MM]:AM[M,MM]-AM[M+1,M+1]*
AM[M,M+1-MM],
SIG2[M+1]:SIG2[M]*(1-AM[M+1,M+1]^2),
FPE[M]:(N+M+1)/(N-MM+1)*SIG2[M]);
for M:1 thru 100 do (
if M=1 then FPE1:[ [M-1,FPE[M][1]] ]
else
FPE1:append(FPE1,[ [M-1,FPE[M][1]] ]));
plot2d([discrete,FPE1],[legend,"FPE"],
[style,[lines,2,1],[xlabel,"M"],
[ylabel,"FPE"]]);
LL1:16;
for MM:1 thru LL1 do (
if MM=1 then AM1:[ [MM-1,AM[LL1,MM][1]] ]
else
AM1:append(AM1,[ [MM-1,AM[LL1,MM][1]] ]));
LL1:32;
for MM:1 thru LL1 do (
if MM=1 then AM2:[ [MM-1,AM[LL1,MM][1]] ]
else
AM2:append(AM2,[ [MM-1,AM[LL1,MM][1]] ]));

```

```

LL1:64;
for MM:1 thru LL1 do (
if MM=1 then AM3:[ [MM-1,AM[LL1,MM][1]] ]
else
AM3:append(AM3,[ [MM-1,AM[LL1,MM][1]] ]));
LL1:100;
for MM:1 thru LL1 do (
if MM=1 then AM4:[ [MM-1,AM[LL1,MM][1]] ]
else
AM4:append(AM4,[ [MM-1,AM[LL1,MM][1]] ]));
plot2d([ [discrete,AM4],[discrete,AM3],
[discrete,AM2],[discrete,AM1]],
[legend,"AM4 100","AM3 64","AM2 32",
"AM1 16"],[style,[lines,2,1],[lines,2,2],
[lines,2,3],[lines,2,4],[xlabel,"MM"],
[ylabel,"AM"]]);
if ICANA=1 then write_data(AM1,
"d:listam1-16.cvs");
if ICANA=1 then write_data(AM2,
"d:listam1-32.cvs");
if ICANA=1 then write_data(AM3,
"d:listam1-64.cvs");
if ICANA=2 then write_data(AM1,
"d:listam2-16.cvs");
if ICANA=2 then write_data(AM2,
"d:listam2-32.cvs");
if ICANA=2 then write_data(AM3,
"d:listam2-64.cvs");
LL1:64;
DW3:float(2*%pi/DT/(128*2));
for MM:1 thru LL1 do (
if MM=1 then AMO:[ AM[LL1,MM][1] ]
else
AMO:append(AMO,[AM[LL1,MM][1]]));
SIG2[LL1];
declare(CAA,complex);
for L:1 thru 128 do (
CAA:0,
for MM:1 thru LL1 do (
CAA:CAA+AMO[MM]*e^(-%i*2*%pi*(L/128/2)
*MM)),
AB:float(SIG2[LL1][1]/(cabs(1-CAA))^2),
if L=1 then LSPAK0:[ [float(DW3*(L)),
float(AB*DT/%pi)] ]
else
LSPAK0:append(LSPAK0,[ [float(DW3*(L)),
float(AB*DT/%pi)] ]));

```

```

plot2d([[discrete,LSPAK0],
[discrete,LSPC]], [legend,"AK","Given"],
[style,[lines,2,1],[lines,2,2]],
[xlabel,"w (rad/sec)",
[ylabel,"Spectrum"]);
plot2d([[discrete,LSPAK0],
[discrete,LSPCC2], [discrete,LSPC]],
[legend,"AK",
"Spectrum from Auto-correlation",
"Given"], [style,[lines,2,1],[lines,2,2],
[lines,2,3]], [xlabel,"w (rad/sec)",
[ylabel,"Spectrum"]);
if ICANA=1 then write_data(LSPAK0,
"d:listspectak1.cvs");
if ICANA=2 then write_data(LSPAK0,
"d:listspectak2.cvs");

```

不規則な時系列データを予測誤差： $\epsilon(s)$  を用いて、下記に示す線型な予測式からスペクトルを求める<sup>15)</sup>。

$$x(s) = \sum_{m=1}^M A(m) x(s-m) + \epsilon(s)$$

ここで、下記の予測誤差の2乗平均が最小になるように、係数： $A(m)$  を求める。

$$E[\epsilon(s)^2] = \lim_{N \rightarrow \infty} \frac{\sum_{s=1}^N \epsilon(s)^2}{N} \quad N: \text{データ数}$$

係数： $A(m)$  を求める方法として、逐次計算法を以下に示す<sup>15)</sup>。

$$C_{xx}(l) = \frac{1}{N} \sum_{s=1}^{N-l} x(s) x(s+l) \quad l = 1, 2, \dots, L$$

ここで下記と置く。

$$A_0(m) = 0 \quad m = 1, 2, \dots, L \quad \sigma(0)^2 = C_{xx}(0)$$

$A_M(m) \quad m = 1, 2, \dots, M, \sigma(M)^2$  を  $M = 1, 2, \dots, L$  に、下記の逐次計算を行う。

$$A_{M+1}(M+1) = \frac{C_{xx}(M+1) - \sum_{m=1}^M A_M(m) C_{xx}(M-m+1)}{\sigma(M)^2}$$

$$A_{M+1}(m) = A_M(m) - A_{M+1}(M+1) A_M(M-m+1)$$

$$\sigma(M+1)^2 = \sigma(M)^2 \left(1 - A_{M+1}(M+1)^2\right)$$

$$\text{FPE}(M) = \frac{\sigma(M)^2 (N+M+1)}{N-M-1}$$

FPE(M) が最小となる  $M$  を最終の推定値とする。スペクトル： $S(\omega)$  は次式で与えられる。

$$S(\omega) = \frac{\sigma(M)^2}{\left(\sum_{m=1}^M A_M(m) e^{-2i\pi m\omega} - 1\right)^2}$$

入力： $x(t)$  および応答出力： $y(t)$  の結果を下記に示す。

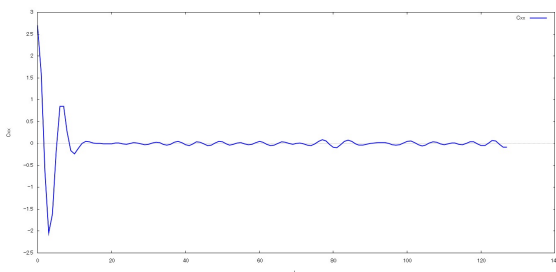


図 6.5.16:  $C_{xx}(l)$

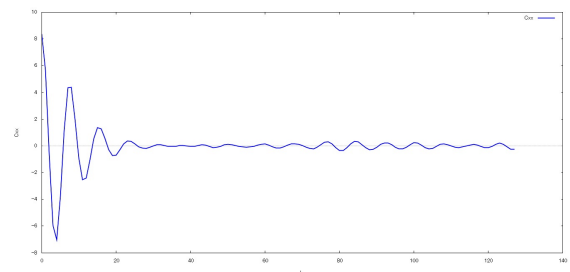


図 6.5.17:  $C_{yy}(l)$

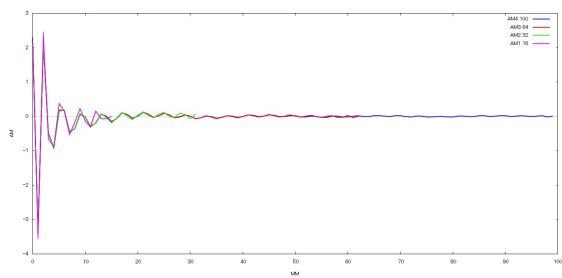


図 6.5.18:  $x(t)$  の  $A_M(m)$

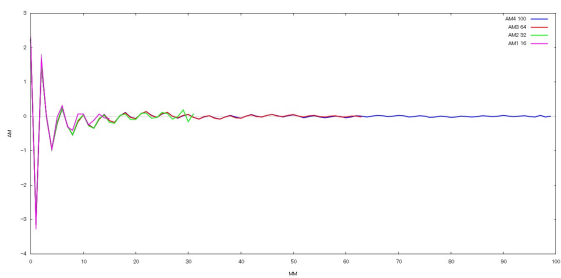


図 6.5.19:  $y(t)$  の  $A_M(m)$

$M = 64$  として、スペクトルを求めると、

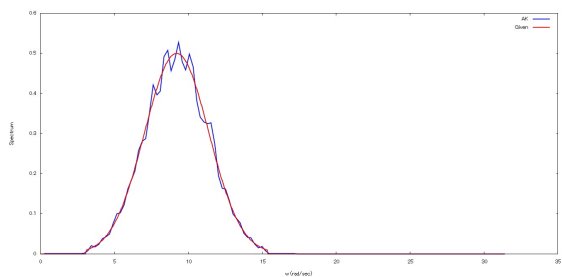


図 6.5.20:  $S_{xx}(\omega)$   $M = 64$

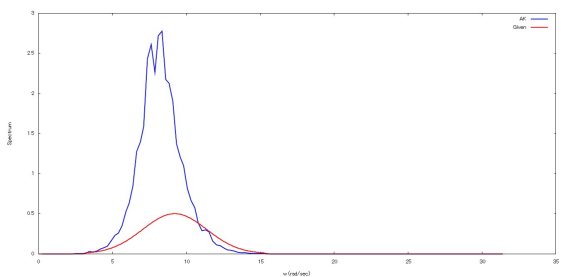


図 6.5.21:  $S_{yy}(\omega)$   $M = 64$

前節で求めたスペクトルの結果との比較を行うと、

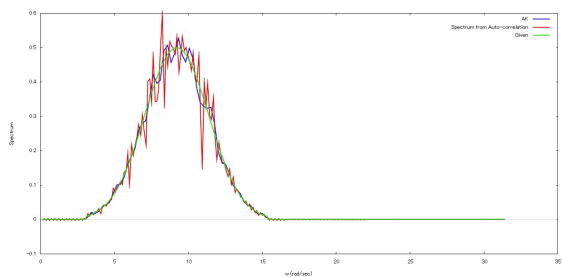


図 6.5.22:  $S_{xx}(\omega)$

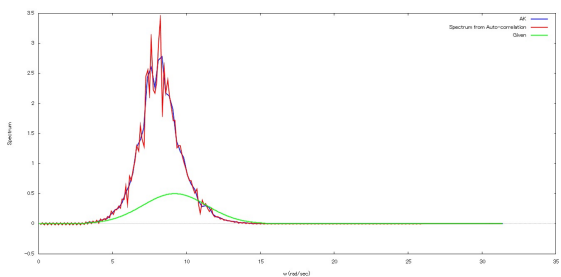


図 6.5.23:  $S_{yy}(\omega)$

## 6.5.5 FFTによる応答解析

```

kill(all);
load("fft");
LINPUT1:read_list("d:listtimeinput.cvs");
LOUTPUT1:read_list("d:listtimeoutput.cvs");
FW21:read_list("d:listfw.cvs");
PH21:read_list("d:listph.cvs");
for J:1 thru 200 do (
if J=1 then FW2:[ [ FW21[1], FW21[2] ] ]
else FW2:append(FW2, [ [FW21[2*J-1],
FW21[2*J]]]);
for J:1 thru 200 do (
if J=1 then PH2:[ [ PH21[1], PH21[2] ] ]
else PH2:append(PH2, [ [PH21[2*J-1],
PH21[2*J]]]);
N:2048;
LAG2:N/2;
DT:0.1;
DF:float(1/(float(DT*N)));
for J:1 thru N do (
if J=1 then LINPUTW:[ float(LINPUT1[J]*
sin(%pi*J/N)) ]
else LINPUTW:append(LINPUTW, [
float(LINPUT1[J]*sin(%pi*J/N))]);
for J:1 thru N do (
if J=1 then LOUTPUTW:[ float(LOUTPUT1[J]*
sin(%pi*J/N)) ]
else LOUTPUTW:append(LOUTPUTW, [
float(LOUTPUT1[J]*sin(%pi*J/N))]);
for J:1 thru N do (
if J=1 then LOBW:[ [ float(DT*(J-1)),
LINPUTW[J] ] ]
else LOBW:append(LOBW, [ [
float(DT*(J-1)),LINPUTW[J]]]);
for J:1 thru N do (
if J=1 then LOCW:[ [ float(DT*(J-1)),
LOUTPUTW[J] ] ]
else LOCW:append(LOCW, [ [float(DT*(J-1)),
LOUTPUTW[J]]]);
plot2d([[discrete,LOBW],[discrete,LOCW]],
[legend,"input sample deta with Hunning",
"output sample deta with Hunning"],
[style,[lines,2,1],[lines,2,2]],
[xlabel,"t (sec)",[ylabel,"x"]]);
LINFFTW:fft(LINPUTW);
LOUTFFTW:fft(LOUTPUTW);
AA:0.0;

```

```

for J:1 thru LAG2 do (
BB:cabs(LOUTFFTW[J]),
if AA<BB then AA:BB );
ALIM:float(AA/100);
for J:1 thru LAG2 do (
if J=1 then LFW2:[ [ float(DF*(J)),
cabs(LINFFTW[J]) ] ]
else LFW2:append(LFW2, [ [float(DF*(J)),
cabs(LINFFTW[J])]]));
for J:1 thru LAG2 do (
if J=1 then LFW3:[ [ float(DF*(J)),
cabs(LOUTFFTW[J]) ] ]
else LFW3:append(LFW3, [ [float(DF*(J)),
cabs(LOUTFFTW[J])]]));
plot2d([[discrete,LFW2],[discrete,LFW3]],
[legend,"Input","Output"],
[style,[lines,2,1],[lines,2,2]],
[xlabel,"w (rad/sec)",[ylabel,"f(w)"]]);
for J:1 thru LAG2 do (
if J=1 then LFW4:[ [ float(DF*2*%pi*(J)),
if cabs(LOUTFFTW[J])>ALIM then
cabs(LOUTFFTW[J])/cabs(LINFFTW[J])
else 0.0 ] ]
else LFW4:append(LFW4, [ [float(DF*2*
%pi*(J)),if cabs(LOUTFFTW[J])>ALIM
then cabs(LOUTFFTW[J])/
cabs(LINFFTW[J]) else 0.0]]));
plot2d([[discrete,LFW2],[discrete,LFW4]],
[legend,"given","FFT"],
[style,[lines,2,1],[lines,2,2]],
[xlabel,"w (rad/sec)",[ylabel,"f(w)"]]);
for J:1 thru LAG2 do (
if J=1 then LFW5:[ [ float(DF*2*%pi*(J)),
if cabs(LOUTFFTW[J])>ALIM then -180/%pi*
carg(LOUTFFTW[J]/LINFFTW[J]) else 0.0 ] ]
else LFW5:append(LFW5, [ [float(DF*2*
%pi*(J)),if cabs(LOUTFFTW[J])>ALIM
then -180/%pi*carg(LOUTFFTW[J]/
LINFFTW[J]) else 0.0]]));
for J:1 thru LAG2 do (
if J=1 then LFW51:[LFW5[1] ]
else
if LFW5[J][2]>180 then
LFW51:append(LFW51, [ [LFW5[J][1],
LFW5[J][2]-360]])
else LFW51:append(LFW51, [ [LFW5[J][1],
LFW5[J][2]]]);

```

```
plot2d([[discrete,PH2],[discrete,LFW51]],
[legend,"given","FFT"],
[style,[lines,2,1],[lines,2,2]],
[xlabel,"w (rad/sec)],[ylabel,"ph(w)",
[y,-180,0]);
```

入力:  $x(t)$  および応答出力:  $y(t)$  の時系列データに、「6.4.4 ウィンドウ」に示されている下記のハニングの時間ウィンドウをかけ、その結果を以下に示す。

$$W(t) = 0.5 \cos\left(\frac{2\pi t}{T}\right) + 0.5 \quad -\frac{T}{2} < t < \frac{T}{2}$$

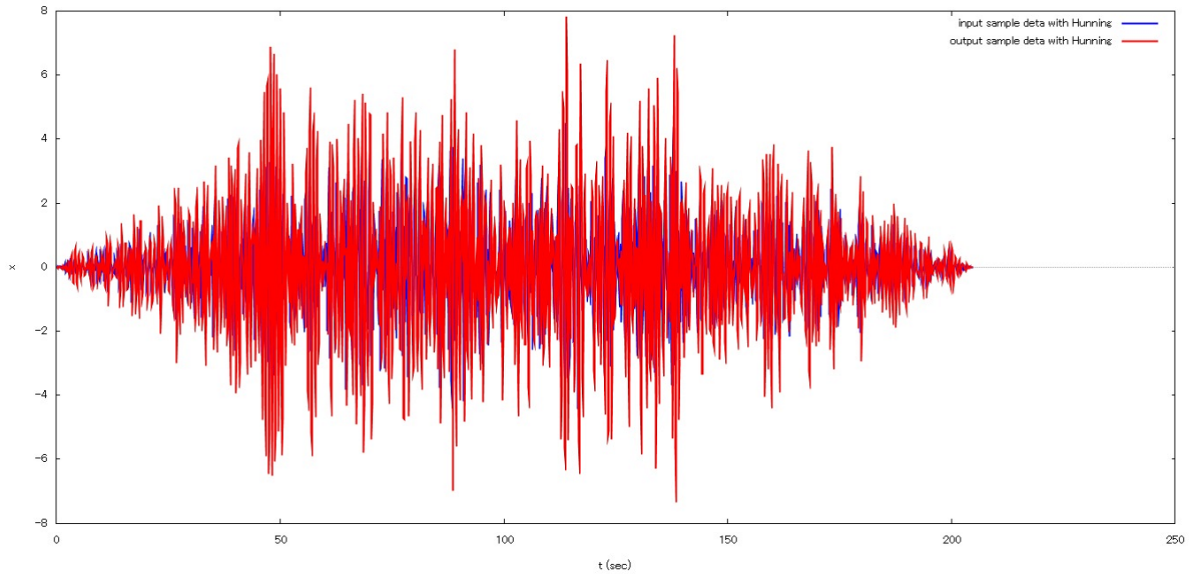


図 6.5.24: ハニングの時間ウィンドウをかけた入力:  $x(t)$  とそれに線形な応答出力:  $y(t)$

FFT によるスペクトル:  $S_{xx}(\omega)$ 、 $S_{yy}(\omega)$  を右に示す。入力:  $x(t)$  の FFT によるフーリエ解析結果:  $X(\omega)$ 、応答出力:  $y(t)$  の FFT によるフーリエ解析結果:  $Y(\omega)$  とすると、周波数応答特性:  $H(\omega)$  は次式で得られる。

$$H(\omega) = \frac{Y(\omega)}{X(\omega)} \quad (6.5.14)$$

上式から得られた周波数応答特性、図 6.5.5、図 6.5.6 とよく一致している。

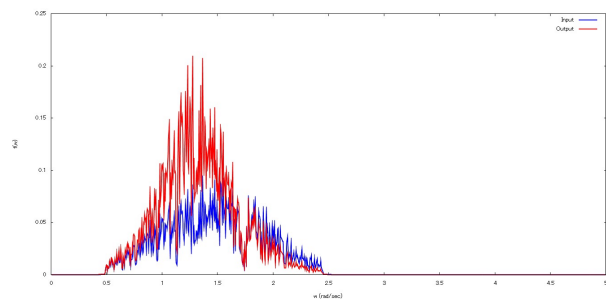


図 6.5.25:  $S_{xx}(\omega)$ 、 $S_{yy}(\omega)$

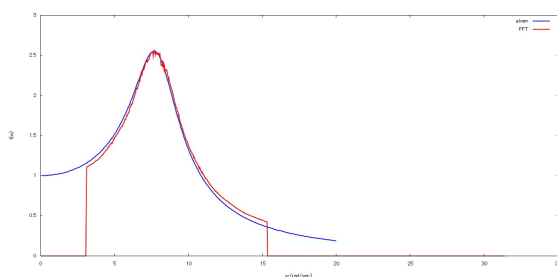


図 6.5.26: 周波数特性

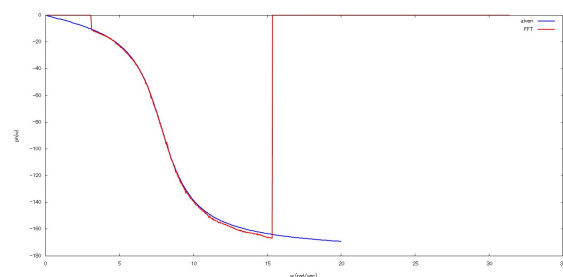


図 6.5.27: 位相特性

### 6.5.6 線形システムのスペクトル・クロススペクトルによる応答解析

```

kill(all);
N:2048;
LM2:N/2;
DT:0.1;
LAG:N/8;
LAG2:2*LAG;
LSPC10:read_list("d:listspect1.cvs");
LSPC20:read_list("d:listspect2.cvs");
LSPCWD10:read_list("d:listspect1wd.cvs");
LSPCWD20:read_list("d:listspect2wd.cvs");
LSPCAK10:read_list("d:listspectak1.cvs");
LSPCAK20:read_list("d:listspectak2.cvs");
LSPCC10:read_list("d:listspect3c.cvs");
LSPCS10:read_list("d:listspect3s.cvs");
FW21:read_list("d:listfw.cvs");
PH21:read_list("d:listph.cvs");
for J:1 thru LAG-1 do (
if J=1 then LAMP1:[ [ LSPC10[1], if
abs(LSPC10[2])>10(-2) then
sqrt(abs(LSPC20[2]/LSPC10[2])) else 0.0 ]
else LAMP1:append(LAMP1, [ [LSPC10[2*J-1],
if abs(LSPC10[2*J])>10(-2) then
sqrt(abs(LSPC20[2*J]/LSPC10[2*J]))
else 0.0]]));
for J:1 thru LAG-10 do (
if J=1 then LAMPWD1:[ [ LSPCWD10[1],
if abs(LSPCWD10[2])>10(-2) then
sqrt(abs(LSPCWD20[2]/LSPCWD10[2]))
else 0.0] ]
else LAMPWD1:append(LAMPWD1,
[[ LSPCWD10[2*J-1], if abs(LSPCWD10[2*J])
>10(-2) then sqrt(abs(LSPCWD20[2*J]/
LSPCWD10[2*J]))
else 0.0]]));
for J:1 thru 128 do (
if J=1 then LAMPK1:[ [ LSPCAK10[1], if
abs(LSPCAK10[2])>10(-2) then
sqrt(abs(LSPCAK20[2]/LSPCAK10[2]))
else 0.0] ]
else LAMPK1:append(LAMPK1,
[ [LSPCAK10[2*J-1], if abs(LSPCAK10[2*J])
>10(-2) then sqrt(abs(LSPCAK20[2*J]/
LSPCAK10[2*J])) else 0.0]]));

```

```

for J:1 thru 200 do (
if J=1 then FW2:[ [ FW21[1], FW21[2]] ]
else FW2:append(FW2, [ [FW21[2*J-1],
FW21[2*J]]]);
for J:1 thru 200 do (
if J=1 then PH2:[ [ PH21[1], PH21[2]] ]
else PH2:append(PH2, [ [PH21[2*J-1],
PH21[2*J]]]);
plot2d([[discrete,FW2],[discrete,LAMP1],
[discrete,LAMPWD1],[discrete,LAMPK1]],
[legend,"given","Spec","Spec with WD",
"Spec by AK"],[style,[lines,2,1],
[lines,2,2],[lines,2,3],[lines,2,4]],
[xlabel, "w (rad/sec)],[ylabel, "f(w)"]);
for J:1 thru LAG-1 do (
if J=1 then LAMP3:[ [ LSPC10[1], if
abs(LSPC10[2])>10(-2) then
sqrt((LSPCC10[2]2+LSPCS10[2]2)/
(LSPC10[2]2)) else 0.0 ]
else LAMP3:append(LAMP3, [ [ LSPC10[2*J-1],
if abs(LSPC10[2*J])>10(-2) then
sqrt((LSPCC10[2*J]2+LSPCS10[2*J]2)/
(LSPC10[2*J]2)) else 0.0]]]);
plot2d([[discrete,FW2],[discrete,LAMP3]],
[legend,"given","Syx Spec"],
[style,[lines,2,1],[lines,2,2]],
[xlabel, "w (rad/sec)],[ylabel, "f(w)"]);
for J:1 thru LAG-1 do (
if J=1 then LPH3:[ [ LSPC10[1], if
abs(LSPC10[2])>10(-2) then -180/
%pi*carg(LSPCC10[2]+%i*LSPCS10[2])
else 0.0] ]
else LPH3:append(LPH3, [ [ LSPC10[2*J-1],
if abs(LSPC10[2*J])>10(-2) then -180/%pi
*carg(LSPCC10[2*J]+%i*LSPCS10[2*J])
else 0.0]]]);
plot2d([[discrete,PH2],[discrete,LPH3]],
[legend,"given","Syx Spec"],
[style,[lines,2,1],[lines,2,2]],
[xlabel, "w (rad/sec)],[ylabel, "f(w)",
[y,-180,0]);

```

「6.5.3 スペクトル」で得られた結果から周波数応答を求める。(6.4.18)式から周波数応答： $H(\omega)$ は次式となる。

$$H(\omega) = \frac{|S_{yy}(\omega)|}{|S_{xx}(\omega)|} \quad (6.5.15)$$

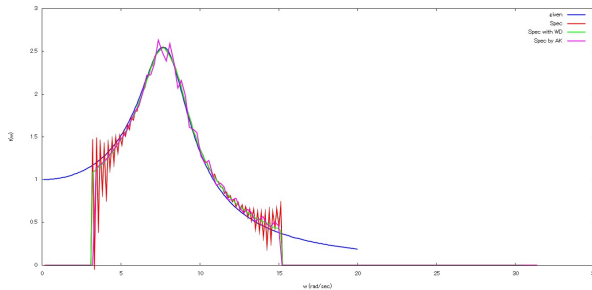


図 6.5.28: パワースペクトルから求めた周波数特性

(6.5.16)式から周波数応答： $H(\omega)$ は次式となる。これから周波数特性、位相特性が得られる。

$$H(\omega) = \frac{S_{yx}(\omega)}{S_{xx}(\omega)} \quad (6.5.16)$$

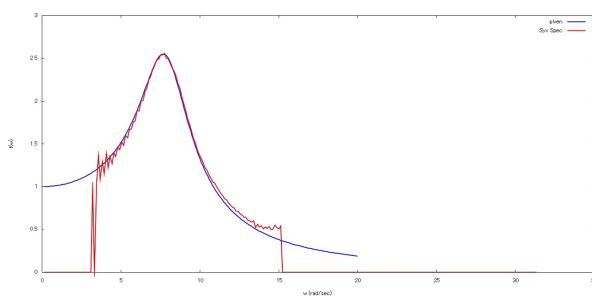


図 6.5.29: クロススペクトルから求めた周波数特性

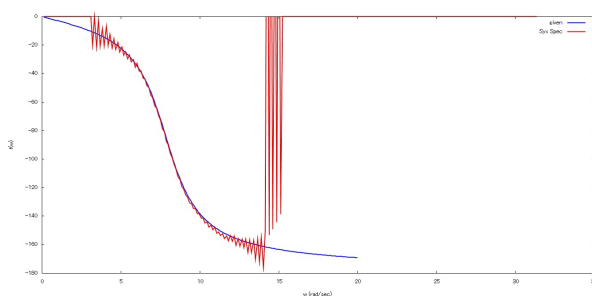


図 6.5.30: クロススペクトルから求めた位相特性



## 第7章 円柱関数と球関数

### 7.1 円柱関数

#### 7.1.1 フーリエ・ベッセル (Fourier-Bessel) 展開

次式の Bessel の微分方程式について、

$$u(x^2 - n^2) + \left(\frac{d^2}{dx^2} u\right) x^2 + \left(\frac{d}{dx} u\right) x = 0 \quad (7.1.1)$$

上式の解は  $n$  が整数でない場合、(3.3.10) 式、44 頁から、

$$u = {}_k1 \text{bessel}_j(n, x) + {}_k2 \text{bessel}_j(-n, x)$$

$n$  が整数の場合、(3.3.12) 式から、

$$u = {}_k2 \text{bessel}_y(n, x) + {}_k1 \text{bessel}_j(n, x)$$

```
kill(all);
load("vect");
assume(C>0);
FX1:f(x)=sum(A[n]*bessel_j(\nu,
\alpha[n]*x),n,1,inf);
AN1:A[n]=2/(bessel_j(\nu+1,
\alpha[n]))^2*integrate(x*f(x)
*bessel_j(\nu,\alpha[n]*x),x,0,1);
FX2:f(x)=sum(A[n]*bessel_j(\nu,
\alpha[n]*x/C),n,1,inf);
AN2:A[n]=2/(bessel_j(\nu+1,
\alpha[n]))^2/C^2*integrate(x
*f(x)*bessel_j(\nu,\alpha[n]*
x/C),x,0,C);
```

$0 \rightarrow 1$  の区間で、ベッセル関数:  $\text{bessel}_y(n, x)$  は  $r = 0$  で不適であるため、定義された:  $f(x)$  をベッセル関数:  $\text{bessel}_j(n, x)$  で展開する。 $\alpha_n$  を  $\text{bessel}_j(\nu, \alpha_n) = 0$  を満足する  $n$  番目の根とすると、展開式は、

$$f(x) = \sum_{n=1}^{\infty} A_n \text{bessel}_j(\nu, \alpha_n x) \quad (7.1.2)$$

ここで、

$$A_n = \frac{2}{\text{bessel}_j(\nu + 1, \alpha_n)^2} \times \int_0^1 \text{bessel}_j(\nu, \alpha_n x) x f(x) dx \quad (7.1.3)$$

上式で区間を  $0 \rightarrow C$  とすると、

$$f(x) = \sum_{n=1}^{\infty} A_n \text{bessel}_j\left(\nu, \frac{\alpha_n x}{C}\right) \quad (7.1.4)$$

ここで、

$$A_n = \frac{2}{\text{bessel}_j(\nu + 1, \alpha_n)^2 C^2} \times \int_0^C \text{bessel}_j\left(\nu, \frac{\alpha_n x}{C}\right) x f(x) dx \quad (7.1.5)$$

```
depends(u, [z]);
BS1:z^2*diff(u,z,2)+z*diff(u,z,1)+(z^2
-\nu^2)*u=0;
depends(u, [x]);
depends(x, [z]);
Z1:z=\alpha*x;
X1:solve(Z1,x)[1];
DZ1:diff(X1,z,1);
DZ2:diff(X1,z,2);
ev(BS1,diff);
BS21:expand(subst([DZ2,DZ1,Z1],%/x));
BS22:'diff(x*'diff(u,x,1),x,1)+(\alpha^2*x
-\nu^2/x)*u=0;
ev(BS22,diff);
factor(%-BS21);
BS23:subst([u=bessel_j(\nu,\alpha*x),
\alpha=\alpha[m]],BS22);
BS24:subst([u=bessel_j(\nu,\alpha*x),
\alpha=\alpha[n]],BS22);
BS23*bessel_j(\nu,\alpha[n]*x)-BS24*
bessel_j(\nu,\alpha[m]*x);
expand(%);
%-rest(lhs(%),-2);
BS25:-factor(%);
BS26:'diff(x*bessel_j(\nu,\alpha[n]*x)*
'diff(bessel_j(\nu,\alpha[m]*x),x,1)-x*
bessel_j(\nu,\alpha[m]*x)*'diff(
bessel_j(\nu,\alpha[n]*x),x,1),x,1);
```

```

rhs(BS25)-BS26;
ev(%,diff);
factor(%);
lhs(BS25)=BS26;
integrate(lhs(%),x,0,C)=integrate(rhs(%),
x,0,C);
BS27:lhs(%)=bessel_j(nu,alpha[n]*C)*C*((
'diff(bessel_j(nu,alpha[m]*C),x,1))-
bessel_j(nu,alpha[m]*C)*C*(('diff(
bessel_j(nu,alpha[n]*C),x,1)));

```

(7.1.1) 式の Bessel の微分方程式に  $x \rightarrow \alpha x$  の変数変換を行うと、

$$\left(\frac{d^2}{dx^2} u\right) x + \alpha^2 u x - \frac{\nu^2 u}{x} + \frac{d}{dx} u = 0$$

上式は、下記のようにも記述できる。

$$\frac{d}{dx} \left( \left( \frac{d}{dx} u \right) x \right) + u \left( \alpha^2 x - \frac{\nu^2}{x} \right) = 0$$

上式の解は Bessel 関数であるから、上式に

$u = \text{bessel\_j}(\nu, \alpha_m x), u = \text{bessel\_j}(\nu, \alpha_n x)$  を代入すると、

$$\frac{d}{dx} \left( \left( \frac{d}{dx} \text{bessel\_j}(\nu, \alpha_m x) \right) x \right) + \text{bessel\_j}(\nu, \alpha_m x) \left( \alpha_m^2 x - \frac{\nu^2}{x} \right) = 0 \quad (7.1.6)$$

$$\frac{d}{dx} \left( \left( \frac{d}{dx} \text{bessel\_j}(\nu, \alpha_n x) \right) x \right) + \text{bessel\_j}(\nu, \alpha_n x) \left( \alpha_n^2 x - \frac{\nu^2}{x} \right) = 0 \quad (7.1.7)$$

(7.1.6) 式に  $\text{bessel\_j}(\nu, \alpha_n x)$  を、(7.1.7) 式に  $\text{bessel\_j}(\nu, \alpha_m x)$  を掛け、両者を引くと、

$$\begin{aligned} & (\alpha_n - \alpha_m) (\alpha_n + \alpha_m) \text{bessel\_j}(\nu, \alpha_m x) \text{bessel\_j}(\nu, \alpha_n x) x \\ & = \text{bessel\_j}(\nu, \alpha_n x) \left( \frac{d}{dx} \left( \left( \frac{d}{dx} \text{bessel\_j}(\nu, \alpha_m x) \right) x \right) \right) \\ & \quad - \text{bessel\_j}(\nu, \alpha_m x) \left( \frac{d}{dx} \left( \left( \frac{d}{dx} \text{bessel\_j}(\nu, \alpha_n x) \right) x \right) \right) \end{aligned}$$

上式は下記のようにも記述できる。

$$\begin{aligned} & (\alpha_n - \alpha_m) (\alpha_n + \alpha_m) \text{bessel\_j}(\nu, \alpha_m x) \text{bessel\_j}(\nu, \alpha_n x) x \\ & = \frac{d}{dx} \left( \text{bessel\_j}(\nu, \alpha_n x) \left( \frac{d}{dx} \text{bessel\_j}(\nu, \alpha_m x) \right) x - \text{bessel\_j}(\nu, \alpha_m x) \left( \frac{d}{dx} \text{bessel\_j}(\nu, \alpha_n x) \right) x \right) \end{aligned}$$

上式を積分すると、

$$\begin{aligned} & (\alpha_n - \alpha_m) (\alpha_n + \alpha_m) \int_0^C \text{bessel\_j}(\nu, \alpha_m x) \text{bessel\_j}(\nu, \alpha_n x) x dx \\ & = \left[ \text{bessel\_j}(\nu, \alpha_n x) \left( \frac{d}{dx} \text{bessel\_j}(\nu, \alpha_m x) \right) x - \text{bessel\_j}(\nu, \alpha_m x) \left( \frac{d}{dx} \text{bessel\_j}(\nu, \alpha_n x) \right) x \right]_0^C \\ & = \text{bessel\_j}(\nu, \alpha_n C) \left( \frac{d}{dx} \text{bessel\_j}(\nu, \alpha_m C) \right) C - \text{bessel\_j}(\nu, \alpha_m C) \left( \frac{d}{dx} \text{bessel\_j}(\nu, \alpha_n C) \right) C \end{aligned} \quad (7.1.8)$$

```

BS28:\alpha[n]*C*bessel_j(nu,alpha[n]*C)=-h*\alpha[n]*'diff(bessel_j(nu,alpha[n]*C),x,1);
BS281:solve(%, 'diff(bessel_j(nu,alpha[n]*C),x,1))[1];
BS29:\alpha[m]*C*bessel_j(nu,alpha[m]*C)=-h*\alpha[m]*'diff(bessel_j(nu,alpha[m]*C),x,1);
BS291:solve(%, 'diff(bessel_j(nu,alpha[m]*C),x,1))[1];
subst([BS281,BS291],BS27);

```

境界： $x = C$  で下記の境界条件式が成り立つとする。ここで  $\alpha_n$  は下記の条件式を満足する  $n$  番目の根とする。

$$\alpha_n \text{bessel\_j}(\nu, \alpha_n C) C = -h \alpha_n \left( \frac{d}{dx} \text{bessel\_j}(\nu, \alpha_n C) \right) \quad (7.1.9)$$

上式で  $h = 0$  の時には境界条件式は下記となる。

$$\text{bessel\_j}(\nu, \alpha_n C) = 0 \quad (7.1.10)$$

(7.1.9) 式を (7.1.8) 式に代入し、

$$(\alpha_n - \alpha_m) (\alpha_n + \alpha_m) \int_0^C \text{bessel\_j}(\nu, \alpha_m x) \text{bessel\_j}(\nu, \alpha_n x) x dx = 0$$

上式から、 $m \neq n$  の時、下記の関係式が成り立つ。

$$\int_0^C \text{bessel\_j}(\nu, \alpha_m x) \text{bessel\_j}(\nu, \alpha_n x) x dx = 0 \quad (7.1.11)$$

```
BS32:subst([u=bessel_j(\nu,\alpha*x)],
BS22);
BS41:first(lhs(BS32))*2*x*
'diff(bessel_j(\nu,\alpha*x),x,1);
BS42:'diff(((diff(bessel_j(\nu,\alpha*x),
x,1))*x)^2,x,1);
ev(BS41,diff)-ev(BS42,diff);
factor(%);
BS43:last(lhs(BS32))*2*x
*'diff(bessel_j(\nu,\alpha*x),x,1);
BS44:(diff(bessel_j(\nu,\alpha*x)^2,x,1))
*(alpha^2*x^2-nu^2);
ev(BS43,diff)-ev(BS44,diff);
factor(%);
BS42+BS44=0;
expand(lhs(%));
BS441:'integrate(first(%),x,0,C)
+'integrate(%-first(%)-last(%),x,
0,C)+'integrate(last(%),x,0,C)=0;
BS442:integrate((diff(bessel_j(\nu,
\alpha*x)^2,x,1))*x^2,x,0,C)=
bessel_j(\nu,\alpha*x)^2*x^2-
```

```
integrate(bessel_j(\nu,\alpha*x)^2
*2*x,x,0,C);
BS443:'integrate('diff(((
'diff(bessel_j(\nu,\alpha*x),x,1))^2
*x^2),x,1),x,0,C)=(diff(bessel_j(
\nu,\alpha*x),x,1))^2*x^2;
BS444:'integrate('diff(bessel_j(
\nu,\alpha*x)^2,x,1),x,0,C)=
bessel_j(\nu,\alpha*x)^2;
subst([BS442,BS443,BS444],BS441);
expand(%/2/\alpha^2);
%-first(lhs(%));
BS45:rhs(%)=lhs(%);
BS451:'diff(bessel_j(\nu,r),r,1)=\nu*
bessel_j(\nu,r)/r-bessel_j(\nu+1,r);
BS46:'diff(bessel_j(\nu,\alpha*x),x,1)=
((\nu*bessel_j(\nu,\alpha*x))/(\alpha*x)
-bessel_j(\nu+1,\alpha*x))*\alpha;
subst([BS46],BS45);
factor(%);
expand(%);
BS47:lhs(%)=subst([x=C],rhs(%));
```

(7.1.6) 式から、 $\alpha_m \rightarrow \alpha$  として、

$$\frac{d}{dx} \left( \left( \frac{d}{dx} \text{bessel\_j}(\nu, \alpha x) \right) x \right) + \text{bessel\_j}(\nu, \alpha x) \left( \alpha^2 x - \frac{\nu^2}{x} \right) = 0 \quad (7.1.12)$$

上式に  $2 \left( \frac{d}{dx} \text{bessel\_j}(\nu, \alpha x) \right) x$  を掛け、左辺第一項は、

$$2 \left( \frac{d}{dx} \text{bessel\_j}(\nu, \alpha x) \right) x \left( \frac{d}{dx} \left( \left( \frac{d}{dx} \text{bessel\_j}(\nu, \alpha x) \right) x \right) \right) = \frac{d}{dx} \left( \left( \frac{d}{dx} \text{bessel\_j}(\nu, \alpha x) \right)^2 x^2 \right)$$

左辺第二項は、

$$2 \text{bessel\_j}(\nu, \alpha x) \left( \frac{d}{dx} \text{bessel\_j}(\nu, \alpha x) \right) x \left( \alpha^2 x - \frac{\nu^2}{x} \right) = \left( \frac{d}{dx} \text{bessel\_j}(\nu, \alpha x)^2 \right) (\alpha^2 x^2 - \nu^2)$$

以上から、(7.1.12) 式は、

$$\frac{d}{dx} \left( \left( \frac{d}{dx} \text{bessel\_j}(\nu, \alpha x) \right)^2 x^2 \right) + \left( \frac{d}{dx} \text{bessel\_j}(\nu, \alpha x)^2 \right) (\alpha^2 x^2 - \nu^2) = 0$$

上式を積分し、

$$\int_0^C \frac{d}{dx} \left( \left( \frac{d}{dx} \text{bessel\_j}(\nu, \alpha x) \right)^2 x^2 \right) dx + \alpha^2 \int_0^C \left( \frac{d}{dx} \text{bessel\_j}(\nu, \alpha x)^2 \right) x^2 dx - \nu^2 \int_0^C \frac{d}{dx} \text{bessel\_j}(\nu, \alpha x)^2 dx = 0 \quad (7.1.13)$$

上式の左辺第二項に部分積分を適用し、

$$\int_0^C \left( \frac{d}{dx} \text{bessel\_j}(\nu, \alpha x)^2 \right) x^2 dx = \left[ \text{bessel\_j}(\nu, \alpha x)^2 x^2 \right]_0^C - 2 \int_0^C \text{bessel\_j}(\nu, \alpha x)^2 x dx$$

上式を (7.1.13) 式の左辺第二項に代入し、(7.1.13) 式の左辺第一項、第三項の積分を行うと、

$$2\alpha^2 \int_0^C \text{bessel\_j}(\nu, \alpha x)^2 x dx = \left[ \left( \frac{d}{dx} \text{bessel\_j}(\nu, \alpha x) \right)^2 x^2 + \alpha^2 \text{bessel\_j}(\nu, \alpha x)^2 x^2 - \nu^2 \text{bessel\_j}(\nu, \alpha x)^2 \right]_0^C \quad (7.1.14)$$

次式の関係式<sup>1</sup>から、

$$\left( \frac{d}{dr} \text{bessel\_j}(\nu, r) \right) r = \nu \text{bessel\_j}(\nu, r) - \text{bessel\_j}(\nu + 1, r) r \quad (7.1.15)$$

上式から、

$$\frac{d}{dx} \text{bessel\_j}(\nu, \alpha x) = \alpha \left( \frac{\nu \text{bessel\_j}(\nu, \alpha x)}{\alpha x} - \text{bessel\_j}(\nu + 1, \alpha x) \right)$$

上式を (7.1.14) 式に代入し、

$$\begin{aligned} \int_0^C \text{bessel\_j}(\nu, \alpha x)^2 x dx &= \left[ \frac{\text{bessel\_j}(\nu + 1, \alpha x)^2 x^2}{2} + \frac{\text{bessel\_j}(\nu, \alpha x)^2 x^2}{2} - \frac{\nu \text{bessel\_j}(\nu, \alpha x) \text{bessel\_j}(\nu + 1, \alpha x) x}{\alpha} \right]_0^C \\ &= \frac{\text{bessel\_j}(\nu + 1, \alpha C)^2 C^2}{2} + \frac{\text{bessel\_j}(\nu, \alpha C)^2 C^2}{2} - \frac{\nu \text{bessel\_j}(\nu, \alpha C) \text{bessel\_j}(\nu + 1, \alpha C) C}{\alpha} \end{aligned} \quad (7.1.16)$$

```
BS48:bessel_j(\nu, \alpha[n]*C)=0;
BS481:subst([\alpha=\alpha[n], BS48], BS47);
'integrate(lhs(FX1)*bessel_j(\nu, \alpha[n]*x)*x, x, 0, C)='integrate(subst([n=m], rhs(FX1))*bessel_j(\nu, \alpha[n]*x)*x, x, 0, C);
lhs(%)=sum('integrate(A[m]*bessel_j(\nu, \alpha[m]*x)*bessel_j(\nu, \alpha[n]*x)*x, x, 0, C), m, 1, inf);
BS482:lhs(%)=subst([1=n, inf=n, \alpha[m]=\alpha[n]], rhs(%));
subst([BS481], %);
```

```
ev(%, sum);
solve(%, A[n])[1];
subst([\alpha[n]*x=\alpha[n]*x/C, \alpha[n]*C=\alpha[n], \alpha[n]^2=1], %);
```

境界条件が次式の (7.1.10) 式の時、

$$\text{bessel\_j}(\nu, \alpha_m C) = 0$$

上式を (7.1.16) 式に代入すると、

$$\int_0^C \text{bessel\_j}(\nu, \alpha_n x)^2 x dx = \frac{\text{bessel\_j}(\nu + 1, \alpha_n C)^2 C^2}{2} \quad (7.1.17)$$

次式で  $f(x)$  として、(7.1.2) 式を代入し、(7.1.11) 式から  $m = n$  の項のみが残り、上式から、

$$\begin{aligned} \int_0^C \text{bessel\_j}(\nu, \alpha_n x) x f(x) dx &= \int_0^C \text{bessel\_j}(\nu, \alpha_n x) \left( \sum_{m=1}^{\infty} A_m \text{bessel\_j}(\nu, \alpha_m x) \right) x dx \\ &= \sum_{m=1}^{\infty} A_m \int_0^C \text{bessel\_j}(\nu, \alpha_m x) \text{bessel\_j}(\nu, \alpha_n x) x dx = \frac{A_n \text{bessel\_j}(\nu + 1, \alpha_n C)^2 C^2}{2} \end{aligned} \quad (7.1.18)$$

上式から、 $A_n$  を求め、(7.1.3) 式が得られた。

$$A_n = \frac{2}{\text{bessel\_j}(\nu + 1, \alpha_n C)^2 C^2} \int_0^C \text{bessel\_j}(\nu, \alpha_n x) x f(x) dx$$

以上から、(7.1.5) 式が得られた。

$$A_n = \frac{2}{\text{bessel\_j}(\nu + 1, \alpha_n)^2 C^2} \int_0^C \text{bessel\_j}\left(\nu, \frac{\alpha_n x}{C}\right) x f(x) dx$$

<sup>1</sup>森口 繁一、宇田川 久、一松 信：岩波数学公式3 特殊関数、岩波書店 2002、P.159

## 7.1.2 フーリエ・ベッセル展開例

```

CS1:sqrt(2/%pi/x)*cos(x-(2*\nu+1)/4*%pi);
CG1:(x/2)^( \nu)*sum((-1)^i*(x/2)^(2*i)
  /(i!)/gamma(\nu+i+1),i,0,inf);
CG2:subst([inf=100],CG1);
CS2:subst([\nu=0],CS1);
CS3:subst([\nu=0],CG2);
plot2d([bessel_j(0,x),CS2,CS3],[x,0,50],
  [y,-1,1.5],[legend,"bessel_j(0,x)",
  "Approx. cos","Approx. poly"],[style,
  [lines,3,1],[lines,3,2],[lines,3,3]]);
CS2:subst([\nu=1],CS1);
CS3:subst([\nu=1],CG2);
plot2d([bessel_j(1,x),CS2,CS3],[x,0,50],
  [y,-1,1.5],[legend,"bessel_j(1,x)",
  "Approx. cos","Approx. poly"],[style,
  [lines,3,1],[lines,3,2],[lines,3,3]]);
CS2:subst([\nu=3],CS1);
CS3:subst([\nu=3],CG2);
plot2d([bessel_j(3,x),CS2,CS3],[x,0,50],
  [y,-1,1.5],[legend,"bessel_j(3,x)",
  "Approx. cos","Approx. poly"],[style,
  [lines,3,1],[lines,3,2],[lines,3,3]]);

```

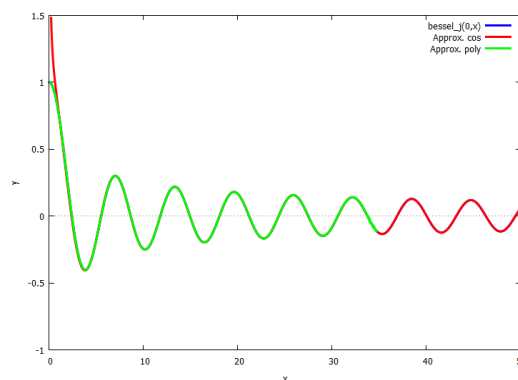
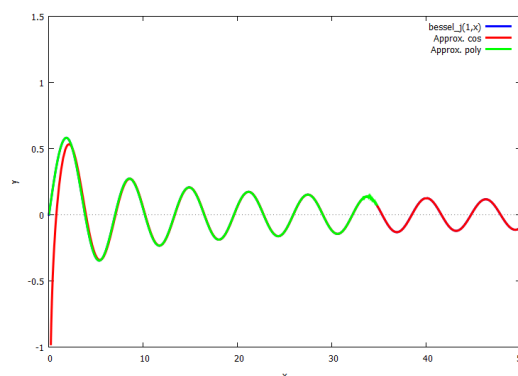
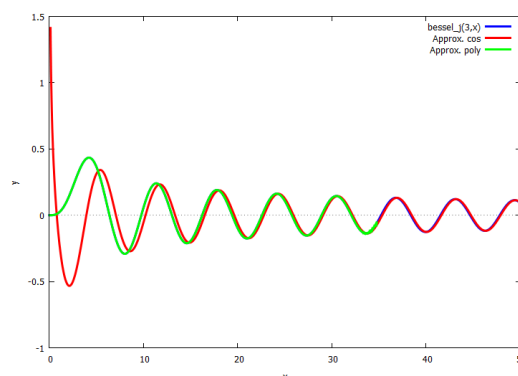
ベッセル関数を近似するのに、 $x$  が大きい場合は次式<sup>1</sup>が有効で、

$$\text{bessel.j}(\nu, x) \approx \frac{\sqrt{2}}{\sqrt{\pi} \sqrt{x}} \cos\left(x - \frac{\pi(2\nu + 1)}{4}\right) \quad (7.1.19)$$

$x$  が小さい場合は (3.4.26) 式の級数表記：次式<sup>2</sup>が有効である。

$$\text{bessel.j}(\nu, x) = \frac{x^\nu}{2^\nu} \sum_{i=0}^{\infty} \frac{(-1)^i x^{2i}}{2^{2i} i! \Gamma(\nu + i + 1)} \quad (7.1.20)$$

以下に関数近似の結果を示す。(7.1.19) 式は  $x$  が大きい場合によく一致している。(7.1.20) 式は  $x$  が小さい場合によく一致しているが、 $x \approx 35$  以上で数値計算の限界で値が得られていない。

図 7.1.1:  $\nu = 0$  のベッセル関数近似図 7.1.2:  $\nu = 1$  のベッセル関数近似図 7.1.3:  $\nu = 3$  のベッセル関数近似

<sup>1</sup>森口 繁一、宇田川 久、一松 信：岩波数学公式 3 特殊函数、岩波書店 2002、P.154

<sup>2</sup>森口 繁一、宇田川 久、一松 信：岩波数学公式 3 特殊函数、岩波書店 2002、P.145

```

x-(2*\nu+1)/4*%pi=n*%pi-%pi/2;
solve(%,x)[1];
AL1:\alpha[n]=rhs(%);
AL2:subst([n=n+1],AL1);
DX1:(\alpha[n+1]-\alpha[n])/4;
X1:\alpha[n]-DX1;
X2:\alpha[n]+DX1;
X11:subst([AL1,AL2],X1);
X21:subst([AL1,AL2],X2);
LI1:[\nu=1,n=1];
X12:subst([LI1],X11);
X22:subst([LI1],X21);
float(subst([LI1],AL1));
subst([LI1],\alpha[\nu][n])=find_root(
  subst([LI1],bessel_j(\nu,x)),x,X12,X22);
LI1:[\nu=1,n=2];
X12:subst([LI1],X11);
X22:subst([LI1],X21);
float(subst([LI1],AL1));
subst([LI1],\alpha[\nu][n])=find_root(
  subst([LI1],bessel_j(\nu,x)),x,X12,X22);
LI1:[\nu=1,n=3];
X12:subst([LI1],X11);
X22:subst([LI1],X21);
float(subst([LI1],AL1));
subst([LI1],\alpha[\nu][n])=find_root(
  subst([LI1],bessel_j(\nu,x)),x,X12,X22);

```

(7.1.19) 式を用いて、 $\text{bessel}_j(\nu, \alpha_n) = 0$  を満足する  $\alpha_n$  を求めると次式となる。

$$\alpha_n = \frac{2\pi\nu + 4\pi n - \pi}{4}$$

上式を初期値として  $\text{find\_root}$  関数を用いて  $\alpha_n$  を求めた結果を下記に示す。

$\nu = 1, n = 1$  の場合、

初期値 :  $\alpha_1 = 3.926990816987241$

→ 結果 :  $\alpha_1 = 3.831705970207513$

$\nu = 1, n = 2$  の場合、

初期値 :  $\alpha_1 = 7.068583470577035$

→ 結果 :  $\alpha_1 = 7.015586669815619$

$\nu = 1, n = 3$  の場合、

初期値 :  $\alpha_1 = 10.21017612416683$

→ 結果 :  $\alpha_1 = 10.17346813506272$

フーリエ・ベッセル展開の例を下記に示す。(7.1.2) 式に (7.1.3) 式を代入すると下記となる。積分を実行するにはベッセル関数として (7.1.20) 式では多項式となり、積分が容易になるので、これを代入すると、

$$\begin{aligned}
 f(x) &= 2 \sum_{n=1}^{\infty} \frac{\text{bessel}_j(\nu, \alpha_n x)}{\text{bessel}_j(\nu + 1, \alpha_n)^2} \\
 &\quad \times \int_0^1 \text{bessel}_j(\nu, \alpha_n x) x f(x) dx \\
 &\approx \sum_{n=1}^N \frac{2 \text{bessel}_j(\nu, \alpha_n x)}{\text{bessel}_j(\nu + 1, \alpha_n)^2} \\
 &\quad \times \int_0^1 x f(x) \frac{x^\nu}{2^\nu} \sum_{i=0}^{100} \frac{(-1)^i (\alpha_n x)^{2i}}{2^{2i} i! \Gamma(i+1)} dx
 \end{aligned} \tag{7.1.21}$$

$f(x) = 1 - x$  ( $0 < x < 1$ ) のフーリエ・ベッセル展開の結果を以下に示す。

```

LI1:[\nu=0];
subst([LI1],CG2);
CG4:subst([x=\alpha[n]*x],%);
FX4:subst([AN1],FX1);
FX41:2*(bessel_j(\nu,\alpha[n]*x)*integrate(
  CG4*x*f(x),x,0,1))/bessel_j(\nu+1,
  \alpha[n])^2;
FX3:f(x)=(1-x);
subst([LI1],FX41);
FX42:subst([FX3],%);
BS1:0;
for N:1 thru 3 do(
m:N,
AL1:subst([LI1],(2*%pi*\nu+4*%pi*m-%pi)/4),
AL2:subst([LI1],(2*%pi*\nu+4*%pi*(m+1)-%pi)/4),
DX1:(AL2-AL1)/4,
X1:AL1-DX1,
X2:AL1+DX1,
AL3:find_root(subst([LI1],bessel_j(\nu,x)),
  ,x,X1,X2),
BS1:BS1+subst([\alpha[n]=AL3],FX42));
ev(BS1,sum);
PL1:ev(%,integrate);
BS1:0;
for N:1 thru 10 do(
m:N,
AL1:subst([LI1],(2*%pi*\nu+4*%pi*m-%pi)/4),
AL2:subst([LI1],(2*%pi*\nu+4*%pi*(m+1)-%pi)/4),
DX1:(AL2-AL1)/4,

```

```

X1:AL1-DX1,
X2:AL1+DX1,
AL3:find_root(subst([LI1],bessel_j(\nu,x))
,x,X1,X2),
BS1:BS1+subst([\alpha[n]=AL3],FX42));
ev(BS1,sum);
PL2:ev(%,integrate);
plot2d([rhs(FX3),PL1,PL2],[x,0,1],[legend,
"1-x","N=3","N=10"],[style,
[lines,3,1],[lines,3,2],[lines,3,3]]);

```

(7.1.21) 式では  $x < 35$  でないと解が得られないので、 $N$  は 10 までとした。

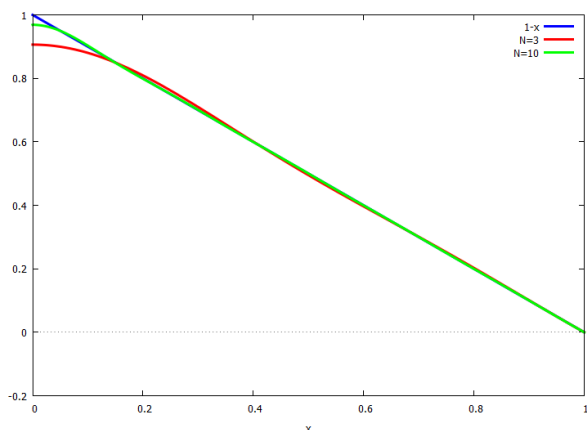


図 7.1.4:  $f(x) = 1 - x$  のフーリエ・ベッセル展開

$f(x) = (1-x)x$  ( $0 < x < 1$ ) のフーリエ・ベッセル展開の結果を以下に示す。

```

LI1:[\nu=1];
subst([LI1],CG2);
CG4:subst([x=\alpha[n]*x],%);
FX4:subst([AN1],FX1);
FX41:2*(bessel_j(\nu,alpha[n]*x)*integrate(
CG4*x*f(x),x,0,1))/bessel_j(\nu+1,
alpha[n]^2);
FX3:f(x)=(1-x)*x;
subst([LI1],FX41);
FX42:subst([FX3],%);

```

```

BS1:0;
for N:1 thru 3 do(
m:N,
AL1:subst([LI1],(2*%pi*\nu+4*%pi*m-%pi)/4),
AL2:subst([LI1],(2*%pi*\nu+4*%pi*(m+1)-%pi)/4),
DX1:(AL2-AL1)/4,
X1:AL1-DX1,
X2:AL1+DX1,
AL3:find_root(subst([LI1],bessel_j(\nu,x)),
x,X1,X2),
BS1:BS1+subst([\alpha[n]=AL3],FX42));
ev(BS1,sum);
PL1:ev(%,integrate);
BS1:0;
for N:1 thru 10 do(
m:N,
AL1:subst([LI1],(2*%pi*\nu+4*%pi*m-%pi)/4),
AL2:subst([LI1],(2*%pi*\nu+4*%pi*(m+1)-%pi)/4),
DX1:(AL2-AL1)/4,
X1:AL1-DX1,
X2:AL1+DX1,
AL3:find_root(subst([LI1],bessel_j(\nu,x)),
x,X1,X2),
BS1:BS1+subst([\alpha[n]=AL3],FX42));
ev(BS1,sum);
PL2:ev(%,integrate);
plot2d([rhs(FX3),PL1,PL2],[x,0,1],[legend,
"(1-x)*x","N=3","N=10"],[style,
[lines,3,1],[lines,3,2],[lines,3,3]]);

```

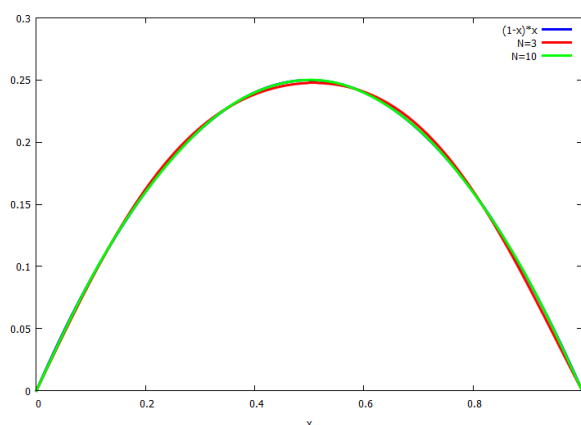


図 7.1.5:  $f(x) = (1-x)x$  のフーリエ・ベッセル展開

## 7.1.3 デイニ (Dini) 展開

```

kill(all);
assume(C>0);
FX1:f(x)=sum(A[n]*bessel_j(\nu,\alpha[n]*x/C),n,1,inf);
AL1:(x*'diff(bessel_j(\nu,x),x,1)+p*bessel_j(\nu,x))=0;
AN1:A[n]=2/C^2*\alpha[n]^2/(\alpha[n]^2+p^2-\nu^2)/(bessel_j(\nu,\alpha[n]))^2*
  integrate(x*f(x)*bessel_j(\nu,\alpha[n]*x/C),x,0,C);
BS47:integrate(bessel_j(\nu,alpha*x)^2*x,x,0,C)=(bessel_j(\nu+1,alpha*C)^2*C^2)/2+(bessel
  _j(\nu,alpha*C)^2*C^2)/2-(\nu*bessel_j(\nu,alpha*C)*bessel_j(\nu+1,alpha*C)*C)/alpha;
BS51:r*'diff(bessel_j(\nu,r),r,1)+p*bessel_j(\nu,r)=0;
BS451:(*'diff(bessel_j(\nu,r),r,1))*r=\nu*bessel_j(\nu,r)-bessel_j(\nu+1,r)*r;
subst([BS451],BS51);
subst([r=\alpha*C],%);
BS52:solve(% ,bessel_j(\nu+1,alpha*C))[1];
subst([BS52],BS47);
factor(%);
BS53:subst([\alpha=\alpha[n]],%);
BS54:integrate(bessel_j(\nu,alpha[n]*x)
  *x*f(x),x,0,C);
subst([n=m,C=1],FX1);
BS54=subst([],BS54);
lhs(% )=sum(integrate(bessel_j(\nu,alpha[n]*x)*((A[m]*
  bessel_j(\nu,(alpha[m]*x))))*x,x,0,C),m,1,inf);
subst([1=n,inf=n],%);
BS482:ev(% ,sum);
subst([BS53],BS482);
solve(% ,A[n])[1];
factor(%);
subst([\alpha[n]=\alpha[n]/C],%);

```

(7.1.1) 式の Bessel の微分方程式において、  
境界条件が次式で、

$$\left(\frac{d}{dx} \text{bessel\_j}(\nu, x)\right) x + \text{bessel\_j}(\nu, x) p = 0 \quad (7.1.22)$$

上式の  $n$  番目の根:  $\alpha_n$  とすると、解の Bessel 関数の級数展開式は、

$$f(x) = \sum_{n=1}^{\infty} A_n \text{bessel\_j}\left(\nu, \frac{\alpha_n x}{C}\right) \quad (7.1.23)$$

ここで、係数は、

$$A_n = \frac{2\alpha_n^2}{\text{bessel\_j}(\nu, \alpha_n)^2 (p^2 - \nu^2 + \alpha_n^2) C^2} \times \int_0^C \text{bessel\_j}\left(\nu, \frac{\alpha_n x}{C}\right) x f(x) dx \quad (7.1.24)$$

(7.1.22) 式に (7.1.15) 式を代入し、境界の  $x = C$  とし、

$$-\alpha \text{bessel\_j}(\nu + 1, \alpha C) C + \text{bessel\_j}(\nu, \alpha C) p + \nu \text{bessel\_j}(\nu, \alpha C) = 0$$



上式を (7.1.16) 式に代入し

$$\begin{aligned} \int_0^C \text{bessel\_j}(\nu, \alpha x)^2 x dx &= \frac{\text{bessel\_j}(\nu, \alpha C)^2 C^2}{2} + \frac{(\text{bessel\_j}(\nu, \alpha C) p + \nu \text{bessel\_j}(\nu, \alpha C))^2}{2 \alpha^2} \\ &\quad - \frac{\nu \text{bessel\_j}(\nu, \alpha C) (\text{bessel\_j}(\nu, \alpha C) p + \nu \text{bessel\_j}(\nu, \alpha C))}{\alpha^2} \\ &= \frac{\text{bessel\_j}(\nu, \alpha C)^2 (\alpha^2 C^2 + p^2 - \nu^2)}{2 \alpha^2} \end{aligned}$$

次式で  $f(x)$  として、(7.1.2) 式を代入し、(7.1.11) 式から  $m = n$  の項のみが残り、上式から、

$$\begin{aligned} \int_0^C \text{bessel\_j}(\nu, \alpha_n x) x f(x) dx &= \int_0^C \text{bessel\_j}(\nu, \alpha_n x) \left( \sum_{m=1}^{\infty} A_m \text{bessel\_j}(\nu, \alpha_m x) \right) x dx \\ &= \sum_{m=1}^{\infty} A_m \int_0^C \text{bessel\_j}(\nu, \alpha_m x) \text{bessel\_j}(\nu, \alpha_n x) x dx \\ &= A_n \int_0^C \text{bessel\_j}(\nu, \alpha_n x)^2 x dx \\ &= \frac{A_n \text{bessel\_j}(\nu, \alpha_n C)^2 (\alpha_n^2 C^2 + p^2 - \nu^2)}{2 \alpha_n^2} \end{aligned}$$

上式から、 $A_n$  を求め、

$$A_n = \frac{2 \alpha_n^2}{\text{bessel\_j}(\nu, \alpha_n C)^2 (\alpha_n^2 C^2 + p^2 - \nu^2)} \int_0^C \text{bessel\_j}(\nu, \alpha_n x) x f(x) dx$$

上記から、次式が得られ、(7.1.24) 式が得られる。

$$A_n = \frac{2 \alpha_n^2}{\text{bessel\_j}(\nu, \alpha_n)^2 (p^2 - \nu^2 + \alpha_n^2) C^2} \int_0^C \text{bessel\_j}\left(\nu, \frac{\alpha_n x}{C}\right) x f(x) dx$$

## 7.2 球関数

### 7.2.1 Legendre の多項式による展開

(3.4.39) 式、65 頁の Legendre の微分方程式について、次式で表現できる、

$$-yn(n+1) + (x^2 - 1) \left( \frac{d^2}{dx^2} y \right) + 2x \left( \frac{d}{dx} y \right) = 0 \tag{7.2.1}$$

ここで  $n$  は正の整数とする。

```
kill(all);
depends(y, [x]);
EQ1:(x^2-1)*diff(y,x,2)+2*x*diff(y,x,1)
-n*(N+1)*y=0;
PN1:P[n](x)=1/n!/2^n*diff((x^2-1)^n,x,n);
PN2:y=rhs(PN1);
FX1:f(x)=sum(A[n]*P[n](x),n,0,inf);
AN1:A[n]=(2*n+1)/2*integrate(f(x)*P[n](x),
x,-1,1);
```

上式の多項式解である (3.4.52) 式、69 頁の Rodrigue の公式は下記である。

$$P_n(x) = \frac{d^n}{dx^n} \frac{(x^2 - 1)^n}{2^n n!} \tag{7.2.2}$$

上式の多項式を用いた級数展開式は下記である。

$$f(x) = \sum_{n=0}^{\infty} A_n P_n(x) \tag{7.2.3}$$

ここで、

$$A_n = \frac{(2n+1)}{2} \int_{-1}^1 f(x) P_n(x) dx \tag{7.2.4}$$

(7.2.3) 式に (7.2.4) 式を代入すると、

$$f(x) = \sum_{n=0}^{\infty} \frac{(2n+1)}{2} P_n(x) \int_{-1}^1 f(x) P_n(x) dx \tag{7.2.5}$$

上式を積分し、右辺に部分積分を適用し、

$$\begin{aligned} n(n+1) \int_{-1}^1 P_m(x) P_n(x) dx &= \int_{-1}^1 P_m(x) \left( \frac{d}{dx} \left( (x^2 - 1) \left( \frac{d}{dx} P_n(x) \right) \right) \right) dx \\ &= \left[ (x^2 - 1) P_m(x) \left( \frac{d}{dx} P_n(x) \right) \right]_{-1}^1 - \int_{-1}^1 (x^2 - 1) \left( \frac{d}{dx} P_m(x) \right) \left( \frac{d}{dx} P_n(x) \right) dx \\ &= - \int_{-1}^1 (x^2 - 1) \left( \frac{d}{dx} P_m(x) \right) \left( \frac{d}{dx} P_n(x) \right) dx \end{aligned}$$

```
EX0:subst([AN1],FX1);
EQ2:'diff((x^2-1)*'diff(y,x,1),x,1)
-n*(n+1)*y=0;
ev(%,diff)-EQ1;
subst([y=P[n](x)],EQ2);
-(%-first(lhs(%)));
%*P[m](x);
integrate(lhs(%,x,-1,1)=integrate(rhs(%,
x,-1,1);
lhs(%)=P[m](x)*(x^2-1)*('diff(P[n](x),x,1)
-integrate((x^2-1)*('diff(P[n](x),x,1))*
diff(P[m](x),x,1),x,-1,1);
lhs(%)=last(rhs(%));
PMN1:%/n/(n+1);
PMN2:lhs(%)=rhs(%)*n*(n+1)/m/(m+1);
PMN1-PMN2;
factor(%);
PMN3:integrate((x^2-1)*('diff(P[m](x),x,1)
*('diff(P[n](x),x,1)),x,-1,1)=0;
PMN4:subst([PMN3],PMN1);
```

以降、(7.2.4) 式を求める。Legendre の微分方程式 : (7.2.1) 式を下記のように書き換えることができる。

$$\frac{d}{dx} \left( (x^2 - 1) \left( \frac{d}{dx} y \right) \right) - n(n+1)y = 0$$

上式の多項式解 :  $P_n(x)$  を代入し、変形すると、

$$n(n+1) P_n(x) = \frac{d}{dx} \left( (x^2 - 1) \left( \frac{d}{dx} P_n(x) \right) \right)$$

両辺に  $P_m(x)$  を掛け、

$$\begin{aligned} n(n+1) P_m(x) P_n(x) \\ = P_m(x) \left( \frac{d}{dx} \left( (x^2 - 1) \left( \frac{d}{dx} P_n(x) \right) \right) \right) \end{aligned}$$

上式を変形し、

$$\int_{-1}^1 P_m(x) P_n(x) dx = -\frac{1}{n(n+1)} \int_{-1}^1 (x^2-1) \left(\frac{d}{dx} P_m(x)\right) \left(\frac{d}{dx} P_n(x)\right) dx \quad (7.2.6)$$

上式で  $n \rightarrow m$ 、 $m \rightarrow n$  に置き換えて、

$$\int_{-1}^1 P_m(x) P_n(x) dx = -\frac{1}{m(m+1)} \int_{-1}^1 (x^2-1) \left(\frac{d}{dx} P_m(x)\right) \left(\frac{d}{dx} P_n(x)\right) dx \quad (7.2.7)$$

(7.2.6) 式と (7.2.7) 式の差をとると、

$$0 = \frac{(n-m)(n+m+1)}{m(m+1)n(n+1)} \int_{-1}^1 (x^2-1) \left(\frac{d}{dx} P_m(x)\right) \left(\frac{d}{dx} P_n(x)\right) dx$$

上式で、 $m \neq n$  とすると、

$$\int_{-1}^1 (x^2-1) \left(\frac{d}{dx} P_m(x)\right) \left(\frac{d}{dx} P_n(x)\right) dx = 0$$

上式を (7.2.6) 式に代入すると、

$$\int_{-1}^1 P_m(x) P_n(x) dx = 0 \quad \text{ここで、} \quad m \neq n \quad (7.2.8)$$

```
PN3:subst([n=m],PN1);
lhs(PMN4)=subst([PN1],lhs(PMN4));
IPN1:subst([m=n],%);
DPN1:lhs(PN1);
DPN2:rhs(PN1)*2^n*n!;
```

```
integrate(PN1,x);
diff(PN3,x,1);
IPN1*2^n*n!;
lhs(%)=DPN1*integrate(DPN2,x)-integrate(
diff(DPN1,x,1)*integrate(DPN2,x),x,-1,1);
lhs(%)=last(rhs(%));
lhs(%)=-diff(DPN1,x,1)*integrate(integrate
(DPN2,x),x)+(-1)^2*integrate(
diff(DPN1,x,2)*integrate(
integrate(DPN2,x),x),x,-1,1);
lhs(%)=(-1)^n*integrate(diff(DPN1,x,n)
*(x^2-1)^n,x,-1,1);
IPN2:%/ (2^n*n!);
```

次式について、(7.2.2) 式を代入すると、

$$\int_{-1}^1 P_n(x)^2 dx = \frac{1}{2^n n!} \int_{-1}^1 P_n(x) \left(\frac{d^n}{dx^n} (x^2-1)^n\right) dx$$

上式を変形し、部分積分を下記のように、繰り返し適用する。ここで、部分積分の  $[\ ]_{-1}^1$  について、 $(x^2-1)$  は偶関数であるから、 $(x^2-1)^n$  も偶関数となる。今、 $n$  を奇数の場合、 $P_n(x)$  は (7.2.2) 式から奇数回微分であるから奇関数となる。一方、 $\frac{d^{n-1}}{dx^{n-1}} (x^2-1)^n$  は偶数回微分であるから偶関数となる。奇関数と偶関数の積は偶関数となるから、 $[\text{偶関数}]_{-1}^1 = 0$  となる。 $n$  が偶数の場合も同様にして、奇関数と偶関数の積となり、偶関数となり、 $[\text{偶関数}]_{-1}^1 = 0$  となる。これを基に次式が得られる。

$$\begin{aligned} 2^n n! \int_{-1}^1 P_n(x)^2 dx &= \int_{-1}^1 P_n(x) \left(\frac{d^n}{dx^n} (x^2-1)^n\right) dx \\ &= \left[ P_n(x) \left(\frac{d^{n-1}}{dx^{n-1}} (x^2-1)^n\right) \right]_{-1}^1 - \int_{-1}^1 \left(\frac{d^{n-1}}{dx^{n-1}} (x^2-1)^n\right) \left(\frac{d}{dx} P_n(x)\right) dx \\ &= - \int_{-1}^1 \left(\frac{d^{n-1}}{dx^{n-1}} (x^2-1)^n\right) \left(\frac{d}{dx} P_n(x)\right) dx \\ &= \int_{-1}^1 \left(\frac{d^{n-2}}{dx^{n-2}} (x^2-1)^n\right) \left(\frac{d^2}{dx^2} P_n(x)\right) dx - \left[ \left(\frac{d^{n-2}}{dx^{n-2}} (x^2-1)^n\right) \left(\frac{d}{dx} P_n(x)\right) \right]_{-1}^1 \\ &= (-1)^n \int_{-1}^1 (x^2-1)^n \left(\frac{d^n}{dx^n} P_n(x)\right) dx \end{aligned}$$

上式から、

$$\int_{-1}^1 P_n(x)^2 dx = \frac{(-1)^n}{2^n n!} \int_{-1}^1 (x^2-1)^n \left(\frac{d^n}{dx^n} P_n(x)\right) dx \quad (7.2.9)$$

```

assume(z>0);
PM1:(a+b)^n=sum(n!/(n-k)!/k!*a^(n-k)*b^k,
k,0,n);
PM2:subst([a=z^2,b=-1],PM1);
DPM21:'diff(lhs(PM2),z,1)=diff(rhs(PM2),
z,1);
DPM22:'diff(lhs(PM2),z,2)=diff(rhs(PM2),
z,2);
DPM23:'diff(lhs(PM2),z,3)=diff(rhs(PM2),
z,3);
DPM24:'diff(lhs(PM2),z,4)=diff(rhs(PM2),
z,4);
PM24:'diff(lhs(PM2),z,m)=n!*sum((-1)^k*
(2*n-2*k)!/(2*(n-k)-(m))*z^(2*(n-k)
-m))/(k!*(n-k)!),k,0,n-m/2);
subst([n=6],PM2);
PM23:ev(% ,sum);
lhs(%)-rhs(%);
factor(%);

```

```

diff(PM23,z,2);
diff(PM23,z,3);
subst([n=6,m=2],PM24);
ev(% ,sum);
subst([n=6,m=3],PM24);
ev(% ,sum);
subst([m=n,z=x],PM24);
PN3:subst([],PN1);
subst([n/2=0],%);
PN31:ev(% ,sum);
PN32:diff(lhs(PN31),x,n)=rhs(PN31)/x^n*n!;

```

二項定理<sup>1</sup>から、

$$(b+a)^n = n! \sum_{k=0}^n \frac{a^{n-k} b^k}{k! (n-k)!}$$

上式から、

$$(z^2 - 1)^n = n! \sum_{k=0}^n \frac{(-1)^k z^{2(n-k)}}{k! (n-k)!} \quad (7.2.10)$$

上式を一階微分、二階微分、三階微分、四階微分すると下記となり、

$$\begin{aligned} \frac{d}{dz} (z^2 - 1)^n &= 2n! \sum_{k=0}^n \frac{(-1)^k (n-k) z^{2(n-k)-1}}{k! (n-k)!} \\ \frac{d^2}{dz^2} (z^2 - 1)^n &= 2n! \sum_{k=0}^n \frac{(-1)^k (n-k) (2(n-k)-1) z^{2(n-k)-2}}{k! (n-k)!} \\ \frac{d^3}{dz^3} (z^2 - 1)^n &= 2n! \sum_{k=0}^n \frac{(-1)^k (n-k) (2(n-k)-2) (2(n-k)-1) z^{2(n-k)-3}}{k! (n-k)!} \\ \frac{d^4}{dz^4} (z^2 - 1)^n &= 2n! \sum_{k=0}^n \frac{(-1)^k (n-k) (2(n-k)-3) (2(n-k)-2) (2(n-k)-1) z^{2(n-k)-4}}{k! (n-k)!} \end{aligned}$$

以上から  $m$  階微分は、

$$\frac{d^m}{dz^m} (z^2 - 1)^n = n! \sum_{k=0}^{n-\frac{m}{2}} \frac{(-1)^k (2n-2k)! z^{2(n-k)-m}}{k! (n-k)! (2(n-k)-m)!} \quad (7.2.11)$$

上記の結果を確かめる。  $n=6$  の場合、(7.2.10) 式は下記となり、

$$(z^2 - 1)^6 = 720 \sum_{k=0}^6 \frac{(-1)^k z^{2(6-k)}}{(6-k)! k!} = 720 \left( \frac{z^{12}}{720} - \frac{z^{10}}{120} + \frac{z^8}{48} - \frac{z^6}{36} + \frac{z^4}{48} - \frac{z^2}{120} + \frac{1}{720} \right) \quad (7.2.12)$$

上式を二階微分すると、多項式を直接微分したことになり、

$$\frac{d^2}{dz^2} (z^2 - 1)^6 = 720 \left( \frac{11z^{10}}{60} - \frac{3z^8}{4} + \frac{7z^6}{6} - \frac{5z^4}{6} + \frac{z^2}{4} - \frac{1}{60} \right)$$

(7.2.11) 式に  $m=2, n=6$  とすると下記となり、当然であるが両者一致している。

$$\frac{d^2}{dz^2} (z^2 - 1)^6 = 720 \sum_{k=0}^5 \frac{(12-2k)! (-1)^k z^{2(6-k)-2}}{(2(6-k)-2)! (6-k)! k!} = 720 \left( \frac{11z^{10}}{60} - \frac{3z^8}{4} + \frac{7z^6}{6} - \frac{5z^4}{6} + \frac{z^2}{4} - \frac{1}{60} \right)$$

<sup>1</sup>森口 繁一、宇田川 久、一松 信：岩波数学公式2 級数・フーリエ解析、岩波書店 1998、P.10

(7.2.12) 式を三階微分すると、

$$\frac{d^3}{dz^3} (z^2 - 1)^6 = 720 \left( \frac{11z^9}{6} - 6z^7 + 7z^5 - \frac{10z^3}{3} + \frac{z}{2} \right)$$

(7.2.11) 式に  $m = 3, n = 6$  とすると下記となり、当然であるが両者一致している。

$$\frac{d^3}{dz^3} (z^2 - 1)^6 = 720 \sum_{k=0}^{\frac{9}{2}} \frac{(12 - 2k)! (-1)^k z^{2(6-k)-3}}{(2(6-k)-3)! (6-k)! k!} = 720 \left( \frac{11z^9}{6} - 6z^7 + 7z^5 - \frac{10z^3}{3} + \frac{z}{2} \right)$$

(7.2.11) 式で  $m = n$  として、 $n$  階微分の結果は、

$$\frac{d^n}{dx^n} (x^2 - 1)^n = n! \sum_{k=0}^{\frac{n}{2}} \frac{(-1)^k (2n - 2k)! x^{2(n-k)-n}}{k! (n-k)! (2(n-k)-n)!}$$

上式を (7.2.2) 式に代入し、

$$P_n(x) = \frac{1}{2^n} \sum_{k=0}^{\frac{n}{2}} \frac{(-1)^k (2n - 2k)! x^{2(n-k)-n}}{k! (n-k)! (2(n-k)-n)!} \quad (7.2.13)$$

上式の最高次数である  $x^n$  の項は、上式で  $k = 0$  として、

$$P_n(x) = \frac{(2n)! x^n}{2^n n!^2} + \dots$$

上式を  $n$  階微分すると  $x^n$  の項のみが残り、

$$\frac{d^n}{dx^n} P_n(x) = \frac{(2n)!}{2^n n!} \quad (7.2.14)$$

```

IX1: 'integrate((x^2-1)^n,x,-1,1)=2*(-1)^n
*'integrate((1-x^2)^n,x,0,1);
IX2: 'integrate((1-x^2)^n,x,0,1)=(2^n*n!)^2
/(2*n+1)!;
subst([PN32],IPN2);
subst([IX1],%);
subst([IX2],%);
IPN3:subst([(2*n+1)!=(2*n+1)*(2*n)!],%);
IPX1: 'integrate(P[n](x)*f(x),x,-1,1);
subst([n=m],FX1);
IPX1=subst([],IPX1);
lhs(%)=sum(integrate(P[n](x)*A[m]*P[m](x),
x,-1,1),m,0,inf);
subst([0=n,inf=n],%);
ev(%,sum);
subst([IPN3],%);
solve(%,A[n])[1];

```

下記の左辺の積分を右辺のように書き換える。

$$\int_{-1}^1 (x^2 - 1)^n dx = 2(-1)^n \int_0^1 (1 - x^2)^n dx \quad (7.2.15)$$

上式右辺について、代数関数の定積分<sup>1</sup>から、次式が得

られ、分子分母に  $2^n n!$  を掛けて、 $!! \rightarrow !$  とすると、

$$\begin{aligned} \int_0^1 (1 - x^2)^n dx &= \frac{(2n)!!}{(2n+1)!!} \\ &= \frac{(2n)(2n-2)\cdots 6 \cdot 4 \cdot 2}{(2n+1)(2n-1)\cdots 5 \cdot 3 \cdot 1} \\ &= \frac{2^{2n} n!^2}{(2n+1)!} \end{aligned}$$

(7.2.16)

(7.2.9) 式に (7.2.14) 式、(7.2.15) 式、(7.2.16) 式を代入すると、

$$\begin{aligned} \int_{-1}^1 P_n(x)^2 dx &= \frac{(-1)^n (2n)!}{2^{2n} n!^2} \int_{-1}^1 (x^2 - 1)^n dx \\ &= \frac{(-1)^n}{2^n n!} \times \frac{(2n)!}{2^n n!} \times 2(-1)^n \times \frac{2^{2n} n!^2}{(2n+1)!} \\ &= \frac{2(2n)!}{(2n+1)!} = \frac{2}{2n+1} \end{aligned}$$

(7.2.17)

下記の積分において  $f(x)$  を (7.2.3) 式の級数で置き換え、積分と級数和の順序を入れ替えると、(7.2.8) 式から  $m = n$  の項のみが残り、(7.2.17) 式から、

$$\begin{aligned} \int_{-1}^1 f(x) P_n(x) dx &= \int_{-1}^1 P_n(x) \sum_{m=0}^{\infty} A_m P_m(x) dx \\ &= \sum_{m=0}^{\infty} A_m \int_{-1}^1 P_m(x) P_n(x) dx \\ &= A_n \int_{-1}^1 P_n(x)^2 dx \\ &= \frac{2A_n}{2n+1} \end{aligned}$$

上式から、 $A_n$  を求めると、次式となり、(7.2.4) 式が得られた。

$$A_n = \frac{(2n+1)}{2} \int_{-1}^1 f(x) P_n(x) dx$$

<sup>1</sup>森口 繁一、宇田川 久、一松 信：岩波数学公式1 微分積分・平面曲線、岩波書店 2003、P.220

## 7.2.2 Legendre の多項式による展開例

```

EXO:subst([AN1],FX1);
EXN:subst([-1=0,f(x)=1,inf=N,PN1],
  rhs(EX0));
subst([N=3],EXN);
ev(%sum);
ev(%diff);
PL1:ev(%integrate);
subst([N=5],EXN);
ev(%sum);
ev(%diff);
PL2:ev(%integrate);
subst([N=10],EXN);
ev(%sum);
ev(%diff);
PL3:ev(%integrate);
subst([N=20],EXN);
ev(%sum);
ev(%diff);
PL4:ev(%integrate);
subst([N=50],EXN);
ev(%sum);
ev(%diff);
PL5:ev(%integrate);
plot2d([PL1,PL2,PL3,PL4,PL5],[x,-1,1],
  [y,-0.2,1.6],[legend,"N=3","N=5",
  "N=10","N=20","N=50"]);

```

次式のステップ関数を Legendre の多項式展開を行う。

$$f(x) = 0 \quad -1 < x < 0, \quad f(x) = 1 \quad 0 < x < 1$$

上記の関係を (7.2.5) 式に代入すると、

$$\begin{aligned}
 f(x) &= \frac{1}{2} \sum_{n=0}^{\infty} (2n+1) P_n(x) \int_0^1 P_n(x) dx \\
 &\approx \frac{1}{2} \sum_{n=0}^N \frac{1}{2^{2n} n!^2} (2n+1) \left( \frac{d^n}{dx^n} (x^2-1)^n \right) \\
 &\quad \times \int_0^1 \frac{d^n}{dx^n} (x^2-1)^n dx
 \end{aligned}$$

上式で、 $N$  を種々変えた結果を下図に示す。

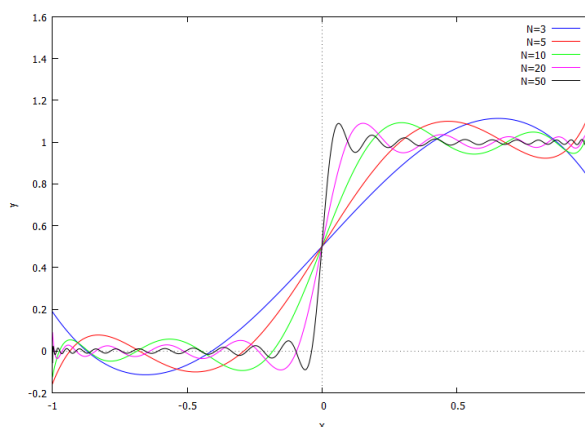


図 7.2.1: ステップ関数の Legendre の多項式展開

```

EX0:subst([AN1],FX1);
sum((2*n+1)*P[n](x)*integrate(-x*P[n](x),
x,-1,0),n,0,inf)/2+sum((2*n+1)*P[n](x)*
integrate(x*P[n](x),x,0,1),n,0,inf)/2;
EXN:subst([inf=N,PN1],%);
subst([N=3],EXN);
ev(% ,sum);
ev(% ,diff);
PL1:ev(% ,integrate);
subst([N=5],EXN);
ev(% ,sum);
ev(% ,diff);
PL2:ev(% ,integrate);
subst([N=10],EXN);
ev(% ,sum);
ev(% ,diff);
PL3:ev(% ,integrate);
subst([N=20],EXN);
ev(% ,sum);
ev(% ,diff);
PL4:ev(% ,integrate);
subst([N=50],EXN);
ev(% ,sum);
ev(% ,diff);
PL5:ev(% ,integrate);
plot2d([PL1,PL2,PL3,PL4,PL5],[x,-1,1],
[y,-0.2,1.8],[legend,"N=3","N=5",
"N=10","N=20","N=50"]);

```

次式の V 字関数を Legendre の多項式展開を行う。

$$f(x) = -x \quad -1 < x < 0, \quad f(x) = x \quad 0 < x < 1$$

上記の関係を (7.2.5) 式に代入すると、

$$\begin{aligned}
f(x) &= \frac{1}{2} \sum_{n=0}^{\infty} (2n+1) P_n(x) \int_0^1 x P_n(x) dx \\
&\quad - \frac{1}{2} \sum_{n=0}^{\infty} (2n+1) P_n(x) \int_{-1}^0 x P_n(x) dx \\
&\approx \frac{1}{2} \sum_{n=0}^N \frac{(2n+1)}{2^{2n} n!^2} \left( \frac{d^n}{dx^n} (x^2-1)^n \right) \int_0^1 x \left( \frac{d^n}{dx^n} (x^2-1)^n \right) dx \\
&\quad - \frac{1}{2} \sum_{n=0}^N \frac{(2n+1)}{2^{2n} n!^2} \left( \frac{d^n}{dx^n} (x^2-1)^n \right) \int_{-1}^0 x \left( \frac{d^n}{dx^n} (x^2-1)^n \right) dx
\end{aligned}$$

上式で、 $N$  を種々変えた結果を下図に示す。

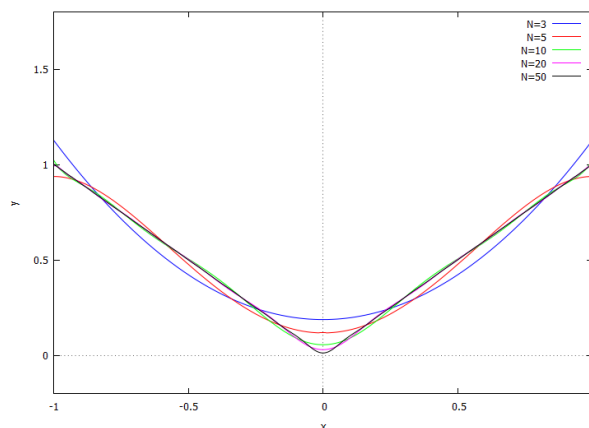


図 7.2.2: V 字関数の Legendre の多項式展開

## 7.2.3 Legendre の陪関数 (球関数) による展開

(3.4.53) 式、70 頁の Legendre の陪微分方程式について、次式で表現できる。

$$(1-x^2) \left( \frac{d^2}{dx^2} z \right) - 2x \left( \frac{d}{dx} z \right) + \left( n(n+1) - \frac{m^2}{1-x^2} \right) z = 0 \quad (7.2.18)$$

また、上式は次のようにも表現できる。

$$\frac{d}{dx} \left( (1-x^2) \left( \frac{d}{dx} z \right) \right) + \left( n(n+1) - \frac{m^2}{1-x^2} \right) z = 0 \quad (7.2.19)$$

```
kill(all);
depends(y, [x]);
depends(z, [x]);
declare(n, integer);
declare(m, integer);
assume(n>0);
assume(m>0);
EZ0: 'diff((1-x^2)*'diff(z, x, 1), x, 1) + (n*(n+1)-m^2/(1-x^2))*z=0;
EZ1: ev(%, diff);
PM0: z=P[m, n](x);
PM1: P[m, n](x)=(1-x^2)^(m/2)*diff(P[n](x), x, m);
PM11: solve(%, diff(P[n](x), x, m)[1]);
PM12: subst([n=n+1], PM11);
PM13: subst([n=n-1], PM11);
PN1: PN1: P[n](x)=1/n!/2^n*diff((x^2-1)^n, x, n);
subst([PM0], EZ0);
EQ1: %-last(lhs(%));
EQ2: subst([n=k], EQ1);
EQ11: EQ1*P[m, k](x);
EQ21: EQ2*P[m, n](x);
EQ11-EQ21;
```

```
factor(%);
EQ3: integrate(first(lhs(%)), x, -1, 1)+
integrate(last(lhs(%)), x, -1, 1)
=integrate(rhs(%), x, -1, 1);
EQ31: first(lhs(EQ3))=P[m, k](x)*(((-(x^2-1)
*'diff(P[m, n](x), x, 1))))-integrate(
diff(P[m, k](x), x, 1)*(((-(x^2-1)*
*'diff(P[m, n](x), x, 1))))), x, -1, 1);
EQ32: last(lhs(EQ3))=-P[m, n](x)*(((-(x^2-1)
*'diff(P[m, k](x), x, 1))))+integrate(
diff(P[m, n](x), x, 1)*(((-(x^2-1)*
*'diff(P[m, k](x), x, 1))))), x, -1, 1);
subst([EQ31, EQ32], EQ3);
PMNK1: integrate(P[m, k](x)*P[m, n](x), x,
-1, 1)=0;
```

(7.2.18) 式の解は、(3.4.61) 式、71 頁から、下記である。

$$z = P_{m,n}(x)$$

$$\text{ここで、 } P_{m,n}(x) = (1-x^2)^{\frac{m}{2}} \left( \frac{d^m}{dx^m} P_n(x) \right)$$

$$P_n(x) = \frac{d^n}{dx^n} \frac{(x^2-1)^n}{2^n n!}$$

(7.2.20)

解：(7.2.20) 式を (7.2.19) 式に代入し、変形して次式を得る。また、 $n \rightarrow k$  に置き換えて、

$$\frac{d}{dx} \left( (1-x^2) \left( \frac{d}{dx} P_{m,n}(x) \right) \right) = - \left( n(n+1) - \frac{m^2}{1-x^2} \right) P_{m,n}(x)$$

$$\frac{d}{dx} \left( (1-x^2) \left( \frac{d}{dx} P_{m,k}(x) \right) \right) = - \left( k(k+1) - \frac{m^2}{1-x^2} \right) P_{m,k}(x)$$

上式に、それぞれ  $P_{m,k}(x), P_{m,n}(x)$  を掛けて、その差をとると

$$P_{m,k}(x) \left( \frac{d}{dx} \left( -(x^2-1) \left( \frac{d}{dx} P_{m,n}(x) \right) \right) \right) - P_{m,n}(x) \left( \frac{d}{dx} \left( -(x^2-1) \left( \frac{d}{dx} P_{m,k}(x) \right) \right) \right) \\ = - (n-k)(n+k+1) P_{m,k}(x) P_{m,n}(x)$$

上式を積分すると、

$$\int_{-1}^1 P_{m,k}(x) \left( \frac{d}{dx} \left( -(x^2-1) \left( \frac{d}{dx} P_{m,n}(x) \right) \right) \right) dx - \int_{-1}^1 P_{m,n}(x) \left( \frac{d}{dx} \left( -(x^2-1) \left( \frac{d}{dx} P_{m,k}(x) \right) \right) \right) dx \\ = - (n-k)(n+k+1) \int_{-1}^1 P_{m,k}(x) P_{m,n}(x) dx \quad (7.2.21)$$



上式の左辺第一項を部分積分すると、

$$\begin{aligned} & \int_{-1}^1 P_{m,k}(x) \left( \frac{d}{dx} \left( -(x^2-1) \left( \frac{d}{dx} P_{m,n}(x) \right) \right) \right) dx \\ &= \left[ (1-x^2) P_{m,k}(x) \left( \frac{d}{dx} P_{m,n}(x) \right) \right]_{-1}^1 - \int_{-1}^1 (1-x^2) \left( \frac{d}{dx} P_{m,k}(x) \right) \left( \frac{d}{dx} P_{m,n}(x) \right) dx \end{aligned}$$

同様に、上式の左辺第二項を部分積分すると、

$$\begin{aligned} & - \int_{-1}^1 P_{m,n}(x) \left( \frac{d}{dx} \left( -(x^2-1) \left( \frac{d}{dx} P_{m,k}(x) \right) \right) \right) dx \\ &= \int_{-1}^1 (1-x^2) \left( \frac{d}{dx} P_{m,k}(x) \right) \left( \frac{d}{dx} P_{m,n}(x) \right) dx - \left[ (1-x^2) P_{m,n}(x) \left( \frac{d}{dx} P_{m,k}(x) \right) \right]_{-1}^1 \end{aligned}$$

上記二式を (7.2.21) 式に代入し、

$$\begin{aligned} & \left[ (1-x^2) P_{m,k}(x) \left( \frac{d}{dx} P_{m,n}(x) \right) - (1-x^2) P_{m,n}(x) \left( \frac{d}{dx} P_{m,k}(x) \right) \right]_{-1}^1 \\ &= -(n-k)(n+k+1) \int_{-1}^1 P_{m,k}(x) P_{m,n}(x) dx \end{aligned}$$

上式の左辺は零で、 $n \neq k$  とすると、

$$\int_{-1}^1 P_{m,k}(x) P_{m,n}(x) dx = 0 \quad (7.2.22)$$

```
PNK1:P[n](x)=sum((-1)^k*(2*n-2*k)!*x^(2*(n-k)-n)/(k!*(n-k)!*(2*(n-k)-n)!),k,0,n/2)/2^n;
PNK0:P[n](x)=(((-1)^k*(2*n-2*k)!*x^(2*(n-k)-n))/(k!*(n-k)!*(2*(n-k)-n)!))/2^n;
REC1:(n+1)*P[n+1](x)+n*P[n-1](x)=(2*n+1)*x*P[n](x);
REC10:subst([n=5],REC1);
subst([n=5],PNK1);
REC15:ev(% ,sum);
subst([n=4],PNK1);
REC14:ev(% ,sum);
subst([n=6],PNK1);
REC16:ev(% ,sum);
subst([REC14,REC15,REC16],REC10);
factor(%);
REC17:expand(subst([n=n+1],PNK0));
REC12:expand(x*PNK0);
REC13:expand(subst([n=n-1,k=k-1],PNK0));
REC1-rhs(REC1);
subst([REC17,PNK0,REC13],%);
%/(x^(n-2*k+1))/(-1)^k;
expand(subst([k=k*(k-1)!],%)*(k-1)!);
subst([(2*n-2*k+2)!=(2*n-2*k)!*(2*n-2*k+2)*(2*n-2*k+1)],%);
```

```
subst([(n-2*k+1)!=(n-2*k)!*(n-2*k+1)],%);
subst([(n-k+1)!=(n-k)!*(n-k+1)],%);
%*(n-2*k)!*(n-k)!/(2*n-2*k)!;
factor(%);
```

Legendre の多項式は (7.2.13) 式から下記の級数表記ができる。

$$P_n(x) = \frac{1}{2^n} \sum_{k=0}^{\frac{n}{2}} \frac{(-1)^k (2n-2k)! x^{2(n-k)-n}}{k! (n-k)! (2(n-k)-n)!} \quad (7.2.23)$$

上式を活用して下記の Legendre 関数の漸化式を求める。

$$(n+1) P_{n+1}(x) + n P_{n-1}(x) = (2n+1) x P_n(x) \quad (7.2.24)$$

$n = 5$  の場合には、

$$6 P_6(x) + 5 P_4(x) = 11 x P_5(x)$$

上式に (7.2.23) 式から求めた次式の多項式を代入し、

$$\begin{aligned} P_5(x) &= \frac{252x^5 - 280x^3 + 60x}{32} \\ P_4(x) &= \frac{70x^4 - 60x^2 + 6}{16} \\ P_6(x) &= \frac{924x^6 - 1260x^4 + 420x^2 - 20}{64} \end{aligned} \quad (7.2.25)$$

下記の結果から、漸化式を満足している。

$$\frac{11x^2(63x^4 - 70x^2 + 15)}{8} = \frac{11x^2(63x^4 - 70x^2 + 15)}{8}$$

次に多項式の  $x$  の同じ乗数について調べる。(7.2.23) 式で級数和を外し、 $x^{n-2k}$  の項は、

$$P_n(x) \rightarrow \frac{(-1)^k (2n-2k)! x^{2(n-k)-n}}{k! 2^n (n-k)! (2(n-k)-n)!}$$

上式から下記を求める。 $P_{n-1}(x)$  については乗数を合わせるため、 $k \rightarrow k-1$  とする。

$$\begin{aligned} P_{n+1}(x) &\rightarrow \frac{(-1)^k 2^{-n-1} (2n-2k+2)! x^{n-2k+1}}{k! (n-2k+1)! (n-k+1)!} \\ x P_n(x) &\rightarrow \frac{(-1)^k (2n-2k)! x^{n-2k+1}}{k! 2^n (n-2k)! (n-k)!} \\ P_{n-1}(x) &\rightarrow \frac{(-1)^{k-1} 2^{1-n} (2n-2k)! x^{n-2k+1}}{(k-1)! (n-2k+1)! (n-k)!} \end{aligned} \tag{7.2.26}$$

(7.2.24) 式を変形し、

$$(n+1)P_{n+1}(x) - (2n+1)xP_n(x) + nP_{n-1}(x) = 0$$

(7.2.26) 式を代入すると、下記となり、

$$\begin{aligned} &-\frac{(-1)^k (2n+1)(2n-2k)! x^{2(n-k)-n+1}}{k! 2^n (n-k)! (2(n-k)-n)!} \\ &+ \frac{(-1)^k (n+1) 2^{-n-1} (2n-2k+2)! x^{n-2k+1}}{k! (n-2k+1)! (n-k+1)!} \\ &+ \frac{(-1)^{k-1} n 2^{1-n} (2n-2k)! x^{n-2k+1}}{(k-1)! (n-2k+1)! (n-k)!} = 0 \end{aligned}$$

上式を  $(-1)^k, x^{2(n-k)-n+1}$  で割り、下記の関係を代入し、整理すると満足していることが分かる。

$$\begin{aligned} k! &\rightarrow k(k-1)! \\ (2*n-2*k+2)! &\rightarrow (2n-2k)!(2n-2k+2) \\ &\quad \times (2n-2k+1) \\ (n-2k+1)! &\rightarrow (n-2k)!(n-2k+1) \\ (n-k+1)! &\rightarrow (n-k)!(n-k+1) \end{aligned} \tag{7.2.27}$$

```
REC2:x*diff(P[n](x),x,1)-diff(P[n-1](x),
x,1)=n*P[n](x);
REC3:diff(P[n+1](x),x,1)-x*diff(P[n](x),
x,1)=(n+1)*P[n](x);
REC4:factor(REC2+REC3);
REC11:solve(REC1,P[n](x))[1];
REC41:solve(REC4,P[n](x))[1];
REC40:subst([n=5],REC4);
subst([REC14,REC15,REC16],REC40);
ev(% ,diff);
factor(%);
REC42:REC4-rhs(REC4);
subst([REC17,PNK0,REC13],%);
ev(% ,diff);
%/(x^(n-2*k))/(-1)^k;
expand(subst([k!=k*(k-1)!],%)*(k-1)!);
subst([(2*n-2*k+2)!=(2*n-2*k)!*(2*n-2*k+2)
*(2*n-2*k+1)!],%);
subst([(n-2*k+1)!=(n-2*k)!*(n-2*k+1)!],%);
subst([(n-k+1)!=(n-k)!*(n-k+1)!],%);
%*(n-2*k)!*(n-k)!/(2*n-2*k)!;
factor(%);
```

(7.2.26) 式を活用して下記の Legendre 関数の漸化式を求める。

$$\frac{d}{dx} P_{n+1}(x) - \frac{d}{dx} P_{n-1}(x) = (2n+1) P_n(x) \tag{7.2.28}$$

$n=5$  の場合には、

$$\frac{d}{dx} P_6(x) - \frac{d}{dx} P_4(x) = 11 P_5(x)$$

上式に (7.2.25) 式の多項式を代入し、

$$\begin{aligned} &\frac{d}{dx} \frac{924x^6 - 1260x^4 + 420x^2 - 20}{64} \\ &- \frac{d}{dx} \frac{70x^4 - 60x^2 + 6}{16} \\ &= \frac{11(252x^5 - 280x^3 + 60x)}{32} \end{aligned}$$

微分を実行し、整理すると下記となり、漸化式を満足している。

$$\frac{11x(63x^4 - 70x^2 + 15)}{8} = \frac{11x(63x^4 - 70x^2 + 15)}{8}$$

(7.2.28) 式を変形し、

$$\frac{d}{dx} P_{n+1}(x) - \frac{d}{dx} P_{n-1}(x) - (2n+1) P_n(x) = 0$$

上式に (7.2.26) 式を代入すると、

$$\begin{aligned} & \frac{d}{dx} \frac{(-1)^k 2^{-n-1} (2n-2k+2)! x^{n-2k+1}}{k! (n-2k+1)! (n-k)!} \\ & - \frac{d}{dx} \frac{(-1)^{k-1} 2^{1-n} (2n-2k)! x^{n-2k+1}}{(k-1)! (n-2k+1)! (n-k)!} \\ & - \frac{(-1)^k (2n+1) (2n-2k)! x^{2(n-k)-n}}{k! 2^n (n-k)! (2(n-k)-n)!} = 0 \end{aligned}$$

上式の微分を実行すると、

$$\begin{aligned} & \frac{(-1)^k (2n+1) (2n-2k)! x^{2(n-k)-n}}{k! 2^n (n-k)! (2(n-k)-n)!} \\ & + \frac{(-1)^k (n-2k+1) 2^{-n-1} (2n-2k+2)! x^{n-2k}}{k! (n-2k+1)! (n-k+1)!} \\ & - \frac{(-1)^{k-1} (n-2k+1) 2^{1-n} (2n-2k)! x^{n-2k}}{(k-1)! (n-2k+1)! (n-k)!} = 0 \end{aligned}$$

上式を  $(-1)^k$ 、 $x^{n-2k}$  で割り、(7.2.27) 式の関係を入れ、整理すると満足していることが分かる。

```

REC5: (2*n+1)*x*P[m,n](x);
'diff((x*P[n](x)),x,m);
subst([m=5],%);
ev(%,diff);
REC51: 'diff((x*P[n](x)),x,m)=x*'diff((
P[n](x)),x,m)+m*'diff((P[n](x)),x,m-1);
REC52: solve(%, 'diff((P[n](x)),x,m))[1];
REC5=subst([PM1],REC5);
REC53: subst([REC52],%);
'diff((x*P[n](x)),x,m)=subst([REC11],
'diff((x*P[n](x)),x,m));
lhs(%)=subst([m=5],rhs(%));
ev(%,diff);

```

```

REC54: subst([5=m],%);
'diff(P[n](x),x,m-1)=subst([REC41],
'diff(P[n](x),x,m-1));
REC55: lhs(%)=( 'diff(P[n+1](x),x,m)
-'diff(P[n-1](x),x,m))/(2*n+1);
subst([REC54,REC55],REC53);
factor(%);
subst([PM12,PM13],%);
PM56: factor(%);
subst([n=n+1],PM56);
solve(%,P[m,n](x))[1];
PM6: %*(n+m+1);

```

次に、下記の Legendre 陪関数の漸化式を求める。

$$\begin{aligned} (2n+1) x P_{m,n}(x) &= (n-m+1) P_{m,n+1}(x) \\ &+ (n+m) P_{m,n-1}(x) \end{aligned} \quad (7.2.29)$$

$\frac{d^m}{dx^m} (x P_n(x))$  について、

$$\frac{d^5}{dx^5} (x P_n(x)) = x \left( \frac{d^5}{dx^5} P_n(x) \right) + 5 \left( \frac{d^4}{dx^4} P_n(x) \right)$$

となり、次式の関係が得られる。

$$\begin{aligned} \frac{d^m}{dx^m} (x P_n(x)) &= x \left( \frac{d^m}{dx^m} P_n(x) \right) \\ &+ m \left( \frac{d^{m-1}}{dx^{m-1}} P_n(x) \right) \end{aligned}$$

上式から、

$$\frac{d^m}{dx^m} P_n(x) = \frac{\frac{d^m}{dx^m} (x P_n(x)) - m \left( \frac{d^{m-1}}{dx^{m-1}} P_n(x) \right)}{x} \quad (7.2.30)$$

(7.2.20) 式、(7.2.30) 式を代入し、

$$\begin{aligned} (2n+1) x P_{m,n}(x) &= (2n+1) x (1-x^2)^{\frac{m}{2}} \left( \frac{d^m}{dx^m} P_n(x) \right) \\ &= (2n+1) (1-x^2)^{\frac{m}{2}} \left( \frac{d^m}{dx^m} (x P_n(x)) - m \left( \frac{d^{m-1}}{dx^{m-1}} P_n(x) \right) \right) \end{aligned} \quad (7.2.31)$$

(7.2.24) 式を  $m$  階微分して、

$$\begin{aligned} \frac{d^m}{dx^m} (x P_n(x)) &= \frac{d^m}{dx^m} \frac{(n+1) P_{n+1}(x) + n P_{n-1}(x)}{2n+1} \\ &= \frac{(n+1) \left( \frac{d^m}{dx^m} P_{n+1}(x) \right) + n \left( \frac{d^m}{dx^m} P_{n-1}(x) \right)}{2n+1} \end{aligned} \quad (7.2.32)$$

(7.2.28) 式を  $m-1$  階微分して、

$$\begin{aligned} \frac{d^{m-1}}{dx^{m-1}} P_n(x) &= \frac{d^{m-1}}{dx^{m-1}} \frac{\frac{d}{dx} P_{n+1}(x) - \frac{d}{dx} P_{n-1}(x)}{2n+1} \\ &= \frac{\frac{d^m}{dx^m} P_{n+1}(x) - \frac{d^m}{dx^m} P_{n-1}(x)}{2n+1} \end{aligned} \quad (7.2.33)$$

(7.2.32) 式、(7.2.33) 式を (7.2.31) 式に代入し、整理すると、下記となり、(7.2.29) 式が得られる。

$$\begin{aligned}
 (2n+1)xP_{m,n}(x) &= (2n+1)(1-x^2)^{\frac{m}{2}} \left( \frac{(n+1)\left(\frac{d^m}{dx^m}P_{n+1}(x)\right) + n\left(\frac{d^m}{dx^m}P_{n-1}(x)\right)}{2n+1} \right. \\
 &\quad \left. - \frac{m\left(\frac{d^m}{dx^m}P_{n+1}(x) - \frac{d^m}{dx^m}P_{n-1}(x)\right)}{2n+1} \right) \\
 &= (1-x^2)^{\frac{m}{2}} \left( n\left(\frac{d^m}{dx^m}P_{n+1}(x)\right) - m\left(\frac{d^m}{dx^m}P_{n+1}(x)\right) + \frac{d^m}{dx^m}P_{n+1}(x) \right. \\
 &\quad \left. + n\left(\frac{d^m}{dx^m}P_{n-1}(x)\right) + m\left(\frac{d^m}{dx^m}P_{n-1}(x)\right) \right) \\
 &= (1-x^2)^{\frac{m}{2}} \left( \frac{nP_{m,n+1}(x)}{(1-x^2)^{\frac{m}{2}}} - \frac{mP_{m,n+1}(x)}{(1-x^2)^{\frac{m}{2}}} + \frac{P_{m,n+1}(x)}{(1-x^2)^{\frac{m}{2}}} \right. \\
 &\quad \left. + \frac{nP_{m,n-1}(x)}{(1-x^2)^{\frac{m}{2}}} + \frac{mP_{m,n-1}(x)}{(1-x^2)^{\frac{m}{2}}} \right) \\
 &= (n-m+1)P_{m,n+1}(x) + (n+m)P_{m,n-1}(x)
 \end{aligned}$$

上式で、 $n \rightarrow n+1$  として、

$$(n+m+1)P_{m,n}(x) = -(n-m+2)P_{m,n+2}(x) - (-2n-3)xP_{m,n+1}(x) \quad (7.2.34)$$

```

integrate(lhs(PM6)*P[m,n](x),x,-1,1)=
integrate(first(rhs(PM6))*P[m,n](x),x,-1,
1)+integrate(last(rhs(PM6))*P[m,n](x),x,
-1,1);
PM61:lhs(%)=last(rhs(%));
solve(PM56,P[m,n](x))[1];
lhs(PM61)=subst(['],rhs(PM61));
subst([P[m,n-1](x)=0],%);
rhs(%)=lhs(%);
PM62:factor(%*(2*n+1)/(n-m+1));
PM63:factor(subst([n=n-1],PM62));
factor(subst([n=n-1],PM63));
solve(%, 'integrate(P[m,n-1](x)^2,x,-1,1))
[1];
PM64:factor(lhs(PM63)=subst(['],
rhs(PM63)));
factor(subst([n=n-2],PM63));
solve(%, 'integrate(P[m,n-2](x)^2,x,-1,1))
[1];
PM65:factor(subst(['],PM64));
PM66:factor(subst([n=m+3],PM63));
factor(subst([n=m+2],PM63));

```

```

solve(%, 'integrate(P[m,m+2](x)^2,x,-1,1))
[1];
PM67:factor(subst(['],PM66));
factor(subst([n=m+1],PM63));
solve(%, 'integrate(P[m,m+1](x)^2,x,-1,1))
[1];
PM68:factor(subst(['],PM67));
lhs(PM63)=(n+m)*(n+m-1)*(n+m-2)*(2*m+1)/
(n-m)!*(2*m+1)*integrate(P[m,m](x)^2,x,
-1,1);
PM69:lhs(%)=(n+m)!/(n-m)!/(2*m)!*(2*m+1)
*integrate(P[m,m](x)^2,x,-1,1);
subst([n=m],PM1);
PM7:subst(['],PM69);
diff(P[m](x),x,m)=(2*m)!/2^m/m!;
PM71:subst(['],PM7);
integrate((1-x^2)^m,x,-1,1)=2*(2^m*m!)^2/
(2*m+1)!;
subst(['],PM71);
subst([(2*m+1)!=(2*m+1)*(2*m)!],%);
PM72:%/(2*n+1);

```

(7.2.34) 式に  $P_{m,n}(x)$  を掛けて積分し、(7.2.22) 式から、右辺第二項が残り、

$$\begin{aligned}
 (n+m+1) \int_{-1}^1 P_{m,n}(x)^2 dx &= (-n+m-2) \int_{-1}^1 P_{m,n}(x) P_{m,n+2}(x) dx \\
 &\quad + (2n+3) \int_{-1}^1 x P_{m,n}(x) P_{m,n+1}(x) dx \\
 &= (2n+3) \int_{-1}^1 x P_{m,n}(x) P_{m,n+1}(x) dx
 \end{aligned} \quad (7.2.35)$$

(7.2.29) 式を変形し、

$$P_{m,n}(x) = \frac{(n-m+1)P_{m,n+1}(x) + (n+m)P_{m,n-1}(x)}{(2n+1)x}$$

上式を (7.2.35) 式の右辺に代入し、(7.2.22) 式から、 $P_{m,n+1}(x)^2$  の項のみが残り、

$$\begin{aligned} (n+m+1) \int_{-1}^1 P_{m,n}(x)^2 dx &= \frac{(2n+3) \int_{-1}^1 P_{m,n+1}(x) ((n-m+1)P_{m,n+1}(x) + (n+m)P_{m,n-1}(x)) dx}{2n+1} \\ &= \frac{(n-m+1)(2n+3)}{2n+1} \int_{-1}^1 P_{m,n+1}(x)^2 dx \end{aligned}$$

上式から、

$$(2n+3) \int_{-1}^1 P_{m,n+1}(x)^2 dx = \frac{(n+m+1)(2n+1)}{n-m+1} \int_{-1}^1 P_{m,n}(x)^2 dx$$

$n \rightarrow n-1$  として、次式の漸化式が得られた。

$$(2n+1) \int_{-1}^1 P_{m,n}(x)^2 dx = \frac{(n+m)(2n-1)}{n-m} \int_{-1}^1 P_{m,n-1}(x)^2 dx \quad (7.2.36)$$

(7.2.36) 式で、 $n \rightarrow n-1$ 、 $n \rightarrow n-2$  として、次式の二つの漸化式が得られる。

$$\begin{aligned} (2n-1) \int_{-1}^1 P_{m,n-1}(x)^2 dx &= \frac{(n+m-1)(2n-3)}{n-m-1} \int_{-1}^1 P_{m,n-2}(x)^2 dx \\ (2n-3) \int_{-1}^1 P_{m,n-2}(x)^2 dx &= \frac{(n+m-2)(2n-5)}{n-m-2} \int_{-1}^1 P_{m,n-3}(x)^2 dx \end{aligned}$$

上記二式を (7.2.36) 式に順次代入し、

$$(2n+1) \int_{-1}^1 P_{m,n}(x)^2 dx = \frac{(n+m-2)(n+m-1)(n+m)(2n-5)}{(n-m-2)(n-m-1)(n-m)} \int_{-1}^1 P_{m,n-3}(x)^2 dx \quad (7.2.37)$$

(7.2.36) 式で、 $n \rightarrow m+3$ 、 $n \rightarrow m+2$ 、 $n \rightarrow m+1$  として、次式の三つの漸化式が得られる。

$$\begin{aligned} (2m+7) \int_{-1}^1 P_{m,m+3}(x)^2 dx &= \frac{(2m+3)(2m+5)}{3} \int_{-1}^1 P_{m,m+2}(x)^2 dx \\ (2m+5) \int_{-1}^1 P_{m,m+2}(x)^2 dx &= \frac{(2m+2)(2m+3)}{2} \int_{-1}^1 P_{m,m+1}(x)^2 dx \\ (2m+3) \int_{-1}^1 P_{m,m+1}(x)^2 dx &= \frac{(2m+1)^2}{1} \int_{-1}^1 P_{m,m}(x)^2 dx \end{aligned}$$

上記、三式をまとめると、

$$(2m+7) \int_{-1}^1 P_{m,m+3}(x)^2 dx = \frac{(2m+1)^2(2m+2)(2m+3)}{3 \cdot 2 \cdot 1} \int_{-1}^1 P_{m,m}(x)^2 dx \quad (7.2.38)$$

(7.2.37) 式と (7.2.38) 式から次式が得られる。

$$(2n+1) \int_{-1}^1 P_{m,n}(x)^2 dx = \frac{(2m+1)(2m+1) \cdots (n+m-2)(n+m-1)(n+m)}{(n-m)!} \int_{-1}^1 P_{m,m}(x)^2 dx$$

上式右辺の分子、分母に  $(2m)!$  を掛けると下記のように整理できる。

$$(2n+1) \int_{-1}^1 P_{m,n}(x)^2 dx = \frac{(2m+1)(n+m)!}{(2m)!(n-m)!} \int_{-1}^1 P_{m,m}(x)^2 dx \quad (7.2.39)$$

(7.2.20) 式から

$$P_{m,m}(x) = (1-x^2)^{\frac{m}{2}} \left( \frac{d^m}{dx^m} P_m(x) \right) \quad (7.2.40)$$

(7.2.14) 式から

$$\frac{d^m}{dx^m} P_m(x) = \frac{(2m)!}{2^m m!} \quad (7.2.41)$$

(7.2.16) 式から

$$\int_{-1}^1 (1-x^2)^m dx = 2 \int_0^1 (1-x^2)^m dx = \frac{2^{2m+1} m!^2}{(2m+1)!} \quad (7.2.42)$$

(7.2.39) 式に (7.2.40) 式、(7.2.41) 式、(7.2.42) 式を順次代入し、整理すると、

$$\begin{aligned} (2n+1) \int_{-1}^1 P_{m,n}(x)^2 dx &= \frac{(2m+1)(n+m)! \int_{-1}^1 (1-x^2)^m \left(\frac{d^m}{dx^m} P_m(x)\right)^2 dx}{(2m)!(n-m)!} \\ &= \frac{(2m+1)(2m)!(n+m)! \int_{-1}^1 (1-x^2)^m dx}{2^{2m} m!^2 (n-m)!} \\ &= \frac{2(2m+1)(2m)!(n+m)!}{(2m+1)!(n-m)!} \\ &= \frac{2(n+m)!}{(n-m)!} \end{aligned}$$

上式から、

$$\int_{-1}^1 P_{m,n}(x)^2 dx = \frac{2(n+m)!}{(2n+1)(n-m)!} \quad (7.2.43)$$

```

u=sum((%k1*r^n+%k2*r^(-n-1))*((sum(B[m,n]*sin(m*phi)*P[m,n](cos(theta))+A[m,n]
*cos(m*phi)*P[m,n](cos(theta)),m,1,n))+A[0,n]*P[n](cos(theta))),n,1,inf);
W1:subst([%k1=0,%k2=1,r=r/R],%);
declere(k,integer);
declere(j,integer);
assume(m>k);
assume(n>j);
IF1:f(R,\theta,\phi)=subst([m=k,r=R],rhs(W1));
DIF1:B[k,j]*sin(k*phi)*P[k,j](cos(theta));
DIF2:A[k,j]*cos(k*phi)*P[k,j](cos(theta));
DIF3:A[0,j]*P[j](cos(theta));
IF2:'integrate(lhs(IF1)*cos(m*\phi),\phi,-%pi,%pi)=sum(sum('integrate(DIF1
*cos(m*\phi),\phi,-%pi,%pi)+'integrate(DIF2*cos(m*\phi),\phi,-%pi,%pi)
+'integrate(DIF3*cos(m*\phi),\phi,-%pi,%pi)),k,1,n),j,1,inf);
lhs(%)=sum(A[m,j]*%pi*P[m,j](cos(theta)),j,1,inf);
subst([cos(\theta)=s,\theta=s],%);
'integrate('integrate(cos(m*phi)*f(R,s,phi)*P[m,n](s),phi,-%pi,%pi),s,-1,1)=%pi
*sum('integrate(A[m,j]*P[m,j](s)*P[m,n](s),s,-1,1),j,1,inf);
lhs(%)=%pi*A[m,n]*(2*(n+m)!)/((2*n+1)*(n-m)!);
'integrate('integrate(P[m,n](cos(\theta))*cos(m*phi)*f(R,\theta,phi)*sin(\theta),
phi,-%pi,%pi),\theta,0,%pi)=rhs(%);
solve(%A[m,n])[1];
subst([A[m,n]=B[m,n],cos(m*\phi)=sin(m*\phi)],%);
subst([m=0],IF2);
integrate(f(R,\theta,\phi),phi,-%pi,%pi)=sum(2*%pi*A[0,j]*P[j](cos(theta)),j,1,inf);
subst([cos(\theta)=s,\theta=s],%);
integrate(integrate(f(R,s,phi)*P[n](s),phi,-%pi,%pi),s,-1,1)=2*%pi*sum(A[0,j]
*integrate(P[n](s)*P[j](s),s,-1,1),j,1,inf);
lhs(%)=2*%pi*A[0,n]*2/(2*n+1);

```

```
integrate(P[n](cos(\theta))*sin(\theta)*integrate(f(R,\theta,\phi),\phi,-%pi,%pi),
\theta,0,%pi)=rhs(%);
solve(%,A[0,n])[1];
```

極座標： $r - \theta - \phi$  の三次元ラプラスの方程式の解は (10.3.30) 式から次式である。

$$u = \sum_{n=1}^{\infty} (\%k1 r^n + \%k2 r^{-n-1}) \left( \left( \sum_{m=1}^n B_{m,n} \sin(m\phi) P_{m,n}(\cos(\theta)) + A_{m,n} \cos(m\phi) P_{m,n}(\cos(\theta)) \right) + A_{0,n} P_n(\cos(\theta)) \right)$$

球の内部では、 $r^n$  の項は  $r = 0$  で発散するので、この項を除き、球の半径： $R$  とすると、

$$u = \sum_{n=1}^{\infty} \left( \frac{r}{R} \right)^{-n-1} \left( \left( \sum_{m=1}^n B_{m,n} \sin(m\phi) P_{m,n}(\cos(\theta)) + A_{m,n} \cos(m\phi) P_{m,n}(\cos(\theta)) \right) + A_{0,n} P_n(\cos(\theta)) \right) \quad (7.2.44)$$

$r = R$  において、 $u = f(R, \theta, \phi)$  が与えられたとすると、

$$f(R, \theta, \phi) = \sum_{n=1}^{\infty} \left( \sum_{k=1}^n B_{k,n} \sin(k\phi) P_{k,n}(\cos(\theta)) + A_{k,n} \cos(k\phi) P_{k,n}(\cos(\theta)) \right) + A_{0,n} P_n(\cos(\theta)) \quad (7.2.45)$$

上式の両辺に  $\cos(m\phi)$ 、(ここで  $m \neq 0$ ) を掛け、積分すると、(6.1.6) 式から  $k = m$  の項のみが残り、

$$\begin{aligned} \int_{-\pi}^{\pi} \cos(m\phi) f(R, \theta, \phi) d\phi &= \sum_{j=1}^{\infty} \sum_{k=1}^n B_{k,j} \int_{-\pi}^{\pi} \sin(k\phi) \cos(m\phi) d\phi P_{k,j}(\cos(\theta)) \\ &\quad + A_{k,j} \int_{-\pi}^{\pi} \cos(k\phi) \cos(m\phi) d\phi P_{k,j}(\cos(\theta)) + A_{0,j} \int_{-\pi}^{\pi} \cos(m\phi) d\phi P_j(\cos(\theta)) \\ &= \pi \sum_{j=1}^{\infty} A_{m,j} P_{m,j}(\cos(\theta)) \end{aligned} \quad (7.2.46)$$

上式で  $\cos(\theta) = s$  の変数変換を行って、両辺に  $P_{m,n}(s)$  を掛け、積分すると、(7.2.22) 式と (7.2.43) 式から  $j = n$  の項のみが残り、

$$\int_{-1}^1 P_{m,n}(s) \int_{-\pi}^{\pi} \cos(m\phi) f(R, s, \phi) d\phi ds = \pi \sum_{j=1}^{\infty} A_{m,j} \int_{-1}^1 P_{m,j}(s) P_{m,n}(s) ds = \frac{2\pi A_{m,n} (n+m)!}{(2n+1)(n-m)!}$$

上式で  $s = \cos(\theta)$  の変数変換を行って、 $A_{m,n}$  を求めると、

$$A_{m,n} = \frac{(2n+1)(n-m)!}{2\pi(n+m)!} \int_0^{\pi} \sin(\theta) P_{m,n}(\cos(\theta)) \int_{-\pi}^{\pi} \cos(m\phi) f(R, \theta, \phi) d\phi d\theta \quad (7.2.47)$$

(7.2.45) 式の両辺に  $\sin(m\phi)$ 、(ここで  $m \neq 0$ ) を掛け、上記と同様に  $B_{m,n}$  を求めると、

$$B_{m,n} = \frac{(2n+1)(n-m)!}{2\pi(n+m)!} \int_0^{\pi} \sin(\theta) P_{m,n}(\cos(\theta)) \int_{-\pi}^{\pi} \sin(m\phi) f(R, \theta, \phi) d\phi d\theta \quad (7.2.48)$$

(7.2.46) 式で  $m = 0$  とすると、

$$\int_{-\pi}^{\pi} f(R, \theta, \phi) d\phi = 2\pi \sum_{j=1}^{\infty} A_{0,j} P_j(\cos(\theta))$$

上式で  $\cos(\theta) = s$  の変数変換を行って、両辺に  $P_n(s)$  を掛け、積分すると、(7.2.8) 式と (7.2.16) 式から  $j = n$  の場合のみ値をもち、

$$\int_{-1}^1 P_n(s) \int_{-\pi}^{\pi} f(R, s, \phi) d\phi ds = 2\pi \sum_{j=1}^{\infty} A_{0,j} \int_{-1}^1 P_j(s) P_n(s) ds = \frac{4\pi A_{0,n}}{2n+1}$$

上式で  $s = \cos(\theta)$  の変数変換を行って、 $A_{0,n}$  を求めると、

$$A_{0,n} = \frac{(2n+1)}{4\pi} \int_0^{\pi} \sin(\theta) P_n(\cos(\theta)) \int_{-\pi}^{\pi} f(R, \theta, \phi) d\phi d\theta \quad (7.2.49)$$

$r = R$  における  $u = f(R, \theta, \phi)$  が与えられると、(7.2.47) 式、(7.2.48) 式、(7.2.49) 式から  $A_{m,n}, B_{m,n}, A_{0,n}$  が得られ、(7.2.44) 式からラプラスの方程式を満足する球内部の値が得られる。

## 第8章 ラプラス変換

### 8.1 ラプラス変換

#### 8.1.1 ラプラス変換の定義と例題

```
kill(all);
assume(s>0);
assume(s>a);
LA1:'integrate(%e^(-s*t)*f(t),t,0,inf);
```

$t \geq 0$  で定義される関数  $f(t)$  のラプラス変換  $F(s)$  は次式で定義される。

$$F(s) = \mathcal{L}[f(t)] = \int_0^{\infty} e^{-st} f(t) dt \quad (8.1.1)$$

ラプラス逆変換は次式で定義される。

$$f(t) = \frac{1}{2\pi i} \int_{\sigma-i\infty}^{\sigma+i\infty} e^{st} F(s) ds \quad (8.1.2)$$

Maxima におけるラプラス変換の関数は下記の `laplace` 関数を使用して、ラプラス変換結果を求めることができる。ここで、 $t, s$  は (8.1.1) 式の定義で示した  $t, s$  である。

`laplace(関数, t, s)`

また、逆変換は下記の `ilt` 関数を使用して求めることができる。

`ilt(関数, s, t)`

```
EX:f(t)=1;
subst([EX],LA1);
ev(%,integrate);
laplace(rhs(EX),t,s);
ilt(%,s,t);
```

下記の関数のラプラス変換を行う。

$$f(t) = 1$$

定義から、

$$F(s) = \mathcal{L}[1] = \int_0^{\infty} e^{-st} dt = \frac{1}{s}$$

上式の Maxima によるラプラス変換結果は、

$$F(s) = \mathcal{L}[1] = \frac{1}{s}$$

上式の Maxima によるラプラス逆変換結果は、

$$f(t) = 1$$

```
EX:f(t)=t;
subst([EX],LA1);
ev(%,integrate);
laplace(rhs(EX),t,s);
ilt(%,s,t);
```

下記の関数のラプラス変換を行う。

$$f(t) = t$$

定義から、

$$F(s) = \mathcal{L}[t] = \int_0^{\infty} t e^{-st} dt = \frac{1}{s^2}$$

上式の Maxima によるラプラス変換結果は、

$$F(s) = \mathcal{L}[t] = \frac{1}{s^2}$$

上式の Maxima によるラプラス逆変換結果は、

$$f(t) = t$$



```
EX:f(t)=t^2;
subst([EX],LA1);
ev(%,integrate);
laplace(rhs(EX),t,s);
ilt(%,s,t);
```

下記の関数のラプラス変換を行う。

$$f(t) = t^2$$

定義から、

$$F(s) = \mathcal{L}[t^2] = \int_0^{\infty} t^2 e^{-st} dt = \frac{2}{s^3}$$

上式の Maxima によるラプラス変換結果は、

$$F(s) = \mathcal{L}[t^2] = \frac{2}{s^3}$$

上式の Maxima によるラプラス逆変換結果は、

$$f(t) = t^2$$

```
EX:f(t)=t^5;
subst([EX],LA1);
ev(%,integrate);
laplace(rhs(EX),t,s);
ilt(%,s,t);
```

下記の関数のラプラス変換を行う。

$$f(t) = t^5$$

定義から、

$$F(s) = \mathcal{L}[t^5] = \int_0^{\infty} t^5 e^{-st} dt = \frac{120}{s^6}$$

上式の Maxima によるラプラス変換結果は、

$$F(s) = \mathcal{L}[t^5] = \frac{120}{s^6}$$

上式の Maxima によるラプラス逆変換結果は、

$$f(t) = t^5$$

```
EX:f(t)=t^(1/2);
subst([EX],LA1);
ev(%,integrate);
laplace(rhs(EX),t,s);
ilt(%,s,t);
```

下記の関数のラプラス変換を行う。

$$f(t) = \sqrt{t}$$

定義から、

$$F(s) = \mathcal{L}[\sqrt{t}] = \int_0^{\infty} \sqrt{t} e^{-st} dt = \frac{\sqrt{\pi}}{2s^{3/2}}$$

上式の Maxima によるラプラス変換結果は、

$$F(s) = \mathcal{L}[\sqrt{t}] = \frac{\sqrt{\pi}}{2s^{3/2}}$$

上式の Maxima によるラプラス逆変換結果は、変換できなかった。

$$f(t) = \text{ilt}\left(\frac{\sqrt{\pi}}{2s^{3/2}}, s, t\right)$$

```
declare(n, integer);
assume(n>0);
EX:f(t)=t^n;
subst([EX],LA1);
ev(%,integrate);
laplace(rhs(EX),t,s);
ilt(%,s,t);
```

下記の関数のラプラス変換を行う。

$$f(t) = t^n$$

定義から、

$$F(s) = \mathcal{L}[t^n] = \int_0^{\infty} t^n e^{-st} dt = \Gamma(n+1) s^{-n-1}$$

上式の Maxima によるラプラス変換結果は、

$$F(s) = \mathcal{L}[t^n] = \Gamma(n+1) s^{-n-1}$$

上式の Maxima によるラプラス逆変換結果は、変換できなかった。

$$f(t) = \text{ilt}(\Gamma(n+1) s^{-n-1}, s, t)$$

```
assume(s>a);
EX:f(t)=%e^(a*t);
subst([EX],LA1);
ev(%,integrate);
laplace(rhs(EX),t,s);
ilt(%,s,t);
```

下記の関数のラプラス変換を行う。

$$f(t) = e^{at}$$

定義から、

$$F(s) = \mathcal{L}[e^{at}] = \int_0^{\infty} e^{at-st} dt = \frac{1}{s-a}$$

上式の Maxima によるラプラス変換結果は、

$$F(s) = \mathcal{L}[e^{at}] = \frac{1}{s-a}$$

上式の Maxima によるラプラス逆変換結果は、

$$f(t) = e^{at}$$

```
assume(s>abs(b));
EX:f(t)=cosh(b*t);
subst([EX],LA1);
ev(%,integrate);
laplace(rhs(EX),t,s);
ilt(%,s,t);
```

下記の関数のラプラス変換を行う。

$$f(t) = \cosh(bt)$$

定義から、

$$F(s) = \mathcal{L}[\cosh(bt)] \\ = \int_0^{\infty} e^{-st} \cosh(bt) dt = \frac{s}{s^2 - b^2}$$

上式の Maxima によるラプラス変換結果は、

$$F(s) = \mathcal{L}[\cosh(bt)] = \frac{s}{s^2 - b^2}$$

上式の Maxima によるラプラス逆変換結果は、

$$f(t) = \frac{e^{bt}}{2} + \frac{e^{-bt}}{2}$$

```
EX:f(t)=sinh(b*t);
subst([EX],LA1);
ev(%,integrate);
laplace(rhs(EX),t,s);
ilt(%,s,t);
```

下記の関数のラプラス変換を行う。

$$f(t) = \sinh(bt)$$

定義から、

$$F(s) = \mathcal{L}[\sinh(bt)] \\ = \int_0^{\infty} e^{-st} \sinh(bt) dt = \frac{b}{s^2 - b^2}$$

上式の Maxima によるラプラス変換結果は、

$$F(s) = \mathcal{L}[\sinh(bt)] = \frac{b}{s^2 - b^2}$$

上式の Maxima によるラプラス逆変換結果は、

$$f(t) = \frac{e^{bt}}{2} - \frac{e^{-bt}}{2}$$

```
assume(c>0);
EX:f(t)=cos(c*t);
subst([EX],LA1);
ev(%,integrate);
laplace(rhs(EX),t,s);
ilt(%,s,t);
```

下記の関数のラプラス変換を行う。

$$f(t) = \cos(ct)$$

定義から、

$$F(s) = \mathcal{L}[\cos(ct)] = \int_0^{\infty} e^{-st} \cos(ct) dt = \frac{s}{s^2 + c^2}$$

上式の Maxima によるラプラス変換結果は、

$$F(s) = \mathcal{L}[\cos(ct)] = \frac{s}{s^2 + c^2}$$

上式の Maxima によるラプラス逆変換結果は、

$$f(t) = \cos(ct)$$

```
EX:f(t)=sin(c*t);
subst([EX],LA1);
ev(%,integrate);
laplace(rhs(EX),t,s);
ilt(%,s,t);
```

下記の関数のラプラス変換を行う。

$$f(t) = \sin(ct)$$

定義から、

$$F(s) = \mathcal{L}[\sin(ct)] = \int_0^{\infty} e^{-st} \sin(ct) dt = \frac{c}{s^2 + c^2}$$

上式の Maxima によるラプラス変換結果は、

$$F(s) = \mathcal{L}[\sin(ct)] = \frac{c}{s^2 + c^2}$$

上式の Maxima によるラプラス逆変換結果は、

$$f(t) = \sin(ct)$$

```
EX:f(t)=t*sin(c*t);
subst([EX],LA1);
ev(%,integrate);
laplace(rhs(EX),t,s);
ilt(%,s,t);
```

下記の関数のラプラス変換を行う。

$$f(t) = t \sin(ct)$$

定義から、下記となるが解けなかった。

$$F(s) = \mathcal{L}[t \sin(ct)] = \int_0^{\infty} t e^{-st} \sin(ct) dt$$

上式の Maxima によるラプラス変換結果は、

$$F(s) = \mathcal{L}[t \sin(ct)] = \frac{2cs}{(s^2 + c^2)^2}$$

上式の Maxima によるラプラス逆変換結果は、

$$f(t) = t \sin(ct)$$

```
EX:f(t)=t*cos(c*t);
subst([EX],LA1);
ev(%,integrate);
laplace(rhs(EX),t,s);
factor(%%);
ilt(%,s,t);
```

下記の関数のラプラス変換を行う。

$$f(t) = t \cos(ct)$$

定義から、

$$\begin{aligned} F(s) &= \mathcal{L}[t \cos(ct)] \\ &= \int_0^{\infty} t e^{-st} \cos(ct) dt = \frac{2s^2}{(s^2 + c^2)^2} - \frac{1}{s^2 + c^2} \end{aligned}$$

上式の Maxima によるラプラス変換結果は、下記で上記と同じ結果である。

$$F(s) = \mathcal{L}[t \cos(ct)] = \frac{(s-c)(s+c)}{(s^2 + c^2)^2}$$

上式の Maxima によるラプラス逆変換結果は、

$$f(t) = t \cos(ct)$$

```
EX:f(t)=%e^(%i*c*t);
subst([EX],LA1);
ev(%,integrate);
laplace(rhs(EX),t,s);
realpart(%%)+%i*imagpart(%%);
ilt(%,s,t);
```

下記の関数のラプラス変換を行う。

$$f(t) = e^{ict}$$

定義から、

$$F(s) = \mathcal{L}[e^{ict}] = \int_0^{\infty} e^{ict-st} dt = \frac{1}{s-ic}$$

上式の Maxima によるラプラス変換結果は、

$$F(s) = \mathcal{L}[e^{ict}] = \frac{1}{s-ic}$$

上式の Maxima によるラプラス逆変換結果は、

$$f(t) = \frac{s}{s^2 + c^2} + \frac{ic}{s^2 + c^2} = i \sin(ct) + \cos(ct)$$

```
EX:f(t)=sin(c*t)^2;
subst([EX],LA1);
ev(%,integrate);
laplace(rhs(EX),t,s);
ilt(%,s,t);
trigexpand(%);
trigsimp(%);
```

下記の関数のラプラス変換を行う。

$$f(t) = \sin(ct)^2$$

定義から、下記となるが解けなかった。

$$\begin{aligned} F(s) &= \mathcal{L}[\sin(ct)^2] \\ &= \int_0^{\infty} e^{-st} \sin(ct)^2 dt = \frac{2c^2}{s^3 + 4c^2s} \end{aligned}$$

上式の Maxima によるラプラス変換結果は、

$$F(s) = \mathcal{L}[\sin(ct)^2] = \frac{2c^2}{s^3 + 4c^2s}$$

上式の Maxima によるラプラス逆変換結果は、

$$f(t) = \frac{1}{2} - \frac{\cos(2ct)}{2} = \sin(ct)^2$$

```
EX:f(t)=cos(c*t+a);
subst([EX],LA1);
ev(%,integrate);
laplace(rhs(EX),t,s);
ilt(%,s,t);
trigrat(%);
```

下記の関数のラプラス変換を行う。

$$f(t) = \cos(ct + a)$$

定義から、

$$\begin{aligned} F(s) &= \mathcal{L}[\cos(ct + a)] \\ &= \int_0^{\infty} e^{-st} \cos(ct + a) dt = \frac{\cos(a)s}{s^2 + c^2} - \frac{\sin(a)c}{s^2 + c^2} \end{aligned}$$

上式の Maxima によるラプラス変換結果は、

$$F(s) = \mathcal{L}[\cos(ct + a)] = \frac{\cos(a)s - \sin(a)c}{s^2 + c^2}$$

上式の Maxima によるラプラス逆変換結果は、

$$f(t) = \cos(a)\cos(ct) - \sin(a)\sin(ct) = \cos(ct + a)$$

```
EX:f(t)=t^3*e^(a*t);
subst([EX],LA1);
ev(%,integrate);
laplace(rhs(EX),t,s);
ilt(%,s,t);
```

下記の関数のラプラス変換を行う。

$$f(t) = t^3 e^{at}$$

定義から、下記となるが解けなかった。

$$F(s) = \mathcal{L}[t^3 e^{at}] = \int_0^{\infty} t^3 e^{at-st} dt = \frac{6}{(s-a)^4}$$

上式の Maxima によるラプラス変換結果は、

$$F(s) = \mathcal{L}[t^3 e^{at}] = \frac{6}{(s-a)^4}$$

上式の Maxima によるラプラス逆変換結果は、

$$f(t) = t^3 e^{at}$$

```
EX:f(t)=cos(c*t)*e^(a*t);
subst([EX],LA1);
ev(%,integrate);
factor(%);
laplace(rhs(EX),t,s);
ilt(%,s,t);
```

下記の関数のラプラス変換を行う。

$$f(t) = e^{at} \cos(ct)$$

定義から、

$$\begin{aligned} F(s) &= \mathcal{L}[e^{at} \cos(ct)] \\ &= \int_0^{\infty} e^{at-st} \cos(ct) dt = \frac{s-a}{s^2 - 2as + c^2 + a^2} \end{aligned}$$

上式の Maxima によるラプラス変換結果は、

$$F(s) = \mathcal{L}[e^{at} \cos(ct)] = \frac{s-a}{s^2 - 2as + c^2 + a^2}$$

上式の Maxima によるラプラス逆変換結果は、

$$f(t) = e^{at} \cos(ct)$$

```

EX:f(t)=%e^(-t)*sin(t);
subst([EX],LA1);
ev(%,integrate);
laplace(rhs(EX),t,s);
ilt(%,s,t);

```

下記の関数のラプラス変換を行う。

$$f(t) = e^{-t} \sin(t)$$

定義から、下記となるが解けなかった。

$$\begin{aligned}
 F(s) &= \mathcal{L}[e^{-t} \sin(t)] \\
 &= \int_0^{\infty} e^{-st-t} \sin(t) dt = \frac{1}{s^2 + 2s + 2}
 \end{aligned}$$

上式の Maxima によるラプラス変換結果は、

$$F(s) = \mathcal{L}[e^{-t} \sin(t)] = \frac{1}{s^2 + 2s + 2}$$

上式の Maxima によるラプラス逆変換結果は、

$$f(t) = e^{-t} \sin(t)$$

```

EX:f(t)=log(t);
subst([EX],LA1);
ev(%,integrate);
laplace(rhs(EX),t,s);
ilt(%,s,t);

```

下記の関数のラプラス変換を行う。

$$f(t) = \log(t)$$

定義から、下記となるが積分結果は得られなかった。

$$F(s) = \mathcal{L}[\log(t)] = \int_0^{\infty} e^{-st} \log(t) dt$$

上式の Maxima によるラプラス変換結果は、

$$F(s) = \mathcal{L}[\log(t)] = \frac{-\log(s) - \gamma}{s}$$

上式の Maxima によるラプラス逆変換結果は、変換できなかった。

$$f(t) = \text{ilt}\left(\frac{-\log(s) - \gamma}{s}, s, t\right)$$

## 8.1.2 関数の和と定数積

関数:  $f(t)$  と関数:  $g(t)$ 、定数:  $A, B$  の下記の和:  $h(t)$  のラプラス変換結果:  $H(s)$  を求める。

$$h(t) = g(t) B + f(t) A \quad (8.1.3)$$

```

kill(all);
assume(t>0);
assume(s>0);
kill(all);
assume(t>0);
assume(s>0);
F1:f(t);
G1:g(t);
h(t)=A*F1+B*G1;
H(s)='integrate(%e^(-s*t)*(A*F1+B*G1),
t,0,inf);
H(s)='integrate(%e^(-s*t)*(A*F1),t,0,inf)
+'integrate(%e^(-s*t)*(B*G1),t,0,inf);
H(s)=A*F(s)+B*G(s);

```

関数:  $f(t)$  のラプラス変換結果を  $F(s)$ 、関数:  $g(t)$  のラプラス変換結果を  $G(s)$  とする。上式のラプラス変換結果は、

$$\begin{aligned}
 H(s) &= \mathcal{L}[g(t) B + f(t) A] \\
 &= \int_0^{\infty} e^{-st} (g(t) B + f(t) A) dt \\
 &= \int_0^{\infty} e^{-st} g(t) dt B + \int_0^{\infty} e^{-st} f(t) dt A \\
 &= G(s) B + F(s) A
 \end{aligned} \quad (8.1.4)$$

## 8.1.3 単位ステップ関数

下記式、図に示す単位ステップ関数： $u(t)$  のラプラス変換： $U(s)$  を求める。

$$u(t) = \begin{cases} 1 & t \geq 0 \\ 0 & t < 0 \end{cases} \quad (8.1.5)$$

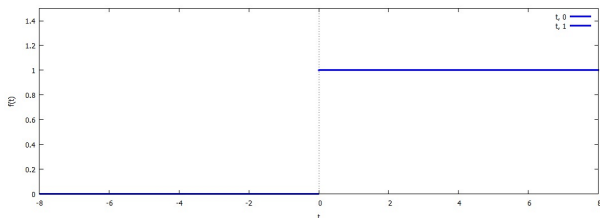


図 8.1.1: 単位ステップ関数

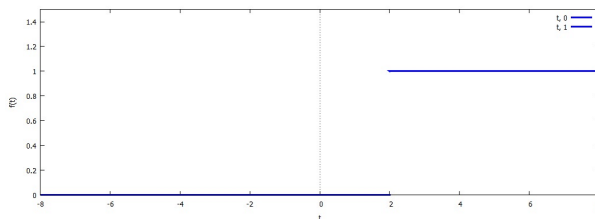


図 8.1.2: 単位ステップ関数

上式のラプラス変換結果は、

$$\begin{aligned} U_A(s) &= \mathcal{L}[u_A(t)] \\ &= \int_A^\infty e^{-st} u_A(t) dt = \int_A^\infty e^{-st} dt = \frac{e^{-sA}}{s} \end{aligned} \quad (8.1.8)$$

上式のラプラス逆変換結果は、Maxima では得られなかった。

$$\text{ilt}(U_A(s), s, t) = \text{ilt}\left(\frac{e^{-sA}}{s}, s, t\right)$$

```
kill(all);
assume(s>0);
EX:f(t)=1;
'integrate(%e^(-s*t)*f(t),t,0,inf);
subst([EX],%);
FS1:F(s)=ev(%,integrate);
ilt(%,s,t);
plot2d([[parametric,t,0,[t,-8,0]],
[parametric,t,1,[t,0,8]]],[x,-8,8],
[y,0,1.5],[xlabel,"t"],[ylabel,"f(t)"],
[style,[lines,3,1],[lines,3,1]]];
```

上式のラプラス変換結果は、

$$U(s) = \mathcal{L}[u(t)] = \int_0^\infty e^{-st} u(t) dt = \int_0^\infty e^{-st} dt = \frac{1}{s} \quad (8.1.6)$$

上式のラプラス逆変換結果は、

$$u(t) = \text{ilt}(U(s), s, t) = 1$$

次に上記単位ステップ関数を時間軸で  $A$  ずらした関数： $u_A(t)$  のラプラス変換： $U_A(s)$  を求める。

$$u_A(t) = \begin{cases} 1 & t \geq A \\ 0 & t < A \end{cases} \quad (8.1.7)$$

```
'integrate(%e^(-s*t)*u[A](t),t,A,inf);
subst([u[A](t)=1],%);
FS1:U[A](s)=ev(%,integrate);
ilt(%,s,t);
plot2d([[parametric,t,0,[t,-8,2]],
[parametric,t,1,[t,2,8]]],[x,-8,8],
[y,0,1.5],[xlabel,"t"],[ylabel,"f(t)"],
[style,[lines,3,1],[lines,3,1]]];
```

## 8.1.4 デルタ関数

デルタ関数： $\delta(t)$  のラプラス変換： $\Delta(s)$  を求める。  
 デルタ関数は幅： $A$ 、高さ： $1/A$ 、面積： $1$  の矩形波で、 $A \rightarrow 0$  で得られる。

$$\delta(t) = \begin{cases} 0 & t < 0 \\ \frac{1}{A} & 0 \leq t \leq A \\ 0 & t > A \end{cases} \quad (8.1.9)$$

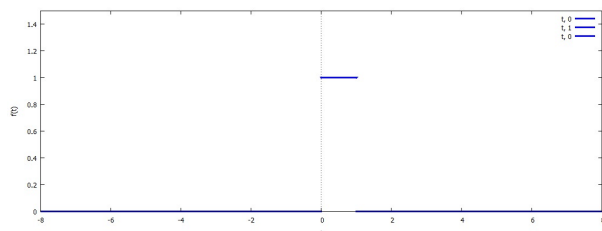


図 8.1.3: デルタ関数

```
kill(all);
\Delta(s)=1/s/A-%e^(-A*s)/s/A;
factor(%);
limit(%,A,0);
plot2d([[parametric,t,0,[t,-8,0]],
[parametric,t,1,[t,0,1]],
[parametric,t,0,[t,1,8]], [x,-8,8],
[y,0,1.5],[xlabel,"t"],[ylabel,"f(t)"],
[style,[lines,3,1],[lines,3,1]]];
```

単位ステップ関数の (8.1.6) 式、(8.1.8) 式から、上記のデルタ関数のラプラス変換結果： $\Delta(s)$  は、

$$\Delta(s) = \mathcal{L}[\delta(t)] = \lim_{A \rightarrow 0} \left( \frac{1}{As} - \frac{e^{-As}}{As} \right) = 1 \quad (8.1.10)$$

8.1.5 関数に  $e^{at}$  を掛ける

関数： $f(t)$  に  $e^{at}$  を掛けた関数のラプラス変換： $G(s)$  を求める。

```
kill(all);
LF1:laplace(f(t),t,s)=F(s);
G3:g(t)=%e^(a*t)*f(t);
G(s)='integrate(%e^(-s*t)*g(t),t,0,inf);
LG3:subst([G3],%);
P2:p=s-a;
solve(%,s)[1];
lhs(LG3)=factor(subst(%,rhs(LG3)));
lhs(%)=F(p);
subst([P2],%);
lhs(%)=F(s-a);
```

関数： $f(t)$  に  $e^{at}$  を掛けた関数： $g(t)$  は次式で与えられる。

$$g(t) = e^{at} f(t)$$

上式のラプラス変換結果は定義から次式となり、 $s - a \rightarrow p$  の変数変換を行う。ここで、関数： $f(t)$  のラプラス変換結果： $F(s)$  とすると、

$$\begin{aligned} G(s) &= \mathcal{L}[e^{at} f(t)] = \int_0^{\infty} e^{-st} g(t) dt \\ &= \int_0^{\infty} e^{at-st} f(t) dt \\ &= \int_0^{\infty} e^{-pt} f(t) dt \\ &= F(p) \end{aligned}$$

上式で、 $p = s - a$  であるから、これを上式に代入し、元の  $s$  に戻し、

$$G(s) = \mathcal{L}[e^{at} f(t)] = F(s - a) \quad (8.1.11)$$

## 8.1.6 関数を時間：A だけずらす

関数： $f(t)$  を時間軸で  $t = A$  ずらした関数のラプラス変換： $G(s)$  を求める。

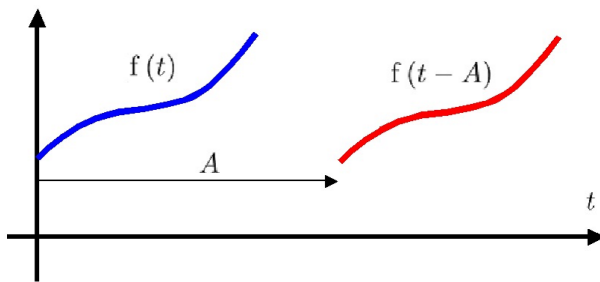


図 8.1.4: 関数を時間：A だけずらす

```
kill(all);
LF1:laplace(f(t),t,s)=F(s);
G1:g(t)=f(t-A)*u(t-A);
G2:G1*%e^(-s*t);
LG1:G(s)='integrate(lhs(G2),t,A,inf);
LG2:subst([G1],LG1);
P1:t-A=p;
lhs(LG2)=changevar(rhs(LG2),t-A-p,p,t);
subst([u(p)=1],%);
lhs(%)=%e^(-A*s)*subst([A=0],rhs(%));
lhs(%)=%e^(-A*s)*F(s);
```

関数： $f(t)$  を時間軸で  $t = A$  ずらした関数は  $f(t - A)$  で  $t < A$  では零とするためステップ関数： $u(t - A)$  を掛け、次式で表せる。

$$g(t) = f(t - A) u(t - A) \quad (8.1.12)$$

ここで、関数： $f(t)$  のラプラス変換結果： $F(s)$  とする。  
(8.1.12) 式のラプラス変換結果は定義から次式となり、 $t - A \rightarrow p$  の変数変換を行うと、

$$\begin{aligned} G(s) &= \mathcal{L}[f(t - A) u(t - A)] \\ &= \int_A^\infty e^{-st} g(t) dt \\ &= \int_A^\infty e^{-st} f(t - A) u(t - A) dt \\ &= \int_0^\infty f(p) u(p) e^{-sA - ps} dp \\ &= \int_0^\infty f(p) e^{-ps} dp e^{-sA} \\ &= F(s) e^{-sA} \end{aligned} \quad (8.1.13)$$

この結果は、単位ステップ関数を時間軸で  $A$  ずらした関数のラプラス変換結果： $(8.1.8)$  式の結果と一致している。

逆変換例  $\frac{-e^{-s} - e^{-3s} + 1}{s^2}$

```
LF1:(1-%e^(-s)-%e^(-3*s))/(s^2);
ilt(%,s,t);
LF2:expand(LF1);
Y1:ilt(last(LF2),s,t);
Y2:subst([t=t-1],-Y1)*u[1](t);
Y3:subst([t=t-3],-Y1)*u[3](t);
f(t)=Y1+Y2+Y3;
```

次式のラプラス逆変換を行う。

$$F(s) = \frac{-e^{-s} - e^{-3s} + 1}{s^2}$$

上式を展開し、

$$F(s) = -\frac{e^{-s}}{s^2} - \frac{e^{-3s}}{s^2} + \frac{1}{s^2}$$

上式の右辺第3項の逆変換結果は、

$$f_3(t) = t$$

右辺第1項、第2項は上記の結果と (8.1.13) 式から、

$$f_2(t) = (1 - t) u_1(t)$$

$$f_1(t) = (3 - t) u_3(t)$$

以上から、

$$f(t) = (3 - t) u_3(t) + (1 - t) u_1(t) + t$$

逆変換例  $\frac{e^{-3s}}{s^2 - 5s + 6}$

```
LF1:%e^(-3*s)/(s^2-5*s+6);
ilt(%,s,t);
LF2:1/denom(LF1);
ilt(%,s,t);
subst([t=t-3],%);
f(t)=%*u[3](t);
```

次式のラプラス逆変換を行う。

$$F(s) = \frac{e^{-3s}}{s^2 - 5s + 6}$$

(8.1.13) 式から  $e^{-3s}$  の項を除き、

$$F'(s) = \frac{1}{s^2 - 5s + 6}$$

ラプラス逆変換を行い、

$$f'(t) = e^{3t} - e^{2t}$$

以上から、

$$f(t) = (e^{3(t-3)} - e^{2(t-3)}) u_3(t)$$



## 8.1.7 関数の微分

関数:  $f(t)$  の微分結果のラプラス変換:  $G(s)$  を求める。

```
kill(all);
assume(t>0);
assume(s>0);
DF1:'diff(f(t),t,1);
EX1:p(t)=%e^(-s*t);
'integrate(DF1*rhs(EX1),t,0,inf);
'integrate(DF1*lhs(EX1),t,0,inf);
at(p(t)*f(t),t=inf)-at(p(t)*f(t),t=0)
-'integrate(diff(p(t),t,1)*f(t),t,0,inf);
subst([p(inf)=0,p(0)=1],%);
subst([EX1],%);
ev(%,diff);
s*F(s)-f(0);
LF1:laplace(f(t),t,s)=F(s);
laplace('diff(f(t),t,1),t,s);
subst([LF1],%);
laplace(diff(f(t),t,2),t,s);
subst([LF1],%);
```

ラプラス変換の定義から、関数:  $f(t)$  の微分のラプラス変換結果は、

$$G(s) = \mathcal{L} \left[ \frac{d}{dt} f(t) \right] = \int_0^{\infty} e^{-st} \left( \frac{d}{dt} f(t) \right) dt$$

次式の置き換えを行い、

$$p(t) = e^{-st} \quad (8.1.14)$$

部分積分を適用すると、

$$\begin{aligned} G(s) &= \int_0^{\infty} p(t) \left( \frac{d}{dt} f(t) \right) dt \\ &= - \int_0^{\infty} f(t) \left( \frac{d}{dt} p(t) \right) dt \\ &\quad + f(\infty) p(\infty) - f(0) p(0) \end{aligned}$$

(8.1.14) 式から、 $p(0) = 0$ 、 $p(\infty) \rightarrow 0$  であるから、上式は下記となり、(8.1.14) 式を代入し、関数:  $f(t)$  のラプラス変換結果:  $F(s)$  とすると、

$$\begin{aligned} G(s) &= - \int_0^{\infty} f(t) \left( \frac{d}{dt} p(t) \right) dt - f(0) \\ &= - \int_0^{\infty} f(t) \left( \frac{d}{dt} e^{-st} \right) dt - f(0) \\ &= s \int_0^{\infty} e^{-st} f(t) dt - f(0) \\ &= sF(s) - f(0) \end{aligned} \quad (8.1.15)$$

$\frac{d}{dt} f(t)$  の Maxima によるラプラス変換結果は、

$$\begin{aligned} \mathcal{L} \left[ \frac{d}{dt} f(t) \right] &= s \text{laplace}(f(t), t, s) - f(0) \\ &= sF(s) - f(0) \end{aligned}$$

$\frac{d^2}{dt^2} f(t)$  の Maxima によるラプラス変換結果は、

$$\begin{aligned} \mathcal{L} \left[ \frac{d^2}{dt^2} f(t) \right] &= - \left. \frac{d}{dt} f(t) \right|_{t=0} \\ &\quad + s^2 \text{laplace}(f(t), t, s) - f(0) s \\ &= - \left. \frac{d}{dt} f(t) \right|_{t=0} + s^2 F(s) - f(0) s \end{aligned}$$

## 8.1.8 関数の積分

関数:  $f(t)$  の積分結果のラプラス変換:  $G(s)$  を求める。

```
kill(all);
assume(s>0);
assume(t>0);
LF1:laplace(f(t),t,s)=F(s);
I1:g(t)=integrate(f(\tau),\tau,0,t);
DI1:diff(I1,t,1);
I2:p(t)='integrate(%e^(-s*t),t);
DI2:diff(I2,t,1);
I21:ev(I2,integrate);
LF2:'integrate(%e^(-s*t)*lhs(I1),t,0,inf);
LF21:subst([rhs(DI2)=lhs(DI2)],%);
g(inf)*p(inf)-g(0)*p(0)-'integrate(
  diff(g(t),t,1)*p(t),t,0,inf);
subst([I21,DI1],%);
subst([p(inf)=0,g(0)=0],%);
F(s)/s;
laplace(I1,t,s);
subst([LF1],%);
```

関数:  $f(t)$  の積分結果:  $g(t)$  は、

$$g(t) = \int_0^t f(\tau) d\tau \quad (8.1.16)$$

その微分は当然ながら、

$$\frac{d}{dt} g(t) = f(t) \quad (8.1.17)$$

$e^{-st}$  を  $\frac{d}{dt} p(t)$  と置く。

$$\frac{d}{dt} p(t) = e^{-st} \quad (8.1.18)$$

その積分結果は、

$$p(t) = \int e^{-st} dt = -\frac{e^{-st}}{s} \quad (8.1.19)$$

ラプラス変換の定義から、関数:  $f(t)$  の積分:  $g(t)$  のラプラス変換結果:  $G(s)$  は、部分積分を使い、上記の関係式から、

$$\begin{aligned} G(s) &= \int_0^{\infty} e^{-st} g(t) dt \\ &= \int_0^{\infty} g(t) \left( \frac{d}{dt} p(t) \right) dt \\ &= - \int_0^{\infty} p(t) \left( \frac{d}{dt} g(t) \right) dt \\ &\quad + g(\infty) p(\infty) - g(0) p(0) \\ &= \frac{1}{s} \int_0^{\infty} e^{-st} f(t) dt + g(\infty) p(\infty) - g(0) p(0) \end{aligned}$$

(8.1.16) 式、(8.1.19) 式から、 $p(\infty) = 0$ ,  $g(0) = 0$  であるから、上式は、

$$G(s) = \frac{1}{s} \int_0^{\infty} e^{-st} f(t) dt = \frac{F(s)}{s} \quad (8.1.20)$$

関数:  $f(t)$  の積分結果のラプラス変換を Maxima で行くと、

$$\text{laplace}(g(t), t, s) = \frac{\text{laplace}(f(t), t, s)}{s} = \frac{F(s)}{s}$$

## 8.1.9 インパルス応答

```
kill(all);
assume(s>0);
assume(t>0);
assume(\tau>0);
LX1:laplace(x(t),t,s)=X(s);
LH1:laplace(h(t),t,s)=H(s);
Y1:y(t)='integrate(x(\tau)*h(t-\tau),
\tau,0,inf);
Y(s)='integrate(%e^(-s*t)*y(t),t,0,inf);
subst([Y1],%);
lhs(%)'integrate('integrate(%e^(-s*t)*
x(\tau)*h(t-\tau),t,0,inf),\tau,0,inf);
'integrate(%e^(-s*t)*h(t-\tau),t,0,inf);
changevar(%t-\tau-a,a,t);
Y(s)='integrate(%*x(\tau),\tau,0,inf);
lhs(%)=integrate(x(\tau)*%e^(-s*\tau),\tau,
0,inf)*integrate(h(a)*%e^(-a*s),a,0,inf);
lhs(%)=H(s)*X(s);
```

入力:  $x(\tau)$ 、インパルス応答関数:  $h(\tau)$ 、出力:  $y(t)$  とすると、「6.2.2 畳み込み積分 (インパルス応答)」からインパルス応答は次式で表される。ここでインパルス応答関数:  $h(\tau)$  は前方へ影響を与えないので、時間積分区間を  $0 \rightarrow \infty$  とした。

$$y(t) = \int_0^{\infty} h(t-\tau) x(\tau) d\tau \quad (8.1.21)$$

出力:  $y(t)$  のラプラス変換:  $Y(s)$  を求める。積分順序を変え、

$$\begin{aligned} Y(s) &= \int_0^{\infty} e^{-st} y(t) dt \\ &= \int_0^{\infty} e^{-st} \int_0^{\infty} h(t-\tau) x(\tau) d\tau dt \\ &= \int_0^{\infty} \int_0^{\infty} e^{-st} h(t-\tau) dt x(\tau) d\tau \end{aligned}$$

上記  $t$  の積分で、 $t-\tau = a$  と置き換えて、

$$\int_0^{\infty} e^{-st} h(t-\tau) dt = \int_{-\tau}^{\infty} h(a) e^{-s\tau-a s} da$$

上記結果を上式に代入し、入力:  $x(t)$  のラプラス変換:  $X(s)$ 、インパルス応答関数:  $h(\tau)$  のラプラス変換:  $H(s)$  とすると、出力のラプラス変換:  $Y(s)$  は、

$$\begin{aligned} Y(s) &= \int_0^{\infty} x(\tau) \int_{-\tau}^{\infty} h(a) e^{-s\tau-a s} da d\tau \\ &= \int_0^{\infty} h(a) e^{-a s} da \int_0^{\infty} e^{-s\tau} x(\tau) d\tau \quad (8.1.22) \\ &= H(s) X(s) \end{aligned}$$

```
H1:h(t)=2*%e^(-t);
X1:x(t)=5;
LX2:X(s)=5*(1/s-%e^(-3*s)/s);
LH2:H(s)=laplace(rhs(H1),t,s);
LY2:Y(s)=rhs(LX2)*rhs(LH2);
LY21:expand(%);
LY22:first(rhs(LY21));
LY23:last(rhs(LY21));
factor(LY23);
LY231:%/(%e^(-3*s));
Y31:ilt(LY22,s,t);
ilt(LY23,s,t);
ilt(LY231,s,t);
Y32:subst([t=t-3],%);
Y321:Y31+Y32;
Y41:y(t)=Y31+Y32*u[3](t);
Y42:y(t)=Y31;
Y43:y(t)=Y31+Y32;
plot2d([[parametric,t,0,[t,-3,0]],
[parametric,t,rhs(Y42),[t,0,3]],
[parametric,t,rhs(Y43),[t,3,10]]],
[x,-3,10],[xlabel,"t"],[ylabel,"y(t)"],
[style,[lines,3,1],[lines,3,1]]];
```

入力:  $x(t)$  として、下記の矩形波とする。

$$x(t) = \begin{cases} 0 & t < 0 \\ 5 & 0 \leq t \leq 3 \\ 0 & t > 3 \end{cases} \quad (8.1.23)$$

インパルス応答関数:  $h(t)$  として下記とする。

$$h(t) = 2e^{-t} \quad (8.1.24)$$

入力のラプラス変換結果:  $X(s)$  は (8.1.10) 式から、

$$X(s) = 5 \left( \frac{1}{s} - \frac{e^{-3s}}{s} \right) \quad (8.1.25)$$

インパルス応答のラプラス変換結果:  $H(s)$  は Maxima の laplace 関数を用いて得られ、

$$H(s) = \frac{2}{s+1} \quad (8.1.26)$$

(8.1.22) 式から、出力のラプラス変換:  $Y(s)$  は、

$$\begin{aligned} Y(s) = H(s) X(s) &= \frac{10 \left( \frac{1}{s} - \frac{e^{-3s}}{s} \right)}{s+1} \\ &= \frac{10}{s^2+s} - \frac{10e^{-3s}}{s(s+1)} \end{aligned} \quad (8.1.27)$$

(8.1.27) 式の右辺第 1 項のラプラス逆変換結果は Maxima の ilt 関数を用いて得られ、

$$y_1(t) = 10 - 10e^{-t}$$

(8.1.27) 式の右辺第2項は  $e^{-3s}$  の項があり、これは (8.1.13) 式から時間を  $t = 3$  ずらすことを示しており、 $e^{-3s}$  を除いた項のラプラス逆変換結果を Maxima の `ilt` 関数を用いて得、 $t = t - 3$  の置き換えを行うと、

$$y_2(t) = 10e^{3-t} - 10$$

以上から、出力  $y(t)$  は、

$$y(t) = (10e^{3-t} - 10)u_3(t) - 10e^{-t} + 10$$

または、

$$y(t) = \begin{cases} 0 & t < 0 \\ 10 - 10e^{-t} & 0 \leq t \leq 3 \\ 10e^{3-t} - 10e^{-t} & t > 3 \end{cases}$$

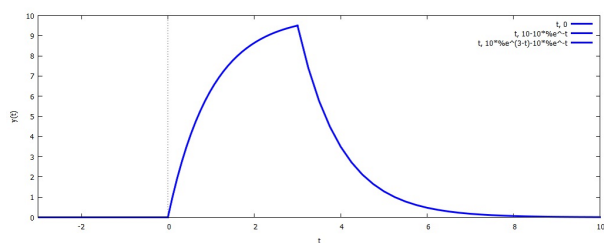


図 8.1.5: インパルス応答の例

8.1.10 周期関数

```
kill(all);
declare(n,integer);
assume(s>0);
assume(n>0);
assume(p>0);
Y1:y(t+p)=y(t);
Y2:y(t+n*p)=y(t);
Y(s)='integrate(%e^(-s*t)*y(t),t,0,inf);
DI1:'integrate(%e^(-s*t)*y(t),t,n*p,(n+1)*p);
Y(s)=sum(DI1,n,0,inf);
T1:t=\tau+n*p;
T2:%-rhs(%);
changevar(DI1,lhs(T2),\tau,t);
%e^(-n*p*s)*'integrate(%e^(-s*\tau)*y(\tau+n*p),\tau,0,p);
subst([\tau=t],%);
DI2:subst([Y2],%);
LU2:Y(s)=sum(DI2,n,0,inf);
LU2, simpsum;
```

関数:  $y(t)$  が  $p$  の周期関数であるとする、下記のように表示できる。

$$y(t + np) = y(t) \quad \text{ここで、} n: \text{整数}$$

$p$  の周期関数:  $y(t)$  のラプラス変換結果:  $Y(s)$  は定義から、

$$Y(s) = \int_0^\infty e^{-st} y(t) dt = \sum_{n=0}^\infty \int_{np}^{(n+1)p} e^{-st} y(t) dt$$

積分の部分をも  $t = \tau + np$  の変数変換を行って、

$$\begin{aligned} Y(s) &= \sum_{n=0}^\infty \int_0^p e^{-s(\tau+np)} y(\tau+np) d\tau \\ &= \sum_{n=0}^\infty e^{-nps} \int_0^p e^{-s\tau} y(\tau+np) d\tau \end{aligned}$$

$\tau \rightarrow t$  の置き換えを行い、 $y(t+np) = y(t)$  であるから下記となり、無限級数和を簡素化すると、

$$\begin{aligned} Y(s) &= \sum_{n=0}^\infty e^{-nps} \int_0^p e^{-st} y(t+np) dt \\ &= \left( \sum_{n=0}^\infty e^{-nps} \right) \int_0^p e^{-st} y(t) dt \quad (8.1.28) \\ &= \frac{1}{1 - e^{-ps}} \int_0^p e^{-st} y(t) dt \end{aligned}$$

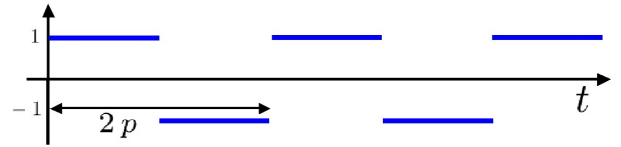


図 8.1.6: 周期:  $2p$  の方形波

```
Y(s)=1/(1-%e^(-2*p*s))*('integrate(%e^(-s*t),t,0,p)+'integrate(-%e^(-s*t),t,p,2*p));
ev(% ,integrate);
factor(%);
```

周期: $2p$  の方形波のラプラス変換結果: $Y(s)$  を (8.1.28) 式から求めると、

$$\begin{aligned} Y(s) &= \frac{\int_0^p e^{-st} dt - \int_p^{2p} e^{-st} dt}{1 - e^{-2ps}} \\ &= \frac{-\frac{2e^{-ps}}{s} + \frac{e^{-2ps}}{s} + \frac{1}{s}}{1 - e^{-2ps}} \\ &= \frac{e^{ps} - 1}{s(e^{ps} + 1)} \end{aligned}$$

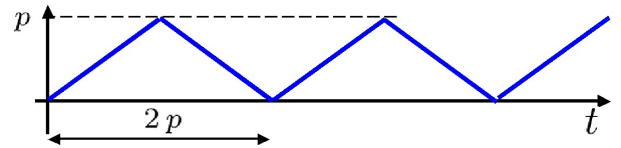


図 8.1.7: 周期:  $2p$  の三角波

```
Y(s)=1/(1-%e^(-2*p*s))*('integrate(%e^(-s*t)*t,t,0,p)+'integrate(%e^(-s*t)*(-t+2*p),t,p,2*p));
ev(% ,integrate);
factor(%);
```

周期: $2p$  の三角波のラプラス変換結果: $Y(s)$  を (8.1.28) 式から求めると、

$$\begin{aligned} Y(s) &= \frac{\int_0^p t e^{-st} dt + \int_p^{2p} (2p-t) e^{-st} dt}{1 - e^{-2ps}} \\ &= \frac{-\frac{(ps+1)e^{-ps}}{s^2} + \frac{(ps-1)e^{-ps}}{s^2} + \frac{e^{-2ps}}{s^2} + \frac{1}{s^2}}{1 - e^{-2ps}} \\ &= \frac{e^{ps} - 1}{s^2(e^{ps} + 1)} \end{aligned}$$

## 8.1.11 変換結果の微分

```
kill(all);
assume(s>0);
LF1:laplace(f(t),t,s)=F(s);
LF2:F(s)='integrate(%e^(-s*t)*f(t),t,0,
  inf);
'diff(lhs(%),s,1)='diff(rhs(%),s,1);
ev(%),diff);
F1:g(t)=-t*f(t);
G(s)=laplace(rhs(F1),t,s);
subst([LF1],%);
'diff(lhs(LF2),s,2)='diff(rhs(LF2),s,2);
ev(%),diff);
F2:g(t)=(-t)^2*f(t);
G(s)=laplace(rhs(F2),t,s);
subst([LF1],%);
```

関数： $f(t)$  のラプラス変換結果： $F(s)$  とすると、定義から、

$$F(s) = \int_0^{\infty} e^{-st} f(t) dt$$

上式を  $s$  で微分すると、

$$\frac{d}{ds} F(s) = \frac{d}{ds} \int_0^{\infty} e^{-st} f(t) dt = - \int_0^{\infty} t e^{-st} f(t) dt$$

上式から、 $-tf(t)$  のラプラス変換結果が、 $f(t)$  のラプラス変換結果： $F(s)$  の微分結果となっている。また、次式と置き、

$$g(t) = -tf(t)$$

上式のラプラス変換結果を Maxima の laplace 関数を用いて求めると、下記となり、上記の結果が成り立っている。

$$G(s) = \mathcal{L}[-tf(t)] = \frac{d}{ds} \text{laplace}(f(t), t, s) = \frac{d}{ds} F(s) \quad (8.1.29)$$

同様にして、二階微分については、下記となる。

$$\frac{d^2}{ds^2} F(s) = \frac{d^2}{ds^2} \int_0^{\infty} e^{-st} f(t) dt = \int_0^{\infty} t^2 e^{-st} f(t) dt$$

また、次式と置き、

$$g(t) = -t^2 f(t)$$

上式のラプラス変換結果を Maxima の laplace 関数を用いて求めると、下記となり、上記の結果が成り立っている。

$$G(s) = \mathcal{L}[-t^2 f(t)] = \frac{d^2}{ds^2} F(s) \quad (8.1.30)$$

## 8.1.12 変換結果の積分

```
kill(all);
assume(s>0);
assume(t>0);
LF1:laplace(f(t),t,s)=F(s);
DLF2:%e^(-s*t)*f(t);
LF2:F(s)='integrate(DLF2,t,0,inf);
G(s)='integrate(lhs(LF2),s,s,inf);
lhs(%)=subst([LF2],rhs(%));
lhs(%)'integrate('integrate(DLF2,s,s,
  inf),t,0,inf);
ev(%),integrate);
F1:g(t)=f(t)/t;
G(s)=laplace(f(t)/t,t,s);
```

関数： $f(t)$  のラプラス変換結果： $F(s)$  とすると、定義から、

$$F(s) = \int_0^{\infty} e^{-st} f(t) dt$$

上式を  $s \rightarrow \infty$  の範囲で積分すると、

$$\begin{aligned} G(s) &= \int_s^{\infty} F(s) ds = \int_s^{\infty} \int_0^{\infty} e^{-st} f(t) dt ds \\ &= \int_0^{\infty} f(t) \int_s^{\infty} e^{-st} ds dt = \int_0^{\infty} \frac{e^{-st} f(t)}{t} dt \end{aligned} \quad (8.1.31)$$

上式から、 $\frac{f(t)}{t}$  のラプラス変換結果が、 $f(t)$  のラプラス変換結果： $F(s)$  の  $s \rightarrow \infty$  の範囲の積分結果となっている。

$$\mathcal{L}\left[\frac{f(t)}{t}\right] = \int_s^{\infty} F(s) ds \quad (8.1.32)$$

## 8.2 微分方程式

### 8.2.1 一階微分方程式

一階微分方程式の「3.2.1 変数分離形」の例題をラプラス変換を用いて解く。

```
kill(all);
assume(x>0);
assume(s>0);
LY1:laplace(y(x),x,s)=Y(s);
DY1:diff(y(x),x,1)+y(x)=e^x;
laplace(lhs(DY1),x,s)=laplace(rhs(DY1),
x,s);
subst([LY1],%);
solve(%,Y(s))[1];
y(x)=ilt(rhs(%),s,x);
ode2(DY1,y(x),x);
```

次式の一階微分方程式をラプラス変換を使って解く。

$$\frac{d}{dx} y(x) + y(x) = e^x$$

両辺を laplace 関数を使って、ラプラス変換すると、

$$sY(s) + Y(s) - y(0) = \frac{1}{s-1}$$

$Y(s)$  を求めると、

$$Y(s) = \frac{y(0)s - y(0) + 1}{s^2 - 1}$$

上式のラプラス逆変換を ilt 関数を使って  $y(t)$  を求めると、

$$y(x) = \frac{e^x}{2} + \frac{(2y(0) - 1)e^{-x}}{2}$$

上記の一階微分方程式を ode2 関数を使って求めると、下記となり、ラプラス変換から求めた結果と一致している。

$$y(x) = e^{-x} \left( \frac{e^{2x}}{2} + \%c \right)$$

```
kill(all);
assume(x>0);
assume(s>0);
LY1:laplace(y(x),x,s)=Y(s);
DY1:diff(y(x),x,1)=x-y(x);
laplace(lhs(DY1),x,s)=laplace(rhs(DY1),
x,s);
subst([LY1],%);
solve(%,Y(s))[1];
y(x)=ilt(rhs(%),s,x);
ode2(DY1,y(x),x);
```

次式の一階微分方程式をラプラス変換を使って解く。

$$\frac{d}{dx} y(x) = x - y(x)$$

両辺を laplace 関数を使って、ラプラス変換すると、

$$sY(s) - y(0) = \frac{1}{s^2} - Y(s)$$

$Y(s)$  を求めると、

$$Y(s) = \frac{y(0)s^2 + 1}{s^3 + s^2}$$

上式のラプラス逆変換を ilt 関数を使って  $y(t)$  を求めると、

$$y(x) = (y(0) + 1)e^{-x} + x - 1$$

上記の一階微分方程式を ode2 関数を使って求めると、下記となり、ラプラス変換から求めた結果と一致している。

$$y(x) = e^{-x} ((x-1)e^x + \%c)$$

## 8.2.2 二階微分方程式

二階微分方程式の「3.3.1 定数係数線形微分方程式」の例題をラプラス変換を用いて解く。

```
kill(all);
assume(t>0);
assume(s>0);
LF1:laplace(f(t),t,s)=F(s);
DF1:diff(f(t),t,2)-diff(f(t),t,1)-6*f(t)=
  3*t^2-5*t+6;
laplace(lhs(DF1),t,s)=laplace(rhs(DF1),
  t,s);
subst([LF1],%);
subst([at('diff(f(t),t,1),t=0)=0,f(0)=0],
  %);
solve(%,F(s))[1];
f(t)=ilt(rhs(%),s,t);
atvalue(f(t),t=0,0);
atvalue(diff(f(t),t,1),t=0,0);
desolve([DF1],[f(t)]);
```

次式の二階微分方程式をラプラス変換を使って解く。境界条件として、 $t=0$  で  $f(t)=0$ ,  $\frac{d}{dt}f(t)=0$  とする。

$$\frac{d^2}{dt^2}f(t) - \frac{d}{dt}f(t) - 6f(t) = 3t^2 - 5t + 6$$

両辺を laplace 関数を使って、ラプラス変換し、境界条件を代入し、 $\mathcal{L}[f(t)] = F(s)$  とすると、

$$s^2 F(s) - sF(s) - 6F(s) = \frac{6}{s} - \frac{5}{s^2} + \frac{6}{s^3}$$

$F(s)$  を求めると、

$$F(s) = \frac{6s^2 - 5s + 6}{s^5 - s^4 - 6s^3}$$

上式のラプラス逆変換を ilt 関数を使って  $f(t)$  を求めると、

$$f(t) = \frac{e^{3t}}{3} + e^{-2t} - \frac{t^2}{2} + t - \frac{4}{3}$$

上記の二階微分方程式を desolve 関数を使って求めると、下記となり、ラプラス変換から求めた結果と一致している。

$$f(t) = \frac{e^{3t}}{3} + e^{-2t} - \frac{t^2}{2} + t - \frac{4}{3}$$

```
kill(all);
assume(t>0);
assume(s>0);
LF1:laplace(f(t),t,s)=F(s);
DF1:diff(f(t),t,2)-2*diff(f(t),t,1)-8*f(t)
  =%e^(2*t);
laplace(lhs(DF1),t,s)=laplace(rhs(DF1),
  t,s);
subst([LF1],%);
subst([at('diff(f(t),t,1),t=0)=0,f(0)=0],
  %);
solve(%,F(s))[1];
f(t)=ilt(rhs(%),s,t);
atvalue(f(t),t=0,0);
atvalue(diff(f(t),t,1),t=0,0);
desolve([DF1],[f(t)]);
```

次式の二階微分方程式をラプラス変換を使って解く。境界条件として、 $t=0$  で  $f(t)=0$ ,  $\frac{d}{dt}f(t)=0$  とする。

$$\frac{d^2}{dt^2}f(t) - 2\left(\frac{d}{dt}f(t)\right) - 8f(t) = e^{2t}$$

両辺を laplace 関数を使って、ラプラス変換し、境界条件を代入し、 $\mathcal{L}[f(t)] = F(s)$  とすると、

$$s^2 F(s) - 2sF(s) - 8F(s) = \frac{1}{s-2}$$

$F(s)$  を求めると、

$$F(s) = \frac{1}{s^3 - 4s^2 - 4s + 16}$$

上式のラプラス逆変換を ilt 関数を使って  $f(t)$  を求めると、

$$f(t) = \frac{e^{4t}}{12} - \frac{e^{2t}}{8} + \frac{e^{-2t}}{24}$$

上記の二階微分方程式を desolve 関数を使って求めると、下記となり、ラプラス変換から求めた結果と一致している。

$$f(t) = \frac{e^{4t}}{12} - \frac{e^{2t}}{8} + \frac{e^{-2t}}{24}$$



```
kill(all);
assume(t>0);
assume(s>0);
LF1:laplace(f(t),t,s)=F(s);
DF1:diff(f(t),t,2)-2*diff(f(t),t,1)+f(t)
=(t^2+1)*%e^(3*t);
laplace(lhs(DF1),t,s)=laplace(rhs(DF1),
t,s);
subst([LF1],%);
subst([at('diff(f(t),t,1),t=0)=0,f(0)=0],
%);
solve(%,F(s))[1];
f(t)=ilt(rhs(%),s,t);
atvalue(f(t),t=0,0);
atvalue(diff(f(t),t,1),t=0,0);
desolve([DF1],[f(t)]);
```

次式の二階微分方程式をラプラス変換を使って解く。  
境界条件として、 $t = 0$  で  $f(t) = 0$ ,  $\frac{d}{dt}f(t) = 0$  とする。

$$\frac{d^2}{dt^2}f(t) - 2\left(\frac{d}{dt}f(t)\right) + f(t) = (t^2 + 1)e^{3t}$$

両辺を laplace 関数を使って、ラプラス変換し、境界条件を代入し、 $\mathcal{L}[f(t)] = F(s)$  とすると、

$$s^2F(s) - 2sF(s) + F(s) = \frac{1}{s-3} + \frac{2}{(s-3)^3}$$

$F(s)$  を求めると、

$$F(s) = \frac{s^2 - 6s + 11}{s^5 - 11s^4 + 46s^3 - 90s^2 + 81s - 27}$$

上式のラプラス逆変換を ilt 関数を使って  $f(t)$  を求めると、

$$f(t) = \frac{t^2 e^{3t}}{4} - \frac{t e^{3t}}{2} + \frac{5 e^{3t}}{8} - \frac{3 t e^t}{4} - \frac{5 e^t}{8}$$

上記の二階微分方程式を desolve 関数を使って求めると、下記となり、ラプラス変換から求めた結果と一致している。

$$f(t) = \frac{t^2 e^{3t}}{4} - \frac{t e^{3t}}{2} + \frac{5 e^{3t}}{8} - \frac{3 t e^t}{4} - \frac{5 e^t}{8}$$

```
kill(all);
assume(t>0);
assume(s>0);
LF1:laplace(f(t),t,s)=F(s);
DF1:diff(f(t),t,2)-4*diff(f(t),t,1)+3*f(t)
=%e^(t)*cos(2*t);
laplace(lhs(DF1),t,s)=laplace(rhs(DF1),
t,s);
subst([LF1],%);
subst([at('diff(f(t),t,1),t=0)=0,f(0)=0],
%);
solve(%,F(s))[1];
f(t)=ilt(rhs(%),s,t);
atvalue(f(t),t=0,0);
atvalue(diff(f(t),t,1),t=0,0);
desolve([DF1],[f(t)]);
```

次式の二階微分方程式をラプラス変換を使って解く。  
境界条件として、 $t = 0$  で  $f(t) = 0$ ,  $\frac{d}{dt}f(t) = 0$  とする。

$$\frac{d^2}{dt^2}f(t) - 4\left(\frac{d}{dt}f(t)\right) + 3f(t) = e^t \cos(2t)$$

両辺を laplace 関数を使って、ラプラス変換し、境界条件を代入し、 $\mathcal{L}[f(t)] = F(s)$  とすると、

$$s^2F(s) - 4sF(s) + 3F(s) = \frac{s-1}{s^2-2s+5}$$

$F(s)$  を求めると、

$$F(s) = \frac{1}{s^3 - 5s^2 + 11s - 15}$$

上式のラプラス逆変換を ilt 関数を使って  $f(t)$  を求めると、

$$f(t) = e^t \left( -\frac{\sin(2t)}{8} - \frac{\cos(2t)}{8} \right) + \frac{e^{3t}}{8}$$

上記の二階微分方程式を desolve 関数を使って求めると、下記となり、ラプラス変換から求めた結果と一致している。

$$f(t) = e^t \left( -\frac{\sin(2t)}{8} - \frac{\cos(2t)}{8} \right) + \frac{e^{3t}}{8}$$

```
kill(all);
assume(t>0);
assume(s>0);
LF1:laplace(f(t),t,s)=F(s);
DF1:diff(f(t),t,2)+f(t)=cos(t);
laplace(lhs(DF1),t,s)=laplace(rhs(DF1),
t,s);
subst([LF1],%);
subst([at('diff(f(t),t,1),t=0)=0,f(0)=0],
%);
solve(%,F(s))[1];
f(t)=ilt(rhs(%),s,t);
atvalue(f(t),t=0,0);
atvalue(diff(f(t),t,1),t=0,0);
desolve([DF1],[f(t)]);
```

次式の二階微分方程式をラプラス変換を使って解く。  
境界条件として、 $t=0$  で  $f(t)=0$ ,  $\frac{d}{dt}f(t)=0$  とする。

$$\frac{d^2}{dt^2} f(t) + f(t) = \cos(t)$$

両辺を laplace 関数を使って、ラプラス変換し、境界条件を代入し、 $\mathcal{L}[f(t)] = F(s)$  とすると、

$$s^2 F(s) + F(s) = \frac{s}{s^2 + 1}$$

$F(s)$  を求めると、

$$F(s) = \frac{s}{s^4 + 2s^2 + 1}$$

上式のラプラス逆変換を ilt 関数を使って  $f(t)$  を求めると、

$$f(t) = \frac{t \sin(t)}{2}$$

上記の二階微分方程式を desolve 関数を使って求めると、下記となり、ラプラス変換から求めた結果と一致している。

$$f(t) = \frac{t \sin(t)}{2}$$

```
kill(all);
assume(t>0);
assume(s>0);
LF1:laplace(f(t),t,s)=F(s);
DF1:diff(f(t),t,2)+4*f(t)=t*sin(t);
laplace(lhs(DF1),t,s)=laplace(rhs(DF1),
t,s);
subst([LF1],%);
subst([at('diff(f(t),t,1),t=0)=0,f(0)=0],
%);
solve(%,F(s))[1];
f(t)=ilt(rhs(%),s,t);
atvalue(f(t),t=0,0);
atvalue(diff(f(t),t,1),t=0,0);
desolve([DF1],[f(t)]);
```

次式の二階微分方程式をラプラス変換を使って解く。  
境界条件として、 $t=0$  で  $f(t)=0$ ,  $\frac{d}{dt}f(t)=0$  とする。

$$\frac{d^2}{dt^2} f(t) + 4f(t) = t \sin(t)$$

両辺を laplace 関数を使って、ラプラス変換し、境界条件を代入し、 $\mathcal{L}[f(t)] = F(s)$  とすると、

$$s^2 F(s) + 4F(s) = \frac{2s}{(s^2 + 1)^2}$$

$F(s)$  を求めると、

$$F(s) = \frac{2s}{s^6 + 6s^4 + 9s^2 + 4}$$

上式のラプラス逆変換を ilt 関数を使って  $f(t)$  を求めると、

$$f(t) = \frac{2 \cos(2t)}{9} + \frac{t \sin(t)}{3} - \frac{2 \cos(t)}{9}$$

上記の二階微分方程式を desolve 関数を使って求めると、下記となり、ラプラス変換から求めた結果と一致している。

$$f(t) = \frac{2 \cos(2t)}{9} + \frac{t \sin(t)}{3} - \frac{2 \cos(t)}{9}$$

## 8.2.3 連立線形微分方程式

「3.3.7 定数係数連立線形微分方程式」の例題をラプラス変換を用いて解く。

```
kill(all);
assume(t>0);
assume(s>0);
LY1:laplace(y(t),t,s)=Y(s);
LZ1:laplace(z(t),t,s)=Z(s);
EQ1:diff(y(t),t,2)+2*diff(y(t),t,1)+3*y(t)
+3*diff(z(t),t,2)+3*diff(z(t),t,1)
+2*z(t)=0;
EQ2:diff(y(t),t,2)+diff(y(t),t,1)+y(t)
+2*diff(z(t),t,2)-diff(z(t),t,1)-2*z(t)
=8;
laplace(lhs(EQ1),t,s)=laplace(rhs(EQ1),
t,s);
subst([at('diff(y(t),t,1),t=0)=0,y(0)=0],
%);
subst([at('diff(z(t),t,1),t=0)=0,z(0)=0],
%);
LEQ1:subst([LY1,LZ1],%);
laplace(lhs(EQ2),t,s)=laplace(rhs(EQ2),
t,s);
subst([at('diff(y(t),t,1),t=0)=0,y(0)=0],
%);
subst([at('diff(z(t),t,1),t=0)=0,z(0)=0],
%);
LEQ2:subst([LY1,LZ1],%);
LEQ:solve([LEQ1,LEQ2],[Y(s),Z(s)])[1];
y(t)=ilt(rhs(LEQ[1]),s,t);
z(t)=ilt(rhs(LEQ[2]),s,t);
atvalue(y(t),t=0,0);
atvalue(z(t),t=0,0);
atvalue(diff(y(t),t,1),t=0,0);
atvalue(diff(z(t),t,1),t=0,0);
desolve([EQ1,EQ2],[y(t),z(t)]);
```

次式の微分方程式をラプラス変換を使って解く。境界条件として、 $t = 0$  で  $y(t) = 0, \frac{d}{dt}y(t) = 0, z(t) = 0, \frac{d}{dt}z(t) = 0$  とする。

$$\begin{aligned} & 3 \left( \frac{d^2}{dt^2} z(t) \right) + 3 \left( \frac{d}{dt} z(t) \right) + \frac{d^2}{dt^2} y(t) \\ & + 2 \left( \frac{d}{dt} y(t) \right) + 2z(t) + 3y(t) = 0 \\ & 2 \left( \frac{d^2}{dt^2} z(t) \right) - \frac{d}{dt} z(t) + \frac{d^2}{dt^2} y(t) + \frac{d}{dt} y(t) \\ & - 2z(t) + y(t) = 8 \end{aligned}$$

両辺を laplace 関数を使って、ラプラス変換し、境界条

件を代入し、 $\mathcal{L}[y(t)] = Y(s), \mathcal{L}[z(t)] = Z(s)$  とすると、

$$\begin{aligned} & 3s^2 Z(s) + 3s Z(s) + 2Z(s) + s^2 Y(s) + 2s Y(s) \\ & + 3Y(s) = 0 \\ & 2s^2 Z(s) - s Z(s) - 2Z(s) + s^2 Y(s) + s Y(s) \\ & + Y(s) = \frac{8}{s} \end{aligned}$$

$Y(s), Z(s)$  を求めると、

$$\begin{aligned} Y(s) &= \frac{24s^2 + 24s + 16}{s^5 + 3s^4 + 6s^3 + 12s^2 + 8s} \\ Z(s) &= -\frac{8s^2 + 16s + 24}{s^5 + 3s^4 + 6s^3 + 12s^2 + 8s} \end{aligned}$$

上式のラプラス逆変換を `ilt` 関数を使って  $y(t), z(t)$  を求めると、

$$\begin{aligned} y(t) &= \frac{12 \sin(2t)}{5} - \frac{14 \cos(2t)}{5} - \frac{16 e^{-t}}{5} \\ & + 4 e^{-2t} + 2 \\ z(t) &= \frac{\sin(2t)}{10} + \frac{13 \cos(2t)}{10} + \frac{16 e^{-t}}{5} \\ & - \frac{3 e^{-2t}}{2} - 3 \end{aligned}$$

上記の微分方程式を `desolve` 関数を使って求めると、下記となり、ラプラス変換から求めた結果と一致している。

$$\begin{aligned} y(t) &= \frac{12 \sin(2t)}{5} - \frac{14 \cos(2t)}{5} - \frac{16 e^{-t}}{5} \\ & + 4 e^{-2t} + 2 \\ z(t) &= \frac{\sin(2t)}{10} + \frac{13 \cos(2t)}{10} + \frac{16 e^{-t}}{5} \\ & - \frac{3 e^{-2t}}{2} - 3 \end{aligned}$$

```

kill(all);
assume(t>0);
assume(s>0);
LX1:laplace(x(t),t,s)=X(s);
LY1:laplace(y(t),t,s)=Y(s);
LZ1:laplace(z(t),t,s)=Z(s);
EQ1:diff(x(t),t,1)-6*y(t)+9*z(t)=0;
EQ2:2*x(t)+diff(y(t),t,1)-3*z(t)=0;
EQ3:x(t)-y(t)+diff(z(t),t,1)=0;
laplace(lhs(EQ1),t,s)=laplace(rhs(EQ1),
t,s);
LEQ1:subst([LX1,LY1,LZ1],%);
laplace(lhs(EQ2),t,s)=laplace(rhs(EQ2),
t,s);
LEQ2:subst([LX1,LY1,LZ1],%);
laplace(lhs(EQ3),t,s)=laplace(rhs(EQ3),
t,s);
LEQ3:subst([LX1,LY1,LZ1],%);
LEQ:solve([LEQ1,LEQ2,LEQ3],[X(s),Y(s),
Z(s)])[1];
x(t)=ilt(rhs(LEQ[1]),s,t);
y(t)=ilt(rhs(LEQ[2]),s,t);
z(t)=ilt(rhs(LEQ[3]),s,t);
desolve([EQ1,EQ2,EQ3],[x(t),y(t),z(t)]);

```

次式の微分方程式をラプラス変換を使って解く。

$$\begin{aligned} \frac{d}{dt}x(t) + 9z(t) - 6y(t) &= 0 \\ \frac{d}{dt}y(t) - 3z(t) + 2x(t) &= 0 \\ \frac{d}{dt}z(t) - y(t) + x(t) &= 0 \end{aligned}$$

両辺を laplace 関数を使って、ラプラス変換し、 $\mathcal{L}[x(t)] = Z(s)$ ,  $\mathcal{L}[y(t)] = Y(s)$ ,  $\mathcal{L}[z(t)] = Z(s)$  とすると、

$$\begin{aligned} 9Z(s) - 6Y(s) + sX(s) - x(0) &= 0 \\ -3Z(s) + sY(s) + 2X(s) - y(0) &= 0 \\ sZ(s) - Y(s) + X(s) - z(0) &= 0 \end{aligned}$$

$X(s), Y(s), Z(s)$  を求めると、

$$\begin{aligned} X(s) &= \frac{x(0)s^2 + (6y(0) - 9z(0))s + 18z(0) - 9y(0) - 3x(0)}{s^3} \\ Y(s) &= \frac{y(0)s^2 + (3z(0) - 2x(0))s + 18z(0) - 9y(0) - 3x(0)}{s^3} \\ Z(s) &= \frac{z(0)s^2 + (y(0) - x(0))s + 12z(0) - 6y(0) - 2x(0)}{s^3} \end{aligned}$$

上式のラプラス逆変換を ilt 関数を使って  $x(t), y(t), z(t)$

を求めると、

$$\begin{aligned} x(t) &= 9z(0)t^2 - \frac{9y(0)t^2}{2} - \frac{3x(0)t^2}{2} - 9z(0)t \\ &\quad + 6y(0)t + x(0) \\ y(t) &= 9z(0)t^2 - \frac{9y(0)t^2}{2} - \frac{3x(0)t^2}{2} + 3z(0)t \\ &\quad - 2x(0)t + y(0) \\ z(t) &= 6z(0)t^2 - 3y(0)t^2 - x(0)t^2 + y(0)t \\ &\quad - x(0)t + z(0) \end{aligned}$$

上記の微分方程式を desolve 関数を使って求めると、下記となり、ラプラス変換から求めた結果と一致している。

$$\begin{aligned} x(t) &= 9z(0)t^2 - \frac{9y(0)t^2}{2} - \frac{3x(0)t^2}{2} - 9z(0)t \\ &\quad + 6y(0)t + x(0) \\ y(t) &= 9z(0)t^2 - \frac{9y(0)t^2}{2} - \frac{3x(0)t^2}{2} + 3z(0)t \\ &\quad - 2x(0)t + y(0) \\ z(t) &= 6z(0)t^2 - 3y(0)t^2 - x(0)t^2 + y(0)t \\ &\quad - x(0)t + z(0) \end{aligned}$$

```

kill(all);
assume(t>0);
assume(s>0);
LY1:laplace(y(t),t,s)=Y(s);
LZ1:laplace(z(t),t,s)=Z(s);
EQ1:diff(y(t),t,2)+y(t)+diff(z(t),t,2)
+diff(z(t),t,1)+z(t)=t;
EQ2:diff(y(t),t,1)+diff(z(t),t,1)+z(t)
=%e^t;
laplace(lhs(EQ1),t,s)=laplace(rhs(EQ1),
t,s);
subst([at('diff(y(t),t,1),t=0)=0,y(0)=0],
%);
subst([at('diff(z(t),t,1),t=0)=0,z(0)=0],
%);
LEQ1:subst([LY1,LZ1],%);
laplace(lhs(EQ2),t,s)=laplace(rhs(EQ2),
t,s);
subst([at('diff(y(t),t,1),t=0)=0,y(0)=0],
%);
subst([at('diff(z(t),t,1),t=0)=0,z(0)=0],
%);
LEQ2:subst([LY1,LZ1],%);
LEQ:solve([LEQ1,LEQ2],[Y(s),Z(s)])[1];
partfrac(rhs(LEQ[1]),s);
y(t)=ilt(%,s,t);
partfrac(rhs(LEQ[2]),s);
z(t)=ilt(%,s,t);
atvalue(y(t),t=0,0);
atvalue(z(t),t=0,0);
atvalue(diff(y(t),t,1),t=0,0);
atvalue(diff(z(t),t,1),t=0,0);
desolve([EQ1,EQ2],[y(t),z(t)]);

```

次式の微分方程式をラプラス変換を使って解く。境界条件として、 $t = 0$  で  $y(t) = 0, \frac{d}{dt}y(t) = 0, z(t) = 0, \frac{d}{dt}z(t) = 0$  とする。

$$\begin{aligned} \frac{d^2}{dt^2}z(t) + \frac{d}{dt}z(t) + \frac{d^2}{dt^2}y(t) + z(t) + y(t) &= t \\ \frac{d}{dt}z(t) + \frac{d}{dt}y(t) + z(t) &= e^t \end{aligned}$$

両辺を laplace 関数を使って、ラプラス変換し、境界条件を代入し、 $\mathcal{L}[y(t)] = Y(s), \mathcal{L}[z(t)] = Z(s)$  とすると、

$$\begin{aligned} s^2 Z(s) + s Z(s) + Z(s) + s^2 Y(s) + Y(s) &= \frac{1}{s^2} \\ s Z(s) + Z(s) + s Y(s) &= \frac{1}{s-1} \end{aligned}$$

$Y(s), Z(s)$  を求め、partfrac 関数を使って部分分数分解をすると、

$$\begin{aligned} Y(s) &= -\frac{s^4 + s^3 + 1}{s^3 - s^2} \\ &= -s + \frac{1}{s} + \frac{1}{s^2} - \frac{3}{s-1} - 2 \\ Z(s) &= \frac{s^3 + 1}{s^2 - s} \\ &= s - \frac{1}{s} + \frac{2}{s-1} + 1 \end{aligned}$$

上式のラプラス逆変換を ilt 関数を使って  $y(t), z(t)$  を求めると下記となる。ilt 関数の形が一部残っている。

$$\begin{aligned} y(t) &= -3e^t + t + \text{ilt}(-s, s, t) + \text{ilt}(-2, s, t) + 1 \\ z(t) &= 2e^t + \text{ilt}(s, s, t) + \text{ilt}(1, s, t) - 1 \end{aligned}$$

上記の微分方程式を desolve 関数を使って求めると下記のように解けなかった。

$$\begin{aligned} y(t) &= \text{ilt}\left(-\frac{g34496^4 + g34496^3 + 1}{g34496^3 - g34496^2}, g34496, t\right) \\ z(t) &= \text{ilt}\left(\frac{g34496^3 + 1}{g34496^2 - g34496}, g34496, t\right) \end{aligned}$$

```

kill(all);
assume(t>0);
assume(s>0);
LY1:laplace(y(t),t,s)=Y(s);
LZ1:laplace(z(t),t,s)=Z(s);
EQ1:diff(y(t),t,2)+diff(y(t),t,1)+y(t)
+diff(z(t),t,2)=t;
EQ2:diff(y(t),t,1)+diff(z(t),t,1)-z(t)=
t^2;
laplace(lhs(EQ1),t,s)=laplace(rhs(EQ1),
t,s);
subst([at('diff(y(t),t,1),t=0)=0,y(0)=0],
%);
subst([at('diff(z(t),t,1),t=0)=0,z(0)=0],
%);
LEQ1:subst([LY1,LZ1],%);
laplace(lhs(EQ2),t,s)=laplace(rhs(EQ2),
t,s);
subst([at('diff(y(t),t,1),t=0)=0,y(0)=0],
%);
subst([at('diff(z(t),t,1),t=0)=0,z(0)=0],
%);
LEQ2:subst([LY1,LZ1],%);
LEQ:solve([LEQ1,LEQ2],[Y(s),Z(s)])[1];
partfrac(rhs(LEQ[1]),s);
y(t)=ilt(%,s,t);
partfrac(rhs(LEQ[2]),s);
z(t)=ilt(%,s,t);
atvalue(y(t),t=0,0);
atvalue(z(t),t=0,0);
atvalue(diff(y(t),t,1),t=0,0);
atvalue(diff(z(t),t,1),t=0,0);
desolve([EQ1,EQ2],[y(t),z(t)]);

```

次式の微分方程式をラプラス変換を使って解く。境界条件として、 $t = 0$  で  $y(t) = 0, \frac{d}{dt}y(t) = 0, z(t) = 0, \frac{d}{dt}z(t) = 0$  とする。

$$\begin{aligned} \frac{d^2}{dt^2}z(t) + \frac{d^2}{dt^2}y(t) + \frac{d}{dt}y(t) + y(t) &= t \\ \frac{d}{dt}z(t) + \frac{d}{dt}y(t) - z(t) &= t^2 \end{aligned}$$

両辺を laplace 関数を使って、ラプラス変換し、境界条件を代入し、 $\mathcal{L}[y(t)] = Y(s), \mathcal{L}[z(t)] = Z(s)$  とすると、

$$\begin{aligned} s^2 Z(s) + s^2 Y(s) + s Y(s) + Y(s) &= \frac{1}{s^2} \\ s Z(s) - Z(s) + s Y(s) &= \frac{2}{s^3} \end{aligned}$$

$Y(s), Z(s)$  を求め、部分分数分解すると、

$$\begin{aligned} Y(s) &= \frac{s+1}{s^2} \\ &= \frac{1}{s} + \frac{1}{s^2} \\ Z(s) &= -\frac{s^2+2s+2}{s^3} \\ &= -\frac{1}{s} - \frac{2}{s^2} - \frac{2}{s^3} \end{aligned}$$

上式のラプラス逆変換を `ilt` 関数を使って  $y(t), z(t)$  を求めると、

$$\begin{aligned} y(t) &= t + 1 \\ z(t) &= -t^2 - 2t - 1 \end{aligned}$$

上記の微分方程式を `desolve` 関数を使って求めると、下記となり、ラプラス変換から求めた結果と一致している。

$$y(t) = t + 1, \quad z(t) = -t^2 - 2t - 1$$

## 8.3 電気回路の応答

電気回路を構成する抵抗： $R$ 、コンデンサ： $C$ 、コイル： $L$ の電圧： $v(t)$ と電流： $i(t)$ の関係式は、

$$\begin{aligned} \text{抵抗} : v(t) &= i(t) R \\ \text{コイル} : v(t) &= \left( \frac{d}{dt} i(t) \right) L \\ \text{コンデンサ} : i(t) &= \left( \frac{d}{dt} v(t) \right) C \end{aligned} \quad (8.3.1)$$

### 8.3.1 RC回路

下図に示すRC回路の過渡応答特性を求める。

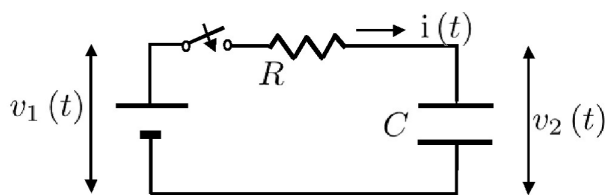


図 8.3.1: RC回路

```
kill(all);
LV1:laplace(v[1](t),t,s)=V1(s);
LV2:laplace(v[2](t),t,s)=V2(s);
EQ1:v[1](t)-v[2](t)=R*i(t);
EQ2:i(t)=C*diff(v[2](t),t,1);
EQ5:subst([EQ2],EQ1);
laplace(lhs(EQ5),t,s)=laplace(rhs(EQ5),
t,s);
subst([LV1,LV2],%);
subst([v[1](0)=0],%);
subst([at(v[2](0)=0)],%);
solve(% ,V2(s))[1];
LV21:factor(%);
subst([R=1,L=1,C=1,V1(s)=1/s],%);
v[2](t)=ilt(rhs(%),s,t);
PL1:rhs(%);
plot2d([parametric,t,PL1,[t,0,10],
[nticks,80]], [x,-3,10], [y,0,1.5],
[xlabel, "t"], [ylabel, "v2(t)"],
[style, [lines,3,1]]);
```

(8.3.1)式から上図のRC回路の入力電圧： $v_1(t)$ 、コンデンサー両端の電圧： $v_2(t)$ 、電流： $i(t)$ の関係式は、

$$v_1(t) - v_2(t) = i(t) R \quad (8.3.2)$$

$$i(t) = \left( \frac{d}{dt} v_2(t) \right) C \quad (8.3.3)$$

(8.3.3)式を(8.3.2)式に代入し、 $i(t)$ を消去すると、

$$v_1(t) - v_2(t) = \left( \frac{d}{dt} v_2(t) \right) C R$$

上式をラプラス変換すると、

$$V1(s) - V2(s) = (s V2(s) - v_2(0)) C R$$

初期条件として、 $v_2(0) = 0$ とすると、

$$V1(s) - V2(s) = s V2(s) C R$$

上式から、 $V2(s)$ を求めると、

$$V2(s) = \frac{V1(s)}{s C R + 1} \quad (8.3.4)$$

上式で、 $R = 1$ 、 $C = 1$ とし、 $v_1(t)$ としてステップ関数とすると、 $V1(s) = 1/s$ となり、

$$V2(s) = \frac{1}{s(s+1)}$$

上式をラプラス逆変換すると、

$$v_2(t) = 1 - e^{-t}$$

上記の結果を図に表すと、

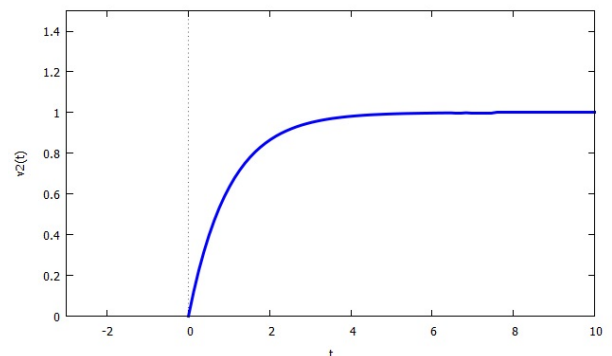


図 8.3.2: RC回路 ステップ応答

```
V1(s)=1/s-1/s*%e^(-3*s);
subst([%],LV21);
subst([R=1,L=1,C=1],%);
LV22:expand(%);
LV23:first(rhs(LV22));
last(rhs(LV22));
LV24:factor(%);
V21:ilt(LV23,s,t);
V22:ilt(LV24/%e^(-3*s),s,t)*u[3](t);
v[2](t)=V21+V22;
PL1:V21;
```

```

PL2:subst([u[3](t)=1,t=t-3],V22);
PL3:PL1+PL2;
plot2d([[parametric,t,PL1,[t,0,3],
[nticks,80]],
[parametric,t,PL3,[t,3,10],[nticks,80]],
[parametric,t,0,[t,-3,0]],
[parametric,t,1,[t,0,3]],
[parametric,t,0,[t,3,10]]],
[x,-3,10],[y,0,1.5],[xlabel,"t"],
[ylabel,"v1(t),v2(t)"],
[style,[lines,3,1],[lines,3,1],
[lines,3,2],[lines,3,2],[lines,3,2]]],
[legend,"v2(t)"," ","v1(t)"," "," "]);

```

$v_1(t)$  として下図に示す矩形波とすると、そのラプラス変換結果は (8.1.25) 式から次式とする。

$$V1(s) = \frac{1}{s} - \frac{e^{-3s}}{s}$$

(8.3.4) 式に上式を代入し、

$$V2(s) = \frac{\frac{1}{s} - \frac{e^{-3s}}{s}}{sCR + 1}$$

$R = 1, C = 1$  とすると、

$$V2(s) = \frac{\frac{1}{s} - \frac{e^{-3s}}{s}}{s^2 + s} = \frac{1}{s^2 + s} - \frac{e^{-3s}}{s(s+1)}$$

上式をラプラス逆変換すると、

$$v_2(t) = (e^{-t} - 1) u_3(t) - e^{-t} + 1$$

上記の結果を図に表すと、

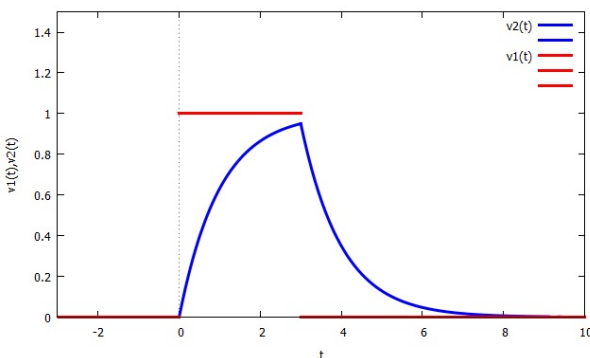


図 8.3.3: RC 回路 矩形波応答

```

V1(s)=1;
subst([%],LV21);
subst([R=1,L=1,C=1],%);
v[2](t)=ilt(rhs(%),s,t);
PL1:rhs(%);
plot2d([parametric,t,PL1,[t,0,10],
[nticks,80]],
[x,-3,10],[y,0,1.5],[xlabel,"t"],
[ylabel,"v2(t)],[style,[lines,3,1]]];

```

$v_1(t)$  としてインパルス応答とすると、そのラプラス変換結果、

$$V1(s) = 1$$

(8.3.4) 式に上式を代入し、

$$V2(s) = \frac{1}{sCR + 1}$$

$R = 1, C = 1$  とすると、

$$V2(s) = \frac{1}{s+1}$$

上式をラプラス逆変換すると、

$$v_2(t) = e^{-t}$$

上記の結果を図に表すと、

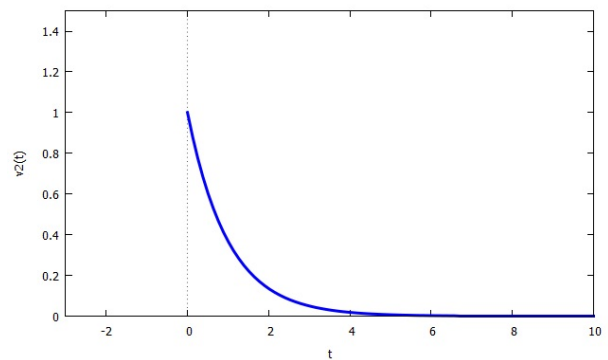


図 8.3.4: RC 回路 インパルス応答



## 8.3.2 RL 回路

下図に示す RL 回路の過渡応答特性を求める。

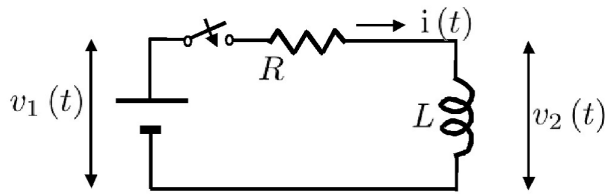


図 8.3.5: RL 回路

```
kill(all);
LV1:laplace(v[1](t),t,s)=V1(s);
LV2:laplace(v[2](t),t,s)=V2(s);
EQ1:v[1](t)-v[2](t)=R*i(t);
EQ4:v[2](t)=L*dif(i(t),t,1);
EQ11:solve(EQ1,i(t))[1];
subst(%,EQ4);
ev(%,diff);
EQ5:expand(%)
laplace(lhs(EQ5),t,s)=laplace(rhs(EQ5),
t,s);
subst([LV1,LV2],%);
subst([v[1](0)=0],%);
subst([v[2](0)=0],%);
solve(%,V2(s))[1];
LV21:factor(%)
subst([R=1,L=1,C=1,V1(s)=1/s],%);
v[2](t)=ilt(rhs(%),s,t);
PL1:rhs(%)
plot2d([parametric,t,PL1,[t,0,10],
[nticks,80]], [x,-3,10], [y,0,1.5],
[xlabel, "t"], [ylabel, "v2(t)"],
[style, [lines,3,1]]);
```

(8.3.1) 式から上図の RL 回路の入力電圧： $v_1(t)$ 、コイル両端の電圧： $v_2(t)$ 、電流： $i(t)$  の関係式は、

$$v_1(t) - v_2(t) = i(t) R \quad (8.3.5)$$

$$v_2(t) = \left( \frac{d}{dt} i(t) \right) L \quad (8.3.6)$$

(8.3.5) 式から、 $i(t)$  を求め、

$$i(t) = -\frac{v_2(t) - v_1(t)}{R}$$

(8.3.6) 式に代入し、展開すると、

$$\begin{aligned} v_2(t) &= L \left( \frac{d}{dt} \left( -\frac{v_2(t) - v_1(t)}{R} \right) \right) \\ &= \frac{\left( \frac{d}{dt} v_1(t) \right) L}{R} - \frac{\left( \frac{d}{dt} v_2(t) \right) L}{R} \end{aligned}$$

上式をラプラス変換すると、

$$V2(s) = \frac{(s V1(s) - v_1(0)) L}{R} - \frac{(s V2(s) - v_2(0)) L}{R}$$

初期条件として、 $v_1(0) = 0$ 、 $v_2(0) = 0$  とすると、

$$V2(s) = \frac{s V1(s) L}{R} - \frac{s V2(s) L}{R}$$

上式から、 $V2(s)$  を求めると、

$$V2(s) = \frac{s V1(s) L}{R + s L}$$

上式で、 $R = 1$ 、 $C = 1$  とし、 $v_1(t)$  としてステップ関数とすると、 $V1(s) = 1/s$  となり、

$$V2(s) = \frac{1}{s + 1}$$

上式をラプラス逆変換すると、

$$v_2(t) = e^{-t}$$

上記の結果を図に表すと、

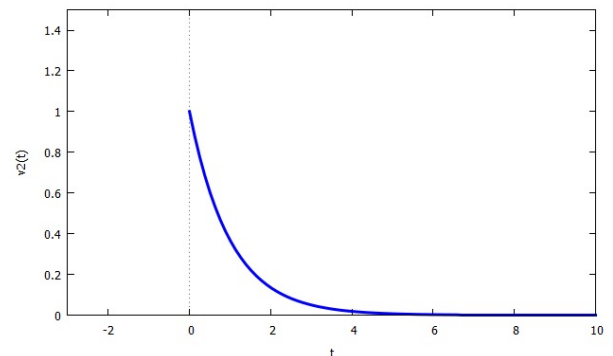


図 8.3.6: RL 回路

## 8.3.3 RCL回路 例1

下図に示す RCL 回路の過渡応答特性を求める。

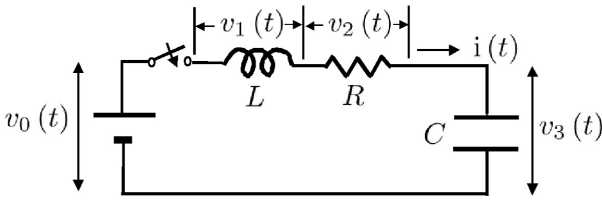


図 8.3.7: RCL 回路 例1

```
kill(all);
LV1:laplace(v[0](t),t,s)=V0(s);
LV2:laplace(v[3](t),t,s)=V3(s);
EQ1:v[2](t)=R*i(t);
EQ2:i(t)=C*diff(v[3](t),t,1);
EQ3:v[0](t)=v[1](t)+v[2](t)+v[3](t);
EQ4:v[1](t)=L*diff(i(t),t,1);
subst([EQ1,EQ4],EQ3);
subst([EQ2],%);
ev(%diff);
EQ5:expand(%);
laplace(lhs(EQ5),t,s)=laplace(rhs(EQ5),
t,s);
subst([LV1,LV2],%);
subst([at('diff(v[3](t),t,1),t=0)=0,
v[3](0)=0],%);
LV21:solve(%V3(s))[1];
subst([R=1,L=1,C=1,V0(s)=1/s],%);
v[3](t)=ilt(rhs(%),s,t);
PL1:rhs(%);
plot2d([parametric,t,PL1,[t,0,10],
[nticks,80],
[x,-3,10],[y,-0.5,1.5],[xlabel,"t"],
[ylabel,"v3(t)],[style,[lines,3,1]]];
```

(8.3.1) 式から上図の回路の入力電圧:  $v_0(t)$ 、コイル両端の電圧:  $v_1(t)$ 、抵抗両端の電圧:  $v_2(t)$ 、コンデンサー両端の電圧:  $v_3(t)$ 、電流:  $i(t)$  の関係式は、

$$v_2(t) = i(t) R \quad (8.3.7)$$

$$i(t) = \left( \frac{d}{dt} v_3(t) \right) C \quad (8.3.8)$$

$$v_0(t) = v_3(t) + v_2(t) + v_1(t) \quad (8.3.9)$$

$$v_1(t) = \left( \frac{d}{dt} i(t) \right) L \quad (8.3.10)$$

(8.3.7) 式と (8.3.10) 式を (8.3.9) 式に代入すると、

$$v_0(t) = i(t) R + \left( \frac{d}{dt} i(t) \right) L + v_3(t)$$

(8.3.8) 式を上式に代入すると、 $v_0(t)$  と  $v_3(t)$  の関係式が得られ、展開すると、

$$v_0(t) = \left( \frac{d}{dt} v_3(t) \right) C R + \left( \frac{d^2}{dt^2} v_3(t) \right) C L + v_3(t)$$

上式のラプラス変換は、

$$V_0(s) = (s V_3(s) - v_3(0)) C R + \left( - \frac{d}{dt} v_3(t) \Big|_{t=0} + s^2 V_3(s) - v_3(0) s \right) C L + V_3(s)$$

初期条件として、 $t=0$  で  $\frac{d}{dt} v_3(t) = 0$ 、 $v_3(t) = 0$  とすると、

$$V_0(s) = s V_3(s) C R + s^2 V_3(s) C L + V_3(s)$$

上式から、 $V_3(s)$  を求めると、

$$V_3(s) = \frac{V_0(s)}{s C R + s^2 C L + 1}$$

上式で、 $R=1$ 、 $C=1$ 、 $L=1$  とし、 $v_0(t)$  としてステップ関数とすると、 $V_0(s) = 1/s$  となり、

$$V_3(s) = \frac{1}{s(s^2 + s + 1)}$$

上式をラプラス逆変換すると、

$$v_3(t) = e^{-\frac{t}{2}} \left( -\frac{\sin\left(\frac{\sqrt{3}t}{2}\right)}{\sqrt{3}} - \cos\left(\frac{\sqrt{3}t}{2}\right) \right) + 1$$

上記の結果を図に表すと、

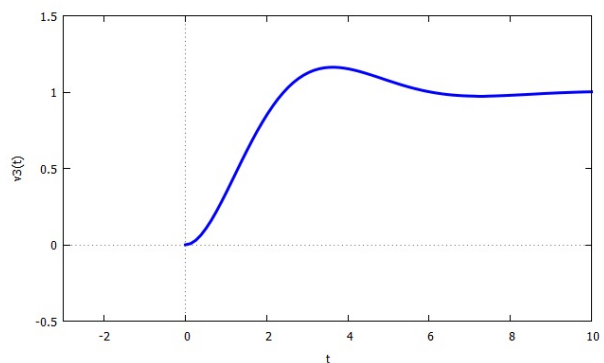


図 8.3.8: RCL 回路 例1

## 8.3.4 RCL回路 例2

下図に示す RCL 回路の過渡応答特性を求める。

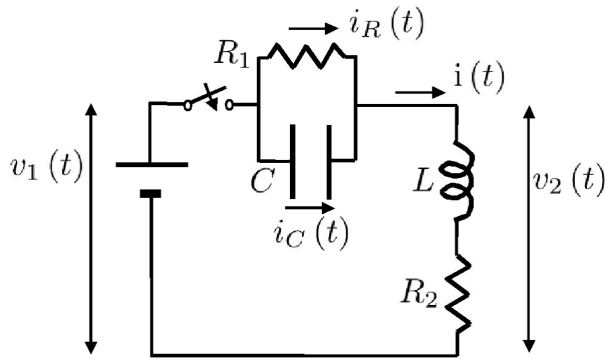


図 8.3.9: RCL 回路 例2

```
kill(all);
LV1:laplace(v[1](t),t,s)=V1(s);
LV2:laplace(v[2](t),t,s)=V2(s);
EQ1:v[1](t)-v[2](t)=R[1]*i[R](t);
EQ2:i[C](t)=C*diff(v[1](t)-v[2](t),t,1);
EQ3:i(t)=i[R](t)+i[C](t);
EQ4:v[2](t)=L*diff(i(t),t,1)+R[2]*i(t);
EQ11:solve(EQ1,i[R](t))[1];
subst([%,EQ2],EQ3);
subst([%],EQ4);
ev(%);
EQ5:expand(%);
laplace(lhs(EQ5),t,s)=laplace(rhs(EQ5),
t,s);
subst([LV1,LV2],%);
subst([at('diff(v[1](t),t,1),t=0)=0,
v[1](0)=0],%);
subst([at('diff(v[2](t),t,1),t=0)=0,
v[2](0)=0],%);
solve(%,V2(s))[1];
LV21:factor(%);
subst([R[1]=1,R[2]=1,L=1,C=1,V1(s)=1/s],
%);
v[2](t)=ilt(rhs(%),s,t);
PL1:rhs(%);
plot2d([parametric,t,PL1,[t,0,10],
[nticks,80]], [x,-3,10], [y,0,1.5],
[xlabel, "t"], [ylabel, "v2(t)"],
[style, [lines,3,1]]);
```

(8.3.1) 式から上図の回路の入力電圧:  $v_1(t)$ 、上図の電圧:  $v_2(t)$ 、電流:  $i(t)$ ,  $i_R(t)$ ,  $i_C(t)$  の関係式は、

$$v_1(t) - v_2(t) = R_1 i_R(t) \quad (8.3.11)$$

$$i_C(t) = \left( \frac{d}{dt} v_1(t) - \frac{d}{dt} v_2(t) \right) C \quad (8.3.12)$$

$$i(t) = i_R(t) + i_C(t) \quad (8.3.13)$$

$$v_2(t) = \left( \frac{d}{dt} i(t) \right) L + R_2 i(t) \quad (8.3.14)$$

(8.3.11) 式から、 $i_R(t)$  を求め、

$$i_R(t) = -\frac{v_2(t) - v_1(t)}{R_1}$$

上式と (8.3.12) 式を (8.3.13) 式に代入すると、

$$i(t) = \left( \frac{d}{dt} v_1(t) - \frac{d}{dt} v_2(t) \right) C - \frac{v_2(t) - v_1(t)}{R_1}$$

上式を (8.3.14) 式に代入すると、 $v_1(t)$  と  $v_2(t)$  の関係式が得られ、展開すると、

$$\begin{aligned} v_2(t) = & -\left( \frac{d^2}{dt^2} v_2(t) \right) C L + \left( \frac{d^2}{dt^2} v_1(t) \right) C L \\ & - \frac{\left( \frac{d}{dt} v_2(t) \right) L}{R_1} + \frac{\left( \frac{d}{dt} v_1(t) \right) L}{R_1} \\ & - R_2 \left( \frac{d}{dt} v_2(t) \right) C + R_2 \left( \frac{d}{dt} v_1(t) \right) C \\ & - \frac{R_2 v_2(t)}{R_1} + \frac{R_2 v_1(t)}{R_1} \end{aligned}$$

上式のラプラス変換は、

$$\begin{aligned} V_2(s) = & -\left( -\frac{d}{dt} v_2(t) \Big|_{t=0} + s^2 V_2(s) - v_2(0) s \right) C L \\ & + \left( -\frac{d}{dt} v_1(t) \Big|_{t=0} + s^2 V_1(s) - v_1(0) s \right) C L \\ & - \frac{(s V_2(s) - v_2(0)) L}{R_1} + \frac{(s V_1(s) - v_1(0)) L}{R_1} \\ & - R_2 (s V_2(s) - v_2(0)) C \\ & + R_2 (s V_1(s) - v_1(0)) C \\ & - \frac{R_2 V_2(s)}{R_1} + \frac{R_2 V_1(s)}{R_1} \end{aligned}$$

初期条件として、 $t = 0$  で  $\frac{d}{dt} v_1(t) = 0$ ,  $\frac{d}{dt} v_2(t) = 0$ ,  $v_1(t) = 0$ ,  $v_2(t) = 0$  とすると、

$$\begin{aligned} V_2(s) = & -s^2 V_2(s) C L + s^2 V_1(s) C L - \frac{s V_2(s) L}{R_1} \\ & + \frac{s V_1(s) L}{R_1} - R_2 s V_2(s) C + R_2 s V_1(s) C \\ & - \frac{R_2 V_2(s)}{R_1} + \frac{R_2 V_1(s)}{R_1} \end{aligned}$$

上式から、 $V_2(s)$  を求めると、

$$V_2(s) = \frac{V_1(s) (R_1 s C + 1) (s L + R_2)}{R_1 s^2 C L + s L + R_1 R_2 s C + R_2 + R_1}$$

上式で、 $R_1 = 1$ ,  $R_2 = 1$ ,  $C = 1$ ,  $L = 1$  とし、 $v_1(t)$  としてステップ関数とすると、 $V_1(s) = 1/s$  となり、

$$V_2(s) = \frac{(s+1)^2}{s(s^2+2s+2)}$$

上式をラプラス逆変換すると、

$$v_2(t) = e^{-t} \left( \frac{\sin(t)}{2} + \frac{\cos(t)}{2} \right) + \frac{1}{2}$$

上記の結果を図に表すと、

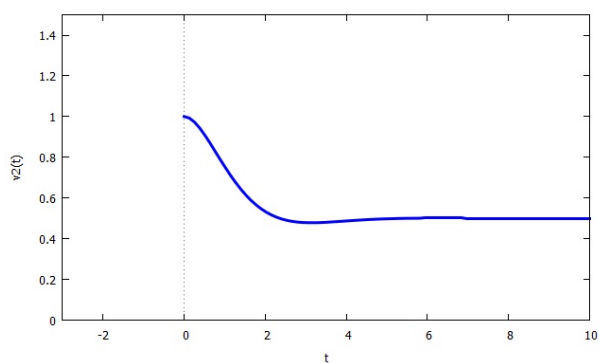


図 8.3.10: RCL 回路 例 2

## 8.4 システム解析

### 8.4.1 一次システム

下記の一階定数係数線形微分方程式を一次システムという。

$$y(t) A + \frac{d}{dt} y(t) = x(t) B$$

```
kill(all);
assume(\omega>0);
assume(K>0);
LY1:laplace(y(t),t,s)=Y(s);
LX1:laplace(x(t),t,s)=X(s);
DF1:diff(y(t),t,1)+A*y(t)=B*x(t);
laplace(lhs(DF1),t,s)=laplace(rhs(DF1),
t,s);
subst([LY1,LX1],%);
subst([y(0)=0],%);
LF2:solve(%,Y(s))[1];
C1:B=A*K;
C2:A=1/T;
YS1:subst([C1,C2],LF2);
subst([X(s)=1/s],%);
LF3:factor(%);
y(t)=ilt(rhs(LF3),s,t);
YT1:factor(%);
PL1:subst([K=2,T=1],rhs(YT1));
plot2d([[parametric,t,PL1,[t,0,10],
[nticks,80]], [parametric,t,2*t,[t,0,1],
[nticks,80]]], [x,-3,10], [y,0,2.5],
[xlabel, "t"], [ylabel, "y(t)"],
[style, [lines,3,1], [lines,3,2]]];
```

上式をラプラス変換すると、

$$Y(s) A + s Y(s) - y(0) = X(s) B$$

初期条件として、 $y(0) = 0$  とすると、

$$Y(s) A + s Y(s) = X(s) B$$

上式から、 $Y(s)$  を求めると、

$$Y(s) = \frac{X(s) B}{A + s}$$

ここで定数： $A, B$  を下記のように置き換える。

$$A = \frac{1}{T}, B = AK$$

$Y(s)$  は、

$$Y(s) = \frac{X(s) K}{\left(\frac{1}{T} + s\right) T} \quad (8.4.1)$$

上式で  $X(s)$  としてステップ関数とすると、 $X(s) = 1/s$  となり、

$$Y(s) = \frac{K}{s \left(\frac{1}{T} + s\right) T} = \frac{K}{s (sT + 1)}$$

上式をラプラス逆変換すると、

$$y(t) = K - K e^{-\frac{t}{T}}$$

上記の結果を  $T = 1, K = 2$  として、図に表すと、下記となる。ここで  $t \rightarrow \infty$  で  $y(t) \rightarrow K$  となる。また、 $y(t)$  の初期： $t = 0$  の勾配は  $t = T$  で  $y(t) = K$  に向かっている。

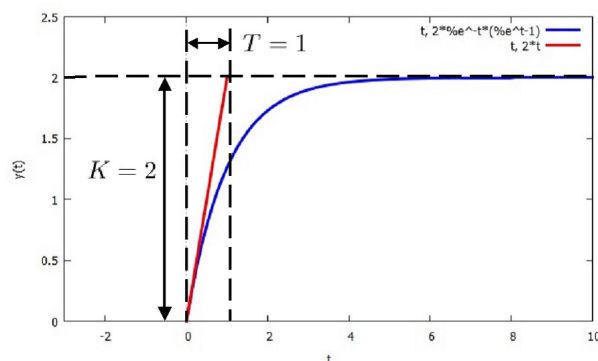


図 8.4.1: 一次システムのステップ応答

```
YS1:Y(s)=P(s)*X(s);
P1:P(s)=N(s)/D(s);
PS1:P(s)=K/(s*T+1);
XT1:x(t)=e^(%i*\omega*t);
XS1:X(s)=laplace(rhs(XT1),t,s);
YS2:subst([XS1],YS1);
YS11:subst([PS1],YS2);
YS12:A[1]/denom(rhs(PS1))+A[2]/(s-i*
\omega);
factor(%);
num(%)=num(rhs(YS11));
N1:expand(%-rhs(%));
N3:coeff(lhs(N1),s,1)=0;
N4:coeff(lhs(N1),s,0)=0;
A123:solve([N3,N4],[A[1],A[2]])[1];
residue(rhs(YS11),s,-1/T)*T;
%-rhs(A123[1]);
residue(rhs(YS11),s,%i*\omega);
%-rhs(A123[2]);
YS13:Y(s)=subst([A123],YS12);
YS14:first(rhs(YS13));
YS15:last(rhs(YS13));
```

```

YT1:y(t)=ilt(YS14,s,t)+ilt(YS15,s,t);
G2:YT11:coeff(rhs(YT1),%e^(%i*\omega*t),
1);
YS21:(s-%i*\omega)*rhs(YS2);
limit(YS21,s,%i*\omega);
subst([s=%i*\omega],P(s));
PI1:subst([s=%i*\omega],rhs(PS1));

```

一次システムの周波数特性について調べる。(8.4.1)式を書き換えて次式とする。

$$Y(s) = P(s) X(s) \quad (8.4.2)$$

ここで、

$$P(s) = \frac{K}{sT+1} \quad (8.4.3)$$

周波数特性を調べるため、入力： $x(t)$ として、複素表示を使用し、周波数： $\omega$ とすると下記となる。

$$x(t) = e^{i\omega t}$$

上式をラプラス変換すると、

$$X(s) = \frac{1}{s-i\omega}$$

上式を(8.4.2)式に代入すると、

$$Y(s) = \frac{P(s)}{s-i\omega} \quad (8.4.4)$$

更に、(8.4.3)式を代入すると、

$$Y(s) = \frac{K}{(s-i\omega)(sT+1)} \quad (8.4.5)$$

上式を部分分数分解し、係数を  $A_1, A_2$  とする。

$$Y(s) = \frac{A_1}{sT+1} + \frac{A_2}{s-i\omega} \quad (8.4.6)$$

上式を整理すると、

$$Y(s) = \frac{A_2 sT + A_1 s - iA_1 \omega + A_2}{(s-i\omega)(sT+1)}$$

上式の分子と(8.4.5)式の分子が等しいとして、

$$A_2 sT + A_1 s - iA_1 \omega + A_2 = K$$

$s$  の同じ次数の両辺の係数が等しいとして、 $A_1, A_2$  を求めると、

$$A_1 = -\frac{KT}{i\omega T+1}, \quad A_2 = \frac{K}{i\omega T+1}$$

$A_1, A_2$  は留数の定義： $\lim_{x \rightarrow a} (x-a)f(x)$  から得られ下記となり、上記と一致している。

$$A_1 = -\frac{KT}{i\omega T+1}, \quad A_2 = \frac{K}{i\omega T+1}$$

上記の  $A_1, A_2$  を(8.4.6)式に代入すると、

$$Y(s) = \frac{K}{(s-i\omega)(i\omega T+1)} - \frac{KT}{(i\omega T+1)(sT+1)}$$

上式をラプラス逆変換すると、

$$y(t) = \frac{e^{i\omega t} K}{i\omega T+1} - \frac{K e^{-\frac{t}{T}}}{i\omega T+1}$$

上式の右辺第2項は  $t \rightarrow 0$  で零に収束し、右辺第1項は定常状態を表している。右辺第1項の  $e^{i\omega t}$  は入力であるから、これ省くと、周波数伝達関数： $G(i\omega)$  が得られ、

$$G(i\omega) = \frac{K}{i\omega T+1} \quad (8.4.7)$$

以上から、 $\frac{A_2}{s-i\omega}$  の係数： $A_2$  が周波数伝達関数： $G(i\omega)$  となる。また、 $A_2$  は留数からも得られるから、(8.4.2)式で定義される  $P(s)$  に  $s \rightarrow i\omega$  を代入することで得られる。

$$G(i\omega) = P(i\omega) = \frac{K}{i\omega T+1} \quad (8.4.8)$$

```

G(\omega)=sqrt(realpart(PI1)^2+
imagpart(PI1)^2);
G1:factor(%);
PH1:PH(\omega)=carg(PI1);
PL1:subst([T=1,K=2,\omega=t],rhs(G1));
PL2:subst([T=1,K=2,\omega=t],rhs(PH1)
*180/%pi);
plot2d(PL1,[t,0.1,100],[logx],
[xlabel,"w"],[ylabel,"Gain"],
[style,[lines,3,1]]);
plot2d(PL2,[t,0.1,100],[logx],
[xlabel,"w"],[ylabel,"Phase"],
[style,[lines,3,1]]);
PL3:subst([T=1,K=2,\omega=t],
realpart(PI1));
PL4:subst([T=1,K=2,\omega=t],
imagpart(PI1));
plot2d([[parametric,PL3,PL4,[t,0,1],
[nticks,10000]],
[parametric,PL3,PL4,[t,1,100],
[nticks,10000]]],[xlabel,"real"],
[ylabel,"imaginary"],
[style,[lines,3,1],[lines,3,2]],
[x,-0.5,2.5],[y,-1.5,0.5],
[legend,"w=0-1","w=1-100"]]);

```

一次システムの周波数応答のゲイン： $G(\omega)$  は次式で得られる。

$$G(\omega) = |P(i\omega)| = \sqrt{\frac{\omega^2 K^2 T^2}{(\omega^2 T^2 + 1)^2} + \frac{K^2}{(\omega^2 T^2 + 1)^2}}$$

$$= \frac{K}{\sqrt{\omega^2 T^2 + 1}}$$

一次システムの周波数応答の位相： $PH(\omega)$  は次式で得られる。

$$PH(\omega) = \arg((P(i\omega)) = \text{atan}(\omega T)$$

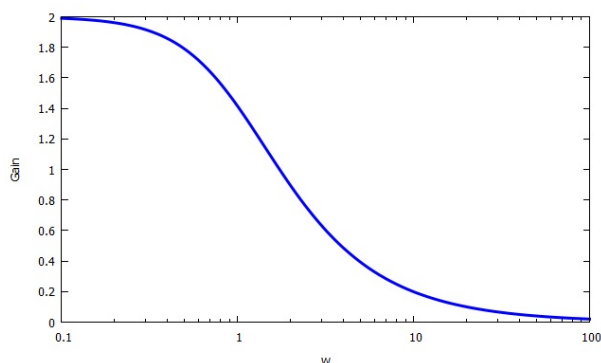


図 8.4.2: 一次システムの周波数応答 ゲイン

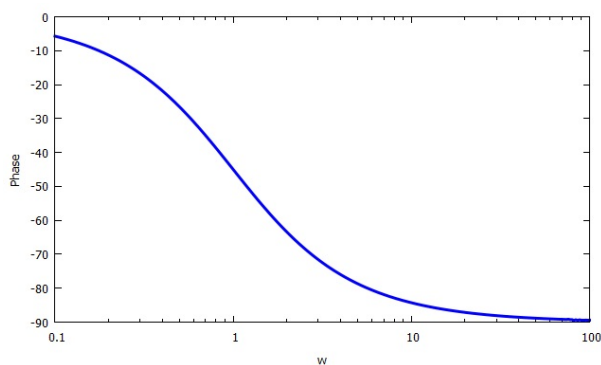


図 8.4.3: 一次システムの周波数応答 位相

周波数伝達関数： $G(i\omega)$  の実部を  $x$  軸に、虚部を  $y$  軸にして表すとベクトル軌跡が得られる。ここでゲインと位相の関係は図中に示すとおりである。

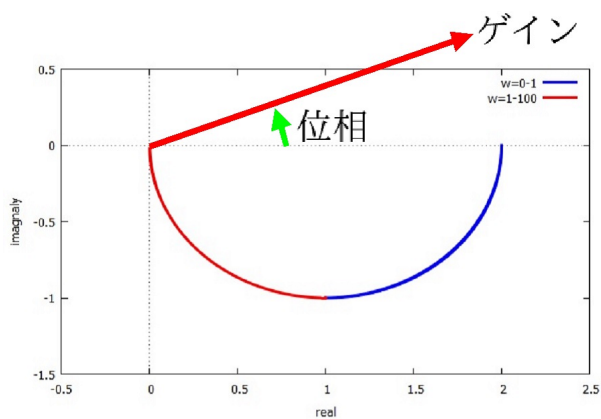


図 8.4.4: 一次システムの周波数応答 ベクトル軌跡

## 8.4.2 二次システム

下記の二階定数係数線形微分方程式を二次システムという。

$$\left(\frac{d}{dt}y(t)\right)R + y(t)A + \frac{d^2}{dt^2}y(t) = x(t)B$$

```
kill(all);
assume(\omega[N]>0);
assume(K>0);
LY1:laplace(y(t),t,s)=Y(s);
LX1:laplace(x(t),t,s)=X(s);
DF1:diff(y(t),t,2)+R*diff(y(t),t,1)+
A*y(t)=B*x(t);
laplace(lhs(DF1),t,s)=laplace(rhs(DF1),
t,s);
subst([LY1,LX1],%);
subst([at('diff(y(t),t,1),t=0)=0,y(0)=0],
%);
LY2:solve(%,Y(s))[1];
C1:B=K*\omega[N]^2;
C2:R=2*C*\omega[N];
C3:A=\omega[N]^2;
subst([C1,C2,C3],LY2);
LY3:factor(%);
LY4:subst([X(s)=1/s],%);
LSE1:solve(denom(rhs(LY3)),s);
assume(C>1);
y(t)=ilt(rhs(LY4),s,t);
YT1:expand(%);
forget(C>1);
assume(0<C and C<1);
y(t)=ilt(rhs(LY4),s,t);
YT2:expand(%);
forget(0<C and C<1);
assume(0>C and C>-1);
y(t)=ilt(rhs(LY4),s,t);
YT3:expand(%);
forget(0>C and C>-1);
assume(C<-1);
y(t)=ilt(rhs(LY4),s,t);
YT4:expand(%);
```

上式をラプラス変換すると、

$$(sY(s) - y(0))R + Y(s)A - \frac{d}{dt}y(t)\Big|_{t=0} + s^2Y(s) - y(0)s = X(s)B$$

初期条件として、 $t=0$ で  $\frac{d}{dt}y(t) = 0, y(t) = 0$  とす

ると、

$$sY(s)R + Y(s)A + s^2Y(s) = X(s)B$$

上式から、 $Y(s)$  を求めると、

$$Y(s) = \frac{X(s)B}{sR + A + s^2}$$

ここで定数： $A, B, R$  を下記のように置き換える。

$$A = \omega_N^2, B = K\omega_N^2, R = 2C\omega_N \text{ ここで, } \omega_N > 0$$

$Y(s)$  は、

$$Y(s) = \frac{X(s)K\omega_N^2}{\omega_N^2 + 2sC\omega_N + s^2} \quad (8.4.9)$$

上式で  $X(s)$  としてステップ関数とすると、 $X(s) = 1/s$  となり、

$$Y(s) = \frac{K\omega_N^2}{s(\omega_N^2 + 2sC\omega_N + s^2)} \quad (8.4.10)$$

上式の分母 = 0 としたときの根：極は、

$$s = -\sqrt{C^2 - 1}\omega_N - C\omega_N, s = \sqrt{C^2 - 1}\omega_N - C\omega_N \quad (8.4.11)$$

(8.4.10) 式のラプラス逆変換を行う。ここで、 $C$  の範囲により解は異なり、安定性も異なる。

$1 < C$  のとき振動しないで安定収束する。

$$y(t) = -\frac{CKe^{-tC\omega_N} \sinh(t\sqrt{C^2 - 1}\omega_N)}{\sqrt{C^2 - 1}} - Ke^{-tC\omega_N} \cosh(t\sqrt{C^2 - 1}\omega_N) + K \quad (8.4.12)$$

$0 < C < 1$  のとき振動しながら安定収束する。

$$y(t) = -\frac{CKe^{-tC\omega_N} \sin(t\sqrt{1 - C^2}\omega_N)}{\sqrt{1 - C^2}} - Ke^{-tC\omega_N} \cos(t\sqrt{1 - C^2}\omega_N) + K \quad (8.4.13)$$

$-1 < C < 0$  のとき振動しながら発散する。

$$y(t) = -\frac{CKe^{-tC\omega_N} \sin(t\sqrt{1 - C^2}\omega_N)}{\sqrt{1 - C^2}} - Ke^{-tC\omega_N} \cos(t\sqrt{1 - C^2}\omega_N) + K \quad (8.4.14)$$

$C < -1$  のとき振動しないで発散する。

$$y(t) = -\frac{CKe^{-tC\omega_N} \sinh(t\sqrt{C^2 - 1}\omega_N)}{\sqrt{C^2 - 1}} - Ke^{-tC\omega_N} \cosh(t\sqrt{C^2 - 1}\omega_N) \quad (8.4.15)$$

L1: [K=1, \omega[N]=1, C=1.1];

L2: [K=1, \omega[N]=1, C=0.2];

L3: [K=1, \omega[N]=1, C=-0.2];



```

L4: [K=1, \omega[N]=1, C=-1.1];
PL1: subst([L1], rhs(YT1));
PL2: subst([L2], rhs(YT2));
PL3: subst([L3], rhs(YT3));
PL4: subst([L4], rhs(YT4));
plot2d([[parametric, t, PL1, [t, 0, 20],
[nticks, 80]],
[parametric, t, PL2, [t, 0, 20], [nticks, 80]]],
[x, -3, 20], [y, 0, 2], [xlabel, "t"],
[ylabel, "y(t)"],
[style, [lines, 3, 1], [lines, 3, 2]],
[legend, "C>1 C=1.1", "0<C<1 C=0.2"]);
plot2d([[parametric, t, PL3, [t, 0, 20],
[nticks, 80]],
[parametric, t, PL4, [t, 0, 20], [nticks, 80]]],
[x, -3, 20], [y, -50, 50], [xlabel, "t"],
[ylabel, "y(t)"],
[style, [lines, 3, 1], [lines, 3, 2]],
[legend, "-1<C<0 C=-0.2", "C<-1 C=-1.1"]
)];

```

(8.4.12) 式から (8.4.15) 式の結果で  $K = 1, \omega_N = 1$  とし、 $C = 1.1, 0.2, -0.2, -1.1$  の安定、不安定の状況を下記に示す。

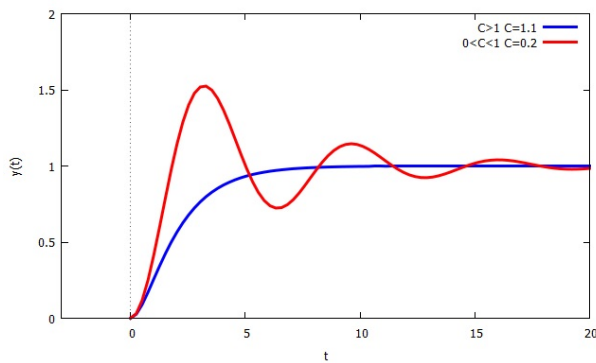


図 8.4.5: 二次システムのステップ応答 安定収束

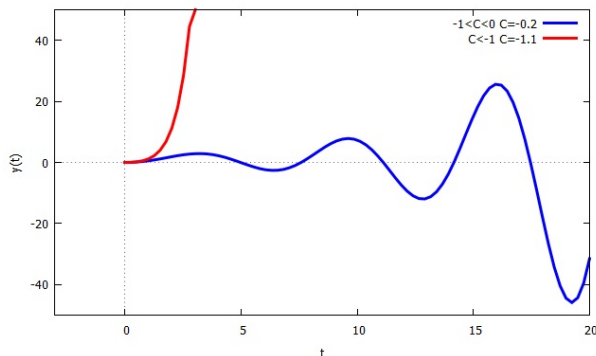


図 8.4.6: 二次システムのステップ応答 発散

```

PT1: subst([L1], LSE1);
PT11: [realpart(rhs(PT1[1])),
imagpart(rhs(PT1[1]))];
PT12: [realpart(rhs(PT1[2])),
imagpart(rhs(PT1[2]))];
PT2: subst([L2], LSE1);
PT21: [realpart(rhs(PT2[1])),
imagpart(rhs(PT2[1]))];
PT22: [realpart(rhs(PT2[2])),
imagpart(rhs(PT2[2]))];
PT3: subst([L3], LSE1);
PT31: [realpart(rhs(PT3[1])),
imagpart(rhs(PT3[1]))];
PT32: [realpart(rhs(PT3[2])),
imagpart(rhs(PT3[2]))];
PT4: subst([L4], LSE1);
PT41: [realpart(rhs(PT4[1])),
imagpart(rhs(PT4[1]))];
PT42: [realpart(rhs(PT4[2])),
imagpart(rhs(PT4[2]))];
plot2d([[discrete, [PT11, PT12]],
[discrete, [PT21, PT22]],
[discrete, [PT31, PT32]],
[discrete, [PT41, PT42]]], [style, points],
[x, -2, 2], [y, -2, 2], [legend, "C>1 C=1.1",
"0<C<1 C=0.2", "-1<C<0 C=-0.2",
"C<-1 C=-1.1"], [xlabel, "real"],
[ylabel, "imaginary"]]);

```

(8.4.11) 式で  $K = 1, \omega_N = 1$  とし、極を求めると、

$$C = 1.1 \text{ の場合 } \begin{aligned} s &= -1.558257569495584, \\ s &= -0.64174243050442 \end{aligned}$$

$$C = 0.2 \text{ の場合 } \begin{aligned} s &= -0.97979589711327i - 0.2, \\ s &= 0.97979589711327i - 0.2 \end{aligned}$$

$$C = -0.2 \text{ の場合 } \begin{aligned} s &= 0.2 - 0.97979589711327i, \\ s &= 0.97979589711327i + 0.2 \end{aligned}$$

$$C = -1.1 \text{ の場合 } \begin{aligned} s &= 0.64174243050442, \\ s &= 1.558257569495584 \end{aligned}$$

上記の結果を図示すると下記となる。極の領域により安定、不安定の状況がわかる。

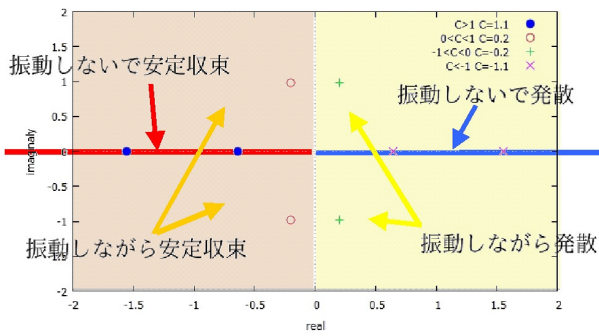
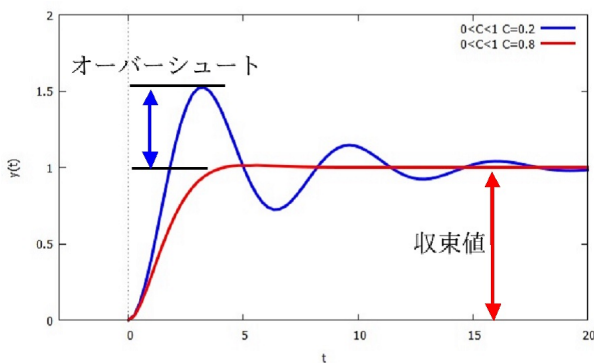


図 8.4.7: 二次システムの極

```
L5: [K=1, \omega[N]=1, C=0.8];
PL5: subst([L5], rhs(YT2));
plot2d([parametric,t,PL2,[t,0,20],
[nticks,80]],
[parametric,t,PL5,[t,0,20],[nticks,80]]],
[x,-3,20],[y,0,2],[xlabel,"t"],
[ylabel,"y(t)"],
[style,[lines,3,1],[lines,3,2]],
[legend,"0<C<1 C=0.2","0<C<1 C=0.8"]];
```

$1 > C > 0$  のとき振動しながら安定収束する (8.4.13) 式で  $C$  を変えた  $C = 0.2$ ,  $C = 0.8$  の比較を下記に示す。

図 8.4.8: 二次システムのステップ応答  $C = 0.2$ ,  $C = 0.8$ 

```
t*sqrt(1-C^2)*\omega[N]=%pi;
TM1:solve(%,t)[1];
t[max]=rhs(TM1);
y[max]=subst([TM1], rhs(YT2));
OS1:OS=(rhs(%) - K)/(K);
subst([OS=0.05], OS1);
log(%);
%^2;
solve(%,C);
float(%);
```

```
C2:%[2];
L6:[K=1, \omega[N]=1];
subst([L6], rhs(YT2));
PL6:subst([C2], %);
plot2d([parametric,t,PL6,[t,0,20],
[nticks,80]], [x,-3,20],[y,0,2],
[xlabel,"t"], [ylabel,"y(t)"],
[style,[lines,3,1]], [legend,"OS 5%"]];
```

上図で  $C$  が小さい場合、大きく振動しながら収束している。また、 $C$  が大きいと立ち上がりが遅く、 $C$  が小さいと立ち上がりが早いことがわかる。最初の振幅の山が収束値をこえた量：オーバーシュートをなるべく小さくし、早い立ち上がりが制御から求められる。(8.4.13) 式から最初の振幅の山が来る時間の関係式は近似的に次式で表すことができる。

$$t \sqrt{1 - C^2} \omega_N = \pi$$

上式から最初の振幅の山が来る時間： $t$  は、

$$t = \frac{\pi}{\sqrt{1 - C^2} \omega_N}$$

上式を (8.4.13) 式に代入すると、近似的な最大振幅は、

$$y_{max} = e^{-\frac{\pi C}{\sqrt{1 - C^2}}} K + K$$

オーバーシュートを収束値で無次元化すると、

$$OS = e^{-\frac{\pi C}{\sqrt{1 - C^2}}}$$

オーバーシュートとして 5% とすると、

$$0.05 = e^{-\frac{\pi C}{\sqrt{1 - C^2}}}$$

上式の  $\log$  をとり、二乗して  $C$  を求め、 $C > 0$  であるから、

$$C = 0.6901067305982$$

上式を (8.4.13) 式に代入し、図示すると、

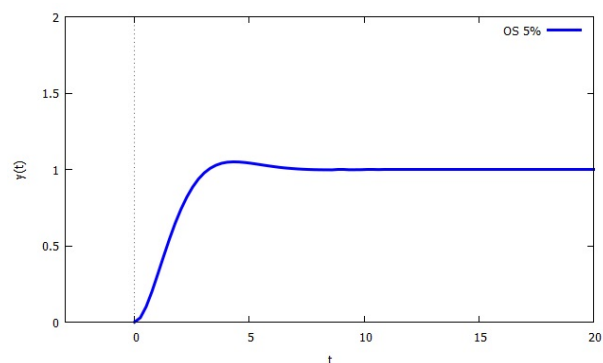


図 8.4.9: 二次システムのステップ応答 OS=5%

```

TS1:K*e^(-t*C*omega[N]);
A=%/K;
log(%);
solve(%,t)[1];
TS2:t[set]=rhs(%);
TS21:subst([A=0.02],TS2);
subst([L2],TS21);
subst([L5],TS21);
subst([L6],TS21);
subst([C2],%);

```

定常状態になるまでの時間の予測は、(8.4.13) 式の下記の減衰項を基に行える。

$$K e^{-t C \omega_N}$$

取束値を用いて無次元化すると、

$$A = e^{-t C \omega_N}$$

上式の log をとり、

$$\log(A) = -t C \omega_N$$

$t$  を求めると、

$$t_{set} = -\frac{\log(A)}{C \omega_N}$$

$A$  として 2% とすると、

$$t_{set} = \frac{3.912023005428146}{C \omega_N}$$

$C = 0.2$  の場合、

$$t_{set} = 19.56011502714073$$

$C = 0.8$  の場合、

$$t_{set} = 4.890028756785182$$

5% オーバーシュートの  $C = 0.69010673055982$  の場合、

$$t_{set} = 5.668721709545816$$

```

PS1:P(s)=rhs(LY3)/X(s);
XT1:x(t)=%e^(%i*omega*t);
XS1:X(s)=laplace(rhs(XT1),t,s);
YS2:subst([XS1],LY3);
YS12:A[1]/(s-rhs(LSE1[1]))+A[2]/(s-
rhs(LSE1[2]))+A[3]/(s-%i*omega);

```

```

YS13:factor(%);
-denom(YS13)=denom(rhs(YS2));
%-rhs(%);
factor(%);
-num(YS13)=num(rhs(YS2));
N1:expand(%-rhs(%));
N2:coeff(lhs(N1),s,2)=0;
N3:coeff(lhs(N1),s,1)=0;
N4:coeff(lhs(N1),s,0)=0;
A123:solve([N2,N3,N4],[A[1],A[2],
A[3]])[1];
residue(rhs(YS2),s,rhs(LSE1[1]));
%-rhs(A123[1]);
factor(%);
residue(rhs(YS2),s,rhs(LSE1[2]));
%-rhs(A123[2]);
factor(%);
residue(rhs(YS2),s,%i*omega);
%-rhs(A123[3]);
PI1:subst([s=%i*omega],rhs(PS1));
G(omega)=sqrt(realpart(PI1)^2
+imagpart(PI1)^2);
G1:factor(%);
PH1:PH(omega)=atan(imagpart(PI1)/
realpart(PI1));
subst([omega[N]=a,omega=omega[0]*a],
rhs(G1));
G2:G(omega[0])=factor(%);
subst([omega[N]=a,omega=omega[0]*a],
rhs(PH1));
PH2:PH(omega[0])=factor(%);
PL1:subst([C=0.2,K=1,omega[0]=t],
rhs(G2));
PL2:subst([C=0.8,K=1,omega[0]=t],
rhs(G2));
PL3:subst([C=0.2,omega[0]=t],rhs(PH2)
*180/%pi);
PL4:subst([C=0.8,omega[0]=t],rhs(PH2)
*180/%pi);
plot2d([PL1,PL2],[t,0.1,100],[logx],
[xlabel,"w"],[ylabel,"Gain"],
[style,[lines,3,1],[lines,3,2]],
[legend,"C=0.2","C=0.8"]);
plot2d([PL3,PL4],[t,0.1,100],[logx],
[xlabel,"w"],[ylabel,"Phase"],
[style,[lines,3,1],[lines,3,2]],
[legend,"C=0.2","C=0.8"],[y,-180,180]);

```

二次システムの周波数特性について調べる。(8.4.9)式から、

$$P(s) = \frac{K \omega_N^2}{\omega_N^2 + 2sC\omega_N + s^2} \quad (8.4.16)$$

周波数特性を調べるため、入力： $x(t)$ として、複素表示を使用し、周波数： $\omega$ とすると下記となる。

$$x(t) = e^{i\omega t}$$

上式をラプラス変換すると、

$$X(s) = \frac{1}{s - i\omega}$$

上式を(8.4.9)式に代入すると、

$$Y(s) = P(s) X(s) = \frac{K \omega_N^2}{(s - i\omega)(\omega_N^2 + 2sC\omega_N + s^2)} \quad (8.4.17)$$

上式を部分分数分解し、係数を  $A_1, A_2, A_3$  とする。

$$Y(s) = \frac{A_1}{\sqrt{C^2 - 1}\omega_N + C\omega_N + s} + \frac{A_2}{-\sqrt{C^2 - 1}\omega_N + C\omega_N + s} + \frac{A_3}{s - i\omega} \quad (8.4.18)$$

上式を整理し、その分子と(8.4.17)式の分子が等しいとして、

$$\begin{aligned} & A_3 \omega_N^2 + A_2 s \sqrt{C^2 - 1} \omega_N - A_1 s \sqrt{C^2 - 1} \omega_N \\ & - i A_2 \omega \sqrt{C^2 - 1} \omega_N + i A_1 \omega \sqrt{C^2 - 1} \omega_N \\ & + 2 A_3 s C \omega_N + A_2 s C \omega_N + A_1 s C \omega_N \\ & - i A_2 \omega C \omega_N - i A_1 \omega C \omega_N + A_3 s^2 + A_2 s^2 \\ & + A_1 s^2 - i A_2 \omega s - i A_1 \omega s = K \omega_N^2 \end{aligned}$$

$s$ の同じ次数の両辺の係数が等しいとして、 $A_1, A_2, A_3$ を求め、 $A_3$ は、

$$A_3 = \frac{K \omega_N^2}{\omega_N^2 + 2i\omega C \omega_N - \omega^2}$$

$A_3$ は、は留数の定義： $\lim_{x \rightarrow a} (x - a) f(x)$ から得られ下記となる。上記と一致している。

$$A_3 = \frac{K \omega_N^2}{\omega_N^2 + 2i\omega C \omega_N - \omega^2}$$

(8.4.18)式から  $A_1, A_2$ の項は過渡応答を表しており、 $A_3$ の項は定常状態の周波数応答を表している。以上から、周波数伝達関数： $G(i\omega)$ は上式や  $P(s)$ に  $s \rightarrow i\omega$ を代入することで得られる。

$$G(i\omega) = P(i\omega) = \frac{K \omega_N^2}{\omega_N^2 + 2i\omega C \omega_N - \omega^2} \quad (8.4.19)$$

二次システムの周波数応答のゲイン： $G(\omega)$ は次式で得られる。

$$G(\omega) = |P(i\omega)| = \frac{K \omega_N^2}{\sqrt{\omega_N^4 + (4\omega^2 C^2 - 2\omega^2) \omega_N^2 + \omega^4}}$$

二次システムの周波数応答の位相： $PH(\omega)$ は次式で得られる。

$$PH(\omega) = \arg(P(i\omega)) = -\text{atan} \left( \frac{2\omega C \omega_N}{\omega_N^2 - \omega^2} \right)$$

$\omega_0 = \frac{\omega}{\omega_N}$ の置き換えを行い、二次システムの周波数応答のゲイン、位相は、

$$G(\omega_0) = \frac{K}{\sqrt{4\omega_0^2 C^2 + \omega_0^4 - 2\omega_0^2 + 1}}$$

$$PH(\omega_0) = \text{atan} \left( \frac{2\omega_0 C}{\omega_0^2 - 1} \right)$$

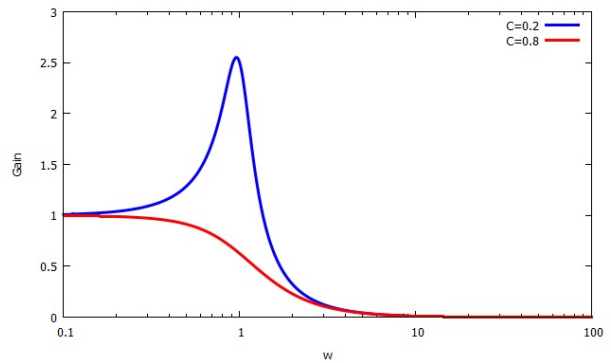


図 8.4.10: 二次システムの周波数応答 ゲイン

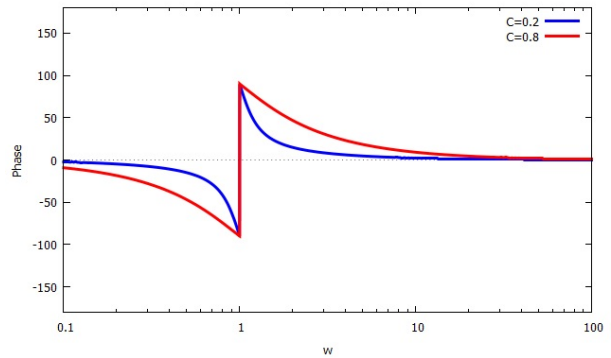


図 8.4.11: 二次システムの周波数応答 位相

```

PL5:subst([\omega[N]=1,K=1,C=0.2,
\omega=t],realpart(PI1));
PL6:subst([\omega[N]=1,K=1,C=0.2,
\omega=t],imagpart(PI1));
PL7:subst([\omega[N]=1,K=1,C=0.8,
\omega=t],realpart(PI1));
PL8:subst([\omega[N]=1,K=1,C=0.8,
\omega=t],imagpart(PI1));
plot2d([[parametric,PL5,PL6,[t,0,1],
[nticks,10000]],
[parametric,PL5,PL6,[t,1,100],
[nticks,10000]],
[parametric,PL7,PL8,[t,0,1],
[nticks,10000]],
[parametric,PL7,PL8,[t,1,100],
[nticks,10000]]],[xlabel,"real" ],
[ylabel,"imaginaly"],
[style,[lines,3,1],[lines,3,2],
[lines,3,3],[lines,3,4]],
[legend,"C=0.2 w=0-1",
"C=0.2 w=1-100","C=0.8 w=0-1",
"C=0.8 w=1-100"],[y,-3,1]);

```

周波数伝達関数： $G(i\omega)$  の実部を  $x$  軸に、虚部を  $y$  軸にして表すと下図のベクトル軌跡が得られる。

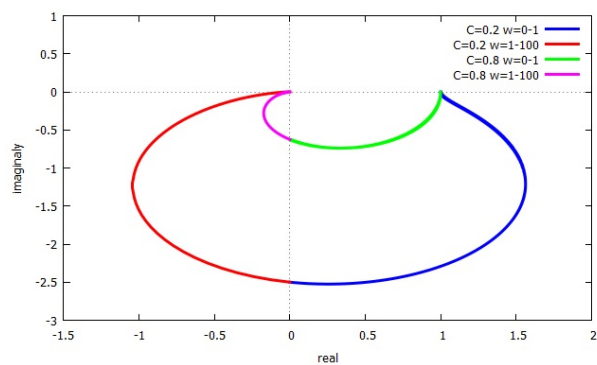


図 8.4.12: 二次システムの周波数応答 ベクトル軌跡

### 8.4.3 一次フィードバック制御

フィードバック制御は下図のようなフィードバックシステムで、ラプラス変換された制御対象： $P(s)$  に制御器： $K(s)$  を加え、制御入力： $X(s)$  に出力信号： $Y(s)$  を考慮したシステムである。

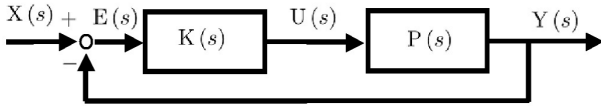


図 8.4.13: フィードバック制御系

```
kill(all);
EQ1:E(s)=X(s)-Y(s);
EQ2:U(s)=E(s)*K(s);
EQ3:Y(s)=P(s)*U(s);
solve([EQ1,EQ2,EQ3],[E(s),U(s),Y(s)]);
YS1:%[1][3];
P1:P(s)=1/(s-1);
subst([K(s)=K1,P1],YS1);
YS2:factor(%);
subst([X(s)=1/s],%);
YT2:y(t)=ilt(rhs(%),s,t);
PL1:subst([K1=3],rhs(YT2));
PL2:subst([K1=3/4],rhs(YT2));
plot2d([PL1,PL2],[t,0,10],
[x,-3,10],[y,0,2],[xlabel,"t"],
[ylabel,"f(t)"],
[style,[lines,3,1],[lines,3,2]],
[legend,"K(s)=3","K(s)=3/4"]];
```

上記システムの関係式は、

$$E(s) = X(s) - Y(s)$$

$$U(s) = E(s) K(s)$$

$$Y(s) = P(s) U(s)$$

上式から閉ループシステムの  $Y(s)$  を求めると、

$$Y(s) = \frac{K(s) P(s) X(s)}{K(s) P(s) + 1} \quad (8.4.20)$$

制御対象： $P(s)$  として下記の一次システムとする。

$$P(s) = \frac{1}{s-1}$$

制御器： $K(s)$  として下記の定数とすると、

$$K(s) = K1$$

上式から (8.4.20) 式は、

$$Y(s) = \frac{X(s) K1}{K1 + s - 1} \quad (8.4.21)$$

制御入力としてステップ関数とし、 $X(s) = 1/s$  として上式は、

$$Y(s) = \frac{K1}{s(K1 + s - 1)}$$

上式をラプラス逆変換すると出力結果は、

$$y(t) = \frac{K1}{K1-1} - \frac{K1 e^{-t(K1-1)}}{K1-1}$$

上式から  $K1 > 1$  のとき安定、 $K1 < 1$  のとき不安定となる。 $K1 = 3$ ,  $K1 = 3/4$  の場合の出力結果を以下に示す。

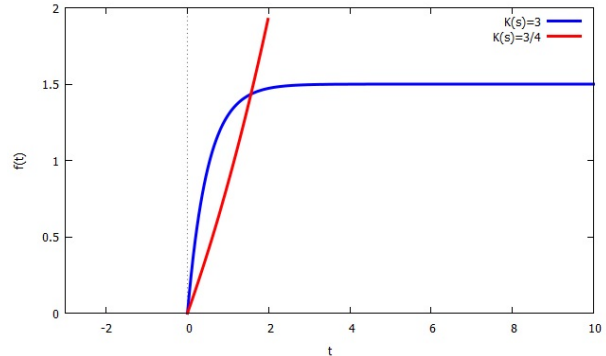


図 8.4.14: 一次フィードバック制御による出力

```
rhs(YS2)/X(s);
P11:subst([s=i*omega],%);
PL3:subst([K1=3,\omega=t],realpart(P11));
PL4:subst([K1=3,\omega=t],imagpart(P11));
PL5:subst([K1=3/4,\omega=t],realpart(P11));
PL6:subst([K1=3/4,\omega=t],imagpart(P11));
plot2d([[parametric,PL3,PL4,[t,0,1],
[nticks,1000]],
[parametric,PL3,PL4,[t,1,100],
[nticks,1000]],
[parametric,PL5,PL6,[t,0,1],
[nticks,100000]],
[parametric,PL5,PL6,[t,1,100],
[nticks,100000]]],[xlabel,"real",
[ylabel,"imagnaly"],[x,-4,2],[y,-2,2],
[style,[lines,3,1],[lines,3,2],
[lines,3,3],[lines,3,4]],
[legend,"K(s)=3 w=0-1",
"K(s)=3 w=1-100","K(s)=3/4 w=0-1",
"K(s)=3/4 w=1-100"]];
```

閉ループシステムの周波数伝達関数： $G(i\omega)$  は (8.4.21) 式から、

$$G(i\omega) = \frac{K1}{K1 + i\omega - 1}$$

上式を基に  $K1 = 3$ ,  $K1 = 3/4$  の場合の閉ループシステムのベクトル軌跡を描くと下図となる。

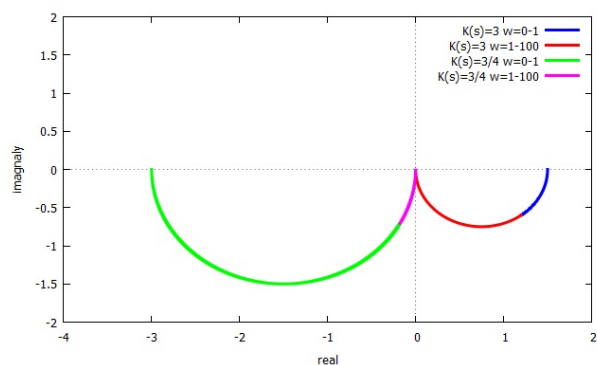


図 8.4.15: 一次フィードバック制御 ベクトル軌跡

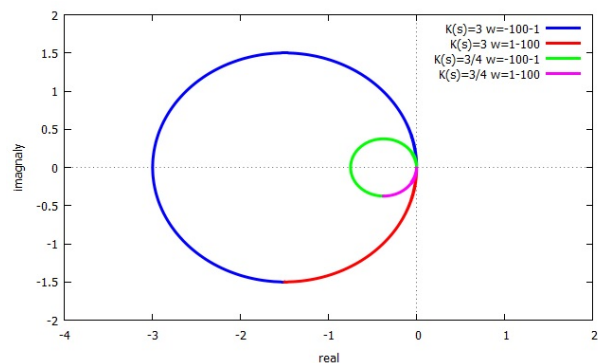


図 8.4.16: 一次フィードバック制御 ナイキスト線図

```
P2:K1*P1;
P21:subst([s=%i*\omega],rhs(%));
PL7:subst([K1=3,\omega=t],realpart(P21));
PL8:subst([K1=3,\omega=t],imagpart(P21));
PL9:subst([K1=3/4,\omega=t],realpart(P21));
PLA:subst([K1=3/4,\omega=t],imagpart(P21));
plot2d([[parametric,PL7,PL8,[t,-100,1],
[nticks,10000]],
[parametric,PL7,PL8,[t,1,100],
[nticks,10000]],
[parametric,PL9,PLA,[t,-100,1],
[nticks,10000]],
[parametric,PL9,PLA,[t,1,100],
[nticks,10000]]],[xlabel,"real"],
[ylabel,"imaginary"],[x,-4,2],[y,-2,2],
[style,[lines,3,1],[lines,3,2],
[lines,3,3],[lines,3,4]],
[legend,"K(s)=3 w=-100-1",
"K(s)=3 w=1-100","K(s)=3/4 w=-100-1",
"K(s)=3/4 w=1-100"]);
```

開ループの伝達関数は、

$$P(s)K(s) = \frac{K1}{s-1}$$

上式に  $s = i\omega$  を代入し、

$$P(i\omega)K(i\omega) = \frac{K1}{i\omega-1}$$

上式を基に  $K1 = 3$ ,  $K1 = 3/4$  の場合のナイキスト線図を描くと下図となる。ナイキストの安定判別として、 $\omega$  が増加する向きにたどって、点  $(-1, 0)$  を左側に見れば安定、右側に見れば不安定であり、下記の線図から  $K1 = 3$  は安定、 $K1 = 3/4$  は不安定である。

## 8.4.4 二次フィードバック制御

図8.4.13に示すフィードバック制御でラプラス変換された制御対象： $P(s)$ が二次システムの場合について検討する。ここでラプラス変換された制御器： $K(s)$ 、制御入力： $X(s)$ 、出力信号： $Y(s)$ とする。

```
kill(all);
EQ1:E(s)=X(s)-Y(s);
EQ2:U(s)=E(s)*K(s);
EQ3:Y(s)=P(s)*U(s);
solve([EQ1,EQ2,EQ3],[E(s),U(s),Y(s)]);
YS1:%[1][3];
P1:P(s)=-s-1/(s+2)/(s+6);
subst([K(s)=K1,P1],YS1);
YS2:factor(%);
P10:rhs(YS2)/X(s);
denom(P10);
PS1:solve(% ,s);
K1^2-20*K1+16;
solve(% ,K1);
K2:float(%);
```

制御対象： $P(s)$ として次式の二次システムとする。

$$P(s) = \frac{1-s}{(s+2)(s+6)}$$

制御器： $K(s)$ として下記の定数とすと、

$$K(s) = K1$$

上式から(8.4.20)式は、

$$Y(s) = \frac{(s-1)X(s)K1}{sK1 - K1 - s^2 - 8s - 12} \quad (8.4.22)$$

上式の極は、

$$s = -\frac{\sqrt{K1^2 - 20K1 + 16} - K1 + 8}{2},$$

$$s = \frac{\sqrt{K1^2 - 20K1 + 16} + K1 - 8}{2}$$

上式の平方根の中の項について下記とし、

$$K1^2 - 20K1 + 16 = 0$$

上式から  $K1$  を求めると、

$$K1 = 0.83484861008832, K1 = 19.16515138991168$$

以上から、 $K1 < 0.83$ で振動しないで安定収束、 $0.83 < K1 < 8$ で振動しながら安定収束、 $8 < K1 < 19.2$ で振動しながら発散、 $19.2 < K1$ で振動しないで発散することがわかる。

```
K31:[K1=0.5];
K32:[K1=5];
K33:[K1=12];
K34:[K1=21];
YS3:subst([X(s)=1/s],YS2);
subst([K31],rhs(YS3));
y(t)=ilt(% ,s,t);
PLT1:rhs(%);
subst([K32],rhs(YS3));
y(t)=ilt(% ,s,t);
PLT2:rhs(%);
subst([K33],rhs(YS3));
y(t)=ilt(% ,s,t);
PLT3:rhs(%);
subst([K34],rhs(YS3));
y(t)=ilt(% ,s,t);
PLT4:rhs(%);
plot2d(PLT1,[t,0,5],
[x,-1,5],[xlabel,"t"],[ylabel,"f(t)"],
[style,[lines,3,1]],[legend,"K1=0.5"]);
plot2d(PLT2,[t,0,5],
[x,-1,5],[xlabel,"t"],[ylabel,"f(t)"],
[style,[lines,3,1]],[legend,"K(s)=5"]);
plot2d(PLT3,[t,0,5],
[x,-1,5],[xlabel,"t"],[ylabel,"f(t)"],
[style,[lines,3,1]],[legend,"K(s)=12"]);
plot2d(PLT4,[t,0,5],
[x,-1,5],[xlabel,"t"],[ylabel,"f(t)"],
[style,[lines,3,1]],[legend,"K(s)=21"]);
```

上記の結果から  $K1 = 0.5, 5, 12, 21$  について検討する。制御入力としてステップ関数とし、 $X(s) = 1/s$  とすると、(8.4.22)式は、

$$Y(s) = \frac{(s-1)K1}{s(sK1 - K1 - s^2 - 8s - 12)}$$

上式に  $K1$  を与えてラプラス逆変換すると、 $K1 = 0.5$  の場合は振動しないで安定収束、

$$y(t) = -\frac{7e^{-\frac{5}{2}t}}{25} + \frac{6e^{-5t}}{25} + \frac{1}{25}$$

$K1 = 5$  の場合は振動しながら安定収束、

$$y(t) = e^{-\frac{3}{2}t} \left( -\frac{185 \sin\left(\frac{\sqrt{59}t}{2}\right)}{17\sqrt{59}} - \frac{5 \cos\left(\frac{\sqrt{59}t}{2}\right)}{17} \right) + \frac{5}{17}$$

$K1 = 12$  の場合は振動しながら発散、

$$y(t) = e^{2t} \left( -\frac{11 \sin(2\sqrt{5}t)}{2\sqrt{5}} - \frac{\cos(2\sqrt{5}t)}{2} \right) + \frac{1}{2}$$



$K1 = 21$  の場合は振動しないで発散、

$$y(t) = e^{\frac{13t}{2}} \left( -\frac{371 \sinh\left(\frac{\sqrt{37}t}{2}\right)}{11\sqrt{37}} - \frac{7 \cosh\left(\frac{\sqrt{37}t}{2}\right)}{11} \right) + \frac{7}{11}$$

上記の結果を図示すると、

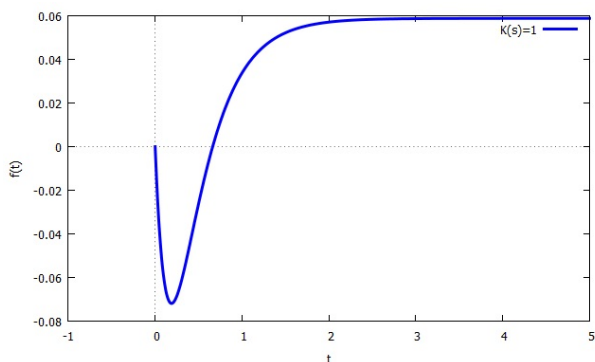


図 8.4.17: 二次フィードバック制御による出力  $K1 = 0.5$

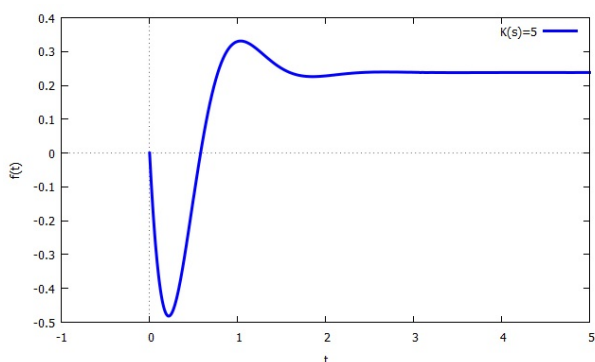


図 8.4.18: 二次フィードバック制御による出力  $K1 = 5$

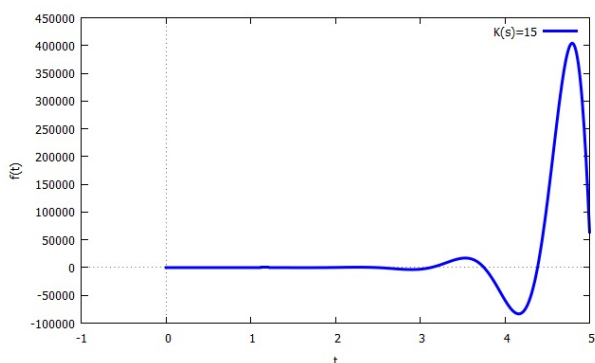


図 8.4.19: 二次フィードバック制御による出力  $K1 = 12$

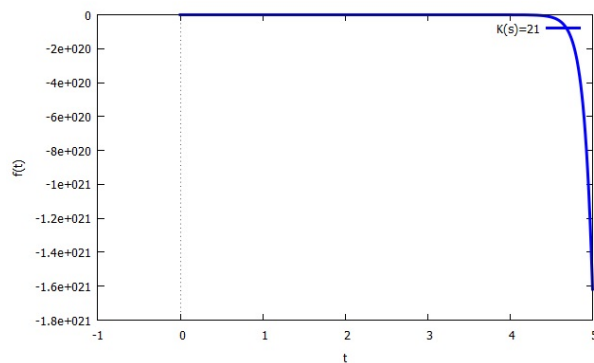


図 8.4.20: 二次フィードバック制御による出力  $K1 = 21$

```
PT1:subst([K31],PS1);
PT11:[realpart(rhs(PT1[1])),
      imagpart(rhs(PT1[1]))];
PT12:[realpart(rhs(PT1[2])),
      imagpart(rhs(PT1[2]))];
PT2:subst([K32],PS1);
PT21:[realpart(rhs(PT2[1])),
      imagpart(rhs(PT2[1]))];
PT22:[realpart(rhs(PT2[2])),
      imagpart(rhs(PT2[2]))];
PT3:subst([K33],PS1);
PT31:[realpart(rhs(PT3[1])),
      imagpart(rhs(PT3[1]))];
PT32:[realpart(rhs(PT3[2])),
      imagpart(rhs(PT3[2]))];
PT4:subst([K34],PS1);
PT41:[realpart(rhs(PT4[1])),
      imagpart(rhs(PT4[1]))];
PT42:[realpart(rhs(PT4[2])),
      imagpart(rhs(PT4[2]))];
plot2d([[discrete, [PT11,PT12]],
        [discrete, [PT21,PT22]],
        [discrete, [PT31,PT32]],
        [discrete, [PT41,PT42]]],[style, points],
        [legend, "K1=0.5", "K1=5", "K1=12",
                 "K1=21"],[xlabel, "real"],
        [ylabel, "imaginary"]];
```

(8.4.22) 式の極を求めると、

$K1 = 0.5$  の場合  $s = -5.0, s = -2.5$

$K1 = 5$  の場合  $s = -\frac{\sqrt{59}i + 3}{2}, s = \frac{\sqrt{59}i - 3}{2}$

$K1 = 12$  の場合  $s = -\frac{4\sqrt{5}i - 4}{2}, s = \frac{4\sqrt{5}i + 4}{2}$

$K1 = 21$  の場合  $s = -\frac{\sqrt{37}-13}{2}, s = \frac{\sqrt{37}+13}{2}$

上記の結果を図示すると、

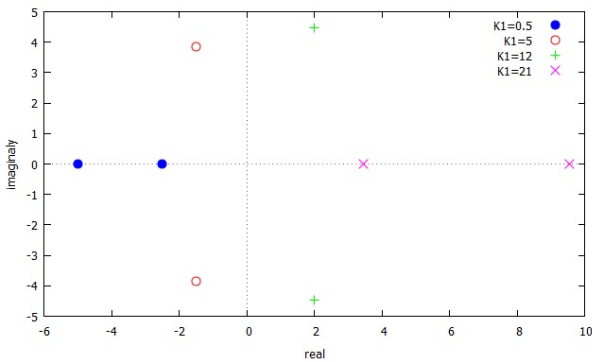


図 8.4.21: 二次フィードバック制御による極

```
P10:rhs(YS2)/X(s);
P11:subst([s=%i*t],P10);
PLV1:subst([K31],P11);
PLV11:realpart(PLV1);
PLV12:imagpart(PLV1);
PLV1:subst([K32],P11);
PLV21:realpart(PLV1);
PLV22:imagpart(PLV1);
PLV1:subst([K33],P11);
PLV31:realpart(PLV1);
PLV32:imagpart(PLV1);
PLV1:subst([K34],P11);
PLV41:realpart(PLV1);
PLV42:imagpart(PLV1);
plot2d([[parametric,PLV11,PLV12,[t,0,1],
[nticks,10000]],
[parametric,PLV11,PLV12,[t,1,1000],
[nticks,10000]]],[xlabel,"real",
[ylabel,"imaginary"],
[style,[lines,3,1],[lines,3,2]],
[legend,"K(s)=0.5 w=0-1",
"K(s)=0.5 w=1-1000"]);
plot2d([[parametric,PLV21,PLV22,[t,0,3],
[nticks,10000]],
[parametric,PLV21,PLV22,[t,3,100],
[nticks,10000]],
[parametric,PLV31,PLV32,[t,0,3],
[nticks,10000]],
[parametric,PLV31,PLV32,[t,3,100],
[nticks,10000]]],
```

```
[parametric,PLV41,PLV42,[t,0,3],
[nticks,10000]],
[parametric,PLV41,PLV42,[t,3,100],
[nticks,10000]]],[xlabel,"real",
[ylabel,"imaginary"],[x,-2,5],[y,-2,2],
[style,[lines,3,1],[lines,3,2],
[lines,3,3],
[lines,3,4],[lines,3,5],[lines,3,6]],
[legend,"K(s)=5 w=0-3","K(s)=5 w=3-100",
"K(s)=12 w=0-3","K(s)=12 w=3-100",
"K(s)=21 w=0-3","K(s)=21 w=3-100"]];
```

閉ループシステムの周波数伝達関数:  $G(i\omega)$  は (8.4.22) 式から、

$$G(i\omega) = \frac{(i\omega - 1) K1}{i\omega K1 - K1 + \omega^2 - 8i\omega - 12}$$

上式を基に  $K1 = 0.5, 5, 12, 21$  の場合の閉ループシステムのベクトル軌跡を描くと下図となる。

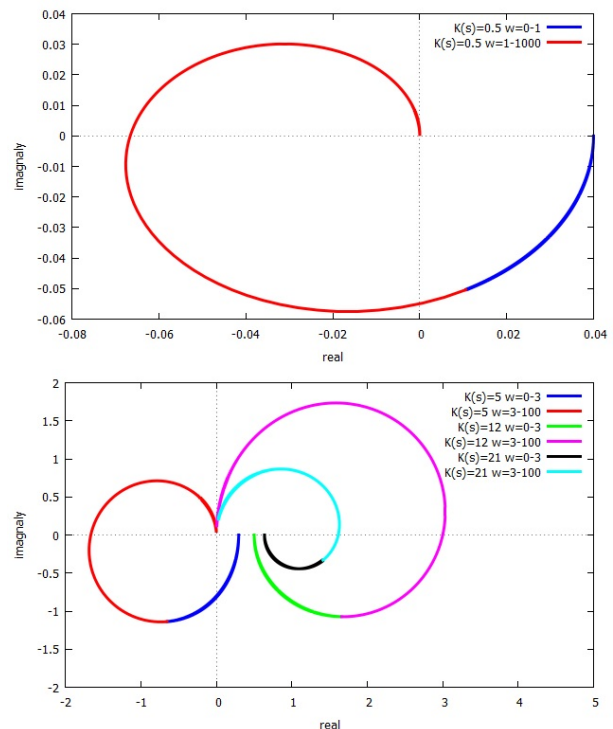


図 8.4.22: 二次フィードバック制御のベクトル軌跡

```

P10:rhs(K1*P1);
P11:subst([s=%i*t],P10);
PLV1:subst([K31],P11);
PLV11:realpart(PLV1);
PLV12:imagpart(PLV1);
PLV1:subst([K32],P11);
PLV21:realpart(PLV1);
PLV22:imagpart(PLV1);
PLV1:subst([K33],P11);
PLV31:realpart(PLV1);
PLV32:imagpart(PLV1);
PLV1:subst([K34],P11);
PLV41:realpart(PLV1);
PLV42:imagpart(PLV1);
plot2d([[parametric,PLV11,PLV12,
[t,-1000,3],[nticks,10000]],
[parametric,PLV11,PLV12,[t,3,1000],
[nticks,10000]]],[xlabel,"real",
ylabel,"imagnaly"],
[style,[lines,3,1],[lines,3,2]],
[legend,"K(s)=0.5 w=-100-3",
"K(s)=0.5 w=3-100"]);
plot2d([[parametric,PLV21,PLV22,
[t,-100,3],[nticks,10000]],
[parametric,PLV21,PLV22,[t,3,100],
[nticks,10000]],
[parametric,PLV31,PLV32,[t,-100,3],
[nticks,10000]],
[parametric,PLV31,PLV32,[t,3,100],
[nticks,10000]],
[parametric,PLV41,PLV42,[t,-100,3],
[nticks,10000]],
[parametric,PLV41,PLV42,[t,3,100],
[nticks,10000]]],[xlabel,"real",
ylabel,"imagnaly"],[x,-3,3],[y,-3,3],
[style,[lines,3,1],[lines,3,2],
[lines,3,3],
[lines,3,4],[lines,3,5],[lines,3,6]],
[legend,"K(s)=5 w=-100-3",
"K(s)=5 w=3-100",
"K(s)=12 w=-100-3","K(s)=12 w=3-100",
"K(s)=21 w=-100-3","K(s)=21 w=3-100"]);

```

開ループの伝達関数は、

$$P(s)K(s) = \frac{(1-s)K1}{(s+2)(s+6)}$$

上式に  $s = i\omega$  を代入し、

$$G(i\omega) = \frac{(1-i\omega)K1}{(i\omega+2)(i\omega+6)}$$

上式を基に  $K1 = 0.5, 5, 12, 21$  の場合のナイキスト線図を描くと下図となる。ナイキストの安定判別として、 $\omega$ が増加する向きにたどって、点  $(-1, 0)$  を左側に見れば安定、右側に見れば不安定であり、下記の線図から  $K1 = 0.5, 5$  は安定、 $K1 = 12, 21$  は不安定である。

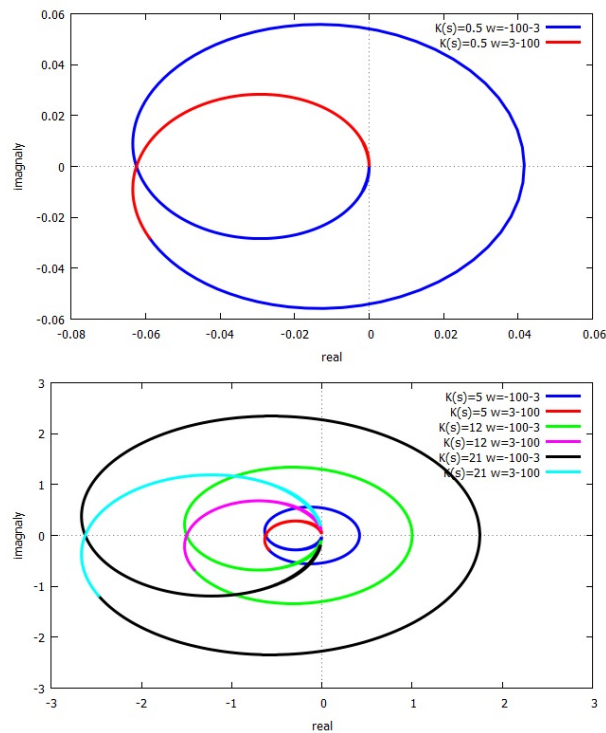


図 8.4.23: 二次フィードバック制御 ナイキスト線図

## 第9章 変分法

### 9.1 オイラー (Euler) の微分方程式

関数:  $y$  が変数:  $x$  の関数であるとき、 $y$  の極値は  $\frac{d}{dx}y = 0$  で得られる。ここで、関数:  $H(x, y, \frac{d}{dx}y, \dots)$  の積分:  $I$  の極値となる条件について調べる。

```
factor(%);
%/g;
'diff((H-'diff(y,x,1)*'diff(H,p,1)),y,1)=0;
H-'diff(y,x,1)*'diff(H,p,1)=C;
H-p*'diff(H,p,1)=C;
```

#### 9.1.1 一変数一変関数

関数:  $y$  が変数:  $x$  の関数であるとき、下記の関数:  $H(x, y, \frac{d}{dx}y)$  の積分:  $I$  の極値について調べる。

$$I = \int_a^b H\left(x, y, \frac{d}{dx}y\right) dx \quad (9.1.1)$$

```
kill(all);
depends(y, [f, g, \alpha]);
depends(f, x);
depends(g, x);
Y1: y=f+\alpha*g;
DY1: 'diff(y, x, 1)=diff(rhs(Y1), x, 1);
I1: I='integrate(H(x, y, 'diff(y, x, 1)), x, a, b);
subst([Y1, DY1], I1);
I2: ev(%, diff);
I21: I=taylor(rhs(I2), \alpha, 0, 3);
DH1: 'diff(H(x, \alpha*g+f, \alpha*'diff(g, x, 1))+'diff(f, x, 1)), \alpha, 1);
depends(H, [x, y, p]);
depends(p, [f, g, \alpha]);
Z1: p='diff(y, x, 1);
Z2: subst([DY1], Z1);
DH2: 'diff(H, \alpha, 1)=diff(H, \alpha, 1);
AY1: diff(Y1, \alpha, 1);
AZ1: diff(Z2, \alpha, 1);
DH3: subst([AY1, AZ1], DH2);
I3: dI=\alpha*'integrate(rhs(DH3), x, a, b);
I31: lhs(I3)=\alpha*g*'diff(H, p, 1)+\alpha*'integrate(g*'diff(H, y, 1))
-g*'diff('diff(H, p, 1), x, 1), x, a, b);
DI3: g*'diff(H, y, 1)-g*'diff(H, x, 1, p, 1)
=0;
```

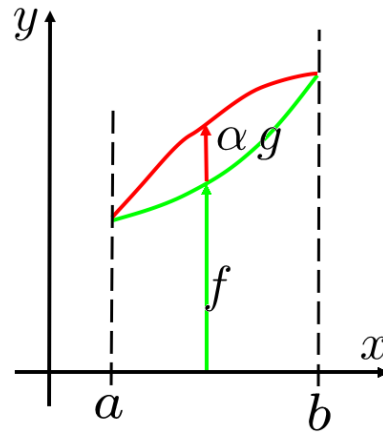


図 9.1.1: 変分問題

上図に示すように、(9.1.1) 式の  $I$  の極値を与える  $f$  が得られたとする。  $f$  をわずかに  $\alpha g$  ずらした次式の  $y$  を考える。ここで  $\alpha$  は微小定数、  $g$  は任意の  $x$  の関数で、端部:  $x = a, b$  で  $g = 0$  とする。

$$y = \alpha g + f, \quad \frac{d}{dx}y = \alpha \left( \frac{d}{dx}g \right) + \frac{d}{dx}f \quad (9.1.2)$$

ここで、 $H$  は  $x, y, \frac{d}{dx}y$  の関数とし、 $y$  は  $f, g, \alpha$  の関数、 $f, g$  は  $x$  の関数とする。(9.1.1) 式を  $\alpha$  で Taylor 展開すると、

$$\begin{aligned} I &= \int_a^b H\left(x, y, \frac{d}{dx}y\right) dx = \int_a^b H\left(x, \alpha g + f, \alpha \left(\frac{d}{dx}g\right) + \frac{d}{dx}f\right) dx \\ &= \int_a^b H\left(x, f, \frac{d}{dx}f\right) dx \Big|_{\alpha=0} + \left( \int_a^b \frac{d}{d\alpha} H\left(x, \alpha g + f, \alpha \left(\frac{d}{dx}g\right) + \frac{d}{dx}f\right) dx \Big|_{\alpha=0} \right) \alpha \\ &\quad + \frac{1}{2} \left( \int_a^b \frac{d^2}{d\alpha^2} H\left(x, \alpha g + f, \alpha \left(\frac{d}{dx}g\right) + \frac{d}{dx}f\right) dx \Big|_{\alpha=0} \right) \alpha^2 \\ &\quad + \frac{1}{6} \left( \int_a^b \frac{d^3}{d\alpha^3} H\left(x, \alpha g + f, \alpha \left(\frac{d}{dx}g\right) + \frac{d}{dx}f\right) dx \Big|_{\alpha=0} \right) \alpha^3 + \dots \end{aligned} \quad (9.1.3)$$

$\frac{d}{dx}y$  を次式のように置く。

$$p = \frac{d}{dx}y = \alpha \left(\frac{d}{dx}g\right) + \frac{d}{dx}f \quad (9.1.4)$$

また、

$$\frac{d}{d\alpha}y = g, \quad \frac{d}{d\alpha}p = \frac{d}{dx}g \quad (9.1.5)$$

(9.1.3) 式の右辺第二項の被積分関数は、上式から、

$$\begin{aligned} &\frac{d}{d\alpha} H\left(x, \alpha g + f, \alpha \left(\frac{d}{dx}g\right) + \frac{d}{dx}f\right) \\ &= \left(\frac{d}{d\alpha}y\right) \left(\frac{d}{dy}H\right) + \left(\frac{d}{d\alpha}p\right) \left(\frac{d}{dp}H\right) \\ &= g \left(\frac{d}{dy}H\right) + \left(\frac{d}{dx}g\right) \left(\frac{d}{dp}H\right) \end{aligned}$$

$I$  の極値は (9.1.3) 式の右辺第二項 :  $dI = 0$  で与えられ、被積分関数の第二項に部分積分を適用すると、

$$\begin{aligned} dI &= \alpha \int_a^b g \left(\frac{d}{dy}H\right) + \left(\frac{d}{dx}g\right) \left(\frac{d}{dp}H\right) dx \\ &= \alpha \int_a^b g \left(\frac{d}{dy}H\right) - g \left(\frac{d^2}{dp dx}H\right) dx \\ &\quad + \left[ \alpha g \left(\frac{d}{dp}H\right) \right]_a^b = 0 \end{aligned}$$

$x = a, b$  では  $g = 0$  であるから、上式の右辺第二項は零となる。任意関数の  $g$  に関係なく上式が零となるには、上式の右辺第一項の被積分関数が零とならねばならない。

$$g \left(\frac{d}{dy}H\right) - g \left(\frac{d^2}{dp dx}H\right) = 0$$

上式を整理すると下記となり、この微分方程式がオイラーの微分方程式である。

$$\frac{d}{dy}H - \frac{d^2}{dp dx}H = 0 \quad (9.1.6)$$

上式を変形し、

$$\frac{d}{dy} \left( H - \left(\frac{d}{dx}y\right) \left(\frac{d}{dp}H\right) \right) = 0$$

$y$  で積分すると、

$$H - \left(\frac{d}{dx}y\right) \left(\frac{d}{dp}H\right) = C$$

上式から、

$$H - p \left(\frac{d}{dp}H\right) = C \quad (9.1.7)$$

## 9.1.2 多変数

関数:  $u$  が変数:  $x, y$  の関数であるとき、下記の関数:  $H\left(x, y, u, \frac{d}{dx}u, \frac{d}{dy}u\right)$  の積分:  $I$  の極値となる条件について調べる。

$$I = \int_{a_y}^{b_y} \int_{a_x}^{b_x} H\left(x, y, u, \frac{d}{dx}u, \frac{d}{dy}u\right) dx dy \quad (9.1.8)$$

```
kill(all);
depends(u, [f, g, \alpha]);
depends(f, [x, y]);
depends(g, [x, y]);
U1: u=f+\alpha*g;
DUX1: 'diff(u, x, 1)=diff(rhs(U1), x, 1);
DUY1: 'diff(u, y, 1)=diff(rhs(U1), y, 1);
I1: I='integrate('integrate(H(x, y, u,
'diff(u, x, 1), 'diff(u, y, 1)), x, a[x], b[x]),
y, a[y], b[y]);
subst([U1, DUX1, DUY1], I1);
I2: ev(%, diff);
I21: I=taylor(rhs(I2), \alpha, 0, 3);
DH1: 'diff(H(x, y, alpha*g+f, alpha*(
'diff(g, x, 1))+ 'diff(f, x, 1), alpha*(
'diff(g, y, 1))+ 'diff(f, y, 1)), alpha, 1);
depends(H, [x, y, u, p, q]);
depends(p, [f, g, \alpha]);
depends(q, [f, g, \alpha]);
P1: p='diff(u, x, 1);
Q1: q='diff(u, y, 1);
P2: subst([DUX1], P1);
Q2: subst([DUY1], Q1);
DH2: 'diff(H, \alpha, 1)=diff(H, \alpha, 1);
AU1: diff(U1, \alpha, 1);
AP2: diff(P2, \alpha, 1);
AQ2: diff(Q2, \alpha, 1);
DH3: subst([AU1, AP2, AQ2], DH2);
I3: dI=\alpha*'integrate('integrate(
rhs(DH3), x, a[x], b[x]), y, a[y], b[y]);
subst(['diff(g, y, 1)']*('diff(H, q, 1))=-g
*'diff('diff(H, q, 1), y, 1)], %);
subst(['diff(g, x, 1)']*('diff(H, p, 1))=-g
*'diff('diff(H, p, 1), x, 1)], %);
g*'diff(H, u, 1)-g*'diff(H, q, 1, y, 1)-g
*'diff(H, p, 1, x, 1)=0;
expand(%/g);
```

```
'diff((H-'diff(u, x, 1)*'diff(H, p, 1)
-'diff(u, y, 1)*'diff(H, q, 1)), u, 1)=0;
(H-'diff(u, x, 1)*'diff(H, p, 1)
-'diff(u, y, 1)*'diff(H, q, 1))=C;
(H-p*'diff(H, p, 1)-q*'diff(H, q, 1))=C;
```

(9.1.8) 式の  $I$  の極値を与える  $f$  が得られたとする。  $f$  をわずかに  $\alpha g$  ずらした次式の  $u$  を考える。ここで  $\alpha$  は微小定数、  $g$  は任意の  $x, y$  の関数で、端部で  $g = 0$  とする。

$$u = \alpha g + f$$

$$\frac{d}{dx} u = \alpha \left( \frac{d}{dx} g \right) + \frac{d}{dx} f \quad (9.1.9)$$

$$\frac{d}{dy} u = \alpha \left( \frac{d}{dy} g \right) + \frac{d}{dy} f$$

ここで、 $H$  は  $x, y, u, \frac{d}{dx} u, \frac{d}{dy} u$  の関数とし、 $u$  は  $f, g, \alpha$  の関数、 $f, g$  は  $x, y$  の関数とする。(9.1.8) 式を  $\alpha$  で Taylor 展開すると、

$$\begin{aligned}
I &= \int_{a_y}^{b_y} \int_{a_x}^{b_x} H \left( x, y, u, \frac{d}{dx} u, \frac{d}{dy} u \right) dx dy \\
&= \int_{a_y}^{b_y} \int_{a_x}^{b_x} H \left( x, y, \alpha g + f, \alpha \left( \frac{d}{dx} g \right) + \frac{d}{dx} f, \alpha \left( \frac{d}{dy} g \right) + \frac{d}{dy} f \right) dx dy \\
&= \int_{a_y}^{b_y} \int_{a_x}^{b_x} H \left( x, y, f, \frac{d}{dx} f, \frac{d}{dy} f \right) dx dy \Big|_{\alpha=0} \\
&\quad + \left( \int_{a_y}^{b_y} \int_{a_x}^{b_x} \frac{d}{d\alpha} H \left( x, y, \alpha g + f, \alpha \left( \frac{d}{dx} g \right) + \frac{d}{dx} f, \alpha \left( \frac{d}{dy} g \right) + \frac{d}{dy} f \right) dx dy \Big|_{\alpha=0} \right) \alpha \\
&\quad + \frac{1}{2} \left( \int_{a_y}^{b_y} \int_{a_x}^{b_x} \frac{d^2}{d\alpha^2} H \left( x, y, \alpha g + f, \alpha \left( \frac{d}{dx} g \right) + \frac{d}{dx} f, \alpha \left( \frac{d}{dy} g \right) + \frac{d}{dy} f \right) dx dy \Big|_{\alpha=0} \right) \alpha^2 \\
&\quad + \frac{1}{6} \left( \int_{a_y}^{b_y} \int_{a_x}^{b_x} \frac{d^3}{d\alpha^3} H \left( x, y, \alpha g + f, \alpha \left( \frac{d}{dx} g \right) + \frac{d}{dx} f, \alpha \left( \frac{d}{dy} g \right) + \frac{d}{dy} f \right) dx dy \Big|_{\alpha=0} \right) \alpha^3 + \dots
\end{aligned} \tag{9.1.10}$$

$\frac{d}{dx} u, \frac{d}{dy} u$  を次式のように置く。

$$p = \frac{d}{dx} u = \alpha \left( \frac{d}{dx} g \right) + \frac{d}{dx} f, \quad q = \frac{d}{dy} u = \alpha \left( \frac{d}{dy} g \right) + \frac{d}{dy} f \tag{9.1.11}$$

また、

$$\frac{d}{d\alpha} u = g, \quad \frac{d}{d\alpha} p = \frac{d}{dx} g, \quad \frac{d}{d\alpha} q = \frac{d}{dy} g \tag{9.1.12}$$

(9.1.10) 式の右辺第二項は、上式から、

$$\begin{aligned}
&\frac{d}{d\alpha} H \left( x, y, \alpha g + f, \alpha \left( \frac{d}{dx} g \right) + \frac{d}{dx} f, \alpha \left( \frac{d}{dy} g \right) + \frac{d}{dy} f \right) \\
&= \left( \frac{d}{d\alpha} u \right) \left( \frac{d}{du} H \right) + \left( \frac{d}{d\alpha} p \right) \left( \frac{d}{dp} H \right) + \left( \frac{d}{d\alpha} q \right) \left( \frac{d}{dq} H \right) \\
&= g \left( \frac{d}{du} H \right) + \left( \frac{d}{dx} g \right) \left( \frac{d}{dp} H \right) + \left( \frac{d}{dy} g \right) \left( \frac{d}{dq} H \right)
\end{aligned}$$

$I$  の極値は (9.1.10) 式の右辺第二項 :  $dI = 0$  で与えられる。次式の被積分関数の第二項、第三項に部分積分を適用し、積分境界では  $g = 0$  であることを活用すると、

$$\begin{aligned}
dI &= \alpha \int_{a_y}^{b_y} \int_{a_x}^{b_x} g \left( \frac{d}{du} H \right) + \left( \frac{d}{dy} g \right) \left( \frac{d}{dq} H \right) + \left( \frac{d}{dx} g \right) \left( \frac{d}{dp} H \right) dx dy \\
&= \alpha \int_{a_y}^{b_y} \int_{a_x}^{b_x} g \left( \frac{d}{du} H \right) - g \left( \frac{d^2}{dq dy} H \right) + \left( \frac{d}{dx} g \right) \left( \frac{d}{dp} H \right) dx dy \\
&= \alpha \int_{a_y}^{b_y} \int_{a_x}^{b_x} g \left( \frac{d}{du} H \right) - g \left( \frac{d^2}{dq dy} H \right) - g \left( \frac{d^2}{dp dx} H \right) dx dy = 0
\end{aligned}$$

上式が任意関数の  $g$  に関係なく零となるには、被積分関数が零とならねばならないので、次式を得る。これが多変数の場合のオイラーの微分方程式である。

$$\frac{d}{du} H - \frac{d^2}{dq dy} H - \frac{d^2}{dp dx} H = 0 \tag{9.1.13}$$

上式を変形し、

$$\frac{d}{du} \left( - \left( \frac{d}{dy} u \right) \left( \frac{d}{dq} H \right) - \left( \frac{d}{dx} u \right) \left( \frac{d}{dp} H \right) + H \right) = 0$$

$u$  で積分すると、

$$-q \left( \frac{d}{dq} H \right) - p \left( \frac{d}{dp} H \right) + H = C \tag{9.1.14}$$

## 9.1.3 高階導関数

関数:  $y$  が変数:  $x$  の関数であるとき、下記の高階導関数を含んだ関数:  $H\left(x, y, \frac{d}{dx}y, \frac{d^2}{dx^2}y, \frac{d^3}{dx^3}y\right)$  の積分:  $I$  の極値となる条件について調べる。

$$I = \int_a^b H\left(x, y, \frac{d}{dx}y, \frac{d^2}{dx^2}y, \frac{d^3}{dx^3}y\right) dx \quad (9.1.15)$$

```
kill(all);
depends(y, [f, g, \alpha]);
depends(f, x);
depends(g, x);
Y1: y=f+\alpha*g;
DY1: 'diff(y, x, 1)=diff(rhs(Y1), x, 1);
DY2: 'diff(y, x, 2)=diff(rhs(Y1), x, 2);
DY3: 'diff(y, x, 3)=diff(rhs(Y1), x, 3);
I1: I='integrate(H(x, y, 'diff(y, x, 1),
' diff(y, x, 2), 'diff(y, x, 3)), x, a, b);
subst([Y1, DY1, DY2, DY3], I1);
I2: ev(%, diff);
I21: I=taylor(rhs(I2), \alpha, 0, 3);
DH1: 'diff(H(x, alpha*g+f, alpha*( 'diff(g, x, 1)
)+ 'diff(f, x, 1), alpha*( 'diff(g, x, 2))+
' diff(f, x, 2), alpha*( 'diff(g, x, 3))+
' diff(f, x, 3)), alpha, 1);
depends(H, [x, y, p, q, s]);
depends(p, [f, g, \alpha]);
P1: p='diff(y, x, 1);
P2: subst([DY1], P1);
depends(q, [f, g, \alpha]);
Q1: q='diff(y, x, 2);
Q2: subst([DY2], Q1);
depends(s, [f, g, \alpha]);
S1: s='diff(y, x, 3);
S2: subst([DY3], S1);
DH2: 'diff(H, \alpha, 1)=diff(H, \alpha, 1);
AY1: diff(Y1, \alpha, 1);
AP1: diff(P2, \alpha, 1);
AQ1: diff(Q2, \alpha, 1);
AS1: diff(S2, \alpha, 1);
DH3: subst([AY1, AP1, AQ1, AS1], DH2);
I3: dI='integrate(rhs(DH3), x, a, b);
subst([H=H(x, y, p, q, s), g=g(x)], I3);
```

```
I32: dI[1]='integrate(('diff(g(x), x, 1))*
('diff(H(x, y, p, q, s), p, 1)), x, a, b);
I33: dI[2]='integrate(g(x)*('diff(
H(x, y, p, q, s), y, 1)), x, a, b);
I35: dI[3]='integrate(('diff(g(x), x, 2))*
('diff(H(x, y, p, q, s), q, 1)), x, a, b);
I34: dI[4]='integrate(('diff(g(x), x, 3))*
('diff(H(x, y, p, q, s), s, 1)), x, a, b);
lhs(I32)=g(x)*'diff(H(x, y, p, q, s), p, 1)-
'integrate(g(x)*diff(
' diff(H(x, y, p, q, s), p, 1), x, 1), x, a, b);
I321: lhs(%)=last(rhs(%));
I35;
lhs(I35)=('diff(g(x), x, 1))*('diff(
H(x, y, p, q, s), q, 1))- 'integrate((
' diff(g(x), x, 1))*diff(('diff(
H(x, y, p, q, s), q, 1)), x, 1), x, a, b);
lhs(%)=last(rhs(%));
lhs(%)=-('diff(g(x), x, 0))*('diff(
H(x, y, p, q, s), q, 1, x, 1))+ 'integrate((
' diff(g(x), x, 0))*diff('diff(
H(x, y, p, q, s), q, 1), x, 2), x, a, b);
I351: lhs(%)=first(rhs(%));
I34;
lhs(I34)=('diff(g(x), x, 2))*('diff(
H(x, y, p, q, s), s, 1))- 'integrate((
' diff(g(x), x, 2))*diff('diff(
H(x, y, p, q, s), s, 1), x, 1), x, a, b);
lhs(%)=last(rhs(%));
lhs(%)=-('diff(g(x), x, 1))*('diff(
H(x, y, p, q, s), s, 1, x, 1))+ 'integrate((
' diff(g(x), x, 1))*('diff(
H(x, y, p, q, s), s, 1, x, 2)), x, a, b);
lhs(%)=first(rhs(%));
lhs(%)=('diff(g(x), x, 0))*('diff(
H(x, y, p, q, s), s, 1, x, 2))- 'integrate((
' diff(g(x), x, 0))*('diff(
H(x, y, p, q, s), s, 1, x, 3)), x, a, b);
I341: lhs(%)=last(rhs(%));
lhs(I3)=\alpha*(rhs(I321)+rhs(I33)
+rhs(I351)+rhs(I341));
g(x)*('diff(H(x, y, p, q, s), y, 1))-g(x)*
('diff(H(x, y, p, q, s), x, 1, p, 1))+g(x)*
('diff(H(x, y, p, q, s), q, 1, x, 2))-g(x)*
('diff(H(x, y, p, q, s), s, 1, x, 3))=0;
subst([H(x, y, p, q, s)=H], %);
factor(%/g(x));
```



(9.1.15) 式の  $I$  の極値を与える  $f$  が得られたとする。  $f$  をわずかに  $\alpha g$  ずらした次式の  $y$  を考える。ここで  $\alpha$  は微少定数、  $g$  は任意の  $x$  の関数で、端部:  $x = a, b$  で  $g = 0, \frac{d}{dx} g = 0, \frac{d^2}{dx^2} g = 0$  とする。

$$y = \alpha g + f, \quad \frac{d}{dx} y = \alpha \left( \frac{d}{dx} g \right) + \frac{d}{dx} f, \quad \frac{d^2}{dx^2} y = \alpha \left( \frac{d^2}{dx^2} g \right) + \frac{d^2}{dx^2} f, \quad \frac{d^3}{dx^3} y = \alpha \left( \frac{d^3}{dx^3} g \right) + \frac{d^3}{dx^3} f \quad (9.1.16)$$

ここで、  $H$  は  $x, y, \frac{d}{dx} y, \frac{d^2}{dx^2} y, \frac{d^3}{dx^3} y$  の関数とし、  $y$  は  $f, g, \alpha$  の関数、  $f, g$  は  $x$  の関数とする。(9.1.15) 式を  $\alpha$  で Taylor 展開すると、

$$\begin{aligned} I &= \int_a^b H \left( x, y, \frac{d}{dx} y, \frac{d^2}{dx^2} y, \frac{d^3}{dx^3} y \right) dx \\ &= \int_a^b H \left( x, \alpha g + f, \alpha \left( \frac{d}{dx} g \right) + \frac{d}{dx} f, \alpha \left( \frac{d^2}{dx^2} g \right) + \frac{d^2}{dx^2} f, \alpha \left( \frac{d^3}{dx^3} g \right) + \frac{d^3}{dx^3} f \right) dx \\ &= \int_a^b H \left( x, f, \frac{d}{dx} f, \frac{d^2}{dx^2} f, \frac{d^3}{dx^3} f \right) dx \Big|_{\alpha=0} \\ &\quad + \left( \int_a^b \frac{d}{d\alpha} H \left( x, \alpha g + f, \alpha \left( \frac{d}{dx} g \right) + \frac{d}{dx} f, \alpha \left( \frac{d^2}{dx^2} g \right) + \frac{d^2}{dx^2} f, \alpha \left( \frac{d^3}{dx^3} g \right) + \frac{d^3}{dx^3} f \right) dx \Big|_{\alpha=0} \right) \alpha \\ &\quad + \frac{1}{2} \left( \int_a^b \frac{d^2}{d\alpha^2} H \left( x, \alpha g + f, \alpha \left( \frac{d}{dx} g \right) + \frac{d}{dx} f, \alpha \left( \frac{d^2}{dx^2} g \right) + \frac{d^2}{dx^2} f, \alpha \left( \frac{d^3}{dx^3} g \right) + \frac{d^3}{dx^3} f \right) dx \Big|_{\alpha=0} \right) \alpha^2 \\ &\quad + \frac{1}{6} \left( \int_a^b \frac{d^3}{d\alpha^3} H \left( x, \alpha g + f, \alpha \left( \frac{d}{dx} g \right) + \frac{d}{dx} f, \alpha \left( \frac{d^2}{dx^2} g \right) + \frac{d^2}{dx^2} f, \alpha \left( \frac{d^3}{dx^3} g \right) + \frac{d^3}{dx^3} f \right) dx \Big|_{\alpha=0} \right) \alpha^3 + \dots \end{aligned} \quad (9.1.17)$$

$\frac{d}{dx} y, \frac{d^2}{dx^2} y, \frac{d^3}{dx^3} y$  を次式のように置くと、

$$p = \frac{d}{dx} y = \alpha \left( \frac{d}{dx} g \right) + \frac{d}{dx} f, \quad q = \frac{d^2}{dx^2} y = \alpha \left( \frac{d^2}{dx^2} g \right) + \frac{d^2}{dx^2} f, \quad s = \frac{d^3}{dx^3} y = \alpha \left( \frac{d^3}{dx^3} g \right) + \frac{d^3}{dx^3} f \quad (9.1.18)$$

また、

$$\frac{d}{d\alpha} y = g, \quad \frac{d}{d\alpha} p = \frac{d}{dx} g, \quad \frac{d}{d\alpha} q = \frac{d^2}{dx^2} g, \quad \frac{d}{d\alpha} s = \frac{d^3}{dx^3} g \quad (9.1.19)$$

(9.1.17) 式の右辺第二項の被積分関数は、上式から、

$$\begin{aligned} &\frac{d}{d\alpha} H \left( x, \alpha g + f, \alpha \left( \frac{d}{dx} g \right) + \frac{d}{dx} f, \alpha \left( \frac{d^2}{dx^2} g \right) + \frac{d^2}{dx^2} f, \alpha \left( \frac{d^3}{dx^3} g \right) + \frac{d^3}{dx^3} f \right) \\ &= \left( \frac{d}{d\alpha} y \right) \left( \frac{d}{dy} H \right) + \left( \frac{d}{d\alpha} p \right) \left( \frac{d}{dp} H \right) + \left( \frac{d}{d\alpha} q \right) \left( \frac{d}{dq} H \right) + \left( \frac{d}{d\alpha} s \right) \left( \frac{d}{ds} H \right) \\ &= g \left( \frac{d}{dy} H \right) + \left( \frac{d^3}{dx^3} g \right) \left( \frac{d}{ds} H \right) + \left( \frac{d^2}{dx^2} g \right) \left( \frac{d}{dq} H \right) + \left( \frac{d}{dx} g \right) \left( \frac{d}{dp} H \right) \end{aligned}$$

上式から (9.1.17) 式の右辺第二項:  $dI$  は下記となり、

$$\begin{aligned} dI &= \int_a^b g \left( \frac{d}{dy} H \right) + \left( \frac{d^3}{dx^3} g \right) \left( \frac{d}{ds} H \right) + \left( \frac{d^2}{dx^2} g \right) \left( \frac{d}{dq} H \right) + \left( \frac{d}{dx} g \right) \left( \frac{d}{dp} H \right) dx \\ &= \int_a^b g(x) \left( \frac{d}{dy} H(x, y, p, q, s) \right) + \left( \frac{d^3}{dx^3} g(x) \right) \left( \frac{d}{ds} H(x, y, p, q, s) \right) \\ &\quad + \left( \frac{d^2}{dx^2} g(x) \right) \left( \frac{d}{dq} H(x, y, p, q, s) \right) + \left( \frac{d}{dx} g(x) \right) \left( \frac{d}{dp} H(x, y, p, q, s) \right) dx \end{aligned} \quad (9.1.20)$$

上式の右辺第四項:  $dI_1$ 、右辺第一項:  $dI_2$ 、右辺第三項:  $dI_3$ 、右辺第二項:  $dI_4$  とし、部分積分を適用すると、

$$\begin{aligned} dI_1 &= \int_a^b \left( \frac{d}{dx} g(x) \right) \left( \frac{d}{dp} H(x, y, p, q, s) \right) dx \\ &= \left[ g(x) \left( \frac{d}{dp} H(x, y, p, q, s) \right) \right]_a^b - \int_a^b g(x) \left( \frac{d^2}{dp dx} H(x, y, p, q, s) \right) dx \\ &= - \int_a^b g(x) \left( \frac{d^2}{dp dx} H(x, y, p, q, s) \right) dx \end{aligned} \quad (9.1.21)$$

$$dI_2 = \int_a^b g(x) \left( \frac{d}{dy} H(x, y, p, q, s) \right) dx \quad (9.1.22)$$

$$\begin{aligned} dI_3 &= \int_a^b \left( \frac{d^2}{dx^2} g(x) \right) \left( \frac{d}{dq} H(x, y, p, q, s) \right) dx \\ &= \left[ \left( \frac{d}{dx} g(x) \right) \left( \frac{d}{dq} H(x, y, p, q, s) \right) \right]_a^b - \int_a^b \left( \frac{d}{dx} g(x) \right) \left( \frac{d^2}{dq dx} H(x, y, p, q, s) \right) dx \\ &= - \int_a^b \left( \frac{d}{dx} g(x) \right) \left( \frac{d^2}{dq dx} H(x, y, p, q, s) \right) dx \quad (9.1.23) \\ &= \int_a^b g(x) \left( \frac{d^3}{dq dx^2} H(x, y, p, q, s) \right) dx - \left[ g(x) \left( \frac{d^2}{dq dx} H(x, y, p, q, s) \right) \right]_a^b \\ &= \int_a^b g(x) \left( \frac{d^3}{dq dx^2} H(x, y, p, q, s) \right) dx \end{aligned}$$

$$\begin{aligned} dI_4 &= \int_a^b \left( \frac{d^3}{dx^3} g(x) \right) \left( \frac{d}{ds} H(x, y, p, q, s) \right) dx \\ &= \left[ \left( \frac{d^2}{dx^2} g(x) \right) \left( \frac{d}{ds} H(x, y, p, q, s) \right) \right]_a^b - \int_a^b \left( \frac{d^2}{dx^2} g(x) \right) \left( \frac{d^2}{ds dx} H(x, y, p, q, s) \right) dx \\ &= - \int_a^b \left( \frac{d^2}{dx^2} g(x) \right) \left( \frac{d^2}{ds dx} H(x, y, p, q, s) \right) dx \\ &= \int_a^b \left( \frac{d}{dx} g(x) \right) \left( \frac{d^3}{ds dx^2} H(x, y, p, q, s) \right) dx - \left[ \left( \frac{d}{dx} g(x) \right) \left( \frac{d^2}{ds dx} H(x, y, p, q, s) \right) \right]_a^b \quad (9.1.24) \\ &= \int_a^b \left( \frac{d}{dx} g(x) \right) \left( \frac{d^3}{ds dx^2} H(x, y, p, q, s) \right) dx \\ &= \left[ g(x) \left( \frac{d^3}{ds dx^2} H(x, y, p, q, s) \right) \right]_a^b - \int_a^b g(x) \left( \frac{d^4}{ds dx^3} H(x, y, p, q, s) \right) dx \\ &= - \int_a^b g(x) \left( \frac{d^4}{ds dx^3} H(x, y, p, q, s) \right) dx \end{aligned}$$

$dI_1, dI_2, dI_3, dI_4$  をまとめると下記となる。 $I$  の極値は (9.1.17) 式の右辺第二項、即ち、次式が  $dI = 0$  で与えられる。

$$\begin{aligned} dI &= dI_1 + dI_2 + dI_3 + dI_4 \\ &= \alpha \left( \int_a^b g(x) \left( \frac{d}{dy} H(x, y, p, q, s) \right) dx - \int_a^b g(x) \left( \frac{d^4}{ds dx^3} H(x, y, p, q, s) \right) dx \right. \\ &\quad \left. + \int_a^b g(x) \left( \frac{d^3}{dq dx^2} H(x, y, p, q, s) \right) dx - \int_a^b g(x) \left( \frac{d^2}{dp dx} H(x, y, p, q, s) \right) dx \right) = 0 \end{aligned}$$

上式が任意関数の  $g$  に関係なく零となるには、上式の被積分関数が零とならねばならないので、次式を得る。

$$\begin{aligned} g(x) \left( \frac{d}{dy} H(x, y, p, q, s) \right) - g(x) \left( \frac{d^4}{ds dx^3} H(x, y, p, q, s) \right) \\ + g(x) \left( \frac{d^3}{dq dx^2} H(x, y, p, q, s) \right) - g(x) \left( \frac{d^2}{dp dx} H(x, y, p, q, s) \right) = 0 \end{aligned}$$

上式を整理すると下記となり、この微分方程式が高階導関数の場合のオイラーの微分方程式である。

$$\frac{d}{dy} H - \frac{d^4}{ds dx^3} H + \frac{d^3}{dq dx^2} H - \frac{d^2}{dp dx} H = 0 \quad (9.1.25)$$

上式から、高階導関数の場合のオイラーの微分方程式の一般形は、

$$\frac{d}{dy} H - \frac{d}{dx} \left( \frac{d}{dy'} H \right) + \frac{d^2}{dx^2} \left( \frac{d}{dy''} H \right) - \frac{d^3}{dx^3} \left( \frac{d}{dy'''} H \right) \cdots + (-1)^n \frac{d^n}{dx^n} \left( \frac{d}{dy^{(n)}} H \right) = 0 \quad (9.1.26)$$

## 9.1.4 多未知数

関数  $y, z$  が変数  $x$  の関数であるとき、下記の関数： $H(x, y, \frac{d}{dx}y, z, \frac{d}{dx}z)$  の積分： $I$  の極値となる条件について調べる。

$$I = \int_a^b H\left(x, y, \frac{d}{dx}y, z, \frac{d}{dx}z\right) dx \quad (9.1.27)$$

```
kill(all);
depends(y, [f, g, \alpha]);
depends(z, [c, e, \alpha]);
depends(f, x);
depends(g, x);
depends(c, x);
depends(e, x);
Y1:y=f+\alpha*g;
Z1:z=c+\alpha*e;
DY1:'diff(y,x,1)=diff(rhs(Y1),x,1);
DZ1:'diff(z,x,1)=diff(rhs(Z1),x,1);
I1:I='integrate(H(x,y,'diff(y,x,1),z,
'diff(z,x,1)),x,a,b);
subst([Y1,DY1,Z1,DZ1],I1);
I2:ev(%,diff);
I21:I=taylor(rhs(I2),\alpha,0,3);
DH1:dI='integrate('diff(H(x,alpha*g+f,
alpha*'diff(g,x,1))+'diff(f,x,1),alpha*e
+c,alpha*'diff(e,x,1))+'diff(c,x,1)),
alpha,1),x,a,b);
depends(H, [x,y,z,p,q]);
depends(p, [f,g,\alpha]);
depends(q, [c,e,\alpha]);
P1:p='diff(y,x,1);
P2:subst([DY1],P1);
Q1:q='diff(z,x,1);
Q2:subst([DZ1],Q1);
DH2:'diff(H,\alpha,1)=diff(H,\alpha,1);
AY1:diff(Y1,\alpha,1);
AZ1:diff(Z1,\alpha,1);
AP1:diff(P2,\alpha,1);
AQ1:diff(Q2,\alpha,1);
DH3:subst([AY1,AZ1,AP1,AQ1,H=H(x,y,p,z,q),
e=e(x),g=g(x)],DH2);
I3:dI=\alpha*'integrate(rhs(DH3),x,a,b);
I31:first(rhs(DH3));
I32:first(rest(rhs(DH3),2));
I33:last(rest(rhs(DH3),-2));
I34:last(rhs(DH3));
```

```
I311:dI[1]='integrate(I31,x,a,b);
I321:dI[2]='integrate(I32,x,a,b);
I331:dI[3]='integrate(I33,x,a,b);
I341:dI[4]='integrate(I34,x,a,b);
lhs(I321)='diff(e(x),x,0)*('diff(
H(x,y,p,z,q),q,1))-integrate((
'diff(e(x),x,0))*'diff('diff(
H(x,y,p,z,q),q,1),x,1),x,a,b);
I322:lhs(%)=last(rhs(%));
lhs(I341)='diff(g(x),x,0)*('diff(H(
x,y,p,z,q),p,1))-integrate((
'diff(g(x),x,0))*'diff('diff(
H(x,y,p,z,q),p,1),x,1),x,a,b);
I342:lhs(%)=last(rhs(%));
lhs(I3)=\alpha*(rhs(I311)+rhs(I322)
+rhs(I331)+rhs(I342));
e(x)*('diff(H(x,y,p,z,q),z,1))+g(x)*
('diff(H(x,y,p,z,q),y,1))-e(x)*('diff(
H(x,y,p,z,q),q,1,x,1))-g(x)*('diff(
H(x,y,p,z,q),p,1,x,1))=0;
subst([H(x,y,p,z,q)=H,e(x)=e,g(x)=g],%);
e*'diff(H,z,1)-'diff(H,q,1,x,1))
+g*'diff(H,y,1)-'diff(H,p,1,x,1))=0;
'diff(H,y,1)-'diff(H,p,1,x,1)=0;
'diff(H,z,1)-'diff(H,q,1,x,1)=0;
```

(9.1.27) 式の  $I$  の極値を与える  $f, c$  が得られたとする。 $f, c$  をわずかに  $\alpha g, \alpha e$  ずらした次式の  $y, z$  を考える。ここで  $\alpha$  は微少定数、 $g, e$  は任意の  $x$  の関数で、端部： $x = a, b$  で  $g = 0, e = 0$  とする。

$$\begin{aligned} y &= \alpha g + f, & z &= \alpha e + c \\ \frac{d}{dx}y &= \alpha \left( \frac{d}{dx}g \right) + \frac{d}{dx}f \\ \frac{d}{dx}z &= \alpha \left( \frac{d}{dx}e \right) + \frac{d}{dx}c \end{aligned} \quad (9.1.28)$$

ここで、 $H$  は  $x, y, \frac{d}{dx}y, z, \frac{d}{dx}z$  の関数とし、 $y$  は  $f, g, \alpha$  の関数で  $f, g$  は  $x$  の関数、 $z$  は  $e, c, \alpha$  の関数で  $c, e$  は  $x$  の関数とする。(9.1.27) 式を  $\alpha$  で Taylor 展開すると、

$$\begin{aligned}
 I &= \int_a^b H\left(x, y, \frac{d}{dx}y, z, \frac{d}{dx}z\right) dx \\
 &= \int_a^b H\left(x, \alpha g + f, \alpha \left(\frac{d}{dx}g\right) + \frac{d}{dx}f, \alpha e + c, \alpha \left(\frac{d}{dx}e\right) + \frac{d}{dx}c\right) dx \\
 &= \int_a^b H\left(x, f, \frac{d}{dx}f, c, \frac{d}{dx}c\right) dx \Big|_{\alpha=0} \\
 &\quad + \left( \int_a^b \frac{d}{d\alpha} H\left(x, \alpha g + f, \alpha \left(\frac{d}{dx}g\right) + \frac{d}{dx}f, \alpha e + c, \alpha \left(\frac{d}{dx}e\right) + \frac{d}{dx}c\right) dx \Big|_{\alpha=0} \right) \alpha \\
 &\quad + \frac{1}{2} \left( \int_a^b \frac{d^2}{d\alpha^2} H\left(x, \alpha g + f, \alpha \left(\frac{d}{dx}g\right) + \frac{d}{dx}f, \alpha e + c, \alpha \left(\frac{d}{dx}e\right) + \frac{d}{dx}c\right) dx \Big|_{\alpha=0} \right) \alpha^2 \\
 &\quad + \frac{1}{6} \left( \int_a^b \frac{d^3}{d\alpha^3} H\left(x, \alpha g + f, \alpha \left(\frac{d}{dx}g\right) + \frac{d}{dx}f, \alpha e + c, \alpha \left(\frac{d}{dx}e\right) + \frac{d}{dx}c\right) dx \Big|_{\alpha=0} \right) \alpha^3 + \dots
 \end{aligned} \tag{9.1.29}$$

$\frac{d}{dx}y, \frac{d}{dx}z$  を次式のように置く。

$$p = \frac{d}{dx}y = \alpha \left(\frac{d}{dx}g\right) + \frac{d}{dx}f, \quad q = \frac{d}{dx}z = \alpha \left(\frac{d}{dx}e\right) + \frac{d}{dx}c \tag{9.1.30}$$

また、

$$\frac{d}{d\alpha}y = g, \quad \frac{d}{d\alpha}z = e, \quad \frac{d}{d\alpha}p = \frac{d}{dx}g, \quad \frac{d}{d\alpha}q = \frac{d}{dx}e \tag{9.1.31}$$

(9.1.29) 式の右辺第二項の被積分関数は、上式から、

$$\begin{aligned}
 &\frac{d}{d\alpha} H\left(x, \alpha g + f, \alpha \left(\frac{d}{dx}g\right) + \frac{d}{dx}f, \alpha e + c, \alpha \left(\frac{d}{dx}e\right) + \frac{d}{dx}c\right) \\
 &= \left(\frac{d}{d\alpha}z\right) \left(\frac{d}{dz}H\right) + \left(\frac{d}{d\alpha}y\right) \left(\frac{d}{dy}H\right) + \left(\frac{d}{d\alpha}q\right) \left(\frac{d}{dq}H\right) + \left(\frac{d}{d\alpha}p\right) \left(\frac{d}{dp}H\right) \\
 &= e(x) \left(\frac{d}{dz}H(x, y, p, z, q)\right) + g(x) \left(\frac{d}{dy}H(x, y, p, z, q)\right) \\
 &\quad + \left(\frac{d}{dx}e(x)\right) \left(\frac{d}{dq}H(x, y, p, z, q)\right) + \left(\frac{d}{dx}g(x)\right) \left(\frac{d}{dp}H(x, y, p, z, q)\right)
 \end{aligned}$$

上式から (9.1.29) 式の右辺第二項： $dI$  は下記となり、

$$\begin{aligned}
 dI &= \alpha \int_a^b e(x) \left(\frac{d}{dz}H(x, y, p, z, q)\right) + g(x) \left(\frac{d}{dy}H(x, y, p, z, q)\right) \\
 &\quad + \left(\frac{d}{dx}e(x)\right) \left(\frac{d}{dq}H(x, y, p, z, q)\right) + \left(\frac{d}{dx}g(x)\right) \left(\frac{d}{dp}H(x, y, p, z, q)\right) dx
 \end{aligned} \tag{9.1.32}$$

上式の右辺第三項： $dI_2$ 、右辺第四項： $dI_4$  とし、部分積分を適用すると、

$$\begin{aligned}
 dI_2 &= \int_a^b \left(\frac{d}{dx}e(x)\right) \left(\frac{d}{dq}H(x, y, p, z, q)\right) dx \\
 &= \left[ e(x) \left(\frac{d}{dq}H(x, y, p, z, q)\right) \right]_a^b - \int_a^b e(x) \left(\frac{d^2}{dq dx}H(x, y, p, z, q)\right) dx \\
 &= - \int_a^b e(x) \left(\frac{d^2}{dq dx}H(x, y, p, z, q)\right) dx \\
 dI_4 &= \int_a^b \left(\frac{d}{dx}g(x)\right) \left(\frac{d}{dp}H(x, y, p, z, q)\right) dx \\
 &= \left[ g(x) \left(\frac{d}{dp}H(x, y, p, z, q)\right) \right]_a^b - \int_a^b g(x) \left(\frac{d^2}{dp dx}H(x, y, p, z, q)\right) dx \\
 &= - \int_a^b g(x) \left(\frac{d^2}{dp dx}H(x, y, p, z, q)\right) dx
 \end{aligned}$$

上式を (9.1.32) 式を代入すると次式となる。\$I\$ の極値は (9.1.29) 式の右辺第二項、即ち、次式の \$dI = 0\$ で与えられ、

$$dI = \alpha \left( \int_a^b e(x) \left( \frac{d}{dz} H(x, y, p, z, q) \right) dx + \int_a^b g(x) \left( \frac{d}{dy} H(x, y, p, z, q) \right) dx - \int_a^b e(x) \left( \frac{d^2}{dq dx} H(x, y, p, z, q) \right) dx - \int_a^b g(x) \left( \frac{d^2}{dp dx} H(x, y, p, z, q) \right) dx \right) = 0$$

上式が任意の関数 \$g, e\$ に関係なく成り立つには、上式の被積分関数が零とならねばならないので、次式を得る。

$$e(x) \left( \frac{d}{dz} H(x, y, p, z, q) \right) + g(x) \left( \frac{d}{dy} H(x, y, p, z, q) \right) - e(x) \left( \frac{d^2}{dq dx} H(x, y, p, z, q) \right) - g(x) \left( \frac{d^2}{dp dx} H(x, y, p, z, q) \right) = 0$$

上式を整理すると、

$$e \left( \frac{d}{dz} H - \frac{d^2}{dq dx} H \right) + g \left( \frac{d}{dy} H - \frac{d^2}{dp dx} H \right) = 0$$

上式で \$g, e\$ は任意関数であるから、次の二式、それぞれが零とならねばならない。この微分方程式が多未知数の場合のオイラーの微分方程式となる。

$$\frac{d}{dy} H - \frac{d^2}{dp dx} H = 0, \quad \frac{d}{dz} H - \frac{d^2}{dq dx} H = 0 \tag{9.1.33}$$

## 9.1.5 付帯条件のついた変分問題

関数:  $y$  が変数:  $x$  の関数であるとき、下記の関数:  
 $F(x, y, \frac{d}{dx}y)$  の積分:  $I$  とする。

$$I = \int_a^b F\left(x, y, \frac{d}{dx}y\right) dx \quad (9.1.34)$$

下記の定積分の付帯条件を満たし、 $I$  が極値となる条件について調べる。<sup>1</sup>

$$J = \int_a^b G\left(x, y, \frac{d}{dx}y\right) dx = C \quad (9.1.35)$$

```
kill(all);
depends(y, [g,h,c,d]);
depends(f, x);
depends(g, x);
depends(h, x);
depends(e, [c,d,x]);
depends(F, [x,y,p]);
depends(G, [x,y,p]);
depends(p, [f,g,h,c,d]);
Y1:y=f+e;
E1:e=g*c+h*d;
Y2:subst([E1],Y1);
P1:p='diff(y,x,1);
P2:rhs(%)=lhs(%);
DY1:'diff(y,x,1)=diff(rhs(Y2),x,1);
DY2:p=rhs(%);
DYC1:'diff(y,c,1)=diff(rhs(Y2),c,1);
DPC1:'diff(p,c,1)=diff(rhs(DY2),c,1);
DYD1:'diff(y,d,1)=diff(rhs(Y2),d,1);
DPD1:'diff(p,d,1)=diff(rhs(DY2),d,1);
F1:F(x,y,'diff(y,x,1));
G1:G(x,y,'diff(y,x,1));
F2:subst([DY1,Y1],F1);
G2:subst([DY1,Y1],G1);
```

```
I1:I='integrate(F(x,y,'diff(y,x,1)),x,a,b);
J1:J='integrate(G(x,y,'diff(y,x,1)),x,a,b);
I2:subst([DY1,Y1],I1);
I21:I=taylor(rhs(I2),c,0,3)+taylor(rhs(I2),d,0,3);
I3:dI=last(taylor(rhs(I2),c,0,1))+last(taylor(rhs(I2),d,0,1));
J2:subst([DY1,Y1],J1);
J21:J=taylor(rhs(J2),c,0,3)+taylor(rhs(J2),d,0,3);
J3:dJ=last(taylor(rhs(J2),c,0,1))+last(taylor(rhs(J2),d,0,1));
```

(9.1.34) 式の  $I$  の極値を与える  $f$  が得られたとする。  
 $f$  をわずかに  $e$  ずらした次式の  $y$  を考える。ここで  $f$  は  $x$  の関数とする。

$$y = f + e \quad (9.1.36)$$

また、ずらした  $e$  は次式で示すように微少定数:  $c, d, g, h$  は任意の  $x$  の関数で、端部:  $x = a, b$  で  $g = 0, h = 0$  とする。

$$e = dh + cg \quad (9.1.37)$$

上式から、 $y$  は、

$$y = dh + cg + f \quad (9.1.38)$$

上式を  $x$  で微分し、 $p$  と置く。

$$\frac{d}{dx}y = p = d \left( \frac{d}{dx}h \right) + c \left( \frac{d}{dx}g \right) + \frac{d}{dx}f \quad (9.1.39)$$

また、下記の関係がある。

$$\begin{aligned} \frac{d}{dc}y = g, & \quad \frac{d}{dc}p = \frac{d}{dx}g \\ \frac{d}{dd}y = h, & \quad \frac{d}{dd}p = \frac{d}{dx}h \end{aligned} \quad (9.1.40)$$

(9.1.34) 式を  $c$  および  $d$  で Taylor 展開すると、

$$\begin{aligned}
I &= \int_a^b F\left(x, f+e, d\left(\frac{d}{dx}h\right) + c\left(\frac{d}{dx}g\right) + \frac{d}{dx}f\right) dx \\
&= \int_a^b F\left(x, f+e, c\left(\frac{d}{dx}g\right) + \frac{d}{dx}f\right) dx \Big|_{d=0} + \int_a^b F\left(x, f+e, d\left(\frac{d}{dx}h\right) + \frac{d}{dx}f\right) dx \Big|_{c=0} \\
&\quad + \left( \int_a^b \frac{d}{dd} F\left(x, f+e, d\left(\frac{d}{dx}h\right) + c\left(\frac{d}{dx}g\right) + \frac{d}{dx}f\right) dx \Big|_{d=0} \right) d \\
&\quad + \frac{1}{2} \left( \int_a^b \frac{d^2}{dd^2} F\left(x, f+e, d\left(\frac{d}{dx}h\right) + c\left(\frac{d}{dx}g\right) + \frac{d}{dx}f\right) dx \Big|_{d=0} \right) d^2 \\
&\quad + \frac{1}{6} \left( \int_a^b \frac{d^3}{dd^3} F\left(x, f+e, d\left(\frac{d}{dx}h\right) + c\left(\frac{d}{dx}g\right) + \frac{d}{dx}f\right) dx \Big|_{d=0} \right) d^3 + \dots \\
&\quad + \left( \int_a^b \frac{d}{dc} F\left(x, f+e, d\left(\frac{d}{dx}h\right) + c\left(\frac{d}{dx}g\right) + \frac{d}{dx}f\right) dx \Big|_{c=0} \right) c \\
&\quad + \frac{1}{2} \left( \int_a^b \frac{d^2}{dc^2} F\left(x, f+e, d\left(\frac{d}{dx}h\right) + c\left(\frac{d}{dx}g\right) + \frac{d}{dx}f\right) dx \Big|_{c=0} \right) c^2 \\
&\quad + \frac{1}{6} \left( \int_a^b \frac{d^3}{dc^3} F\left(x, f+e, d\left(\frac{d}{dx}h\right) + c\left(\frac{d}{dx}g\right) + \frac{d}{dx}f\right) dx \Big|_{c=0} \right) c^3 + \dots
\end{aligned} \tag{9.1.41}$$

(9.1.41) 式の  $c$  の一乗項、 $d$  の一乗項を  $dI$  とし、次式となる。

$$\begin{aligned}
dI &= d \left( \int_a^b \frac{d}{dd} F\left(x, f+e, d\left(\frac{d}{dx}h\right) + c\left(\frac{d}{dx}g\right) + \frac{d}{dx}f\right) dx \Big|_{d=0} \right) \\
&\quad + c \left( \int_a^b \frac{d}{dc} F\left(x, f+e, d\left(\frac{d}{dx}h\right) + c\left(\frac{d}{dx}g\right) + \frac{d}{dx}f\right) dx \Big|_{c=0} \right)
\end{aligned} \tag{9.1.42}$$

上記の  $I$  と同様に (9.1.35) 式の  $J$  について同様に、

$$\begin{aligned}
J &= \int_a^b G\left(x, f+e, d\left(\frac{d}{dx}h\right) + c\left(\frac{d}{dx}g\right) + \frac{d}{dx}f\right) dx \\
&= \int_a^b G\left(x, f+e, c\left(\frac{d}{dx}g\right) + \frac{d}{dx}f\right) dx \Big|_{d=0} + \int_a^b G\left(x, f+e, d\left(\frac{d}{dx}h\right) + \frac{d}{dx}f\right) dx \Big|_{c=0} \\
&\quad + \left( \int_a^b \frac{d}{dd} G\left(x, f+e, d\left(\frac{d}{dx}h\right) + c\left(\frac{d}{dx}g\right) + \frac{d}{dx}f\right) dx \Big|_{d=0} \right) d \\
&\quad + \frac{1}{2} \left( \int_a^b \frac{d^2}{dd^2} G\left(x, f+e, d\left(\frac{d}{dx}h\right) + c\left(\frac{d}{dx}g\right) + \frac{d}{dx}f\right) dx \Big|_{d=0} \right) d^2 \\
&\quad + \frac{1}{6} \left( \int_a^b \frac{d^3}{dd^3} G\left(x, f+e, d\left(\frac{d}{dx}h\right) + c\left(\frac{d}{dx}g\right) + \frac{d}{dx}f\right) dx \Big|_{d=0} \right) d^3 + \dots \\
&\quad + \left( \int_a^b \frac{d}{dc} G\left(x, f+e, d\left(\frac{d}{dx}h\right) + c\left(\frac{d}{dx}g\right) + \frac{d}{dx}f\right) dx \Big|_{c=0} \right) c \\
&\quad + \frac{1}{2} \left( \int_a^b \frac{d^2}{dc^2} G\left(x, f+e, d\left(\frac{d}{dx}h\right) + c\left(\frac{d}{dx}g\right) + \frac{d}{dx}f\right) dx \Big|_{c=0} \right) c^2 \\
&\quad + \frac{1}{6} \left( \int_a^b \frac{d^3}{dc^3} G\left(x, f+e, d\left(\frac{d}{dx}h\right) + c\left(\frac{d}{dx}g\right) + \frac{d}{dx}f\right) dx \Big|_{c=0} \right) c^3 + \dots
\end{aligned} \tag{9.1.43}$$

(9.1.43) 式の  $c$  の一乗項、 $d$  の一乗項を  $dJ$  とし、次式となる。

$$dJ = d \left( \int_a^b \frac{d}{dd} G \left( x, f + e, d \left( \frac{d}{dx} h \right) + c \left( \frac{d}{dx} g \right) + \frac{d}{dx} f \right) dx \Big|_{d=0} \right) + c \left( \int_a^b \frac{d}{dc} G \left( x, f + e, d \left( \frac{d}{dx} h \right) + c \left( \frac{d}{dx} g \right) + \frac{d}{dx} f \right) dx \Big|_{c=0} \right) \quad (9.1.44)$$

```
DFC1: 'diff(F,c,1)=diff(F,c,1);
DFC2: subst([DYC1,DPC1],%);
DFD1: 'diff(F,d,1)=diff(F,d,1);
DFD2: subst([DYD1,DPD1],%);
DF1: c*DFC2+d*DFD2;
DF11: subst([F=F(x,y,'diff(y,x,1)),h=h(x),
g=g(x)],%);
dI='integrate(lhs(DF11),x,a,b);
DI1:dI='integrate(first(rhs(DF11)),x,a,b)
+'integrate(last(rhs(DF11)),x,a,b);
subst(['diff(h(x),x,1)=-h(x),'diff(g(x),x,
1)=-g(x),'diff(F(x,y,'diff(y,x,1)),p,1)
='diff('diff(F(x,y,'diff(y,x,1)),p,1),x,1)
],%);
DI2: factor(%);
DJ2: subst([dI=dJ,F=G],%);
DI3: first(rhs(DI2))=-last(rhs(DI2));
DJ3: first(rhs(DJ2))=-last(rhs(DJ2));
DI3/DJ3;
lhs(%)=K;
%*denom(lhs(%));
```

```
lhs(%) - rhs(%) = 0;
%*denom(first(lhs(%)));
('diff(F(x,y,'diff(y,x,1)),y,1) - 'diff(F(x,
y,'diff(y,x,1)),p,1,x,1)) - K*('diff(G(x,y,'diff(y,x,1)),y,1) - 'diff(G(x,y,'diff(y,x,1)),p,1,x,1)) = 0;
'diff((F-K*G),y,1)
-'diff('diff((F-K*G),p,1),x,1) = 0;
H=F-K*G;
```

(9.1.42) 式から、 $\frac{d}{dc} F$ ,  $\frac{d}{dd} F$  は、

$$\begin{aligned} \frac{d}{dc} F &= \left( \frac{d}{dc} y \right) \left( \frac{d}{dy} F \right) + \left( \frac{d}{dc} p \right) \left( \frac{d}{dp} F \right) \\ &= g \left( \frac{d}{dy} F \right) + \left( \frac{d}{dx} g \right) \left( \frac{d}{dp} F \right) \end{aligned} \quad (9.1.45)$$

$$\begin{aligned} \frac{d}{dd} F &= \left( \frac{d}{dd} y \right) \left( \frac{d}{dy} F \right) + \left( \frac{d}{dd} p \right) \left( \frac{d}{dp} F \right) \\ &= h \left( \frac{d}{dy} F \right) + \left( \frac{d}{dx} h \right) \left( \frac{d}{dp} F \right) \end{aligned} \quad (9.1.46)$$

(9.1.42) 式に (9.1.45) 式、(9.1.46) 式を代入し、部分積分を行い、端部:  $x = a, b$  で  $g = 0, h = 0$  であるから、

$$\begin{aligned} dI &= \int_a^b d \left( \frac{d}{dd} F \left( x, y, \frac{d}{dx} y \right) \right) + c \left( \frac{d}{dc} F \left( x, y, \frac{d}{dx} y \right) \right) dx \\ &= d \int_a^b h(x) \left( \frac{d}{dy} F \left( x, y, \frac{d}{dx} y \right) \right) + \left( \frac{d}{dx} h(x) \right) \left( \frac{d}{dp} F \left( x, y, \frac{d}{dx} y \right) \right) dx \\ &\quad + c \int_a^b g(x) \left( \frac{d}{dy} F \left( x, y, \frac{d}{dx} y \right) \right) + \left( \frac{d}{dx} g(x) \right) \left( \frac{d}{dp} F \left( x, y, \frac{d}{dx} y \right) \right) dx \\ &= d \int_a^b h(x) \left( \frac{d}{dy} F \left( x, y, \frac{d}{dx} y \right) \right) - h(x) \left( \frac{d^2}{dp dx} F \left( x, y, \frac{d}{dx} y \right) \right) dx \\ &\quad + c \int_a^b g(x) \left( \frac{d}{dy} F \left( x, y, \frac{d}{dx} y \right) \right) - g(x) \left( \frac{d^2}{dp dx} F \left( x, y, \frac{d}{dx} y \right) \right) dx \\ &= d \int_a^b h(x) \left( \frac{d}{dy} F \left( x, y, \frac{d}{dx} y \right) - \frac{d^2}{dp dx} F \left( x, y, \frac{d}{dx} y \right) \right) dx \\ &\quad + c \int_a^b g(x) \left( \frac{d}{dy} F \left( x, y, \frac{d}{dx} y \right) - \frac{d^2}{dp dx} F \left( x, y, \frac{d}{dx} y \right) \right) dx \end{aligned} \quad (9.1.47)$$

$dJ$  についても上記と同様に行うと、

$$\begin{aligned} dJ &= d \int_a^b h(x) \left( \frac{d}{dy} G \left( x, y, \frac{d}{dx} y \right) - \frac{d^2}{dp dx} G \left( x, y, \frac{d}{dx} y \right) \right) dx \\ &\quad + c \int_a^b g(x) \left( \frac{d}{dy} G \left( x, y, \frac{d}{dx} y \right) - \frac{d^2}{dp dx} G \left( x, y, \frac{d}{dx} y \right) \right) dx \end{aligned} \quad (9.1.48)$$



$I$  の極値は  $dI = 0$  で得られる。また、 $J$  の付帯条件の  $J = C$  では、 $dJ = 0$  となるから、(9.1.47) 式、(9.1.48) 式は、

$$\begin{aligned} & d \int_a^b h(x) \left( \frac{d}{dy} F \left( x, y, \frac{d}{dx} y \right) - \frac{d^2}{dp dx} F \left( x, y, \frac{d}{dx} y \right) \right) dx \\ &= -c \int_a^b g(x) \left( \frac{d}{dy} F \left( x, y, \frac{d}{dx} y \right) - \frac{d^2}{dp dx} F \left( x, y, \frac{d}{dx} y \right) \right) dx \\ & d \int_a^b h(x) \left( \frac{d}{dy} G \left( x, y, \frac{d}{dx} y \right) - \frac{d^2}{dp dx} G \left( x, y, \frac{d}{dx} y \right) \right) dx \\ &= -c \int_a^b g(x) \left( \frac{d}{dy} G \left( x, y, \frac{d}{dx} y \right) - \frac{d^2}{dp dx} G \left( x, y, \frac{d}{dx} y \right) \right) dx \end{aligned} \quad (9.1.49)$$

上式の比をとると、

$$\frac{\int_a^b h(x) \left( \frac{d}{dy} F \left( x, y, \frac{d}{dx} y \right) - \frac{d^2}{dp dx} F \left( x, y, \frac{d}{dx} y \right) \right) dx}{\int_a^b h(x) \left( \frac{d}{dy} G \left( x, y, \frac{d}{dx} y \right) - \frac{d^2}{dp dx} G \left( x, y, \frac{d}{dx} y \right) \right) dx} = \frac{\int_a^b g(x) \left( \frac{d}{dy} F \left( x, y, \frac{d}{dx} y \right) - \frac{d^2}{dp dx} F \left( x, y, \frac{d}{dx} y \right) \right) dx}{\int_a^b g(x) \left( \frac{d}{dy} G \left( x, y, \frac{d}{dx} y \right) - \frac{d^2}{dp dx} G \left( x, y, \frac{d}{dx} y \right) \right) dx}$$

上式で  $h(x)$ ,  $g(x)$  を任意に選んでも成り立たねばならない。ゆえに、次式のように、この比  $K$  は  $x$  に無関係な定数とならねばならない。

$$\frac{\int_a^b h(x) \left( \frac{d}{dy} F \left( x, y, \frac{d}{dx} y \right) - \frac{d^2}{dp dx} F \left( x, y, \frac{d}{dx} y \right) \right) dx}{\int_a^b h(x) \left( \frac{d}{dy} G \left( x, y, \frac{d}{dx} y \right) - \frac{d^2}{dp dx} G \left( x, y, \frac{d}{dx} y \right) \right) dx} = K$$

上式から、

$$\begin{aligned} & \int_a^b h(x) \left( \frac{d}{dy} F \left( x, y, \frac{d}{dx} y \right) - \frac{d^2}{dp dx} F \left( x, y, \frac{d}{dx} y \right) \right) dx \\ & - \int_a^b h(x) \left( \frac{d}{dy} G \left( x, y, \frac{d}{dx} y \right) - \frac{d^2}{dp dx} G \left( x, y, \frac{d}{dx} y \right) \right) dx K = 0 \end{aligned}$$

上式で任意の  $h(x)$  で成り立つためには、次式の被積分関数が零とならねばならない。

$$- \left( \frac{d}{dy} G \left( x, y, \frac{d}{dx} y \right) - \frac{d^2}{dp dx} G \left( x, y, \frac{d}{dx} y \right) \right) K + \frac{d}{dy} F \left( x, y, \frac{d}{dx} y \right) - \frac{d^2}{dp dx} F \left( x, y, \frac{d}{dx} y \right) = 0$$

上式を簡略化すると、

$$\frac{d}{dy} (F - GK) - \frac{d^2}{dp dx} (F - GK) = 0$$

(9.1.6) 式のオイラーの微分方程式から、

$$\frac{d}{dy} H - \frac{d^2}{dp dx} H = 0 \quad (9.1.50)$$

以上から、オイラーの微分方程式の  $H$  として次式とすると、付帯条件のついた変分問題が解ける。

$$H = F - GK \quad (9.1.51)$$

ここで  $F, G$  は (9.1.34) 式、(9.1.35) 式の下記の関数で、 $K$  は定数である。

$$I = \int_a^b F \left( x, y, \frac{d}{dx} y \right) dx, \quad J = \int_a^b G \left( x, y, \frac{d}{dx} y \right) dx = C \quad (9.1.52)$$

## 9.2 変分問題

### 9.2.1 二点を結ぶ最短曲線

$x, y$  座標において、二点  $(x_1, y_1), (x_2, y_2)$  を結ぶ曲線で最短距離となる曲線を求める。

```
kill(all);
depends(H,x,y,p);
depends(y,x);
depends(p,x);
S1:ds=sqrt(dx^2+dy^2);
S2:ds=sqrt(1+diff(y,x,1)^2)*dx;
S3:S='integrate(rhs(S2)/dx,x,x[1],x[2]);
H1:H=rhs(S2)/dx;
P1:p=diff(y,x,1);
P2:diff(y,x,1)=p;
H2:subst([P2],H1);
E1:'diff(H,y,1)-'diff('diff(H,p,1),x,1)=0;
H3:subst([H2],E1);
first(lhs(H3));
ev(%,diff);
last(lhs(H3))=0;
'diff(H,p,1)=diff(rhs(H2),p,1);
rhs(%)=%c1;
solve(%^2,p);
P3:p=%c2;
subst([P1],%);
ode2(%,y,x);
```

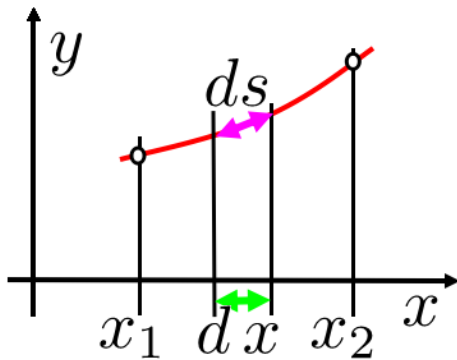


図 9.2.1: 二点を結ぶ最短曲線

曲線の線分:  $ds$  は次式で表せる。

$$ds = \sqrt{dy^2 + dx^2} = dx \sqrt{\left(\frac{d}{dx}y\right)^2 + 1} \quad (9.2.1)$$

上式を  $x$  で積分することで、二点を結ぶ曲線の距離が得られる。

$$S = \int_{x_1}^{x_2} \sqrt{\left(\frac{d}{dx}y\right)^2 + 1} dx$$

上式の  $S$  の最小を与える条件を求める。上式は (9.1.1) 式に対応しており、ここにおける  $H$  は下記となる。

$$H = \sqrt{\left(\frac{d}{dx}y\right)^2 + 1}$$

ここで下記とすると、

$$\frac{d}{dx}y(x) = p(x)$$

$H$  は、

$$H = \sqrt{p^2 + 1} \quad (9.2.2)$$

(9.1.6) 式のオイラーの微分方程式は、

$$\frac{d}{dy}H - \frac{d^2}{dp dx}H = 0$$

上式に (9.2.2) 式の  $H$  を代入すると、

$$\frac{d}{dy}\sqrt{p^2 + 1} - \frac{d^2}{dp dx}\sqrt{p^2 + 1} = 0$$

左辺第一項は零となり、左辺第二項は

$$-\frac{d^2}{dp dx}H = -\frac{d^2}{dp dx}\sqrt{p^2 + 1} = 0 \quad (9.2.3)$$

ここで、

$$\frac{d}{dp}H = \frac{p}{\sqrt{p^2 + 1}}$$

(9.2.3) 式を  $x$  で積分し、上式から、

$$\frac{p}{\sqrt{p^2 + 1}} = \%c1$$

上式を解くと、

$$\left[ p = -\frac{i \%c1}{\sqrt{\%c1^2 - 1}}, p = \frac{i \%c1}{\sqrt{\%c1^2 - 1}} \right]$$

右辺は定数であり、下記とする。

$$p = \%c2$$

上式から、

$$\frac{d}{dx}y = \%c2$$

上式の微分方程式を `ode2` 関数で解き、

$$y = \%c2x + \%c$$

上式から二点を結ぶ最短距離の曲線は直線である。

## 9.2.2 最速降下線

$x, y$  座標で水平方向に  $x$  軸、鉛直下方に  $y$  軸とする。二点  $(x_1, y_1), (x_2, y_2)$  を結ぶ曲線で、高い方から低い方に質点が滑っていく。このとき経過時間が最小となる曲線を求める。

```
kill(all);
depends(H, [x, y]);
S1: ds=sqrt(dx^2+dy^2);
S2: ds=sqrt(1+diff(y(x), x, 1)^2)*dx;
1/2*m*v^2=m*G*y(x)+%k1;
solve(%, v) [2];
V1: v=sqrt(y(x)+%k);
dt=ds/v;
T1: dt=rhs(S2)/sqrt(y(x)+%k);
S3: T='integrate(rhs(T1)/dx, x, x[1], x[2]);
H1: H=rhs(T1)/dx;
P1: p(x)=diff(y(x), x, 1);
P2: diff(y(x), x, 1)=p(x);
H2: subst([P2], H1);
E1: 'diff(H, y(x), 1)-'diff('diff(H, p(x), 1),
x, 1)=0;
rhs(H2)-p(x)*diff(rhs(H2), p(x), 1)=C;
factor(%);
denom(lhs(%))=C;
H3: subst([P1], %);
DY1: 'diff(y(x), x, 1)=cot(\theta);
subst([DY1], H3);
trigsimp(%);
Y1:%*abs(sin(\theta));
Y1^2;
Y2:solve(%, y(x)) [1];
DY2: 'diff(y(x), \theta, 1)=diff(rhs(Y2),
\theta, 1);
X1:x='integrate(tan(\theta)*rhs(DY2),
\theta);
trigsimp(%);
X3: lhs(%)=ev(rhs(%), integrate)+%c;
Y3:y=trigrat(rhs(Y2));
X41:subst([%c=0, \theta=t, C^2=1], rhs(X3));
Y41:subst([%k=0, \theta=t, C^2=1], rhs(-Y3));
plot2d([parametric, X41, Y41, [t, 0, %pi],
[nticks, 100]]);
```

曲線の線分:  $ds$  は次式で表せる。

$$ds = \sqrt{dy^2 + dx^2} = dx \sqrt{\left(\frac{d}{dx} y\right)^2 + 1} \quad (9.2.4)$$

質量:  $m$ 、重力加速度:  $G$ 、質点の速さ:  $v$  とすると、

運動エネルギーと位置エネルギーの関係から、

$$\frac{mv^2}{2} = m y(x) G + \%k1$$

上式から  $v$  は下記となり、

$$v = \sqrt{2} \sqrt{y(x) G + \frac{\%k1}{m}}$$

簡素化して、

$$v = \sqrt{y(x) + \%k} \quad (9.2.5)$$

$ds$  を通過する時間:  $dt$  は、

$$dt = \frac{ds}{v} = \frac{dx \sqrt{\left(\frac{d}{dx} y(x)\right)^2 + 1}}{\sqrt{y(x) + \%k}}$$

二点間を質点が移動する時間:  $T$  は上式を積分して、

$$T = \int_{x_1}^{x_2} \frac{\sqrt{\left(\frac{d}{dx} y(x)\right)^2 + 1}}{\sqrt{y(x) + \%k}} dx$$

上式の  $T$  の最小を与える条件を求める。上式は (9.1.1) 式に対応しており、ここにおける  $H$  は下記となる。

$$H = \frac{\sqrt{\left(\frac{d}{dx} y(x)\right)^2 + 1}}{\sqrt{y(x) + \%k}}$$

ここで下記とすると、

$$\frac{d}{dx} y(x) = p(x) \quad (9.2.6)$$

$H$  は、

$$H = \frac{\sqrt{p(x)^2 + 1}}{\sqrt{y(x) + \%k}} \quad (9.2.7)$$

オイラーの微分方程式を  $y(x)$  で積分した (9.1.7) 式は、

$$H - p \left( \frac{d}{dp} H \right) = C$$

上式に (9.2.7) 式の  $H$  を代入すると、

$$\frac{\sqrt{p(x)^2 + 1}}{\sqrt{y(x) + \%k}} - \frac{p(x)^2}{\sqrt{p(x)^2 + 1} \sqrt{y(x) + \%k}} = C$$

上式を整理すると、

$$\frac{1}{\sqrt{p(x)^2 + 1} \sqrt{y(x) + \%k}} = C$$

上式は下記とも書ける。

$$\sqrt{p(x)^2 + 1} \sqrt{y(x) + \%k} = C$$

上式に (9.2.6) 式を代入すると、

$$\sqrt{y(x) + \%k} \sqrt{\left(\frac{d}{dx} y(x)\right)^2 + 1} = C \quad (9.2.8)$$

$\frac{d}{dx}y(x)$  を次式で置き換える。

$$\frac{d}{dx}y(x) = \cot(\theta) \quad (9.2.9)$$

上式を (9.2.8) 式に代入すると、

$$\sqrt{\cot(\theta)^2 + 1} \sqrt{y(x) + \%k} = C$$

上式を整理すると、

$$y(x) = \sin(\theta)^2 C^2 - \%k \quad (9.2.10)$$

上式を  $\theta$  で微分すると、

$$\frac{d}{d\theta}y(x) = 2 \cos(\theta) \sin(\theta) C^2 \quad (9.2.11)$$

(9.2.9) 式から、

$$dx = \tan(\theta) dy(x)$$

(9.2.11) 式を使って上式を積分すると、

$$\begin{aligned} x &= \int \tan(\theta) dy(x) \\ &= 2 \int \cos(\theta) \sin(\theta) \tan(\theta) d\theta C^2 \\ &= 2 \int \sin(\theta)^2 d\theta C^2 \end{aligned}$$

上式を整理し、(9.2.10) 式から、最速降下曲線は次式となる。

$$\begin{aligned} x &= \left( \theta - \frac{\sin(2\theta)}{2} \right) C^2 + \%c \\ y &= -\frac{(\cos(2\theta) - 1) C^2 + 2 \%k}{2} \end{aligned}$$

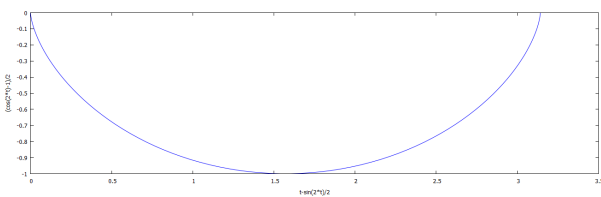


図 9.2.2: 最速降下線  $C = 1$

### 9.2.3 光の屈折

屈折率： $\mu$  が異なる媒体 ( $x < 0$  で  $\mu_1, x > 0$  で  $\mu_2$ ) の中を進む光の光路を求める。ここで光速： $v(x)$  と屈折率の関係は  $\mu(x)v(x) = C$  とし、ある二点間を通過する経過時間： $T$  が最小となるフェルマーの光路程最小の原理によるものとする。

```
kill(all);
depends(H,x,y,p);
depends(y,x);
S1:ds=sqrt(dx^2+dy^2);
S2:ds=sqrt(1+diff(y,x,1)^2)*dx;
T1:dt=rhs(S2)/v(x);
T2:T='integrate(rhs(T1)/dx,x,x[1],x[2]);
H1:H=rhs(T1)/dx;
P1:p(x)=diff(y,x,1);
P2:diff(y,x,1)=p(x);
H2:subst([P2],H1);
E1:'diff(H,y,1)-diff('diff(H,p(x),1),x,1)
=0;
H3:subst([H2],E1);
first(lhs(H3));
ev(%diff);
last(lhs(H3))=0;
diff(rhs(H2),p(x),1)=%c1;
subst([P1],%);
H4:%*v(x);
assume(cos(\theta(x))>0);
subst(['diff(y,x,1)=tan(\theta(x))],H4);
trigsimp(%);
subst([v(x)=C/\mu(x)],%);
%*\mu(x);
lhs(%)=%c;
\mu[1]*sin(\theta[1])=\mu[2]*
sin(\theta[2]);
%/\mu[1]/sin(\theta[2]);
```

曲線の線分： $ds$  は次式で表せる。

$$ds = \sqrt{dy^2 + dx^2} = dx \sqrt{\left(\frac{d}{dx}y\right)^2 + 1} \quad (9.2.12)$$

経過時間は上式を速度： $v(x)$  で割って、

$$dt = \frac{dx \sqrt{\left(\frac{d}{dx}y\right)^2 + 1}}{v(x)}$$

上式を積分し、 $x_1 \rightarrow x_2$  までの経過時間： $T$  は、

$$T = \int_{x_1}^{x_2} \frac{\sqrt{\left(\frac{d}{dx}y\right)^2 + 1}}{v(x)} dx$$

上式の  $T$  の最小を与える条件を求める。上式は (9.1.1) 式に対応しており、ここにおける  $H$  は下記となる。

$$H = \frac{\sqrt{\left(\frac{d}{dx}y\right)^2 + 1}}{v(x)}$$

ここで下記とすると、

$$\frac{d}{dx}y(x) = p(x) \quad (9.2.13)$$

$H$  は、

$$H = \frac{\sqrt{p(x)^2 + 1}}{v(x)} \quad (9.2.14)$$

(9.1.6) 式のオイラーの微分方程式は、

$$\frac{d}{dy}H - \frac{d^2}{dx dp(x)}H = 0$$

左辺第一項は零となり、左辺第二項は

$$-\frac{d^2}{dx dp(x)} \frac{\sqrt{p(x)^2 + 1}}{v(x)} = 0$$

$p(x)$  で微分を実行し、 $x$  で積分すると、

$$\frac{p(x)}{\sqrt{p(x)^2 + 1} v(x)} = \%c1$$

上式に (9.2.13) 式を代入し、 $\frac{d}{dx}y = \tan(\theta(x))$  と置くと

$$\frac{\tan(\theta(x))}{\sqrt{\tan(\theta(x))^2 + 1}} = \%c1 v(x)$$

上式を整理し、

$$\sin(\theta(x)) = \%c1 v(x)$$

$\mu(x)v(x) = C$  とすると、

$$\mu(x) \sin(\theta(x)) = \%c1 C$$

上式の右辺は一定となり、スネルの法則が得られた。

$$\mu_1 \sin(\theta_1) = \mu_2 \sin(\theta_2)$$

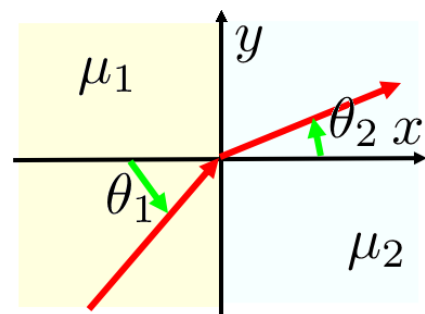


図 9.2.3: 光の屈折

## 9.2.4 高さにより光速が変化する場合の光路

$x$  軸を水平方向、 $y$  軸を鉛直上方とする。いま、光速： $v$  が高さ方向に線形な関係： $v = v_0 (1 - y(x) C)$  とする。ここで、 $x$  軸上のある二点間を通過する経過時間： $T$  が最小となるフェルマーの光路最小の原理による時の光路を求める。

```
kill(all);
depends(H,x,y,p);
S1:ds=sqrt(dx^2+dy^2);
S2:ds=sqrt(1+diff(y(x),x,1)^2)*dx;
T1:dt=rhs(S2)/v;
V1:v=v[0]*(1-C*y(x));
T2:subst([V1],T1);
T3:T='integrate(rhs(T2)/dx,x,x[1],x[2]);
H1:H=rhs(T2)/dx;
P1:p(x)=diff(y(x),x,1);
P2:diff(y(x),x,1)=p(x);
H2:subst([P2],H1);
E1:'diff(H,y(x),1)-diff('diff(H,p(x),1),
  x,1)=0;
rhs(H2)-p(x)*diff(rhs(H2),p(x),1)=%c1;
ev(%diff);
factor(%);
%*v[0]*(1-y(x)*C);
factor(%);
%^2;
subst([v[0]=%c2/%c1],%);
solve(%p(x))[1];
H4:subst([P1],%);
ode2(%y(x),x);
ode2(lhs(H4)=-rhs(H4),y(x),x);
%^2;
expand(lhs(%))=rhs(%);
H5:%-((2*y(x))/C-1/C^2-y(x)^2);
rhs(%)-last(rhs(%));
factor(%);
lhs(H5)=%+last(rhs(H5));
subst([%c2=v[0]*%c1],%);
lhs(%)=(y(x)-1/C)^2+last(rhs(%));
```

曲線の線分： $ds$  は次式で表せる。

$$ds = \sqrt{dy^2 + dx^2} = dx \sqrt{\left(\frac{d}{dx} y\right)^2 + 1} \quad (9.2.15)$$

光速： $v$  の高さ方向に線形な関係は、

$$v = v_0 (1 - y(x) C) \quad (9.2.16)$$

経過時間は (9.2.15) 式を上式で速度： $v$  で割って、

$$dt = \frac{dx \sqrt{\left(\frac{d}{dx} y(x)\right)^2 + 1}}{v_0 (1 - y(x) C)}$$

上式を積分して経過時間を求めると、

$$T = \frac{1}{v_0} \int_{x_1}^{x_2} \frac{\sqrt{\left(\frac{d}{dx} y(x)\right)^2 + 1}}{1 - y(x) C} dx$$

上式の  $T$  の最小を与える条件を求める。上式は (9.1.1) 式に対応しており、ここにおける  $H$  は下記となる。

$$H = \frac{\sqrt{\left(\frac{d}{dx} y(x)\right)^2 + 1}}{v_0 (1 - y(x) C)}$$

ここで下記とすると、

$$\frac{d}{dx} y(x) = p(x) \quad (9.2.17)$$

$H$  は、

$$H = \frac{\sqrt{p(x)^2 + 1}}{v_0 (1 - y(x) C)} \quad (9.2.18)$$

オイラーの微分方程式を  $y$  で積分した (9.1.7) 式は、

$$H - p \left( \frac{d}{dp} H \right) = \%c1 \quad (9.2.19)$$

(9.2.18) 式を上式に代入すると、

$$\frac{\sqrt{p(x)^2 + 1}}{v_0 (1 - y(x) C)} - p(x) \left( \frac{d}{dp(x)} \frac{\sqrt{p(x)^2 + 1}}{v_0 (1 - y(x) C)} \right) = \%c1$$

$p(x)$  で微分すると、

$$\frac{\sqrt{p(x)^2 + 1}}{v_0 (1 - y(x) C)} - \frac{p(x)^2}{v_0 \sqrt{p(x)^2 + 1} (1 - y(x) C)} = \%c1$$

上式を整理すると、

$$-\frac{1}{v_0 \sqrt{p(x)^2 + 1} (y(x) C - 1)} = \%c1$$

両辺に  $v_0 (1 - y(x) C)$  を掛け、

$$\frac{1}{\sqrt{p(x)^2 + 1}} = -v_0 \%c1 (y(x) C - 1)$$

両辺を自乗し、

$$\frac{1}{p(x)^2 + 1} = v_0^2 \%c1^2 (y(x) C - 1)^2$$

$v_0^2 \%c1^2 \rightarrow \%c2^2$  に置き換え、

$$\frac{1}{p(x)^2 + 1} = \%c2^2 (y(x) C - 1)^2$$

$p(x)$  を求め、

$$p(x) = -\frac{\sqrt{-\%c2^2 y(x)^2 C^2 + 2 \%c2^2 y(x) C - \%c2^2 + 1}}{\%c2 y(x) C - \%c2}$$

(9.2.17) 式を上式に代入すると、

$$\frac{d}{dx} y(x) = -\frac{\sqrt{-\%c2^2 y(x)^2 C^2 + 2 \%c2^2 y(x) C - \%c2^2 + 1}}{\%c2 y(x) C - \%c2}$$

上式を積分し、

$$\frac{\sqrt{-\%c2^2 y(x)^2 C^2 + 2 \%c2^2 y(x) C - \%c2^2 + 1}}{\%c2 C} = x + \%c$$

両辺を自乗し、

$$\frac{-\%c2^2 y(x)^2 C^2 + 2 \%c2^2 y(x) C - \%c2^2 + 1}{\%c2^2 C^2} = (x + \%c)^2$$

上式を整理すると、

$$\frac{1}{\%c2^2 C^2} = -\frac{2y(x)}{C} + \frac{1}{C^2} + y(x)^2 + (x + \%c)^2$$

上式から、

$$\frac{1}{v_0^2 \%c1^2 C^2} = \left( y(x) - \frac{1}{C} \right)^2 + (x + \%c)^2$$

上式から光路は円弧となる。

## 9.2.5 曲線長さ一定で面積最大の曲線

$x, y$  座標で、二点  $(x_1, y_1), (x_2, y_2)$  を結ぶ曲線の長さ  $L$  が与えられ、 $x$  軸と曲線間の面積が最大となる曲線を求める。

```
kill(all);
depends(H,x,y,p);
S1:ds=sqrt(dx^2+dy^2);
S2:ds=sqrt(1+diff(y(x),x,1)^2)*dx;
S3:L='integrate(rhs(S2)/dx,x,x[1],x[2]);
G1:G=rhs(S2)/dx;
S4:S='integrate(y(x),x,x[1],x[2]);
F1:F=y(x);
H1:H=F+K*G;
H2:subst([F1,G1],%);
P1:p(x)=diff(y(x),x,1);
P2:diff(y(x),x,1)=p(x);
H3:subst([P2],H2);
E1:'diff(H,y(x),1)-'diff('diff(H,p(x),1),
x,1)=0;
H4:subst([H3],E1);
first(lhs(H4));
H41:%=ev(%,diff);
H42:diff(rhs(H3),p(x),1);
rhs(H41)-'diff(%,x,1)=0;
-(%-1);
integrate(%,x);
H42=x+%d;
%^2;
solve(%,p(x))[2];
subst([P1],%);
ode2(%,y(x),x);
%-%c;
%^2;
lhs(%)+(x+%d)^2=K^2;
```

曲線の線分  $ds$  は次式で表せる。

$$ds = \sqrt{dy^2 + dx^2} = dx \sqrt{\left(\frac{d}{dx} y\right)^2 + 1} \quad (9.2.20)$$

$x_1$  から  $x_2$  までの曲線長さ  $L$  は、

$$L = \int_{x_1}^{x_2} \sqrt{\left(\frac{d}{dx} y(x)\right)^2 + 1} dx \quad (9.2.21)$$

$x_1$  から  $x_2$  までの  $x$  軸と曲線間の面積  $S$  は、

$$S = \int_{x_1}^{x_2} y(x) dx \quad (9.2.22)$$

$S$  を最大にする問題は、付帯条件のついた変分問題であり、(9.1.50) 式、(9.1.51) 式、(9.1.52) 式から

$$G = \sqrt{\left(\frac{d}{dx} y(x)\right)^2 + 1}$$

$$F = y(x)$$

ここで下記とすると、

$$\frac{d}{dx} y(x) = p(x)$$

オイラーの微分方程式として、

$$\frac{d}{dy(x)} H - \frac{d^2}{dx dp(x)} H = 0 \quad (9.2.23)$$

としたとき、オイラーの微分方程式の  $H$  として

$$H = GK + F = \sqrt{\left(\frac{d}{dx} y(x)\right)^2 + 1} K + y(x)$$

$$= \sqrt{p(x)^2 + 1} K + y(x)$$

上式を (9.2.23) 式のオイラーの微分方程式に代入し、

$$\frac{d}{dy(x)} \left( \sqrt{p(x)^2 + 1} K + y(x) \right)$$

$$- \frac{d^2}{dx dp(x)} \left( \sqrt{p(x)^2 + 1} K + y(x) \right) = 0 \quad (9.2.24)$$

左辺第一項は、

$$\frac{d}{dy(x)} H = \frac{d}{dy(x)} \left( \sqrt{p(x)^2 + 1} K + y(x) \right) = 1$$

左辺第二項の  $p(x)$  での微分結果は、

$$\frac{d}{dp(x)} H = \frac{p(x) K}{\sqrt{p(x)^2 + 1}}$$

以上から、(9.2.24) 式は、

$$1 - \frac{d}{dx} \frac{p(x) K}{\sqrt{p(x)^2 + 1}} = 0$$

上式を変形し、

$$\frac{d}{dx} \frac{p(x) K}{\sqrt{p(x)^2 + 1}} = 1$$

$x$  で積分すると、

$$\frac{p(x) K}{\sqrt{p(x)^2 + 1}} = x + \%d$$

自乗すると、

$$\frac{p(x)^2 K^2}{p(x)^2 + 1} = (x + \%d)^2$$



$p(x)$  を求めると、

$$p(x) = \frac{d}{dx} y(x) = \frac{x + d}{\sqrt{K^2 - x^2 - 2dx - d^2}}$$

ode2 関数で解： $y(x)$  を求めると、

$$y(x) = c - \sqrt{K^2 - x^2 - 2dx - d^2}$$

変形し、

$$y(x) - c = -\sqrt{K^2 - x^2 - 2dx - d^2}$$

自乗すると、

$$(y(x) - c)^2 = K^2 - x^2 - 2dx - d^2$$

以上から、次式が得られ、曲線の長さ： $L$  が与えられ、 $x$  軸と曲線間の面積が最大となる曲線は円弧である。

$$(y(x) - c)^2 + (x + d)^2 = K^2$$

## 9.2.6 鎖の形状

$x, y$  座標で、二点  $(x_1, y_1), (x_2, y_2)$  に長さ  $L$  の鎖の両端を吊した時の鎖の形状を求める。鎖の単位長さあたりの質量  $m$ 、重力加速度  $g$  とする。

```
kill(all);
depends(H,x,y,p);
S1:ds=sqrt(dx^2+dy^2);
S2:ds=sqrt(1+diff(y(x),x,1)^2)*dx;
S3:L='integrate(rhs(S2)/dx,x,x[1],x[2]);
G1:G=rhs(S2)/dx;
U1:dU=m*g*y(x)*ds;
U2:subst([S2],%);
U3:U='integrate(rhs(U2)/dx,x,x[1],x[2]);
F1:F=rhs(U2)/dx;
H1:H=F+K*G;
H2:subst([F1,G1],%);
P1:p(x)=diff(y(x),x,1);
P2:diff(y(x),x,1)=p(x);
H3:subst([P2],H2);
E1:H-p(x)*diff(H,p(x),1)=C;
H42:diff(rhs(H3),p(x),1);
rhs(H3)-p(x)*H42=C;
%*sqrt(p(x)^2+1);
expand(%);
subst([g=1/m],%);
%^2;
%/C^2-1;
H5:p(x)=sqrt(lhs(%));
H51:h(x)=(y(x)+K)/C;
H52:solve(H51,y(x))[1];
subst([P1,H52],H5);
H6:ev(%,diff);
ode2(%,h(x),x);
1/rhs(H6)*dh(x)=1/C*dx;
acosh(x);
'diff(%,x,1)=diff(%,x,1);
acosh(h(x))=(x-d)/C;
h(x)=cosh(rhs(%));
subst([H51],%);
```

鎖の微小長さ  $ds$  は次式で表せる。

$$ds = \sqrt{dy^2 + dx^2} = dx \sqrt{\left(\frac{d}{dx} y\right)^2 + 1} \quad (9.2.25)$$

$x_1$  から  $x_2$  までの鎖の長さ  $L$  は、

$$L = \int_{x_1}^{x_2} \sqrt{\left(\frac{d}{dx} y(x)\right)^2 + 1} dx \quad (9.2.26)$$

鎖の微小長さ  $ds$  の位置ポテンシャル  $dU$  とすると、

$$\begin{aligned} dU &= ds g m y(x) \\ &= dx g m y(x) \sqrt{\left(\frac{d}{dx} y(x)\right)^2 + 1} \end{aligned}$$

$x_1$  から  $x_2$  までの鎖の位置ポテンシャル  $U$  は、

$$U = g m \int_{x_1}^{x_2} y(x) \sqrt{\left(\frac{d}{dx} y(x)\right)^2 + 1} dx$$

鎖は位置ポテンシャル  $U$  が最小になるような形状となる。鎖の長さ  $L$  が一定で、 $U$  を最小にする問題は、付帯条件のついた変分問題であり、(9.1.50) 式、(9.1.51) 式、(9.1.52) 式から

$$\begin{aligned} G &= \sqrt{\left(\frac{d}{dx} y(x)\right)^2 + 1} \\ F &= g m y(x) \sqrt{\left(\frac{d}{dx} y(x)\right)^2 + 1} \\ H &= G K + F \end{aligned}$$

以上からオイラーの微分方程式の  $H$  は、

$$\begin{aligned} H &= \sqrt{\left(\frac{d}{dx} y(x)\right)^2 + 1} K \\ &+ g m y(x) \sqrt{\left(\frac{d}{dx} y(x)\right)^2 + 1} \end{aligned}$$

ここで下記とすると、

$$\frac{d}{dx} y(x) = p(x)$$

$H$  は、

$$H = \sqrt{p(x)^2 + 1} K + g m \sqrt{p(x)^2 + 1} y(x) \quad (9.2.27)$$

オイラーの微分方程式として、 $y$  で積分した (9.1.7) 式を用い、

$$H - p(x) \left(\frac{d}{dp(x)} H\right) = C \quad (9.2.28)$$

上式の  $\frac{d}{dp(x)} H$  は、

$$\frac{d}{dp(x)} H = \frac{p(x) K}{\sqrt{p(x)^2 + 1}} + \frac{g m p(x) y(x)}{\sqrt{p(x)^2 + 1}}$$

上記の結果を (9.2.28) 式に代入すると、

$$\begin{aligned} -p(x) \left( \frac{p(x) K}{\sqrt{p(x)^2 + 1}} + \frac{g m p(x) y(x)}{\sqrt{p(x)^2 + 1}} \right) \\ + \sqrt{p(x)^2 + 1} K + g m \sqrt{p(x)^2 + 1} y(x) = C \end{aligned}$$

上式を整理すると、

$$K + g m y(x) = \sqrt{p(x)^2 + 1} C$$

定数を変え、

$$K + y(x) = \sqrt{p(x)^2 + 1} C$$

両辺を自乗し、

$$(K + y(x))^2 = (p(x)^2 + 1) C^2$$

$p(x)$  を求めると、

$$p(x) = \sqrt{\frac{(K + y(x))^2}{C^2} - 1}$$

下記の置き換えを行い、

$$h(x) = \frac{K + y(x)}{C} \quad (9.2.29)$$

上式に代入すると、

$$\frac{d}{dx} (h(x) C - K) = \sqrt{h(x)^2 - 1}$$

微分を実行し、

$$\left( \frac{d}{dx} h(x) \right) C = \sqrt{h(x)^2 - 1} \quad (9.2.30)$$

ode2 関数で解くと、

$$\log \left( 2 \sqrt{h(x)^2 - 1} + 2 h(x) \right) C = x + \%c$$

一方、(9.2.30) 式から、

$$\frac{dh(x)}{\sqrt{h(x)^2 - 1}} = \frac{dx}{C}$$

積分公式<sup>1</sup> から、

$$\frac{d}{dx} \operatorname{acosh}(x) = \frac{1}{\sqrt{x^2 - 1}}$$

以上から、(9.2.30) 式の解は、

$$\operatorname{acosh}(h(x)) = \frac{x - d}{C}$$

(9.2.29) 式を代入し、鎖の形状は、

$$\frac{K + y(x)}{C} = \cosh \left( \frac{x - d}{C} \right)$$

<sup>1</sup>森口 繁一、宇田川 久、一松 信：岩波数学公式 1 微分積分・平面曲線、岩波書店 2003、P.110

## 9.2.7 Lagrange の運動方程式

変分法の応用として、力学における一般座標による Lagrange の運動方程式を導出する。<sup>1</sup>

```
kill(all);
M1:m[i]*diff(r[i](t),t,2)=F[i];
F1:F[i]=R[i]+K[i];
subst([F1],M1);
T1:T=m[i]*diff(r[i](t),t,1)^2/2;
TI1:T[r]=sum(rhs(T1),i,1,N);
JI1:J[r]='integrate(rhs(TI1),t,t[0],t[1]);
R1:q[i](t)=r[i](t)+a*s[i](t);
TI2:T[q]=subst([r[i](t)=q[i](t)],rhs(TI1));
subst([R1],%);
ev(%,diff);
expand(%);
%-TI1;
subst([a^2=0,('diff(r[i](t),t,1))^2=0],%);
dJ='integrate(rhs(%),t,t[0],t[1]);
dJ=a*(sum(m[i]*('diff(r[i](t),t,1))*s[i](t),i,1,N)-integrate(sum(m[i]*('diff(r[i](t),t,2))*((s[i](t))),i,1,N),t,t[0],t[1]));
expand(%);
DJ1:dJ=last(rhs(%));
TI3:dT=T[q]-T[r];
DJ2:dJ='integrate(dT(t),t,t[0],t[1]);
solve(M1,m[i])[1];
subst([%],DJ1);
expand(subst([F1],%));
subst([R[i]=0],%);
rhs(DJ2)=rhs(%);
lhs(%)-rhs(%)=0;
subst([K[i]=-dU[i](t)/s[i](t)/a],%);
subst([sum(dU[i](t),i,1,N)=dU(t)],%);
```

$N$  個の質点からなる質点系で各質点の質量:  $m_i$ 、位置ベクトル:  $r_i$ 、外力:  $F_i$  とすると、質点の運動方程式は、

$$m_i \left( \frac{d^2}{dt^2} r_i(t) \right) = F_i$$

ここで、ある運動をしたときの拘束力:  $R_i$ 、作用力:  $R_i$  とすると、

$$F_i = R_i + K_i$$

上式を代入すると、

$$m_i \left( \frac{d^2}{dt^2} r_i(t) \right) = R_i + K_i \quad (9.2.31)$$

質点の運動エネルギー:  $T$  は、

$$T = \frac{1}{2} m_i \left( \frac{d}{dt} r_i(t) \right)^2$$

質点系の運動エネルギー:  $T_r$  は、

$$T_r = \frac{1}{2} \sum_{i=1}^N m_i \left( \frac{d}{dt} r_i(t) \right)^2 \quad (9.2.32)$$

上式の運動エネルギーの時間:  $t_0 \rightarrow t_1$  の積分:  $J_r$  は、

$$J_r = \frac{1}{2} \int_{t_0}^{t_1} \sum_{i=1}^N m_i \left( \frac{d}{dt} r_i(t) \right)^2 dt$$

いま、次式の仮想の運動:  $q_i$  を考え、実際の運動:  $r_i(t)$  に仮想の運動:  $a s_i$  を足す。ここで微小定数:  $a$ 、仮想運動:  $s_i$  とし、 $t = t_0$  および  $t = t_1$  で  $s_i = 0$  とする。

$$q_i(t) = a s_i(t) + r_i(t) \quad (9.2.33)$$

仮想の運動:  $q_i$  による質点系の運動エネルギー:  $T_q$  は、

$$\begin{aligned} T_q &= \frac{1}{2} \sum_{i=1}^N m_i \left( \frac{d}{dt} q_i(t) \right)^2 \\ &= \frac{1}{2} \sum_{i=1}^N m_i \left( a \left( \frac{d}{dt} s_i(t) \right) + \frac{d}{dt} r_i(t) \right)^2 \\ &= \frac{1}{2} \left( \sum_{i=1}^N a^2 m_i \left( \frac{d}{dt} s_i(t) \right)^2 \right. \\ &\quad \left. + 2 a m_i \left( \frac{d}{dt} r_i(t) \right) \left( \frac{d}{dt} s_i(t) \right) \right. \\ &\quad \left. + m_i \left( \frac{d}{dt} r_i(t) \right)^2 \right) \end{aligned}$$

上式と (9.2.32) 式の差は、 $a^2$  が十分小さいとして、

$$dT = T_q - T_r = a \sum_{i=1}^N m_i \left( \frac{d}{dt} r_i(t) \right) \left( \frac{d}{dt} s_i(t) \right)$$

上式の  $t_0 \rightarrow t_1$  の積分は、部分積分を適用し、 $t = t_0$  および  $t = t_1$  で  $s_i = 0$  であるから、

$$\begin{aligned} dJ &= \int_{t_0}^{t_1} dT(t) dt \\ &= a \int_{t_0}^{t_1} \sum_{i=1}^N m_i \left( \frac{d}{dt} r_i(t) \right) \left( \frac{d}{dt} s_i(t) \right) dt \\ &= \left[ a \left( \sum_{i=1}^N m_i s_i(t) \left( \frac{d}{dt} r_i(t) \right) \right) \right]_{t_0}^{t_1} \\ &\quad - a \int_{t_0}^{t_1} \sum_{i=1}^N m_i s_i(t) \left( \frac{d^2}{dt^2} r_i(t) \right) dt \\ &= - a \int_{t_0}^{t_1} \sum_{i=1}^N m_i s_i(t) \left( \frac{d^2}{dt^2} r_i(t) \right) dt \end{aligned}$$

<sup>1</sup>国井修二郎、千田香苗: 力学 2、丸善(株) 1958、P.47

上式に (9.2.31) 式を代入し、拘束力:  $R_i$  は仕事をしないので、 $R_i s_i(t)$  の項は零となり、

$$\begin{aligned} dJ &= -a \int_{t_0}^{t_1} \sum_{i=1}^N R_i s_i(t) + K_i s_i(t) dt \\ &= -a \int_{t_0}^{t_1} \sum_{i=1}^N K_i s_i(t) dt \end{aligned}$$

以上から、

$$\int_{t_0}^{t_1} dT(t) dt = -a \int_{t_0}^{t_1} \sum_{i=1}^N K_i s_i(t) dt$$

上式を変形し、

$$a \int_{t_0}^{t_1} \sum_{i=1}^N K_i s_i(t) dt + \int_{t_0}^{t_1} dT(t) dt = 0$$

ここで、作用力:  $K_i$  がポテンシャル:  $U$  に基づくものとする、 $U_i = -K_i r_i$  であるから、

$$\int_{t_0}^{t_1} dT(t) dt - \int_{t_0}^{t_1} \sum_{i=1}^N dU_i(t) dt = 0$$

以上から、

$$\int_{t_0}^{t_1} dT(t) dt - \int_{t_0}^{t_1} dU(t) dt = 0 \quad (9.2.34)$$

```
L1:L(t,r[i], 'diff(r[i],t,1))=T(t,r[i],
' diff(r[i],t,1))-U(t,r[i]);
'integrate(L(t,r[i], 'diff(r[i],t,1)),t,
t[0],t[1]);
H1:H=L(t,r[i], 'diff(r[i],t,1));
subst([L1],%);
'diff(H,y,1)-'diff('diff(H,x,1),
'diff(y,x,1),1)=0;
subst([H1,x=t,y=r[i]],%);
subst([L1],%);
'diff('diff(T(t,r[i], 'diff(r[i],t,1)),
'diff(r[i],t,1)),t,1)-'diff(T(t,r[i],
'diff(r[i],t,1)),r[i],1)=
'diff(U(t,r[i]),r[i],1);
```

いま、下記のラグランジェ関数:  $L$  を導入する。

$$L\left(t, r_i, \frac{d}{dt} r_i\right) = T\left(t, r_i, \frac{d}{dt} r_i\right) - U(t, r_i)$$

上式の時間:  $t_0 \rightarrow t_1$  の積分は、

$$\int_{t_0}^{t_1} L\left(t, r_i, \frac{d}{dt} r_i\right) dt$$

上式の極値は (9.2.34) 式で与えられる。

$$\int_{t_0}^{t_1} dL dt = \int_{t_0}^{t_1} dT(t) dt - \int_{t_0}^{t_1} dU(t) dt = 0$$

以上のことは、ラグランジェ関数:  $L$  の時間積分:  $\int L dt$  の値をいろいろの運動について比べたとき、実際の運動は  $\int L dt$  が最小となるように行動することを意味している。これを変分法に適用すると、

(9.1.6) 式のオイラーの微分方程式から、

$$\frac{d}{dy} H - \frac{d^2}{dp dx} H = 0$$

ここでオイラーの微分方程式の  $H$  として次式となる。

$$H = L\left(t, r_i, \frac{d}{dt} r_i\right) = T\left(t, r_i, \frac{d}{dt} r_i\right) - U(t, r_i)$$

上式をオイラーの微分方程式に代入し、

$$\begin{aligned} \frac{d}{dr_i} \left( T\left(t, r_i, \frac{d}{dt} r_i\right) - U(t, r_i) \right) \\ - \frac{d^2}{d\left(\frac{d}{dt} r_i\right) dt} \left( T\left(t, r_i, \frac{d}{dt} r_i\right) - U(t, r_i) \right) = 0 \end{aligned}$$

微分を実行すると、次式の Lagrange の運動方程式が得られる。

$$\begin{aligned} \frac{d}{dt} \left( \frac{d}{d\left(\frac{d}{dt} r_i\right)} T\left(t, r_i, \frac{d}{dt} r_i\right) \right) - \frac{d}{dr_i} T\left(t, r_i, \frac{d}{dt} r_i\right) \\ = \frac{d}{dr_i} U(t, r_i) \end{aligned}$$

上式は多未知数の場合のオイラーの微分方程式となり、未知数の数だけ方程式ができる。

## 第10章 偏微分方程式

偏微分方程式は多くのタイプが考えられるが、ここでは物理でよく扱われる下記のタイプの偏微分方程式について記述する。

ラプラス方程式	$\nabla^2 u = 0$
ポアソン方程式	$\nabla^2 u = -\rho(x, y)$
ヘルムホルツ方程式	$\nabla^2 u + K u = 0$
熱伝導方程式	$\frac{d}{dt} u = \nabla^2 u C^2$
波動方程式	$\frac{d^2}{dt^2} u = \nabla^2 u C^2$

### 10.1 ラプラス方程式とグリーン関数

#### 10.1.1 二次元グリーン関数

```
kill(all);
load("vect");
depends(r, [x, y, z]);
depends([\phi, \psi], [x, y]);
R1:r=sqrt(x^2+y^2);
R2:rhs(%)=lhs(%);
diff(R1, x, 1);
DRX1:subst([R2], %);
diff(R1, y, 1);
DRY1:subst([R2], %);
'diff(log(1/r), x, 1)=diff(log(1/r), x, 1);
DX1:lhs(%)=subst([DRX1], rhs(%));
diff(%, x, 1);
DX2:subst([DRX1], %);
'diff(log(1/r), y, 1)=diff(log(1/r), y, 1);
DY1:lhs(%)=subst([DRY1], rhs(%));
diff(%, y, 1);
DY2:subst([DRY1], %);
DX2+DY2;
DS1:'diff(Q, x, 1)-'diff(P, y, 1);
DS2:Q*dy+P*dx;
P1:P=-lhs(DY1);
Q1:Q=lhs(DX1);
subst([P1, Q1], DS1);
X1:x=r*cos(t);
Y1:y=r*sin(t);
DXT1:'diff(lhs(X1), t, 1)=diff(rhs(X1), t, 1);
DXT2:dx=rhs(%)*dt;
DYT1:'diff(lhs(Y1), t, 1)=diff(rhs(Y1), t, 1);
DYT2:dy=rhs(%)*dt;
P2:P=-rhs(DY1);
Q2:Q=rhs(DX1);
subst([P2, Q2], DS2);
subst([DXT2, DYT2], %);
subst([X1, Y1], %);
trigsimp(%);
```

二次元ラプラス方程式の基本解として、 $\log\left(\frac{1}{r}\right)$  とする。これが二次元ラプラス方程式： $\frac{d^2}{dy^2}u + \frac{d^2}{dx^2}u = 0$  を満足しているかどうか確かめる。

$$r = \sqrt{y^2 + x^2}$$

$$\frac{d}{dx}r = \frac{x}{\sqrt{y^2 + x^2}} = \frac{x}{r}, \quad \frac{d}{dy}r = \frac{y}{\sqrt{y^2 + x^2}} = \frac{y}{r}$$

$$\frac{d}{dx}\left(\log\left(\frac{1}{r}\right)\right) = -\frac{\frac{d}{dx}r}{r} = -\frac{x}{r^2}$$

$$\frac{d}{dy}\left(\log\left(\frac{1}{r}\right)\right) = -\frac{\frac{d}{dy}r}{r} = -\frac{y}{r^2}$$

$$\frac{d^2}{dx^2}\left(\log\left(\frac{1}{r}\right)\right) = \frac{2\left(\frac{d}{dx}r\right)x}{r^3} - \frac{1}{r^2} = \frac{2x^2}{r^4} - \frac{1}{r^2}$$

$$\frac{d^2}{dy^2}\left(\log\left(\frac{1}{r}\right)\right) = \frac{2\left(\frac{d}{dy}r\right)y}{r^3} - \frac{1}{r^2} = \frac{2y^2}{r^4} - \frac{1}{r^2}$$

$$\frac{d^2}{dy^2}\left(\log\left(\frac{1}{r}\right)\right) + \frac{d^2}{dx^2}\left(\log\left(\frac{1}{r}\right)\right) = \frac{2y^2}{r^4} + \frac{2x^2}{r^4} - \frac{2}{r^2} = 0 \tag{10.1.1}$$

上式から基本解： $\log\left(\frac{1}{r}\right)$  が二次元ラプラス方程式を満足している。二次元グリーン関数の定理は(4.4.32)式から次式となる。

$$\iint_S \left(\frac{d}{dx}Q - \frac{d}{dy}P\right) dydx = \oint_C Q dy + P dx \tag{10.1.2}$$

また、二次元グリーン関数の第二定理は(4.4.39)式から次式となる。

$$\iint_S (\phi(\nabla^2\psi) - (\nabla^2\phi)\psi) dydx = \oint_C \left(\phi\left(\frac{d}{dn}\psi\right) - \left(\frac{d}{dn}\phi\right)\psi\right) ds \tag{10.1.3}$$

上式で  $\psi = \log\left(\frac{1}{r}\right)$  と置くと、

$$\iint_S \left(\phi\left(\nabla^2\log\left(\frac{1}{r}\right)\right) - (\nabla^2\phi)\log\left(\frac{1}{r}\right)\right) dydx = \oint_C \left(\phi\left(\frac{d}{dn}\log\left(\frac{1}{r}\right)\right) - \left(\frac{d}{dn}\phi\right)\log\left(\frac{1}{r}\right)\right) ds$$

ここで、点： $A, B$  は面積： $S$  内で、 $r = |\vec{r}_B - \vec{r}_A|$  で点： $B$  についての微分、積分の式とする。 $B \rightarrow A$  のとき、 $r \rightarrow 0$  で特異点になるので、特異点部分の微小面積： $R$  とそれ以外に分ける。上式の左辺第一項： $\iint_S \phi(\nabla^2\log\left(\frac{1}{r}\right)) dydx$  は特異点部分の微小面積： $R$  以外は、(10.1.1)式から零であるので、

$$\phi(\vec{r}_A) \iint_R \nabla^2\log\left(\frac{1}{r}\right) dydx - \iint_S (\nabla^2\phi)\log\left(\frac{1}{r}\right) dydx = \oint_C \left(\phi\left(\frac{d}{dn}\log\left(\frac{1}{r}\right)\right) - \left(\frac{d}{dn}\phi\right)\log\left(\frac{1}{r}\right)\right) ds \tag{10.1.4}$$

(10.1.2) 式の  $P, Q$  を下記とする。

$$P = -\frac{d}{dy}\left(\log\left(\frac{1}{r}\right)\right), \quad Q = \frac{d}{dx}\left(\log\left(\frac{1}{r}\right)\right) \tag{10.1.5}$$

(10.1.2) 式の左辺の被積分関数に上式を代入すると、

$$\begin{aligned} \frac{d}{dx}Q - \frac{d}{dy}P &= \frac{d^2}{dx^2}\left(\log\left(\frac{1}{r}\right)\right) - \frac{d}{dy}\left(-\frac{d}{dy}\left(\log\left(\frac{1}{r}\right)\right)\right) \\ &= \nabla^2\log\left(\frac{1}{r}\right) \end{aligned} \tag{10.1.6}$$

$r, x, y$  の関係式は、

$$\begin{aligned} x &= r \cos(t), & y &= r \sin(t) \\ \frac{d}{dt}x &= -r \sin(t), & \frac{d}{dt}y &= r \cos(t) \\ dx &= -dt r \sin(t), & dy &= dt r \cos(t) \end{aligned}$$

(10.1.2) 式の右辺の被積分関数に(10.1.5)式と上式を代入すると、

$$\begin{aligned} dyQ + dxP &= \frac{dx y}{r^2} - \frac{dy x}{r^2} \\ &= -\frac{dt \sin(t) y}{r} - \frac{dt \cos(t) x}{r} \\ &= -dt \sin(t)^2 - dt \cos(t)^2 = -dt \end{aligned}$$

(10.1.6) 式と上式から(10.1.2)式は、(10.1.4)式の左辺第一項に対応しており、

$$\iint_R \nabla^2\log\left(\frac{1}{r}\right) dydx = \oint_C -dt = -2\pi$$

上式を(10.1.4)式に代入すると、

$$\begin{aligned} -2\pi\phi(\vec{r}_A) - \iint_S (\nabla^2\phi)\log\left(\frac{1}{r}\right) dydx &= \oint_C \left(\phi\left(\frac{d}{dn}\log\left(\frac{1}{r}\right)\right) - \left(\frac{d}{dn}\phi\right)\log\left(\frac{1}{r}\right)\right) ds \end{aligned}$$

上式から、下記となり二次元のグリーン関数が得られた。

$$\begin{aligned} \phi(\vec{r}_A) &= -\frac{1}{2\pi} \iint_S (\nabla^2\phi)\log\left(\frac{1}{r}\right) dydx \\ &+ \oint_C \left(\left(\frac{d}{dn}\phi\right)\log\left(\frac{1}{r}\right) - \phi\left(\frac{d}{dn}\log\left(\frac{1}{r}\right)\right)\right) ds \end{aligned} \tag{10.1.7}$$

いま、 $\phi$  が二次元ラプラス方程式を満足するとすると、上式右辺第一項は零となり、右辺第二項の周辺の線積分： $C$  から点： $A$  の  $\phi(\vec{r}_A)$  が得られる。

## 10.1.2 三次元グリーン関数

```

kill(all);
load("vect");
depends(r, [x,y,z]);
R1:r=sqrt(x^2+y^2+z^2);
R2:rhs(%)=lhs(%);
diff(R1,x,1);
DRX1:subst([R2],%);
diff(R1,y,1);
DRY1:subst([R2],%);
diff(R1,z,1);
DRZ1:subst([R2],%);
diff(1/r,x,1);
subst([DRX1],%);
diff(%,x,1);
DX1:subst([DRX1],%);
diff(1/r,y,1);
subst([DRY1],%);
diff(%,y,1);
DY1:subst([DRY1],%);
diff(1/r,z,1);
subst([DRZ1],%);
diff(%,z,1);
DZ1:subst([DRZ1],%);
DX1+DY1+DZ1;

```

三次元ラプラス方程式の基本解として、 $\frac{1}{r}$  とする。これが三次元ラプラス方程式： $\frac{d^2}{dz^2} u + \frac{d^2}{dy^2} u + \frac{d^2}{dx^2} u = 0$  を満足しているかどうか確かめる。

$$r = \sqrt{z^2 + y^2 + x^2}$$

$$\frac{d}{dx} r = \frac{x}{\sqrt{z^2 + y^2 + x^2}} = \frac{x}{r}$$

$$\frac{d}{dy} r = \frac{y}{\sqrt{z^2 + y^2 + x^2}} = \frac{y}{r}$$

$$\frac{d}{dz} r = \frac{z}{\sqrt{z^2 + y^2 + x^2}} = \frac{z}{r}$$

$$\frac{d}{dx} \frac{1}{r} = -\frac{\frac{d}{dx} r}{r^2} = -\frac{x}{r^3}$$

$$\frac{d}{dy} \frac{1}{r} = -\frac{\frac{d}{dy} r}{r^2} = -\frac{y}{r^3}$$

$$\frac{d}{dz} \frac{1}{r} = -\frac{\frac{d}{dz} r}{r^2} = -\frac{z}{r^3}$$

$$\frac{d^2}{dx^2} \frac{1}{r} = \frac{3 \left( \frac{d}{dx} r \right) x}{r^4} - \frac{1}{r^3} = \frac{3x^2}{r^5} - \frac{1}{r^3}$$

$$\frac{d^2}{dy^2} \frac{1}{r} = \frac{3 \left( \frac{d}{dy} r \right) y}{r^4} - \frac{1}{r^3} = \frac{3y^2}{r^5} - \frac{1}{r^3}$$

$$\frac{d^2}{dz^2} \frac{1}{r} = \frac{3 \left( \frac{d}{dz} r \right) z}{r^4} - \frac{1}{r^3} = \frac{3z^2}{r^5} - \frac{1}{r^3}$$

上式から次式となり、 $\frac{1}{r}$  は三次元ラプラス方程式を満足している。

$$\begin{aligned} \frac{d^2}{dz^2} \frac{1}{r} + \frac{d^2}{dy^2} \frac{1}{r} + \frac{d^2}{dx^2} \frac{1}{r} \\ = \frac{3z^2}{r^5} + \frac{3y^2}{r^5} + \frac{3x^2}{r^5} - \frac{3}{r^3} = 0 \end{aligned} \quad (10.1.8)$$

(4.4.41) 式のグリーンの定理から、

$$\begin{aligned} \iiint_V \phi (\nabla^2 \psi) - \psi (\nabla^2 \phi) dV \\ = \iint_S \phi \frac{d}{dn} \psi - \psi \frac{d}{dn} \phi dS \end{aligned} \quad (10.1.9)$$

上式で  $\psi = \frac{1}{r}$  と置くと、

$$\begin{aligned} \iiint_V \phi \left( \nabla^2 \left( \frac{1}{r} \right) \right) - \left( \frac{1}{r} \right) (\nabla^2 \phi) dV \\ = \iint_S \phi \frac{d}{dn} \left( \frac{1}{r} \right) - \left( \frac{1}{r} \right) \frac{d}{dn} \phi dS \end{aligned}$$

ここで、点： $A, B$  は体積： $V$  内で、 $r = |\vec{r}_B - \vec{r}_A|$  で点： $B$  についての微分、積分の式とする。 $B \rightarrow A$  のとき、 $r \rightarrow 0$  で特異点になるので、特異点部分の点： $A$  中心、微小半径： $R$  の球体積とそれ以外に分ける。上式の左辺第一項： $\iiint_V \phi (\nabla^2 (\frac{1}{r})) dV$  は点： $A$  中心の微小体積以外は、(10.1.8) 式から零であるので、

$$\begin{aligned} \phi(\vec{r}_A) \iiint_R \left( \nabla^2 \left( \frac{1}{r} \right) \right) dV - \iiint_V \left( \frac{1}{r} \right) (\nabla^2 \phi) dV \\ = \iint_S \phi \frac{d}{dn} \left( \frac{1}{r} \right) - \left( \frac{1}{r} \right) \frac{d}{dn} \phi dS \end{aligned} \quad (10.1.10)$$

上式左辺第一項は、ガウスの定理から面積分となり、

$$\begin{aligned} \iiint_R \nabla^2 \left( \frac{1}{r} \right) dV = - \iiint_R \nabla \cdot \left( \frac{\vec{r}}{r^3} \right) dV \\ = - \iint_S \frac{\vec{r} \cdot \vec{n}}{r^3} dS = - \frac{(R\vec{n}) \cdot \vec{n}}{R^3} 4\pi R^2 = -4\pi \end{aligned}$$

(10.1.10) 式に上式を代入すると、

$$\begin{aligned} -4\pi \phi(\vec{r}_A) - \iiint_V \left( \frac{1}{r} \right) (\nabla^2 \phi) dV \\ = \iint_S \phi \frac{d}{dn} \left( \frac{1}{r} \right) - \left( \frac{1}{r} \right) \frac{d}{dn} \phi dS \end{aligned}$$

上式から、

$$\begin{aligned} 4\pi \phi(\vec{r}_A) = - \iiint_V \left( \frac{1}{r} \right) (\nabla^2 \phi) dV \\ + \iint_S \left( \left( \frac{1}{r} \right) \frac{d}{dn} \phi - \phi \frac{d}{dn} \left( \frac{1}{r} \right) \right) dS \end{aligned} \quad (10.1.11)$$



## 10.2 二次元ラプラスの方程式

### 10.2.1 $xy$ 座標における二次元ラプラスの方程式

$xy$  座標の二次元ラプラスの方程式は次式で表現できる。

$$\nabla^2 u = \frac{d^2}{dy^2} u + \frac{d^2}{dx^2} u = 0 \quad (10.2.1)$$

```
kill(all);
load("vect");
depends(u, [x, y]);
depends(v, [x]);
depends(w, [y]);
assume(K>0);
assume(A>0);
assume(B>0);
EQ: 'diff(u, x, 2) + diff(u, y, 2) = 0;
U1: u = v * w;
subst([U1], EQ);
ev(% , diff);
expand(% / v / w);
EQ1: % - last(lhs(%));
EQ2: rhs(EQ1) = K^2;
EQ3: lhs(EQ1) = K^2;
AN2: ode2(EQ2, v, x);
AN3: ode2(EQ3, w, y);
subst([%k1=%c1, %k2=%c2], %);
subst([AN2, %], U1);
```

ここで、 $u$  は  $x, y$  の関数であり、下記のように変数分離できるとして、 $v$  は  $x$  の関数、 $w$  は  $y$  の関数とする。

$$u = v w \quad (10.2.2)$$

(10.2.1) 式に上式を代入し、微分を実行すると、

$$v \left( \frac{d^2}{dy^2} w \right) + \left( \frac{d^2}{dx^2} v \right) w = 0$$

上式を変形し、

$$\frac{d^2}{dy^2} w = -\frac{d^2}{dx^2} v$$

上式を  $K^2$  と置くと、

$$-\frac{d^2}{dx^2} v = K^2 \quad (10.2.3)$$

$$\frac{d^2}{dy^2} w = K^2 \quad (10.2.4)$$

(10.2.3) 式を ode2 関数で解くと、

$$v = \%k1 \sin(x K) + \%k2 \cos(x K)$$

(10.2.4) 式を ode2 関数で解くと、

$$w = \%c1 e^{y K} + \%c2 e^{-y K}$$

上記二式から、(10.2.1) 式の解： $u$  は、

$$u = (\%c1 e^{y K} + \%c2 e^{-y K}) \times (\%k1 \sin(x K) + \%k2 \cos(x K)) \quad (10.2.5)$$

```
subst([x=0, v=0], AN2);
C1: solve(% , %k2) [1];
subst([x=A, v=0, C1], AN2);
A*K=%pi*n;
C2: solve(% , K) [1];
AN21: subst([C1, C2], AN2);
C3: subst([y=B, w=0], AN3);
solve(C3, %c2);
subst([%], AN3);
expand(rhs(%)*e^(-B*K));
AN31: w=%c1*sinh(K*(B-y));
AN4: subst([AN21, AN31, %c1=1, C2], U1);
AN5: u=sum(subst([%k1=B[n]], rhs(AN4)), n, 1,
inf);
f(x)=subst([y=0, %k1=B[n]], rhs(AN5));
B[n]*sinh((%pi*n*B)/A)=2/A*integrate(f(x)
*sin((%pi*n*x)/A), x, 0, A);
solve(% , B[n]) [1];
subst([%], AN5);
```

(10.2.5) 式の解で、境界： $x = 0, x = A$  で関数： $u$  が零とすると、

$$\%k2 = 0, \quad 0 = \%k1 \sin(A K)$$

下記となり、ここで、 $n$  は整数である。

$$K = \frac{\pi n}{A}$$

以上から、

$$v = \%k1 \sin\left(\frac{\pi n x}{A}\right) \quad (10.2.6)$$

(10.2.5) 式の解で、境界： $y = B$  で関数： $u$  が零とすると、

$$0 = \%c1 e^{B K} + \%c2 e^{-B K}$$

上式から、

$$\%c2 = -\%c1 e^{2 B K}$$

以上から、

$$w = \%c1 e^{y K} - \%c1 e^{2 B K - y K}$$

上式を書き換えて、

$$w = \%c1 \sinh((B - y) K) \quad (10.2.7)$$

(10.2.6) 式と (10.2.7) 式から  $u$  は、

$$u = \sum_{n=1}^{\infty} B_n \sin\left(\frac{\pi n x}{A}\right) \sinh\left(\frac{\pi n (B-y)}{A}\right) \quad (10.2.8)$$

解は上式の  $n = 1 \rightarrow \infty$  の和として得られるから、

$$u = \sum_{n=1}^{\infty} B_n \sin\left(\frac{\pi n x}{A}\right) \sinh\left(\frac{\pi n (B-y)}{A}\right) \quad (10.2.9)$$

境界値:  $u(x, 0) = f(x)$  は、上式で  $y = 0$  として、

$$f(x) = \sum_{n=1}^{\infty} B_n \sin\left(\frac{\pi n x}{A}\right) \sinh\left(\frac{\pi n B}{A}\right)$$

上式はフーリエ級数であるから、係数:  $B_n$  は (6.1.5) 式から得られ、

$$B_n \sinh\left(\frac{\pi n B}{A}\right) = \frac{2}{A} \int_0^A f(x) \sin\left(\frac{\pi n x}{A}\right) dx$$

以上から、

$$B_n = \frac{2}{A \sinh\left(\frac{\pi n B}{A}\right)} \int_0^A f(x) \sin\left(\frac{\pi n x}{A}\right) dx$$

上式を (10.2.9) 式に代入すると、

$$u = \frac{2}{A} \sum_{n=1}^{\infty} \frac{\sin\left(\frac{\pi n x}{A}\right) \sinh\left(\frac{\pi n (B-y)}{A}\right)}{\sinh\left(\frac{\pi n B}{A}\right)} \int_0^A f(x) \sin\left(\frac{\pi n x}{A}\right) dx$$

### 10.2.2 $xy$ 座標における二次元ラプラスの方程式 ( $x$ 方向無限境界)

$xy$  座標の二次元ラプラスの方程式は次式で表現できる。

$$\nabla^2 u = \frac{d^2}{dy^2} u + \frac{d^2}{dx^2} u = 0 \quad (10.2.10)$$

```
kill(all);
load("vect");
depends(u,[x,y]);
depends(v,[x]);
depends(w,[y]);
assume(\omega>0);
assume(A>0);
assume(B>0);
EQ:'diff(u,x,2)+'diff(u,y,2)=0;
U1:u=v*w;
subst([U1],EQ);
ev(%,diff);
expand(%/v/w);
EQ1:%-last(lhs(%));
EQ2:rhs(EQ1)=\omega^2;
EQ3:lhs(EQ1)=\omega^2;
ode2(EQ2,v,x);
AN2:v=%c1*e^(%i*\omega*x);
AN3:ode2(EQ3,w,y);
AN2*AN3;
ANO:subst([%c1=1,%k1=A(\omega),%k2=
B(\omega)],%);
ANO1:u=1/(sqrt(2*pi))*integrate(rhs(ANO),
\omega,-inf,inf);
BAN01:subst([y=0,u=0],ANO1);
BAN02:subst([y=D,u=f(x)],ANO1);
subst([B(\omega)=-A(\omega)],%);
ANO2:u='integrate(%e^(%i*\omega*x)*(2*
A(\omega)*sinh(\omega*y)),\omega,-inf,inf)
/(sqrt(2)*sqrt(pi));
f(x)='integrate(%e^(%i*\omega*x)*(2*
A(\omega)*sinh(\omega*D)),\omega,-inf,inf)
/(sqrt(2)*sqrt(pi));
2*A(\omega)*sinh(\omega*D)=1/(sqrt(2*pi))
*integrate(f(x)*e^(-%i*\omega*x),x,
-inf,inf);
solve(%,A(\omega))[1];
subst([x=s],%);
subst(%,ANO2);
```

ここで、 $u$  は  $x, y$  の関数であり、下記のように変数分

離できるとして、 $v$  は  $x$  の関数、 $w$  は  $y$  の関数とする。

$$u = vw \quad (10.2.11)$$

(10.2.10) 式に上式を代入し、微分を実行すると、

$$v \left( \frac{d^2}{dy^2} w \right) + \left( \frac{d^2}{dx^2} v \right) w = 0$$

上式を  $vw$  で割ると、

$$\frac{\frac{d^2}{dy^2} w}{w} = -\frac{\frac{d^2}{dx^2} v}{v}$$

上式を  $\omega^2$  と置くと

$$-\frac{\frac{d^2}{dx^2} v}{v} = \omega^2, \quad \frac{\frac{d^2}{dy^2} w}{w} = \omega^2$$

上式を ode2 関数で解くと、

$$v = \%k1 \sin(\omega x) + \%k2 \cos(\omega x) = \%c1 e^{i\omega x}$$

$$w = \%k1 e^{\omega y} + \%k2 e^{-\omega y}$$

上記二式を (10.2.11) 式に代入し、

$$u = vw = \%c1 e^{i\omega x} (\%k1 e^{\omega y} + \%k2 e^{-\omega y})$$

上式から、係数： $\%c1, \%k1, \%k2$  を  $\omega$  の関数として、

$$u = e^{i\omega x} (A(\omega) e^{\omega y} + B(\omega) e^{-\omega y})$$

上式をフーリエ積分を用いて表すと、

$$u = \frac{1}{\sqrt{2}\sqrt{\pi}} \int_{-\infty}^{\infty} e^{i\omega x} (A(\omega) e^{\omega y} + B(\omega) e^{-\omega y}) d\omega \quad (10.2.12)$$

上式の境界条件として、 $u = 0$  at  $y = 0, u = f(x)$  at  $y = D$  とすると、

$$0 = \frac{1}{\sqrt{2}\sqrt{\pi}} \int_{-\infty}^{\infty} (B(\omega) + A(\omega)) e^{i\omega x} d\omega \quad (10.2.13)$$

$$f(x) = \frac{1}{\sqrt{2}\sqrt{\pi}} \int_{-\infty}^{\infty} e^{i\omega x} (A(\omega) e^{\omega D} + B(\omega) e^{-\omega D}) d\omega \quad (10.2.14)$$

(10.2.13) 式が成り立つには、 $B(\omega) = -A(\omega)$  となり、

(10.2.14) 式に代入すると、

$$f(x) = \frac{\sqrt{2}}{\sqrt{\pi}} \int_{-\infty}^{\infty} A(\omega) e^{i\omega x} \sinh(\omega D) d\omega$$

フーリエ積分から、

$$2A(\omega) \sinh(\omega D) = \frac{1}{\sqrt{2}\sqrt{\pi}} \int_{-\infty}^{\infty} e^{-i\omega s} f(x) dx$$

上式から、 $A(\omega)$  は、

$$A(\omega) = \frac{1}{2^{\frac{3}{2}} \sqrt{\pi} \sinh(\omega D)} \int_{-\infty}^{\infty} e^{-i\omega s} f(s) ds$$

(10.2.12) 式に  $B(\omega) = -A(\omega)$  および上式を代入すると、

$$u = \frac{\sqrt{2}}{\sqrt{\pi}} \int_{-\infty}^{\infty} A(\omega) e^{i\omega x} \sinh(\omega y) d\omega \\ = \frac{1}{2\pi} \int_{-\infty}^{\infty} \frac{e^{i\omega x} \sinh(\omega y)}{\sinh(\omega D)} \int_{-\infty}^{\infty} e^{-i\omega s} f(s) ds d\omega$$

### 10.2.3 極座標における二次元ラプラスの方程式

極  $(r - \theta)$  座標の二次元ラプラスの方程式は (4.5.15) 式、168 頁から次式で表現できる。

$$\nabla^2 u = \frac{d^2}{d\theta^2} u + \frac{d^2}{dr^2} u + \frac{d}{dr} u = 0 \quad (10.2.15)$$

```
kill(all);
load("vect");
depends(u,[r,\theta]);
depends(v,[r]);
depends(w,[\theta]);
assume(r>0 and r<A);
assume(m>0);
EQ:'diff(u,\theta,2)/r^2+'diff(u,r,2)
+'diff(u,r,1)/r=0;
U1:u=v*w;
subst([U1],EQ);
ev(%,diff);
expand(%/v/w*r^2);
EQ1:%-first(lhs(%));
EQ2:rhs(EQ1)=m^2;
EQ3:lhs(EQ1)=m^2;
%-m^2;
EQ31:expand(%*v/r^2);
AN2:ode2(EQ2,w,\theta);
ode2(EQ31,v,r);
expand(radcan(%));
AN3:subst(['%k1=%c1,%k2=%c2'],%);
subst([m=0],EQ3);
AN4:ode2(%,v,r);
subst([AN2,AN3],U1);
```

ここで、 $u$  は  $r, \theta$  の関数であり、 $x - y$  座標との関係を図 4.5.1、164 頁に示す。下記のように変数分離できるとして、 $v$  は  $r$  の関数、 $w$  は  $\theta$  の関数とする。

$$u = v w \quad (10.2.16)$$

(10.2.15) 式に上式を代入し、微分を実行すると、

$$\frac{v \left( \frac{d^2}{d\theta^2} w \right)}{r^2} + \left( \frac{d^2}{dr^2} v \right) w + \frac{\left( \frac{d}{dr} v \right) w}{r} = 0$$

上式を变形し、

$$\frac{r^2 \left( \frac{d^2}{dr^2} v \right)}{v} + \frac{r \left( \frac{d}{dr} v \right)}{v} = - \frac{d^2}{d\theta^2} \frac{w}{w}$$

上式を  $m^2$  と置くと、

$$- \frac{d^2}{d\theta^2} \frac{w}{w} = m^2 \quad (10.2.17)$$

$$\frac{r^2 \left( \frac{d^2}{dr^2} v \right)}{v} + \frac{r \left( \frac{d}{dr} v \right)}{v} = m^2 \quad (10.2.18)$$

上式を变形し、

$$\frac{d^2}{dr^2} v + \frac{d}{dr} v - \frac{m^2 v}{r^2} = 0 \quad (10.2.19)$$

(10.2.17) 式を ode2 関数で解くと、

$$w = \%k1 \sin(m\theta) + \%k2 \cos(m\theta) \quad m : \text{正の整数} \quad (10.2.20)$$

ここで上式が  $\theta = 0$  と  $\theta = 2\pi$  が連続で繋がるためには、 $m$  は整数となる。(10.2.19) 式を ode2 関数で解くと、

$$v = \%c1 r^m + \frac{\%c2}{r^m} \quad (10.2.21)$$

(10.2.18) 式で  $m = 0$ 、即ち、軸対称とすると、

$$\frac{r^2 \left( \frac{d^2}{dr^2} v \right)}{v} + \frac{r \left( \frac{d}{dr} v \right)}{v} = 0$$

上式を ode2 関数で解くと、

$$v = \%k1 \log(r) + \%k2 \quad (10.2.22)$$

(10.2.20) 式と (10.2.21) 式から、解  $u$  は下記となる。

$$u = \left( \%c1 r^m + \frac{\%c2}{r^m} \right) \times (\%k1 \sin(\theta K) + \%k2 \cos(\theta K)) \quad (10.2.23)$$

```
AN31:u=subst(['%c1=1/A^m,%c2=0'],
rhs(AN3))*rhs(AN2);
AN5:u=a[0]/2+sum(subst(['%k1=b[m],
%k2=a[m]'],rhs(AN31)),m,1,inf);
subst([r=A],%);
AK1:a[m]=1/%pi*integrate(f(\phi)
*cos(m*\phi),\phi,-%pi,%pi);
BK1:b[m]=1/%pi*integrate(f(\phi)
*sin(m*\phi),\phi,-%pi,%pi);
A01:a[0]=1/%pi*integrate(f(\phi),
\phi,-%pi,%pi);
subst([AK1,BK1,A01],AN5);
u=(sum((r/A)^m*((sin(theta*m)*f(phi)
*sin(phi*m))/%pi+(cos(theta*m)*f(phi)
*cos(phi*m))/%pi),m,1,inf))+(f(phi)
/(2*%pi);
trigreduce(%);
factor(%);
AN6:u='integrate(rhs(%,\phi,-%pi,%pi);
AN61:subst([A^m=1,r^m=(r/A)^m],%);
```

```
assume(abs(a)<1);
sum(a^n*cos(n*x),n,1,inf)=(a*cos(x)-a^2)
/(1-2*a*cos(x)+a^2);
subst([a=r/A,n=m,x=\theta-\phi],%);
factor(%);
subst(,[],AN61);
factor(%);
```

(10.2.23) 式で  $0 < r < A$  では、範囲内で有限であるためには  $r^m$  の項を残し、 $r > A$  では、範囲内で有限であるためには  $\frac{1}{r^m}$  の項を残す。いま、 $0 < r < A$  とし、 $r = A$  で  $u = f(\theta)$  の境界条件とする。基本解は (10.2.23) 式から、

$$u = \frac{r^m (\%k1 \sin(m\theta) + \%k2 \cos(m\theta))}{A^m}$$

上式を基に  $m$  の級数の形にすると、

$$u = \left( \sum_{m=1}^{\infty} \frac{r^m (b_m \sin(m\theta) + a_m \cos(m\theta))}{A^m} \right) + \frac{a_0}{2} \tag{10.2.24}$$

$r = A$  の境界では、

$$u = f(\theta) = \left( \sum_{m=1}^{\infty} b_m \sin(m\theta) + a_m \cos(m\theta) \right) + \frac{a_0}{2}$$

上式はフーリエ級数であるから、(6.1.5) 式から

$$\begin{aligned} a_m &= \frac{1}{\pi} \int_{-\pi}^{\pi} f(\phi) \cos(m\phi) d\phi \\ b_m &= \frac{1}{\pi} \int_{-\pi}^{\pi} f(\phi) \sin(m\phi) d\phi \\ a_0 &= \frac{1}{\pi} \int_{-\pi}^{\pi} f(\phi) d\phi \end{aligned} \tag{10.2.25}$$

(10.2.24) 式に (10.2.25) 式を代入すると、

$$u = \left( \sum_{m=1}^{\infty} \frac{r^m}{A^m} \left( \frac{1}{\pi} \int_{-\pi}^{\pi} f(\phi) \sin(m\phi) d\phi \sin(m\theta) + \frac{1}{\pi} \int_{-\pi}^{\pi} f(\phi) \cos(m\phi) d\phi \cos(m\theta) \right) \right) + \frac{1}{2\pi} \int_{-\pi}^{\pi} f(\phi) d\phi$$

上式の積分と級数の順序を入れ替え、被積分関数： $du$  は、

$$\begin{aligned} du &= \left( \sum_{m=1}^{\infty} \frac{r^m}{A^m} \left( \frac{f(\phi) \sin(m\phi) \sin(m\theta)}{\pi} + \frac{f(\phi) \cos(m\phi) \cos(m\theta)}{\pi} \right) \right) + \frac{f(\phi)}{2\pi} \\ &= \frac{f(\phi)}{2\pi} \left( 2 \left( \sum_{m=1}^{\infty} \frac{r^m \cos(m(\theta - \phi))}{A^m} \right) + 1 \right) \end{aligned}$$

上式を積分すると、

$$u = \frac{1}{2\pi} \int_{-\pi}^{\pi} f(\phi) \left( 2 \left( \sum_{m=1}^{\infty} \frac{r^m \cos(m(\theta - \phi))}{A^m} \right) + 1 \right) d\phi \tag{10.2.26}$$

次式の無限級数の公式<sup>1</sup>から、

$$\sum_{n=1}^{\infty} a^n \cos(nx) = \frac{a \cos(x) - a^2}{-2a \cos(x) + a^2 + 1}$$

上式から、

$$\sum_{m=1}^{\infty} \frac{r^m \cos(m(\theta - \phi))}{A^m} = \frac{\frac{r \cos(\theta - \phi)}{A} - \frac{r^2}{A^2}}{-\frac{2r \cos(\theta - \phi)}{A} + \frac{r^2}{A^2} + 1} = \frac{r(\cos(\theta - \phi)A - r)}{A^2 - 2r \cos(\theta - \phi)A + r^2}$$

(10.2.26) 式に上式を代入すると、

$$u = \frac{1}{2\pi} \int_{-\pi}^{\pi} f(\phi) \left( \frac{2r(\cos(\theta - \phi)A - r)}{A^2 - 2r \cos(\theta - \phi)A + r^2} + 1 \right) d\phi = \frac{(A - r)(A + r)}{2\pi} \int_{-\pi}^{\pi} \frac{f(\phi)}{A^2 - 2r \cos(\theta - \phi)A + r^2} d\phi$$

上式をポアソンの積分公式という。

<sup>1</sup>森口 繁一、宇田川 久、一松 信：岩波数学公式 2 級数・フーリエ解析、岩波書店 1998 P.76

軸対称の場合 :

```
AN41: subst([v=u], AN4);
subst([%k1=0], AN41);
AN42: subst([r=R[1], u=u[1]], AN41);
AN43: subst([r=R[2], u=u[2]], AN41);
solve([AN42, AN43], [%k1, %k2])[1];
subst([%], AN41);
AN44: radcan(%);
```

軸対称の解は、(10.2.22) 式から、

$$u = \%k1 \log(r) + \%k2 \quad (10.2.27)$$

中実の場合、 $r = 0$  で  $\log(r)$  項は不適であるから、解は次式の一定値となる。

$$u = \%k2$$

中空の場合、 $r = R_1, r = R_2$  の場合、各々  $u = u_1, u = u_2$  とすると、

$$u_1 = \%k2 + \log(R_1) \%k1$$

$$u_2 = \%k2 + \log(R_2) \%k1$$

上式を解くと、

$$\%k1 = \frac{u_1 - u_2}{\log(R_1) - \log(R_2)},$$

$$\%k2 = \frac{u_2 \log(R_1) - u_1 \log(R_2)}{\log(R_1) - \log(R_2)}$$

上式を (10.2.27) 式に代入すると、

$$u = \frac{(u_2 - u_1) \log(r) + u_1 \log(R_2) - u_2 \log(R_1)}{\log(R_2) - \log(R_1)}$$

## 10.3 三次元ラプラスの方程式

### 10.3.1 $xyz$ 座標における三次元ラプラスの方程式

$xyz$  座標の三次元ラプラスの方程式は次式で表現できる。

$$\nabla^2 u = \frac{d^2}{dz^2} u + \frac{d^2}{dy^2} u + \frac{d^2}{dx^2} u = 0 \quad (10.3.1)$$

```
kill(all);
load("vect");
depends(u, [x,y,z]);
depends(s, [x]);
depends(v, [y]);
depends(w, [z]);
assume(K[1]>0);
assume(K[2]>0);
assume(K[3]>0);
assume(A>0);
assume(B>0);
declare([j,k,m,n], integer);
EQ: 'diff(u,x,2)+'diff(u,y,2)+'diff(u,z,2)
=0;
U1:u=s*v*w;
subst([U1],EQ);
ev(%diff);
expand(%/s/v/w);
%-last(lhs(%));
EQ1:%-last(lhs(%));
EKX1:-'diff(s,x,2)/s=K[1]^2;
EKY1:-'diff(v,y,2)/v=K[2]^2;
EKZ1:'diff(w,z,2)/w=K[3]^2;
K123:K[3]^2=K[1]^2+K[2]^2;
K1231:K[3]=sqrt(rhs(K123));
S1:ode2(EKX1,s,x);
S11:subst([s=0,x=0],S1);
S12:subst([s=0,x=A],S1);
K[1]*A=%pi*m;
K11:solve(%K[1])[1];
S0:subst([%k2=0,K11,%k1=A[m]],S1);
V1:ode2(EKY1,v,y);
V11:subst([v=0,y=0],S1);
V12:subst([v=0,y=B],V1);
K[2]*B=%pi*n;
K21:solve(%K[2])[1];
```

```
V0:subst([%k2=0,K21,%k1=A[n]],V1);
W1:ode2(EKZ1,w,z);
W11:subst([w=0,z=0],W1);
subst([%k2=-%k1],W1);
W0:w=%k1*2*sinh(K[3]*z);
subst([S0,V0,W0,K1231],U1);
subst([K11,K21],%);
U2:subst([%k1=1/2,A[m]=A[m,n],A[n]=1],%);
U21:u=sum(sum(rhs(%),m,1,inf),n,1,inf);
subst([z=C,u=f(x,y)],U2);
DA1:%*sin(%pi*j*x/A)*sin(%pi*k*y/B);
IA1:'integrate('integrate(rhs(DA1),x,0,A),
y,0,B);
ev(%integrate);
subst([j=m,k=n],IA1);
IA11:ev(%integrate);
IA2:'integrate('integrate(lhs(DA1),x,0,A),
y,0,B);
IA21:subst([j=m,k=n],IA2);
IA21=IA11;
solve(%A[m,n])[1];
```

ここで、 $u$  は  $x, y, z$  の関数であり、下記のように変数分離できるとして、 $v$  は  $x$  の関数、 $w$  は  $y$  の関数、 $s$  は  $z$  の関数とする。

$$u = s v w \quad (10.3.2)$$

(10.3.1) 式に上式を代入し、微分を実行すると、

$$s v \left( \frac{d^2}{dz^2} w \right) + s \left( \frac{d^2}{dy^2} v \right) w + \left( \frac{d^2}{dx^2} s \right) v w = 0$$

上式を変形し、

$$\frac{\frac{d^2}{dz^2} w}{w} = -\frac{\frac{d^2}{dy^2} v}{v} - \frac{\frac{d^2}{dx^2} s}{s}$$

上式で  $K_1, K_2, K_3$  を導入し、

$$-\frac{\frac{d^2}{dx^2} s}{s} = K_1^2 \quad (10.3.3)$$

$$-\frac{\frac{d^2}{dy^2} v}{v} = K_2^2 \quad (10.3.4)$$

$$\frac{\frac{d^2}{dz^2} w}{w} = K_3^2 \quad (10.3.5)$$

$K_1, K_2, K_3$  の関係は、

$$K_3^2 = K_2^2 + K_1^2$$

$$K_3 = \sqrt{K_2^2 + K_1^2}$$

(10.3.3) 式を ode2 関数で解くと、

$$s = \%k1 \sin(K_1 x) + \%k2 \cos(K_1 x)$$

上記の境界条件として、 $x = 0, x = A$  で  $s = 0$  とすると、

$$K_2 = \frac{\pi n}{B}$$

上記から、

$$0 = K_2, \quad 0 = K_1 \sin(K_1 A) + K_2 \cos(K_1 A)$$

$$v = A_n \sin\left(\frac{\pi n y}{B}\right) \quad (10.3.7)$$

$$K_1 = \frac{\pi m}{A}$$

(10.3.5) 式を ode2 関数で解くと、

上記から、

$$s = A_m \sin\left(\frac{\pi m x}{A}\right) \quad (10.3.6)$$

$$w = K_1 e^{K_3 z} + K_2 e^{-K_3 z}$$

(10.3.4) 式を ode2 関数で解くと、

上記の境界条件として、 $z = 0$  で  $w = 0$  とすると、

$$v = K_1 \sin(K_2 y) + K_2 \cos(K_2 y)$$

$$0 = K_2 + K_1$$

上記の境界条件として、 $y = 0, y = B$  で  $v = 0$  とすると、

上記から、

$$0 = K_2, \quad 0 = K_1 \sin(K_2 B) + K_2 \cos(K_2 B)$$

$$w = K_1 e^{K_3 z} - K_1 e^{-K_3 z} = 2K_1 \sinh(K_3 z) \quad (10.3.8)$$

(10.3.2) 式に (10.3.6) 式、(10.3.7) 式、(10.3.8) 式を代入し、

$$\begin{aligned} u &= 2K_1 A_m A_n \sinh\left(\sqrt{K_2^2 + K_1^2} z\right) \sin\left(\frac{\pi m x}{A}\right) \sin\left(\frac{\pi n y}{B}\right) \\ &= A_{m,n} \sin\left(\frac{\pi m x}{A}\right) \sinh\left(z \sqrt{\frac{\pi^2 n^2}{B^2} + \frac{\pi^2 m^2}{A^2}}\right) \sin\left(\frac{\pi n y}{B}\right) \end{aligned}$$

上式を  $m, n$  の級数の形に変形し、

$$u = \sum_{n=1}^{\infty} \left( \sum_{m=1}^{\infty} A_{m,n} \sin\left(\frac{\pi m x}{A}\right) \sinh\left(z \sqrt{\frac{\pi^2 n^2}{B^2} + \frac{\pi^2 m^2}{A^2}}\right) \right) \sin\left(\frac{\pi n y}{B}\right) \quad (10.3.9)$$

境界条件として、 $z = C$  の時、 $f(x, y)$  とすると、

$$f(x, y) = A_{m,n} \sin\left(\frac{\pi m x}{A}\right) \sin\left(\frac{\pi n y}{B}\right) \sinh\left(\sqrt{\frac{\pi^2 n^2}{B^2} + \frac{\pi^2 m^2}{A^2}} C\right)$$

上式に  $\sin\left(\frac{\pi j x}{A}\right) \sin\left(\frac{\pi k y}{B}\right)$  を掛けると、

$$\begin{aligned} f(x, y) \sin\left(\frac{\pi j x}{A}\right) \sin\left(\frac{\pi k y}{B}\right) \\ = A_{m,n} \sin\left(\frac{\pi j x}{A}\right) \sin\left(\frac{\pi m x}{A}\right) \sin\left(\frac{\pi k y}{B}\right) \sin\left(\frac{\pi n y}{B}\right) \sinh\left(\sqrt{\frac{\pi^2 n^2}{B^2} + \frac{\pi^2 m^2}{A^2}} C\right) \end{aligned} \quad (10.3.10)$$

上式を  $x$  で  $0 \rightarrow A$ 、 $y$  で  $0 \rightarrow B$  の積分を行うと、 $j \neq m, k \neq n$  の時は右辺は零となるので、 $j = m, k = n$  の項だけが残り、

$$\begin{aligned} \int_0^B \int_0^A f(x, y) \sin\left(\frac{\pi m x}{A}\right) dx \sin\left(\frac{\pi n y}{B}\right) dy \\ = A_{m,n} \int_0^A \sin\left(\frac{\pi m x}{A}\right)^2 dx \int_0^B \sin\left(\frac{\pi n y}{B}\right)^2 dy \sinh\left(\sqrt{\frac{\pi^2 n^2}{B^2} + \frac{\pi^2 m^2}{A^2}} C\right) \\ = \frac{A_{m,n} A B \sinh\left(\sqrt{\frac{\pi^2 n^2}{B^2} + \frac{\pi^2 m^2}{A^2}} C\right)}{4} \end{aligned} \quad (10.3.11)$$

上式から、 $A_{m,n}$  が得られた。

$$A_{m,n} = \frac{4}{A B \sinh\left(\sqrt{\frac{\pi^2 n^2}{B^2} + \frac{\pi^2 m^2}{A^2}} C\right)} \int_0^B \int_0^A f(x, y) \sin\left(\frac{\pi m x}{A}\right) dx \sin\left(\frac{\pi n y}{B}\right) dy$$



### 10.3.2 円柱座標における三次元ラプラスの方程式

円柱座標における三次元ラプラスの方程式は (4.5.15) 式、168 頁から次式で表現できる。

$$\frac{d^2}{dz^2} u + \frac{d^2}{d\theta^2} u + \frac{d^2}{dr^2} u + \frac{d}{dr} u = 0 \quad (10.3.12)$$

```
kill(all);
load("vect");
depends(u,[r,\theta,z]);
depends(s,[r]);
depends(v,[\theta]);
depends(w,[z]);
assume(K>0);
assume(N>0);
EQ:diff(u,r,2)+diff(u,r,1)/r+diff(u,
\theta,2)/r^2+diff(u,z,2)=0;
U1:u=s*v*w;
subst([U1],EQ);
ev(%,diff);
U2:expand(%/s/v/w);
W1:'diff(w,z,2)/w=K^2;
V1:'diff(v,\theta,2)/(r^2*v)=-N^2/(r^2);
subst([W1,V1],U2);
S1:expand(%*s);
ode2(W1,w,z);
W2:subst([%k1=W[1],%k2=W[2]],%);
ode2(V1,v,\theta);
V2:subst([%k1=0,%k2=V[2]],%);
S1;
BEEQ4:v*(x^(2*C-2)*B^2*C^2+(A^2-n^2*C^2)/
x^2)+diff(v,x,1)*(1-2*A)/x+diff(v,x,2)
=0;
AN4:v=%k1*bessel_j(n,x^C*B)*x^A+%k2*
bessel_j(-n,x^C*B)*x^A;
BEA1:1-2*A=1;
BEA2:A^2-n^2*C^2=-N^2;
BEA3:B^2*C^2=K^2;
BEA4:2*C-2=1;
solve([BEA1,BEA2,BEA3,BEA4],[A,B,C,n]);
subst([%3],AN4);
S2:subst([%k1=S[1],%k2=0,v=s,x=r],%);
U01:subst([W2,V2,S2,S[1]=1,V[2]=1],U1);
```

ここで、 $u$  は  $r, \theta, z$  の関数であり、下記のように変数分離できるとして、 $v$  は  $\theta$  の関数、 $w$  は  $z$  の関数、 $s$  は  $r$  の関数とする。

$$u = s v w \quad (10.3.13)$$

(10.3.12) 式に上式を代入し、微分を実行すると、

$$s v \left( \frac{d^2}{dz^2} w \right) + \frac{s \left( \frac{d^2}{d\theta^2} v \right) w}{r^2} + \left( \frac{d^2}{dr^2} s \right) v w + \frac{\left( \frac{d}{dr} s \right) v w}{r} = 0$$

上式を  $s v w$  で割ると、

$$\frac{d^2}{dz^2} w + \frac{d^2}{r^2} v + \frac{d^2}{dr^2} s + \frac{d}{dr} s = 0$$

上式を変形し、

$$\frac{d^2}{dz^2} w = K^2 \quad (10.3.14)$$

$$\frac{d^2}{r^2} v = -\frac{N^2}{r^2} \quad (10.3.15)$$

$$-\frac{s N^2}{r^2} + s K^2 + \frac{d^2}{dr^2} s + \frac{d}{dr} s = 0 \quad (10.3.16)$$

(10.3.14) 式を ode2 関数で解くと、

$$w = W_1 e^{zK} + W_2 e^{-zK} \quad (10.3.17)$$

(10.3.15) 式を ode2 関数で解くと、

$$v = \%k1 \sin(\theta N) + \%k2 \cos(\theta N)$$

ここで  $\theta$  が  $0$  と  $2\pi$  で連続であるから、 $N$  は整数となる。

$$v = V_1 \cos(\theta N) \quad (10.3.18)$$

(10.3.16) 式は Bessel の微分方程式の方程式である。Bessel の微分方程式の一般形は (3.3.16) 式から、

$$v \left( \frac{A^2 - n^2 C^2}{x^2} + x^{2C-2} B^2 C^2 \right) + \frac{\left( \frac{d}{dx} v \right) (1 - 2A)}{x} + \frac{d^2}{dx^2} v = 0 \quad (10.3.19)$$

上式と (10.3.16) 式の比較から、

$$1 - 2A = 1 \quad A^2 - n^2 C^2 = -N^2$$

$$B^2 C^2 = K^2 \quad 2C - 2 = 1$$

上式から (10.3.19) 式の係数は、

$$A = 0, B = \frac{2K}{3}, C = \frac{3}{2}, n = \frac{2N}{3}$$

上式から  $n$  は整数でないので、解は (3.3.17) 式から、

$$v = \%k1 \text{bessel}_j(n, x^C B) x^A + \%k2 \text{bessel}_j(-n, x^C B) x^A$$

上式に係数結果を代入し、

$$s = \%k1 \text{bessel}_j \left( \frac{2N}{3}, \frac{2r^{\frac{3}{2}} K}{3} \right) + \%k2 \text{bessel}_j \left( -\frac{2N}{3}, \frac{2r^{\frac{3}{2}} K}{3} \right)$$

44 頁の図から上式右辺第二項は  $r \rightarrow 0$  で  $\pm\infty$  となるので省き、(10.3.16) 式の解は、

$$s = S_1 \text{bessel}_j \left( \frac{2N}{3}, \frac{2r^{\frac{3}{2}}K}{3} \right) \quad (10.3.20)$$

以上から、

$$u = (W_1 e^{zK} + W_2 e^{-zK}) \text{bessel}_j \left( \frac{2N}{3}, \frac{2r^{\frac{3}{2}}K}{3} \right) \cos(\theta N)$$

### 10.3.3 極座標における三次元ラプラスの方程式

極座標における三次元ラプラスの方程式は (4.5.31) 式、176 頁から次式で表現できる。

$$\nabla^2 u = \frac{d^2}{dr^2} u + \frac{\cos(\theta)}{r^2 \sin(\theta)} \left( \frac{d}{d\theta} u \right) + \frac{d^2}{d\phi^2} u + \frac{2}{r} \left( \frac{d}{dr} u \right) + \frac{d^2}{r^2 \sin^2(\theta)} u = 0 \quad (10.3.21)$$

```
kill(all);
load("vect");
depends(u,[r,\theta,\phi]);
depends(v,[r]);
depends(w,[\theta,\phi]);
depends(p,[\theta]);
depends(q,[\phi]);
assume(K>0);
assume(n>0);
assume(m>0);
EQ:'diff(u,x,2)+'diff(u,y,2)+'diff(u,z,2)
=0;
EQ1:'diff(u,\theta,2)/r^2+(cos(\theta)*
('diff(u,\theta,1)))/(r^2*sin(\theta))
+'diff(u,r,2)+(2*('diff(u,r,1)))/r
+'diff(u,\phi,2)/(r^2*sin(\theta)^2)=0;
U1:u=v*w;
subst([U1],EQ1);
ev(%,diff);
EQ3:expand(%/v/w*r^2);
EQ31:%-rest(lhs(%),-2);
EQ32:lhs(EQ31)=n*(n+1);
EQ33:rhs(EQ31)=n*(n+1);
EQ4:expand((EQ32-n*(n+1))*v/r^2);
EQ5:expand(-(EQ33-n*(n+1))*w);
ode2(EQ4,v,r);
subst([4*n^2+4*n+1=(2*n+1)^2],%);
V1:expand(%);
```

ここで、 $u$  は  $r, \theta, \phi$  の関数であり、 $x - y - z$  座標と極座標： $r - \theta - \phi$  の関係を図 4.5.2、169 頁に示す。下記のように変数分離できるとして、 $v$  は  $r$  の関数、 $w$  は  $\theta, \phi$  の関数とする。

$$u = v w$$

上式を (10.3.21) 式に代入し、微分を実行し、整理すると、

$$\frac{v \left( \frac{d^2}{d\theta^2} w \right)}{r^2} + \frac{\cos(\theta) v \left( \frac{d}{d\theta} w \right)}{r^2 \sin(\theta)} + \frac{v \left( \frac{d^2}{d\phi^2} w \right)}{r^2 \sin^2(\theta)} + \left( \frac{d^2}{dr^2} v \right) w + \frac{2 \left( \frac{d}{dr} v \right) w}{r} = 0$$

上式を変形し、

$$\frac{r^2 \left( \frac{d^2}{dr^2} v \right)}{v} + \frac{2r \left( \frac{d}{dr} v \right)}{v} = -\frac{\frac{d^2}{d\theta^2} w}{w} - \frac{\cos(\theta) \left( \frac{d}{d\theta} w \right)}{\sin(\theta) w} - \frac{\frac{d^2}{d\phi^2} w}{\sin^2(\theta) w}$$

更に上式を  $n(n+1)$  と置くと、次の二式が得られる。

$$\frac{r^2 \left( \frac{d^2}{dr^2} v \right)}{v} + \frac{2r \left( \frac{d}{dr} v \right)}{v} = n(n+1)$$

$$-\frac{\frac{d^2}{d\theta^2} w}{w} - \frac{\cos(\theta) \left( \frac{d}{d\theta} w \right)}{\sin(\theta) w} - \frac{\frac{d^2}{d\phi^2} w}{\sin^2(\theta) w} = n(n+1)$$

上式を変形し、

$$\frac{d^2}{dr^2} v + \frac{2 \left( \frac{d}{dr} v \right)}{r} - \frac{n^2 v}{r^2} - \frac{nv}{r^2} = 0 \quad (10.3.22)$$

$$\frac{d^2}{d\theta^2} w + \frac{\cos(\theta) \left( \frac{d}{d\theta} w \right)}{\sin(\theta)} + \frac{\frac{d^2}{d\phi^2} w}{\sin^2(\theta)} + n^2 w + n w = 0 \quad (10.3.23)$$

(10.3.22) 式を ode2 関数で解くと、

$$v = \%k1 r^{\frac{\sqrt{4n^2+4n+1}-\frac{1}{2}}{2}} + \%k2 r^{-\frac{\sqrt{4n^2+4n+1}-\frac{1}{2}}{2}} = \%k1 r^n + \%k2 r^{-n-1} \quad (10.3.24)$$

```
W1:w=p*q;
subst([W1],EQ5);
ev(%,diff);
expand(%/p/q*sin(\theta)^2);
EQ51:%-last(lhs(%));
EQ52:lhs(EQ51)=m^2;
EQ53:rhs(EQ51)=m^2;
assume(m>0);
Q1:ode2(EQ53,q,\phi);
EQ52-m^2;
EQ54:expand(%*p/sin(\theta)^2);
depends([s],[\theta]);
depends([p],[s]);
CS1:cos(\theta)=s;
CS2:solve(%,s)[1];
```

```

CS21:diff(CS2,\theta,1);
CS22:diff(CS2,\theta,2);
ev(EQ54,diff);
subst([CS22,CS21],%);
subst([sin(\theta)^2=1-cos(\theta)^2],%);
EQ6:subst([CS1],%);
PN1:P[n](s)=diff((s^2-1)^n,s,n)/2^n/n!;
P0:p=(1-s^2)^(m/2)*diff(P[n](s),s,m);
P1:p=P[m,n](cos(\theta));
subst([Q1,P1],W1);
W2:w=A[0,n]*P[n](cos(\theta))+sum(A[m,n]
  *P[m,n](cos(\theta))*cos(m*\phi)
  +B[m,n]*P[m,n](cos(\theta))
  *sin(m*\phi),m,1,n);
subst([V1,W2],U1);
lhs(%)=sum(rhs(%),n,1,inf);

```

ここで、(10.3.23) 式について、 $w$  を下記のように変数分離できるとして、 $p$  は  $\theta$  の関数、 $q$  は  $\phi$  の関数とする。

$$w = pq$$

(10.3.23) 式に上式を代入し、微分を実行し、整理すると、

$$\frac{\left(\frac{d}{d\theta} p\right) q \cos(\theta)}{\sin(\theta)} + \frac{p \left(\frac{d^2}{d\phi^2} q\right)}{\sin(\theta)^2} + \left(\frac{d^2}{d\theta^2} p\right) q + n^2 pq + npq = 0$$

上式を変形し、

$$\frac{\left(\frac{d^2}{d\theta^2} p\right) \sin(\theta)^2}{p} + n^2 \sin(\theta)^2 + n \sin(\theta)^2 + \frac{\left(\frac{d}{d\theta} p\right) \cos(\theta) \sin(\theta)}{p} = -\frac{\frac{d^2}{d\phi^2} q}{q}$$

上式を  $m^2$  と置くと、次の二式が得られる。

$$\frac{\left(\frac{d^2}{d\theta^2} p\right) \sin(\theta)^2}{p} + n^2 \sin(\theta)^2 + n \sin(\theta)^2 + \frac{\left(\frac{d}{d\theta} p\right) \cos(\theta) \sin(\theta)}{p} = m^2 \quad (10.3.25)$$

$$-\frac{\frac{d^2}{d\phi^2} q}{q} = m^2 \quad (10.3.26)$$

$$u = \sum_{n=1}^{\infty} (\%k1 r^n + \%k2 r^{-n-1}) \left( \left( \sum_{m=1}^n B_{m,n} \sin(m\phi) P_{m,n}(\cos(\theta)) + A_{m,n} \cos(m\phi) P_{m,n}(\cos(\theta)) \right) + A_{0,n} P_n(\cos(\theta)) \right)$$

(10.3.30)

上式を ode2 関数で解くと、

$$q = \%k1 \sin(m\phi) + \%k2 \cos(m\phi) \quad (10.3.27)$$

ここで上式が  $\phi = 0$  と  $\phi = 2\pi$  で連続で繋がるためには、 $m$  は整数となる。(10.3.25) 式を変形し、

$$\frac{\left(\frac{d}{d\theta} p\right) \cos(\theta)}{\sin(\theta)} - \frac{m^2 p}{\sin(\theta)^2} + \frac{d^2}{d\theta^2} p + n^2 p + np = 0$$

上式で、次式の変数変換を行う。

$$\cos(\theta) = s, \quad \frac{d}{d\theta} s = -\sin(\theta) \quad \frac{d^2}{d\theta^2} s = -\cos(\theta)$$

微分を実行すると、

$$\frac{\left(\frac{d}{ds} p\right) \left(\frac{d}{d\theta} s\right) \cos(\theta)}{\sin(\theta)} - \frac{m^2 p}{\sin(\theta)^2} + \left(\frac{d}{ds} p\right) \left(\frac{d^2}{d\theta^2} s\right) + \left(\frac{d^2}{ds^2} p\right) \left(\frac{d}{d\theta} s\right)^2 + n^2 p + np = 0$$

$\cos(\theta) = s$  の変数変換の関係式を代入し、整理すると、

$$-\frac{m^2 p}{1-s^2} + \left(\frac{d^2}{ds^2} p\right) (1-s^2) - 2 \left(\frac{d}{ds} p\right) s + n^2 p + np = 0 \quad (10.3.28)$$

上式は (3.4.53) 式、70 頁の Legendre の陪微分方程式であり、その解は (3.4.61) 式から、

$$p = (1-s^2)^{\frac{m}{2}} \left( \frac{d^m}{ds^m} P_n(s) \right) = P_{m,n}(s)$$

ここで、 $n$  は整数  $P_n(s) = \frac{d^n}{ds^n} (s^2-1)^n / 2^n n!$

$$(10.3.29)$$

上式と (10.3.27) 式から、 $s \rightarrow \cos(\theta)$  と置き換えると、 $w$  は、

$$w = (\%k1 \sin(m\phi) + \%k2 \cos(m\phi)) P_{m,n}(\cos(\theta))$$

上式を  $m$  の級数の形にし、(10.3.24) 式から、三次元ラプラスの方程式の解： $u$  は、

10.3.4 極座標における三次元ラプラスの方程式の境界値問題

図 4.5.2、169 頁に示す極座標  $r - \theta - \phi$  の三次元ラプラスの方程式の解は (10.3.30) 式、468 頁から次式で表現できる。ここで  $u$  はポテンシャルで  $r, \theta, \phi$  の関数である。

$$u = \sum_{n=1}^{\infty} (\%k1 r^n + \%k2 r^{-n-1}) \left( \left( \sum_{m=1}^n B_{m,n} \sin(m\phi) P_{m,n}(\cos(\theta)) + A_{m,n} \cos(m\phi) P_{m,n}(\cos(\theta)) \right) + A_{0,n} P_n(\cos(\theta)) \right) \quad \text{ここで、} m, n \text{ は正の整数, } P_{m,n} : \text{Legendre の陪関数}$$

(10.3.31)

球の内部問題： $r < R$

```
kill(all);
AN1:u=sum((%k1*r^n+%k2*r^(-n-1))*((sum(B[m,n]*sin(m*phi)*P[m,n](cos(theta))+A[m,n]*cos(m*phi)*P[m,n](cos(theta)),m,1,n))+A[0,n]*P[n](cos(theta))),n,1,inf);
AN2:subst([%k1=1,r=r/R,%k2=0],AN1);
AN23:u(R,\theta,\phi)=subst([r=R],rhs(AN2));
A[0,n]=(2*n+1)/4/%pi*'integrate('integrate(u(R,\theta[d],\phi[d])*P[n](cos(\theta[d]))*sin(\theta[d]),\theta[d],\phi[d]);
A[m,n]=(2*n+1)/2/%pi*(n-m)!/(n+m)!*'integrate('integrate(u(R,\theta[d],\phi[d])*P[m,n](cos(\theta[d]))*cos(m*\phi[d])*sin(\theta[d]),\theta[d],\phi[d]);
B[m,n]=(2*n+1)/2/%pi*(n-m)!/(n+m)!*'integrate('integrate(u(R,\theta[d],\phi[d])*P[m,n](cos(\theta[d]))*sin(m*\phi[d])*sin(\theta[d]),\theta[d],\phi[d]);
```

$r < R$  の球の内部問題では、 $\%k2 r^{-n-1}$  の項は発散するので省き、解は次式となる。

$$u = \sum_{n=1}^{\infty} \left( \left( \sum_{m=1}^n B_{m,n} \sin(m\phi) P_{m,n}(\cos(\theta)) + A_{m,n} \cos(m\phi) P_{m,n}(\cos(\theta)) \right) + A_{0,n} P_n(\cos(\theta)) \right) \left( \frac{r}{R} \right)^n$$

(10.3.32)

$r = R$  の境界において  $u(R, \theta, \phi)$  とすると、

$$u(R, \theta, \phi) = \sum_{n=1}^{\infty} \left( \sum_{m=1}^n B_{m,n} \sin(m\phi) P_{m,n}(\cos(\theta)) + A_{m,n} \cos(m\phi) P_{m,n}(\cos(\theta)) \right) + A_{0,n} P_n(\cos(\theta))$$

上式は Legendre の陪関数の展開式であり、各係数は (7.2.47) 式、(7.2.48) 式、(7.2.49) 式から下記で与えられる。次式を (10.3.32) 式に代入すると、内部のポテンシャルが得られる。

$$\begin{aligned} A_{0,n} &= \frac{(2n+1)}{4\pi} \int \int \sin(\theta_d) P_n(\cos(\theta_d)) u(R, \theta_d, \phi_d) d\theta_d d\phi_d \\ A_{m,n} &= \frac{(2n+1)(n-m)!}{2\pi(n+m)!} \int \cos(\phi_d m) \int \sin(\theta_d) P_{m,n}(\cos(\theta_d)) u(R, \theta_d, \phi_d) d\theta_d d\phi_d \\ B_{m,n} &= \frac{(2n+1)(n-m)!}{2\pi(n+m)!} \int \sin(\phi_d m) \int \sin(\theta_d) P_{m,n}(\cos(\theta_d)) u(R, \theta_d, \phi_d) d\theta_d d\phi_d \end{aligned}$$

(10.3.33)

球で軸対称の内部問題： $r < R$

```
AN21:subst([B[m,n]=0,A[m,n]=0,cos(\theta)=x],AN2);
u(R,x)=subst([r=R],rhs(%));
A[0,n]=(2*n+1)/2*integrate(u(R,s)*P[n](s),s,-1,1);
AN22:u(r,\theta)=subst([%,x=cos(\theta)],rhs(AN21));
```

軸対称では、(10.3.32) 式で  $m = 0$  とし次式で得られる。

$$u = \sum_{n=1}^{\infty} A_{0,n} P_n(x) \left( \frac{r}{R} \right)^n \quad \text{ここで } x = \cos(\theta), \quad P_n(x) : \text{Legendre の多項式}$$

(10.3.34)

$r = R$  の境界において  $u(R, x)$  とすると、Legendre の多項式による展開であり、(7.2.4) 式から、

$$u(R, x) = \sum_{n=1}^{\infty} A_{0,n} P_n(x) \quad A_{0,n} = \frac{(2n+1)}{2} \int_{-1}^1 P_n(s) u(R, s) ds$$

以上から、

$$u(r, \theta) = \frac{1}{2} \sum_{n=1}^{\infty} (2n+1) P_n(\cos(\theta)) \left(\frac{r}{R}\right)^n \int_{-1}^1 P_n(s) u(R, s) ds \quad (10.3.35)$$

球の外部問題： $r > R$

```
AN3:subst(['%k2=1,r=r/R,%k1=0'],AN1);
AN33:u(R,\theta,\phi)=subst([r=R],rhs(AN3));
```

$r > R$  の球の外部問題では、 $\%k1 r^n$  の項は発散するので省き、解は次式となる。

$$u = \sum_{n=1}^{\infty} \left( \left( \sum_{m=1}^n B_{m,n} \sin(m\phi) P_{m,n}(\cos(\theta)) + A_{m,n} \cos(m\phi) P_{m,n}(\cos(\theta)) \right) + A_{0,n} P_n(\cos(\theta)) \right) \left(\frac{r}{R}\right)^{-n-1} \quad (10.3.36)$$

$r = R$  の境界において  $u(R, \theta, \phi)$  とすると、

$$u(R, \theta, \phi) = \sum_{n=1}^{\infty} \left( \sum_{m=1}^n B_{m,n} \sin(m\phi) P_{m,n}(\cos(\theta)) + A_{m,n} \cos(m\phi) P_{m,n}(\cos(\theta)) \right) + A_{0,n} P_n(\cos(\theta))$$

上式は Legendre の陪関数の展開式であり、球の内部問題： $r < R$  の式と同じであり、各係数は (10.3.33) 式で与えられる。

球で軸対称の外部問題： $r > R$

```
AN31:subst([B[m,n]=0,A[m,n]=0,cos(\theta)=x],AN3);
u(R,x)=subst([r=R],rhs(%));
A[0,n]=(2*n+1)/2*integrate(u(R,s)*P[n](s),s,-1,1);
AN32:u(r,\theta)=subst(['x=cos(\theta)'],rhs(AN31));
```

軸対称では、(10.3.36) 式で  $m = 0$  とし次式で得られる。

$$u = \sum_{n=1}^{\infty} A_{0,n} P_n(x) \left(\frac{r}{R}\right)^{-n-1} \quad \text{ここで } x = \cos(\theta), \quad P_n(x) : \text{Legendre の多項式} \quad (10.3.37)$$

$r = R$  の境界において  $u(R, x)$  とすると、Legendre の多項式による展開であり、(7.2.4) 式から、

$$u(R, x) = \sum_{n=1}^{\infty} A_{0,n} P_n(x) \quad A_{0,n} = \frac{(2n+1)}{2} \int_{-1}^1 P_n(s) u(R, s) ds$$

以上から、

$$u(r, \theta) = \frac{1}{2} \sum_{n=1}^{\infty} (2n+1) P_n(\cos(\theta)) \left(\frac{r}{R}\right)^{-n-1} \int_{-1}^1 P_n(s) u(R, s) ds \quad (10.3.38)$$

## 10.4 ポアソン方程式とグリーン関数 10.4.2 三次元ポアソン方程式の特殊解

### 10.4.1 三次元グリーン関数

三次元ポアソン方程式は、

$$\nabla^2 u = \frac{d^2}{dz^2} u + \frac{d^2}{dy^2} u + \frac{d^2}{dx^2} u = -\rho(x, y, z) \quad (10.4.1)$$

(10.1.11) 式から三次元ラプラス方程式のグリーン関数は、

$$4\pi u(\vec{r}_A) = - \iiint_V \left(\frac{1}{r}\right) (\nabla^2 u) dV + \iint_S \left( \left(\frac{1}{r}\right) \frac{d}{dn} u - \phi \frac{d}{dn} \left(\frac{1}{r}\right) \right) dS$$

ここで、 $r = \sqrt{z^2 + y^2 + x^2}$

(10.4.2)

$u$  が無限遠で  $\frac{1}{r}$  以上に速く零り、 $V$  を全空間となり、上記右辺第二項の表面積分は零となり、(10.4.1) 式から、

$$u(\vec{r}_A) = \frac{1}{4\pi} \iiint_V \left( \frac{\rho(x, y, z)}{r} \right) dV \quad (10.4.3)$$

三次元の領域： $V$  で下記の式が、

$$u(\vec{r}) = \frac{1}{4\pi} \iiint_V \frac{\rho(\vec{r}')}{|\vec{r} - \vec{r}'|} dV \quad (10.4.4)$$

下記の三次元ポアソン方程式を満足していることを示す。

$$\nabla^2 u = \frac{d^2}{dz^2} u + \frac{d^2}{dy^2} u + \frac{d^2}{dx^2} u = -\rho(x, y, z) \quad (10.4.5)$$

```
kill(all);
R1:matrix([x],[y],[z]);
R2:matrix([a],[b],[c]);
ABR1:((R2-R1).(R2-R1))^(1/2);
F1:\rho(a,b,c);
F2:F1/ABR1;
diff(F2,x,2)+diff(F2,y,2)+diff(F2,z,2);
factor(%);
AB2:1/(ABR1)^(1-n);
diff(AB2,x,2)+diff(AB2,y,2)+diff(AB2,z,2);
AB21:factor(%);
AB32:(n-1)*n*((z-c)^2+(y-b)^2
+(x-a)^2)^(n/2-3/2);
AB21-AB32;
factor(%);
assume(n>0 and n<1);
assume(\delta>0);
assume(\delta[0]>0);
(n-1)*n/4/pi*(\delta^2)^(n/2-3/2)*
\delta^2*sin(\theta);
factor(%);
'integrate('integrate('integrate(%,\delta,
0,\delta[0]),\theta,0,%pi),%phi,0,2*pi);
ev(%integrate);
factor(%);
limit(%n,0);
```

いま、 $\vec{r}$ ,  $\vec{r}'$  は下記とする。

$$\vec{r} = \begin{pmatrix} x \\ y \\ z \end{pmatrix}, \quad \vec{r}' = \begin{pmatrix} a \\ b \\ c \end{pmatrix}$$

このとき、

$$|\vec{r} - \vec{r}'| = \sqrt{(c-z)^2 + (b-y)^2 + (a-x)^2}$$

(10.4.5) 式に (10.4.4) 式に代入する。ここで  $\vec{r} = \vec{r}'$  のとき、発散するので、この部分を小さな球で囲み、これを  $V_i$ 、その外部を  $V_e$  とすると、

$V_e$  では  $\nabla^2$  を積分の内部に入れることができ、

$$\begin{aligned}\nabla^2 u(\vec{r}) &= \nabla^2 \frac{1}{4\pi} \iiint_{V_i} \frac{\rho(\vec{r}^j)}{|\vec{r} - \vec{r}^j|} dV + \nabla^2 \frac{1}{4\pi} \iiint_{V_e} \frac{\rho(\vec{r}^j)}{|\vec{r} - \vec{r}^j|} dV \\ &= \nabla^2 \frac{1}{4\pi} \iiint_{V_i} \frac{\rho(\vec{r}^j)}{|\vec{r} - \vec{r}^j|} dV + \frac{1}{4\pi} \iiint_{V_e} \nabla^2 \frac{\rho(\vec{r}^j)}{|\vec{r} - \vec{r}^j|} dV\end{aligned}\quad (10.4.6)$$

上式右辺第二項の被積分項は、次式より零となる。

$$\begin{aligned}\nabla^2 \frac{\rho(\vec{r}^j)}{|\vec{r} - \vec{r}^j|} &= \nabla^2 \frac{\rho(a, b, c)}{\sqrt{(c-z)^2 + (b-y)^2 + (a-x)^2}} \\ &= \frac{3\rho(a, b, c)(c-z)^2}{\left((c-z)^2 + (b-y)^2 + (a-x)^2\right)^{\frac{5}{2}}} - \frac{3\rho(a, b, c)}{\left((c-z)^2 + (b-y)^2 + (a-x)^2\right)^{\frac{3}{2}}} \\ &\quad + \frac{3\rho(a, b, c)(b-y)^2}{\left((c-z)^2 + (b-y)^2 + (a-x)^2\right)^{\frac{5}{2}}} + \frac{3\rho(a, b, c)(a-x)^2}{\left((c-z)^2 + (b-y)^2 + (a-x)^2\right)^{\frac{5}{2}}} = 0\end{aligned}\quad (10.4.7)$$

上式右辺第一項の被積分項は、 $\vec{r} = \vec{r}^j$  のとき、発散するので、体積分の発散を防ぐため、次式のように  $n$  を導入して変形し、積分の後で  $n \rightarrow 0$  として求める。このとき  $\nabla^2$  を積分の内部に入れることができる。また、小さな球の体積分： $V_i$  として、 $\vec{r}^j$  に中心があり、半径： $\delta_0$  の球を考える。 $\delta_0$  は十分小さいので、 $\rho(\vec{r}^j)$  は一定の値となり、積分の外に出すことができ、球の中心の値で代表させ、 $\rho(\vec{r})$  とする。

$$\nabla^2 \frac{1}{4\pi} \iiint_{V_i} \frac{\rho(\vec{r}^j)}{|\vec{r} - \vec{r}^j|} dV \rightarrow \nabla^2 \frac{1}{4\pi} \iiint_{V_i} \frac{\rho(\vec{r}^j)}{|\vec{r} - \vec{r}^j|^{1-n}} dV = \frac{\rho(\vec{r})}{4\pi} \iiint_{V_i} \nabla^2 \frac{1}{|\vec{r} - \vec{r}^j|^{1-n}} dV \quad (10.4.8)$$

上式の被積分関数は、

$$\begin{aligned}\nabla^2 \frac{1}{|\vec{r} - \vec{r}^j|^{1-n}} &= \frac{1}{\left((c-z)^2 + (b-y)^2 + (a-x)^2\right)^{\frac{1-n}{2}}} \\ &= -2 \left(-\frac{1-n}{2} - 1\right) (1-n) \left((c-z)^2 + (b-y)^2 + (a-x)^2\right)^{-\frac{1-n}{2}-2} (c-z)^2 \\ &\quad - 3(1-n) \left((c-z)^2 + (b-y)^2 + (a-x)^2\right)^{-\frac{1-n}{2}-1} \\ &\quad - 2 \left(-\frac{1-n}{2} - 1\right) (1-n) (b-y)^2 \left((c-z)^2 + (b-y)^2 + (a-x)^2\right)^{-\frac{1-n}{2}-2} \\ &\quad - 2 \left(-\frac{1-n}{2} - 1\right) (1-n) (a-x)^2 \left((c-z)^2 + (b-y)^2 + (a-x)^2\right)^{-\frac{1-n}{2}-2} \\ &= (n-1) n \left((z-c)^2 + (y-b)^2 + (x-a)^2\right)^{\frac{n}{2}-\frac{3}{2}}\end{aligned}\quad (10.4.9)$$

(10.4.8) 式に上式を代入し、 $\vec{r}^j - \vec{r} = \vec{\delta}$  とすると、 $\sqrt{(c-z)^2 + (b-y)^2 + (a-x)^2} = \delta$  となる。極座標で体積分する。ここで  $\delta > 0$ ,  $\delta_0 > 0$ ,  $0 < n < 1$  とする。

$$\frac{\rho(\vec{r})}{4\pi} \iiint_{V_i} \nabla^2 \frac{1}{|\vec{r} - \vec{r}^j|^{1-n}} dV = \frac{\rho(\vec{r})}{4\pi} \int_0^{2\pi} \int_0^\pi \int_0^{\delta_0} (n-1) n \delta^{n-1} \sin(\theta) d\delta d\theta d\phi = \rho(\vec{r}) \delta_0^n (n-1)$$

(10.4.6) 式に (10.4.7) 式、(10.4.9) 式と上式を代入すると、下記となり、 $n \rightarrow 0$  とすると、(10.4.4) 式が (10.4.5) 式を満足していることがわかる。

$$\nabla^2 u(\vec{r}) = \rho(\vec{r}) \delta_0^n (n-1) = -\rho(\vec{r})$$



10.4.3 三次元波動方程式の特殊解

三次元の領域：V で下記の式が、

$$u(\vec{r}, t) = \frac{1}{4\pi} \iiint_V \frac{\rho\left(\vec{r}', t \pm \frac{|\vec{r} - \vec{r}'|}{C}\right)}{|\vec{r} - \vec{r}'|} dV \tag{10.4.10}$$

下記の三次元波動方程式を満足していることを示す。

$$\begin{aligned} \nabla^2 u - \frac{1}{C^2} \frac{d^2}{dt^2} u &= \frac{d^2}{dz^2} u + \frac{d^2}{dy^2} u + \frac{d^2}{dx^2} u - \frac{1}{C^2} \frac{d^2}{dt^2} u \\ &= -\rho\left(\vec{r}', t \pm \frac{|\vec{r} - \vec{r}'|}{C}\right) \end{aligned} \tag{10.4.11}$$

```
kill(all);
depends([\rho], [a,b,c,h]);
depends([h], [a,b,c,x,y,z,t]);
R1:matrix([x],[y],[z]);
R2:matrix([a],[b],[c]);
ABR1:((R1-R2).(R1-R2))^(1/2);
diff(A1,x,2)+diff(A1,y,2)+diff(A1,z,2);
factor(%);
U:t+ABR1*1/C;
U1:h=U;
UX1:diff(U1,x,1);
UY1:diff(U1,y,1);
UZ1:diff(U1,z,1);
UX2:diff(U1,x,2);
UY2:diff(U1,y,2);
UZ2:diff(U1,z,2);
UT1:diff(U1,t,1);
UT2:diff(U1,t,2);
G:\rho/ABR1;
diff(G,x,1);
diff(G,x,2)+diff(G,y,2)+diff(G,z,2)
-1/(C^2)*diff(G,t,2);
subst([UX1,UY1,UZ1,UX2,UY2,UZ2,UT1,UT2],%);
G1:factor(%);
```

```
AB2:1/((ABR1)^(1-n));
diff(AB2,x,2)+diff(AB2,y,2)+diff(AB2,z,2)
-1/(C^2)*diff(AB2,t,2);
subst([UX1,UY1,UZ1,UX2,UY2,UZ2,UT1,UT2],%);
AB21:factor(%);
AB22:(n-1)*n*((z-w)^2+(y-v)^2+(x-u)^2)^(n/2-3/2);
assume(r>0);
assume(n>0 and n<1);
assume(\delta>0);
\rho*(n-1)*n/4/%pi*(r^2)^(n/2-3/2)*r^2
*sin(\theta);
factor(%);
'integrate('integrate('integrate(% ,r,0,
\delta),\theta,0,%pi),%phi,0,2*%pi);
ev(% ,integrate);
factor(%);
limit(% ,n,0);
```

いま、 $\vec{r}, \vec{r}'$  は下記とする。

$$\vec{r} = \begin{pmatrix} x \\ y \\ z \end{pmatrix}, \quad \vec{r}' = \begin{pmatrix} a \\ b \\ c \end{pmatrix}$$

このとき、

$$|\vec{r} - \vec{r}'| = \sqrt{(c-z)^2 + (b-y)^2 + (a-x)^2} \tag{10.4.12}$$

ここで、下記の置き換えを行う。

$$h = t + \frac{|\vec{r} - \vec{r}'|}{C} = \frac{\sqrt{(z-c)^2 + (y-b)^2 + (x-a)^2}}{C} + t \tag{10.4.13}$$

以上から、 $\rho$  は  $a, b, c, h$  の関数で、 $h$  は  $a, b, c, x, y, z, t$  の関数とする。(10.4.11) 式に (10.4.10) 式に代入する。ここで  $\vec{r} = \vec{r}'$  のとき、発散するので、この部分を小さな球で囲み、これを  $V_i$ 、その外部を  $V_e$  とし、 $V_e$  では  $\nabla^2$  を積分の内部に入れることができ、

$$\nabla^2 u - \frac{1}{C^2} \frac{d^2}{dt^2} u = \left( \nabla^2 - \frac{1}{C^2} \frac{d^2}{dt^2} \right) \left( \frac{1}{4\pi} \iiint_{V_i} \frac{\rho(\vec{r}', h)}{|\vec{r} - \vec{r}'|} dV \right) + \frac{1}{4\pi} \iiint_{V_e} \left( \nabla^2 - \frac{1}{C^2} \frac{d^2}{dt^2} \right) \frac{\rho(\vec{r}', h)}{|\vec{r} - \vec{r}'|} dV \tag{10.4.14}$$

ところで、(10.4.13) 式の関係式から、

$$\begin{aligned}
 \frac{d}{dx} h &= \frac{x-a}{\sqrt{(z-c)^2 + (y-b)^2 + (x-a)^2} C}, & \frac{d}{dy} h &= \frac{y-b}{\sqrt{(z-c)^2 + (y-b)^2 + (x-a)^2} C} \\
 \frac{d}{dz} h &= \frac{z-c}{\sqrt{(z-c)^2 + (y-b)^2 + (x-a)^2} C}, \\
 \frac{d^2}{dx^2} h &= \frac{1}{\sqrt{(z-c)^2 + (y-b)^2 + (x-a)^2} C} - \frac{(x-a)^2}{\left((z-c)^2 + (y-b)^2 + (x-a)^2\right)^{\frac{3}{2}} C} \\
 \frac{d^2}{dy^2} h &= \frac{1}{\sqrt{(z-c)^2 + (y-b)^2 + (x-a)^2} C} - \frac{(y-b)^2}{\left((z-c)^2 + (y-b)^2 + (x-a)^2\right)^{\frac{3}{2}} C} \\
 \frac{d^2}{dz^2} h &= \frac{1}{\sqrt{(z-c)^2 + (y-b)^2 + (x-a)^2} C} - \frac{(z-c)^2}{\left((z-c)^2 + (y-b)^2 + (x-a)^2\right)^{\frac{3}{2}} C} \\
 \frac{d}{dt} h &= 1, & \frac{d^2}{dt^2} h &= 0
 \end{aligned} \tag{10.4.15}$$

(10.4.14) 式の右辺第二項の被積分項は次式となり、微分を実行し、(10.4.15) 式の関係式を代入すると、零となる。

$$\begin{aligned}
 & \left( \nabla^2 - \frac{1}{C^2} \frac{d^2}{dt^2} \right) \frac{\rho}{\sqrt{(z-c)^2 + (y-b)^2 + (x-a)^2}} \\
 &= - \frac{\frac{\left(\frac{d}{dt} h\right)^2 \left(\frac{d^2}{dh^2} \rho\right)}{\sqrt{(z-c)^2 + (y-b)^2 + (x-a)^2}} + \frac{\left(\frac{d^2}{dt^2} h\right) \left(\frac{d}{dh} \rho\right)}{\sqrt{(z-c)^2 + (y-b)^2 + (x-a)^2}}}{C^2} + \frac{\left(\frac{d}{dz} h\right)^2 \left(\frac{d^2}{dh^2} \rho\right)}{\sqrt{(z-c)^2 + (y-b)^2 + (x-a)^2}} \\
 &+ \frac{\left(\frac{d}{dy} h\right)^2 \left(\frac{d^2}{dh^2} \rho\right)}{\sqrt{(z-c)^2 + (y-b)^2 + (x-a)^2}} + \frac{\left(\frac{d}{dx} h\right)^2 \left(\frac{d^2}{dh^2} \rho\right)}{\sqrt{(z-c)^2 + (y-b)^2 + (x-a)^2}} \\
 &+ \frac{\left(\frac{d^2}{dz^2} h\right) \left(\frac{d}{dh} \rho\right)}{\sqrt{(z-c)^2 + (y-b)^2 + (x-a)^2}} + \frac{\left(\frac{d^2}{dy^2} h\right) \left(\frac{d}{dh} \rho\right)}{\sqrt{(z-c)^2 + (y-b)^2 + (x-a)^2}} \\
 &+ \frac{\left(\frac{d^2}{dx^2} h\right) \left(\frac{d}{dh} \rho\right)}{\sqrt{(z-c)^2 + (y-b)^2 + (x-a)^2}} - \frac{2 \left(\frac{d}{dz} h\right) \left(\frac{d}{dh} \rho\right) (z-c)}{\left((z-c)^2 + (y-b)^2 + (x-a)^2\right)^{\frac{3}{2}}} \\
 &- \frac{2 \left(\frac{d}{dy} h\right) \left(\frac{d}{dh} \rho\right) (y-b)}{\left((z-c)^2 + (y-b)^2 + (x-a)^2\right)^{\frac{3}{2}}} - \frac{2 \left(\frac{d}{dx} h\right) \left(\frac{d}{dh} \rho\right) (x-a)}{\left((z-c)^2 + (y-b)^2 + (x-a)^2\right)^{\frac{3}{2}}} \\
 &- \frac{3\rho}{\left((z-c)^2 + (y-b)^2 + (x-a)^2\right)^{\frac{3}{2}}} + \frac{3\rho(z-c)^2}{\left((z-c)^2 + (y-b)^2 + (x-a)^2\right)^{\frac{3}{2}}} \\
 &+ \frac{3\rho(y-b)^2}{\left((z-c)^2 + (y-b)^2 + (x-a)^2\right)^{\frac{3}{2}}} + \frac{3\rho(x-a)^2}{\left((z-c)^2 + (y-b)^2 + (x-a)^2\right)^{\frac{3}{2}}} \\
 &= 0
 \end{aligned} \tag{10.4.16}$$

(10.4.14) 式の右辺第一項の被積分項は、 $\vec{r} = \vec{r}^j$  のとき、発散するので、体積分の発散を防ぐため、次式のように  $n$  を導入して変形し、積分の後で  $n \rightarrow 0$  として求める。このとき  $\nabla^2$  を積分の内部に入れることができる。また、小さな球の体積分:  $V_i$  として、 $\vec{r}$  に中心があり、半径:  $\delta_0$  の球を考える。 $\delta_0$  は十分小さいので、 $\rho(\vec{r}^j, h)$  は一定の値となり、積分の外に出すことができ、球の中心の値で代表させ、 $\rho(\vec{r}, h)$  とする。

$$\begin{aligned} & \left( \nabla^2 - \frac{1}{C^2} \frac{d^2}{dt^2} \right) \left( \frac{1}{4\pi} \iiint_{V_i} \frac{\rho(\vec{r}^j, h)}{|\vec{r} - \vec{r}^j|} dV \right) \rightarrow \left( \nabla^2 - \frac{1}{C^2} \frac{d^2}{dt^2} \right) \left( \frac{1}{4\pi} \iiint_{V_i} \frac{\rho(\vec{r}^j, h)}{|\vec{r} - \vec{r}^j|^{1-n}} dV \right) \\ & = \frac{1}{4\pi} \iiint_{V_i} \left( \nabla^2 - \frac{1}{C^2} \frac{d^2}{dt^2} \right) \frac{\rho(\vec{r}^j, h)}{|\vec{r} - \vec{r}^j|^{1-n}} dV = \frac{\rho(\vec{r}, h)}{4\pi} \iiint_{V_i} \left( \nabla^2 - \frac{1}{C^2} \frac{d^2}{dt^2} \right) \frac{1}{|\vec{r} - \vec{r}^j|^{1-n}} dV \end{aligned} \quad (10.4.17)$$

上式の被積分関数は次式となり、(10.4.12) 式を代入し、微分すると、

$$\begin{aligned} \left( \nabla^2 - \frac{1}{C^2} \frac{d^2}{dt^2} \right) \frac{1}{|\vec{r} - \vec{r}^j|^{1-n}} & = \left( \nabla^2 - \frac{1}{C^2} \frac{d^2}{dt^2} \right) \frac{1}{\left( (z-c)^2 + (y-b)^2 + (x-a)^2 \right)^{\frac{1-n}{2}}} \\ & = (n-1)n \left( (z-w)^2 + (y-v)^2 + (x-u)^2 \right)^{\frac{n}{2} - \frac{3}{2}} \end{aligned} \quad (10.4.18)$$

(10.4.17) 式に上式を代入し、 $\vec{r}^j - \vec{r} = \vec{\delta}$  とすると、 $\sqrt{(c-z)^2 + (b-y)^2 + (a-x)^2} = \delta$  となる。極座標で体積分する。ここで  $\delta > 0$ ,  $\delta_0 > 0$ ,  $0 < n < 1$  とする。

$$\begin{aligned} & \frac{\rho(\vec{r}, h)}{4\pi} \iiint_{V_i} \left( \nabla^2 - \frac{1}{C^2} \frac{d^2}{dt^2} \right) \frac{1}{|\vec{r} - \vec{r}^j|^{1-n}} dV \\ & = \frac{\rho(\vec{r}, h)}{4\pi} \int_0^{2\pi} \int_0^\pi \int_0^{\delta_0} (n-1)n \delta^{n-1} \sin(\theta) d\delta d\theta d\phi = \rho(\vec{r}, h) \delta_0^n (n-1) \end{aligned}$$

(10.4.14) 式に (10.4.16) 式、(10.4.17) 式と上式を代入すると、下記となり、 $n \rightarrow 0$  とすると、(10.4.10) 式が (10.4.11) 式を満足していることがわかる。

$$\left( \nabla^2 - \frac{1}{C^2} \frac{d^2}{dt^2} \right) u(\vec{r}) = \rho(\vec{r}, h) \delta_0^n (n-1) = -\rho \left( \vec{r}, t + \frac{|\vec{r} - \vec{r}^j|}{C} \right)$$

$t - \frac{|\vec{r} - \vec{r}^j|}{C}$  についても、同様に証明できる。

## 10.5 二次元ポアソンの方程式

### 10.5.1 $xy$ 座標における二次元ポアソンの方程式

$xy$  座標の二次元ポアソンの方程式は次式で表現できる。

$$\nabla^2 u = \frac{d^2}{dy^2} u + \frac{d^2}{dx^2} u = -\rho(x, y, z) \quad (10.5.1)$$

```
kill(all);
load("vect");
depends([u, \rho], [x, y]);
assume(A>0);
assume(B>0);
declare([j, k, m, n], integer);
EQ: 'diff(u, x, 2) + 'diff(u, y, 2) = -\rho(x, y);
sin((%pi*m*x)/A)*sin((%pi*n*y)/B);
U3: u = A[m, n] * %;
subst([U3], EQ);
ev(%, diff);
factor(-%);
EQ1: subst([A[m, n] = A[m, n] / %pi^2], %);
EQ2: EQ1 * sin((%pi*j*x)/A) * sin((%pi*k*y)/B);
'integrate('integrate(lhs(EQ2), x, 0, A), y, 0,
B) = 'integrate('integrate(rhs(EQ2), x, 0, A),
y, 0, B);
ev(%, integrate);
EQ2: EQ1 * sin((%pi*m*x)/A) * sin((%pi*n*y)/B);
'integrate('integrate(lhs(EQ2), x, 0, A), y, 0,
B) = 'integrate('integrate(rhs(EQ2), x, 0, A),
y, 0, B);
ev(%, integrate);
solve(%, A[m, n])[1];
subst([x=s, y=t], %);
subst(%, U3);
u = sum(sum(rhs(%), m, 1, inf), n, 1, inf);
```

境界条件:  $x = 0, x = A$  で  $u = 0, y = 0, y = B$  で  $u = 0$  とすると、「 $xyz$  座標における三次元ラプラスの方程式」の境界条件と同じことから、(10.7.6) 式、(10.7.7) 式から、下記となる。

$$\sin\left(\frac{\pi m x}{A}\right) \sin\left(\frac{\pi n y}{B}\right) \quad \text{ここで、} m, n : \text{整数}$$

上記を基に解として下記を考える。

$$u = A_{m,n} \sin\left(\frac{\pi m x}{A}\right) \sin\left(\frac{\pi n y}{B}\right) \quad (10.5.2)$$

(10.5.1) 式に (10.5.2) 式を代入し、

$$-\frac{\pi^2 A_{m,n} n^2 \sin\left(\frac{\pi m x}{A}\right) \sin\left(\frac{\pi n y}{B}\right)}{B^2} - \frac{\pi^2 m^2 A_{m,n} \sin\left(\frac{\pi m x}{A}\right) \sin\left(\frac{\pi n y}{B}\right)}{A^2} = -\rho(x, y)$$

整理すると、

$$\frac{\pi^2 A_{m,n} \sin\left(\frac{\pi m x}{A}\right) \sin\left(\frac{\pi n y}{B}\right) (m^2 B^2 + n^2 A^2)}{A^2 B^2} = \rho(x, y)$$

新たに  $A_{m,n}$  を定義して、

$$\frac{A_{m,n} \sin\left(\frac{\pi m x}{A}\right) \sin\left(\frac{\pi n y}{B}\right) (m^2 B^2 + n^2 A^2)}{A^2 B^2} = \rho(x, y)$$

上式の両辺に  $\sin\left(\frac{\pi j x}{A}\right) \sin\left(\frac{\pi k y}{B}\right)$  を掛け、

$$\frac{A_{m,n} \sin\left(\frac{\pi j x}{A}\right) \sin\left(\frac{\pi m x}{A}\right) \sin\left(\frac{\pi k y}{B}\right) \sin\left(\frac{\pi n y}{B}\right) (m^2 B^2 + n^2 A^2)}{A^2 B^2} = \rho(x, y) \sin\left(\frac{\pi j x}{A}\right) \sin\left(\frac{\pi k y}{B}\right)$$

$x$  軸で  $0 \rightarrow A$ 、 $y$  軸で  $0 \rightarrow B$  の範囲で積分すると、

$$\begin{aligned} \frac{A_{m,n} (m^2 B^2 + n^2 A^2)}{A^2 B^2} \int_0^A \sin\left(\frac{\pi j x}{A}\right) \sin\left(\frac{\pi m x}{A}\right) dx \int_0^B \sin\left(\frac{\pi k y}{B}\right) \sin\left(\frac{\pi n y}{B}\right) dy \\ = \int_0^B \int_0^A \rho(x, y) \sin\left(\frac{\pi j x}{A}\right) dx \sin\left(\frac{\pi k y}{B}\right) dy \end{aligned} \quad (10.5.3)$$

ここで、 $m \neq j, n \neq k$  のとき、次式のように左辺は零となる。

$$0 = \int_0^B \int_0^A \rho(x, y) \sin\left(\frac{\pi j x}{A}\right) dx \sin\left(\frac{\pi k y}{B}\right) dy$$

また、 $m = j, n = k$  のとき、次式となる。

$$\frac{A_{m,n} (m^2 B^2 + n^2 A^2)}{4 A B} = \int_0^B \int_0^A \rho(x, y) \sin\left(\frac{\pi m x}{A}\right) dx \sin\left(\frac{\pi n y}{B}\right) dy$$

上式から、 $A_{m,n}$  を求めると、

$$A_{m,n} = \frac{4 A B}{m^2 B^2 + n^2 A^2} \int_0^B \int_0^A \rho(x, y) \sin\left(\frac{\pi m x}{A}\right) dx \sin\left(\frac{\pi n y}{B}\right) dy$$

$x \rightarrow s, y \rightarrow t$  に置き換えると、

$$A_{m,n} = \frac{4 A B}{m^2 B^2 + n^2 A^2} \int_0^B \int_0^A \rho(s, t) \sin\left(\frac{\pi m s}{A}\right) ds \sin\left(\frac{\pi n t}{B}\right) dt$$

(10.5.2) 式に上式を代入すると、

$$u = \frac{4 \sin\left(\frac{\pi m x}{A}\right) \sin\left(\frac{\pi n y}{B}\right) A B}{m^2 B^2 + n^2 A^2} \int_0^B \int_0^A \rho(s, t) \sin\left(\frac{\pi m s}{A}\right) ds \sin\left(\frac{\pi n t}{B}\right) dt$$

上式を  $n$  の級数の形にし、

$$u = 4 A B \sum_{n=1}^{\infty} \sin\left(\frac{\pi n y}{B}\right) \sum_{m=1}^{\infty} \frac{1}{m^2 B^2 + n^2 A^2} \sin\left(\frac{\pi m x}{A}\right) \int_0^B \int_0^A \rho(s, t) \sin\left(\frac{\pi m s}{A}\right) ds \sin\left(\frac{\pi n t}{B}\right) dt$$

## 10.6 二次元ヘルムホルツの方程式

### 10.6.1 $xy$ 座標における二次元ヘルムホルツの方程式

二次元円柱座標ヘルムホルツの方程式は (4.5.15) 式、168 頁から次式で表現できる。

$$h K^2 + \nabla^2 h = u K^2 + \frac{d^2}{dy^2} u + \frac{d^2}{dx^2} u = 0 \quad (10.6.1)$$

```
kill(all);
load("vect");
depends(u, [x,y]);
depends(v, [x]);
depends(w, [y]);
assume(L>0);
assume(J>0);
EQ: 'diff(u,x,2)+'diff(u,y,2)+K^2*u=0;
U1:u=v*w;
subst([U1],EQ);
ev(%,diff);
U2:expand(%/v/w);
V1:'diff(v,x,2)/v=-L^2;
K1:K^2=L^2+J^2;
W1:subst([V1,K1],U2);
V2:ode2(V1,v,x);
subst([v=0,x=0],V2);
subst([v=0,x=A],V2);
L1:L=m*pi/A;
V3:subst([%k2=0,L1],V2);
W2:ode2(W1,w,y);
subst([v=0,y=0],W2);
subst([v=0,y=B],W2);
J1:J=n*pi/B;
W3:subst([%k2=0,J1],W2);
subst([V3,W3],U1);
U3:subst([%k1^2=A[m,n]],%);
L3:subst([J1,L1],K1);
u=sum(sum(rhs(U3),m,1,\inf),n,1,\inf);
```

ここで、 $u$  は  $x, y$  の関数であり、下記のように変数分離できるとして、 $v$  は  $x$  の関数、 $w$  は  $y$  の関数とする。

$$u = v w \quad (10.6.2)$$

(10.6.1) 式に上式を代入し、微分を実行すると、

$$v w K^2 + v \left( \frac{d^2}{dy^2} w \right) + \left( \frac{d^2}{dx^2} v \right) w = 0$$

上式を変形し、

$$K^2 + \frac{d^2}{dy^2} \frac{w}{w} + \frac{d^2}{dx^2} \frac{v}{v} = 0$$

上式左辺第三項を  $-L^2$  と置くと、

$$\frac{d^2}{dy^2} \frac{w}{w} = -L^2 \quad (10.6.3)$$

上式他の項は、

$$J^2 + \frac{d^2}{dx^2} \frac{v}{v} = 0 \quad (10.6.4)$$

ここで、

$$K^2 = L^2 + J^2 \quad (10.6.5)$$

(10.6.3) 式を ode2 関数で解くと、

$$v = \%k1 \sin(x L) + \%k2 \cos(x L)$$

境界条件として  $x = 0, x = A$  のとき、 $u = 0$  とすると、

$$v = \%k1 \sin\left(\frac{\pi m x}{A}\right) \quad \text{ここで、} L = \frac{\pi m}{A} \quad (10.6.6)$$

(10.6.4) 式を ode2 関数で解くと、

$$w = \%k1 \sin(y J) + \%k2 \cos(y J)$$

境界条件として  $y = 0, y = A$  のとき、 $u = 0$  とすると、

$$w = \%k1 \sin\left(\frac{\pi n y}{B}\right) \quad \text{ここで、} J = \frac{\pi n}{B} \quad (10.6.7)$$

(10.6.2) 式に (10.6.6) 式、(10.6.7) 式を代入すると、

$$u = \%k1^2 \sin\left(\frac{\pi m x}{A}\right) \sin\left(\frac{\pi n y}{B}\right)$$

上式で、 $\%k1^2 \rightarrow A_{m,n}$  に置き換えると、

$$u = A_{m,n} \sin\left(\frac{\pi m x}{A}\right) \sin\left(\frac{\pi n y}{B}\right)$$

ここで、(10.6.5) 式、(10.6.6) 式、(10.6.7) 式から、

$$K^2 = \frac{\pi^2 n^2}{B^2} + \frac{\pi^2 m^2}{A^2}$$

$m, n$  の級数の形として解は、

$$u = \sum_{n=1}^{\infty} \left( \sum_{m=1}^{\infty} A_{m,n} \sin\left(\frac{\pi m x}{A}\right) \right) \sin\left(\frac{\pi n y}{B}\right)$$

### 10.6.2 極座標における二次元ヘルムホルツの方程式

二次元極座標ヘルムホルツの方程式は (4.5.15) 式、168 頁から次式で表現できる。

$$h K^2 + \nabla^2 h = h K^2 + \frac{d}{dr} h + \frac{d^2}{dr^2} h + \frac{d^2}{dr^2} h = 0 \quad (10.6.8)$$

```
kill(all);
load("vect");
depends(u,[r,\theta]);
depends(v,[r]);
depends(w,[\theta]);
assume(K>0);
EQ22:u*K^2+'diff(u,r,1)/r+'diff(u,\theta,2)
/r^2+'diff(u,r,2)=0;
TR1:u=v*w;
subst([TR1],EQ22);
ev(%diff);
expand(%w/v*r^2);
%-first(lhs(%));
%-first(lhs(%));
EQ23:%-first(rhs(%));
assume(n>0);
EQ24:lhs(EQ23)=n^2;
EQ25:rhs(EQ23)=n^2;
AN1:ode2(%w,\theta);
EQ24-rhs(EQ24);
EQ26:expand(%*v/r^2);
BEEQ4:v*(x^(2*C-2)*B^2*C^2+(A^2-N^2*C^2)/
x^2)+'diff(v,x,1)*(1-2*A)/x+'diff(v,x,2)=0;
BEA1:1-2*A=1;
BEA2:A^2-N^2*C^2=-n^2;
BEA3:B^2*C^2=K^2;
BEA4:2*C-2=0;
solve([BEA1,BEA2,BEA3,BEA4],[A,B,C,N]);
BEA5:%[3];
v=%k1*bessel_j(N,x^C*B)*x^A+%k2*bessel_y(
N,x^C*B)*x^A;
subst([BEA5],%);
AN2:subst([x=r,%k1=%d1,%k2=%d2],%);
subst([AN1,AN2],TR1);
```

ここで、 $u$  は  $r, \theta$  の関数であり、 $x-y$  座標との関係を図 4.5.1、164 頁に示す。下記のように変数分離できるとして、 $v$  は  $r$  の関数、 $w$  は  $\theta$  の関数とする。

$$u = v w \quad (10.6.9)$$

(10.6.8) 式に上式を代入し、微分を実行すると、

$$v w K^2 + \frac{v \left( \frac{d^2}{d\theta^2} w \right)}{r^2} + \left( \frac{d^2}{dr^2} v \right) w + \frac{\left( \frac{d}{dr} v \right) w}{r} = 0$$

上式を変形し、

$$r^2 K^2 + \frac{r^2 \left( \frac{d^2}{dr^2} v \right)}{v} + \frac{r \left( \frac{d}{dr} v \right)}{v} = - \frac{\frac{d^2}{d\theta^2} w}{w}$$

上式を  $n^2$  と置くと、

$$r^2 K^2 + \frac{r^2 \left( \frac{d^2}{dr^2} v \right)}{v} + \frac{r \left( \frac{d}{dr} v \right)}{v} = n^2 \quad (10.6.10)$$

$$- \frac{\frac{d^2}{d\theta^2} w}{w} = n^2 \quad (10.6.11)$$

(10.6.11) 式を ode2 関数で解くと、

$$w = \%k1 \sin(n\theta) + \%k2 \cos(n\theta) \quad (10.6.12)$$

ここで上式が  $\theta = 0$  と  $\theta = 2\pi$  で連続で繋がるためには、 $n$  は整数となる。(10.6.10) 式を整理すると、

$$v K^2 + \frac{d^2}{dr^2} v + \frac{d}{dr} \frac{v}{r} - \frac{n^2 v}{r^2} = 0 \quad (10.6.13)$$

上式は Bessel の微分方程式である。Bessel の微分方程式の一般型は (3.3.16) 式から次式となる。

$$v \left( \frac{A^2 - C^2 N^2}{x^2} + x^{2C-2} B^2 C^2 \right) + \frac{\left( \frac{d}{dx} v \right) (1-2A)}{x} + \frac{d^2}{dx^2} v = 0 \quad (10.6.14)$$

(10.6.13) 式と (10.6.14) 式を比較して、

$$1 - 2A = 1, \quad A^2 - C^2 N^2 = -n^2$$

$$B^2 C^2 = K^2, \quad 2C - 2 = 0$$

上式を解いて、

$$[A = 0, B = K, C = 1, N = n]$$

Bessel の微分方程式の一般型の解は  $N$  が整数の時、(3.3.18) 式から次式となる。

$$v = \%k2 x^A \text{bessel}_y(N, x^C B) + \%k1 x^A \text{bessel}_j(N, x^C B) \quad (10.6.15)$$

上式に係数を求めた結果を上式に代入し、(10.6.13) 式の解は、

$$v = \%d2 \text{bessel}_y(n, r K) + \%d1 \text{bessel}_j(n, r K)$$

上式右辺第一項は 44 頁の図から  $r \rightarrow 0$  で  $\pm\infty$  となるので省き、解は、

$$u = \text{bessel}_j(n, r K) (\%k1 \sin(n\theta) + \%k2 \cos(n\theta)) \quad (10.6.16)$$

## 10.7 三次元ヘルムホルツの方程式

### 10.7.1 極座標における三次元ヘルムホルツの方程式

図 4.5.2、169 頁に示す極座標： $r - \theta - \phi$  の三次元ヘルムホルツの方程式は (4.5.31) 式、176 頁から次式で表現できる。

$$\begin{aligned} \nabla^2 u + u K^2 = & u K^2 + \frac{d^2}{d\theta^2} u + \frac{\cos(\theta) \left(\frac{d}{d\theta} u\right)}{r^2 \sin(\theta)} \\ & + \frac{d^2}{dr^2} u + \frac{2 \left(\frac{d}{dr} u\right)}{r} + \frac{\frac{d^2}{d\phi^2} u}{r^2 \sin^2(\theta)} = 0 \end{aligned} \quad (10.7.1)$$

```
kill(all);
load("vect");
depends(u, [r, \theta, \phi]);
depends(v, [r]);
depends(w, [\theta, \phi]);
depends(q, [\phi]);
depends(p, [\theta]);
assume(K>0);
assume(n>0);
assume(m>0);
EQ: 'diff(u, x, 2) + 'diff(u, y, 2) + 'diff(u, z, 2)
+ K^2 * u + K^2 * u = 0;
EQ1: 'diff(u, \theta, 2) / r^2 + (cos(\theta)
* ('diff(u, \theta, 1))) / (r^2 * sin(\theta))
+ 'diff(u, r, 2) + (2 * ('diff(u, r, 1))) / r
+ 'diff(u, \phi, 2) / (r^2 * sin(\theta)^2)
+ K^2 * u = 0;
U1: u = v * w;
subst([U1], EQ1);
ev(%, diff);
expand(%/v/w*r^2);
EQ11: % + first(lhs(%)) - rest(lhs(%), -2);
EQ12: lhs(EQ11) = n * (n + 1);
EQ13: rhs(EQ11) = n * (n + 1);
EQ12 - n * (n + 1);
EQ21: expand(% * v / r^2);
```

ここで、 $u$  は  $r, \theta, \phi$  の関数であり、下記のように変数分離できるとして、 $v$  は  $r$  の関数、 $w$  は  $\theta, \phi$  の関数とする。

$$u = v w$$

(10.7.1) 式に上式を代入し、微分を実行し、整理すると、

$$\begin{aligned} r^2 K^2 + \frac{d^2}{d\theta^2} w + \frac{\cos(\theta) \left(\frac{d}{d\theta} w\right)}{\sin(\theta) w} + \frac{\frac{d^2}{d\phi^2} w}{\sin^2(\theta) w} \\ + \frac{r^2 \left(\frac{d^2}{dr^2} v\right)}{v} + \frac{2r \left(\frac{d}{dr} v\right)}{v} = 0 \end{aligned} \quad (10.7.2)$$

上式を変形し、

$$\begin{aligned} r^2 K^2 + \frac{r^2 \left(\frac{d^2}{dr^2} v\right)}{v} + \frac{2r \left(\frac{d}{dr} v\right)}{v} \\ = - \frac{\frac{d^2}{d\theta^2} w}{w} - \frac{\cos(\theta) \left(\frac{d}{d\theta} w\right)}{\sin(\theta) w} - \frac{\frac{d^2}{d\phi^2} w}{\sin^2(\theta) w} \end{aligned}$$

上式を  $n(n+1)$  と置く。

$$r^2 K^2 + \frac{r^2 \left(\frac{d^2}{dr^2} v\right)}{v} + \frac{2r \left(\frac{d}{dr} v\right)}{v} = n(n+1) \quad (10.7.3)$$

$$- \frac{\frac{d^2}{d\theta^2} w}{w} - \frac{\cos(\theta) \left(\frac{d}{d\theta} w\right)}{\sin(\theta) w} - \frac{\frac{d^2}{d\phi^2} w}{\sin^2(\theta) w} = n(n+1) \quad (10.7.4)$$

(10.7.3) 式を変形し、

$$v K^2 + \frac{d^2}{dr^2} v + \frac{2 \left(\frac{d}{dr} v\right)}{r} - \frac{n^2 v}{r^2} - \frac{nv}{r^2} = 0 \quad (10.7.5)$$

```
BEEQ4: v * (x^(2*C-2) * B^2 * C^2 + (A^2 - N^2 * C^2) /
x^2) + 'diff(v, x, 1) * (1 - 2*A) / x + 'diff(v, x, 2) = 0;
BEA1: 1 - 2*A = 2;
BEA2: A^2 - N^2 * C^2 = -(n+1) * n;
BEA3: B^2 * C^2 = K^2;
BEA4: 2*C - 2 = 0;
solve([BEA1, BEA2, BEA3, BEA4], [A, B, C, N]);
BEA5: [%];
v = %k1 * bessel_j(N, x^C * B) * x^A + %k2 * bessel_j
(-N, x^C * B) * x^A;
subst([BEA5], %);
V1: subst([%k2=0, x=r], %);
-EQ13 + n * (n + 1);
EQ22: expand(% * w);
W1: w = p * q;
subst([W1], EQ22);
ev(%, diff);
expand(%/p/q * sin(\theta)^2);
EQ31: %-last(lhs(%));
EQ32: lhs(EQ31) = m^2;
EQ33: rhs(EQ31) = m^2;
Q1: ode2(EQ33, q, \phi);
EQ32 - m^2;
EQ34: expand(%/sin(\theta)^2 * p);
```



(10.7.5) 式は Bessel の微分方程式である。Bessel の微分方程式の一般型は (3.3.16) 式、45 頁から次式となる。

$$v \left( \frac{A^2 - N^2 C^2}{x^2} + x^{2C-2} B^2 C^2 \right) + \frac{\left( \frac{d}{dx} v \right) (1 - 2A)}{x} + \frac{d^2}{dx^2} v = 0$$

(10.7.5) 式と一般型の係数の関係は、

$$1 - 2A = 2, \quad A^2 - C^2 N^2 = (-n - 1)n$$

$$B^2 C^2 = K^2, \quad 2C - 2 = 0$$

上式を解くと、

$$\left[ A = -\frac{1}{2}, B = K, C = 1, N = \frac{2n+1}{2} \right]$$

Bessel の微分方程式の一般型の解は  $N$  が整数でない時、(3.3.10) 式から次式となる。

$$v = \%k1 x^A \text{bessel\_j}(N, x^C B) + \%k2 x^A \text{bessel\_j}(-N, x^C B) \quad (10.7.6)$$

以上から (10.7.5) 式の解は、

$$v = \frac{\%k1}{\sqrt{r}} \text{bessel\_j}\left(\frac{2n+1}{2}, rK\right) + \frac{\%k2}{\sqrt{r}} \text{bessel\_j}\left(-\frac{2n+1}{2}, rK\right) \quad (10.7.7)$$

$r = 0$  で有解であるためには、 $\%k2 = 0$  として、

$$v = \frac{\%k1}{\sqrt{r}} \text{bessel\_j}\left(\frac{2n+1}{2}, rK\right) \quad (10.7.8)$$

(10.7.4) 式から

$$\frac{d^2}{d\theta^2} w + \frac{\cos(\theta) \left( \frac{d}{d\theta} w \right)}{\sin(\theta)} + \frac{\frac{d^2}{d\phi^2} w}{\sin(\theta)^2} + n^2 w + n w = 0$$

ここで、 $w$  を下記のように変数分離できるとして、 $p$  は  $\theta$  の関数、 $q$  は  $\phi$  の関数とする。

$$w = pq$$

上式を代入し、微分を実行し、整理すると、

$$\frac{\left( \frac{d^2}{d\theta^2} p \right) \sin(\theta)^2}{p} + n^2 \sin(\theta)^2 + n \sin(\theta)^2 + \frac{\left( \frac{d}{d\theta} p \right) \cos(\theta) \sin(\theta)}{p} + \frac{\frac{d^2}{d\phi^2} q}{q} = 0$$

上式を変形し、

$$\frac{\left( \frac{d^2}{d\theta^2} p \right) \sin(\theta)^2}{p} + n^2 \sin(\theta)^2 + n \sin(\theta)^2 + \frac{\left( \frac{d}{d\theta} p \right) \cos(\theta) \sin(\theta)}{p} = -\frac{\frac{d^2}{d\phi^2} q}{q}$$

上式を  $m^2$  と置くと、

$$\frac{\left( \frac{d^2}{d\theta^2} p \right) \sin(\theta)^2}{p} + n^2 \sin(\theta)^2 + n \sin(\theta)^2 + \frac{\left( \frac{d}{d\theta} p \right) \cos(\theta) \sin(\theta)}{p} = m^2 \quad (10.7.9)$$

$$-\frac{\frac{d^2}{d\phi^2} q}{q} = m^2 \quad (10.7.10)$$

(10.7.10) 式を ode2 関数で解くと、

$$q = \%k1 \sin(m\phi) + \%k2 \cos(m\phi) \quad (10.7.11)$$

上式で  $\phi = 0 \rightarrow 2\pi$  で連続とならないといけないので、 $m$  は整数となる。(10.7.9) 式を整理すると、

$$\frac{\left( \frac{d}{d\theta} p \right) \cos(\theta)}{\sin(\theta)} - \frac{m^2 p}{\sin(\theta)^2} + \frac{d^2}{d\theta^2} p + n^2 p + n p = 0 \quad (10.7.12)$$

```
depends([s],[theta]);
depends([p],[s]);
CS1:cos(theta)=s;
CS2:solve(%,s)[1];
CS21:diff(CS2,theta,1);
CS22:diff(CS2,theta,2);
ev(EQ34,diff);
subst([CS22,CS21],%);
subst([sin(theta)^2=1-cos(theta)^2],%);
EQ4:subst([CS1],%);
PN1:P[n](s)=diff((s^2-1)^n,s,n)/2^n/n!;
P0:p=(1-s^2)^(m/2)*diff(P[n](s),s,m);
P1:p=P[m,n](cos(theta));
subst([P1,Q1],W1);
subst([%k1=B[m,n],%k2=A[m,n]],rhs(%));
expand(%);
w=sum(%,m,1,n)+subst([m=0],%);
W2:subst([P[0,n]=P[n]],%);
U2:subst([V1,W2,%k1=1],U1);
U3:lhs(%)=sum(rhs(%,n,1,inf);
K1:bessel_j((2*n+1)/2,R*K)=0;
K2:K=alpha[n,i];
K3:solve(K2,K)[1];
subst([K3],U3);
U4:lhs(%)=sum(rhs(%,i,1,inf);
```

(10.7.12) 式を下記の変数変換： $\theta \rightarrow s$  を行う。その関係式は、

$$\cos(\theta) = s \quad (10.7.13)$$

$$\frac{d}{d\theta} s = -\sin(\theta) \quad \frac{d^2}{d\theta^2} s = -\cos(\theta)$$

上記の関係を (10.7.12) 式に代入し、微分を実行すると、

$$\frac{\left(\frac{d}{ds} p\right) \left(\frac{d}{d\theta} s\right) \cos(\theta)}{\sin(\theta)} - \frac{m^2 p}{\sin(\theta)^2} + \left(\frac{d}{ds} p\right) \left(\frac{d^2}{d\theta^2} s\right) + \left(\frac{d^2}{ds^2} p\right) \left(\frac{d}{d\theta} s\right)^2 + n^2 p + np = 0$$

上式を整理すると、

$$-\frac{m^2 p}{1-s^2} + \left(\frac{d^2}{ds^2} p\right) (1-s^2) - 2 \left(\frac{d}{ds} p\right) s + n^2 p + np = 0 \quad (10.7.14)$$

上式は (3.4.53) 式から Legendre の陪微分方程式で、その解は (3.4.61) 式、71 頁から、

$$p = P_{m,n}(\cos(\theta)) = (1-s^2)^{\frac{m}{2}} \left(\frac{d^m}{ds^m} P_n(s)\right) \quad (10.7.15)$$

ここで、 $P_n(s) = \frac{1}{2^n n!} \frac{d^n}{ds^n} (s^2-1)^n$   $n$  : 正の整数

上式と (10.7.11) 式から  $w$  は、

$$w = (\%k1 \sin(m\phi) + \%k2 \cos(m\phi)) P_{m,n}(\cos(\theta))$$

上式を級数の形とすると、 $m=1 \rightarrow \infty$  の級数和とすべきであるが、 $m > n$  では  $P_{m,n}(\cos(\theta)) = 0$  となるので、

$$w = \left( \sum_{m=1}^n B_{m,n} \sin(m\phi) P_{m,n}(\cos(\theta)) + A_{m,n} \cos(m\phi) P_{m,n}(\cos(\theta)) \right) + A_{0,n} P_n(\cos(\theta))$$

上式と (10.7.8) 式から解： $u$  は、

$$u = \sum_{n=1}^{\infty} \frac{1}{\sqrt{r}} \text{bessel.j} \left( \frac{2n+1}{2}, rK \right) \left( \left( \sum_{m=1}^n B_{m,n} \sin(m\phi) P_{m,n}(\cos(\theta)) + A_{m,n} \cos(m\phi) P_{m,n}(\cos(\theta)) \right) + A_{0,n} P_n(\cos(\theta)) \right) \quad (10.7.16)$$

境界： $r=R$  で  $u=0$  とすると、次式の条件となり、

$$\text{bessel.j} \left( \frac{2n+1}{2}, KR \right) = 0$$

上式が成り立つ根： $K$  を求め、その  $i$  番目の根を  $\alpha_{n,i}$  とする。

$$K = \alpha_{n,i}$$

以上から、解： $u$  は、

$$u = \sum_{i=1}^{\infty} \sum_{n=1}^{\infty} \frac{1}{\sqrt{r}} \text{bessel.j} \left( \frac{2n+1}{2}, \alpha_{n,i} r \right) \left( \left( \sum_{m=1}^n B_{m,n} \sin(m\phi) P_{m,n}(\cos(\theta)) + A_{m,n} \cos(m\phi) P_{m,n}(\cos(\theta)) \right) + A_{0,n} P_n(\cos(\theta)) \right) \quad (10.7.17)$$

## 10.8 一次元波動方程式

## 10.8.1 波動方程式の基本解

```

kill(all);
depends(u, [v,w]);
depends(v, [x,t]);
depends(w, [x,t]);
EQ1: 'diff(u,t,2)=C^2*'diff(u,x,2);
XI1:v=x+C*t;
ET1:w=x-C*t;
XI2:diff(XI1,x,1);
XI3:diff(XI1,x,2);
XI4:diff(XI1,t,1);
XI5:diff(XI1,t,2);
ET2:diff(ET1,x,1);
ET3:diff(ET1,x,2);
ET4:diff(ET1,t,1);
ET5:diff(ET1,t,2);
EQ2:'diff(u,t,2);
EQ3:'diff(u,x,2);
EQ2=ev(EQ2,diff);
expand(%);
subst([XI2,XI3,XI4,XI5],%);
subst([ET2,ET3,ET4,ET5],%);
EQ21:factor(%);
EQ3=ev(EQ3,diff);
expand(%);
subst([XI2,XI3,XI4,XI5],%);
subst([ET2,ET3,ET4,ET5],%);
EQ31:factor(%);
subst([EQ21,EQ31],EQ1);
%-rhs(%);
factor(%);
EQ4:-%/C^2/4;
'diff(u,v,1)=A(v);
u=integrate(A(v),v)+B(w)+%k1;
'diff(u,w,1)=D(w);
u=integrate(D(w),w)+E(v)+%k2;
u=F(v)+G(w);
subst([XI1,ET1],%);

```

一次元波動問題（弦の振動問題等）は次式で表現できる。ここで弦の変位： $u$ 、時間： $t$ 、弦の長さ方向： $x$ とする。

$$\frac{d^2}{dt^2} u = \left( \frac{d^2}{dx^2} u \right) C^2 \quad (10.8.1)$$

## ダランベールの解

下記の新しい独立変数を導入する。

$$v = tC + x, \quad w = x - tC \quad (10.8.2)$$

上式を  $x, t$  で微分し、

$$\begin{aligned} \frac{d}{dx} v &= 1, \quad \frac{d^2}{dx^2} v = 0, \quad \frac{d}{dt} v = C, \quad \frac{d^2}{dt^2} v = 0 \\ \frac{d}{dx} w &= 1, \quad \frac{d^2}{dx^2} w = 0, \quad \frac{d}{dt} w = -C, \quad \frac{d^2}{dt^2} w = 0 \end{aligned} \quad (10.8.3)$$

$u$  は  $v, w$  の関数とし、 $v, w$  は  $x, t$  の関数とする。このとき (10.8.1) 式の左辺は、

$$\begin{aligned} \frac{d^2}{dt^2} u &= \left( \frac{d}{dw} u \right) \left( \frac{d^2}{dt^2} w \right) + \left( \frac{d^2}{dw^2} u \right) \left( \frac{d}{dt} w \right)^2 \\ &\quad + 2 \left( \frac{d^2}{dv dw} u \right) \left( \frac{d}{dt} v \right) \left( \frac{d}{dt} w \right) \\ &\quad + \left( \frac{d}{dv} u \right) \left( \frac{d^2}{dt^2} v \right) + \left( \frac{d^2}{dv^2} u \right) \left( \frac{d}{dt} v \right)^2 \end{aligned}$$

上式に (10.8.3) 式を代入すると、

$$\frac{d^2}{dt^2} u = \left( \frac{d^2}{dw^2} u + \frac{d^2}{dv^2} u - 2 \left( \frac{d^2}{dv dw} u \right) \right) C^2 \quad (10.8.4)$$

(10.8.1) 式の右辺は、

$$\begin{aligned} \frac{d^2}{dx^2} u &= \left( \frac{d}{dw} u \right) \left( \frac{d^2}{dx^2} w \right) + \left( \frac{d^2}{dw^2} u \right) \left( \frac{d}{dx} w \right)^2 \\ &\quad + 2 \left( \frac{d^2}{dv dw} u \right) \left( \frac{d}{dx} v \right) \left( \frac{d}{dx} w \right) \\ &\quad + \left( \frac{d}{dv} u \right) \left( \frac{d^2}{dx^2} v \right) + \left( \frac{d^2}{dv^2} u \right) \left( \frac{d}{dx} v \right)^2 \end{aligned}$$

上式に (10.8.3) 式を代入すると、

$$\frac{d^2}{dx^2} u = \frac{d^2}{dw^2} u + \frac{d^2}{dv^2} u + 2 \left( \frac{d^2}{dv dw} u \right) \quad (10.8.5)$$

(10.8.1) 式に (10.8.4) 式、(10.8.5) 式を代入すると、

$$\frac{d^2}{dv dw} u = 0 \quad (10.8.6)$$

上式から、

$$\frac{d}{dv} u = A(v)$$

上式を  $v$  で積分し、

$$u = B(w) + \int A(v) dv + \%k1 \quad (10.8.7)$$

また、(10.8.6) 式から、

$$\frac{d}{dw} u = D(w)$$

上式を  $w$  で積分し、

$$u = \int D(w) dw + E(v) + \%k2 \quad (10.8.8)$$

(10.8.7) 式、(10.8.8) 式、(10.8.3) 式から、

$$\begin{aligned} u &= G(w) + F(v) \\ &= F(tC + x) + G(x - tC) \end{aligned} \quad (10.8.9)$$

上式は、速さ： $C$  で  $x$  軸負方向に  $F(tC + x)$  が進行し、速さ： $C$  で  $x$  軸負方向に  $G(x - tC)$  が進行する波が合わさった波形となる。

```
kill(all);
depends(u, [x, t]);
depends(v, [x]);
depends(w, [t]);
EQ:diff(u, t, 2)=C^2*diff(u, x, 2);
TR:u=v*w;
subst([TR], EQ);
ev(%, diff);
EQ1:%/w/C^2/v;
EQ11:lhs(EQ1)=-k^2;
EQ12:rhs(EQ1)=-k^2;
assume(C>0);
assume(k>0);
AN11:ode2(EQ11, w, t);
ode2(EQ12, v, x);
AN12:subst([%k1=%c1, %k2=%c2], %);
AN1:subst([AN11, AN12], TR);
trigrat(%);
subst([%c1*k2+%c2*k1=2*d1, %c2*k2-%c1*k1=2*d2, %c2*k1-%c1*k2=%d3*2, %c2*k2+%c1*k1=2*d4], %);
AN2:expand(%);
k*t+C-k*x=k*(t+dt)*C-k*(x+dx);
solve(%, dx)[1];
%/dt;
```

### 変数分離法による解

ここで、 $u$  は  $x, t$  の関数であり、下記のように変数分離できるとして、 $v$  は  $x$  の関数、 $w$  は  $t$  の関数とする。

$$u = vw$$

(10.8.1) 式に上式を代入し、微分を実行すると、

$$v \left( \frac{d^2}{dt^2} w \right) = \left( \frac{d^2}{dx^2} v \right) w C^2$$

上式を変形し、

$$\frac{d^2}{dt^2} w = \frac{d^2}{dx^2} v \frac{w}{v} C^2$$

上式を  $-k^2$  と置くと、

$$\frac{d^2}{dt^2} w = -k^2 \quad C > 0, k > 0 \quad (10.8.10)$$

$$\frac{d^2}{dx^2} v = -k^2 \quad k > 0 \quad (10.8.11)$$

(10.8.10) 式を ode2 関数で解くと、

$$w = \%k1 \sin(ktC) + \%k2 \cos(ktC)$$

(10.8.11) 式を ode2 関数で解くと、

$$v = \%c1 \sin(kx) + \%c2 \cos(kx)$$

上記二式から、(10.8.1) 式の解： $u$  は、

$$\begin{aligned} u &= (\%c1 \sin(kx) + \%c2 \cos(kx)) \\ &\quad \times (\%k1 \sin(ktC) + \%k2 \cos(ktC)) \end{aligned} \quad (10.8.12)$$

上式を変形すると、

$$\begin{aligned} u &= \%d1 \sin(ktC + kx) + \%d2 \cos(ktC + kx) \\ &\quad + \%d3 \sin(ktC - kx) + \%d4 \cos(ktC - kx) \end{aligned} \quad (10.8.13)$$

$F(ktC - kx)$  の形の関数は、基の関数： $F$  と時間が  $dt$ 、位置が  $dx$  ずれた関数： $F$  で下記の関係が成り立つとき、

$$ktC - kx = k(t + dt)C - k(x + dx)$$

上式から、

$$\frac{dx}{dt} = C$$

上式の関係が成り立つとき、 $F$  は同じ値、即ち、同じ波形となる。以上から  $F$  の形が速度： $C$  で移動することを表している。同様に、 $F(ktC + kx)$  では速度： $C$  で逆方向に移動することを表している。

## 10.8.2 波動方程式の固有値問題

波動方程式で座標： $x$ に関する下記の(10.8.11)式について、

$$v K^2 + \frac{d^2}{dx^2} v = 0$$

境界条件と固有値の関係について調べる。

```
kill(all);
assume(K>0);
depends(v,[x]);
declare(m,integer);
EQ:diff(v,x,2)+K^2*v=0;
AN1:ode2(EQ,v,x);
```

上式の解は ode2 関数から得られ、下記となる。

$$v = \%k1 \sin(x K) + \%k2 \cos(x K) \quad (10.8.14)$$

境界条件： $v(0) = v(1) = 0$

```
B11:subst([x=0],rhs(AN1))=0;
B12:subst([x=1,v=0,B11],AN1);
K1:K=m*%pi;
AN11:subst([B11,K1],AN1);
```

(10.8.14)式に  $x = 0$  で  $v = 0$  とすると、

$$\%k2 = 0$$

(10.8.14)式に  $x = 1$  で  $v = 0$  とすると、上式から、

$$0 = \%k1 \sin(K)$$

上式から固有値： $K$  は、

$$K = \pi m \quad m : \text{整数}$$

以上から解は、

$$v = \%k1 \sin(\pi m x)$$

境界条件： $\frac{d}{dx} v(0) = \frac{d}{dx} v(1) = 0$

```
subst([x=0],diff(rhs(AN1),x,1))=0;
B21:solve(%,%k1)[1];
subst([x=1],diff(rhs(AN1),x,1))=0;
subst([B21],%);
K1:K=m*%pi;
AN21:subst([B21,K1],AN1);
```

(10.8.14)式に  $x = 0$  で  $\frac{d}{dx} v = 0$  とすると、

$$\%k1 = 0$$

(10.8.14)式に  $x = 1$  で  $\frac{d}{dx} v = 0$  とすると、上式から、

$$-\%k2 K \sin(K) = 0$$

上式から固有値： $K$  は、

$$K = \pi m \quad m : \text{整数}$$

以上から解は、

$$v = \%k2 \cos(\pi m x)$$

境界条件： $v(0) = 0, \frac{d}{dx} v(1) = 0$

```
B31:subst([x=0],rhs(AN1))=0;
subst([x=1],diff(rhs(AN1),x,1))=0;
subst([B31],%);
m*%pi-1/2*%pi;
B32:K=factor(%);
AN31:subst([B31,B32],AN1);
```

(10.8.14)式に  $x = 0$  で  $v = 0$  とすると、

$$\%k2 = 0$$

(10.8.14)式に  $x = 1$  で  $\frac{d}{dx} v = 0$  とすると、上式から、

$$\%k1 K \cos(K) = 0$$

上式から固有値： $K$  は、

$$K = \frac{\pi(2m-1)}{2} \quad m : \text{整数}$$

以上から解は、

$$v = \%k1 \sin\left(\frac{\pi(2m-1)x}{2}\right)$$

境界条件： $v(0) = v(1), \frac{d}{dx} v(0) = \frac{d}{dx} v(1)$

```
K4:K=2*%pi*m;
AN4:subst([K4],AN1);
subst([x=0],AN4);
subst([x=1],AN4);
subst([x=0],diff(rhs(AN4),x,1));
subst([x=1],diff(rhs(AN4),x,1));
```

固有値： $K$ として、下記とすると、境界で一周期となり、条件を満足できる。

$$K = 2\pi m \quad m : \text{整数}$$

以上から解は、

$$v = \%k1 \sin(2\pi m x) + \%k2 \cos(2\pi m x)$$

境界条件： $v(0) = 0, \frac{d}{dx} v(1) + h v(1) = 0$

```

B51:subst([x=0],rhs(AN1))=0;
B52:subst([B51],AN1);
h*subst([x=1],rhs(B52))+subst([x=1],
    diff(rhs(B52),x,1))=0;
B53:expand(%/k1);
PL1:subst([h=1],lhs(B53));
plot2d(PL1,[K,0,2*pi]);
K1:K[1]=find_root(PL1,1.5,2.5);
K2:K[2]=find_root(PL1,4.5,5.5);
v[1]=subst([K=rhs(K1)],rhs(B52));
v[2]=subst([K=rhs(K2)],rhs(B52));

```

(10.8.14) 式に  $x = 0$  で  $v = 0$  とすると、

$$%k2 = 0$$

上式から  $v$  は、

$$v = %k1 \sin(xK)$$

$h > 0$  として、 $x = 1$  で  $\frac{d}{dx}v + hv = 0$  とすると、

$$%k1 h \sin(K) + %k1 K \cos(K) = 0$$

上式を整理すると、

$$h \sin(K) + K \cos(K) = 0$$

上式左辺で  $h = 1$  として、図示すると下記となり、横軸との交点が求める固有値： $K$  となる。

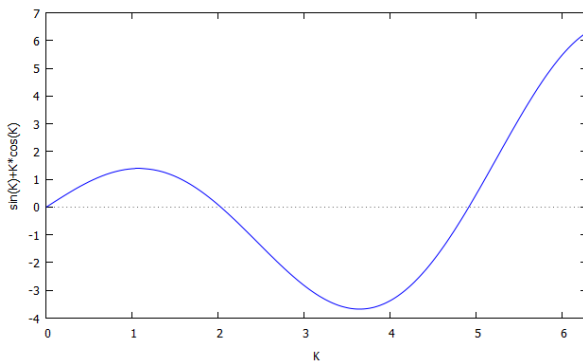


図 10.8.1:  $h \sin(K) + K \cos(K)$

上図を参考に find\_root 関数を用いて  $K$  を求めると、

$$K_1 = 2.028757838110434$$

$$K_2 = 4.913180439434884$$

上記から、解は、

$$v_1 = %k1 \sin(2.028757838110434 x)$$

$$v_2 = %k1 \sin(4.913180439434884 x)$$

## 10.8.3 波動方程式の有限境界問題

```

kill(all);
depends(u, [x, t]);
depends(v, [x]);
depends(w, [t]);
EQ:diff(u, t, 2)=C^2*diff(u, x, 2);
TR:u=v*w;
subst([TR], EQ);
ev(%, diff);
EQ1:%/w/C^2/v;
EQ11:lhs(EQ1)=-k^2;
EQ12:rhs(EQ1)=-k^2;
assume(C>0);
assume(k>0);
AN11:ode2(EQ11, w, t);
ode2(EQ12, v, x);
AN12:subst([%k1=%c1, %k2=%c2], %);
AN1:subst([AN11, AN12], TR);
assume(L>0);
declare(n, integer);
subst([x=0], rhs(AN1))=0;
C2:solve(%, %c2)[1];
subst([x=L], rhs(AN1))=0;
k*L=%pi*n;
K1:solve(%, k)[1];
W1:\omega[n]=(%pi*n*C)/L;
W2:solve(%, C)[1];
AN3:subst([C2, K1, W2, %c1=1], AN1);
subst([%k1=A[n], %k2=B[n]], %);
AN4:lhs(%)=sum(rhs(%), n, 1, inf);
AN41:u(x, 0)=subst([t=0], rhs(AN4));
diff(AN4, t, 1);
AN42:du(x, 0)=subst([t=0], rhs(%));
B1:B[n]=2/L*'integrate(u(x, 0)*
  sin((%pi*n*x)/L), x, 0, L);
A[n]*\omega[n]=2/L*'integrate(du(x, 0)*
  sin((%pi*n*x)/L), x, 0, L);
B2:%/\omega[n];
U1:u(x, 0)=(16/L)*x-6;
U2:u(x, 0)=-(16/L)*x+10;
B11:subst([U1], 2/L*'integrate(u(x, 0)*
  sin((%pi*n*x)/L), x, L/4, L/2));
B12:subst([U2], 2/L*'integrate(u(x, 0)*
  sin((%pi*n*x)/L), x, L/2, 3*L/4));
B[n]=ev(B11, integrate)+ev(B12, integrate);
B3:trigsimp(%);
B4:A[n]=0;
AN5:subst([B3, B4], AN4);

```

一次元波動問題（弦の振動問題等）で、弦の変位： $u$ 、時間： $t$ 、弦の長さ方向： $x$  とする。この基本解は下記の (10.8.12) 式で、

$$u = (\%c1 \sin(kx) + \%c2 \cos(kx)) \times (\%k1 \sin(ktC) + \%k2 \cos(ktC)) \quad (10.8.15)$$

境界： $x = 0, x = L$  で関数： $u$  が零とすると、

$$\begin{aligned} \%c2 (\%k1 \sin(ktC) + \%k2 \cos(ktC)) &= 0 \\ (\%k1 \sin(ktC) + \%k2 \cos(ktC)) \\ &\times (\%c1 \sin(kL) + \%c2 \cos(kL)) = 0 \end{aligned}$$

時間： $t$  に関係なく上式が成り立つには、

$$\%c2 = 0, \quad k = \frac{\pi n}{L} \quad n : \text{整数}$$

また、下記の置き換えを行う。

$$C = \frac{\omega_n L}{\pi n}, \quad \omega_n = \frac{\pi n C}{L}$$

上式を (10.8.15) 式に代入し、

$$u = (\%k1 \sin(\omega_n t) + \%k2 \cos(\omega_n t)) \sin\left(\frac{\pi n x}{L}\right)$$

上式の  $n = 1 \rightarrow \infty$  の級数に書き換えて、

$$u = \sum_{n=1}^{\infty} (A_n \sin(\omega_n t) + B_n \cos(\omega_n t)) \sin\left(\frac{\pi n x}{L}\right) \quad (10.8.16)$$

上式を時間： $t$  で微分して、

$$\begin{aligned} \frac{d}{dt} u &= u_t(x, t) \\ &= \sum_{n=1}^{\infty} (\omega_n A_n \cos(\omega_n t) - \omega_n B_n \sin(\omega_n t)) \\ &\quad \times \sin\left(\frac{\pi n x}{L}\right) \end{aligned} \quad (10.8.17)$$

初期値は、上記二式で  $t = 0$  として、

$$\begin{aligned} u(x, 0) &= \sum_{n=1}^{\infty} B_n \sin\left(\frac{\pi n x}{L}\right) \\ u_t(x, 0) &= \sum_{n=1}^{\infty} \omega_n A_n \sin\left(\frac{\pi n x}{L}\right) \end{aligned}$$

上式はフーリエ級数であるから、係数： $A_n, B_n$  は (6.1.5) 式から得られ、

$$B_n = \frac{2}{L} \int_0^L u(x, 0) \sin\left(\frac{\pi n x}{L}\right) dx \quad (10.8.18)$$

$$\omega_n A_n = \frac{2}{L} \int_0^L u_t(x, 0) \sin\left(\frac{\pi n x}{L}\right) dx$$

上式を变形し、

$$A_n = \frac{2}{\omega_n L} \int_0^L u_t(x, 0) \sin\left(\frac{\pi n x}{L}\right) dx \quad (10.8.19)$$

初期値:  $u(x, 0)$  として、下記の三角形状とする。

$$u(x, 0) = \frac{16x}{L} - 6, \quad \frac{3L}{8} < x < \frac{L}{2}$$

$$u(x, 0) = 10 - \frac{16x}{L}, \quad \frac{L}{2} < x < \frac{5L}{8}$$

上式を (10.8.18) 式に代入し、

$$\begin{aligned} B_n &= \frac{2}{L} \left( \frac{(16 \sin(\frac{\pi n}{2}) + 2\pi n \cos(\frac{\pi n}{2})) L}{\pi^2 n^2} \right. \\ &\quad \left. - \frac{16 \sin(\frac{5\pi n}{8}) L}{\pi^2 n^2} \right) \\ &+ \frac{2}{L} \left( \frac{(16 \sin(\frac{\pi n}{2}) - 2\pi n \cos(\frac{\pi n}{2})) L}{\pi^2 n^2} \right. \\ &\quad \left. - \frac{16 \sin(\frac{3\pi n}{8}) L}{\pi^2 n^2} \right) \\ &= - \frac{32 \sin(\frac{5\pi n}{8}) - 64 \sin(\frac{\pi n}{2}) + 32 \sin(\frac{3\pi n}{8})}{\pi^2 n^2} \end{aligned} \quad (10.8.20)$$

また、初期値:  $\frac{d}{dt} u = u_t(x, 0) = 0$  at  $t = 0$  として、

$$A_n = 0 \quad (10.8.21)$$

(10.8.20) 式と (10.8.21) 式を (10.8.16) 式に代入し、

$$\begin{aligned} u &= - \frac{1}{\pi^2} \sum_{n=1}^{\infty} \frac{1}{n^2} \left( 32 \sin\left(\frac{5\pi n}{8}\right) - 64 \sin\left(\frac{\pi n}{2}\right) \right. \\ &\quad \left. + 32 \sin\left(\frac{3\pi n}{8}\right) \right) \\ &\quad \times \cos(\omega_n t) \sin\left(\frac{\pi n x}{L}\right) \end{aligned} \quad (10.8.22)$$

```

PLO:subst([inf=50,W1,K=2,L=1],rhs(AN5));
%pi*C*t=%pi/12;
solve(%,t)[1];
T1:rhs(%)
PL1:subst([t=0],PLO);
PL2:subst([t=T1],PLO);
PL3:subst([t=T1*2],PLO);
PL4:subst([t=T1*3],PLO);
PL5:subst([t=T1*4],PLO);
PL6:subst([t=T1*5],PLO);
PL7:subst([t=T1*6],PLO);
plot2d([PL1,PL2,PL3,PL4,PL5,PL6,PL7],
[x,0,1],[legend,"t=0","t=L/6C","t=2L/6C",
"t=3L/6C","t=4L/6C","t=5L/6C",
"t=L/C"],[y,-2,2.5],[style,[lines,3,1],
[lines,3,2],[lines,3,3],[lines,3,4],
[lines,3,5],[lines,3,6],[lines,3,7]]);

```

```

PL1:subst([t=T1*6],PLO);
PL2:subst([t=T1*7],PLO);
PL3:subst([t=T1*8],PLO);
PL4:subst([t=T1*9],PLO);
PL5:subst([t=T1*10],PLO);
PL6:subst([t=T1*11],PLO);
PL7:subst([t=T1*12],PLO);
plot2d([PL1,PL2,PL3,PL4,PL5,PL6,PL7],
[x,0,1],[legend,"t=L/C","t=7L/6C",
"t=8L/6C","t=9L/6C","t=10L/6C",
"t=11L/6C","t=2L/C"],[y,-2,2.5],[style,
[lines,3,1],[lines,3,2],[lines,3,3],
[lines,3,4],[lines,3,5],[lines,3,6],
[lines,3,7]]);

```

(10.8.22) 式で、 $n = 1 \rightarrow 50, L = 1, K = 2$  として、波の伝搬状態を求めると下図となる。

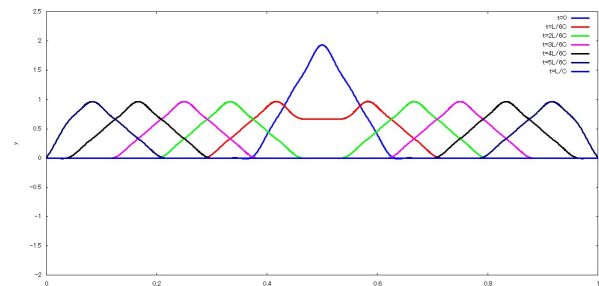


図 10.8.2: 有限境界における三角形波の伝搬状態 No.1

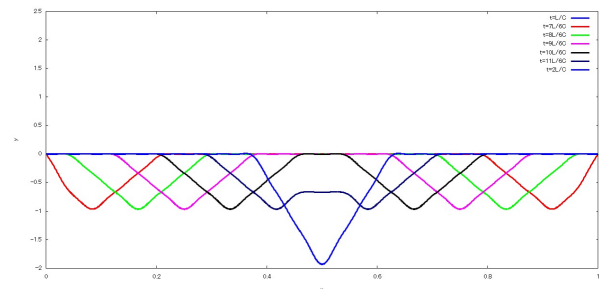


図 10.8.3: 有限境界における三角形波の伝搬状態 No.2



## 10.8.4 波動方程式の無限境界問題

```

expand(AN1);
u=A(k)*sin(k*x)*sin(k*t*C)+B(k)*cos(k*x)
*sin(k*t*C)+C(k)*sin(k*x)*cos(k*t*C)
+D(k)*cos(k*x)*cos(k*t*C);
AN6:u=1/pi*integrate(rhs(%),k,0,inf);
UX0:u(x,0)=subst([t=0],rhs(AN6));
diff(AN6,t,1);
DUX0:diff(u(x,0),t,1)=subst([t=0],rhs(%));
D1:D(k)=integrate(u(x,0)*cos(k*x),x,
minf,inf);
C1:C(k)=integrate(u(x,0)*sin(k*x),x,
minf,inf);
B1:k*B(k)*C=integrate('diff(u(x,0),t,1)
*cos(k*x),x,minf,inf);
A1:k*A(k)*C=integrate('diff(u(x,0),t,1)
*sin(k*x),x,minf,inf);
assume(a>0);
UX0:u(x,0)=%e^(-a*x^2);
subst([UX0],D1);
D11:ev(% ,integrate);
subst([UX0],C1);
C11:ev(% ,integrate);
B11:B(k)=0;
A11:A(k)=0;
subst([A11,B11,C11,D11],AN6);
AN61:ev(% ,integrate);
PL0:subst([a=1,C=0.5],rhs(AN61));
PL1:subst([t=0],PL0);
PL2:subst([t=1],PL0);
PL3:subst([t=2],PL0);
PL4:subst([t=5],PL0);
PL5:subst([t=10],PL0);
PL6:subst([t=20],PL0);
PL7:subst([t=30],PL0);
plot2d([PL1,PL2,PL3,PL4,PL5,PL6,PL7],
[x,-20,20],[legend,"t=0","t=t1","t=t2",
"t=t3","t=t4","t=t5","t=t6"],[y,0,1.2],
[style,[lines,3,1],[lines,3,2],
[lines,3,3],[lines,3,4],[lines,3,5],
[lines,3,6],[lines,3,7]]);

```

一次元波動問題（弦の振動問題等）で、弦の変位： $u$ 、時間： $t$ 、弦の長さ方向： $x$ とする。この基本解は下記の(10.8.12)式で、

$$u = (\%c1 \sin(kx) + \%c2 \cos(kx)) \times (\%k1 \sin(ktC) + \%k2 \cos(ktC)) \quad (10.8.23)$$

境界が無有限遠となるので、上式を基に(6.2.4)式、328頁

のフーリエ積分を利用し、

$$u = \frac{1}{\pi} \int_0^{\infty} A(k) \sin(kx) \sin(ktC) + B(k) \cos(kx) \sin(ktC) + C(k) \sin(kx) \cos(ktC) + D(k) \cos(kx) \cos(ktC) dk \quad (10.8.24)$$

上式を時間： $t$ で微分して、

$$\frac{d}{dt} u = \frac{1}{\pi} \int_0^{\infty} -kC(k) \sin(kx) C \sin(ktC) - kD(k) \cos(kx) C \sin(ktC) + kA(k) \sin(kx) C \cos(ktC) + kB(k) \cos(kx) C \cos(ktC) dk \quad (10.8.25)$$

いま、 $t=0$ の初期状態では、

$$u(x,0) = \frac{1}{\pi} \int_0^{\infty} C(k) \sin(kx) + D(k) \cos(kx) dk \quad (10.8.26)$$

$$\frac{d}{dt} u(x,0) = \frac{1}{\pi} \int_0^{\infty} kA(k) \sin(kx) C + kB(k) \cos(kx) C dk \quad (10.8.27)$$

ここで、 $A(k)$ 、 $B(k)$ 、 $C(k)$ 、 $D(k)$ は(6.2.5)式、328頁から、

$$\begin{aligned} D(k) &= \int_{-\infty}^{\infty} u(x,0) \cos(kx) dx \\ C(k) &= \int_{-\infty}^{\infty} u(x,0) \sin(kx) dx \\ kB(k)C &= \int_{-\infty}^{\infty} \cos(kx) \left( \frac{d}{dt} u(x,0) \right) dx \\ kA(k)C &= \int_{-\infty}^{\infty} \sin(kx) \left( \frac{d}{dt} u(x,0) \right) dx \end{aligned} \quad (10.8.28)$$

いま、 $t=0$ の初期値として、下記の形状とする。

$$u(x,0) = e^{-ax^2} \quad a > 0$$

$$\frac{d}{dt} u(x,0) = 0$$

上式を(10.8.28)式に代入し、

$$\begin{aligned} D(k) &= \int_{-\infty}^{\infty} e^{-ax^2} \cos(kx) dx \\ &= \frac{\sqrt{\pi} e^{-\frac{k^2}{4a}}}{\sqrt{a}} \\ C(k) &= \int_{-\infty}^{\infty} e^{-ax^2} \sin(kx) dx = 0 \end{aligned} \quad (10.8.29)$$

$$B(k) = 0$$

$$A(k) = 0$$

上式を (10.8.24) 式に代入し、

$$\begin{aligned}
 u &= \frac{1}{\sqrt{\pi}\sqrt{a}} \int_0^{\infty} e^{-\frac{k^2}{4a}} \cos(kx) \cos(ktC) dk \\
 &= \frac{1}{\sqrt{\pi}\sqrt{a}} \left( \frac{\sqrt{\pi}\sqrt{a} e^{-at^2 C^2 + 2atxC - ax^2}}{2} \right. \\
 &\quad \left. + \frac{\sqrt{\pi}\sqrt{a} e^{-at^2 C^2 - 2atxC - ax^2}}{2} \right)
 \end{aligned}$$

上式で、 $a = 1, C = 0.5$  として、波の伝搬状態を求めると下図となる。初期に中央にあった波が、左右に分かれ、同じ形状で伝搬していく様子がよく分かる。

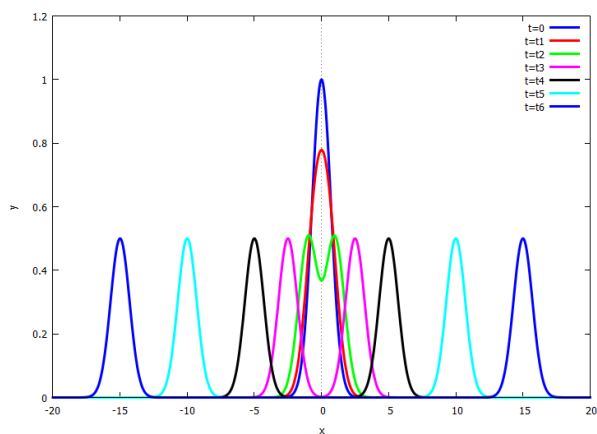


図 10.8.4: 無限境界における初期値:  $e^{-ax^2}$  の波の伝搬状態

## 10.9 二次元波動方程式

### 10.9.1 $xy$ 座標における二次元波動方程式： 矩形膜の振動

```
kill(all);
depends(u,[x,y,t]);
depends(h,[x,y]);
depends(v,[x]);
depends(w,[y]);
depends(z,[t]);
EQ:diff(u,t,2)=C^2*(diff(u,x,2)
+diff(u,y,2));
TR:u=h*z;
subst([TR],EQ);
ev(%diff);
%/C^2/h/z;
EQ1:expand(%);
assume(K>0);
assume(C>0);
assume(P>0);
assume(Q>0);
EQ11:lhs(EQ1)=-K^2;
EQ12:rhs(EQ1)=-K^2;
EQ121:expand(%*h);
TR1:h=v*w;
subst([TR1],EQ121);
ev(%diff);
EQ122:expand(%/v/w);
```

二次元波動問題で矩形膜の固有振動モードについて調べる。二次元波動方程式は次式で表現できる。ここで膜の変位： $u$ 、時間： $t$ 、膜は  $x-y$  座標面にあるとする。

$$\frac{d^2}{dt^2} u = \left( \frac{d^2}{dy^2} u + \frac{d^2}{dx^2} u \right) C^2 \quad (10.9.1)$$

ここで、 $u$  は  $x, y, t$  の関数であり、下記のように変数分離できるとして、 $h$  は  $x, y$  の関数、 $z$  は  $t$  の関数とする。

$$u = h z$$

(10.9.1) 式に上式を代入し、微分を実行すると、

$$h \left( \frac{d^2}{dt^2} z \right) = \left( \left( \frac{d^2}{dy^2} h \right) z + \left( \frac{d^2}{dx^2} h \right) z \right) C^2$$

上式を変形し、

$$\frac{d^2}{dt^2} z = \frac{d^2}{dy^2} h + \frac{d^2}{dx^2} h$$

上式を  $-K^2$  と置くと、

$$\frac{d^2}{dt^2} z = -K^2 \quad C > 0, K > 0 \quad (10.9.2)$$

$$\frac{d^2}{dy^2} h + \frac{d^2}{dx^2} h = -K^2 \quad K > 0 \quad (10.9.3)$$

上式を変形し、

$$\frac{d^2}{dy^2} h + \frac{d^2}{dx^2} h = -h K^2$$

上式はヘルムホルツ (Helmholtz) の方程式である。

```
EQ13:first(lhs(EQ122))=-P^2;
EQ14:last(lhs(EQ122))=-Q^2;
K1:K^2=P^2+Q^2;
AN1:ode2(EQ11,z,t);
AN3:ode2(EQ13,w,y);
AN4:ode2(EQ14,v,x);
```

ここで、 $h$  を下記のように変数分離できるとして、 $v$  は  $x$  の関数、 $w$  は  $y$  の関数とする。

$$h = v w$$

(10.9.3) 式に上式を代入し、微分を実行すると、

$$v \left( \frac{d^2}{dy^2} w \right) + \left( \frac{d^2}{dx^2} v \right) w = -v w K^2$$

上式を変形し、

$$\frac{d^2}{dy^2} w + \frac{d^2}{dx^2} v = -K^2$$

更に上式の左辺を下記と置く。

$$\frac{d^2}{dy^2} w = -P^2 \quad (10.9.4)$$

$$\frac{d^2}{dx^2} v = -Q^2 \quad (10.9.5)$$

ここで、

$$K^2 = Q^2 + P^2 \quad (10.9.6)$$

(10.9.2) 式を ode2 関数で解くと、

$$z = \%k1 \sin(t C K) + \%k2 \cos(t C K) \quad (10.9.7)$$

(10.9.4) 式を ode2 関数で解くと、

$$w = \%k1 \sin(y P) + \%k2 \cos(y P) \quad (10.9.8)$$

(10.9.5) 式を ode2 関数で解くと、

$$v = \%k1 \sin(x Q) + \%k2 \cos(x Q) \quad (10.9.9)$$

$x$  軸方向の波数ベクトル： $\vec{Q}$ 、 $y$  軸方向の波数ベクトル： $\vec{P}$  と  $x$  軸方向の波長： $\lambda_x$ 、 $y$  軸方向の波長： $\lambda_y$  の関係式は、

$$Q = \frac{2\pi}{\lambda_x}, \quad P = \frac{2\pi}{\lambda_y}$$

$x$  軸方向の波と  $y$  軸方向の波の合成波数ベクトルは (10.9.6) 式から  $\vec{K}$  となり、合成波数の波長： $\lambda$ は、

$$K = \frac{2\pi}{\lambda}$$

下図に示す  $\vec{Q}$  と  $\vec{K}$  の角度を  $\theta$  とすると、下記の関係が成り立つ。

$$\cos(\theta) = \frac{Q}{K} = \frac{\lambda}{\lambda_x}, \quad \sin(\theta) = \frac{P}{K} = \frac{\lambda}{\lambda_y}$$

上記から、波長の関係は、

$$\frac{1}{\lambda^2} = \frac{1}{\lambda_x^2} + \frac{1}{\lambda_y^2}$$

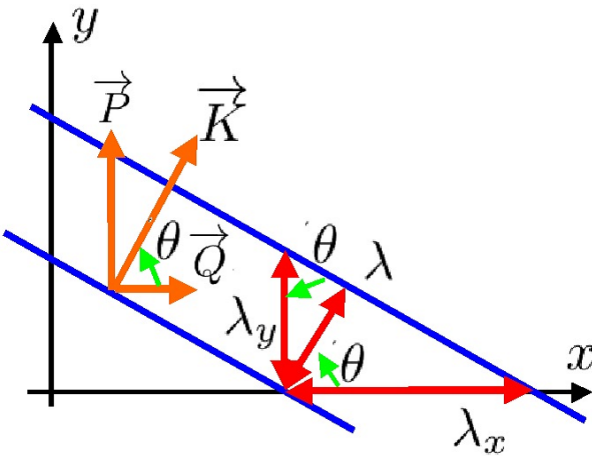


図 10.9.1: 波数ベクトル

```

subst([x=0],rhs(AN4))=0;
subst([x=A],rhs(AN4))=0;
A*Q=m*pi;
Q1:solve(Q,Q)[1];
AN41:subst([%k2=0],AN4);
subst([y=B],rhs(AN3))=0;
B*P=n*pi;
P1:solve(P,P)[1];
AN31:subst([%k2=0],AN3);
subst([P1,Q1],K1);
solve(K,K)[2];
K2:subst([K=K[m,n]],%);
subst([TR1,AN41,AN31,AN1,K=K[m,n]],TR);
AN5:subst([%k1^2=1],%);
subst([%k1=B[m,n],%k2=A[m,n]],%);
AN6:lhs(AN5)=sum(sum(rhs(%),m,1,inf),n,1,inf);
AN61:u(x,y,0)=subst([t=0],rhs(AN6));
AN62:u[t](x,y,0)=subst([t=0],diff(rhs(AN6),t,1));
    
```

(10.9.9) 式の  $x$  軸方向の境界条件： $x = 0, x = A$  で  $u = 0$  とすると、

$$\%k2 = 0, \quad Q = \frac{\pi m}{A}$$

から、

$$v = \%k1 \sin\left(\frac{\pi m x}{A}\right) \quad m : \text{整数} \quad (10.9.10)$$

(10.9.8) 式の  $y$  軸方向の境界条件： $y = 0, y = B$  で  $u = 0$  とすると、

$$\%k2 = 0, \quad P = \frac{\pi n}{B}$$

から、

$$w = \%k1 \sin\left(\frac{\pi n y}{B}\right) \quad n : \text{整数} \quad (10.9.11)$$

また、(10.9.6) 式から、

$$K^2 = \frac{\pi^2 n^2}{B^2} + \frac{\pi^2 m^2}{A^2}$$

上式から、

$$K_{m,n} = \frac{\pi \sqrt{m^2 B^2 + n^2 A^2}}{AB} \quad (10.9.12)$$

(10.9.7) 式、(10.9.10) 式、(10.9.11) 式、(10.9.12) 式から、(10.9.1) 式の解： $u$  は、

$$u = \sin\left(\frac{\pi m x}{A}\right) \sin\left(\frac{\pi n y}{B}\right) \times \left( \%k1 \sin\left(\frac{\pi t \sqrt{m^2 B^2 + n^2 A^2} C}{AB}\right) + \%k2 \cos\left(\frac{\pi t \sqrt{m^2 B^2 + n^2 A^2} C}{AB}\right) \right)$$

(10.9.12) 式を上式に代入し、 $\%k1 \rightarrow B_{m,n}$ ,  $\%k2 \rightarrow A_{m,n}$  に置き換えて、

$$u = \sin\left(\frac{\pi m x}{A}\right) \sin\left(\frac{\pi n y}{B}\right) \times (B_{m,n} \sin(K_{m,n} t C) + A_{m,n} \cos(K_{m,n} t C))$$

上式を級数の形にすると、

$$u = \sum_{n=1}^{\infty} \sin\left(\frac{\pi n y}{B}\right) \sum_{m=1}^{\infty} \sin\left(\frac{\pi m x}{A}\right) \times (B_{m,n} \sin(K_{m,n} t C) + A_{m,n} \cos(K_{m,n} t C)) \quad (10.9.13)$$

初期条件:  $t = 0$  で  $u = u(x, y, 0)$ 、 $\frac{d}{dt}u = u_t(x, y, 0)$  とすると、

$$u(x, y, 0) = \sum_{n=1}^{\infty} \left( \sum_{m=1}^{\infty} A_{m,n} \sin\left(\frac{\pi m x}{A}\right) \right) \sin\left(\frac{\pi n y}{B}\right) \tag{10.9.14}$$

$$u_t(x, y, 0) = \left( \sum_{n=1}^{\infty} \left( \sum_{m=1}^{\infty} B_{m,n} K_{m,n} \sin\left(\frac{\pi m x}{A}\right) \right) \times \sin\left(\frac{\pi n y}{B}\right) \right) C \tag{10.9.15}$$

```
declare([i,j,m,n],integer);
assume(A>0);
assume(B>0);
'integrate(u(x,y,0)*sin(%pi*i*x/A),x,0,A)
=sum((sum('integrate(A[m,n]*
sin((%pi*m*x)/A)*sin(%pi*i*x/A),x,0,A)
,m,1,inf))*sin((%pi*n*y)/B),n,1,inf);
```

```
lhs(%)=sum((sum('integrate(A[m,n]*sin((
%pi*m*x)/A)*sin(%pi*i*x/A),x,0,A),m,i,i))
*sin((%pi*n*y)/B),n,1,inf);
lhs(%)=ev(rhs(%),integrate);
'integrate('integrate(u(x,y,0)*sin((
%pi*i*x)/A)*sin(%pi*j*y/B),x,0,A),y,0,B)
=(A*sum('integrate(A[i,n]*sin((%pi*n*y)
/B)*sin(%pi*j*y/B),y,0,B),n,1,inf))/2;
lhs(%)=(A*sum(A[i,n]*integrate(sin((
%pi*j*y)/B)*sin((%pi*n*y)/B),y,0,B)
,n,j,j))/2;
solve(%,A[i,j])[1];
subst([i=m,j=n],%);
BMN1:B[m,n]=4/A/B/K[m,n]/C*'integrate(
'integrate(u[t](x,y,0)*sin((%pi*m*x)/A)
*sin((%pi*n*y)/B),x,0,A),y,0,B);
```

(10.9.14) 式に  $\sin\left(\frac{\pi i x}{A}\right)$  を掛け、積分すると、 $i = m$  の項のみが残り、下記となる。

$$\begin{aligned} \int_0^A u(x, y, 0) \sin\left(\frac{\pi i x}{A}\right) dx &= \sum_{n=1}^{\infty} \left( \sum_{m=1}^{\infty} A_{m,n} \int_0^A \sin\left(\frac{\pi i x}{A}\right) \sin\left(\frac{\pi m x}{A}\right) dx \right) \sin\left(\frac{\pi n y}{B}\right) \\ &= \int_0^A \sin\left(\frac{\pi i x}{A}\right)^2 dx \sum_{n=1}^{\infty} A_{i,n} \sin\left(\frac{\pi n y}{B}\right) = \frac{A}{2} \sum_{n=1}^{\infty} A_{i,n} \sin\left(\frac{\pi n y}{B}\right) \end{aligned}$$

上式に  $\sin\left(\frac{\pi j y}{B}\right)$  を掛け、積分すると、 $j = n$  の項のみが残り、下記となる。

$$\begin{aligned} \int_0^B \int_0^A u(x, y, 0) \sin\left(\frac{\pi i x}{A}\right) dx \sin\left(\frac{\pi j y}{B}\right) dy &= \frac{A}{2} \sum_{n=1}^{\infty} A_{i,n} \int_0^B \sin\left(\frac{\pi j y}{B}\right) \sin\left(\frac{\pi n y}{B}\right) dy \\ &= \frac{A_{i,j} A B}{4} \end{aligned}$$

上式から  $A_{i,j}$  を求めると、

$$A_{i,j} = \frac{4}{A B} \int_0^B \int_0^A u(x, y, 0) \sin\left(\frac{\pi i x}{A}\right) dx \sin\left(\frac{\pi j y}{B}\right) dy$$

$i \rightarrow m, j \rightarrow n$  に置き換えて、

$$A_{m,n} = \frac{4}{A B} \int_0^B \int_0^A u(x, y, 0) \sin\left(\frac{\pi m x}{A}\right) dx \sin\left(\frac{\pi n y}{B}\right) dy$$

(10.9.14) 式の  $u_t(x, y, 0)$  についても上記と同様の処理を行って、下記を得る。

$$B_{m,n} = \frac{4}{K_{m,n} A B C} \int_0^B \int_0^A u_t(x, y, 0) \sin\left(\frac{\pi m x}{A}\right) dx \sin\left(\frac{\pi n y}{B}\right) dy$$

(10.9.13) 式に上記の  $A_{m,n}, B_{m,n}$  を代入して、解が得られる。

(10.9.13) 式から、固有振動モードは次式で表現できる。

$$\sin\left(\frac{\pi m x}{A}\right) \sin\left(\frac{\pi n y}{B}\right)$$

以下に固有振動モードの例を示す。

```

PLO:sin((%pi*m*x)/A)*sin((%pi*n*y)/B);
PL1:subst([A=1,B=1,m=1,n=1],PLO);
plot3d(PL1,[x,0,1],[y,0,1]);
PL1:subst([A=1,B=1,m=1,n=2],PLO);
plot3d(PL1,[x,0,1],[y,0,1]);
PL1:subst([A=1,B=1,m=2,n=2],PLO);
plot3d(PL1,[x,0,1],[y,0,1]);

```

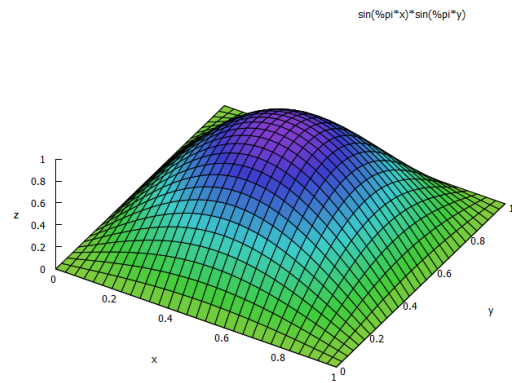


図 10.9.2: 矩形膜の固有振動モード  $m = 1, n = 1$

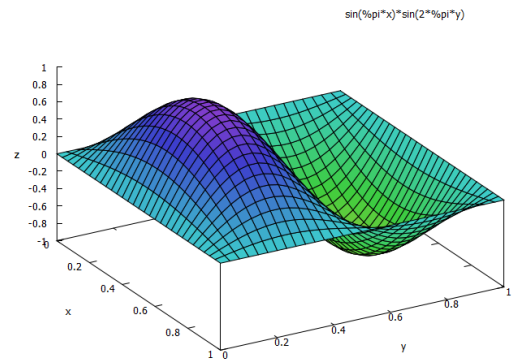


図 10.9.3: 矩形膜の固有振動モード  $m = 1, n = 2$

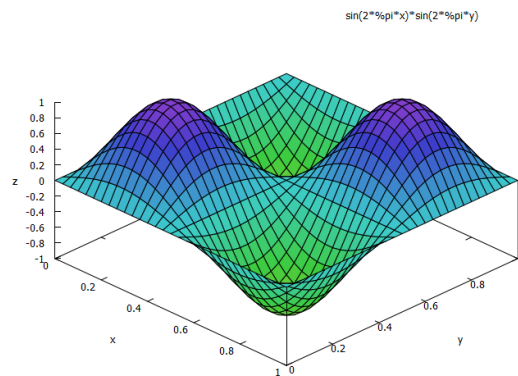


図 10.9.4: 矩形膜の固有振動モード  $m = 2, n = 2$

### 10.9.2 極座標における二次元波動方程式：円形膜の振動

```
kill(all);
load("vect");
depends(u, [r, \theta, t]);
depends([r, \theta], [x, y]);
depends(h, [r, \theta]);
depends(v, [r]);
depends(w, [\theta]);
depends(z, [t]);
declare([m, n, i, j], integer);
diff(u, t, 2) = C^2 * ('diff(u, x, 2)
+ 'diff(u, y, 2));
X1: x = r * cos(\theta);
Y1: y = r * sin(\theta);
'diff(u, t, 2) = C^2 * ('diff(u, \theta, 2) / r^2
+ 'diff(u, r, 2) + 'diff(u, r, 1) / r);
EQ1: expand(% / C^2);
TR: u = h * z;
subst([TR], EQ1);
ev(% , diff);
% / z / h;
EQ2: expand(%);
assume(K > 0);
assume(C > 0);
assume(P > 0);
assume(R > 0);
EQ21: lhs(EQ2) = -K^2;
EQ22: rhs(EQ2) = -K^2;
expand(% * h + K^2 * h);
```

二次元波動問題で円形膜の固有振動モードについて調べる。二次元波動方程式は(10.9.1)式で表現でき、これを図4.5.1、164頁に示す円柱座標： $r - \theta$ 表記すると、(4.5.15)式、168頁から次式となる。ここで膜の変位： $u$ 、時間： $t$ 、膜は $r - \theta$ 座標面にあるとする。

$$\frac{d^2}{dt^2} u = \left( \frac{d^2}{d\theta^2} u + \frac{d^2}{dr^2} u + \frac{d}{dr} u \right) C^2 \quad (10.9.16)$$

ここで、 $u$ は $r, \theta, t$ の関数であり、下記のように変数分離できるとして、 $h$ は $r, \theta$ の関数、 $z$ は $t$ の関数とする。

$$u = h z$$

(10.9.16)式に上式を代入し、微分を実行し、整理すると、

$$\frac{d^2}{dt^2} z = \frac{d}{dr} h + \frac{d^2}{dr^2} h + \frac{d^2}{dr^2} h$$

上式を $-K^2$ と置くと、

$$\frac{d^2}{dt^2} z = -K^2 \quad C > 0, K > 0 \quad (10.9.17)$$

$$\frac{d}{dr} h + \frac{d^2}{dr^2} h + \frac{d^2}{dr^2} h = -K^2 \quad K > 0 \quad (10.9.18)$$

上式を変形し、

$$h K^2 + \frac{d}{dr} h + \frac{d^2}{dr^2} h + \frac{d^2}{dr^2} h = 0$$

上式はヘルムホルツ (Helmholtz) の方程式の円柱座標表記である。

```
TR1: h = v * w;
subst([TR1], EQ22);
ev(% , diff);
EQ23: expand(% * r^2);
assume(n > 0);
EQ24: first(lhs(EQ23)) = -n^2;
subst([EQ24], EQ23);
expand(% * v / r^2);
EQ25: % - rhs(%);
AN1: ode2(EQ21, z, t);
AN2: ode2(EQ24, w, \theta);
BEEQ4: v * (x^(2*C-2) * B^2 * C^2 + (A^2 - N^2 * C^2)
/ x^2) + 'diff(v, x, 1) * (1 - 2*A) / x
+ 'diff(v, x, 2) = 0;
EQ25;
BEA1: 1 - 2*A = 1;
BEA2: A^2 - N^2 * C^2 = -n^2;
BEA3: B^2 * C^2 = K^2;
BEA4: 2*C - 2 = 0;
solve([BEA1, BEA2, BEA3, BEA4], [A, B, C, N]);
BEA5: % [3];
v = % k1 * bessel_j(n, x^C * B) * x^A + % k2 * bessel_
y(n, x^C * B) * x^A;
subst([BEA5], %);
AN3: subst([% k1 = 1, % k2 = 0, x = r], %);
AN21: subst([% k1 = % c1, % k2 = % c2], AN2);
subst([TR1], TR);
AN4: subst([AN1, AN21, AN3], %);
```

ここで、 $h$ を下記のように変数分離できるとして、 $v$ は $r$ の関数、 $w$ は $\theta$ の関数とする。

$$h = v w$$

(10.9.18)式に上式を代入し、微分を実行し、整理すると、

$$\frac{d^2}{dr^2} w + \frac{d^2}{dr^2} v + \frac{d}{dr} v = -K^2$$

上式を変形し、

$$\frac{d^2}{dr^2} w + \frac{r^2}{v} \left( \frac{d^2}{dr^2} v \right) + \frac{r}{v} \left( \frac{d}{dr} v \right) = -r^2 K^2$$

更に上式の一部を下記と置く。

$$\frac{d^2}{dr^2} w = -n^2 \quad (10.9.19)$$

$$\frac{r^2 \left( \frac{d^2}{dr^2} v \right)}{v} + \frac{r \left( \frac{d}{dr} v \right)}{v} - n^2 = -r^2 K^2 \quad (10.9.20)$$

上式を整理し、

$$v K^2 + \frac{d^2}{dr^2} v + \frac{d}{dr} v - \frac{n^2 v}{r^2} = 0 \quad (10.9.21)$$

(10.9.17) 式を ode2 関数で解くと、

$$z = \%k1 \sin(t C K) + \%k2 \cos(t C K) \quad (10.9.22)$$

(10.9.19) 式を ode2 関数で解くと、

$$w = \%c1 \sin(n \theta) + \%c2 \cos(n \theta) \quad (10.9.23)$$

上式で  $\theta = 0$  と  $\theta = 2\pi$  で繋がらないといけないので、 $n$  は整数となる。(10.9.21) 式は Bessel の微分方程式である。Bessel の微分方程式の一般型は (3.3.16) 式、45 頁から次式となる。

$$v \left( \frac{A^2 - N^2 C^2}{x^2} + x^{2C-2} B^2 C^2 \right) + \frac{\left( \frac{d}{dx} v \right) (1 - 2A)}{x} + \frac{d^2}{dx^2} v = 0$$

Bessel の微分方程式の一般型の解は  $N$  が整数の時、(3.3.18) 式から次式となる。

$$v = \%k2 \text{bessel}_y(N, x^C B) x^A + \%k1 \text{bessel}_j(N, x^C B) x^A$$

(10.9.21) 式と一般型の係数の関係は、

$$1 - 2A = 1, \quad A^2 - N^2 C^2 = -n^2 \\ B^2 C^2 = K^2, \quad 2C - 2 = 0$$

上式を解くと、

$$[A = 0, B = K, C = 1, N = n]$$

上式から  $v$  の解は、

$$v = \%k2 \text{bessel}_y(n, x K) + \%k1 \text{bessel}_j(n, x K)$$

また  $r = 0$  で有解であるためには  $\%k2 = 0$  でなければならぬから、

$$v = \text{bessel}_j(n, r K)$$

(10.9.22) 式、(10.9.23) 式と上式から、 $u$  の基本解は、

$$u = \text{bessel}_j(n, r K) (\%c1 \sin(n \theta) + \%c2 \cos(n \theta)) \\ \times (\%k1 \sin(t C K) + \%k2 \cos(t C K)) \quad (10.9.24)$$

```
\alpha[m,n]=R*K;
K1:solve(%,K)[1];
K2:K1*r;
AN5:subst([K2],AN4);
AN51:subst([%c1=B[m,n],%c2=A[m,n],K1],%);
AN6:lhs(AN5)=sum(sum(rhs(%),n,0,inf),m,1,inf);
diff(AN6,t,1);
subst([t=0],rhs(%))=0;
AN52:subst([%k2=1,%k1=0],AN6);
AN521:subst([%k2=1,%k1=0],AN51);
AN53:u(r,\theta,0)=subst([t=0],rhs(AN52));
AN531:subst([t=0],rhs(AN521));
'integrate(lhs(AN53)*cos(j*\theta),\theta,0,2*pi)=integrate(rhs(AN53)*cos(j*\theta),\theta,0,2*pi);
'integrate(lhs(AN53)*cos(j*\theta),\theta,0,2*pi)=sum(sum('integrate(AN531*cos(j*\theta),\theta,0,2*pi),n,0,inf),m,1,inf);
'integrate(lhs(AN53)*cos(j*\theta),\theta,0,2*pi)=sum(sum('integrate(AN531*cos(j*\theta),\theta,0,2*pi),n,j,j),m,1,inf);
expand(%);
ev(%,integrate);
AN541:lhs(%)=rhs(%)*C[j];
'integrate(lhs(AN541)*r*bessel_j(j,(alpha[i,j]*r)/R),r,0,R)='integrate(rhs(AN541)*r*bessel_j(j,(alpha[i,j]*r)/R),r,0,R);
subst([1=i,inf=i],%);
ev(%,sum);
lhs(%)=%pi*A[i,j]*C[j]*R^2*bessel_j(j+1,alpha[i,j])/2;
solve(%,A[i,j])[1];
AN551:subst([j=n,i=m,r=s,\theta=phi],%);
AN552:subst([cos(n*theta)=sin(n*theta),A=B],%);
subst([AN551,AN552],AN52);
factor(%);
u=(2*sum(sum((bessel_j(n,(alpha[m,n]*r)/R)*(integrate(bessel_j(n,(alpha[m,n]*s)/R)*integrate(cos(n*\theta-n*phi)*u(s,phi,0),phi,0,2*pi),s,0,R))*cos((alpha[m,n]*t*C)/R))/(C[n]*bessel_j(n+1,alpha[m,n])),n,0,inf))/(%pi*R^2);
```



円膜の境界を  $r = R$  とすると、 $\text{bessel}_j(n, RK) = 0$  が成り立つ  $m$  番目の根： $\alpha_{m,n}$  を導入する。

$$\alpha_{m,n} = KR, \quad K = \frac{\alpha_{m,n}}{R}$$

上記の関係を基本解：(10.9.24) 式に代入し、 $c_1 \rightarrow B_{m,n}$ ,  $c_2 \rightarrow A_{m,n}$  に置き換えて、級数の形にすると解は、

$$u = \sum_{m=1}^{\infty} \sum_{n=0}^{\infty} \text{bessel}_j\left(n, \frac{\alpha_{m,n} r}{R}\right) (B_{m,n} \sin(n\theta) + A_{m,n} \cos(n\theta)) \times \left( k_1 \sin\left(\frac{\alpha_{m,n} t C}{R}\right) + k_2 \cos\left(\frac{\alpha_{m,n} t C}{R}\right) \right) \quad (10.9.25)$$

上式を時間： $t$  で微分すると、

$$\frac{d}{dt} u = \sum_{m=1}^{\infty} \sum_{n=0}^{\infty} \text{bessel}_j\left(n, \frac{\alpha_{m,n} r}{R}\right) (B_{m,n} \sin(n\theta) + A_{m,n} \cos(n\theta)) \times \left( \frac{k_1 \alpha_{m,n} C \cos\left(\frac{\alpha_{m,n} t C}{R}\right)}{R} - \frac{k_2 \alpha_{m,n} C \sin\left(\frac{\alpha_{m,n} t C}{R}\right)}{R} \right)$$

いま、初期状態： $t = 0$  で  $\frac{d}{dt} u = u_t(x, y, 0) = 0$  とすると、 $k_1 = 0, k_2 = 1$  となり、(10.9.25) 式は、

$$u = \sum_{m=1}^{\infty} \sum_{n=0}^{\infty} \text{bessel}_j\left(n, \frac{\alpha_{m,n} r}{R}\right) (B_{m,n} \sin(n\theta) + A_{m,n} \cos(n\theta)) \cos\left(\frac{\alpha_{m,n} t C}{R}\right) \quad (10.9.26)$$

上式で初期状態： $t = 0$  で

$$u(r, \theta, 0) = \sum_{m=1}^{\infty} \sum_{n=0}^{\infty} \text{bessel}_j\left(n, \frac{\alpha_{m,n} r}{R}\right) (B_{m,n} \sin(n\theta) + A_{m,n} \cos(n\theta)) \quad (10.9.27)$$

(10.9.27) 式の両辺に  $\cos(j\theta)$  を掛けて積分し、フーリエ級数の関係式：(6.1.6) 式、(6.1.7) 式、(6.1.8) 式から、 $n = j$  の項のみが残り、

$$\begin{aligned} \int_0^{2\pi} u(r, \theta, 0) \cos(j\theta) d\theta &= \int_0^{2\pi} \cos(j\theta) \sum_{m=1}^{\infty} \sum_{n=0}^{\infty} \text{bessel}_j\left(n, \frac{\alpha_{m,n} r}{R}\right) (B_{m,n} \sin(n\theta) + A_{m,n} \cos(n\theta)) d\theta \\ &= \sum_{m=1}^{\infty} \text{bessel}_j\left(j, \frac{\alpha_{m,j} r}{R}\right) \int_0^{2\pi} B_{m,j} \cos(j\theta) \sin(j\theta) + A_{m,j} \cos(j\theta)^2 d\theta \\ &= \pi C_j \sum_{m=1}^{\infty} \text{bessel}_j\left(j, \frac{\alpha_{m,j} r}{R}\right) A_{m,j} \quad \text{ここで、} C_j = 2 (j=0), C_j = 1 (j>0) \end{aligned}$$

上式の両辺に  $\text{bessel}_j\left(j, \frac{\alpha_{i,j} r}{R}\right) r$  を掛けて積分し、フーリエ・ベッセル展開の(7.1.11)式から  $m = i$  の項のみが残り、(7.1.18)式から、

$$\begin{aligned} \int_0^R \text{bessel}_j\left(j, \frac{\alpha_{i,j} r}{R}\right) r \int_0^{2\pi} u(r, \theta, 0) \cos(j\theta) d\theta dr &= \pi C_j \int_0^R \text{bessel}_j\left(j, \frac{\alpha_{i,j} r}{R}\right) \left( \sum_{m=1}^{\infty} \text{bessel}_j\left(j, \frac{\alpha_{m,j} r}{R}\right) A_{m,j} \right) r dr \\ &= \pi A_{i,j} C_j \int_0^R \text{bessel}_j\left(j, \frac{\alpha_{i,j} r}{R}\right)^2 r dr \\ &= \frac{\pi A_{i,j} C_j \text{bessel}_j(j+1, \alpha_{i,j}) R^2}{2} \end{aligned}$$

上式から、 $A_{i,j}$  を求めて  $i \rightarrow m, j \rightarrow n$  に置き換え、

$$A_{m,n} = \frac{2}{\pi C_n \text{bessel\_j}(n+1, \alpha_{m,n}) R^2} \int_0^R \text{bessel\_j}\left(n, \frac{\alpha_{m,n} s}{R}\right) s \int_0^{2\pi} \cos(n\phi) u(s, \phi, 0) d\phi ds \quad (10.9.28)$$

(10.9.27) 式の両辺に  $\sin(j\theta)$  を掛けて、同様に、

$$B_{m,n} = \frac{2}{\pi C_n \text{bessel\_j}(n+1, \alpha_{m,n}) R^2} \int_0^R \text{bessel\_j}\left(n, \frac{\alpha_{m,n} s}{R}\right) s \int_0^{2\pi} \sin(n\phi) u(s, \phi, 0) d\phi ds \quad (10.9.29)$$

(10.9.25) 式に (10.9.28) 式、(10.9.29) 式を代入し、

$$\begin{aligned} u = & \frac{2}{\pi R^2} \sum_{m=1}^{\infty} \sum_{n=0}^{\infty} \frac{\text{bessel\_j}\left(n, \frac{\alpha_{m,n} r}{R}\right)}{C_n \text{bessel\_j}(n+1, \alpha_{m,n})} \\ & \times \left( \int_0^R \text{bessel\_j}\left(n, \frac{\alpha_{m,n} s}{R}\right) s \int_0^{2\pi} \sin(n\phi) u(s, \phi, 0) d\phi ds \sin(n\theta) \right. \\ & \left. + \int_0^R \text{bessel\_j}\left(n, \frac{\alpha_{m,n} s}{R}\right) s \int_0^{2\pi} \cos(n\phi) u(s, \phi, 0) d\phi ds \cos(n\theta) \right) \cos\left(\frac{\alpha_{m,n} t C}{R}\right) \end{aligned}$$

整理すると解は、

$$\begin{aligned} u = & \frac{2}{\pi R^2} \sum_{m=1}^{\infty} \sum_{n=0}^{\infty} \frac{\text{bessel\_j}\left(n, \frac{\alpha_{m,n} r}{R}\right)}{C_n \text{bessel\_j}(n+1, \alpha_{m,n})} \\ & \times \int_0^R \text{bessel\_j}\left(n, \frac{\alpha_{m,n} s}{R}\right) s \int_0^{2\pi} u(s, \phi, 0) \cos(n\theta - n\phi) d\phi ds \cos\left(\frac{\alpha_{m,n} t C}{R}\right) \quad (10.9.30) \end{aligned}$$

ここで、 $C_n = 2 (n = 0)$ ,  $C_n = 1 (n > 0)$

```

subst([B[m,n]=0,A[m,n]=1,n=0],AN51);
subst([%k1=B[m],%k2=A[m]],rhs(%));
AN7:u=sum(% ,m,1,inf);
DAN7:diff(AN7,t,1);
AN71:u(r,0)=subst([t=0],rhs(AN7));
AM1:A[m]=2/bessel_j(1,\alpha[m,0])^2/R^2*
integrate(bessel_j(0,(alpha[m,0]*s)/R)*s*u(s,0),s,0,R);
AN72:u[t](r,0)=subst([t=0],rhs(DAN7));
B[m]*alpha[m,0]*C/R=2/bessel_j(1,\alpha[m,0])^2/R^2
*integrate(bessel_j(0,(alpha[m,0]*s)/R)*s*u[t](s,0),s,0,R);
BM1:solve(% ,B[m])[1];
subst([AM1,BM1],AN7);

```

軸対称の場合には、(10.9.25) 式で  $n = 0$  として、

$$u = \sum_{m=1}^{\infty} \text{bessel}_j\left(0, \frac{\alpha_{m,0} r}{R}\right) \left( B_m \sin\left(\frac{\alpha_{m,0} t C}{R}\right) + A_m \cos\left(\frac{\alpha_{m,0} t C}{R}\right) \right) \quad (10.9.31)$$

上式を時間： $t$  で微分すると、

$$\frac{d}{dt} u = \sum_{m=1}^{\infty} \text{bessel}_j\left(0, \frac{\alpha_{m,0} r}{R}\right) \left( \frac{B_m \alpha_{m,0} C \cos\left(\frac{\alpha_{m,0} t C}{R}\right)}{R} - \frac{A_m \alpha_{m,0} C \sin\left(\frac{\alpha_{m,0} t C}{R}\right)}{R} \right) \quad (10.9.32)$$

初期条件： $t = 0$  で、(10.9.31) 式では、

$$u(r, 0) = \sum_{m=1}^{\infty} \text{bessel}_j\left(0, \frac{\alpha_{m,0} r}{R}\right) A_m$$

上式はフーリエ・ベッセル展開であるから、係数： $A_m$  は、

$$A_m = \frac{2}{\text{bessel}_j(1, \alpha_{m,0})^2 R^2} \int_0^R \text{bessel}_j\left(0, \frac{\alpha_{m,0} s}{R}\right) s u(s, 0) ds \quad (10.9.33)$$

初期条件： $t = 0$  で、(10.9.32) 式では、

$$\frac{d}{dt} u(r, 0) = u_t(r, 0) = \frac{1}{R} \left( \sum_{m=1}^{\infty} \text{bessel}_j\left(0, \frac{\alpha_{m,0} r}{R}\right) B_m \alpha_{m,0} \right) C$$

上式はフーリエ・ベッセル展開であるから、係数： $B_m$  は、

$$\frac{B_m \alpha_{m,0} C}{R} = \frac{2}{\text{bessel}_j(1, \alpha_{m,0})^2 R^2} \int_0^R \text{bessel}_j\left(0, \frac{\alpha_{m,0} s}{R}\right) s u_t(s, 0) ds$$

上式から、

$$B_m = \frac{2}{\text{bessel}_j(1, \alpha_{m,0})^2 \alpha_{m,0} C R} \int_0^R \text{bessel}_j\left(0, \frac{\alpha_{m,0} s}{R}\right) s u_t(s, 0) ds \quad (10.9.34)$$

(10.9.31) 式に (10.9.33) 式、(10.9.34) 式を代入すると、軸対称の解は、

$$u = \sum_{m=1}^{\infty} \text{bessel}_j\left(0, \frac{\alpha_{m,0} r}{R}\right) \left( \frac{2}{\text{bessel}_j(1, \alpha_{m,0})^2 \alpha_{m,0} C R} \int_0^R \text{bessel}_j\left(0, \frac{\alpha_{m,0} s}{R}\right) s u_t(s, 0) ds \sin\left(\frac{\alpha_{m,0} t C}{R}\right) + \frac{2}{\text{bessel}_j(1, \alpha_{m,0})^2 R^2} \int_0^R \text{bessel}_j\left(0, \frac{\alpha_{m,0} s}{R}\right) s u(s, 0) ds \cos\left(\frac{\alpha_{m,0} t C}{R}\right) \right) \quad (10.9.35)$$

```

PLO:subst([%c1=0,%c2=1,t=0,%k2=1],rhs(AN4));
PL13:subst([n=0,r=1],rhs(AN3));
plot2d(PL13,[K,0,10]);
K1:find_root(PL13,2,3);
K2:find_root(PL13,5,6);
K3:find_root(PL13,8,9);

```

(10.9.24) 式から、振幅関数は次式となる。

$$\text{bessel}_j(n, rK) \cos(n\theta)$$

ここで半径:  $R = 1$  を円膜の端とすると、下記の条件を満足せねばならない。

$$\text{bessel}_j(n, K) = 0$$

上記を満足する  $K$  は  $\text{bessel}_j(n, K)$  を予め図で求めておき、その横軸との交点から得られる。ここでは *find\_root* 関数を使用して  $K$  を求めた。

$n = 0$  の場合、

$$K_0 = 2.404825557695773, \quad K_1 = 5.520078110286311$$

$$K_2 = 8.653727912911013$$

$n = 1$  の場合、

$$K_1 = 3.831705970207513, \quad K_2 = 7.015586669815619$$

$n = 3$  の場合、

$$K_1 = 5.135622301840683, \quad K_2 = 8.417244140399864$$

上記を使用して、振幅関数を求めると下図となる。

```

PL1:subst([n=0,K=K1],PLO);
plot3d(PL1,[r,0,1],[\theta,0,2*pi],
[grid,20,50],[transform_xy,
polar_to_xy]);
PL1:subst([n=0,K=K2],PLO);
plot3d(PL1,[r,0,1],[\theta,0,2*pi],
[grid,20,50],[transform_xy,
polar_to_xy]);
PL1:subst([n=0,K=K3],PLO);
plot3d(PL1,[r,0,1],[\theta,0,2*pi],
[grid,20,50],[transform_xy,
polar_to_xy]);

```

```

PL13:subst([n=1,r=1],rhs(AN3));
plot2d(PL13,[K,0,10]);
K1:find_root(PL13,3,4);
K2:find_root(PL13,6,8);
PL1:subst([n=1,K=K1],PLO);
plot3d(PL1,[r,0,1],[\theta,0,2*pi],
[grid,20,50],[transform_xy,
polar_to_xy]);
PL1:subst([n=1,K=K2],PLO);
plot3d(PL1,[r,0,1],[\theta,0,2*pi],
[grid,20,50],[transform_xy,
polar_to_xy]);

```

```

PL13:subst([n=2,r=1],rhs(AN3));
plot2d(PL13,[K,0,10]);
K1:find_root(PL13,4,6);
K2:find_root(PL13,8,9);
PL1:subst([n=2,K=K1],PLO);
plot3d(PL1,[r,0,1],[\theta,0,2*pi],
[grid,20,50],[transform_xy,
polar_to_xy]);
PL1:subst([n=2,K=K2],PLO);
plot3d(PL1,[r,0,1],[\theta,0,2*pi],
[grid,20,50],[transform_xy,
polar_to_xy]);

```

$n = 0$  の場合

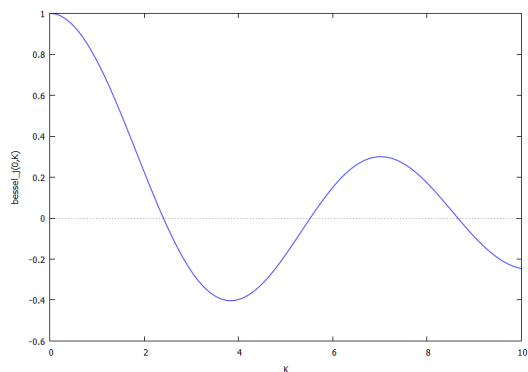


図 10.9.5:  $\text{bessel}_j(0, K) = 0$

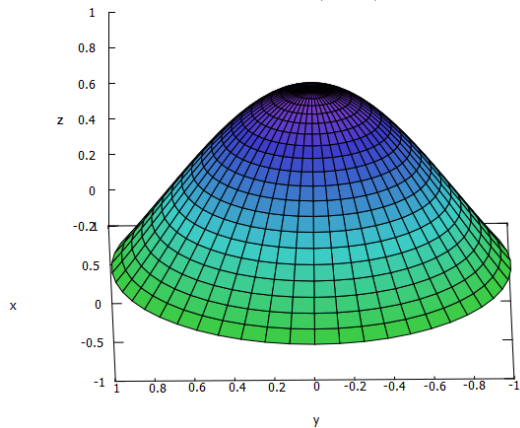


図 10.9.6: 円形膜の固有振動モード  $n = 0, K = K_0$

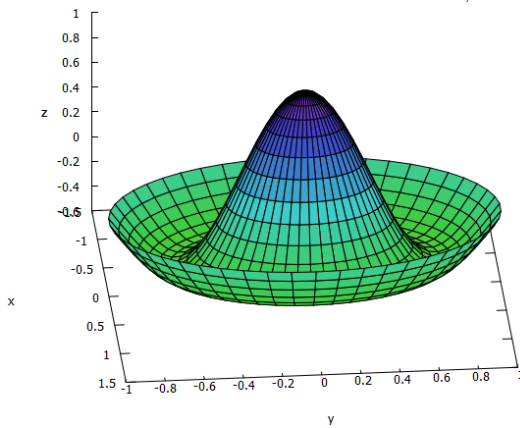


図 10.9.7: 円形膜の固有振動モード  $n = 0, K = K_1$

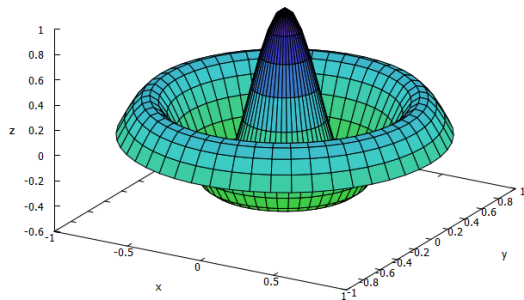


図 10.9.8: 円形膜の固有振動モード  $n = 0, K = K_2$

$n = 1$  の場合

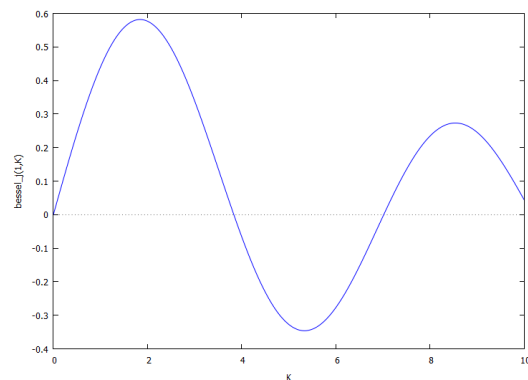


図 10.9.9:  $\text{bessel}_j(1, K) = 0$

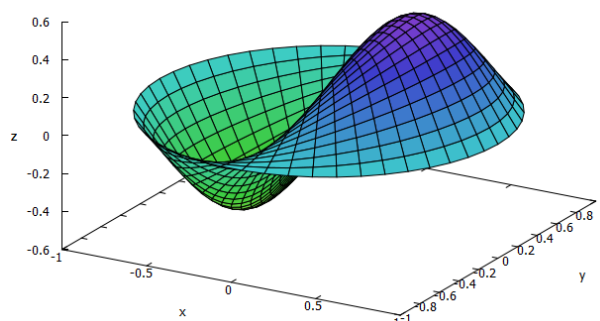


図 10.9.10: 円形膜の固有振動モード  $n = 1, K = K_1$

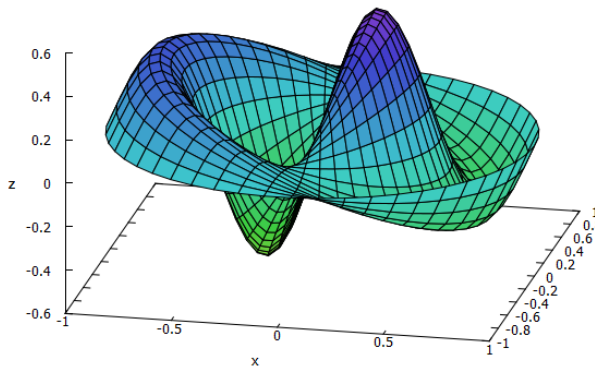


図 10.9.11: 円形膜の固有振動モード  $n = 1, K = K_2$

$n = 2$  の場合

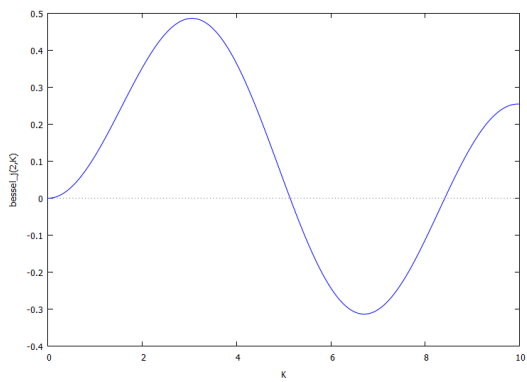


図 10.9.12:  $\text{bessel}_j(2, K) = 0$

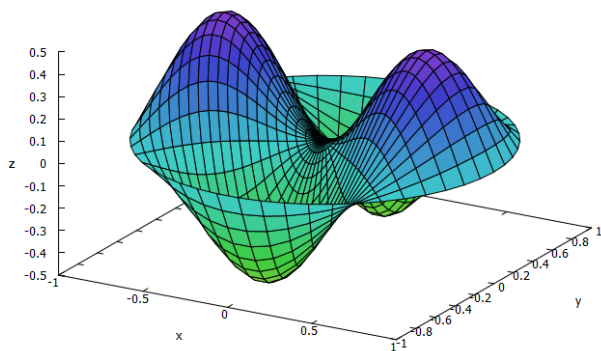


図 10.9.13: 円形膜の固有振動モード  $n = 2, K = K_1$

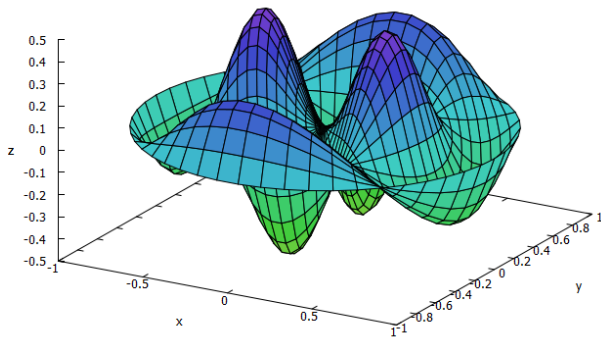


図 10.9.14: 円形膜の固有振動モード  $n = 2, K = K_2$

### 10.9.3 極座標における二次元波動方程式: 軸対称 無限境界

```
kill(all);
assume(A>0);
assume(k>0);
assume(r>0);
U0:u(r,t)='integrate(bessel_j(0,r*k)*k*
  F(k)*cos(C*k*t),k,0,inf);
U11:u(r,0)=%e^(-A^2*r^2);
U1:subst([t=0],U0);
F1:F(k)='integrate(bessel_j(0,r*k)*r*
  u(r,0),r,0,inf);
subst([U11],F1);
F2:F(k)=%e^(-k^2/(4*A^2))/(2*A^2);
U2:subst([F2],U1);
B1:B^2=1/(4*(A^2));
B2:solve(%,A)[1];
subst([B2],U2);
lhs(%)=2*B^2*e^(-r^2/(4*B^2))/(2*B^2);
subst([B1],%);
DF1:bessel_j(0,r*k)*k*F(k)*cos(C*k*t);
DF2:subst([F2],DF1);
```

極座標における二次元波動方程式の基本解は、(10.9.24)式から、

$$u = \text{bessel}_j(n, rK) (\%c1 \sin(n\theta) + \%c2 \cos(n\theta)) \\ \times (\%k1 \sin(tCK) + \%k2 \cos(tCK)) \quad (10.9.36)$$

上式で軸対称とすると、 $n = 0$  となり、

$$u = \%k2 \text{bessel}_j(0, rK) \cos(tCK) \quad (10.9.37)$$

フーリエ・ベッセル展開に対応した無限積分のフーリエ積分は (6.2.23) 式、(6.2.1) 式に示す下記の Hunkel 変換である。

$$f(r) = \int_0^\infty k F_\nu(k) \text{bessel}_j(\nu, kr) dk \quad (10.9.38)$$

ここで、

$$F_\nu(k) = \int_0^\infty \text{bessel}_j(\nu, kx) xf(x) dx \quad (10.9.39)$$

上式から、無限積分のフーリエ積分の解は (10.9.37) 式から、

$$u(r,t) = \int_0^\infty \text{bessel}_j(0, kr) k F(k) \cos(ktC) dk \quad (10.9.40)$$

$t = 0$  では、下記となり、(10.9.38) 式、(10.9.39) 式に示す Hunkel 変換から、

$$u(r,0) = \int_0^\infty \text{bessel}_j(0, kr) k F(k) dk \quad (10.9.41)$$

$$F(k) = \int_0^\infty \text{bessel}_j(0, kr) r u(r,0) dr \quad (10.9.42)$$

$t = 0$  における初期条件として、次式とする。

$$u(r,0) = e^{-r^2 A^2} \quad (10.9.43)$$

(10.9.42) 式に上式を代入すると、Weber の積分公式<sup>1</sup>から、

$$F(k) = \int_0^\infty \text{bessel}_j(0, kr) r e^{-r^2 A^2} dr = \frac{e^{-\frac{k^2}{4A^2}}}{2A^2}$$

(10.9.40) 式に上式を代入すると、

$$u(r,t) = \frac{1}{2A^2} \int_0^\infty \text{bessel}_j(0, kr) k e^{-\frac{k^2}{4A^2}} \cos(ktC) dk \quad (10.9.44)$$

```
DK:0.01;
LI2:[t=10,A=0.4,C=1];
DF21:subst(LI2,DF2);
DR:0.2;
for n:1 thru 200 do(
R1:r=DR*float(n-1),
DF3:subst([R1],DF21),
DF30:subst([k=0],DF3),
LIR:[[0,DF30]],
SUM:DF30*0.5*DK,
for m:1 thru 500 do(
KDK1:k=DK*float(m),
DF31:subst([KDK1],DF3),
LIR:append(LIR,[[rhs(KDK1),DF31]]),
SUM:SUM+DF31*DK),
if n=1 then LIH:[[rhs(R1),SUM]]
else LIH:append(LIH,[[rhs(R1),SUM]]));
U12:subst(LI2,U11);
assume(R>0);
U12;
integrate(rhs(U12)*2*pi*r,r,0,R);
float(limit(%,R,inf));
VSUM2:%pi*DR^2*LIH[1][2];
for n:2 thru 200 do(
VSUM2:VSUM2+LIH[n][1]*LIH[n][2]*pi*DR);
float(VSUM2);
plot2d([rhs(U12)],[discrete,LIH]],[r,0,40],
[style,[lines,3,1],[lines,3,2]],
[legend,"given","t=10"]);
```

<sup>1</sup>森口 繁一、宇田川 久、一松 信：岩波数学公式 3 特殊函数、岩波書店 2002、P.200

(10.9.44) 式で  $A = 0.4$ ,  $C = 1$  とし、各種  $t$  を計算した結果を下記に示す。波高は伝搬するに従い、低くなっていく。波の盛り上がりの体積は、当然、全て同じである。

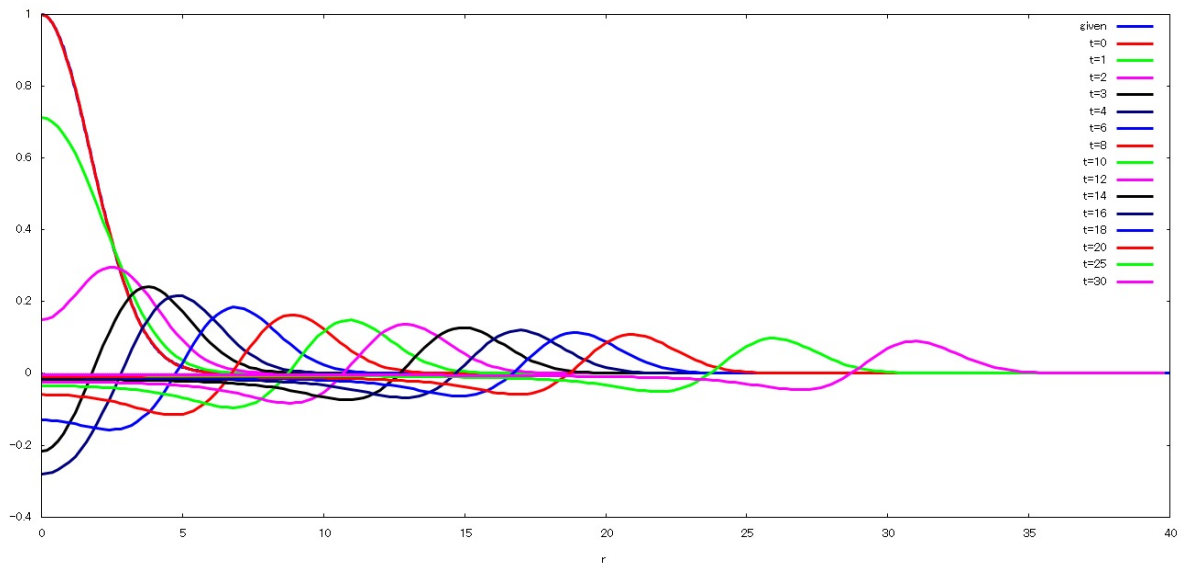


図 10.9.15: 二次元軸対称 無限境界における波の伝搬



## 10.10 三次元波動方程式

10.10.1  $xyz$  座標における三次元波動方程式  
(平面波)

```
kill(all);
depends(u,[x,y,z,t]);
depends(h,[x,y,z]);
depends(s,[x]);
depends(v,[y]);
depends(w,[z]);
depends(p,[t]);
EQ:'diff(u,t,2)=C^2*(diff(u,x,2)
+diff(u,y,2)+diff(u,z,2));
TR:u=h*p;
subst([TR],EQ);
ev(%diff);
%/C^2/h/p;
EQ1:expand(%);
assume(K[0]>0);
assume(C>0);
assume(K[1]>0);
assume(K[2]>0);
assume(K[3]>0);
EQ11:lhs(EQ1)=-K[0]^2;
EQ12:rhs(EQ1)=-K[0]^2;
EQ121:expand(%*h);
TR1:h=s*v*w;
subst([TR1],EQ121);
ev(%diff);
EQ122:expand(%/s/v/w);
EQX1:'diff(s,x,2)/s=-K[1]^2;
EQY1:'diff(v,y,2)/v=-K[2]^2;
EQZ1:'diff(w,z,2)/w=-K[3]^2;
K1:-subst([EQX1,EQY1,EQZ1],EQ122);
P1:ode2(EQ11,p,t);
X1:ode2(EQX1,s,x);
X2:s=%e^(-%i*K[1]*x);
Y2:v=%e^(-%i*K[2]*y);
Z2:w=%e^(-%i*K[3]*z);
subst([X2,Y2,Z2],TR1);
rectform(%);
h=%k1*cos(K[3]*z+K[2]*y+K[1]*x)+%k2
*sin(K[3]*z+K[2]*y+K[1]*x);
subst([P1,%],TR);
```

```
u=%k1*sin(K[3]*z+K[2]*y+K[1]*x-t*C*K[0])+
%k2*sin(K[3]*z+K[2]*y+K[1]*x+t*C*K[0]);
K2:matrix([K[1]],[K[2]],[K[3]]);
R2:matrix([x],[y],[z]);
KR2:K2.R2;
```

$xyz$  座標における三次元波動方程式について調べる。  
三次元波動方程式は次式で得られる。

$$\frac{d^2}{dt^2} u = \left( \frac{d^2}{dz^2} u + \frac{d^2}{dy^2} u + \frac{d^2}{dx^2} u \right) C^2 \quad (10.10.1)$$

ここで、 $u$  は  $x, y, z, t$  の関数で、下記のように変数分離できるとして、 $h$  は  $x, y, z$  の関数、 $p$  は時間  $t$  の関数とする。

$$u = hp \quad (10.10.2)$$

(10.10.1) 式に上式を代入し、微分を実行し、変形すると、

$$\frac{d^2}{dt^2} p = \frac{d^2}{dz^2} h + \frac{d^2}{dy^2} h + \frac{d^2}{dx^2} h$$

上式を  $-K_0^2$  とすると、

$$\frac{d^2}{dt^2} p = -K_0^2 \quad (10.10.3)$$

$$\frac{d^2}{dz^2} h + \frac{d^2}{dy^2} h + \frac{d^2}{dx^2} h = -K_0^2 \quad (10.10.4)$$

ここで  $h$  を下記のように変数分離できるとして、 $s$  は  $x$ 、 $v$  は  $y$ 、 $w$  は  $z$  の関数とする。

$$h = s v w \quad (10.10.5)$$

(10.10.4) 式に上式を代入し、微分を実行し、変形すると、

$$\frac{d^2}{dz^2} w + \frac{d^2}{dy^2} v + \frac{d^2}{dx^2} s = -K_0^2$$

更に上式の左辺を下記と置く。

$$\frac{d^2}{dx^2} s = -K_1^2 \quad (10.10.6)$$

$$\frac{d^2}{dy^2} v = -K_2^2 \quad (10.10.7)$$

$$\frac{d^2}{dz^2} w = -K_3^2 \quad (10.10.8)$$

ここで、

$$K_3^2 + K_2^2 + K_1^2 = K_0^2 \quad (10.10.9)$$

(10.10.3) 式を ode2 関数で解くと、

$$p = \%k1 \sin(K_0 t C) + \%k2 \cos(K_0 t C) \quad (10.10.10)$$

(10.10.6) 式を ode2 関数で解くと下記となり複素表記すると、

$$s = \%k1 \sin(K_1 x) + \%k2 \cos(K_1 x) = e^{-i K_1 x} \quad (10.10.11)$$

同様に、(10.10.7) 式を ode2 関数で解き、複素表記すると、

$$v = e^{-i K_2 y} \quad (10.10.12)$$

同様に、(10.10.8) 式を ode2 関数で解き、複素表記すると、

$$w = e^{-i K_3 z} \quad (10.10.13)$$

(10.10.5) 式に (10.10.11) 式、(10.10.12) 式、(10.10.13) 式を代入すると、

$$\begin{aligned} h &= e^{-i K_3 z - i K_2 y - i K_1 x} \\ &= \%k2 \sin(K_3 z + K_2 y + K_1 x) \\ &\quad + \%k1 \cos(K_3 z + K_2 y + K_1 x) \end{aligned}$$

(10.10.2) 式に (10.10.10) 式と上式を代入すると、

$$\begin{aligned} u &= (\%k2 \sin(K_3 z + K_2 y + K_1 x) \\ &\quad + \%k1 \cos(K_3 z + K_2 y + K_1 x)) \\ &\quad \times (\%k1 \sin(K_0 t C) + \%k2 \cos(K_0 t C)) \end{aligned}$$

(10.8.12) 式と (10.8.13) 式の関係から、上式は、

$$\begin{aligned} u &= \%k2 \sin(K_0 t C + K_3 z + K_2 y + K_1 x) \\ &\quad - \%k1 \sin(K_0 t C - K_3 z - K_2 y - K_1 x) \end{aligned}$$

ここで、 $K_3 z + K_2 y + K_1 x$  について、 $\vec{K}$ ,  $\vec{r}$  を使って表すと、

$$\vec{K} = \begin{pmatrix} K_1 \\ K_2 \\ K_3 \end{pmatrix}, \quad \vec{r} = \begin{pmatrix} x \\ y \\ z \end{pmatrix}$$

$K_3 z + K_2 y + K_1 x$  は  $\vec{K}$  と  $\vec{r}$  の内積になっているので、

$$\begin{aligned} u &= \%k2 \sin(K_0 t C + \vec{K} \cdot \vec{r}) \\ &\quad - \%k1 \sin(K_0 t C - \vec{K} \cdot \vec{r}) \end{aligned}$$

$\vec{K}$  は波の進行方向を表しており、 $K_0 t C + \vec{K} \cdot \vec{r}$  が一定の位相のとき、 $\vec{r}$  の  $\vec{K}$  方向への投影がある時点で一定であるので、 $\vec{r}$  は  $\vec{K}$  に垂直な波面になり、 $2\pi$  ごとに波面が繰り返される。

### 10.10.2 極座標における三次元波動方程式 (球面波)

```
kill(all);
depends(u,[t,r,\theta,\phi]);
depends(h,[r,\theta,\phi]);
depends(z,[t]);
assume(K>0);
assume(n>0);
assume(m>0);
assume(C>0);
assume(r>0);
declare([i,m,n],integer);
EQ1:'diff(u,\theta,2)/r^2+(cos(\theta)*
('diff(u,\theta,1)))/(r^2*sin(\theta))
+'diff(u,r,2)+(2*(diff(u,r,1)))/r
+'diff(u,\phi,2)/(r^2*sin(\theta)^2)
+K^2*u=0;
EQ6:diff(u,t,2)=C^2*(lhs(EQ1)
-first(lhs(EQ1)));
TR5:u=h*z;
subst([TR5],EQ6);
ev(%diff);
EQ61:expand(%/C^2/h/z);
EQ62:lhs(EQ61)=-K^2;
EQ63:rhs(EQ61)=-K^2;
EQ64:expand((EQ63+K^2)*h);
ZT1:ode2(EQ62,z,t);
EQ641:subst(['diff(h,\theta,1)=0,
'diff(h,\phi,2)=0,'diff(h,\theta,2)=0],
EQ64);
BEEQ4:v*(x^(2*C-2)*B^2*C^2+(A^2-N^2*C^2)
/x^2)+'diff(v,x,1)*(1-2*A)/x+'diff(v,x,2)
=0;
BEA1:1-2*A=2;
BEA2:A^2-N^2*C^2=0;
BEA3:B^2*C^2=K^2;
BEA4:2*C-2=0;
solve([BEA1,BEA2,BEA3,BEA4],[A,B,C,N]);
BEA5:%[3];
subst([BEA5],BEEQ4);
v=%k1*bessel_j(N,x^C*B)*x^A+%k2*bessel_j
(-N,x^C*B)*x^A;
subst([BEA5],%);
AN3:subst(['k1=1,'k2=0,x=r],%);
U1:u=rhs(AN3)*rhs(ZT1);
```

```
bessel_j(N,r*K)=sqrt(2/(%pi*r*K))*(A[n]
(r*K)*cos(r*K-(2*N+1)*%pi/4)-B[n]
(r*K)*sin(r*K-(2*N+1)*%pi/4));
BS1:subst([N=1/2],%);
subst([BS1],U1);
EQ601:subst(['diff(u,\theta,2)=0,
'diff(u,\theta,1)=0,'diff(u,\phi,2)=0],EQ6);
depends(w,[r,t]);
depends(v,[r,t]);
EQ7:diff(w,t,2)=C^2*diff(w,r,2);
V1:w=r*v;
subst([V1],EQ7);
ev(%diff);
expand(%/r);
```

極座標における三次元波動方程式は (4.5.31) 式、176 頁から次式で表現できる。

$$\begin{aligned} \frac{d^2}{dt^2} u &= \nabla^2 u \\ &= \left( \frac{d^2}{dr^2} u + \frac{\cos(\theta)}{r^2 \sin(\theta)} \left( \frac{d}{d\theta} u \right) + \frac{d^2}{dr^2} u \right. \\ &\quad \left. + \frac{2}{r} \left( \frac{d}{dr} u \right) + \frac{d^2}{r^2 \sin^2(\theta)} u \right) C^2 \end{aligned} \quad (10.10.14)$$

ここで、 $u$  は  $r, \theta, \phi, t$  の関数で、下記のように変数分離できるとして、 $h$  は  $r, \theta, \phi$  の関数、 $p$  は時間  $t$  の関数とする。

$$u = h z \quad (10.10.15)$$

(10.10.14) 式に上式を代入し、微分を実行し、変形すると、

$$\begin{aligned} \frac{d^2}{dt^2} z &= \frac{\left( \frac{d}{d\theta} h \right) \cos(\theta)}{h r^2 \sin(\theta)} + \frac{d^2}{d\phi^2} h + \frac{2}{h r} \left( \frac{d}{dr} h \right) \\ &\quad + \frac{d^2}{h r^2} h + \frac{d^2}{h} h \end{aligned} \quad (10.10.16)$$

上式を  $-K$  とすると、

$$\frac{d^2}{dt^2} z = -K^2 z \quad (10.10.17)$$

$$\begin{aligned} \frac{\left( \frac{d}{d\theta} h \right) \cos(\theta)}{h r^2 \sin(\theta)} + \frac{d^2}{d\phi^2} h \\ + \frac{2}{h r} \left( \frac{d}{dr} h \right) + \frac{d^2}{h r^2} h + \frac{d^2}{h} h = -K^2 \end{aligned}$$

上式を変形し、

$$\begin{aligned} h K^2 + \frac{\left( \frac{d}{d\theta} h \right) \cos(\theta)}{r^2 \sin(\theta)} + \frac{d^2}{r^2 \sin^2(\theta)} h \\ + \frac{2}{r} \left( \frac{d}{dr} h \right) + \frac{d^2}{r^2} h + \frac{d^2}{dr^2} h = 0 \end{aligned} \quad (10.10.18)$$

(10.10.17) 式を ode2 関数で解くと、

$$z = \%k1 \sin(t C K) + \%k2 \cos(t C K) \quad (10.10.19)$$

(10.10.18) 式で原点对称とすると、

$$h K^2 + \frac{2 \left(\frac{d}{dr} h\right)}{r} + \frac{d^2}{dr^2} h = 0 \quad (10.10.20)$$

(10.7.5) 式は Bessel の微分方程式である。Bessel の微分方程式の一般型は (3.3.16) 式、45 頁から次式となる。

$$v \left( \frac{A^2 - N^2 C^2}{x^2} + x^{2C-2} B^2 C^2 \right) + \frac{\left(\frac{d}{dx} v\right) (1 - 2A)}{x} + \frac{d^2}{dx^2} v = 0$$

(10.10.20) 式と一般型の係数の関係は、

$$1 - 2A = 2, \quad A^2 - C^2 N^2 = 0 \\ B^2 C^2 = K^2, \quad 2C - 2 = 0$$

上式を解くと、

$$A = -\frac{1}{2}, B = K, C = 1, N = \frac{1}{2}$$

Bessel の微分方程式の一般型の解は  $N$  が整数でない時、(3.3.10) 式から次式となる。

$$v = \%k1 x^A \text{bessel.j}(N, x^C B) \\ + \%k2 x^A \text{bessel.j}(-N, x^C B)$$

以上から (10.10.20) 式の解は、

$$h = \frac{\text{bessel.j}\left(-\frac{1}{2}, r K\right) \%k2}{\sqrt{r}} \\ + \frac{\text{bessel.j}\left(\frac{1}{2}, r K\right) \%k1}{\sqrt{r}}$$

$r = 0$  で有解であるためには、 $\%k2 = 0$  として、

$$h = \frac{\text{bessel.j}\left(\frac{1}{2}, r K\right)}{\sqrt{r}} \quad (10.10.21)$$

(10.10.15) 式に (10.10.19) 式、(10.10.21) 式を代入し、

$$u = \frac{1}{\sqrt{r}} \text{bessel.j}\left(\frac{1}{2}, r K\right) \\ \times (\%k1 \sin(t C K) + \%k2 \cos(t C K)) \quad (10.10.22)$$

bessel 関数で  $r K$  が十分大きいときには、次式で近似<sup>1</sup>できる。

$$\text{bessel.j}(N, r K) \approx \frac{\sqrt{2}}{\sqrt{\pi} \sqrt{r} \sqrt{K}} \\ \times \left( B_n(r K) \sin\left(\frac{\pi(2N+1)}{4} - r K\right) \right. \\ \left. + A_n(r K) \cos\left(\frac{\pi(2N+1)}{4} - r K\right) \right)$$

上式で  $N = \frac{1}{2}$  とすると、

$$\text{bessel.j}\left(\frac{1}{2}, r K\right) \approx \frac{\sqrt{2}}{\sqrt{\pi} \sqrt{r} \sqrt{K}} \\ \times (A_n(r K) \sin(r K) + B_n(r K) \cos(r K))$$

(10.10.22) 式に上式を代入し、

$$u = \frac{\sqrt{2}}{\sqrt{\pi} r \sqrt{K}} \\ \times (A_n(r K) \sin(r K) + B_n(r K) \cos(r K)) \\ \times (\%k1 \sin(t C K) + \%k2 \cos(t C K))$$

(10.8.12) 式と (10.8.13) 式の関係から、上式は、半径方向の外方向と内方向の波があり、強さは  $\frac{1}{r}$  の比例する。

また、(10.10.14) 式の極座標における三次元波動方程式で点対称とすると次式になる。

$$\frac{d^2}{dt^2} u = \left( \frac{d^2}{dr^2} u + \frac{2 \left(\frac{d}{dr} u\right)}{r} \right) C^2 \quad (10.10.23)$$

ところで、次式の (10.8.1) 式の一次元波動方程式で、 $w$  は  $r, t$  の関数とする。

$$\frac{d^2}{dt^2} w = \left( \frac{d^2}{dr^2} w \right) C^2 \quad (10.10.24)$$

上式の解は (10.8.9) 式から、

$$w = F(t C + x) + G(x - t C) \quad (10.10.25)$$

$w$  を下記のように変数分離できるとし、 $v$  は  $r, t$  の関数とする。

$$w = r v$$

(10.10.24) 式に上式を代入し、微分を実行し、整理すると、

$$\frac{d^2}{dt^2} v = \left( \frac{d^2}{dr^2} v \right) C^2 + \frac{2 \left(\frac{d}{dr} v\right) C^2}{r}$$

上式は (10.10.23) 式と一致しており、 $v$  は点対称の極座標三次元波動方程式の解である。(10.10.25) 式から、点対称の極座標三次元波動方程式の解は、

$$v = \frac{1}{r} (F(t C + x) + G(x - t C))$$

<sup>1</sup>森口 繁一、宇田川 久、一松 信：岩波数学公式3 特殊関数、岩波書店 2002 Bessel 関数 P.153

## 10.10.3 極座標における三次元波動方程式

```
kill(all);
depends(u,[t,r,\theta,\phi]);
depends(h,[r,\theta,\phi]);
depends(z,[t]);
assume(K>0);
assume(n>0);
assume(m>0);
assume(C>0);
assume(r>0);
declare([i,m,n],integer);
EQ1:'diff(u,\theta,2)/r^2+(cos(\theta)*
('diff(u,\theta,1)))/(r^2*sin(\theta))
+'diff(u,r,2)+(2*('diff(u,r,1)))/r
+'diff(u,\phi,2)/(r^2*sin(\theta)^2)
+K^2*u=0;
EQ6:diff(u,t,2)=C^2*(lhs(EQ1)
-first(lhs(EQ1)));
TR5:u=h*z;
```

```
subst([TR5],EQ6);
ev(%,diff);
EQ61:expand(%/C^2/h/z);
EQ62:lhs(EQ61)=-K^2;
EQ63:rhs(EQ61)=-K^2;
EQ64:expand((EQ63+K^2)*h);
ZT1:ode2(EQ62,z,t);
U2:h=(bessel_j((2*n+1)/2,r*K)*((sum(B[m,n]
*sin(m*phi)*P[m,n](cos(theta))
+A[m,n]*cos(m*phi)*P[m,n](cos(theta)),
m,1,n))+A[0,n]*P[n](cos(theta)))
)/(sqrt(r));
K3:K=alpha[n,i];
rhs(ZT1)*rhs(U2);
subst([K3,%c=1,%k1=F[n],%k2=E[n]],%);
AN6:u=sum(sum(%,n,1,inf),i,1,inf);
```

極座標における三次元波動方程式は (4.5.31) 式、176 頁から次式で表現できる。

$$\frac{d^2}{dt^2} u = \nabla^2 u = \left( \frac{d^2}{dr^2} u + \frac{\cos(\theta)}{r^2 \sin(\theta)} \left( \frac{d}{d\theta} u \right) + \frac{d^2}{dr^2} u + \frac{2}{r} \left( \frac{d}{dr} u \right) + \frac{d^2}{r^2 \sin(\theta)^2} u \right) C^2 \quad (10.10.26)$$

ここで、 $u$  は  $r, \theta, \phi, t$  の関数で、下記のように変数分離できるとして、 $h$  は  $r, \theta, \phi$  の関数、 $z$  は時間  $t$  の関数とする。

$$u = h z$$

(10.10.26) 式に上式を代入し、微分を実行すると、

$$\frac{d^2}{dt^2} z = \left( \frac{d}{d\theta} h \right) \frac{\cos(\theta)}{h r^2 \sin(\theta)} + \frac{d^2}{dr^2} h + \frac{2}{h r} \left( \frac{d}{dr} h \right) + \frac{d^2}{h r^2} h + \frac{d^2}{dr^2} h$$

上式を  $-K^2$  と置き、変形すると、

$$\frac{d^2}{dt^2} z = -K^2 z \quad (10.10.27)$$

$$h K^2 + \left( \frac{d}{d\theta} h \right) \frac{\cos(\theta)}{r^2 \sin(\theta)} + \frac{d^2}{dr^2} h + \frac{2}{r} \left( \frac{d}{dr} h \right) + \frac{d^2}{r^2} h + \frac{d^2}{dr^2} h = 0 \quad (10.10.28)$$

(10.10.27) 式を ode2 関数で解くと、

$$z = \%k1 \sin(t C K) + \%k2 \cos(t C K) \quad (10.10.29)$$

(10.10.28) 式の解は (10.7.17) 式となり、(10.10.29) 式で  $K = \alpha_{n,i}$  とし、(10.10.26) 式の解は、

$$u = \frac{1}{\sqrt{r}} \sum_{i=1}^{\infty} \sum_{n=1}^{\infty} \text{bessel.j} \left( \frac{2n+1}{2}, \alpha_{n,i} r \right) \times \left( \left( \sum_{m=1}^n B_{m,n} \sin(m\phi) P_{m,n}(\cos(\theta)) + A_{m,n} \cos(m\phi) P_{m,n}(\cos(\theta)) \right) + A_{0,n} P_n(\cos(\theta)) \right) \times (F_n \sin(\alpha_{n,i} t C) + E_n \cos(\alpha_{n,i} t C))$$

## 10.11 一次元熱伝導方程式

### 10.11.1 熱伝導方程式の変数分離法による基本解

上記二式から、(10.11.1) 式の解： $u$  は、

$$u = (\%k1 \sin(kx) + \%k2 \cos(kx)) e^{-k^2 t C^2} \quad (10.11.4)$$

```
kill(all);
depends(u, [x, t]);
EQ:diff(u, t, 1)=C^2*diff(u, x, 2);
depends(v, [x]);
depends(w, [t]);
UVW:u=v*w;
subst([UVW], EQ);
EQ1:ev(%, diff);
EQ2:%/v/w/C^2;
assume(k>0);
EQ21:lhs(EQ2)=-k^2;
EQ22:rhs(EQ2)=-k^2;
AN1:ode2(EQ21, w, t);
AN2:ode2(EQ22, v, x);
AN3:subst([AN1, AN2, %c=1], UVW);
```

一次元熱伝導問題（棒の熱伝導問題等）は次式で表現できる。ここで棒の温度： $u$ 、時間： $t$ 、棒の長さ方向： $x$ とする。

$$\frac{d}{dt} u = \left( \frac{d^2}{dx^2} u \right) C^2 \quad (10.11.1)$$

ここで、 $u$  は  $x, t$  の関数であり、下記のように変数分離できるとして、 $v$  は  $x$  の関数、 $w$  は  $t$  の関数とする。

$$u = v w$$

(10.11.1) 式に上式を代入し、微分を実行すると、

$$v \left( \frac{d}{dt} w \right) = \left( \frac{d^2}{dx^2} v \right) w C^2$$

上式を変形し、

$$\frac{\frac{d}{dt} w}{w C^2} = \frac{\frac{d^2}{dx^2} v}{v}$$

上式を  $-k^2$  と置くと、

$$\frac{\frac{d}{dt} w}{w C^2} = -k^2 \quad C > 0, k > 0 \quad (10.11.2)$$

$$\frac{\frac{d^2}{dx^2} v}{v} = -k^2 \quad k > 0 \quad (10.11.3)$$

(10.11.2) 式を ode2 関数で解くと、

$$w = \%c e^{-k^2 t C^2}$$

(10.11.3) 式を ode2 関数で解くと、

$$v = \%k1 \sin(kx) + \%k2 \cos(kx)$$

10.11.2 熱伝導方程式 端部一定

```

assume(L>0);
declare(n, integer);
subst([x=0], rhs(AN3))=0;
C2:solve(%,%k2)[1];
subst([C2,x=L], rhs(AN3))=0;
k*L=%pi*n;
K1:solve(% ,k)[1];
AN31:subst([C2,K1,%k1=B[n]], AN3);
AN4:lhs(%)=sum(rhs(AN31),n,1,inf);
AN41:u(x,0)=subst([t=0], rhs(AN4));
B1:B[n]=2/L*'integrate(u(x,0)*
    sin((%pi*n*x)/L),x,0,L);
B11:2/L*'integrate(sin((%pi*n*x)/L),
    x,L/4,L*3/4);
B[n]=ev(B11,integrate);
B3:trigsimp(%);
AN5:subst([B3], AN4);
PL0:subst([inf=200,L=1,C=0.15,K=1],
    rhs(AN5));
PL1:subst([t=0], PL0);
PL2:subst([t=0.05], PL0);
PL3:subst([t=0.2], PL0);
PL4:subst([t=0.5], PL0);
PL5:subst([t=1.0], PL0);
PL6:subst([t=2], PL0);
PL7:subst([t=5], PL0);
plot2d([PL1,PL2,PL3,PL4,PL5,PL6,PL7],
    [x,0,1],[legend,"t=0","t=0.05s","t=0.2s",
    "t=0.5s","t=1s","t=2s","t=5s"],
    [y,-0.5,1.5],[style,[lines,3,1],
    [lines,3,2],[lines,3,3],[lines,3,4],
    [lines,3,5],[lines,3,6],[lines,3,7]]);
    
```

一次元熱伝導問題（棒の熱伝導問題等）で棒の温度： $u$ 、時間： $t$ 、棒の長さ方向： $x$ とする。この基本解は(10.11.4)式で、

$$u = (\%k1 \sin(kx) + \%k2 \cos(kx)) e^{-k^2 t C^2}$$

境界： $x = 0, x = L$ で関数： $u$ が零とすると、

$$\%k2 e^{-k^2 t C^2} = 0, \quad \%k1 e^{-k^2 t C^2} \sin(kL) = 0$$

上式から、

$$\%k2 = 0, \quad k = \frac{\pi n}{L} \quad n : \text{整数}$$

上式を(10.11.4)式に代入し、 $\%k1 \rightarrow B_n$ に置き換えると、

$$u = B_n \sin\left(\frac{\pi n x}{L}\right) e^{-\frac{\pi^2 n^2 t C^2}{L^2}}$$

上式から、解は  $n = 1 \rightarrow \infty$  の和として得られるから、

$$u = \sum_{n=1}^{\infty} B_n \sin\left(\frac{\pi n x}{L}\right) e^{-\frac{\pi^2 n^2 t C^2}{L^2}} \quad (10.11.5)$$

初期値： $u(x, 0)$  は、上式で  $t = 0$  として、

$$u(x, 0) = \sum_{n=1}^{\infty} B_n \sin\left(\frac{\pi n x}{L}\right)$$

上式はフーリエ級数であるから、係数： $B_n$  は(6.1.5)式から得られ、

$$B_n = \frac{2}{L} \int_0^L u(x, 0) \sin\left(\frac{\pi n x}{L}\right) dx \quad (10.11.6)$$

初期値： $u(x, 0)$  として、下記の矩形形状とすると、

$$u(x, 0) = 0, \quad 0 < x < \frac{L}{4}, \quad \frac{3L}{4} < x < L,$$

$$u(x, 0) = 1, \quad \frac{L}{4} < x < \frac{3L}{4}$$

上式を(10.11.6)式に代入し、

$$\begin{aligned}
 B_n &= \frac{2}{L} \int_0^L u(x, 0) \sin\left(\frac{\pi n x}{L}\right) dx \\
 &= \frac{2}{L} \int_{\frac{L}{4}}^{\frac{3L}{4}} \sin\left(\frac{\pi n x}{L}\right) dx \\
 &= -\frac{2}{\pi n} \cos\left(\frac{3\pi n}{4}\right) - 2 \cos\left(\frac{\pi n}{4}\right)
 \end{aligned}$$

上式を(10.11.5)式に代入し、

$$\begin{aligned}
 u &= -\frac{1}{\pi} \sum_{n=1}^{\infty} \frac{1}{n} \left( 2 \cos\left(\frac{3\pi n}{4}\right) - 2 \cos\left(\frac{\pi n}{4}\right) \right) \\
 &\quad \times \sin\left(\frac{\pi n x}{L}\right) e^{-\frac{\pi^2 n^2 t C^2}{L^2}}
 \end{aligned}$$

上式で、 $n = 1 \rightarrow 200, L = 1, C = 0.15, K = 1$  として、熱伝導状態を求めると下図となる。

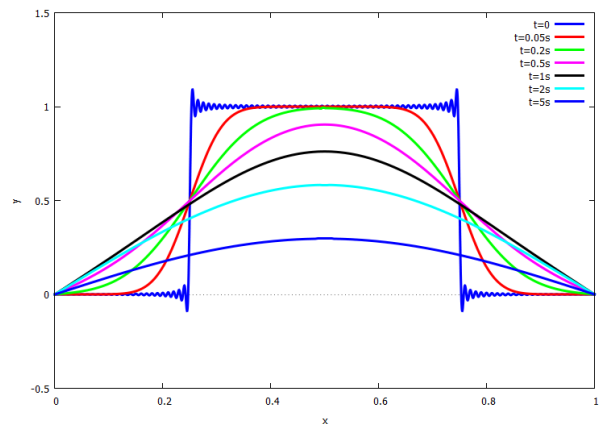


図 10.11.1: 初期値：矩形の有限境界熱伝導（端部一定）

上図から高次項は早く減衰し、なだらかな形状となる。これは  $e^{-\frac{\pi^2 n^2 t C^2}{L^2}}$  の項により高次項が早く減衰するためである。

10.11.3 熱伝導方程式 端部反射

```

assume(L>0);
declare(n,integer);
DAN3:diff(AN3,x,1);
subst([x=0],rhs(DAN3))=0;
DC2:solve(%,%k1)[1];
subst([DC2,x=L],rhs(DAN3))=0;
k*L=%pi*n;
K1:solve(%k)[1];
DAN31:subst([DC2,K1,%k2=A[n]],AN3);
DAN4:lhs(%)=sum(rhs(DAN31),n,1,inf)+A[0];
DAN41:u(x,0)=subst([t=0],rhs(DAN4));
A1:A[n]=2/L*'integrate(u(x,0)
*cos((%pi*n*x)/L),x,0,L);
B11:subst([U1],2/L*'integrate(
cos((%pi*n*x)/L),x,L/4,3*L/4));
A[n]=ev(B11,integrate);
B3:trigsimp(%);
DAN5:subst([B3],DAN4);
PL0:subst([inf=200,L=1,C=0.15,A[0]=0.5],
rhs(DAN5));
PL1:subst([t=0],PL0);
PL2:subst([t=0.05],PL0);
PL3:subst([t=0.2],PL0);
PL4:subst([t=0.5],PL0);
PL5:subst([t=1],PL0);
PL6:subst([t=2],PL0);
PL7:subst([t=5],PL0);
plot2d([PL1,PL2,PL3,PL4,PL5,PL6,PL7],
[x,0,1],[legend,"t=0","t=0.05s","t=0.2s",
"t=0.5s","t=1s","t=2s","t=5s"],
[y,-0.5,1.5],[style,[lines,3,1],
[lines,3,2],[lines,3,3],[lines,3,4],
[lines,3,5],[lines,3,6],[lines,3,7]]);
    
```

一次元熱伝導問題（棒の熱伝導問題等）で棒の温度： $u$ 、時間： $t$ 、棒の長さ方向： $x$ とする。境界： $x=0, x=L$ で反射条件は  $\frac{d}{dx} u = 0$  であり、一次元熱伝導方程式の基本解：(10.11.4) 式を  $x$  で微分すると、

$$\frac{d}{dx} u = (\%k1 k \cos(kx) - \%k2 k \sin(kx)) e^{-k^2 t C^2}$$

境界： $x=0, x=L$ で関数： $\frac{d}{dx} u = 0$ とすると、

$$\%k1 k e^{-k^2 t C^2} = 0, \quad -\%k2 k e^{-k^2 t C^2} \sin(kL) = 0$$

上式から、

$$\%k1 = 0, \quad k = \frac{\pi n}{L} \quad n : \text{整数}$$

上式を (10.11.4) 式に代入し、 $\%k2 \rightarrow A_n$  に置き換え、 $n = 1 \rightarrow \infty$  の和として解は得られるから、

$$u = \left( \sum_{n=1}^{\infty} A_n \cos\left(\frac{\pi n x}{L}\right) e^{-\frac{\pi^2 n^2 t C^2}{L^2}} \right) + A_0 \quad (10.11.7)$$

初期値： $u(x, 0)$  は、上式で  $t = 0$  として、

$$u(x, 0) = \left( \sum_{n=1}^{\infty} A_n \cos\left(\frac{\pi n x}{L}\right) \right) + A_0$$

上式はフーリエ級数であるから、係数： $A_n$  は (6.1.5) 式から得られ、

$$A_n = \frac{2}{L} \int_0^L u(x, 0) \cos\left(\frac{\pi n x}{L}\right) dx \quad (10.11.8)$$

初期値： $u(x, 0)$  として、下記の矩形形状とすると、

$$u(x, 0) = 0, \quad 0 < x < \frac{L}{4}, \quad \frac{3L}{4} < x < L,$$

$$u(x, 0) = 1, \quad \frac{L}{4} < x < \frac{3L}{4}$$

上式を (10.11.8) 式に代入し、

$$\begin{aligned} A_n &= \frac{2}{L} \int_0^L u(x, 0) \cos\left(\frac{\pi n x}{L}\right) dx \\ &= \frac{2}{L} \int_{\frac{L}{4}}^{\frac{3L}{4}} \cos\left(\frac{\pi n x}{L}\right) dx \\ &= \frac{2}{\pi n} \sin\left(\frac{3\pi n}{4}\right) - 2 \sin\left(\frac{\pi n}{4}\right) \end{aligned}$$

上式を (10.11.7) 式に代入し、

$$u = \frac{1}{\pi} \sum_{n=1}^{\infty} \frac{1}{n} \left( 2 \sin\left(\frac{3\pi n}{4}\right) - 2 \sin\left(\frac{\pi n}{4}\right) \right) \times \cos\left(\frac{\pi n x}{L}\right) e^{-\frac{\pi^2 n^2 t C^2}{L^2}} + A_0$$

上式で、 $n = 1 \rightarrow 200, L = 1, C = 0.15, K = 1, A[0] = 0.5$  として、熱伝導状態を求めると下図となる。

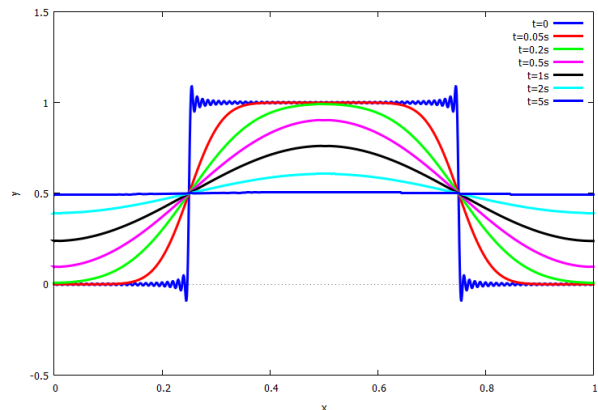


図 10.11.2: 初期値：矩形の有限境界熱伝導（端部反射）



10.11.4 熱伝導方程式 無限境界

```

assume(a>0);
assume(4*a*t*C^2+1>0);
subst(['%k2=A(k),%k1=B(k)'],AN3);
AN6:lhs(AN3)=integrate(rhs(%),k,0,inf)/%pi;
AK1:A(k)='integrate(u(x,0)*cos(k*x),x,
-inf,inf);
BK1:B(k)='integrate(u(x,0)*sin(k*x),x,
-inf,inf);
UX0:u(x,0)=%e^(-a*x^2);
subst([UX0],AK1);
AK2:ev(%,'integrate');
subst([UX0],BK1);
BK2:ev(%,'integrate');
subst([AK2,BK2],AN6);
AN61:ev(%,'integrate');
PL0:subst([a=1,C=0.5],rhs(AN61));
PL1:subst([t=0],PL0);
PL2:subst([t=1],PL0);
PL3:subst([t=2],PL0);
PL4:subst([t=5],PL0);
PL5:subst([t=10],PL0);
PL6:subst([t=20],PL0);
PL7:subst([t=50],PL0);
plot2d([PL1,PL2,PL3,PL4,PL5,PL6,PL7],
[x,-10,10],[legend,"t=0","t=t1","t=t2",
"t=t3","t=t4","t=t5","t=t6"],[y,-0.2,1.0]
,[style,[lines,3,1],[lines,3,2],
[lines,3,3],[lines,3,4],[lines,3,5],
[lines,3,6],[lines,3,7]]);
    
```

一次元熱伝導問題（棒の熱伝導問題等）で棒の温度： $u$ 、時間： $t$ 、棒の長さ方向： $x$ とする。この基本解は(10.11.4)式で、

$$u = (\%k1 \sin(kx) + \%k2 \cos(kx)) e^{-k^2 t C^2}$$

境界が無限遠となるので、上式を基に(6.2.4)式のフーリエ積分を利用し、

$$u(x,t) = \frac{1}{\pi} \int_0^\infty (B(k) \sin(kx) + A(k) \cos(kx)) \times e^{-k^2 t C^2} dk \tag{10.11.9}$$

初期値： $t = 0$ で  $u = u(x, 0)$  とすると、 $A(k), B(k)$  は(6.2.5)式から、

$$\begin{aligned} A(k) &= \int_{-\infty}^\infty u(x, 0) \cos(kx) dx \\ B(k) &= \int_{-\infty}^\infty u(x, 0) \sin(kx) dx \end{aligned} \tag{10.11.10}$$

いま、初期値： $u(x, 0)$ として、下記の形状とする。

$$u(x, 0) = e^{-a x^2} \quad a > 0$$

上式を(10.11.10)式に代入し、

$$\begin{aligned} A(k) &= \int_{-\infty}^\infty e^{-a x^2} \cos(kx) dx \\ &= \frac{\sqrt{\pi} e^{-\frac{k^2}{4a}}}{\sqrt{a}} \\ B(k) &= \int_{-\infty}^\infty e^{-a x^2} \sin(kx) dx = 0 \end{aligned} \tag{10.11.11}$$

上式を(10.11.9)式に代入し、

$$\begin{aligned} u &= \frac{1}{\sqrt{\pi} \sqrt{a}} \int_0^\infty \cos(kx) e^{-k^2 t C^2 - \frac{k^2}{4a}} dk \\ &= \frac{e^{-\frac{a x^2}{4 a t C^2 + 1}}}{\sqrt{4 a t C^2 + 1}} \quad 4 a t C^2 > -1 \end{aligned}$$

上式で、 $a = 1, C = 0.5$ として、熱伝導状態を求めると下図となる。

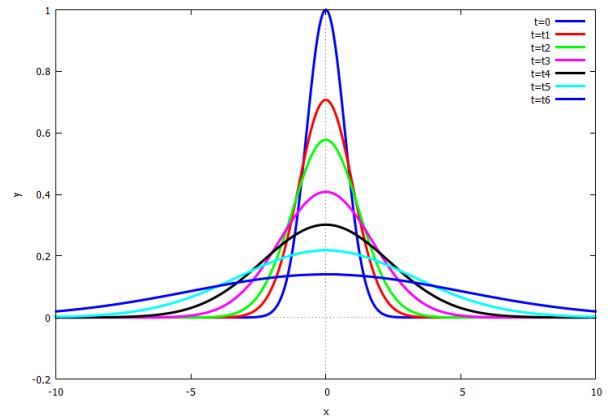


図 10.11.3: 初期値： $e^{-a x^2}$ の無限境界

## 10.12 二次元熱伝導の方程式

### 10.12.1 二次元 $xy$ 座標における熱伝導方程式

```
kill(all);
load("vect");
depends(u, [x,y,t]);
depends(h, [x,y]);
depends(v, [x]);
depends(w, [y]);
depends(z, [t]);
declare([m,n,j,k], integer);
assume(K>0);
assume(C>0);
assume(P>0);
assume(Q>0);
assume(A>0);
assume(B>0);
'diff(u,t,1)=C^2*( 'diff(u,x,2)
+ 'diff(u,y,2));
EQ1: expand(%/C^2);
TR: u=h*z;
TR1: h=v*w;
subst([TR], EQ1);
ev(% , diff);
%/z/h;
EQ2: expand(%);
EQ21: lhs(EQ2)=-K^2;
EQ22: rhs(EQ2)=-K^2;
ode2(EQ21, z, t);
Z1: ode2(EQ21, z, t);
EQ22-rhs(EQ22);
subst([TR1], %);
EQ23: ev(% , diff);
V1: last(lhs(EQ23))=-P^2;
K1: K^2=P^2+Q^2;
W1: subst([V1, K1], EQ23);
V2: ode2(V1, v, x);
subst([v=0, x=0], V2);
subst([v=0, x=A], V2);
P1: P=m*pi/A;
V3: subst([%k2=0, P1], V2);
W2: ode2(W1, w, y);
subst([w=0, y=0], W2);
subst([w=0, y=B], W2);
Q1: Q=n*pi/B;
W3: subst([%k2=0, Q1], W2);
K2: subst([P1, Q1], K1);
```

```
subst([V3, W3], TR1);
H1: subst([%k1^2=A[m,n]], %);
rhs(H1)=f(x,y);
%*sin(%pi*j*x/A)*sin(%pi*k*y/B);
F1: 'integrate('integrate(lhs(%), x, 0, A), y,
0, B)='integrate('integrate(rhs(%), x,
0, A), y, 0, B);
ev(% , integrate);
subst([j=m, k=n, x=a, y=b], F1);
F2: ev(% , integrate);
A1: solve(F2, A[m,n])[1];
subst([A1], H1);
subst([], TR);
DU1: subst([Z1, K2, %c=1], %);
U1: lhs(%)=sum(sum(rhs(%), m, 1, inf), n, 1, inf);
```

二次元熱伝導方程式を  $xy$  座標表記すると下記となる。  
ここで、 $u$  は  $x, y, t$  の関数であり、 $t$  は時間を表す。

$$\frac{d}{dt} u = \left( \frac{d^2}{dy^2} u + \frac{d^2}{dx^2} u \right) C^2 \quad (10.12.1)$$

上式を変形し、

$$\frac{d}{dt} u = \frac{d^2}{dy^2} u + \frac{d^2}{dx^2} u \quad (10.12.2)$$

下記のように変数分離できるとして、 $h$  は  $x, y$  の関数、 $z$  は  $t$  の関数とする。また、 $v$  は  $x$  の関数、 $w$  は  $y$  の関数とする。

$$u = h z \quad (10.12.3)$$

$$h = v w \quad (10.12.4)$$

(10.12.2) 式に (10.12.3) 式を代入し、整理して、

$$\frac{d}{dt} z = \frac{d^2}{dy^2} h + \frac{d^2}{dx^2} h \quad (10.12.5)$$

上式を  $-K^2$  と置き、式を分けると、

$$\frac{d}{dt} z = -K^2 z \quad (10.12.6)$$

$$\frac{d^2}{dy^2} h + \frac{d^2}{dx^2} h = -K^2 h \quad (10.12.7)$$

(10.12.6) 式を  $ode2$  関数で解くと、

$$z = \%c e^{-t C^2 K^2} \quad (10.12.8)$$

(10.12.7) 式を変形し、

$$K^2 + \frac{d^2}{dy^2} h + \frac{d^2}{dx^2} h = 0$$

(10.12.4) 式を代入し、整理すると、

$$K^2 + \frac{d^2}{dy^2} w + \frac{d^2}{dx^2} v = 0 \quad (10.12.9)$$

上式の左辺第三項を  $-P^2$  と置き、左辺第二項を  $-Q^2$   $y=0, y=B$  で  $u=0$  の境界条件とすると、と置くと、

$$\frac{d^2}{dx^2} v = -P^2 \quad (10.12.10) \quad w = \%k1 \sin\left(\frac{\pi n y}{B}\right), \quad Q = \frac{\pi n}{B} \quad (10.12.14)$$

$$Q^2 + \frac{d^2}{dy^2} w = 0 \quad (10.12.11) \quad (10.12.12) \text{ 式に } (10.12.13) \text{ 式、} (10.12.14) \text{ 式を代入し、}$$

ここで、

$$K^2 = Q^2 + P^2 \quad (10.12.12) \quad K^2 = \frac{\pi^2 n^2}{B^2} + \frac{\pi^2 m^2}{A^2} \quad (10.12.15)$$

(10.12.10) 式を ode2 関数で解くと、

$$v = \%k1 \sin(x P) + \%k2 \cos(x P) \quad (10.12.10) \text{ 式に } (10.12.14) \text{ 式、} (10.12.15) \text{ 式を代入し、係数を } A_{m,n} \text{ とすると、}$$

$$h = A_{m,n} \sin\left(\frac{\pi m x}{A}\right) \sin\left(\frac{\pi n y}{B}\right) \quad (10.12.16)$$

$x=0, x=A$  で  $u=0$  の境界条件とすると、

$$v = \%k1 \sin\left(\frac{\pi m x}{A}\right), \quad P = \frac{\pi m}{A} \quad (10.12.13)$$

(10.12.11) 式を ode2 関数で解くと、

$$w = \%k1 \sin(y Q) + \%k2 \cos(y Q) \quad (10.12.11) \text{ 式を } (10.12.14) \text{ 式、} (10.12.15) \text{ 式を代入し、係数を } A_{m,n} \text{ とすると、}$$

$$A_{m,n} \sin\left(\frac{\pi m x}{A}\right) \sin\left(\frac{\pi n y}{B}\right) = f(x, y) \quad (10.12.16)$$

初期値:  $f(x, y)$  とすると、

$$A_{m,n} \sin\left(\frac{\pi m x}{A}\right) \sin\left(\frac{\pi n y}{B}\right) = f(x, y)$$

両辺に  $\sin\left(\frac{\pi j x}{A}\right) \sin\left(\frac{\pi k y}{B}\right)$  を掛け、積分すると、

$$A_{m,n} \int_0^A \sin\left(\frac{\pi j x}{A}\right) \sin\left(\frac{\pi m x}{A}\right) dx \int_0^B \sin\left(\frac{\pi k y}{B}\right) \sin\left(\frac{\pi n y}{B}\right) dy$$

$$= \int_0^B \int_0^A f(x, y) \sin\left(\frac{\pi j x}{A}\right) dx \sin\left(\frac{\pi k y}{B}\right) dy$$

$m \neq j, n \neq k$  の時、下記のように、左辺が零となる。

$$0 = \int_0^B \int_0^A f(x, y) \sin\left(\frac{\pi j x}{A}\right) dx \sin\left(\frac{\pi k y}{B}\right) dy$$

$m = j, n = k$  の時、下記のようになる。

$$A_{m,n} \int_0^A \sin\left(\frac{\pi a m}{A}\right)^2 da \int_0^B \sin\left(\frac{\pi b n}{B}\right)^2 db = \frac{A_{m,n} A B}{4}$$

$$= \int_0^B \int_0^A f(a, b) \sin\left(\frac{\pi a m}{A}\right) da \sin\left(\frac{\pi b n}{B}\right) db$$

$m = j, n = k$  の時のみ値を持つので、上式から  $A_{m,n}$  を求めると、

$$A_{m,n} = \frac{4}{A B} \int_0^B \int_0^A f(a, b) \sin\left(\frac{\pi a m}{A}\right) da \sin\left(\frac{\pi b n}{B}\right) db$$

(10.12.16) 式に上式を代入すると、

$$h = \frac{4}{A B} \sin\left(\frac{\pi m x}{A}\right) \int_0^B \int_0^A f(a, b) \sin\left(\frac{\pi a m}{A}\right) da \sin\left(\frac{\pi b n}{B}\right) db \sin\left(\frac{\pi n y}{B}\right)$$

(10.12.3) 式に上式と (10.12.8) 式を代入すると、

$$u = \frac{4}{A B} \sin\left(\frac{\pi m x}{A}\right) \int_0^B \int_0^A f(a, b) \sin\left(\frac{\pi a m}{A}\right) da \sin\left(\frac{\pi b n}{B}\right) db \sin\left(\frac{\pi n y}{B}\right) e^{-t\left(\frac{\pi^2 n^2}{B^2} + \frac{\pi^2 m^2}{A^2}\right)} C^2$$

上式を  $m, n$  の和の形にすると、

$$u = \frac{4}{A B} \sum_{n=1}^{\infty} \sin\left(\frac{\pi n y}{B}\right) \sum_{m=1}^{\infty} \sin\left(\frac{\pi m x}{A}\right) \int_0^B \int_0^A f(a, b) \sin\left(\frac{\pi a m}{A}\right) da \sin\left(\frac{\pi b n}{B}\right) db e^{-t\left(\frac{\pi^2 n^2}{B^2} + \frac{\pi^2 m^2}{A^2}\right)} C^2 \quad (10.12.17)$$

```

LI: [inf=10,C=1,A=2,B=1];
U11: subst(LI,U1);
F3: f(a,b)=sin((%pi*a*1)/A)^4
    *sin((%pi*b*1)/B)^4;
F31: subst(LI,F3);
U12: subst([F31],U11);
subst([t=0],U12);
ev(rhs(%),sum);
ev(%integrate);
plot3d(%,[x,0,2],[y,0,1],[z,0,1]);
subst([t=0.01],U12);
ev(rhs(%),sum);
ev(%integrate);
plot3d(%,[x,0,2],[y,0,1],[z,0,1]);
subst([t=0.03],U12);
ev(rhs(%),sum);
ev(%integrate);
plot3d(%,[x,0,2],[y,0,1],[z,0,1]);
subst([t=0.06],U12);
ev(rhs(%),sum);
ev(%integrate);
plot3d(%,[x,0,2],[y,0,1],[z,0,1]);

```

(10.12.17) 式に  $\infty = 10, C = 1, A = 2, B = 1$  を代入し、 $f(a, b)$  として下記とする。

$$f(a, b) = \sin\left(\frac{\pi a}{A}\right)^4 \sin\left(\frac{\pi b}{B}\right)^4$$

$t = 0, 0.01, 0.03, 0.06$  の図を右図に示す。

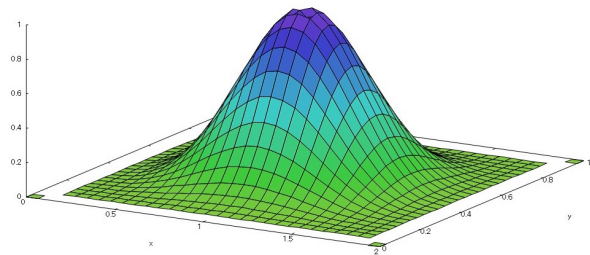


図 10.12.1: 二次元  $xy$  座標熱伝導境界値問題 (境界温度一定)  $t=0$

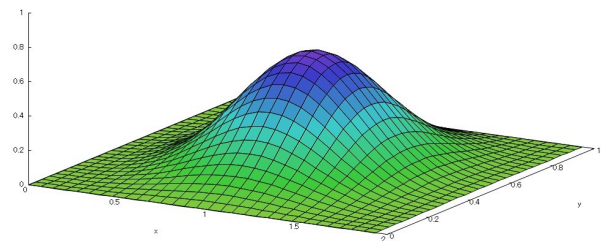


図 10.12.2: 二次元  $xy$  座標熱伝導境界値問題 (境界温度一定)  $t=0.01$

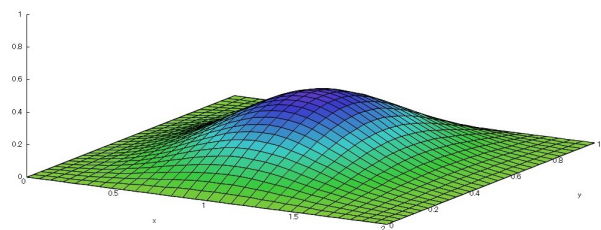


図 10.12.3: 二次元  $xy$  座標熱伝導境界値問題 (境界温度一定)  $t=0.03$

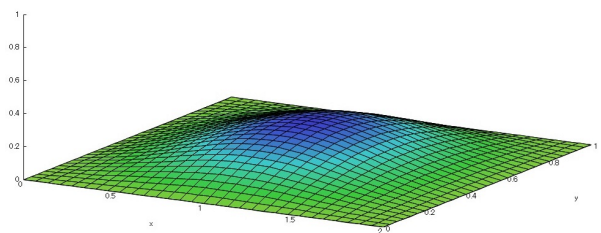


図 10.12.4: 二次元  $xy$  座標熱伝導境界値問題 (境界温度一定)  $t=0.06$

## 10.12.2 二次元極座標における熱伝導方程式

上式はヘルムホルツ (Helmholtz) の方程式の極座標表記である。

```
kill(all);
load("vect");
depends(u,[r,\theta,t]);
depends([r,\theta],[x,y]);
depends(h,[r,\theta]);
depends(v,[r]);
depends(w,[\theta]);
depends(z,[t]);
declare([m,n,j,k],integer);
'diff(u,t,1)=C^2*( 'diff(u,\theta,2)/r^2
+'diff(u,r,2)+'diff(u,r,1)/r);
EQ1:expand(%/C^2);
TR:u=h*z;
subst([TR],EQ1);
ev(%diff);
%/z/h;
EQ2:expand(%);
assume(K>0);
assume(C>0);
assume(P>0);
assume(R>0);
EQ21:lhs(EQ2)=-K^2;
EQ22:rhs(EQ2)=-K^2;
expand(%*h+K^2*h);
```

二次元熱伝導方程式を極座標: $r-\theta$  表記すると、(4.5.15) 式、168 頁から次式となる。

$$\frac{d}{dt} u = \left( \frac{d^2}{d\theta^2} u + \frac{d^2}{dr^2} u + \frac{d}{dr} u \right) C^2 \quad (10.12.18)$$

ここで、 $u$  は  $r, \theta, t$  の関数であり、 $t$  は時間を表す。 $x-y$  座標と円柱 ( $r-\theta$ ) 座標の関係を図 4.5.1、164 頁に示す。下記のように変数分離できるとして、 $h$  は  $r, \theta$  の関数、 $z$  は  $t$  の関数とする。

$$u = h z$$

(10.12.18) 式に上式を代入し、微分を実行し、整理すると、

$$\frac{d}{dt} z = \frac{d}{dr} h + \frac{d^2}{d\theta^2} h + \frac{d^2}{dr^2} h$$

上式を  $-K^2$  と置くと、

$$\frac{d}{dt} z = -K^2 \quad C > 0, K > 0 \quad (10.12.19)$$

$$\frac{d}{dr} h + \frac{d^2}{d\theta^2} h + \frac{d^2}{dr^2} h = -K^2 \quad K > 0 \quad (10.12.20)$$

上式を変形し、

$$h K^2 + \frac{d}{dr} h + \frac{d^2}{d\theta^2} h + \frac{d^2}{dr^2} h = 0$$

```
TR1:h=v*w;
subst([TR1],EQ22);
ev(%diff);
EQ23:expand(%*r^2);
assume(n>0);
EQ24:first(lhs(EQ23))=-n^2;
subst([EQ24],EQ23);
expand(%*v/r^2);
EQ25:%-rhs(%);
AN1:ode2(EQ21,z,t);
AN2:ode2(EQ24,w,\theta);
BEEQ4:v*(x^(2*C-2)*B^2*C^2+(A^2-N^2*C^2)
/x^2)+'diff(v,x,1)*(1-2*A)/x
+'diff(v,x,2)=0;
EQ25;
BEA1:1-2*A=1;
BEA2:A^2-N^2*C^2=-n^2;
BEA3:B^2*C^2=K^2;
BEA4:2*C-2=0;
solve([BEA1,BEA2,BEA3,BEA4],[A,B,C,N]);
BEA5:%[3];
v=%k1*bessel_j(N,x^C*B)*x^A+%k2
*bessel_y(N,x^C*B)*x^A;
subst([BEA5],%);
AN3:subst([x=r,%k1=%d1,%k2=%d2],%);
subst([AN3,AN2],TR1);
AN4:subst([%,AN1,%c=1],TR);
```

ここで、 $h$  を下記のように変数分離できるとして、 $v$  は  $r$  の関数、 $w$  は  $\theta$  の関数とする。

$$h = v w$$

(10.12.20) 式に上式を代入し、微分を実行し、整理すると、

$$\frac{d^2}{d\theta^2} w + \frac{d^2}{dr^2} v + \frac{d}{dr} v = -K^2$$

上式を変形し、

$$\frac{d^2}{d\theta^2} w + \frac{r^2 \left( \frac{d^2}{dr^2} v \right)}{v} + \frac{r \left( \frac{d}{dr} v \right)}{v} = -r^2 K^2$$

更に上式の一部を下記と置く。

$$\frac{d^2}{d\theta^2} w = -n^2 \quad (10.12.21)$$

$$\frac{r^2 \left( \frac{d^2}{dr^2} v \right)}{v} + \frac{r \left( \frac{d}{dr} v \right)}{v} - n^2 = -r^2 K^2$$

上式を整理し、

$$v K^2 + \frac{d^2}{dr^2} v + \frac{d}{dr} v - \frac{n^2}{r} v = 0 \quad (10.12.22)$$

(10.12.19) 式を ode2 関数で解くと、

$$z = \%c e^{-t C^2 K^2} \quad (10.12.23)$$

(10.12.21) 式を ode2 関数で解くと、

$$w = \%k1 \sin(n\theta) + \%k2 \cos(n\theta) \quad (10.12.24)$$

上式で  $\theta = 0$  と  $\theta = 2\pi$  で繋がらないといけないので、 $n$  は整数となる。(10.12.22) 式は Bessel の微分方程式である。Bessel の微分方程式の一般型は (3.3.16) 式、45 頁から次式となる。

$$v \left( \frac{A^2 - N^2 C^2}{x^2} + x^{2C-2} B^2 C^2 \right) + \frac{\left( \frac{d}{dx} v \right) (1 - 2A)}{x} + \frac{d^2}{dx^2} v = 0$$

Bessel の微分方程式の一般型の解は  $N$  が整数の時、(3.3.18) 式から次式となる。

$$v = \%k2 \text{bessel}_y(N, x^C B) x^A + \%k1 \text{bessel}_j(N, x^C B) x^A$$

(10.12.22) 式と一般型の係数の関係は、

$$1 - 2A = 1, \quad A^2 - C^2 N^2 = -n^2$$

$$B^2 C^2 = K^2, \quad 2C - 2 = 0$$

上式を解くと、

$$[A = 0, B = K, C = 1, N = n]$$

上式から (10.12.22) 式の解  $v$  は、

$$v = \%d2 \text{bessel}_y(n, r K) + \%d1 \text{bessel}_j(n, r K)$$

$\text{bessel}_y(n, r K)$  は  $r \rightarrow 0$  で  $\pm\infty$  となるので、 $\%d2 = 0$  とし、(10.12.23) 式、(10.12.24) 式と上式から、 $u$  の基本解は、

$$u = \text{bessel}_j(n, r K) \times (\%k1 \sin(n\theta) + \%k2 \cos(n\theta)) e^{-t C^2 K^2} \quad (10.12.25)$$

## 10.12.3 中実円柱の熱伝導境界値問題 (表面温度一定)

```

AN41:subst([%d2=0],AN4);
subst([u=0,t=0,r=R,%d1=1],AN41);
bessel_j(n,K*R)=0;
AL1:K*R=\alpha[m,n];
AL2:solve(AL1,K)[1];
AN42:subst([AL2,%k1=B[m,n],%k2=A[m,n],%d1=1],AN41);
AN43:lhs(AN42)=sum(sum(rhs(AN42),n,0,inf),m,1,inf);
AN44:u(r,\theta,0)=subst([t=0],rhs(AN43));
BS1:bessel_j(n,(alpha[m,n]*r)/R);
SN1:sin(n*theta);
CN1:cos(n*theta);
IN1:cos(k*\theta)*BS1*(A[m,n]*CN1+B[m,n]*SN1);
'integrate(lhs(AN44)*cos(k*\theta),\theta,-%pi,%pi)=sum(sum('integrate(IN1,\theta,-%pi,%pi),n,0,inf),m,1,inf);
lhs(%)=sum(sum('integrate(IN1,\theta,-%pi,%pi),n,k,k),m,1,inf);
expand(%);
ev(%,integrate);
'integrate(bessel_j(k,(alpha[j,k]*r)/R)*r*lhs(%),r,0,R)=%pi*C[k]*sum('integrate(bessel_j(k,(alpha[m,k]*r)/R)*r*bessel_j(k,(alpha[j,k]*r)/R)*A[m,k],r,0,R),m,1,inf);
lhs(%)=%pi*C[k]*sum('integrate(bessel_j(k,(alpha[j,k]*r)/R)*r*bessel_j(k,(alpha[m,k]*r)/R)*A[m,k],r,0,R),m,j,j);
lhs(%)=%pi*A[j,k]*C[k]*bessel_j(k+1,(alpha[j,k]*R)/R)^2*R^2/2;
AJK:solve(%,A[j,k])[1];
AJK1:subst([j=m,k=n,r=s,\theta=\phi],%);
'integrate(lhs(AN44)*sin(k*\theta),\theta,-%pi,%pi)=sum(sum('integrate(sin(k*\theta)*(bessel_j(n,(alpha[m,n]*r)/R)*(B[m,n]*sin(n*theta)+A[m,n]*cos(n*theta))),\theta,-%pi,%pi),n,0,inf),m,1,inf);
lhs(%)=sum(sum('integrate(sin(k*\theta)*(bessel_j(n,(alpha[m,n]*r)/R)*(B[m,n]*sin(n*theta)+A[m,n]*cos(n*theta))),\theta,-%pi,%pi),n,k,k),m,1,inf);

```

```

expand(%);
ev(%,integrate);
'integrate(bessel_j(k,(alpha[j,k]*r)/R)*r*lhs(%),r,0,R)=%pi*C[k]*sum('integrate(bessel_j(k,(alpha[m,k]*r)/R)*r*bessel_j(k,(alpha[j,k]*r)/R)*B[m,k],r,0,R),m,1,inf);
lhs(%)=%pi*C[k]*sum('integrate(bessel_j(k,(alpha[j,k]*r)/R)*r*bessel_j(k,(alpha[m,k]*r)/R)*B[m,k],r,0,R),m,j,j);
lhs(%)=%pi*B[j,k]*C[k]*bessel_j(k+1,(alpha[j,k]*R)/R)^2*R^2/2;
BJK:solve(%,B[j,k])[1];
BJK1:subst([j=m,k=n,r=s,\theta=\phi],%);
subst([AJK1,BJK1],AN43);
factor(%);
u=(2*sum(sum((bessel_j(n,(alpha[m,n]*r)/R)*(integrate(bessel_j(n,(alpha[m,n]*s)/R)*s*integrate(sin(n*phi)*u(s,phi,0)*sin(n*theta)+cos(n*phi)*cos(n*\theta)*u(s,phi,0),phi,-%pi,%pi),s,0,R)))*e^(-(alpha[m,n]^2*t*C^2)/R^2))/(C[n]*bessel_j(n+1,alpha[m,n])^2),n,0,inf),m,1,inf)/(%pi*R^2);
AN45:factor(%);
sin(n*phi)*sin(n*theta)+cos(n*phi)*cos(n*theta);
TRG1:%=trigrat(%);
AN46:subst([TRG1],AN45);

```

$u$  は温度で  $r, \theta, t$  の関数であり、 $t$  は時間を表す。 $x-y$  座標と円柱 ( $r-\theta$ ) 座標の関係を図 4.5.1、164 頁に示す円柱の半径  $R$  で、中実とすると、(10.12.25) 式で  $r=0$  で有解であるためには  $\%d2=0$  でなければならない。

$$u = \%d1 \text{bessel\_j}(n, rK) \times (\%k1 \sin(n\theta) + \%k2 \cos(n\theta)) e^{-tC^2K^2}$$

端部境界： $r=R$  で  $u=0$  とすると、

$$\text{bessel\_j}(n, KR) = 0$$

上式を満足する  $m$  番目の根： $\alpha_m$  を導入する。

$$KR = \alpha_{m,n}, \quad K = \frac{\alpha_{m,n}}{R}$$

$\%k1 \rightarrow B_{m,n}$ ,  $\%k2 \rightarrow A_{m,n}$  に置き換えて、級数の形にすると、

$$u = \sum_{m=1}^{\infty} \sum_{n=0}^{\infty} \text{bessel\_j} \left( n, \frac{\alpha_{m,n} r}{R} \right) (B_{m,n} \sin(n\theta) + A_{m,n} \cos(n\theta)) e^{-\frac{\alpha_{m,n}^2 t C^2}{R^2}} \quad (10.12.26)$$

いま、初期状態： $t = 0$  では、

$$u(r, \theta, 0) = \sum_{m=1}^{\infty} \sum_{n=0}^{\infty} \text{bessel\_j} \left( n, \frac{\alpha_{m,n} r}{R} \right) (B_{m,n} \sin(n\theta) + A_{m,n} \cos(n\theta)) \quad (10.12.27)$$

(10.12.27) 式の両辺に  $\cos(k\theta)$  を掛けて積分し、フーリエ級数の関係式：(6.1.6) 式、(6.1.7) 式、(6.1.8) 式から、 $n = k$  の項のみが残る、

$$\begin{aligned} \int_{-\pi}^{\pi} u(r, \theta, 0) \cos(k\theta) d\theta &= \sum_{m=1}^{\infty} \sum_{n=0}^{\infty} \text{bessel\_j} \left( n, \frac{\alpha_{m,n} r}{R} \right) \int_{-\pi}^{\pi} \cos(k\theta) (B_{m,n} \sin(n\theta) + A_{m,n} \cos(n\theta)) d\theta \\ &= \sum_{m=1}^{\infty} \text{bessel\_j} \left( k, \frac{\alpha_{m,k} r}{R} \right) \int_{-\pi}^{\pi} B_{m,k} \cos(k\theta) \sin(k\theta) + A_{m,k} \cos(k\theta)^2 d\theta \\ &= \pi C_k \sum_{m=1}^{\infty} \text{bessel\_j} \left( k, \frac{\alpha_{m,k} r}{R} \right) A_{m,k} \quad \text{ここで、} C_k = 2 (k=0), C_k = 1 (k > 0) \end{aligned}$$

上式の両辺に  $\text{bessel\_j} \left( k, \frac{\alpha_{j,k} r}{R} \right) r$  を掛けて積分し、フーリエ・ベッセル展開の (7.1.11) 式から  $m = j$  の項のみが残る、(7.1.18) 式から、

$$\begin{aligned} \int_0^R \text{bessel\_j} \left( k, \frac{\alpha_{j,k} r}{R} \right) r \int_{-\pi}^{\pi} u(r, \theta, 0) \cos(k\theta) d\theta dr \\ &= \pi C_k \sum_{m=1}^{\infty} A_{m,k} \int_0^R \text{bessel\_j} \left( k, \frac{\alpha_{j,k} r}{R} \right) \text{bessel\_j} \left( k, \frac{\alpha_{m,k} r}{R} \right) r dr \\ &= \pi A_{j,k} C_k \int_0^R \text{bessel\_j} \left( k, \frac{\alpha_{j,k} r}{R} \right)^2 r dr \\ &= \frac{\pi A_{j,k} C_k \text{bessel\_j}(k+1, \alpha_{j,k})^2 R^2}{2} \end{aligned}$$

上式から  $A_{j,k}$  を求め、

$$A_{j,k} = \frac{2}{\pi C_k \text{bessel\_j}(k+1, \alpha_{j,k})^2 R^2} \int_0^R \text{bessel\_j} \left( k, \frac{\alpha_{j,k} r}{R} \right) r \int_{-\pi}^{\pi} u(r, \theta, 0) \cos(k\theta) d\theta dr$$

$j \rightarrow m, k \rightarrow n$  の置き換えを行い、

$$A_{m,n} = \frac{2}{\pi C_n \text{bessel\_j}(n+1, \alpha_{m,n})^2 R^2} \int_0^R \text{bessel\_j} \left( n, \frac{\alpha_{m,n} s}{R} \right) s \int_{-\pi}^{\pi} \cos(n\phi) u(s, \phi, 0) d\phi ds \quad (10.12.28)$$

(10.12.27) 式の両辺に  $\sin(k\theta)$  を掛けて積分し、フーリエ級数の関係式：(6.1.6) 式、(6.1.7) 式、(6.1.8) 式から、 $n = k$  の項のみが残る、

$$\begin{aligned} \int_{-\pi}^{\pi} u(r, \theta, 0) \sin(k\theta) d\theta &= \sum_{m=1}^{\infty} \sum_{n=0}^{\infty} \text{bessel\_j} \left( n, \frac{\alpha_{m,n} r}{R} \right) \int_{-\pi}^{\pi} \sin(k\theta) (B_{m,n} \sin(n\theta) + A_{m,n} \cos(n\theta)) d\theta \\ &= \sum_{m=1}^{\infty} \text{bessel\_j} \left( k, \frac{\alpha_{m,k} r}{R} \right) \int_{-\pi}^{\pi} B_{m,k} \sin(k\theta)^2 + A_{m,k} \cos(k\theta) \sin(k\theta) d\theta \\ &= \pi \sum_{m=1}^{\infty} \text{bessel\_j} \left( k, \frac{\alpha_{m,k} r}{R} \right) B_{m,k} \quad \text{ここで、} C_k = 2 (k=0), C_k = 1 (k > 0) \end{aligned}$$

上式の両辺に  $\text{bessel\_j} \left( k, \frac{\alpha_{j,k} r}{R} \right) r$  を掛けて積分し、フーリエ・ベッセル展開の (7.1.11) 式から  $m = j$  の項のみ



が残り、(7.1.18) 式から、

$$\begin{aligned}
 & \int_0^R \text{bessel\_j} \left( k, \frac{\alpha_{j,k} r}{R} \right) r \int_{-\pi}^{\pi} u(r, \theta, 0) \sin(k\theta) d\theta dr \\
 &= \pi C_k \sum_{m=1}^{\infty} B_{m,k} \int_0^R \text{bessel\_j} \left( k, \frac{\alpha_{j,k} r}{R} \right) \text{bessel\_j} \left( k, \frac{\alpha_{m,k} r}{R} \right) r dr \\
 &= \pi B_{j,k} C_k \int_0^R \text{bessel\_j} \left( k, \frac{\alpha_{j,k} r}{R} \right)^2 r dr \\
 &= \frac{\pi B_{j,k} C_k \text{bessel\_j}(k+1, \alpha_{j,k})^2 R^2}{2}
 \end{aligned}$$

上式から  $B_{j,k}$  を求め、

$$B_{j,k} = \frac{2 \int_0^R \text{bessel\_j} \left( k, \frac{\alpha_{j,k} r}{R} \right) r \int_{-\pi}^{\pi} u(r, \theta, 0) \sin(k\theta) d\theta dr}{\pi C_k \text{bessel\_j}(k+1, \alpha_{j,k})^2 R^2}$$

$j \rightarrow m, k \rightarrow n$  の置き換えを行い、

$$B_{m,n} = \frac{2}{\pi C_n \text{bessel\_j}(n+1, \alpha_{m,n})^2 R^2} \int_0^R \text{bessel\_j} \left( n, \frac{\alpha_{m,n} s}{R} \right) s \int_{-\pi}^{\pi} \sin(n\phi) u(s, \phi, 0) d\phi ds \quad (10.12.29)$$

(10.12.26) 式に (10.12.28) 式、(10.12.29) 式を代入し、

$$\begin{aligned}
 u &= \sum_{m=1}^{\infty} \sum_{n=0}^{\infty} \text{bessel\_j} \left( n, \frac{\alpha_{m,n} r}{R} \right) \left( \frac{2 \int_0^R \text{bessel\_j} \left( n, \frac{\alpha_{m,n} s}{R} \right) s \int_{-\pi}^{\pi} \sin(n\phi) u(s, \phi, 0) d\phi ds \sin(n\theta)}{\pi C_n \text{bessel\_j}(n+1, \alpha_{m,n})^2 R^2} \right. \\
 &\quad \left. + \frac{2 \int_0^R \text{bessel\_j} \left( n, \frac{\alpha_{m,n} s}{R} \right) s \int_{-\pi}^{\pi} \cos(n\phi) u(s, \phi, 0) d\phi ds \cos(n\theta)}{\pi C_n \text{bessel\_j}(n+1, \alpha_{m,n})^2 R^2} \right) e^{-\frac{\alpha_{m,n}^2 t C^2}{R^2}} \\
 &= \frac{2}{\pi R^2} \sum_{m=1}^{\infty} \sum_{n=0}^{\infty} \frac{\text{bessel\_j} \left( n, \frac{\alpha_{m,n} r}{R} \right)}{C_n \text{bessel\_j}(n+1, \alpha_{m,n})^2} \\
 &\quad \times \int_0^R \text{bessel\_j} \left( n, \frac{\alpha_{m,n} s}{R} \right) s \int_{-\pi}^{\pi} u(s, \phi, 0) (\sin(n\phi) \sin(n\theta) + \cos(n\phi) \cos(n\theta)) d\phi ds e^{-\frac{\alpha_{m,n}^2 t C^2}{R^2}}
 \end{aligned}$$

下記の関係があり、

$$\sin(n\phi) \sin(n\theta) + \cos(n\phi) \cos(n\theta) = \cos(n\theta - n\phi)$$

これを代入すると解は、

$$\begin{aligned}
 u &= \frac{2}{\pi R^2} \sum_{m=1}^{\infty} \sum_{n=0}^{\infty} \frac{\text{bessel\_j} \left( n, \frac{\alpha_{m,n} r}{R} \right)}{C_n \text{bessel\_j}(n+1, \alpha_{m,n})^2} \\
 &\quad \times \int_0^R \text{bessel\_j} \left( n, \frac{\alpha_{m,n} s}{R} \right) s \int_{-\pi}^{\pi} u(s, \phi, 0) \cos(n\theta - n\phi) d\phi ds e^{-\frac{\alpha_{m,n}^2 t C^2}{R^2}} \quad (10.12.30)
 \end{aligned}$$

ここで、 $C_n = 2 (n = 0), C_n = 1 (n > 0)$

軸対称の場合

```
AN5:subst([n=0,%k2=1],AN4);
AN51:subst([AL2,%d2=0],AN5);
AN511:u=sum(subst([%d1=A[m]],rhs(%)),
m,1,inf);
```

軸対称では  $n = 0$  として、(10.12.26) 式は、

$$u = \sum_{m=1}^{\infty} \text{bessel}_j\left(0, \frac{\alpha_m r}{R}\right) A_m e^{-\frac{\alpha_m^2 t C^2}{R^2}}$$

初期状態:  $t = 0$  では、

$$u(r, 0) = \sum_{m=1}^{\infty} \text{bessel}_j\left(0, \frac{\alpha_m r}{R}\right) A_m$$

上式はフーリエ・ベッセル展開で、その係数:  $A_m$  は、(7.1.5) 式から、

$$A_m = \frac{2}{\text{bessel}_j(1, \alpha_m)^2 R^2} \times \int_0^R \text{bessel}_j\left(0, \frac{\alpha_m r}{R}\right) r u(r, 0) dr$$

上式から、

$$u = \frac{2}{R^2} \sum_{m=1}^{\infty} \frac{\text{bessel}_j\left(0, \frac{\alpha_m r}{R}\right)}{\text{bessel}_j(1, \alpha_m)^2} \times \int_0^R \text{bessel}_j\left(0, \frac{\alpha_m r}{R}\right) r u(r, 0) dr e^{-\frac{\alpha_m^2 t C^2}{R^2}} \quad (10.12.31)$$

```
subst([t=0,u=u(r,0)],AN511);
AM1:A[m]=2/R^2/bessel_j(1,alpha[m])^2
*integrate(r*u(r,0)*bessel_j(0,
(alpha[m]*r)/R),r,0,R);
AN512:subst([AM1],AN511);
CG1:(r/2)^(nu)*sum((-1)^i*(r/2)^(2*i)/
(i!)/gamma(nu+i+1),i,0,inf);
CG2:subst([inf=100],CG1);
LI1:[nu=0];
subst([LI1],CG2);
CG4:subst([r=alpha[n]*r],%);
FX41:2*(bessel_j(nu,alpha[n]*r)*integrate
(CG4*r*f(r),r,0,1/2))/bessel_j(nu+1,
alpha[n]^2*e^(-alpha[n]^2*t*C^2));
FX3:f(r)=(1);
```

ここでベッセル関数を以下の (7.1.20) 式の多項式近似を使用する。これにより (10.12.31) 式の積分が容易に行える。

$$\text{bessel}_j(\nu, x) = \frac{x^\nu}{2^\nu} \sum_{i=0}^{\infty} \frac{(-1)^i x^{2i}}{2^{2i} i! \Gamma(\nu + i + 1)}$$

$x \approx 35$  以上で数値計算の限界で値が得られていないので、 $n = 1 \rightarrow 10$  の範囲で計算する。 $R = 1, C = 0.15$  で、 $u(r, 0)$  として、

$$u(r, 0) = 1 \quad 0 < r < 0.5, \quad u(r, 0) = 0 \quad 0.5 < r < 1$$

計算結果を以下に示す。

```
LI2:[t=0,C=0.15];
subst([LI1],FX41);
subst([FX3],%);
FX42:subst([LI2],%);
BS1:0;
for N:1 thru 10 do(
m:N,
AL1:subst([LI1],(2*pi*nu+4*pi*m-pi)/4),
AL2:subst([LI1],(2*pi*nu+4*pi*(m+1)
-pi)/4),
DX1:(AL2-AL1)/4,
X1:AL1-DX1,
X2:AL1+DX1,
AL3:find_root(subst([LI1],bessel_j(nu,x))
,x,X1,X2),
BS1:BS1+subst([\alpha[n]=AL3],FX42));
ev(BS1,sum);
PL1:ev(%integrate);
plot2d([PL1,PL2,PL3,PL4,PL5,PL6,PL7],
[r,0,1],[legend,"t=0","t=0.2s","t=0.5s",
"t=1s","t=2s","t=5s","t=10s"],[style,
[lines,3,1],[lines,3,2],[lines,3,3],
[lines,3,4],[lines,3,5],[lines,3,6],
[lines,3,7]]);
```

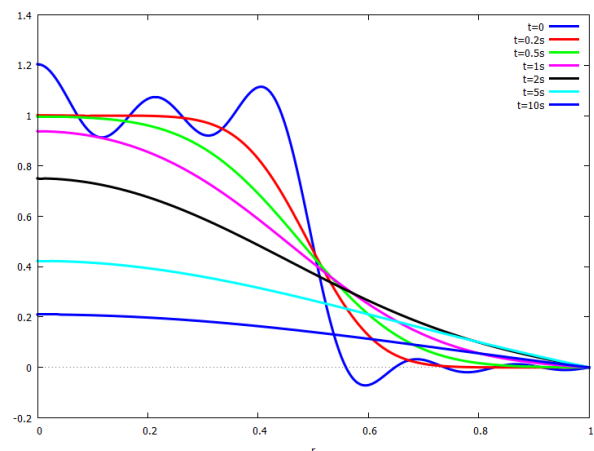


図 10.12.5: 円柱体の軸対称熱伝導境界値問題 (表面温度一定)

10.12.4 中実円柱の軸対称熱伝導境界値問題 (表面断熱)

```

AN61:subst([%d2=0,n=0,%d1=1],AN4);
diff(AN61,r,1);
diff(bessel_j(0,K*r),r,1)=0;
-%/K;
AL1:K*R=\alpha[i];
AL2:solve(AL1,K)[1];
AN62:subst([AL2,%k2=A[i]],AN61);
subst([t=0],%);
AL3:(x*'diff(bessel_j(\nu,x),x,1))+p*
bessel_j(\nu,x)=0;
AI1:A[i]=2*\alpha[i]^2/bessel_j(\nu,
\alpha[i])^2/R^2/(p^2-\nu^2+
\alpha[i]^2)*integrate(bessel_j(\nu,
\alpha[i]*r/R)*r*f(r),r,0,R);
AI2:subst([\nu=0,p=0],AI1);
D1:D='integrate('integrate(f(r)*r,
\theta,0,2*pi),r,0,R)/%pi/R^2;
D2:ev(% ,integrate);
FX3:f(r)=(1);
D=(2*integrate(r,r,0,R/2))/R^2;
D3:subst([FX3,R=1],%);
subst([AI2],AN62);
AN63:u=D+sum(rhs(%),i,1,inf);
CG5:subst([\alpha[n]=\alpha[i]],CG4);
2/R^2*(bessel_j(0,(alpha[i]*r)/R)*
integrate(bessel_j(0,(alpha[i]*r)/R)*r
*f(r),r,0,R/2)*%e^(-(alpha[i]^2*t
*C^2)/R^2))/bessel_j(0,alpha[i])^2;
FX61:2/R^2*(bessel_j(0,(alpha[i]*r)/R)*
integrate(CG5*r*f(r),r,0,R/2)*
%e^(-(alpha[i]^2*t*C^2)/R^2))/
bessel_j(0,alpha[i])^2;
FX62:subst([R=1,f(r)=1],%);
    
```

$u$  は温度で  $r, \theta, t$  の関数であり、 $t$  は時間を表す。 $x-y$  座標と円柱  $(r-\theta)$  座標の関係を図 4.5.1、164 頁に示す円柱の半径： $R$  で、中実で軸対称とすると、(10.12.25) 式で  $r=0$  で有解であるためには  $\%d2=0, \%d1=1$ 、軸対称のためには  $n=0$  でなければならない。

$$u = \text{bessel\_j}(0, rK) \%k2 e^{-tC^2 K^2}$$

端部境界： $r=R$  で断熱条件： $\frac{d}{dr}u=0$  とすると、

$$\frac{d}{dr}u = -\text{bessel\_j}(1, RK) \%k2 K e^{-tC^2 K^2} = 0 \tag{10.12.32}$$

上式が常に成り立つ境界条件は、

$$\text{bessel\_j}(1, RK) = 0$$

上式を満足する  $i$  番目の根： $\alpha_i$  を導入する。

$$KR = \alpha_i, \quad K = \frac{\alpha_i}{R}$$

$\%k2 \rightarrow A_{in}$  に置き換えて、級数の形にすると、

$$u = \sum_{i=1}^{\infty} \text{bessel\_j}\left(0, \frac{\alpha_i r}{R}\right) A_i e^{-\frac{\alpha_i^2 t C^2}{R^2}} \tag{10.12.33}$$

上記の級数式と境界条件から、ディニ (Dini) 展開で、それを以下に示す。(7.1.22) 式、368 頁から、境界条件が次式で、 $p=0$  の場合に相当し、

$$\left(\frac{d}{dx} \text{bessel\_j}(\nu, x)\right) x + \text{bessel\_j}(\nu, x) p = 0 \tag{10.12.34}$$

上式の  $n$  番目の根： $\alpha_n$  とする。級数展開式は、(7.1.23) 式から、

$$f(x) = \sum_{n=1}^{\infty} B_n \text{bessel\_j}\left(\nu, \frac{\alpha_n x}{L}\right) \tag{10.12.35}$$

ここで、係数は、(7.1.24) 式から、

$$B_n = \frac{2\alpha_n^2}{\text{bessel\_j}(\nu, \alpha_n)^2 (p^2 - \nu^2 + \alpha_n^2) L^2} \times \int_0^L \text{bessel\_j}\left(\nu, \frac{\alpha_n x}{L}\right) x f(x) dx \tag{10.12.36}$$

いま、初期状態： $t=0$  で  $u=f(r)$  とすると、係数は上記のディニ (Dini) 展開の関係式から、

$$A_i = \frac{2\alpha_i^2 \int_0^R \text{bessel\_j}\left(\nu, \frac{\alpha_i r}{R}\right) r f(r) dr}{\text{bessel\_j}(\nu, \alpha_i)^2 (p^2 - \nu^2 + \alpha_i^2) R^2}$$

ここで境界条件等から  $p=0, \nu=0$  であるから、

$$A_i = \frac{2 \int_0^R \text{bessel\_j}\left(0, \frac{\alpha_i r}{R}\right) r f(r) dr}{\text{bessel\_j}(0, \alpha_i)^2 R^2} \tag{10.12.37}$$

また、熱量は保存されるので、熱量： $D$  は、

$$D = \frac{1}{\pi R^2} \int_0^R \int_0^{2\pi} r f(r) d\theta dr = \frac{2}{R^2} \int_0^R r f(r) dr \tag{10.12.38}$$

上記の  $D$  を考慮すると、(10.12.33) 式は、下記となり、(10.12.37) 式から、

$$u = D + \sum_{i=1}^{\infty} \text{bessel\_j}\left(0, \frac{\alpha_i r}{R}\right) A_i e^{-\frac{\alpha_i^2 t C^2}{R^2}} = \frac{2}{R^2} \sum_{i=1}^{\infty} \frac{\text{bessel\_j}\left(0, \frac{\alpha_i r}{R}\right)}{\text{bessel\_j}(0, \alpha_i)^2} \times \int_0^R \text{bessel\_j}\left(0, \frac{\alpha_i r}{R}\right) r f(r) dr e^{-\frac{\alpha_i^2 t C^2}{R^2}} + \frac{2}{R^2} \int_0^R r f(r) dr \tag{10.12.39}$$

ここでベッセル関数を以下の (7.1.20) 式の関数近似を使用する。

$$\text{bessel}_j(\nu, x) = \frac{x^\nu}{2^\nu} \sum_{i=0}^{\infty} \frac{(-1)^i x^{2i}}{2^{2i} i! \Gamma(\nu + i + 1)}$$

$x \approx 35$  以上で数値計算の限界で値が得られていないので、 $n = 1 \rightarrow 10$  の範囲で計算する。 $R = 1, C = 0.15$  で、 $f(r)$  として、

$$f(r) = 1 \quad 0 < r < 0.5, \quad f(r) = 0 \quad 0.5 < r < 1$$

計算結果を以下に示す。

```
LI1: [\nu=1];
LI2: [t=0, C=0.15];
subst([LI1], FX62);
FX63: subst([LI2], %);
BS1: rhs(D3);
for N:1 thru 10 do(
m:N,
AL1: subst([LI1], (2*%pi*\nu+4*%pi*m-%pi)/4),
AL2: subst([LI1], (2*%pi*\nu+4*%pi*(m+1)-%pi)/4),
DX1: (AL2-AL1)/4,
X1: AL1-DX1,
X2: AL1+DX1,
AL3: find_root(subst([LI1], bessel_j(\nu, x)),
x, X1, X2),
BS1: BS1+subst([\alpha[i]=AL3], FX63);
ev(BS1, sum);
PL1: ev(%, integrate);
plot2d([PL1, PL2, PL3, PL4, PL5, PL6, PL7],
[r, 0, 1], [legend, "t=0", "t=0.2s", "t=0.5s",
"t=1s", "t=2s", "t=5s", "t=20s"], [style,
[lines, 3, 1], [lines, 3, 2], [lines, 3, 3],
[lines, 3, 4], [lines, 3, 5], [lines, 3, 6],
[lines, 3, 7]]);
```

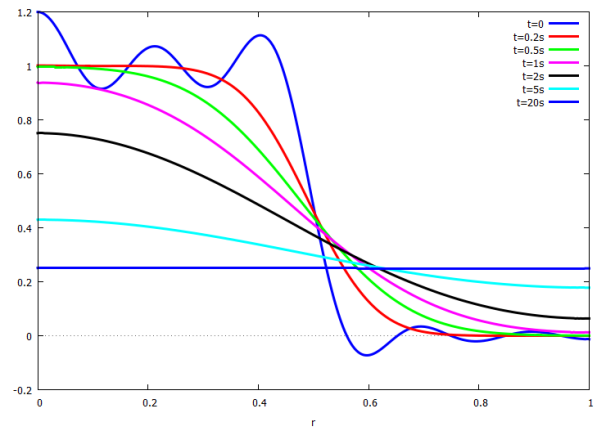


図 10.12.6: 円柱体の軸対称熱伝導境界値問題 (表面断熱)

## 10.13 三次元熱伝導の方程式

### 10.13.1 極座標における三次元熱伝導方程式

熱伝導方程式は次式となり、

$$\frac{d}{dt} u = \nabla^2 u$$

図 4.5.2、169 頁に示す極座標  $r - \theta - \phi$  の三次元熱伝導方程式は (4.5.31) 式、176 頁から次式で表現できる。

$$\frac{d}{dt} u = \left( \frac{\frac{d^2}{d\theta^2} u}{r^2} + \frac{\cos(\theta) \left( \frac{d}{d\theta} u \right)}{r^2 \sin(\theta)} + \frac{d^2}{dr^2} u + \frac{2 \left( \frac{d}{dr} u \right)}{r} + \frac{\frac{d^2}{d\phi^2} u}{r^2 \sin^2(\theta)} \right) C^2 \quad (10.13.1)$$

```
kill(all);
depends(u, [t, r, \theta, \phi]);
depends(h, [r, \theta, \phi]);
depends(z, [t]);
assume(K>0);
assume(n>0);
assume(m>0);
assume(C>0);
assume(r>0);
declare(m, integer);
declare(n, integer);
EQ1: 'diff(u, \theta, 2)/r^2 + (cos(\theta) *
'diff(u, \theta, 1))/(r^2 * sin(\theta)) +
'diff(u, r, 2) + (2 * ('diff(u, r, 1)))/r + 'diff(u,
\phi, 2)/(r^2 * sin(\theta)^2) + K^2 * u = 0;
EQ5: diff(u, t, 1) = C^2 * (lhs(EQ1)
-first(lhs(EQ1)));
```

```
TR5: u = h * z;
subst([TR5], EQ5);
ev(%, diff);
EQ51: expand(%/C^2/h/z);
EQ52: lhs(EQ51) = -K^2;
EQ53: rhs(EQ51) = -K^2;
EQ54: expand((EQ53 + K^2) * h);
U3: u = sum(bessel_j((2*n+1)/2, r*K) * ((sum(
B[m, n] * sin(m*phi) * P[m, n](cos(theta)) +
A[m, n] * cos(m*phi) * P[m, n](cos(theta)), m, 1,
n)) + A[0, n] * P[n](cos(theta))), n,
1, inf) / sqrt(r);
K3: K = alpha[n, i];
ode2(EQ52, z, t);
rhs(%) * rhs(U3);
subst([K3, %c=1], %);
AN1: u = sum(%, i, 1, inf);
```

ここで、 $u$  は  $t, r, \theta, \phi$  の関数であり、下記のように変数分離できるとして、 $z$  は時間  $t$  の関数、 $h$  は  $r, \theta, \phi$  の関数とする。

$$u = h z$$

(10.13.1) 式に上式を代入し、微分を実行し、整理すると、

$$h \left( \frac{d}{dt} z \right) = \left( \frac{\left( \frac{d}{d\theta} h \right) \cos(\theta) z}{r^2 \sin(\theta)} + \frac{\left( \frac{d^2}{d\phi^2} h \right) z}{r^2 \sin^2(\theta)} + \frac{2 \left( \frac{d}{dr} h \right) z}{r} + \frac{\left( \frac{d^2}{d\theta^2} h \right) z}{r^2} + \left( \frac{d^2}{dr^2} h \right) z \right) C^2$$

上式を変形し、

$$\frac{\frac{d}{dt} z}{z C^2} = \frac{\left( \frac{d}{d\theta} h \right) \cos(\theta)}{h r^2 \sin(\theta)} + \frac{\frac{d^2}{d\phi^2} h}{h r^2 \sin^2(\theta)} + \frac{2 \left( \frac{d}{dr} h \right)}{h r} + \frac{\frac{d^2}{d\theta^2} h}{h r^2} + \frac{\frac{d^2}{dr^2} h}{h}$$

上式を  $-K^2$  と置く。

$$\frac{\frac{d}{dt} z}{z C^2} = -K^2 \quad (10.13.2)$$

$$\frac{\left( \frac{d}{d\theta} h \right) \cos(\theta)}{h r^2 \sin(\theta)} + \frac{\frac{d^2}{d\phi^2} h}{h r^2 \sin^2(\theta)} + \frac{2 \left( \frac{d}{dr} h \right)}{h r} + \frac{\frac{d^2}{d\theta^2} h}{h r^2} + \frac{\frac{d^2}{dr^2} h}{h} = -K^2 \quad (10.13.3)$$

(10.13.3) 式を変形し、

$$h K^2 + \frac{\left( \frac{d}{d\theta} h \right) \cos(\theta)}{r^2 \sin(\theta)} + \frac{\frac{d^2}{d\phi^2} h}{r^2 \sin^2(\theta)} + \frac{2 \left( \frac{d}{dr} h \right)}{r} + \frac{\frac{d^2}{d\theta^2} h}{r^2} + \frac{\frac{d^2}{dr^2} h}{dr^2} h = 0$$

上式は (10.7.1) 式の三次元ヘルムホルツの方程式であり、その解は (10.7.16) 式から次式となる。

$$h = \frac{1}{\sqrt{r}} \sum_{n=1}^{\infty} \text{bessel\_j} \left( \frac{2n+1}{2}, rK \right) \left( \left( \sum_{m=1}^n B_{m,n} \sin(m\phi) P_{m,n}(\cos(\theta)) + A_{m,n} \cos(m\phi) P_{m,n}(\cos(\theta)) \right) + A_{0,n} P_n(\cos(\theta)) \right) \quad (10.13.4)$$

(10.13.2) 式の解は ode2 関数で得られ、

$$z = \%_0 c e^{-t C^2 K^2} \quad (10.13.5)$$

境界:  $r = R$  で  $u = 0$  とすると、次式の条件となり、

$$\text{bessel\_j} \left( \frac{2n+1}{2}, KR \right) = 0$$

上式が成り立つ根:  $K$  を求め、その  $i$  番目の根を  $\alpha_{n,i}$  とする。

$$K = \alpha_{n,i}$$

上式の関係と (10.13.4) 式と (10.13.5) 式から、解:  $u$  は、

$$u = \frac{1}{\sqrt{r}} \sum_{i=1}^{\infty} \left( \sum_{n=1}^{\infty} \text{bessel\_j} \left( \frac{2n+1}{2}, \alpha_{n,i} r \right) \left( \left( \sum_{m=1}^n B_{m,n} \sin(m\phi) P_{m,n}(\cos(\theta)) + A_{m,n} \cos(m\phi) P_{m,n}(\cos(\theta)) \right) + A_{0,n} P_n(\cos(\theta)) \right) \right) e^{-\alpha_{n,i}^2 t C^2} \quad (10.13.6)$$

```

FI1:f(r,s,\phi)=subst([t=0,n=k,m=j,i=1,cos(\theta)=s],rhs(AN1));
BJ:bessel_j((2*k+1)/2,(alpha[k,1]*r));
SJ:sin(j*phi);
CJ:cos(j*phi);
PJ:P[j,k](s);
FI2L:'integrate(lhs(FI1)*cos(m*\phi),\phi,-%pi,%pi);
FI2R1:sum(sum(sum('integrate(BJ/sqrt(r)*B[j,k]*SJ*PJ*cos(m*\phi),\phi,-%pi,%pi),j,1,k),k,1,inf),l,1,inf);
FI2R2:sum(sum(sum('integrate(BJ/sqrt(r)*A[j,k]*CJ*PJ*cos(m*\phi),\phi,-%pi,%pi),j,1,k),k,1,inf),l,1,inf);
FI2R3:sum(sum(('integrate(BJ/sqrt(r)*A[0,k]*P[k](s)*cos(m*\phi),\phi,-%pi,%pi)),k,1,inf),l,1,inf);
FI2:FI2L=FI2R1+FI2R2+FI2R3;
FI2R21:sum(sum(sum('integrate(BJ/sqrt(r)*A[j,k]*CJ*PJ*cos(m*\phi),\phi,-%pi,%pi),j,m,m),k,1,inf),l,1,inf);
ev(%integrate);
FI2L=%;
FI3L:'integrate('integrate(lhs(FI1)*cos(m*\phi)*P[m,n](s),\phi,-%pi,%pi),s,-1,1);
FI3R:sum(sum('integrate(%pi*BJ/sqrt(r)*A[m,k]*P[m,k](s)*P[m,n](s),s,-1,1),k,1,inf),l,1,inf);
FI3R:sum(sum('integrate(%pi*BJ/sqrt(r)*A[m,k]*P[m,k](s)*P[m,n](s),s,-1,1),k,n,n),l,1,inf);
subst(['integrate(P[m,n](s)^2,s,-1,1)=2*(n+m)!/(2*n+1)/(n-m)!],%);
FI3L=%;
BJ1:subst([l=i,k=n],BJ);

```

```

FI4L: 'integrate('integrate('integrate(lhs(FI1)*cos(m*\phi)*P[m,n](s)*%r*sqrt(r),
\phi, -%pi, %pi), s, -1, 1), r, 0, R);
FI4R: 2*%pi*A[m,n]*(n+m)!*sum('integrate(bessel_j((2*n+1)/2, (alpha[n,1]*r))*BJ1
*r, r, 0, R), 1, 1, inf)/((2*n+1)*(n-m)!);
2*%pi*A[m,n]*(n+m)!*sum('integrate(bessel_j((2*n+1)/2, (alpha[n,1]*r))*BJ1
*r, r, 0, R), 1, i, i)/((2*n+1)*(n-m)!);
subst(['integrate(bessel_j((2*n+1)/2, (alpha[n,i]*r))^2*r, r, 0, R)=bessel_j(n+1/2+1,
(alpha[n,i]*R)^2*R^2/2], %);
FI5: FI4L=%;
ANM1: factor(solve(%A[m,n])[1]);
ANM2: A[m,n]=((2*n+1)*(n-m)!*'integrate(bessel_j((2*n+1)/2, alpha[n,i]*r)*r^(3/2)
*'integrate('integrate(cos(m*\phi)*f(r, \theta, \phi), \phi, -%pi, %pi)*P[m,n](
cos(\theta))*sin(\theta), \theta, 0, %pi), r, 0, R))/(%pi*(n+m)!*bessel_j(
(2*n+3)/2, alpha[n,i]*R)^2*R^2);
BMN1: subst([A[m,n]=B[m,n], cos(m*\phi)=sin(m*\phi)], ANM1);
BMN2: subst([A[m,n]=B[m,n], cos(m*\phi)=sin(m*\phi)], ANM2);

```

いま、 $t = 0$  の時の初期値： $f(r, \theta, \phi)$  とする。(10.13.6) 式に  $t = 0, i \rightarrow l, n \rightarrow k, m \rightarrow j, \cos(\theta) \rightarrow s$  に置いて、

$$f(r, s, \phi) = \frac{1}{\sqrt{r}} \sum_{l=1}^{\infty} \sum_{k=1}^{\infty} \text{bessel\_j} \left( \frac{2k+1}{2}, \alpha_{k,l} r \right) \left( \left( \sum_{j=1}^k B_{j,k} \sin(j\phi) P_{j,k}(s) + A_{j,k} \cos(j\phi) P_{j,k}(s) \right) + A_{0,k} P_k(s) \right)$$

上式の両辺に  $\cos(m\phi)$  を掛け、 $\phi$  で積分して、 $m = j$  のみ値を持ち、

$$\begin{aligned} & \int_{-\pi}^{\pi} \cos(m\phi) f(r, s, \phi) d\phi \\ &= \frac{1}{\sqrt{r}} \sum_{l=1}^{\infty} \sum_{k=1}^{\infty} \text{bessel\_j} \left( \frac{2k+1}{2}, \alpha_{k,l} r \right) \sum_{j=1}^k B_{j,k} \int_{-\pi}^{\pi} \sin(j\phi) \cos(m\phi) d\phi P_{j,k}(s) \\ &+ \frac{1}{\sqrt{r}} \sum_{l=1}^{\infty} \sum_{k=1}^{\infty} \text{bessel\_j} \left( \frac{2k+1}{2}, \alpha_{k,l} r \right) \sum_{j=1}^k A_{j,k} \int_{-\pi}^{\pi} \cos(j\phi) \cos(m\phi) d\phi P_{j,k}(s) \\ &+ \frac{1}{\sqrt{r}} \int_{-\pi}^{\pi} \cos(m\phi) d\phi \sum_{l=1}^{\infty} \sum_{k=1}^{\infty} A_{0,k} \text{bessel\_j} \left( \frac{2k+1}{2}, \alpha_{k,l} r \right) P_k(s) \\ &= \frac{1}{\sqrt{r}} \int_{-\pi}^{\pi} \cos(m\phi)^2 d\phi \sum_{l=1}^{\infty} \sum_{k=1}^{\infty} \text{bessel\_j} \left( \frac{2k+1}{2}, \alpha_{k,l} r \right) A_{m,k} P_{m,k}(s) \\ &= \frac{1}{\sqrt{r}} \pi \sum_{l=1}^{\infty} \sum_{k=1}^{\infty} \text{bessel\_j} \left( \frac{2k+1}{2}, \alpha_{k,l} r \right) A_{m,k} P_{m,k}(s) \end{aligned} \tag{10.13.7}$$

上式の両辺に  $P_{m,n}(s)$  を掛け、 $s$  で積分して、(7.2.22) 式から  $n = k$  のみ値を持ち、(7.2.43) 式から

$$\begin{aligned} & \int_{-1}^1 \int_{-\pi}^{\pi} \cos(m\phi) f(r, s, \phi) d\phi P_{m,n}(s) ds \\ &= \frac{1}{\sqrt{r}} \pi \sum_{l=1}^{\infty} \sum_{k=1}^{\infty} \text{bessel\_j} \left( \frac{2k+1}{2}, \alpha_{k,l} r \right) A_{m,k} \int_{-1}^1 P_{m,k}(s) P_{m,n}(s) ds \\ &= \frac{1}{\sqrt{r}} \pi A_{m,n} \left( \sum_{l=1}^{\infty} \text{bessel\_j} \left( \frac{2n+1}{2}, \alpha_{n,l} r \right) \right) \int_{-1}^1 P_{m,n}(s)^2 ds \\ &= \frac{2\pi A_{m,n} (n+m)!}{(2n+1)(n-m)! \sqrt{r}} \sum_{l=1}^{\infty} \text{bessel\_j} \left( \frac{2n+1}{2}, \alpha_{n,l} r \right) \end{aligned}$$

上式の両辺に  $\text{bessel\_j}\left(\frac{2n+1}{2}, \alpha_{n,i} r\right) r^{\frac{3}{2}}$  を掛け、 $r$  で積分して、(7.1.11) 式から  $i = l$  のみ値を持ち、(7.1.17) 式から

$$\begin{aligned} & \int_0^R \text{bessel\_j}\left(\frac{2n+1}{2}, \alpha_{n,i} r\right) r^{\frac{3}{2}} \int_{-1}^1 \int_{-\pi}^{\pi} \cos(m\phi) f(r, s, \phi) d\phi P_{m,n}(s) ds dr \\ &= \frac{2\pi A_{m,n} (n+m)!}{(2n+1)(n-m)!} \sum_{l=1}^{\infty} \int_0^R \text{bessel\_j}\left(\frac{2n+1}{2}, \alpha_{n,i} r\right) \text{bessel\_j}\left(\frac{2n+1}{2}, \alpha_{n,l} r\right) r dr \\ &= \frac{2\pi A_{m,n} (n+m)!}{(2n+1)(n-m)!} \int_0^R \text{bessel\_j}\left(\frac{2n+1}{2}, \alpha_{n,i} r\right)^2 r dr \\ &= \frac{\pi A_{m,n} \text{bessel\_j}\left(n + \frac{3}{2}, \alpha_{n,i} R\right)^2 (n+m)! R^2}{(2n+1)(n-m)!} \end{aligned}$$

上式から、 $A_{m,n}$  を求めると、

$$\begin{aligned} A_{m,n} &= \frac{(2n+1)(n-m)!}{\pi (n+m)! \text{bessel\_j}\left(\frac{2n+3}{2}, \alpha_{n,i} R\right)^2 R^2} \\ &\quad \times \int_0^R \text{bessel\_j}\left(\frac{2n+1}{2}, \alpha_{n,i} r\right) r^{\frac{3}{2}} \int_{-1}^1 \int_{-\pi}^{\pi} \cos(m\phi) f(r, s, \phi) d\phi P_{m,n}(s) ds dr \end{aligned}$$

上式で、 $s \rightarrow \cos(\theta)$  に置き換えると、

$$\begin{aligned} A_{m,n} &= \frac{(2n+1)(n-m)!}{\pi (n+m)! \text{bessel\_j}\left(\frac{2n+3}{2}, \alpha_{n,i} R\right)^2 R^2} \\ &\quad \times \int_0^R \text{bessel\_j}\left(\frac{2n+1}{2}, \alpha_{n,i} r\right) r^{\frac{3}{2}} \int_0^{\pi} \int_{-\pi}^{\pi} \cos(m\phi) f(r, \theta, \phi) d\phi \sin(\theta) P_{m,n}(\cos(\theta)) d\theta dr \end{aligned} \quad (10.13.8)$$

上式と同様に  $B_{m,n}$  を求めると、

$$\begin{aligned} B_{m,n} &= \frac{(2n+1)(n-m)!}{\pi (n+m)! \text{bessel\_j}\left(\frac{2n+3}{2}, \alpha_{n,i} R\right)^2 R^2} \\ &\quad \times \int_0^R \text{bessel\_j}\left(\frac{2n+1}{2}, \alpha_{n,i} r\right) r^{\frac{3}{2}} \int_0^{\pi} \int_{-\pi}^{\pi} \sin(m\phi) f(r, \theta, \phi) d\phi \sin(\theta) P_{m,n}(\cos(\theta)) d\theta dr \end{aligned} \quad (10.13.9)$$

```

subst([m=0],FI2);
ev(% ,integrate);
FI6L:'integrate('integrate(f(r,s,phi)*P[n](s),phi,-%pi,%pi),s,-1,1);
(2*%pi*sum(sum('integrate(A[0,k]*bessel_j((2*k+1)/2,(alpha[k,1]*r))*P[k](s)*P[n](s)
,s,-1,1),k,1,inf),1,1,inf))/sqrt(r);
(2*%pi*sum(sum('integrate(A[0,k]*bessel_j((2*k+1)/2,(alpha[k,1]*r))*P[k](s)*P[n](s)
,s,-1,1),k,n,n),1,1,inf))/sqrt(r);
subst(['integrate(P[n](s)^2,s,-1,1)=2/(2*n+1)],%);
FI6L=%;
FI7L:'integrate('integrate('integrate(f(r,s,phi)*P[n](s)*BJ1*r*sqrt(r),phi,-%pi,%pi)
,s,-1,1),r,0,R);
(4*%pi*A[0,n]*sum('integrate(bessel_j((2*n+1)/2,(alpha[n,1]*r))*BJ1*r,r,0,R),1,1,inf)
)/((2*n+1));
(4*%pi*A[0,n]*sum('integrate(bessel_j((2*n+1)/2,(alpha[n,1]*r))*BJ1*r,r,0,R),1,i,i)
)/((2*n+1));
subst(['integrate(bessel_j((2*n+1)/2,(alpha[n,i]*r))^2*r,r,0,R)=bessel_j(n+1/2+1,
(alpha[n,i]*R))^2*R^2/2],%);

```



```

FI7L=%;
factor(solve(%,A[0,n])[1]);
A[0,n]=((2*n+1)*'integrate(bessel_j((2*n+1)/2,alpha[n,i]*r)*r^(3/2)*'integrate(
' integrate(f(r,\theta,phi),phi,-%pi,%pi)*P[n](cos(\theta))*sin(\theta),
\theta,0,%pi),r,0,R))/(2*%pi*bessel_j((2*n+3)/2,alpha[n,i]*R)^2*R^2);

```

(10.13.7) 式で  $m = 0$  とすると、

$$\begin{aligned}
\int_{-\pi}^{\pi} f(r, s, \phi) d\phi &= \frac{1}{\sqrt{r}} \sum_{l=1}^{\infty} \sum_{k=1}^{\infty} \text{bessel\_j} \left( \frac{2k+1}{2}, \alpha_{k,l} r \right) \sum_{j=1}^k B_{j,k} \int_{-\pi}^{\pi} \sin(j\phi) d\phi P_{j,k}(s) \\
&+ \frac{1}{\sqrt{r}} \sum_{l=1}^{\infty} \sum_{k=1}^{\infty} \text{bessel\_j} \left( \frac{2k+1}{2}, \alpha_{k,l} r \right) \sum_{j=1}^k A_{j,k} \int_{-\pi}^{\pi} \cos(j\phi) d\phi P_{j,k}(s) \\
&+ \frac{2\pi}{\sqrt{r}} \sum_{l=1}^{\infty} \sum_{k=1}^{\infty} A_{0,k} \text{bessel\_j} \left( \frac{2k+1}{2}, \alpha_{k,l} r \right) P_k(s)
\end{aligned}$$

上式の両辺に  $P_n(s)$  を掛け、 $s$  で積分して、(7.2.8) 式から  $k = n$  のみ値を持ち、(7.2.17) 式から

$$\begin{aligned}
\int_{-1}^1 \int_{-\pi}^{\pi} f(r, s, \phi) d\phi P_n(s) ds &= \frac{2\pi}{\sqrt{r}} \sum_{l=1}^{\infty} \sum_{k=1}^{\infty} A_{0,k} \text{bessel\_j} \left( \frac{2k+1}{2}, \alpha_{k,l} r \right) \int_{-1}^1 P_k(s) P_n(s) ds \\
&= \frac{2\pi}{\sqrt{r}} A_{0,n} \left( \sum_{l=1}^{\infty} \text{bessel\_j} \left( \frac{2n+1}{2}, \alpha_{n,l} r \right) \right) \int_{-1}^1 P_n(s)^2 ds \\
&= \frac{4\pi A_{0,n}}{(2n+1)\sqrt{r}} \sum_{l=1}^{\infty} \text{bessel\_j} \left( \frac{2n+1}{2}, \alpha_{n,l} r \right)
\end{aligned}$$

上式の両辺に  $\text{bessel\_j} \left( \frac{2n+1}{2}, \alpha_{n,i} r \right) r^{\frac{3}{2}}$  を掛け、 $r$  で積分して、(7.1.11) 式から  $l = i$  のみ値を持ち、(7.1.17) 式から

$$\begin{aligned}
&\int_0^R \text{bessel\_j} \left( \frac{2n+1}{2}, \alpha_{n,i} r \right) r^{\frac{3}{2}} \int_{-1}^1 \int_{-\pi}^{\pi} f(r, s, \phi) d\phi P_n(s) ds dr \\
&= \frac{4\pi}{2n+1} A_{0,n} \sum_{l=1}^{\infty} \int_0^R \text{bessel\_j} \left( \frac{2n+1}{2}, \alpha_{n,i} r \right) \text{bessel\_j} \left( \frac{2n+1}{2}, \alpha_{n,l} r \right) r dr \\
&= \frac{4\pi}{2n+1} A_{0,n} \int_0^R \text{bessel\_j} \left( \frac{2n+1}{2}, \alpha_{n,i} r \right)^2 r dr \\
&= \frac{2\pi}{2n+1} A_{0,n} \text{bessel\_j} \left( n + \frac{3}{2}, \alpha_{n,i} R \right)^2 R^2
\end{aligned}$$

上式から、 $A_{0,n}$  を求めると、

$$A_{0,n} = \frac{(2n+1)}{2\pi \text{bessel\_j} \left( \frac{2n+3}{2}, \alpha_{n,i} R \right)^2 R^2} \int_0^R \text{bessel\_j} \left( \frac{2n+1}{2}, \alpha_{n,i} r \right) r^{\frac{3}{2}} \int_{-1}^1 \int_{-\pi}^{\pi} f(r, s, \phi) d\phi P_n(s) ds dr$$

上式で、 $s \rightarrow \cos(\theta)$  に置き換えると、

$$\begin{aligned}
A_{0,n} &= \frac{(2n+1)}{2\pi \text{bessel\_j} \left( \frac{2n+3}{2}, \alpha_{n,i} R \right)^2 R^2} \\
&\times \int_0^R \text{bessel\_j} \left( \frac{2n+1}{2}, \alpha_{n,i} r \right) r^{\frac{3}{2}} \int_0^{\pi} \int_{-\pi}^{\pi} f(r, \theta, \phi) d\phi \sin(\theta) P_n(\cos(\theta)) d\theta dr
\end{aligned} \tag{10.13.10}$$

$t = 0$  の時の初期値  $f(r, \theta, \phi)$  を与え、(10.13.8) 式、(10.13.9) 式、(10.13.10) 式から  $A_{m,n}, B_{m,n}, A_{0,n}$  を求め、(10.13.6) 式に代入すると、熱伝導状態が得られる。

## 第11章 積分方程式

積分方程式は未知の関数を含んだ積分がある関数方程式である。ここでは「近藤次郎：積分方程式とその応用<sup>12)</sup>」を主に参考にした。

### 11.1 積分方程式の種類

```
kill(all);
assume(t>0);
IE1: integrate(k(t, \xi)*x(\xi), \xi, a, b)=
  f(t);
IE2: x(t)-\alpha*integrate(k(t, \xi)*x(\xi),
  \xi, a, b)=f(t);
IE3: x(t)-\alpha*integrate(k(t, \xi)*x(\xi),
  \xi, a, b)=0;
IE4: integrate(k(t, \xi)*x(\xi), \xi, a, t)=
  f(t);
IE5: x(t)-\alpha*integrate(k(t, \xi)*x(\xi),
  \xi, a, t)=f(t);
IE6: x(t)-\alpha*integrate(k(t, \xi)*x(\xi),
  \xi, a, t)=0;
```

既知関数： $f(t)$ 、既知関数： $k(t, \xi)$ 、パラメタ： $\alpha$ 、未知関数： $x(\xi)$  とする。積分方程式として下記のように分類できる。

フレドホルム型第1種積分方程式：

$$\int_a^b k(t, \xi) x(\xi) d\xi = f(t) \quad (11.1.1)$$

フレドホルム型第2種積分方程式：

$$x(t) - \alpha \int_a^b k(t, \xi) x(\xi) d\xi = f(t) \quad (11.1.2)$$

フレドホルム型同次積分方程式：

$$x(t) - \alpha \int_a^b k(t, \xi) x(\xi) d\xi = 0 \quad (11.1.3)$$

ボルテラ型第1種積分方程式：

$$\int_a^t k(t, \xi) x(\xi) d\xi = f(t) \quad (11.1.4)$$

ボルテラ型第2種積分方程式：

$$x(t) - \alpha \int_a^t k(t, \xi) x(\xi) d\xi = f(t) \quad (11.1.5)$$

ボルテラ型同次積分方程式：

$$x(t) - \alpha \int_a^t k(t, \xi) x(\xi) d\xi = 0 \quad (11.1.6)$$

## 11.2 ボルテラ型積分方程式

### 11.2.1 ボルテラ型第二種積分方程式の解法（級数）

既知関数： $f(t)$ 、既知関数： $K(t, \xi)$ 、未知関数： $x(t)$ とする。下記のボルテラ型第二種積分方程式の解法を下記に示す。

$$x(t) - \int_0^t K(t, \xi) x(\xi) d\xi = f(t) \quad (11.2.1)$$

```
kill(all);
assume(t>0);
assume(\tau>0);
IE1:x(t)-'integrate(K(t,\xi)*x(\xi),
\xi,0,t)=f(t);
IE2:x(t)=f(t)-'integrate(G(t,\xi)*f(\xi),
\xi,0,t);
G1:G(t,\xi)=-sum(k[n](t,\xi),n,1,inf);
K1:k[1](t,\xi)=K(t,\xi);
```

```
K2:k[2](t,\xi)=integrate(K(t,\tau)
*k[1](\tau,\xi),\tau,\xi,t);
K21:subst([\tau=\tau[2],t=\tau[1]],K2);
K3:k[3](t,\xi)=integrate(K(t,\tau)
*k[2](\tau,\xi),\tau,\xi,t);
subst([\tau=\tau[1]],K3);
subst([K21],%);
K31:subst([\tau[2]=\tau[3],\tau[1]
=\tau[2],t=\tau[1]],%);
K4:k[4](t,\xi)=integrate(K(t,\tau)
*k[3](\tau,\xi),\tau,\xi,t);
subst([\tau=\tau[1]],K4);
subst([K31],%);
KN:k[n](t,\xi)=integrate(K(t,\tau)
*k[n-1](\tau,\xi),\tau,\xi,t);
```

下記の級数を重複核という。

$$\begin{aligned} k_1(t, \xi) &= K(t, \xi) \\ k_2(t, \xi) &= \int_{\xi}^t K(t, \tau) k_1(\tau, \xi) d\tau \\ k_3(t, \xi) &= \int_{\xi}^t K(t, \tau) k_2(\tau, \xi) d\tau \\ &= \int_{\xi}^t \int_{\xi}^{\tau_1} K(\tau_1, \tau_2) k_1(\tau_2, \xi) d\tau_2 K(t, \tau_1) d\tau_1 \\ k_4(t, \xi) &= \int_{\xi}^t K(t, \tau) k_3(\tau, \xi) d\tau \\ &= \int_{\xi}^t \int_{\xi}^{\tau_1} K(\tau_1, \tau_2) \int_{\xi}^{\tau_2} K(\tau_2, \tau_3) k_1(\tau_3, \xi) d\tau_3 d\tau_2 K(t, \tau_1) d\tau_1 \end{aligned}$$

上記から重複核は、

$$k_n(t, \xi) = \int_{\xi}^t K(t, \tau) k_{n-1}(\tau, \xi) d\tau \quad (11.2.2)$$

上式から解の核は、

$$G(t, \xi) = - \sum_{n=1}^{\infty} k_n(t, \xi) \quad (11.2.3)$$

積分方程式の解は、

$$x(t) = f(t) - \int_0^t G(t, \xi) f(\xi) d\xi \quad (11.2.4)$$

11.2.2 合成型積分方程式の解法（ラプラス変換）

既知関数 :  $f(t)$ 、既知関数 :  $k(t - \xi)$ 、未知関数 :  $x(t)$  とする。下記の積分方程式を合成型積分方程式という。

$$x(t) - \int_0^t k(t - \xi) x(\xi) d\xi = f(t) \quad (11.2.5)$$

上式の左辺第 2 項は (8.1.21) 式、395 頁のインパルス応答関数の形をしており、(8.1.21) 式をラプラス変換すると (8.1.22) 式となる。

```
kill(all);
assume(t>0);
IE1:x(t)-integrate(k(t-\xi)*x(\xi),\xi,0,t)=f(t);
LR1:X(s)-K(s)*X(s)=F(s);
solve(LR1,X(s))[1];
X(s)=(F(s)*K(s))/(1-K(s))+F(s);
X(s)=F(s)-F(s)*G(s);
G1:G(s)=-K(s)/(1-K(s));
IE2:x(t)=f(t)-\integrate(g(t-\xi)*f(\xi),\xi,0,t);
```

$k(t - \xi) \rightarrow k(t)$  に置き換え、上式をラプラス変換すると、下記となる。

$$X(s) - K(s) X(s) = F(s)$$

ここで、 $\mathcal{L}[f(t)] = F(s)$ 、 $\mathcal{L}[x(t)] = X(s)$ 、 $\mathcal{L}[k(t)] = K(s)$

(11.2.6)

上式の  $X(s)$  を求め、変形すると、

$$X(s) = -\frac{F(s)}{K(s) - 1} = \frac{F(s) K(s)}{1 - K(s)} + F(s) \quad (11.2.7)$$

下記の関数 :  $G(s)$  を導入する。

$$G(s) = -\frac{K(s)}{1 - K(s)} \quad (11.2.8)$$

(11.2.7) 式に上式を代入すると、

$$X(s) = F(s) - G(s) F(s) \quad (11.2.9)$$

上式をラプラス逆変換して、 $\mathcal{L}[g(t)] = G(s)$  とすると、

$$x(t) = f(t) - \int_0^t g(t - \xi) f(\xi) d\xi \quad (11.2.10)$$

11.2.3 ボルテラ型第一種積分方程式の解法

既知関数 :  $f(t)$ 、既知関数 :  $k(t, \xi)$ 、未知関数 :  $x(t)$  とする。下記の積分方程式をボルテラ型第 1 種積分方程式という。

$$\int_0^t k(t, \xi) x(\xi) d\xi = f(t) \quad (11.2.11)$$

```
kill(all);
assume(t>0);
IE3:integrate(k(t,\xi)*x(\xi),\xi,0,t)=f(t);
diff(IE3,t,1);
%/k(t,t);
expand(%);
IX3:X(t)=integrate(x(\xi),\xi,0,t);
k(t,t)*X(t)-k(t,0)*X(0)-\integrate(diff(k(t,\xi),\xi,1)*X(\xi),\xi,0,t)=rhs(IE3);
subst([X(0)=0],%);
IEX3:expand(%/k(t,t));
first(lhs(IEX3)=rhs(IEX3)-integrate(G(t,\xi)*f(\xi)/k(\xi,\xi),\xi,0,t);
```

上式を  $t$  で微分して、

$$\int_0^t \left( \frac{d}{dt} k(t, \xi) \right) x(\xi) d\xi + x(t) k(t, t) = \frac{d}{dt} f(t)$$

$k(t, t) \neq 0$  なら、次式となり、第二種積分方程式が得られた。

$$\frac{\int_0^t \left( \frac{d}{dt} k(t, \xi) \right) x(\xi) d\xi}{k(t, t)} + x(t) = \frac{\frac{d}{dt} f(t)}{k(t, t)} \quad (11.2.12)$$

$X(t)$  を下記とし、

$$X(t) = \int_0^t x(\xi) d\xi \quad (11.2.13)$$

(11.2.11) 式を部分積分すると、

$$-\int_0^t \left( \frac{d}{d\xi} k(t, \xi) \right) X(\xi) d\xi + X(t) k(t, t) - X(0) k(t, 0) = f(t)$$

$X(0) = 0$  で  $k(t, t) \neq 0$  なら、

$$X(t) - \frac{\int_0^t \left( \frac{d}{d\xi} k(t, \xi) \right) X(\xi) d\xi}{k(t, t)} = \frac{f(t)}{k(t, t)}$$

上式から、下記の第二種積分方程式の解 :  $X(t)$  が得られ、 $x(\xi)$  は  $X(t)$  を微分して得られる。

$$X(t) = \frac{f(t)}{k(t, t)} - \int_0^t \frac{G(t, \xi) f(\xi)}{k(\xi, \xi)} d\xi \quad (11.2.14)$$

## 11.2.4 ボルテラ型第一種積分方程式 例 1

下記の積分方程式を解き、 $x(t)$  を求める。

$$\int_0^t \xi x(\xi) d\xi = (t-1)e^t + 1 \quad (11.2.15)$$

```
kill(all);
assume(t>0);
IE1:integrate(\xi*x(\xi),\xi,0,t)=(t-1)
*%e^t+1;
diff(%,t,1);
solve(%,x(t))[1];
```

(11.2.15) 式を微分し、

$$tx(t) = (t-1)e^t + e^t$$

$x(t)$  を求めると、

$$x(t) = e^t \quad (11.2.16)$$

## 11.2.5 ボルテラ型第二種積分方程式 例 1

下記の積分方程式を解き、 $x(t)$  を求める。

$$\int_0^t (-6\xi + 6t - 5)x(\xi) d\xi + x(t) = -t \quad (11.2.17)$$

```
kill(all);
assume(t>0);
IE1:x(t)+integrate((-6*\xi+6*t-5)*x(\xi),
\xi,0,t)=-t;
K1:k(t)=6*t-5;
KS1:K(s)=laplace(rhs(K1),t,s);
F1:f(t)=-t;
FS1:F(s)=laplace(rhs(F1),t,s);
X(s)+K(s)*X(s)=F(s);
subst([KS1,FS1],%);
solve(%,X(s))[1];
X1:x(t)=ilt(rhs(%,s,t);
X11:subst([t=\xi],%);
subst([X1,X11],IE1);
ev(%,integrate);
```

(11.2.17) 式は合成型積分方程式であるから、 $k(t-\xi) \rightarrow k(t)$  に置き換え、ラプラス変換して求める。(11.2.17) 式から、 $t-\xi \rightarrow t$  として、

$$k(t) = 6t - 5$$

$$f(t) = -t$$

上式をラプラス変換して、

$$\begin{aligned} \mathcal{L}[k(t)] = K(s) &= \frac{6}{s^2} - \frac{5}{s} \\ \mathcal{L}[f(t)] = F(s) &= -\frac{1}{s^2} \end{aligned} \quad (11.2.18)$$

(11.2.17) 式のラプラス変換は、

$$K(s)X(s) + X(s) = F(s)$$

上式に (11.2.18) 式を代入し、 $X(s)$  を求めると、

$$X(s) = -\frac{1}{s^2 - 5s + 6}$$

上式をラプラス逆変換して、

$$x(t) = e^{2t} - e^{3t} \quad (11.2.19)$$

## 11.2.6 ボルテラ型第二種積分方程式 例 2

下記の積分方程式を解き、 $x(t)$  を求める。

$$x(t) - \int_0^t e^{t-\xi} x(\xi) d\xi = f(t) \quad (11.2.20)$$

```
kill(all);
assume(t>0);
IE1:x(t)-integrate(%e^(t-\xi)*x(\xi),
\xi,0,t)=f(t);
IE2:x(t)=f(t)-integrate(G(t,\xi)*f(\xi),
\xi,0,t);
G1:G(t,\xi)=-sum(k[n](t,\xi),n,1,inf);
KN:k[n](t,\xi)=integrate(K(t,\tau)*
k[n-1](\tau,\xi),\tau,\xi,t);
KK0:K(t,\xi)=%e^(t-\xi);
KT0:subst([\xi=\tau],KK0);
KK1:k[1](t,\xi)=%e^(t-\xi);
KT1:subst([t=\tau],KK1);
subst([n=2],KN);
KK2:subst([KT0,KT1],%);
KT2:subst([t=\tau],%);
subst([n=3],KN);
subst([KT0,KT2],%);
ev(%,integrate);
KK3:factor(%) ;
KT3:subst([t=\tau],%);
subst([n=4],KN);
subst([KT0,KT3],%);
ev(%,integrate);
KK4:factor(%) ;
KT4:subst([t=\tau],%);
subst([n=5],KN);
subst([KT0,KT4],%);
ev(%,integrate);
KK5:factor(%) ;
KT5:subst([t=\tau],%);
KKN:k[n](t,\xi)=(t-\xi)^(n-1)/((n-1)!)
*%e^(t-\xi);
subst([n=1],KKN);
KK1;
subst([n=2],KKN);
KK2;
subst([n=3],KKN);
KK3;
subst([n=4],KKN);
KK4;
subst([n=5],KKN);
KK5;
```

```
subst([KKN],G1);
sum(a^(n)/(n!),n,0,inf)=%e^(a);
lhs(G1)=-%e^(t-\xi)*%e^(t-\xi);
subst(%,IE2);
```

「11.2.1 ボルテラ型第二種積分方程式の解法（級数）」  
の (11.2.4) 式から上式の解は、

$$x(t) = f(t) - \int_0^t G(t, \xi) f(\xi) d\xi \quad (11.2.21)$$

ここで、(11.2.2) 式、(11.2.3) 式から、

$$G(t, \xi) = - \sum_{n=1}^{\infty} k_n(t, \xi) \quad (11.2.22)$$

$$k_n(t, \xi) = \int_{\xi}^t K(t, \tau) k_{n-1}(\tau, \xi) d\tau \quad (11.2.23)$$

(11.2.20) 式から、

$$K(t, \xi) = e^{t-\xi}$$

(11.2.23) 式から  $k_n(t, \xi)$  を求める。

$$k_1(t, \xi) = e^{t-\xi}$$

$$\begin{aligned} k_2(t, \xi) &= \int_{\xi}^t K(t, \tau) k_1(\tau, \xi) d\tau \\ &= (t - \xi) e^{t-\xi} \end{aligned}$$

$$\begin{aligned} k_3(t, \xi) &= \int_{\xi}^t K(t, \tau) k_2(\tau, \xi) d\tau \\ &= \frac{(\xi - t)^2 e^{t-\xi}}{2} \end{aligned}$$

$$\begin{aligned} k_4(t, \xi) &= \int_{\xi}^t K(t, \tau) k_3(\tau, \xi) d\tau \\ &= -\frac{(\xi - t)^3 e^{t-\xi}}{6} \end{aligned}$$

$$\begin{aligned} k_5(t, \xi) &= \int_{\xi}^t K(t, \tau) k_4(\tau, \xi) d\tau \\ &= \frac{(\xi - t)^4 e^{t-\xi}}{24} \end{aligned}$$

上式から、

$$k_n(t, \xi) = \frac{(t - \xi)^{n-1} e^{t-\xi}}{(n-1)!}$$

(11.2.22) 式から、

$$G(t, \xi) = - \left( \sum_{n=1}^{\infty} \frac{(t - \xi)^{n-1}}{(n-1)!} \right) e^{t-\xi}$$

上記の級数和は下記の公式<sup>1</sup>を用いて、

$$\sum_{n=0}^{\infty} \frac{a^n}{n!} = e^a \quad (11.2.24)$$

<sup>1</sup>森口 繁一、宇田川 久、一松 信：岩波数学公式 2 級数・フーリエ解析 P.56<sup>29)</sup>

上式から、

$$G(t, \xi) = -e^{2t-2\xi}$$

(11.2.21) 式に上式を代入し、

$$x(t) = \int_0^t e^{2t-2\xi} f(\xi) d\xi + f(t)$$

```

K1:k(t)=%e^(t);
K2:K(s)=laplace(rhs(K1),t,s);
LG1:G(s)=-K(s)/(1-K(s));
subst([K2],LG1);
factor(%);
G1:g(t)=ilt(rhs(%),s,t);
G2:subst([t=t-\xi],G1);
IE2:x(t)=f(t)-\integrate(g(t-\xi)*f(\xi),
\xi,0,t);
subst([G2],%);

```

また、(11.2.20) 式は合成型積分方程式であるから、 $k(t-\xi) \rightarrow k(t)$  に置き換え、ラプラス変換して求めることができる。(11.2.20) 式から、

$$k(t) = e^t$$

上式をラプラス変換して、

$$\mathcal{L}[k(t)] = K(s) = \frac{1}{s-1}$$

(11.2.8) 式から、

$$G(s) = -\frac{K(s)}{1-K(s)} = -\frac{1}{s-2}$$

上式をラプラス逆変換して、

$$g(t) = -e^{2t}$$

(11.2.10) 式に上記の結果を代入し、

$$\begin{aligned} x(t) &= f(t) - \int_0^t g(t-\xi) f(\xi) d\xi \\ &= \int_0^t e^{2(t-\xi)} f(\xi) d\xi + f(t) \end{aligned}$$

## 11.2.7 ボルテラ型第二種積分方程式 例 3

下記の積分方程式を解き、 $x(t)$  を求める。

$$x(t) - \int_0^t (t - \xi) x(\xi) d\xi = t \quad (11.2.25)$$

```
kill(all);
assume(t>0);
IE1:x(t)-integrate((t-\xi)*x(\xi),
 \xi,0,t)=t;
IE2:x(t)=f(t)-'integrate(G(t,\xi)*f(\xi),
 \xi,0,t);
G1:G(t,\xi)=-sum(k[n](t,\xi),n,1,inf);
KN:k[n](t,\xi)=integrate(K(t,\tau)*
 k[n-1](\tau,\xi),\tau,\xi,t);
KK0:K(t,\xi)=t-\xi;
KT0:subst([\xi=\tau],KK0);
KK1:k[1](t,\xi)=(t-\xi);
KT1:subst([t=\tau],KK1);
subst([n=2],KN);
subst([KT0,KT1],%);
ev(%,integrate);
KK2:factor(%) ;
KT2:subst([t=\tau],%);
subst([n=3],KN);
subst([KT0,KT2],%);
ev(%,integrate);
KK3:factor(%) ;
KT3:subst([t=\tau],%);
subst([n=4],KN);
subst([KT0,KT3],%);
ev(%,integrate);
KK4:factor(%) ;
KT4:subst([t=\tau],%);
subst([n=5],KN);
subst([KT0,KT4],%);
ev(%,integrate);
KK5:factor(%) ;
KT5:subst([t=\tau],%);
KKN:k[n](t,\xi)=(t-\xi)^(2*n-1)/((2*n-1)!);
subst([n=1],KKN);
KK1;
subst([n=2],KKN);
KK2;
subst([n=3],KKN);
KK3;
subst([n=4],KKN);
KK4;
subst([n=5],KKN);
KK5;
```

```
subst([KKN],G1);
sum(a^(2*n+1)/((2*n+1)!),n,0,inf)=sinh(a);
lhs(G1)=-sinh(t-\xi);
subst(%,IE2);
subst([f(t)=t,f(\xi)=\xi],%);
ev(%,integrate);
expand(%) ;
x(t)=sinh(t);
```

「11.2.1 ボルテラ型第二種積分方程式の解法（級数）」の (11.2.4) 式から上式の解は、

$$x(t) = f(t) - \int_0^t G(t, \xi) f(\xi) d\xi \quad (11.2.26)$$

ここで、(11.2.2) 式、(11.2.3) 式から、

$$G(t, \xi) = - \sum_{n=1}^{\infty} k_n(t, \xi) \quad (11.2.27)$$

$$k_n(t, \xi) = \int_{\xi}^t K(t, \tau) k_{n-1}(\tau, \xi) d\tau \quad (11.2.28)$$

(11.2.25) 式から、

$$K(t, \xi) = t - \xi$$

(11.2.28) 式から  $k_n(t, \xi)$  を求める。

$$k_1(t, \xi) = t - \xi$$

$$\begin{aligned} k_2(t, \xi) &= \int_{\xi}^t K(t, \tau) k_1(\tau, \xi) d\tau \\ &= - \frac{(\xi - t)^3}{6} \end{aligned}$$

$$\begin{aligned} k_3(t, \xi) &= \int_{\xi}^t K(t, \tau) k_2(\tau, \xi) d\tau \\ &= - \frac{(\xi - t)^5}{120} \end{aligned}$$

$$\begin{aligned} k_4(t, \xi) &= \int_{\xi}^t K(t, \tau) k_3(\tau, \xi) d\tau \\ &= - \frac{(\xi - t)^7}{5040} \end{aligned}$$

$$\begin{aligned} k_5(t, \xi) &= \int_{\xi}^t K(t, \tau) k_4(\tau, \xi) d\tau \\ &= - \frac{(\xi - t)^9}{362880} \end{aligned}$$

上式から、

$$k_n(t, \xi) = \frac{(t - \xi)^{2n-1}}{(2n-1)!}$$

(11.2.27) 式から、

$$G(t, \xi) = - \sum_{n=1}^{\infty} \frac{(t - \xi)^{2n-1}}{(2n-1)!}$$



上記の級数和は公式<sup>1</sup>から、

$$\sum_{n=0}^{\infty} \frac{a^{2n+1}}{(2n+1)!} = \sinh(a)$$

上式から、

$$G(t, \xi) = \sinh(\xi - t)$$

(11.2.26) 式に上式を代入し、

$$x(t) = t - \int_0^t \xi \sinh(\xi - t) d\xi = \sinh(t)$$

```
LR1:X(s)-K(s)*X(s)=F(s);
KS1:K(s)=laplace(t,t,s);
FS1:F(s)=laplace(t,t,s);
subst([KS1,FS1],LR1);
solve(%,X(s))[1];
x(t)=ilt(rhs(%),s,t);
x(t)=sinh(t);
```

また、(11.2.25) 式は合成型積分方程式であるから、 $k(t - \xi) \rightarrow k(t)$  に置き換え、ラプラス変換して求めることができる。(11.2.25) 式から、

$$k(t) = t, \quad f(t) = t$$

上式をラプラス変換して、

$$\mathcal{L}[k(t)] = K(s) = \frac{1}{s^2}$$

$$\mathcal{L}[f(t)] = F(s) = \frac{1}{s^2}$$

(11.2.9) 式から、

$$X(s) - \frac{X(s)}{s^2} = \frac{1}{s^2}$$

$X(s)$  を求めると、

$$X(s) = \frac{1}{s^2 - 1}$$

上式をラプラス逆変換して、

$$x(t) = \sinh(t)$$

<sup>1</sup>森口 繁一、宇田川 久、一松 信：岩波数学公式2 級数・フーリエ解析 P.56<sup>29)</sup>

11.2.8 ボルテラ型第二種積分方程式 例 4  $4D + C^2 > 0$  のとき、

下記の積分方程式を解き、 $x(t)$  を求める。

$$x(t) - \int_0^t x(\xi) ((t - \xi) D + C) d\xi = tB + A \quad (11.2.29)$$

```
kill(all);
assume(t>0);
IE1:x(t)-integrate((C+D*(t-\xi))*x(\xi),
 \xi,0,t)=A+B*t;
LR1:X(s)-K(s)*X(s)=F(s);
K1:k(t)=C+D*t;
K2:K(s)=laplace(rhs(K1),t,s);
F1:f(t)=A+B*t;
F2:F(s)=laplace(rhs(F1),t,s);
G1:G(s)=-K(s)/(1-K(s));
LR2:X(s)=F(s)-G(s)*F(s);
subst([G1,K2,F2],LR2);
X2:factor(%);
assume(4*D+C^2>0);
x(t)=ilt(rhs(X2),s,t);
forget(4*D+C^2>0);
assume(4*D+C^2<0);
x(t)=ilt(rhs(X2),s,t);
D1:4*D+C^2=0;
D2:solve(D1,D)[1];
subst([D2],X2);
x(t)=ilt(rhs(%),s,t);
```

上式は合成型積分方程式であるから、ラプラス変換して求める。 $k(t - \xi) \rightarrow k(t)$  に置き換え、上式をラプラス変換して、

$$X(s) - K(s)X(s) = F(s)$$

$$\text{ここで、 } \mathcal{L}[x(t)] = X(s)$$

$$k(t) = tD + C$$

$$\mathcal{L}[k(t)] = K(s) = \frac{D}{s^2} + \frac{C}{s} \quad (11.2.30)$$

$$f(t) = tB + A$$

$$\mathcal{L}[f(t)] = F(s) = \frac{B}{s^2} + \frac{A}{s}$$

(11.2.8) 式、(11.2.9) 式から、

$$G(s) = -\frac{K(s)}{1 - K(s)}$$

$$X(s) = F(s) - F(s)G(s)$$

上式に (11.2.30) 式を代入し、

$$X(s) = -\frac{B + sA}{D + sC - s^2} \quad (11.2.31)$$

(11.2.31) 式をラプラス逆変換すると、

$$x(t) = e^{\frac{tC}{2}} \left( \frac{(AC + 2B) \sinh\left(\frac{t\sqrt{4D+C^2}}{2}\right)}{\sqrt{4D+C^2}} + A \cosh\left(\frac{t\sqrt{4D+C^2}}{2}\right) \right)$$

$4D + C^2 < 0$  のとき、

(11.2.31) 式をラプラス逆変換すると、

$$x(t) = e^{\frac{tC}{2}} \left( \frac{(AC + 2B) \sin\left(\frac{t\sqrt{-4D-C^2}}{2}\right)}{\sqrt{-4D-C^2}} + A \cos\left(\frac{t\sqrt{-4D-C^2}}{2}\right) \right)$$

$4D + C^2 = 0$  のとき、

(11.2.31) 式は、

$$X(s) = -\frac{B + sA}{-\frac{C^2}{4} + sC - s^2}$$

上式をラプラス逆変換すると、

$$x(t) = \frac{tAC e^{\frac{tC}{2}}}{2} + tB e^{\frac{tC}{2}} + A e^{\frac{tC}{2}}$$

## 11.2.9 ボルテラ型第二種積分方程式 例5

下記の積分方程式を解き、 $x(t)$  を求める。

$$x(t) - \int_{-\infty}^t (t-\xi) e^{-2(t-\xi)} x(\xi) d\xi = t e^t \quad (11.2.32)$$

```
kill(all);
assume(t>0);
IE1:x(t)-integrate(%e^(-2*(t-\xi))*(t-\xi)*x(\xi),\xi,\minf,t)=t*e^t;
x(t)-%e^(-2*(t))*integrate(%e^(-2*(-\xi))*(t-\xi)*x(\xi),\xi,\minf,t)=t*e^t;
IE2:x(t)-%e^(-2*(t))*integrate(%e^(-2*(-\xi))*(t)*x(\xi),xi,\minf,t)-%e^(-2*(t))*integrate(%e^(-2*(-\xi))*(-\xi)*x(\xi),\xi,\minf,t)=t*e^t;
X1:x(t)=A*t*e^t+B*e^t;
X2:subst([t=\xi],X1);
subst([X1,X2],IE2);
ev(%,integrate);
%-rhs(%)
expand(%)
%/e^t;
X3:expand(%)
A1:coeff(X3,t,1);
A2:coeff(X3,t,0);
A3:solve([A1,A2],[A,B])[1];
X4:subst([A3],X1);
X5:subst([t=\xi],X4);
subst([X4,X5],IE1);
ev(%,integrate);
factor(%)
%-rhs(%)
```

(11.2.32) 式を展開すると、

$$e^{-2t} \int_{-\infty}^t \xi e^{2\xi} x(\xi) d\xi - t e^{-2t} \int_{-\infty}^t e^{2\xi} x(\xi) d\xi + x(t) = t e^t$$

上式から解は次式の形が予測できる。

$$x(t) = e^t B + t e^t A \quad (11.2.33)$$

(11.2.32) 式に上式を代入し、積分を実行し、右辺を左辺に移行すると、

$$\frac{8e^t B}{9} + \frac{8te^t A}{9} + \frac{2e^t A}{27} - te^t = 0$$

上式を  $e^t$  で割り、

$$\frac{8B}{9} + \frac{8tA}{9} + \frac{2A}{27} - t = 0$$

$t$  の同じ次数の係数を比較して、

$$\frac{8A}{9} - 1 = 0, \quad \frac{8B}{9} + \frac{2A}{27} = 0$$

上式を解いて、

$$A = \frac{9}{8}, B = -\frac{3}{32}$$

(11.2.33) 式に上記結果を代入し、

$$x(t) = \frac{9te^t}{8} - \frac{3e^t}{32}$$

## 11.2.10 ボルテラ型第二種積分方程式 例 6

下記の積分方程式を解き、 $x(t)$  を求める。

$$x(t) - \frac{\alpha^4 \int_0^t (t-\xi)^3 x(\xi) d\xi}{6} = \alpha^4 \left( \frac{t^3 B}{6} + \frac{t^2 A}{2} \right) \quad (11.2.34)$$

```
kill(all);
assume(t>0);
assume(\alpha>0);
IE1:x(t)-\alpha^4*integrate(((t-\xi)^3/
(3!))*x(\xi),\xi,0,t)=\alpha^4*
(A*t^2/(2!)+B*t^3/(3!));
IE2:x(t)=f(t)-'integrate(G(t,\xi)*f(\xi),
\xi,0,t);
G1:G(t,\xi)=-sum(k[n](t,\xi),n,1,inf);
KN:k[n](t,\xi)=integrate(K(t,\tau)
*k[n-1](\tau,\xi),\tau,\xi,t);
KK0:K(t,\xi)=((t-\xi)^3/(3!));
KT0:subst([\xi=\tau],KK0);
KK1:k[1](t,\xi)=((t-\xi)^3/(3!));
KT1:subst([t=\tau],KK1);
subst([n=2],KN);
subst([KT0,KT1],%);
ev(%,integrate);
KK2:factor(%) ;
KT2:subst([t=\tau],%);
subst([n=3],KN);
subst([KT0,KT2],%);
ev(%,integrate);
KK3:factor(%) ;
KT3:subst([t=\tau],%);
subst([n=4],KN);
subst([KT0,KT3],%);
ev(%,integrate);
KK4:factor(%) ;
KT4:subst([t=\tau],%);
subst([n=5],KN);
subst([KT0,KT4],%);
ev(%,integrate);
KK5:factor(%) ;
KT5:subst([t=\tau],%);
KKN:k[n](t,\xi)=(t-\xi)^(4*n-1)
/((4*n-1)!);
subst([n=1],KKN);
KK1;
subst([n=2],KKN);
KK2;
```

```
subst([n=3],KKN);
KK3;
subst([n=4],KKN);
KK4;
subst([n=5],KKN);
KK5;
subst([KKN],G1);
G(t,\xi)=-sum(rhs(KKN),n,1,5);
IE21:subst(%,IE2);
F1:f(t)=\alpha^4*(A*t^2/(2!)+B*t^3/(3!));
F2:subst([t=\xi],F1);
subst([F1,F2],IE21);
ev(%,integrate);
X4:expand(%) ;
```

「11.2.1 ボルテラ型第二種積分方程式の解法（級数）」  
の (11.2.4) 式から上式の解は、

$$x(t) = f(t) - \int_0^t G(t, \xi) f(\xi) d\xi \quad (11.2.35)$$

ここで、(11.2.2) 式、(11.2.3) 式から、

$$G(t, \xi) = - \sum_{n=1}^{\infty} k_n(t, \xi) \quad (11.2.36)$$

$$k_n(t, \xi) = \int_{\xi}^t K(t, \tau) k_{n-1}(\tau, \xi) d\tau \quad (11.2.37)$$

(11.2.34) 式から、

$$K(t, \xi) = \frac{(t-\xi)^3}{6}$$

(11.2.37) 式から  $k_n(t, \xi)$  を求める。

$$k_1(t, \xi) = \frac{(t-\xi)^3}{6}$$

$$k_2(t, \xi) = \int_{\xi}^t K(t, \tau) k_1(\tau, \xi) d\tau \\ = - \frac{(\xi-t)^7}{5040}$$

$$k_3(t, \xi) = \int_{\xi}^t K(t, \tau) k_2(\tau, \xi) d\tau \\ = - \frac{(\xi-t)^{11}}{39916800}$$

$$k_4(t, \xi) = \int_{\xi}^t K(t, \tau) k_3(\tau, \xi) d\tau \\ = - \frac{(\xi-t)^{15}}{1307674368000}$$

$$k_5(t, \xi) = \int_{\xi}^t K(t, \tau) k_4(\tau, \xi) d\tau \\ = - \frac{(\xi-t)^{19}}{121645100408832000}$$

上式から、

$$k_n(t, \xi) = \frac{(t-\xi)^{4n-1}}{(4n-1)!}$$

(11.2.36) 式から、

$$G(t, \xi) = - \sum_{n=1}^{\infty} \frac{(t - \xi)^{4n-1}}{(4n-1)!}$$

上式から、 $n = 5$  とすると、

$$G(t, \xi) = - \frac{(t - \xi)^{19}}{121645100408832000} - \frac{(t - \xi)^{15}}{1307674368000} - \frac{(t - \xi)^{11}}{39916800} - \frac{(t - \xi)^7}{5040} - \frac{(t - \xi)^3}{6}$$

(11.2.35) 式に上式を代入し、 $f(t) = \alpha^4 \left( \frac{t^3 B}{6} + \frac{t^2 A}{2} \right)$  とし、解:  $x(t)$  を求めると、

$$x(t) = \frac{\alpha^4 t^{23} B}{25852016738884976640000} + \frac{\alpha^4 t^{19} B}{121645100408832000} + \frac{\alpha^4 t^{15} B}{1307674368000} + \frac{\alpha^4 t^{11} B}{39916800} + \frac{\alpha^4 t^7 B}{5040} + \frac{\alpha^4 t^3 B}{6} + \frac{\alpha^4 t^{22} A}{112400072777607680000} + \frac{\alpha^4 t^{18} A}{6402373705728000} + \frac{\alpha^4 t^{14} A}{87178291200} + \frac{\alpha^4 t^{10} A}{3628800} + \frac{\alpha^4 t^6 A}{720} + \frac{\alpha^4 t^2 A}{2} \tag{11.2.38}$$

```
LR1: X(s)-K(s)*X(s)=F(s);
K1:k(t)=\alpha^4*(t)^3/(3!);
K2:K(s)=laplace(rhs(K1),t,s);
F1:f(t)=\alpha^4*(A*t^2/(2!)+B*t^3/(3!));
F2:F(s)=laplace(rhs(F1),t,s);
solve(LR1,X(s))[1];
subst([K2,F2],%);
X2:factor(%);
X3:x(t)=ilt(rhs(%),s,t);
X31:subst([t=\xi],X3);
subst([X3,X31],IE1);
ev(%,integrate);
factor(%);
X31:subst([\alpha=1,A=1,B=1],rhs(X3));
taylor(X31,t,0,23);
X41:subst([\alpha=1,A=1,B=1],rhs(X4));
```

(11.2.34) 式は合成型積分方程式であるから、 $k(t - \xi) \rightarrow k(t)$  に置き換え、ラプラス変換して求める。(11.2.34) 式から、

$$k(t) = \frac{\alpha^4 t^3}{6}$$

$$f(t) = \alpha^4 \left( \frac{t^3 B}{6} + \frac{t^2 A}{2} \right)$$

上式をラプラス変換して、

$$\mathcal{L}[k(t)] = K(s) = \frac{\alpha^4}{s^4}$$

$$\mathcal{L}[f(t)] = F(s) = \alpha^4 \left( \frac{B}{s^4} + \frac{A}{s^3} \right)$$

(11.2.6) 式から、

$$X(s) - K(s) X(s) = F(s)$$

$X(s)$  を求めると、

$$X(s) = \frac{F(s)}{K(s) - 1} = \frac{\alpha^4 (B + s A)}{(s - \alpha)(s + \alpha)(s^2 + \alpha^2)}$$

上式をラプラス逆変換して、

$$x(t) = \frac{e^{\alpha t} (\alpha B + \alpha^2 A)}{4} - \frac{e^{-\alpha t} (\alpha B - \alpha^2 A)}{4} - \frac{\alpha \sin(\alpha t) B}{2} - \frac{\alpha^2 \cos(\alpha t) A}{2} \tag{11.2.39}$$

上式で  $\alpha = 1, A = 1, B = 1$  とし、Taylor 展開すると、

$$x(t) = \frac{t^2}{2} + \frac{t^3}{6} + \frac{t^6}{720} + \frac{t^7}{5040} + \frac{t^{10}}{3628800} + \frac{t^{11}}{39916800} + \frac{t^{14}}{87178291200} + \frac{t^{15}}{1307674368000} + \frac{t^{18}}{6402373705728000} + \frac{t^{19}}{121645100408832000} + \frac{t^{22}}{112400072777607680000} + \frac{t^{23}}{25852016738884976640000} + \dots$$

級数から得られた解:(11.2.38) 式で  $\alpha = 1, A = 1, B = 1$  とすると、

$$x(t) = \frac{t^{23}}{25852016738884976640000} + \frac{t^{22}}{112400072777607680000} + \frac{t^{19}}{121645100408832000} + \frac{t^{18}}{6402373705728000} + \frac{t^{15}}{1307674368000} + \frac{t^{14}}{87178291200} + \frac{t^{11}}{39916800} + \frac{t^{10}}{3628800} + \frac{t^7}{5040} + \frac{t^6}{720} + \frac{t^3}{6} + \frac{t^2}{2}$$

ラプラス変換から得られた解と級数解は一致している。

## 11.2.11 ボルテラ型第二種積分方程式 例 7

下記の積分方程式を解き、 $x(t)$  を求める。

$$x(t) - \int_0^t (t - \xi)^2 x(\xi) d\xi = t \quad (11.2.40)$$

```
kill(all);
assume(t>0);
IE1:x(t)-integrate((t-\xi)^2*x(\xi),
\xi,0,t)=t;
IE2:x(t)=f(t)-'integrate(G(t,\xi)*f(\xi),
\xi,0,t);
G1:G(t,\xi)=-sum(k[n](t,\xi),n,1,inf);
KN:k[n](t,\xi)=integrate(K(t,\tau)
*k[n-1](\tau,\xi),\tau,\xi,t);
KK0:K(t,\xi)=(t-\xi)^2;
KT0:subst([\xi=\tau],KK0);
KK1:k[1](t,\xi)=(t-\xi)^2;
KT1:subst([t=\tau],KK1);
subst([n=2],KN);
subst([KT0,KT1],%);
ev(%,integrate);
KK2:factor(%) ;
KT2:subst([t=\tau],%);
subst([n=3],KN);
subst([KT0,KT2],%);
ev(%,integrate);
KK3:factor(%) ;
KT3:subst([t=\tau],%);
subst([n=4],KN);
subst([KT0,KT3],%);
ev(%,integrate);
KK4:factor(%) ;
KT4:subst([t=\tau],%);
subst([n=5],KN);
subst([KT0,KT4],%);
ev(%,integrate);
KK5:factor(%) ;
KT5:subst([t=\tau],%);
KKN:k[n](t,\xi)=(t-\xi)^(3*n-1)/
((3*n-1)!)*2^n;
subst([n=1],KKN);
KK1;
subst([n=2],KKN);
KK2;
```

```
subst([n=3],KKN);
KK3;
subst([n=4],KKN);
KK4;
subst([n=5],KKN);
KK5;
subst([KKN],G1);
G(t,\xi)=-sum(rhs(KKN),n,1,5);
subst(%,IE2);
subst([f(t)=t,f(\xi)=\xi],%);
ev(%,integrate);
X3:expand(%) ;
```

「11.2.1 ボルテラ型第二種積分方程式の解法（級数）」  
の (11.2.4) 式から上式の解は、

$$x(t) = f(t) - \int_0^t G(t, \xi) f(\xi) d\xi \quad (11.2.41)$$

ここで、(11.2.2) 式、(11.2.3) 式から、

$$G(t, \xi) = - \sum_{n=1}^{\infty} k_n(t, \xi) \quad (11.2.42)$$

$$k_n(t, \xi) = \int_{\xi}^t K(t, \tau) k_{n-1}(\tau, \xi) d\tau \quad (11.2.43)$$

(11.2.40) 式から、

$$K(t, \xi) = (t - \xi)^2$$

(11.2.43) 式から  $k_n(t, \xi)$  を求める。

$$k_1(t, \xi) = (t - \xi)^2$$

$$\begin{aligned} k_2(t, \xi) &= \int_{\xi}^t K(t, \tau) k_1(\tau, \xi) d\tau \\ &= - \frac{(\xi - t)^5}{30} \end{aligned}$$

$$\begin{aligned} k_3(t, \xi) &= \int_{\xi}^t K(t, \tau) k_2(\tau, \xi) d\tau \\ &= \frac{(\xi - t)^8}{5040} \end{aligned}$$

$$\begin{aligned} k_4(t, \xi) &= \int_{\xi}^t K(t, \tau) k_3(\tau, \xi) d\tau \\ &= - \frac{(\xi - t)^{11}}{2494800} \end{aligned}$$

$$\begin{aligned} k_5(t, \xi) &= \int_{\xi}^t K(t, \tau) k_4(\tau, \xi) d\tau \\ &= \frac{(\xi - t)^{14}}{2724321600} \end{aligned}$$

上式から、

$$k_n(t, \xi) = \frac{2^n (t - \xi)^{3n-1}}{(3n-1)!}$$

(11.2.42) 式から、

$$G(t, \xi) = - \sum_{n=1}^{\infty} \frac{2^n (t - \xi)^{3n-1}}{(3n-1)!}$$

上式から、 $n = 5$  とすると、

$$G(t, \xi) = - \frac{(t - \xi)^{14}}{2724321600} - \frac{(t - \xi)^{11}}{2494800} \\ - \frac{(t - \xi)^8}{5040} - \frac{(t - \xi)^5}{30} - (t - \xi)^2$$

(11.2.41) 式に上式を代入し、 $f(t) = t$  とし、解： $x(t)$  を求めると、

$$x(t) = \frac{t^{16}}{653837184000} + \frac{t^{13}}{389188800} \\ + \frac{t^{10}}{453600} + \frac{t^7}{1260} + \frac{t^4}{12} + t \quad (11.2.44)$$

```
LR1:X(s)-K(s)*X(s)=F(s);
KS1:K(s)=laplace(t^2,t,s);
FS1:F(s)=laplace(t,t,s);
subst([KS1,FS1],LR1);
solve(% ,X(s))[1];
X4:x(t)=ilt(rhs(%),s,t);
X41:lhs(%)=taylor(rhs(%),t,0,16);
```

(11.2.40) 式は合成型積分方程式であるから、 $k(t - \xi) \rightarrow k(t)$  に置き換え、ラプラス変換して求める。  
(11.2.40) 式から、

$$k(t) = t^2, \quad f(t) = t$$

上式をラプラス変換して、

$$\mathcal{L}[k(t)] = K(s) = \frac{2}{s^3}$$

$$\mathcal{L}[f(t)] = F(s) = \frac{1}{s^2}$$

(11.2.6) 式から、

$$X(s) - K(s) X(s) = F(s)$$

$X(s)$  を求めると、

$$X(s) = - \frac{F(s)}{K(s) - 1} = \frac{s}{s^3 - 2}$$

上式をラプラス逆変換して、

$$x(t) = e^{-\frac{t}{2^{\frac{1}{3}}}} \left( \frac{\sin\left(\frac{\sqrt{3}t}{2^{\frac{2}{3}}}\right)}{2^{\frac{1}{3}} \sqrt{3}} - \frac{\cos\left(\frac{\sqrt{3}t}{2^{\frac{2}{3}}}\right)}{3 \cdot 2^{\frac{1}{3}}} \right) + \frac{e^{2^{\frac{1}{3}} t}}{3 \cdot 2^{\frac{1}{3}}} \quad (11.2.45)$$

上式を Taylor 展開すると、

$$x(t) = t + \frac{t^4}{12} + \frac{t^7}{1260} + \frac{t^{10}}{453600} + \frac{t^{13}}{389188800} \\ + \frac{t^{16}}{653837184000} + \dots$$

ラプラス変換から得られた解と級数解は一致している。

## 11.2.12 ボルテラ型第二種積分方程式 例 8

下記の積分方程式を解き、 $x(t)$  を求める。

$$x(t) - \int_0^t t\xi x(\xi) d\xi = t \quad (11.2.46)$$

```
kill(all);
assume(t>0);
IE1:x(t)-integrate((t*\xi)*x(\xi),
 \xi,0,t)=t;
IE2:x(t)=f(t)-'integrate(G(t,\xi)*f(\xi),
 \xi,0,t);
G1:G(t,\xi)=-sum(k[n](t,\xi),n,1,inf);
KN:k[n](t,\xi)=integrate(K(t,\tau)
 *k[n-1](\tau,\xi),\tau,\xi,t);
KK0:K(t,\xi)=(t*\xi);
KT0:subst([\xi=\tau],KK0);
KK1:k[1](t,\xi)=(t*\xi);
KT1:subst([t=\tau],KK1);
subst([n=2],KN);
subst([KT0,KT1],%);
KK2:ev(%,integrate);
KT2:subst([t=\tau],%);
subst([n=3],KN);
subst([KT0,KT2],%);
ev(%,integrate);
factor(%) ;
KK3:lhs(%)=(t*\xi*(t^3-\xi^3)^2)/18;
KT3:subst([t=\tau],%);
subst([n=4],KN);
subst([KT0,KT3],%);
ev(%,integrate);
factor(%) ;
KK4:lhs(%)=(t*\xi*(t^3-\xi^3)^3)/162;
KT4:subst([t=\tau],%);
subst([n=5],KN);
subst([KT0,KT4],%);
ev(%,integrate);
factor(%) ;
KK5:lhs(%)=(t*\xi*(t^3-\xi^3)^4)/1944;
KT5:subst([t=\tau],%);
KKN:k[n](t,\xi)=(t*\xi)*(t^3-\xi^3)^(n-1)
 /((n-1)!)/3^(n-1);
subst([n=1],KKN);
KK1;
subst([n=2],KKN);
KK2;
```

```
subst([n=3],KKN);
KK3;
subst([n=4],KKN);
KK4;
subst([n=5],KKN);
KK5;
G2:subst([KKN],G1);
G21:(t^3-\xi^3)/3=a;
G22:solve(%,a)[1];
solve(G21,t^3)[1];
subst(%,G2);
lhs(%)=-t*\xi*%e^a;
G3:subst([G22],%);
subst(%,IE2);
subst([f(t)=t,f(\xi)=\xi],%);
ev(%,integrate);
X3:expand(%) ;
```

「11.2.1 ボルテラ型第二種積分方程式の解法（級数）」  
の (11.2.4) 式から上式の解は、

$$x(t) = f(t) - \int_0^t G(t, \xi) f(\xi) d\xi \quad (11.2.47)$$

ここで、(11.2.2) 式、(11.2.3) 式から、

$$G(t, \xi) = - \sum_{n=1}^{\infty} k_n(t, \xi) \quad (11.2.48)$$

$$k_n(t, \xi) = \int_{\xi}^t K(t, \tau) k_{n-1}(\tau, \xi) d\tau \quad (11.2.49)$$

(11.2.46) 式から、

$$K(t, \xi) = t\xi$$

(11.2.49) 式から  $k_n(t, \xi)$  を求める。

$$k_1(t, \xi) = t\xi$$

$$\begin{aligned} k_2(t, \xi) &= \int_{\xi}^t K(t, \tau) k_1(\tau, \xi) d\tau \\ &= t\xi \left( \frac{t^3}{3} - \frac{\xi^3}{3} \right) \end{aligned}$$

$$\begin{aligned} k_3(t, \xi) &= \int_{\xi}^t K(t, \tau) k_2(\tau, \xi) d\tau \\ &= \frac{t\xi(t^3 - \xi^3)^2}{18} \end{aligned}$$

$$\begin{aligned} k_4(t, \xi) &= \int_{\xi}^t K(t, \tau) k_3(\tau, \xi) d\tau \\ &= \frac{t\xi(t^3 - \xi^3)^3}{162} \end{aligned}$$

$$\begin{aligned} k_5(t, \xi) &= \int_{\xi}^t K(t, \tau) k_4(\tau, \xi) d\tau \\ &= \frac{t\xi(t^3 - \xi^3)^4}{1944} \end{aligned}$$



上式から、

$$k_n(t, \xi) = \frac{3^{1-n} t \xi (t^3 - \xi^3)^{n-1}}{(n-1)!}$$

(11.2.48) 式から、

$$G(t, \xi) = -t \xi \sum_{n=1}^{\infty} \frac{3^{1-n} (t^3 - \xi^3)^{n-1}}{(n-1)!} \quad (11.2.50)$$

上式で、下記の置き換えを行うと、

$$\frac{t^3 - \xi^3}{3} = a$$

(11.2.50) 式は、級数和の公式：(11.2.24) 式を用いて、

$$\begin{aligned} G(t, \xi) &= - \left( \sum_{n=1}^{\infty} \frac{a^{n-1}}{(n-1)!} \right) t \xi \\ &= - e^a t \xi = -t \xi e^{-\frac{\xi^3 - t^3}{3}} \end{aligned}$$

(11.2.47) 式に上式を代入し、 $f(t) = t$  とし、積分すると解： $x(t)$  は、

$$\begin{aligned} x(t) &= t \int_0^t \xi e^{-\frac{\xi^3 - t^3}{3}} f(\xi) d\xi + f(t) \\ &= t \int_0^t \xi^2 e^{-\frac{\xi^3 - t^3}{3}} d\xi + t \\ &= t \left( e^{\frac{t^3}{3}} - 1 \right) + t = t e^{\frac{t^3}{3}} \end{aligned}$$

## 11.3 ボルテラ型積分方程式と常微分方程式

### 11.3.1 常微分方程式の解法

下記の積分方程式を解き、 $x(t)$  を求める。

$$a_n(t) \left( \frac{d^n}{dt^n} x(t) \right) + a_{n-1}(t) \left( \frac{d^{n-1}}{dt^{n-1}} x(t) \right) + \cdots + a_0(t) x(t) = f(t) \quad (11.3.1)$$

上式を級数で記述すると、 $\sum_{i=0}^n a_i(t) \left( \frac{d^i}{dt^i} x(t) \right) = f(t)$

```
kill(all);
assume(t>0);
DE1:a[n](t)*diff(x(t),t,n)+a[n-1](t)
    *diff(x(t),t,n-1)+a[0](t)*x(t)=f(t);
DEN1:sum(a[i](t)*diff(x(t),t,i),i,0,n)
    =f(t);
subst([n=5],DEN1);
DE5:ev(%,sum);
DIN5:diff(x(t),t,5)=X(t);
DIN51:subst([t=\xi],%);
DIN52:rhs(DIN51);
integrate(lhs(DIN5),t);
DIN40:%-subst([x(t)=x(0)],%)
    =integrate(DIN52,\xi,0,t);
DIN42:DIN52;
DIN4:lhs(DIN40)-last(lhs(DIN40))
    =rhs(DIN40)+x[4](0);
DIN43:last(rhs(%));
integrate(lhs(DIN4),t);
DIN30:%-subst([x(t)=x(0)],%)=integrate(
    integrate(DIN42,\xi,0,t),t,0,t)
    +integrate(DIN43,t,0,t);
integrate(DIN42,t,\xi,t);
DIN32:factor(%);
DIN33:integrate(DIN43,t,0,t)+x[3](0);
DIN3:lhs(DIN30)-last(lhs(DIN30))
    =integrate(DIN32,\xi,0,t)+DIN33;
integrate(lhs(DIN3),t);
```

```
DIN20:%-subst([x(t)=x(0)],%)=integrate(
    integrate(DIN32,\xi,0,t),t,0,t)
    +integrate(DIN33,t,0,t);
integrate(DIN32,t,\xi,t);
DIN22:factor(%);
DIN23:expand(integrate(DIN33,t,0,t))
    +x[2](0);
DIN2:lhs(DIN20)-last(lhs(DIN20))
    =integrate(DIN22,\xi,0,t)+DIN23;
integrate(lhs(DIN2),t);
DIN10:%-subst([x(t)=x(0)],%)=integrate(
    integrate(DIN22,\xi,0,t),t,0,t)
    +integrate(DIN23,t,0,t);
integrate(DIN22,t,\xi,t);
DIN12:factor(%);
DIN13:expand(integrate(DIN23,t,0,t))
    +x[1](0);
DIN1:lhs(DIN10)-last(lhs(DIN10))
    =integrate(DIN12,\xi,0,t)+DIN13;
integrate(lhs(DIN1),t);
DIN00:%-subst([x(t)=x(0)],%)=integrate(
    integrate(DIN12,\xi,0,t),t,0,t)
    +integrate(DIN13,t,0,t);
integrate(DIN12,t,\xi,t);
DIN02:factor(%);
DIN03:expand(integrate(DIN13,t,0,t))
    +x[0](0);
DIN0:lhs(DIN00)-last(lhs(DIN00))
    =integrate(DIN02,\xi,0,t)+DIN03;
```

(11.3.1) 式で  $n = 5$  とすると、

$$a_5(t) \left( \frac{d^5}{dt^5} x(t) \right) + a_4(t) \left( \frac{d^4}{dt^4} x(t) \right) + a_3(t) \left( \frac{d^3}{dt^3} x(t) \right) \\ + a_2(t) \left( \frac{d^2}{dt^2} x(t) \right) + a_1(t) \left( \frac{d}{dt} x(t) \right) + a_0(t) x(t) = f(t) \quad (11.3.2)$$

いま、 $X(t)$  を下記とする、

$$\frac{d^5}{dt^5} x(t) = X(t) \quad (11.3.3)$$

上式を  $t$  で積分すると、

$$\frac{d^4}{dt^4} x(t) = \int_0^t X(\xi) d\xi + x_4(0) \quad \text{ここで、} \quad \frac{d^4}{dt^4} x(0) = x_4(0) \quad (11.3.4)$$

上式を  $t$  で積分し、積分順序を変更すると、

$$\frac{d^3}{dt^3} x(t) - \frac{d^3}{dt^3} x(0) = \int_0^t \int_0^t X(\xi) d\xi dt + x_4(0) t = \int_0^t \int_\xi^t X(\xi) dt d\xi + x_4(0) t$$

上式から、

$$\frac{d^3}{dt^3} x(t) = - \int_0^t (\xi - t) X(\xi) d\xi + x_4(0) t + x_3(0) \quad \text{ここで、} \quad \frac{d^3}{dt^3} x(0) = x_3(0) \quad (11.3.5)$$

上式を  $t$  で積分し、積分順序を変更すると、

$$\begin{aligned} \frac{d^2}{dt^2} x(t) - \frac{d^2}{dt^2} x(0) &= \frac{x_4(0) t^2 + 2x_3(0) t}{2} - \int_0^t \int_0^t (\xi - t) X(\xi) d\xi dt \\ &= \frac{x_4(0) t^2 + 2x_3(0) t}{2} - \int_0^t \int_\xi^t (\xi - t) X(\xi) dt d\xi \end{aligned}$$

上式から、

$$\frac{d^2}{dt^2} x(t) = \frac{1}{2} \int_0^t (\xi - t)^2 X(\xi) d\xi + \frac{x_4(0) t^2}{2} + x_3(0) t + x_2(0) \quad \text{ここで、} \quad \frac{d^2}{dt^2} x(0) = x_2(0) \quad (11.3.6)$$

上式を  $t$  で積分し、積分順序を変更すると、

$$\frac{d}{dt} x(t) - \frac{d}{dt} x(0) = \frac{1}{2} \int_0^t \int_\xi^t (\xi - t)^2 X(\xi) dt d\xi + \frac{x_4(0) t^3 + 3x_3(0) t^2 + 6x_2(0) t}{6}$$

上式から、

$$\frac{d}{dt} x(t) = -\frac{1}{6} \int_0^t (\xi - t)^3 X(\xi) d\xi + \frac{x_4(0) t^3}{6} + \frac{x_3(0) t^2}{2} + x_2(0) t + x_1(0) \quad \text{ここで、} \quad \frac{d}{dt} x(0) = x_1(0) \quad (11.3.7)$$

上式を  $t$  で積分し、積分順序を変更すると、

$$x(t) - x(0) = \frac{x_4(0) t^4 + 4x_3(0) t^3 + 12x_2(0) t^2 + 24x_1(0) t}{24} - \frac{1}{6} \int_0^t \int_\xi^t (\xi - t)^3 X(\xi) dt d\xi$$

上式から、

$$x(t) = \frac{1}{24} \int_0^t (\xi - t)^4 X(\xi) d\xi + \frac{x_4(0) t^4}{24} + \frac{x_3(0) t^3}{6} + \frac{x_2(0) t^2}{2} + x_1(0) t + x_0(0) \quad \text{ここで、} \quad x(0) = x_0(0) \quad (11.3.8)$$

```

subst([DIN5,DIN4,DIN3,DIN2,DIN1,DIN0],
DE5);
last(lhs(%))+integrate((a[4](t)*DIN42/
X(xi)+a[3](t)*DIN32/X(xi)+a[2](t)*
DIN22/X(xi)+a[1](t)*DIN12/X(xi)
+a[0](t)*DIN02/X(xi))*X(xi),xi,0,t)
+a[4](t)*DIN43+a[3](t)*DIN33
+a[2](t)*DIN23+a[1](t)*DIN13
+a[0](t)*DIN03=rhs(%);
%-last(lhs(%));
%-last(lhs(%));
%-last(lhs(%));
%-last(lhs(%));
IDE5:%-last(lhs(%));
a[n](t)*
X(t)-integrate(K(t,xi)*X(xi),xi,0,t)
=F(t);

```

```

K1:K(t,xi)=-sum((t-xi)^i/(i!)
*a[n-i-1](t),i,0,n-1);
F1:F(t)=f(t)-sum(a[n-i-1](t)*
sum(x[j-i+n-1](0)*t^j)/(j!),j,0,i)
,i,0,n-1);
X1:x(t)=integrate((t-xi)^(n-1)/((n-1)!)
*X(xi),xi,0,t)+sum(x[j](0)*t^j)/(j!)
,j,0,n-1);
subst([n=5],K1);
ev(% ,sum);
lhs(IDE5);
subst([n=5],F1);
ev(% ,sum);
rhs(IDE5);
subst([n=5],X1);
ev(% ,sum);
DIN0;

```

(11.3.2) 式に (11.3.3) 式から (11.3.8) 式を代入すると、

$$\begin{aligned} & \int_0^t \left( \frac{a_0(t)(\xi-t)^4}{24} - \frac{a_1(t)(\xi-t)^3}{6} + \frac{a_2(t)(\xi-t)^2}{2} - a_3(t)(\xi-t) + a_4(t) \right) X(\xi) d\xi + a_5(t) X(t) \\ & = f(t) - x_4(0) a_4(t) - (x_4(0)t + x_3(0)) a_3(t) - \left( \frac{x_4(0)t^2}{2} + x_3(0)t + x_2(0) \right) a_2(t) \\ & \quad - \left( \frac{x_4(0)t^3}{6} + \frac{x_3(0)t^2}{2} + x_2(0)t + x_1(0) \right) a_1(t) \\ & \quad - \left( \frac{x_4(0)t^4}{24} + \frac{x_3(0)t^3}{6} + \frac{x_2(0)t^2}{2} + x_1(0)t + x_0(0) \right) a_0(t) \end{aligned}$$

上式を下記としてまとめると、

$$a_5(t) X(t) - \int_0^t K(t, \xi) X(\xi) d\xi = F(t)$$

ここで、

$$\begin{aligned} K(t, \xi) &= -a_3(t)(t-\xi) - \frac{a_0(t)(t-\xi)^4}{24} - \frac{a_1(t)(t-\xi)^3}{6} - \frac{a_2(t)(t-\xi)^2}{2} - a_4(t) \\ F(t) &= f(t) - x_4(0) a_4(t) - (x_4(0)t + x_3(0)) a_3(t) - \left( \frac{x_4(0)t^2}{2} + x_3(0)t + x_2(0) \right) a_2(t) \\ & \quad - \left( \frac{x_4(0)t^3}{6} + \frac{x_3(0)t^2}{2} + x_2(0)t + x_1(0) \right) a_1(t) \\ & \quad - \left( \frac{x_4(0)t^4}{24} + \frac{x_3(0)t^3}{6} + \frac{x_2(0)t^2}{2} + x_1(0)t + x_0(0) \right) a_0(t) \end{aligned} \quad (11.3.9)$$

上式の積分方程式から  $X(t)$  を求めることができると、(11.3.8) 式に代入し、解： $x(t)$  が得られる。

$$x(t) = \frac{1}{24} \int_0^t (\xi-t)^4 X(\xi) d\xi + \frac{x_4(0)t^4}{24} + \frac{x_3(0)t^3}{6} + \frac{x_2(0)t^2}{2} + x_1(0)t + x_0(0) \quad \text{ここで、} x(0) = x_0(0) \quad (11.3.10)$$

上記を一般化すると、

$$a_n(t) X(t) - \int_0^t K(t, \xi) X(\xi) d\xi = F(t)$$

ここで、

$$K(t, \xi) = - \sum_{i=0}^{n-1} \frac{a_{n-i-1}(t)(t-\xi)^i}{i!} \quad (11.3.11)$$

$$F(t) = f(t) - \sum_{i=0}^{n-1} a_{n-i-1}(t) \sum_{j=0}^i \frac{x_{n+j-i-1}(0)t^j}{j!}$$

上式の積分方程式から  $X(t)$  を求めることができると、次式に代入し、解： $x(t)$  が得られる。

$$x(t) = \frac{1}{(n-1)!} \int_0^t (t-\xi)^{n-1} X(\xi) d\xi + \sum_{j=0}^{n-1} \frac{x_j(0)t^j}{j!} \quad (11.3.12)$$

## 11.3.2 Bessel の微分方程式

下記の Bessel の微分方程式で第 1 種 0 次ベッセル関数:  $\alpha = 0$  を積分方程式を用いて解く。

$$t^2 \left( \frac{d^2}{dt^2} x(t) \right) + t \left( \frac{d}{dt} x(t) \right) + (t^2 - \alpha) x(t) = 0$$

初期条件:  $x_0(0) = 1, \frac{d}{dt} x(0) = x_1(0) = 0$

(11.3.13)

```
kill(all);
assume(t>0);
EQ1:t^2*diff(x(t),t,2)+t*diff(x(t),t,1)
+(t^2-\alpha)*x(t)=0;
DEN1:sum(a[i](t)*diff(x(t),t,i),i,0,n)
=f(t);
EQ2:a[n](t)*
X(t)-integrate(K(t,\xi)*X(\xi),\xi,0,t)
=F(t);
K1:K(t,\xi)=-sum((t-\xi)^i/(i!)
*a[n-i-1](t),i,0,n-1);
F1:F(t)=f(t)-sum(a[n-i-1](t)*sum(
x[(j-i+n-1)](0)*t^(j)/(j!),j,0,i),i,0,
n-1);
X1:x(t)=integrate((t-\xi)^(n-1)/((n-1)!)
*X(\xi),\xi,0,t)+sum(x[j](0)*t^(j)/(j!)
,j,0,n-1);
subst([n=2],DEN1);
DE1:ev(% ,sum);
A2:a[2](t)=t^2;
A1:a[1](t)=t;
A0:a[0](t)=t^2-\alpha;
FT1:f(t)=0;
subst([n=2],K1);
ev(% ,sum);
K11:subst([A2,A1,A0,\alpha=0],%);
subst([n=2],F1);
ev(% ,sum);
F11:subst([A2,A1,A0,FT1,\alpha=0,
x[0](0)=1,x[1](0)=0],%);
subst([n=2],X1);
ev(% ,sum);
X11:subst([x[0](0)=1,x[1](0)=0],%);
subst([n=2],EQ2);
EQ21:subst([A2,K11,F11],%);
```

(11.3.1) 式で  $n = 2$  とすると、

$$a_2(t) \left( \frac{d^2}{dt^2} x(t) \right) + a_1(t) \left( \frac{d}{dt} x(t) \right) + a_0(t) x(t) = f(t)$$

(11.3.14)

(11.3.13) 式で  $\alpha = 0$  とし、上式と比較すると、

$$a_2(t) = t^2, a_1(t) = t, a_0(t) = t^2, f(t) = 0 \quad (11.3.15)$$

(11.3.11) 式で  $n = 2$  とし、初期条件および (11.3.15) 式を代入し、 $K(t, \xi), F(t)$  を求めると、

$$\begin{aligned} K(t, \xi) &= -a_0(t)(t - \xi) - a_1(t) \\ &= -t^2(t - \xi) - t \\ F(t) &= f(t) - x_1(0)a_1(t) - (x_1(0)t + x_0(0))a_0(t) \\ &= -t^2 \end{aligned} \quad (11.3.16)$$

(11.3.12) 式で  $n = 2$  とし、初期条件および (11.3.15) 式を代入し、

$$\begin{aligned} x(t) &= \int_0^t (t - \xi) X(\xi) d\xi + x_1(0)t + x_0(0) \\ &= \int_0^t (t - \xi) X(\xi) d\xi + 1 \end{aligned} \quad (11.3.17)$$

(11.3.11) 式の積分方程式で  $n = 2$  とすると、

$$a_2(t) X(t) - \int_0^t K(t, \xi) X(\xi) d\xi = F(t)$$

上式に (11.3.16) 式および (11.3.15) 式を代入し、

$$t^2 X(t) - \int_0^t (-t^2(t - \xi) - t) X(\xi) d\xi = -t^2 \quad (11.3.18)$$

```
XX0:X(t)=sum(a[n]*t^n,n,0,10);
XX1:ev(% ,sum);
XX2:subst([t=\xi],XX1);
subst([XX1,XX2],EQ21);
ev(% ,integrate);
%-rhs(%);
EQ3:expand(%);
C0:coeff(EQ3,t,0);
C1:coeff(EQ3,t,1);
C2:coeff(EQ3,t,2);
C3:coeff(EQ3,t,3);
C4:coeff(EQ3,t,4);
C5:coeff(EQ3,t,5);
C6:coeff(EQ3,t,6);
C7:coeff(EQ3,t,7);
C8:coeff(EQ3,t,8);
C9:coeff(EQ3,t,9);
C10:coeff(EQ3,t,10);
C11:coeff(EQ3,t,11);
C12:coeff(EQ3,t,12);
C13:coeff(EQ3,t,13);
C14:coeff(EQ3,t,14);
```

```

A1:solve([C2,C3,C4,C5,C6,C7,C8,C9,C10],
[a[0],a[1],a[2],a[3],a[4],a[5],a[6],
a[7],a[8]])[1];
subst([A1],XX1);
XX3:subst([a[9]=0,a[10]=0],%);
XX31:subst([t=\xi],%);
subst([XX31],X11);
ev(% ,integrate);
expand(%);
x(t)=bessel_j(0,t);
lhs(%)=taylor(rhs(%),t,0,10);

```

(11.3.18) 式の積分方程式の解として下記を想定する。

$$\begin{aligned}
 X(t) = & a_{10} t^{10} + a_9 t^9 + a_8 t^8 + a_7 t^7 + a_6 t^6 + a_5 t^5 \\
 & + a_4 t^4 + a_3 t^3 + a_2 t^2 + a_1 t + a_0
 \end{aligned}
 \tag{11.3.19}$$

上式を (11.3.18) 式の積分方程式に代入し、積分を実行し、整理すると、

$$\begin{aligned}
 & \frac{a_{10} t^{14}}{132} + \frac{a_9 t^{13}}{110} + \frac{12 a_{10} t^{12}}{11} + \frac{a_8 t^{12}}{90} + \frac{11 a_9 t^{11}}{10} \\
 & + \frac{a_7 t^{11}}{72} + \frac{10 a_8 t^{10}}{9} + \frac{a_6 t^{10}}{56} + \frac{9 a_7 t^9}{8} + \frac{a_5 t^9}{42} \\
 & + \frac{8 a_6 t^8}{7} + \frac{a_4 t^8}{30} + \frac{7 a_5 t^7}{6} + \frac{a_3 t^7}{20} + \frac{6 a_4 t^6}{5} \\
 & + \frac{a_2 t^6}{12} + \frac{5 a_3 t^5}{4} + \frac{a_1 t^5}{6} + \frac{4 a_2 t^4}{3} + \frac{a_0 t^4}{2} \\
 & + \frac{3 a_1 t^3}{2} + 2 a_0 t^2 + t^2 = 0
 \end{aligned}$$

上式の  $t$  の同じ次数の係数比較を行い、

$$\begin{aligned}
 2 a_0 + 1 = 0, \quad \frac{3 a_1}{2} = 0, \quad \frac{4 a_2}{3} + \frac{a_0}{2} = 0, \\
 \frac{5 a_3}{4} + \frac{a_1}{6} = 0, \quad \frac{6 a_4}{5} + \frac{a_2}{12} = 0, \quad \frac{7 a_5}{6} + \frac{a_3}{20} = 0, \\
 \frac{8 a_6}{7} + \frac{a_4}{30} = 0, \quad \frac{9 a_7}{8} + \frac{a_5}{42} = 0, \quad \frac{10 a_8}{9} + \frac{a_6}{56} = 0
 \end{aligned}$$

上式を解いて、

$$\begin{aligned}
 a_0 = -\frac{1}{2}, a_1 = 0, a_2 = \frac{3}{16}, a_3 = 0, a_4 = -\frac{5}{384}, \\
 a_5 = 0, a_6 = \frac{7}{18432}, a_7 = 0, a_8 = -\frac{1}{163840}
 \end{aligned}$$

上式を (11.3.19) 式に代入し、

$$X(t) = -\frac{t^8}{163840} + \frac{7 t^6}{18432} - \frac{5 t^4}{384} + \frac{3 t^2}{16} - \frac{1}{2}$$

上式を (11.3.17) 式に代入し、

$$\begin{aligned}
 x(t) &= \int_0^t (t - \xi) \\
 &\quad \times \left( -\frac{\xi^8}{163840} + \frac{7 \xi^6}{18432} - \frac{5 \xi^4}{384} + \frac{3 \xi^2}{16} - \frac{1}{2} \right) d\xi \\
 &\quad + 1 \\
 &= -\frac{t^{10}}{14745600} + \frac{t^8}{147456} - \frac{t^6}{2304} + \frac{t^4}{64} - \frac{t^2}{4} + 1
 \end{aligned}$$

第 1 種 0 次ベッセル関数を Taylor 展開すると下記となり、上記の結果と一致している。

$$\begin{aligned}
 x(t) &= \text{bessel}_j(0, t) \\
 &= 1 - \frac{t^2}{4} + \frac{t^4}{64} - \frac{t^6}{2304} + \frac{t^8}{147456} - \frac{t^{10}}{14745600} + \dots
 \end{aligned}$$

## 11.3.3 鉛直放出体の運動

鉛直上方に放出された単位質量の運動を求める。運動方程式は下記となる。これを積分方程式を用いて解く。

$$\frac{d^2}{dt^2} x(t) - \left( \frac{d}{dt} x(t) \right) C = -G$$

初期条件:  $x_0(0) = 0, \frac{d}{dt} x(0) = x_1(0) = A$

(11.3.20)

```
kill(all);
assume(t>0);
assume(A>0);
assume(C>0);
assume(G>0);
EQ1:diff(x(t),t,2)-C*diff(x(t),t,1)=-G;
DEN1:sum(a[i](t)*diff(x(t),t,i),i,0,n)
=f(t);
EQ2:a[n](t)*
X(t)-integrate(K(t,\xi)*X(\xi),\xi,0,t)
=F(t);
K1:K(t,\xi)=-sum((t-\xi)^(i/(i!))*
a[n-i-1](t),i,0,n-1);
F1:F(t)=f(t)-sum(a[n-i-1](t)*sum(
x[(j-i+n-1)](0)*
t^(j)/(j!),j,0,i),i,0,n-1);
X1:x(t)=integrate((t-\xi)^(n-1)/((n-1)!)
*X(\xi),\xi,0,t)+sum(x[j](0)
*t^(j)/(j!),j,0,n-1);
subst([n=2],DEN1);
DE1:ev(% ,sum);
A2:a[2](t)=1;
A1:a[1](t)=-C;
A0:a[0](t)=0;
FT1:f(t)=-G;
X00:x[0](0)=0;
X01:x[1](0)=A;
subst([n=2],K1);
ev(% ,sum);
K11:subst([A2,A1,A0],%);
subst([n=2],F1);
ev(% ,sum);
F11:subst([A2,A1,A0,FT1,X00,X01],%);
subst([n=2],EQ2);
EQ21:subst([A2,A1,A0,F11,K11],%);
X2:X(t)=D*%e^(C*t)+H;
X21:subst([t=\xi],X2);
subst([X2,X21],EQ21);
ev(% ,integrate);
%-rhs(%);
```

```
X22:expand(%);
CX1:coeff(lhs(X22),t,1)=0;
CX2:coeff(lhs(X22),t,0)=0;
subst([H=0],CX2);
D1:solve(% ,D)[1];
X3:subst([H=0,D1],X2);
X31:subst([t=\xi],X3);
subst([n=2],X1);
ev(% ,sum);
subst([X31],%);
ev(% ,integrate);
subst([X00,X01],%);
X41:expand(%);
X42:ode2(EQ1,x(t),t);
CX421:subst([t=0],rhs(X42)=0);
CX422:subst([t=0],diff(rhs(X42),t,1)=A);
solve([CX421,CX422],[%k1,%k2])[1];
subst([%],X42);
expand(%);
```

常微分方程式の積分方程式による解法の一般化した式で、常微分方程式は、(11.3.1) 式から、

$$\sum_{i=0}^n a_i(t) \left( \frac{d^i}{dt^i} x(t) \right) = f(t) \quad (11.3.21)$$

積分方程式は (11.3.11) 式から、

$$a_n(t) X(t) - \int_0^t K(t, \xi) X(\xi) d\xi = F(t)$$

ここで、

$$K(t, \xi) = - \sum_{i=0}^{n-1} \frac{a_{n-i-1}(t) (t-\xi)^i}{i!}$$

$$F(t) = f(t) - \sum_{i=0}^{n-1} a_{n-i-1}(t) \sum_{j=0}^i \frac{x_{n+j-i-1}(0) t^j}{j!} \quad (11.3.22)$$

解は (11.3.12) 式から、

$$x(t) = \frac{\int_0^t (t-\xi)^{n-1} X(\xi) d\xi}{(n-1)!} + \sum_{j=0}^{n-1} \frac{x_j(0) t^j}{j!} \quad (11.3.23)$$

(11.3.21) 式に  $n=2$  を代入し、

$$a_2(t) \left( \frac{d^2}{dt^2} x(t) \right) + a_1(t) \left( \frac{d}{dt} x(t) \right) + a_0(t) x(t) = f(t)$$

上式と (11.3.20) 式を比較し、

$$a_2(t) = 1, a_1(t) = -C, a_0(t) = 0, f(t) = -G \quad (11.3.24)$$

(11.3.22) 式の  $K(t, \xi)$  式に (11.3.24) 式を代入すると、

$$K(t, \xi) = -a_0(t) (t-\xi) - a_1(t) = C \quad (11.3.25)$$

(11.3.22) 式の  $F(t)$  式に (11.3.24) 式を代入すると、

$$\begin{aligned} F(t) &= f(t) - x_1(0) a_1(t) - (x_1(0)t + x_0(0)) a_0(t) \\ &= AC - G \end{aligned} \quad (11.3.26)$$

(11.3.22) 式の積分方程式に  $n=2$  式を代入し、

$$a_2(t) X(t) - \int_0^t K(t, \xi) X(\xi) d\xi = F(t)$$

上式に (11.3.25) 式、(11.3.26) 式を代入すると、

$$X(t) - \int_0^t X(\xi) d\xi C = AC - G \quad (11.3.27)$$

上式から下記の解が予測でき、

$$X(t) = H + e^{tC} D \quad (11.3.28)$$

(11.3.27) 式に上式を代入し、その積分結果から次式が得られる。

$$-tCH + H + G + D - AC = 0$$

上式で  $t$  の同じ次数を比較して、

$$-CH = 0, \quad H + G + D - AC = 0$$

上式から、

$$H = 0, \quad D = AC - G$$

(11.3.28) 式に上式を代入し、積分方程式の解： $X(t)$  は、

$$X(t) = e^{tC} (AC - G)$$

(11.3.23) 式に上式を代入すると、常微分方程式の解： $x(t)$  は、初期条件を代入し、

$$\begin{aligned} x(t) &= \int_0^t (t - \xi) X(\xi) d\xi + x_1(0)t + x_0(0) \\ &= \int_0^t (t - \xi) e^{\xi C} d\xi (AC - G) + x_1(0)t + x_0(0) \\ &= \left( \frac{e^{tC}}{C^2} - \frac{tC + 1}{C^2} \right) (AC - G) + tA \\ &= -\frac{e^{tC} G}{C^2} + \frac{tG}{C} + \frac{G}{C^2} + \frac{Ae^{tC}}{C} - \frac{A}{C} \end{aligned} \quad (11.3.29)$$

(11.3.20) 式の常微分方程式を ode2 関数で解くと、

$$x(t) = \frac{(tC + 1)G}{C^2} + \%k1 e^{tC} + \%k2 \quad (11.3.30)$$

(11.3.20) 式の初期条件を上式に代入すると、

$$\frac{G}{C^2} + \%k2 + \%k1 = 0, \quad \frac{G}{C} + \%k1 C = A$$

上式を解いて  $\%k1, \%k2$  を求めると、

$$\%k1 = -\frac{G - AC}{C^2}, \quad \%k2 = -\frac{A}{C}$$

(11.3.30) 式に上記の結果を代入すると、解は、

$$x(t) = -\frac{e^{tC} G}{C^2} + \frac{tG}{C} + \frac{G}{C^2} + \frac{Ae^{tC}}{C} - \frac{A}{C}$$

上記の結果は、積分方程式で得られた (11.3.29) 式と一致している。



## 11.4 ボルテラ型積分方程式の数値解法

### 11.4.1 ボルテラ型第二種積分方程式 例 1

「11.2.5 ボルテラ型第二種積分方程式 例 1」で示されている下記の積分方程式を数値解法で解く。

$$\int_0^t (-6y + 6t - 5)x(y) dy + x(t) = -t \quad (11.4.1)$$

```
kill(all);
assume(t>0);
IE1:x(t)+integrate((6*t-6*y-5)*x(y),y,
0,t)=-t;
F1:f(t)=rhs(IE1);
F2:F[i]=subst([t=T[i]],rhs(%));
K1:k(t,y)=6*t-6*y-5;
K2:K[i,j]=6*T[i]-6*Y[j]-5;
K3:K[i,j-1]=6*T[i]-6*Y[j-1]-5;
IEI1:X[i]+sum(K[i,j-1]*X[j-1]*W+K[i,j]*
X[j]*W,j,2,i)=F[i];
T1:T[i]=(i)*1/N;
Y1:Y[j]=(j)*1/N;
Y2:Y[j-1]=(j-1)*1/N;
W1:W=1/N/2;
subst([K2,K3],IEI1);
subst([F2],%);
subst([W1,T1,Y1,Y2],%);
subst([N=10],%);
EQ0:ev(% ,sum);
EQ1:X[1]=0;
subst([i=2],EQ0);
EQ2:ev(% ,sum);
subst([i=3],EQ0);
EQ3:ev(% ,sum);
subst([i=4],EQ0);
EQ4:ev(% ,sum);
subst([i=5],EQ0);
EQ5:ev(% ,sum);
subst([i=6],EQ0);
EQ6:ev(% ,sum);
subst([i=7],EQ0);
EQ7:ev(% ,sum);
subst([i=8],EQ0);
EQ8:ev(% ,sum);
subst([i=9],EQ0);
EQ9:ev(% ,sum);
subst([i=10],EQ0);
EQA:ev(% ,sum);
```

```
solve([EQ1,EQ2,EQ3,EQ4,EQ5,EQ6,EQ7,EQ8,
EQ9,EQA],[X[1],X[2],X[3],X[4],X[5],X[6],
X[7],X[8],X[9],X[10]])[1];
XX:float(%);
T2:subst([N=10],rhs(T1));
LX1:[[subst([i=1],T2),rhs(XX[1])],
[subst([i=2],T2),rhs(XX[2])],
[subst([i=3],T2),rhs(XX[3])],
[subst([i=4],T2),rhs(XX[4])],
[subst([i=5],T2),rhs(XX[5])],
[subst([i=6],T2),rhs(XX[6])],
[subst([i=7],T2),rhs(XX[7])],
[subst([i=8],T2),rhs(XX[8])],
[subst([i=9],T2),rhs(XX[9])],
[subst([i=10],T2),rhs(XX[10])]];
X1:x(y)=%e^(2*y)-%e^(3*y);
X2:subst([y=t],%);
subst([X1,X2],IE1);
ev(% ,integrate);
%-rhs(%);
plot2d([[discrete,LX1],rhs(X2)],[t,0,1],
[style,points,[lines,4,2]],[legend,
"Numerical solution",
"Analytic solution"]];
```

(11.4.1) 式の積分を  $N$  分割したシンプソン数値積分で置き換えると、下記の級数となる。

$$\left( \sum_{j=2}^i K_{i,j} X_j W + K_{i,j-1} X_{j-1} W \right) + X_i = F_i \quad (i = 1 \rightarrow N)$$

ここで、 $F_i = -T_i$

$$K_{i,j-1} = -6Y_{j-1} + 6T_i - 5$$

$$K_{i,j} = -6Y_j + 6T_i - 5 \quad (11.4.2)$$

$$T_i = \frac{i}{N}$$

$$Y_j = \frac{j}{N}$$

$$Y_{j-1} = \frac{j-1}{N}$$

$$W = \frac{1}{2N}$$

上式を整理すると、

$$\left( \sum_{j=2}^i \frac{X_j \left( -\frac{6j}{N} + \frac{6i}{N} - 5 \right)}{2N} + \frac{X_{j-1} \left( -\frac{6(j-1)}{N} + \frac{6i}{N} - 5 \right)}{2N} \right) + X_i = -\frac{i}{N} \quad (i = 1 \rightarrow N) \quad (11.4.3)$$

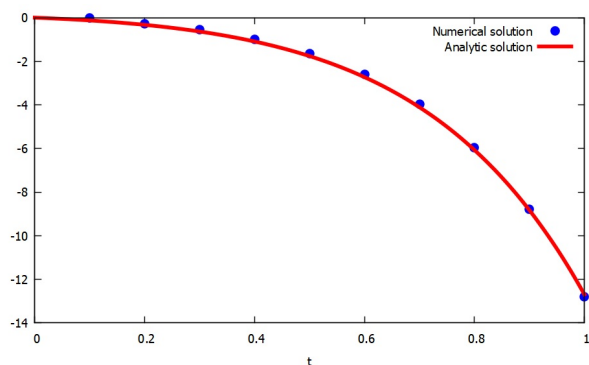
上式で  $N = 10$  として連立方程式を解き、 $[T_i, X_i]$  を求める。ここで  $t = 0$  のとき (11.4.1) 式から  $x(0) = -t = 0$  であるから、 $X_1 = 0$  である。

$$\begin{aligned} & \left[\frac{1}{10}, 0.0\right], \left[\frac{1}{5}, -0.266666666666667\right], \\ & \left[\frac{3}{10}, -0.556444444444444\right], \left[\frac{2}{5}, -0.99489185185185\right], \\ & \left[\frac{1}{2}, -1.646046182716049\right], \left[\frac{3}{5}, -2.599619706205761\right], \\ & \left[\frac{7}{10}, -3.98093933525487\right], \left[\frac{4}{5}, -5.964663570882991\right], \\ & \left[\frac{9}{10}, -8.793697544141525\right], [1, -12.80525836270776] \end{aligned}$$

(11.4.1) 式の解析解は (11.2.19) 式から、

$$x(t) = e^{2t} - e^{3t}$$

上記数値計算結果と解析結果を比較すると下図となる。



## 11.4.2 ボルテラ型第一種積分方程式 例 1

「11.2.4 ボルテラ型第一種積分方程式 例 1」で示されている下記の積分方程式を数値解法で解く。

$$\int_0^t yx(y) dy = (t-1)e^t + 1 \quad (11.4.4)$$

```
kill(all);
assume(t>0);
IE1:integrate(y*x(y),y,0,t)=(t-1)*
%e^(t)+1;
F1:f(t)=rhs(IE1);
F2:F[i]=subst([t=T[i]],rhs(%));
K1:k(t,y)=y;
K2:K[i,j]=Y[j];
IEI1:sum(K[i,j]*X[j]*W,j,1,i)=F[i];
T1:T[i]=(i)*1/N;
Y1:Y[j]=(j-1/2)*1/N;
W1:W=1/N;
subst([K2],IEI1);
subst([F2],%);
subst([W1,T1,Y1],%);
subst([N=10],%);
EQ0:ev(% ,sum);
subst([i=1],EQ0);
EQ1:ev(% ,sum);
subst([i=2],EQ0);
EQ2:ev(% ,sum);
subst([i=3],EQ0);
EQ3:ev(% ,sum);
subst([i=4],EQ0);
EQ4:ev(% ,sum);
subst([i=5],EQ0);
EQ5:ev(% ,sum);
subst([i=6],EQ0);
EQ6:ev(% ,sum);
subst([i=7],EQ0);
EQ7:ev(% ,sum);
subst([i=8],EQ0);
EQ8:ev(% ,sum);
subst([i=9],EQ0);
EQ9:ev(% ,sum);
subst([i=10],EQ0);
EQA:ev(% ,sum);
```

```
solve([EQ1,EQ2,EQ3,EQ4,EQ5,EQ6,EQ7,EQ8,
EQ9,EQA],[X[1],X[2],X[3],X[4],X[5],X[6],
X[7],X[8],X[9],X[10]])[1];
XX:float(%);
T2:subst([N=10],rhs(T1));
LX1:[[subst([i=1],T2),rhs(XX[1])],
[subst([i=2],T2),rhs(XX[2])],
[subst([i=3],T2),rhs(XX[3])],
[subst([i=4],T2),rhs(XX[4])],
[subst([i=5],T2),rhs(XX[5])],
[subst([i=6],T2),rhs(XX[6])],
[subst([i=7],T2),rhs(XX[7])],
[subst([i=8],T2),rhs(XX[8])],
[subst([i=9],T2),rhs(XX[9])],
[subst([i=10],T2),rhs(XX[10])]];
subst([x(y)=%e^y],IE1);
ev(% ,integrate);
%-rhs(%);
plot2d([[discrete,LX1],%e^t],[t,0,1],
[style ,points,lines],[y,0,3],
[style ,points,[lines,4,2]],
[legend,"Numerical solution",
"Analytic solution"]];
```

$t = 0$  のとき、 $x(0)$  は得られないので、シンプソン積分は使用できない。ここでは、(11.4.1) 式の積分を  $N$  分割した矩形数値積分で置き換えると、下記の級数となる。

$$\left( \sum_{j=1}^i K_{i,j} X_j \right) W = F_i \quad (i = 1 \rightarrow N)$$

ここで、

$$K_{i,j} = Y_j$$

$$F_i = e^{T_i} (T_i - 1) + 1 \quad (11.4.5)$$

$$T_i = \frac{i}{N}$$

$$Y_j = \frac{j - \frac{1}{2}}{N}$$

$$W = \frac{1}{N}$$

上式を整理すると、

$$\frac{\sum_{j=1}^i (j - \frac{1}{2}) X_j}{N^2} = \left( \frac{i}{N} - 1 \right) e^{\frac{i}{N}} + 1$$

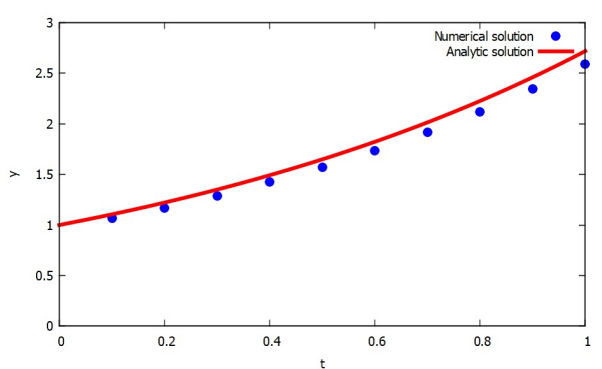
上式で  $N = 10$  として連立方程式を解き、 $[T_i, X_i]$  を求める。

$$\begin{aligned} & \left[\frac{1}{10}, 1.069234746383415\right], \left[\frac{1}{5}, 1.168774649329805\right], \\ & \left[\frac{3}{10}, 1.288841648997348\right], \left[\frac{2}{5}, 1.423038477669715\right], \\ & \left[\frac{1}{2}, 1.571870738548846\right], \left[\frac{3}{5}, 1.736602094433829\right], \\ & \left[\frac{7}{10}, 1.918795506385547\right], \left[\frac{4}{5}, 2.120235020568658\right], \\ & \left[\frac{9}{10}, 2.342916171562336\right], [1, 2.589055906481] \end{aligned}$$

(11.4.4) 式の解析解は (11.2.16) 式から、

$$x(t) = e^t$$

上記数値計算結果と解析結果を比較すると下図となる。



## 11.5 フレドホルム型積分方程式

### 11.5.1 フレドホルム型第二種積分方程式の解法 (級数)

既知関数 :  $f(t)$ 、既知関数 :  $K(t, \xi)$ 、未知関数 :  $x(t)$  とする。下記のフレドホルム型第二種積分方程式の解法を下記に示す。

$$x(t) - \alpha \int_A^B K(t, \xi) x(\xi) d\xi = f(t) \quad (11.5.1)$$

```
kill(all);
assume(t>0);
assume(\tau>0);
IE1:x(t)-\alpha*'integrate(K(t,\xi)*
x(\xi),\xi,A,B)=f(t);
IE2:x(t)=f(t)-\alpha*'integrate(G(t,\xi)
*f(\xi),\xi,A,B);
G1:G(t,\xi)=-sum(\alpha^(n-1)*k[n](t,\xi)
,n,1,inf);
K1:k[1](t,\xi)=K(t,\xi);
K2:k[2](t,\xi)=integrate(K(t,\tau)
*k[1](\tau,\xi),\tau,A,B);
K21:subst([\tau=\tau[2],t=\tau[1]],K2);
K3:k[3](t,\xi)=integrate(K(t,\tau)
*k[2](\tau,\xi),\tau,A,B);
subst([\tau=\tau[1]],K3);
subst([K21],%);
K31:subst([\tau[2]=\tau[3],\tau[1]=
\tau[2],t=\tau[1]],%);
K4:k[4](t,\xi)=integrate(K(t,\tau)
*k[3](\tau,\xi),\tau,A,B);
subst([\tau=\tau[1]],K4);
subst([K31],%);
KN:k[n](t,\xi)=integrate(K(t,\tau)
*k[n-1](\tau,\xi),\tau,A,B);
```

(11.5.1) 式の解 :  $x(t)$  は次式で得られる。

$$x(t) = f(t) - \alpha \int_A^B G(t, \xi) f(\xi) d\xi \quad (11.5.2)$$

ここで、

$$G(t, \xi) = - \sum_{n=1}^{\infty} \alpha^{n-1} k_n(t, \xi) \quad (11.5.3)$$

$k_n(t, \xi)$  は「11.2.1 ボルテラ型第二種積分方程式の解

法 (級数)」と同様に、

$$\begin{aligned} k_1(t, \xi) &= K(t, \xi) \\ k_2(t, \xi) &= \int_A^B K(t, \tau) k_1(\tau, \xi) d\tau \\ k_3(t, \xi) &= \int_A^B K(t, \tau) k_2(\tau, \xi) d\tau \\ &= \int_A^B k_2(\tau_1, \xi) K(t, \tau_1) d\tau_1 \\ &= \int_A^B \int_A^B K(\tau_1, \tau_2) k_1(\tau_2, \xi) d\tau_2 K(t, \tau_1) d\tau_1 \\ k_4(t, \xi) &= \int_A^B K(t, \tau) k_3(\tau, \xi) d\tau \\ &= \int_A^B k_3(\tau_1, \xi) K(t, \tau_1) d\tau_1 \\ &= \int_A^B \int_A^B K(\tau_1, \tau_2) \\ &\quad \times \int_A^B K(\tau_2, \tau_3) k_1(\tau_3, \xi) d\tau_3 d\tau_2 K(t, \tau_1) d\tau_1 \end{aligned} \quad (11.5.4)$$

上記から、 $k_n(t, \xi)$  は一般的に、

$$k_n(t, \xi) = \int_A^B K(t, \tau) k_{n-1}(\tau, \xi) d\tau \quad (11.5.5)$$

## 11.5.2 フレドホルム型第二種積分方程式の解法 (行列式)

既知関数 :  $f(t)$ 、既知関数 :  $K(t, \xi)$ 、未知関数 :  $x(t)$  とする。下記のフレドホルム型第二種積分方程式の解法を下記に示す。

$$x(t) - \alpha \int_A^B K(t, \xi) x(\xi) d\xi = f(t) \quad (11.5.6)$$

```
kill(all);
assume(t>0);
assume(\tau>0);
IE1:x(t)-\alpha*'integrate(K(t,\xi)*x(\xi),\xi,A,B)=f(t);
IE2:x(t)=f(t)-\alpha*'integrate(G(t,\xi)*f(\xi),\xi,A,B);
G1:G(t,\xi)=-\Delta(t,\xi)/\Delta(\alpha);
M21:matrix([K(t,\xi),K(t,\xi[1])],[K(\xi[1],\xi),K(\xi[1],\xi[1])]);
M22:matrix([K(t,\xi),K(t,\xi[1]),K(t,\xi[2])],[K(\xi[1],\xi),K(\xi[1],\xi[1]),
K(\xi[1],\xi[2])],[K(\xi[2],\xi),K(\xi[2],\xi[1]),K(\xi[2],\xi[2])]);
M23:matrix([K(t,\xi),K(t,\xi[1]),K(t,\xi[2]),K(t,\xi[3])],[K(\xi[1],\xi),
K(\xi[1],\xi[1]),K(\xi[1],\xi[2]),K(\xi[1],\xi[3])],[K(\xi[2],\xi),K(\xi[2],\xi[1]),
K(\xi[2],\xi[2]),K(\xi[2],\xi[3])],[K(\xi[3],\xi),K(\xi[3],\xi[1]),K(\xi[3],\xi[2]),
K(\xi[3],\xi[3])]);
M24:matrix([K(t,\xi),K(t,\xi[1]),K(t,\xi[2]),K(t,\xi[3]),K(t,\xi[4])],[K(\xi[1],\xi),
K(\xi[1],\xi[1]),K(\xi[1],\xi[2]),K(\xi[1],\xi[3]),K(\xi[1],\xi[4])],[K(\xi[2],\xi),
K(\xi[2],\xi[1]),K(\xi[2],\xi[2]),K(\xi[2],\xi[3]),K(\xi[2],\xi[4])],[K(\xi[3],\xi),
K(\xi[3],\xi[1]),K(\xi[3],\xi[2]),K(\xi[3],\xi[3]),K(\xi[3],\xi[4])],[K(\xi[4],\xi),
K(\xi[4],\xi[1]),K(\xi[4],\xi[2]),K(\xi[4],\xi[3]),K(\xi[4],\xi[4])]);
M2N:matrix([K(t,\xi),K(t,\xi[1]),K(t,\xi[2]),K(t,\xi[3]),K(t,\xi[n])],[K(\xi[1],\xi),
K(\xi[1],\xi[1]),K(\xi[1],\xi[2]),K(\xi[1],\xi[3]),K(\xi[1],\xi[n])],[K(\xi[2],\xi),
K(\xi[2],\xi[1]),K(\xi[2],\xi[2]),K(\xi[2],\xi[3]),K(\xi[2],\xi[n])],[K(\xi[3],\xi),
K(\xi[3],\xi[1]),K(\xi[3],\xi[2]),K(\xi[3],\xi[3]),K(\xi[3],\xi[n])],[K(\xi[n],\xi),
K(\xi[n],\xi[1]),K(\xi[n],\xi[2]),K(\xi[n],\xi[3]),K(\xi[n],\xi[n])]);
G2:\Delta(t,\xi)=K(t,\xi)+(-1*\alpha)^(1)/(1!)*'integrate(M21,\xi[1],A,B)
+(-1*\alpha)^(2)/(2!)*'integrate('integrate(M22,\xi[1],A,B),\xi[2],A,B)
+(-1*\alpha)^(3)/(3!)*'integrate('integrate('integrate(M23,\xi[1],A,B),\xi[2],A,B),
\xi[3],A,B)
+(-1*\alpha)^(4)/(4!)*'integrate('integrate('integrate('integrate(M24,\xi[1],A,B),
\xi[2],A,B),\xi[3],A,B),\xi[4],A,B)
+(-1*\alpha)^(n)/(n!)*'integrate('integrate('integrate('integrate(M2N,\xi[1],A,B),
\xi[2],A,B),\xi[3],A,B),\xi[n],A,B);
G21:\Delta(t,\xi)=K(t,\xi)+'sum((-1*\alpha)^(n)/(n!)*'integrate('integrate('integrate
('integrate(M2N,\xi[1],A,B),\xi[2],A,B),\xi[3],A,B),\xi[n],A,B),n,1,inf);
M31:K(\xi[1],\xi[1]);
M32:matrix([K(\xi[1],\xi[1]),K(\xi[1],\xi[2])],[K(\xi[2],\xi[1]),K(\xi[2],\xi[2])]);
M33:matrix([K(\xi[1],\xi[1]),K(\xi[1],\xi[2]),K(\xi[1],\xi[3])],[K(\xi[2],\xi[1]),
K(\xi[2],\xi[2]),K(\xi[2],\xi[3])],[K(\xi[3],\xi[1]),K(\xi[3],\xi[2]),
K(\xi[3],\xi[3])]);
```

```

M34:matrix([K(xi[1],xi[1]),K(xi[1],xi[2]),K(xi[1],xi[3]),K(xi[1],xi[4])],
[K(xi[2],xi[1]),K(xi[2],xi[2]),K(xi[2],xi[3]),K(xi[2],xi[4])],
[K(xi[3],xi[1]),K(xi[3],xi[2]),K(xi[3],xi[3]),K(xi[3],xi[4])],
[K(xi[4],xi[1]),K(xi[4],xi[2]),K(xi[4],xi[3]),K(xi[4],xi[4])]);
M3N:matrix([K(xi[1],xi[1]),K(xi[1],xi[2]),K(xi[1],xi[3]),K(xi[1],xi[n])],
[K(xi[2],xi[1]),K(xi[2],xi[2]),K(xi[2],xi[3]),K(xi[2],xi[n])],
[K(xi[3],xi[1]),K(xi[3],xi[2]),K(xi[3],xi[3]),K(xi[3],xi[n])],
[K(xi[n],xi[1]),K(xi[n],xi[2]),K(xi[n],xi[3]),K(xi[n],xi[n])]);
G3:\Delta(alpha)=1+(-1*alpha)^(1)/(1!)*integrate(M31,xi[1],A,B)
+(-1*alpha)^(2)/(2!)*integrate('integrate(M32,xi[1],A,B),xi[2],A,B)
+(-1*alpha)^(3)/(3!)*integrate('integrate('integrate(M33,xi[1],A,B),xi[2],A,B),
xi[3],A,B)
+(-1*alpha)^(4)/(4!)*integrate('integrate('integrate('integrate(M34,xi[1],A,B),
xi[2],A,B),xi[3],A,B),xi[4],A,B)+(-1*alpha)^(n)/(n!)*integrate('integrate
('integrate('integrate(M3N,xi[1],A,B),xi[2],A,B),xi[3],A,B),xi[n],A,B);
G31:\Delta(alpha)=1+'sum((-1*alpha)^(n)/(n!)*integrate('integrate('integrate
('integrate(M3N,xi[1],A,B),xi[2],A,B),xi[3],A,B),xi[n],A,B),n,1,inf);
    
```

(11.5.6) 式の解:  $x(t)$  は次式で得られる。

$$x(t) = f(t) - \alpha \int_A^B G(t, \xi) f(\xi) d\xi \tag{11.5.7}$$

ここで、

$$G(t, \xi) = -\frac{\Delta(t, \xi)}{\Delta(\alpha)} \tag{11.5.8}$$

(11.5.8) 式の  $\Delta(t, \xi)$  は、

$$\begin{aligned}
 \Delta(t, \xi) = & \frac{(-\alpha)^n}{n!} \int_A^B \int_A^B \int_A^B \dots \int_A^B \begin{bmatrix} K(t, \xi) & K(t, \xi_1) & K(t, \xi_2) & K(t, \xi_3) & \dots & K(t, \xi_n) \\ K(\xi_1, \xi) & K(\xi_1, \xi_1) & K(\xi_1, \xi_2) & K(\xi_1, \xi_3) & \dots & K(\xi_1, \xi_n) \\ K(\xi_2, \xi) & K(\xi_2, \xi_1) & K(\xi_2, \xi_2) & K(\xi_2, \xi_3) & \dots & K(\xi_2, \xi_n) \\ K(\xi_3, \xi) & K(\xi_3, \xi_1) & K(\xi_3, \xi_2) & K(\xi_3, \xi_3) & \dots & K(\xi_3, \xi_n) \\ \vdots & \vdots & \vdots & \vdots & \ddots & \vdots \\ K(\xi_n, \xi) & K(\xi_n, \xi_1) & K(\xi_n, \xi_2) & K(\xi_n, \xi_3) & \dots & K(\xi_n, \xi_n) \end{bmatrix} d\xi_1 d\xi_2 d\xi_3 \dots d\xi_n \\
 & + \dots + \frac{\alpha^4}{24} \int_A^B \int_A^B \int_A^B \int_A^B \begin{bmatrix} K(t, \xi) & K(t, \xi_1) & K(t, \xi_2) & K(t, \xi_3) & K(t, \xi_4) \\ K(\xi_1, \xi) & K(\xi_1, \xi_1) & K(\xi_1, \xi_2) & K(\xi_1, \xi_3) & K(\xi_1, \xi_4) \\ K(\xi_2, \xi) & K(\xi_2, \xi_1) & K(\xi_2, \xi_2) & K(\xi_2, \xi_3) & K(\xi_2, \xi_4) \\ K(\xi_3, \xi) & K(\xi_3, \xi_1) & K(\xi_3, \xi_2) & K(\xi_3, \xi_3) & K(\xi_3, \xi_4) \\ K(\xi_4, \xi) & K(\xi_4, \xi_1) & K(\xi_4, \xi_2) & K(\xi_4, \xi_3) & K(\xi_4, \xi_4) \end{bmatrix} d\xi_1 d\xi_2 d\xi_3 d\xi_4 \\
 & - \frac{\alpha^3}{6} \int_A^B \int_A^B \int_A^B \begin{bmatrix} K(t, \xi) & K(t, \xi_1) & K(t, \xi_2) & K(t, \xi_3) \\ K(\xi_1, \xi) & K(\xi_1, \xi_1) & K(\xi_1, \xi_2) & K(\xi_1, \xi_3) \\ K(\xi_2, \xi) & K(\xi_2, \xi_1) & K(\xi_2, \xi_2) & K(\xi_2, \xi_3) \\ K(\xi_3, \xi) & K(\xi_3, \xi_1) & K(\xi_3, \xi_2) & K(\xi_3, \xi_3) \end{bmatrix} d\xi_1 d\xi_2 d\xi_3 \\
 & + \frac{\alpha^2}{2} \int_A^B \int_A^B \begin{bmatrix} K(t, \xi) & K(t, \xi_1) & K(t, \xi_2) \\ K(\xi_1, \xi) & K(\xi_1, \xi_1) & K(\xi_1, \xi_2) \\ K(\xi_2, \xi) & K(\xi_2, \xi_1) & K(\xi_2, \xi_2) \end{bmatrix} d\xi_1 d\xi_2 \\
 & - \alpha \int_A^B \begin{bmatrix} K(t, \xi) & K(t, \xi_1) \\ K(\xi_1, \xi) & K(\xi_1, \xi_1) \end{bmatrix} d\xi_1 + K(t, \xi)
 \end{aligned} \tag{11.5.9}$$

上式を一般化すると、

$$\begin{aligned}
 \Delta(t, \xi) = & \sum_{n=1}^{\infty} \frac{\alpha^n (-1)^n}{n!} \int_A^B \int_A^B \int_A^B \dots \int_A^B \begin{bmatrix} K(t, \xi) & K(t, \xi_1) & K(t, \xi_2) & K(t, \xi_3) & \dots & K(t, \xi_n) \\ K(\xi_1, \xi) & K(\xi_1, \xi_1) & K(\xi_1, \xi_2) & K(\xi_1, \xi_3) & \dots & K(\xi_1, \xi_n) \\ K(\xi_2, \xi) & K(\xi_2, \xi_1) & K(\xi_2, \xi_2) & K(\xi_2, \xi_3) & \dots & K(\xi_2, \xi_n) \\ K(\xi_3, \xi) & K(\xi_3, \xi_1) & K(\xi_3, \xi_2) & K(\xi_3, \xi_3) & \dots & K(\xi_3, \xi_n) \\ \vdots & \vdots & \vdots & \vdots & \ddots & \vdots \\ K(\xi_n, \xi) & K(\xi_n, \xi_1) & K(\xi_n, \xi_2) & K(\xi_n, \xi_3) & \dots & K(\xi_n, \xi_n) \end{bmatrix} d\xi_1 d\xi_2 d\xi_3 \dots d\xi_n \\
 & + K(t, \xi)
 \end{aligned} \tag{11.5.10}$$

(11.5.8) 式の  $\Delta(\alpha)$  は、

$$\begin{aligned}
 \Delta(\alpha) = & \frac{(-\alpha)^n}{n!} \int_A^B \int_A^B \int_A^B \cdots \int_A^B \begin{bmatrix} K(\xi_1, \xi_1) & K(\xi_1, \xi_2) & K(\xi_1, \xi_3) & \cdots & K(\xi_1, \xi_n) \\ K(\xi_2, \xi_1) & K(\xi_2, \xi_2) & K(\xi_2, \xi_3) & \cdots & K(\xi_2, \xi_n) \\ K(\xi_3, \xi_1) & K(\xi_3, \xi_2) & K(\xi_3, \xi_3) & \cdots & K(\xi_3, \xi_n) \\ \vdots & \vdots & \vdots & \ddots & \vdots \\ K(\xi_n, \xi_1) & K(\xi_n, \xi_2) & K(\xi_n, \xi_3) & \cdots & K(\xi_n, \xi_n) \end{bmatrix} d\xi_1 d\xi_2 d\xi_3 \cdots d\xi_n \\
 & + \cdots + \frac{\alpha^4}{24} \int_A^B \int_A^B \int_A^B \int_A^B \begin{bmatrix} K(\xi_1, \xi_1) & K(\xi_1, \xi_2) & K(\xi_1, \xi_3) & K(\xi_1, \xi_4) \\ K(\xi_2, \xi_1) & K(\xi_2, \xi_2) & K(\xi_2, \xi_3) & K(\xi_2, \xi_4) \\ K(\xi_3, \xi_1) & K(\xi_3, \xi_2) & K(\xi_3, \xi_3) & K(\xi_3, \xi_4) \\ K(\xi_4, \xi_1) & K(\xi_4, \xi_2) & K(\xi_4, \xi_3) & K(\xi_4, \xi_4) \end{bmatrix} d\xi_1 d\xi_2 d\xi_3 d\xi_4 \\
 & - \frac{\alpha^3}{6} \int_A^B \int_A^B \int_A^B \begin{bmatrix} K(\xi_1, \xi_1) & K(\xi_1, \xi_2) & K(\xi_1, \xi_3) \\ K(\xi_2, \xi_1) & K(\xi_2, \xi_2) & K(\xi_2, \xi_3) \\ K(\xi_3, \xi_1) & K(\xi_3, \xi_2) & K(\xi_3, \xi_3) \end{bmatrix} d\xi_1 d\xi_2 d\xi_3 \\
 & + \frac{\alpha^2}{2} \int_A^B \int_A^B \begin{bmatrix} K(\xi_1, \xi_1) & K(\xi_1, \xi_2) \\ K(\xi_2, \xi_1) & K(\xi_2, \xi_2) \end{bmatrix} d\xi_1 d\xi_2 - \alpha \int_A^B K(\xi_1, \xi_1) d\xi_1 + 1
 \end{aligned} \tag{11.5.11}$$

上式を一般化すると、

$$\Delta(\alpha) = \sum_{n=1}^{\infty} \frac{\alpha^n (-1)^n}{n!} \int_A^B \int_A^B \int_A^B \cdots \int_A^B \begin{bmatrix} K(\xi_1, \xi_1) & K(\xi_1, \xi_2) & K(\xi_1, \xi_3) & \cdots & K(\xi_1, \xi_n) \\ K(\xi_2, \xi_1) & K(\xi_2, \xi_2) & K(\xi_2, \xi_3) & \cdots & K(\xi_2, \xi_n) \\ K(\xi_3, \xi_1) & K(\xi_3, \xi_2) & K(\xi_3, \xi_3) & \cdots & K(\xi_3, \xi_n) \\ \vdots & \vdots & \vdots & \ddots & \vdots \\ K(\xi_n, \xi_1) & K(\xi_n, \xi_2) & K(\xi_n, \xi_3) & \cdots & K(\xi_n, \xi_n) \end{bmatrix} d\xi_1 d\xi_2 d\xi_3 \cdots d\xi_n + 1 \tag{11.5.12}$$



### 11.5.3 パンシュール・グルサー核を持つフレドホルム型第二種積分方程式の解法

既知関数 :  $f(t)$ 、既知関数 :  $K(t, \xi)$ 、未知関数 :  $x(t)$  とする。下記のフレドホルム型第二種積分方程式の解法を下記に示す。

$$x(t) - \alpha \int_A^B K(t, \xi) x(\xi) d\xi = f(t) \quad (11.5.13)$$

ここで  $K(t, \xi)$  が下記のように表せるとき、パンシュール・グルサー核という。

$$K(t, \xi) = \sum_{i=1}^n a_i(t) b_i(\xi) \quad (11.5.14)$$

```
kill(all);
assume(t>0);
assume(\xi>0);
IE1:x(t)-\alpha*integrate(K(t,\xi)
*x(\xi),\xi,A,B)=f(t);
K1:K(t,\xi)=sum(a[i](t)*b[i](\xi),i,1,n);
DL1:integrate(b[i](\xi)*x(\xi),\xi,A,B)
=\delta[i];
DL2:rhs(%)=lhs(%);
DL3:subst([i=j,\xi=t],DL1);
subst([K1],IE1);
x(t)-\alpha*sum(integrate(x(\xi)*a[i](t)
*b[i](\xi),\xi,A,B),i,1,n)=f(t);
IE2:subst([DL1],%);
IE2*b[j](t);
IE21:expand(%);
IE22:first(lhs(IE21));
IE23:last(lhs(IE21));
IE231:-\alpha*b[j](t)*delta[i]*a[i](t);
IE24:rhs(IE21);
IE3:integrate(IE22,t,A,B)+sum(integrate
(IE231,t,A,B),i,1,n)=integrate(IE24,t,
A,B);
IE31:integrate(a[i](t)*b[j](t),t,A,B)
=k[j,i];
IE32:integrate(f(t)*b[j](t),t,A,B)=c[j];
IE4:subst([DL3,IE31,IE32],IE3);
IE2-last(lhs(IE2));
```

(11.5.13) 式に (11.5.14) 式を代入すると、

$$x(t) - \alpha \int_A^B x(\xi) \sum_{i=1}^n a_i(t) b_i(\xi) d\xi = f(t)$$

和と積分の順序を変え、

$$x(t) - \alpha \sum_{i=1}^n a_i(t) \int_A^B b_i(\xi) x(\xi) d\xi = f(t) \quad (11.5.15)$$

上式の積分を下記に置き換える。

$$\int_A^B b_i(\xi) x(\xi) d\xi = \delta_i \quad (11.5.16)$$

(11.5.13) 式に上式を代入すると、

$$x(t) - \alpha \sum_{i=1}^n \delta_i a_i(t) = f(t) \quad (11.5.17)$$

上式に  $b_j(t)$  を掛け、積分すると、

$$\begin{aligned} \int_A^B b_j(t) x(t) dt - \alpha \sum_{i=1}^n \delta_i \int_A^B a_i(t) b_j(t) dt \\ = \int_A^B f(t) b_j(t) dt \end{aligned} \quad (11.5.18)$$

ここで、下記とすると、

$$\int_A^B a_i(t) b_j(t) dt = k_{j,i}, \quad \int_A^B f(t) b_j(t) dt = c_j \quad (11.5.19)$$

(11.5.18) 式は、

$$\delta_j - \alpha \sum_{i=1}^n \delta_i k_{j,i} = c_j \quad (11.5.20)$$

上式の連立方程式から、 $\delta_i$  が得られる。これを用いて、(11.5.17) 式から解 :  $x(t)$  が得られる。

$$x(t) = \alpha \left( \sum_{i=1}^n \delta_i a_i(t) \right) + f(t) \quad (11.5.21)$$

### 11.5.4 フレドホルム型同次積分方程式の解法

既知関数:  $K(t, \xi)$ 、未知関数:  $x(t)$  とする。下記のフレドホルム型同次積分方程式の解法を下記に示す。

$$x(t) - \alpha \int_A^B K(t, \xi) x(\xi) d\xi = 0 \quad (11.5.22)$$

```
kill(all);
assume(t>0);
assume(\tau>0);
IE1:x(t)-\alpha*'integrate(K(t,\xi)*
  x(\xi),\xi,A,B)=0;
\Delta(\alpha)=0;
x(t)=sum(\Delta(t,C[i],\alpha[i]),i,1,N);
```

「11.5.2 フレドホルム型第二種積分方程式の解法 (行列式)」で (11.5.11) 式、(11.5.12) 式の  $\Delta(\alpha)$  および (11.5.9) 式、(11.5.10) 式の  $\Delta(t, \xi)$  から、

$$\begin{aligned} \Delta(\alpha) \neq 0 \quad \text{なら、解は} \quad x = 0 \\ \Delta(\alpha) = 0, \frac{d}{d\alpha} \Delta(\alpha) \neq 0 \quad \text{なら、解は} \\ x(t) = \Delta(t, C_i, \alpha_i) \end{aligned} \quad (11.5.23)$$

ここで、 $\Delta(t, C_i, \alpha_i)$  は  $\Delta(\alpha) = 0$ 、となる  $\alpha_i$  で  $\Delta(t, \xi)$  の  $\xi$  を適当な係数:  $C_i$  に置き換えたものである。以上から解は、

$$x(t) = \sum_{i=1}^N \Delta(t, C_i, \alpha_i) \quad (11.5.24)$$

11.5.5 フレドホルム型第一種積分方程式の解法

既知関数 :  $f(t)$ 、既知関数 :  $K(t, \xi)$ 、未知関数 :  $x(t)$  とする。下記のフレドホルム型第一種積分方程式の解法を下記に示す。

$$\int_A^B K(t, \xi) x(\xi) d\xi = f(t) \quad (11.5.25)$$

```
kill(all);
assume(t>0);
assume(xi>0);
IE1:'integrate(K(t,xi)*x(xi),xi,A,B)
=f(t);
IE11:'integrate(K(t,xi)*x(xi),xi,A,t)
-'integrate(K(t,xi)*x(xi),xi,B,t)
=f(t);
diff(first(lhs(IE11)),t,1);
IE12:first(%) + subst([K(t,t)=K(t,t[m])],
last(%));
diff(last(lhs(IE11)),t,1);
IE13:first(%) + subst([K(t,t)=K(t,t[p])],
last(%));
IE14:diff(rhs(IE11),t,1);
IE12+IE13=IE14;
IE2:integrate('diff(K(t,xi),t,1)*x(xi),
xi,A,B)+factor(x(t)*K(t,t[m])-x(t)*
K(t,t[p]))=rhs(%);
LT3:K(t,t[p])-K(t,t[m])=-L(t);
subst([LT3],IE2);
expand(%/L(t));
```

(11.5.25) 式の左辺の積分を次式のように  $t$  で分け、

$$\int_A^t K(t, \xi) x(\xi) d\xi - \int_B^t K(t, \xi) x(\xi) d\xi = f(t)$$

上式を  $t$  で微分すると、

$$-\int_B^t \left(\frac{d}{dt} K(t, \xi)\right) x(\xi) d\xi + \int_A^t \left(\frac{d}{dt} K(t, \xi)\right) x(\xi) d\xi - x(t) K(t, t+) + x(t) K(t, t-) = \frac{d}{dt} f(t)$$

上式を整理し、

$$\int_A^B \left(\frac{d}{dt} K(t, \xi)\right) x(\xi) d\xi - x(t) (K(t, t_p) - K(t, t_m)) = \frac{d}{dt} f(t) \quad (11.5.26)$$

上式の次式で  $K(t, \xi)$  が  $\xi$  で  $L(t)$  の跳躍がある場合、下記の置き換えを行い、

$$K(t, t+) - K(t, t-) = -L(t) \quad (11.5.27)$$

(11.5.26) 式に上式を代入し、

$$\frac{\int_A^B \left(\frac{d}{dt} K(t, \xi)\right) x(\xi) d\xi}{L(t)} + x(t) = \frac{\frac{d}{dt} f(t)}{L(t)} \quad (11.5.28)$$

```
PH1:\xi=\phi(t);
PH2:t=\psi(xi);
IE21:'integrate(K(t,xi)*x(xi),xi,A,
\phi(t))-integrate(K(t,xi)*x(xi),
xi,B,\phi(t))=f(t);
diff(first(lhs(IE21)),t,1);
IE22:first(%) + subst([K(t,\phi(t))=
K(t,\phi[m](t))],last(%));
diff(last(lhs(IE21)),t,1);
IE23:first(%) + subst([K(t,\phi(t))=
K(t,\phi[p](t))],last(%));
IE22+IE23=IE14;
IE24:subst([x(\phi(t))=x(t)],%);
IE25:factor(rest(lhs(IE24),2));
LT1:K(t,\phi[p](t))-K(t,\phi[m](t))=-L(t);
LT2:rhs(%)=lhs(%);
subst([LT1],IE25);
integrate('diff(K(t,xi),t,1)*x(xi),
xi,A,B)+%=IE14;
%/L(t)*('diff(\phi(t),t,1));
IE3:expand(%);
```

$K(t, \xi)$  が下記の  $\xi = \phi(t)$  で連続的に  $L(t)$  の跳躍がある場合は、

$$\xi = \phi(t), \quad \text{逆関数 } t = \psi(\xi)$$

(11.5.25) 式の左辺の積分を次式のように  $\phi(t)$  で分け、

$$\int_A^{\phi(t)} K(t, \xi) x(\xi) d\xi - \int_B^{\phi(t)} K(t, \xi) x(\xi) d\xi = f(t)$$

上式を  $t$  で微分すると、

$$-\int_B^{\phi(t)} \left(\frac{d}{dt} K(t, \xi)\right) x(\xi) d\xi + \int_A^{\phi(t)} \left(\frac{d}{dt} K(t, \xi)\right) x(\xi) d\xi + x(\phi(t)) \left(\frac{d}{dt} \phi(t)\right) (-K(t, \phi(t+) + K(t, \phi(t-))) = \frac{d}{dt} f(t) \quad (11.5.29)$$

下記の置き換えを行い、

$$K(t, \phi(t+) - K(t, \phi(t-) = -L(t) \quad (11.5.30)$$

(11.5.29) 式に上式を代入し、

$$\int_A^B \left[ \frac{\left(\frac{d}{dt} K(t, \xi)\right)}{L(t) \left(\frac{d}{dt} \phi(t)\right)} \right]_{t=\psi(\tau)} x(\xi) d\xi + x(\tau) = \left[ \frac{\frac{d}{dt} f(t)}{L(t) \left(\frac{d}{dt} \phi(t)\right)} \right]_{t=\psi(\tau)} \quad (11.5.31)$$

### 11.5.6 フレドホルム型同次積分方程式 例 1

下記の積分方程式を解き、 $x(t)$  を求める。

$$x(t) = \alpha \int_0^1 (t - 4\xi) x(\xi) d\xi \quad (11.5.32)$$

```
kill(all);
IE1:x(t)=\alpha*integrate((t-4*\xi)*
  x(\xi),\xi,0,1);
X1:x(t)=a[3]*t^3+a[2]*t^2+a[1]*t+a[0];
X2:subst([t=\xi],X1);
X3:subst([X1,X2],IE1);
ev(%,integrate);
%-rhs(%);
IE2:expand(%);
A3:coeff(IE2,t,3);
A2:coeff(IE2,t,2);
coeff(IE2,t,1);
A1:subst([A2,A3],%);
coeff(IE2,t,0);
A0:subst([A2,A3],%);
solve([A0,A1],[a[0],a[1]]);
A11:coeff(lhs(A0),a[1],1);
A12:coeff(lhs(A0),a[0],1);
A21:coeff(lhs(A1),a[1],1);
A22:coeff(lhs(A1),a[0],1);
MTA1:matrix([A11,A12],[A21,A22]);
determinant(MTA1)=0;
AL1:solve(%,\alpha);
AL11:AL1[1];
AL12:AL1[2];
```

(11.5.32) 式の被積分関数の形から、 $x(t)$  は  $t$  の多項式であることが予測される。そこで  $x(t)$  を次式のように置き、

$$x(t) = a_3 t^3 + a_2 t^2 + a_1 t + a_0 \quad (11.5.33)$$

(11.5.32) 式に上式を代入すると、

$$\begin{aligned} & a_3 t^3 + a_2 t^2 + a_1 t + a_0 \\ &= \alpha \int_0^1 (t - 4\xi) (a_3 \xi^3 + a_2 \xi^2 + a_1 \xi + a_0) d\xi \end{aligned}$$

上式の積分を実行し、右辺項を左辺に移項し整理すると、

$$\begin{aligned} & a_3 t^3 + a_2 t^2 - \frac{a_3 \alpha t}{4} - \frac{a_2 \alpha t}{3} - \frac{a_1 \alpha t}{2} - a_0 \alpha t \\ &+ a_1 t + \frac{4 a_3 \alpha}{5} + a_2 \alpha + \frac{4 a_1 \alpha}{3} + 2 a_0 \alpha + a_0 = 0 \end{aligned}$$

$t$  の同じ次数の係数比較を行い、

$$\begin{aligned} a_3 &= 0 \\ a_2 &= 0 \\ -\frac{a_3 \alpha}{4} - \frac{a_2 \alpha}{3} - \frac{a_1 \alpha}{2} - a_0 \alpha + a_1 &= 0 \\ -\frac{a_1 \alpha}{2} - a_0 \alpha + a_1 &= 0 \end{aligned}$$

上式から、 $a_3 = 0, a_2 = 0$  であるから、この結果を上式に代入し、

$$\begin{aligned} \frac{4 a_1 \alpha}{3} + 2 a_0 \alpha + a_0 &= 0 \\ -\frac{a_1 \alpha}{2} - a_0 \alpha + a_1 &= 0 \end{aligned} \quad (11.5.34)$$

上式を解くと、下記となり解が得られない。

$$a_0 = 0, a_1 = 0$$

そこで (11.5.34) 式の係数行列式から  $\alpha$  を求める。

$$\begin{bmatrix} \frac{4\alpha}{3} & 2\alpha + 1 \\ 1 - \frac{\alpha}{2} & -\alpha \end{bmatrix} = 0$$

上記の行列式は、

$$-\frac{4\alpha^2}{3} - \left(1 - \frac{\alpha}{2}\right) (2\alpha + 1) = 0$$

上式を解いて、

$$\alpha = -\frac{\sqrt{33} + 9}{4}, \quad \alpha = \frac{\sqrt{33} - 9}{4} \quad (11.5.35)$$

```
A31:subst([AL11],A0);
A32:subst([AL11],A1);
A41:solve([A31,A32],[a[0],a[1]])[1];
subst(%r1=1,A41);
subst(%,X1);
X11:subst([A2,A3],%);
X13:subst([t=\xi],X11);
subst([X11,X13,AL11],IE1);
ev(%,integrate);
%-rhs(%);
factor(%);
```

$\alpha = -\frac{\sqrt{33}+9}{4}$  の場合、(11.5.34) 式は、

$$\begin{aligned} & -\frac{(\sqrt{33} + 9) a_1}{3} - \frac{(\sqrt{33} + 9) a_0}{2} + a_0 = 0 \\ & \frac{(\sqrt{33} + 9) a_1}{8} + a_1 + \frac{(\sqrt{33} + 9) a_0}{4} = 0 \end{aligned}$$

上式を解くと、

$$a_0 = \frac{\sqrt{33} \%r1 - 15 \%r1}{12}, a_1 = \%r1$$

$a_1 = 1$  とすると、

$$a_0 = \frac{\sqrt{33} - 15}{12}, a_1 = 1$$

上式から、 $x(t)$  は、

$$x(t) = t + \frac{\sqrt{33} - 15}{12}$$

上式を (11.5.32) 式に代入すると、確かに満足している。

```
A31:subst([AL12],A0);
A32:subst([AL12],A1);
A42:solve([A31,A32],[a[0],a[1]])[1];
subst(%r2=1,A42);
subst(% ,X1);
X11:subst([A2,A3],%);
X13:subst([t=\xi],X11);
subst([X11,X13,AL12],IE1);
ev(% ,integrate);
%-rhs(%);
factor(%);
```

$\alpha = \frac{\sqrt{33}-9}{4}$  の場合、(11.5.34) 式は、

$$\frac{(\sqrt{33}-9)a_1}{3} + \frac{(\sqrt{33}-9)a_0}{2} + a_0 = 0$$

$$-\frac{(\sqrt{33}-9)a_1}{8} + a_1 - \frac{(\sqrt{33}-9)a_0}{4} = 0$$

上式を解くと、

$$a_0 = -\frac{\sqrt{33}\%r2 + 15\%r2}{12}, a_1 = \%r2$$

$a_1 = 1$  とすると、

$$a_0 = -\frac{\sqrt{33} + 15}{12}, a_1 = 1$$

上式から、 $x(t)$  は、

$$x(t) = t - \frac{\sqrt{33} + 15}{12}$$

上式を (11.5.32) 式に代入すると、確かに満足している。

## 11.5.7 フレドホルム型第二種積分方程式

## 例 1

下記の積分方程式を解き、 $x(t)$  を求める。

$$x(t) - \alpha \int_0^1 (\xi + t) x(\xi) d\xi = f(t) \quad (11.5.36)$$

```
kill(all);
IE1:x(t)-\alpha*integrate((t+\xi)*x(\xi),
 \xi,0,1)=f(t);
x(t)=f(t)+\alpha*integrate((t)*x(\xi),
 \xi,0,1)+\alpha*integrate((\xi)*x(\xi),
 \xi,0,1);
X1:x(t)=f(t)+(a[1]*t+a[0]);
X2:subst([t=\xi],X1);
X3:subst([X1,X2],IE1);
DX3:-\alpha*(t+\xi)*x(\xi);
subst([X2],DX3);
DX4:expand(%);
%-first(%);
%-first(%);
IE2:lhs(X3)-first(lhs(X3))+integrate(%,
 \xi,0,1)-\alpha*integrate(t*f(\xi),\xi,
 0,1)-\alpha*integrate(\xi*f(\xi),\xi,
 0,1)=f(t);
IF1:integrate(\xi*f(\xi),\xi,0,1)=F[2];
IF11:rhs(%)=lhs(%);
IF2:integrate(f(\xi),\xi,0,1)=F[1];
IF21:rhs(%)=lhs(%);
subst([IF1,IF2],IE2);
expand(%);
ev(%,integrate);
%-rhs(%);
IE3:expand(%);
C1:expand(coeff(IE3,t,1));
C0:expand(coeff(IE3,t,0));
A01:solve([C0,C1],[a[0],a[1]])[1];
A0:A01[1];
A1:A01[2];
```

(11.5.36) 式を展開すると、

$$x(t) = \alpha \int_0^1 \xi x(\xi) d\xi + \alpha t \int_0^1 x(\xi) d\xi + f(t)$$

上式から解が下記の形となる。

$$x(t) = f(t) + a_1 t + a_0 \quad (11.5.37)$$

(11.5.36) 式に上式を代入し、展開すると、

$$\begin{aligned} & -\alpha \int_0^1 \xi f(\xi) d\xi - \alpha t \int_0^1 f(\xi) d\xi \\ & + \int_0^1 -a_1 \alpha \xi^2 - a_1 \alpha t \xi - a_0 \alpha \xi - a_0 \alpha t d\xi \\ & + f(t) + a_1 t + a_0 \\ & = f(t) \end{aligned} \quad (11.5.38)$$

上式の積分の一部を下記と置き、

$$\int_0^1 \xi f(\xi) d\xi = F_2, \quad \int_0^1 f(\xi) d\xi = F_1 \quad (11.5.39)$$

(11.5.38) 式に上式を代入し、整理すると、

$$\begin{aligned} & -F_1 \alpha t - \frac{a_1 \alpha t}{2} - a_0 \alpha t + a_1 t - F_2 \alpha - \frac{a_1 \alpha}{3} \\ & - \frac{a_0 \alpha}{2} + a_0 = 0 \end{aligned} \quad (11.5.40)$$

$t$  の同じ次数の係数比較を行い、

$$\begin{aligned} & -F_1 \alpha - \frac{a_1 \alpha}{2} - a_0 \alpha + a_1 = 0 \\ & -F_2 \alpha - \frac{a_1 \alpha}{3} - \frac{a_0 \alpha}{2} + a_0 = 0 \end{aligned}$$

上式を解いて  $a_0, a_1$  を求めると、

$$\begin{aligned} a_0 &= \frac{(6F_2 - 4F_1)\alpha^2 - 12F_2\alpha}{\alpha^2 + 12\alpha - 12} \\ a_1 &= -\frac{(12F_2 - 6F_1)\alpha^2 + 12F_1\alpha}{\alpha^2 + 12\alpha - 12} \end{aligned} \quad (11.5.41)$$

```
subst([A0,A1],X1);
X4:expand(%);
CF1:factor(coeff(rhs(X4),F[1],1));
CF2:factor(coeff(rhs(X4),F[2],1));
X5:lhs(X4)=first(rhs(X4))+CF1*F[1]
 +CF2*F[2];
subst([IF11,IF21],%);
(-(6*\alpha*(2*\alpha*t-\alpha+2))*\xi
 +2*\alpha*(3*\alpha*t-6*t-2*\alpha))
/(\alpha^2+12*\alpha-12);
factor(%);
lhs(X4)=first(rhs(X4))+integrate(
 %*f(\xi),\xi,0,1);
(CF1+CF2*\xi);
CF3:factor(%);
```

```

lhs(X4)=first(rhs(X4))+integrate(
%*f(\xi),\xi,0,1);
A11:coeff(lhs(C0),a[1],1);
A12:coeff(lhs(C0),a[0],1);
A21:coeff(lhs(C1),a[1],1);
A22:coeff(lhs(C1),a[0],1);
MTA1:matrix([A11,A12],[A21,A22]);
determinant (MTA1)=0;
expand(%);
AL1:solve(%,\alpha);

```

(11.5.37) 式に (11.5.41) 式、(11.5.39) 式を代入し、整理すると、

$$\begin{aligned}
 x(t) &= -\frac{6\alpha(2\alpha t - \alpha + 2)}{\alpha^2 + 12\alpha - 12} \int_0^1 \xi f(\xi) d\xi + \frac{2\alpha(3\alpha t - 6t - 2\alpha)}{\alpha^2 + 12\alpha - 12} \int_0^1 f(\xi) d\xi + f(t) \\
 &= f(t) - \frac{2\alpha}{\alpha^2 + 12\alpha - 12} \int_0^1 (6\alpha t \xi - 3\alpha \xi + 6\xi - 3\alpha t + 6t + 2\alpha) f(\xi) d\xi
 \end{aligned}$$

ここで、下記から、

$$\frac{\alpha^2}{12} + \alpha - 1 = 0$$

$\alpha$  が下記の時、解はない。

$$\alpha = -4\sqrt{3} - 6, \quad \alpha = 4\sqrt{3} - 6$$

## 11.5.8 フレドホルム型第二種積分方程式

## 例 2

下記の積分方程式を解き、 $x(t)$  を求める。

$$x(t) - \alpha \int_0^1 t \xi x(\xi) d\xi = f(t) \quad (11.5.42)$$

```
kill(all);
assume(t>0);
assume(\tau>0);
IE1:x(t)-\alpha*'integrate((t*\xi)*
x(\xi),\xi,0,1)=f(t);
IE2:x(t)=f(t)-\alpha*'integrate(G(t,\xi)
*f(\xi),\xi,0,1);
G1:G(t,\xi)=-sum(\alpha^(n-1)*k[n]
(t,\xi),n,1,inf);
K0:K(t,\xi)=t*\xi;
K01:subst([\xi=\tau],K0);
K1:k[1](t,\xi)=K(t,\xi);
K11:subst([K0],K1);
K12:subst([t=\tau],K11);
K2:k[2](t,\xi)=integrate(K(t,\tau)
*k[1](\tau,\xi),\tau,0,1);
subst([K12,K01],%);
K21:ev(%,integrate);
K22:subst([t=\tau],K21);
K3:k[3](t,\xi)=integrate(K(t,\tau)
*k[2](\tau,\xi),\tau,0,1);
subst([K22,K01],%);
K31:ev(%,integrate);
K32:subst([t=\tau],K31);
K4:k[4](t,\xi)=integrate(K(t,\tau)
*k[3](\tau,\xi),\tau,0,1);
subst([K32,K01],%);
K41:ev(%,integrate);
KN:k[n](t,\xi)=(1/3)^(n-1)*t*\xi;
subst([KN],G1);
sum(a^(n-1),n,1,inf);
1/(1-a);
subst([a=\alpha/3],%);
G2:lhs(G1)=-%*t*\xi;
subst([G2],IE2);
```

「11.5.1 フレドホルム型第二種積分方程式の解法 (級数)」の (11.5.2) 式から上式の解は、

$$x(t) = f(t) - \alpha \int_0^1 G(t, \xi) f(\xi) d\xi \quad (11.5.43)$$

ここで、(11.5.3) 式から

$$G(t, \xi) = - \sum_{n=1}^{\infty} \alpha^{n-1} k_n(t, \xi) \quad (11.5.44)$$

(11.5.5) 式から

$$k_n(t, \xi) = \int_0^1 K(t, \tau) k_{n-1}(\tau, \xi) d\tau \quad (11.5.45)$$

(11.5.42) 式から、

$$K(t, \xi) = t \xi$$

(11.5.4) 式、11.5.45) 式から、

$$k_1(t, \xi) = K(t, \xi) = t \xi$$

$$k_2(t, \xi) = \int_0^1 K(t, \tau) k_1(\tau, \xi) d\tau = t \int_0^1 \tau^2 d\tau \xi = \frac{t \xi}{3}$$

$$k_3(t, \xi) = \int_0^1 K(t, \tau) k_2(\tau, \xi) d\tau = \frac{t}{3} \int_0^1 \tau^2 d\tau \xi = \frac{t \xi}{9}$$

$$k_4(t, \xi) = \int_0^1 K(t, \tau) k_3(\tau, \xi) d\tau = \frac{t}{9} \int_0^1 \tau^2 d\tau \xi = \frac{t \xi}{27}$$

上式から、

$$k_n(t, \xi) = 3^{1-n} t \xi \quad (11.5.46)$$

(11.5.44) 式に上式を代入し、

$$G(t, \xi) = - \left( \sum_{n=1}^{\infty} \alpha^{n-1} 3^{1-n} \right) t \xi \quad (11.5.47)$$

ここで、上式の級数和は下記の公式<sup>1)</sup>、

$$\sum_{n=1}^{\infty} a^{n-1} = \frac{1}{1-a} \quad |a| < 1 \quad (11.5.48)$$

上式で  $a = \frac{\alpha}{3}$  として、

$$G(t, \xi) = - \frac{t \xi}{1 - \frac{\alpha}{3}}$$

(11.5.43) 式に上式を代入し、

$$x(t) = \frac{\alpha t}{1 - \frac{\alpha}{3}} \int_0^1 \xi f(\xi) d\xi + f(t)$$

<sup>1)</sup>森口 繁一、宇田川 久、一松 信：岩波数学公式 2 級数・フーリエ解析<sup>29)</sup>、P.49



## 11.5.9 フレドホルム型第二種積分方程式 例3

下記の積分方程式を解き、 $x(t)$  を求める。前節と同じ問題を行列式の方法で解く。

$$x(t) - \alpha \int_0^1 t \xi x(\xi) d\xi = f(t) \quad (11.5.49)$$

```
kill(all);
assume(t>0);
assume(\xi>0);
IE1:x(t)-\alpha*'integrate(t*\xi*x(\xi),\xi,0,1)=f(t);
IE2:x(t)=f(t)-\alpha*'integrate(G(t,\xi)*f(\xi),\xi,0,1);
G1:G(t,\xi)=-\Delta(t,\xi)/\Delta(\alpha);
K0:K(t,\xi)=t*\xi;
M21:matrix([K(t,\xi),K(t,\xi[1])],[K(\xi[1],\xi),K(\xi[1],\xi[1])]);
K11:subst([\xi=\xi[1]],K0);
K12:subst([t=\xi[1]],K0);
K13:subst([\xi=\xi[1],t=\xi[1]],K0);
subst([K0,K11,K12,K13],M21);
M21D:determinant(%);
M22:matrix([K(t,\xi),K(t,\xi[1]),K(t,\xi[2])],[K(\xi[1],\xi),K(\xi[1],\xi[1]),
K(\xi[1],\xi[2])],[K(\xi[2],\xi),K(\xi[2],\xi[1]),K(\xi[2],\xi[2])]);
K21:subst([\xi=\xi[2]],K0);
K22:subst([t=\xi[2]],K0);
K23:subst([\xi=\xi[1],t=\xi[2]],K0);
K24:subst([\xi=\xi[2],t=\xi[1]],K0);
K25:subst([\xi=\xi[2],t=\xi[2]],K0);
subst([K0,K11,K12,K13],M22);
subst([K21,K22,K23,K24,K25],%);
M22D:determinant(%);
M23:matrix([K(t,\xi),K(t,\xi[1]),K(t,\xi[2]),K(t,\xi[3])],[K(\xi[1],\xi),
K(\xi[1],\xi[1]),K(\xi[1],\xi[2]),K(\xi[1],\xi[3])],[K(\xi[2],\xi),
K(\xi[2],\xi[1]),K(\xi[2],\xi[2]),K(\xi[2],\xi[3])],[K(\xi[3],\xi),
K(\xi[3],\xi[1]),K(\xi[3],\xi[2]),K(\xi[3],\xi[3])]);
K31:subst([\xi=\xi[3]],K0);
K32:subst([t=\xi[3]],K0);
K33:subst([\xi=\xi[1],t=\xi[3]],K0);
K34:subst([\xi=\xi[2],t=\xi[3]],K0);
K35:subst([\xi=\xi[3],t=\xi[1]],K0);
K36:subst([\xi=\xi[3],t=\xi[2]],K0);
K37:subst([\xi=\xi[3],t=\xi[3]],K0);
subst([K0,K11,K12,K13],M23);
subst([K21,K22,K23,K24,K25],%);
subst([K31,K32,K33,K34,K35,K36,K37],%);
M23D:determinant(%);
```

```

M24:matrix([K(t,\xi),K(t,\xi[1]),K(t,\xi[2]),K(t,\xi[3]),K(t,\xi[4])],[K(\xi[1],\xi),
K(\xi[1],\xi[1]),K(\xi[1],\xi[2]),K(\xi[1],\xi[3]),K(\xi[1],\xi[4])],
[K(\xi[2],\xi),K(\xi[2],\xi[1]),K(\xi[2],\xi[2]),K(\xi[2],\xi[3]),
K(\xi[2],\xi[4])],[K(\xi[3],\xi),K(\xi[3],\xi[1]),K(\xi[3],\xi[2]),
K(\xi[3],\xi[3]),K(\xi[3],\xi[4])],[K(\xi[4],\xi),K(\xi[4],\xi[1]),
K(\xi[4],\xi[2]),K(\xi[4],\xi[3]),K(\xi[4],\xi[4])]);
K41:subst([\xi=\xi[4]],K0);
K42:subst([t=\xi[4]],K0);
K43:subst([\xi=\xi[1],t=\xi[4]],K0);
K44:subst([\xi=\xi[2],t=\xi[4]],K0);
K45:subst([\xi=\xi[3],t=\xi[4]],K0);
K46:subst([\xi=\xi[4],t=\xi[1]],K0);
K47:subst([\xi=\xi[4],t=\xi[2]],K0);
K48:subst([\xi=\xi[4],t=\xi[3]],K0);
K49:subst([\xi=\xi[4],t=\xi[4]],K0);
subst([K0,K11,K12,K13],M24);
subst([K21,K22,K23,K24,K25],%);
subst([K31,K32,K33,K34,K35,K36,K37],%);
subst([K41,K42,K43,K44,K45,K46,K47,K48,K49],%);
M24D:determinant(%);
G2:\Delta(t,\xi)=K(t,\xi)+(-1*\alpha)^(1)/(1!)*'integrate(M21D,\xi[1],0,1)+(-1*\alpha)
^(2)/(2!)*'integrate('integrate(M22D,\xi[1],0,1),\xi[2],0,1)+(-1*\alpha)^(3)/(3!)
*'integrate('integrate('integrate(M23D,\xi[1],0,1),\xi[2],0,1),
\xi[3],0,1)+(-1*\alpha)^(4)/(4!)*'integrate('integrate('integrate
('integrate(M24D,\xi[1],0,1),\xi[2],0,1),\xi[3],0,1),\xi[4],0,1);
G21:subst([K0],%);
M31:K(\xi[1],\xi[1]);
M31D:subst([K0,K11,K12,K13],M31);
M32:matrix([K(\xi[1],\xi[1]),K(\xi[1],\xi[2])],[K(\xi[2],\xi[1]),K(\xi[2],\xi[2])]);
subst([K0,K11,K12,K13],M32);
subst([K21,K22,K23,K24,K25],%);
M32D:determinant(%);
M33:matrix([K(\xi[1],\xi[1]),K(\xi[1],\xi[2]),K(\xi[1],\xi[3])],[K(\xi[2],\xi[1]),
K(\xi[2],\xi[2]),K(\xi[2],\xi[3])],[K(\xi[3],\xi[1]),K(\xi[3],\xi[2]),
K(\xi[3],\xi[3])]);
subst([K0,K11,K12,K13],M33);
subst([K21,K22,K23,K24,K25],%);
subst([K31,K32,K33,K34,K35,K36,K37],%);
M33D:determinant(%);
M34:matrix([K(\xi[1],\xi[1]),K(\xi[1],\xi[2]),K(\xi[1],\xi[3]),K(\xi[1],\xi[4])],
[K(\xi[2],\xi[1]),K(\xi[2],\xi[2]),K(\xi[2],\xi[3]),K(\xi[2],\xi[4])],
[K(\xi[3],\xi[1]),K(\xi[3],\xi[2]),K(\xi[3],\xi[3]),K(\xi[3],\xi[4])],
[K(\xi[4],\xi[1]),K(\xi[4],\xi[2]),K(\xi[4],\xi[3]),K(\xi[4],\xi[4])]);
subst([K0,K11,K12,K13],M34);
subst([K21,K22,K23,K24,K25],%);
subst([K31,K32,K33,K34,K35,K36,K37],%);
subst([K41,K42,K43,K44,K45,K46,K47,K48,K49],%);
M34D:determinant(%);

```

```
G3:\Delta(\alpha)=1+(-1*\alpha)^(1)/(1!)*integrate(M31D,\xi[1],0,1)+(-1*\alpha)
^(2)/(2!)*integrate('integrate(M32D,\xi[1],0,1),\xi[2],0,1)+(-1*\alpha)^(3)/(3!)
*'integrate('integrate('integrate(M33D,\xi[1],0,1),\xi[2],0,1),\xi[3],0,1)+(-1*\alpha)
^(4)/(4!)*integrate('integrate('integrate('integrate(M34D,\xi[1],0,1),\xi[2],0,1),
\xi[3],0,1),\xi[4],0,1);
G31:ev(%,integrate);
G11:subst([G21,G31],G1);
subst([G11],IE2);
```

「11.5.2 フレドホルム型第二種積分方程式の解法 (行列式)」の (11.5.7) 式から (11.5.49) 式の解は、

$$x(t) = f(t) - \alpha \int_0^1 G(t, \xi) f(\xi) d\xi \quad (11.5.50)$$

ここで、(11.5.8) 式から

$$G(t, \xi) = -\frac{\Delta(t, \xi)}{\Delta(\alpha)} \quad (11.5.51)$$

(11.5.49) 式から、

$$K(t, \xi) = t\xi \quad (11.5.52)$$

(11.5.51) 式の  $\Delta(t, \xi)$  は、(11.5.9) 式から各行列式を求めると、

$$\begin{aligned} \begin{bmatrix} K(t, \xi) & K(t, \xi_1) \\ K(\xi_1, \xi) & K(\xi_1, \xi_1) \end{bmatrix} &= \begin{bmatrix} t\xi & \xi_1 t \\ \xi_1 \xi & \xi_1^2 \end{bmatrix} = 0 \\ \begin{bmatrix} K(t, \xi) & K(t, \xi_1) & K(t, \xi_2) \\ K(\xi_1, \xi) & K(\xi_1, \xi_1) & K(\xi_1, \xi_2) \\ K(\xi_2, \xi) & K(\xi_2, \xi_1) & K(\xi_2, \xi_2) \end{bmatrix} &= \begin{bmatrix} t\xi & \xi_1 t & \xi_2 t \\ \xi_1 \xi & \xi_1^2 & \xi_1 \xi_2 \\ \xi_2 \xi & \xi_1 \xi_2 & \xi_2^2 \end{bmatrix} = 0 \\ \begin{bmatrix} K(t, \xi) & K(t, \xi_1) & K(t, \xi_2) & K(t, \xi_3) \\ K(\xi_1, \xi) & K(\xi_1, \xi_1) & K(\xi_1, \xi_2) & K(\xi_1, \xi_3) \\ K(\xi_2, \xi) & K(\xi_2, \xi_1) & K(\xi_2, \xi_2) & K(\xi_2, \xi_3) \\ K(\xi_3, \xi) & K(\xi_3, \xi_1) & K(\xi_3, \xi_2) & K(\xi_3, \xi_3) \end{bmatrix} &= \begin{bmatrix} t\xi & \xi_1 t & \xi_2 t & \xi_3 t \\ \xi_1 \xi & \xi_1^2 & \xi_1 \xi_2 & \xi_1 \xi_3 \\ \xi_2 \xi & \xi_1 \xi_2 & \xi_2^2 & \xi_2 \xi_3 \\ \xi_3 \xi & \xi_1 \xi_3 & \xi_2 \xi_3 & \xi_3^2 \end{bmatrix} = 0 \\ \begin{bmatrix} K(t, \xi) & K(t, \xi_1) & K(t, \xi_2) & K(t, \xi_3) & K(t, \xi_4) \\ K(\xi_1, \xi) & K(\xi_1, \xi_1) & K(\xi_1, \xi_2) & K(\xi_1, \xi_3) & K(\xi_1, \xi_4) \\ K(\xi_2, \xi) & K(\xi_2, \xi_1) & K(\xi_2, \xi_2) & K(\xi_2, \xi_3) & K(\xi_2, \xi_4) \\ K(\xi_3, \xi) & K(\xi_3, \xi_1) & K(\xi_3, \xi_2) & K(\xi_3, \xi_3) & K(\xi_3, \xi_4) \\ K(\xi_4, \xi) & K(\xi_4, \xi_1) & K(\xi_4, \xi_2) & K(\xi_4, \xi_3) & K(\xi_4, \xi_4) \end{bmatrix} &= \begin{bmatrix} t\xi & \xi_1 t & \xi_2 t & \xi_3 t & \xi_4 t \\ \xi_1 \xi & \xi_1^2 & \xi_1 \xi_2 & \xi_1 \xi_3 & \xi_1 \xi_4 \\ \xi_2 \xi & \xi_1 \xi_2 & \xi_2^2 & \xi_2 \xi_3 & \xi_2 \xi_4 \\ \xi_3 \xi & \xi_1 \xi_3 & \xi_2 \xi_3 & \xi_3^2 & \xi_3 \xi_4 \\ \xi_4 \xi & \xi_1 \xi_4 & \xi_2 \xi_4 & \xi_3 \xi_4 & \xi_4^2 \end{bmatrix} = 0 \end{aligned}$$

(11.5.9) 式と上記の結果から、

$$\Delta(t, \xi) = K(t, \xi) = t\xi \quad (11.5.53)$$

(11.5.51) 式の  $\Delta(\alpha)$  は、(11.5.11) 式から各行列式を求めると、

$$\begin{aligned} K(\xi_1, \xi_1) &= \xi_1^2 \\ \begin{bmatrix} K(\xi_1, \xi_1) & K(\xi_1, \xi_2) \\ K(\xi_2, \xi_1) & K(\xi_2, \xi_2) \end{bmatrix} &= \begin{bmatrix} \xi_1^2 & \xi_1 \xi_2 \\ \xi_1 \xi_2 & \xi_2^2 \end{bmatrix} = 0 \\ \begin{bmatrix} K(\xi_1, \xi_1) & K(\xi_1, \xi_2) & K(\xi_1, \xi_3) \\ K(\xi_2, \xi_1) & K(\xi_2, \xi_2) & K(\xi_2, \xi_3) \\ K(\xi_3, \xi_1) & K(\xi_3, \xi_2) & K(\xi_3, \xi_3) \end{bmatrix} &= \begin{bmatrix} \xi_1^2 & \xi_1 \xi_2 & \xi_1 \xi_3 \\ \xi_1 \xi_2 & \xi_2^2 & \xi_2 \xi_3 \\ \xi_1 \xi_3 & \xi_2 \xi_3 & \xi_3^2 \end{bmatrix} = 0 \\ \begin{bmatrix} K(\xi_1, \xi_1) & K(\xi_1, \xi_2) & K(\xi_1, \xi_3) & K(\xi_1, \xi_4) \\ K(\xi_2, \xi_1) & K(\xi_2, \xi_2) & K(\xi_2, \xi_3) & K(\xi_2, \xi_4) \\ K(\xi_3, \xi_1) & K(\xi_3, \xi_2) & K(\xi_3, \xi_3) & K(\xi_3, \xi_4) \\ K(\xi_4, \xi_1) & K(\xi_4, \xi_2) & K(\xi_4, \xi_3) & K(\xi_4, \xi_4) \end{bmatrix} &= \begin{bmatrix} \xi_1^2 & \xi_1 \xi_2 & \xi_1 \xi_3 & \xi_1 \xi_4 \\ \xi_1 \xi_2 & \xi_2^2 & \xi_2 \xi_3 & \xi_2 \xi_4 \\ \xi_1 \xi_3 & \xi_2 \xi_3 & \xi_3^2 & \xi_3 \xi_4 \\ \xi_1 \xi_4 & \xi_2 \xi_4 & \xi_3 \xi_4 & \xi_4^2 \end{bmatrix} = 0 \end{aligned}$$

(11.5.11) 式と上記の結果から、

$$\Delta(\alpha) = 1 - \int_0^1 \xi^2 d\xi_1 \alpha = 1 - \frac{\alpha}{3} \quad (11.5.54)$$

(11.5.51) 式に (11.5.53) 式と (11.5.54) 式を代入し、

$$G(t, \xi) = -\frac{t\xi}{1 - \frac{\alpha}{3}}$$

(11.5.50) 式に上式を代入すると、下記となり、前節と同じ結果が得られた。

$$x(t) = \frac{\alpha t}{1 - \frac{\alpha}{3}} \int_0^1 \xi f(\xi) d\xi + f(t)$$

### 11.5.10 フレドホルム型第一種積分方程式 例 1

下記の積分方程式を解き、 $x(t)$  を求める。

$$\int_0^1 K(t, \xi) x(\xi) d\xi = 67t^3 - 40t^2 + 52t + 17$$

$$K(t, \xi) = t(t - \xi)^2 \xi + 1 \quad t > \xi$$

$$K(t, \xi) = t(t - \xi)^2 \xi \quad t < \xi$$

(11.5.55)

```
kill(all);
assume(t>0);
assume(\tau>0);
IE1:x(t)-\alpha*'integrate((%e^(t-\xi))
*x(\xi),\xi,0,1)=f(t);
IE2:x(t)=f(t)-\alpha*'integrate(G(t,\xi)
*f(\xi),\xi,0,1);
G1:G(t,\xi)=-sum(\alpha^(n-1)*
k[n](t,\xi),n,1,inf);
K0:K(t,\xi)=%e^(t-\xi);
K01:subst([\xi=\tau],K0);
K1:k[1](t,\xi)=K(t,\xi);
K11:subst([K0],K1);
K12:subst([t=\tau],K11);
K2:k[2](t,\xi)=integrate(K(t,\tau)*
k[1](\tau,\xi),\tau,0,1);
subst([K12,K01],%);
K21:ev(%,integrate);
K22:subst([t=\tau],K21);
K3:k[3](t,\xi)=integrate(K(t,\tau)*
k[2](\tau,\xi),\tau,0,1);
subst([K22,K01],%);
K31:ev(%,integrate);
K32:subst([t=\tau],K31);
K4:k[4](t,\xi)=integrate(K(t,\tau)*
k[3](\tau,\xi),\tau,0,1);
subst([K32,K01],%);
K41:ev(%,integrate);
KN:k[n](t,\xi)=%e^(t-\xi);
subst([KN],G1);
sum(a^(n-1),n,1,inf);
1/(1-a);
subst([a=\alpha],%);
G2:lhs(G1)=-%*%e^(t-\xi);
subst([G2],IE2);
```

「11.5.5 フレドホルム型第一種積分方程式の解法」の (11.5.28) 式から、

$$\frac{\int_0^1 \left( \frac{d}{dt} K(t, \xi) \right) x(\xi) d\xi}{L(t)} + x(t) = \frac{\frac{d}{dt} f(t)}{L(t)} \quad (11.5.56)$$

ここで、(11.5.27) 式を基に (11.5.55) 式から、

$$K(t, t+) - K(t, t-) = -L(t) \rightarrow L(t) = 1 \quad (11.5.57)$$

$$\frac{d}{dt} K(t, \xi) = \xi (\xi - 3t) (\xi - t) \quad (11.5.58)$$

$$f(t) = 67t^3 - 40t^2 + 52t + 17$$

$$\rightarrow \frac{d}{dt} f(t) = 201t^2 - 80t + 52 \quad (11.5.59)$$

(11.5.56) 式に (11.5.57) 式、(11.5.58) 式、(11.5.59) 式を代入し、

$$\int_0^1 \xi (\xi - 3t) (\xi - t) x(\xi) d\xi + x(t) = 201t^2 - 80t + 52 \quad (11.5.60)$$

上記の積分方程式の解は下記の多項式と予測されるので、

$$x(t) = a_3 t^3 + a_2 t^2 + a_1 t + a_0 \quad (11.5.61)$$

(11.5.60) 式に (11.5.61) 式を代入し、積分を実行し、右辺項を左辺に移行すると、

$$a_3 t^3 + \frac{3a_3 t^2}{5} + \frac{7a_2 t^2}{4} + a_1 t^2 + \frac{3a_0 t^2}{2}$$

$$- 201t^2 - \frac{2a_3 t}{3} - \frac{4a_2 t}{5} - \frac{4a_0 t}{3}$$

$$+ 80t + \frac{a_3}{7} + \frac{a_2}{6} + \frac{a_1}{5} + \frac{5a_0}{4} - 52 = 0 \quad (11.5.62)$$

上式で  $t$  の同じ次数の係数比較を行い、

$$a_3 = 0$$

$$\frac{3a_3}{5} + \frac{7a_2}{4} + a_1 + \frac{3a_0}{2} - 201 = 0$$

$$- \frac{2a_3}{3} - \frac{4a_2}{5} - \frac{4a_0}{3} + 80 = 0$$

$$\frac{a_3}{7} + \frac{a_2}{6} + \frac{a_1}{5} + \frac{5a_0}{4} - 52 = 0$$

上式を解いて、

$$a_0 = 24, a_1 = 60, a_2 = 60, a_3 = 0$$

(11.5.61) 式に上式を代入し解は、

$$x(t) = 60t^2 + 60t + 24$$

### 11.5.11 フレドホルム型第一種積分方程式 例 2

下記の積分方程式を解き、 $x(t)$  を求める。

$$\int_0^1 K(t, \xi) x(\xi) d\xi = \frac{2t^3}{3} - \frac{5t^2}{2} - 3t + 1$$

$$K(t, \xi) = -2\xi + t^2 + t + 1 \quad \xi < \frac{t^2 + t}{2}$$

$$K(t, \xi) = -2\xi + t^2 + t \quad \xi > \frac{t^2 + t}{2}$$

(11.5.63)

```
kill(all);
assume(t>0);
assume(\xi>0);
IE1:'integrate(K(t,\xi)*x(\xi),\xi,0,1)=
2/3*t^3-5/2*t^2-3*t+1;
K1:K(t,\xi)=t^2+t-2*\xi+1;
K2:K(t,\xi)=t^2+t-2*\xi;
IE2:integrate(('diff(K(t,\xi),t,1))*x(\xi),
\xi,0,1)/(L(t)*('diff(phi(t),t,1)))+x(t)
='diff(f(t),t,1)/(L(t)*('diff(phi(t),t,
1)));
diff(K1,t,1);
DK1:factor(%);
LT1:L(t)=1;
F1:f(t)=2/3*t^3-5/2*t^2-3*t+1;
DF1:diff(%,t,1);
PH1:\phi(t)=1/2*(t^2+t);
DPH1:diff(PH1,t,1);
subst([DK1,LT1,DF1,DPH1],IE2);
IE21:factor(%);
X1:x(t)=a[3]*t^3+a[2]*t^2+a[1]*t+a[0];
X2:subst([t=\xi],X1);
subst([X1,X2],IE21);
ev(%,integrate);
lhs(%)=rhs(%)=0;
IE22:expand(%);
A3:coeff(IE22,t,3);
A2:coeff(IE22,t,2);
A1:coeff(IE22,t,1);
A0:coeff(IE22,t,0);
solve([A3,A2,A1,A0],[a[0],a[1],a[2],
a[3]])[1];
subst(%,X1);
```

「11.5.5 フレドホルム型第一種積分方程式の解法」の

(11.5.31) 式から、

$$\frac{\int_0^1 \left(\frac{d}{dt} K(t, \xi)\right) x(\xi) d\xi}{L(t) \left(\frac{d}{dt} \phi(t)\right)} + x(t) = \frac{\frac{d}{dt} f(t)}{L(t) \left(\frac{d}{dt} \phi(t)\right)}$$

(11.5.64)

ここで、(11.5.30) 式を基に (11.5.63) 式から、

$$K(t, \phi(t) +) - K(t, \phi(t) -) = -L(t) \rightarrow L(t) = 1$$

(11.5.65)

$$\frac{d}{dt} K(t, \xi) = 2t + 1$$

(11.5.66)

$$f(t) = \frac{2t^3}{3} - \frac{5t^2}{2} - 3t + 1$$

(11.5.67)

$$\rightarrow \frac{d}{dt} f(t) = 2t^2 - 5t - 3$$

$$\phi(t) = \frac{t^2 + t}{2} \rightarrow \frac{d}{dt} \phi(t) = \frac{2t + 1}{2}$$

(11.5.68)

(11.5.64) 式に (11.5.65) 式、(11.5.66) 式、(11.5.67) 式、(11.5.68) 式を代入し、

$$2 \int_0^1 x(\xi) d\xi + x(t) = 2(t - 3)$$

(11.5.69)

上記積分方程式の解は下記の多項式と予測されるので、

$$x(t) = a_3 t^3 + a_2 t^2 + a_1 t + a_0$$

(11.5.70)

(11.5.69) 式に (11.5.70) 式を代入し、積分を実行し、右辺項を左辺に移行すると、

$$a_3 t^3 + a_2 t^2 + a_1 t - 2t + \frac{a_3}{2} + \frac{2a_2}{3} + a_1 + 3a_0 + 6 = 0$$

(11.5.71)

上式で  $t$  の同じ次数の係数比較を行い、

$$a_3 = 0$$

$$a_2 = 0$$

$$a_1 - 2 = 0$$

$$\frac{a_3}{2} + \frac{2a_2}{3} + a_1 + 3a_0 + 6 = 0$$

上式を解いて、

$$a_0 = -\frac{8}{3}, a_1 = 2, a_2 = 0, a_3 = 0$$

(11.5.70) 式に上式を代入し解は、

$$x(t) = 2t - \frac{8}{3}$$

11.5.12 フレドホルム型第二種積分方程式  
例 4

下記の積分方程式を解き、 $x(t)$  を求める。

$$x(t) - \alpha \int_0^1 e^{t-\xi} x(\xi) d\xi = f(t) \quad (11.5.72)$$

```
kill(all);
assume(t>0);
assume(\tau>0);
IE1:x(t)-\alpha*integrate((%e^(t-\xi))*
x(\xi),\xi,0,1)=f(t);
IE2:x(t)=f(t)-\alpha*integrate(G(t,\xi)
*f(\xi),\xi,0,1);
G1:G(t,\xi)=-sum(\alpha^(n-1)*
k[n](t,\xi),n,1,inf);
K0:K(t,\xi)=%e^(t-\xi);
K01:subst([\xi=\tau],K0);
K1:k[1](t,\xi)=K(t,\xi);
K11:subst([K0],K1);
K12:subst([t=\tau],K11);
K2:k[2](t,\xi)=integrate(K(t,\tau)*
k[1](\tau,\xi),\tau,0,1);
subst([K12,K01],%);
K21:ev(%,integrate);
K22:subst([t=\tau],K21);
K3:k[3](t,\xi)=integrate(K(t,\tau)*
k[2](\tau,\xi),\tau,0,1);
subst([K22,K01],%);
K31:ev(%,integrate);
K32:subst([t=\tau],K31);
K4:k[4](t,\xi)=integrate(K(t,\tau)*
k[3](\tau,\xi),\tau,0,1);
subst([K32,K01],%);
K41:ev(%,integrate);
KN:k[n](t,\xi)=%e^(t-\xi);
subst([KN],G1);
sum(a^(n-1),n,1,inf);
1/(1-a);
subst([a=\alpha],%);
G2:lhs(G1)=-%*%e^(t-\xi);
subst([G2],IE2);
```

「11.5.1 フレドホルム型第二種積分方程式の解法 (級数)」の (11.5.2) 式から上式の解は、

$$x(t) = f(t) - \alpha \int_0^1 G(t, \xi) f(\xi) d\xi \quad (11.5.73)$$

ここで (11.5.3) 式から、

$$G(t, \xi) = - \sum_{n=1}^{\infty} \alpha^{n-1} k_n(t, \xi) \quad (11.5.74)$$

$$k_n(t, \xi) = \int_0^1 K(t, \tau) k_{n-1}(\tau, \xi) d\tau \quad (11.5.75)$$

(11.5.72) 式から、

$$K(t, \xi) = e^{t-\xi}$$

(11.5.4) 式、(11.5.75) 式から、

$$k_1(t, \xi) = K(t, \xi) = e^{t-\xi}$$

$$k_2(t, \xi) = \int_0^1 K(t, \tau) k_1(\tau, \xi) d\tau = e^{t-\xi}$$

$$k_3(t, \xi) = \int_0^1 K(t, \tau) k_2(\tau, \xi) d\tau = e^{t-\xi}$$

$$k_4(t, \xi) = \int_0^1 K(t, \tau) k_3(\tau, \xi) d\tau = e^{t-\xi}$$

上式から、

$$k_n(t, \xi) = e^{t-\xi} \quad (11.5.76)$$

(11.5.74) 式に上式を代入し、

$$G(t, \xi) = - \left( \sum_{n=1}^{\infty} \alpha^{n-1} \right) e^{t-\xi} \quad (11.5.77)$$

ここで (11.5.48) 式の公式から、

$$\sum_{n=1}^{\infty} a^{n-1} = \frac{1}{1-a}$$

上式で  $a = \alpha$  として、

$$G(t, \xi) = - \frac{e^{t-\xi}}{1-\alpha}$$

(11.5.73) 式に上式を代入し、

$$x(t) = \frac{\alpha}{1-\alpha} \int_0^1 e^{t-\xi} f(\xi) d\xi + f(t)$$

### 11.5.13 フレドホルム型第二種積分方程式 例 5

下記の積分方程式を解き、 $x(t)$  を求める。

$$x(t) - 6 \int_0^1 t \xi^2 x(\xi) d\xi = 2e^t - t + 1 \quad (11.5.78)$$

```
kill(all);
assume(t>0);
assume(\tau>0);
IE1:x(t)-6*'integrate((t*\xi^2)*x(\xi),
\xi,0,1)=2*e^t-t+1;
F1:f(t)=2*e^t-t+1;
F11:subst([t=\xi],%);
IE2:x(t)=f(t)-6*'integrate(G(t,\xi)*
f(\xi),\xi,0,1);
G1:G(t,\xi)=-sum(\alpha^(n-1)*
k[n](t,\xi),n,1,inf);
K0:K(t,\xi)=t*\xi^2;
K01:subst([\xi=\tau],K0);
K1:k[1](t,\xi)=K(t,\xi);
K11:subst([K0],K1);
K12:subst([t=\tau],K11);
K2:k[2](t,\xi)=integrate(K(t,\tau)*
k[1](\tau,\xi),\tau,0,1);
subst([K12,K01],%);
K21:ev(% ,integrate);
K22:subst([t=\tau],K21);
K3:k[3](t,\xi)=integrate(K(t,\tau)*
k[2](\tau,\xi),\tau,0,1);
subst([K22,K01],%);
K31:ev(% ,integrate);
K32:subst([t=\tau],K31);
K4:k[4](t,\xi)=integrate(K(t,\tau)*
k[3](\tau,\xi),\tau,0,1);
subst([K32,K01],%);
K41:ev(% ,integrate);
KN:k[n](t,\xi)=((1/4)^(n-1))*t*\xi^2;
subst([KN,\alpha=6],G1);
KN1:\alpha^(n-1)*k[n](t,\xi)=
sum(a^(n-1),n,1,inf);
1/(1-a);
subst([a=(3/2)],%);
G2:lhs(G1)=-%*t*\xi^2;
subst([G2],IE2);
subst([F1,F11],%);
ev(% ,integrate);
```

```
X1:factor(%);
X11:subst([t=\xi],%);
subst([X1,X11],IE1);
ev(% ,integrate);
%-rhs(%);
factor(%);
```

「11.5.1 フレドホルム型第二種積分方程式の解法 (級数)」の (11.5.2) 式から上式の解は、

$$x(t) = f(t) - 6 \int_0^1 G(t, \xi) f(\xi) d\xi \quad (11.5.79)$$

ここで (11.5.3) 式から、

$$G(t, \xi) = - \sum_{n=1}^{\infty} 6^{n-1} k_n(t, \xi) \quad (11.5.80)$$

(11.5.5) 式から、

$$k_n(t, \xi) = \int_0^1 K(t, \tau) k_{n-1}(\tau, \xi) d\tau \quad (11.5.81)$$

(11.5.78) 式から、

$$K(t, \xi) = t \xi^2$$

(11.5.4) 式、(11.5.81) 式から、

$$k_1(t, \xi) = K(t, \xi) = t \xi^2$$

$$k_2(t, \xi) = \int_0^1 K(t, \tau) k_1(\tau, \xi) d\tau = \frac{t \xi^2}{4}$$

$$k_3(t, \xi) = \int_0^1 K(t, \tau) k_2(\tau, \xi) d\tau = \frac{t \xi^2}{16}$$

$$k_4(t, \xi) = \int_0^1 K(t, \tau) k_3(\tau, \xi) d\tau = \frac{t \xi^2}{64}$$

上式から、

$$k_n(t, \xi) = 4^{1-n} t \xi^2 \quad (11.5.82)$$

(11.5.80) 式に上式を代入し、

$$G(t, \xi) = - \left( \sum_{n=1}^{\infty} 4^{1-n} 6^{n-1} \right) t \xi^2 \quad (11.5.83)$$

ここで (11.5.48) 式の公式から、

$$\sum_{n=1}^{\infty} a^{n-1} = \frac{1}{1-a} \quad |a| < 1$$

上式で  $a = \frac{6}{4} > 1$  であるが、適用すると、

$$G(t, \xi) = 2t \xi^2$$

(11.5.79) 式に上式を代入し、 $f(t) = 2e^t - t + 1$  であるから、

$$x(t) = 2e^t - 24et + 46t + 1$$



## 11.5.14 フレドホルム型第二種積分方程式 例 6

下記の積分方程式を解き、 $x(t)$  を求める。前節では (11.5.48) 式の公式の適用で問題があったので、前節と同じ問題を行列式の方法で解く。

$$x(t) - 6 \int_0^1 t \xi^2 x(\xi) d\xi = 2e^t - t + 1 \quad (11.5.84)$$

```
kill(all);
assume(t>0);
assume(\xi>0);
IE1:x(t)-6*'integrate(t*\xi*x(\xi),\xi,0,1)=2*%e^t-t+1;
IE2:x(t)=f(t)-\alpha*'integrate(G(t,\xi)*f(\xi),\xi,0,1);
F1:f(t)=2*%e^t-t+1;
F11:subst([t=\xi],%);
G1:G(t,\xi)=-\Delta(t,\xi)/\Delta(\alpha);
K0:K(t,\xi)=t*\xi^2;
M21:matrix([K(t,\xi),K(t,\xi[1])],[K(\xi[1],\xi),K(\xi[1],\xi[1])]);
K11:subst([\xi=\xi[1]],K0);
K12:subst([t=\xi[1]],K0);
K13:subst([\xi=\xi[1],t=\xi[1]],K0);
subst([K0,K11,K12,K13],M21);
M21D:determinant(%);
M22:matrix([K(t,\xi),K(t,\xi[1]),K(t,\xi[2])],[K(\xi[1],\xi),K(\xi[1],\xi[1]),
K(\xi[1],\xi[2])],[K(\xi[2],\xi),K(\xi[2],\xi[1]),K(\xi[2],\xi[2])]);
K21:subst([\xi=\xi[2]],K0);
K22:subst([t=\xi[2]],K0);
K23:subst([\xi=\xi[1],t=\xi[2]],K0);
K24:subst([\xi=\xi[2],t=\xi[1]],K0);
K25:subst([\xi=\xi[2],t=\xi[2]],K0);
subst([K0,K11,K12,K13],M22);
subst([K21,K22,K23,K24,K25],%);
M22D:determinant(%);
M23:matrix([K(t,\xi),K(t,\xi[1]),K(t,\xi[2]),K(t,\xi[3])],[K(\xi[1],\xi),
K(\xi[1],\xi[1]),K(\xi[1],\xi[2]),K(\xi[1],\xi[3])],[K(\xi[2],\xi),
K(\xi[2],\xi[1]),K(\xi[2],\xi[2]),K(\xi[2],\xi[3])],[K(\xi[3],\xi),
K(\xi[3],\xi[1]),K(\xi[3],\xi[2]),K(\xi[3],\xi[3])]);
K31:subst([\xi=\xi[3]],K0);
K32:subst([t=\xi[3]],K0);
K33:subst([\xi=\xi[1],t=\xi[3]],K0);
K34:subst([\xi=\xi[2],t=\xi[3]],K0);
K35:subst([\xi=\xi[3],t=\xi[1]],K0);
K36:subst([\xi=\xi[3],t=\xi[2]],K0);
K37:subst([\xi=\xi[3],t=\xi[3]],K0);
subst([K0,K11,K12,K13],M23);
subst([K21,K22,K23,K24,K25],%);
subst([K31,K32,K33,K34,K35,K36,K37],%);
M23D:determinant(%);
```

```

M24:matrix([K(t,\xi),K(t,\xi[1]),K(t,\xi[2]),K(t,\xi[3]),K(t,\xi[4])],[K(\xi[1],\xi),
K(\xi[1],\xi[1]),K(\xi[1],\xi[2]),K(\xi[1],\xi[3]),K(\xi[1],\xi[4])],
[K(\xi[2],\xi),K(\xi[2],\xi[1]),K(\xi[2],\xi[2]),K(\xi[2],\xi[3]),
K(\xi[2],\xi[4])],[K(\xi[3],\xi),K(\xi[3],\xi[1]),K(\xi[3],\xi[2]),
K(\xi[3],\xi[3]),K(\xi[3],\xi[4])],[K(\xi[4],\xi),K(\xi[4],\xi[1]),
K(\xi[4],\xi[2]),K(\xi[4],\xi[3]),K(\xi[4],\xi[4])]);
K41:subst([\xi=\xi[4]],K0);
K42:subst([t=\xi[4]],K0);
K43:subst([\xi=\xi[1],t=\xi[4]],K0);
K44:subst([\xi=\xi[2],t=\xi[4]],K0);
K45:subst([\xi=\xi[3],t=\xi[4]],K0);
K46:subst([\xi=\xi[4],t=\xi[1]],K0);
K47:subst([\xi=\xi[4],t=\xi[2]],K0);
K48:subst([\xi=\xi[4],t=\xi[3]],K0);
K49:subst([\xi=\xi[4],t=\xi[4]],K0);
subst([K0,K11,K12,K13],M24);
subst([K21,K22,K23,K24,K25],%);
subst([K31,K32,K33,K34,K35,K36,K37],%);
subst([K41,K42,K43,K44,K45,K46,K47,K48,K49],%);
M24D:determinant(%);
G2:\Delta(t,\xi)=K(t,\xi)+(-1*\alpha)^(1)/(1!)*'integrate(M21D,\xi[1],0,1)+(-1*\alpha)
^(2)/(2!)*'integrate('integrate(M22D,\xi[1],0,1),\xi[2],0,1)+(-1*\alpha)^(3)/(3!)
*'integrate('integrate('integrate(M23D,\xi[1],0,1),\xi[2],0,1),
\xi[3],0,1)+(-1*\alpha)^(4)/(4!)*'integrate('integrate('integrate
('integrate(M24D,\xi[1],0,1),\xi[2],0,1),\xi[3],0,1),\xi[4],0,1);
G21:subst([K0],%);
M31:K(\xi[1],\xi[1]);
M31D:subst([K0,K11,K12,K13],M31);
M32:matrix([K(\xi[1],\xi[1]),K(\xi[1],\xi[2])],[K(\xi[2],\xi[1]),K(\xi[2],\xi[2])]);
subst([K0,K11,K12,K13],M32);
subst([K21,K22,K23,K24,K25],%);
M32D:determinant(%);
M33:matrix([K(\xi[1],\xi[1]),K(\xi[1],\xi[2]),K(\xi[1],\xi[3])],[K(\xi[2],\xi[1]),
K(\xi[2],\xi[2]),K(\xi[2],\xi[3])],[K(\xi[3],\xi[1]),K(\xi[3],\xi[2]),
K(\xi[3],\xi[3])]);
subst([K0,K11,K12,K13],M33);
subst([K21,K22,K23,K24,K25],%);
subst([K31,K32,K33,K34,K35,K36,K37],%);
M33D:determinant(%);
M34:matrix([K(\xi[1],\xi[1]),K(\xi[1],\xi[2]),K(\xi[1],\xi[3]),K(\xi[1],\xi[4])],
[K(\xi[2],\xi[1]),K(\xi[2],\xi[2]),K(\xi[2],\xi[3]),K(\xi[2],\xi[4])],
[K(\xi[3],\xi[1]),K(\xi[3],\xi[2]),K(\xi[3],\xi[3]),K(\xi[3],\xi[4])],
[K(\xi[4],\xi[1]),K(\xi[4],\xi[2]),K(\xi[4],\xi[3]),K(\xi[4],\xi[4])]);
subst([K0,K11,K12,K13],M34);
subst([K21,K22,K23,K24,K25],%);
subst([K31,K32,K33,K34,K35,K36,K37],%);
subst([K41,K42,K43,K44,K45,K46,K47,K48,K49],%);
M34D:determinant(%);

```

```

G3:\Delta(\alpha)=1+(-1*\alpha)^(1)/(1!)*integrate(M31D,\xi[1],0,1)+(-1*\alpha)
^(2)/(2!)*integrate('integrate(M32D,\xi[1],0,1),\xi[2],0,1)+(-1*\alpha)^(3)/(3!)
*'integrate('integrate('integrate(M33D,\xi[1],0,1),\xi[2],0,1),\xi[3],0,1)+(-1*\alpha)
^(4)/(4!)*integrate('integrate('integrate('integrate(M34D,\xi[1],0,1),\xi[2],0,1),
\xi[3],0,1),\xi[4],0,1);
G31:ev(%,integrate);
G11:subst([G21,G31],G1);
subst([G11,F1,F11,\alpha=6],IE2);
ev(%,integrate);
expand(%);

```

「11.5.2 フレドホルム型第二種積分方程式の解法 (行列式)」の (11.5.7) 式から (11.5.84) 式の解は、

$$x(t) = f(t) - \alpha \int_0^1 G(t, \xi) f(\xi) d\xi \quad (11.5.85)$$

$$\text{ここで (11.5.84) 式から、} \quad f(t) = 2e^t - t + 1, \quad \alpha = 6$$

ここで、(11.5.8) 式から

$$G(t, \xi) = -\frac{\Delta(t, \xi)}{\Delta(\alpha)} \quad (11.5.86)$$

(11.5.84) 式から、

$$K(t, \xi) = t\xi^2 \quad (11.5.87)$$

(11.5.86) 式の  $\Delta(t, \xi)$  は、(11.5.9) 式から各行列式を求めると、

$$\begin{bmatrix} K(t, \xi) & K(t, \xi_1) \\ K(\xi_1, \xi) & K(\xi_1, \xi_1) \end{bmatrix} = \begin{bmatrix} t\xi^2 & \xi_1^2 t \\ \xi_1 \xi^2 & \xi_1^3 \end{bmatrix} = 0$$

$$\begin{bmatrix} K(t, \xi) & K(t, \xi_1) & K(t, \xi_2) \\ K(\xi_1, \xi) & K(\xi_1, \xi_1) & K(\xi_1, \xi_2) \\ K(\xi_2, \xi) & K(\xi_2, \xi_1) & K(\xi_2, \xi_2) \end{bmatrix} = \begin{bmatrix} t\xi^2 & \xi_1^2 t & \xi_2^2 t \\ \xi_1 \xi^2 & \xi_1^3 & \xi_1 \xi_2^2 \\ \xi_2 \xi^2 & \xi_1^2 \xi_2 & \xi_2^3 \end{bmatrix} = 0$$

$$\begin{bmatrix} K(t, \xi) & K(t, \xi_1) & K(t, \xi_2) & K(t, \xi_3) \\ K(\xi_1, \xi) & K(\xi_1, \xi_1) & K(\xi_1, \xi_2) & K(\xi_1, \xi_3) \\ K(\xi_2, \xi) & K(\xi_2, \xi_1) & K(\xi_2, \xi_2) & K(\xi_2, \xi_3) \\ K(\xi_3, \xi) & K(\xi_3, \xi_1) & K(\xi_3, \xi_2) & K(\xi_3, \xi_3) \end{bmatrix} = \begin{bmatrix} t\xi^2 & \xi_1^2 t & \xi_2^2 t & \xi_3^2 t \\ \xi_1 \xi^2 & \xi_1^3 & \xi_1 \xi_2^2 & \xi_1 \xi_3^2 \\ \xi_2 \xi^2 & \xi_1^2 \xi_2 & \xi_2^3 & \xi_2 \xi_3^2 \\ \xi_3 \xi^2 & \xi_1^2 \xi_3 & \xi_2^2 \xi_3 & \xi_3^3 \end{bmatrix} = 0$$

$$\begin{bmatrix} K(t, \xi) & K(t, \xi_1) & K(t, \xi_2) & K(t, \xi_3) & K(t, \xi_4) \\ K(\xi_1, \xi) & K(\xi_1, \xi_1) & K(\xi_1, \xi_2) & K(\xi_1, \xi_3) & K(\xi_1, \xi_4) \\ K(\xi_2, \xi) & K(\xi_2, \xi_1) & K(\xi_2, \xi_2) & K(\xi_2, \xi_3) & K(\xi_2, \xi_4) \\ K(\xi_3, \xi) & K(\xi_3, \xi_1) & K(\xi_3, \xi_2) & K(\xi_3, \xi_3) & K(\xi_3, \xi_4) \\ K(\xi_4, \xi) & K(\xi_4, \xi_1) & K(\xi_4, \xi_2) & K(\xi_4, \xi_3) & K(\xi_4, \xi_4) \end{bmatrix} = \begin{bmatrix} t\xi^2 & \xi_1^2 t & \xi_2^2 t & \xi_3^2 t & \xi_4^2 t \\ \xi_1 \xi^2 & \xi_1^3 & \xi_1 \xi_2^2 & \xi_1 \xi_3^2 & \xi_1 \xi_4^2 \\ \xi_2 \xi^2 & \xi_1^2 \xi_2 & \xi_2^3 & \xi_2 \xi_3^2 & \xi_2 \xi_4^2 \\ \xi_3 \xi^2 & \xi_1^2 \xi_3 & \xi_2^2 \xi_3 & \xi_3^3 & \xi_3 \xi_4^2 \\ \xi_4 \xi^2 & \xi_1^2 \xi_4 & \xi_2^2 \xi_4 & \xi_3^2 \xi_4 & \xi_4^3 \end{bmatrix} = 0$$

(11.5.9) 式と上記の結果から、

$$\Delta(t, \xi) = K(t, \xi) = t\xi^2 \quad (11.5.88)$$

(11.5.86) 式の  $\Delta(\alpha)$  は、(11.5.11) 式から各行列式を求めると、

$$K(\xi_1, \xi_1) = \xi_1^3$$

$$\begin{bmatrix} K(\xi_1, \xi_1) & K(\xi_1, \xi_2) \\ K(\xi_2, \xi_1) & K(\xi_2, \xi_2) \end{bmatrix} = \begin{bmatrix} \xi_1^3 & \xi_1 \xi_2^2 \\ \xi_1^2 \xi_2 & \xi_2^3 \end{bmatrix} = 0$$

$$\begin{bmatrix} K(\xi_1, \xi_1) & K(\xi_1, \xi_2) & K(\xi_1, \xi_3) \\ K(\xi_2, \xi_1) & K(\xi_2, \xi_2) & K(\xi_2, \xi_3) \\ K(\xi_3, \xi_1) & K(\xi_3, \xi_2) & K(\xi_3, \xi_3) \end{bmatrix} = \begin{bmatrix} \xi_1^3 & \xi_1 \xi_2^2 & \xi_1 \xi_3^2 \\ \xi_1^2 \xi_2 & \xi_2^3 & \xi_2 \xi_3^2 \\ \xi_1^2 \xi_3 & \xi_2^2 \xi_3 & \xi_3^3 \end{bmatrix} = 0$$

$$\begin{bmatrix} K(\xi_1, \xi_1) & K(\xi_1, \xi_2) & K(\xi_1, \xi_3) & K(\xi_1, \xi_4) \\ K(\xi_2, \xi_1) & K(\xi_2, \xi_2) & K(\xi_2, \xi_3) & K(\xi_2, \xi_4) \\ K(\xi_3, \xi_1) & K(\xi_3, \xi_2) & K(\xi_3, \xi_3) & K(\xi_3, \xi_4) \\ K(\xi_4, \xi_1) & K(\xi_4, \xi_2) & K(\xi_4, \xi_3) & K(\xi_4, \xi_4) \end{bmatrix} = \begin{bmatrix} \xi_1^3 & \xi_1 \xi_2^2 & \xi_1 \xi_3^2 & \xi_1 \xi_4^2 \\ \xi_1^2 \xi_2 & \xi_2^3 & \xi_2 \xi_3^2 & \xi_2 \xi_4^2 \\ \xi_1^2 \xi_3 & \xi_2^2 \xi_3 & \xi_3^3 & \xi_3 \xi_4^2 \\ \xi_1^2 \xi_4 & \xi_2^2 \xi_4 & \xi_3^2 \xi_4 & \xi_4^3 \end{bmatrix} = 0$$

(11.5.11) 式と上記の結果から、

$$\Delta(\alpha) = 1 - \int_0^1 \xi_1^3 d\xi_1 \alpha = 1 - \frac{\alpha}{4} \quad (11.5.89)$$

(11.5.86) 式に (11.5.88) 式と (11.5.89) 式を代入し、

$$G(t, \xi) = -\frac{t \xi^2}{1 - \frac{\alpha}{4}}$$

(11.5.85) 式に上式を代入すると、下記となり、前節と同じ結果が得られた。

$$x(t) = -12t \int_0^1 \xi^2 (2e^\xi - \xi + 1) d\xi + 2e^t - t + 1 = 2e^t - 24et + 46t + 1$$

### 11.5.15 フレドホルム型第二種積分方程式 例 7

下記の積分方程式を解き、 $x(t)$  を求める。

$$x(t) - \frac{1}{4} \int_0^{\frac{\pi}{2}} t \xi x(\xi) d\xi = \sin(t) - \frac{t}{4} \quad (11.5.90)$$

```
kill(all);
assume(t>0);
assume(\tau>0);
IE1:x(t)-1/4*'integrate((t*\xi)*x(\xi),
\xi,0,1/2*pi)=sin(t)-t/4;
F1:f(t)=sin(t)-t/4;
F11:subst([t=\xi],%);
IE2:x(t)=f(t)-1/4*'integrate(G(t,\xi)*
f(\xi),\xi,0,1/2*pi);
G1:G(t,\xi)=-sum(\alpha^(n-1)*
k[n](t,\xi),n,1,inf);
K0:K(t,\xi)=t*\xi;
K01:subst([\xi=\tau],K0);
K1:k[1](t,\xi)=K(t,\xi);
K11:subst([K0],K1);
K12:subst([t=\tau],K11);
K2:k[2](t,\xi)=integrate(K(t,\tau)*
k[1](\tau,\xi),\tau,0,1/2*pi);
subst([K12,K01],%);
K21:ev(%,integrate);
K22:subst([t=\tau],K21);
K3:k[3](t,\xi)=integrate(K(t,\tau)*
k[2](\tau,\xi),\tau,0,1/2*pi);
subst([K22,K01],%);
K31:ev(%,integrate);
K32:subst([t=\tau],K31);
K4:k[4](t,\xi)=integrate(K(t,\tau)*
k[3](\tau,\xi),\tau,0,1/2*pi);
subst([K32,K01],%);
K41:ev(%,integrate);
KN:k[n](t,\xi)=(pi^3/24)^(n-1)*t*\xi;
subst([KN,\alpha=1/4],G1);
KN1:alpha^(n-1)*k[n](t,\xi)=
sum(a^(n-1),n,1,inf);
1/(1-a);
subst([a=(pi^3/96)],%);
G2:lhs(G1)=-%*t*\xi;
subst([G2],IE2);
subst([F1,F11],%);
ev(%,integrate);
factor(%)
```

数)」の (11.5.2) 式から上式の解は、

$$x(t) = f(t) - \frac{1}{4} \int_0^{\frac{\pi}{2}} G(t, \xi) f(\xi) d\xi \quad (11.5.91)$$

ここで (11.5.3) 式から、

$$G(t, \xi) = - \sum_{n=1}^{\infty} \left(\frac{1}{4}\right)^{n-1} k_n(t, \xi) \quad (11.5.92)$$

(11.5.5) 式から、

$$k_n(t, \xi) = \int_0^1 K(t, \tau) k_{n-1}(\tau, \xi) d\tau \quad (11.5.93)$$

(11.5.90) 式から、

$$K(t, \xi) = t \xi$$

(11.5.4) 式、(11.5.93) 式から、

$$k_1(t, \xi) = K(t, \xi) = t \xi$$

$$k_2(t, \xi) = \int_0^1 K(t, \tau) k_1(\tau, \xi) d\tau = \frac{\pi^3 t \xi}{24}$$

$$k_3(t, \xi) = \int_0^1 K(t, \tau) k_2(\tau, \xi) d\tau = \frac{\pi^6 t \xi}{576}$$

$$k_4(t, \xi) = \int_0^1 K(t, \tau) k_3(\tau, \xi) d\tau = \frac{\pi^9 t \xi}{13824}$$

上式から、

$$k_n(t, \xi) = 24^{1-n} \pi^{3(n-1)} t \xi \quad (11.5.94)$$

(11.5.92) 式に上式を代入し、

$$G(t, \xi) = - \left( \sum_{n=1}^{\infty} 4^{1-n} 24^{1-n} \pi^{3(n-1)} \right) t \xi \quad (11.5.95)$$

ここで (11.5.48) 式の公式から、

$$\sum_{n=1}^{\infty} a^{n-1} = \frac{1}{1-a} \quad |a| < 1$$

上式で  $a = \frac{\pi^3}{96}$  とし、

$$G(t, \xi) = - \frac{t \xi}{1 - \frac{\pi^3}{96}}$$

(11.5.91) 式に上式を代入し、 $f(t) = \sin(t) - \frac{t}{4}$  であるから、

$$\begin{aligned} x(t) &= \frac{t}{4 \left(1 - \frac{\pi^3}{96}\right)} \int_0^{\frac{\pi}{2}} \xi \left( \sin(\xi) - \frac{\xi}{4} \right) d\xi + \sin(t) - \frac{t}{4} \\ &= \sin(t) \end{aligned}$$

### 11.5.16 パンシュール・グルサー核を持つフレドホルム型第二種積分方程式 例 1

下記の積分方程式を解き、 $x(t)$  を求める。

$$\begin{aligned} x(t) - \alpha \int_0^1 (t\xi(\xi+t+1) + \xi-t-1)x(\xi) d\xi \\ = -2t^2 + \frac{t}{5} + \frac{10}{3} \end{aligned} \quad (11.5.96)$$

$$f(t) = -2t^2 + \frac{t}{5} + \frac{10}{3} \quad (11.5.98)$$

(11.5.96) 式から「11.5.3 パンシュール・グルサー核を持つフレドホルム型第二種積分方程式の解法」からパンシュール・グルサー核を持つことがわかる。(11.5.97) 式から、

$$\begin{aligned} a_1(t) &= t^2, & b_1(\xi) &= \xi \\ a_2(t) &= t, & b_2(\xi) &= \xi^2 \\ a_3(t) &= t+1, & b_3(\xi) &= \xi-1 \end{aligned} \quad (11.5.99)$$

```
kill(all);
assume(t>0);
assume(\xi>0);
IE1:x(t)-\alpha*'integrate((t*\xi*(t+\xi+1)-t+\xi-1)*x(\xi),\xi,0,1)
=-2*t^2+1/5*t+10/3;
K0:K(t,\xi)=(t*\xi*(t+\xi+1)-t+\xi-1);
expand(%);
K01:lhs(%)=rest(rhs(%) , -4)+factor(rest(rhs(%) , 2));
F1:f(t)=-2*t^2+1/5*t+10/3;
A1:a[1](t)=t^2;
B1:b[1](\xi)=\xi;
A2:a[2](t)=t;
B2:b[2](\xi)=\xi^2;
A3:a[3](t)=t+1;
B3:b[3](\xi)=\xi-1;
BT1:subst([\xi=t],B1);
BT2:subst([\xi=t],B2);
BT3:subst([\xi=t],B3);
K1:K(t,\xi)=sum(a[i](t)*b[i](\xi),i,1,3);
ev(%,sum);
subst([A1,A2,A3,B1,B2,B3],%);
DL1:integrate(b[i](\xi)*x(\xi),\xi,0,1)
=\delta[i];
DL2:rhs(%)=lhs(%);
DL3:subst([i=j,\xi=t],DL1);
DL11:subst([i=1,B1],DL1);
DL12:subst([i=2,B2],DL1);
DL13:subst([i=3,B3],DL1);
subst([K1],IE1);
x(t)-\alpha*sum(integrate(x(xi)*a[i](t)*b[i](xi),xi,A,B),i,1,n)=f(t);
IE2:subst([DL1],%);
```

(11.5.96) 式から、

$$\begin{aligned} K(t, \xi) &= t\xi^2 + t^2\xi + (t+1)(\xi-1) \\ &= a_3(t)b_3(\xi) + a_2(t)b_2(\xi) + a_1(t)b_1(\xi) \end{aligned} \quad (11.5.97)$$

```
KJI:k[j,i]=integrate(a[i](t)*b[j](t),t,0,1);
subst([i=1,j=1,A1,BT1],KJI);
K11:ev(%,integrate);
subst([i=1,j=2,A1,BT2],KJI);
K21:ev(%,integrate);
subst([i=1,j=3,A1,BT3],KJI);
K31:ev(%,integrate);
subst([i=2,j=1,A2,BT1],KJI);
K12:ev(%,integrate);
subst([i=2,j=2,A2,BT2],KJI);
K22:ev(%,integrate);
subst([i=2,j=3,A2,BT3],KJI);
K32:ev(%,integrate);
subst([i=3,j=1,A3,BT1],KJI);
K13:ev(%,integrate);
subst([i=3,j=2,A3,BT2],KJI);
K23:ev(%,integrate);
subst([i=3,j=3,A3,BT3],KJI);
K33:ev(%,integrate);
CJ:c[j]=integrate(f(t)*b[j](t),t,0,1);
subst([j=1,F1,BT1],CJ);
CJ1:ev(%,integrate);
subst([j=2,F1,BT2],CJ);
CJ2:ev(%,integrate);
subst([j=3,F1,BT3],CJ);
CJ3:ev(%,integrate);
EQ:\delta[j]-\alpha*sum(\delta[i]*k[j,i],i,1,3)=c[j];
EQ1:subst([j=1,K11,K12,K13,CJ1],EQ);
EQ2:subst([j=2,K21,K22,K23,CJ2],EQ);
EQ3:subst([j=3,K31,K32,K33,CJ3],EQ);
DL1:solve([EQ1,EQ2,EQ3],[\delta[1],\delta[2],\delta[3]])[1];
X1:x(t)=\alpha*(sum(\delta[i]*a[i](t),i,1,3))+f(t);
subst([DL1],%);
X2:subst([A1,A2,A3,F1],%);
```

(11.5.20) 式から、下記の連立方程式が得られる。

$$\delta_j - \alpha (\delta_3 k_{j,3} + \delta_2 k_{j,2} + \delta_1 k_{j,1}) = c_j \quad j = 1, 2, 3 \quad (11.5.100)$$

ここで、

$$\begin{aligned} k_{j,i} &= \int_0^1 a_i(t) b_j(t) dt \\ c_j &= \int_0^1 f(t) b_j(t) dt \end{aligned} \quad (11.5.101)$$

上式から  $k_{j,i}$ ,  $c_j$  を求めると、

$$\begin{aligned} k_{1,1} &= \int_0^1 t^3 dt = \frac{1}{4} \\ k_{2,1} &= \int_0^1 t^4 dt = \frac{1}{5} \\ k_{3,1} &= \int_0^1 (t-1) t^2 dt = -\frac{1}{12} \\ k_{1,2} &= \int_0^1 t^2 dt = \frac{1}{3} \\ k_{2,2} &= \int_0^1 t^3 dt = \frac{1}{4} \\ k_{3,2} &= \int_0^1 (t-1) t dt = -\frac{1}{6} \\ k_{1,3} &= \int_0^1 t(t+1) dt = \frac{5}{6} \\ k_{2,3} &= \int_0^1 t^2(t+1) dt = \frac{7}{12} \\ k_{3,3} &= \int_0^1 (t-1)(t+1) dt = -\frac{2}{3} \\ c_1 &= \int_0^1 t \left( -2t^2 + \frac{t}{5} + \frac{10}{3} \right) dt = \frac{37}{30} \\ c_2 &= \int_0^1 t^2 \left( -2t^2 + \frac{t}{5} + \frac{10}{3} \right) dt = \frac{137}{180} \\ c_3 &= \int_0^1 (t-1) \left( -2t^2 + \frac{t}{5} + \frac{10}{3} \right) dt = -\frac{23}{15} \end{aligned} \quad (11.5.102)$$

(11.5.100) 式に上式を代入すると、

$$\begin{aligned} \delta_1 - \left( \frac{5\delta_3}{6} + \frac{\delta_2}{3} + \frac{\delta_1}{4} \right) \alpha &= \frac{37}{30} \\ \delta_2 - \left( \frac{7\delta_3}{12} + \frac{\delta_2}{4} + \frac{\delta_1}{5} \right) \alpha &= \frac{137}{180} \\ \delta_3 - \left( -\frac{2\delta_3}{3} - \frac{\delta_2}{6} - \frac{\delta_1}{12} \right) \alpha &= -\frac{23}{15} \end{aligned} \quad (11.5.103)$$

上式の連立方程式から、 $\delta_i$  が得られ、

$$\begin{aligned} \delta_1 &= \frac{2\alpha^2 + 1102\alpha - 2664}{\alpha^3 + 369\alpha^2 - 360\alpha - 2160}, \\ \delta_2 &= \frac{47\alpha^2 + 10713\alpha - 24660}{15\alpha^3 + 5535\alpha^2 - 5400\alpha - 32400}, \\ \delta_3 &= -\frac{10\alpha^2 + 3480\alpha - 9936}{3\alpha^3 + 1107\alpha^2 - 1080\alpha - 6480} \end{aligned} \quad (11.5.104)$$

(11.5.21) 式から解:  $x(t)$  が得られ、

$$x(t) = f(t) + \alpha (\delta_3 a_3(t) + \delta_2 a_2(t) + \delta_1 a_1(t))$$

上式に (11.5.99) 式、(11.5.104) 式を代入し、

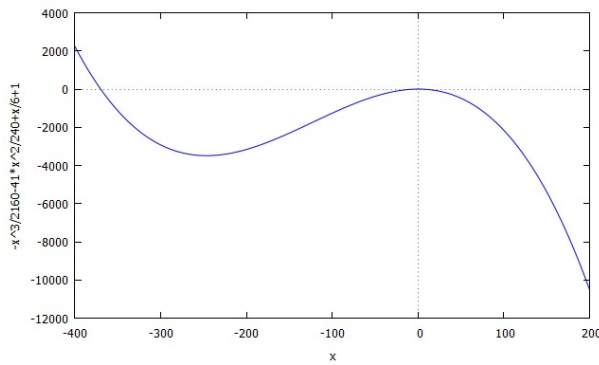
$$\begin{aligned} x(t) &= \alpha \left( \frac{(2\alpha^2 + 1102\alpha - 2664)t^2}{\alpha^3 + 369\alpha^2 - 360\alpha - 2160} \right. \\ &\quad - \frac{(10\alpha^2 + 3480\alpha - 9936)(t+1)}{3\alpha^3 + 1107\alpha^2 - 1080\alpha - 6480} \\ &\quad \left. + \frac{(47\alpha^2 + 10713\alpha - 24660)t}{15\alpha^3 + 5535\alpha^2 - 5400\alpha - 32400} \right) \\ &\quad - 2t^2 + \frac{t}{5} + \frac{10}{3} \end{aligned} \quad (11.5.105)$$

```
AL11:coeff(expand(lhs(EQ1)),\delta[1],1);
AL12:coeff(expand(lhs(EQ1)),\delta[2],1);
AL13:coeff(expand(lhs(EQ1)),\delta[3],1);
AL21:coeff(expand(lhs(EQ2)),\delta[1],1);
AL22:coeff(expand(lhs(EQ2)),\delta[2],1);
AL23:coeff(expand(lhs(EQ2)),\delta[3],1);
AL31:coeff(expand(lhs(EQ3)),\delta[1],1);
AL32:coeff(expand(lhs(EQ3)),\delta[2],1);
AL33:coeff(expand(lhs(EQ3)),\delta[3],1);
matrix([AL11,AL12,AL13],[AL21,AL22,AL23],
[AL31,AL32,AL33]);
determinant(%)=0;
AL4:expand(%);
solve(%,\alpha);
subst([\alpha=x],lhs(AL4));
plot2d(%, [x,-400,200]);
find_root(lhs(AL4),\alpha,-400,-300);
find_root(lhs(AL4),\alpha,-100,0);
find_root(lhs(AL4),\alpha,0,100);
subst([\alpha=4],X2);
X3:expand(%);
X31:subst([t=\xi],%);
subst([X3,X31,\alpha=4],IE1);
ev(%,integrate);
%-rhs(%);
factor(%);
```

(11.5.103) 式の係数行列式から解が得られない  $\alpha$  を求める。

$$\begin{bmatrix} 1 - \frac{\alpha}{4} & -\frac{\alpha}{3} & -\frac{5\alpha}{6} \\ -\frac{\alpha}{5} & 1 - \frac{\alpha}{4} & -\frac{7\alpha}{12} \\ \frac{\alpha}{12} & \frac{\alpha}{6} & \frac{2\alpha}{3} + 1 \end{bmatrix} = -\frac{\alpha^3}{2160} - \frac{41\alpha^2}{240} + \frac{\alpha}{6} + 1 = 0$$

solve 関数ではよい結果が得られなかったので、plot2d で解の存在する範囲を  $\alpha = -400 \rightarrow -300$ ,  $\alpha = -100 \rightarrow$



0、 $\alpha = 0 \rightarrow 100$  とし、`find_root` 関数で  $\alpha$  を求めると下記となり、このとき解は得られない。

$$\alpha = -369.9573036804549, -1.98460193470313, 2.941905615157956$$

いま、 $\alpha = 4$  とすると、解は、

$$x(t) = t^2 + 1$$

### 11.5.17 フレドホルム型同次積分方程式 例 2

下記の積分方程式を解き、 $x(t)$  を求める。

$$x(t) - \alpha \int_0^1 t \xi x(\xi) d\xi = 0 \quad (11.5.106)$$

```
kill(all);
assume(t>0);
assume(\tau>0);
IE1:x(t)-\alpha*'integrate(t*\xi*x(\xi),
\xi,0,1)=0;
DT1:\Delta(t,\xi)=t*\xi;
DA1:\Delta(\alpha)=1-\alpha/3;
\Delta(\alpha)=0;
subst(%,DA1);
solve(%,\alpha)[1];
X1:x(t)=sum(\Delta(t,C[i],\alpha[i]),i,
1,N);
\Delta(t,C[i],\alpha[i])=subst([\alpha=3,
\xi=C],rhs(DT1));
X2:subst([N=1,%],X1);
X21:subst([t=\xi],%);
subst([X2,X21,\alpha=3],IE1);
ev(%,integrate);
```

「11.5.2 フレドホルム型第二種積分方程式の解法 (行列式)」で (11.5.11) 式、(11.5.12) 式の  $\Delta(\alpha)$  および (11.5.9) 式、(11.5.10) 式の  $\Delta(t, \xi)$  を用いて、(11.5.23) 式から、

$$\begin{aligned} \Delta(\alpha) \neq 0 \quad \text{なら、解は} \quad x = 0 \\ \Delta(\alpha) = 0, \frac{d}{d\alpha} \Delta(\alpha) \neq 0 \quad \text{なら、解は} \\ x(t) = \Delta(t, C_i, \alpha_i) \end{aligned} \quad (11.5.107)$$

(11.5.106) 式から、

$$K(t, \xi) = t \xi$$

これは「11.5.9 フレドホルム型第二種積分方程式 例 3」と同じであり、ここで得られた  $\Delta(t, \xi)$  および  $\Delta(\alpha)$  が使用できる。(11.5.53) 式から、

$$\Delta(t, \xi) = t \xi \quad (11.5.108)$$

(11.5.54) 式から、

$$\Delta(\alpha) = 1 - \frac{\alpha}{3} \quad (11.5.109)$$

上式から  $\alpha = 3$  で下記の解となる。

$$x(t) = \sum_{i=1}^N \Delta(t, C_i, \alpha_i) = t C$$



## 11.5.18 フレドホルム型同次積分方程式 例 3

下記の積分方程式を解き、 $x(t)$  を求める。

$$x(t) - \alpha \int_0^1 (\xi + t) x(\xi) d\xi = 0 \quad (11.5.110)$$

```
kill(all);
assume(t>0);
assume(\tau>0);
IE1:x(t)-\alpha*'integrate((t+\xi)*x(\xi),\xi,0,1)=0;
K0:K(t,\xi)=t+\xi;
M21:matrix([K(t,\xi),K(t,\xi[1])],[K(\xi[1],\xi),K(\xi[1],\xi[1])]);
K11:subst([\xi=\xi[1]],K0);
K12:subst([t=\xi[1]],K0);
K13:subst([\xi=\xi[1],t=\xi[1]],K0);
subst([K0,K11,K12,K13],M21);
M21D:determinant(%);
M22:matrix([K(t,\xi),K(t,\xi[1]),K(t,\xi[2])],[K(\xi[1],\xi),K(\xi[1],\xi[1]),
K(\xi[1],\xi[2])],[K(\xi[2],\xi),K(\xi[2],\xi[1]),K(\xi[2],\xi[2])]);
K21:subst([\xi=\xi[2]],K0);
K22:subst([t=\xi[2]],K0);
K23:subst([\xi=\xi[1],t=\xi[2]],K0);
K24:subst([\xi=\xi[2],t=\xi[1]],K0);
K25:subst([\xi=\xi[2],t=\xi[2]],K0);
subst([K0,K11,K12,K13],M22);
subst([K21,K22,K23,K24,K25],%);
M22D:determinant(%);
M23:matrix([K(t,\xi),K(t,\xi[1]),K(t,\xi[2]),K(t,\xi[3])],[K(\xi[1],\xi),
K(\xi[1],\xi[1]),K(\xi[1],\xi[2]),K(\xi[1],\xi[3])],[K(\xi[2],\xi),K(\xi[2],\xi[1]),
K(\xi[2],\xi[2]),K(\xi[2],\xi[3])],[K(\xi[3],\xi),K(\xi[3],\xi[1]),K(\xi[3],\xi[2]),
K(\xi[3],\xi[3])]);
K31:subst([\xi=\xi[3]],K0);
K32:subst([t=\xi[3]],K0);
K33:subst([\xi=\xi[1],t=\xi[3]],K0);
K34:subst([\xi=\xi[2],t=\xi[3]],K0);
K35:subst([\xi=\xi[3],t=\xi[1]],K0);
K36:subst([\xi=\xi[3],t=\xi[2]],K0);
K37:subst([\xi=\xi[3],t=\xi[3]],K0);
subst([K0,K11,K12,K13],M23);
subst([K21,K22,K23,K24,K25],%);
subst([K31,K32,K33,K34,K35,K36,K37],%);
M23D:determinant(%);
```

```

M24:matrix([K(t,\xi),K(t,\xi[1]),K(t,\xi[2]),K(t,\xi[3]),K(t,\xi[4])],[K(\xi[1],\xi),
K(\xi[1],\xi[1]),K(\xi[1],\xi[2]),K(\xi[1],\xi[3]),K(\xi[1],\xi[4])],[K(\xi[2],\xi),
K(\xi[2],\xi[1]),K(\xi[2],\xi[2]),K(\xi[2],\xi[3]),K(\xi[2],\xi[4])],[K(\xi[3],\xi),
K(\xi[3],\xi[1]),K(\xi[3],\xi[2]),K(\xi[3],\xi[3]),K(\xi[3],\xi[4])],[K(\xi[4],\xi),
K(\xi[4],\xi[1]),K(\xi[4],\xi[2]),K(\xi[4],\xi[3]),K(\xi[4],\xi[4])]);
K41:subst([\xi=\xi[4]],K0);
K42:subst([t=\xi[4]],K0);
K43:subst([\xi=\xi[1],t=\xi[4]],K0);
K44:subst([\xi=\xi[2],t=\xi[4]],K0);
K45:subst([\xi=\xi[3],t=\xi[4]],K0);
K46:subst([\xi=\xi[4],t=\xi[1]],K0);
K47:subst([\xi=\xi[4],t=\xi[2]],K0);
K48:subst([\xi=\xi[4],t=\xi[3]],K0);
K49:subst([\xi=\xi[4],t=\xi[4]],K0);
subst([K0,K11,K12,K13],M24);
subst([K21,K22,K23,K24,K25],%);
subst([K31,K32,K33,K34,K35,K36,K37],%);
subst([K41,K42,K43,K44,K45,K46,K47,K48,K49],%);
M24D:determinant(%);
G21:K(t,\xi);
G221:+(-1*\alpha)^(1)/(1!)*'integrate(M21D,\xi[1],0,1);
G221:ev(%,integrate);
+(-1*\alpha)^(2)/(2!)*'integrate('integrate(M22D,\xi[1],0,1),\xi[2],0,1);
G22:ev(%,integrate);
+(-1*\alpha)^(3)/(3!)*'integrate('integrate('integrate(M23D,\xi[1],0,1),
\xi[2],0,1),\xi[3],0,1);
G23:ev(%,integrate);
+(-1*\alpha)^(4)/(4!)*'integrate('integrate('integrate('integrate(M24D,\xi[1],0,1),
\xi[2],0,1),\xi[3],0,1),\xi[4],0,1);
G24:ev(%,integrate);
G2:\Delta(t,\xi)=G21+G221+G22+G23+G24;
G25:subst([K0],%);
M31:K(\xi[1],\xi[1]);
M31D:subst([K0,K11,K12,K13],M31);
M32:matrix([K(\xi[1],\xi[1]),K(\xi[1],\xi[2])],[K(\xi[2],\xi[1]),K(\xi[2],\xi[2])]);
subst([K0,K11,K12,K13],M32);
subst([K21,K22,K23,K24,K25],%);
M32D:determinant(%);
M33:matrix([K(\xi[1],\xi[1]),K(\xi[1],\xi[2]),K(\xi[1],\xi[3])],[K(\xi[2],\xi[1]),
K(\xi[2],\xi[2]),K(\xi[2],\xi[3])],[K(\xi[3],\xi[1]),K(\xi[3],\xi[2]),
K(\xi[3],\xi[3])]);
subst([K0,K11,K12,K13],M33);
subst([K21,K22,K23,K24,K25],%);
subst([K31,K32,K33,K34,K35,K36,K37],%);
M33D:determinant(%);
M34:matrix([K(\xi[1],\xi[1]),K(\xi[1],\xi[2]),K(\xi[1],\xi[3]),K(\xi[1],\xi[4])],
[K(\xi[2],\xi[1]),K(\xi[2],\xi[2]),K(\xi[2],\xi[3]),K(\xi[2],\xi[4])],
[K(\xi[3],\xi[1]),K(\xi[3],\xi[2]),K(\xi[3],\xi[3]),K(\xi[3],\xi[4])],
[K(\xi[4],\xi[1]),K(\xi[4],\xi[2]),K(\xi[4],\xi[3]),K(\xi[4],\xi[4])]);

```

```

M34D:determinant(%);
subst([K0,K11,K12,K13],M34);
subst([K21,K22,K23,K24,K25],%);
subst([K31,K32,K33,K34,K35,K36,K37],%);
subst([K41,K42,K43,K44,K45,K46,K47,K48,K49],%);
+(-1*\alpha)^(1)/(1!)*'integrate(M31D,\xi[1],0,1);
G31:ev(%,integrate);
+(-1*\alpha)^(2)/(2!)*'integrate('integrate(M32D,\xi[1],0,1),\xi[2],0,1);
G32:ev(%,integrate);
+(-1*\alpha)^(3)/(3!)*'integrate('integrate('integrate(M33D,\xi[1],0,1),\xi[2],0,1),
\xi[3],0,1);
G33:ev(%,integrate);
+(-1*\alpha)^(4)/(4!)*'integrate('integrate('integrate('integrate(M34D,\xi[1],0,1),
\xi[2],0,1),\xi[3],0,1),\xi[4],0,1);
G34:ev(%,integrate);
G3:\Delta(\alpha)=1+G31+G32+G33+G34;
rhs(%)=0;
AL1:solve(%,\alpha);
float(%);
AL11:AL1[1];
AL12:AL1[2];
X1:x(t)=subst([\xi=C],rhs(G25));
X11:subst([t=\xi],%);
subst([X1,X11],IE1);
X12:ev(%,integrate);
subst([AL11],X12);
factor(%);
subst([AL12],X12);
factor(%);

```

「11.5.2 フレドホルム型第二種積分方程式の解法(行列式)」で(11.5.11)式、(11.5.12)式の $\Delta(\alpha)$ および(11.5.9)式、(11.5.10)式の $\Delta(t, \xi)$ を用いて、(11.5.23)式から、

$$\begin{aligned} \Delta(\alpha) \neq 0 \quad \text{なら、解は} \quad x = 0 \\ \Delta(\alpha) = 0, \frac{d}{d\alpha} \Delta(\alpha) \neq 0 \quad \text{なら、解は} \quad x(t) = \Delta(t, C_i, \alpha_i) \end{aligned} \quad (11.5.111)$$

(11.5.110)式から、

$$K(t, \xi) = \xi + t$$

$$\begin{bmatrix} K(t, \xi) & K(t, \xi_1) \\ K(\xi_1, \xi) & K(\xi_1, \xi_1) \end{bmatrix} = \begin{bmatrix} \xi + t & t + \xi_1 \\ \xi + \xi_1 & 2\xi_1 \end{bmatrix} = 2\xi_1(\xi + t) - (t + \xi_1)(\xi + \xi_1)$$

$$\begin{bmatrix} K(t, \xi) & K(t, \xi_1) & K(t, \xi_2) \\ K(\xi_1, \xi) & K(\xi_1, \xi_1) & K(\xi_1, \xi_2) \\ K(\xi_2, \xi) & K(\xi_2, \xi_1) & K(\xi_2, \xi_2) \end{bmatrix} = \begin{bmatrix} \xi + t & t + \xi_1 & t + \xi_2 \\ \xi + \xi_1 & 2\xi_1 & \xi_2 + \xi_1 \\ \xi + \xi_2 & \xi_2 + \xi_1 & 2\xi_2 \end{bmatrix}$$

$$\begin{bmatrix} K(t, \xi) & K(t, \xi_1) & K(t, \xi_2) & K(t, \xi_3) \\ K(\xi_1, \xi) & K(\xi_1, \xi_1) & K(\xi_1, \xi_2) & K(\xi_1, \xi_3) \\ K(\xi_2, \xi) & K(\xi_2, \xi_1) & K(\xi_2, \xi_2) & K(\xi_2, \xi_3) \\ K(\xi_3, \xi) & K(\xi_3, \xi_1) & K(\xi_3, \xi_2) & K(\xi_3, \xi_3) \end{bmatrix} = \begin{bmatrix} \xi + t & t + \xi_1 & t + \xi_2 & t + \xi_3 \\ \xi + \xi_1 & 2\xi_1 & \xi_2 + \xi_1 & \xi_3 + \xi_1 \\ \xi + \xi_2 & \xi_2 + \xi_1 & 2\xi_2 & \xi_3 + \xi_2 \\ \xi + \xi_3 & \xi_3 + \xi_1 & \xi_3 + \xi_2 & 2\xi_3 \end{bmatrix}$$

$$\begin{bmatrix} K(t, \xi) & K(t, \xi_1) & K(t, \xi_2) & K(t, \xi_3) & K(t, \xi_4) \\ K(\xi_1, \xi) & K(\xi_1, \xi_1) & K(\xi_1, \xi_2) & K(\xi_1, \xi_3) & K(\xi_1, \xi_4) \\ K(\xi_2, \xi) & K(\xi_2, \xi_1) & K(\xi_2, \xi_2) & K(\xi_2, \xi_3) & K(\xi_2, \xi_4) \\ K(\xi_3, \xi) & K(\xi_3, \xi_1) & K(\xi_3, \xi_2) & K(\xi_3, \xi_3) & K(\xi_3, \xi_4) \\ K(\xi_4, \xi) & K(\xi_4, \xi_1) & K(\xi_4, \xi_2) & K(\xi_4, \xi_3) & K(\xi_4, \xi_4) \end{bmatrix} = \begin{bmatrix} t\xi & \xi_1 t & \xi_2 t & \xi_3 t & \xi_4 t \\ \xi_1 \xi & \xi_1^2 & \xi_1 \xi_2 & \xi_1 \xi_3 & \xi_1 \xi_4 \\ \xi_2 \xi & \xi_1 \xi_2 & \xi_2^2 & \xi_2 \xi_3 & \xi_2 \xi_4 \\ \xi_3 \xi & \xi_1 \xi_3 & \xi_2 \xi_3 & \xi_3^2 & \xi_3 \xi_4 \\ \xi_4 \xi & \xi_1 \xi_4 & \xi_2 \xi_4 & \xi_3 \xi_4 & \xi_4^2 \end{bmatrix}$$

(11.5.9) 式に上記の結果を代入し、積分すると 3 行 3 列以上の行列式の積分結果は零となり、

$$\begin{aligned} \Delta(t, \xi) = & \dots + \frac{\alpha^4}{24} \int_0^1 \int_0^1 \int_0^1 \int_0^1 \begin{bmatrix} \xi+t & t+\xi_1 & t+\xi_2 & t+\xi_3 & t+\xi_4 \\ \xi+\xi_1 & 2\xi_1 & \xi_2+\xi_1 & \xi_3+\xi_1 & \xi_4+\xi_1 \\ \xi+\xi_2 & \xi_2+\xi_1 & 2\xi_2 & \xi_3+\xi_2 & \xi_4+\xi_2 \\ \xi+\xi_3 & \xi_3+\xi_1 & \xi_3+\xi_2 & 2\xi_3 & \xi_4+\xi_3 \\ \xi+\xi_4 & \xi_4+\xi_1 & \xi_4+\xi_2 & \xi_4+\xi_3 & 2\xi_4 \end{bmatrix} d\xi_1 d\xi_2 d\xi_3 d\xi_4 \\ & - \frac{\alpha^3}{6} \int_0^1 \int_0^1 \int_0^1 \begin{bmatrix} \xi+t & t+\xi_1 & t+\xi_2 & t+\xi_3 \\ \xi+\xi_1 & 2\xi_1 & \xi_2+\xi_1 & \xi_3+\xi_1 \\ \xi+\xi_2 & \xi_2+\xi_1 & 2\xi_2 & \xi_3+\xi_2 \\ \xi+\xi_3 & \xi_3+\xi_1 & \xi_3+\xi_2 & 2\xi_3 \end{bmatrix} d\xi_1 d\xi_2 d\xi_3 \\ & + \frac{\alpha^2}{2} \int_0^1 \int_0^1 \begin{bmatrix} \xi+t & t+\xi_1 & t+\xi_2 \\ \xi+\xi_1 & 2\xi_1 & \xi_2+\xi_1 \\ \xi+\xi_2 & \xi_2+\xi_1 & 2\xi_2 \end{bmatrix} d\xi_1 d\xi_2 \\ & - \alpha \int_0^1 \begin{bmatrix} \xi+t & t+\xi_1 \\ \xi+\xi_1 & 2\xi_1 \end{bmatrix} d\xi_1 + K(t, \xi) \\ = & \frac{\alpha((6t-3)\xi - 3t + 2)}{6} + \xi + t \end{aligned} \quad (11.5.112)$$

(11.5.111) 式の  $\Delta(\alpha)$  は、(11.5.11) 式から各行列式を求めると、

$$\begin{aligned} K(\xi_1, \xi_1) &= 2\xi_1 \\ \begin{bmatrix} K(\xi_1, \xi_1) & K(\xi_1, \xi_2) \\ K(\xi_2, \xi_1) & K(\xi_2, \xi_2) \end{bmatrix} &= \begin{bmatrix} 2\xi_1 & \xi_2 + \xi_1 \\ \xi_2 + \xi_1 & 2\xi_2 \end{bmatrix} = 4\xi_1 \xi_2 - (\xi_2 + \xi_1)^2 \\ \begin{bmatrix} K(\xi_1, \xi_1) & K(\xi_1, \xi_2) & K(\xi_1, \xi_3) \\ K(\xi_2, \xi_1) & K(\xi_2, \xi_2) & K(\xi_2, \xi_3) \\ K(\xi_3, \xi_1) & K(\xi_3, \xi_2) & K(\xi_3, \xi_3) \end{bmatrix} &= \begin{bmatrix} 2\xi_1 & \xi_2 + \xi_1 & \xi_3 + \xi_1 \\ \xi_2 + \xi_1 & 2\xi_2 & \xi_3 + \xi_2 \\ \xi_3 + \xi_1 & \xi_3 + \xi_2 & 2\xi_3 \end{bmatrix} \\ \begin{bmatrix} K(\xi_1, \xi_1) & K(\xi_1, \xi_2) & K(\xi_1, \xi_3) & K(\xi_1, \xi_4) \\ K(\xi_2, \xi_1) & K(\xi_2, \xi_2) & K(\xi_2, \xi_3) & K(\xi_2, \xi_4) \\ K(\xi_3, \xi_1) & K(\xi_3, \xi_2) & K(\xi_3, \xi_3) & K(\xi_3, \xi_4) \\ K(\xi_4, \xi_1) & K(\xi_4, \xi_2) & K(\xi_4, \xi_3) & K(\xi_4, \xi_4) \end{bmatrix} &= \begin{bmatrix} 2\xi_1 & \xi_2 + \xi_1 & \xi_3 + \xi_1 & \xi_4 + \xi_1 \\ \xi_2 + \xi_1 & 2\xi_2 & \xi_3 + \xi_2 & \xi_4 + \xi_2 \\ \xi_3 + \xi_1 & \xi_3 + \xi_2 & 2\xi_3 & \xi_4 + \xi_3 \\ \xi_4 + \xi_1 & \xi_4 + \xi_2 & \xi_4 + \xi_3 & 2\xi_4 \end{bmatrix} \end{aligned}$$

(11.5.11) 式に上記の結果を代入し、積分すると 3 行 3 列以上の行列式の積分結果は零となり、

$$\begin{aligned} \Delta(\alpha) = & \dots + \frac{\alpha^4}{24} \int_0^1 \int_0^1 \int_0^1 \int_0^1 \begin{bmatrix} 2\xi_1 & \xi_2 + \xi_1 & \xi_3 + \xi_1 & \xi_4 + \xi_1 \\ \xi_2 + \xi_1 & 2\xi_2 & \xi_3 + \xi_2 & \xi_4 + \xi_2 \\ \xi_3 + \xi_1 & \xi_3 + \xi_2 & 2\xi_3 & \xi_4 + \xi_3 \\ \xi_4 + \xi_1 & \xi_4 + \xi_2 & \xi_4 + \xi_3 & 2\xi_4 \end{bmatrix} d\xi_1 d\xi_2 d\xi_3 d\xi_4 \\ & - \frac{\alpha^3}{6} \int_0^1 \int_0^1 \int_0^1 \begin{bmatrix} 2\xi_1 & \xi_2 + \xi_1 & \xi_3 + \xi_1 \\ \xi_2 + \xi_1 & 2\xi_2 & \xi_3 + \xi_2 \\ \xi_3 + \xi_1 & \xi_3 + \xi_2 & 2\xi_3 \end{bmatrix} d\xi_1 d\xi_2 d\xi_3 \\ & + \frac{\alpha^2}{2} \int_0^1 \int_0^1 \begin{bmatrix} 2\xi_1 & \xi_2 + \xi_1 \\ \xi_2 + \xi_1 & 2\xi_2 \end{bmatrix} d\xi_1 d\xi_2 - \alpha \int_0^1 2\xi_1 d\xi_1 + 1 \\ = & -\frac{\alpha^2}{12} - \alpha + 1 \end{aligned} \quad (11.5.113)$$

(11.5.111) 式から、解が存在するのは (11.5.113) 式から、

$$-\frac{\alpha^2}{12} - \alpha + 1 = 0$$

(11.5.111) 式から、上式の解： $\alpha = -4\sqrt{3} - 6, \alpha = 4\sqrt{3} - 6$  のとき、解： $x(t)$  は次式となる。ここで  $C$  は任意定数である。

$$x(t) = \frac{\alpha((6t-3)C - 3t + 2)}{6} + C + t$$

## 11.6 フレドホルム型積分方程式の数値解法

### 11.6.1 フレドホルム型第二種積分方程式

#### 例 1

「11.5.15 フレドホルム型第二種積分方程式」で示されている下記の積分方程式を数値解法で解く。

$$x(t) - \frac{1}{4} \int_0^{\frac{\pi}{2}} t y x(y) dy = \sin(t) - \frac{t}{4} \quad (11.6.1)$$

```
kill(all);
assume(t>0);
IE1:x(t)-1/4*integrate(t*y*x(y),y,0,
%pi/2)=sin(t)-t/4;
F1:f(t)=rhs(IE1);
F2:F[i]=subst([t=T[i]],rhs(%));
K1:k(t,y)=t*y;
K2:K[i,j]=T[i]*Y[j]/4;
IEI1:X[i]-sum(K[i,j]*X[j]*W,j,1,N)=F[i];
T1:T[i]=(i-1/2)*%pi/2/N;
Y1:Y[j]=(j-1/2)*%pi/2/N;
W1:W=%pi/2/N;
subst([K2],IEI1);
subst([F2],%);
subst([W1,T1,Y1],%);
subst([N=10],%);
EQ0:ev(% ,sum);
EQ1:subst([i=1],EQ0);
EQ2:subst([i=2],EQ0);
EQ3:subst([i=3],EQ0);
EQ4:subst([i=4],EQ0);
EQ5:subst([i=5],EQ0);
EQ6:subst([i=6],EQ0);
EQ7:subst([i=7],EQ0);
EQ8:subst([i=8],EQ0);
EQ9:subst([i=9],EQ0);
EQA:subst([i=10],EQ0);
solve([EQ1,EQ2,EQ3,EQ4,EQ5,EQ6,EQ7,EQ8,
EQ9,EQA],[X[1],X[2],X[3],X[4],X[5],
X[6],X[7],X[8],X[9],X[10]])[1];
XX:float(%);
T2:subst([N=10],rhs(T1));
```

```
LX1:[subst([i=1],T2),rhs(XX[1])],
[subst([i=2],T2),rhs(XX[2])],
[subst([i=3],T2),rhs(XX[3])],
[subst([i=4],T2),rhs(XX[4])],
[subst([i=5],T2),rhs(XX[5])],
[subst([i=6],T2),rhs(XX[6])],
[subst([i=7],T2),rhs(XX[7])],
[subst([i=8],T2),rhs(XX[8])],
[subst([i=9],T2),rhs(XX[9])],
[subst([i=10],T2),rhs(XX[10])]];
subst([x(y)=sin(y),x(t)=sin(t)],IE1);
ev(% ,integrate);
%-rhs(%);
plot2d([[discrete,LX1],sin(t)],
[t,0,%pi/2],[style,points,[lines,4,2]],
[y,0,1.2],[legend,"Numerical solution",
"sin(t)"]];
```

(11.6.1) 式の積分を  $N$  分割した矩形積分で置き換えると、下記の級数となる。

$$X_i - \left( \sum_{j=1}^N K_{i,j} X_j \right) W = F_i \quad (i = 1 \rightarrow N)$$

ここで、 $K_{i,j} = \frac{T_i Y_j}{4}$

$$F_i = \sin(T_i) - \frac{T_i}{4} \quad (11.6.2)$$

$$T_i = \frac{\pi \left( i - \frac{1}{2} \right)}{2N}$$

$$Y_j = \frac{\pi \left( j - \frac{1}{2} \right)}{2N}$$

$$W = \frac{\pi}{2N}$$

上式を整理すると、

$$X_i - \frac{\pi^3 \left( i - \frac{1}{2} \right)}{32 N^3} \sum_{j=1}^N \left( j - \frac{1}{2} \right) X_j = \sin \left( \frac{\pi \left( i - \frac{1}{2} \right)}{2N} \right) - \frac{\pi \left( i - \frac{1}{2} \right)}{8N} \quad (i = 1 \rightarrow N) \quad (11.6.3)$$

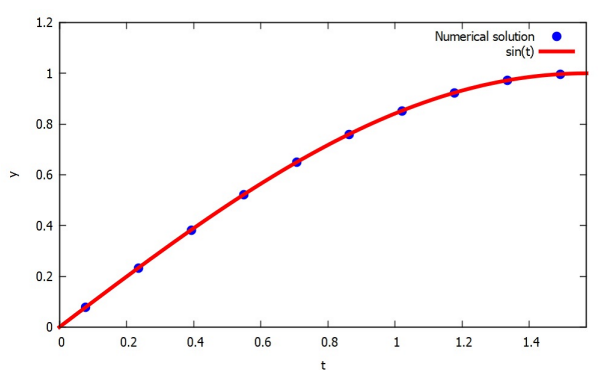
上式で  $N = 10$  として連立方程式を解き、 $[T_i, X_i]$  を求めると、

$$\begin{aligned} & \left[ \frac{\pi}{40}, 0.078429250273473 \right], \left[ \frac{3\pi}{40}, 0.23335582749279 \right], \\ & \left[ \frac{\pi}{8}, 0.38253420509323 \right], \left[ \frac{7\pi}{40}, 0.52228964653534 \right], \\ & \left[ \frac{9\pi}{40}, 0.64917943924083 \right], \left[ \frac{11\pi}{40}, 0.76007766560194 \right], \\ & \left[ \frac{13\pi}{40}, 0.85225217344725 \right], \left[ \frac{3\pi}{8}, 0.9234318506957 \right], \\ & \left[ \frac{17\pi}{40}, 0.97186254767335 \right], \left[ \frac{19\pi}{40}, 0.99635027010006 \right] \end{aligned}$$

「11.5.15 フレドホルム型第二種積分方程式 例 6」で示されている解析解は、

$$x(t) = \sin(t)$$

上記数値計算結果と解析結果を比較すると下図となる。



### 例題 11.6.2 フレドホルム型同次積分方程式 例 1

「11.5.18 フレドホルム型同次積分方程式 例 3」で示されている下記の積分方程式を数値解法で解く。

$$x(t) - \alpha \int_0^1 (y+t) x(y) dy = 0 \quad (11.6.4)$$

```
kill(all);
assume(t>0);
IE1:x(t)-\alpha*integrate((t+y)*x(y),y,
0,1)=0;
K1:k(t,y)=t+y;
K2:K[i,j]=\alpha*(T[i]+Y[j]);
IEI1:X[i]-sum(K[i,j]*X[j]*W,j,1,N)=0;
T1:T[i]=(i-1/2)/N;
Y1:Y[j]=(j-1/2)/N;
W1:W=1/N;
subst([K2],IEI1);
subst([W1,T1,Y1],%);
subst([N=7],%);
EQ0:ev(% ,sum);
T2:subst([N=7],rhs(T1));
EQ1:expand(subst([i=1],EQ0));
EQ2:expand(subst([i=2],EQ0));
EQ3:expand(subst([i=3],EQ0));
EQ4:expand(subst([i=4],EQ0));
EQ5:expand(subst([i=5],EQ0));
EQ6:expand(subst([i=6],EQ0));
EQ7:expand(subst([i=7],EQ0));
solve([EQ1,EQ2,EQ3,EQ4,EQ5,EQ6,EQ7],
[X[1],X[2],X[3],X[4],X[5],X[6],X[7]])[1];
```

(11.6.4) 式の積分を  $N$  分割した矩形積分で置き換えると、下記の級数となる。

$$X_i - \left( \sum_{j=1}^N K_{i,j} X_j \right) W = 0 \quad (i = 1 \rightarrow N)$$

ここで、 $K_{i,j} = \alpha (Y_j + T_i)$

$$T_i = \frac{i - \frac{1}{2}}{N} \quad (11.6.5)$$

$$Y_j = \frac{j - \frac{1}{2}}{N}$$

$$W = \frac{1}{N}$$

上式を整理すると、

$$X_i - \frac{\alpha \sum_{j=1}^N X_j \left( \frac{j - \frac{1}{2}}{N} + \frac{i - \frac{1}{2}}{N} \right)}{N} = 0 \quad (i = 1 \rightarrow N) \quad (11.6.6)$$

上式で  $N = 7$  として連立方程式を解き、 $X_i$  を求める

と下記となり、解はない。

$$X_1 = 0, X_2 = 0, X_3 = 0, X_4 = 0,$$

$$X_5 = 0, X_6 = 0, X_7 = 0$$

```
C11:coeff(lhs(EQ1),X[1],1);
C12:coeff(lhs(EQ1),X[2],1);
C13:coeff(lhs(EQ1),X[3],1);
C14:coeff(lhs(EQ1),X[4],1);
C15:coeff(lhs(EQ1),X[5],1);
C16:coeff(lhs(EQ1),X[6],1);
C17:coeff(lhs(EQ1),X[7],1);
C21:coeff(lhs(EQ2),X[1],1);
C22:coeff(lhs(EQ2),X[2],1);
C23:coeff(lhs(EQ2),X[3],1);
C24:coeff(lhs(EQ2),X[4],1);
C25:coeff(lhs(EQ2),X[5],1);
C26:coeff(lhs(EQ2),X[6],1);
C27:coeff(lhs(EQ2),X[7],1);
C31:coeff(lhs(EQ3),X[1],1);
C32:coeff(lhs(EQ3),X[2],1);
C33:coeff(lhs(EQ3),X[3],1);
C34:coeff(lhs(EQ3),X[4],1);
C35:coeff(lhs(EQ3),X[5],1);
C36:coeff(lhs(EQ3),X[6],1);
C37:coeff(lhs(EQ3),X[7],1);
C41:coeff(lhs(EQ4),X[1],1);
C42:coeff(lhs(EQ4),X[2],1);
C43:coeff(lhs(EQ4),X[3],1);
C44:coeff(lhs(EQ4),X[4],1);
C45:coeff(lhs(EQ4),X[5],1);
C46:coeff(lhs(EQ4),X[6],1);
C47:coeff(lhs(EQ4),X[7],1);
C48:coeff(lhs(EQ4),X[8],1);
C49:coeff(lhs(EQ4),X[9],1);
C4A:coeff(lhs(EQ4),X[10],1);
C51:coeff(lhs(EQ5),X[1],1);
C52:coeff(lhs(EQ5),X[2],1);
C53:coeff(lhs(EQ5),X[3],1);
C54:coeff(lhs(EQ5),X[4],1);
C55:coeff(lhs(EQ5),X[5],1);
C56:coeff(lhs(EQ5),X[6],1);
C57:coeff(lhs(EQ5),X[7],1);
C61:coeff(lhs(EQ6),X[1],1);
C62:coeff(lhs(EQ6),X[2],1);
C63:coeff(lhs(EQ6),X[3],1);
C64:coeff(lhs(EQ6),X[4],1);
C65:coeff(lhs(EQ6),X[5],1);
C66:coeff(lhs(EQ6),X[6],1);
C67:coeff(lhs(EQ6),X[7],1);
```

```
C71:coeff(lhs(EQ7),X[1],1);
C72:coeff(lhs(EQ7),X[2],1);
C73:coeff(lhs(EQ7),X[3],1);
C74:coeff(lhs(EQ7),X[4],1);
C75:coeff(lhs(EQ7),X[5],1);
C76:coeff(lhs(EQ7),X[6],1);
C77:coeff(lhs(EQ7),X[7],1);
matrix([C11,C12,C13,C14,C15,C16,C17],
 [C21,C22,C23,C24,C25,C26,C27],
 [C31,C32,C33,C34,C35,C36,C37],
 [C41,C42,C43,C44,C45,C46,C47],
 [C51,C52,C53,C54,C55,C56,C57],
 [C61,C62,C63,C64,C65,C66,C67],
 [C71,C72,C73,C74,C75,C76,C77]);
determinant(%);
factor(%)=0;
AL1:solve(%,\alpha);
float(%);
AL11:AL1[1];
AL12:AL1[2];
```

(11.6.6) 式の連立方程式の係数行列式は、

$$\begin{vmatrix} 1 - \frac{\alpha}{49} & -\frac{2\alpha}{49} & -\frac{3\alpha}{49} & -\frac{4\alpha}{49} & -\frac{5\alpha}{49} & -\frac{6\alpha}{49} & -\frac{\alpha}{7} \\ -\frac{2\alpha}{49} & 1 - \frac{3\alpha}{49} & -\frac{4\alpha}{49} & -\frac{5\alpha}{49} & -\frac{6\alpha}{49} & -\frac{\alpha}{7} & -\frac{8\alpha}{49} \\ -\frac{3\alpha}{49} & -\frac{4\alpha}{49} & 1 - \frac{5\alpha}{49} & -\frac{6\alpha}{49} & -\frac{\alpha}{7} & -\frac{8\alpha}{49} & -\frac{9\alpha}{49} \\ -\frac{4\alpha}{49} & -\frac{5\alpha}{49} & -\frac{6\alpha}{49} & 1 - \frac{\alpha}{7} & -\frac{8\alpha}{49} & -\frac{9\alpha}{49} & -\frac{10\alpha}{49} \\ -\frac{5\alpha}{49} & -\frac{6\alpha}{49} & -\frac{\alpha}{7} & -\frac{8\alpha}{49} & 1 - \frac{9\alpha}{49} & -\frac{10\alpha}{49} & -\frac{11\alpha}{49} \\ -\frac{6\alpha}{49} & -\frac{\alpha}{7} & -\frac{8\alpha}{49} & -\frac{9\alpha}{49} & -\frac{10\alpha}{49} & 1 - \frac{11\alpha}{49} & -\frac{12\alpha}{49} \\ -\frac{\alpha}{7} & -\frac{8\alpha}{49} & -\frac{9\alpha}{49} & -\frac{10\alpha}{49} & -\frac{11\alpha}{49} & -\frac{12\alpha}{49} & 1 - \frac{13\alpha}{49} \end{vmatrix}$$

$$= -\frac{4\alpha^2 + 49\alpha - 49}{49} = 0$$

上式から  $\alpha$  を求めると下記となり、このとき解が存在する。

$$\alpha = -\frac{7\sqrt{65} + 49}{8} = -13.17947552976123,$$

$$\alpha = \frac{7\sqrt{65} - 49}{8} = 0.92947552976123$$

「11.5.18 フレドホルム型同次積分方程式」で示された  $\alpha$  は下記で、ほぼ一致している。

$$\alpha = -4\sqrt{3} - 6 = -12.92820323027551,$$

$$\alpha = 4\sqrt{3} - 6 = 0.92820323027551$$

```
EQ11:subst([AL11],EQ1);
EQ21:subst([AL11],EQ2);
EQ31:subst([AL11],EQ3);
EQ41:subst([AL11],EQ4);
EQ51:subst([AL11],EQ5);
EQ61:subst([AL11],EQ6);
XA1:solve([EQ11,EQ21,EQ31,EQ41,EQ51,EQ61],
 [X[1],X[2],X[3],X[4],X[5],X[6]])[1];
XX:subst([X[7]=1],XA1);
XA21:XX[1];
X1:x(t)=(\alpha*((6*t-3)*C-3*t+2))/6+C+t;
X11:subst([AL11],X1);
subst([i=1,N=7],T1);
T11:t=rhs(%);
subst([T11],X11);
rhs(XA21)=rhs(%);
solve(%,C)[1];
subst(%,X11);
X2:rhs(%);
LX1:[[subst([i=1],T2),rhs(XX[1])],
 [subst([i=2],T2),rhs(XX[2])],
 [subst([i=3],T2),rhs(XX[3])],
 [subst([i=4],T2),rhs(XX[4])],
 [subst([i=5],T2),rhs(XX[5])],
 [subst([i=6],T2),rhs(XX[6])]];
plot2d([[discrete,LX1],X2],[t,0,1],
 [y,-2,2],[style,points,[lines,4,2]],
 [legend,"Numerical solution",
 "Analytic solution"]);
```

(11.6.6) 式の連立方程式に  $\alpha = -\frac{7\sqrt{65}+49}{8}$  を代入し連立方程式を解くと、

$$X_1 = -\frac{(3\sqrt{65} + 13) X_7}{26}, X_2 = -\frac{(5\sqrt{65} + 13) X_7}{52},$$

$$X_3 = -\frac{\sqrt{65} X_7}{13}, X_4 = -\frac{(3\sqrt{65} - 13) X_7}{52},$$

$$X_5 = -\frac{(\sqrt{65} - 13) X_7}{26},$$

$$X_6 = -\frac{(\sqrt{65} - 39) X_7}{52}$$

上式に  $X_7 = 1$  を代入すると、

$$X_1 = -\frac{3\sqrt{65} + 13}{26}, X_2 = -\frac{5\sqrt{65} + 13}{52},$$

$$X_3 = -\frac{\sqrt{65}}{13}, X_4 = -\frac{3\sqrt{65} - 13}{52}, \tag{11.6.7}$$

$$X_5 = -\frac{\sqrt{65} - 13}{26}, X_6 = -\frac{\sqrt{65} - 39}{52}$$

「11.5.18 フレドホルム型同次積分方程式」の解は下



記で  $C$  は任意定数である。

$$x(t) = \frac{\alpha ((6t-3)C - 3t + 2)}{6} + C + t \quad (11.6.8)$$

上式に数値解法で得られた  $\alpha = -\frac{7\sqrt{65}+49}{8}$  に対応する  $\alpha = -4\sqrt{3} - 6$  を代入すると、

$$x(t) = \frac{(-4\sqrt{3}-6)((6t-3)C - 3t + 2)}{6} + C + t \quad (11.6.9)$$

上式と (11.6.7) 式の  $X_1$  が同じとなるように  $t = \frac{1}{14}$ ,  $X_1 = -\frac{3\sqrt{65}+13}{26}$  を代入し、 $C$  を求めると、

$$C = -\frac{63\sqrt{65} - 650\sqrt{3} - 663}{1043^{\frac{5}{2}} + 1950}$$

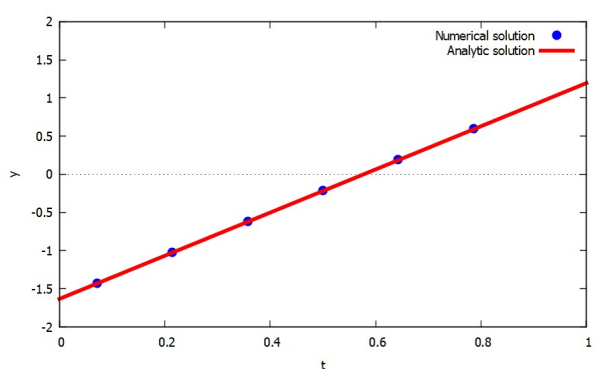
(11.6.9) 式に上式を代入すると、

$$x(t) = \frac{(-4\sqrt{3}-6) \left( -\frac{(63\sqrt{65}-650\sqrt{3}-663)(6t-3)}{1043^{\frac{5}{2}}+1950} - 3t + 2 \right)}{6} + t - \frac{63\sqrt{65} - 650\sqrt{3} - 663}{1043^{\frac{5}{2}} + 1950} \quad (11.6.10)$$

数値計算結果： $[T_i, X_i]$  は、

$$\begin{aligned} & \left[ \frac{1}{14}, -\frac{3\sqrt{65}+13}{26} \right], \left[ \frac{3}{14}, -\frac{5\sqrt{65}+13}{52} \right], \\ & \left[ \frac{5}{14}, -\frac{\sqrt{65}}{13} \right], \left[ \frac{1}{2}, -\frac{3\sqrt{65}-13}{52} \right], \\ & \left[ \frac{9}{14}, -\frac{\sqrt{65}-13}{26} \right], \left[ \frac{11}{14}, -\frac{\sqrt{65}-39}{52} \right] \end{aligned}$$

上記数値計算結果と解析結果：(11.6.10) 式を比較すると下図となる。



## 11.7 特異核を持つ積分方程式

積分方程式の核がその積分領域で無限大となるような場合を特異核を持つ積分方程式という。

### 11.7.1 アーベルの積分方程式

下記の積分方程式を解き、 $x(t)$  を求める。

$$\int_0^t \frac{x(\xi)}{(t-\xi)^\nu} d\xi = f(t) \quad (11.7.1)$$

```
kill(all);
assume(t>0);
assume(\nu>0 and \nu<1);
IE1:integrate(x(\xi)/(t-\xi)^\nu,\xi,0,t)
=f(t);
K1:k(t)=t^(-\nu);
IES1:K(s)*X(s)=F(s);
XS1:solve(IES1,X(s))[1];
KS1:K(s)=laplace(rhs(K1),t,s);
L1:L(rhs(K1))=rhs(KS1);
XS2:subst([KS1],XS1);
G1:\Gamma(1-\nu)*\Gamma(\nu)=%pi/
sin(\nu*pi);
G2:%/\Gamma(\nu);
XS21:subst([G2],XS2);
NU1:1-\nu=\mu;
NU11:solve(NU1,\nu)[1];
subst([NU11],L1);
NU2:subst([\mu=\nu],%);
G3:solve(NU2,\Gamma(\nu))[1];
subst([G3],XS21);
x(t)=sin(pi*\nu)/pi*'diff('integrate(
f(\xi)/((t-\xi)^(1-\nu)),\xi,0,t),t,1);
```

上式をラプラス変換すると、下記となる。

$$K(s) X(s) = F(s)$$

$$\text{ここで、 } \mathcal{L}[f(t)] = F(s), \quad \mathcal{L}[x(t)] = X(s),$$

$$\mathcal{L}[k(t)] = K(s)$$

(11.7.2)

(11.7.1) 式から、 $k(t-\xi) \rightarrow k(t)$  に置き換え、

$$k(t) = \frac{1}{t^\nu}$$

上式をラプラス変換すると、

$$K(s) = \mathcal{L}[k(t)] = \mathcal{L}\left[\frac{1}{t^\nu}\right] = \Gamma(1-\nu) s^{\nu-1} \quad (11.7.3)$$

(11.7.2) 式から、 $X(s)$  を求め、上式を代入すると、

$$X(s) = \frac{F(s)}{K(s)} = \frac{s^{1-\nu} F(s)}{\Gamma(1-\nu)} \quad (11.7.4)$$

下記の関係式を

$$\Gamma(1-\nu) \Gamma(\nu) = \frac{\pi}{\sin(\pi\nu)}$$

(11.7.4) 式に代入すると、

$$X(s) = \frac{\Gamma(\nu) \sin(\pi\nu) s^{1-\nu} F(s)}{\pi} \quad (11.7.5)$$

(11.7.3) 式から、

$$\mathcal{L}[t^{\nu-1}] = \frac{\Gamma(\nu)}{s^\nu}$$

(11.7.5) 式に上式を代入すると、

$$X(s) = \frac{\sin(\pi\nu) s F(s) \mathcal{L}[t^{\nu-1}]}{\pi}$$

上式をラプラス逆変換して、解： $x(t)$  を求めると、

$$x(t) = \frac{\sin(\pi\nu)}{\pi} \left( \frac{d}{dt} \int_0^t (t-\xi)^{\nu-1} f(\xi) d\xi \right)$$

### 11.7.2 二次元薄翼理論 (有限ヒルベルト変換)

翼理論で重要な下記の積分方程式を解き、 $x(t)$  を求める。

$$\frac{1}{\pi} \int_{-1}^1 \frac{x(\xi)}{\xi - t} d\xi = f(t) \quad (11.7.6)$$

ここでは下記の有限ヒルベルト変換を用いて解く<sup>1</sup>。

$$H(t, \phi(\xi)) = \frac{1}{\pi} \int_{-1}^1 \frac{\phi(\xi)}{\xi - t} d\xi \quad (11.7.7)$$

$$H\left(t, \frac{1}{\sqrt{1-\xi^2}}\right)$$

```
kill(all);
depends([\xi], [\tau]);
assume(t>-1 and t<1);
IE0:1/%pi*'integrate(x(\xi)/
(\xi-t), \xi, -1, 1)=f(t);
H1:H(t, \phi(\xi))=1/%pi*'integrate(
\phi(\xi)/(\xi-t), \xi, -1, 1);
IR1:1/(\xi-t)*1/(sqrt(1-\xi^2));
IE1:I[1]=1/%pi*'integrate(IR1, \xi, -1, 1);
XI1:\xi=(1-\tau^2)/(1+\tau^2);
diff(XI1, \tau, 1);
DXI1:factor(%);
XI2:solve(XI1, \tau);
subst([\xi=-1], XI2);
subst([\xi=1], XI2);
subst([XI1], IR1)*rhs(DXI1);
IR2:factor(%);
I[1]=1/%pi*'integrate(IR2, \tau, minf, 0);
IE12:I[1]=-1/%pi*'integrate(IR2/\tau
*abs(\tau), \tau, 0, inf);
A1:a=t+1;
B1:b=t-1;
AB1:A1*B1;
subst([t=1], AB1);
subst([t=-1], AB1);
subst([t=0], AB1);
subst([t=0.5], AB1);
subst([t=-0.5], AB1);
IE13:'integrate(1/(a*\tau^2+b), \tau)=1/2
/sqrt(abs(a*b))*log(abs((b+\tau*
sqrt(abs(a*b)))/((b-\tau*
sqrt(abs(a*b))))))+C;
-IE13*2/%pi;
IE131:subst([A1, B1], %);
IE132:'limit(rhs(IE131), \tau, 0);
```

```
ev(%, limit);
IE133:'limit(rhs(IE131), \tau, inf);
rhs(IE12)=IE133-IE132;
IE10:rhs(IE1)=0;
H10:H(t, 1/sqrt(1-\xi^2))=0;
```

下記の有限ヒルベルト変換について検討する。

$$H\left(t, \frac{1}{\sqrt{1-\xi^2}}\right) = I_1 = \frac{1}{\pi} \int_{-1}^1 \frac{1}{(\xi - t) \sqrt{1-\xi^2}} d\xi \quad (11.7.8)$$

ここで、上式に次式の変換を

$$\xi = \frac{1 - \tau^2}{\tau^2 + 1}$$

行くと、

$$I_1 = \frac{2}{\pi} \int_{-\infty}^0 \frac{\tau}{(t\tau^2 + \tau^2 + t - 1) |\tau|} d\tau$$

積分の範囲を変更し、積分範囲から次式となる。

$$I_1 = -\frac{2}{\pi} \int_0^{\infty} \frac{1}{t\tau^2 + \tau^2 + t - 1} d\tau \quad (11.7.9)$$

上式を次式で置き換えると、

$$a = t + 1, \quad b = t - 1 \quad (11.7.10)$$

次式となり、

$$\int \frac{1}{a\tau^2 + b} d\tau$$

$-1 < t < 1$  のときには、 $ab = (t - 1)(t + 1) < 0$  となるので、次式の公式<sup>1</sup>が使用できる。

$$\int \frac{1}{a\tau^2 + b} d\tau = C + \frac{\log\left(\frac{|\sqrt{|a|}\sqrt{|b|}\tau + b|}{|\sqrt{|a|}\sqrt{|b|}\tau - b|}\right)}{2\sqrt{|a|}\sqrt{|b|}} \quad ab < 0$$

上式から (11.7.9) 式は、

$$\begin{aligned} I_1 &= -\frac{2}{\pi} \int_0^{\infty} \frac{1}{t\tau^2 + \tau^2 + t - 1} d\tau \\ &= \frac{2}{\pi} \left( \lim_{\tau \rightarrow \infty} -C - \frac{\log\left(\frac{|\sqrt{1-t}\sqrt{t+1}\tau + t-1|}{|\sqrt{1-t}\sqrt{t+1}\tau - t+1|}\right)}{2\sqrt{1-t}\sqrt{t+1}} \right) \\ &\quad - \frac{2}{\pi} \left( \lim_{\tau \rightarrow 0} -C - \frac{\log\left(\frac{|\sqrt{1-t}\sqrt{t+1}\tau + t-1|}{|\sqrt{1-t}\sqrt{t+1}\tau - t+1|}\right)}{2\sqrt{1-t}\sqrt{t+1}} \right) \\ &= 0 \end{aligned}$$

上式から、

$$H\left(t, \frac{1}{\sqrt{1-\xi^2}}\right) = \frac{1}{\pi} \int_{-1}^1 \frac{1}{(\xi - t) \sqrt{1-\xi^2}} d\xi = 0 \quad (11.7.11)$$

<sup>1</sup>近藤次郎：積分方程式とその応用<sup>12)</sup> 7.4 翼理論の方程式、P.205

<sup>1</sup>森口 繁一、宇田川 久、一松 信：岩波数学公式 1 微積分分・平面曲線<sup>28)</sup>、P.78

$$H\left(t, \sqrt{1-\xi^2}\right)$$

```

IR2:1/(\xi-t)*(sqrt(1-\xi^2))/%pi;
IE2:I[2]='integrate(IR2,\xi,-1,1);
IR21:-(\xi+t)/(sqrt(1-\xi^2))/%pi;
IR22:-(t^2-1)/(\xi-t)/(sqrt(1-\xi^2))/%pi;
IR21+IR22-IR2;
factor(%);
I[2]='integrate(IR21,\xi,-1,1)
+'integrate(IR22,\xi,-1,1);
IE21:I[2]='integrate(IR21,\xi,-1,1);
IE22:ev(%,integrate);
IE20:rhs(IE2)=rhs(%);
H20:H(t,sqrt(1-\xi^2))=rhs(IE20);

```

下記の有限ヒルベルト変換について検討する。

$$H\left(t, \sqrt{1-\xi^2}\right) = I_2 = \frac{1}{\pi} \int_{-1}^1 \frac{\sqrt{1-\xi^2}}{\xi-t} d\xi \quad (11.7.12)$$

上式の被積分関数は次式のように置き換えられる。

$$\frac{\sqrt{1-\xi^2}}{\pi(\xi-t)} = \frac{-\xi-t}{\pi\sqrt{1-\xi^2}} + \frac{1-t^2}{\pi(\xi-t)\sqrt{1-\xi^2}}$$

上式の結果から、(11.7.12) 式は、

$$I_2 = \frac{(1-t^2)}{\pi} \int_{-1}^1 \frac{1}{(\xi-t)\sqrt{1-\xi^2}} d\xi + \frac{1}{\pi} \int_{-1}^1 \frac{-\xi-t}{\sqrt{1-\xi^2}} d\xi$$

上式の右辺第 1 項は (11.7.11) 式から零となり、右辺第 2 項を積分すると、

$$I_2 = \frac{1}{\pi} \int_{-1}^1 \frac{-\xi-t}{\sqrt{1-\xi^2}} d\xi = -t$$

以上をまとめると、

$$H\left(t, \sqrt{1-\xi^2}\right) = \frac{1}{\pi} \int_{-1}^1 \frac{\sqrt{1-\xi^2}}{\xi-t} d\xi = -t \quad (11.7.13)$$

$$H\left(t, \frac{\xi^n}{\sqrt{1-\xi^2}}\right)$$

```

IR3:\xi^n/(sqrt(1-\xi^2))/%pi;
IE3:B[n]='integrate(IR3,\xi,-1,1);
IE31:changevar(%, \xi-sin(\tau), \tau, \xi);
sqrt(1-sin(\tau))*sqrt(sin(\tau)+1);
%^2;
expand(%);
IE32:B[n]='integrate((sin(\tau)^n), \tau, -%pi/2,%pi/2)/%pi;
subst([n=0], IE32);
ev(%,integrate);
subst([n=1], IE32);
ev(%,integrate);
subst([n=2], IE32);
ev(%,integrate);
subst([n=3], IE32);
ev(%,integrate);
subst([n=4], IE32);
ev(%,integrate);
subst([n=5], IE32);
ev(%,integrate);
subst([n=6], IE32);
ev(%,integrate);
subst([n=7], IE32);
ev(%,integrate);
subst([n=8], IE32);
ev(%,integrate);
IE33:B[n]=((n-1)!)/(n!);

```

次式の積分、

$$B_n = \frac{1}{\pi} \int_{-1}^1 \frac{\xi^n}{\sqrt{1-\xi^2}} d\xi \quad (11.7.14)$$

上式を  $\xi = \sin(\tau)$  で置き換えると、

$$B_n = \frac{1}{\pi} \int_{-\frac{\pi}{2}}^{\frac{\pi}{2}} \frac{\cos(\tau) \sin(\tau)^n}{\sqrt{1-\sin(\tau)} \sqrt{\sin(\tau)+1}} d\tau = \frac{1}{\pi} \int_{-\frac{\pi}{2}}^{\frac{\pi}{2}} \sin(\tau)^n d\tau \quad (11.7.15)$$

上式を  $n$  に値を入れて積分すると、

$$B_0 = 1, B_1 = 0, B_2 = \frac{1}{2}, B_3 = 0, B_4 = \frac{3}{8}, B_5 = 0, B_6 = \frac{5}{16}, B_7 = 0, B_8 = \frac{35}{128} \quad (11.7.16)$$

上式から、

$$\begin{aligned}
 B_n &= \frac{1 \cdot 3 \cdot 5 \cdot 7 \cdots (n-1)}{2 \cdot 4 \cdot 6 \cdot 8 \cdots n} = \frac{n-1!!}{n!!} \\
 &= \frac{\text{genfact}(n-1, \frac{n-1}{2}, 2)}{\text{genfact}(n, \frac{n}{2}, 2)} \quad n: \text{偶数} \\
 B_n &= 0 \quad n: \text{奇数}
 \end{aligned}
 \tag{11.7.17}$$

```

B10:subst([n=10],IE33);
B8:subst([n=8],IE33);
B6:subst([n=6],IE33);
B4:subst([n=4],IE33);
B2:subst([n=2],IE33);
IR4:\xi^n/(\xi-t)/sqrt(1-\xi^2);
IR41:sum(\xi^i*t^(n-1-i),i,0,n-1)
/sqrt(1-\xi^2);
IR42:t^n/(\xi-t)/sqrt(1-\xi^2);
IR41+IR42;
subst([n=5],%);
ev(% ,sum);
factor(%);
IR43:IR4=IR41+IR42;
IE4:I[4]=1/%pi*'integrate(IR4,\xi,-1,1);
1/%pi*'integrate(IR4,\xi,-1,1)=1/%pi
*'integrate(IR41,\xi,-1,1)+1/%pi
*'integrate(IR42,\xi,-1,1);
IE41:lhs(%)=first(rhs(%));
IE40:rhs(IE4)=sum(B[i]*t^(n-1-i),i,0,n-1);
H40:H(t,\xi^n/sqrt(1-\xi^2))=rhs(IE40);
    
```

下記の積分について、

$$I_4 = \frac{1}{\pi} \int_{-1}^1 \frac{\xi^n}{(\xi-t)\sqrt{1-\xi^2}} d\xi \tag{11.7.18}$$

上式の被積分関数を下記のように変形できる。

$$\begin{aligned}
 \frac{\xi^n}{(\xi-t)\sqrt{1-\xi^2}} &= \frac{1}{\sqrt{1-\xi^2}} \sum_{i=0}^{n-1} t^{n-i-1} \xi^i \\
 &\quad + \frac{t^n}{(\xi-t)\sqrt{1-\xi^2}}
 \end{aligned}
 \tag{11.7.19}$$

上式で  $n=5$  とすると、下記の通り成り立っている。

$$\begin{aligned}
 &\frac{\sum_{i=0}^4 t^{4-i} \xi^i}{\sqrt{1-\xi^2}} + \frac{t^5}{(\xi-t)\sqrt{1-\xi^2}} \\
 &= \frac{t^5}{(\xi-t)\sqrt{1-\xi^2}} + \frac{\xi^4 + t\xi^3 + t^2\xi^2 + t^3\xi + t^4}{\sqrt{1-\xi^2}} \\
 &= \frac{\xi^5}{(\xi-t)\sqrt{1-\xi^2}}
 \end{aligned}$$

(11.7.18) 式に (11.7.19) 式の関係式を代入すると、

$$\begin{aligned}
 I_4 &= \frac{1}{\pi} \int_{-1}^1 \frac{\xi^n}{(\xi-t)\sqrt{1-\xi^2}} d\xi \\
 &= \frac{1}{\pi} \int_{-1}^1 \frac{\sum_{i=0}^{n-1} t^{n-i-1} \xi^i}{\sqrt{1-\xi^2}} d\xi \\
 &\quad + \frac{t^n}{\pi} \int_{-1}^1 \frac{1}{(\xi-t)\sqrt{1-\xi^2}} d\xi
 \end{aligned}$$

上式の右辺第2項は (11.7.11) 式から零となり、(11.7.14) 式を代入すると、

$$\begin{aligned}
 H\left(t, \frac{\xi^n}{\sqrt{1-\xi^2}}\right) &= \frac{1}{\pi} \int_{-1}^1 \frac{\xi^n}{(\xi-t)\sqrt{1-\xi^2}} d\xi \\
 &= \sum_{i=0}^{n-1} B_i t^{n-i-1}
 \end{aligned}
 \tag{11.7.20}$$

$$H(t, \xi^n \sqrt{1-\xi^2})$$

```
IR5:\xi^n/(\xi-t)*sqrt(1-\xi^2);
IE5:I[5]=1/%pi*'integrate(IR5,\xi,-1,1);
IR51:\xi^n/(\xi-t)*(1)/sqrt(1-\xi^2);
IR52:\xi^n/(\xi-t)*(-\xi^2)/sqrt(1-\xi^2);
IR5=IR51+IR52;
I[5]=1/%pi*'integrate(IR51,\xi,-1,1)+1/
%pi*'integrate(IR52,\xi,-1,1);
I[5]=rhs(IE40)-subst([n=n+2],rhs(IE40));
I[5]=(1-t^2)*rhs(IE40)-B[n+1]-B[n]*t;
IE50:rhs(IE5)=rhs(%);
H50:H(t,\xi^n*sqrt(1-\xi^2))=rhs(IE50);
```

下記の積分について、

$$I_5 = \frac{1}{\pi} \int_{-1}^1 \frac{\xi^n \sqrt{1-\xi^2}}{\xi-t} d\xi \quad (11.7.21)$$

上式の被積分関数を下記のように変形できる。

$$\frac{\xi^n \sqrt{1-\xi^2}}{\xi-t} = \frac{\xi^n}{(\xi-t)\sqrt{1-\xi^2}} - \frac{\xi^{n+2}}{(\xi-t)\sqrt{1-\xi^2}}$$

(11.7.21) 式に上式の関係式と (11.7.20) 式を代入すると、

$$\begin{aligned} I_5 &= \frac{1}{\pi} \int_{-1}^1 \frac{\xi^n}{(\xi-t)\sqrt{1-\xi^2}} d\xi \\ &\quad - \frac{1}{\pi} \int_{-1}^1 \frac{\xi^{n+2}}{(\xi-t)\sqrt{1-\xi^2}} d\xi \\ &= \left( \sum_{i=0}^{n-1} B_i t^{n-i-1} \right) - \sum_{i=0}^{n+1} B_i t^{n-i+1} \\ &= (1-t^2) \left( \sum_{i=0}^{n-1} B_i t^{n-i-1} \right) - B_n t - B_{n+1} \end{aligned}$$

上式から、

$$\begin{aligned} H(t, \xi^n \sqrt{1-\xi^2}) &= \frac{1}{\pi} \int_{-1}^1 \frac{\xi^n \sqrt{1-\xi^2}}{\xi-t} d\xi \\ &= (1-t^2) \left( \sum_{i=0}^{n-1} B_i t^{n-i-1} \right) \\ &\quad - B_n t - B_{n+1} \end{aligned} \quad (11.7.22)$$

$$H(t, x(\xi)) = \frac{1}{\pi} \int_{-1}^1 \frac{x(\xi)}{\xi-t} d\xi$$

```
IR6:x(\xi)/(\xi-t);
IE6:I[6]=1/%pi*'integrate(IR6,\xi,-1,1);
X6:x(t)=-1/%pi*'integrate(1/(\xi-t)*
sqrt(1-\xi^2)/sqrt(1-t^2)*
\xi^n,\xi,-1,1)+C/sqrt(1-t^2);
X6*sqrt(1-t^2);
X61:expand(%);
lhs(%)=-H(t,\xi^n*sqrt(1-\xi^2))+C;
X62:subst([H50],%);
X63:subst([t=\xi],%);
X631:C+B[n+1];
X632:B[n]*\xi;
X633:rhs(X63)-X631-X632;
X64:lhs(X63)/sqrt(1-\xi^2)=
X631/sqrt(1-\xi^2)+X632/sqrt(1-\xi^2)
+X633/sqrt(1-\xi^2);
H(t,x(\xi))=H(t,X631/sqrt(1-\xi^2))
+H(t,X632/sqrt(1-\xi^2))
+H(t,X633/sqrt(1-\xi^2));
```

(11.7.6) 式の下記の積分について、

$$H(t, x(\xi)) = I_6 = \frac{1}{\pi} \int_{-1}^1 \frac{x(\xi)}{\xi-t} d\xi \quad (11.7.23)$$

$x(t)$  を下記とすると、上記積分結果を求める。

$$x(t) = \frac{C}{\sqrt{1-t^2}} - \frac{1}{\pi \sqrt{1-t^2}} \int_{-1}^1 \frac{\xi^n \sqrt{1-\xi^2}}{\xi-t} d\xi \quad (11.7.24)$$

上式を変形し、

$$\sqrt{1-t^2} x(t) = C - \frac{1}{\pi} \int_{-1}^1 \frac{\xi^n \sqrt{1-\xi^2}}{\xi-t} d\xi$$

(11.7.22) 式から、

$$\begin{aligned} \sqrt{1-t^2} x(t) &= C - H(t, \xi^n \sqrt{1-\xi^2}) \\ &= C - (1-t^2) \left( \sum_{i=0}^{n-1} B_i t^{n-i-1} \right) \\ &\quad + B_n t + B_{n+1} \end{aligned}$$

上式から  $x(\xi)$  を求めると、

$$\begin{aligned} x(\xi) &= \frac{C + B_{n+1}}{\sqrt{1-\xi^2}} - \sqrt{1-\xi^2} \left( \sum_{i=0}^{n-1} B_i \xi^{n-i-1} \right) \\ &\quad + \frac{B_n \xi}{\sqrt{1-\xi^2}} \end{aligned}$$

上式から、 $H(t, x(\xi))$  は、

$$\begin{aligned} H(t, x(\xi)) = & H\left(t, \frac{C + B_{n+1}}{\sqrt{1 - \xi^2}}\right) \\ & + H\left(t, -\sqrt{1 - \xi^2} \sum_{i=0}^{n-1} B_i \xi^{n-i-1}\right) \\ & + H\left(t, \frac{B_n \xi}{\sqrt{1 - \xi^2}}\right) \end{aligned} \quad (11.7.25)$$

```
H61:H(t,X631/sqrt(1-\xi^2));
H62:H(t,X632/sqrt(1-\xi^2));
H63:H(t,X633/sqrt(1-\xi^2));
H61=(C+B[n+1])*H(t,X631/sqrt(1-\xi^2)/
(C+B[n+1]));
H611:subst([H10],%);
subst([n=1],H40);
H62=B[n]*H(t,X632/sqrt(1-\xi^2)/B[n]);
subst([subst([n=1],H40)],%);
H621:ev(% ,sum);
```

(11.7.25) 式の右辺第 1 項は (11.7.11) 式から、

$$\begin{aligned} H\left(t, \frac{C + B_{n+1}}{\sqrt{1 - \xi^2}}\right) &= H\left(t, \frac{1}{\sqrt{1 - \xi^2}}\right) (C + B_{n+1}) \\ &= 0 \end{aligned} \quad (11.7.26)$$

(11.7.25) 式の右辺第 3 項は (11.7.20) 式から、

$$H\left(t, \frac{B_n \xi}{\sqrt{1 - \xi^2}}\right) = B_n H\left(t, \frac{\xi}{\sqrt{1 - \xi^2}}\right) = B_0 B_n \quad (11.7.27)$$

(11.7.25) 式の右辺第 2 項の  $n = 8$  の場合について、

$$\begin{aligned} H\left(t, -\sqrt{1 - \xi^2} \sum_{i=0}^7 B_i \xi^{7-i}\right) &= H\left(t, -\sqrt{1 - \xi^2} (B_0 \xi^7 + B_1 \xi^6 + B_2 \xi^5 + B_3 \xi^4 + B_4 \xi^3 + B_5 \xi^2 + B_6 \xi + B_7)\right) \\ &= H\left(t, -B_0 \xi^7 \sqrt{1 - \xi^2} - B_1 \xi^6 \sqrt{1 - \xi^2} - B_2 \xi^5 \sqrt{1 - \xi^2} - B_3 \xi^4 \sqrt{1 - \xi^2} \right. \\ &\quad \left. - B_4 \xi^3 \sqrt{1 - \xi^2} - B_5 \xi^2 \sqrt{1 - \xi^2} - B_6 \xi \sqrt{1 - \xi^2} - B_7 \sqrt{1 - \xi^2}\right) \\ &= -B_0 H\left(t, \xi^7 \sqrt{1 - \xi^2}\right) - B_1 H\left(t, \xi^6 \sqrt{1 - \xi^2}\right) - B_2 H\left(t, \xi^5 \sqrt{1 - \xi^2}\right) \\ &\quad - B_3 H\left(t, \xi^4 \sqrt{1 - \xi^2}\right) - B_4 H\left(t, \xi^3 \sqrt{1 - \xi^2}\right) - B_5 H\left(t, \xi^2 \sqrt{1 - \xi^2}\right) \\ &\quad - B_6 H\left(t, \xi \sqrt{1 - \xi^2}\right) - B_7 H\left(t, \sqrt{1 - \xi^2}\right) \end{aligned}$$

```
subst([n=8],H63);
%=ev(% ,sum);
expand(%);
-B[0]*H(t,\xi^7*sqrt(1-\xi^2)
)-B[1]*H(t,\xi^6*sqrt(1-\xi^2)
)-B[2]*H(t,\xi^5*sqrt(1-\xi^2)
)-B[3]*H(t,\xi^4*sqrt(1-\xi^2)
)-B[4]*H(t,\xi^3*sqrt(1-\xi^2)
)-B[5]*H(t,\xi^2*sqrt(1-\xi^2)
)-B[6]*H(t,\xi^1*sqrt(1-\xi^2)
)-B[7]*H(t,\xi^0*sqrt(1-\xi^2)
);
subst([subst([n=7],H50)],%);
subst([subst([n=6],H50)],%);
subst([subst([n=5],H50)],%);
subst([subst([n=4],H50)],%);
subst([subst([n=3],H50)],%);
subst([subst([n=2],H50)],%);
subst([subst([n=1],H50)],%);
subst([H20],%);
ev(% ,sum);
subst([B2,B4,B6,B8,B10],%);
subst([B[1]=0,B[3]=0,B[5]=0,B[7]=0,
B[9]=0,B[0]=1],%);
H631:lhs(H63)=%;
subst([n=8],H621);
subst([B2,B4,B6,B8,B10],%);
subst([B[1]=0,B[3]=0,B[5]=0,B[7]=0,
B[9]=0,B[0]=1],%);
H(t,x(\xi))=rhs(H631)+rhs(%);
H648:factor(%);
```

上式に (11.7.13) 式、(11.7.20) 式を代入し、更に (11.7.16) 式を代入し、

$$\begin{aligned}
\mathbb{H}\left(t, -\sqrt{1-\xi^2} \sum_{i=0}^7 B_i \xi^{7-i}\right) &= -B_6 \left( (1-t^2) \left( \sum_{i=0}^0 \frac{B_i}{t^i} \right) - B_1 t - B_2 \right) \\
&\quad - B_0 \left( (1-t^2) \left( \sum_{i=0}^6 B_i t^{6-i} \right) - B_7 t - B_8 \right) \\
&\quad - B_1 \left( (1-t^2) \left( \sum_{i=0}^5 B_i t^{5-i} \right) - B_6 t - B_7 \right) \\
&\quad - B_2 \left( (1-t^2) \left( \sum_{i=0}^4 B_i t^{4-i} \right) - B_5 t - B_6 \right) \\
&\quad - B_3 \left( (1-t^2) \left( \sum_{i=0}^3 B_i t^{3-i} \right) - B_4 t - B_5 \right) \\
&\quad - B_4 \left( (1-t^2) \left( \sum_{i=0}^2 B_i t^{2-i} \right) - B_3 t - B_4 \right) \\
&\quad - B_5 \left( (1-t^2) \left( \sum_{i=0}^1 B_i t^{1-i} \right) - B_2 t - B_3 \right) \\
&\quad + B_7 t \\
&= - (1-t^2) \left( t^6 + \frac{t^4}{2} + \frac{3t^2}{8} + \frac{5}{16} \right) - \frac{(1-t^2) \left( t^4 + \frac{t^2}{2} + \frac{3}{8} \right) - \frac{5}{16}}{2} \\
&\quad - \frac{3 \left( (1-t^2) \left( t^2 + \frac{1}{2} \right) - \frac{3}{8} \right)}{8} - \frac{5 \left( \frac{1}{2} - t^2 \right)}{16} + \frac{35}{128}
\end{aligned} \tag{11.7.28}$$

(11.7.27) 式の  $n = 8$  の場合について、

$$\mathbb{H}\left(t, \frac{B_8 \xi}{\sqrt{1-\xi^2}}\right) = B_0 B_8 = \frac{35}{128} \tag{11.7.29}$$

(11.7.25) 式に (11.7.26) 式、(11.7.28) 式、(11.7.29) 式を代入すると、

$$\begin{aligned}
\mathbb{H}(t, x(\xi)) &= - (1-t^2) \left( t^6 + \frac{t^4}{2} + \frac{3t^2}{8} + \frac{5}{16} \right) - \frac{(1-t^2) \left( t^4 + \frac{t^2}{2} + \frac{3}{8} \right) - \frac{5}{16}}{2} \\
&\quad - \frac{3 \left( (1-t^2) \left( t^2 + \frac{1}{2} \right) - \frac{3}{8} \right)}{8} - \frac{5 \left( \frac{1}{2} - t^2 \right)}{16} + \frac{35}{64} \\
&= t^8
\end{aligned} \tag{11.7.30}$$



```

subst([n=7],H63);
%=ev(% ,sum);
expand(%);
-B[0]*H(t,xi^6*sqrt(1-xi^2)
)-B[1]*H(t,xi^5*sqrt(1-xi^2)
)-B[2]*H(t,xi^4*sqrt(1-xi^2)
)-B[3]*H(t,xi^3*sqrt(1-xi^2)
)-B[4]*H(t,xi^2*sqrt(1-xi^2)
)-B[5]*H(t,xi^1*sqrt(1-xi^2)
)-B[6]*H(t,xi^0*sqrt(1-xi^2)
);
subst([subst([n=6],H50)],%);
subst([subst([n=5],H50)],%);
subst([subst([n=4],H50)],%);
subst([subst([n=3],H50)],%);
subst([subst([n=2],H50)],%);
subst([subst([n=1],H50)],%);
subst([H20],%);
ev(% ,sum);
subst([B2,B4,B6,B8,B10],%);
subst([B[1]=0,B[3]=0,B[5]=0,B[7]=0,
B[9]=0,B[0]=1],%);
H631:lhs(H63)=%;
subst([n=7],H621);
subst([B2,B4,B6,B8,B10],%);
subst([B[1]=0,B[3]=0,B[5]=0,B[7]=0,
B[9]=0,B[0]=1],%);
H(t,x(\xi))=rhs(H631)+rhs(%);
H647:factor(%);

```

(11.7.25) 式の  $n = 7$  の場合について、同様の結果が得られ、

$$H(t, x(\xi)) = t^7 \quad (11.7.31)$$

```

X7:subst([n=0],X6);
subst([IE20*pi],%);
H71:H(t,x(\xi))=C*H(t,1/sqrt(1-\xi^2))
+H(t,\xi/sqrt(1-\xi^2));
subst([n=1],H40);
ev(% ,sum);
subst([%],H71);
subst([H10],%);
subst([B[0]=1],%);
H60:H(t,x(\xi))=t^n;
IE60:rhs(IE6)=rhs(H60);
X6;
IE80:subst([t^n=f(t)],IE60);
X8:subst([\xi^n=f(\xi)],X6);

```

(11.7.25) 式の  $n = 0$  の場合について、(11.7.24) 式に

$n = 0$  を代入し、(11.7.13) 式から、

$$\begin{aligned}
 x(t) &= \frac{C}{\sqrt{1-t^2}} - \frac{1}{\pi\sqrt{1-t^2}} \int_{-1}^1 \frac{\sqrt{1-\xi^2}}{\xi-t} d\xi \\
 &= \frac{C}{\sqrt{1-t^2}} + \frac{t}{\sqrt{1-t^2}}
 \end{aligned} \quad (11.7.32)$$

上式から  $H(t, x(\xi))$  は、

$$H(t, x(\xi)) = H\left(t, \frac{1}{\sqrt{1-\xi^2}}\right) C + H\left(t, \frac{\xi}{\sqrt{1-\xi^2}}\right) \quad (11.7.33)$$

ここで、

$$H\left(t, \frac{\xi}{\sqrt{1-\xi^2}}\right) = \sum_{i=0}^0 \frac{B_i}{t^i} = B_0 = 1$$

(11.7.11) 式から、

$$H\left(t, \frac{1}{\sqrt{1-\xi^2}}\right) = 0$$

上記から (11.7.33) 式は、

$$H(t, x(\xi)) = 1 = t^0$$

以上の結果から一般的に、

$$H(t, x(\xi)) = t^n \quad (11.7.34)$$

以上をまとめると、 $x(t)$  を (11.7.24) 式とすると、(11.7.23) 式は、

$$\frac{1}{\pi} \int_{-1}^1 \frac{x(\xi)}{\xi-t} d\xi = t^n \quad (11.7.35)$$

また、上式の解： $x(t)$  は下記：(11.7.24) 式で得られることを示している。

$$x(t) = \frac{C}{\sqrt{1-t^2}} - \frac{1}{\pi\sqrt{1-t^2}} \int_{-1}^1 \frac{\xi^n \sqrt{1-\xi^2}}{\xi-t} d\xi \quad (11.7.36)$$

## 確認

以上の結果から次式の積分方程式の解は、

$$\frac{1}{\pi} \int_{-1}^1 \frac{x(\xi)}{\xi-t} d\xi = f(t) \quad (11.7.37)$$

次となることが予想される。

$$x(t) = \frac{C}{\sqrt{1-t^2}} - \frac{1}{\pi \sqrt{1-t^2}} \int_{-1}^1 \frac{\sqrt{1-\xi^2} f(\xi)}{\xi-t} d\xi \quad (11.7.38)$$

```
F1:f(t)=sum(A[m]*t^m,m,0,8);
F2:subst([t=\xi],%);
X8;
X8*sqrt(1-t^2);
expand(%);
lhs(%)=C-H(t,sqrt(1-\xi^2)*f(\xi));
subst([F2],%);
lhs(%)=C-A[8]*H(t,\xi^8*sqrt(1-\xi^2))
-A[7]*H(t,\xi^7*sqrt(1-\xi^2))
-A[6]*H(t,\xi^6*sqrt(1-\xi^2))
-A[5]*H(t,\xi^5*sqrt(1-\xi^2))
-A[4]*H(t,\xi^4*sqrt(1-\xi^2))
-A[3]*H(t,\xi^3*sqrt(1-\xi^2))
-A[2]*H(t,\xi^2*sqrt(1-\xi^2))
-A[1]*H(t,\xi^1*sqrt(1-\xi^2))
-A[0]*H(t,\xi^0*sqrt(1-\xi^2));
subst([subst([n=8],H50)],%);
subst([subst([n=7],H50)],%);
subst([subst([n=6],H50)],%);
subst([subst([n=5],H50)],%);
subst([subst([n=4],H50)],%);
subst([subst([n=3],H50)],%);
subst([subst([n=2],H50)],%);
subst([subst([n=1],H50)],%);
subst([H20],%);
ev(%,sum);
subst([B2,B4,B6,B8,B10],%);
subst([B[1]=0,B[3]=0,B[5]=0,B[7]=0,
B[9]=0,B[0]=1],%);
```

```
X81:expand(%);
CX0:coeff(rhs(X81),t,0);
CX1:coeff(rhs(X81),t,1);
CX2:coeff(rhs(X81),t,2);
CX3:coeff(rhs(X81),t,3);
CX4:coeff(rhs(X81),t,4);
CX5:coeff(rhs(X81),t,5);
CX6:coeff(rhs(X81),t,6);
CX7:coeff(rhs(X81),t,7);
CX8:coeff(rhs(X81),t,8);
CX9:coeff(rhs(X81),t,9);
H(t,x(\xi))=CX0*H(t,1/sqrt(1-\xi^2))
+CX1*H(t,\xi^1/sqrt(1-\xi^2))
+CX2*H(t,\xi^2/sqrt(1-\xi^2))
+CX3*H(t,\xi^3/sqrt(1-\xi^2))
+CX4*H(t,\xi^4/sqrt(1-\xi^2))
+CX5*H(t,\xi^5/sqrt(1-\xi^2))
+CX6*H(t,\xi^6/sqrt(1-\xi^2))
+CX7*H(t,\xi^7/sqrt(1-\xi^2))
+CX8*H(t,\xi^8/sqrt(1-\xi^2))
+CX9*H(t,\xi^9/sqrt(1-\xi^2));
subst([subst([n=9],H40)],%);
subst([subst([n=8],H40)],%);
subst([subst([n=7],H40)],%);
subst([subst([n=6],H40)],%);
subst([subst([n=5],H40)],%);
subst([subst([n=4],H40)],%);
subst([subst([n=3],H40)],%);
subst([subst([n=2],H40)],%);
subst([subst([n=1],H40)],%);
subst([H10],%);
ev(%,sum);
subst([B2,B4,B6,B8,B10],%);
subst([B[1]=0,B[3]=0,B[5]=0,B[7]=0,
B[9]=0,B[0]=1],%);
expand(%);
```

$f(t)$  が次式のように級数展開できるとし、ここでは  $n = 8$  として解析する。

$$f(t) = A_8 t^8 + A_7 t^7 + A_6 t^6 + A_5 t^5 + A_4 t^4 + A_3 t^3 + A_2 t^2 + A_1 t + A_0 \quad (11.7.39)$$

(11.7.38) 式を変形し、上式を代入すると、

$$\begin{aligned} \sqrt{1-t^2} x(t) &= C - \frac{1}{\pi} \int_{-1}^1 \frac{\sqrt{1-\xi^2} f(\xi)}{\xi-t} d\xi = C - H\left(t, \sqrt{1-\xi^2} f(\xi)\right) \\ &= C - H\left(t, \sqrt{1-\xi^2} (A_8 \xi^8 + A_7 \xi^7 + A_6 \xi^6 + A_5 \xi^5 + A_4 \xi^4 + A_3 \xi^3 + A_2 \xi^2 + A_1 \xi + A_0)\right) \end{aligned}$$

上式を展開し、有限ヒルベルト変換： $H\left(t, \xi^n \sqrt{1-\xi^2}\right)$  で表し、(11.7.22) 式を代入すると、

$$\begin{aligned}
\sqrt{1-t^2} x(t) &= C - A_8 H\left(t, \xi^8 \sqrt{1-\xi^2}\right) - A_7 H\left(t, \xi^7 \sqrt{1-\xi^2}\right) - A_6 H\left(t, \xi^6 \sqrt{1-\xi^2}\right) \\
&\quad - A_5 H\left(t, \xi^5 \sqrt{1-\xi^2}\right) - A_4 H\left(t, \xi^4 \sqrt{1-\xi^2}\right) - A_3 H\left(t, \xi^3 \sqrt{1-\xi^2}\right) \\
&\quad - A_2 H\left(t, \xi^2 \sqrt{1-\xi^2}\right) - A_1 H\left(t, \xi \sqrt{1-\xi^2}\right) - A_0 H\left(t, \sqrt{1-\xi^2}\right) \\
&= C - A_1 \left( (1-t^2) \left( \sum_{i=0}^0 \frac{B_i}{t^i} \right) - B_1 t - B_2 \right) - A_8 \left( (1-t^2) \left( \sum_{i=0}^7 B_i t^{7-i} \right) - B_8 t - B_9 \right) \\
&\quad - A_7 \left( (1-t^2) \left( \sum_{i=0}^6 B_i t^{6-i} \right) - B_7 t - B_8 \right) - A_6 \left( (1-t^2) \left( \sum_{i=0}^5 B_i t^{5-i} \right) - B_6 t - B_7 \right) \\
&\quad - A_5 \left( (1-t^2) \left( \sum_{i=0}^4 B_i t^{4-i} \right) - B_5 t - B_6 \right) - A_4 \left( (1-t^2) \left( \sum_{i=0}^3 B_i t^{3-i} \right) - B_4 t - B_5 \right) \\
&\quad - A_3 \left( (1-t^2) \left( \sum_{i=0}^2 B_i t^{2-i} \right) - B_3 t - B_4 \right) - A_2 \left( (1-t^2) \left( \sum_{i=0}^1 B_i t^{1-i} \right) - B_2 t - B_3 \right) + A_0 t \\
&= \left( C - \frac{5A_7}{128} - \frac{A_5}{16} - \frac{A_3}{8} - \frac{A_1}{2} \right) + \left( -\frac{5A_8}{128} - \frac{A_6}{16} - \frac{A_4}{8} - \frac{A_2}{2} + A_0 \right) t \\
&\quad + \left( -\frac{A_7}{16} - \frac{A_5}{8} - \frac{A_3}{2} + A_1 \right) t^2 + \left( -\frac{A_8}{16} - \frac{A_6}{8} - \frac{A_4}{2} + A_2 \right) t^3 + \left( -\frac{A_7}{8} - \frac{A_5}{2} + A_3 \right) t^4 \\
&\quad + \left( -\frac{A_8}{8} - \frac{A_6}{2} + A_4 \right) t^5 + \left( A_5 - \frac{A_7}{2} \right) t^6 + \left( A_6 - \frac{A_8}{2} \right) t^7 + (A_7) t^8 + (A_8) t^9
\end{aligned}$$

上式から  $x(\xi)$  を求め、 $H(t, x(\xi))$  に代入し、(11.7.22) 式を代入すると、

$$\begin{aligned}
H(t, x(\xi)) &= \frac{1}{\pi} \int_{-1}^1 \frac{x(\xi)}{\xi-t} d\xi \\
&= H\left(t, \frac{1}{\sqrt{1-\xi^2}}\right) \left( C - \frac{5A_7}{128} - \frac{A_5}{16} - \frac{A_3}{8} - \frac{A_1}{2} \right) + A_8 H\left(t, \frac{\xi^9}{\sqrt{1-\xi^2}}\right) + A_7 H\left(t, \frac{\xi^8}{\sqrt{1-\xi^2}}\right) \\
&\quad + \left( A_6 - \frac{A_8}{2} \right) H\left(t, \frac{\xi^7}{\sqrt{1-\xi^2}}\right) + \left( A_5 - \frac{A_7}{2} \right) H\left(t, \frac{\xi^6}{\sqrt{1-\xi^2}}\right) \\
&\quad + \left( -\frac{A_8}{8} - \frac{A_6}{2} + A_4 \right) H\left(t, \frac{\xi^5}{\sqrt{1-\xi^2}}\right) + \left( -\frac{A_7}{8} - \frac{A_5}{2} + A_3 \right) H\left(t, \frac{\xi^4}{\sqrt{1-\xi^2}}\right) \\
&\quad + \left( -\frac{A_8}{16} - \frac{A_6}{8} - \frac{A_4}{2} + A_2 \right) H\left(t, \frac{\xi^3}{\sqrt{1-\xi^2}}\right) + \left( -\frac{A_7}{16} - \frac{A_5}{8} - \frac{A_3}{2} + A_1 \right) H\left(t, \frac{\xi^2}{\sqrt{1-\xi^2}}\right) \\
&\quad + \left( -\frac{5A_8}{128} - \frac{A_6}{16} - \frac{A_4}{8} - \frac{A_2}{2} + A_0 \right) H\left(t, \frac{\xi}{\sqrt{1-\xi^2}}\right) \\
&= \left( -\frac{5A_8}{128} - \frac{A_6}{16} - \frac{A_4}{8} - \frac{A_2}{2} + A_0 \right) \left( \sum_{i=0}^0 \frac{B_i}{t^i} \right) + A_8 \left( \sum_{i=0}^8 B_i t^{8-i} \right) + A_7 \left( \sum_{i=0}^7 B_i t^{7-i} \right) \\
&\quad + \left( A_6 - \frac{A_8}{2} \right) \left( \sum_{i=0}^6 B_i t^{6-i} \right) + \left( A_5 - \frac{A_7}{2} \right) \left( \sum_{i=0}^5 B_i t^{5-i} \right) + \left( -\frac{A_8}{8} - \frac{A_6}{2} + A_4 \right) \left( \sum_{i=0}^4 B_i t^{4-i} \right) \\
&\quad + \left( -\frac{A_7}{8} - \frac{A_5}{2} + A_3 \right) \left( \sum_{i=0}^3 B_i t^{3-i} \right) + \left( -\frac{A_8}{16} - \frac{A_6}{8} - \frac{A_4}{2} + A_2 \right) \left( \sum_{i=0}^2 B_i t^{2-i} \right) \\
&\quad + \left( -\frac{A_7}{16} - \frac{A_5}{8} - \frac{A_3}{2} + A_1 \right) \sum_{i=0}^1 B_i t^{1-i} \\
&= A_8 t^8 + A_7 t^7 + A_6 t^6 + A_5 t^5 + A_4 t^4 + A_3 t^3 + A_2 t^2 + A_1 t + A_0 = f(t)
\end{aligned}$$

(11.7.37) 式が成り立ち、この解が (11.7.38) 式となることが明らかになった。

```

F1:f(t)=sum(A[m]*t^m,m,0,7);
F2:subst([t=\xi],%);
X8;
X8*sqrt(1-t^2);
expand(%);
lhs(%)=C-H(t,sqrt(1-\xi^2)*f(\xi));
subst([F2],%);
lhs(%)=C-A[7]*H(t,\xi^7*sqrt(1-\xi^2))
-A[6]*H(t,\xi^6*sqrt(1-\xi^2))
-A[5]*H(t,\xi^5*sqrt(1-\xi^2))
-A[4]*H(t,\xi^4*sqrt(1-\xi^2))
-A[3]*H(t,\xi^3*sqrt(1-\xi^2))
-A[2]*H(t,\xi^2*sqrt(1-\xi^2))
-A[1]*H(t,\xi^1*sqrt(1-\xi^2))
-A[0]*H(t,\xi^0*sqrt(1-\xi^2));
subst([subst([n=8],H50)],%);
subst([subst([n=7],H50)],%);
subst([subst([n=6],H50)],%);
subst([subst([n=5],H50)],%);
subst([subst([n=4],H50)],%);
subst([subst([n=3],H50)],%);
subst([subst([n=2],H50)],%);
subst([subst([n=1],H50)],%);
subst([H20],%);
ev(%,sum);
subst([B2,B4,B6,B8,B10],%);
subst([B[1]=0,B[3]=0,B[5]=0,B[7]=0,
B[9]=0,B[0]=1],%);
X81:expand(%);
CX0:coeff(rhs(X81),t,0);
CX1:coeff(rhs(X81),t,1);
CX2:coeff(rhs(X81),t,2);
CX3:coeff(rhs(X81),t,3);
CX4:coeff(rhs(X81),t,4);
CX5:coeff(rhs(X81),t,5);
CX6:coeff(rhs(X81),t,6);
CX7:coeff(rhs(X81),t,7);
CX8:coeff(rhs(X81),t,8);
CX9:coeff(rhs(X81),t,9);
H(t,x(\xi))=CX0*H(t,1/sqrt(1-\xi^2))
+CX1*H(t,\xi^1/sqrt(1-\xi^2))
+CX2*H(t,\xi^2/sqrt(1-\xi^2))
+CX3*H(t,\xi^3/sqrt(1-\xi^2))
+CX4*H(t,\xi^4/sqrt(1-\xi^2))
+CX5*H(t,\xi^5/sqrt(1-\xi^2))
+CX6*H(t,\xi^6/sqrt(1-\xi^2))
+CX7*H(t,\xi^7/sqrt(1-\xi^2))
+CX8*H(t,\xi^8/sqrt(1-\xi^2));

```

```

subst([subst([n=9],H40)],%);
subst([subst([n=8],H40)],%);
subst([subst([n=7],H40)],%);
subst([subst([n=6],H40)],%);
subst([subst([n=5],H40)],%);
subst([subst([n=4],H40)],%);
subst([subst([n=3],H40)],%);
subst([subst([n=2],H40)],%);
subst([subst([n=1],H40)],%);
subst([H10],%);
ev(%,sum);
subst([B2,B4,B6,B8,B10],%);
subst([B[1]=0,B[3]=0,B[5]=0,B[7]=0,
B[9]=0,B[0]=1],%);
expand(%);

```

$f(t)$  が  $n = 7$  として級数展開できるとした場合も、上記と同じ結論が得られた。

解の変形

```

XI1:sqrt(1-\xi^2)/sqrt(1-t^2);
XI11:lhs(XI1)=sqrt(1-\xi)*sqrt(1+\xi)
/sqrt(1-t)/sqrt(1+t);
NXI11:num(rhs(XI11));
DXI11:denom(rhs(XI11));
NXI21:NXI11*sqrt(1+t)*sqrt(1+\xi);
DXI22:DXI11*sqrt(1+t)*sqrt(1+\xi);
NXI31:NXI21/(1+\xi);
DXI32:DXI22/(t+1);
XI41:NXI31/DXI32;
XI42:(1+\xi)/(t+1);
XI43:(1+(\xi-t))/(1+t);
factor(XI42-XI43);
XI5:XI1=XI41*XI43;
factor(%);
sqrt(1-\xi^2)=rhs(XI5)*sqrt(1-t^2);
subst(['],X8);

```

```

x(t)=C/sqrt(1-t^2)-(sqrt(t+1)*integrate(
(sqrt(1-xi)*((xi-t)/(t+1))*f(xi))/
(sqrt(xi+1)*(xi-t)),xi,-1,1))/(%pi*
sqrt(1-t))-(sqrt(t+1)*integrate((
sqrt(1-xi)*(+1)*f(xi))/(sqrt(xi+1)
*(xi-t)),xi,-1,1))/(%pi*sqrt(1-t));
X9:lhs(%)=rhs(%) -last(rhs(%));
XI6:lhs(XI5)=(sqrt(1-t)*sqrt(1+\xi)*(1-
(\xi-t)/(1-t)))/(sqrt(1+t)*sqrt(1-\xi));
factor(%);
sqrt(1-\xi^2)=rhs(XI6)*sqrt(1-t^2);
subst(['],X8);
x(t)=C/sqrt(1-t^2)-(sqrt(1-t)*integrate((
sqrt(xi+1)*(1)*f(xi))/(sqrt(1-xi)*(xi-t)
),xi,-1,1))/(%pi*sqrt(t+1))-(sqrt(1-t)*
integrate((sqrt(xi+1)*(-(xi-t)/(1-t))*
f(xi))/(sqrt(1-xi)*(xi-t)),xi,-1,1)/
(%pi*sqrt(t+1)));
X91:lhs(%)=first(rhs(%))+last(rhs(%));

```

積分方程式の解は上記から下記で得られる。

$$x(t) = \frac{C}{\sqrt{1-t^2}} - \frac{1}{\pi\sqrt{1-t^2}} \int_{-1}^1 \frac{\sqrt{1-\xi^2} f(\xi)}{\xi-t} d\xi \quad (11.7.40)$$

ここで次式の置き換えを行う。

$$\frac{\sqrt{1-\xi^2}}{\sqrt{1-t^2}} = \frac{\sqrt{1-\xi}\sqrt{\xi+1}}{\sqrt{1-t}\sqrt{t+1}} = \frac{\sqrt{t+1}\sqrt{1-\xi}(\xi+1)}{\sqrt{1-t}(t+1)\sqrt{\xi+1}} = \frac{\sqrt{t+1}\sqrt{1-\xi}\left(\frac{\xi-t}{t+1}+1\right)}{\sqrt{1-t}\sqrt{\xi+1}}$$

(11.7.40) 式に上式を代入すると、

$$\begin{aligned} x(t) &= \frac{C}{\sqrt{1-t^2}} - \frac{\sqrt{t+1}}{\pi\sqrt{1-t}} \int_{-1}^1 \frac{\sqrt{1-\xi}\left(\frac{\xi-t}{t+1}+1\right) f(\xi)}{\sqrt{\xi+1}(\xi-t)} d\xi \\ &= \frac{C}{\sqrt{1-t^2}} - \frac{\sqrt{t+1}}{\pi\sqrt{1-t}} \int_{-1}^1 \frac{\sqrt{1-\xi} f(\xi)}{\sqrt{\xi+1}(\xi-t)} d\xi - \frac{1}{\pi\sqrt{1-t}\sqrt{t+1}} \int_{-1}^1 \frac{\sqrt{1-\xi} f(\xi)}{\sqrt{\xi+1}} d\xi \end{aligned}$$

上式の右辺第3項の積分は定数となるため、右辺第1項と統合でき、

$$x(t) = \frac{C}{\sqrt{1-t^2}} - \frac{\sqrt{t+1}}{\pi\sqrt{1-t}} \int_{-1}^1 \frac{\sqrt{1-\xi} f(\xi)}{\sqrt{\xi+1}(\xi-t)} d\xi \quad (11.7.41)$$

また、ここで次式の置き換えを行う。

$$\frac{\sqrt{1-\xi^2}}{\sqrt{1-t^2}} = \frac{\sqrt{1-t}\sqrt{\xi+1}\left(1-\frac{\xi-t}{1-t}\right)}{\sqrt{t+1}\sqrt{1-\xi}}$$

(11.7.40) 式に上式を代入すると、

$$\begin{aligned} x(t) &= \frac{C}{\sqrt{1-t^2}} - \frac{\sqrt{1-t}}{\pi\sqrt{t+1}} \int_{-1}^1 \frac{\sqrt{\xi+1}\left(1-\frac{\xi-t}{1-t}\right) f(\xi)}{\sqrt{1-\xi}(\xi-t)} d\xi \\ &= \frac{C}{\sqrt{1-t^2}} - \frac{1}{\pi\sqrt{1-t}\sqrt{t+1}} \int_{-1}^1 \frac{(t-\xi)\sqrt{\xi+1} f(\xi)}{\sqrt{1-\xi}(\xi-t)} d\xi - \frac{\sqrt{1-t}}{\pi\sqrt{t+1}} \int_{-1}^1 \frac{\sqrt{\xi+1} f(\xi)}{\sqrt{1-\xi}(\xi-t)} d\xi \end{aligned}$$

上式の右辺第2項の積分は定数となるため、右辺第1項と統合でき、

$$x(t) = \frac{C}{\sqrt{1-t^2}} - \frac{\sqrt{1-t}}{\pi\sqrt{t+1}} \int_{-1}^1 \frac{\sqrt{\xi+1} f(\xi)}{\sqrt{1-\xi}(\xi-t)} d\xi \quad (11.7.42)$$

## 11.7.3 二次元薄翼理論 (フーリエ級数)

翼理論で重要な下記の積分方程式を解き、 $x(t)$  を求める。

$$\frac{1}{\pi} \int_{-1}^1 \frac{x(\xi)}{\xi - t} d\xi = f(t) \quad (11.7.43)$$

ここではフーリエ級数と積分公式を用いて解く。

```
kill(all);
IE1:1/%pi*'integrate(x(\xi)/(\xi-t),\xi,
-1,1)=f(t);
T1:\xi=-cos(\eta);
T2:t=-cos(\tau);
T11:solve(T1,\eta)[1];
T21:solve(T2,\tau)[1];
changevar(lhs(IE1),lhs(T1)-rhs(T1),\eta,
\xi);
%=rhs(IE1);
IE2:subst([T2],%);
X1:sin(\eta)*x(-cos(\eta))=sum(A[n]*
cos(n*\eta),n,0,inf);
sin(\eta)*x(-cos(\eta))=A[0]+sum(A[n]*
cos(n*\eta),n,1,inf);
X2:%-last(rhs(%));
subst([X1],IE2);
-sum(A[n]*'integrate(cos(\eta*n)/
(cos(\eta)-cos(\tau)),\eta,0,%pi),
n,0,inf)/%pi=f(-cos(\tau));
'integrate(cos(\eta*n)/(cos(\eta)
-cos(\tau)),\eta,0,%pi)=
%pi*sin(n*\tau)/sin(\tau);
-sum(A[n]*%pi*sin(n*\tau)/sin(\tau)/%pi,n,
0,inf)=f(-cos(\tau));
%*sin(\tau);
%*sin(\tau)/(cos(\tau)-cos(\eta));
'integrate(lhs(%),\tau,0,%pi)=
'integrate(rhs(%),\tau,0,%pi);
-sum(A[n]*'integrate((sin(\tau)
*sin(n*\tau))/(cos(\tau)-cos(\eta)),
tau,0,%pi),n,1,inf)=rhs(%);
'integrate((sin(\tau)*sin(n*\tau))/
(cos(\tau)-cos(\eta)),\tau,0,%pi)
=-%pi*cos(n*\eta);
-sum(A[n]*(-%pi*cos(n*\eta)),n,1,inf)=
'integrate((sin(\tau)^2*f(-cos(\tau)))
/(cos(\tau)-cos(\eta)),tau,0,%pi);
```

```
IE3:%pi*lhs(X2)=rhs(%);
changevar(rhs(IE3),lhs(T2)-rhs(T2),t,
\tau);
expand(lhs(IE3))=%;
%-last(lhs(%));
%/%pi/sin(\eta);
expand(%);
subst([T11],%);
subst([t=a,\xi=t,a=\xi],%);
```

(11.7.43) 式を次式を用いて変数変換する。

$$\xi = -\cos(\eta), \quad t = -\cos(\tau) \quad (11.7.44)$$

変数変換した結果は、

$$-\frac{1}{\pi} \int_0^\pi \frac{\sin(\eta) x(-\cos(\eta))}{\cos(\eta) - \cos(\tau)} d\eta = f(-\cos(\tau)) \quad (11.7.45)$$

左辺の被積分関数の分子部分を次式のようにフーリエ級数で表す。

$$\begin{aligned} \sin(\eta) x(-\cos(\eta)) &= \sum_{n=0}^{\infty} A_n \cos(\eta n) \\ &= \left( \sum_{n=1}^{\infty} A_n \cos(\eta n) \right) + A_0 \end{aligned} \quad (11.7.46)$$

(11.7.45) 式に上式を代入し、

$$-\frac{1}{\pi} \int_0^\pi \frac{\sum_{n=0}^{\infty} A_n \cos(\eta n)}{\cos(\eta) - \cos(\tau)} d\eta = f(-\cos(\tau))$$

積分と和の順序を変え、

$$-\frac{1}{\pi} \sum_{n=0}^{\infty} A_n \int_0^\pi \frac{\cos(\eta n)}{\cos(\eta) - \cos(\tau)} d\eta = f(-\cos(\tau)) \quad (11.7.47)$$

次式の積分公式<sup>1</sup>：

$$\int_0^\pi \frac{\cos(\eta n)}{\cos(\eta) - \cos(\tau)} d\eta = \frac{\pi \sin(n\tau)}{\sin(\tau)} \quad n = 0 \cdot 1 \cdot 2 \cdots \quad (11.7.48)$$

(11.7.47) 式に上式を代入し、両辺に  $\sin(\tau)$  を掛けると、

$$-\sum_{n=0}^{\infty} A_n \sin(n\tau) = \sin(\tau) f(-\cos(\tau))$$

更に両辺に  $\frac{\sin(\tau)}{\cos(\tau) - \cos(\eta)}$  を掛けると、

$$\frac{\sin(\tau) \sum_{n=0}^{\infty} A_n \sin(n\tau)}{\cos(\tau) - \cos(\eta)} = \frac{\sin(\tau)^2 f(-\cos(\tau))}{\cos(\tau) - \cos(\eta)}$$

上式を  $\tau$  で  $0 \rightarrow \pi$  の積分を行うと、

$$\begin{aligned} - \int_0^\pi \frac{\sin(\tau) \sum_{n=0}^{\infty} A_n \sin(n\tau)}{\cos(\tau) - \cos(\eta)} d\tau \\ = \int_0^\pi \frac{\sin(\tau)^2 f(-\cos(\tau))}{\cos(\tau) - \cos(\eta)} d\tau \end{aligned}$$

<sup>1</sup>森口 繁一、宇田川 久、一松 信：岩波数学公式 1 微分積分・平面曲線<sup>28</sup>、P.248

積分と和の順序を変え、

$$\begin{aligned}
 & - \sum_{n=1}^{\infty} A_n \int_0^{\pi} \frac{\sin(\tau) \sin(n\tau)}{\cos(\tau) - \cos(\eta)} d\tau \\
 & = \int_0^{\pi} \frac{\sin(\tau)^2 f(-\cos(\tau))}{\cos(\tau) - \cos(\eta)} d\tau
 \end{aligned} \tag{11.7.49}$$

次式の積分公式 (後に示す) :

$$\int_0^{\pi} \frac{\sin(\tau) \sin(n\tau)}{\cos(\tau) - \cos(\eta)} d\tau = -\pi \cos(\eta n) \quad n = 1 \cdot 2 \cdot 3 \cdots \tag{11.7.50}$$

(11.7.49) 式に上式を代入し、

$$\pi \sum_{n=1}^{\infty} A_n \cos(n\eta) = \int_0^{\pi} \frac{\sin(\tau)^2 f(-\cos(\tau))}{\cos(\tau) - \cos(\eta)} d\tau$$

上式で  $n = 1 \cdot 2 \cdot 3 \cdots$  に対応して、上式に (11.7.46) 式を代入し、

$$\pi (\sin(\eta) x(-\cos(\eta)) - A_0) = \int_0^{\pi} \frac{\sin(\tau)^2 f(-\cos(\tau))}{\cos(\tau) - \cos(\eta)} d\tau$$

上式に (11.7.44) 式の  $t = -\cos(\tau)$  で逆変換すると、

$$\pi \sin(\eta) x(-\cos(\eta)) - \pi A_0 = - \int_{-1}^1 \frac{\sqrt{1-t} \sqrt{t+1} f(t)}{t + \cos(\eta)} dt$$

上式の左辺第 2 項を右辺に移項すると、

$$\pi \sin(\eta) x(-\cos(\eta)) = \pi A_0 - \int_{-1}^1 \frac{\sqrt{1-t} \sqrt{t+1} f(t)}{t + \cos(\eta)} dt$$

上式を  $\sin(\eta)$  で割ると、

$$x(-\cos(\eta)) = \frac{A_0}{\sin(\eta)} - \frac{\int_{-1}^1 \frac{\sqrt{1-t} \sqrt{t+1} f(t)}{t + \cos(\eta)} dt}{\pi \sin(\eta)}$$

上式に (11.7.44) 式の  $\xi = -\cos(\eta)$  で逆変換すると、

$$x(\xi) = \frac{A_0}{\sqrt{1-\xi^2}} - \frac{1}{\pi \sqrt{1-\xi^2}} \int_{-1}^1 \frac{\sqrt{1-t} \sqrt{t+1} f(t)}{t - \xi} dt$$

上式に  $\xi \rightarrow t, t \rightarrow \xi$  に置き換えると、下記となり、前節の (11.7.40) 式と一致する。

$$x(t) = \frac{A_0}{\sqrt{1-t^2}} - \frac{1}{\pi \sqrt{1-t^2}} \int_{-1}^1 \frac{\sqrt{1-\xi} \sqrt{\xi+1} f(\xi)}{\xi - t} d\xi$$

```

kill(all);
assume(\tau>0);
assume(\eta>0);
IC1:'integrate(cos(\eta*n)/(cos(\eta)
-cos(\tau)),\eta,0,%pi)=%pi*
sin(n*\tau)/sin(\tau);
IC2:%pi*sin(n*\tau)/sin(\tau);
DIS1:(sin(\tau)*sin(n*\tau))/(cos(\tau)
-cos(\eta));
IS2:'integrate(DIS1,\tau,0,%pi);
DIS2:denom(DIS1);
DIS3:num(DIS1);
trigrat(DIS3);
%/DIS2;
DIS4:expand(%);
DIS41:factor(first(DIS4));
DIS42:factor(last(DIS4));
'integrate(DIS41,\tau,0,%pi);
IS41:subst([n=n-1],IC2)/2;
'integrate(DIS42,\tau,0,%pi);
IS42:-subst([n=n+1],IC2)/2;
IS41+IS42;
trigrat(%);
IS2=%;
    
```

下記 : (11.7.50) 式の積分公式の証明

$$\int_0^{\pi} \frac{\sin(\tau) \sin(n\tau)}{\cos(\tau) - \cos(\eta)} d\tau$$

上式の被積分関数は次のように変形できる。

$$\begin{aligned}
 & \frac{\sin(\tau) \sin(n\tau)}{\cos(\tau) - \cos(\eta)} \\
 & = \frac{\cos(n\tau - \tau)}{2 \cos(\tau) - 2 \cos(\eta)} - \frac{\cos(n\tau + \tau)}{2 \cos(\tau) - 2 \cos(\eta)}
 \end{aligned}$$

上式を積分し、(11.7.48) 式の積分公式を適用し、整理すると、

$$\begin{aligned}
 & \int_0^{\pi} \frac{\sin(\tau) \sin(n\tau)}{\cos(\tau) - \cos(\eta)} d\tau \\
 & = \frac{1}{2} \int_0^{\pi} \frac{\cos((n-1)\tau)}{\cos(\tau) - \cos(\eta)} d\tau \\
 & \quad - \frac{1}{2} \int_0^{\pi} \frac{\cos((n+1)\tau)}{\cos(\tau) - \cos(\eta)} d\tau \\
 & = \frac{\pi \sin((n-1)\tau)}{2 \sin(\tau)} - \frac{\pi \sin((n+1)\tau)}{2 \sin(\tau)} \\
 & = -\pi \cos(n\tau)
 \end{aligned}$$

以上から、 $n = 0$  では適用できないので、

$$\int_0^{\pi} \frac{\sin(\tau) \sin(n\tau)}{\cos(\tau) - \cos(\eta)} d\tau = -\pi \cos(n\tau) \quad n = 1 \cdot 2 \cdot 3 \cdots$$

### 11.7.4 三次元翼 揚力線理論 (フーリエ級数)

三次元翼の簡便法として揚力線理論がある<sup>1</sup>。一様流速:  $U$  の中に  $y$  軸上に置かれた、迎角:  $\alpha$ 、翼の長さ:  $2B$  の翼が左右に細長く、断面まわりの流れは二次元の翼理論が適用できるとする。各翼断面の渦循環:  $\Gamma(y)$  は翼断面ごとに異なり、翼で発生した渦は後方に一様流に沿って流れるものとする。このとき後方に流れた渦の誘導速度により翼面に下方の downwash:  $w(y)$  が生じる。翼断面の渦循環:  $\Gamma(y)$  とすると、後方に流れた渦循環:  $-\frac{d}{dy} \Gamma(y)$  となる。後方に流れた渦循環による翼面上の downwash:  $w(y)$  は次式となる。

ここでは迎角:  $\alpha$  は翼形状で与えられているので、下記の積分方程式を解き、 $\Gamma(s)$  を求める。

$$w(y) = -\frac{1}{4\pi} \int_{-B}^B \frac{d}{ds} \Gamma(s) \frac{ds}{s-y} \quad (11.7.51)$$

ここで、 $w(y) = \alpha(y) U$

このとき、翼に作用する揚力:  $L$ 、downwash による抗力:  $D$  は次式となる。

$$L = \rho \int_{-B}^B \Gamma(s) ds U \quad (11.7.52)$$

$$D = \rho \int_{-B}^B w(s) \Gamma(s) ds \quad (11.7.53)$$

```
kill(all);
assume(B>0);
depends([y],[\theta]);
depends([s],[t]);
IE1:w(y)=-1/(4*pi)*'integrate('diff(\Gamma(s),s,1)/(s-y),s,-B,B);
W1:w(y)=\alpha(y)*U;
Y1:y=B*cos(\theta);
S1:s=B*cos(t);
diff(S1,t,1);
DG2:'diff(\Gamma(s),s,1)='diff(\Gamma(t),t,1)/rhs(%);
DG21:subst([S1],DG2);
changevar(rhs(IE1),lhs(S1)-rhs(S1),t,s);
subst([DG21],%);
factor(subst([Y1],%));
IE2:w(\theta)=%;
G1:\Gamma(t)=sum(A[n]*sin(n*t),n,1,inf);
DG1:'diff(lhs(G1),t,1)=diff(rhs(G1),t,1);
subst([DG1],IE2);
```

```
IE21:w(\theta)=sum(-'integrate(n*A[n]*cos(n*t)/(cos(\theta)-cos(t)),t,0,%pi)/(4*pi*B),n,1,inf);
'integrate(cos(n*t)/(cos(\theta)-cos(t)),t,0,%pi)=-%pi*sin(n*\theta)/sin(\theta);
IE3:subst([%],IE21);
W2:w(\theta)=\alpha(\theta)*U;
subst([W2],IE3);
%*denom(rhs(%));
L1:L=\rho*U*'integrate(\Gamma(s),s,-B,B);
L11:L=-\rho*U*'integrate(\Gamma(t)*(-sin(t)*B),t,0,%pi);
L12:subst([G1],L11);
subst([inf=5],L12);
ev(%sum);
ev(%integrate);
D1:D=\rho*'integrate(\Gamma(s)*w(s),s,-B,B);
D11:D=-\rho*'integrate(\Gamma(\theta)*w(\theta)*(-sin(\theta)*B),\theta,0,%pi);
G2:subst([inf=N,t=\theta],G1);
IE4:subst([n=m,inf=M],IE3);
subst([G2,IE4],D11);
subst([N=5,M=5],%);
ev(%sum);
ev(%integrate);
D=sum(\rho*pi/8*A[n]^2*n,n,1,inf);
```

下記の変数変換を行う。

$$y = \cos(\theta) B, \quad s = \cos(t) B, \quad \frac{d}{dt} s = -\sin(t) B \quad (11.7.54)$$

また、変数変換から下記の関係がある。

$$\frac{d}{ds} \Gamma(s) = \frac{d}{d(\cos(t) B)} \Gamma(\cos(t) B) = -\frac{\frac{d}{dt} \Gamma(t)}{\sin(t) B}$$

(11.7.51) 式を changevar 関数を使って (11.7.54) 式の変数変換を行うと次式となり、上式を代入すると、

$$w(\theta) = -\frac{B}{4\pi} \int_0^\pi \frac{\sin(t) \left( \frac{d}{d(\cos(t) B)} \Gamma(\cos(t) B) \right)}{\cos(t) B - y} dt = -\frac{1}{4\pi B} \int_0^\pi \frac{\frac{d}{dt} \Gamma(t)}{\cos(\theta) - \cos(t)} dt \quad (11.7.55)$$

断面の渦循環分布:  $\Gamma(y)$  は端部で零となるので、下記のフーリエ変換で表現できる。

$$\Gamma(t) = \sum_{n=1}^\infty A_n \sin(nt) \quad (11.7.56)$$

上式を  $t$  で微分すると、

$$\frac{d}{dt} \Gamma(t) = \sum_{n=1}^\infty n A_n \cos(nt)$$

<sup>1</sup>「溝口純敏:Maximaを使った流体力学基礎演習ノート 7.2. 3次元翼 7.2.2 揚力線」、<http://www9.plala.or.jp/alcwitchery/>



(11.7.51) 式に上式を代入し、級数和と積分の順序を変えると、

$$\begin{aligned} w(\theta) &= -\frac{1}{4\pi B} \int_0^\pi \frac{\sum_{n=1}^\infty n A_n \cos(nt)}{\cos(\theta) - \cos(t)} dt \\ &= -\frac{1}{4\pi B} \sum_{n=1}^\infty n A_n \int_0^\pi \frac{\cos(nt)}{\cos(\theta) - \cos(t)} dt \end{aligned} \quad (11.7.57)$$

(11.7.48) 式の積分公式から、

$$\int_0^\pi \frac{\cos(\eta n)}{\cos(\eta) - \cos(\tau)} d\eta = \frac{\pi \sin(n\tau)}{\sin(\tau)} \quad n = 0 \cdot 1 \cdot 2 \cdots \quad (11.7.58)$$

(11.7.57) 式に上式を代入し、

$$w(\theta) = \alpha(\theta) U = \frac{\sum_{n=1}^\infty n A_n \sin(n\theta)}{4 \sin(\theta) B}$$

上式から次式が得られる。左辺が与えられると、フーリエ変換から  $A_n$  が得られる。

$$4\alpha(\theta) \sin(\theta) B U = \sum_{n=1}^\infty n A_n \sin(n\theta)$$

$A_n$  が得られたので、翼に作用する揚力  $L$  は、(11.7.52) 式を変数変換し、(11.7.56) 式を代入し、 $n = 5$  を仮に代入し、積分を実行すると、

$$\begin{aligned} L &= \rho \int_{-B}^B \Gamma(s) ds U \\ &= \rho \int_0^\pi \Gamma(t) \sin(t) dt B U \\ &= \rho \int_0^\pi \sin(t) \sum_{n=1}^\infty A_n \sin(nt) dt B U \\ &= \rho \int_0^\pi \sin(t) \left( \cdots + A_5 \sin(5t) + A_4 \sin(4t) \right. \\ &\quad \left. + A_3 \sin(3t) + A_2 \sin(2t) + A_1 \sin(t) \right) dt B U \\ &= \frac{\pi A_1 \rho B U}{2} \end{aligned}$$

downwash による抗力  $D$  は (11.7.53) 式を変数変換し、(11.7.56) 式、(11.7.57) 式を代入し、 $n = 5$  を仮に代入し、積分を実行すると、

$$\begin{aligned} D &= \rho \int_{-B}^B w(s) \Gamma(s) ds \\ &= \rho \int_0^\pi w(\theta) \Gamma(\theta) \sin(\theta) d\theta B \\ &= \frac{\rho}{4} \int_0^\pi \left( \sum_{m=1}^\infty m A_m \sin(m\theta) \right) \sum_{n=1}^\infty A_n \sin(n\theta) d\theta \\ &= \frac{\rho}{4} \int_0^\pi \left( \cdots + A_5 \sin(5\theta) + A_4 \sin(4\theta) \right. \\ &\quad \left. + A_3 \sin(3\theta) + A_2 \sin(2\theta) + A_1 \sin(\theta) \right) \\ &\quad \times \left( \cdots + 5 A_5 \sin(5\theta) + 4 A_4 \sin(4\theta) \right. \\ &\quad \left. + 3 A_3 \sin(3\theta) + 2 A_2 \sin(2\theta) + A_1 \sin(\theta) \right) d\theta \\ &= \frac{\rho}{8} \left( \cdots + 5\pi A_5^2 + 4\pi A_4^2 + 3\pi A_3^2 + 2\pi A_2^2 + \pi A_1^2 \right) \\ &= \frac{\pi \rho}{8} \left( \sum_{n=1}^\infty n A_n^2 \right) \end{aligned}$$

## 付録 A よく使う Maxima の関数

演習問題を解くに当たり、Maxima を使った進め方とここでよく使う Maxima の関数の使用例の簡単な説明を以下に示す。詳細な説明は Maxima の解説書を参考願う。

### A.1 wxMaxima を使用した演習の進め方

wxMaxima を使用して、入力、出力を会話形式で実行できる。しかし、トライアンドエラー的に一步一步進めていくので、入力結果を残しておいた方が便利である。まず、wxMaxima の設定を確認する。wxMaxima の編集→設定で、「Enter でセルを評価する」にチェックを入れる。ワードパッドやメモ帳などのテキストエディターで Maxima の実行テキストを作成しておき、この評価させたい部分をコピーし、wxMaxima に貼り付け、Enter で評価、実行できる。これを繰り返し、意図した結果となっているか確認しながら、作業を進めていくのがよいと思います。

また、最初の行には必ず、`kill(all);` を入力し、これまでの設定を解除しておく。ファイル内のリストの区切りはセミコロン ; であるので、必ず記述の最後に ; をつける。記述が長く、2 行にまたがってもよいが、必ず記述の最後につける。

### リスト、TEX 出力

wxMaxima の数式出力結果を左クリックで網掛けし、右クリックで「コピー」を選択すると、wxMaxima の実行テキストが得られ、テキストエディターに貼り付けすることができる。

また、wxMaxima の数式出力結果を左クリックで網掛けし、右クリックで「Latex としてコピー」を選択すると、Latex の実行テキストが得られる。Texworks などの Latex エディターに貼り付けすることができ、数式を綺麗に出力できる文書作成フリーソフト： $\text{\LaTeX} 2_{\epsilon}$  の数式記述として使える。

### A.2 宣言文

関数定義：`depends([f,g],[x,y])`

$f, g$  が変数  $x, y$  の関数であることを宣言する。現状の関数定義の確認：`dependencies;`、定義の削除：`remove(f, y);` が他にある

```
kill(all);
depends ([f, g], x);
depends ([r, s], [u, v]);
depends (u, t);
dependencies;
diff (r*s, u);
diff (r*s, t);
remove (r, dependency);
diff (r.s, t);
```

出力結果：

```
done
[f(x), g(x)]
[r(u, v), s(u, v)]
[u(t)]
[f(x), g(x), r(u, v), s(u, v), u(t)]
r (d/d u s) + (d/d u r) s
r (d/d u s) (d/d t u) + (d/d u r) s (d/d t u)
done
r. (d/d u s) (d/d t u)
```

変数宣言：`declare(x,A)`

変数  $x$  に整数や実数などの属性  $A$  を宣言する。

```
declare(i, integer);
declare(x, real);
declare(z, complex);
```

**仮定 : assume(A)**

変数の正負などの仮定を宣言する。現状の仮定の確認 : `facts()`; 仮定の削除 : `forget(A)`; が他にある。

```
assume(A>0);
assume(B>=2);
assume(C<1 and C>0);
facts();
forget(A>0);
```

出力結果 :

**A.3 数式操作****数式の定義 : X:A=B**

数式 :  $A = B$  を  $X$  として、入力、定義する。以降、 $X$  で  $A = B$  を呼び出せる。

```
X:x(t)=r(t)*cos(p(t));
Y:y(t)=r(t)*sin(p(t));
```

出力結果 :

$$x(t) = r(t) \cos(p(t))$$

$$y(t) = r(t) \sin(p(t))$$

**右辺抽出 : rhs(X)**

式の右辺を抽出する。そして、 $XR$  として入力、定義する。

```
X:x(t)=r(t)*cos(p(t));
XR:rhs(X);
```

出力結果 :

$$x(t) = r(t) \cos(p(t)) \rightarrow r(t) \cos(p(t))$$

**左辺抽出 : lhs(X)**

式の左辺を抽出する。

```
X:x(t)=r(t)*cos(p(t));
lhs(X);
```

出力結果 :

$$x(t) = r(t) \cos(p(t)) \rightarrow x(t)$$

**置換 : subst(B,A,EQ)**

数式 :  $EQ$  の中に含まれる  $A$  を  $\rightarrow B$  に置き換える。

```
X:x(t)=r(t)*cos(p(t));
subst(L,r(t),X);
```

出力結果 :

$$x(t) = r(t) \cos(p(t)) \rightarrow x(t) = \cos(p(t)) L$$

**置換 : subst([A=B],EQ)**

数式 :  $EQ$  の中に含まれる  $A$  を  $\rightarrow B$  に置き換える。

```
X:x(t)=r(t)*cos(p(t));
subst([r(t)=L],X);
```

出力結果 :

$$x(t) = r(t) \cos(p(t)) \rightarrow x(t) = \cos(p(t)) L$$

**因数分解 : factor(EQ)**

式  $EQ$  を因数分解する。

```
EQ:2*x^2+x-6;
factor(EQ);
```

出力結果 :

$$2x^2 + x - 6 \rightarrow (x + 2)(2x - 3)$$

**展開 : expand(EQ)**

式  $EQ$  の和の積を展開し、積の和にする。

```
EQ1:(x+2)*(2*x-3);
expand(EQ1);
```

出力結果 :

$$(x + 2)(2x - 3) \rightarrow 2x^2 + x - 6$$

**有理式の簡素化 : ratsimp(EQ)**

展開、通分、約分で簡易化する

```
EQ2:x/(x^2+x);
ratsimp(EQ2);
```

出力結果 :

$$\frac{x}{x^2 + x} \rightarrow \frac{1}{x + 1}$$

**有理式の簡素化 : partfrac(EQ,x)**

$x$  で簡易化する

```
EQ:(2*x+3)*(A*x-2)*(x+B);
EQ1:expand(%);
partfrac(EQ1,x);
factor(EQ1);
```

出力結果 :

$$(2x + 3)(xA - 2)(B + x) \rightarrow$$

$$2x^2AB + 3xA B - 4xB - 6B + 2x^3A + 3x^2A - 4x^2 - 6x$$

$partfrac(EQ1, x)$ ; の結果

$$x((3A - 4)B - 6) + x^2(2AB + 3A - 4) - 6B + 2x^3A$$

$factor(EQ1)$ ; の結果

$$(2x + 3)(xA - 2)(B + x)$$

**三角関数の簡素化 : trigsimp(EQ)**

三角関数が含まれる式を  $\sin(x)^2 + \cos(x)^2 = 1$  と  $\cosh(x)^2 - \sinh(x)^2 = 1$  を使って簡素化する。行列の積を参照。

**三角関数の簡素化 : trigreduce(EQ)**

三角関数の積を倍角公式などを使って簡素化する。

```
EQ1:sin(A)*cos(B);
trigreduce(EQ1);
```

出力結果 :

$$\sin(A)\cos(B) \rightarrow \frac{\sin(B+A)}{2} - \frac{\sin(B-A)}{2}$$

**三角関数の簡素化 :****trigexpand(EQ)**

三角関数が含まれる式を倍角公式などを使って展開する。

```
EQ2:sin(A*x+y);
trigexpand(EQ2);
```

出力結果 :

$$\sin(xA + y) \rightarrow \cos(y)\sin(xA) + \sin(y)\cos(xA)$$

**三角関数の簡略化準線形形式 : trigrat(EQ)**

三角関数の式の標準的な簡略化準線形形式を与える。

```
E0:sin(3*a)/sin(a+%pi/3);
E0=trigrat(E0);
E1:(1-%e^(%i*\theta))/(1+%e^(%i*\theta));
E2:E1=trigrat(E1);
```

出力結果 :

$$\frac{\sin(3a)}{\sin(a + \frac{\pi}{3})} = \sqrt{3}\sin(2a) + \cos(2a) - 1$$

$$\frac{1 - e^{i\theta}}{e^{i\theta} + 1} = -\frac{i\sin(\frac{\theta}{2})}{\cos(\frac{\theta}{2})}$$

**対数関数の簡素化 : logcontract(EQ)**

対数関数を含む式の簡易化をする。

```
EQ:2*log(x)+2*log(y);
logcontract(EQ);
```

出力結果 :

$$2\log(y) + 2\log(x) \rightarrow \log(x^2y^2)$$

**指数、対数の簡素化 : radcan(EQ)**

指数、対数のを含む式の簡易化をする。

```
(log(x+x^2)-log(x))^a/log(1+x)^(a/2);
radcan(%);
((%e^x-1)/(1+%e^(x/2)));
radcan(%);
```

出力結果：

$$\frac{(\log(x^2+x) - \log(x))^a}{\log(x+1)^{\frac{a}{2}}} \rightarrow \log(x+1)^{\frac{a}{2}}$$

$$\frac{e^x - 1}{e^{\frac{x}{2}} + 1} \rightarrow e^{\frac{x}{2}} - 1$$

係数：coeff(EQ,X,N)

式 EQ の X の N 乗の係数を抽出する。

```
EQ:2*x^2+x-6;
coeff(EQ,x,2);
```

出力結果：

$$2x^2 + x - 6 \rightarrow 2$$

最初の項：first(EQ)

式 EQ の最初の項を抽出する。

```
EQ:2*x^2+x-6;
first(EQ);
```

出力結果：

$$2x^2 + x - 6 \rightarrow 2x^2$$

最後の項：last(EQ)

式 EQ の最後の項を抽出する。

```
EQ:2*x^2+x-6;
last(EQ);
```

出力結果：

$$2x^2 + x - 6 \rightarrow -6$$

項の削除：rest(EQ,N)

式 EQ の最初から N 個成分を除いた項を出力する。ここで、N を負とすると、最後から N 個成分を除いた項を出力する。

```
EQ:2*x^2+x-6;
rest(EQ,2);
```

出力結果：

$$2x^2 + x - 6 \rightarrow -6$$

分子：num(EQ)

式 EQ の分子を出力する。

```
EQ:x/(x^2+x);
num(EQ);
```

出力結果：

$$\frac{x}{x^2+x} \rightarrow x$$

分母：denom(EQ)

式 EQ の分母を出力する。

```
EQ:x/(x^2+x);
denom(EQ);
```

出力結果：

$$\frac{x}{x^2+x} \rightarrow x^2+x$$

方程式を解く：

solve([EQ1,EQ2],[x,y])

式 EQ1, EQ2 を x, y について解く。結果は行列表示で出力される。

```
EQ:2*x^2+x-6=0;
solve(EQ,x);
```

出力結果：

$$2x^2 + x - 6 = 0$$

$$\left[ x = \frac{3}{2}, x = -2 \right]$$

```
EQ1:2*x+y=4;
EQ2:x+3*y=7;
ANS:solve([EQ1,EQ2],[x,y]);
ANS[1][1];
ANS[1][2];
```

出力結果：

$$y + 2x = 4$$

$$3y + x = 7$$

$$[[x = 1, y = 2]]$$

$$x = 1$$

$$y = 2$$

## A.4 行列

行列の定義：`matrix([A,B],[C,D])`

行列を入力、定義する。

```
XY:matrix([A,B],[C,D]);
```

出力結果：

$$\begin{bmatrix} A & B \\ C & D \end{bmatrix}$$

運動を行列で表現するときには、下記のように列行列で表現した方が、変数変換行列の表現、演算表現で教科書に近い表現となり、理解しやすい。

```
kill(all);
X:x(t)=r(t)*cos(p(t));
Y:y(t)=r(t)*sin(p(t));
XY:matrix([ rhs(X)],[ rhs(Y) ]);
VXY:diff(XY,t);
AXY:diff(VXY,t);
TR:matrix([cos(p(t)), sin(p(t))],
           [-sin(p(t)),cos(p(t))]);
VRP:trigsimp(TR.VXY);
v[r](t)=VRP[1,1];
v[p](t)=VRP[2,1];
ARP:trigsimp(TR.AXY);
a[r](t)=ARP[1,1];
a[p](t)=ARP[2,1];
EQR:M*ARP[1,1]=F[r];
EQP:M*ARP[2,1]=F[p];
```

要素の抽出：`M[N][M]`

$N$  行、 $M$  列目の要素を抽出する。

```
XY:matrix([A,B],[C,D]);
```

```
XY[2][1];
```

出力結果：

$$\begin{bmatrix} A & B \\ C & D \end{bmatrix} \rightarrow C$$

行列の積：`A.B`

行列： $A$  と行列： $B$  の積を求める。

```
M1:matrix([A,B],[C,D]);
```

```
M2:matrix([E,F],[G,H]);
```

```
M1.M2;
```

出力結果：

$$\begin{bmatrix} A & B \\ C & D \end{bmatrix} \begin{bmatrix} E & F \\ G & H \end{bmatrix}$$

$$\rightarrow \begin{bmatrix} BG+AE & BH+AF \\ DG+CE & DH+CF \end{bmatrix}$$

転置行列：`transpose(M)`

行列： $M$  の転置行列を求める。

```
M1:matrix([A,B],[C,D]);
```

```
M2:matrix([A],[B]);
```

```
transpose(M1);
```

```
transpose(M2);
```

出力結果：

$$\begin{bmatrix} A & C \\ B & D \end{bmatrix} \rightarrow \begin{bmatrix} A & B \\ C & D \end{bmatrix}$$

$$\begin{bmatrix} A \\ B \end{bmatrix} \rightarrow \begin{bmatrix} A & B \end{bmatrix}$$

運動エネルギーを求めるとき、各速度成分の二乗和が必要となる。速度の行列表現の転置行列と元行列の積から容易に求まる。

```
T:1/2*M*trigsimp(transpose(VXY).VXY);
```

行列式：`determinant(M)`

行列： $M$  の行列式を求める。

```
M:matrix([2*D^2+2, D^2],[D^2,D^2+1]);
```

```
determinant(M);
```

出力結果：

$$\begin{bmatrix} 2D^2+2 & D^2 \\ D^2 & D^2+1 \end{bmatrix} \rightarrow (D^2+1)(2D^2+2) - D^4$$

行列の作成：`genmatrix(a,M,N)`

定義された  $h$  の行列を作成する。

```
h[i,j]:=1/(i+j);
```

```
genmatrix(h,4,4);
```

出力結果：

$$h_{i,j} := \frac{1}{i+j}$$

$$\begin{pmatrix} \frac{1}{2} & \frac{1}{3} & \frac{1}{4} & \frac{1}{5} \\ \frac{1}{3} & \frac{1}{4} & \frac{1}{5} & \frac{1}{6} \\ \frac{1}{4} & \frac{1}{5} & \frac{1}{6} & \frac{1}{7} \\ \frac{1}{5} & \frac{1}{6} & \frac{1}{7} & \frac{1}{8} \end{pmatrix}$$

条件文が入った定義された  $a$  の行列を作成する。

```
AJK:1/(j+k);
a[m,n]:=block([b],
if m=4 then if n=4 then b:1 else b:0
else b:subst([k=n,j=m],AJK), return(b));
genmatrix(a,4,4);
```

出力結果：

$$\frac{1}{k+j} \begin{pmatrix} \frac{1}{2} & \frac{1}{3} & \frac{1}{4} & \frac{1}{5} \\ \frac{1}{3} & \frac{1}{4} & \frac{1}{5} & \frac{1}{6} \\ \frac{1}{4} & \frac{1}{5} & \frac{1}{6} & \frac{1}{7} \\ 0 & 0 & 0 & 1 \end{pmatrix}$$

逆行列の計算：`invert(a)`

定義された  $a$  の逆行列を計算する。

```
h[i,j]:=1/(i+j);
genmatrix(h,4,4);
invert(%);
```

出力結果：

$$h_{i,j} := \frac{1}{i+j} \begin{pmatrix} \frac{1}{2} & \frac{1}{3} & \frac{1}{4} & \frac{1}{5} \\ \frac{1}{3} & \frac{1}{4} & \frac{1}{5} & \frac{1}{6} \\ \frac{1}{4} & \frac{1}{5} & \frac{1}{6} & \frac{1}{7} \\ \frac{1}{5} & \frac{1}{6} & \frac{1}{7} & \frac{1}{8} \end{pmatrix} \begin{pmatrix} 200 & -1200 & 2100 & -1120 \\ -1200 & 8100 & -15120 & 8400 \\ 2100 & -15120 & 29400 & -16800 \\ -1120 & 8400 & -16800 & 9800 \end{pmatrix}$$

## A.5 微分・積分

微分：`diff(EX,x,N)`

$EX$  を微分変数： $x$  で  $N$  階微分を行う。 $N$  を省略すれば、1 階微分をする。

```
EX:x^3;
diff(EX,x,1);
diff(EX,x,2);
```

出力結果：

$$x^3 \rightarrow 3x^2 \rightarrow 6x$$

```
X:x(t)=r(t)*cos(p(t));
diff(X,t,1);
```

$$x(t) = r(t) \cos(p(t)) \rightarrow$$

$$\frac{d}{dt} x(t) = \cos(p(t)) \left( \frac{d}{dt} r(t) \right) - r(t) \sin(p(t)) \left( \frac{d}{dt} p(t) \right)$$

積分：`integrate(EX,x,A,B)`

$EX$  を積分変数： $x$  で、 $A$  から  $B$  の積分を行う。、 $A$ 、 $B$  を省略すれば、不定積分となる。

```
EX:x^2;
integrate(EX,x,0,2);
integrate(EX,x);
```

$$x^2 \rightarrow \frac{8}{3} \rightarrow \frac{x^3}{3}$$

```
EX:y(x)^2;
integrate(EX,x);
integrate(EX,y(x));
```

$$y(x)^2 \rightarrow \int y(x)^2 dx \rightarrow \frac{y(x)^3}{3}$$

積分における変数変換 :

**changevar(EQ, B, A)**

積分記述 :  $EQ$  を式 :  $EQ = 0$  の関係を使って、変数 :  $A$  から変数 :  $B$  に変換する。

```
EX: 'integrate(%e^(sqrt(a*y)), y, 0, 4);
EQ: y-z^2/a=0;
changevar(EQ, lhs(EQ), z, y);
```

$$\int_0^4 e^{\sqrt{a}y} dy$$

$$y - \frac{z^2}{a} = 0$$

$$-\frac{2 \int_{-2\sqrt{a}}^0 z e^{|z|} dz}{a}$$

微分方程式を解く :

**desolve([EQ1, EQ2], [f1(x), f2(x)])**

連立微分方程式 :  $EQ1$ 、 $EQ2$ 、で従属変数 :  $f1(x)$ 、 $f2(x)$  を解く。初期条件は下記のようにして、従属変数の初期条件における値を定義する。連立微分方程式の場合、解は行列表示となる。詳細の解説は「3.1.1 *desolve* 関数」、24 頁に示す。

```
EQ1: diff(y(x), x, 2) + 2*y(x) + z(x) = 0;
EQ2: y(x) + diff(z(x), x, 2) + 2*z(x) = 0;
atvalue(y(x), x=0, 1);
atvalue(diff(y(x), x, 1), x=0, 0);
atvalue(z(x), x=0, 2);
atvalue(diff(z(x), x, 1), x=0, 0);
desolve([EQ1, EQ2], [y(x), z(x)]);
```

$$\frac{d^2}{dx^2} y(x) + z(x) + 2y(x) = 0$$

$$\frac{d^2}{dx^2} z(x) + 2z(x) + y(x) = 0$$

$$[y(x) = \frac{3 \cos(\sqrt{3}x)}{2} - \frac{\cos(x)}{2}$$

$$, z(x) = \frac{3 \cos(\sqrt{3}x)}{2} + \frac{\cos(x)}{2}]$$

微分方程式を解く : **ode2(EQ, f(x), x)**

2 階以下の微分方程式 :  $EQ$  で従属変数 :  $f(x)$ 、独立変数 :  $x$  を解く。境界条件は下記のように、関数 : *ode2* を実行後に、関数 : *ic1*, *ic2*, *bc2* を使用して定義する。詳細の解説は「3.1.2 *ode2* 関数」、24 頁に示す。

一階微分方程式の場合

```
kill(all);
EQ: diff(y(x), x, 1) = -(x-C)/y(x);
ANS: ode2(EQ, y(x), x);
ANS1: ic1(ANS, x=0, y(x)=1);
```

下記に出力結果を示す。  $y(x)$  の関数形で解は得られるが、境界条件を *ic1* で求めた結果は満足ではない。

$$\frac{d}{dx} y(x) = \frac{C-x}{y(x)}$$

$$\frac{y(x)^2}{2} = \frac{2xC - x^2}{2} + \%c$$

$$\frac{y(x)^2}{2} = \frac{2xC - x^2 + y(0)^2}{2}$$

```
kill(all);
depends(y, x);
EQ: diff(y, x, 1) = -(x-C)/y;
ANS: ode2(EQ, y, x);
ANS1: ic1(ANS, x=0, y=1);
```

下記に *depends* を使った関数形の出力結果を示す。境界条件を *ic1* で求めた結果は満足できる。

$[y(x)]$

$$\frac{d}{dx} y = \frac{C-x}{y}$$

$$\frac{y^2}{2} = \frac{2xC - x^2}{2} + \%c$$

$$\frac{y^2}{2} = \frac{2xC - x^2 + 1}{2}$$

二階微分方程式の場合

```
kill(all);
EQ: x^2*diff(y(x), x, 2) + x*diff(y(x), x, 1)
-4*y(x)=0;
ANS: ode2(EQ, y(x), x);
ANS1: ic2(ANS, x=1, y(x)=1, diff(y(x), x, 1)=0);
ANS2: bc2(ANS, x=1, y(x)=0, x=2, y(x)=1);
```

下記に出力結果を示す。  $y(x)$  の関数形で解は得られるが、境界条件を *ic2*, *bc2* で求めた結果は満足ではない。

$$x^2 \left( \frac{d^2}{dx^2} y(x) \right) + x \left( \frac{d}{dx} y(x) \right) - 4y(x) = 0$$

$$y(x) = \%k1 x^2 + \frac{\%k2}{x^2}$$



$$y(x) = \frac{y(1)x^2}{2} + \frac{y(1)}{2x^2}$$

$$y(x) = \frac{16y(1) - 4y(2)}{15x^2} - \frac{(y(1) - 4y(2))x^2}{15}$$

```
kill(all);
depends(y,x);
EQ:x^2*diff(y,x,2)+x*diff(y,x,1)
-4*y=0;
ANS:ode2(EQ,y,x);
ANS1:ic2(ANS,x=1,y=1,diff(y,x,1)=0);
ANS2:bc2(ANS,x=1,y=0,x=2,y=1);
```

下記に depends を使った関数形の出力結果を示す。境界条件を ic2, bc2 で求めた結果は満足できる。

[y(x)]

$$x^2 \left( \frac{d^2}{dx^2} y \right) + x \left( \frac{d}{dx} y \right) - 4y = 0$$

$$y = \%k1 x^2 + \frac{\%k2}{x^2}$$

$$y = \frac{x^2}{2} + \frac{1}{2x^2}$$

$$y = \frac{4x^2}{15} - \frac{4}{15x^2}$$

微分方程式の数値解: rk([EQ1, EQ2], [x, y], [X0, Y0], [t, T0, T1, DT])

ルンゲ・クッタ法で微分方程式を数値解析する。左辺が1階微分の形で微分方程式を表現する。右辺を EQ1、EQ2 で表し、左辺の従属変数を  $x$ 、 $y$  とする。それぞれの、初期値を  $X0$ 、 $Y0$  とし、独立変数を  $t$  とする。独立変数の  $T0$  から  $T1$  まで、 $DT$  間隔で数値解析する。ここで独立変数は  $x(t)$  の形は扱えない。実行する前に、ルンゲ・クッタ法のプログラムをロードする必要があるので、load("dynamics"); を入力する。

$$\frac{d}{dt} x = -4y^2 - x^2 + 4$$

$$\frac{d}{dt} y = y^2 - x^2 + 1$$

の場合、

```
EQ1:'diff(x,t)=4-x^2-4*y^2;
EQ2:'diff(y,t)=y^2-x^2+1;
load("dynamics");
sol:rk([rhs(EQ1),rhs(EQ2)], [x,y],
[-1.25,0.75], [t,0,4,0.02]);
```

入っている出力は、リストの形式で出力されるので、下記の例に示すように sol に結果を入れ、必要な項目を list12 に入れなおす。そして、下記の図形関数: plot2d などで見ることができる。

$$\frac{d^2}{dt^2} x = -\sin(x)$$

の場合、下記の1階連立微分方程式に置き換えて解く。

$$\frac{d}{dt} x = y$$

$$\frac{d}{dt} y = -\sin(x)$$

```
kill(all);
EQ1:'diff(x,t,2)=-sin(x);
Tmax:3;
dT:0.03;
Nplot:fix(Tmax/dT);
load("dynamics");
P[0]:%pi/9;
sol:rk([y,rhs(EQ1)], [x,y], [P[0],0],
[t,0,Tmax,dT]);
list12:[[sol[1][1],sol[1][2]]];
for J:2 thru Nplot do(list12:append(list12,
[sol[J][1],sol[J][2]]));
plot2d([discrete,list12]);
```

## A.6 複素数

### 複素変数宣言 : `declare(z,complex)`

$z$  が複素変数であることを宣言する。

```
declare(z,complex);
```

### 実部 : `realpart(z)`

複素数: $z$  の実部を出力する。

```
kill(all);
declare(z,complex);
Z1:z=x[1]+%i*y[1];
realpart(rhs(Z1));
```

$$z = iy_1 + x_1 \rightarrow x_1$$

### 虚部 : `imagpart(z)`

複素数: $z$  の虚部を出力する。

```
kill(all);
declare(z,complex);
Z1:z=x[1]+%i*y[1];
imagpart(rhs(Z1));
```

$$z = iy_1 + x_1 \rightarrow y_1$$

### 複素共役 : `conjugate(z)`

複素数: $z$  の複素共役を出力する。

```
kill(all);
declare(z,complex);
Z1:z=x[1]+%i*y[1];
conjugate(rhs(Z1))
```

$$z = iy_1 + x_1 \rightarrow x_1 - iy_1$$

### 極座標表示 : `polarform(z)`

複素数: $z$  を極座標表示で出力する。

```
kill(all);
declare(z,complex);
Z1:z=x[1]+%i*y[1];
polarform(rhs(Z1));
```

$$z = iy_1 + x_1 \rightarrow \sqrt{y_1^2 + x_1^2} e^{i \operatorname{atan2}(y_1, x_1)}$$

### $xy$ 座標表示 : `rectform(z)`

複素数: $z$  を極座標表示で出力する。

```
kill(all);
declare(z,complex);
Z1:z=r*%e^(%i*\theta);
rectform(rhs(Z1));
```

$$z = r e^{i\theta} \rightarrow ir \sin(\theta) + r \cos(\theta)$$

### 留数 : `residue(EQ,z,z[0])`

式 :  $EQ$ 、変数 :  $z$  で、 $z_0$  における留数を求める。

```
kill(all);
declare(z,complex);
residue (z/(z^2+a^2), z, a*%i);
residue (sin(a*z)/z^4, z, 0);
```

$$\frac{1}{2}$$

$$-\frac{a^3}{6}$$

## A.7 極限・級数

極限 : `limit(EQ,x,A,dir)`

変数  $x$  を方向  $dir$  から  $A$  に接近する場合、式  $EQ$  の極限を計算する。  $dir$  としては、  $plus$  か  $minus$  を入力する。  $A$  に接近した場合、値が分らない場合は、  $dir$  は入力しなくてよい。ここでプラス無限大は  $inf$ 、マイナス無限大は  $minf$  である。

$$x(t) = \frac{U0}{C} - \frac{e^{-tC} U0}{C}$$

$$Xmax = \frac{U0}{C}$$

```
kill(all);
XX:x(t)=U0/C-(%e^(-t*C)*U0)/C;
Xmax=limit(rhs(XX),t,inf);
```

$$x(t) = \frac{U0}{C} - \frac{e^{-tC} U0}{C}$$

$$Xmax = \frac{U0}{C}$$

級数展開 : `taylor(EX,x,A,N)`

式  $EX$  を  $A$  のまわりで、変数  $x$  の Taylor 級数を  $N$  乗まで求める。

```
taylor(sin(x),x,0,7);
```

$$\sin(x) \rightarrow x - \frac{x^3}{6} + \frac{x^5}{120} - \frac{x^7}{5040} + \dots$$

級数和 : `sum(EX,n,n1,n2)`

式  $EX$  を変数  $n$  の  $n1$  から  $n2$  までの級数和を求める。

```
HH:h=h[0]+2*sum(h[0]*E^(2*n),n,1,inf);
h=h[0]+2*sum(h[0]*E^(2*n),n,1,4);
```

$$h = 2h_0 \left( \sum_{n=1}^{\infty} E^{2n} \right) + h_0$$

$$h = 2(h_0 E^8 + h_0 E^6 + h_0 E^4 + h_0 E^2) + h_0$$

級数和の簡素化 : `simpsum`

上部で定義されている級数和を、true にすることで簡素化する。結果が得られたら、false にする。

```
assume(E>0, E<1);
HH:h[0]+2*sum(h[0]*E^(2*n),n,1,inf);
HH, simpsum;
sum(1/n^2,n,1,inf);
sum(1/n^2,n,1,inf), simpsum;
sum(1/3^i,i,1,inf);
%,simpsum;
```

$$2h_0 \left( \sum_{n=1}^{\infty} E^{2n} \right) + h_0 \rightarrow \frac{2h_0 E^2}{1-E^2} + h_0$$

$$\sum_{n=1}^{\infty} \frac{1}{n^2} \rightarrow \frac{\pi^2}{6}$$

$$\sum_{i=1}^{\infty} \frac{1}{3^i} \rightarrow \frac{1}{2}$$

級数積 : `product(EX,n,n1,n2)`

式  $EX$  を変数  $n$  の  $n1$  から  $n2$  までの級数積を求める。

```
kill(all);
product(k,k,1,n);
```

$$\prod_{k=1}^n k$$

級数積の簡素化 : `simpproduct`

定義されている級数積を、簡素化する。

```
kill(all);
product(k,k,1,n), simpproduct;
```

$$n!$$

## A.8 プログラム

反復 : **for** N:k **step** l **thru** m **do**(A);

A を N が k から m まで i ステップ毎に反復実行する。  
A で複数の処理をする場合は、で区切る。

条件分岐 : **if** B **then** C **else** D;

条件式 : B が真なら C を実行し、虚なら D を実行する。  
条件式として、 $N = 1, N > 0$  などである。

```
kill(all);
for J:1 thru 10 do(
if J=1 then listUU20:[[1,2]]
else listUU20:append(listUU20,
[[2*J-1,2*J]]);
listUU20;
```

リストのファイル出力、読み込み :

**write\_data**, **read\_list**

計算結果などのリストデータを外部メディアにファイル出力し、外部メディアにファイル出力したリストを読み込む。

```
kill(all);
listUU:[[1,11],[2,22],[3,33]];
write_data(listUU,"M:\listUU20.cvs");
list:read_list("M:\listUU20.cvs");
for J:1 thru 100 do(
if J=1 then listUU20:[[list[1],list[2]]]
else listUU20:append(listUU20,
[[list[2*J-1],list[2*J]]]);
listUU20;
```

リストデータ: listUU を作成する。

`[[1, 11], [2, 22], [3, 33]]`

外部メディアにファイル : M:listUU20.cvs の名前で、出力する。

外部メディアにファイル : M:listUU20.cvs をリストとして読み込む。読み込んだ結果は下記、

`[1, 11, 2, 22, 3, 33]`

連続したデータリストとなっているので、振り分け作業を行い、元の形にする。

`[[1, 11], [2, 22], [3, 33]]`

## A.9 その他

第一種完全楕円積分関数 : **elliptic\_kc**(m)

下記の第一種完全楕円積分関数を求める。

$$\int_0^{\frac{\pi}{2}} \frac{1}{\sqrt{1 - m \sin^2(x)}} dx$$

第一種ベッセル関数 : **bessel\_j**(n,x)

次数 : n で変数 : x の第一種ベッセル関数を求める。

第二種ベッセル関数 : **bessel\_y**(n,x)

次数 : n で変数 : x の第二種ベッセル関数を求める。

第一種変形ベッセル関数 : **bessel\_i**(n,x)

次数 : n で変数 : x の第一種変形ベッセル関数を求める。

第二種変形ベッセル関数 : **bessel\_k**(n,x)

次数 : n で変数 : x の第二種変形ベッセル関数を求める。

根を得る : **find\_root**(Fn,x,a,b)

根を数値解析で得る。関数 : Fn を与え、変数 : x が a~b の範囲で FN = 0 の根を求める。

```
kill(all);
find_root(bessel_j(1,x),x,2,4);
```

bessel<sub>j</sub>(1,x) の根を x が 2 から 4 の範囲で求める。

定数 : π : %pi

定数 : 自然対数の底 : %e

定数 : 虚数 : %i

定数 : 正の無限大 : inf

定数 : 負の無限大 : minf

浮動小数点で近似値 : **float**(EQ)

## A.10 グラフ作成

二次元グラフ：

`plot2d([EX1,EX2],[range],[op])`

二次元のグラフを作成する。 $EX1$ 、 $EX2$ に数式や点列の指定、 $range$ に横軸の計算レンジ、 $op$ に縦軸に指定などのオプションを指定する。

### (1) 数式を与えて

数式と  $x$  の計算レンジを与えたグラフの作成をする。

```
plot2d (x^3+2, [x, -3, 3]);
```

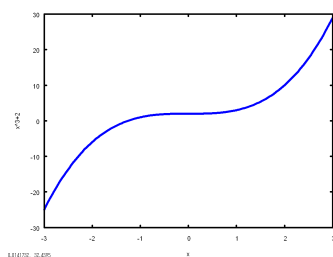


図 A.10.1: 数式を与えて

### (2) 数式を与えて軌跡

$x$ 、 $y$  の変数： $t$  の数式を与え、 $x-y$  面上のグラフの作成をする。 $nticks$  で分割点数を与える。

```
plot2d ([parametric,2*cos(t),10*sin(t),
[t,-5,5],[nticks,80]]);
```

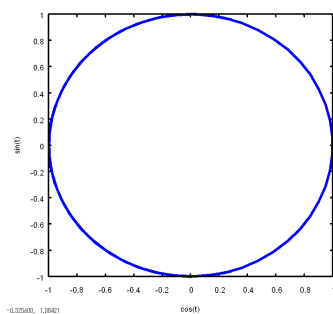


図 A.10.2: 数式を与えて軌跡

### (3) 点列を与えて

$x$ 、 $y$  の点列の行列を与え、グラフの作成をする。

```
xy: [[-2,30],[1,-20]], [[-1,20],[0,10],[1,-10],
[2,-20]];
plot2d([discrete,xy]);
```

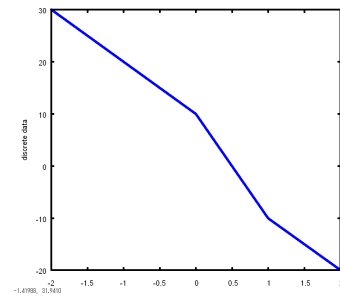


図 A.10.3: 点列を与えて

### (4) 複数の数式を与えて

数式と  $x$  の計算レンジを与えたグラフの作成をする。

```
plot2d ([-10*x,2*x^2-2,x^3+2],[x,-3,3]);
```

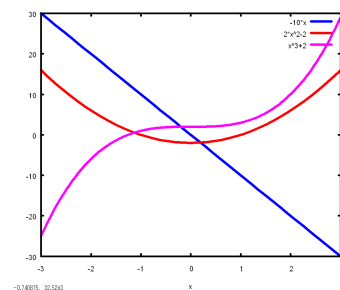


図 A.10.4: 複数の数式を与えて

### (5) 複数のグラフの合成

数式と  $x$  の計算レンジを与えたグラフの作成をする。

```
plot2d ([x^3+2,[parametric,2*cos(t),
10*sin(t),[t,-5,5],[nticks,80]],
[discrete,xy],
[x,-3,3]);
```

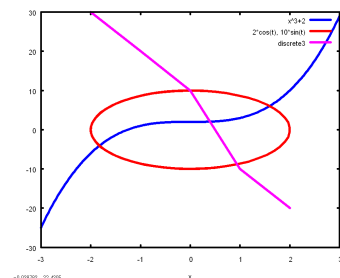


図 A.10.5: 複数のグラフの合成

## (6) オプション

## 線の種類を指定

```
[style, [lines, l1, l2]]
```

l1 : 線の太さ, l2 : 線の色を指定する。lines : 線で描くが、これを points、linespoints、dots と指定することもできる。

```
plot2d([x, 2*x, -x, -2*x], [x, -10, 10],
[y, -10, 10], [nticks, 5], [style, [lines, 8, 1],
[points, 4, 2], [linespoints, 2, 3],
[dots, 8, 4]]);
```

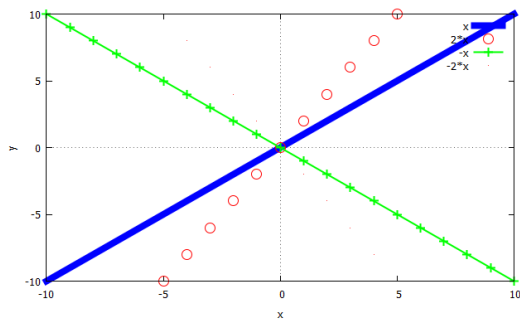


図 A.10.6: 線の種類

## 線のコメント

```
plot2d([x, 2*x, -x, -2*x], [x, -10, 10],
[y, -10, 10], [legend, "A", "B", "C", "D"]);
```

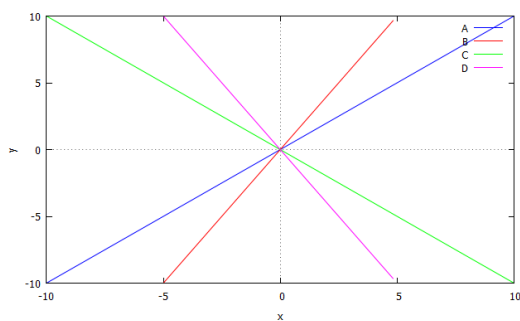


図 A.10.7: 線にコメント

## 縦軸、横軸のコメント

```
plot2d(x^3+2, [x, -3, 3], [y, -40, 50],
[xlabel, "X axis"], [ylabel, "Y axis"]);
```

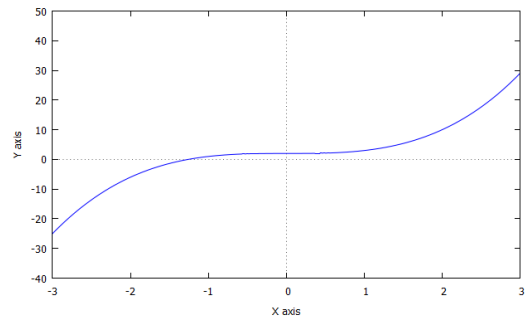


図 A.10.8: 縦軸、横軸コメント

## 対数軸

```
plot2d(%e^x, [x, -100, 100], [logy]);
plot2d(log(x), [x, 0.1, 100], [logx]);
```

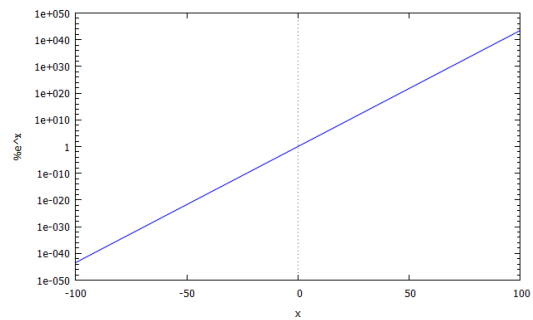


図 A.10.9: y 軸対数軸

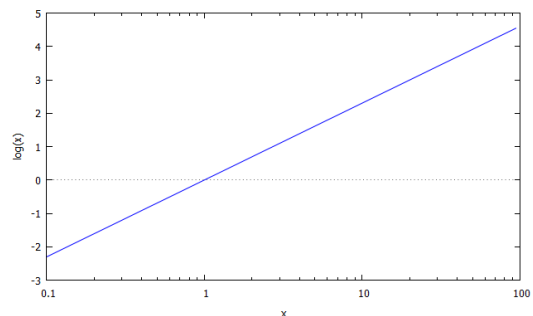


図 A.10.10: x 軸対数軸

## 三次元グラフ：

`plot3d(EX1,[x range],[y range])`

三次元のグラフを作成する。*EX1*に数式の指定、*xrange*に横軸の計算レンジ、*yrange*に縦軸の計算レンジの指定などのオプションを指定する。

数式と  $x, y$  の計算レンジを与えたグラフの作成をする。

```
plot3d (2^(-u^2+v^2), [u, -3, 3], [v, -2, 2]);
```

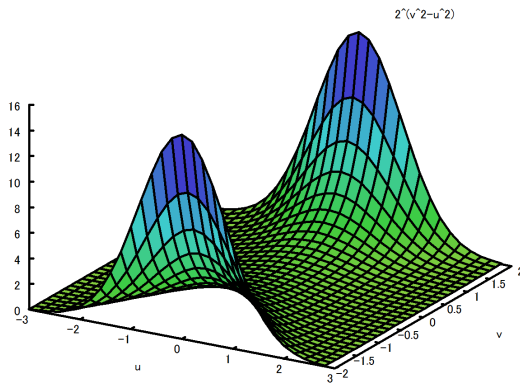


図 A.10.11: 三次元グラフ

## 円柱座標三次元グラフ：

円柱座標三次元グラフを作成する。

```
plot3d(r^2, [r, 0, 1], [\theta, 0, 2*pi],
[grid, 20, 50], [transform_xy, polar_to_xy]);
```

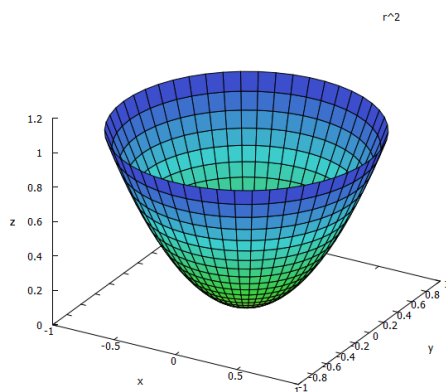


図 A.10.12: 円柱座標三次元グラフ

## 等高線グラフ (gnuplot による)

等高線グラフを gnuplot で作成する。

```
set xrange [X1:X2] x range
set yrange [Y1:Y2] y range
set isosamples NX,NY x,y 軸の分割点数
set cntrparam levels incremental Z1,dz,Z2 z 軸の初期値、増分、終値
splot EX 数式
```

```
#!/gnuplot
set xrange [-3:3]
set yrange [-3:3]
set isosamples 150,150
set contour base
set cntrparam levels incremental -3,0.2,4
unset key
unset surface
set view map
splot (7*log(y**2+x**2))/(2*pi)
-y/(y**2+x**2)+y
# EOF
```

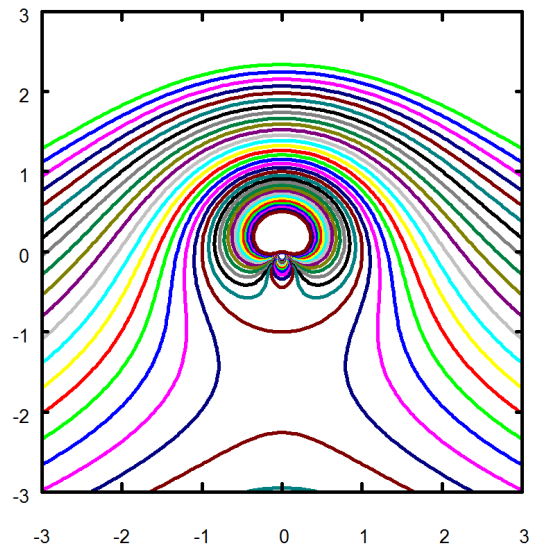


図 A.10.13: 等高線グラフ

## 参考文献

- 1) Maxima の公式ホームページ、<http://maxima.sourceforge.net/>
- 2) 横田博史：はじめての Maxima、工学社 2005
- 3) 竹内 薫：はじめての数式処理ソフト CD-ROM 付、(ブルーボックス) (新書) 2007
- 4) 中川義行：Maxima 入門ノート 1.2.1、<http://www.eonet.ne.jp/~kyo-ju/maxima.pdf>
- 5) Maxima 5.36.1 Manual、<http://maxima.osdn.jp/maxima.html>
- 6) Maxima 普及委員会、<http://www.cymric.jp/maxima/top.html>
- 7) 奥村晴彦：[改訂第 6 版]L<sup>A</sup>T<sub>E</sub>X 2<sub>ε</sub> 美文書作成入門、技術評論社 2013
- 8) Robert L. Zimmerman, Fredrick I. Olness：Mathematica for Physics, 訳：武藤 覚、小泉 悟、ピアソン・エデュケーション 1999
- 9) 近藤次郎：積分方程式、培風館 1954
- 10) 犬井鉄郎：偏微分方程式としての応用、コロナ社 1957
- 11) 高橋健人：物理数学、培風館 1958
- 12) 近藤次郎：積分方程式とその応用、コロナ社 1959
- 13) 城 憲三：応用数学解析、養賢堂 1964
- 14) 鬼頭史城：変分法と最適化問題、ダイヤモンド社 1969
- 15) 赤池弘次、中川東一郎：ダイナミックシステムの統計的解析と制御、サイエンス社 1971
- 16) 後藤健一、山本邦夫、神吉 健：詳解物理応用数学演習、共立出版 1979
- 17) 和達三樹：物理のための数学 (物理入門コース 10)、岩波書店 1983
- 18) 小野寺 嘉孝：物理のための応用数学、裳華房 1988
- 19) 尾崎 統、北川源四郎：時系列解析の方法、朝倉書店 1998
- 20) 一石 賢：道具としての物理数学、日本実業出版 2002
- 21) 塚田 捷：物理数学 2 (基礎物理学シリーズ)、朝倉書店 2003
- 22) 福山秀敏、小形正男：物理数学 1 (基礎物理学シリーズ)、朝倉書店 2003
- 23) 二宮正夫、並木雅俊、杉山忠男：物理のための数学入門 (講談社基礎物理学シリーズ)、講談社 2009
- 24) Roel Snieder, 南條光章 (訳)：独習独解 物理で使う数学—完全版—、共立出版 2012
- 25) ダニエル・フライシュ、河辺哲次 (訳)：物理のためのベクトルとテンソル、朝倉書店 2013
- 26) 石井俊全：一般相対性理論を一步一步数式で理解する、ベレ出版 2017
- 27) FN の高校物理 数学 曲面上の幾何学 <http://fnorio.com>
- 28) 森口 繁一、宇田川 久、一松 信：岩波数学公式 1 微分積分・平面曲線、岩波書店 2003
- 29) 森口 繁一、宇田川 久、一松 信：岩波数学公式 2 級数・フーリエ解析、岩波書店 1998
- 30) 森口 繁一、宇田川 久、一松 信：岩波数学公式 3 特殊函数、岩波書店 2002
- 31) G. ポリア、柿内賢信訳：いかにして問題を解くか、丸善出版 1954
- 32) 溝口純敏：Maxima を使った流体力学基礎演習ノート、<http://www9.plala.or.jp/alcwitcery/>